# Vredenseweg 4-6

# Inhoudsopgave

**Bekendmaking ontwerp** **5**

**Toelichting** **9**

**Hoofdstuk 1 Inleiding** **9**
1.1 Aanleiding 9
1.2 Ligging plangebied 9
1.3 Geldend bestemmingsplan 10
1.4 Leeswijzer 11

**Hoofdstuk 2 Het plan** **12**
2.1 Huidige situatie 12
2.2 Planbeschrijving 12

**Hoofdstuk 3 Beleidskader** **15**
3.1 Rijksbeleid 15
3.2 Provinciaal beleid 16
3.3 Regionaal beleid 17
3.4 Gemeentelijk beleid 18

**Hoofdstuk 4 Uitvoerbaarheid** **19**
4.1 Milieuaspecten 19
4.2 Cultuurhistorie en archeologie 23
4.3 Flora en fauna 24
4.4 Verkeer 27
4.5 Water 27
4.6 Economische uitvoerbaarheid 29

**Hoofdstuk 5 Wijze van bestemmen** **30**
5.1 Algemeen 30
5.2 Dit bestemmingsplan 31

**Hoofdstuk 6 Procedure** **33**
6.1 Algemeen 33
6.2 Verslag artikel 3.1.1. Bro overleg 33
6.3 Verslag zienswijzen 33

**Bijlagen** **35**
Bijlage 1 Aerius berekening Vredenseweg 4-6 36
Bijlage 2 Akoestisch onderzoek Vredenseweg 4-6 56
Bijlage 3 ecologisch onderzoek deel I 328
Bijlage 4 ecologisch onderzoek deel II 352
Bijlage 5 ecologisch onderzoek deel III 366
Bijlage 6 aanmeldnotitie vormvrije m.e.r. 388
Bijlage 7 Bodemonderzoek I 440
Bijlage 8 Bodemonderzoek II 553
Bijlage 9 Milieuzonering 558
Bijlage 10 Archeologie 566
Bijlage 11 besluit hogere grenswaarde 608

**Regels** **613**

**Hoofdstuk 1 Inleidende regels** **614**
Artikel 1 Begrippen 614

Artikel 2 Wijze van meten 618

**Hoofdstuk 2 Bestemmingsregels 619**
Artikel 3 Tuin 619
Artikel 4 Verkeer - Verblijfsgebied 620
Artikel 5 Wonen 621
Artikel 6 Waarde - Archeologische verwachting 2 623

**Hoofdstuk 3 Algemene regels 626**
Artikel 7 Anti-dubbeltelbepaling 626
Artikel 8 Algemene bouwregels 627
Artikel 9 Algemene gebruiksregels 628
Artikel 10 Algemene afwijkingsregels 629

**Hoofdstuk 4 Overgangs- en slotregels 630**
Artikel 11 Overgangsrecht 630
Artikel 12 Slotregel 631

**Bijlagen bij regels 633**
Bijlage 1 Beoordeling bodemkwaliteitsonderzoek 634
Bijlage 2 Beleidsregel parkeren 639

# Bekendmaking ontwerp

**Ontwerpbestemmingsplan en ontwerp besluit hogere grenswaarde 'Vredenseweg 4-6'**

Burgemeester en wethouders van de gemeente Winterswijk maken bekend dat het ontwerpbestemmingsplan 'Vredensweg 4-6' en het ontwerp besluit hogere grenswaarde met ingang van woensdag 2 december 2020 gedurende een periode van 6 weken ter inzage liggen. Het betreft een ontwerp van een bestemmingsplan conform artikel 3.1 van de Wet ruimtelijke ordening.

**Doel en ligging bestemmingsplan**

Dit bestemmingsplan betreft een nieuw plan voor gronden waar momenteel geen bestemmingsplan geldt, zogenaamde 'bruine gebieden'. Dit plan herziet in specifiek de Gasthuisstraat 15, Vredensestraat 1, Vredensestraat 1a, Vredensestraat 3 en een zone langs de Misterweg. De zone langs de Misterweg is op figuur 1 weergegeven. Op deze gronden worden de vergunde situaties bestemd. De bestemmingen in het ontwerpbestemmingsplan betreffen detailhandel, dienstverlening, groen, horeca, kantoor, maatschappelijk, verkeer, verkeer – verblijfsgebied en wonen.

**Besluit hogere grenswaarde**

In het kader van het ontwerp bestemmingsplan is akoestisch onderzoek uitgevoerd. Uit dit onderzoek blijkt dat de geluidsbelasting op vijf van de nieuw te bouwen woningen boven de voorkeursgrenswaarde ligt. Op grond van artikel 110a lid 1 Wet geluidhinder is het college van burgemeester en wethouders bevoegd in situaties zoals deze een hogere grenswaarde vast te stellen. Dit betekent dat de toekomstige bewoners van deze woningen een hogere geluidsbelasting op de gevel zullen moeten accepteren. Op grond van artikel 110c lid 1 Wet geluidhinder wordt en ontwerp van het besluit om een hogere grenswaarde vast te stellen gelijktijdig met het ontwerp bestemmingsplan ter inzage gelegd en kunnen hierop zienswijzen worden ingediend.

**Ter inzage**

Het ontwerpbestemmingsplan en het ontwerpbesluit hogere grenswaarde liggen met ingang van 2 december 2020 gedurende 6 weken ter inzage. Het bestemmingsplan is digitaal raadpleegbaar via de landelijke website www.ruimtelijkeplannen.nl. Het planidentificatienummer is NL.IMRO.0294. BP2007SGVREDENSEWG-OW01. Het ontwerpbesluit hogere grenswaarde is als bijlage 11 bij de toelichting van het bestemmingsplan gevoegd en op die manier ook langs digitale weg raadpleegbaar. Het ontwerpbestemmingsplan en het besluit hogere grenswaarde liggen ook ter inzage bij de receptie van het gemeentekantoor, Stationsstraat 25.

Gezien de maatregelen die momenteel van kracht zijn voor het bestrijden van het coronavirus (COVID-19), raden wij u sterk aan om de stukken digitaal te raadplegen. Bent u daartoe niet in staat, dan kunt u de fysieke stukken op afspraak komen inzien bij de receptie van het gemeentekantoor. U kunt daartoe een afspraak maken via ons algemene telefoonnummer (0543-543543) of door een e-mail te sturen naar gemeente@winterswijk.nl. Is ook het plannen van een afspraak niet mogelijk of wenselijk, neemt u dan ook contact met ons op zodat wij met u tot een voor u passende oplossing kunnen.

**Zienswijzen**

Gedurende de inzagetermijn, van 2 december 2020 tot en met dinsdag 12 januari 2021, kan een ieder schriftelijk of mondeling zijn zienswijze omtrent het ontwerp indienen bij de het college van burgemeester en wethouders, postbus 101, 7100 AC Winterswijk, telefoonnummer (0543) 543 543.

# Toelichting

## Hoofdstuk 1 Inleiding

### 1.1 Aanleiding

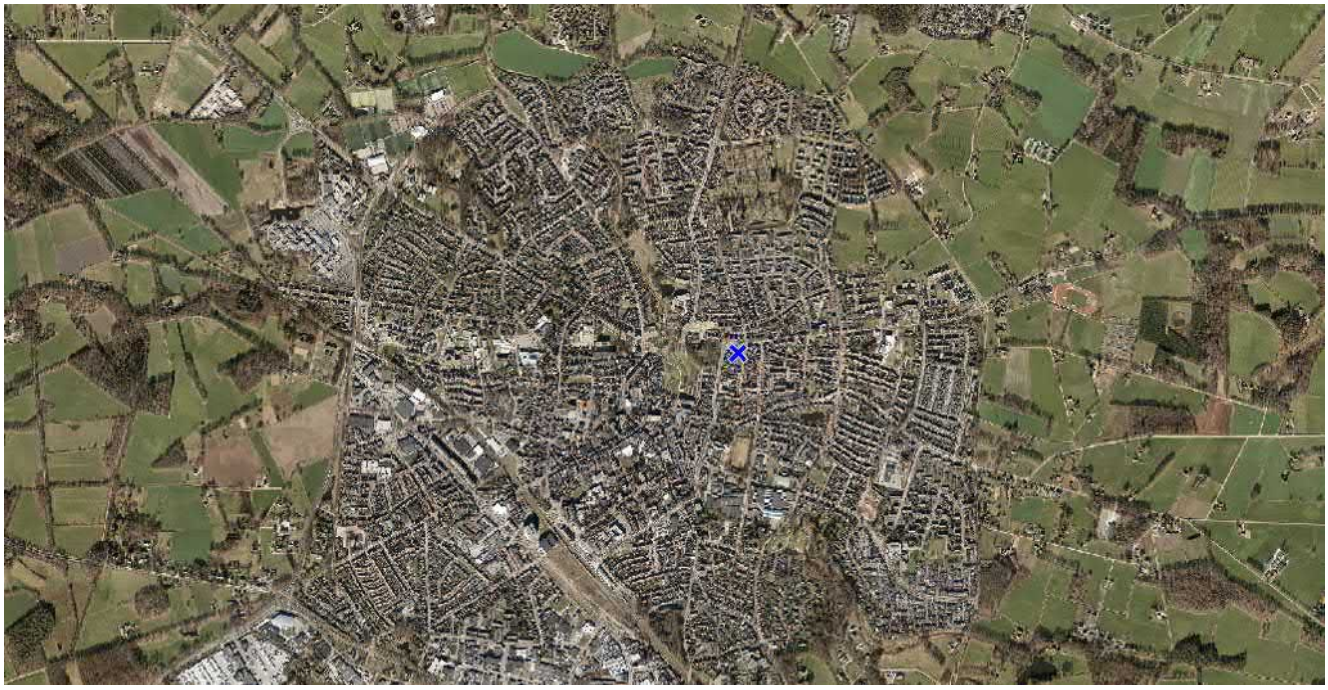
Op het adres Vredenseweg 4-6 was voorheen onder meer een woonwinkel gevestigd. De eigenaar van het pand heeft een initiatief ontwikkeld waarbij de bestaande bebouwing wordt gesloopt en er tien woning voor in de plaats komen. De eigenaar heeft een verzoek ingediend om het bestemmingsplan te herzien en de bestemming te veranderen van een detailhandelbestemming naar een woonbestemming om zo de bouw van tien grondgebonden woningen mogelijk te maken.

Het plangebied staat kadastraal bekend als sectie I, nummer 11937.

De gemeente Winterswijk is voornemens medewerking te verlenen op basis van een partiële herziening. Voorliggende ruimtelijke onderbouwing maakt de beoogde ontwikkeling planologisch-juridisch mogelijk; dat wil zeggen deze onderbouwing regelt wat nodig is voor een goede ruimtelijke ordening. Concreet wordt herontwikkeling toegestaan.

### 1.2 Ligging plangebied

Het plangebied ligt binnen de bebouwde kom van Winterswijk. Het plangebied wordt omringt door de Vredenseweg, de Eikenstraat en de Lijsterbesstraat. In het pand was recentelijk een woonwinkel gevestigd. Het perceel ligt aan de rand van het centrum van Winterswijk.



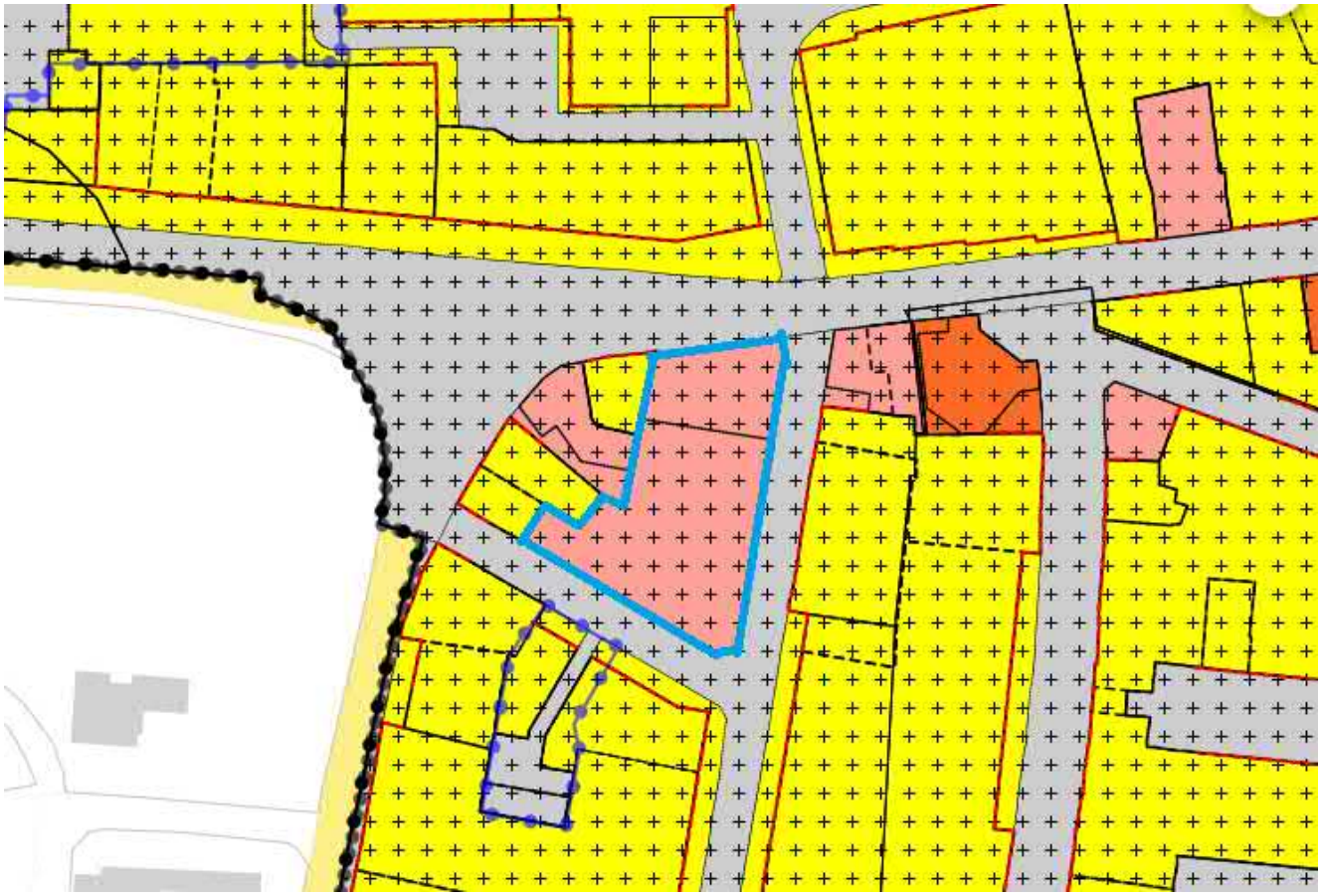
Een luchtfoto met de globale ligging van het plangebied, het plangebied is aangegeven met het blauwe kruis (bron: gemeente Winterswijk).



Een luchtfoto met de ligging van het plangebied, het plangebied is in het blauw omlijnd (bron: gemeente Winterswijk)

## 1.3 Geldend bestemmingsplan

Ter plaatse van het plangebied geldt het bestemmingsplan 'Kom Winterswijk', vastgesteld op 28 november 2013. Binnen het plangebied geldt de enkelbestemming 'detailhandel'. Daarnaast is de dubbelbestemming 'waarde - archeologische verwachting 2' en de functieaanduiding 'detailhandel grootschalig' aanwezig. Bijgevoegd is een overzicht van de geldende bestemmingen in en rondom het plangebied.



Een overzicht van de geldende bestemmingen rondom het plangebied, het plangebied is in het blauw omlijnd (bron: ruimtelijkeplannen.nl)

## 1.4 Leeswijzer

Het bestemmingsplan bestaat uit een verbeelding, regels en deze toelichting. De toelichting is opgebouwd uit 6 hoofdstukken. Na dit inleidende hoofdstuk wordt in hoofdstuk 2 het plan beschreven. In hoofdstuk 3 wordt het plan getoetst aan het beleidskader, waarna in hoofdstuk 4 de uitvoerbaarheid van het plan wordt aangetoond aan de hand van relevante milieu- en omgevingsaspecten en de economische uitvoerbaarheid. In hoofdstuk 5 volgt de wijze van bestemmen, waarin uiteen wordt gezet hoe het plan juridisch is vertaald naar de verbeelding en de regels. Tenslotte komen in hoofdstuk 6 de resultaten van de procedure aan de orde.

# Hoofdstuk 2 Het plan

## 2.1 Huidige situatie

Het plangebied ligt op de kruising van de Vredenseweg en de Singelweg. Het is gelegen in de kom van Winterswijk en grenst aan het centrum. In de omgeving van het plangebied zijn zowel woningen als panden met maatschappelijke bestemmingen te vinden. Het plangebied ligt aan de rand van het centrum en grenst aan de Singelweg en de Vredenseweg. Dit zijn beiden belangrijke doorstroomwegen in Winterswijk. Bijgevoegde luchtfoto toont de globale omgeving van het plangebied.



Luchtfoto omgeving plangebied (bron: gemeente Winterswijk)

## 2.2 Planbeschrijving

Voorliggend plan betreft de herontwikkeling van Vredenseweg 4-6. In het pand was voorheen een woonwinkel gevestigd. De herontwikkeling in het plangebied bevat het slopen van de huidige bebouwing en de realisatie van 10 woningen. De woningen zijn deels bestemd voor de verhuur en deels koop. De woningen worden gebouwd voor de doelgroepen starters en senioren.

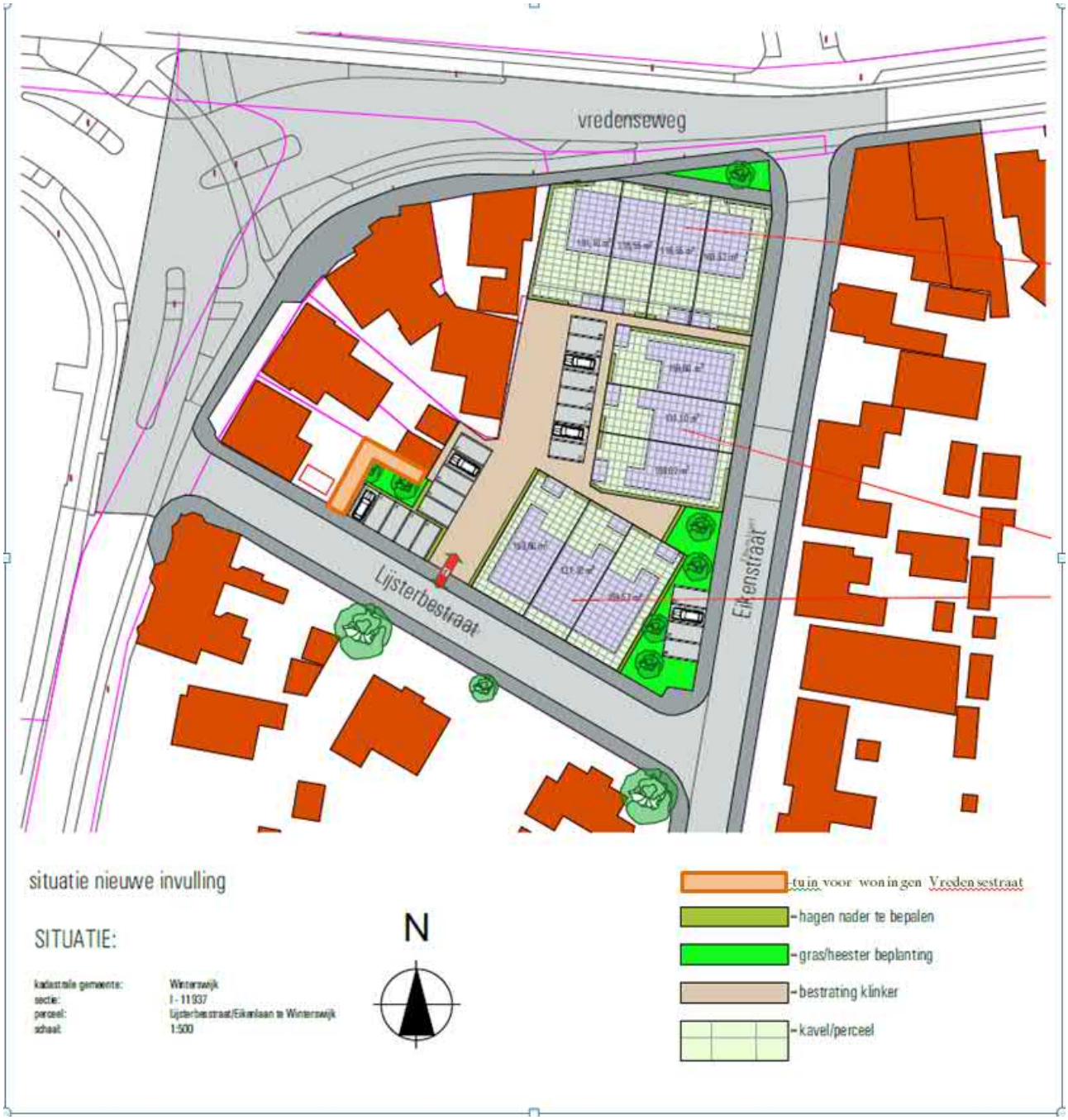


impressie 4 starters woningen



impressie 6 generatie woningen

De grondgebonden woningen worden met hun voorgevel deels geörienteerd op de Vredenseweg, deels op de Eikenstraat en deels op de Lijsterbeslaan. Parkeren vindt plaats op openbare parkeerplaatsen in het plangebied. Dit parkeren vindt grotendeels plaats achter de nieuw te bouwen woningen. In combinatie met de bestaande woningen ontstaat hierdoor een woonblok rondom de tuinen en de openbare ruimtes. In overleg met de eigenaren/bewoners van twee woningen aan de Vredensestraat wordt een klein deel van het plangebied als tuin toegevoegd aan de tuinen van die bestaande woningen.


vredenseweg
Lijsterbestraat
Eikenstraat
situatie nieuwe invulling
SITUATIE:
kadastrale gemeente: Winterswijk
sectie: I - 11937
perceel: Lijsterbestraat/Eikenlaan te Winterswijk
schaal: 1:500
N
-tu in voor won in gen Vreden sestraat
-hagen nader te bepalen
-gras/heester beplanting
-bestrating klinker
-kavel/perceel

# Hoofdstuk 3 Beleidskader

## 3.1 Rijksbeleid

*Structuurvisie Infrastructuur en Ruimte*

De Structuurvisie Infrastructuur en Ruimte (SVIR) is op 13 maart 2012 vastgesteld en biedt het kader voor thematische of gebiedsgerichte uitwerkingen van rijksbeleid met ruimtelijke consequenties. De SVIR benoemt een aantal aspecten van nationaal ruimtelijk belang. Het betreft de bescherming van de waterveiligheid aan de kust en rond de grote rivieren, bescherming en behoud van de Waddenzee en enkele werelderfgoederen, de uitoefening van defensietaken, de ecologische hoofdstructuur, de elektriciteitsvoorziening, de toekomstige uitbreiding van het hoofd(spoor)wegennet en de veiligheid rond rijksvaarwegen. Voorts betreft het enkele specifieke gebieden zoals de mainportontwikkeling van Rotterdam en Schiphol.

In het Besluit algemene regels ruimtelijke ordening (Barro) zijn regels opgesteld waarmee de SVIR juridisch verankerd is richting lagere overheden. Buiten deze nationale belangen hebben decentrale overheden beleidsvrijheid. Via het Besluit ruimtelijke ordening (Bro) en het Besluit omgevingsrecht (Bor) zijn deze regels aanvullend verankerd. In de SVIR worden, naast de onderwerpen van nationaal ruimtelijk belang, accenten geplaatst op het gebied van bestuurlijke verantwoordelijkheden. Het beleid betekent een decentralisatie van rijkstaken en bevoegdheden. Het Rijk gaat zo min mogelijk op de stoel van provincies en gemeenten zitten en lagere overheden, burgers en bedrijven krijgen, zolang het nationaal belang niet in het geding is, de ruimte om oplossingen te creëren.

*Ladder duurzame verstedelijking*

In de Structuurvisie Infrastructuur en Ruimte (SVIR) is de 'ladder voor duurzame verstedelijking' geïntroduceerd. Op 1 oktober 2012 is de Ladder in werking getreden als motiveringsvereiste onder artikel 3.1.6, tweede lid, van het Besluit ruimtelijke ordening (Bro). Het vormt daarmee een nadere invulling van artikel 3:2 van de Awb. Het Bro bepaalt dat wanneer een nieuwe stedelijke ontwikkeling mogelijk wordt gemaakt, deze moet worden getoetst aan de ladder voor duurzame verstedelijking.

Voordat de ladder voor duurzame verstedelijking wordt toegepast, moet een afweging plaatsvinden of het 'plan' een 'nieuwe stedelijke ontwikkeling' betreft. De Bro definieert het begrip 'stedelijke ontwikkeling' als volgt: “ruimtelijke ontwikkeling van een bedrijventerrein of zeehaventerrein, of van kantoren, detailhandel, woningbouwlocaties of andere stedelijke voorzieningen”.

In het Bro is geen ondergrens voor de minimale omvang vastgelegd. Of er dus sprake is van een stedelijke ontwikkeling wordt bepaald door de aard en omvang van de ontwikkeling in relatie tot de omgeving. Voor woningbouwlocaties geldt volgens de overzichtsuitspraak van de Afdeling Raad van State van 28 juni 2017 (ABRvS 28 juni 2017; ECLI:NL:RVS:2017:1724) dat bij meer dan 11 woningen sprake is van een nieuwe stedelijke ontwikkeling. Voor wonen is daarmee gesteld dat er vanaf 12 woningen sprake is van een stedelijke ontwikkeling. Daarnaast volgt uit een uitspraak van 20 april 2016 (ABRvS 20 april 2016; ECLI:NL:RVS:2016:1075) dat wanneer er enkel sprake is van een functiewijziging, het ruimtebeslag een doorslaggevende factor is of er kan worden gesproken van een nieuwe stedelijke ontwikkeling.

**Planspecifiek**

*Structuurvisie Infrastructuur en Ruimte*

In het kader van het Rijksbeleid is geen sprake van direct belang bij of rechtstreekse doorwerking op het plangebied. Het plangebied ligt niet in een van de aangewezen gebieden van de SVIR.

*Ladder duurzame verstedelijking*

Omdat het plangebied in de nieuwbouw van 10 woningen voorziet is hier volgens de SVIR geen sprake van een stedelijke ontwikkeling. Het plan hoeft om deze reden dan ook niet te voldoen aan de Ladder duurzame verstedelijking. Het plan is hiermee uitvoerbaar op het Rijksbeleid.

## 3.2 Provinciaal beleid

### 3.2.1 Omgevingsvisie Gelderland

De omgevingsvisie Gaaf Gelderland, vastgesteld in december 2019 gaat over ‘Gaaf Gelderland’. ‘Gaaf’ is een woord met twee betekenissen. ‘Gaaf’ betekent ‘mooi’ en gaat over wat historisch en landschappelijk gezien heel en mooi en ongeschonden is. Het beschermen waard! Maar ‘Gaaf’ verwijst ook naar dat wat ‘cool’ en nieuw en vernieuwend is; aantrekkelijk voor nieuwe generaties. Het ontwikkelen waard! Beide kanten zijn van toepassing op Gelderland en onlosmakelijk verbonden met de Gelderlanders. Beide aspecten zijn dan ook opgenomen in de Gelderse omgevingsvisie. In de Omgevingsvisie 'Gaaf Gelderland' is benoemd wat voor de provincie van waarde is en wat moet worden beschermd. Daarnaast geeft de provincie richting aan wat ze willen en ook moeten veranderen en ontwikkelen.

In de visie staan de volgende begrippen centraal: gezond, veilig, schoon en welvarend Gelderland. Met gezond en veilig worden een gezonde leefomgeving, schone en frisse lucht, een schoon milieu, een niet vervuilde bodem, voldoende schoon en veilig (drink)water, bescherming van onze flora en fauna gestimuleerd. Daarmee bereidt de provincie zich voor op klimaatverandering, zoals hitte, droogte, bosbranden en overstromingen. Om deze doelen te bereiken moet met name aandacht worden besteed aan verkeersveiligheid en veilige bedrijvigheid.

Met schoon en welvarend worden een dynamisch, duurzaam en aantrekkelijk woon-, werk- en ondernemersklimaat, goed bereikbaar en met een goed functionerende arbeidsmarkt en dito kennis- en onderwijsinstellingen gestimuleerd. Daarmee bereidt de provincie zich voor op het tegengaan van schadelijke uitstoot, afval en uitputting van grondstoffen. Om deze doelen te bereiken moet met name aandacht worden besteed aan het investeren in nieuwe, alternatieve vormen van energie.

*Omgevingsverordening Gelderland*

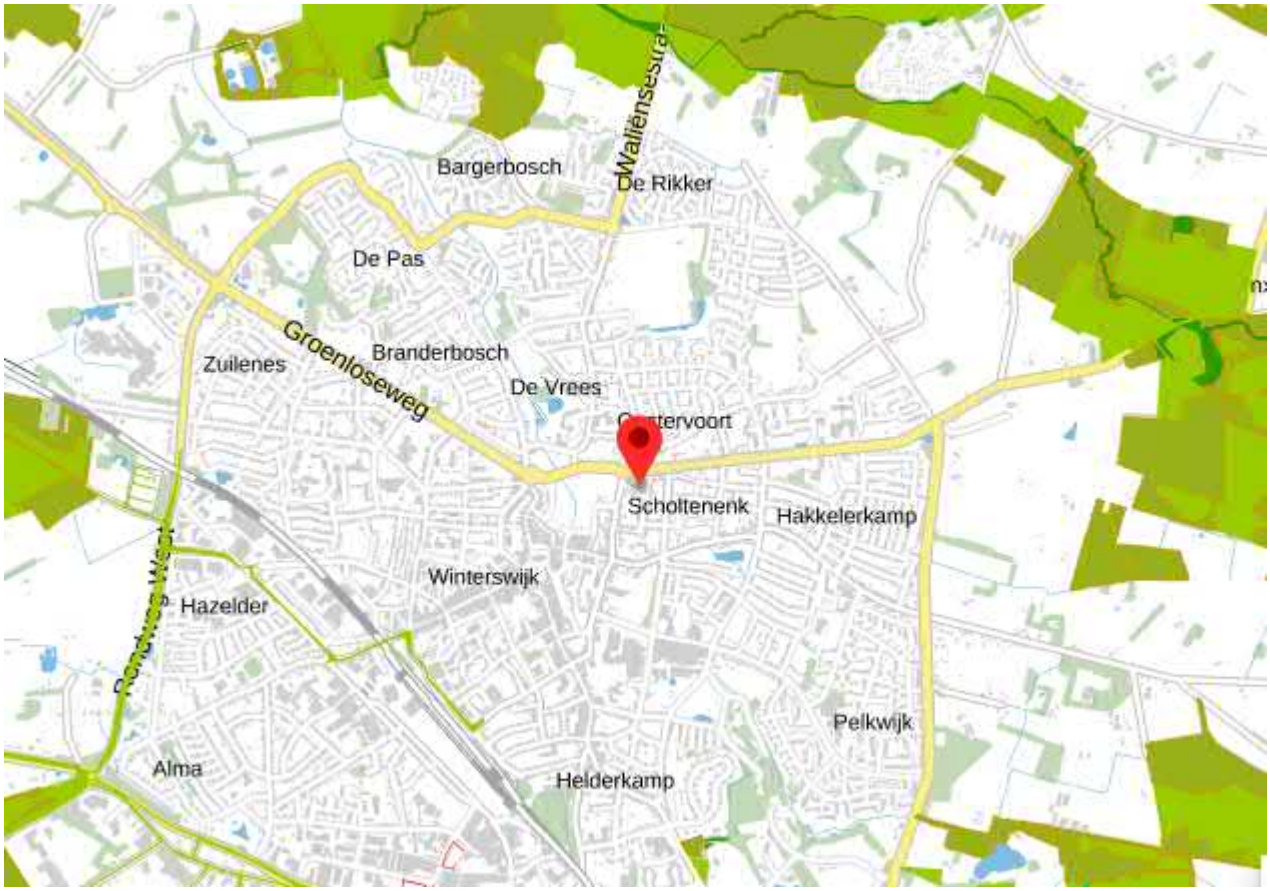
Op 24 september 2014 (geactualiseerd december 2019) heeft de provincie Gelderland de Omgevingsverordening Gelderland vastgesteld. In de Omgevingsverordening zijn regels (randvoorwaarden) opgenomen passend bij de provinciale aanpak van ambities en doelen uit de omgevingsvisie. In de Omgevingsverordening is ten aanzien van de functie wonen bepaald dat nieuwe woonlocaties en de daar te bouwen woningen slechts toegestaan zijn wanneer dit past in het Kwalitatief Woonprogramma successievelijk de kwantitatieve opgave wonen voor de betreffende regio.

**Planspecifiek**

*Omgevingsvisie Gelderland*

De omgevingsvisie Gelderland omschrijft dat ten aanzien van de functie wonen in de Achterhoek vraag en aanbod op de woningmarkt in balans moet blijven. Dit aspect wordt toegelicht in 3.3.

In de omgeving van het plangebied zijn geen gronden van het Gelders Natuurnetwerk (GNN) of de Groene ontwikkelingszone (GO) aanwezig. Het Gelders Natuurnetwerk heeft geen externe werking en is om deze reden dan ook niet van invloed op het plangebied. Het plan is hiermee uitvoerbaar op het provinciaal beleid.




Afbeelding van de kaart Gelders Natuurnetwerk (bron: ruimtelijkeplannen.nl).

## 3.3 Regionaal beleid

*Regionale Woonagenda Achterhoek 2015-2025*

Er heeft binnen de Regio Achterhoek een uitgebreide analyse plaatsgevonden van de ontwikkelingen op de woningmarkt, de bestaande woningvoorraad en de toekomstige behoefte (de 'kernenfoto's'). De uitkomsten van deze analyse zijn vastgelegd in de 'Regionale Woonagenda Achterhoek 2015-2025'. De Regionale Woonagenda Achterhoek is vastgesteld door de gemeenteraad op 27 mei 2015. Een belangrijke conclusie van de uitgevoerde analyse (die ook is vastgelegd in het actuele woonbeleid) is dat de geplande woningbouwopgave met 10% moet worden gereduceerd. Dit in aanvulling van de eerdere reductie van het aantal woningbouwplannen die in regionale afspraken is vastgelegd in 2010. De reden hiervoor is dat het aantal geplande nieuwbouwwoningen de toekomstige vraag zal overstijgen. Dit betekent dat iedere gemeente een stringent beleid moet voeren als het gaat om het toevoegen van nieuwe woningen. Zo wordt bijvoorbeeld in de hele regio onderzocht of de woningbouwcapaciteit in bestaande woningbouwplannen teruggebracht kan en moet worden. De gemeenten in de Achterhoek monitoren de voorgenomen woningbouwopgave aan de hand van een gemeentelijke planningslijst. Deze lijst ziet op het toevoegen van nieuwe woningen. Dit initiatief staat op de gemeentelijke planningslijst.

**Planspecifiek**

Woningtypen die voldoen aan de behoeften van starters en senioren hebben de voorkeur in de Regionale Woonagenda. De woningen in het plangebied zullen ook voor deze twee groepen ontwikkeld worden voor deze twee groepen. Daarbij zullen de seniorenwoningen in het plangebied worden uitgevoerd als levensloopbestendige woningen.

## 3.4 Gemeentelijk beleid

### 3.4.1 Structuurvisie Kom Winterswijk 2010-2020

De structuurvisie Kom Winterswijk 2010-2020 is op 24 februari 2011 door de gemeenteraad vastgesteld. De Structuurvisie richt zich op het verbeteren van de drie kernkwaliteiten van de gemeente, te weten:

- realiseren van een betere woonomgeving in Winterswijk;
- zorgen voor een aantrekkelijk en concurrerend hart met voorzieningen;
- het verbinden van de kwaliteiten van de kern en haar buitengebied.

Om invulling te geven aan deze kernkwaliteiten wil de gemeente ruimte creëren voor een:

- meer ontspannen en groene woonomgeving;
- een veilige bereikbaarheid van wijken en voorzieningen;
- passende werkgelegenheid;
- gezonde mix van functies in het centrum;
- groene hoofdstructuur met hoge ecologische en maatschappelijke kwaliteiten.

**Planspecifiek**

Door het plan neemt de detailhandel hoeveelheid af, deze verplaatst naar het centrum. De afname van detailhandel in de kom wordt niet als hinderlijk gezien. De structuurvisie geeft voorkeur aan een bundeling van detailhandel in het centrum.

### 3.4.2 Volkshuisvestingsbeleid

De woningen zijn zowel geschikt voor senioren als starters. Dit geeft een gevarieerde mix van leeftijden en bewoners en ruimtegebruik. Het woningbeleid van de gemeente Winterswijk geeft bij nieuwbouw met name de voorkeur voor woningen die geschikt zijn voor starters en ouderen.

**Planspecifiek**

In de afweging aan het Volkshuisverstingskader blijkt dat het initiatief met name sterk scoort doordat het plan woningen toevoegt voor de doelgroepen waar op dit moment vraag naar is. Doordat het plan daarnaast ook past bij de uitgangspunten voor de transformatie van overtollig winkelvastgoed naar woningen, en de herontwikkeling wordt gerealiseerd binnen bestaand stedelijk gebied. Enkel de seniorenwoningen zullen levensloop bestendig worden gebouwd, de woningen voor starters niet. Het plan scoort hiermee sterk op de uitgangspunten uit het Volkshuisvestelijk Afwegingskader Woningbouw Winterswijk.

# Hoofdstuk 4 Uitvoerbaarheid

## 4.1 Milieuaspecten

### 4.1.1 Bodem

Bij een bestemmingsplanprocedure wordt op grond van artikel 3.1.6 Besluit ruimtelijke ordening (Bro) vastgesteld of de bodemkwaliteit een belemmering vormt voor de uitvoerbaarheid van het plan. Aan de hand van beschikbare bodeminformatie wordt onderbouwd wat de verwachte bodemkwaliteit is, of bodemonderzoek nodig is en of er maatregelen nodig zijn om de bodemkwaliteit geschikt te maken voor het beoogde gebruik. Deze paragraaf betreft de Wet bodembescherming, het Besluit Asbestwegen, het Besluit bodemkwaliteit, de Woningwet/bouwverordening en de Arbowet.

**Planspecifiek**

Voor dit plan is de bodemkwaliteit onderzocht (zie bijlage 7). Allereerste met een verkennend bodemonderzoek door de Omgevingsdienst Achterhoek (ODA). De ODA concludeert in haar vooradvies dat de bodemkwaliteit een mogelijke belemmering vormt voor de geplande ontwikkelingen. Het uitvoeren van een bodemonderzoek is nodig om vast te stellen of de bodemsituatie geschikt is voor de toekomstige woonfunctie. In het hierna uitgevoerde verkennend bodemonderzoek is tevens een asbest onderzoek uitgevoerd.

Het hierop volgende bodemonderzoek concludeert dat de planlocatie niet als een verdachte locatie gezien kan worden. In de grond zijn licht verhoogde waarden van zware metalen aanwezig. De waarden blijven binnen de bodemkwaliteitsklasse 'wonen'. Echter, de bovengrond bevat sporen van baksteen, brokken beton en sporen van plantenresten. Dit betekent dat die bovengrond in de kwaliteitsklasse 'industrie' valt. De ODA adviseert om de baksteen en betonresten uit de bodem te verwijderen voordat de grond gebruikt wordt voor wonen (zie bijlage 8).

In het verkennend bodemonderzoek is tevens een verkennend asbest onderzoek uitgevoerd naar asbest in de bodem. In de grond die afkomstig is uit de boringen uit het bodemonderzoek zijn geen asbest verdachte materialen waargenomen in de bodem. Op basis van het onderzoek en de beoordeling van de ODA is het plan uitvoerbaar op het onderdeel bodem, mits bij de uitvoering baksteen en betonresten worden verwijderd uit de bodem. Om dit laatste te garanderen is een voorwaardelijke verplichting opgenomen in de planregels.

### 4.1.2 Geluid

De mate waarin het geluid, het woonmilieu mag belasten, is geregeld in de Wet geluidhinder (Wgh). De kern van de wet is dat geluidsgevoelige objecten worden beschermd tegen geluidhinder uit de omgeving. In de Wgh worden de volgende objecten beschermd (artikel 1 Wgh):

- woningen;
- geluidsgevoelige terreinen (terreinen die behoren bij andere gezondheidszorggebouwen dan categorale en academische ziekenhuizen, verpleeghuizen, woonwagenstandplaatsen);
- andere geluidsgevoelige gebouwen, waaronder onderwijsgebouwen, ziekenhuizen en verpleeghuizen, andere gezondheidszorggebouwen dan ziekenhuizen en verpleeghuizen die zijn aangegeven in artikel 1.2 van het Besluit geluidhinder (Bgh):
  1. een verzorgingstehuis;
  2. een psychiatrische inrichting;
  3. een kinderdagverblijf.

Het beschermen van deze geluidsgevoelige objecten gebeurt aan de hand van vastgestelde zoneringen. De belangrijkste geluidsbronnen die in de Wgh worden geregeld, zijn: industrielawaai, wegverkeerslawaai en spoorweglawaai. Indien nieuwe geluidsgevoelige functies worden toegestaan, stelt de Wgh de verplichting akoestisch onderzoek te verrichten naar de geluidsbelasting ten gevolge van omliggende (spoor)wegen en/of industrieterreinen.

**Planspecifiek**

Voor het plangebied is een geluidsonderzoek uitgevoerd naar mogelijke geluidshinder afkomstig van de Singelweg, de Vredenseweg en de Vredensestraat (zie bijlage 2). Uit het geluidsonderzoek volgt dat vanaf de Singelweg, overgaand in de Vredenseweg, de hoogste geluidsbelasting 61 dB bedraagt. Bij vijf van de tien woningen wordt de voorkeursgrenswaarde van 48 dB uit de Wgh overschreden. De hoogst toelaatbare geluidsbelasting van 63 dB wordt niet overschreden. Vanaf de Vredensestraat bedraagt de hoogste geluidsbelasting 47 dB. Hier wordt voldaan aan de voorkeursgrenswaarde van 48 dB.

Bronmaatregelen aan de weg (zoals het plaatsen van een geluidsscherm) of het herpositioneren van de woningen (verder van de weg af) zijn stedenbouwkundig onwenselijk. De ontwikkeling is uitvoerbaar op het aspect geluid wanneer er voor de specifieke woningen een besluit verhoging grenswaarde wordt opgesteld (zie bijlage 11.

Het akoestisch onderzoek is opgenomen als Bijlage 2 bij deze toelichting.

### 4.1.3 Luchtkwaliteit

De Wet milieubeheer biedt het kader om te toetsen aan luchtkwaliteitseisen. Een uitzondering op deze verplichting om de gevolgen van ruimtelijke ontwikkelingen op de luchtkwaliteit mee te wegen, vormen bepaalde typen projecten die niet in betekende mate (NIBM) bijdragen aan de luchtkwaliteit. Het begrip NIBM is uitgewerkt in het "Besluit niet in betekende mate bijdragen (luchtkwaliteitseisen)", en de bijbehorende "Regeling niet in betekende mate bijdragen (luchtkwaliteitseisen)".

Een plan draagt niet in betekende mate bij aan de luchtverontreiniging wanneer aannemelijk is (door berekening of motivering) dat de "3% grens" niet wordt overschreden. Deze grens is 3% van de grenswaarde voor de jaargemiddelde concentratie van fijn stof (PM10) of stikstofdioxide (NO2). Dit komt overeen met 1.2 µg/m3 voor zowel PM10 als NO2. De Regeling NIBM geeft voor een aantal categorieën van ruimtelijke ontwikkelingen een invulling aan de NIBM grens. Indien er binnen de getalsmatige begrenzing van de Regeling wordt gebleven, is er geen nader onderzoek nodig. Bij de ruimtelijke ontwikkeling is er dan automatisch sprake van een niet in betekende mate bijdrage aan de luchtkwaliteit.

De luchtkwaliteit ter plaatse is beoordeeld aan de hand van de informatie op www.atlasleefomgeving.nl (geraadpleegd op 18 november 2020). Hierbij zijn de thema's fijnstof en $NO_x$ beschouwd. De luchtkwaliteit in het plangebied is goed zodat sprake is van een goed woon- en leefklimaat voor de nieuw te realiseren woningen.

**Planspecifiek**

Voor de functie wonen zijn locaties die niet meer dan 1.500 woningen omvatten, aangemerkt als gevallen die niet in betekende mate bijdragen aan de luchtverontreiniging. Onderhavig plan betreft een functiewijziging waarbij minder dan 1.500 woningen worden toegevoegd. Hierdoor draagt de ontwikkeling 'niet in betekende mate bij aan luchtverontreiniging'. Toetsing aan de grenswaarden luchtkwaliteit kan daarmee achterwege blijven. Ook is er sprake van een goed woon- en leefklimaat voor de te realiseren woningen zelf. Het plan is daarmee uitvoerbaar met betrekking tot het aspect lucht.

### 4.1.4 Milieuzonering

Zowel de ruimtelijke ordening als het milieubeleid stellen zich ten doel een goede kwaliteit van het leefmilieu te handhaven en te bevorderen. Dit gebeurt onder andere door milieuzonering. Onder milieuzonering wordt verstaan het aanbrengen van een voldoende ruimtelijke scheiding tussen milieubelastende bedrijven of inrichtingen enerzijds en milieugevoelige functies als wonen en recreëren anderzijds. De ruimtelijke scheiding bestaat doorgaans uit het aanhouden van een bepaalde afstand tussen milieubelastende en milieugevoelige functies. Die onderlinge afstand moet groter zijn naarmate de milieubelastende functie het milieu sterker belast. Milieuzonering heeft twee doelen:

- het voorkomen of zoveel mogelijk beperken van hinder en gevaar bij woningen en andere gevoelige functies;
- het bieden van voldoende zekerheid aan bedrijven dat zij hun activiteiten duurzaam onder aanvaardbare voorwaarden kunnen uitoefenen.

Het is gebruikelijk om voor ruimtelijke ontwikkelingen in de omgeving van bedrijvigheid gebruik te maken van de afstanden uit de publicatie Bedrijven en milieuzonering (VNG-uitgeverij, 2009). Andersom is deze publicatie te gebruiken voor het verantwoord inpassen van bedrijvigheid in een woon- of werkomgeving. De publicatie geeft

informatie over de milieukenmerken van vrijwel alle voorkomende bedrijfstypen. Het biedt daarmee een hulpmiddel om ruimtelijke ordening en milieu op elkaar af te stemmen. In bijgevoegde tabel zijn de afstanden uit de publicatie van de VNG weergegeven.

| Afstand | Code |
|---|---|
| 10 | 1 |
| 30 | 2 |
| 50 | 3.1 |
| 100 | 3.2 |
| 200 | 4.1 |
| 300 | 4.2 |
| 500 | 5.1 |
| 700 | 5.2 |
| 1000 | 5.3 |
| 1500 | 6 |

Tabel met afstanden uit de VNG publicatie

Het is niet de bedoeling om de in deze publicatie genoemde richtafstanden zonder meer toe te passen. De afstanden zijn namelijk afhankelijk van de omgevings- en bedrijfskenmerken. Dit leidt tot een gemotiveerd toepassen van de afstanden. Uitgangspunt is dat de in de bedrijvenlijst genoemde afstanden gelden tussen enerzijds de perceelgrens van het bedrijf en anderzijds de gevel van de woning. De richtafstanden gelden ten opzichte van rustige woongebieden. Dit kan zowel een rustige woonwijk als een rustig buitengebied zijn.

*Gemengd gebied*

In bepaalde gevallen kan worden gemotiveerd dat er geen sprake is van een ‘rustige woonwijk’, maar een ‘gemengd gebied’. Dit is het geval wanneer in een gebied meerdere functies bij elkaar in de buurt zijn gevestigd, bijvoorbeeld langs een dorpslint of nabij een grote ontsluitingsweg. Bij een ‘gemengd gebied’ kunnen de richtafstanden met 1 afstandsstap verkleind worden.

Het kan zo zijn dat specifieke wet- en regelgeving andere afstanden voorschrijft. Deze gaan dan voor de afstanden uit de VNG-publicatie. Te denken valt aan de Wet geurhinder en veehouderij, het Activiteitenbesluit of het Besluit externe veiligheid inrichtingen.

**Planspecifiek**

Rondom het plangebied zijn de doorgaande Vredenseweg en diverse, aan centrum gelieerde, functies aanwezig zoals horeca, detailhandel, aan huis gebonden beroepen, maatschappelijke functies en woningen (zie bijlage 9) . Hierdoor is sprake van een menging van bedrijven en wonen in de omgeving van het plangebied. Vanwege de ligging aan een hoofdweg en de diversiteit aan functies in de omgeving, is er sprake van een 'gemengd gebied'.

In de omgeving van het plangebied zijn de functies detailhandel en horeca te vinden. Deze twee bestemmingen hebben beiden de richtafstand van 10 m. In een gemengd gebied mag dit met een trede verlaagd worden tot 0 m. De drie dichtsbijzijnde locaties met deze bestemmingen liggen op afstanden van respectievelijk 11 m, 12 m en 34 m. Tussen deze bestemmingen en het plangebied is voldoende afstand om te kunnen voorkomen dat de bedrijven in de bedrijfsvoering gehinderd worden. Het plan is hiermee uitvoerbaar op het aspect milieuzonering.

### 4.1.5 Externe Veiligheid

Het aspect externe veiligheid betreft het risico op een ongeval waarbij een gevaarlijke stof aanwezig is. Deze gevaarlijke stoffen kennen twee verschillende bronnen. Dit zijn de stationaire bronnen (chemische fabriek, lpg-vulpunt) en de mobiele bronnen (route gevaarlijke stoffen). Er wordt onderscheid gemaakt tussen de kans op een ramp en het aantal mogelijk slachtoffers, dit is respectievelijk het plaatsgebonden risico en het groepsrisico. Het plaatsgebonden risico biedt burgers in hun woonomgeving een minimum beschermingsniveau tegen gevaarlijke stoffen. Het groepsrisico heeft een oriënterende waarde en voor het plaatsgebonden risico geldt een grenswaarde voor kwetsbare objecten en een richtwaarde voor beperkt kwetsbare objecten.

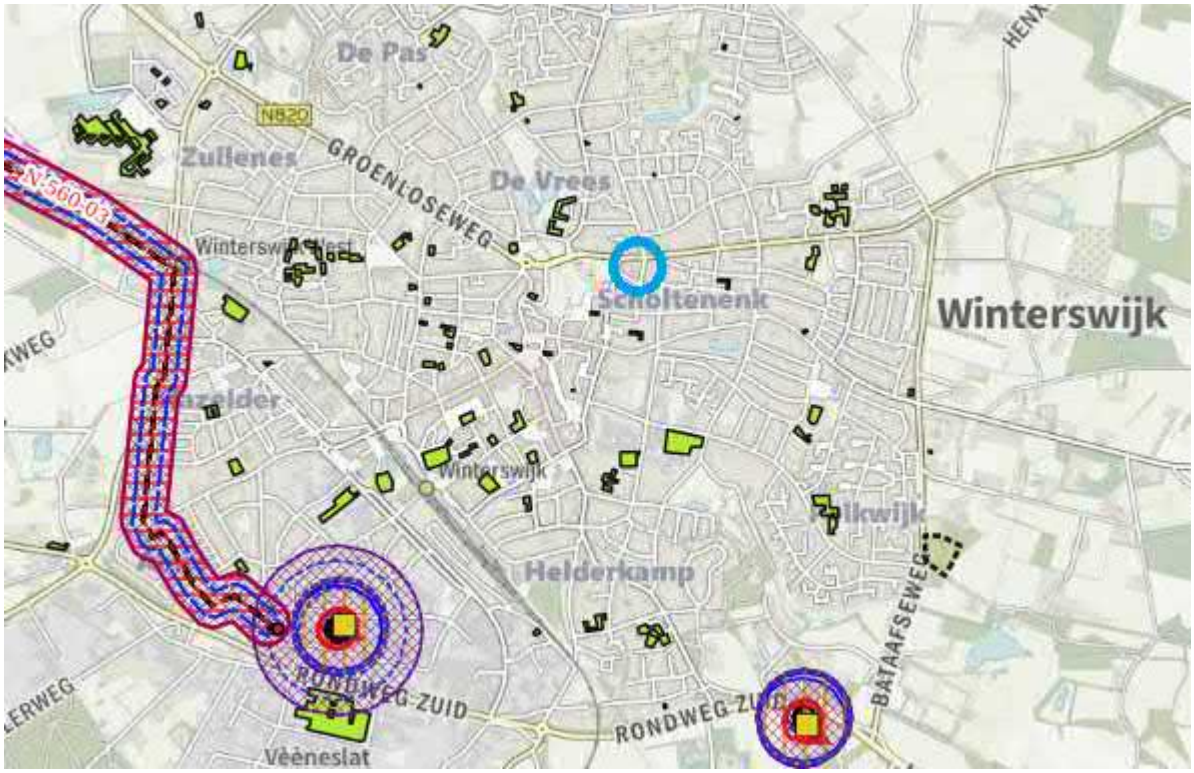
Het plaatsgebonden risico mag in principe nergens groter zijn dan 1 op 1 miljoen (ofwel $10^{-6}$). Dit is de kans dat een denkbeeldig persoon, die zich een jaar lang permanent op de betreffende plek bevindt (de plek waarvoor het risico is uitgerekend), dodelijk verongelukt door een ongeval. Deze kans mag niet groter zijn dan eens in de miljoen jaar. Elke ruimtelijke ontwikkeling wordt getoetst aan het plaatsgebonden risico van $10^{-6}$ als grenswaarde.

Het groepsrisico geeft de kans aan dat in één keer een groep mensen die zich in de omgeving van een risicosituatie bevindt, dodelijk door een ongeval wordt getroffen. Het groepsrisico legt een relatie tussen de kans op een ramp en het aantal mogelijke slachtoffers. Bij groepsrisico is het dan ook niet een contour die bepalend is, maar het aantal mensen dat zich gedurende een bepaalde periode binnen de effectafstand van een risicovolle activiteit ophoudt. Welke kans nog acceptabel wordt geacht, is afhankelijk van de omvang van de ramp. Een ongeval met 100 doden leidt tot meer ontwrichting, leed en emoties, dan een ongeval met 10 dodelijke slachtoffers. Aan de kans op een ramp met 100 doden wordt dan ook een grens gesteld die een factor honderd lager ligt dan voor een ramp met 10 doden.

In het Besluit externe veiligheid inrichtingen (Bevi, stb. 250, 2004) wordt verder een verantwoordingsplicht (door de overheid) voor het groepsrisico rond inrichtingen wettelijk geregeld. De verantwoording houdt in dat wordt aangegeven of risico's acceptabel zijn en welke maatregelen worden genomen om de risico's te verkleinen.

**Planspecifiek**

Met dit plan worden er 10 gevoelige verblijfsobjecten toegevoegd. In de omgeving van het plangebied zijn geen objecten of installaties die een gevaar of risico kunnen vormen op de woningen in het plangebied. Bijgevoegde afbeelding illustreerd dit. Het plan is hiermee uitvoerbaar op het onderdeel externe veiligheid.



Afbeelding van de EV Signaleringskaart, het plan is aangegeven in het blauw (bron: ev-signaleringskaart.nl).

### 4.1.6 vormvrije m.e.r. beoordeling

Het thema ‘milieu effect rapportage’ kan voor bestemmingsplannen op drie manieren van belang zijn, te weten een m.e.r.-plicht, een m.e.r.-beoordelingsplicht of een vormvrije m.e.r.-beoordeling. Welke van deze drie varianten aan de orde is, is afhankelijk van de hetgeen in het bestemmingsplan mogelijk wordt gemaakt.

De eerste variant is een verplichting en m.e.r. te doorlopen op grond van artikel 7.2 Wet milieubeheer gelezen in samenhang met onderdeel C van de bijlage bij het Besluit milieueffectrapportage. Kort gezegd geldt er een m.e.r.-plicht wanneer het bestemmingsplan een activiteit mogelijk maakt genoemd in kolom 1 van het voornoemde onderdeel C en tevens de drempelwaarde uit kolom 2 wordt overschreden. De activiteiten die door het onderhavige bestemmingsplan mogelijk worden gemaakt komen niet voor in kolom 1 van onderdeel C. Zodoende is er geen sprake van een m.e.r.- plicht.

De tweede variant betreft de m.e.r.-beoordelingsplicht. Deze m.e.r.-beoordelingsplicht is, kort gezegd, aan de orde wanneer het bestemmingsplan activiteiten mogelijk maakt die genoemd worden in kolom 1 van onderdeel D van de bijlage bij het Besluit milieueffectrapportage en tevens de drempelwaarde uit kolom 2 wordt overschreden. Dit bestemmingsplan maakt activiteiten mogelijk die vallen onder categorie D11.2 van het voornoemde onderdeel D. De drempelwaarden van kolom 2 worden echter niet overschreden. Derhalve geldt er voor dit project ook geen m.e.r.- beoordelingsplicht.

De derde variant is de vormvrije m.e.r.-beoordeling. Deze variant is aan de orde wanneer het bestemmingsplan een activiteit mogelijk maakt die weliswaar genoemd wordt in kolom 1 van onderdeel D in de bijlage bij het Besluit milieueffectrapportage, maar deze activiteit de drempelwaarde uit kolom 2 overschrijdt. Zoals hiervoor aangeven is dit zo voor het onderhavige bestemmingsplan. Op grond van artikel 2 lid 5 Besluit milieueffectrapportage is de vormvrije m.e.r.-beoordeling niet geheel vorm vrij. Met de vaststelling van deze aanmeldnotitie door het college van burgemeester en wethouders, voorafgaand aan de ter inzage legging van een ontwerp bestemmingsplan, zal worden voldaan aan de gestelde vormvereisten.

Deze vormvrije m.e.r.-beoordeling kan tot twee conclusies leiden:

- belangrijke nadelige milieugevolgen zijn uitgesloten: er is geen m.e.r.(-beoordeling) noodzakelijk;
- belangrijke nadelige gevolgen voor het milieu zijn niet uitgesloten: er moet een m.e.r.- beoordeling plaatsvinden of er kan direct worden gekozen voor een plan-MER.

In het kader van het bestemmingsplan is onderzoek gedaan naar de relevante (milieu)aspecten. In deze notitie worden de conclusies hiervan kort benoemd.

## 4.2 Cultuurhistorie en archeologie

In elk bestemmingsplan moet een beschrijving worden opgenomen van de wijze waarop met de in het gebied aanwezige cultuurhistorische waarden wordt omgegaan. Denk aan aanwezige monumenten, historische gebieden, kenmerkende (straat)beelden en landschapselementen. Bij het maken van plannen kan ook (weer) rekening worden gehouden met al deze elementen die er vroeger wel waren maar nu niet meer. Een bijzonder onderdeel van cultuurhistorie is archeologie.

*Cultuurhistorie*

Onder de noemer Modernisering Monumentenzorg (MoMo) heeft het Rijk in 2009 een aanzet gegeven voor een goede afweging van het belang van de cultuurhistorie in de ruimtelijke ordening. Gepleit wordt voor een verantwoorde verankering van de integrale cultuurhistorie in structuurvisies, bestemmingsplannen en milieueffectrapportages. Het voornaamste doel hiervan is om het cultuurhistorische karakter van Nederland op gebiedsniveau te behouden en te versterken. De aandacht voor cultuurhistorie is ook wettelijk vastgelegd in het Besluit ruimtelijke ordening. Artikel 3.1.6 onder 2 van dit Besluit geeft aan dat “een beschrijving van de wijze waarop met de in het gebied aanwezige cultuurhistorische waarden en in de grond aanwezige of te verwachten

monumenten rekening is gehouden” in het bestemmingsplan moet worden opgenomen.

*Archeologie*

Op 16 januari 1992 is in Valletta (Malta) het Europees Verdrag inzake de bescherming van het archeologisch erfgoed (Verdrag van Malta) ondertekend. Het Nederlandse parlement heeft dit verdrag in 1998 goedgekeurd. Het Verdrag van Malta voorziet in bescherming van het Europees archeologisch erfgoed onder meer door de risico's op aantasting van dit erfgoed te beperken. Deze bescherming is in Nederland wettelijk verankerd in de Erfgoedwet. In het kader van een goede ruimtelijke ordening in relatie tot de Erfgoedwet kan vooronderzoek naar mogelijke waarden nodig zijn. Om deze reden zijn alle gronden in Winterswijk geïnventariseerd en beoordeeld op mogelijk aanwezige archeologische relicten. Er worden 4 waarden onderscheiden, iedere categorie kent een eigen verwachting op vondsten, waarbij 1 de hoogste verwachtingswaarde is en 4 de laagste.

**Planspecifiek**

*Cultuurhistorie*

Met onderstaand plan wordt de bestaande bebouwing van Jager wonen volledig gesloopt en worden op het terrein nieuwe woningen gebouwd. Het oude pand van Jager wonen is niet van cultuurhistorische waarde. In het plangebied zijn tevens ook geen verdere objecten van cultuurhistorische waarde aanwezig. Het plan is hiermee uitvoerbaar op het aspect cultuurhistorie.

*Archeologie*

In het plangebied geldt de dubbelbestemming 'Waarde - Archeologische verwachting 2' ter bescherming van de mogelijk aanwezige archeologische waarden. Dit betekent dat bij een bodemverstoring van groter dan 100 $m^2$ archeologisch onderzoek noodzakelijk is.

Het verkennend booronderzoek archeologie (zie bijlage 10) stelt dat in het plangebied sprake is van een volledig verstoord bodemprofiel. Er is geen intacte bodem aangetroffen zowel inpandig als in de boringen onder het parkeerterrein buiten. Vanwege het ontbreken van archeologische indicatoren wordt in het plangebied geen vervolgonderzoek noodzakelijk geacht. Het plan is hiermee uitvoerbaar op het onderdeel cultuurhistorie en archeologie.

## 4.3 Flora en fauna

Bij ruimtelijke ingrepen dient rekening te worden gehouden met de natuurwaarden ter plaatse. Daarbij wordt onderscheid gemaakt tussen gebiedsbescherming en soortenbescherming.

*Gebiedsbescherming*

De Wet natuurbescherming richt zich op de bescherming van gebieden. In de Wet natuurbescherming zijn de volgende gronden aangewezen en beschermd:

- Natura 2000-gebieden (Habitat- en Vogelrichtlijngebieden);
- beschermde Natuurmonumenten;
- wetlands.

Naast deze drie soorten gebieden is in het kader van de gebiedsbescherming het Nationaal natuurnetwerk van belang. Dit is een samenhangend netwerk van belangrijke natuurgebieden in Nederland. Zij bestaat uit bestaande natuurgebieden, nieuwe natuurgebieden en ecologische verbindingszones die tussen de natuurgebieden liggen. Het natuurnetwerk draagt bij aan het bereiken van de hoofddoelstelling van het Nederlandse natuurbeleid, namelijk: 'Natuur en landschap behouden, versterken en ontwikkelen, als bijdrage aan een leefbaar Nederland en een duurzame samenleving'. Hiertoe zijn de volgende uitgangspunten van belang:

- vergroten: het areaal natuur uitbreiden en zorgen voor grotere aaneengesloten gebieden;
- verbinden: natuurgebieden zoveel mogelijk met elkaar verbinden;

- verbeteren: de omgeving zo beïnvloeden dat in natuurgebieden een zo hoog mogelijke natuurkwaliteit haalbaar is.

*Soortenbescherming*

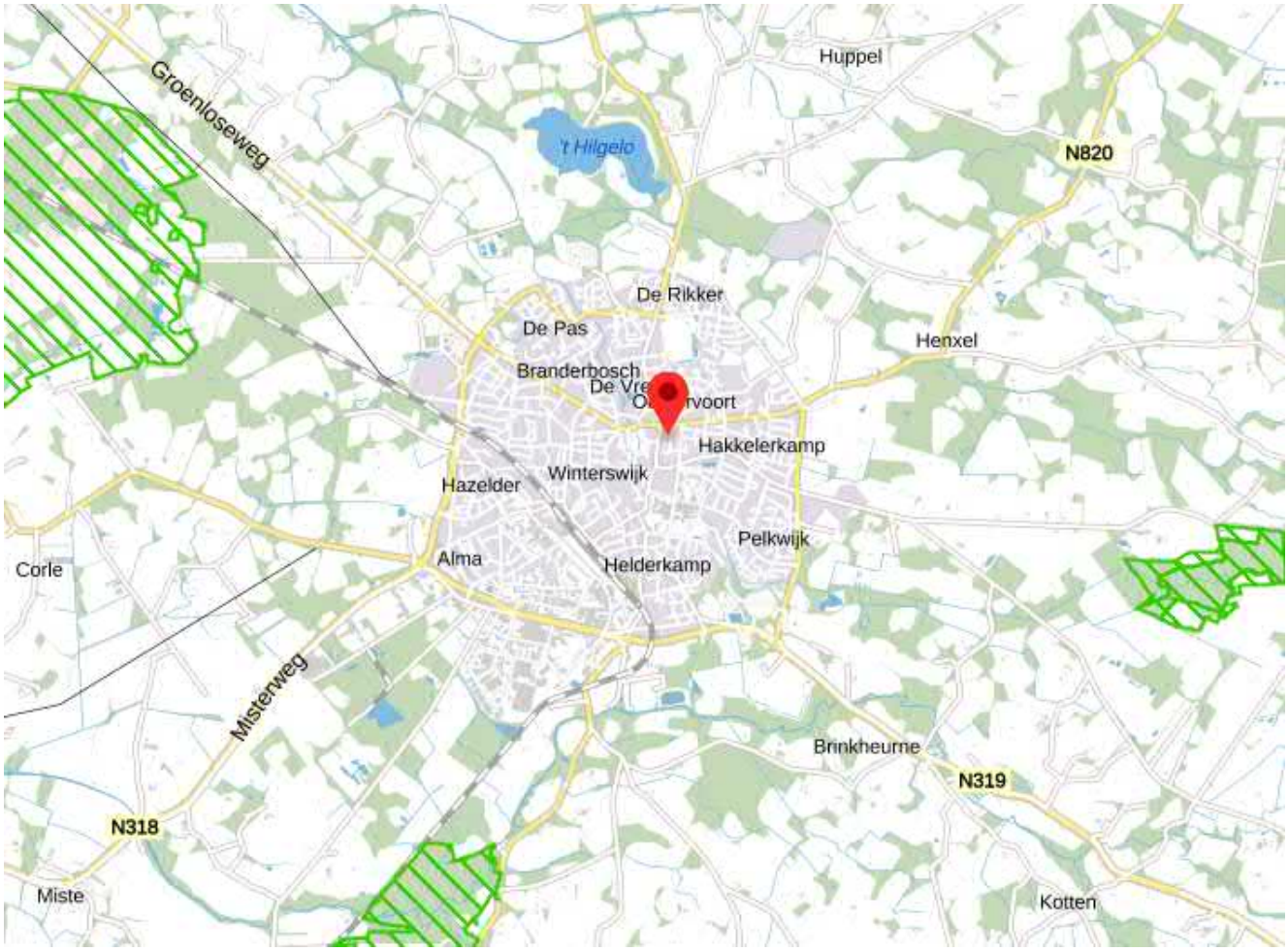
Voorts is in de Wet natuurbescherming de bescherming van de in het wild voorkomende inheemse planten en dieren geregeld: de soortenbescherming. De wet richt zich vooral op het in stand houden van populaties van soorten die bescherming behoeven. In de wet zijn algemene en specifieke verboden vastgelegd ten aanzien van beschermde dier- en plantensoorten. Onderzocht moet worden in hoeverre ruimtelijke plannen negatieve gevolgen hebben op beschermde dier- en plantensoorten en of er compenserende of mitigerende maatregelen genomen moeten worden.

Daarnaast geldt voor iedereen in Nederland altijd, dus ook voor het voorliggende plan, dat de zorgplicht nageleefd moet worden bij het verrichten van werkzaamheden.

**Planspecifiek**

*Gebiedsbescherming*

Om de gevolgen van gebiedsbescherming te beoordelen is de website ruimtelijkeplannen.nl geraadpleegd. Op bijgevoegde screenshot van die website zijn de eventuele aanwezige Natura-2000 gebieden rondom het plangebieden weergegeven. Natura 2000-gebieden hebben een externe werking. Het projectgebied ligt op een afstand van 3 à 4 kilometer van de Natura 2000-gebieden Bekendelle, Korenburgerveen en Willinks Weust. Om de effecten van de realisatie van 10 woningen op deze gebieden te berekenen is een Aerius berekening uitgevoerd. De berekeningen laten zien dat de depositiewaarde niet boven de gestelde maximum van 0,0 mol/ha/jr blijft. De Aerius berekening is bijgevoegd in Bijlage 1.



Uitsnede kaart met de Natura 2000-gebieden om Winterswijk, het plangebied wordt aangemerkt door de rode punt (bron: ruimtelijkeplannen.nl).

Om de waarden van de flora en fauna van het plangebied te onderzoeken is een quickscan natuurtoets uitgevoerd. De quickscan concludeert op het onderdeel gebiedsbescherming dat het projectgebied niet gelegen is binnen een Groene Ontwikkelingszone (GO) en op een afstand ligt van circa 1,2 km van gebieden die onder het Gelders Natuurnetwerk (GNN) vallen. Gezien de ligging buiten deze gebieden worden de kernkwaliteiten en ontwikkelingen van de GO en het GNN bij de werkzaamheden niet aangetast. Hiermee is het plan uitvoerbaar op het onderdeel gebiedsbescherming.

*Soortenbescherming*

De bestaande opstallen op het terrein zullen gesloopt worden om ruimte te maken voor de nieuwbouw van woningen. Deze sloopwerkzaamheden kunnen tot verstoring van beschermde soorten leiden. Om die reden is het plangebied uitvoering onderzocht. Uit deze onderzoeken (zie de bijlagen 3 en 4) blijkt dat er één zomerverblijf, twee paarverblijven en één winterverblijf van gewone dwergvleermuizen aanwezeig zijn binnen het projectgebied. Het winterverblijf wordt gebruikt door vijf individuen. Het zomerverblijf en één van de paarverblijven bevinden zich op dezelfde plek, waardoor dit voor één exemplaar een dubbele verblijfsfunctie betreft. Voor het uitvoeren van de sloopwerkzaamheden is dan ook een ontheffing nodig op grond van de Wet natuurbescherming. Het college van Gedeputeerde Staten is daarvoor het bevoegde gezag. Uit het activiteitenplan dat is opgesteld in het kader van deze ontheffing (zie bijlage 5) blijkt dat het aannemelijk is dat deze ontheffing verleend kan worden. Daarmee is het onderhavige bestemmingsplan uitvoerbaar als het gaat om de soortenbescherming.

## 4.4 Verkeer

In het kader van een goede ruimtelijke ordening dient het effect van de beoogde ontwikkeling op de verkeersstructuur inzichtelijk te worden gemaakt. Van belang is dat de nieuwe ontwikkeling past binnen de (bestaande) wegenstructuur en dat er voorzien wordt in voldoende parkeergeleenheid.

**Planspecifiek**

Het gaat in dit plan om de herontwikkeling van een detailhandelslocatie. Het verkeer dat gegenereerd wordt door de tien te bouwen woningen kan probleemloos worden afgewikkeld binnen de bestaande wegenstructuur rondom het plangebied. Er is een parkeernorm van 2 parkeerplekken per woning aangehouden. Op basis daarvan en op basis van een optimale inrichting van het openbare gebied worden 22 nieuwe parkeerplaatsen gerealiseerd binnen het plangebied. Dit betreft openbare parkeerplaatsen die na realisatie in eigendom en beheer zullen worden overgedragen aan de gemeente.

## 4.5 Water

Het waterbeleid van Rijk en provincie is gericht op een veilig en goed bewoonbaar land met gezonde en duurzame watersystemen. Het Waterschap Rijn en IJssel laat in het Waterbeheerplan 2016-2021 zien welke ontwikkelingen voor het waterbeheer van belang zijn en welke accenten het waterschap in de samenwerking met haar partners wil leggen. Vanuit die omgevingsverkenning wordt vervolgens het beleid voor de planperiode 2016-2021 beschreven voor de primaire taakgebieden:

- Bescherming tegen overstromingen en werken aan veiligheid: Veilig water.
- Zorgen voor de juiste hoeveelheid water en passende waterpeilen: Voldoende water.
- Zorgen voor een goede waterkwaliteit die nodig is voor mens, plant en dier: Schoon water.
- Verwerken van afvalwater en het benutten van energie en grondstoffen daaruit: Afvalwater.

Voor het taakgebied Veiligheid water is bescherming tegen hoog water op de rivieren het speerpunt. Het functioneren van de primaire en regionale waterkeringen staat hierbij centraal. Het taakgebied Voldoende water is gericht op het voorkomen van afwenteling door het hanteren van de drietrapsstrategie "Vasthouden-Bergen-Afvoeren". Voor Schoon water is het uitgangspunt “stand still - step forward”. Essentieel is het benutten van de natuurlijke veerkracht van een watersysteem met als einddoel een robuust en klimaatbestendig watersysteem voor de toekomst. Partnerschappen met gemeenten en andere partijen zorgen voor een effectieve en efficiënte (afval)waterketen. Door optimalisatie van de behandeling van afvalwater wordt een bijdrage geleverd aan een goede volksgezondheid en een schoon watersysteem. Het terugwinnen van energie en grondstoffen uit afvalwater draagt bij aan een meer circulaire economie.

Ruimtelijke ordening en water zijn onlosmakelijk met elkaar verbonden. Er is meer ruimte nodig voor het waterbeheer van de toekomst. Ook op andere terreinen, zoals recreatie, wonen en landbouw speelt water een centrale rol. Het waterschap wil in het watertoetsproces vroegtijdig meedenken over de rol van het water in de ruimtelijke ontwikkeling en wil samen met de gemeente op zoek naar de bijdrage die water kan leveren aan de verbetering van de leefomgeving.

**Planspecifiek**

Het plan betreft de bouw van 10 woningen voor senioren en starters op een perceel aan de Vredenseweg 4-6. Het verharde oppervlak van het plangebied, een voormalig bedrijventerrein, wordt van 2490 $m^2$ verminderd naar 1880 $m^2$.

Hieronder zijn de relevante waterthema's geselecteerd en vervolgens beschreven.

| Thema | Toetsvraag | Relevant | Intensiteit# |
|---|---|---|---|
| Veiligheid | 1. Ligt in of binnen 20 meter vanaf het plangebied een waterkering? (primaire waterkering, regionale waterkering of kade) | Nee | 2 |
| | 2. Ligt het plangebied in een waterbergingsgebied of winterbed van een rivier? | Nee | 2 |
| Riolering en Afvalwaterketen | 1. Is de toename van het afvalwater (DWA) groter dan 1m$^3$/uur? | Nee | 2 |
| | 2. Ligt in het plangebied een persleiding van WRIJ? | Nee | 1 |
| | 3. Ligt in of nabij het plangebied een RWZI of rioolgemaal van het waterschap? | Nee | 1 |
| Wateroverlast (oppervlakte-water) | 1. Is er sprake van toename van het verhard oppervlak met meer dan 2500m$^2$? | Nee | 2 |
| | 2. Is er sprake van toename van het verhard oppervlak met meer dan 500m$^2$? | Ja | 1 |
| | 3. Zijn er kansen voor het afkoppelen van bestaand verhard oppervlak? | Ja | 1 |
| | 4. In of nabij het plangebied bevinden zich natte en laag gelegen gebieden, beekdalen, overstromingsvlaktes? | Nee | 1 |
| Oppervlakte-waterkwaliteit | 1. Wordt vanuit het plangebied (hemel)water op oppervlaktewater geloosd? | Ja | 1 |
| Grondwater-overlast | 1. Is in het plangebied sprake van slecht doorlatende lagen in de ondergrond? | Nee | 1 |
| | 3. Is in het plangebied sprake van kwel? | Nee | 1 |
| | 4. Beoogt het plan dempen van perceelsloten of andere wateren? | Nee | 1 |
| | 5. Beoogt het plan aanleg van drainage? | Nee | 1 |
| Grondwater-kwaliteit | 1. Ligt het plangebied in de beschermingszone van een drinkwateronttrekking? | Nee | 1 |
| Inrichting en beheer | 1. Bevinden zich in of nabij het plangebied wateren die in eigendom of beheer zijn bij het waterschap? | Nee | 1 |
| | 2. Heeft het plan herinrichting van watergangen tot doel? | Nee | 2 |
| Volksgezondheid | 1. In of nabij het plangebied bevinden zich overstorten uit het gemengde stelsel? | Nee | 1 |
| | 2. Bevinden zich, of komen er functies, in of nabij het plangebied die milieuhygiënische of verdrinkingsrisico's met zich meebrengen (zwemmen, spelen, tuinen aan water)? | Nee | 1 |
| Natte natuur | 1. Bevindt het plangebied zich in of nabij een natte EVZ? | Nee | 2 |
| | 2. Ligt in of nabij het plangebied een HEN of SED water? | Nee | 2 |
| | 3. Bevindt het plangebied zich in beschermingszones voor natte natuur? | Nee | 1 |
| | 4. Bevindt het plangebied zich in een Natura 2000-gebied? | Nee | 1 |
| Verdroging | 1. Bevindt het plangebied zich in een TOP-gebied? | Nee | 1 |
| Recreatie | 1. Bevinden zich in het plangebied watergangen en/of gronden in beheer van het waterschap waar actief recreatief medegebruik mogelijk wordt? | Nee | 2 |
| Cultuurhistorie | 1. Zijn er cultuurhistorische waterobjecten in het plangebied aanwezig? | Nee | 1 |

*Riolering en afvalwaterketen*

In de omgeving van het plangebied is sprake van een gescheiden rioleringsstelsel. Nieuwe ontwikkelingen moeten worden aangesloten op dit bestaande rioleringsstelsel. In het plan worden vuil- en hemelwater systemen gescheiden aangelegd. Het vuilwaterriool (ca. 0,25 m$^3$/h) wordt aangesloten op het bestaande riolering in de Lijsterbesstraat en de Eikenstraat. De capaciteit is voldoende voor de afvoer van het afvalwater.

*Wateroverlast (oppervlaktewater)*

Voor het hemelwater (dak- en straatwater) geldt dat een regenbui T=10 + 10% milieutoeslag (40 mm) binnen het plangebied moet worden geborgen. Vanuit het plangebied mag maximaal 1 l/s.ha (conform afvoernorm landelijke afvoer) worden afgevoerd naar de hemelwaterriolen in de Lijsterbesstraat en de Singelweg. Het riool in de Lijsterbesstraat loost via het infiltratiesysteem aan het Weeninkpad op de Wehmerbeek. Het hemelwaterriool in de Singelweg loost op retentievijver de Berkhof.

Uitgaande van een verhard afwaterend oppervlak van 2490 m$^2$ (conform onderstaande tabel) stroomt bij de maatgevende bui circa 88 m$^3$ regenwater af.

| | bestaand ($m^2$) | nieuw ($m^2$) |
|---|---|---|
| dak | 1840 | 675 |
| verharding | 650 | 765 |
| tuin verhard | 0 | 440 |
| tuin groen | 0 | 445 |
| openbaar groen | 0 | 165 |
| totaal | 2490 | 2490 |

In het plangebied is de doorlatendheid van de bodem gemiddeld voldoende groot is om infiltratie van regenwater mogelijk te maken. Ook de gemiddeld hoogste grondwaterstand is geschikt om te infiltreren. Om de bergingsopgave te realiseren wordt dan ook infiltratieriolen in een drainagekoffer aangelegd. Deze worden middels een stuwput met een opening voor de landelijke afvoer aangesloten op de hemelwaterriolen in de Lijsterbesstraat en de Singelweg.

Bij de aanleg van infiltratievoorzieningen moet rekening worden gehouden met mogelijke grondwateroverlast. Door een minimale afstand van 3 meter tot de bebouwing te bewaren kan vochtoverlast in de kruipruimte ten gevolge van infiltratie worden voorkomen.

*Oppervlaktewater kwaliteit*

Door de geringe hoeveelheid hemelwater (1 l/s.ha) uit het plangebied is de invloed op de ontvangende hemelwaterriolen in de Lijsterbesstraat, de Singelweg en de bijbehorende infiltratievoorziening aan het Weeninkpad en retentievijver Berkhof minimaal.

*Grondwater overlast*

De bouwactiviteiten (zowel in de uitvoering als in de definitieve situatie) mogen geen negatieve invloed hebben op het in de omgeving aanwezige grondwaterregime. Afhankelijk van de bodemsamenstelling en het grondwaterniveau kan het nodig zijn een drainagesysteem toe te passen. Dit systeem moet op het hemelwatersysteem worden aangesloten.

## 4.6 Economische uitvoerbaarheid

Bij de voorbereiding van bestemmingsplan dient, op grond van artikel 3.1.6 lid 1, sub f van het Bro, onderzoek plaats te vinden naar de (economische) uitvoerbaarheid van het plan. In principe dient bij vaststelling van een ruimtelijk besluit tevens een exploitatieplan vastgesteld te worden om verhaal van plankosten zeker te stellen. Op basis van 'afdeling 6.4 grondexploitatie', artikel 6.12, lid 2 van de Wro kan de gemeenteraad bij het besluit tot vaststelling van het bestemmingsplan echter besluiten geen exploitatieplan vast te stellen indien:

- het verhaal van kosten van de grondexploitatie over de in het plan of besluit begrepen gronden anderszins verzekerd is;
- het bepalen van een tijdvak of fasering als bedoeld in artikel 6.13, eerste lid, onder c, 4°, onderscheidenlijk 5°, niet noodzakelijk is;
- het stellen van eisen, regels, of een uitwerking van regels als bedoeld in artikel 6.13, tweede lid, onderscheidenlijk b, c of d, niet noodzakelijk is.

**Planspecifiek**

Het voorliggende plan heeft voor de gemeente Winterswijk geen financiële consequenties, aangezien de plannen voor rekening en risico van de initiatiefnemer komen. Het vaststellen van een exploitatieplan is niet noodzakelijk. In geval van planschade is een overeenkomst getekend waardoor eventuele planschadekosten op de initiatiefnemer verhaald kunnen worden. Het plan is daarmee economisch uitvoerbaar.

# Hoofdstuk 5 Wijze van bestemmen

## 5.1 Algemeen

Het gemeentelijke bestemmingsplan is een middel waarmee functies aan gronden worden toegekend. Het gaat dus om het toekennen van gebruiksmogelijkheden. Vanuit de Wet ruimtelijke ordening volgt een belangrijk principe: het gaat om toelatingsplanologie. Het wordt de grondgebruiker (eigenaar, huurder etc.) toegestaan om de functie die het bestemmingsplan geeft uit te oefenen. Dit houdt in dat:

1. de grondgebruiker niet kan worden verplicht om een in het bestemmingsplan aan-gewezen bestemming ook daadwerkelijk te realiseren, en
2. de grondgebruiker geen andere functie mag uitoefenen in strijd met de gegeven bestemming (het overgangsrecht is hierbij mede van belang).

Een afgeleide van de gebruiksregels in het bestemmingsplan zijn regels voor bebouwing (omgevingsvergunning voor het bouwen) en regels voor het verrichten van 'werken' (omgevingsvergunning ten behoeve van het uitvoeren van werken, geen bouwwerken zijnde, en werkzaamheden).

Een bestemmingsplan regelt derhalve:

1. het toegestane gebruik van gronden (en de bouwwerken en gebouwen);

en een bestemmingsplan kan daarbij regels geven voor:

2. het bebouwen van de gronden;
3. het verrichten van werken (aanleggen).

Het bestemmingsplan is een belangrijk instrument voor het voeren van ruimtelijk beleid, maar het is zeker niet het enige instrument. Andere ruimtelijke wetten en regels zoals de Woningwet, de Erfgoedwet, de Algemene Plaatselijke Verordening, de Wet milieubeheer en de Bouwverordening zijn ook van toepassing voor het uitoefenen van het ruimtelijke beleid.

Opbouw van de regels

Het bestemmingsplan is conform de daaraan te stellen wettelijke eisen zoals vastgelegd in de Standaard voor Bestemmingsplannen 2012 opgesteld. De regels hebben een vaste opbouw en de hoofdstukken zijn als volgt verdeeld:

*Hoofdstuk 1 Inleidende regels*

In dit hoofdstuk worden begrippen verklaard die in de regels worden gebruikt (artikel 1). Dit gebeurt om een eenduidige uitleg en toepassing van de regels te waarborgen. Ook is bepaald de wijze waarop gemeten moet worden bij het toepassen van de regels (artikel 2).

*Hoofdstuk 2 Bestemmingsregels*

In dit tweede hoofdstuk zijn de bepalingen van de bestemmingen opgenomen. Dit gebeurt in alfabetische volgorde. Per bestemming is het toegestane gebruik geregeld en zijn bouwregels en, eventueel, ook bepalingen met betrekking tot het uitvoeren van werken, geen bouwwerken zijnde, en werkzaamheden opgenomen. Als er dubbelbestemmingen zijn worden die ook in dit hoofdstuk opgenomen. Die komen, ook in alfabetische volgorde, achter de bestemmingsbepalingen.

Ieder artikel kent een vaste opzet. Eerst wordt het toegestane gebruik geformuleerd in de bestemmingsomschrijving. Vervolgens zijn bouwregels opgenomen. Aansluitend volgen afwijkingsbevoegdheden met betrekking tot bouw- en/of gebruiksregels. Ten slotte zijn eventueel bepalingen met betrekking tot het uitvoeren van werken, geen bouwwerken zijnde, en werkzaamheden en/of wijzigingsbevoegdheden opgenomen.

Belangrijk om te vermelden is dat naast de bestemmingsbepalingen ook in andere artikelen relevante informatie staat die mede gelezen en geïnterpreteerd moet worden. Alleen zo is een volledig beeld te verkrijgen van hetgeen is geregeld.

*Hoofdstuk 3 Algemene regels*

In dit hoofdstuk zijn bepalingen opgenomen met een algemeen karakter. Ze gelden dus voor het hele plan. Het zijn achtereenvolgens een antidubbeltelbepaling, algemene gebruiksregels en algemene afwijkings- en wijzigingsregels.

*Hoofdstuk 4 Overgangs- en slotregels*

In het laatste hoofdstuk zijn respectievelijk het overgangsrecht en een slotregel opgenomen. Hoewel het hier in wezen ook algemene regels betreft, zijn deze vanwege hun meer bijzondere karakter in een apart hoofdstuk opgenomen.

## 5.2 Dit bestemmingsplan

De regels in dit bestemmingsplan zijn opgezet aan de hand van hetgeen in de toelichting is beschreven. In deze paragraaf is als bedoeld in artikel 3.1.3. van het Besluit ruimtelijke ordening een beschrijving opgenomen van de bestemmingen die in het bestemmingsplan voorkomen.

Wonen

De voor 'Wonen' aangewezen gronden zijn bestemd voor het wonen in een burgerwoning. Het aantal wooneenheden is vastgelegd middels een aanduiding op de verbeelding. Gebouwen zijn binnen het bouwvlak toegestaan en de maximale goot- en bouwhoogte is met een aanduiding vastgelegd. Uitbreiding van bijgebouwen en overkappingen zijn uitgesloten. Ten aanzien van het parkeren voor deze nieuwe woningen is een parkeernorm opgenomen.

Dubbelbestemming Waarde - Archeologische verwachting 2

De voor 'Waarde - Archeologische verwachting 2' aangewezen gronden zijn, behalve voor de andere daar voorkomende bestemmingen, mede bestemd voor het behoud en de bescherming van te verwachten archeologische waarden in de bodem.

Groen

De voor 'Groen' aangewezen gronden zijn bestemd voor groenvoorzieningen, beplanting, etc. Gebouwen zijn niet toegestaan.

Tuin

De voor 'Tuin' aangewezen gronden zijn bestemd voor tuinen bij woningen. Het betreft een deel van het plangebied dat verkocht zal worden aan bewoners van de Vredensestraat. Zij zullen deze percelen betrekken bij de tuinen van hun bestaande woning. Om die reden is gekozen voor een bebouwingsregeling (onder meer voor bijgebouwen) die aansluit bij de bouwregels voor het voor die woningen geldende bestemmingsplan (het plan 'Kom Winterswijk 2011') waarbij de maximaal toegelaten oppervlakte aan bijbehorende bouwwerken is gerelateerd aan het bijbehorende hoofdgebouw. Dit laatste ongeacht het feit dat de bij dat hoofdgebouw (in dit geval een woning) behorende tuin onder de werking van twee verschillende bestemmingsplannen valt.

Verkeer - Verblijfsgebied

De voor 'Verkeer - Verblijfsgebied' aangewezen gronden zijn onder andere bestemd voor wegen en straten,

parkeerplaatsen, wandel- en fietspaden met een functie voornamelijk gericht op verblijf en bestemmingsverkeer.

# Hoofdstuk 6 Procedure

## 6.1 Algemeen

Conform afdeling 3.4 van de Algemene wet bestuursrecht heeft het ontwerpbestemmingsplan gedurende 6 weken ter inzage. Gelijktijdig lag een ontwerpbesluit hogere grenswaarde op basis van de Wet geluidhinder ter inzage (zie ook bijlage 11 bij deze toelichting). Eenieder kon een zienswijze indienen op het plan en het besluit hogere grenswaarde. Van deze mogelijkheid is door niemand gebruik gemaakt.

## 6.2 Verslag artikel 3.1.1. Bro overleg

Bij de voorbereiding van een bestemmingsplan geldt dat overleg moet worden gevoerd als bedoeld in artikel 3.1.1 van het Besluit ruimtelijke ordening (Bro). Het gaat dan tenminste om de betrokken waterschappen en diensten van provincie en Rijk die betrokken zijn bij de zorg voor de ruimtelijke ordening of belast zijn met de behartiging van belangen welke in het plan in het geding zijn. Voor wat kleinere plannen kan, in overleg, afgezien worden van dit overleg.

Dit bestemmingsplan is vanwege de geringe omvang en de ligging in het bestaand stedelijk gebied niet voorgelegd aan de provincie Gelderland.

Dit bestemmingsplan is in eerste instantie niet voorgelegd aan het waterschap Rijn en IJssel. Uit de watertoets komt naar voren dat het plan een beperkt waterhuishoudkundig belang treft. Er zijn geen aanvullende maatregelen of voorwaarden noodzakelijk. Zie voor een nadere onderbouwing de watertoets in paragraaf 4.5.

## 6.3 Verslag zienswijzen

Het ontwerpbestemmingsplan heeft van woensdag 2 december 2020 tot en met dinsdag 12 januari 2021 (zes weken) ter inzage gelegen. Van deze mogelijkheid is door niemand gebruik gemaakt.

# Bijlagen

# Bijlage 1 Aerius berekening Vredenseweg 4-6

**MEMO**

| | |
|---|---|
| Aan: | ERS architekten bna |
| Datum: | 5/2/2019 |
| Project nr: | 3192.01 |
| Betreft: | Memo effectbeoordeling stikstofdepositie<br>Woningbouw aan de Vredenseweg 4-6 te Winterswijk |
| Bijlage(n) | BIJL 1 – Opgave inzet mobiele werktuigen<br>BIJL 2 – AERIUS-berekening realisatiefase<br>BIJL 3 – AERIUS-berekening gebruiksfase |

## 1. Aanleiding

In opdracht van ERS architekten heeft buro ontwerp & omgeving onderzoek verricht naar de stikstofdepositie op nabijgelegen kwetsbare natuurgebieden ten gevolge van de realisatie van 10 koopwoningen aan de Vredenseweg 4-6 te Winterswijk.

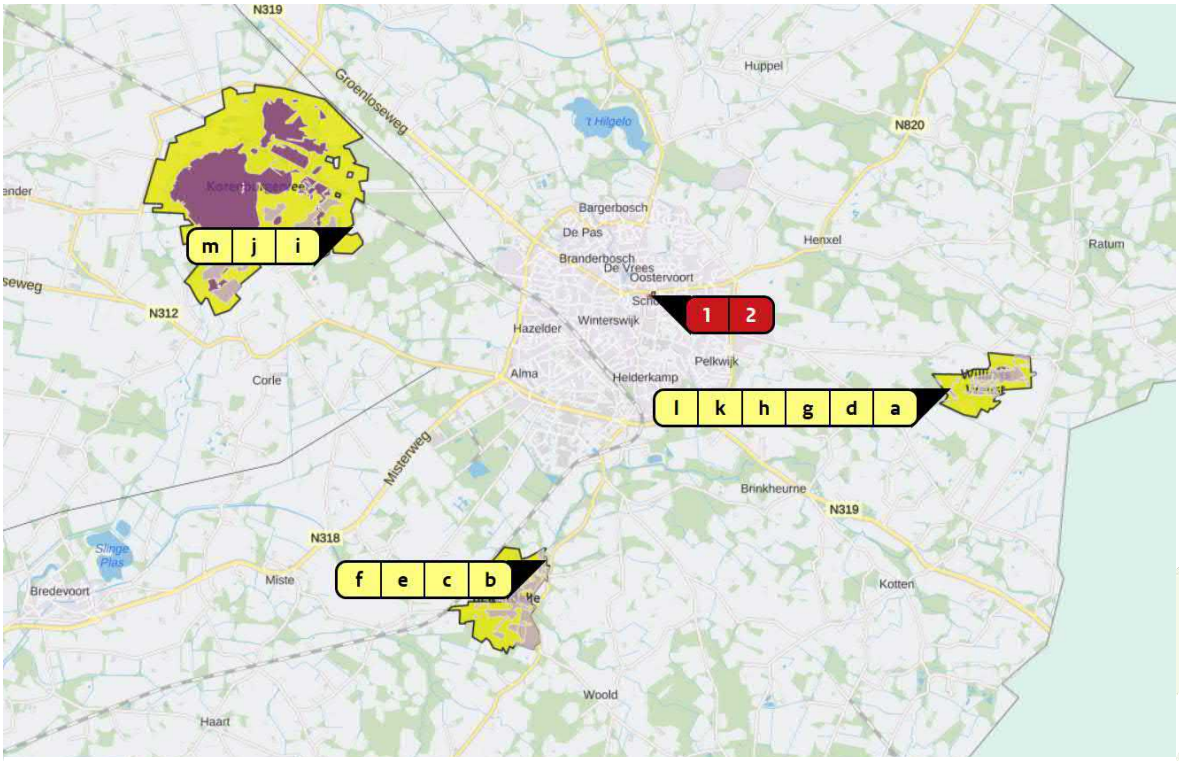



**Figuur 1: Luchtfoto van de het projectgebied.**

Het perceel aan de Vredenseweg betreft een kavel op de voormalige locatie van De Jager wonen. De initiatiefnemer wil ter plaatse 10 woningen bouwen. Op basis van het vigerend bestemmingsplan is de bouw van nieuwe woningen op het terrein (grotendeels) toegestaan. Het perceel is gelegen in de kern van de plaats Winterswijk. In figuur 1 is de globale ligging en begrenzing van het perceel weergegeven.

***Ligging Natura-2000***

Het onderzoeksgebied ligt op een afstand van 3 tot 4 km van stikstofgevoelige habitats in het Natura 2000-gebied Bekendelle, Korenburgerveen en Willinks Weust. Op de navolgende kaart (figuur 2) is de ligging van het projectgebied (rode labels 1 en 2) ten opzichte van de Natura 2000-gebieden weergegeven en zijn de stikstofgevoelige habitats en leefgebieden paars gekleurd, de overige delen van Natura 2000-gebieden zijn geel.




**Figuur 2: Ligging projectgebied t.o.v. de Natura 2000-gebieden Bekendelle (onder), Korenburgerveen (linksboven) en Willinks Weust (rechts).**

***Doel van het onderzoek***

In het kader van de Wet natuurbescherming moet uitgesloten worden dat significante negatieve effecten kunnen optreden in Natura 2000-gebieden. Stikstofdepositie kan verslechterende gevolgen hebben voor stikstofgevoelige habitattypen of leefgebieden waarvoor een Natura 2000-gebied is aangewezen. Deze gevolgen kunnen significant zijn wanneer een plan, project of andere handeling leidt tot een toename van stikstofdepositie op stikstofgevoelige habitattypen of leefgebieden die overbelast zijn.

De effectbeoordeling stikstofdepositie heeft tot doel de $NO_x$-emissies (stikstofoxiden) en $NH_3$-emissies (ammoniak) naar de lucht door het voornemen inzichtelijk te maken en de toename van stikstofdepositie op stikstofgevoelige habitattypen of leefgebieden te berekenen. De effectbeoordeling stikstofdepositie wordt afgesloten met conclusies waarbij duidelijk wordt of in het kader van de Wet natuurbescherming significante effecten uitgesloten kunnen worden, dan wel een nader onderzoek nodig is (passende beoordeling).

***Onderzoeksopzet***

In dit onderzoek is achtereenvolgens onderzocht:

- de $NO_X$- en $NH_3$-emissies gedurende de tijdelijke fase (realisatiefase);
- de $NO_X$- en $NH_3$-emissies gedurende de permanente fase (gebruiksfase);
- de stikstofdepositie als gevolg van de tijdelijke en permanente fase.

# 2. Emissie tijdelijke fase (realisatiefase)

***Mobiele werktuigen***

Tijdens de aanleg- en bouwperiode ontstaan $NO_x$-emissies door de inzet van machinerie (veelal mobiele werktuigen), auto's en vrachtwagens. De inzet van materieel (mobiele werktuigen en vrachtwagenbewegingen) is ingeschat door buro ontwerp & omgeving aan de hand van de werkelijk verwachte inzet voor de bouw van 10 woningen. De opgave is als ***bijlage 1*** bij voorliggend memo gevoegd. Het aantal voertuigbewegingen door auto's en busjes is ingeschat op het totaal aantal bewegingen in de bouwperiode. Voor aanvoer met zwaar vrachtverkeer zijn de totale verkeersbewegingen eveneens in beeld gebracht.

| Overzicht mobiele werktuigen | | | | | | |
|---|---|---|---|---|---|---|
| **Werktuig** | **Draaiuren (uur)** | **Bouwjaar** | **Vermogen (kW)** | **Belasting %** | **Emissiefactor (g/kWh)** | **Emissie NOx (kg)** |
| Mobiele kraan 14T | 50 | 2015 | 95 | 50% | 0,4 | 1,0 |
| Boorstelling 50T | 27 | 2016 | 404 | 60% | 0,4 | 2,6 |
| Betonpomp | 10 | 2014 | 228 | 60% | 0,4 | 0,5 |
| Telescoopkraan 40T | 13 | 2014 | 184 | 50% | 0,4 | 0,5 |
| Mobiele kraan 40T | 30 | 2015 | 184 | 50% | 0,4 | 1,1 |
| Mobiele kraan 33m1 spiering | 27 | 2015 | 87 | 50% | 0,4 | 0,5 |
| | | | | | | |
| | | | | | | |
| Aantal voertuigbewegingen auto's en busjes | | | totaal | | 1080 | |
| Aantal voertuigbewegingen zware vrachtwagens | | | totaal | | 183 | |
| Bouwtijd in dagen | | | | 260 | | |
| | | | | | Totaal NOx | 6,2 |

**Figuur 3: Overzicht verkeersbewegingen en emissie van stikstofoxiden in de realisatiefase.**

De bouwtijd bedraagt 260 dagen. Voor de bepaling van de jaargemiddelde emissie is uitgegaan van 100% van de totale $NO_x$-emissie en 100% van de aantallen motorvoertuigbewegingen. Jaarlijks gaat het om 6,2 kg $NO_x$, 1080 voertuigbewegingen met lichte voertuigen en 183 voertuigbewegingen met zware vrachtwagens.

***Uitgangspunten verkeersafwikkeling***

De gevolgen voor het milieu van het af- en aanrijdend verkeer worden niet meer aan het onderhavige project toegerekend wanneer dit verkeer kan worden geacht te zijn opgenomen in het heersende verkeersbeeld[1]. Volgens de Raad van State is dit het geval op het moment dat het aan- en afrijdende verkeer zich door zijn snelheid en rij- en stopgedrag nog niet dan wel niet meer onderscheidt van het overige verkeer dat zich op de betrokken weg bevindt[2]. Het verkeer rijdt vanuit het projectgebied via de Lijsterbesstraat naar de Vredensestraat. Dit is een doorgaande weg. Hier is het verkeer zeker opgenomen in het heersende verkeersbeeld.

[1] https://www.infomil.nl/vaste-onderdelen/uitgebreid-zoeken/@89887/wanneer_is_het/

[2] uitspraak E03.99.0110 C.G.M. Otten, E. Bouman en Exploitatiemaatschappij Gelredome te Arnhem, Dorpsvereniging Elden, H. van der Wagen-Bötzel en R.M. van der Wagen-Bötzel te Elden - B&W Arnhem

# 3. Emissie permanente fase (gebruiksfase)

***Programma***

Het beoogde programma is als volgt:

- 10 woningen;

De woningen worden gasloos opgeleverd.

***Verkeersaantrekkende werking***

De verkeersgeneratie bepaald met behulp van de publicatie 317 "Kencijfers parkeren en verkeersgeneratie van het CROW, oktober 2012" en "Demografische kerncijfers per gemeente" van het CBS. De verkeersaantrekkelijke werking is afhankelijk van de stedelijkheid van de gemeente, de ligging t.o.v. het centrum en het woningtype. Het CBS typeert de gemeente Winterswijk als een matig stedelijke gemeente[3].

| Grootte en stedelijkheid van gemeenten | | | | |
|---|---|---|---|---|
| Regio's | Gemeentegrootte Code | Omschrijving | Stedelijkheid Code | Omschrijving |
| | code | omschrijving | code | omschrijving |
| Winterswijk | 4 | 20 000 tot 50 000 inwoners | 3 | Matig stedelijk |

Bron: CBS

**Figuur 4: Classificering gemeente Raalte.**

Volgens het CROW kan de ligging van het plangebied getypeerd worden als 'rest bebouwde kom' aangezien de locatie buiten het centrum van Winterswijk ligt, maar wel binnen de bebouwde kom. De verkeersaantrekkende werking voor woningen op een dergelijke locatie is als volgt:

| Overzicht verkeersbewegingen (rest bebouwde kom) | | | | | |
|---|---|---|---|---|---|
| Type | Aantal | norm (min) | Norm (max) | Gemideld | bewegingen per etmaal |
| Koop, tussen/hoek | 10 | 6,7 | 7,5 | 7,1 | 71 |
| | Totaal per etmaal | | | | 71 |
| | Percentage vrachtverkeer per woning | | 0,018 | | |
| | Aantal woningen | 10 | 0,18 | | |
| | Per jaar | 365 dagen | 65,7 | | |

**Figuur 5: Overzicht verkeersbewegingen in de gebruiksfase.**

[3] https://opendata.cbs.nl/statline/#/CBS/nl/dataset/83859NED/table?dl=2944A

De totale verkeersaantrekkende werking van het projectgebied is gemiddeld 71 motorvoertuigbewegingen per etmaal. In de CROW-publicatie is het volgende over vrachtverkeer opgenomen: “het vrachtverkeer naar en van woongebieden is doorgaans verwaarloosbaar, maar is wel in de cijfers verwerkt. Als gemiddelde kan worden gehanteerd: 0,02 vrachtautobewegingen per woning per werkdagetmaal”. Een werkdag kan naar weekdag worden omgerekend door te delen met 1,11. Per weekdagetmaal zijn er dus 0,018 vrachtverkeerbewegingen per woning. Op jaarbasis zijn dit er 66.

***Huishoudens***

Conform de gegevensset ‘kentallen ruimtelijke plannen’ van RIVM/EZ, behorende bij de AERIUS-factsheet ‘Ruimtelijke plannen – emissiefactoren’ is de $NH_3$-emissie van huishoudens voor nieuwbouwwoningen 0 kg/jr. Ook de $NO_x$-emissie is verwaarloosbaar, aangezien de geplande woning gasloos wordt opgeleverd (Emissiefactor = 0 kg/jr).

# 4. AERIUS-berekening

***Uitgangspunten berekeningen***
In lijn met de gewijzigde Regeling natuurbescherming van 24 april 2019 zijn aparte stikstofdepositieberekeningen uitgevoerd voor de tijdelijke en de permanente fase. Met AERIUS Calculator zijn de eerder genoemde emissiebronnen gemodelleerd waarbij wordt opgemerkt dat:

- het wegverkeer is gemodelleerd als lijnbron;
- AERIUS hanteert een minimum van 1,0 voertuig; Als het voertuigaantal per etmaal lager is dan 1,0 is het aantal per jaar weergegeven;
- De emissie door de woningen zijn gemodelleerd als oppervlaktebron;
- De emissie door mobiele werktuigen zijn gemodelleerd als oppervlaktebron.

***Rekenresultaten realisatiefase***
De verspreidingsberekeningen zijn uitgevoerd met AERIUS Calculator 2019A voor het jaar 2020. Dit is het eerste jaar waarin het plan kan worden vastgesteld.

Uit de rekenresultaten blijkt dat op verschillende stikstofgevoelige habitattypes in de Natura 2000-gebied Bekendelle, Korenburgerveen en Willinks Weust geen stikstofdepositie groter dan 0,00 mol/ha/jr plaats vindt. De rekenresultaten voor de realisatiefase zijn als ***bijlage 2*** bij dit memo gevoegd.

***Rekenresultaten gebruiksfase***
De verspreidingsberekeningen zijn uitgevoerd met AERIUS Calculator 2019A voor het rekenjaar 2020, aangezien dit het eerste jaar is wanneer theoretisch de woning bewoond kan zijn.

Uit de rekenresultaten blijkt dat op verschillende stikstofgevoelige habitattypes in de Natura 2000-gebieden Bekendelle, Korenburgerveen en Willinks Weust geen stikstofdepositie groter dan 0,00 mol/ha/jr plaats vindt. De rekenresultaten voor de gebruiksfase zijn als ***bijlage 3*** bij dit memo gevoegd.

***Conclusie***
Uit de uitgevoerde effectbeoordeling stikstofdepositie blijkt dat de voorgenomen bouw en gebruik van 12 woningen aan de Vredenseweg te Winterswijk, zowel in de tijdelijke fase (de bouw van de woningen) als in de permanente fase (bewoning) niet leidt tot een stikstofdepositie groter dan 0,00 mol/ha/jr.

## Bijlagen

Bijlage 1: Opgave inzet mobiele werktuigen
Bijlage 2: AERIUS-berekening realisatiefase
Bijlage 3: AERIUS-berekening gebruiksfase

**Betreft:** Opgave activiteiten die stikstof uitstoten t.g.v. bouwwerkzaamheden
**Project:** 10 woningen
**Opgesteld:** Jur Metselaar
**Datum:** 5 februari 2020

**Inschatting bouwduur:** 260 werkdagen (ca. 52 werkweken) in fasen

*Inzet materieel t.g.v. realisatie 10 woningen.*

| Omschrijving werkzaamheden | Toe te passen materieel (niet-electrisch) | Aantal | Eenheid | Type | Tijdsduur / Eenheid | Totale tijdsduur | Bouwjaar | Vermogen |
|---|---|---|---|---|---|---|---|---|
| | | | | | | | | |
| | **Inkoopvoorwaarde vrachtverkeer en graafmachines dient Euro 6 te zijn** | | | | | | | |
| Leveren en ophalen units | Autolaad kraan Euro 6 DAF VM | 2 | ritten | | 2 uur | 4 uur | 2017 | 360 kW |
| Uitgraven bouwput | Mobiele kraan Volvo of Liebherr | 3 | stuks | 14 tons kraan | 1 dag | 20 uur | 2015 | 130 pk |
| aanvullen bouwput | Mobiele kraan Volvo of Liebherr | 3 | stuks | 14 tons kraan | 4 uur | 10 uur | 2015 | 130 pk |
| Leveren en plaatsen bergingen | Autolaad kraan Euro 6 DAF VM | 1 | ritten | | 2 uur | 2 uur | 2017 | 360 kW |
| Aanbrengen palen | Boorstelling | 2 | stuks | 50 tons boorstelling | 2 dagen | 27 uur | 2016 | 550 pk |
| Storten fundering | Betonpomp | 4 | stuks | Mixerpomp | 3 uur | 10 uur | 2014 | 228 kW |
| Leveren vloerelementen | Vrachtwagen DAF XF480 STG | 15 | ritten | | 1 uur | 15 uur | 2014 | 483 pk (355 kW) |
| Plaatsen vloerelementen | Telescoopkraan 40 T | 4 | keer | 40T | 4 uur | 13 uur | 2014 | 184 kW |
| Leveren lijmelementen | Vrachtwagen | 10 | ritten | | 1,5 uur | 15 uur | 2018 | 450 pk |
| Opperen lijmelementen | Mobiele kraan (opperen elementen) | 8 | keer | 40T | 1,5 uur | 10 uur | 2015 | 184 kW |
| Leveren vloerelementen | Vrachtwagen | 15 | ritten | | 1 uur | 15 uur | 2014 | 470 pk |
| Aanbrengen vloerelementen | Mobiele kraan (opperen elementen) | 7 | keer | 33m1 spiering | 4 uur | 27 uur | 2015 | 87 kW |
| Leveren lijmelementen | Vrachtwagen | 5 | ritten | | 1,5 uur | 8 uur | 2018 | 450 pk |
| Opperen lijmelementen | Mobiele kraan (opperen elementen) | 8 | keer | 40T | 1,5 uur | 10 uur | 2015 | 184 kW |
| Leveren en leggen kapelementen | Autolaad kraan Euro 6 Scania R490 | 13 | ritten | | 2 uur | 26 uur | 2017 | 360 kW |
| Leveren, vullen en ophalen silo | Silo wagen | 5 | ritten | | 2 uur | 10 uur | 2016 | 410 kW |
| Levering gevelkozijnen | Licht vrachtverkeer | 5 | ritten | | 1,5 uur | 7,5 uur | 2016 | 150 pk |
| Leveren gevelisolatie | Vrachtwagen | 4 | ritten | | 2 uur | 8 uur | 2016 | 235 kW |
| Leveren gevelstenen | Vrachtwagen | 6 | ritten | | 1,5 uur | 9 uur | 2014 | 290 kW |
| Leveren dakpannen | Vrachtwagen | 4 | ritten | | 2 uur | 8 uur | 2017 | 320 KW |
| Leveren steiger en bouwliften | Bakwagen met aanhanger met korte kraan Euro 6 Scania G450 | 3 | ritten | | 4 uur | 12 uur | 2015 | 331 kW |
| Ophalen steiger en bouwliften | Bakwagen met aanhanger met korte kraan | 3 | ritten | | 4 uur | 12 uur | 2015 | 331 kW |
| kraanwerkzaamheden | Mobiele kraan (opperen elementen) | 8 | keer | 40T | 1,5 uur | 10 uur | 2015 | 184 kW |
| Aanvullen tuinen | Mobiele kraan | 1 | stuks | 14 tons kraan | 2,5 dagen | 20 uur | 2015 | 130 pk |

AERIUS CALCULATOR

*Dit document bevat rekenresultaten van AERIUS Calculator. Het betreft de hoogst berekende stikstofbijdragen per stikstofgevoelig Natura 2000-gebied, op basis van rekenpunten die overlappen met habitattypen en/of leefgebieden die aangewezen zijn in het kader van de Wet natuurbescherming, gekoppeld aan een aangewezen soort, of nog onbekend maar mogelijk wel relevant.*

*De berekening op basis van stikstofemissies gaat uit van de componenten ammoniak (NH3) en/of stikstofoxide (NOx).*

*Wilt u verder rekenen of gegevens wijzigen? Importeer de pdf dan in Calculator. Voor meer toelichting verwijzen wij u naar de website www.aerius.nl.*


Berekening Situatie 1

- Kenmerken
- Samenvatting emissies
- Depositieresultaten
- Gedetailleerde emissiegegevens


Verdere toelichting over deze PDF kunt u vinden in een bijbehorende leeswijzer. Deze leeswijzer en overige documentatie is te raadplegen via: https://www.aerius.nl/handleidingen-en-leeswijzers.

AERIUS CALCULATOR

## Contact

| Rechtspersoon | Inrichtingslocatie |
|---|---|
| J. Metselaar | Vredenseweg 6, 7101 LN Winterswijk |

## Activiteit

| Omschrijving | AERIUS kenmerk |
|---|---|
| 3192.01 | RWhQ5P3mvnGg |

| Datum berekening | Rekenjaar | Rekenconfiguratie |
|---|---|---|
| 05 februari 2020, 19:02 | 2020 | Berekend voor natuurgebieden |

## Totale emissie

| | Situatie 1 |
|---|---|
| NOx | 6,29 kg/j |
| NH3 | < 1 kg/j |

## Resultaten

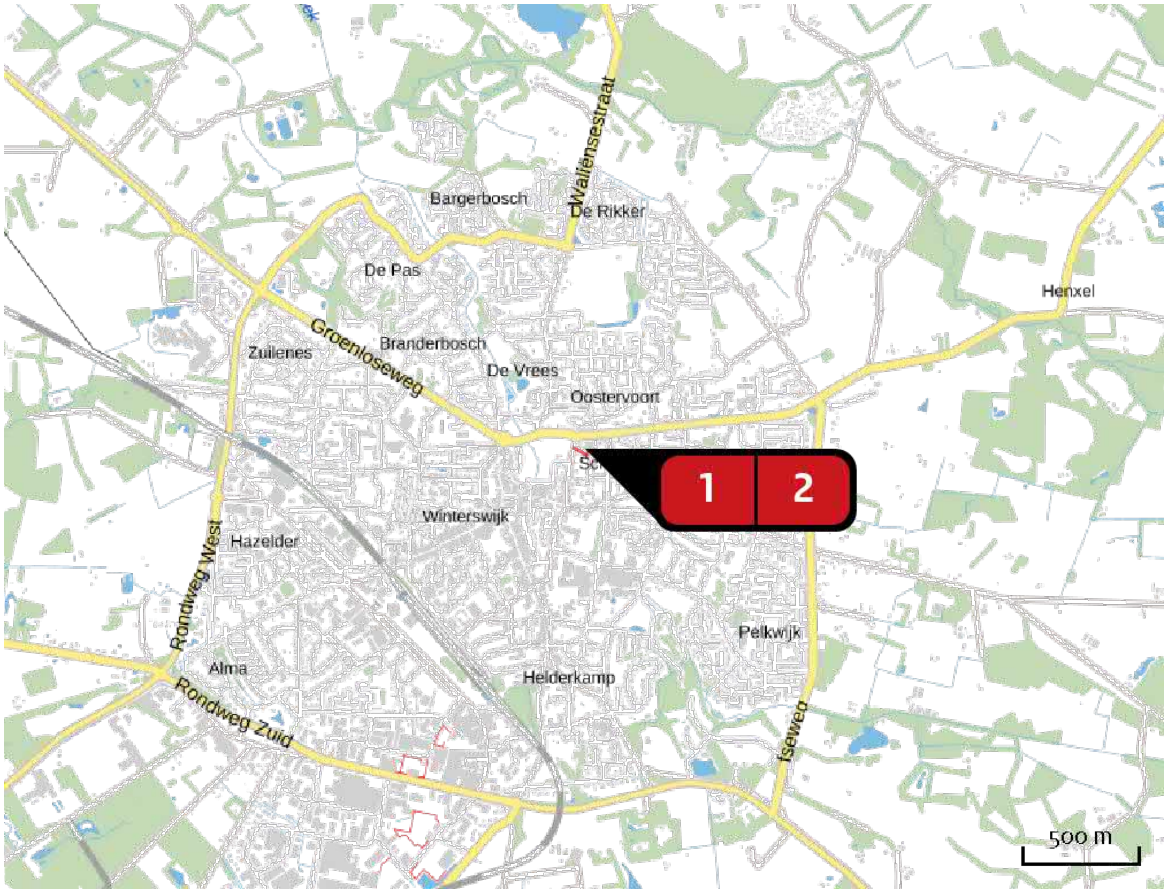
Hectare met hoogste bijdrage (mol/ha/j)

| Natuurgebied |
|---|
| Uw berekening heeft geen depositieresultaten opgeleverd boven 0,00 mol/ha/jr. |

## Toelichting

Realisatie bouw 10 woningen

## Locatie
Situatie 1

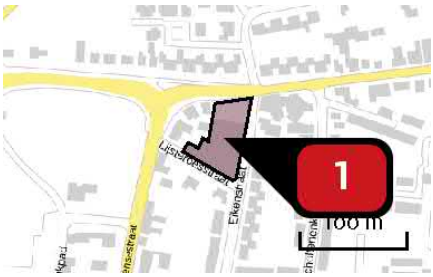



## Emissie
Situatie 1

| Bron<br>Sector | | | Emissie NH3 | Emissie NOx |
|---|---|---|---|---|
| 1 | | Bron 1<br>Mobiele werktuigen \| Bouw en Industrie | - | 6,20 kg/j |
| 2 | | Bron 2<br>Wegverkeer \| Binnen bebouwde kom | < 1 kg/j | < 1 kg/j |

## Emissie (per bron)

Situatie 1




| | |
|---|---|
| Naam | Bron 1 |
| Locatie (X,Y) | 246961, 443720 |
| NOx | 6,20 kg/j |

| Voertuig | Omschrijving | Brandstof verbruik (l/j) | Uitstoot hoogte (m) | Spreiding (m) | Warmte inhoud (MW) | Stof | Emissie |
|---|---|---|---|---|---|---|---|
| AFW | Realisatiefase | | 4,0 | 4,0 | 0,0 | NOx | 6,20 kg/j |




| | |
|---|---|
| Naam | Bron 2 |
| Locatie (X,Y) | 246930, 443697 |
| NOx | < 1 kg/j |
| NH3 | < 1 kg/j |

| Soort | Voertuig | Aantal voertuigen | Stof | Emissie |
|---|---|---|---|---|
| Standaard | Licht verkeer | 1.080,0 / jaar | NOx | < 1 kg/j |
| | | | NH3 | < 1 kg/j |
| Standaard | Zwaar vrachtverkeer | 183,0 / jaar | NOx | < 1 kg/j |
| | | | NH3 | < 1 kg/j |

## Disclaimer

Hoewel verstrekte gegevens kunnen dienen ter onderbouwing van een vergunningaanvraag, kunnen er geen rechten aan worden ontleend. De eigenaar van AERIUS aanvaardt geen aansprakelijkheid voor de inhoud van de door de gebruiker aangeboden informatie. Bovenstaande gegevens zijn enkel bruikbaar tot er een nieuwe versie van AERIUS beschikbaar is. AERIUS is een geregistreerd handelsmerk in Europa. Alle rechten die niet expliciet worden verleend, zijn voorbehouden.

## Rekenbasis

Deze berekening is tot stand gekomen op basis van:

| | |
|---|---|
| AERIUS | versie 2019A_20200113_49aab7f583 |
| Database | versie 49aab7f583 |

Voor meer informatie over de gebruikte methodiek en data zie:
https://www.aerius.nl/nl/factsheets/release/aerius-calculator-2019A

AERIUS CALCULATOR

*Dit document bevat rekenresultaten van AERIUS Calculator. Het betreft de hoogst berekende stikstofbijdragen per stikstofgevoelig Natura 2000-gebied, op basis van rekenpunten die overlappen met habitattypen en/of leefgebieden die aangewezen zijn in het kader van de Wet natuurbescherming, gekoppeld aan een aangewezen soort, of nog onbekend maar mogelijk wel relevant.*

*De berekening op basis van stikstofemissies gaat uit van de componenten ammoniak ($NH_3$) en/of stikstofoxide ($NO_x$).*

*Wilt u verder rekenen of gegevens wijzigen? Importeer de pdf dan in Calculator. Voor meer toelichting verwijzen wij u naar de website www.aerius.nl.*


Berekening Situatie 1

- Kenmerken
- Samenvatting emissies
- Depositieresultaten
- Gedetailleerde emissiegegevens


Verdere toelichting over deze PDF kunt u vinden in een bijbehorende leeswijzer. Deze leeswijzer en overige documentatie is te raadplegen via: https://www.aerius.nl/handleidingen-en-leeswijzers.

AERIUS CALCULATOR

## Contact

| Rechtspersoon | Inrichtingslocatie |
|---|---|
| J. Metselaar | Vredenseweg 6, 7101 LN Winterswijk |

## Activiteit

| Omschrijving | AERIUS kenmerk |
|---|---|
| 3192.01 | Rh9sufzB47Cq |

| Datum berekening | Rekenjaar | Rekenconfiguratie |
|---|---|---|
| 05 februari 2020, 18:54 | 2020 | Berekend voor natuurgebieden |

## Totale emissie

| | Situatie 1 |
|---|---|
| NOx | < 1 kg/j |
| NH3 | < 1 kg/j |

## Resultaten

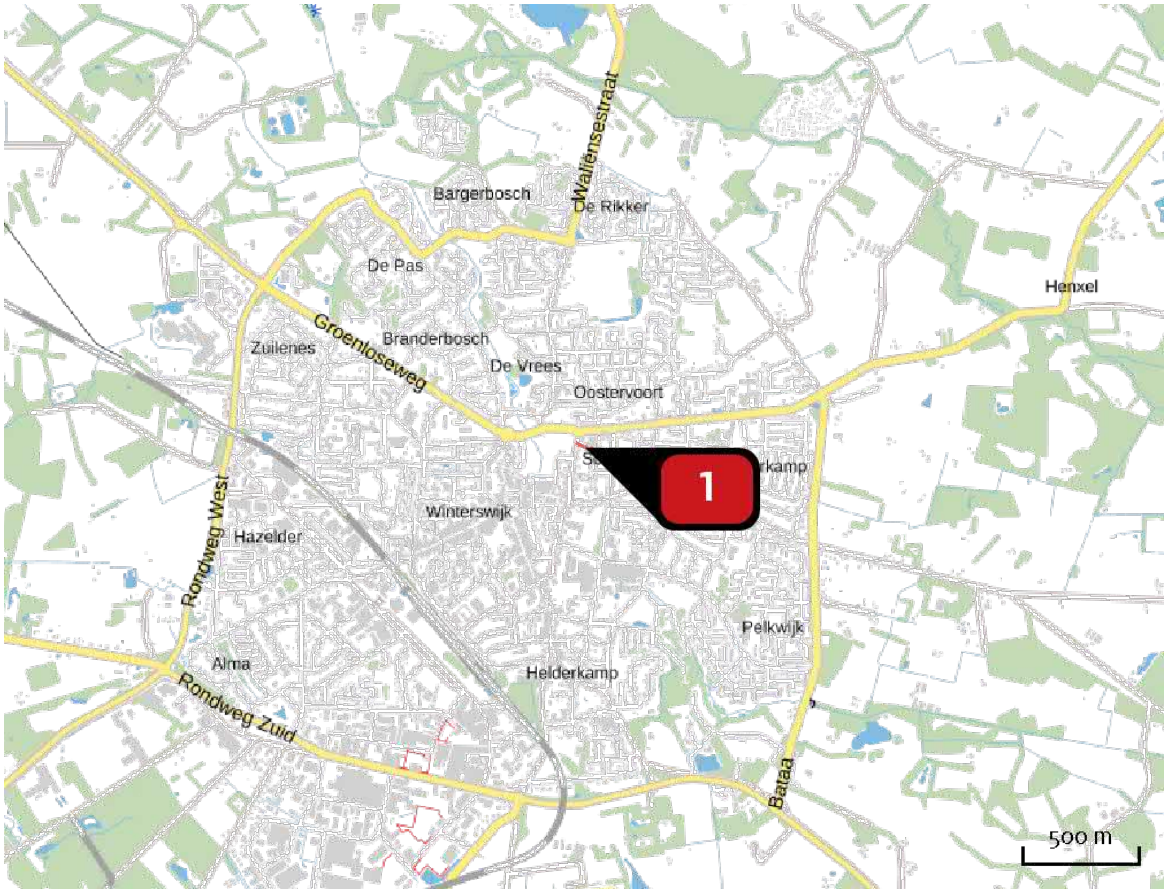
Hectare met hoogste bijdrage (mol/ha/j)

| Natuurgebied |
|---|
| Uw berekening heeft geen depositieresultaten opgeleverd boven 0,00 mol/ha/jr. |

## Toelichting

Gebruiksfase 10 woningen

## Locatie
Situatie 1




## Emissie
Situatie 1

| Bron<br>Sector | | | Emissie NH3 | Emissie NOx |
|---|---|---|---|---|
| 1 | | Gebruiksfase<br>Wegverkeer \| Binnen bebouwde kom | < 1 kg/j | < 1 kg/j |

## Emissie (per bron)

Situatie 1




| | |
|---|---|
| Naam | Gebruiksfase |
| Locatie (X,Y) | 246933, 443694 |
| NOx | < 1 kg/j |
| NH3 | < 1 kg/j |

| Soort | Voertuig | Aantal voertuigen | Stof | Emissie |
|---|---|---|---|---|
| Standaard | Licht verkeer | 71,0 / etmaal | NOx | < 1 kg/j |
| | | | NH3 | < 1 kg/j |
| Standaard | Zwaar vrachtverkeer | 65,7 / jaar | NOx | < 1 kg/j |
| | | | NH3 | < 1 kg/j |

## Disclaimer

Hoewel verstrekte gegevens kunnen dienen ter onderbouwing van een vergunningaanvraag, kunnen er geen rechten aan worden ontleend. De eigenaar van AERIUS aanvaardt geen aansprakelijkheid voor de inhoud van de door de gebruiker aangeboden informatie. Bovenstaande gegevens zijn enkel bruikbaar tot er een nieuwe versie van AERIUS beschikbaar is. AERIUS is een geregistreerd handelsmerk in Europa. Alle rechten die niet expliciet worden verleend, zijn voorbehouden.

## Rekenbasis

Deze berekening is tot stand gekomen op basis van:

| | |
|---|---|
| AERIUS | versie 2019A_20200113_49aab7f583 |
| Database | versie 49aab7f583 |

Voor meer informatie over de gebruikte methodiek en data zie:

https://www.aerius.nl/nl/factsheets/release/aerius-calculator-2019A

# Bijlage 2 Akoestisch onderzoek Vredenseweg 4-6

# Akoestisch onderzoek wegverkeerslawaai

De Jager, Winterswijk

**Gemeente Winterswijk**

Projectnummer: 3193.01
Datum: 25 maart 2020

# Akoestisch onderzoek wegverkeerslawaai

De Jager, Winterswijk

## Gemeente Winterswijk

| | |
|---|---|
| **Opdrachtgever:** | **Gemeente Winterswijk** |
| Projectnummer: | 3193.01 |
| Datum: | 25 maart 2020 |
| Projectleider: | Dhr. J. van der Burg |


**Opdrachtnemer:** **Buro Ontwerp & Omgeving**

Velperweg 157
6824 MB Arnhem
Postbus 2033
6802 CA Arnhem

info@ontwerpenomgeving.nl
www.ontwerpenomgeving.nl

## INHOUD

Pagina


1 INLEIDING ..... 2
1.1 Aanleiding ..... 2
1.2 Doel van het onderzoek ..... 2

2 WETTELIJK KADER ..... 3
2.1 Wet geluidhinder (Wgh) ..... 3
2.2 Gemeentelijk geluidbeleid ..... 4
2.3 Bouwbesluit 2012 ..... 4
2.4 Zones ..... 5
2.5 Rekenmethodiek ..... 6

3 UITGANGSPUNTEN ..... 7
3.1 Selectie van geluidsbronnen ..... 7

4 RESULTATEN ..... 8
4.1 Onderzoeksopzet ..... 8
4.2 Uitgangspunten en verkeersgegevens ..... 8
4.3 Resultaten ..... 10
4.4 Onderzoeken naar geluidsreducerende maatregelen ..... 12
4.5 Cumulatieve geluidsbelastingen ..... 14

5 CONCLUSIE EN SAMENVATTING ..... 16
5.1 Conclusie ..... 16
5.2 Samenvatting ..... 17


## BIJLAGEN


1 Overzichtstekening 1: Ligging van de waarneempunten
2 Geluidsbelastingen voor de woningen, in tabelvorm
3 Overzichtstekening 2: Grafische weergave van het model
4 Grafische weergave van het model

# 1 INLEIDING

## 1.1 Aanleiding

Op het perceel Vredenseweg 4-6 in Winterswijk was een woonspeciaalzaak gevestigd. Deze woonspeciaalzaak is verhuisd naar een nieuwe locatie.
Op de locatie aan de Vredenseweg is een woningbouwplan met 10 woningen voorzien. In de onderstaande figuur is de ligging van de nieuwe woningen weergegeven.




*Ligging van de nieuwe woningen*

## 1.2 Doel van het onderzoek

De nieuwe woningen kunnen op basis van het huidige bestemmingsplan niet worden gerealiseerd. Om de ontwikkeling mogelijk te maken, wordt een nieuw bestemmingsplan opgesteld.
In het kader van het nieuwe bestemmingsplan moet akoestisch onderzoek de akoestische haalbaarheid van de woningen aantonen ten opzichte van de omliggende geluidsbronnen (wegen, spoorwegen en gezoneerde industrieterreinen). Dit onderzoek heeft tot doel inzicht te geven in het akoestisch klimaat van de nieuwe geluidsgevoelige bestemmingen ten gevolge van wegverkeerslawaai.

# 2 WETTELIJK KADER

In het akoestisch onderzoek wordt getoetst op basis van verschillende toetsingskaders, te weten:

- Wet geluidhinder (Wgh)
- Gemeentelijk geluidbeleid
- Bouwbesluit 2012

De Wet geluidhinder (Wgh) en het Bouwbesluit 2012 zijn landelijke wetgeving. Gemeentelijk geluidbeleid is beleid dat gemeenten kunnen opstellen voor het vaststellen van hogere grenswaarden.
In onderstaande paragrafen staat een beknopte samenvatting weergegeven van de drie toetsingskaders.

## 2.1 Wet geluidhinder (Wgh)

De Wet geluidhinder (Wgh) heeft als doel het beschermen van de mens tegen geluidhinder. In de Wgh worden twee soorten grenswaarden genoemd:

- Voorkeursgrenswaarde[1]: Deze waarde garandeert een goed woon- en leefklimaat. Voor woningen waarbij de voorkeursgrenswaarde niet wordt overschreden zijn op basis van de Wgh geen aanvullende maatregelen noodzakelijk, zoals de verlening van hogere grenswaarden.
- Hoogste toelaatbare geluidsbelasting: Deze waarde geeft de hoogste gevelbelasting weer waarvoor op basis van de Wgh een hogere waarde kan worden vastgesteld.

De hoogte van de grenswaarden varieert, afhankelijk van het type geluidsbron, de ligging van de geluidsgevoelige bestemming (binnen of buiten de bebouwde kom) en het soort geluidsgevoelige bestemming. In onderstaande tabel staan de voorkeursgrenswaarde en de hoogste toelaatbare geluidsbelasting voor de nieuwe woningen in de ontwikkeling weergegeven. De nieuwe woningen liggen in stedelijk gebied (bebouwde kom van Winterswijk).

*Tabel 1 Overzicht van de normen uit de Wgh*

| Overzicht van de normen uit de Wgh | | | |
|---|---|---|---|
| | **Wegverkeer** | **Railverkeer** | **Industrie** |
| Voorkeursgrenswaarde | 48 dB (art. 82 Wgh) | 55 dB (art. 4.9 lid 1 Bgh) | 50 dB(A) (art. 44 Wgh) |
| Hoogste toelaatbare geluidsbelasting | 63 dB (art. 83 lid 2 Wgh) | 68 dB (art. 4.10 Bgh) | 55 dB(A) (art. 59 lid 1 Wgh) |

[1] Formele term in de Wgh: ten hoogst toelaatbare geluidsbelasting

## 2.2 Gemeentelijk geluidbeleid

Eventuele verlening van hogere grenswaarden bij de realisatie van nieuwe woningen vindt plaats door de gemeente. Door middel van gemeentelijk geluidbeleid kan de gemeente aanvullende eisen vastleggen voor de verlening van hogere grenswaarden.

De gemeente Winterswijk heeft voor de verlening van hogere grenswaarden geluidbeleid vastgesteld[2]. Dit beleid hanteert de gemeente voor de vaststelling van hogere waarden. Dit beleid stelt ten opzichte van de Wgh aanvullende eisen aan het bouwplan, zodat een goed woonleefklimaat wordt gegarandeerd.

## 2.3 Bouwbesluit 2012

Bij een overschrijding van de voorkeursgrenswaarde uit de Wgh dreigt ook een overschrijding van de binnenwaarde uit het Bouwbesluit 2012. Bij verlening van een omgevingsvergunning voor bouwen (voorheen: bouwvergunning) wordt de binnenwaarde getoetst aan het Bouwbesluit 2012. Bij weg- en railverkeerslawaai mag de binnenwaarde 33 dB bedragen. Bij industrielawaai bedraagt de binnenwaarde 35 dB(A). Wanneer de nieuwe woningen worden gerealiseerd nabij diverse geluidsbronnen, dient de geluidsbelasting van de verschillende geluidsbronnen bij elkaar te worden opgeteld (gecumuleerd). Bij de bepaling van de cumulatieve geluidsbelasting mag geen gebruik worden gemaakt van de aftrek op grond van artikel 110g van de Wgh (aftrek van 2 of 5 dB).
Bij woningen waarvoor hogere waarden in het kader van de Wet geluidhinder zijn toegestaan, is aanvullend bouwakoestisch onderzoek noodzakelijk voor de bepaling van eventueel noodzakelijke gevelisolatie, zodat de binnenwaarde uit het Bouwbesluit 2012 wordt behaald.
Wegen met een 30 km-regime hebben op basis van de Wgh geen onderzoeksplicht. Voor deze wegen kunnen op basis van de Wgh ook geen hogere waarden worden verleend. Doordat er geen hogere waarde wordt vastgesteld is een formele toetsing aan de binnenwaarde uit het Bouwbesluit 2012 niet noodzakelijk. Echter om een goed woon- en leefklimaat bij nieuwe woningen te garanderen is een toetsing aan de binnenwaarde uit Bouwbesluit 2012 ook bij 30 km-wegen wenselijk.

2 Evaluatie en herziening geluidbeleid gemeente Winterswijk 2016, versie 1.2, d.d 19 januari 2016

## 2.4 Zones

Langs wegen en spoorlijnen en rondom gezoneerde industrieterreinen liggen zogenoemde zones. Wanneer een nieuwe woning wordt gerealiseerd in de zone, is akoestisch onderzoek noodzakelijk.

### 2.4.1 Wegverkeer

De zone van een weg bevindt zich aan beide zijden van de weg en is afhankelijk van het aantal rijbanen en de ligging van de weg. Er wordt gemeten vanuit de rand van de weg. De grootte van de zones staat beschreven in artikel 74 van de Wgh. In onderstaande tabel staan de zones weergegeven:

*Tabel 2 Zones langs wegen*

| Zones langs wegen | | |
|---|---|---|
| **Aantal rijstroken** | **Stedelijk gebied** | **Buitenstedelijk gebied** |
| 1 en 2 | 200 meter | 250 meter |
| 3 en 4 | 350 meter | 400 meter |
| 5 en meer | 350 meter | 600 meter |

Uit artikel 74 lid 2 van de Wgh blijkt dat 30 km-wegen en woonerven geen zone kennen. Daarom hoeven ze niet te worden onderzocht op basis van de Wgh. Echter ten behoeve van een goede ruimtelijke ordening wordt voor drukkere 30 km-wegen wel akoestisch onderzoek uitgevoerd.

### 2.4.2 Railverkeer

Langs landelijke spoorwegen liggen referentiepunten, waarvoor is vastgelegd hoeveel geluid de spoorlijn mag produceren, zogenaamde geluidsproductieplafonds (GPP's). De hoogte van de geluidsproductieplafonds is vastgelegd in het geluidsregister. De grootte van de zone van een spoorweg is afhankelijk van het geluidsproductieplafond en is vastgelegd in artikel 1.4a uit het Besluit geluidhinder (Bgh). De zone van een spoorweg ligt aan beide zijden van de spoorweg en wordt gemeten van de buitenste spoorstaaf. In de onderstaande tabel staan de zones van spoorwegen weergegeven.
De wettelijke zone van een spoorweg is afhankelijk van de toegestane geluidsbelasting op het referentiepunt uit het geluidregister.
De zones van spoorlijnen zijn weergegeven in onderstaande tabel:

*Tabel 3 Zones langs wegen*

| Zones langs spoorwegen | |
|---|---|
| **Geluidsproductieplafond** | **Zone** |
| Kleiner dan 56 dB | 100 meter |
| Tussen de 56 en 61 dB | 200 meter |
| Tussen de 61 en 66 dB | 300 meter |
| Tussen 66 en 71 dB | 600 meter |
| Tussen 71 en 74 dB | 900 meter |
| Groter dan 74 dB | 1.200 meter |

### 2.4.3 Industrielawaai

Rondom een bedrijventerrein waar 'grote' lawaaimakers zijn toegestaan, ligt een geluidszone. De grootte van de geluidszone is vastgelegd in het zonebeheersplan van het gezoneerde bedrijventerrein en in het bestemmingsplan rondom het gezoneerde bedrijventerrein.

## 2.5 Rekenmethodiek

Met behulp van het 'Reken- en meetvoorschrift geluid 2012' (RMG 2012) zijn de geluidsbelastingen berekend voor weg- en railverkeer en de cumulatieve geluidsbelastingen.
De geluidsbelasting voor weg- en railverkeer is berekend met Standaardrekenmethode 2, met behulp van het computerprogramma GeoMilieu, versie 5.21.

De cumulatieve geluidsbelasting is berekend op basis van Bijlage I, hoofdstuk 2: 'Rekenmethode cumulatieve geluidsbelasting' uit het RMG 2012. Hierbij wordt de gezamenlijke geluidsbelasting van de relevante geluidsbronnen (wegen, spoorwegen en industrielawaai) bepaald.

# 3 UITGANGSPUNTEN

De nieuwe woningen komen te staan nabij diverse geluidsbronnen. Aan de hand van de zones rondom de diverse wegen, spoorwegen en gezoneerde bedrijventerreinen kan worden bepaald voor welke geluidsbronnen akoestisch onderzoek moet worden uitgevoerd.

## 3.1 Selectie van geluidsbronnen

In de omgeving van de nieuwe woningen liggen geen gezoneerde bedrijventerreinen. Het plangebied ligt dan ook niet in de zones van een gezoneerd bedrijventerrein. Akoestisch onderzoek in verband met gezoneerd bedrijventerrein is dan ook niet nodig.

De ontwikkeling ligt aan de Singelweg, welke overgaat in de Vredenseweg, en nabij aan de Vredensestraat. De ontwikkeling ligt dan ook in de zone van 200 meter van de Singelweg en de Vredensestraat.

Tevens ligt de ontwikkeling aan de Lijsterbesstraat en de Eikenstraat. Deze twee woonstraten hebben een 30 km/uur-regime. Formeel geldt voor deze weg volgens de Wgh geen onderzoeksplicht, omdat de maximaal toegestane snelheid 30 km/uur bedraagt.
Deze woonstraten hebben een lage verkeersintensiteit. Gezien de lage verkeersintensiteiten is het te verwachten dat de er geen overschrijding van de voorkeursgrenswaarde van 48 dB is.
Voor de omliggende woonstraten is dan ook geen akoestisch onderzoek noodzakelijk.

Akoestisch onderzoek is noodzakelijk naar de geluidhinder afkomstig van de Singelweg en de Vredensestraat.

# 4 RESULTATEN

## 4.1 Onderzoeksopzet

Voor de nieuwe woningen zijn de geluidsbelastingen afkomstig van de omliggende wegen berekend. De geluidsbelastingen zijn getoetst aan de normen uit de Wgh.

## 4.2 Uitgangspunten en verkeersgegevens

### 4.2.1 Waarneemhoogte

De 4 starters woningen worden maximaal 10 meter hoog. De 6 generatie woningen worden maximaal 7 meter hoog. In onderstaande tabel worden vloerhoogten en waarneemhoogten weergegeven.

*Tabel 4 Overzicht van de waarneemhoogten*

| Overzicht van de waarneemhoogten | | |
|---|---|---|
| | Vloerhoogte in meters | Waarneemhoogte in meters |
| Starterswoningen | | |
| Begane grond | 0,0 | 1,5 |
| Eerste verdieping | 3,0 | 4,5 |
| Tweede verdieping | 6,0 | 7,5 |
| Maximale bouwhoogte | 10,0 | -- |
| Generatiewoningen | | |
| Begane grond | 0,0 | 1,5 |
| Eerste verdieping | 3,0 | 4,5 |
| Maximale bouwhoogte | 7,0 | -- |

### 4.2.2 Harde en zachte bodem

In het rekenmodel is als standaard bodemfactor gerekend met een harde bodem (Bf=0). De zachte bodemgebieden zoals tuinen en groen zijn gemodelleerd. Bij tuinen is een bodemfactor (Bf) van 0,5 (half hard en half zacht) aangehouden. Bij de plantsoenen, weilanden en groene bermen is een bodemfactor (Bf) van 0,8 aangehouden.

### 4.2.3 Verkeersgegevens

De verkeersintensiteiten zijn afkomstig uit verkeerstellingen die zijn uitgevoerd voor de gemeente Winterswijk in 2016 en 2018. De verkeersintensiteit voor het maatgevende jaar 2030 is berekend met een autonome groei van 1,5 % per jaar.

In onderstaande tabel zijn de etmaalintensiteiten voor het maatgevende jaar 2030 weergegeven.

*Tabel 5 Overzicht van de verkeersintensiteiten*

| Overzicht van de verkeersintensiteiten | | | |
|---|---|---|---|
| | 2016 (teljaar) | 2018 (teljaar) | 2030 (maatgevende jaar) |
| Singelweg, overgaand in de Vredenseweg | -- | 7.335 | 8.770 |
| Vredensestraat | 8.969 | -- | 11.048 |
| Singelweg, tussen de Vredensestraat en de Wallensestraat | -- | 11.907 | 14.236 |

In onderstaande tabel zijn de periode- en voertuigverdelingen weergegeven.

*Tabel 6 Overzicht van de periode- en voertuigverdeling*

| Periode- en voertuigverdelingen | | | | | | | | | | | | |
|---|---|---|---|---|---|---|---|---|---|---|---|---|
| | Dagperiode (07:00 t/m 19:00) | | | | Avondperiode (19:00 t/m 23:00) | | | | Nachtperiode (23:00 t/m 07:00) | | | |
| Singelweg, overgaand in de Vredenseweg | 6,63 | 96,8 | 2,4 | 0,8 | 3,81 | 98,7 | 1,0 | 0,3 | 0,64 | 96,8 | 2,9 | 0,3 |
| Vredensestraat | 6,74 | 95,6 | 3,2 | 1,2 | 3,67 | 98,2 | 1,3 | 0,5 | 0,56 | 96,6 | 2,7 | 0,7 |
| Singelweg, tussen de Vredensestraat en de Wallensestraat | 6,66 | 97,4 | 1,7 | 0,9 | 3,72 | 99,0 | 0,6 | 0,4 | 0,65 | 97,5 | 1,5 | 1,0 |

De wegen zijn voorzien van steenmastiek (SMA 0/11). Dit wegdek is akoestisch gelijkwaardig aan het referentiewegdek.
De overige uitgangspunten, zoals snelheid, verkeersdrempels, wegdek en toegepaste aftrek op grond van artikel 110g Wgh, van de onderzochte wegen zijn weergegeven in onderstaande tabel.

*Tabel 7 Overzicht van de overige uitgangspunten*

| Overzicht van de overige uitgangspunten | | | | |
|---|---|---|---|---|
| | Wegdek | Verkeers-drempels | Maximum snelheid in km/u | Aftrek op grond van artikel 110g Wgh in dB |
| Singelweg, overgaand in de Vredenseweg | referentiewegdek | Nee | 50 | 5 |
| Vredensestraat | referentiewegdek | Nee | 50 | 5 |
| Singelweg, tussen de Vredensestraat en de Wallensestraat | referentiewegdek | Ja | 50 | 5 |

## 4.3 Resultaten

De geluidsbelastingen afkomstig van de onderzochte wegen zijn bepaald met behulp van standaardrekenmethode 2-berekening. De gebruikte rekenmethode voor wegverkeer is beschreven in het RMG 2012, bijlage III, behorend bij hoofdstuk 3: Weg.

Alle berekende geluidsbelastingen zijn weergegeven in bijlage 2 in tabelvorm. In de overzichtstekening 1, bijlage 1, staan de nummering van de waarneempunten en bouwvlakken die is gebruikt in het model.

De grafische weergave van het model Wegverkeer is weergegeven in overzichtstekening 3, bijlage 5. In deze tekening is onder meer de ligging van de verschillende waarneempunten te zien. In bijlage 6 zijn de invoergegevens van het model Wegverkeer weergegeven. Mocht het bevoegd gezag voor de beoordeling van het akoestisch onderzoek het rekenmodel digitaal willen ontvangen, dan kan hiervoor contact worden opgenomen met de projectleider.

### 4.3.1 Singelweg, overgaand in de Vredenseweg

Ten noorden van de ontwikkeling ligt de Singelweg. Ten oosten van de Eikenstraat heet deze weg de Vredenseweg. Aangezien het fysiek één doorgaande weg is, is deze weg in het akoestisch onderzoek als één weg beoordeeld.
De hoogste geluidsbelastingen afkomstig van de Singelweg, overgaand in de Vredenseweg, staan in de onderstaande tabel:

*Tabel 8 Geluidsbelastingen afkomstig van de Singelweg, overgaand in de Vredenseweg*

| Geluidsbelastingen afkomstig van de Singelweg, overgaand in de Vredenseweg | |
|---|---|
| | Hoogste geluidsbelastingen in dB (incl. aftrek op grond van artikel 110g Wgh) |
| G1 | 49 |
| G2 | 47 |
| G3 | 45 |
| G4 | 39 |
| G5 | 40 |
| G6 | 42 |
| S1 | 61 |
| S2 | 60 |
| S3 | 60 |
| S4 | 59 |
| Toetsingskader | |
| Voorkeursgrenswaarde uit de Wgh | 48 |
| Hoogste toelaatbare geluidsbelasting uit de Wgh | 63 |

***Conclusie***
De hoogste geluidsbelasting afkomstig van de Singelweg, overgaand in de Vredenseweg bedraagt 61 dB, inclusief aftrek op grond van artikel 110g Wgh, bij de nieuwe woningen.
Bij vijf van de nieuwe woningen wordt de voorkeursgrenswaarde van 48 dB uit de Wgh overschreden, echter de hoogst toelaatbare geluidsbelasting van 63 dB wordt bij geen van de woningen overschreden.

### 4.3.2 Vredensestraat

De Vredensestraat gaat over in de Singelweg (tussen de Vredensestraat en de Wallensestraat). Aangezien het fysiek één doorgaande weg is, is deze weg in het akoestisch onderzoek als één weg beoordeeld.
De hoogste geluidsbelastingen afkomstig van de Vredensestraat staan in de onderstaande tabel.

*Tabel 9 Geluidsbelastingen afkomstig van de Vredensestraat*

| Geluidsbelastingen afkomstig van de Vredensestraat | |
|---|---|
| | Hoogste geluidsbelastingen in dB (incl. aftrek op grond van artikel 110g Wgh) |
| G1 | 43 |
| G2 | 41 |
| G3 | 41 |
| G4 | 41 |
| G5 | 43 |
| G6 | 45 |
| S1 | 47 |
| S2 | 43 |
| S3 | 39 |
| S4 | 39 |
| Toetsingskader | |
| Voorkeursgrenswaarde uit de Wgh | 48 |
| Hoogste toelaatbare geluidsbelasting uit de Wgh | 63 |

***Conclusie***
De hoogste geluidsbelasting afkomstig van de Vredensestraat bedraagt 47 dB, inclusief aftrek op grond van artikel 110g Wgh, bij de nieuwe woningen. Bij de nieuwe woningen wordt voldaan aan de voorkeursgrenswaarde van 48 dB uit de Wgh.

## 4.4 Onderzoeken naar geluidsreducerende maatregelen

Het doel van de Wgh is om geluidhinder te voorkomen en te beperken. Een geluidsbelasting tot en met de voorkeursgrenswaarde garandeert een goed woon-/leefklimaat op basis van de Wgh.
De Singelweg, overgaand in de Vredenseweg, zorgt voor een overschrijding van de voorkeursgrenswaarde, daarom is onderzoek noodzakelijk naar doeltreffende geluidsreducerende maatregelen. Wanneer de geluidsbelasting niet terug te brengen is tot de voorkeursgrenswaarde, dan kan een hogere waarde ten gevolge van Singelweg, overgaand in de Vredenseweg, worden verleend door de gemeente.
De ontwikkeling bestaat uit de ontwikkeling van 10 woningen hierdoor heeft de ontwikkeling beperkte omvang. Door deze beperkte omvang is de financiële ruimte om geluidsreducerende maatregelen te nemen in het bron- en overdrachtsgebied beperkt.
Bij het treffen van maatregelen geldt een voorkeursvolgorde: bron, overdracht en ontvanger.

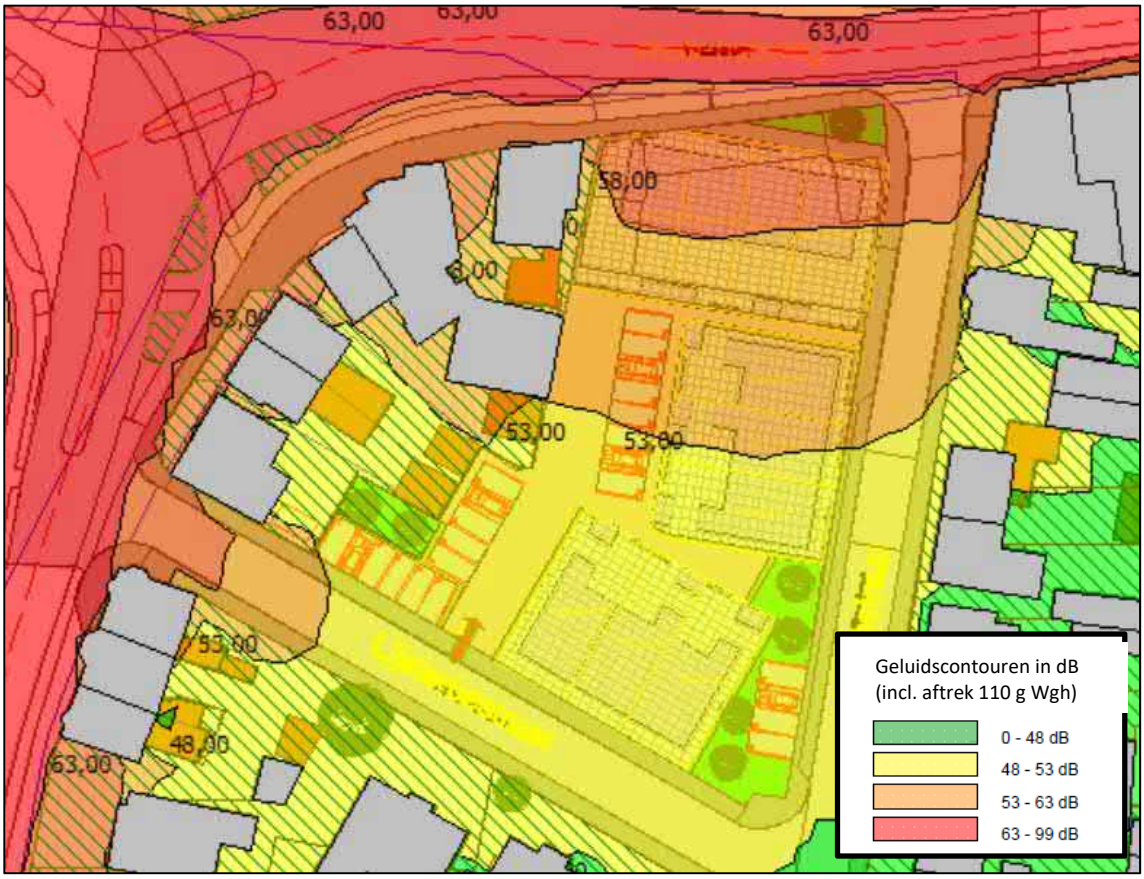
### 4.4.1 Bronmaatregelen

Ten opzichte van het bestaande referentiewegdek is een geluidsreductie van 2,3 dB haalbaar door het toepassen van een dunne deklaag type A op de Singelweg. Door het toepassen van dit wegdek wordt de voorkeursgrenswaarde van 48 dB nog steeds overschreden op de nieuwe woningen door de Singelweg. De hoogste geluidsbelasting bedraagt 58 dB door het toepassen van een dunne deklaag type A.
Het vervangen van het huidige referentiewegdek op de Singelwegdek door een stiller wegdek is financieel niet rendabel aangezien er slechts één woning wordt gerealiseerd.

### 4.4.2 Overdrachtsmaatregelen

Het plaatsen van een effectief geluidsscherm langs de Singelweg is niet gewenst vanuit stedenbouwkundig en landschappelijk oogpunt.
Tevens zullen de kosten voor het plaatsen van een scherm dusdanig hoog zijn dat dit vanuit financieel oogpunt niet rendabel is voor het plan. Het aanleggen van een geluidswal is niet gewenst gezien het ruimtebeslag hiervan.

Het vergroten van de afstand tussen de Singelweg en de nieuwe woningen, zodanig dat de geluidsbelasting wel voldoet aan de voorkeursgrenswaarde, zorgt voor een dusdanig grote afstand dat dit niet wenselijk is. In de onderstaande figuur zijn de geluidscontouren (inclusief aftrek op grond van artikel 110g Wgh) weergegeven.




*Ligging van de geluidscontouren*

### 4.4.3 Maatregelen bij de ontvanger

De maatregelen die kunnen worden genomen bij de ontvanger (woningen) zijn erop gericht om te voldoen aan de binnenwaarde van 33 dB. Mogelijk moeten voor de woningen met een hogere geluidsbelasting dan de voorkeursgrenswaarde aanvullende isolerende voorzieningen worden getroffen om de akoestische binnenwaarde te halen. De benodigde gevelwering is berekend in hoofdstuk 4,5.

***Conclusie***

Gezien de beperkte schaal van dit plan is het niet mogelijk of wenselijk om effectieve maatregelen te treffen die de geluidsbelastingen terugbrengen tot waarden die lager zijn dan de voorkeursgrenswaarde van 48 dB.

Om de binnenwaarde van 33 dB uit het ‘Bouwbesluit 2012’te kunnen garanderen kan extra geluidsisolatie noodzakelijk. Bij de aanvraag van een ‘Omgevingsvergunning bouwen’ (voormalige bouwvergunning) kan door middel van een aanvullend bouwakoestisch onderzoek worden aangetoond dat de binnenwaarde van 33 dB wordt gehaald.

## 4.5 Cumulatieve geluidsbelastingen

De nieuwe woningen liggen nabij diverse wegen. De optellingen van de geluidsbelastingen van de verschillende geluidbronnen resulteert in de cumulatieve geluidsbelasting. Bij de berekening van de cumulatieve geluidsbelastingen zijn alle relevante geluidsbronnen [Singelweg, overgaand in de Vredenseweg en de Vredensestraat] gebruikt.

Formeel moet de cumulatieve geluidsbelasting van geluidsbronnen met een zone op basis van het Bouwbesluit 2012 worden bepaald op basis van de Wgh. Aangezien alleen wegen maatgevende geluidsbronnen zijn nabij de ontwikkeling is de cumulatieve geluidsbelasting bepaald op basis van het wegverkeerspectrum.

De cumulatieve geluidsbelastingen zijn berekend volgens het RMG 2012, bijlage I, hoofdstuk 2: 'Rekenmethode cumulatieve geluidsbelasting'.
Het overzicht met de cumulatieve geluidsbelastingen is weergegeven in bijlage 2.

De cumulatieve geluidsbelasting is van belang voor de berekening van de vereiste gevelisolatie. Volgens het Bouwbesluit 2012 moet een akoestische binnenwaarde van 33 dB bij wegverkeerslawaai worden gegarandeerd. Bij de toetsing aan het Bouwbesluit 2012 mag geen rekening worden gehouden met stiller worden van het verkeer in de toekomst (aftrek op grond van artikel 110g Wgh). Deze cumulatieve geluidsbelasting wordt aangeduid met $L_{CUM}$.

In de Wgh ligt de nadruk op garanderen van een goed woon- en leefklimaat. Dit wordt gedaan door te toetsen aan de cumulatieve geluidsbelasting (zogenaamde $L_{CUM,plus}$) waarbij rekening is gehouden met het stiller worden van het verkeer in de toekomst. De verwachte afname van de geluidsbelasting is opgenomen in artikel 110g Wgh. De toetsing op een goed woon- en leefklimaat zijn uitgevoerd met de normen uit de Wgh.

De hoogste cumulatieve geluidsbelastingen ($L_{CUM}$) en de minimaal benodigde gevelwering zijn weergegeven in de onderstaande tabel:

*Tabel 10 Cumulatieve geluidsbelastingen*

| Cumulatieve geluidsbelastingen en minimaal benodigde gevelwering | | | |
|---|---|---|---|
| | Hoogste cumulatieve geluidsbelastingen in dB | | Minimaal benodigde gevelwering in dB |
| | Exclusief aftrek op grond van artikel 110g Wgh ($L_{CUM}$) | Inclusief aftrek op grond van artikel 110g Wgh ($L_{CUM,plus}$) | |
| G1 | 54 | 49 | 21 |
| G2 | 52 | 47 | 19 |
| G3 | 50 | 45 | 17 |
| G4 | 47 | 42 | 14 |
| G5 | 48 | 43 | 15 |
| G6 | 52 | 47 | 19 |
| S1 | 66 | 61 | 33 |
| S2 | 65 | 60 | 32 |
| S3 | 65 | 60 | 32 |
| S4 | 64 | 59 | 31 |
| Toetsingskader | | | |
| Minimale gevelwering uit het Bouwbesluit 2012 | | | 20 |

In de onderstaande figuur zijn de cumulatieve geluidsbelastingen ($L_{CUM,plus}$), inclusief aftrek op grond van artikel 110g Wgh, per verdieping (begane grond/eerste verdieping/tweede verdieping) weergegeven:




*Cumulatieve geluidsbelastingen ($L_{CUM,plus}$)*

# 5 CONCLUSIE EN SAMENVATTING

Op het perceel Vredenseweg 4-6 in Winterswijk was een woonspeciaalzaak gevestigd. Deze woonspeciaalzaak is verhuisd naar een nieuwe locatie.
Op de locatie aan de Vredenseweg is een woningbouwplan met 10 woningen voorzien.
Door de nieuwe ontwikkeling worden woningen (geluidsgevoelige bestemmingen) gerealiseerd. Voor de realisatie van deze nieuwe woningen is akoestisch onderzoek verricht. De geluidsbelasting van de nieuwe woningen wordt getoetst aan de normen uit de Wet geluidhinder (Wgh).

## 5.1 Conclusie

### 5.1.1 Toetsing aan de Wgh

***Singelweg, overgaand in de Vredenseweg***
De hoogste geluidsbelasting afkomstig van de Singelweg, overgaand in de Vredenseweg, bedraagt 61 dB, inclusief aftrek op grond van artikel 110g Wgh, bij de nieuwe woningen.
Bij vijf van de nieuwe woningen wordt de voorkeursgrenswaarde van 48 dB uit de Wgh overschreden, echter de hoogst toelaatbare geluidsbelasting van 63 dB wordt bij geen van de woningen overschreden.

***Vredensestraat***
De hoogste geluidsbelasting afkomstig van de Vredensestraat bedraagt 47 dB, inclusief aftrek op grond van artikel 110g Wgh, bij de nieuwe woningen. Bij de nieuwe woningen wordt voldaan aan de voorkeursgrenswaarde van 48 dB uit de Wgh.

***Verlening hogere grenswaarden***
Het doel van de Wgh is geluidhinder te voorkomen. Maatregelen om de voorkeursgrenswaarde te bereiken zijn bijvoorbeeld het toepassen van stil wegdek op de Singelweg, overgaand in de Vredenseweg, het vergroten van de afstand tussen de woningen en de weg of het toepassen van dove gevels. Gezien de beperkte schaal van dit plan (realisatie van 10 woningen) is het niet mogelijk of gewenst om effectieve maatregelen te treffen die de geluidsbelastingen terugbrengen tot de voorkeursgrenswaarde van 48 dB.

In het gemeentelijke geluidbeleid ‘Evaluatie en herziening geluidbeleid gemeente Winterswijk 2016’, d.d. 19 januari 2016, ligt de nadruk op het voorkomen van geluidhinder. Echter de verlening van hogere waarden is mogelijk wanneer er de geluidsbelasting niet is kosteneffectief is terug te brengen naar de voorkeursgrenswaarden, dan wel dat er overwegende bezwaren zijn van stedenbouwkundige, verkeerskundige, vervoerskundige, landschappelijke of financiële aard zijn.

Op basis van het gemeentelijke geluidbeleid kan de gemeente Winterswijk een hogere waarde verlenen afkomstig van de Singelweg, overgaand in de Vredenseweg. De verlening van de hogere waarde vindt plaats in een aparte hogere waarde-procedure gelijktijdig met de ruimtelijke procedure. De te verlenen hogere waarden zijn weergegeven in de onderstaande tabel.

*Tabel 11 Te verlenen hogere waarden*

| Te verlenen hogere waarden afkomstig van de Singelweg, overgaand in de Vredenseweg |
|---|

| | Te verlenen hogere waarden in dB |
|---|---|
| G1 | 49 |
| S1 | 61 |
| S2 | 60 |
| S3 | 60 |
| S4 | 59 |

### 5.1.2 Toetsing aan het Bouwbesluit 2012

Op grond van het Bouwbesluit 2012 dient een akoestische binnenwaarde van 33 dB bij woningen ten gevolge van wegverkeerslawaai gegarandeerd te worden. Volgens artikel 3.2 van het Bouwbesluit 2012 bezit een standaard gevelconstructie een minimale geluidsisolatie van 20 dB.

De hoogste cumulatieve geluidsbelastingen en de minimaal benodigde gevelwering per nieuwe woning zijn weergegeven in de onderstaande tabel.

*Tabel 12 Cumulatieve geluidsbelastingen*

| Cumulatieve geluidsbelastingen en minimaal benodigde gevelwering | | |
|---|---|---|
| | Hoogste cumulatieve geluidsbelastingen in dB<br>Exclusief aftrek op grond van artikel 110g Wgh ($L_{CUM}$) | Minimaal benodigde gevelwering in dB |
| G1 | 54 | 21 |
| G2 | 52 | 19 |
| G3 | 50 | 17 |
| G4 | 47 | 14 |
| G5 | 48 | 15 |
| G6 | 52 | 19 |
| S1 | 66 | 33 |
| S2 | 65 | 32 |
| S3 | 65 | 32 |
| S4 | 64 | 31 |
| Toetsingskader | | |
| Minimale gevelwering uit het Bouwbesluit 2012 | | 20 |

Ter indicatie: volgens artikel 3.2 van het Bouwbesluit 2012 bezit een standaard gevelconstructie een minimale geluidsisolatie van 20 dB. In een aanvullend bouwakoestisch onderzoek moet worden onderzocht of aanvullende gevelmaatregelen nodig zijn om de binnenwaarde van 33 dB uit het Bouwbesluit 2012 te halen.

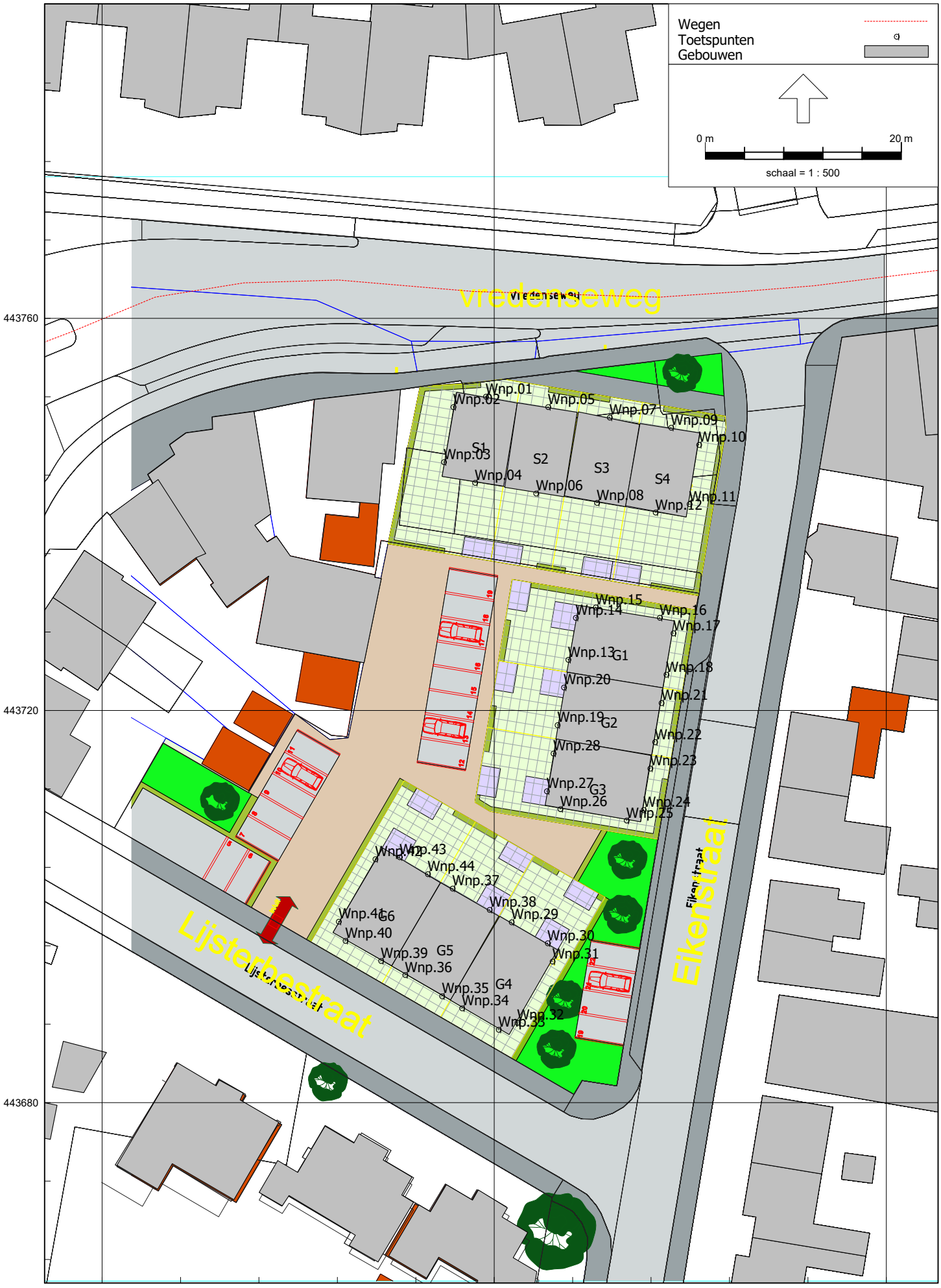
## 5.2 Samenvatting

De woningen kunnen na de verlening van hogere waarden worden gerealiseerd.

# *Bijlage 1*

## *OVERZICHTSTEKENING 1, LIGGING VAN DE WAARNEEMPUNTEN*

Ligging van de waarneempunten



# *Bijlage 2*

## *GELUIDSBELASTINGEN, IN TABELVORM*

## Geluidsbelastingen in tabelvorm

| Waar-neem-punt | Waar-neem-hoogte in meter | Ligging van de waarneempunt | Geluidsbelastingen afkomstig van de Singelweg in dB | | | Geluidsbelastingen afkomstig van de Vredensestraat, in dB | | | Cumulatieve geluidsbelastingen in dB | |
|---|---|---|---|---|---|---|---|---|---|---|
| | | | Excl. aftrek ex art. 110g Wgh | Aftrek ex art. 110g Wgh | Incl. aftrek ex art. 110g Wgh | Excl. aftrek ex art. 110g Wgh | Aftrek ex art. 110g Wgh | Incl. aftrek ex art. 110g Wgh | $L_{CUM}$ Excl. aftrek ex art. 110g Wgh | $L_{CUM,plus}$ Incl. aftrek ex art. 110g Wgh |
| Wnp.01 | 1,5 | S1 | 65,50 | 5 | 60,50 | 45,75 | 5 | 40,75 | 65,55 | 60,55 |
| Wnp.01 | 4,5 | S1 | 65,56 | 5 | 60,56 | 47,08 | 5 | 42,08 | 65,62 | 60,62 |
| Wnp.01 | 7,5 | S1 | 65,14 | 5 | 60,14 | 48,38 | 5 | 43,38 | 65,23 | 60,23 |
| Wnp.02 | 1,5 | S1 | 61,97 | 5 | 56,97 | 46,78 | 5 | 41,78 | 62,10 | 57,10 |
| Wnp.02 | 4,5 | S1 | 61,97 | 5 | 56,97 | 48,27 | 5 | 43,27 | 62,15 | 57,15 |
| Wnp.02 | 7,5 | S1 | 61,59 | 5 | 56,59 | 52,15 | 5 | 47,15 | 62,06 | 57,06 |
| Wnp.03 | 1,5 | S1 | 58,61 | 5 | 53,61 | 43,66 | 5 | 38,66 | 58,75 | 53,75 |
| Wnp.03 | 4,5 | S1 | 58,83 | 5 | 53,83 | 45,34 | 5 | 40,34 | 59,02 | 54,02 |
| Wnp.03 | 7,5 | S1 | 58,75 | 5 | 53,75 | 50,63 | 5 | 45,63 | 59,37 | 54,37 |
| Wnp.04 | 1,5 | S1 | 36,66 | 5 | 31,66 | 39,98 | 5 | 34,98 | 41,64 | 36,64 |
| Wnp.04 | 4,5 | S1 | 36,39 | 5 | 31,39 | 44,15 | 5 | 39,15 | 44,82 | 39,82 |
| Wnp.04 | 7,5 | S1 | 40,14 | 5 | 35,14 | 46,56 | 5 | 41,56 | 47,45 | 42,45 |
| Wnp.05 | 1,5 | S2 | 65,01 | 5 | 60,01 | 46,05 | 5 | 41,05 | 65,06 | 60,06 |
| Wnp.05 | 4,5 | S2 | 65,16 | 5 | 60,16 | 47,36 | 5 | 42,36 | 65,23 | 60,23 |
| Wnp.05 | 7,5 | S2 | 64,76 | 5 | 59,76 | 48,49 | 5 | 43,49 | 64,86 | 59,86 |
| Wnp.06 | 1,5 | S2 | 36,47 | 5 | 31,47 | 37,16 | 5 | 32,16 | 39,84 | 34,84 |
| Wnp.06 | 4,5 | S2 | 38,62 | 5 | 33,62 | 40,96 | 5 | 35,96 | 42,96 | 37,96 |
| Wnp.06 | 7,5 | S2 | 42,08 | 5 | 37,08 | 43,69 | 5 | 38,69 | 45,97 | 40,97 |
| Wnp.07 | 1,5 | S3 | 64,46 | 5 | 59,46 | 41,14 | 5 | 36,14 | 64,48 | 59,48 |
| Wnp.07 | 4,5 | S3 | 64,68 | 5 | 59,68 | 42,44 | 5 | 37,44 | 64,71 | 59,71 |
| Wnp.07 | 7,5 | S3 | 64,33 | 5 | 59,33 | 43,63 | 5 | 38,63 | 64,37 | 59,37 |
| Wnp.08 | 1,5 | S3 | 40,48 | 5 | 35,48 | 38,88 | 5 | 33,88 | 42,76 | 37,76 |
| Wnp.08 | 4,5 | S3 | 42,94 | 5 | 37,94 | 41,99 | 5 | 36,99 | 45,50 | 40,50 |
| Wnp.08 | 7,5 | S3 | 43,59 | 5 | 38,59 | 44,21 | 5 | 39,21 | 46,92 | 41,92 |
| Wnp.09 | 1,5 | S4 | 63,97 | 5 | 58,97 | 42,03 | 5 | 37,03 | 64,00 | 59,00 |
| Wnp.09 | 4,5 | S4 | 64,28 | 5 | 59,28 | 42,92 | 5 | 37,92 | 64,31 | 59,31 |
| Wnp.09 | 7,5 | S4 | 64,00 | 5 | 59,00 | 44,07 | 5 | 39,07 | 64,04 | 59,04 |
| Wnp.10 | 1,5 | S4 | 60,01 | 5 | 55,01 | 31,95 | 5 | 26,95 | 60,02 | 55,02 |
| Wnp.10 | 4,5 | S4 | 60,49 | 5 | 55,49 | 34,17 | 5 | 29,17 | 60,50 | 55,50 |
| Wnp.10 | 7,5 | S4 | 60,37 | 5 | 55,37 | 37,29 | 5 | 32,29 | 60,39 | 55,39 |
| Wnp.11 | 1,5 | S4 | 57,29 | 5 | 52,29 | 32,86 | 5 | 27,86 | 57,31 | 52,31 |
| Wnp.11 | 4,5 | S4 | 58,07 | 5 | 53,07 | 34,05 | 5 | 29,05 | 58,09 | 53,09 |
| Wnp.11 | 7,5 | S4 | 58,04 | 5 | 53,04 | 37,50 | 5 | 32,50 | 58,08 | 53,08 |
| Wnp.12 | 1,5 | S4 | 44,32 | 5 | 39,32 | 40,69 | 5 | 35,69 | 45,88 | 40,88 |

## Geluidsbelastingen in tabelvorm

| Waar-neem-punt | Waar-neem-hoogte in meter | Ligging van de waarneempunt | Geluidsbelastingen afkomstig van de Singelweg in dB | | | Geluidsbelastingen afkomstig van de Vredensestraat, in dB | | | Cumulatieve geluidsbelastingen in dB | |
|---|---|---|---|---|---|---|---|---|---|---|
| | | | Excl. aftrek ex art. 110g Wgh | Aftrek ex art. 110g Wgh | Incl. aftrek ex art. 110g Wgh | Excl. aftrek ex art. 110g Wgh | Aftrek ex art. 110g Wgh | Incl. aftrek ex art. 110g Wgh | $L_{CUM}$ Excl. aftrek ex art. 110g Wgh | $L_{CUM,plus}$ Incl. aftrek ex art. 110g Wgh |
| Wnp.12 | 4,5 | S4 | 46,38 | 5 | 41,38 | 42,57 | 5 | 37,57 | 47,89 | 42,89 |
| Wnp.12 | 7,5 | S4 | 46,60 | 5 | 41,60 | 44,18 | 5 | 39,18 | 48,57 | 43,57 |
| Wnp.13 | 1,5 | G1 | 41,66 | 5 | 36,66 | 44,16 | 5 | 39,16 | 46,10 | 41,10 |
| Wnp.13 | 4,5 | G1 | 44,84 | 5 | 39,84 | 47,44 | 5 | 42,44 | 49,34 | 44,34 |
| Wnp.14 | 1,5 | G1 | 41,45 | 5 | 36,45 | 43,85 | 5 | 38,85 | 45,82 | 40,82 |
| Wnp.14 | 4,5 | G1 | 44,37 | 5 | 39,37 | 47,65 | 5 | 42,65 | 49,32 | 44,32 |
| Wnp.15 | 1,5 | G1 | 46,94 | 5 | 41,94 | 40,70 | 5 | 35,70 | 47,87 | 42,87 |
| Wnp.15 | 4,5 | G1 | 49,07 | 5 | 44,07 | 45,76 | 5 | 40,76 | 50,73 | 45,73 |
| Wnp.16 | 1,5 | G1 | 52,05 | 5 | 47,05 | 41,43 | 5 | 36,43 | 52,41 | 47,41 |
| Wnp.16 | 4,5 | G1 | 53,67 | 5 | 48,67 | 44,91 | 5 | 39,91 | 54,21 | 49,21 |
| Wnp.17 | 1,5 | G1 | 51,79 | 5 | 46,79 | 38,25 | 5 | 33,25 | 51,98 | 46,98 |
| Wnp.17 | 4,5 | G1 | 53,34 | 5 | 48,34 | 35,58 | 5 | 30,58 | 53,41 | 48,41 |
| Wnp.18 | 1,5 | G1 | 50,92 | 5 | 45,92 | 37,83 | 5 | 32,83 | 51,13 | 46,13 |
| Wnp.18 | 4,5 | G1 | 52,66 | 5 | 47,66 | 35,83 | 5 | 30,83 | 52,75 | 47,75 |
| Wnp.19 | 1,5 | G2 | 43,99 | 5 | 38,99 | 44,45 | 5 | 39,45 | 47,24 | 42,24 |
| Wnp.19 | 4,5 | G2 | 46,21 | 5 | 41,21 | 45,89 | 5 | 40,89 | 49,06 | 44,06 |
| Wnp.20 | 1,5 | G2 | 43,69 | 5 | 38,69 | 42,05 | 5 | 37,05 | 45,96 | 40,96 |
| Wnp.20 | 4,5 | G2 | 46,28 | 5 | 41,28 | 43,57 | 5 | 38,57 | 48,14 | 43,14 |
| Wnp.21 | 1,5 | G2 | 50,34 | 5 | 45,34 | 33,51 | 5 | 28,51 | 50,43 | 45,43 |
| Wnp.21 | 4,5 | G2 | 52,17 | 5 | 47,17 | 35,30 | 5 | 30,30 | 52,26 | 47,26 |
| Wnp.22 | 1,5 | G2 | 49,01 | 5 | 44,01 | 34,14 | 5 | 29,14 | 49,15 | 44,15 |
| Wnp.22 | 4,5 | G2 | 50,93 | 5 | 45,93 | 36,83 | 5 | 31,83 | 51,10 | 46,10 |
| Wnp.23 | 1,5 | G3 | 48,28 | 5 | 43,28 | 33,49 | 5 | 28,49 | 48,42 | 43,42 |
| Wnp.23 | 4,5 | G3 | 50,22 | 5 | 45,22 | 36,28 | 5 | 31,28 | 50,39 | 45,39 |
| Wnp.24 | 1,5 | G3 | 47,24 | 5 | 42,24 | 36,34 | 5 | 31,34 | 47,58 | 42,58 |
| Wnp.24 | 4,5 | G3 | 49,12 | 5 | 44,12 | 38,09 | 5 | 33,09 | 49,45 | 44,45 |
| Wnp.25 | 1,5 | G3 | 37,98 | 5 | 32,98 | 40,50 | 5 | 35,50 | 42,43 | 37,43 |
| Wnp.25 | 4,5 | G3 | 39,57 | 5 | 34,57 | 42,09 | 5 | 37,09 | 44,02 | 39,02 |
| Wnp.26 | 1,5 | G3 | 37,56 | 5 | 32,56 | 42,30 | 5 | 37,30 | 43,56 | 38,56 |
| Wnp.26 | 4,5 | G3 | 39,25 | 5 | 34,25 | 43,62 | 5 | 38,62 | 44,97 | 39,97 |
| Wnp.27 | 1,5 | G3 | 42,81 | 5 | 37,81 | 42,87 | 5 | 37,87 | 45,85 | 40,85 |
| Wnp.27 | 4,5 | G3 | 45,41 | 5 | 40,41 | 45,50 | 5 | 40,50 | 48,47 | 43,47 |

## Geluidsbelastingen in tabelvorm

| Waar-neem-punt | Waar-neem-hoogte in meter | Ligging van de waarneempunt | Geluidsbelastingen afkomstig van de Singelweg in dB | | | Geluidsbelastingen afkomstig van de Vredensestraat, in dB | | | Cumulatieve geluidsbelastingen in dB | |
|---|---|---|---|---|---|---|---|---|---|---|
| | | | Excl. aftrek ex art. 110g Wgh | Aftrek ex art. 110g Wgh | Incl. aftrek ex art. 110g Wgh | Excl. aftrek ex art. 110g Wgh | Aftrek ex art. 110g Wgh | Incl. aftrek ex art. 110g Wgh | $L_{CUM}$ Excl. aftrek ex art. 110g Wgh | $L_{CUM,plus}$ Incl. aftrek ex art. 110g Wgh |
| Wnp.28 | 1,5 | G3 | 44,00 | 5 | 39,00 | 42,84 | 5 | 37,84 | 46,47 | 41,47 |
| Wnp.28 | 4,5 | G3 | 46,36 | 5 | 41,36 | 44,42 | 5 | 39,42 | 48,51 | 43,51 |
| Wnp.29 | 1,5 | G4 | 42,13 | 5 | 37,13 | 35,78 | 5 | 30,78 | 43,04 | 38,04 |
| Wnp.29 | 4,5 | G4 | 44,36 | 5 | 39,36 | 37,68 | 5 | 32,68 | 45,20 | 40,20 |
| Wnp.30 | 1,5 | G4 | 41,58 | 5 | 36,58 | 38,05 | 5 | 33,05 | 43,17 | 38,17 |
| Wnp.30 | 4,5 | G4 | 43,49 | 5 | 38,49 | 39,81 | 5 | 34,81 | 45,04 | 40,04 |
| Wnp.31 | 1,5 | G4 | 34,61 | 5 | 29,61 | 35,28 | 5 | 30,28 | 37,97 | 32,97 |
| Wnp.31 | 4,5 | G4 | 36,14 | 5 | 31,14 | 36,55 | 5 | 31,55 | 39,36 | 34,36 |
| Wnp.32 | 1,5 | G4 | 34,66 | 5 | 29,66 | 36,12 | 5 | 31,12 | 38,46 | 33,46 |
| Wnp.32 | 4,5 | G4 | 36,11 | 5 | 31,11 | 37,49 | 5 | 32,49 | 39,86 | 34,86 |
| Wnp.33 | 1,5 | G4 | 31,41 | 5 | 26,41 | 43,59 | 5 | 38,59 | 43,85 | 38,85 |
| Wnp.33 | 4,5 | G4 | 31,58 | 5 | 26,58 | 45,15 | 5 | 40,15 | 45,34 | 40,34 |
| Wnp.34 | 1,5 | G4 | 34,84 | 5 | 29,84 | 44,64 | 5 | 39,64 | 45,07 | 40,07 |
| Wnp.34 | 4,5 | G4 | 32,37 | 5 | 27,37 | 46,49 | 5 | 41,49 | 46,66 | 41,66 |
| Wnp.35 | 1,5 | G5 | 32,32 | 5 | 27,32 | 45,27 | 5 | 40,27 | 45,48 | 40,48 |
| Wnp.35 | 4,5 | G5 | 31,93 | 5 | 26,93 | 47,01 | 5 | 42,01 | 47,14 | 42,14 |
| Wnp.36 | 1,5 | G5 | 34,45 | 5 | 29,45 | 46,38 | 5 | 41,38 | 46,65 | 41,65 |
| Wnp.36 | 4,5 | G5 | 35,20 | 5 | 30,20 | 48,14 | 5 | 43,14 | 48,36 | 43,36 |
| Wnp.37 | 1,5 | G5 | 42,51 | 5 | 37,51 | 37,92 | 5 | 32,92 | 43,81 | 38,81 |
| Wnp.37 | 4,5 | G5 | 44,84 | 5 | 39,84 | 42,46 | 5 | 37,46 | 46,82 | 41,82 |
| Wnp.38 | 1,5 | G5 | 42,49 | 5 | 37,49 | 36,20 | 5 | 31,20 | 43,41 | 38,41 |
| Wnp.38 | 4,5 | G5 | 44,95 | 5 | 39,95 | 39,63 | 5 | 34,63 | 46,07 | 41,07 |
| Wnp.39 | 1,5 | G6 | 34,51 | 5 | 29,51 | 47,14 | 5 | 42,14 | 47,37 | 42,37 |
| Wnp.39 | 4,5 | G6 | 35,37 | 5 | 30,37 | 48,88 | 5 | 43,88 | 49,07 | 44,07 |
| Wnp.40 | 1,5 | G6 | 31,98 | 5 | 26,98 | 48,08 | 5 | 43,08 | 48,19 | 43,19 |
| Wnp.40 | 4,5 | G6 | 33,11 | 5 | 28,11 | 49,92 | 5 | 44,92 | 50,01 | 45,01 |
| Wnp.41 | 1,5 | G6 | 41,18 | 5 | 36,18 | 48,04 | 5 | 43,04 | 48,85 | 43,85 |
| Wnp.41 | 4,5 | G6 | 43,92 | 5 | 38,92 | 50,13 | 5 | 45,13 | 51,06 | 46,06 |
| Wnp.42 | 1,5 | G6 | 43,85 | 5 | 38,85 | 47,90 | 5 | 42,90 | 49,34 | 44,34 |
| Wnp.42 | 4,5 | G6 | 46,57 | 5 | 41,57 | 50,41 | 5 | 45,41 | 51,91 | 46,91 |
| Wnp.43 | 1,5 | G6 | 43,95 | 5 | 38,95 | 39,18 | 5 | 34,18 | 45,20 | 40,20 |
| Wnp.43 | 4,5 | G6 | 46,63 | 5 | 41,63 | 44,95 | 5 | 39,95 | 48,88 | 43,88 |

| Geluidsbelastingen in tabelvorm | | | | | | | | | | |
|---|---|---|---|---|---|---|---|---|---|---|
| Waar-neem-punt | Waar-neem-hoogte in meter | Ligging van de waarneempunt | Geluidsbelastingen afkomstig van de Singelweg in dB | | | Geluidsbelastingen afkomstig van de Vredensestraat, in dB | | | Cumulatieve geluidsbelastingen in dB | |
| | | | Excl. aftrek ex art. 110g Wgh | Aftrek ex art. 110g Wgh | Incl. aftrek ex art. 110g Wgh | Excl. aftrek ex art. 110g Wgh | Aftrek ex art. 110g Wgh | Incl. aftrek ex art. 110g Wgh | $L_{CUM}$ Excl. aftrek ex art. 110g Wgh | $L_{CUM,plus}$ Incl. aftrek ex art. 110g Wgh |
| Wnp.44 | 1,5 | G6 | 43,01 | 5 | 38,01 | 39,20 | 5 | 34,20 | 44,52 | 39,52 |
| Wnp.44 | 4,5 | G6 | 45,84 | 5 | 40,84 | 42,05 | 5 | 37,05 | 47,36 | 42,36 |
| **Hoogste geluidsbelastingen** | | | | | | | | | | |
| | | G1 | 54 | | 49 | 48 | | 43 | 54 | 49 |
| | | G2 | 52 | | 47 | 46 | | 41 | 52 | 47 |
| | | G3 | 50 | | 45 | 46 | | 41 | 50 | 45 |
| | | G4 | 44 | | 39 | 46 | | 41 | 47 | 42 |
| | | G5 | 45 | | 40 | 48 | | 43 | 48 | 43 |
| | | G6 | 47 | | 42 | 50 | | 45 | 52 | 47 |
| | | S1 | 66 | | 61 | 52 | | 47 | 66 | 61 |
| | | S2 | 65 | | 60 | 48 | | 43 | 65 | 60 |
| | | S3 | 65 | | 60 | 44 | | 39 | 65 | 60 |
| | | S4 | 64 | | 59 | 44 | | 39 | 64 | 59 |
| Hoogste geluidsbelasting | | | 66 | | 61 | 52 | | 47 | 66 | 61 |
| **Toetsingskader** | | | | | | | | | | |
| Voorkeursgrenswaarde uit de Wgh | | | - | | 48 | - | | 48 | - | - |
| Ten hoogste toelaatbare geluidsbelasting uit de Wgh | | | - | | 63 | - | | 63 | - | - |

# *Bijlage 3*

## *OVERZICHTSTEKENING 2: GRAFISCHE WEERGAVE VAN HET MODEL*


Wegen
Toetspunten
Bodemgebieden
Gebouwen
schaal = 1 : 1000
40 m
0 m
15711
15712
444000
443800
443600
247000
246800

# *Bijlage 4*

## *INVOERGEGEVENS VAN HET MODEL*

# Invoergegevens van het model

Rapport: Lijst van model eigenschappen
Model: Jager

| Model eigenschap | |
|---|---|
| Omschrijving | Jager |
| Verantwoordelijke | Johan |
| Rekenmethode | #2\|Wegverkeerslawaai\|RMW-2012\| |
| Aangemaakt door | Johan op 20-3-2020 |
| Laatst ingezien door | Johan op 20-3-2020 |
| Model aangemaakt met | Geomilieu V5.21 |
| Dagperiode | 07:00 - 19:00 |
| Avondperiode | 19:00 - 23:00 |
| Nachtperiode | 23:00 - 07:00 |
| Samengestelde periode | Lden |
| Waarde | Gem(Dag, Avond + 5, Nacht + 10) |
| Standaard maaiveldhoogte | 0 |
| Rekenhoogte contouren | 7,5 |
| Detailniveau toetspunt resultaten | Groepsresultaten |
| Detailniveau resultaten grids | Groepsresultaten |
| Zoekafstand [m] | -- |
| Max. reflectie afstand tot bron [m] | -- |
| Max. reflectie afstand tot ontvanger [m] | -- |
| Standaard bodemfactor | 0,00 |
| Zichthoek [grd] | 2 |
| Maximale reflectiediepte | 1 |
| Reflectie in woonwijkschermen | Ja |
| Geometrische uitbreiding | Volledige 3D analyse |
| Luchtdemping | Conform standaard |
| Luchtdemping [dB/km] | 0,00; 0,00; 1,00; 2,00; 4,00; 10,00; 23,00; 58,00 |
| Meteorologische correctie | Conform standaard |
| Waarde voor C0 | 3,50 |

Commentaar

Rapport: Groepsreducties
Model: Jager

| Groep | Reductie | | | Sommatie | | |
|---|---|---|---|---|---|---|
| | Dag | Avond | Nacht | Dag | Avond | Nacht |
| Gebouw3D | 0,00 | 0,00 | 0,00 | 0,00 | 0,00 | 0,00 |
| Groen | 0,00 | 0,00 | 0,00 | 0,00 | 0,00 | 0,00 |
| bouwland | 0,00 | 0,00 | 0,00 | 0,00 | 0,00 | 0,00 |
| gemengd bos | 0,00 | 0,00 | 0,00 | 0,00 | 0,00 | 0,00 |
| grasland agrarisch | 0,00 | 0,00 | 0,00 | 0,00 | 0,00 | 0,00 |
| grasland overig | 0,00 | 0,00 | 0,00 | 0,00 | 0,00 | 0,00 |
| groenvoorziening | 0,00 | 0,00 | 0,00 | 0,00 | 0,00 | 0,00 |
| houtwal | 0,00 | 0,00 | 0,00 | 0,00 | 0,00 | 0,00 |
| loofbos | 0,00 | 0,00 | 0,00 | 0,00 | 0,00 | 0,00 |
| onverhard | 0,00 | 0,00 | 0,00 | 0,00 | 0,00 | 0,00 |
| struiken | 0,00 | 0,00 | 0,00 | 0,00 | 0,00 | 0,00 |
| zand | 0,00 | 0,00 | 0,00 | 0,00 | 0,00 | 0,00 |
| plan | 0,00 | 0,00 | 0,00 | 0,00 | 0,00 | 0,00 |
| tuin | 0,00 | 0,00 | 0,00 | 0,00 | 0,00 | 0,00 |
| erf | 0,00 | 0,00 | 0,00 | 0,00 | 0,00 | 0,00 |
| Wegverkeer | 0,00 | 0,00 | 0,00 | 0,00 | 0,00 | 0,00 |
| 1 Singelweg, overgaand in Vredeneseweg | 5,00 | 5,00 | 5,00 | 5,00 | 5,00 | 5,00 |
| 2 Vredensestraat | 5,00 | 5,00 | 5,00 | 5,00 | 5,00 | 5,00 |

Model: Jager
Jager - Jager
Groep: (hoofdgroep)
Lijst van Wegen, voor rekenmethode Wegverkeerslawaai - RMW-2012

| Groep | ItemID | Grp.ID | Datum | 1e kid | NrKids | Naam | Omschr. | Vorm | X-1 |
|---|---|---|---|---|---|---|---|---|---|
| 1 Singelweg, overgaand in Vredeneseweg | 15711 | 20 | 14:47, 20 mrt 2020 | -1 | 2 | VW | Singelweg overgaand in Vredenseweg | Polylijn | 246897,25 |
| 2 Vredensestraat | 15712 | 21 | 10:00, 20 mrt 2020 | -3 | 2 | VS | Vredensestraat | Polylijn | 246857,31 |
| 2 Vredensestraat | 15713 | 21 | 10:00, 20 mrt 2020 | -5 | 2 | SW | Singelweg | Polylijn | 246897,25 |

# Invoergegevens van het model

Model: Jager
Jager - Jager
Groep: (hoofdgroep)
Lijst van Wegen, voor rekenmethode Wegverkeerslawaai - RMW-2012

| Groep | Y-1 | X-n | Y-n | H-1 | H-n | M-1 | M-n | ISO_H | Min.RH | Max.RH | Min.AH |
|---|---|---|---|---|---|---|---|---|---|---|---|
| 1 Singelweg, overgaand in Vredeneseweg | 443750,94 | 247243,67 | 443794,01 | 0,00 | 0,00 | 0,00 | 0,00 | 0,00 | 0,00 | 0,00 | 0,00 |
| 2 Vredensestraat | 443505,26 | 246897,25 | 443750,94 | 0,00 | 0,00 | 0,00 | 0,00 | 0,00 | 0,00 | 0,00 | 0,00 |
| 2 Vredensestraat | 443750,94 | 246771,98 | 443774,01 | 0,00 | 0,00 | 0,00 | 0,00 | 0,00 | 0,00 | 0,00 | 0,00 |

# Invoergegevens van het model

Model: Jager
Jager - Jager
Groep: (hoofdgroep)
Lijst van Wegen, voor rekenmethode Wegverkeerslawaai - RMW-2012

| Groep | Max.AH | ISO M. | Hdef. | Vormpunten | Lengte | Lengte3D | Min.lengte | Max.lengte | Type | Cpl |
|---|---|---|---|---|---|---|---|---|---|---|
| 1 Singelweg, overgaand in Vredeneseweg | 0,00 | 0,00 | Relatief | 12 | 350,68 | 350,68 | 7,07 | 245,85 | Verdeling | False |
| 2 Vredensestraat | 0,00 | 0,00 | Relatief | 10 | 250,68 | 250,68 | 4,28 | 69,47 | Verdeling | False |
| 2 Vredensestraat | 0,00 | 0,00 | Relatief | 10 | 131,35 | 131,35 | 2,64 | 40,04 | Verdeling | False |

# Invoergegevens van het model

Model: Jager
Jager - Jager
Groep: (hoofdgroep)
Lijst van Wegen, voor rekenmethode Wegverkeerslawaai - RMW-2012

| Groep | Cpl_W | Hbron | Helling | Wegdek | Wegdek | V(MR(D)) | V(MR(A)) | V(MR(N)) | V(MR(P4)) | V(LV(D)) | V(LV(A)) | V(LV(N)) | V(LV(P4)) |
|---|---|---|---|---|---|---|---|---|---|---|---|---|---|
| 1 Singelweg, overgaand in Vredeneseweg | 1,5 | 0,75 | 0 | W0 | Referentiewegdek | -- | -- | -- | -- | 50 | 50 | 50 | -- |
| 2 Vredensestraat | 1,5 | 0,75 | 0 | W0 | Referentiewegdek | -- | -- | -- | -- | 50 | 50 | 50 | -- |
| 2 Vredensestraat | 1,5 | 0,75 | 0 | W0 | Referentiewegdek | -- | -- | -- | -- | 50 | 50 | 50 | -- |

# Invoergegevens van het model

Model: Jager
Jager - Jager
Groep: (hoofdgroep)
Lijst van Wegen, voor rekenmethode Wegverkeerslawaai - RMW-2012

| Groep | V(MV(D)) | V(MV(A)) | V(MV(N)) | V(MV(P4)) | V(ZV(D)) | V(ZV(A)) | V(ZV(N)) | V(ZV(P4)) | Crow965 | Totaal aantal | %Int(D) | %Int(A) | %Int(N) |
|---|---|---|---|---|---|---|---|---|---|---|---|---|---|
| 1 Singelweg, overgaand in Vredeneseweg | 50 | 50 | 50 | -- | 50 | 50 | 50 | -- | False | 8770,00 | 6,63 | 3,81 | 0,64 |
| 2 Vredensestraat | 50 | 50 | 50 | -- | 50 | 50 | 50 | -- | False | 11048,00 | 6,74 | 3,67 | 0,56 |
| 2 Vredensestraat | 50 | 50 | 50 | -- | 50 | 50 | 50 | -- | False | 14236,00 | 6,66 | 3,72 | 0,65 |

Model: Jager
Jager - Jager
Groep: (hoofdgroep)
Lijst van Wegen, voor rekenmethode Wegverkeerslawaai - RMW-2012

| Groep | %Int(P4) | %MR(D) | %MR(A) | %MR(N) | %MR(P4) | %LV(D) | %LV(A) | %LV(N) | %LV(P4) | %MV(D) | %MV(A) | %MV(N) | %MV(P4) | %ZV(D) | %ZV(A) | %ZV(N) |
|---|---|---|---|---|---|---|---|---|---|---|---|---|---|---|---|---|
| 1 Singelweg, overgaand in Vredeneseweg | -- | -- | -- | -- | -- | 96,80 | 98,70 | 96,80 | -- | 2,40 | 1,00 | 2,90 | -- | 0,80 | 0,30 | 0,30 |
| 2 Vredensestraat | -- | -- | -- | -- | -- | 95,60 | 98,20 | 96,60 | -- | 3,20 | 1,30 | 2,70 | -- | 1,20 | 0,50 | 0,70 |
| 2 Vredensestraat | -- | -- | -- | -- | -- | 97,40 | 99,00 | 97,50 | -- | 1,70 | 0,60 | 1,50 | -- | 0,90 | 0,40 | 1,00 |

# Invoergegevens van het model

Model: Jager
Jager - Jager
Groep: (hoofdgroep)
Lijst van Wegen, voor rekenmethode Wegverkeerslawaai - RMW-2012

| Groep | %ZV(P4) | MR(D) | MR(A) | MR(N) | MR(P4) | LV(D) | LV(A) | LV(N) | LV(P4) | MV(D) | MV(A) | MV(N) | MV(P4) | ZV(D) |
|---|---|---|---|---|---|---|---|---|---|---|---|---|---|---|
| 1 Singelweg, overgaand in Vredeneseweg | -- | -- | -- | -- | -- | 562,84 | 329,79 | 54,33 | -- | 13,95 | 3,34 | 1,63 | -- | 4,65 |
| 2 Vredensestraat | -- | -- | -- | -- | -- | 711,87 | 398,16 | 59,77 | -- | 23,83 | 5,27 | 1,67 | -- | 8,94 |
| 2 Vredensestraat | -- | -- | -- | -- | -- | 923,47 | 524,28 | 90,22 | -- | 16,12 | 3,18 | 1,39 | -- | 8,53 |

Model: Jager
Jager - Jager
Groep: (hoofdgroep)
Lijst van Wegen, voor rekenmethode Wegverkeerslawaai - RMW-2012

| Groep | ZV(A) | ZV(N) | ZV(P4) | BGE | LE (D) 63 | LE (D) 125 | LE (D) 250 | LE (D) 500 | LE (D) 1k | LE (D) 2k | LE (D) 4k | LE (D) 8k |
|---|---|---|---|---|---|---|---|---|---|---|---|---|
| 1 Singelweg, overgaand in Vredeneseweg | 1,00 | 0,17 | -- | 110,7 | 82,01 | 89,01 | 95,16 | 101,04 | 107,59 | 104,13 | 97,36 | 87,41 |
| 2 Vredensestraat | 2,03 | 0,43 | -- | 111,6 | 83,51 | 90,62 | 97,05 | 102,42 | 108,77 | 105,34 | 98,58 | 88,91 |
| 2 Vredensestraat | 2,12 | 0,93 | -- | 112,8 | 83,99 | 90,87 | 96,85 | 103,11 | 109,70 | 106,22 | 99,44 | 89,35 |

Model: Jager
Jager - Jager
Groep: (hoofdgroep)
Lijst van Wegen, voor rekenmethode Wegverkeerslawaai - RMW-2012

| Groep | LE (D) Totaal | LE (A) 63 | LE (A) 125 | LE (A) 250 | LE (A) 500 | LE (A) 1k | LE (A) 2k | LE (A) 4k | LE (A) 8k | LE (A) Totaal | LE (N) 63 |
|---|---|---|---|---|---|---|---|---|---|---|---|
| 1 Singelweg, overgaand in Vredeneseweg | 110,26 | 78,87 | 85,59 | 91,08 | 98,14 | 105,04 | 101,53 | 94,73 | 84,25 | 107,61 | 71,71 |
| 2 Vredensestraat | 111,51 | 79,94 | 86,73 | 92,44 | 99,14 | 105,93 | 102,43 | 95,63 | 85,32 | 108,52 | 72,31 |
| 2 Vredensestraat | 112,35 | 80,81 | 87,44 | 92,77 | 100,13 | 107,04 | 103,51 | 96,71 | 86,15 | 109,59 | 73,88 |

Model: Jager
Jager - Jager
Groep: (hoofdgroep)
Lijst van Wegen, voor rekenmethode Wegverkeerslawaai - RMW-2012

| Groep | LE (N) 125 | LE (N) 250 | LE (N) 500 | LE (N) 1k | LE (N) 2k | LE (N) 4k | LE (N) 8k | LE (N) Totaal | LE (P4) 63 | LE (P4) 125 | LE (P4) 250 |
|---|---|---|---|---|---|---|---|---|---|---|---|
| 1 Singelweg, overgaand in Vredeneseweg | 78,79 | 84,96 | 90,69 | 97,39 | 93,94 | 87,16 | 77,18 | 100,05 | -- | -- | -- |
| 2 Vredensestraat | 79,35 | 85,56 | 91,30 | 97,86 | 94,41 | 87,64 | 77,73 | 100,54 | -- | -- | -- |
| 2 Vredensestraat | 80,73 | 86,68 | 93,02 | 99,60 | 96,11 | 89,33 | 79,23 | 102,24 | -- | -- | -- |

Model: Jager
Jager - Jager
Groep: (hoofdgroep)
Lijst van Wegen, voor rekenmethode Wegverkeerslawaai - RMW-2012

| Groep | LE (P4) 500 | LE (P4) 1k | LE (P4) 2k | LE (P4) 4k | LE (P4) 8k | LE (P4) Totaal |
|---|---|---|---|---|---|---|
| 1 Singelweg, overgaand in Vredeneseweg | -- | -- | -- | -- | -- | -- |
| 2 Vredensestraat | -- | -- | -- | -- | -- | -- |
| 2 Vredensestraat | -- | -- | -- | -- | -- | -- |

# Invoergegevens van het model

Model: Jager
Jager - Jager
Groep: (hoofdgroep)
Lijst van Gebouwen, voor rekenmethode Wegverkeerslawaai - RMW-2012

| Groep | ItemID | Grp.ID | Datum | Naam | Omschr. | Vorm | X-1 | Y-1 | Hoogte | Rel.H | Maaiveld | Hdef. | Vormpunten |
|---|---|---|---|---|---|---|---|---|---|---|---|---|---|
| Gebouw3D | 6 | 1 | 08:58, 20 mrt 2020 | | | Polygoon | 246609,52 | 443511,90 | 12,60 | 12,60 | 0,00 | Relatief | 7 |
| Gebouw3D | 8 | 1 | 08:58, 20 mrt 2020 | | | Polygoon | 246609,52 | 443511,90 | 10,60 | 10,60 | 0,00 | Relatief | 21 |
| Gebouw3D | 13 | 1 | 08:58, 20 mrt 2020 | | | Polygoon | 246657,88 | 443482,08 | 12,10 | 12,10 | 0,00 | Relatief | 13 |
| Gebouw3D | 14 | 1 | 08:58, 20 mrt 2020 | | | Polygoon | 246655,56 | 443431,35 | 6,80 | 6,80 | 0,00 | Relatief | 19 |
| Gebouw3D | 15 | 1 | 08:58, 20 mrt 2020 | | | Polygoon | 246655,56 | 443431,35 | 8,90 | 8,90 | 0,00 | Relatief | 14 |
| Gebouw3D | 17 | 1 | 08:58, 20 mrt 2020 | | | Polygoon | 246678,56 | 443505,92 | 10,40 | 10,40 | 0,00 | Relatief | 8 |
| Gebouw3D | 19 | 1 | 08:58, 20 mrt 2020 | | | Polygoon | 246719,50 | 443360,49 | 8,40 | 8,40 | 0,00 | Relatief | 4 |
| Gebouw3D | 20 | 1 | 08:58, 20 mrt 2020 | | | Polygoon | 246669,35 | 443534,57 | 2,60 | 2,60 | 0,00 | Relatief | 6 |
| Gebouw3D | 21 | 1 | 08:58, 20 mrt 2020 | | | Polygoon | 246688,59 | 443472,26 | 0,00 | 0,00 | 0,00 | Relatief | 7 |
| Gebouw3D | 22 | 1 | 08:58, 20 mrt 2020 | | | Polygoon | 246652,32 | 443540,74 | 6,50 | 6,50 | 0,00 | Relatief | 6 |
| Gebouw3D | 50 | 1 | 08:58, 20 mrt 2020 | | | Polygoon | 247046,38 | 443597,61 | 7,30 | 7,30 | 0,00 | Relatief | 5 |
| Gebouw3D | 51 | 1 | 08:58, 20 mrt 2020 | | | Polygoon | 247046,38 | 443597,61 | 7,40 | 7,40 | 0,00 | Relatief | 6 |
| Gebouw3D | 52 | 1 | 08:58, 20 mrt 2020 | | | Polygoon | 247047,59 | 443563,77 | 9,30 | 9,30 | 0,00 | Relatief | 11 |
| Gebouw3D | 53 | 1 | 08:58, 20 mrt 2020 | | | Polygoon | 247047,83 | 443607,44 | 7,30 | 7,30 | 0,00 | Relatief | 5 |
| Gebouw3D | 54 | 1 | 08:58, 20 mrt 2020 | | | Polygoon | 247048,57 | 443585,26 | 9,10 | 9,10 | 0,00 | Relatief | 11 |
| Gebouw3D | 55 | 1 | 08:58, 20 mrt 2020 | | | Polygoon | 247048,56 | 443612,42 | 7,40 | 7,40 | 0,00 | Relatief | 7 |
| Gebouw3D | 56 | 1 | 08:58, 20 mrt 2020 | | | Polygoon | 247048,70 | 443547,38 | 8,80 | 8,80 | 0,00 | Relatief | 6 |
| Gebouw3D | 57 | 1 | 08:58, 20 mrt 2020 | | | Polygoon | 247048,93 | 443552,60 | 8,60 | 8,60 | 0,00 | Relatief | 6 |
| Gebouw3D | 58 | 1 | 08:58, 20 mrt 2020 | | | Polygoon | 247050,17 | 443623,60 | 7,40 | 7,40 | 0,00 | Relatief | 6 |
| Gebouw3D | 59 | 1 | 08:58, 20 mrt 2020 | | | Polygoon | 247050,17 | 443623,60 | 7,40 | 7,40 | 0,00 | Relatief | 6 |
| Gebouw3D | 60 | 1 | 08:58, 20 mrt 2020 | | | Polygoon | 247051,85 | 443634,88 | 7,30 | 7,30 | 0,00 | Relatief | 6 |
| Gebouw3D | 61 | 1 | 08:58, 20 mrt 2020 | | | Polygoon | 247052,53 | 443639,71 | 7,30 | 7,30 | 0,00 | Relatief | 6 |
| Gebouw3D | 62 | 1 | 08:58, 20 mrt 2020 | | | Polygoon | 247070,87 | 443551,23 | 2,40 | 2,40 | 0,00 | Relatief | 5 |
| Gebouw3D | 63 | 1 | 08:58, 20 mrt 2020 | | | Polygoon | 247070,77 | 443620,43 | 2,20 | 2,20 | 0,00 | Relatief | 4 |
| Gebouw3D | 64 | 1 | 08:58, 20 mrt 2020 | | | Polygoon | 247070,81 | 443610,68 | 2,20 | 2,20 | 0,00 | Relatief | 4 |
| Gebouw3D | 65 | 1 | 08:58, 20 mrt 2020 | | | Polygoon | 247071,16 | 443585,48 | 2,60 | 2,60 | 0,00 | Relatief | 5 |
| Gebouw3D | 66 | 1 | 08:58, 20 mrt 2020 | | | Polygoon | 247070,87 | 443551,23 | 2,20 | 2,20 | 0,00 | Relatief | 5 |
| Gebouw3D | 67 | 1 | 08:58, 20 mrt 2020 | | | Polygoon | 247071,16 | 443585,48 | 2,20 | 2,20 | 0,00 | Relatief | 4 |
| Gebouw3D | 68 | 1 | 08:58, 20 mrt 2020 | | | Polygoon | 247071,36 | 443632,10 | 2,20 | 2,20 | 0,00 | Relatief | 4 |
| Gebouw3D | 69 | 1 | 08:58, 20 mrt 2020 | | | Polygoon | 247071,79 | 443559,60 | 0,00 | 0,00 | 0,00 | Relatief | 4 |
| Gebouw3D | 70 | 1 | 08:58, 20 mrt 2020 | | | Polygoon | 247072,25 | 443641,61 | 2,10 | 2,10 | 0,00 | Relatief | 4 |
| Gebouw3D | 71 | 1 | 08:58, 20 mrt 2020 | | | Polygoon | 247090,48 | 443638,56 | 3,00 | 3,00 | 0,00 | Relatief | 4 |
| Gebouw3D | 72 | 1 | 08:58, 20 mrt 2020 | | | Polygoon | 247087,03 | 443986,13 | 7,10 | 7,10 | 0,00 | Relatief | 10 |
| Gebouw3D | 73 | 1 | 08:58, 20 mrt 2020 | | | Polygoon | 247033,78 | 443985,73 | 2,40 | 2,40 | 0,00 | Relatief | 5 |
| Gebouw3D | 74 | 1 | 08:58, 20 mrt 2020 | | | Polygoon | 247050,37 | 443987,58 | 7,10 | 7,10 | 0,00 | Relatief | 7 |
| Gebouw3D | 75 | 1 | 08:58, 20 mrt 2020 | | | Polygoon | 247049,92 | 443993,55 | 7,10 | 7,10 | 0,00 | Relatief | 6 |

# Invoergegevens van het model

Model: Jager
Jager - Jager
Groep: (hoofdgroep)
Lijst van Gebouwen, voor rekenmethode Wegverkeerslawaai - RMW-2012

| Groep | Omtrek | Oppervlak | Min.lengte | Max.lengte | Functie | BAG-id | Gemeente | Jaar | AHN-jaar | Trust | Cp | Zwevend | Refl. 63 | Refl. 125 | Refl. 250 |
|---|---|---|---|---|---|---|---|---|---|---|---|---|---|---|---|
| Gebouw3D | 89,08 | 472,73 | 0,01 | 29,63 | | | | 0 | 0 | 0 | 0 dB | False | 0,80 | 0,80 | 0,80 |
| Gebouw3D | 87,24 | 329,80 | 0,01 | 29,63 | | | | 0 | 0 | 0 | 0 dB | False | 0,80 | 0,80 | 0,80 |
| Gebouw3D | 60,52 | 192,37 | 0,21 | 8,66 | | | | 0 | 0 | 0 | 0 dB | False | 0,80 | 0,80 | 0,80 |
| Gebouw3D | 80,28 | 186,85 | 0,11 | 12,77 | | | | 0 | 0 | 0 | 0 dB | False | 0,80 | 0,80 | 0,80 |
| Gebouw3D | 76,88 | 235,19 | 0,01 | 23,84 | | | | 0 | 0 | 0 | 0 dB | False | 0,80 | 0,80 | 0,80 |
| Gebouw3D | 70,64 | 216,56 | 0,82 | 14,28 | | | | 0 | 0 | 0 | 0 dB | False | 0,80 | 0,80 | 0,80 |
| Gebouw3D | 59,77 | 187,71 | 8,98 | 20,90 | | | | 0 | 0 | 0 | 0 dB | False | 0,80 | 0,80 | 0,80 |
| Gebouw3D | 38,90 | 74,93 | 1,46 | 12,93 | | | | 0 | 0 | 0 | 0 dB | False | 0,80 | 0,80 | 0,80 |
| Gebouw3D | 31,53 | 58,83 | 0,47 | 10,66 | | | | 0 | 0 | 0 | 0 dB | False | 0,80 | 0,80 | 0,80 |
| Gebouw3D | 36,55 | 76,81 | 0,06 | 11,73 | | | | 0 | 0 | 0 | 0 dB | False | 0,80 | 0,80 | 0,80 |
| Gebouw3D | 35,68 | 65,72 | 5,19 | 12,57 | | | | 0 | 0 | 0 | 0 dB | False | 0,80 | 0,80 | 0,80 |
| Gebouw3D | 35,08 | 49,77 | 2,44 | 12,57 | | | | 0 | 0 | 0 | 0 dB | False | 0,80 | 0,80 | 0,80 |
| Gebouw3D | 39,88 | 62,37 | 0,33 | 15,00 | | | | 0 | 0 | 0 | 0 dB | False | 0,80 | 0,80 | 0,80 |
| Gebouw3D | 35,44 | 63,83 | 5,03 | 12,58 | | | | 0 | 0 | 0 | 0 dB | False | 0,80 | 0,80 | 0,80 |
| Gebouw3D | 40,37 | 57,63 | 0,04 | 15,19 | | | | 0 | 0 | 0 | 0 dB | False | 0,80 | 0,80 | 0,80 |
| Gebouw3D | 35,14 | 48,47 | 2,06 | 7,52 | | | | 0 | 0 | 0 | 0 dB | False | 0,80 | 0,80 | 0,80 |
| Gebouw3D | 38,06 | 56,13 | 2,42 | 13,80 | | | | 0 | 0 | 0 | 0 dB | False | 0,80 | 0,80 | 0,80 |
| Gebouw3D | 38,34 | 56,85 | 2,35 | 13,80 | | | | 0 | 0 | 0 | 0 dB | False | 0,80 | 0,80 | 0,80 |
| Gebouw3D | 35,67 | 49,36 | 2,08 | 12,70 | | | | 0 | 0 | 0 | 0 dB | False | 0,80 | 0,80 | 0,80 |
| Gebouw3D | 35,67 | 50,31 | 2,26 | 12,70 | | | | 0 | 0 | 0 | 0 dB | False | 0,80 | 0,80 | 0,80 |
| Gebouw3D | 35,13 | 47,43 | 2,13 | 12,67 | | | | 0 | 0 | 0 | 0 dB | False | 0,80 | 0,80 | 0,80 |
| Gebouw3D | 35,17 | 47,45 | 2,05 | 12,68 | | | | 0 | 0 | 0 | 0 dB | False | 0,80 | 0,80 | 0,80 |
| Gebouw3D | 16,38 | 15,59 | 0,34 | 5,17 | | | | 0 | 0 | 0 | 0 dB | False | 0,80 | 0,80 | 0,80 |
| Gebouw3D | 12,14 | 9,19 | 2,92 | 3,16 | | | | 0 | 0 | 0 | 0 dB | False | 0,80 | 0,80 | 0,80 |
| Gebouw3D | 12,75 | 10,14 | 3,01 | 3,38 | | | | 0 | 0 | 0 | 0 dB | False | 0,80 | 0,80 | 0,80 |
| Gebouw3D | 12,09 | 9,07 | 0,16 | 3,08 | | | | 0 | 0 | 0 | 0 dB | False | 0,80 | 0,80 | 0,80 |
| Gebouw3D | 12,19 | 9,31 | 0,34 | 3,08 | | | | 0 | 0 | 0 | 0 dB | False | 0,80 | 0,80 | 0,80 |
| Gebouw3D | 11,69 | 8,53 | 2,79 | 3,05 | | | | 0 | 0 | 0 | 0 dB | False | 0,80 | 0,80 | 0,80 |
| Gebouw3D | 11,85 | 8,77 | 2,86 | 3,00 | | | | 0 | 0 | 0 | 0 dB | False | 0,80 | 0,80 | 0,80 |
| Gebouw3D | 11,74 | 8,61 | 2,90 | 2,97 | | | | 0 | 0 | 0 | 0 dB | False | 0,80 | 0,80 | 0,80 |
| Gebouw3D | 12,20 | 9,30 | 3,01 | 3,08 | | | | 0 | 0 | 0 | 0 dB | False | 0,80 | 0,80 | 0,80 |
| Gebouw3D | 19,42 | 22,34 | 3,75 | 5,96 | | | | 0 | 0 | 0 | 0 dB | False | 0,80 | 0,80 | 0,80 |
| Gebouw3D | 35,22 | 49,06 | 0,10 | 9,37 | | | | 0 | 0 | 0 | 0 dB | False | 0,80 | 0,80 | 0,80 |
| Gebouw3D | 14,04 | 12,54 | 0,82 | 3,72 | | | | 0 | 0 | 0 | 0 dB | False | 0,80 | 0,80 | 0,80 |
| Gebouw3D | 26,35 | 43,07 | 0,02 | 7,15 | | | | 0 | 0 | 0 | 0 dB | False | 0,80 | 0,80 | 0,80 |
| Gebouw3D | 30,38 | 47,07 | 2,05 | 9,22 | | | | 0 | 0 | 0 | 0 dB | False | 0,80 | 0,80 | 0,80 |

Model: Jager
Jager - Jager
Groep: (hoofdgroep)
Lijst van Gebouwen, voor rekenmethode Wegverkeerslawaai - RMW-2012

| Groep | Refl. 500 | Refl. 1k | Refl. 2k | Refl. 4k | Refl. 8k |
|---|---|---|---|---|---|
| Gebouw3D | 0,80 | 0,80 | 0,80 | 0,80 | 0,80 |
| Gebouw3D | 0,80 | 0,80 | 0,80 | 0,80 | 0,80 |
| Gebouw3D | 0,80 | 0,80 | 0,80 | 0,80 | 0,80 |
| Gebouw3D | 0,80 | 0,80 | 0,80 | 0,80 | 0,80 |
| Gebouw3D | 0,80 | 0,80 | 0,80 | 0,80 | 0,80 |
| Gebouw3D | 0,80 | 0,80 | 0,80 | 0,80 | 0,80 |
| Gebouw3D | 0,80 | 0,80 | 0,80 | 0,80 | 0,80 |
| Gebouw3D | 0,80 | 0,80 | 0,80 | 0,80 | 0,80 |
| Gebouw3D | 0,80 | 0,80 | 0,80 | 0,80 | 0,80 |
| Gebouw3D | 0,80 | 0,80 | 0,80 | 0,80 | 0,80 |
| Gebouw3D | 0,80 | 0,80 | 0,80 | 0,80 | 0,80 |
| Gebouw3D | 0,80 | 0,80 | 0,80 | 0,80 | 0,80 |
| Gebouw3D | 0,80 | 0,80 | 0,80 | 0,80 | 0,80 |
| Gebouw3D | 0,80 | 0,80 | 0,80 | 0,80 | 0,80 |
| Gebouw3D | 0,80 | 0,80 | 0,80 | 0,80 | 0,80 |
| Gebouw3D | 0,80 | 0,80 | 0,80 | 0,80 | 0,80 |
| Gebouw3D | 0,80 | 0,80 | 0,80 | 0,80 | 0,80 |
| Gebouw3D | 0,80 | 0,80 | 0,80 | 0,80 | 0,80 |
| Gebouw3D | 0,80 | 0,80 | 0,80 | 0,80 | 0,80 |
| Gebouw3D | 0,80 | 0,80 | 0,80 | 0,80 | 0,80 |
| Gebouw3D | 0,80 | 0,80 | 0,80 | 0,80 | 0,80 |
| Gebouw3D | 0,80 | 0,80 | 0,80 | 0,80 | 0,80 |
| Gebouw3D | 0,80 | 0,80 | 0,80 | 0,80 | 0,80 |
| Gebouw3D | 0,80 | 0,80 | 0,80 | 0,80 | 0,80 |
| Gebouw3D | 0,80 | 0,80 | 0,80 | 0,80 | 0,80 |
| Gebouw3D | 0,80 | 0,80 | 0,80 | 0,80 | 0,80 |
| Gebouw3D | 0,80 | 0,80 | 0,80 | 0,80 | 0,80 |
| Gebouw3D | 0,80 | 0,80 | 0,80 | 0,80 | 0,80 |
| Gebouw3D | 0,80 | 0,80 | 0,80 | 0,80 | 0,80 |
| Gebouw3D | 0,80 | 0,80 | 0,80 | 0,80 | 0,80 |
| Gebouw3D | 0,80 | 0,80 | 0,80 | 0,80 | 0,80 |
| Gebouw3D | 0,80 | 0,80 | 0,80 | 0,80 | 0,80 |

# Invoergegevens van het model

Model: Jager
Jager - Jager
Groep: (hoofdgroep)
Lijst van Gebouwen, voor rekenmethode Wegverkeerslawaai - RMW-2012

| Groep | ItemID | Grp.ID | Datum | Naam | Omschr. | Vorm | X-1 | Y-1 | Hoogte | Rel.H | Maaiveld | Hdef. | Vormpunten |
|---|---|---|---|---|---|---|---|---|---|---|---|---|---|
| Gebouw3D | 76 | 1 | 08:58, 20 mrt 2020 | | | Polygoon | 247029,96 | 443997,22 | 2,40 | 2,40 | 0,00 | Relatief | 4 |
| Gebouw3D | 77 | 1 | 08:58, 20 mrt 2020 | | | Polygoon | 247086,05 | 443998,93 | 2,50 | 2,50 | 0,00 | Relatief | 4 |
| Gebouw3D | 78 | 1 | 08:58, 20 mrt 2020 | | | Polygoon | 247043,29 | 444010,41 | 2,40 | 2,40 | 0,00 | Relatief | 4 |
| Gebouw3D | 79 | 1 | 08:58, 20 mrt 2020 | | | Polygoon | 247019,64 | 444013,17 | 2,30 | 2,30 | 0,00 | Relatief | 4 |
| Gebouw3D | 80 | 1 | 08:58, 20 mrt 2020 | | | Polygoon | 247078,90 | 444013,04 | 7,10 | 7,10 | 0,00 | Relatief | 4 |
| Gebouw3D | 81 | 1 | 08:58, 20 mrt 2020 | | | Polygoon | 247030,24 | 444024,98 | 7,10 | 7,10 | 0,00 | Relatief | 8 |
| Gebouw3D | 82 | 1 | 08:58, 20 mrt 2020 | | | Polygoon | 247048,25 | 444026,31 | 7,10 | 7,10 | 0,00 | Relatief | 8 |
| Gebouw3D | 83 | 1 | 08:58, 20 mrt 2020 | | | Polygoon | 247078,48 | 444018,27 | 7,00 | 7,00 | 0,00 | Relatief | 4 |
| Gebouw3D | 84 | 1 | 08:58, 20 mrt 2020 | | | Polygoon | 247018,82 | 444024,09 | 2,40 | 2,40 | 0,00 | Relatief | 4 |
| Gebouw3D | 85 | 1 | 08:58, 20 mrt 2020 | | | Polygoon | 247078,00 | 444024,21 | 7,10 | 7,10 | 0,00 | Relatief | 12 |
| Gebouw3D | 96 | 1 | 08:58, 20 mrt 2020 | | | Polygoon | 247042,15 | 444025,86 | 7,10 | 7,10 | 0,00 | Relatief | 8 |
| Gebouw3D | 97 | 1 | 08:58, 20 mrt 2020 | | | Polygoon | 247079,43 | 444006,40 | 7,10 | 7,10 | 0,00 | Relatief | 6 |
| Gebouw3D | 99 | 1 | 08:58, 20 mrt 2020 | | | Polygoon | 247047,41 | 443999,35 | 7,40 | 7,40 | 0,00 | Relatief | 6 |
| Gebouw3D | 100 | 1 | 08:58, 20 mrt 2020 | | | Polygoon | 247002,32 | 444014,96 | 7,10 | 7,10 | 0,00 | Relatief | 6 |
| Gebouw3D | 101 | 1 | 08:58, 20 mrt 2020 | | | Polygoon | 247015,62 | 443987,66 | 6,40 | 6,40 | 0,00 | Relatief | 8 |
| Gebouw3D | 102 | 1 | 08:58, 20 mrt 2020 | | | Polygoon | 247018,41 | 443996,74 | 6,90 | 6,90 | 0,00 | Relatief | 9 |
| Gebouw3D | 103 | 1 | 08:58, 20 mrt 2020 | | | Polygoon | 247036,22 | 444025,42 | 7,10 | 7,10 | 0,00 | Relatief | 10 |
| Gebouw3D | 104 | 1 | 08:58, 20 mrt 2020 | | | Polygoon | 247033,78 | 443985,73 | 2,40 | 2,40 | 0,00 | Relatief | 5 |
| Gebouw3D | 105 | 1 | 08:58, 20 mrt 2020 | | | Polygoon | 247031,35 | 444009,47 | 2,40 | 2,40 | 0,00 | Relatief | 4 |
| Gebouw3D | 106 | 1 | 08:58, 20 mrt 2020 | | | Polygoon | 247052,17 | 444007,59 | 2,40 | 2,40 | 0,00 | Relatief | 4 |
| Gebouw3D | 107 | 1 | 08:58, 20 mrt 2020 | | | Polygoon | 247024,48 | 443978,62 | 3,00 | 3,00 | 0,00 | Relatief | 4 |
| Gebouw3D | 1743 | 1 | 08:58, 20 mrt 2020 | | | Polygoon | 246772,89 | 443282,37 | 10,90 | 10,90 | 0,00 | Relatief | 8 |
| Gebouw3D | 1747 | 1 | 08:58, 20 mrt 2020 | | | Polygoon | 246786,54 | 443322,43 | 10,90 | 10,90 | 0,00 | Relatief | 8 |
| Gebouw3D | 1751 | 1 | 08:58, 20 mrt 2020 | | | Polygoon | 246816,90 | 443287,75 | 8,40 | 8,40 | 0,00 | Relatief | 12 |
| Gebouw3D | 1754 | 1 | 08:58, 20 mrt 2020 | | | Polygoon | 246841,10 | 443315,69 | 18,00 | 18,00 | 0,00 | Relatief | 12 |
| Gebouw3D | 1755 | 1 | 08:58, 20 mrt 2020 | | | Polygoon | 246844,86 | 443276,96 | 8,30 | 8,30 | 0,00 | Relatief | 6 |
| Gebouw3D | 1757 | 1 | 08:58, 20 mrt 2020 | | | Polygoon | 246844,86 | 443276,96 | 8,40 | 8,40 | 0,00 | Relatief | 6 |
| Gebouw3D | 1758 | 1 | 08:58, 20 mrt 2020 | | | Polygoon | 246851,86 | 443274,31 | 7,40 | 7,40 | 0,00 | Relatief | 4 |
| Gebouw3D | 1760 | 1 | 08:58, 20 mrt 2020 | | | Polygoon | 246867,58 | 443294,97 | 2,60 | 2,60 | 0,00 | Relatief | 10 |
| Gebouw3D | 1761 | 1 | 08:58, 20 mrt 2020 | | | Polygoon | 246867,22 | 443280,20 | 7,80 | 7,80 | 0,00 | Relatief | 8 |
| Gebouw3D | 1774 | 1 | 08:58, 20 mrt 2020 | | | Polygoon | 246964,68 | 443243,27 | 3,30 | 3,30 | 0,00 | Relatief | 4 |
| Gebouw3D | 2286 | 1 | 08:58, 20 mrt 2020 | | | Polygoon | 246772,89 | 443282,37 | 10,90 | 10,90 | 0,00 | Relatief | 4 |
| Gebouw3D | 2665 | 1 | 08:58, 20 mrt 2020 | | | Polygoon | 247015,52 | 443216,62 | 8,70 | 8,70 | 0,00 | Relatief | 6 |
| Gebouw3D | 2666 | 1 | 08:58, 20 mrt 2020 | | | Polygoon | 247013,96 | 443259,58 | 3,00 | 3,00 | 0,00 | Relatief | 4 |
| Gebouw3D | 2667 | 1 | 08:58, 20 mrt 2020 | | | Polygoon | 247020,57 | 443229,81 | 4,10 | 4,10 | 0,00 | Relatief | 4 |
| Gebouw3D | 2668 | 1 | 08:58, 20 mrt 2020 | | | Polygoon | 247015,52 | 443216,62 | 8,60 | 8,60 | 0,00 | Relatief | 6 |

# Invoergegevens van het model

Model: Jager
Jager - Jager
Groep: (hoofdgroep)
Lijst van Gebouwen, voor rekenmethode Wegverkeerslawaai - RMW-2012

| Groep | Omtrek | Oppervlak | Min.lengte | Max.lengte | Functie | BAG-id | Gemeente | Jaar | AHN-jaar | Trust | Cp | Zwevend | Refl. 63 | Refl. 125 | Refl. 250 |
|---|---|---|---|---|---|---|---|---|---|---|---|---|---|---|---|
| Gebouw3D | 13,66 | 11,66 | 3,40 | 3,42 | | | | 0 | 0 | 0 | 0 dB | False | 0,80 | 0,80 | 0,80 |
| Gebouw3D | 14,13 | 12,48 | 3,52 | 3,56 | | | | 0 | 0 | 0 | 0 dB | False | 0,80 | 0,80 | 0,80 |
| Gebouw3D | 13,60 | 11,55 | 3,30 | 3,50 | | | | 0 | 0 | 0 | 0 dB | False | 0,80 | 0,80 | 0,80 |
| Gebouw3D | 16,87 | 17,25 | 3,46 | 4,97 | | | | 0 | 0 | 0 | 0 dB | False | 0,80 | 0,80 | 0,80 |
| Gebouw3D | 24,49 | 36,74 | 5,25 | 6,98 | | | | 0 | 0 | 0 | 0 dB | False | 0,80 | 0,80 | 0,80 |
| Gebouw3D | 31,49 | 48,50 | 0,31 | 6,94 | | | | 0 | 0 | 0 | 0 dB | False | 0,80 | 0,80 | 0,80 |
| Gebouw3D | 30,27 | 47,32 | 0,38 | 6,94 | | | | 0 | 0 | 0 | 0 dB | False | 0,80 | 0,80 | 0,80 |
| Gebouw3D | 25,88 | 41,61 | 5,96 | 6,98 | | | | 0 | 0 | 0 | 0 dB | False | 0,80 | 0,80 | 0,80 |
| Gebouw3D | 16,86 | 17,11 | 3,35 | 5,09 | | | | 0 | 0 | 0 | 0 dB | False | 0,80 | 0,80 | 0,80 |
| Gebouw3D | 32,29 | 49,69 | 0,41 | 6,98 | | | | 0 | 0 | 0 | 0 dB | False | 0,80 | 0,80 | 0,80 |
| Gebouw3D | 30,00 | 46,71 | 0,18 | 6,94 | | | | 0 | 0 | 0 | 0 dB | False | 0,80 | 0,80 | 0,80 |
| Gebouw3D | 27,28 | 46,49 | 0,69 | 6,98 | | | | 0 | 0 | 0 | 0 dB | False | 0,80 | 0,80 | 0,80 |
| Gebouw3D | 31,30 | 46,34 | 0,12 | 9,22 | | | | 0 | 0 | 0 | 0 dB | False | 0,80 | 0,80 | 0,80 |
| Gebouw3D | 30,97 | 46,21 | 0,08 | 9,04 | | | | 0 | 0 | 0 | 0 dB | False | 0,80 | 0,80 | 0,80 |
| Gebouw3D | 39,99 | 81,19 | 0,96 | 9,63 | | | | 0 | 0 | 0 | 0 dB | False | 0,80 | 0,80 | 0,80 |
| Gebouw3D | 41,98 | 89,25 | 1,08 | 8,81 | | | | 0 | 0 | 0 | 0 dB | False | 0,80 | 0,80 | 0,80 |
| Gebouw3D | 33,36 | 46,00 | 0,09 | 8,69 | | | | 0 | 0 | 0 | 0 dB | False | 0,80 | 0,80 | 0,80 |
| Gebouw3D | 13,85 | 11,67 | 0,82 | 3,53 | | | | 0 | 0 | 0 | 0 dB | False | 0,80 | 0,80 | 0,80 |
| Gebouw3D | 15,92 | 15,62 | 3,51 | 4,44 | | | | 0 | 0 | 0 | 0 dB | False | 0,80 | 0,80 | 0,80 |
| Gebouw3D | 14,21 | 12,61 | 3,44 | 3,65 | | | | 0 | 0 | 0 | 0 dB | False | 0,80 | 0,80 | 0,80 |
| Gebouw3D | 24,03 | 30,09 | 3,56 | 8,46 | | | | 0 | 0 | 0 | 0 dB | False | 0,80 | 0,80 | 0,80 |
| Gebouw3D | 41,03 | 84,63 | 0,94 | 10,93 | | | | 0 | 0 | 0 | 0 dB | False | 0,80 | 0,80 | 0,80 |
| Gebouw3D | 47,62 | 129,40 | 1,80 | 11,61 | | | | 0 | 0 | 0 | 0 dB | False | 0,80 | 0,80 | 0,80 |
| Gebouw3D | 111,79 | 377,45 | 1,89 | 24,80 | | | | 0 | 0 | 0 | 0 dB | False | 0,80 | 0,80 | 0,80 |
| Gebouw3D | 81,94 | 388,16 | 0,10 | 25,75 | | | | 0 | 0 | 0 | 0 dB | False | 0,80 | 0,80 | 0,80 |
| Gebouw3D | 45,05 | 72,27 | 2,87 | 16,57 | | | | 0 | 0 | 0 | 0 dB | False | 0,80 | 0,80 | 0,80 |
| Gebouw3D | 46,15 | 82,57 | 2,90 | 16,57 | | | | 0 | 0 | 0 | 0 dB | False | 0,80 | 0,80 | 0,80 |
| Gebouw3D | 34,09 | 70,60 | 7,09 | 9,95 | | | | 0 | 0 | 0 | 0 dB | False | 0,80 | 0,80 | 0,80 |
| Gebouw3D | 33,89 | 52,31 | 0,60 | 7,60 | | | | 0 | 0 | 0 | 0 dB | False | 0,80 | 0,80 | 0,80 |
| Gebouw3D | 36,01 | 66,69 | 0,74 | 9,07 | | | | 0 | 0 | 0 | 0 dB | False | 0,80 | 0,80 | 0,80 |
| Gebouw3D | 26,73 | 41,62 | 4,94 | 8,43 | | | | 0 | 0 | 0 | 0 dB | False | 0,80 | 0,80 | 0,80 |
| Gebouw3D | 39,50 | 96,40 | 8,82 | 10,93 | | | | 0 | 0 | 0 | 0 dB | False | 0,80 | 0,80 | 0,80 |
| Gebouw3D | 30,31 | 50,19 | 1,23 | 9,46 | | | | 0 | 0 | 0 | 0 dB | False | 0,80 | 0,80 | 0,80 |
| Gebouw3D | 19,27 | 21,32 | 3,45 | 6,19 | | | | 0 | 0 | 0 | 0 dB | False | 0,80 | 0,80 | 0,80 |
| Gebouw3D | 20,75 | 25,78 | 4,12 | 6,26 | | | | 0 | 0 | 0 | 0 dB | False | 0,80 | 0,80 | 0,80 |
| Gebouw3D | 32,16 | 58,61 | 1,22 | 9,46 | | | | 0 | 0 | 0 | 0 dB | False | 0,80 | 0,80 | 0,80 |

Model: Jager
Jager - Jager
Groep: (hoofdgroep)
Lijst van Gebouwen, voor rekenmethode Wegverkeerslawaai - RMW-2012

| Groep | Refl. 500 | Refl. 1k | Refl. 2k | Refl. 4k | Refl. 8k |
|---|---|---|---|---|---|
| Gebouw3D | 0,80 | 0,80 | 0,80 | 0,80 | 0,80 |
| Gebouw3D | 0,80 | 0,80 | 0,80 | 0,80 | 0,80 |
| Gebouw3D | 0,80 | 0,80 | 0,80 | 0,80 | 0,80 |
| Gebouw3D | 0,80 | 0,80 | 0,80 | 0,80 | 0,80 |
| Gebouw3D | 0,80 | 0,80 | 0,80 | 0,80 | 0,80 |
| Gebouw3D | 0,80 | 0,80 | 0,80 | 0,80 | 0,80 |
| Gebouw3D | 0,80 | 0,80 | 0,80 | 0,80 | 0,80 |
| Gebouw3D | 0,80 | 0,80 | 0,80 | 0,80 | 0,80 |
| Gebouw3D | 0,80 | 0,80 | 0,80 | 0,80 | 0,80 |
| Gebouw3D | 0,80 | 0,80 | 0,80 | 0,80 | 0,80 |
| Gebouw3D | 0,80 | 0,80 | 0,80 | 0,80 | 0,80 |
| Gebouw3D | 0,80 | 0,80 | 0,80 | 0,80 | 0,80 |
| Gebouw3D | 0,80 | 0,80 | 0,80 | 0,80 | 0,80 |
| Gebouw3D | 0,80 | 0,80 | 0,80 | 0,80 | 0,80 |
| Gebouw3D | 0,80 | 0,80 | 0,80 | 0,80 | 0,80 |
| Gebouw3D | 0,80 | 0,80 | 0,80 | 0,80 | 0,80 |
| Gebouw3D | 0,80 | 0,80 | 0,80 | 0,80 | 0,80 |
| Gebouw3D | 0,80 | 0,80 | 0,80 | 0,80 | 0,80 |
| Gebouw3D | 0,80 | 0,80 | 0,80 | 0,80 | 0,80 |
| Gebouw3D | 0,80 | 0,80 | 0,80 | 0,80 | 0,80 |
| Gebouw3D | 0,80 | 0,80 | 0,80 | 0,80 | 0,80 |
| Gebouw3D | 0,80 | 0,80 | 0,80 | 0,80 | 0,80 |
| Gebouw3D | 0,80 | 0,80 | 0,80 | 0,80 | 0,80 |
| Gebouw3D | 0,80 | 0,80 | 0,80 | 0,80 | 0,80 |
| Gebouw3D | 0,80 | 0,80 | 0,80 | 0,80 | 0,80 |
| Gebouw3D | 0,80 | 0,80 | 0,80 | 0,80 | 0,80 |
| Gebouw3D | 0,80 | 0,80 | 0,80 | 0,80 | 0,80 |
| Gebouw3D | 0,80 | 0,80 | 0,80 | 0,80 | 0,80 |
| Gebouw3D | 0,80 | 0,80 | 0,80 | 0,80 | 0,80 |
| Gebouw3D | 0,80 | 0,80 | 0,80 | 0,80 | 0,80 |
| Gebouw3D | 0,80 | 0,80 | 0,80 | 0,80 | 0,80 |
| Gebouw3D | 0,80 | 0,80 | 0,80 | 0,80 | 0,80 |

# Invoergegevens van het model

Model: Jager
Jager - Jager
Groep: (hoofdgroep)
Lijst van Gebouwen, voor rekenmethode Wegverkeerslawaai - RMW-2012

| Groep | ItemID | Grp.ID | Datum | Naam | Omschr. | Vorm | X-1 | Y-1 | Hoogte | Rel.H | Maaiveld | Hdef. | Vormpunten |
|---|---|---|---|---|---|---|---|---|---|---|---|---|---|
| Gebouw3D | 2669 | 1 | 08:58, 20 mrt 2020 | | | Polygoon | 247018,20 | 443263,34 | 6,00 | 6,00 | 0,00 | Relatief | 14 |
| Gebouw3D | 2671 | 1 | 08:58, 20 mrt 2020 | | | Polygoon | 247049,29 | 443245,29 | 6,10 | 6,10 | 0,00 | Relatief | 4 |
| Gebouw3D | 2675 | 1 | 08:58, 20 mrt 2020 | | | Polygoon | 247072,42 | 443269,81 | 2,90 | 2,90 | 0,00 | Relatief | 4 |
| Gebouw3D | 2676 | 1 | 08:58, 20 mrt 2020 | | | Polygoon | 247116,03 | 443233,62 | 9,40 | 9,40 | 0,00 | Relatief | 4 |
| Gebouw3D | 2678 | 1 | 08:58, 20 mrt 2020 | | | Polygoon | 247171,94 | 443346,76 | 8,00 | 8,00 | 0,00 | Relatief | 8 |
| Gebouw3D | 2679 | 1 | 08:58, 20 mrt 2020 | | | Polygoon | 247184,09 | 443337,33 | 8,80 | 8,80 | 0,00 | Relatief | 11 |
| Gebouw3D | 2680 | 1 | 08:58, 20 mrt 2020 | | | Polygoon | 247028,37 | 443224,82 | 2,40 | 2,40 | 0,00 | Relatief | 4 |
| Gebouw3D | 2731 | 1 | 08:58, 20 mrt 2020 | | | Polygoon | 246737,82 | 443413,48 | 11,10 | 11,10 | 0,00 | Relatief | 4 |
| Gebouw3D | 2732 | 1 | 08:58, 20 mrt 2020 | | | Polygoon | 246740,63 | 443341,08 | 8,30 | 8,30 | 0,00 | Relatief | 10 |
| Gebouw3D | 2733 | 1 | 08:58, 20 mrt 2020 | | | Polygoon | 246739,27 | 443418,75 | 11,00 | 11,00 | 0,00 | Relatief | 4 |
| Gebouw3D | 2734 | 1 | 08:58, 20 mrt 2020 | | | Polygoon | 246742,57 | 443331,96 | 8,20 | 8,20 | 0,00 | Relatief | 10 |
| Gebouw3D | 2735 | 1 | 08:58, 20 mrt 2020 | | | Polygoon | 246740,96 | 443355,92 | 8,20 | 8,20 | 0,00 | Relatief | 6 |
| Gebouw3D | 2736 | 1 | 08:58, 20 mrt 2020 | | | Polygoon | 246742,18 | 443360,83 | 8,30 | 8,30 | 0,00 | Relatief | 6 |
| Gebouw3D | 2737 | 1 | 08:58, 20 mrt 2020 | | | Polygoon | 246744,40 | 443326,66 | 8,30 | 8,30 | 0,00 | Relatief | 6 |
| Gebouw3D | 2738 | 1 | 08:58, 20 mrt 2020 | | | Polygoon | 246746,07 | 443321,85 | 8,20 | 8,20 | 0,00 | Relatief | 6 |
| Gebouw3D | 2739 | 1 | 08:58, 20 mrt 2020 | | | Polygoon | 246746,07 | 443321,85 | 8,30 | 8,30 | 0,00 | Relatief | 6 |
| Gebouw3D | 2740 | 1 | 08:58, 20 mrt 2020 | | | Polygoon | 246749,00 | 443374,08 | 8,30 | 8,30 | 0,00 | Relatief | 6 |
| Gebouw3D | 2741 | 1 | 08:58, 20 mrt 2020 | | | Polygoon | 246749,00 | 443374,08 | 8,20 | 8,20 | 0,00 | Relatief | 6 |
| Gebouw3D | 2742 | 1 | 08:58, 20 mrt 2020 | | | Polygoon | 246750,37 | 443378,99 | 8,30 | 8,30 | 0,00 | Relatief | 6 |
| Gebouw3D | 2743 | 1 | 08:58, 20 mrt 2020 | | | Polygoon | 246764,39 | 443284,73 | 12,90 | 12,90 | 0,00 | Relatief | 12 |
| Gebouw3D | 2744 | 1 | 08:58, 20 mrt 2020 | | | Polygoon | 246751,79 | 443384,11 | 8,30 | 8,30 | 0,00 | Relatief | 6 |
| Gebouw3D | 2745 | 1 | 08:58, 20 mrt 2020 | | | Polygoon | 246751,91 | 443341,95 | 2,50 | 2,50 | 0,00 | Relatief | 6 |
| Gebouw3D | 2746 | 1 | 08:58, 20 mrt 2020 | | | Polygoon | 246753,16 | 443389,01 | 8,20 | 8,20 | 0,00 | Relatief | 8 |
| Gebouw3D | 2747 | 1 | 08:58, 20 mrt 2020 | | | Polygoon | 246754,86 | 443352,13 | 2,60 | 2,60 | 0,00 | Relatief | 4 |
| Gebouw3D | 2748 | 1 | 08:58, 20 mrt 2020 | | | Polygoon | 246754,86 | 443352,13 | 2,60 | 2,60 | 0,00 | Relatief | 4 |
| Gebouw3D | 2749 | 1 | 08:58, 20 mrt 2020 | | | Polygoon | 246757,26 | 443331,03 | 2,60 | 2,60 | 0,00 | Relatief | 4 |
| Gebouw3D | 2750 | 1 | 08:58, 20 mrt 2020 | | | Polygoon | 246756,30 | 443400,30 | 8,30 | 8,30 | 0,00 | Relatief | 8 |
| Gebouw3D | 2751 | 1 | 08:58, 20 mrt 2020 | | | Polygoon | 246760,36 | 443359,02 | 2,60 | 2,60 | 0,00 | Relatief | 4 |
| Gebouw3D | 2752 | 1 | 08:58, 20 mrt 2020 | | | Polygoon | 246757,26 | 443331,03 | 2,60 | 2,60 | 0,00 | Relatief | 4 |
| Gebouw3D | 2753 | 1 | 08:58, 20 mrt 2020 | | | Polygoon | 246759,14 | 443410,47 | 8,40 | 8,40 | 0,00 | Relatief | 10 |
| Gebouw3D | 2754 | 1 | 08:58, 20 mrt 2020 | | | Polygoon | 246760,44 | 443321,35 | 2,60 | 2,60 | 0,00 | Relatief | 4 |
| Gebouw3D | 2755 | 1 | 08:58, 20 mrt 2020 | | | Polygoon | 246773,68 | 443418,34 | 8,20 | 8,20 | 0,00 | Relatief | 12 |
| Gebouw3D | 2756 | 1 | 08:58, 20 mrt 2020 | | | Polygoon | 246763,47 | 443375,34 | 2,50 | 2,50 | 0,00 | Relatief | 4 |
| Gebouw3D | 2757 | 1 | 08:58, 20 mrt 2020 | | | Polygoon | 246766,18 | 443385,08 | 2,50 | 2,50 | 0,00 | Relatief | 4 |
| Gebouw3D | 2758 | 1 | 08:58, 20 mrt 2020 | | | Polygoon | 246769,64 | 443358,71 | 2,70 | 2,70 | 0,00 | Relatief | 4 |
| Gebouw3D | 2759 | 1 | 08:58, 20 mrt 2020 | | | Polygoon | 246769,04 | 443395,35 | 2,60 | 2,60 | 0,00 | Relatief | 4 |

# Invoergegevens van het model

Model: Jager
Jager - Jager
Groep: (hoofdgroep)
Lijst van Gebouwen, voor rekenmethode Wegverkeerslawaai - RMW-2012

| Groep | Omtrek | Oppervlak | Min.lengte | Max.lengte | Functie | BAG-id | Gemeente | Jaar | AHN-jaar | Trust | Cp | Zwevend | Refl. 63 | Refl. 125 | Refl. 250 |
|---|---|---|---|---|---|---|---|---|---|---|---|---|---|---|---|
| Gebouw3D | 220,67 | 1939,39 | 1,32 | 50,38 | | | | 0 | 0 | 0 | 0 dB | False | 0,80 | 0,80 | 0,80 |
| Gebouw3D | 127,90 | 992,22 | 24,20 | 37,02 | | | | 0 | 0 | 0 | 0 dB | False | 0,80 | 0,80 | 0,80 |
| Gebouw3D | 67,56 | 180,04 | 6,63 | 27,15 | | | | 0 | 0 | 0 | 0 dB | False | 0,80 | 0,80 | 0,80 |
| Gebouw3D | 168,99 | 1719,39 | 34,15 | 50,34 | | | | 0 | 0 | 0 | 0 dB | False | 0,80 | 0,80 | 0,80 |
| Gebouw3D | 43,00 | 82,21 | 3,00 | 9,00 | | | | 0 | 0 | 0 | 0 dB | False | 0,80 | 0,80 | 0,80 |
| Gebouw3D | 44,97 | 73,56 | 2,00 | 6,18 | | | | 0 | 0 | 0 | 0 dB | False | 0,80 | 0,80 | 0,80 |
| Gebouw3D | 11,87 | 8,78 | 2,84 | 3,10 | | | | 0 | 0 | 0 | 0 dB | False | 0,80 | 0,80 | 0,80 |
| Gebouw3D | 29,03 | 49,48 | 5,47 | 9,05 | | | | 0 | 0 | 0 | 0 dB | False | 0,80 | 0,80 | 0,80 |
| Gebouw3D | 47,45 | 105,37 | 0,69 | 9,17 | | | | 0 | 0 | 0 | 0 dB | False | 0,80 | 0,80 | 0,80 |
| Gebouw3D | 28,30 | 46,17 | 5,10 | 9,05 | | | | 0 | 0 | 0 | 0 dB | False | 0,80 | 0,80 | 0,80 |
| Gebouw3D | 37,42 | 62,90 | 1,14 | 10,08 | | | | 0 | 0 | 0 | 0 dB | False | 0,80 | 0,80 | 0,80 |
| Gebouw3D | 30,35 | 48,19 | 0,89 | 10,14 | | | | 0 | 0 | 0 | 0 dB | False | 0,80 | 0,80 | 0,80 |
| Gebouw3D | 30,71 | 50,00 | 0,83 | 10,14 | | | | 0 | 0 | 0 | 0 dB | False | 0,80 | 0,80 | 0,80 |
| Gebouw3D | 31,23 | 51,91 | 1,18 | 10,08 | | | | 0 | 0 | 0 | 0 dB | False | 0,80 | 0,80 | 0,80 |
| Gebouw3D | 30,36 | 47,95 | 1,18 | 10,10 | | | | 0 | 0 | 0 | 0 dB | False | 0,80 | 0,80 | 0,80 |
| Gebouw3D | 31,22 | 50,38 | 1,25 | 10,10 | | | | 0 | 0 | 0 | 0 dB | False | 0,80 | 0,80 | 0,80 |
| Gebouw3D | 31,01 | 50,23 | 1,10 | 10,10 | | | | 0 | 0 | 0 | 0 dB | False | 0,80 | 0,80 | 0,80 |
| Gebouw3D | 30,38 | 48,17 | 1,08 | 10,10 | | | | 0 | 0 | 0 | 0 dB | False | 0,80 | 0,80 | 0,80 |
| Gebouw3D | 30,86 | 48,71 | 1,24 | 10,23 | | | | 0 | 0 | 0 | 0 dB | False | 0,80 | 0,80 | 0,80 |
| Gebouw3D | 63,76 | 172,52 | 1,64 | 12,03 | | | | 0 | 0 | 0 | 0 dB | False | 0,80 | 0,80 | 0,80 |
| Gebouw3D | 30,66 | 48,16 | 1,19 | 10,23 | | | | 0 | 0 | 0 | 0 dB | False | 0,80 | 0,80 | 0,80 |
| Gebouw3D | 17,06 | 16,66 | 1,24 | 3,94 | | | | 0 | 0 | 0 | 0 dB | False | 0,80 | 0,80 | 0,80 |
| Gebouw3D | 44,25 | 110,59 | 1,30 | 11,72 | | | | 0 | 0 | 0 | 0 dB | False | 0,80 | 0,80 | 0,80 |
| Gebouw3D | 11,92 | 8,61 | 2,45 | 3,51 | | | | 0 | 0 | 0 | 0 dB | False | 0,80 | 0,80 | 0,80 |
| Gebouw3D | 11,40 | 7,66 | 2,17 | 3,53 | | | | 0 | 0 | 0 | 0 dB | False | 0,80 | 0,80 | 0,80 |
| Gebouw3D | 12,45 | 9,49 | 2,67 | 3,66 | | | | 0 | 0 | 0 | 0 dB | False | 0,80 | 0,80 | 0,80 |
| Gebouw3D | 41,49 | 99,64 | 1,13 | 10,56 | | | | 0 | 0 | 0 | 0 dB | False | 0,80 | 0,80 | 0,80 |
| Gebouw3D | 11,62 | 8,06 | 2,28 | 3,52 | | | | 0 | 0 | 0 | 0 dB | False | 0,80 | 0,80 | 0,80 |
| Gebouw3D | 10,74 | 6,76 | 1,97 | 3,44 | | | | 0 | 0 | 0 | 0 dB | False | 0,80 | 0,80 | 0,80 |
| Gebouw3D | 51,57 | 99,19 | 1,08 | 9,01 | | | | 0 | 0 | 0 | 0 dB | False | 0,80 | 0,80 | 0,80 |
| Gebouw3D | 11,87 | 8,42 | 2,34 | 3,65 | | | | 0 | 0 | 0 | 0 dB | False | 0,80 | 0,80 | 0,80 |
| Gebouw3D | 48,99 | 109,07 | 0,10 | 10,52 | | | | 0 | 0 | 0 | 0 dB | False | 0,80 | 0,80 | 0,80 |
| Gebouw3D | 10,97 | 6,99 | 2,00 | 3,47 | | | | 0 | 0 | 0 | 0 dB | False | 0,80 | 0,80 | 0,80 |
| Gebouw3D | 10,83 | 6,68 | 1,89 | 3,52 | | | | 0 | 0 | 0 | 0 dB | False | 0,80 | 0,80 | 0,80 |
| Gebouw3D | 23,48 | 34,45 | 5,87 | 5,87 | | | | 0 | 0 | 0 | 0 dB | False | 0,80 | 0,80 | 0,80 |
| Gebouw3D | 11,64 | 8,06 | 2,26 | 3,55 | | | | 0 | 0 | 0 | 0 dB | False | 0,80 | 0,80 | 0,80 |

Model: Jager
Jager - Jager
Groep: (hoofdgroep)
Lijst van Gebouwen, voor rekenmethode Wegverkeerslawaai - RMW-2012

| Groep | Refl. 500 | Refl. 1k | Refl. 2k | Refl. 4k | Refl. 8k |
|---|---|---|---|---|---|
| Gebouw3D | 0,80 | 0,80 | 0,80 | 0,80 | 0,80 |
| Gebouw3D | 0,80 | 0,80 | 0,80 | 0,80 | 0,80 |
| Gebouw3D | 0,80 | 0,80 | 0,80 | 0,80 | 0,80 |
| Gebouw3D | 0,80 | 0,80 | 0,80 | 0,80 | 0,80 |
| Gebouw3D | 0,80 | 0,80 | 0,80 | 0,80 | 0,80 |
| Gebouw3D | 0,80 | 0,80 | 0,80 | 0,80 | 0,80 |
| Gebouw3D | 0,80 | 0,80 | 0,80 | 0,80 | 0,80 |
| Gebouw3D | 0,80 | 0,80 | 0,80 | 0,80 | 0,80 |
| Gebouw3D | 0,80 | 0,80 | 0,80 | 0,80 | 0,80 |
| Gebouw3D | 0,80 | 0,80 | 0,80 | 0,80 | 0,80 |
| Gebouw3D | 0,80 | 0,80 | 0,80 | 0,80 | 0,80 |
| Gebouw3D | 0,80 | 0,80 | 0,80 | 0,80 | 0,80 |
| Gebouw3D | 0,80 | 0,80 | 0,80 | 0,80 | 0,80 |
| Gebouw3D | 0,80 | 0,80 | 0,80 | 0,80 | 0,80 |
| Gebouw3D | 0,80 | 0,80 | 0,80 | 0,80 | 0,80 |
| Gebouw3D | 0,80 | 0,80 | 0,80 | 0,80 | 0,80 |
| Gebouw3D | 0,80 | 0,80 | 0,80 | 0,80 | 0,80 |
| Gebouw3D | 0,80 | 0,80 | 0,80 | 0,80 | 0,80 |
| Gebouw3D | 0,80 | 0,80 | 0,80 | 0,80 | 0,80 |
| Gebouw3D | 0,80 | 0,80 | 0,80 | 0,80 | 0,80 |
| Gebouw3D | 0,80 | 0,80 | 0,80 | 0,80 | 0,80 |
| Gebouw3D | 0,80 | 0,80 | 0,80 | 0,80 | 0,80 |
| Gebouw3D | 0,80 | 0,80 | 0,80 | 0,80 | 0,80 |
| Gebouw3D | 0,80 | 0,80 | 0,80 | 0,80 | 0,80 |
| Gebouw3D | 0,80 | 0,80 | 0,80 | 0,80 | 0,80 |
| Gebouw3D | 0,80 | 0,80 | 0,80 | 0,80 | 0,80 |
| Gebouw3D | 0,80 | 0,80 | 0,80 | 0,80 | 0,80 |
| Gebouw3D | 0,80 | 0,80 | 0,80 | 0,80 | 0,80 |
| Gebouw3D | 0,80 | 0,80 | 0,80 | 0,80 | 0,80 |
| Gebouw3D | 0,80 | 0,80 | 0,80 | 0,80 | 0,80 |
| Gebouw3D | 0,80 | 0,80 | 0,80 | 0,80 | 0,80 |
| Gebouw3D | 0,80 | 0,80 | 0,80 | 0,80 | 0,80 |

# Invoergegevens van het model

Model: Jager
Jager - Jager
Groep: (hoofdgroep)
Lijst van Gebouwen, voor rekenmethode Wegverkeerslawaai - RMW-2012

| Groep | ItemID | Grp.ID | Datum | Naam | Omschr. | Vorm | X-1 | Y-1 | Hoogte | Rel.H | Maaiveld | Hdef. | Vormpunten |
|---|---|---|---|---|---|---|---|---|---|---|---|---|---|
| Gebouw3D | 2760 | 1 | 08:58, 20 mrt 2020 | | | Polygoon | 246774,64 | 443402,18 | 2,60 | 2,60 | 0,00 | Relatief | 4 |
| Gebouw3D | 2761 | 1 | 08:58, 20 mrt 2020 | | | Polygoon | 246751,91 | 443341,95 | 2,60 | 2,60 | 0,00 | Relatief | 4 |
| Gebouw3D | 2762 | 1 | 08:58, 20 mrt 2020 | | | Polygoon | 246769,04 | 443395,35 | 2,60 | 2,60 | 0,00 | Relatief | 4 |
| Gebouw3D | 2763 | 1 | 08:58, 20 mrt 2020 | | | Polygoon | 246763,96 | 443364,53 | 2,60 | 2,60 | 0,00 | Relatief | 4 |
| Gebouw3D | 2764 | 1 | 08:58, 20 mrt 2020 | | | Polygoon | 246766,18 | 443385,08 | 2,50 | 2,50 | 0,00 | Relatief | 4 |
| Gebouw3D | 2765 | 1 | 08:58, 20 mrt 2020 | | | Polygoon | 246763,47 | 443375,34 | 2,50 | 2,50 | 0,00 | Relatief | 4 |
| Gebouw3D | 2766 | 1 | 08:58, 20 mrt 2020 | | | Polygoon | 246740,63 | 443423,67 | 11,00 | 11,00 | 0,00 | Relatief | 4 |
| Gebouw3D | 2814 | 1 | 08:58, 20 mrt 2020 | | | Polygoon | 246719,18 | 443349,84 | 11,10 | 11,10 | 0,00 | Relatief | 16 |
| Gebouw3D | 2816 | 1 | 08:58, 20 mrt 2020 | | | Polygoon | 246717,16 | 443306,68 | 2,60 | 2,60 | 0,00 | Relatief | 4 |
| Gebouw3D | 2817 | 1 | 08:58, 20 mrt 2020 | | | Polygoon | 246720,92 | 443308,76 | 2,60 | 2,60 | 0,00 | Relatief | 4 |
| Gebouw3D | 2818 | 1 | 08:58, 20 mrt 2020 | | | Polygoon | 246717,43 | 443318,67 | 2,50 | 2,50 | 0,00 | Relatief | 4 |
| Gebouw3D | 2819 | 1 | 08:58, 20 mrt 2020 | | | Polygoon | 246713,94 | 443328,49 | 2,50 | 2,50 | 0,00 | Relatief | 4 |
| Gebouw3D | 2820 | 1 | 08:58, 20 mrt 2020 | | | Polygoon | 246713,94 | 443328,49 | 2,50 | 2,50 | 0,00 | Relatief | 4 |
| Gebouw3D | 2822 | 1 | 08:58, 20 mrt 2020 | | | Polygoon | 246707,67 | 443341,28 | 2,50 | 2,50 | 0,00 | Relatief | 4 |
| Gebouw3D | 2823 | 1 | 08:58, 20 mrt 2020 | | | Polygoon | 246707,67 | 443341,28 | 2,60 | 2,60 | 0,00 | Relatief | 4 |
| Gebouw3D | 2824 | 1 | 08:58, 20 mrt 2020 | | | Polygoon | 246712,52 | 443340,62 | 2,60 | 2,60 | 0,00 | Relatief | 4 |
| Gebouw3D | 2827 | 1 | 08:58, 20 mrt 2020 | | | Polygoon | 246705,54 | 443375,56 | 8,30 | 8,30 | 0,00 | Relatief | 6 |
| Gebouw3D | 2828 | 1 | 08:58, 20 mrt 2020 | | | Polygoon | 246705,54 | 443375,56 | 8,30 | 8,30 | 0,00 | Relatief | 6 |
| Gebouw3D | 2829 | 1 | 08:58, 20 mrt 2020 | | | Polygoon | 246710,32 | 443377,26 | 6,40 | 6,40 | 0,00 | Relatief | 7 |
| Gebouw3D | 2831 | 1 | 08:58, 20 mrt 2020 | | | Polygoon | 246723,20 | 443384,76 | 0,00 | 0,00 | 0,00 | Relatief | 4 |
| Gebouw3D | 2832 | 1 | 08:58, 20 mrt 2020 | | | Polygoon | 246728,34 | 443386,59 | 0,00 | 0,00 | 0,00 | Relatief | 4 |
| Gebouw3D | 2833 | 1 | 08:58, 20 mrt 2020 | | | Polygoon | 246701,72 | 443378,53 | 2,60 | 2,60 | 0,00 | Relatief | 4 |
| Gebouw3D | 2834 | 1 | 08:58, 20 mrt 2020 | | | Polygoon | 246706,42 | 443380,24 | 5,50 | 5,50 | 0,00 | Relatief | 4 |
| Gebouw3D | 2835 | 1 | 08:58, 20 mrt 2020 | | | Polygoon | 246696,11 | 443386,43 | 11,10 | 11,10 | 0,00 | Relatief | 4 |
| Gebouw3D | 2836 | 1 | 08:58, 20 mrt 2020 | | | Polygoon | 246733,80 | 443398,87 | 11,00 | 11,00 | 0,00 | Relatief | 15 |
| Gebouw3D | 2837 | 1 | 08:58, 20 mrt 2020 | | | Polygoon | 246714,25 | 443390,77 | 2,60 | 2,60 | 0,00 | Relatief | 5 |
| Gebouw3D | 2838 | 1 | 08:58, 20 mrt 2020 | | | Polygoon | 246727,00 | 443389,30 | 2,60 | 2,60 | 0,00 | Relatief | 6 |
| Gebouw3D | 2839 | 1 | 08:58, 20 mrt 2020 | | | Polygoon | 246719,83 | 443394,23 | 2,50 | 2,50 | 0,00 | Relatief | 4 |
| Gebouw3D | 2840 | 1 | 08:58, 20 mrt 2020 | | | Polygoon | 246694,44 | 443391,24 | 11,00 | 11,00 | 0,00 | Relatief | 4 |
| Gebouw3D | 2841 | 1 | 08:58, 20 mrt 2020 | | | Polygoon | 246710,95 | 443393,36 | 2,60 | 2,60 | 0,00 | Relatief | 4 |
| Gebouw3D | 2842 | 1 | 08:58, 20 mrt 2020 | | | Polygoon | 246692,72 | 443396,16 | 10,90 | 10,90 | 0,00 | Relatief | 4 |
| Gebouw3D | 2843 | 1 | 08:58, 20 mrt 2020 | | | Polygoon | 246733,80 | 443398,87 | 0,00 | 0,00 | 0,00 | Relatief | 4 |
| Gebouw3D | 2844 | 1 | 08:58, 20 mrt 2020 | | | Polygoon | 246723,27 | 443398,18 | 2,60 | 2,60 | 0,00 | Relatief | 4 |
| Gebouw3D | 2845 | 1 | 08:58, 20 mrt 2020 | | | Polygoon | 246691,19 | 443400,56 | 10,90 | 10,90 | 0,00 | Relatief | 4 |
| Gebouw3D | 2846 | 1 | 08:58, 20 mrt 2020 | | | Polygoon | 246735,10 | 443403,61 | 0,00 | 0,00 | 0,00 | Relatief | 4 |
| Gebouw3D | 2847 | 1 | 08:58, 20 mrt 2020 | | | Polygoon | 246706,40 | 443405,70 | 2,60 | 2,60 | 0,00 | Relatief | 4 |

# Invoergegevens van het model

Model: Jager
Jager - Jager
Groep: (hoofdgroep)
Lijst van Gebouwen, voor rekenmethode Wegverkeerslawaai - RMW-2012

| Groep | Omtrek | Oppervlak | Min.lengte | Max.lengte | Functie | BAG-id | Gemeente | Jaar | AHN-jaar | Trust | Cp | Zwevend | Refl. 63 | Refl. 125 | Refl. 250 |
|---|---|---|---|---|---|---|---|---|---|---|---|---|---|---|---|
| Gebouw3D | 11,73 | 8,20 | 2,29 | 3,58 | | | | 0 | 0 | 0 | 0 dB | False | 0,80 | 0,80 | 0,80 |
| Gebouw3D | 11,81 | 6,19 | 1,73 | 4,32 | | | | 0 | 0 | 0 | 0 dB | False | 0,80 | 0,80 | 0,80 |
| Gebouw3D | 11,64 | 8,06 | 2,26 | 3,56 | | | | 0 | 0 | 0 | 0 dB | False | 0,80 | 0,80 | 0,80 |
| Gebouw3D | 11,61 | 8,04 | 2,29 | 3,53 | | | | 0 | 0 | 0 | 0 dB | False | 0,80 | 0,80 | 0,80 |
| Gebouw3D | 12,34 | 9,33 | 2,64 | 3,51 | | | | 0 | 0 | 0 | 0 dB | False | 0,80 | 0,80 | 0,80 |
| Gebouw3D | 11,93 | 8,66 | 2,49 | 3,48 | | | | 0 | 0 | 0 | 0 dB | False | 0,80 | 0,80 | 0,80 |
| Gebouw3D | 28,31 | 46,18 | 5,10 | 9,05 | | | | 0 | 0 | 0 | 0 dB | False | 0,80 | 0,80 | 0,80 |
| Gebouw3D | 175,62 | 615,55 | 0,81 | 49,53 | | | | 0 | 0 | 0 | 0 dB | False | 0,80 | 0,80 | 0,80 |
| Gebouw3D | 12,14 | 9,21 | 2,99 | 3,10 | | | | 0 | 0 | 0 | 0 dB | False | 0,80 | 0,80 | 0,80 |
| Gebouw3D | 12,01 | 8,51 | 2,28 | 3,72 | | | | 0 | 0 | 0 | 0 dB | False | 0,80 | 0,80 | 0,80 |
| Gebouw3D | 11,68 | 8,16 | 2,28 | 3,59 | | | | 0 | 0 | 0 | 0 dB | False | 0,80 | 0,80 | 0,80 |
| Gebouw3D | 11,52 | 7,93 | 2,27 | 3,52 | | | | 0 | 0 | 0 | 0 dB | False | 0,80 | 0,80 | 0,80 |
| Gebouw3D | 11,41 | 7,78 | 2,25 | 3,46 | | | | 0 | 0 | 0 | 0 dB | False | 0,80 | 0,80 | 0,80 |
| Gebouw3D | 11,48 | 7,94 | 2,30 | 3,44 | | | | 0 | 0 | 0 | 0 dB | False | 0,80 | 0,80 | 0,80 |
| Gebouw3D | 11,65 | 8,17 | 2,34 | 3,48 | | | | 0 | 0 | 0 | 0 dB | False | 0,80 | 0,80 | 0,80 |
| Gebouw3D | 9,39 | 4,92 | 1,58 | 3,11 | | | | 0 | 0 | 0 | 0 dB | False | 0,80 | 0,80 | 0,80 |
| Gebouw3D | 30,77 | 51,99 | 0,51 | 10,22 | | | | 0 | 0 | 0 | 0 dB | False | 0,80 | 0,80 | 0,80 |
| Gebouw3D | 30,61 | 51,31 | 0,41 | 10,22 | | | | 0 | 0 | 0 | 0 dB | False | 0,80 | 0,80 | 0,80 |
| Gebouw3D | 30,27 | 32,38 | 0,41 | 8,69 | | | | 0 | 0 | 0 | 0 dB | False | 0,80 | 0,80 | 0,80 |
| Gebouw3D | 28,86 | 48,95 | 5,45 | 8,97 | | | | 0 | 0 | 0 | 0 dB | False | 0,80 | 0,80 | 0,80 |
| Gebouw3D | 27,14 | 41,24 | 4,60 | 8,97 | | | | 0 | 0 | 0 | 0 dB | False | 0,80 | 0,80 | 0,80 |
| Gebouw3D | 10,15 | 6,41 | 2,37 | 2,71 | | | | 0 | 0 | 0 | 0 dB | False | 0,80 | 0,80 | 0,80 |
| Gebouw3D | 8,15 | 4,05 | 1,71 | 2,36 | | | | 0 | 0 | 0 | 0 dB | False | 0,80 | 0,80 | 0,80 |
| Gebouw3D | 30,35 | 55,25 | 6,07 | 9,10 | | | | 0 | 0 | 0 | 0 dB | False | 0,80 | 0,80 | 0,80 |
| Gebouw3D | 48,26 | 98,03 | 0,48 | 9,05 | | | | 0 | 0 | 0 | 0 dB | False | 0,80 | 0,80 | 0,80 |
| Gebouw3D | 11,46 | 8,06 | 0,98 | 3,67 | | | | 0 | 0 | 0 | 0 dB | False | 0,80 | 0,80 | 0,80 |
| Gebouw3D | 10,36 | 6,95 | 0,10 | 2,92 | | | | 0 | 0 | 0 | 0 dB | False | 0,80 | 0,80 | 0,80 |
| Gebouw3D | 11,04 | 7,59 | 2,60 | 2,96 | | | | 0 | 0 | 0 | 0 dB | False | 0,80 | 0,80 | 0,80 |
| Gebouw3D | 28,63 | 47,45 | 5,21 | 9,10 | | | | 0 | 0 | 0 | 0 dB | False | 0,80 | 0,80 | 0,80 |
| Gebouw3D | 11,83 | 8,34 | 2,32 | 3,65 | | | | 0 | 0 | 0 | 0 dB | False | 0,80 | 0,80 | 0,80 |
| Gebouw3D | 27,50 | 42,32 | 4,65 | 9,10 | | | | 0 | 0 | 0 | 0 dB | False | 0,80 | 0,80 | 0,80 |
| Gebouw3D | 27,93 | 44,46 | 4,91 | 9,05 | | | | 0 | 0 | 0 | 0 dB | False | 0,80 | 0,80 | 0,80 |
| Gebouw3D | 11,15 | 7,68 | 2,48 | 3,11 | | | | 0 | 0 | 0 | 0 dB | False | 0,80 | 0,80 | 0,80 |
| Gebouw3D | 29,70 | 52,31 | 5,74 | 9,10 | | | | 0 | 0 | 0 | 0 dB | False | 0,80 | 0,80 | 0,80 |
| Gebouw3D | 28,53 | 47,20 | 5,22 | 9,05 | | | | 0 | 0 | 0 | 0 dB | False | 0,80 | 0,80 | 0,80 |
| Gebouw3D | 11,73 | 8,28 | 2,32 | 3,49 | | | | 0 | 0 | 0 | 0 dB | False | 0,80 | 0,80 | 0,80 |

Model: Jager
Jager - Jager
Groep: (hoofdgroep)
Lijst van Gebouwen, voor rekenmethode Wegverkeerslawaai - RMW-2012

| Groep | Refl. 500 | Refl. 1k | Refl. 2k | Refl. 4k | Refl. 8k |
|---|---|---|---|---|---|
| Gebouw3D | 0,80 | 0,80 | 0,80 | 0,80 | 0,80 |
| Gebouw3D | 0,80 | 0,80 | 0,80 | 0,80 | 0,80 |
| Gebouw3D | 0,80 | 0,80 | 0,80 | 0,80 | 0,80 |
| Gebouw3D | 0,80 | 0,80 | 0,80 | 0,80 | 0,80 |
| Gebouw3D | 0,80 | 0,80 | 0,80 | 0,80 | 0,80 |
| Gebouw3D | 0,80 | 0,80 | 0,80 | 0,80 | 0,80 |
| Gebouw3D | 0,80 | 0,80 | 0,80 | 0,80 | 0,80 |
| Gebouw3D | 0,80 | 0,80 | 0,80 | 0,80 | 0,80 |
| Gebouw3D | 0,80 | 0,80 | 0,80 | 0,80 | 0,80 |
| Gebouw3D | 0,80 | 0,80 | 0,80 | 0,80 | 0,80 |
| Gebouw3D | 0,80 | 0,80 | 0,80 | 0,80 | 0,80 |
| Gebouw3D | 0,80 | 0,80 | 0,80 | 0,80 | 0,80 |
| Gebouw3D | 0,80 | 0,80 | 0,80 | 0,80 | 0,80 |
| Gebouw3D | 0,80 | 0,80 | 0,80 | 0,80 | 0,80 |
| Gebouw3D | 0,80 | 0,80 | 0,80 | 0,80 | 0,80 |
| Gebouw3D | 0,80 | 0,80 | 0,80 | 0,80 | 0,80 |
| Gebouw3D | 0,80 | 0,80 | 0,80 | 0,80 | 0,80 |
| Gebouw3D | 0,80 | 0,80 | 0,80 | 0,80 | 0,80 |
| Gebouw3D | 0,80 | 0,80 | 0,80 | 0,80 | 0,80 |
| Gebouw3D | 0,80 | 0,80 | 0,80 | 0,80 | 0,80 |
| Gebouw3D | 0,80 | 0,80 | 0,80 | 0,80 | 0,80 |
| Gebouw3D | 0,80 | 0,80 | 0,80 | 0,80 | 0,80 |
| Gebouw3D | 0,80 | 0,80 | 0,80 | 0,80 | 0,80 |
| Gebouw3D | 0,80 | 0,80 | 0,80 | 0,80 | 0,80 |
| Gebouw3D | 0,80 | 0,80 | 0,80 | 0,80 | 0,80 |
| Gebouw3D | 0,80 | 0,80 | 0,80 | 0,80 | 0,80 |
| Gebouw3D | 0,80 | 0,80 | 0,80 | 0,80 | 0,80 |
| Gebouw3D | 0,80 | 0,80 | 0,80 | 0,80 | 0,80 |
| Gebouw3D | 0,80 | 0,80 | 0,80 | 0,80 | 0,80 |
| Gebouw3D | 0,80 | 0,80 | 0,80 | 0,80 | 0,80 |
| Gebouw3D | 0,80 | 0,80 | 0,80 | 0,80 | 0,80 |
| Gebouw3D | 0,80 | 0,80 | 0,80 | 0,80 | 0,80 |

# Invoergegevens van het model

Model: Jager
Jager - Jager
Groep: (hoofdgroep)
Lijst van Gebouwen, voor rekenmethode Wegverkeerslawaai - RMW-2012

| Groep | ItemID | Grp.ID | Datum | Naam | Omschr. | Vorm | X-1 | Y-1 | Hoogte | Rel.H | Maaiveld | Hdef. | Vormpunten |
|---|---|---|---|---|---|---|---|---|---|---|---|---|---|
| Gebouw3D | 2848 | 1 | 08:58, 20 mrt 2020 | | | Polygoon | 246709,72 | 443396,68 | 2,60 | 2,60 | 0,00 | Relatief | 5 |
| Gebouw3D | 2849 | 1 | 08:58, 20 mrt 2020 | | | Polygoon | 246712,08 | 443386,44 | 0,10 | 0,10 | 0,00 | Relatief | 4 |
| Gebouw3D | 2850 | 1 | 08:58, 20 mrt 2020 | | | Polygoon | 246711,70 | 443334,80 | 2,60 | 2,60 | 0,00 | Relatief | 4 |
| Gebouw3D | 2851 | 1 | 08:58, 20 mrt 2020 | | | Polygoon | 246717,43 | 443318,67 | 2,60 | 2,60 | 0,00 | Relatief | 4 |
| Gebouw3D | 2852 | 1 | 08:58, 20 mrt 2020 | | | Polygoon | 246717,16 | 443306,68 | 2,60 | 2,60 | 0,00 | Relatief | 4 |
| Gebouw3D | 2853 | 1 | 08:58, 20 mrt 2020 | | | Polygoon | 246710,70 | 443389,52 | 2,60 | 2,60 | 0,00 | Relatief | 5 |
| Gebouw3D | 2854 | 1 | 08:58, 20 mrt 2020 | | | Polygoon | 246718,06 | 443382,93 | 0,00 | 0,00 | 0,00 | Relatief | 4 |
| Gebouw3D | 2857 | 1 | 08:58, 20 mrt 2020 | | | Polygoon | 246719,83 | 443394,23 | 2,50 | 2,50 | 0,00 | Relatief | 4 |
| Gebouw3D | 2858 | 1 | 08:58, 20 mrt 2020 | | | Polygoon | 246725,44 | 443405,95 | 2,60 | 2,60 | 0,00 | Relatief | 4 |
| Gebouw3D | 2859 | 1 | 08:58, 20 mrt 2020 | | | Polygoon | 246720,92 | 443308,76 | 2,60 | 2,60 | 0,00 | Relatief | 4 |
| Gebouw3D | 2860 | 1 | 08:58, 20 mrt 2020 | | | Polygoon | 246712,89 | 443381,09 | 10,90 | 10,90 | 0,00 | Relatief | 5 |
| Gebouw3D | 2861 | 1 | 08:58, 20 mrt 2020 | | | Polygoon | 246696,11 | 443386,43 | 11,00 | 11,00 | 0,00 | Relatief | 4 |
| Gebouw3D | 2883 | 1 | 08:58, 20 mrt 2020 | | | Polygoon | 247082,73 | 443328,85 | 7,80 | 7,80 | 0,00 | Relatief | 8 |
| Gebouw3D | 2884 | 1 | 08:58, 20 mrt 2020 | | | Polygoon | 247028,05 | 443347,64 | 7,90 | 7,90 | 0,00 | Relatief | 8 |
| Gebouw3D | 2885 | 1 | 08:58, 20 mrt 2020 | | | Polygoon | 247054,40 | 443353,17 | 8,00 | 8,00 | 0,00 | Relatief | 8 |
| Gebouw3D | 2886 | 1 | 08:58, 20 mrt 2020 | | | Polygoon | 247028,05 | 443347,64 | 7,90 | 7,90 | 0,00 | Relatief | 8 |
| Gebouw3D | 2887 | 1 | 08:58, 20 mrt 2020 | | | Polygoon | 247031,21 | 443367,90 | 7,80 | 7,80 | 0,00 | Relatief | 10 |
| Gebouw3D | 2888 | 1 | 08:58, 20 mrt 2020 | | | Polygoon | 247059,16 | 443363,60 | 7,80 | 7,80 | 0,00 | Relatief | 8 |
| Gebouw3D | 2889 | 1 | 08:58, 20 mrt 2020 | | | Polygoon | 247031,21 | 443367,90 | 7,80 | 7,80 | 0,00 | Relatief | 7 |
| Gebouw3D | 2890 | 1 | 08:58, 20 mrt 2020 | | | Polygoon | 247062,28 | 443383,87 | 7,80 | 7,80 | 0,00 | Relatief | 8 |
| Gebouw3D | 2891 | 1 | 08:58, 20 mrt 2020 | | | Polygoon | 247034,39 | 443388,19 | 7,90 | 7,90 | 0,00 | Relatief | 8 |
| Gebouw3D | 2892 | 1 | 08:58, 20 mrt 2020 | | | Polygoon | 247062,28 | 443383,87 | 7,80 | 7,80 | 0,00 | Relatief | 9 |
| Gebouw3D | 2893 | 1 | 08:58, 20 mrt 2020 | | | Polygoon | 247034,39 | 443388,19 | 7,90 | 7,90 | 0,00 | Relatief | 8 |
| Gebouw3D | 2894 | 1 | 08:58, 20 mrt 2020 | | | Polygoon | 247065,49 | 443404,67 | 7,80 | 7,80 | 0,00 | Relatief | 8 |
| Gebouw3D | 2895 | 1 | 08:58, 20 mrt 2020 | | | Polygoon | 247037,51 | 443408,42 | 7,90 | 7,90 | 0,00 | Relatief | 8 |
| Gebouw3D | 2896 | 1 | 08:58, 20 mrt 2020 | | | Polygoon | 247065,49 | 443404,67 | 7,90 | 7,90 | 0,00 | Relatief | 8 |
| Gebouw3D | 2897 | 1 | 08:58, 20 mrt 2020 | | | Polygoon | 247037,51 | 443408,42 | 7,90 | 7,90 | 0,00 | Relatief | 8 |
| Gebouw3D | 2898 | 1 | 08:58, 20 mrt 2020 | | | Polygoon | 247065,07 | 443431,12 | 7,30 | 7,30 | 0,00 | Relatief | 8 |
| Gebouw3D | 2899 | 1 | 08:58, 20 mrt 2020 | | | Polygoon | 247065,07 | 443431,12 | 8,40 | 8,40 | 0,00 | Relatief | 6 |
| Gebouw3D | 2900 | 1 | 08:58, 20 mrt 2020 | | | Polygoon | 247041,35 | 443447,27 | 7,20 | 7,20 | 0,00 | Relatief | 7 |
| Gebouw3D | 2901 | 1 | 08:58, 20 mrt 2020 | | | Polygoon | 247073,75 | 443452,56 | 8,00 | 8,00 | 0,00 | Relatief | 23 |
| Gebouw3D | 2902 | 1 | 08:58, 20 mrt 2020 | | | Polygoon | 247083,37 | 443463,31 | 7,10 | 7,10 | 0,00 | Relatief | 8 |
| Gebouw3D | 2903 | 1 | 08:58, 20 mrt 2020 | | | Polygoon | 247058,92 | 443452,89 | 8,00 | 8,00 | 0,00 | Relatief | 22 |
| Gebouw3D | 2904 | 1 | 08:58, 20 mrt 2020 | | | Polygoon | 247073,75 | 443452,56 | 8,10 | 8,10 | 0,00 | Relatief | 10 |
| Gebouw3D | 2905 | 1 | 08:58, 20 mrt 2020 | | | Polygoon | 247064,42 | 443453,29 | 8,20 | 8,20 | 0,00 | Relatief | 6 |
| Gebouw3D | 2906 | 1 | 08:58, 20 mrt 2020 | | | Polygoon | 247059,16 | 443363,60 | 7,90 | 7,90 | 0,00 | Relatief | 8 |

# Invoergegevens van het model

Model: Jager
Jager - Jager
Groep: (hoofdgroep)
Lijst van Gebouwen, voor rekenmethode Wegverkeerslawaai - RMW-2012

| Groep | Omtrek | Oppervlak | Min.lengte | Max.lengte | Functie | BAG-id | Gemeente | Jaar | AHN-jaar | Trust | Cp | Zwevend | Refl. 63 | Refl. 125 | Refl. 250 |
|---|---|---|---|---|---|---|---|---|---|---|---|---|---|---|---|
| Gebouw3D | 11,80 | 8,30 | 0,16 | 3,64 | | | | 0 | 0 | 0 | 0 dB | False | 0,80 | 0,80 | 0,80 |
| Gebouw3D | 8,14 | 3,91 | 1,55 | 2,52 | | | | 0 | 0 | 0 | 0 dB | False | 0,80 | 0,80 | 0,80 |
| Gebouw3D | 11,62 | 8,09 | 2,31 | 3,55 | | | | 0 | 0 | 0 | 0 dB | False | 0,80 | 0,80 | 0,80 |
| Gebouw3D | 11,43 | 7,81 | 2,24 | 3,47 | | | | 0 | 0 | 0 | 0 dB | False | 0,80 | 0,80 | 0,80 |
| Gebouw3D | 12,15 | 9,22 | 3,01 | 3,09 | | | | 0 | 0 | 0 | 0 dB | False | 0,80 | 0,80 | 0,80 |
| Gebouw3D | 11,84 | 8,82 | 1,37 | 3,58 | | | | 0 | 0 | 0 | 0 dB | False | 0,80 | 0,80 | 0,80 |
| Gebouw3D | 28,86 | 48,96 | 5,46 | 8,97 | | | | 0 | 0 | 0 | 0 dB | False | 0,80 | 0,80 | 0,80 |
| Gebouw3D | 11,46 | 8,13 | 2,60 | 3,20 | | | | 0 | 0 | 0 | 0 dB | False | 0,80 | 0,80 | 0,80 |
| Gebouw3D | 11,36 | 7,95 | 2,50 | 3,21 | | | | 0 | 0 | 0 | 0 dB | False | 0,80 | 0,80 | 0,80 |
| Gebouw3D | 12,05 | 8,58 | 2,30 | 3,72 | | | | 0 | 0 | 0 | 0 dB | False | 0,80 | 0,80 | 0,80 |
| Gebouw3D | 28,92 | 49,24 | 0,56 | 8,97 | | | | 0 | 0 | 0 | 0 dB | False | 0,80 | 0,80 | 0,80 |
| Gebouw3D | 28,40 | 46,38 | 5,09 | 9,10 | | | | 0 | 0 | 0 | 0 dB | False | 0,80 | 0,80 | 0,80 |
| Gebouw3D | 44,69 | 90,34 | 3,27 | 9,39 | | | | 0 | 0 | 0 | 0 dB | False | 0,80 | 0,80 | 0,80 |
| Gebouw3D | 44,70 | 80,83 | 3,29 | 9,40 | | | | 0 | 0 | 0 | 0 dB | False | 0,80 | 0,80 | 0,80 |
| Gebouw3D | 43,58 | 84,08 | 3,09 | 8,99 | | | | 0 | 0 | 0 | 0 dB | False | 0,80 | 0,80 | 0,80 |
| Gebouw3D | 50,74 | 90,90 | 3,30 | 9,81 | | | | 0 | 0 | 0 | 0 dB | False | 0,80 | 0,80 | 0,80 |
| Gebouw3D | 51,61 | 90,44 | 0,11 | 12,85 | | | | 0 | 0 | 0 | 0 dB | False | 0,80 | 0,80 | 0,80 |
| Gebouw3D | 44,71 | 90,25 | 3,30 | 9,40 | | | | 0 | 0 | 0 | 0 dB | False | 0,80 | 0,80 | 0,80 |
| Gebouw3D | 44,67 | 101,77 | 3,30 | 12,85 | | | | 0 | 0 | 0 | 0 dB | False | 0,80 | 0,80 | 0,80 |
| Gebouw3D | 44,70 | 90,12 | 3,30 | 9,40 | | | | 0 | 0 | 0 | 0 dB | False | 0,80 | 0,80 | 0,80 |
| Gebouw3D | 44,63 | 80,16 | 3,29 | 9,34 | | | | 0 | 0 | 0 | 0 dB | False | 0,80 | 0,80 | 0,80 |
| Gebouw3D | 44,69 | 89,30 | 2,48 | 9,40 | | | | 0 | 0 | 0 | 0 dB | False | 0,80 | 0,80 | 0,80 |
| Gebouw3D | 44,58 | 80,10 | 3,29 | 9,34 | | | | 0 | 0 | 0 | 0 dB | False | 0,80 | 0,80 | 0,80 |
| Gebouw3D | 51,51 | 95,21 | 3,50 | 10,09 | | | | 0 | 0 | 0 | 0 dB | False | 0,80 | 0,80 | 0,80 |
| Gebouw3D | 44,61 | 80,10 | 3,29 | 9,35 | | | | 0 | 0 | 0 | 0 dB | False | 0,80 | 0,80 | 0,80 |
| Gebouw3D | 44,74 | 80,73 | 3,31 | 9,40 | | | | 0 | 0 | 0 | 0 dB | False | 0,80 | 0,80 | 0,80 |
| Gebouw3D | 44,64 | 80,42 | 3,29 | 9,35 | | | | 0 | 0 | 0 | 0 dB | False | 0,80 | 0,80 | 0,80 |
| Gebouw3D | 49,02 | 104,56 | 1,89 | 12,67 | | | | 0 | 0 | 0 | 0 dB | False | 0,80 | 0,80 | 0,80 |
| Gebouw3D | 41,24 | 80,16 | 3,08 | 12,67 | | | | 0 | 0 | 0 | 0 dB | False | 0,80 | 0,80 | 0,80 |
| Gebouw3D | 46,16 | 108,29 | 3,45 | 10,84 | | | | 0 | 0 | 0 | 0 dB | False | 0,80 | 0,80 | 0,80 |
| Gebouw3D | 43,31 | 78,52 | 0,06 | 12,94 | | | | 0 | 0 | 0 | 0 dB | False | 0,80 | 0,80 | 0,80 |
| Gebouw3D | 38,79 | 53,27 | 0,08 | 12,94 | | | | 0 | 0 | 0 | 0 dB | False | 0,80 | 0,80 | 0,80 |
| Gebouw3D | 62,76 | 123,07 | 0,70 | 9,55 | | | | 0 | 0 | 0 | 0 dB | False | 0,80 | 0,80 | 0,80 |
| Gebouw3D | 40,38 | 84,83 | 0,32 | 8,45 | | | | 0 | 0 | 0 | 0 dB | False | 0,80 | 0,80 | 0,80 |
| Gebouw3D | 29,65 | 46,74 | 1,10 | 9,55 | | | | 0 | 0 | 0 | 0 dB | False | 0,80 | 0,80 | 0,80 |
| Gebouw3D | 44,68 | 80,65 | 3,30 | 9,40 | | | | 0 | 0 | 0 | 0 dB | False | 0,80 | 0,80 | 0,80 |

Model: Jager
Jager - Jager
Groep: (hoofdgroep)
Lijst van Gebouwen, voor rekenmethode Wegverkeerslawaai - RMW-2012

| Groep | Refl. 500 | Refl. 1k | Refl. 2k | Refl. 4k | Refl. 8k |
|---|---|---|---|---|---|
| Gebouw3D | 0,80 | 0,80 | 0,80 | 0,80 | 0,80 |
| Gebouw3D | 0,80 | 0,80 | 0,80 | 0,80 | 0,80 |
| Gebouw3D | 0,80 | 0,80 | 0,80 | 0,80 | 0,80 |
| Gebouw3D | 0,80 | 0,80 | 0,80 | 0,80 | 0,80 |
| Gebouw3D | 0,80 | 0,80 | 0,80 | 0,80 | 0,80 |
| Gebouw3D | 0,80 | 0,80 | 0,80 | 0,80 | 0,80 |
| Gebouw3D | 0,80 | 0,80 | 0,80 | 0,80 | 0,80 |
| Gebouw3D | 0,80 | 0,80 | 0,80 | 0,80 | 0,80 |
| Gebouw3D | 0,80 | 0,80 | 0,80 | 0,80 | 0,80 |
| Gebouw3D | 0,80 | 0,80 | 0,80 | 0,80 | 0,80 |
| Gebouw3D | 0,80 | 0,80 | 0,80 | 0,80 | 0,80 |
| Gebouw3D | 0,80 | 0,80 | 0,80 | 0,80 | 0,80 |
| Gebouw3D | 0,80 | 0,80 | 0,80 | 0,80 | 0,80 |
| Gebouw3D | 0,80 | 0,80 | 0,80 | 0,80 | 0,80 |
| Gebouw3D | 0,80 | 0,80 | 0,80 | 0,80 | 0,80 |
| Gebouw3D | 0,80 | 0,80 | 0,80 | 0,80 | 0,80 |
| Gebouw3D | 0,80 | 0,80 | 0,80 | 0,80 | 0,80 |
| Gebouw3D | 0,80 | 0,80 | 0,80 | 0,80 | 0,80 |
| Gebouw3D | 0,80 | 0,80 | 0,80 | 0,80 | 0,80 |
| Gebouw3D | 0,80 | 0,80 | 0,80 | 0,80 | 0,80 |
| Gebouw3D | 0,80 | 0,80 | 0,80 | 0,80 | 0,80 |
| Gebouw3D | 0,80 | 0,80 | 0,80 | 0,80 | 0,80 |
| Gebouw3D | 0,80 | 0,80 | 0,80 | 0,80 | 0,80 |
| Gebouw3D | 0,80 | 0,80 | 0,80 | 0,80 | 0,80 |
| Gebouw3D | 0,80 | 0,80 | 0,80 | 0,80 | 0,80 |
| Gebouw3D | 0,80 | 0,80 | 0,80 | 0,80 | 0,80 |
| Gebouw3D | 0,80 | 0,80 | 0,80 | 0,80 | 0,80 |
| Gebouw3D | 0,80 | 0,80 | 0,80 | 0,80 | 0,80 |
| Gebouw3D | 0,80 | 0,80 | 0,80 | 0,80 | 0,80 |
| Gebouw3D | 0,80 | 0,80 | 0,80 | 0,80 | 0,80 |
| Gebouw3D | 0,80 | 0,80 | 0,80 | 0,80 | 0,80 |
| Gebouw3D | 0,80 | 0,80 | 0,80 | 0,80 | 0,80 |

# Invoergegevens van het model

Model: Jager
Jager - Jager
Groep: (hoofdgroep)
Lijst van Gebouwen, voor rekenmethode Wegverkeerslawaai - RMW-2012

| Groep | ItemID | Grp.ID | Datum | Naam | Omschr. | Vorm | X-1 | Y-1 | Hoogte | Rel.H | Maaiveld | Hdef. | Vormpunten |
|---|---|---|---|---|---|---|---|---|---|---|---|---|---|
| Gebouw3D | 2907 | 1 | 08:58, 20 mrt 2020 | | | Polygoon | 247074,97 | 443464,34 | 2,80 | 2,80 | 0,00 | Relatief | 8 |
| Gebouw3D | 2939 | 1 | 08:58, 20 mrt 2020 | | | Polygoon | 247004,54 | 443390,68 | 6,80 | 6,80 | 0,00 | Relatief | 14 |
| Gebouw3D | 2940 | 1 | 08:58, 20 mrt 2020 | | | Polygoon | 246994,09 | 443395,53 | 2,50 | 2,50 | 0,00 | Relatief | 4 |
| Gebouw3D | 2941 | 1 | 08:58, 20 mrt 2020 | | | Polygoon | 246955,48 | 443425,32 | 7,80 | 7,80 | 0,00 | Relatief | 19 |
| Gebouw3D | 2942 | 1 | 08:58, 20 mrt 2020 | | | Polygoon | 246954,94 | 443422,86 | 5,10 | 5,10 | 0,00 | Relatief | 7 |
| Gebouw3D | 2943 | 1 | 08:58, 20 mrt 2020 | | | Polygoon | 246918,96 | 443416,25 | 8,50 | 8,50 | 0,00 | Relatief | 7 |
| Gebouw3D | 2944 | 1 | 08:58, 20 mrt 2020 | | | Polygoon | 246906,49 | 443419,31 | 2,60 | 2,60 | 0,00 | Relatief | 4 |
| Gebouw3D | 2945 | 1 | 08:58, 20 mrt 2020 | | | Polygoon | 246982,79 | 443421,32 | 2,20 | 2,20 | 0,00 | Relatief | 4 |
| Gebouw3D | 2946 | 1 | 08:58, 20 mrt 2020 | | | Polygoon | 246922,96 | 443424,98 | 9,20 | 9,20 | 0,00 | Relatief | 9 |
| Gebouw3D | 2947 | 1 | 08:58, 20 mrt 2020 | | | Polygoon | 246985,74 | 443425,41 | 3,40 | 3,40 | 0,00 | Relatief | 4 |
| Gebouw3D | 2948 | 1 | 08:58, 20 mrt 2020 | | | Polygoon | 247012,32 | 443440,09 | 7,90 | 7,90 | 0,00 | Relatief | 9 |
| Gebouw3D | 2949 | 1 | 08:58, 20 mrt 2020 | | | Polygoon | 247001,67 | 443432,24 | 0,10 | 0,10 | 0,00 | Relatief | 4 |
| Gebouw3D | 2950 | 1 | 08:58, 20 mrt 2020 | | | Polygoon | 246977,69 | 443443,08 | 7,20 | 7,20 | 0,00 | Relatief | 8 |
| Gebouw3D | 2951 | 1 | 08:58, 20 mrt 2020 | | | Polygoon | 246992,53 | 443448,27 | 8,90 | 8,90 | 0,00 | Relatief | 8 |
| Gebouw3D | 2952 | 1 | 08:58, 20 mrt 2020 | | | Polygoon | 247014,76 | 443439,63 | 0,00 | 0,00 | 0,00 | Relatief | 5 |
| Gebouw3D | 2953 | 1 | 08:58, 20 mrt 2020 | | | Polygoon | 247012,32 | 443440,09 | 7,90 | 7,90 | 0,00 | Relatief | 16 |
| Gebouw3D | 2954 | 1 | 08:58, 20 mrt 2020 | | | Polygoon | 247018,01 | 443457,34 | 8,10 | 8,10 | 0,00 | Relatief | 9 |
| Gebouw3D | 2955 | 1 | 08:58, 20 mrt 2020 | | | Polygoon | 246932,52 | 443447,88 | 6,30 | 6,30 | 0,00 | Relatief | 17 |
| Gebouw3D | 2956 | 1 | 08:58, 20 mrt 2020 | | | Polygoon | 246949,59 | 443456,61 | 6,80 | 6,80 | 0,00 | Relatief | 8 |
| Gebouw3D | 2957 | 1 | 08:58, 20 mrt 2020 | | | Polygoon | 246932,52 | 443447,88 | 7,10 | 7,10 | 0,00 | Relatief | 4 |
| Gebouw3D | 2958 | 1 | 08:58, 20 mrt 2020 | | | Polygoon | 246949,59 | 443456,61 | 6,90 | 6,90 | 0,00 | Relatief | 4 |
| Gebouw3D | 2959 | 1 | 08:58, 20 mrt 2020 | | | Polygoon | 246923,82 | 443460,24 | 6,10 | 6,10 | 0,00 | Relatief | 9 |
| Gebouw3D | 2960 | 1 | 08:58, 20 mrt 2020 | | | Polygoon | 246955,70 | 443457,35 | 6,60 | 6,60 | 0,00 | Relatief | 7 |
| Gebouw3D | 2961 | 1 | 08:58, 20 mrt 2020 | | | Polygoon | 246917,78 | 443468,44 | 7,10 | 7,10 | 0,00 | Relatief | 9 |
| Gebouw3D | 2962 | 1 | 08:58, 20 mrt 2020 | | | Polygoon | 246908,76 | 443452,30 | 8,80 | 8,80 | 0,00 | Relatief | 9 |
| Gebouw3D | 2963 | 1 | 08:58, 20 mrt 2020 | | | Polygoon | 246967,03 | 443458,29 | 7,80 | 7,80 | 0,00 | Relatief | 10 |
| Gebouw3D | 2964 | 1 | 08:58, 20 mrt 2020 | | | Polygoon | 246981,01 | 443463,47 | 8,30 | 8,30 | 0,00 | Relatief | 12 |
| Gebouw3D | 2965 | 1 | 08:58, 20 mrt 2020 | | | Polygoon | 246988,89 | 443468,05 | 6,70 | 6,70 | 0,00 | Relatief | 5 |
| Gebouw3D | 2966 | 1 | 08:58, 20 mrt 2020 | | | Polygoon | 246900,41 | 443454,48 | 9,40 | 9,40 | 0,00 | Relatief | 8 |
| Gebouw3D | 2967 | 1 | 08:58, 20 mrt 2020 | | | Polygoon | 246977,69 | 443443,08 | 7,10 | 7,10 | 0,00 | Relatief | 7 |
| Gebouw3D | 2968 | 1 | 08:58, 20 mrt 2020 | | | Polygoon | 246988,89 | 443468,05 | 6,50 | 6,50 | 0,00 | Relatief | 4 |
| Gebouw3D | 2969 | 1 | 08:58, 20 mrt 2020 | | | Polygoon | 246895,70 | 443455,72 | 8,80 | 8,80 | 0,00 | Relatief | 8 |
| Gebouw3D | 2970 | 1 | 08:58, 20 mrt 2020 | | | Polygoon | 246891,86 | 443415,85 | 2,60 | 2,60 | 0,00 | Relatief | 4 |
| Gebouw3D | 2971 | 1 | 08:58, 20 mrt 2020 | | | Polygoon | 246966,59 | 443431,59 | 4,40 | 4,40 | 0,00 | Relatief | 8 |
| Gebouw3D | 2972 | 1 | 08:58, 20 mrt 2020 | | | Polygoon | 247014,69 | 443421,72 | 6,70 | 6,70 | 0,00 | Relatief | 10 |
| Gebouw3D | 2973 | 1 | 08:58, 20 mrt 2020 | | | Polygoon | 246992,53 | 443448,27 | 9,20 | 9,20 | 0,00 | Relatief | 10 |

# Invoergegevens van het model

Model: Jager
Jager - Jager
Groep: (hoofdgroep)
Lijst van Gebouwen, voor rekenmethode Wegverkeerslawaai - RMW-2012

| Groep | Omtrek | Oppervlak | Min.lengte | Max.lengte | Functie | BAG-id | Gemeente | Jaar | AHN-jaar | Trust | Cp | Zwevend | Refl. 63 | Refl. 125 | Refl. 250 |
|---|---|---|---|---|---|---|---|---|---|---|---|---|---|---|---|
| Gebouw3D | 25,00 | 30,07 | 0,18 | 5,92 | | | | 0 | 0 | 0 | 0 dB | False | 0,80 | 0,80 | 0,80 |
| Gebouw3D | 68,00 | 208,55 | 0,29 | 16,52 | | | | 0 | 0 | 0 | 0 dB | False | 0,80 | 0,80 | 0,80 |
| Gebouw3D | 22,19 | 29,10 | 4,25 | 6,85 | | | | 0 | 0 | 0 | 0 dB | False | 0,80 | 0,80 | 0,80 |
| Gebouw3D | 94,63 | 186,88 | 0,46 | 21,56 | | | | 0 | 0 | 0 | 0 dB | False | 0,80 | 0,80 | 0,80 |
| Gebouw3D | 79,88 | 379,83 | 0,48 | 21,56 | | | | 0 | 0 | 0 | 0 dB | False | 0,80 | 0,80 | 0,80 |
| Gebouw3D | 72,02 | 274,22 | 2,35 | 13,38 | | | | 0 | 0 | 0 | 0 dB | False | 0,80 | 0,80 | 0,80 |
| Gebouw3D | 25,45 | 33,78 | 3,56 | 9,02 | | | | 0 | 0 | 0 | 0 dB | False | 0,80 | 0,80 | 0,80 |
| Gebouw3D | 13,10 | 10,36 | 2,67 | 3,88 | | | | 0 | 0 | 0 | 0 dB | False | 0,80 | 0,80 | 0,80 |
| Gebouw3D | 43,58 | 85,09 | 0,75 | 9,06 | | | | 0 | 0 | 0 | 0 dB | False | 0,80 | 0,80 | 0,80 |
| Gebouw3D | 14,75 | 13,43 | 3,27 | 4,10 | | | | 0 | 0 | 0 | 0 dB | False | 0,80 | 0,80 | 0,80 |
| Gebouw3D | 44,68 | 103,57 | 1,38 | 9,30 | | | | 0 | 0 | 0 | 0 dB | False | 0,80 | 0,80 | 0,80 |
| Gebouw3D | 9,61 | 5,77 | 2,37 | 2,43 | | | | 0 | 0 | 0 | 0 dB | False | 0,80 | 0,80 | 0,80 |
| Gebouw3D | 43,85 | 85,78 | 0,91 | 8,52 | | | | 0 | 0 | 0 | 0 dB | False | 0,80 | 0,80 | 0,80 |
| Gebouw3D | 35,68 | 54,57 | 0,35 | 8,60 | | | | 0 | 0 | 0 | 0 dB | False | 0,80 | 0,80 | 0,80 |
| Gebouw3D | 25,24 | 30,87 | 0,15 | 9,30 | | | | 0 | 0 | 0 | 0 dB | False | 0,80 | 0,80 | 0,80 |
| Gebouw3D | 57,30 | 110,62 | 0,03 | 7,81 | | | | 0 | 0 | 0 | 0 dB | False | 0,80 | 0,80 | 0,80 |
| Gebouw3D | 47,00 | 92,89 | 0,03 | 11,00 | | | | 0 | 0 | 0 | 0 dB | False | 0,80 | 0,80 | 0,80 |
| Gebouw3D | 56,44 | 113,82 | 0,40 | 8,79 | | | | 0 | 0 | 0 | 0 dB | False | 0,80 | 0,80 | 0,80 |
| Gebouw3D | 34,48 | 67,76 | 0,25 | 8,19 | | | | 0 | 0 | 0 | 0 dB | False | 0,80 | 0,80 | 0,80 |
| Gebouw3D | 32,10 | 63,82 | 7,23 | 8,79 | | | | 0 | 0 | 0 | 0 dB | False | 0,80 | 0,80 | 0,80 |
| Gebouw3D | 29,05 | 51,86 | 6,15 | 8,19 | | | | 0 | 0 | 0 | 0 dB | False | 0,80 | 0,80 | 0,80 |
| Gebouw3D | 63,08 | 118,14 | 2,64 | 11,22 | | | | 0 | 0 | 0 | 0 dB | False | 0,80 | 0,80 | 0,80 |
| Gebouw3D | 34,69 | 62,83 | 1,18 | 8,19 | | | | 0 | 0 | 0 | 0 dB | False | 0,80 | 0,80 | 0,80 |
| Gebouw3D | 50,20 | 101,73 | 1,32 | 13,27 | | | | 0 | 0 | 0 | 0 dB | False | 0,80 | 0,80 | 0,80 |
| Gebouw3D | 57,46 | 138,35 | 1,74 | 10,34 | | | | 0 | 0 | 0 | 0 dB | False | 0,80 | 0,80 | 0,80 |
| Gebouw3D | 32,24 | 59,82 | 0,64 | 8,30 | | | | 0 | 0 | 0 | 0 dB | False | 0,80 | 0,80 | 0,80 |
| Gebouw3D | 39,61 | 74,62 | 0,83 | 8,21 | | | | 0 | 0 | 0 | 0 dB | False | 0,80 | 0,80 | 0,80 |
| Gebouw3D | 44,95 | 119,91 | 6,49 | 10,80 | | | | 0 | 0 | 0 | 0 dB | False | 0,80 | 0,80 | 0,80 |
| Gebouw3D | 43,64 | 67,04 | 0,33 | 16,79 | | | | 0 | 0 | 0 | 0 dB | False | 0,80 | 0,80 | 0,80 |
| Gebouw3D | 45,48 | 97,74 | 1,99 | 8,04 | | | | 0 | 0 | 0 | 0 dB | False | 0,80 | 0,80 | 0,80 |
| Gebouw3D | 26,92 | 38,28 | 4,18 | 10,00 | | | | 0 | 0 | 0 | 0 dB | False | 0,80 | 0,80 | 0,80 |
| Gebouw3D | 52,53 | 85,28 | 2,63 | 16,79 | | | | 0 | 0 | 0 | 0 dB | False | 0,80 | 0,80 | 0,80 |
| Gebouw3D | 21,97 | 30,17 | 5,47 | 5,52 | | | | 0 | 0 | 0 | 0 dB | False | 0,80 | 0,80 | 0,80 |
| Gebouw3D | 35,87 | 55,87 | 1,17 | 6,77 | | | | 0 | 0 | 0 | 0 dB | False | 0,80 | 0,80 | 0,80 |
| Gebouw3D | 56,32 | 143,46 | 1,16 | 9,68 | | | | 0 | 0 | 0 | 0 dB | False | 0,80 | 0,80 | 0,80 |
| Gebouw3D | 40,62 | 72,76 | 0,09 | 8,60 | | | | 0 | 0 | 0 | 0 dB | False | 0,80 | 0,80 | 0,80 |

Model: Jager
Jager - Jager
Groep: (hoofdgroep)
Lijst van Gebouwen, voor rekenmethode Wegverkeerslawaai - RMW-2012

| Groep | Refl. 500 | Refl. 1k | Refl. 2k | Refl. 4k | Refl. 8k |
|---|---|---|---|---|---|
| Gebouw3D | 0,80 | 0,80 | 0,80 | 0,80 | 0,80 |
| Gebouw3D | 0,80 | 0,80 | 0,80 | 0,80 | 0,80 |
| Gebouw3D | 0,80 | 0,80 | 0,80 | 0,80 | 0,80 |
| Gebouw3D | 0,80 | 0,80 | 0,80 | 0,80 | 0,80 |
| Gebouw3D | 0,80 | 0,80 | 0,80 | 0,80 | 0,80 |
| Gebouw3D | 0,80 | 0,80 | 0,80 | 0,80 | 0,80 |
| Gebouw3D | 0,80 | 0,80 | 0,80 | 0,80 | 0,80 |
| Gebouw3D | 0,80 | 0,80 | 0,80 | 0,80 | 0,80 |
| Gebouw3D | 0,80 | 0,80 | 0,80 | 0,80 | 0,80 |
| Gebouw3D | 0,80 | 0,80 | 0,80 | 0,80 | 0,80 |
| Gebouw3D | 0,80 | 0,80 | 0,80 | 0,80 | 0,80 |
| Gebouw3D | 0,80 | 0,80 | 0,80 | 0,80 | 0,80 |
| Gebouw3D | 0,80 | 0,80 | 0,80 | 0,80 | 0,80 |
| Gebouw3D | 0,80 | 0,80 | 0,80 | 0,80 | 0,80 |
| Gebouw3D | 0,80 | 0,80 | 0,80 | 0,80 | 0,80 |
| Gebouw3D | 0,80 | 0,80 | 0,80 | 0,80 | 0,80 |
| Gebouw3D | 0,80 | 0,80 | 0,80 | 0,80 | 0,80 |
| Gebouw3D | 0,80 | 0,80 | 0,80 | 0,80 | 0,80 |
| Gebouw3D | 0,80 | 0,80 | 0,80 | 0,80 | 0,80 |
| Gebouw3D | 0,80 | 0,80 | 0,80 | 0,80 | 0,80 |
| Gebouw3D | 0,80 | 0,80 | 0,80 | 0,80 | 0,80 |
| Gebouw3D | 0,80 | 0,80 | 0,80 | 0,80 | 0,80 |
| Gebouw3D | 0,80 | 0,80 | 0,80 | 0,80 | 0,80 |
| Gebouw3D | 0,80 | 0,80 | 0,80 | 0,80 | 0,80 |
| Gebouw3D | 0,80 | 0,80 | 0,80 | 0,80 | 0,80 |
| Gebouw3D | 0,80 | 0,80 | 0,80 | 0,80 | 0,80 |
| Gebouw3D | 0,80 | 0,80 | 0,80 | 0,80 | 0,80 |
| Gebouw3D | 0,80 | 0,80 | 0,80 | 0,80 | 0,80 |
| Gebouw3D | 0,80 | 0,80 | 0,80 | 0,80 | 0,80 |
| Gebouw3D | 0,80 | 0,80 | 0,80 | 0,80 | 0,80 |
| Gebouw3D | 0,80 | 0,80 | 0,80 | 0,80 | 0,80 |
| Gebouw3D | 0,80 | 0,80 | 0,80 | 0,80 | 0,80 |

# Invoergegevens van het model

Model: Jager
Jager - Jager
Groep: (hoofdgroep)
Lijst van Gebouwen, voor rekenmethode Wegverkeerslawaai - RMW-2012

| Groep | ItemID | Grp.ID | Datum | Naam | Omschr. | Vorm | X-1 | Y-1 | Hoogte | Rel.H | Maaiveld | Hdef. | Vormpunten |
|---|---|---|---|---|---|---|---|---|---|---|---|---|---|
| Gebouw3D | 2974 | 1 | 08:58, 20 mrt 2020 | | | Polygoon | 246969,76 | 443463,91 | 4,90 | 4,90 | 0,00 | Relatief | 4 |
| Gebouw3D | 2975 | 1 | 08:58, 20 mrt 2020 | | | Polygoon | 246919,58 | 443412,11 | 3,20 | 3,20 | 0,00 | Relatief | 6 |
| Gebouw3D | 2976 | 1 | 08:58, 20 mrt 2020 | | | Polygoon | 246925,99 | 443410,39 | 2,30 | 2,30 | 0,00 | Relatief | 4 |
| Gebouw3D | 2977 | 1 | 08:58, 20 mrt 2020 | | | Polygoon | 246706,40 | 443405,70 | 2,60 | 2,60 | 0,00 | Relatief | 5 |
| Gebouw3D | 2978 | 1 | 08:58, 20 mrt 2020 | | | Polygoon | 246725,44 | 443405,95 | 2,60 | 2,60 | 0,00 | Relatief | 4 |
| Gebouw3D | 2979 | 1 | 08:58, 20 mrt 2020 | | | Polygoon | 246728,22 | 443415,94 | 2,60 | 2,60 | 0,00 | Relatief | 4 |
| Gebouw3D | 2980 | 1 | 08:58, 20 mrt 2020 | | | Polygoon | 246703,11 | 443415,80 | 2,60 | 2,60 | 0,00 | Relatief | 4 |
| Gebouw3D | 2981 | 1 | 08:58, 20 mrt 2020 | | | Polygoon | 246728,22 | 443415,94 | 2,60 | 2,60 | 0,00 | Relatief | 4 |
| Gebouw3D | 2982 | 1 | 08:58, 20 mrt 2020 | | | Polygoon | 246731,04 | 443425,91 | 2,60 | 2,60 | 0,00 | Relatief | 4 |
| Gebouw3D | 2983 | 1 | 08:58, 20 mrt 2020 | | | Polygoon | 246731,04 | 443425,91 | 2,60 | 2,60 | 0,00 | Relatief | 4 |
| Gebouw3D | 2984 | 1 | 08:58, 20 mrt 2020 | | | Polygoon | 246723,61 | 443436,23 | 3,80 | 3,80 | 0,00 | Relatief | 4 |
| Gebouw3D | 2985 | 1 | 08:58, 20 mrt 2020 | | | Polygoon | 246697,70 | 443439,85 | 5,70 | 5,70 | 0,00 | Relatief | 14 |
| Gebouw3D | 2986 | 1 | 08:58, 20 mrt 2020 | | | Polygoon | 246726,94 | 443453,92 | 11,90 | 11,90 | 0,00 | Relatief | 17 |
| Gebouw3D | 2987 | 1 | 08:58, 20 mrt 2020 | | | Polygoon | 246682,50 | 443465,82 | 10,00 | 10,00 | 0,00 | Relatief | 12 |
| Gebouw3D | 2988 | 1 | 08:58, 20 mrt 2020 | | | Polygoon | 246685,89 | 443489,72 | 10,30 | 10,30 | 0,00 | Relatief | 13 |
| Gebouw3D | 2989 | 1 | 08:58, 20 mrt 2020 | | | Polygoon | 246666,25 | 443485,36 | 7,00 | 7,00 | 0,00 | Relatief | 10 |
| Gebouw3D | 2990 | 1 | 08:58, 20 mrt 2020 | | | Polygoon | 246657,88 | 443482,08 | 9,10 | 9,10 | 0,00 | Relatief | 12 |
| Gebouw3D | 2991 | 1 | 08:58, 20 mrt 2020 | | | Polygoon | 246685,89 | 443489,72 | 9,90 | 9,90 | 0,00 | Relatief | 9 |
| Gebouw3D | 2992 | 1 | 08:58, 20 mrt 2020 | | | Polygoon | 246722,09 | 443516,22 | 8,80 | 8,80 | 0,00 | Relatief | 7 |
| Gebouw3D | 2993 | 1 | 08:58, 20 mrt 2020 | | | Polygoon | 246689,62 | 443504,03 | 9,00 | 9,00 | 0,00 | Relatief | 10 |
| Gebouw3D | 2994 | 1 | 08:58, 20 mrt 2020 | | | Polygoon | 246639,00 | 443532,80 | 8,90 | 8,90 | 0,00 | Relatief | 9 |
| Gebouw3D | 2995 | 1 | 08:58, 20 mrt 2020 | | | Polygoon | 246654,72 | 443438,77 | 0,00 | 0,00 | 0,00 | Relatief | 15 |
| Gebouw3D | 2996 | 1 | 08:58, 20 mrt 2020 | | | Polygoon | 246689,30 | 443405,99 | 11,00 | 11,00 | 0,00 | Relatief | 4 |
| Gebouw3D | 2997 | 1 | 08:58, 20 mrt 2020 | | | Polygoon | 246691,98 | 443439,75 | 2,40 | 2,40 | 0,00 | Relatief | 6 |
| Gebouw3D | 2998 | 1 | 08:58, 20 mrt 2020 | | | Polygoon | 246736,49 | 443408,63 | 11,10 | 11,10 | 0,00 | Relatief | 4 |
| Gebouw3D | 2999 | 1 | 08:58, 20 mrt 2020 | | | Polygoon | 246735,79 | 443442,97 | 2,60 | 2,60 | 0,00 | Relatief | 4 |
| Gebouw3D | 3001 | 1 | 08:58, 20 mrt 2020 | | | Polygoon | 246679,69 | 443448,14 | 10,30 | 10,30 | 0,00 | Relatief | 9 |
| Gebouw3D | 3002 | 1 | 08:58, 20 mrt 2020 | | | Polygoon | 246741,98 | 443428,59 | 11,00 | 11,00 | 0,00 | Relatief | 4 |
| Gebouw3D | 3003 | 1 | 08:58, 20 mrt 2020 | | | Polygoon | 246863,03 | 443434,62 | 8,20 | 8,20 | 0,00 | Relatief | 6 |
| Gebouw3D | 3004 | 1 | 08:58, 20 mrt 2020 | | | Polygoon | 246827,69 | 443445,70 | 9,40 | 9,40 | 0,00 | Relatief | 10 |
| Gebouw3D | 3005 | 1 | 08:58, 20 mrt 2020 | | | Polygoon | 246883,78 | 443458,38 | 6,60 | 6,60 | 0,00 | Relatief | 7 |
| Gebouw3D | 3006 | 1 | 08:58, 20 mrt 2020 | | | Polygoon | 246883,78 | 443458,38 | 6,20 | 6,20 | 0,00 | Relatief | 8 |
| Gebouw3D | 3007 | 1 | 08:58, 20 mrt 2020 | | | Polygoon | 246750,58 | 443483,21 | 9,80 | 9,80 | 0,00 | Relatief | 4 |
| Gebouw3D | 3008 | 1 | 08:58, 20 mrt 2020 | | | Polygoon | 246841,08 | 443495,47 | 9,40 | 9,40 | 0,00 | Relatief | 7 |
| Gebouw3D | 3009 | 1 | 08:58, 20 mrt 2020 | | | Polygoon | 246811,78 | 443476,99 | 6,40 | 6,40 | 0,00 | Relatief | 15 |
| Gebouw3D | 3010 | 1 | 08:58, 20 mrt 2020 | | | Polygoon | 246813,73 | 443484,16 | 0,00 | 0,00 | 0,00 | Relatief | 4 |

# Invoergegevens van het model

Model: Jager
Jager - Jager
Groep: (hoofdgroep)
Lijst van Gebouwen, voor rekenmethode Wegverkeerslawaai - RMW-2012

| Groep | Omtrek | Oppervlak | Min.lengte | Max.lengte | Functie | BAG-id | Gemeente | Jaar | AHN-jaar | Trust | Cp | Zwevend | Refl. 63 | Refl. 125 | Refl. 250 |
|---|---|---|---|---|---|---|---|---|---|---|---|---|---|---|---|
| Gebouw3D | 17,10 | 18,14 | 3,90 | 4,66 | | | | 0 | 0 | 0 | 0 dB | False | 0,80 | 0,80 | 0,80 |
| Gebouw3D | 16,93 | 16,60 | 0,26 | 5,37 | | | | 0 | 0 | 0 | 0 dB | False | 0,80 | 0,80 | 0,80 |
| Gebouw3D | 17,48 | 17,71 | 3,19 | 5,55 | | | | 0 | 0 | 0 | 0 dB | False | 0,80 | 0,80 | 0,80 |
| Gebouw3D | 12,19 | 8,86 | 1,25 | 3,72 | | | | 0 | 0 | 0 | 0 dB | False | 0,80 | 0,80 | 0,80 |
| Gebouw3D | 11,53 | 8,17 | 2,51 | 3,28 | | | | 0 | 0 | 0 | 0 dB | False | 0,80 | 0,80 | 0,80 |
| Gebouw3D | 11,47 | 8,11 | 2,52 | 3,23 | | | | 0 | 0 | 0 | 0 dB | False | 0,80 | 0,80 | 0,80 |
| Gebouw3D | 11,74 | 8,12 | 2,17 | 3,64 | | | | 0 | 0 | 0 | 0 dB | False | 0,80 | 0,80 | 0,80 |
| Gebouw3D | 11,48 | 8,13 | 2,53 | 3,21 | | | | 0 | 0 | 0 | 0 dB | False | 0,80 | 0,80 | 0,80 |
| Gebouw3D | 11,34 | 7,92 | 2,48 | 3,20 | | | | 0 | 0 | 0 | 0 dB | False | 0,80 | 0,80 | 0,80 |
| Gebouw3D | 11,34 | 7,92 | 2,48 | 3,20 | | | | 0 | 0 | 0 | 0 dB | False | 0,80 | 0,80 | 0,80 |
| Gebouw3D | 18,07 | 19,05 | 3,35 | 5,69 | | | | 0 | 0 | 0 | 0 dB | False | 0,80 | 0,80 | 0,80 |
| Gebouw3D | 84,09 | 360,05 | 0,08 | 25,85 | | | | 0 | 0 | 0 | 0 dB | False | 0,80 | 0,80 | 0,80 |
| Gebouw3D | 144,13 | 889,96 | 0,78 | 18,53 | | | | 0 | 0 | 0 | 0 dB | False | 0,80 | 0,80 | 0,80 |
| Gebouw3D | 81,83 | 335,12 | 0,05 | 27,72 | | | | 0 | 0 | 0 | 0 dB | False | 0,80 | 0,80 | 0,80 |
| Gebouw3D | 48,99 | 146,39 | 0,14 | 10,04 | | | | 0 | 0 | 0 | 0 dB | False | 0,80 | 0,80 | 0,80 |
| Gebouw3D | 50,67 | 115,48 | 0,30 | 13,13 | | | | 0 | 0 | 0 | 0 dB | False | 0,80 | 0,80 | 0,80 |
| Gebouw3D | 55,16 | 164,29 | 0,03 | 15,81 | | | | 0 | 0 | 0 | 0 dB | False | 0,80 | 0,80 | 0,80 |
| Gebouw3D | 50,32 | 122,99 | 1,05 | 13,86 | | | | 0 | 0 | 0 | 0 dB | False | 0,80 | 0,80 | 0,80 |
| Gebouw3D | 58,02 | 185,43 | 0,05 | 20,36 | | | | 0 | 0 | 0 | 0 dB | False | 0,80 | 0,80 | 0,80 |
| Gebouw3D | 140,36 | 569,03 | 1,40 | 31,52 | | | | 0 | 0 | 0 | 0 dB | False | 0,80 | 0,80 | 0,80 |
| Gebouw3D | 73,49 | 274,36 | 0,06 | 19,41 | | | | 0 | 0 | 0 | 0 dB | False | 0,80 | 0,80 | 0,80 |
| Gebouw3D | 74,63 | 271,01 | 0,21 | 28,42 | | | | 0 | 0 | 0 | 0 dB | False | 0,80 | 0,80 | 0,80 |
| Gebouw3D | 27,35 | 41,62 | 4,57 | 9,10 | | | | 0 | 0 | 0 | 0 dB | False | 0,80 | 0,80 | 0,80 |
| Gebouw3D | 20,39 | 27,94 | 0,93 | 5,73 | | | | 0 | 0 | 0 | 0 dB | False | 0,80 | 0,80 | 0,80 |
| Gebouw3D | 28,15 | 45,47 | 5,02 | 9,05 | | | | 0 | 0 | 0 | 0 dB | False | 0,80 | 0,80 | 0,80 |
| Gebouw3D | 10,98 | 7,49 | 2,51 | 2,98 | | | | 0 | 0 | 0 | 0 dB | False | 0,80 | 0,80 | 0,80 |
| Gebouw3D | 74,11 | 226,40 | 0,05 | 28,42 | | | | 0 | 0 | 0 | 0 dB | False | 0,80 | 0,80 | 0,80 |
| Gebouw3D | 27,78 | 43,81 | 4,84 | 9,05 | | | | 0 | 0 | 0 | 0 dB | False | 0,80 | 0,80 | 0,80 |
| Gebouw3D | 75,99 | 360,61 | 7,16 | 19,52 | | | | 0 | 0 | 0 | 0 dB | False | 0,80 | 0,80 | 0,80 |
| Gebouw3D | 76,02 | 278,05 | 0,18 | 17,41 | | | | 0 | 0 | 0 | 0 dB | False | 0,80 | 0,80 | 0,80 |
| Gebouw3D | 38,42 | 70,62 | 1,06 | 10,30 | | | | 0 | 0 | 0 | 0 dB | False | 0,80 | 0,80 | 0,80 |
| Gebouw3D | 68,01 | 172,65 | 0,47 | 16,09 | | | | 0 | 0 | 0 | 0 dB | False | 0,80 | 0,80 | 0,80 |
| Gebouw3D | 59,42 | 179,85 | 8,47 | 21,24 | | | | 0 | 0 | 0 | 0 dB | False | 0,80 | 0,80 | 0,80 |
| Gebouw3D | 78,20 | 344,38 | 1,85 | 18,71 | | | | 0 | 0 | 0 | 0 dB | False | 0,80 | 0,80 | 0,80 |
| Gebouw3D | 51,00 | 67,68 | 0,30 | 7,43 | | | | 0 | 0 | 0 | 0 dB | False | 0,80 | 0,80 | 0,80 |
| Gebouw3D | 7,78 | 3,78 | 1,90 | 1,99 | | | | 0 | 0 | 0 | 0 dB | False | 0,80 | 0,80 | 0,80 |

Model: Jager
Jager - Jager
Groep: (hoofdgroep)
Lijst van Gebouwen, voor rekenmethode Wegverkeerslawaai - RMW-2012

| Groep | Refl. 500 | Refl. 1k | Refl. 2k | Refl. 4k | Refl. 8k |
|---|---|---|---|---|---|
| Gebouw3D | 0,80 | 0,80 | 0,80 | 0,80 | 0,80 |
| Gebouw3D | 0,80 | 0,80 | 0,80 | 0,80 | 0,80 |
| Gebouw3D | 0,80 | 0,80 | 0,80 | 0,80 | 0,80 |
| Gebouw3D | 0,80 | 0,80 | 0,80 | 0,80 | 0,80 |
| Gebouw3D | 0,80 | 0,80 | 0,80 | 0,80 | 0,80 |
| Gebouw3D | 0,80 | 0,80 | 0,80 | 0,80 | 0,80 |
| Gebouw3D | 0,80 | 0,80 | 0,80 | 0,80 | 0,80 |
| Gebouw3D | 0,80 | 0,80 | 0,80 | 0,80 | 0,80 |
| Gebouw3D | 0,80 | 0,80 | 0,80 | 0,80 | 0,80 |
| Gebouw3D | 0,80 | 0,80 | 0,80 | 0,80 | 0,80 |
| Gebouw3D | 0,80 | 0,80 | 0,80 | 0,80 | 0,80 |
| Gebouw3D | 0,80 | 0,80 | 0,80 | 0,80 | 0,80 |
| Gebouw3D | 0,80 | 0,80 | 0,80 | 0,80 | 0,80 |
| Gebouw3D | 0,80 | 0,80 | 0,80 | 0,80 | 0,80 |
| Gebouw3D | 0,80 | 0,80 | 0,80 | 0,80 | 0,80 |
| Gebouw3D | 0,80 | 0,80 | 0,80 | 0,80 | 0,80 |
| Gebouw3D | 0,80 | 0,80 | 0,80 | 0,80 | 0,80 |
| Gebouw3D | 0,80 | 0,80 | 0,80 | 0,80 | 0,80 |
| Gebouw3D | 0,80 | 0,80 | 0,80 | 0,80 | 0,80 |
| Gebouw3D | 0,80 | 0,80 | 0,80 | 0,80 | 0,80 |
| Gebouw3D | 0,80 | 0,80 | 0,80 | 0,80 | 0,80 |
| Gebouw3D | 0,80 | 0,80 | 0,80 | 0,80 | 0,80 |
| Gebouw3D | 0,80 | 0,80 | 0,80 | 0,80 | 0,80 |
| Gebouw3D | 0,80 | 0,80 | 0,80 | 0,80 | 0,80 |
| Gebouw3D | 0,80 | 0,80 | 0,80 | 0,80 | 0,80 |
| Gebouw3D | 0,80 | 0,80 | 0,80 | 0,80 | 0,80 |
| Gebouw3D | 0,80 | 0,80 | 0,80 | 0,80 | 0,80 |
| Gebouw3D | 0,80 | 0,80 | 0,80 | 0,80 | 0,80 |
| Gebouw3D | 0,80 | 0,80 | 0,80 | 0,80 | 0,80 |
| Gebouw3D | 0,80 | 0,80 | 0,80 | 0,80 | 0,80 |
| Gebouw3D | 0,80 | 0,80 | 0,80 | 0,80 | 0,80 |
| Gebouw3D | 0,80 | 0,80 | 0,80 | 0,80 | 0,80 |

# Invoergegevens van het model

Model: Jager
Jager - Jager
Groep: (hoofdgroep)
Lijst van Gebouwen, voor rekenmethode Wegverkeerslawaai - RMW-2012

| Groep | ItemID | Grp.ID | Datum | Naam | Omschr. | Vorm | X-1 | Y-1 | Hoogte | Rel.H | Maaiveld | Hdef. | Vormpunten |
|---|---|---|---|---|---|---|---|---|---|---|---|---|---|
| Gebouw3D | 3011 | 1 | 08:58, 20 mrt 2020 | | | Polygoon | 246769,08 | 443488,76 | 8,50 | 8,50 | 0,00 | Relatief | 17 |
| Gebouw3D | 3012 | 1 | 08:58, 20 mrt 2020 | | | Polygoon | 246887,91 | 443488,10 | 3,00 | 3,00 | 0,00 | Relatief | 9 |
| Gebouw3D | 3013 | 1 | 08:58, 20 mrt 2020 | | | Polygoon | 246769,08 | 443488,76 | 8,60 | 8,60 | 0,00 | Relatief | 15 |
| Gebouw3D | 3014 | 1 | 08:58, 20 mrt 2020 | | | Polygoon | 246820,60 | 443499,59 | 4,00 | 4,00 | 0,00 | Relatief | 9 |
| Gebouw3D | 3015 | 1 | 08:58, 20 mrt 2020 | | | Polygoon | 246848,64 | 443505,43 | 7,30 | 7,30 | 0,00 | Relatief | 9 |
| Gebouw3D | 3016 | 1 | 08:58, 20 mrt 2020 | | | Polygoon | 246820,60 | 443499,59 | 5,20 | 5,20 | 0,00 | Relatief | 13 |
| Gebouw3D | 3017 | 1 | 08:58, 20 mrt 2020 | | | Polygoon | 246815,03 | 443500,71 | 2,50 | 2,50 | 0,00 | Relatief | 6 |
| Gebouw3D | 3018 | 1 | 08:58, 20 mrt 2020 | | | Polygoon | 246801,46 | 443506,52 | 2,60 | 2,60 | 0,00 | Relatief | 5 |
| Gebouw3D | 3019 | 1 | 08:58, 20 mrt 2020 | | | Polygoon | 246822,61 | 443519,19 | 2,80 | 2,80 | 0,00 | Relatief | 6 |
| Gebouw3D | 3020 | 1 | 08:58, 20 mrt 2020 | | | Polygoon | 246822,61 | 443519,19 | 3,10 | 3,10 | 0,00 | Relatief | 6 |
| Gebouw3D | 3021 | 1 | 08:58, 20 mrt 2020 | | | Polygoon | 246836,64 | 443532,47 | 7,00 | 7,00 | 0,00 | Relatief | 7 |
| Gebouw3D | 3022 | 1 | 08:58, 20 mrt 2020 | | | Polygoon | 246825,39 | 443537,95 | 2,70 | 2,70 | 0,00 | Relatief | 4 |
| Gebouw3D | 3023 | 1 | 08:58, 20 mrt 2020 | | | Polygoon | 246849,04 | 443535,60 | 7,60 | 7,60 | 0,00 | Relatief | 6 |
| Gebouw3D | 3024 | 1 | 08:58, 20 mrt 2020 | | | Polygoon | 246819,32 | 443512,78 | 2,00 | 2,00 | 0,00 | Relatief | 8 |
| Gebouw3D | 3025 | 1 | 08:58, 20 mrt 2020 | | | Polygoon | 246743,27 | 443433,26 | 11,00 | 11,00 | 0,00 | Relatief | 4 |
| Gebouw3D | 3026 | 1 | 08:58, 20 mrt 2020 | | | Polygoon | 246744,71 | 443438,51 | 11,00 | 11,00 | 0,00 | Relatief | 4 |
| Gebouw3D | 3027 | 1 | 08:58, 20 mrt 2020 | | | Polygoon | 246820,56 | 443504,18 | 4,50 | 4,50 | 0,00 | Relatief | 6 |
| Gebouw3D | 3028 | 1 | 08:58, 20 mrt 2020 | | | Polygoon | 246817,51 | 443526,09 | 2,60 | 2,60 | 0,00 | Relatief | 4 |
| Gebouw3D | 3029 | 1 | 08:58, 20 mrt 2020 | | | Polygoon | 246813,13 | 443528,52 | 6,00 | 6,00 | 0,00 | Relatief | 4 |
| Gebouw3D | 3030 | 1 | 08:58, 20 mrt 2020 | | | Polygoon | 246799,86 | 443444,78 | 11,80 | 11,80 | 0,00 | Relatief | 15 |
| Gebouw3D | 3031 | 1 | 08:58, 20 mrt 2020 | | | Polygoon | 246835,78 | 443516,92 | 6,60 | 6,60 | 0,00 | Relatief | 8 |
| Gebouw3D | 3032 | 1 | 08:58, 20 mrt 2020 | | | Polygoon | 246827,57 | 443485,86 | 8,70 | 8,70 | 0,00 | Relatief | 15 |
| Gebouw3D | 3033 | 1 | 08:58, 20 mrt 2020 | | | Polygoon | 246764,33 | 443489,64 | 13,70 | 13,70 | 0,00 | Relatief | 31 |
| Gebouw3D | 3034 | 1 | 08:58, 20 mrt 2020 | | | Polygoon | 246800,87 | 443480,18 | 7,10 | 7,10 | 0,00 | Relatief | 7 |
| Gebouw3D | 3035 | 1 | 08:58, 20 mrt 2020 | | | Polygoon | 246733,78 | 443435,64 | 2,60 | 2,60 | 0,00 | Relatief | 4 |
| Gebouw3D | 3036 | 1 | 08:58, 20 mrt 2020 | | | Polygoon | 246733,78 | 443435,64 | 2,60 | 2,60 | 0,00 | Relatief | 4 |
| Gebouw3D | 3037 | 1 | 08:58, 20 mrt 2020 | | | Polygoon | 246748,05 | 443455,12 | 6,50 | 6,50 | 0,00 | Relatief | 4 |
| Gebouw3D | 3038 | 1 | 08:58, 20 mrt 2020 | | | Polygoon | 246818,80 | 443433,00 | 10,10 | 10,10 | 0,00 | Relatief | 20 |
| Gebouw3D | 3039 | 1 | 08:58, 20 mrt 2020 | | | Polygoon | 246804,59 | 443521,39 | 7,30 | 7,30 | 0,00 | Relatief | 6 |
| Gebouw3D | 3040 | 1 | 08:58, 20 mrt 2020 | | | Polygoon | 246817,68 | 443475,20 | 7,50 | 7,50 | 0,00 | Relatief | 9 |
| Gebouw3D | 3041 | 1 | 08:58, 20 mrt 2020 | | | Polygoon | 246792,32 | 443516,77 | 7,90 | 7,90 | 0,00 | Relatief | 7 |
| Gebouw3D | 3042 | 1 | 08:58, 20 mrt 2020 | | | Polygoon | 246800,87 | 443480,18 | 7,10 | 7,10 | 0,00 | Relatief | 4 |
| Gebouw3D | 3043 | 1 | 08:58, 20 mrt 2020 | | | Polygoon | 246878,87 | 443535,60 | 3,70 | 3,70 | 0,00 | Relatief | 10 |
| Gebouw3D | 3044 | 1 | 08:58, 20 mrt 2020 | | | Polygoon | 246801,46 | 443506,52 | 8,40 | 8,40 | 0,00 | Relatief | 9 |
| Gebouw3D | 3045 | 1 | 08:58, 20 mrt 2020 | | | Polygoon | 246863,03 | 443434,62 | 3,40 | 3,40 | 0,00 | Relatief | 6 |
| Gebouw3D | 3046 | 1 | 08:58, 20 mrt 2020 | | | Polygoon | 246845,64 | 443446,61 | 10,50 | 10,50 | 0,00 | Relatief | 6 |

# Invoergegevens van het model

Model: Jager
Jager - Jager
Groep: (hoofdgroep)
Lijst van Gebouwen, voor rekenmethode Wegverkeerslawaai - RMW-2012

| Groep | Omtrek | Oppervlak | Min.lengte | Max.lengte | Functie | BAG-id | Gemeente | Jaar | AHN-jaar | Trust | Cp | Zwevend | Refl. 63 | Refl. 125 | Refl. 250 |
|---|---|---|---|---|---|---|---|---|---|---|---|---|---|---|---|
| Gebouw3D | 63,96 | 119,43 | 0,54 | 9,13 | | | | 0 | 0 | 0 | 0 dB | False | 0,80 | 0,80 | 0,80 |
| Gebouw3D | 44,92 | 84,82 | 1,20 | 9,50 | | | | 0 | 0 | 0 | 0 dB | False | 0,80 | 0,80 | 0,80 |
| Gebouw3D | 64,74 | 145,87 | 0,31 | 15,46 | | | | 0 | 0 | 0 | 0 dB | False | 0,80 | 0,80 | 0,80 |
| Gebouw3D | 26,34 | 35,47 | 0,03 | 8,37 | | | | 0 | 0 | 0 | 0 dB | False | 0,80 | 0,80 | 0,80 |
| Gebouw3D | 79,43 | 231,08 | 0,34 | 28,60 | | | | 0 | 0 | 0 | 0 dB | False | 0,80 | 0,80 | 0,80 |
| Gebouw3D | 17,21 | 16,25 | 0,03 | 3,49 | | | | 0 | 0 | 0 | 0 dB | False | 0,80 | 0,80 | 0,80 |
| Gebouw3D | 16,78 | 14,87 | 2,38 | 3,44 | | | | 0 | 0 | 0 | 0 dB | False | 0,80 | 0,80 | 0,80 |
| Gebouw3D | 17,68 | 16,48 | 0,29 | 6,25 | | | | 0 | 0 | 0 | 0 dB | False | 0,80 | 0,80 | 0,80 |
| Gebouw3D | 14,42 | 12,80 | 0,03 | 4,09 | | | | 0 | 0 | 0 | 0 dB | False | 0,80 | 0,80 | 0,80 |
| Gebouw3D | 24,16 | 36,48 | 0,03 | 6,08 | | | | 0 | 0 | 0 | 0 dB | False | 0,80 | 0,80 | 0,80 |
| Gebouw3D | 48,67 | 122,45 | 3,35 | 12,48 | | | | 0 | 0 | 0 | 0 dB | False | 0,80 | 0,80 | 0,80 |
| Gebouw3D | 17,57 | 15,96 | 2,56 | 6,22 | | | | 0 | 0 | 0 | 0 dB | False | 0,80 | 0,80 | 0,80 |
| Gebouw3D | 54,17 | 166,06 | 1,69 | 16,03 | | | | 0 | 0 | 0 | 0 dB | False | 0,80 | 0,80 | 0,80 |
| Gebouw3D | 19,48 | 20,28 | 0,02 | 6,35 | | | | 0 | 0 | 0 | 0 dB | False | 0,80 | 0,80 | 0,80 |
| Gebouw3D | 29,00 | 49,31 | 5,45 | 9,05 | | | | 0 | 0 | 0 | 0 dB | False | 0,80 | 0,80 | 0,80 |
| Gebouw3D | 26,71 | 38,96 | 4,31 | 9,05 | | | | 0 | 0 | 0 | 0 dB | False | 0,80 | 0,80 | 0,80 |
| Gebouw3D | 23,07 | 26,76 | 0,26 | 8,18 | | | | 0 | 0 | 0 | 0 dB | False | 0,80 | 0,80 | 0,80 |
| Gebouw3D | 19,04 | 21,14 | 3,49 | 6,04 | | | | 0 | 0 | 0 | 0 dB | False | 0,80 | 0,80 | 0,80 |
| Gebouw3D | 40,09 | 95,39 | 7,77 | 12,27 | | | | 0 | 0 | 0 | 0 dB | False | 0,80 | 0,80 | 0,80 |
| Gebouw3D | 168,20 | 1169,43 | 1,14 | 31,11 | | | | 0 | 0 | 0 | 0 dB | False | 0,80 | 0,80 | 0,80 |
| Gebouw3D | 46,67 | 101,56 | 0,10 | 12,47 | | | | 0 | 0 | 0 | 0 dB | False | 0,80 | 0,80 | 0,80 |
| Gebouw3D | 84,84 | 303,06 | 0,67 | 12,79 | | | | 0 | 0 | 0 | 0 dB | False | 0,80 | 0,80 | 0,80 |
| Gebouw3D | 341,07 | 2528,94 | 0,05 | 63,55 | | | | 0 | 0 | 0 | 0 dB | False | 0,80 | 0,80 | 0,80 |
| Gebouw3D | 38,22 | 79,84 | 1,60 | 8,06 | | | | 0 | 0 | 0 | 0 dB | False | 0,80 | 0,80 | 0,80 |
| Gebouw3D | 11,49 | 8,13 | 2,51 | 3,22 | | | | 0 | 0 | 0 | 0 dB | False | 0,80 | 0,80 | 0,80 |
| Gebouw3D | 11,41 | 8,01 | 2,47 | 3,22 | | | | 0 | 0 | 0 | 0 dB | False | 0,80 | 0,80 | 0,80 |
| Gebouw3D | 18,05 | 19,56 | 3,62 | 5,40 | | | | 0 | 0 | 0 | 0 dB | False | 0,80 | 0,80 | 0,80 |
| Gebouw3D | 62,79 | 147,62 | 0,25 | 17,00 | | | | 0 | 0 | 0 | 0 dB | False | 0,80 | 0,80 | 0,80 |
| Gebouw3D | 36,30 | 72,75 | 2,22 | 10,10 | | | | 0 | 0 | 0 | 0 dB | False | 0,80 | 0,80 | 0,80 |
| Gebouw3D | 41,71 | 63,72 | 1,68 | 8,61 | | | | 0 | 0 | 0 | 0 dB | False | 0,80 | 0,80 | 0,80 |
| Gebouw3D | 31,96 | 58,27 | 0,46 | 10,21 | | | | 0 | 0 | 0 | 0 dB | False | 0,80 | 0,80 | 0,80 |
| Gebouw3D | 30,67 | 58,65 | 7,19 | 8,04 | | | | 0 | 0 | 0 | 0 dB | False | 0,80 | 0,80 | 0,80 |
| Gebouw3D | 76,32 | 250,37 | 0,90 | 19,20 | | | | 0 | 0 | 0 | 0 dB | False | 0,80 | 0,80 | 0,80 |
| Gebouw3D | 76,21 | 337,99 | 0,03 | 21,63 | | | | 0 | 0 | 0 | 0 dB | False | 0,80 | 0,80 | 0,80 |
| Gebouw3D | 48,59 | 116,14 | 1,38 | 16,66 | | | | 0 | 0 | 0 | 0 dB | False | 0,80 | 0,80 | 0,80 |
| Gebouw3D | 41,48 | 110,38 | 2,38 | 11,61 | | | | 0 | 0 | 0 | 0 dB | False | 0,80 | 0,80 | 0,80 |

Model: Jager
Jager - Jager
Groep: (hoofdgroep)
Lijst van Gebouwen, voor rekenmethode Wegverkeerslawaai - RMW-2012

| Groep | Refl. 500 | Refl. 1k | Refl. 2k | Refl. 4k | Refl. 8k |
|---|---|---|---|---|---|
| Gebouw3D | 0,80 | 0,80 | 0,80 | 0,80 | 0,80 |
| Gebouw3D | 0,80 | 0,80 | 0,80 | 0,80 | 0,80 |
| Gebouw3D | 0,80 | 0,80 | 0,80 | 0,80 | 0,80 |
| Gebouw3D | 0,80 | 0,80 | 0,80 | 0,80 | 0,80 |
| Gebouw3D | 0,80 | 0,80 | 0,80 | 0,80 | 0,80 |
| Gebouw3D | 0,80 | 0,80 | 0,80 | 0,80 | 0,80 |
| Gebouw3D | 0,80 | 0,80 | 0,80 | 0,80 | 0,80 |
| Gebouw3D | 0,80 | 0,80 | 0,80 | 0,80 | 0,80 |
| Gebouw3D | 0,80 | 0,80 | 0,80 | 0,80 | 0,80 |
| Gebouw3D | 0,80 | 0,80 | 0,80 | 0,80 | 0,80 |
| Gebouw3D | 0,80 | 0,80 | 0,80 | 0,80 | 0,80 |
| Gebouw3D | 0,80 | 0,80 | 0,80 | 0,80 | 0,80 |
| Gebouw3D | 0,80 | 0,80 | 0,80 | 0,80 | 0,80 |
| Gebouw3D | 0,80 | 0,80 | 0,80 | 0,80 | 0,80 |
| Gebouw3D | 0,80 | 0,80 | 0,80 | 0,80 | 0,80 |
| Gebouw3D | 0,80 | 0,80 | 0,80 | 0,80 | 0,80 |
| Gebouw3D | 0,80 | 0,80 | 0,80 | 0,80 | 0,80 |
| Gebouw3D | 0,80 | 0,80 | 0,80 | 0,80 | 0,80 |
| Gebouw3D | 0,80 | 0,80 | 0,80 | 0,80 | 0,80 |
| Gebouw3D | 0,80 | 0,80 | 0,80 | 0,80 | 0,80 |
| Gebouw3D | 0,80 | 0,80 | 0,80 | 0,80 | 0,80 |
| Gebouw3D | 0,80 | 0,80 | 0,80 | 0,80 | 0,80 |
| Gebouw3D | 0,80 | 0,80 | 0,80 | 0,80 | 0,80 |
| Gebouw3D | 0,80 | 0,80 | 0,80 | 0,80 | 0,80 |
| Gebouw3D | 0,80 | 0,80 | 0,80 | 0,80 | 0,80 |
| Gebouw3D | 0,80 | 0,80 | 0,80 | 0,80 | 0,80 |
| Gebouw3D | 0,80 | 0,80 | 0,80 | 0,80 | 0,80 |
| Gebouw3D | 0,80 | 0,80 | 0,80 | 0,80 | 0,80 |
| Gebouw3D | 0,80 | 0,80 | 0,80 | 0,80 | 0,80 |
| Gebouw3D | 0,80 | 0,80 | 0,80 | 0,80 | 0,80 |
| Gebouw3D | 0,80 | 0,80 | 0,80 | 0,80 | 0,80 |
| Gebouw3D | 0,80 | 0,80 | 0,80 | 0,80 | 0,80 |

# Invoergegevens van het model

Model: Jager
Jager - Jager
Groep: (hoofdgroep)
Lijst van Gebouwen, voor rekenmethode Wegverkeerslawaai - RMW-2012

| Groep | ItemID | Grp.ID | Datum | Naam | Omschr. | Vorm | X-1 | Y-1 | Hoogte | Rel.H | Maaiveld | Hdef. | Vormpunten |
|---|---|---|---|---|---|---|---|---|---|---|---|---|---|
| Gebouw3D | 3047 | 1 | 08:58, 20 mrt 2020 | | | Polygoon | 246817,68 | 443475,20 | 8,60 | 8,60 | 0,00 | Relatief | 8 |
| Gebouw3D | 3048 | 1 | 08:58, 20 mrt 2020 | | | Polygoon | 246792,32 | 443516,77 | 8,10 | 8,10 | 0,00 | Relatief | 10 |
| Gebouw3D | 3049 | 1 | 08:58, 20 mrt 2020 | | | Polygoon | 246886,80 | 443447,16 | 4,10 | 4,10 | 0,00 | Relatief | 4 |
| Gebouw3D | 3050 | 1 | 08:58, 20 mrt 2020 | | | Polygoon | 246882,92 | 443512,63 | 6,40 | 6,40 | 0,00 | Relatief | 10 |
| Gebouw3D | 3051 | 1 | 08:58, 20 mrt 2020 | | | Polygoon | 246832,60 | 443462,40 | 9,70 | 9,70 | 0,00 | Relatief | 9 |
| Gebouw3D | 3052 | 1 | 08:58, 20 mrt 2020 | | | Polygoon | 246835,78 | 443516,91 | 9,30 | 9,30 | 0,00 | Relatief | 10 |
| Gebouw3D | 3053 | 1 | 08:58, 20 mrt 2020 | | | Polygoon | 246959,01 | 443480,22 | 4,10 | 4,10 | 0,00 | Relatief | 4 |
| Gebouw3D | 3054 | 1 | 08:58, 20 mrt 2020 | | | Polygoon | 247018,07 | 443482,46 | 9,30 | 9,30 | 0,00 | Relatief | 8 |
| Gebouw3D | 3055 | 1 | 08:58, 20 mrt 2020 | | | Polygoon | 247000,00 | 443492,70 | 5,30 | 5,30 | 0,00 | Relatief | 6 |
| Gebouw3D | 3056 | 1 | 08:58, 20 mrt 2020 | | | Polygoon | 247011,29 | 443481,93 | 2,20 | 2,20 | 0,00 | Relatief | 4 |
| Gebouw3D | 3057 | 1 | 08:58, 20 mrt 2020 | | | Polygoon | 246939,56 | 443480,09 | 2,20 | 2,20 | 0,00 | Relatief | 4 |
| Gebouw3D | 3058 | 1 | 08:58, 20 mrt 2020 | | | Polygoon | 246978,53 | 443482,86 | 3,20 | 3,20 | 0,00 | Relatief | 8 |
| Gebouw3D | 3059 | 1 | 08:58, 20 mrt 2020 | | | Polygoon | 247018,07 | 443482,46 | 9,40 | 9,40 | 0,00 | Relatief | 8 |
| Gebouw3D | 3060 | 1 | 08:58, 20 mrt 2020 | | | Polygoon | 246988,83 | 443482,47 | 5,10 | 5,10 | 0,00 | Relatief | 4 |
| Gebouw3D | 3061 | 1 | 08:58, 20 mrt 2020 | | | Polygoon | 247013,00 | 443488,46 | 2,20 | 2,20 | 0,00 | Relatief | 4 |
| Gebouw3D | 3062 | 1 | 08:58, 20 mrt 2020 | | | Polygoon | 246906,89 | 443489,61 | 2,80 | 2,80 | 0,00 | Relatief | 4 |
| Gebouw3D | 3063 | 1 | 08:58, 20 mrt 2020 | | | Polygoon | 246938,91 | 443509,02 | 8,90 | 8,90 | 0,00 | Relatief | 25 |
| Gebouw3D | 3064 | 1 | 08:58, 20 mrt 2020 | | | Polygoon | 246938,91 | 443509,02 | 6,80 | 6,80 | 0,00 | Relatief | 6 |
| Gebouw3D | 3065 | 1 | 08:58, 20 mrt 2020 | | | Polygoon | 246903,18 | 443492,63 | 3,30 | 3,30 | 0,00 | Relatief | 4 |
| Gebouw3D | 3066 | 1 | 08:58, 20 mrt 2020 | | | Polygoon | 247017,27 | 443499,88 | 9,00 | 9,00 | 0,00 | Relatief | 6 |
| Gebouw3D | 3067 | 1 | 08:58, 20 mrt 2020 | | | Polygoon | 247010,14 | 443508,42 | 2,30 | 2,30 | 0,00 | Relatief | 4 |
| Gebouw3D | 3068 | 1 | 08:58, 20 mrt 2020 | | | Polygoon | 247020,46 | 443508,39 | 9,30 | 9,30 | 0,00 | Relatief | 8 |
| Gebouw3D | 3069 | 1 | 08:58, 20 mrt 2020 | | | Polygoon | 247010,14 | 443508,42 | 2,20 | 2,20 | 0,00 | Relatief | 4 |
| Gebouw3D | 3070 | 1 | 08:58, 20 mrt 2020 | | | Polygoon | 247018,49 | 443517,26 | 8,90 | 8,90 | 0,00 | Relatief | 10 |
| Gebouw3D | 3071 | 1 | 08:58, 20 mrt 2020 | | | Polygoon | 247004,55 | 443522,17 | 2,20 | 2,20 | 0,00 | Relatief | 5 |
| Gebouw3D | 3072 | 1 | 08:58, 20 mrt 2020 | | | Polygoon | 247021,97 | 443534,25 | 2,30 | 2,30 | 0,00 | Relatief | 4 |
| Gebouw3D | 3073 | 1 | 08:58, 20 mrt 2020 | | | Polygoon | 247021,97 | 443534,25 | 2,30 | 2,30 | 0,00 | Relatief | 4 |
| Gebouw3D | 3074 | 1 | 08:58, 20 mrt 2020 | | | Polygoon | 246954,07 | 443540,56 | 7,30 | 7,30 | 0,00 | Relatief | 10 |
| Gebouw3D | 3075 | 1 | 08:58, 20 mrt 2020 | | | Polygoon | 247011,00 | 443534,97 | 2,30 | 2,30 | 0,00 | Relatief | 4 |
| Gebouw3D | 3076 | 1 | 08:58, 20 mrt 2020 | | | Polygoon | 246947,01 | 443536,21 | 2,80 | 2,80 | 0,00 | Relatief | 4 |
| Gebouw3D | 3077 | 1 | 08:58, 20 mrt 2020 | | | Polygoon | 246986,84 | 443545,32 | 2,70 | 2,70 | 0,00 | Relatief | 6 |
| Gebouw3D | 3078 | 1 | 08:58, 20 mrt 2020 | | | Polygoon | 246941,35 | 443542,84 | 7,30 | 7,30 | 0,00 | Relatief | 12 |
| Gebouw3D | 3079 | 1 | 08:58, 20 mrt 2020 | | | Polygoon | 246954,07 | 443540,56 | 7,30 | 7,30 | 0,00 | Relatief | 7 |
| Gebouw3D | 3080 | 1 | 08:58, 20 mrt 2020 | | | Polygoon | 246951,02 | 443473,28 | 3,50 | 3,50 | 0,00 | Relatief | 4 |
| Gebouw3D | 3081 | 1 | 08:58, 20 mrt 2020 | | | Polygoon | 246906,94 | 443533,34 | 3,70 | 3,70 | 0,00 | Relatief | 4 |
| Gebouw3D | 3082 | 1 | 08:58, 20 mrt 2020 | | | Polygoon | 246927,16 | 443539,72 | 2,90 | 2,90 | 0,00 | Relatief | 4 |

# Invoergegevens van het model

Model: Jager
Jager - Jager
Groep: (hoofdgroep)
Lijst van Gebouwen, voor rekenmethode Wegverkeerslawaai - RMW-2012

| Groep | Omtrek | Oppervlak | Min.lengte | Max.lengte | Functie | BAG-id | Gemeente | Jaar | AHN-jaar | Trust | Cp | Zwevend | Refl. 63 | Refl. 125 | Refl. 250 |
|---|---|---|---|---|---|---|---|---|---|---|---|---|---|---|---|
| Gebouw3D | 41,72 | 86,10 | 0,26 | 11,06 | | | | 0 | 0 | 0 | 0 dB | False | 0,80 | 0,80 | 0,80 |
| Gebouw3D | 35,89 | 71,68 | 0,46 | 10,21 | | | | 0 | 0 | 0 | 0 dB | False | 0,80 | 0,80 | 0,80 |
| Gebouw3D | 33,33 | 68,06 | 7,16 | 9,50 | | | | 0 | 0 | 0 | 0 dB | False | 0,80 | 0,80 | 0,80 |
| Gebouw3D | 73,68 | 294,25 | 1,24 | 20,74 | | | | 0 | 0 | 0 | 0 dB | False | 0,80 | 0,80 | 0,80 |
| Gebouw3D | 72,67 | 179,87 | 0,75 | 17,41 | | | | 0 | 0 | 0 | 0 dB | False | 0,80 | 0,80 | 0,80 |
| Gebouw3D | 45,81 | 95,41 | 0,09 | 12,57 | | | | 0 | 0 | 0 | 0 dB | False | 0,80 | 0,80 | 0,80 |
| Gebouw3D | 26,41 | 43,58 | 6,45 | 6,76 | | | | 0 | 0 | 0 | 0 dB | False | 0,80 | 0,80 | 0,80 |
| Gebouw3D | 32,48 | 56,37 | 0,46 | 8,48 | | | | 0 | 0 | 0 | 0 dB | False | 0,80 | 0,80 | 0,80 |
| Gebouw3D | 44,93 | 92,26 | 0,86 | 16,98 | | | | 0 | 0 | 0 | 0 dB | False | 0,80 | 0,80 | 0,80 |
| Gebouw3D | 15,70 | 14,54 | 2,99 | 4,86 | | | | 0 | 0 | 0 | 0 dB | False | 0,80 | 0,80 | 0,80 |
| Gebouw3D | 21,76 | 29,44 | 5,00 | 5,83 | | | | 0 | 0 | 0 | 0 dB | False | 0,80 | 0,80 | 0,80 |
| Gebouw3D | 30,00 | 44,55 | 1,27 | 6,94 | | | | 0 | 0 | 0 | 0 dB | False | 0,80 | 0,80 | 0,80 |
| Gebouw3D | 34,47 | 62,83 | 0,95 | 8,48 | | | | 0 | 0 | 0 | 0 dB | False | 0,80 | 0,80 | 0,80 |
| Gebouw3D | 17,26 | 17,49 | 3,25 | 5,37 | | | | 0 | 0 | 0 | 0 dB | False | 0,80 | 0,80 | 0,80 |
| Gebouw3D | 18,63 | 19,87 | 3,31 | 6,01 | | | | 0 | 0 | 0 | 0 dB | False | 0,80 | 0,80 | 0,80 |
| Gebouw3D | 20,33 | 25,56 | 4,42 | 5,57 | | | | 0 | 0 | 0 | 0 dB | False | 0,80 | 0,80 | 0,80 |
| Gebouw3D | 152,57 | 612,59 | 0,55 | 22,04 | | | | 0 | 0 | 0 | 0 dB | False | 0,80 | 0,80 | 0,80 |
| Gebouw3D | 76,41 | 355,39 | 0,69 | 21,53 | | | | 0 | 0 | 0 | 0 dB | False | 0,80 | 0,80 | 0,80 |
| Gebouw3D | 12,30 | 9,42 | 2,92 | 3,31 | | | | 0 | 0 | 0 | 0 dB | False | 0,80 | 0,80 | 0,80 |
| Gebouw3D | 33,81 | 60,15 | 3,16 | 8,52 | | | | 0 | 0 | 0 | 0 dB | False | 0,80 | 0,80 | 0,80 |
| Gebouw3D | 11,35 | 8,03 | 2,72 | 2,95 | | | | 0 | 0 | 0 | 0 dB | False | 0,80 | 0,80 | 0,80 |
| Gebouw3D | 33,93 | 61,63 | 0,88 | 8,10 | | | | 0 | 0 | 0 | 0 dB | False | 0,80 | 0,80 | 0,80 |
| Gebouw3D | 14,49 | 12,66 | 2,95 | 4,30 | | | | 0 | 0 | 0 | 0 dB | False | 0,80 | 0,80 | 0,80 |
| Gebouw3D | 37,95 | 87,07 | 0,11 | 8,10 | | | | 0 | 0 | 0 | 0 dB | False | 0,80 | 0,80 | 0,80 |
| Gebouw3D | 24,42 | 24,73 | 2,44 | 9,53 | | | | 0 | 0 | 0 | 0 dB | False | 0,80 | 0,80 | 0,80 |
| Gebouw3D | 16,15 | 15,22 | 2,95 | 5,10 | | | | 0 | 0 | 0 | 0 dB | False | 0,80 | 0,80 | 0,80 |
| Gebouw3D | 12,22 | 9,32 | 2,99 | 3,10 | | | | 0 | 0 | 0 | 0 dB | False | 0,80 | 0,80 | 0,80 |
| Gebouw3D | 39,36 | 61,61 | 0,17 | 7,08 | | | | 0 | 0 | 0 | 0 dB | False | 0,80 | 0,80 | 0,80 |
| Gebouw3D | 15,32 | 13,98 | 3,00 | 4,65 | | | | 0 | 0 | 0 | 0 dB | False | 0,80 | 0,80 | 0,80 |
| Gebouw3D | 12,17 | 9,25 | 2,97 | 3,11 | | | | 0 | 0 | 0 | 0 dB | False | 0,80 | 0,80 | 0,80 |
| Gebouw3D | 16,03 | 14,87 | 0,17 | 4,98 | | | | 0 | 0 | 0 | 0 dB | False | 0,80 | 0,80 | 0,80 |
| Gebouw3D | 39,54 | 62,99 | 0,03 | 7,08 | | | | 0 | 0 | 0 | 0 dB | False | 0,80 | 0,80 | 0,80 |
| Gebouw3D | 38,39 | 61,90 | 2,71 | 7,08 | | | | 0 | 0 | 0 | 0 dB | False | 0,80 | 0,80 | 0,80 |
| Gebouw3D | 31,45 | 56,64 | 5,59 | 10,14 | | | | 0 | 0 | 0 | 0 dB | False | 0,80 | 0,80 | 0,80 |
| Gebouw3D | 17,74 | 18,24 | 3,24 | 5,67 | | | | 0 | 0 | 0 | 0 dB | False | 0,80 | 0,80 | 0,80 |
| Gebouw3D | 11,90 | 8,85 | 2,90 | 3,05 | | | | 0 | 0 | 0 | 0 dB | False | 0,80 | 0,80 | 0,80 |

Model: Jager
Jager - Jager
Groep: (hoofdgroep)
Lijst van Gebouwen, voor rekenmethode Wegverkeerslawaai - RMW-2012

| Groep | Refl. 500 | Refl. 1k | Refl. 2k | Refl. 4k | Refl. 8k |
|---|---|---|---|---|---|
| Gebouw3D | 0,80 | 0,80 | 0,80 | 0,80 | 0,80 |
| Gebouw3D | 0,80 | 0,80 | 0,80 | 0,80 | 0,80 |
| Gebouw3D | 0,80 | 0,80 | 0,80 | 0,80 | 0,80 |
| Gebouw3D | 0,80 | 0,80 | 0,80 | 0,80 | 0,80 |
| Gebouw3D | 0,80 | 0,80 | 0,80 | 0,80 | 0,80 |
| Gebouw3D | 0,80 | 0,80 | 0,80 | 0,80 | 0,80 |
| Gebouw3D | 0,80 | 0,80 | 0,80 | 0,80 | 0,80 |
| Gebouw3D | 0,80 | 0,80 | 0,80 | 0,80 | 0,80 |
| Gebouw3D | 0,80 | 0,80 | 0,80 | 0,80 | 0,80 |
| Gebouw3D | 0,80 | 0,80 | 0,80 | 0,80 | 0,80 |
| Gebouw3D | 0,80 | 0,80 | 0,80 | 0,80 | 0,80 |
| Gebouw3D | 0,80 | 0,80 | 0,80 | 0,80 | 0,80 |
| Gebouw3D | 0,80 | 0,80 | 0,80 | 0,80 | 0,80 |
| Gebouw3D | 0,80 | 0,80 | 0,80 | 0,80 | 0,80 |
| Gebouw3D | 0,80 | 0,80 | 0,80 | 0,80 | 0,80 |
| Gebouw3D | 0,80 | 0,80 | 0,80 | 0,80 | 0,80 |
| Gebouw3D | 0,80 | 0,80 | 0,80 | 0,80 | 0,80 |
| Gebouw3D | 0,80 | 0,80 | 0,80 | 0,80 | 0,80 |
| Gebouw3D | 0,80 | 0,80 | 0,80 | 0,80 | 0,80 |
| Gebouw3D | 0,80 | 0,80 | 0,80 | 0,80 | 0,80 |
| Gebouw3D | 0,80 | 0,80 | 0,80 | 0,80 | 0,80 |
| Gebouw3D | 0,80 | 0,80 | 0,80 | 0,80 | 0,80 |
| Gebouw3D | 0,80 | 0,80 | 0,80 | 0,80 | 0,80 |
| Gebouw3D | 0,80 | 0,80 | 0,80 | 0,80 | 0,80 |
| Gebouw3D | 0,80 | 0,80 | 0,80 | 0,80 | 0,80 |
| Gebouw3D | 0,80 | 0,80 | 0,80 | 0,80 | 0,80 |
| Gebouw3D | 0,80 | 0,80 | 0,80 | 0,80 | 0,80 |
| Gebouw3D | 0,80 | 0,80 | 0,80 | 0,80 | 0,80 |
| Gebouw3D | 0,80 | 0,80 | 0,80 | 0,80 | 0,80 |
| Gebouw3D | 0,80 | 0,80 | 0,80 | 0,80 | 0,80 |
| Gebouw3D | 0,80 | 0,80 | 0,80 | 0,80 | 0,80 |
| Gebouw3D | 0,80 | 0,80 | 0,80 | 0,80 | 0,80 |

# Invoergegevens van het model

Model: Jager
Jager - Jager
Groep: (hoofdgroep)
Lijst van Gebouwen, voor rekenmethode Wegverkeerslawaai - RMW-2012

| Groep | ItemID | Grp.ID | Datum | Naam | Omschr. | Vorm | X-1 | Y-1 | Hoogte | Rel.H | Maaiveld | Hdef. | Vormpunten |
|---|---|---|---|---|---|---|---|---|---|---|---|---|---|
| Gebouw3D | 3083 | 1 | 08:58, 20 mrt 2020 | | | Polygoon | 247020,38 | 443491,21 | 8,90 | 8,90 | 0,00 | Relatief | 6 |
| Gebouw3D | 3084 | 1 | 08:58, 20 mrt 2020 | | | Polygoon | 246914,85 | 443531,27 | 2,20 | 2,20 | 0,00 | Relatief | 4 |
| Gebouw3D | 3085 | 1 | 08:58, 20 mrt 2020 | | | Polygoon | 246906,75 | 443540,88 | 2,10 | 2,10 | 0,00 | Relatief | 4 |
| Gebouw3D | 3086 | 1 | 08:58, 20 mrt 2020 | | | Polygoon | 246917,80 | 443530,73 | 2,30 | 2,30 | 0,00 | Relatief | 4 |
| Gebouw3D | 3087 | 1 | 08:58, 20 mrt 2020 | | | Polygoon | 246906,89 | 443489,61 | 2,90 | 2,90 | 0,00 | Relatief | 8 |
| Gebouw3D | 3088 | 1 | 08:58, 20 mrt 2020 | | | Polygoon | 247011,00 | 443534,97 | 2,30 | 2,30 | 0,00 | Relatief | 4 |
| Gebouw3D | 3089 | 1 | 08:58, 20 mrt 2020 | | | Polygoon | 246972,30 | 443547,84 | 7,10 | 7,10 | 0,00 | Relatief | 6 |
| Gebouw3D | 3090 | 1 | 08:58, 20 mrt 2020 | | | Polygoon | 246966,63 | 443485,43 | 5,20 | 5,20 | 0,00 | Relatief | 4 |
| Gebouw3D | 3136 | 1 | 08:58, 20 mrt 2020 | | | Polygoon | 246680,91 | 443538,59 | 6,70 | 6,70 | 0,00 | Relatief | 7 |
| Gebouw3D | 3137 | 1 | 08:58, 20 mrt 2020 | | | Polygoon | 246947,67 | 443541,71 | 7,40 | 7,40 | 0,00 | Relatief | 6 |
| Gebouw3D | 3138 | 1 | 08:58, 20 mrt 2020 | | | Polygoon | 246924,31 | 443545,84 | 7,30 | 7,30 | 0,00 | Relatief | 4 |
| Gebouw3D | 3139 | 1 | 08:58, 20 mrt 2020 | | | Polygoon | 246679,56 | 443551,06 | 7,00 | 7,00 | 0,00 | Relatief | 11 |
| Gebouw3D | 3140 | 1 | 08:58, 20 mrt 2020 | | | Polygoon | 246917,83 | 443547,00 | 7,40 | 7,40 | 0,00 | Relatief | 4 |
| Gebouw3D | 3141 | 1 | 08:58, 20 mrt 2020 | | | Polygoon | 246835,55 | 443549,25 | 7,80 | 7,80 | 0,00 | Relatief | 6 |
| Gebouw3D | 3142 | 1 | 08:58, 20 mrt 2020 | | | Polygoon | 246911,36 | 443548,17 | 7,40 | 7,40 | 0,00 | Relatief | 4 |
| Gebouw3D | 3143 | 1 | 08:58, 20 mrt 2020 | | | Polygoon | 246685,58 | 443554,44 | 4,90 | 4,90 | 0,00 | Relatief | 4 |
| Gebouw3D | 3144 | 1 | 08:58, 20 mrt 2020 | | | Polygoon | 246660,60 | 443555,76 | 7,20 | 7,20 | 0,00 | Relatief | 9 |
| Gebouw3D | 3145 | 1 | 08:58, 20 mrt 2020 | | | Polygoon | 246943,24 | 443570,70 | 6,80 | 6,80 | 0,00 | Relatief | 10 |
| Gebouw3D | 3146 | 1 | 08:58, 20 mrt 2020 | | | Polygoon | 246934,93 | 443562,56 | 8,40 | 8,40 | 0,00 | Relatief | 13 |
| Gebouw3D | 3147 | 1 | 08:58, 20 mrt 2020 | | | Polygoon | 246934,93 | 443562,56 | 8,30 | 8,30 | 0,00 | Relatief | 13 |
| Gebouw3D | 3148 | 1 | 08:58, 20 mrt 2020 | | | Polygoon | 246817,81 | 443563,40 | 7,60 | 7,60 | 0,00 | Relatief | 4 |
| Gebouw3D | 3149 | 1 | 08:58, 20 mrt 2020 | | | Polygoon | 246923,47 | 443564,53 | 8,20 | 8,20 | 0,00 | Relatief | 8 |
| Gebouw3D | 3150 | 1 | 08:58, 20 mrt 2020 | | | Polygoon | 246809,88 | 443584,72 | 7,10 | 7,10 | 0,00 | Relatief | 6 |
| Gebouw3D | 3151 | 1 | 08:58, 20 mrt 2020 | | | Polygoon | 246951,94 | 443585,62 | 5,00 | 5,00 | 0,00 | Relatief | 6 |
| Gebouw3D | 3152 | 1 | 08:58, 20 mrt 2020 | | | Polygoon | 246939,46 | 443581,42 | 2,80 | 2,80 | 0,00 | Relatief | 4 |
| Gebouw3D | 3153 | 1 | 08:58, 20 mrt 2020 | | | Polygoon | 246932,44 | 443582,53 | 3,50 | 3,50 | 0,00 | Relatief | 4 |
| Gebouw3D | 3154 | 1 | 08:58, 20 mrt 2020 | | | Polygoon | 246933,01 | 443585,00 | 2,50 | 2,50 | 0,00 | Relatief | 4 |
| Gebouw3D | 3155 | 1 | 08:58, 20 mrt 2020 | | | Polygoon | 246926,59 | 443585,93 | 3,70 | 3,70 | 0,00 | Relatief | 4 |
| Gebouw3D | 3156 | 1 | 08:58, 20 mrt 2020 | | | Polygoon | 246822,40 | 443586,40 | 5,70 | 5,70 | 0,00 | Relatief | 6 |
| Gebouw3D | 3157 | 1 | 08:58, 20 mrt 2020 | | | Polygoon | 246946,18 | 443596,15 | 7,30 | 7,30 | 0,00 | Relatief | 7 |
| Gebouw3D | 3158 | 1 | 08:58, 20 mrt 2020 | | | Polygoon | 246823,88 | 443560,79 | 0,00 | 0,00 | 0,00 | Relatief | 6 |
| Gebouw3D | 3159 | 1 | 08:58, 20 mrt 2020 | | | Polygoon | 246917,63 | 443544,63 | 2,80 | 2,80 | 0,00 | Relatief | 8 |
| Gebouw3D | 3160 | 1 | 08:58, 20 mrt 2020 | | | Polygoon | 246907,91 | 443543,11 | 2,90 | 2,90 | 0,00 | Relatief | 4 |
| Gebouw3D | 3161 | 1 | 08:58, 20 mrt 2020 | | | Polygoon | 246920,64 | 443540,82 | 2,80 | 2,80 | 0,00 | Relatief | 4 |
| Gebouw3D | 3162 | 1 | 08:58, 20 mrt 2020 | | | Polygoon | 246924,31 | 443545,84 | 7,40 | 7,40 | 0,00 | Relatief | 4 |
| Gebouw3D | 3163 | 1 | 08:58, 20 mrt 2020 | | | Polygoon | 246823,88 | 443560,79 | 7,60 | 7,60 | 0,00 | Relatief | 11 |

# Invoergegevens van het model

Model: Jager
Jager - Jager
Groep: (hoofdgroep)
Lijst van Gebouwen, voor rekenmethode Wegverkeerslawaai - RMW-2012

| Groep | Omtrek | Oppervlak | Min.lengte | Max.lengte | Functie | BAG-id | Gemeente | Jaar | AHN-jaar | Trust | Cp | Zwevend | Refl. 63 | Refl. 125 | Refl. 250 |
|---|---|---|---|---|---|---|---|---|---|---|---|---|---|---|---|
| Gebouw3D | 34,10 | 61,01 | 3,14 | 8,66 | | | | 0 | 0 | 0 | 0 dB | False | 0,80 | 0,80 | 0,80 |
| Gebouw3D | 21,44 | 22,51 | 2,87 | 7,86 | | | | 0 | 0 | 0 | 0 dB | False | 0,80 | 0,80 | 0,80 |
| Gebouw3D | 12,96 | 10,44 | 2,99 | 3,49 | | | | 0 | 0 | 0 | 0 dB | False | 0,80 | 0,80 | 0,80 |
| Gebouw3D | 12,86 | 10,19 | 2,83 | 3,60 | | | | 0 | 0 | 0 | 0 dB | False | 0,80 | 0,80 | 0,80 |
| Gebouw3D | 19,72 | 14,77 | 0,55 | 5,57 | | | | 0 | 0 | 0 | 0 dB | False | 0,80 | 0,80 | 0,80 |
| Gebouw3D | 14,14 | 12,21 | 3,00 | 4,07 | | | | 0 | 0 | 0 | 0 dB | False | 0,80 | 0,80 | 0,80 |
| Gebouw3D | 28,29 | 50,00 | 0,74 | 7,23 | | | | 0 | 0 | 0 | 0 dB | False | 0,80 | 0,80 | 0,80 |
| Gebouw3D | 18,43 | 20,78 | 3,94 | 5,27 | | | | 0 | 0 | 0 | 0 dB | False | 0,80 | 0,80 | 0,80 |
| Gebouw3D | 44,02 | 90,85 | 3,31 | 10,63 | | | | 0 | 0 | 0 | 0 dB | False | 0,80 | 0,80 | 0,80 |
| Gebouw3D | 27,17 | 46,04 | 0,03 | 7,08 | | | | 0 | 0 | 0 | 0 dB | False | 0,80 | 0,80 | 0,80 |
| Gebouw3D | 27,59 | 47,54 | 6,73 | 7,06 | | | | 0 | 0 | 0 | 0 dB | False | 0,80 | 0,80 | 0,80 |
| Gebouw3D | 51,94 | 146,86 | 0,39 | 12,43 | | | | 0 | 0 | 0 | 0 dB | False | 0,80 | 0,80 | 0,80 |
| Gebouw3D | 27,28 | 46,45 | 6,58 | 7,06 | | | | 0 | 0 | 0 | 0 dB | False | 0,80 | 0,80 | 0,80 |
| Gebouw3D | 47,68 | 136,17 | 2,34 | 11,94 | | | | 0 | 0 | 0 | 0 dB | False | 0,80 | 0,80 | 0,80 |
| Gebouw3D | 27,36 | 46,74 | 6,62 | 7,06 | | | | 0 | 0 | 0 | 0 dB | False | 0,80 | 0,80 | 0,80 |
| Gebouw3D | 26,31 | 42,07 | 5,45 | 7,71 | | | | 0 | 0 | 0 | 0 dB | False | 0,80 | 0,80 | 0,80 |
| Gebouw3D | 39,58 | 73,15 | 0,17 | 11,19 | | | | 0 | 0 | 0 | 0 dB | False | 0,80 | 0,80 | 0,80 |
| Gebouw3D | 42,73 | 80,61 | 1,05 | 12,89 | | | | 0 | 0 | 0 | 0 dB | False | 0,80 | 0,80 | 0,80 |
| Gebouw3D | 35,54 | 56,18 | 0,83 | 8,82 | | | | 0 | 0 | 0 | 0 dB | False | 0,80 | 0,80 | 0,80 |
| Gebouw3D | 35,90 | 61,97 | 0,02 | 8,82 | | | | 0 | 0 | 0 | 0 dB | False | 0,80 | 0,80 | 0,80 |
| Gebouw3D | 38,42 | 91,85 | 8,95 | 10,26 | | | | 0 | 0 | 0 | 0 dB | False | 0,80 | 0,80 | 0,80 |
| Gebouw3D | 41,83 | 58,91 | 0,67 | 15,80 | | | | 0 | 0 | 0 | 0 dB | False | 0,80 | 0,80 | 0,80 |
| Gebouw3D | 73,73 | 242,72 | 1,78 | 26,93 | | | | 0 | 0 | 0 | 0 dB | False | 0,80 | 0,80 | 0,80 |
| Gebouw3D | 27,96 | 40,29 | 2,45 | 7,51 | | | | 0 | 0 | 0 | 0 dB | False | 0,80 | 0,80 | 0,80 |
| Gebouw3D | 21,91 | 29,49 | 4,75 | 6,21 | | | | 0 | 0 | 0 | 0 dB | False | 0,80 | 0,80 | 0,80 |
| Gebouw3D | 22,50 | 31,65 | 5,58 | 5,67 | | | | 0 | 0 | 0 | 0 dB | False | 0,80 | 0,80 | 0,80 |
| Gebouw3D | 17,18 | 17,82 | 3,50 | 5,09 | | | | 0 | 0 | 0 | 0 dB | False | 0,80 | 0,80 | 0,80 |
| Gebouw3D | 18,47 | 20,60 | 3,77 | 5,47 | | | | 0 | 0 | 0 | 0 dB | False | 0,80 | 0,80 | 0,80 |
| Gebouw3D | 42,64 | 95,39 | 3,87 | 12,38 | | | | 0 | 0 | 0 | 0 dB | False | 0,80 | 0,80 | 0,80 |
| Gebouw3D | 39,12 | 64,20 | 2,88 | 7,16 | | | | 0 | 0 | 0 | 0 dB | False | 0,80 | 0,80 | 0,80 |
| Gebouw3D | 21,40 | 21,79 | 2,38 | 5,58 | | | | 0 | 0 | 0 | 0 dB | False | 0,80 | 0,80 | 0,80 |
| Gebouw3D | 16,20 | 12,99 | 0,28 | 3,29 | | | | 0 | 0 | 0 | 0 dB | False | 0,80 | 0,80 | 0,80 |
| Gebouw3D | 12,02 | 9,02 | 2,91 | 3,10 | | | | 0 | 0 | 0 | 0 dB | False | 0,80 | 0,80 | 0,80 |
| Gebouw3D | 11,96 | 8,93 | 2,89 | 3,09 | | | | 0 | 0 | 0 | 0 dB | False | 0,80 | 0,80 | 0,80 |
| Gebouw3D | 27,28 | 46,46 | 6,58 | 7,06 | | | | 0 | 0 | 0 | 0 dB | False | 0,80 | 0,80 | 0,80 |
| Gebouw3D | 78,32 | 272,18 | 0,17 | 27,88 | | | | 0 | 0 | 0 | 0 dB | False | 0,80 | 0,80 | 0,80 |

Model: Jager
Jager - Jager
Groep: (hoofdgroep)
Lijst van Gebouwen, voor rekenmethode Wegverkeerslawaai - RMW-2012

| Groep | Refl. 500 | Refl. 1k | Refl. 2k | Refl. 4k | Refl. 8k |
|---|---|---|---|---|---|
| Gebouw3D | 0,80 | 0,80 | 0,80 | 0,80 | 0,80 |
| Gebouw3D | 0,80 | 0,80 | 0,80 | 0,80 | 0,80 |
| Gebouw3D | 0,80 | 0,80 | 0,80 | 0,80 | 0,80 |
| Gebouw3D | 0,80 | 0,80 | 0,80 | 0,80 | 0,80 |
| Gebouw3D | 0,80 | 0,80 | 0,80 | 0,80 | 0,80 |
| Gebouw3D | 0,80 | 0,80 | 0,80 | 0,80 | 0,80 |
| Gebouw3D | 0,80 | 0,80 | 0,80 | 0,80 | 0,80 |
| Gebouw3D | 0,80 | 0,80 | 0,80 | 0,80 | 0,80 |
| Gebouw3D | 0,80 | 0,80 | 0,80 | 0,80 | 0,80 |
| Gebouw3D | 0,80 | 0,80 | 0,80 | 0,80 | 0,80 |
| Gebouw3D | 0,80 | 0,80 | 0,80 | 0,80 | 0,80 |
| Gebouw3D | 0,80 | 0,80 | 0,80 | 0,80 | 0,80 |
| Gebouw3D | 0,80 | 0,80 | 0,80 | 0,80 | 0,80 |
| Gebouw3D | 0,80 | 0,80 | 0,80 | 0,80 | 0,80 |
| Gebouw3D | 0,80 | 0,80 | 0,80 | 0,80 | 0,80 |
| Gebouw3D | 0,80 | 0,80 | 0,80 | 0,80 | 0,80 |
| Gebouw3D | 0,80 | 0,80 | 0,80 | 0,80 | 0,80 |
| Gebouw3D | 0,80 | 0,80 | 0,80 | 0,80 | 0,80 |
| Gebouw3D | 0,80 | 0,80 | 0,80 | 0,80 | 0,80 |
| Gebouw3D | 0,80 | 0,80 | 0,80 | 0,80 | 0,80 |
| Gebouw3D | 0,80 | 0,80 | 0,80 | 0,80 | 0,80 |
| Gebouw3D | 0,80 | 0,80 | 0,80 | 0,80 | 0,80 |
| Gebouw3D | 0,80 | 0,80 | 0,80 | 0,80 | 0,80 |
| Gebouw3D | 0,80 | 0,80 | 0,80 | 0,80 | 0,80 |
| Gebouw3D | 0,80 | 0,80 | 0,80 | 0,80 | 0,80 |
| Gebouw3D | 0,80 | 0,80 | 0,80 | 0,80 | 0,80 |
| Gebouw3D | 0,80 | 0,80 | 0,80 | 0,80 | 0,80 |
| Gebouw3D | 0,80 | 0,80 | 0,80 | 0,80 | 0,80 |
| Gebouw3D | 0,80 | 0,80 | 0,80 | 0,80 | 0,80 |
| Gebouw3D | 0,80 | 0,80 | 0,80 | 0,80 | 0,80 |
| Gebouw3D | 0,80 | 0,80 | 0,80 | 0,80 | 0,80 |
| Gebouw3D | 0,80 | 0,80 | 0,80 | 0,80 | 0,80 |

Model: Jager
Jager - Jager
Groep: (hoofdgroep)
Lijst van Gebouwen, voor rekenmethode Wegverkeerslawaai - RMW-2012

| Groep | ItemID | Grp.ID | Datum | Naam | Omschr. | Vorm | X-1 | Y-1 | Hoogte | Rel.H | Maaiveld | Hdef. | Vormpunten |
|---|---|---|---|---|---|---|---|---|---|---|---|---|---|
| Gebouw3D | 3164 | 1 | 08:58, 20 mrt 2020 | | | Polygoon | 246923,47 | 443564,53 | 8,00 | 8,00 | 0,00 | Relatief | 8 |
| Gebouw3D | 3165 | 1 | 08:58, 20 mrt 2020 | | | Polygoon | 246661,19 | 443565,03 | 6,70 | 6,70 | 0,00 | Relatief | 8 |
| Gebouw3D | 3166 | 1 | 08:58, 20 mrt 2020 | | | Polygoon | 246875,93 | 443552,68 | 4,50 | 4,50 | 0,00 | Relatief | 21 |
| Gebouw3D | 3167 | 1 | 08:58, 20 mrt 2020 | | | Polygoon | 246804,70 | 443541,06 | 3,40 | 3,40 | 0,00 | Relatief | 4 |
| Gebouw3D | 3168 | 1 | 08:58, 20 mrt 2020 | | | Polygoon | 246817,46 | 443551,71 | 7,00 | 7,00 | 0,00 | Relatief | 12 |
| Gebouw3D | 3169 | 1 | 08:58, 20 mrt 2020 | | | Polygoon | 246849,43 | 443582,79 | 7,70 | 7,70 | 0,00 | Relatief | 9 |
| Gebouw3D | 3170 | 1 | 08:58, 20 mrt 2020 | | | Polygoon | 246972,30 | 443547,84 | 7,00 | 7,00 | 0,00 | Relatief | 8 |
| Gebouw3D | 3171 | 1 | 08:58, 20 mrt 2020 | | | Polygoon | 246975,53 | 443555,74 | 7,00 | 7,00 | 0,00 | Relatief | 8 |
| Gebouw3D | 3172 | 1 | 08:58, 20 mrt 2020 | | | Polygoon | 246975,18 | 443565,05 | 7,10 | 7,10 | 0,00 | Relatief | 4 |
| Gebouw3D | 3173 | 1 | 08:58, 20 mrt 2020 | | | Polygoon | 246976,46 | 443614,72 | 7,10 | 7,10 | 0,00 | Relatief | 4 |
| Gebouw3D | 3174 | 1 | 08:58, 20 mrt 2020 | | | Polygoon | 246976,02 | 443600,07 | 2,70 | 2,70 | 0,00 | Relatief | 4 |
| Gebouw3D | 3175 | 1 | 08:58, 20 mrt 2020 | | | Polygoon | 246983,66 | 443590,39 | 7,80 | 7,80 | 0,00 | Relatief | 4 |
| Gebouw3D | 3176 | 1 | 08:58, 20 mrt 2020 | | | Polygoon | 246979,06 | 443621,85 | 6,90 | 6,90 | 0,00 | Relatief | 10 |
| Gebouw3D | 3177 | 1 | 08:58, 20 mrt 2020 | | | Polygoon | 246981,80 | 443636,50 | 7,00 | 7,00 | 0,00 | Relatief | 8 |
| Gebouw3D | 3178 | 1 | 08:58, 20 mrt 2020 | | | Polygoon | 246989,47 | 443590,08 | 7,70 | 7,70 | 0,00 | Relatief | 4 |
| Gebouw3D | 3179 | 1 | 08:58, 20 mrt 2020 | | | Polygoon | 246988,64 | 443601,77 | 2,70 | 2,70 | 0,00 | Relatief | 4 |
| Gebouw3D | 3180 | 1 | 08:58, 20 mrt 2020 | | | Polygoon | 246995,63 | 443589,76 | 7,70 | 7,70 | 0,00 | Relatief | 4 |
| Gebouw3D | 3181 | 1 | 08:58, 20 mrt 2020 | | | Polygoon | 246989,64 | 443561,69 | 2,80 | 2,80 | 0,00 | Relatief | 4 |
| Gebouw3D | 3182 | 1 | 08:58, 20 mrt 2020 | | | Polygoon | 247000,10 | 443557,45 | 7,70 | 7,70 | 0,00 | Relatief | 4 |
| Gebouw3D | 3183 | 1 | 08:58, 20 mrt 2020 | | | Polygoon | 246999,67 | 443550,54 | 2,80 | 2,80 | 0,00 | Relatief | 6 |
| Gebouw3D | 3184 | 1 | 08:58, 20 mrt 2020 | | | Polygoon | 247000,10 | 443557,45 | 7,50 | 7,50 | 0,00 | Relatief | 4 |
| Gebouw3D | 3185 | 1 | 08:58, 20 mrt 2020 | | | Polygoon | 247000,89 | 443601,13 | 2,80 | 2,80 | 0,00 | Relatief | 4 |
| Gebouw3D | 3186 | 1 | 08:58, 20 mrt 2020 | | | Polygoon | 247000,89 | 443601,13 | 2,60 | 2,60 | 0,00 | Relatief | 4 |
| Gebouw3D | 3187 | 1 | 08:58, 20 mrt 2020 | | | Polygoon | 247001,10 | 443589,47 | 7,50 | 7,50 | 0,00 | Relatief | 4 |
| Gebouw3D | 3188 | 1 | 08:58, 20 mrt 2020 | | | Polygoon | 247007,33 | 443633,59 | 2,40 | 2,40 | 0,00 | Relatief | 5 |
| Gebouw3D | 3189 | 1 | 08:58, 20 mrt 2020 | | | Polygoon | 247008,07 | 443638,02 | 2,30 | 2,30 | 0,00 | Relatief | 5 |
| Gebouw3D | 3190 | 1 | 08:58, 20 mrt 2020 | | | Polygoon | 247015,06 | 443589,43 | 7,10 | 7,10 | 0,00 | Relatief | 21 |
| Gebouw3D | 3191 | 1 | 08:58, 20 mrt 2020 | | | Polygoon | 247014,04 | 443563,27 | 7,40 | 7,40 | 0,00 | Relatief | 8 |
| Gebouw3D | 3192 | 1 | 08:58, 20 mrt 2020 | | | Polygoon | 247017,20 | 443614,57 | 2,30 | 2,30 | 0,00 | Relatief | 6 |
| Gebouw3D | 3193 | 1 | 08:58, 20 mrt 2020 | | | Polygoon | 247018,77 | 443563,74 | 7,50 | 7,50 | 0,00 | Relatief | 8 |
| Gebouw3D | 3194 | 1 | 08:58, 20 mrt 2020 | | | Polygoon | 247019,97 | 443588,44 | 7,50 | 7,50 | 0,00 | Relatief | 10 |
| Gebouw3D | 3195 | 1 | 08:58, 20 mrt 2020 | | | Polygoon | 247033,70 | 443619,05 | 7,10 | 7,10 | 0,00 | Relatief | 9 |
| Gebouw3D | 3196 | 1 | 08:58, 20 mrt 2020 | | | Polygoon | 247021,91 | 443614,21 | 2,60 | 2,60 | 0,00 | Relatief | 5 |
| Gebouw3D | 3197 | 1 | 08:58, 20 mrt 2020 | | | Polygoon | 247036,68 | 443633,83 | 7,40 | 7,40 | 0,00 | Relatief | 10 |
| Gebouw3D | 3198 | 1 | 08:58, 20 mrt 2020 | | | Polygoon | 247023,68 | 443562,80 | 7,30 | 7,30 | 0,00 | Relatief | 5 |
| Gebouw3D | 3199 | 1 | 08:58, 20 mrt 2020 | | | Polygoon | 247024,07 | 443636,00 | 7,50 | 7,50 | 0,00 | Relatief | 7 |

# Invoergegevens van het model

Model: Jager
Jager - Jager
Groep: (hoofdgroep)
Lijst van Gebouwen, voor rekenmethode Wegverkeerslawaai - RMW-2012

| Groep | Omtrek | Oppervlak | Min.lengte | Max.lengte | Functie | BAG-id | Gemeente | Jaar | AHN-jaar | Trust | Cp | Zwevend | Refl. 63 | Refl. 125 | Refl. 250 |
|---|---|---|---|---|---|---|---|---|---|---|---|---|---|---|---|
| Gebouw3D | 42,26 | 63,94 | 0,65 | 15,80 | | | | 0 | 0 | 0 | 0 dB | False | 0,80 | 0,80 | 0,80 |
| Gebouw3D | 42,81 | 79,29 | 0,21 | 9,22 | | | | 0 | 0 | 0 | 0 dB | False | 0,80 | 0,80 | 0,80 |
| Gebouw3D | 93,16 | 355,57 | 1,19 | 12,70 | | | | 0 | 0 | 0 | 0 dB | False | 0,80 | 0,80 | 0,80 |
| Gebouw3D | 47,97 | 137,30 | 9,44 | 14,54 | | | | 0 | 0 | 0 | 0 dB | False | 0,80 | 0,80 | 0,80 |
| Gebouw3D | 50,58 | 108,18 | 0,68 | 11,10 | | | | 0 | 0 | 0 | 0 dB | False | 0,80 | 0,80 | 0,80 |
| Gebouw3D | 65,17 | 150,51 | 0,19 | 16,15 | | | | 0 | 0 | 0 | 0 dB | False | 0,80 | 0,80 | 0,80 |
| Gebouw3D | 35,30 | 61,41 | 1,84 | 7,48 | | | | 0 | 0 | 0 | 0 dB | False | 0,80 | 0,80 | 0,80 |
| Gebouw3D | 37,06 | 67,14 | 1,93 | 7,48 | | | | 0 | 0 | 0 | 0 dB | False | 0,80 | 0,80 | 0,80 |
| Gebouw3D | 26,82 | 44,71 | 6,22 | 7,19 | | | | 0 | 0 | 0 | 0 dB | False | 0,80 | 0,80 | 0,80 |
| Gebouw3D | 28,47 | 50,64 | 6,95 | 7,29 | | | | 0 | 0 | 0 | 0 dB | False | 0,80 | 0,80 | 0,80 |
| Gebouw3D | 15,94 | 14,81 | 2,95 | 5,02 | | | | 0 | 0 | 0 | 0 dB | False | 0,80 | 0,80 | 0,80 |
| Gebouw3D | 25,88 | 41,44 | 5,82 | 7,12 | | | | 0 | 0 | 0 | 0 dB | False | 0,80 | 0,80 | 0,80 |
| Gebouw3D | 47,39 | 66,06 | 0,31 | 14,78 | | | | 0 | 0 | 0 | 0 dB | False | 0,80 | 0,80 | 0,80 |
| Gebouw3D | 41,19 | 65,74 | 1,73 | 11,29 | | | | 0 | 0 | 0 | 0 dB | False | 0,80 | 0,80 | 0,80 |
| Gebouw3D | 25,88 | 41,43 | 5,82 | 7,12 | | | | 0 | 0 | 0 | 0 dB | False | 0,80 | 0,80 | 0,80 |
| Gebouw3D | 10,95 | 7,49 | 2,65 | 2,80 | | | | 0 | 0 | 0 | 0 dB | False | 0,80 | 0,80 | 0,80 |
| Gebouw3D | 26,58 | 43,93 | 6,17 | 7,12 | | | | 0 | 0 | 0 | 0 dB | False | 0,80 | 0,80 | 0,80 |
| Gebouw3D | 14,22 | 12,31 | 2,99 | 4,12 | | | | 0 | 0 | 0 | 0 dB | False | 0,80 | 0,80 | 0,80 |
| Gebouw3D | 26,97 | 45,32 | 6,37 | 7,10 | | | | 0 | 0 | 0 | 0 dB | False | 0,80 | 0,80 | 0,80 |
| Gebouw3D | 13,04 | 7,35 | 0,12 | 5,06 | | | | 0 | 0 | 0 | 0 dB | False | 0,80 | 0,80 | 0,80 |
| Gebouw3D | 26,93 | 45,21 | 6,37 | 7,10 | | | | 0 | 0 | 0 | 0 dB | False | 0,80 | 0,80 | 0,80 |
| Gebouw3D | 10,23 | 6,48 | 2,27 | 2,79 | | | | 0 | 0 | 0 | 0 dB | False | 0,80 | 0,80 | 0,80 |
| Gebouw3D | 11,01 | 7,57 | 2,66 | 2,79 | | | | 0 | 0 | 0 | 0 dB | False | 0,80 | 0,80 | 0,80 |
| Gebouw3D | 28,38 | 50,34 | 7,07 | 7,12 | | | | 0 | 0 | 0 | 0 dB | False | 0,80 | 0,80 | 0,80 |
| Gebouw3D | 11,87 | 8,81 | 0,04 | 2,99 | | | | 0 | 0 | 0 | 0 dB | False | 0,80 | 0,80 | 0,80 |
| Gebouw3D | 12,25 | 9,39 | 0,15 | 3,15 | | | | 0 | 0 | 0 | 0 dB | False | 0,80 | 0,80 | 0,80 |
| Gebouw3D | 68,78 | 98,06 | 0,06 | 12,74 | | | | 0 | 0 | 0 | 0 dB | False | 0,80 | 0,80 | 0,80 |
| Gebouw3D | 36,47 | 47,31 | 0,74 | 12,79 | | | | 0 | 0 | 0 | 0 dB | False | 0,80 | 0,80 | 0,80 |
| Gebouw3D | 15,34 | 13,90 | 0,06 | 4,73 | | | | 0 | 0 | 0 | 0 dB | False | 0,80 | 0,80 | 0,80 |
| Gebouw3D | 36,96 | 52,05 | 0,66 | 12,90 | | | | 0 | 0 | 0 | 0 dB | False | 0,80 | 0,80 | 0,80 |
| Gebouw3D | 37,42 | 53,36 | 0,03 | 12,84 | | | | 0 | 0 | 0 | 0 dB | False | 0,80 | 0,80 | 0,80 |
| Gebouw3D | 45,11 | 99,35 | 0,43 | 12,68 | | | | 0 | 0 | 0 | 0 dB | False | 0,80 | 0,80 | 0,80 |
| Gebouw3D | 16,91 | 16,24 | 0,15 | 5,54 | | | | 0 | 0 | 0 | 0 dB | False | 0,80 | 0,80 | 0,80 |
| Gebouw3D | 56,17 | 113,62 | 0,19 | 12,79 | | | | 0 | 0 | 0 | 0 dB | False | 0,80 | 0,80 | 0,80 |
| Gebouw3D | 36,09 | 66,57 | 5,13 | 12,90 | | | | 0 | 0 | 0 | 0 dB | False | 0,80 | 0,80 | 0,80 |
| Gebouw3D | 35,88 | 51,10 | 0,08 | 12,72 | | | | 0 | 0 | 0 | 0 dB | False | 0,80 | 0,80 | 0,80 |

Model: Jager
Jager - Jager
Groep: (hoofdgroep)
Lijst van Gebouwen, voor rekenmethode Wegverkeerslawaai - RMW-2012

| Groep | Refl. 500 | Refl. 1k | Refl. 2k | Refl. 4k | Refl. 8k |
|---|---|---|---|---|---|
| Gebouw3D | 0,80 | 0,80 | 0,80 | 0,80 | 0,80 |
| Gebouw3D | 0,80 | 0,80 | 0,80 | 0,80 | 0,80 |
| Gebouw3D | 0,80 | 0,80 | 0,80 | 0,80 | 0,80 |
| Gebouw3D | 0,80 | 0,80 | 0,80 | 0,80 | 0,80 |
| Gebouw3D | 0,80 | 0,80 | 0,80 | 0,80 | 0,80 |
| Gebouw3D | 0,80 | 0,80 | 0,80 | 0,80 | 0,80 |
| Gebouw3D | 0,80 | 0,80 | 0,80 | 0,80 | 0,80 |
| Gebouw3D | 0,80 | 0,80 | 0,80 | 0,80 | 0,80 |
| Gebouw3D | 0,80 | 0,80 | 0,80 | 0,80 | 0,80 |
| Gebouw3D | 0,80 | 0,80 | 0,80 | 0,80 | 0,80 |
| Gebouw3D | 0,80 | 0,80 | 0,80 | 0,80 | 0,80 |
| Gebouw3D | 0,80 | 0,80 | 0,80 | 0,80 | 0,80 |
| Gebouw3D | 0,80 | 0,80 | 0,80 | 0,80 | 0,80 |
| Gebouw3D | 0,80 | 0,80 | 0,80 | 0,80 | 0,80 |
| Gebouw3D | 0,80 | 0,80 | 0,80 | 0,80 | 0,80 |
| Gebouw3D | 0,80 | 0,80 | 0,80 | 0,80 | 0,80 |
| Gebouw3D | 0,80 | 0,80 | 0,80 | 0,80 | 0,80 |
| Gebouw3D | 0,80 | 0,80 | 0,80 | 0,80 | 0,80 |
| Gebouw3D | 0,80 | 0,80 | 0,80 | 0,80 | 0,80 |
| Gebouw3D | 0,80 | 0,80 | 0,80 | 0,80 | 0,80 |
| Gebouw3D | 0,80 | 0,80 | 0,80 | 0,80 | 0,80 |
| Gebouw3D | 0,80 | 0,80 | 0,80 | 0,80 | 0,80 |
| Gebouw3D | 0,80 | 0,80 | 0,80 | 0,80 | 0,80 |
| Gebouw3D | 0,80 | 0,80 | 0,80 | 0,80 | 0,80 |
| Gebouw3D | 0,80 | 0,80 | 0,80 | 0,80 | 0,80 |
| Gebouw3D | 0,80 | 0,80 | 0,80 | 0,80 | 0,80 |
| Gebouw3D | 0,80 | 0,80 | 0,80 | 0,80 | 0,80 |
| Gebouw3D | 0,80 | 0,80 | 0,80 | 0,80 | 0,80 |
| Gebouw3D | 0,80 | 0,80 | 0,80 | 0,80 | 0,80 |
| Gebouw3D | 0,80 | 0,80 | 0,80 | 0,80 | 0,80 |
| Gebouw3D | 0,80 | 0,80 | 0,80 | 0,80 | 0,80 |
| Gebouw3D | 0,80 | 0,80 | 0,80 | 0,80 | 0,80 |

Model: Jager
Jager - Jager
Groep: (hoofdgroep)
Lijst van Gebouwen, voor rekenmethode Wegverkeerslawaai - RMW-2012

| Groep | ItemID | Grp.ID | Datum | Naam | Omschr. | Vorm | X-1 | Y-1 | Hoogte | Rel.H | Maaiveld | Hdef. | Vormpunten |
|---|---|---|---|---|---|---|---|---|---|---|---|---|---|
| Gebouw3D | 3200 | 1 | 08:58, 20 mrt 2020 | | | Polygoon | 247028,55 | 443610,45 | 2,10 | 2,10 | 0,00 | Relatief | 4 |
| Gebouw3D | 3201 | 1 | 08:58, 20 mrt 2020 | | | Polygoon | 247001,10 | 443589,47 | 7,60 | 7,60 | 0,00 | Relatief | 4 |
| Gebouw3D | 3202 | 1 | 08:58, 20 mrt 2020 | | | Polygoon | 247025,69 | 443601,85 | 7,30 | 7,30 | 0,00 | Relatief | 7 |
| Gebouw3D | 3203 | 1 | 08:58, 20 mrt 2020 | | | Polygoon | 246976,46 | 443614,72 | 7,00 | 7,00 | 0,00 | Relatief | 8 |
| Gebouw3D | 3204 | 1 | 08:58, 20 mrt 2020 | | | Polygoon | 246988,64 | 443601,77 | 2,70 | 2,70 | 0,00 | Relatief | 4 |
| Gebouw3D | 3205 | 1 | 08:58, 20 mrt 2020 | | | Polygoon | 246986,84 | 443545,32 | 2,60 | 2,60 | 0,00 | Relatief | 6 |
| Gebouw3D | 3206 | 1 | 08:58, 20 mrt 2020 | | | Polygoon | 247007,33 | 443633,59 | 2,30 | 2,30 | 0,00 | Relatief | 6 |
| Gebouw3D | 3207 | 1 | 08:58, 20 mrt 2020 | | | Polygoon | 247019,97 | 443588,44 | 7,50 | 7,50 | 0,00 | Relatief | 10 |
| Gebouw3D | 3208 | 1 | 08:58, 20 mrt 2020 | | | Polygoon | 246978,87 | 443629,46 | 7,00 | 7,00 | 0,00 | Relatief | 8 |
| Gebouw3D | 3209 | 1 | 08:58, 20 mrt 2020 | | | Polygoon | 246990,82 | 443610,61 | 2,70 | 2,70 | 0,00 | Relatief | 4 |
| Gebouw3D | 3210 | 1 | 08:58, 20 mrt 2020 | | | Polygoon | 246999,67 | 443550,54 | 2,70 | 2,70 | 0,00 | Relatief | 6 |
| Gebouw3D | 3211 | 1 | 08:58, 20 mrt 2020 | | | Polygoon | 247014,04 | 443563,27 | 7,40 | 7,40 | 0,00 | Relatief | 10 |
| Gebouw3D | 3212 | 1 | 08:58, 20 mrt 2020 | | | Polygoon | 246989,64 | 443561,69 | 2,70 | 2,70 | 0,00 | Relatief | 8 |
| Gebouw3D | 3213 | 1 | 08:58, 20 mrt 2020 | | | Polygoon | 246850,39 | 443594,84 | 7,90 | 7,90 | 0,00 | Relatief | 4 |
| Gebouw3D | 3214 | 1 | 08:58, 20 mrt 2020 | | | Polygoon | 246940,37 | 443596,92 | 2,80 | 2,80 | 0,00 | Relatief | 4 |
| Gebouw3D | 3215 | 1 | 08:58, 20 mrt 2020 | | | Polygoon | 246900,75 | 443611,00 | 2,80 | 2,80 | 0,00 | Relatief | 8 |
| Gebouw3D | 3216 | 1 | 08:58, 20 mrt 2020 | | | Polygoon | 246819,01 | 443608,91 | 6,80 | 6,80 | 0,00 | Relatief | 8 |
| Gebouw3D | 3217 | 1 | 08:58, 20 mrt 2020 | | | Polygoon | 246947,25 | 443602,51 | 7,30 | 7,30 | 0,00 | Relatief | 12 |
| Gebouw3D | 3218 | 1 | 08:58, 20 mrt 2020 | | | Polygoon | 246942,62 | 443609,88 | 7,30 | 7,30 | 0,00 | Relatief | 10 |
| Gebouw3D | 3219 | 1 | 08:58, 20 mrt 2020 | | | Polygoon | 246812,35 | 443609,65 | 2,80 | 2,80 | 0,00 | Relatief | 4 |
| Gebouw3D | 3220 | 1 | 08:58, 20 mrt 2020 | | | Polygoon | 246919,94 | 443611,11 | 2,80 | 2,80 | 0,00 | Relatief | 6 |
| Gebouw3D | 3221 | 1 | 08:58, 20 mrt 2020 | | | Polygoon | 246949,39 | 443615,32 | 7,40 | 7,40 | 0,00 | Relatief | 8 |
| Gebouw3D | 3222 | 1 | 08:58, 20 mrt 2020 | | | Polygoon | 246843,70 | 443626,99 | 7,90 | 7,90 | 0,00 | Relatief | 10 |
| Gebouw3D | 3223 | 1 | 08:58, 20 mrt 2020 | | | Polygoon | 246821,02 | 443619,77 | 5,80 | 5,80 | 0,00 | Relatief | 6 |
| Gebouw3D | 3224 | 1 | 08:58, 20 mrt 2020 | | | Polygoon | 246821,02 | 443619,77 | 5,90 | 5,90 | 0,00 | Relatief | 6 |
| Gebouw3D | 3225 | 1 | 08:58, 20 mrt 2020 | | | Polygoon | 246927,44 | 443620,93 | 3,60 | 3,60 | 0,00 | Relatief | 4 |
| Gebouw3D | 3226 | 1 | 08:58, 20 mrt 2020 | | | Polygoon | 246829,05 | 443630,81 | 5,80 | 5,80 | 0,00 | Relatief | 4 |
| Gebouw3D | 3227 | 1 | 08:58, 20 mrt 2020 | | | Polygoon | 246959,32 | 443631,39 | 7,20 | 7,20 | 0,00 | Relatief | 14 |
| Gebouw3D | 3228 | 1 | 08:58, 20 mrt 2020 | | | Polygoon | 246935,88 | 443629,66 | 2,60 | 2,60 | 0,00 | Relatief | 4 |
| Gebouw3D | 3229 | 1 | 08:58, 20 mrt 2020 | | | Polygoon | 246946,50 | 443633,36 | 7,20 | 7,20 | 0,00 | Relatief | 13 |
| Gebouw3D | 3230 | 1 | 08:58, 20 mrt 2020 | | | Polygoon | 246883,54 | 443636,20 | 8,90 | 8,90 | 0,00 | Relatief | 6 |
| Gebouw3D | 3231 | 1 | 08:58, 20 mrt 2020 | | | Polygoon | 246947,58 | 443639,98 | 7,30 | 7,30 | 0,00 | Relatief | 12 |
| Gebouw3D | 3232 | 1 | 08:58, 20 mrt 2020 | | | Polygoon | 246885,84 | 443648,22 | 7,20 | 7,20 | 0,00 | Relatief | 6 |
| Gebouw3D | 3233 | 1 | 08:58, 20 mrt 2020 | | | Polygoon | 246938,12 | 443655,77 | 3,10 | 3,10 | 0,00 | Relatief | 4 |
| Gebouw3D | 3234 | 1 | 08:58, 20 mrt 2020 | | | Polygoon | 246913,18 | 443655,13 | 2,50 | 2,50 | 0,00 | Relatief | 8 |
| Gebouw3D | 3235 | 1 | 08:58, 20 mrt 2020 | | | Polygoon | 246831,94 | 443668,04 | 3,90 | 3,90 | 0,00 | Relatief | 16 |

# Invoergegevens van het model

Model: Jager
Jager - Jager
Groep: (hoofdgroep)
Lijst van Gebouwen, voor rekenmethode Wegverkeerslawaai - RMW-2012

| Groep | Omtrek | Oppervlak | Min.lengte | Max.lengte | Functie | BAG-id | Gemeente | Jaar | AHN-jaar | Trust | Cp | Zwevend | Refl. 63 | Refl. 125 | Refl. 250 |
|---|---|---|---|---|---|---|---|---|---|---|---|---|---|---|---|
| Gebouw3D | 12,42 | 9,64 | 3,04 | 3,18 | | | | 0 | 0 | 0 | 0 dB | False | 0,80 | 0,80 | 0,80 |
| Gebouw3D | 25,18 | 38,94 | 5,46 | 7,12 | | | | 0 | 0 | 0 | 0 dB | False | 0,80 | 0,80 | 0,80 |
| Gebouw3D | 36,42 | 51,12 | 0,21 | 12,84 | | | | 0 | 0 | 0 | 0 dB | False | 0,80 | 0,80 | 0,80 |
| Gebouw3D | 47,28 | 69,87 | 1,40 | 14,78 | | | | 0 | 0 | 0 | 0 dB | False | 0,80 | 0,80 | 0,80 |
| Gebouw3D | 10,30 | 6,58 | 2,33 | 2,80 | | | | 0 | 0 | 0 | 0 dB | False | 0,80 | 0,80 | 0,80 |
| Gebouw3D | 19,31 | 15,76 | 0,17 | 6,62 | | | | 0 | 0 | 0 | 0 dB | False | 0,80 | 0,80 | 0,80 |
| Gebouw3D | 14,99 | 13,46 | 0,04 | 4,52 | | | | 0 | 0 | 0 | 0 dB | False | 0,80 | 0,80 | 0,80 |
| Gebouw3D | 37,38 | 51,37 | 0,18 | 12,74 | | | | 0 | 0 | 0 | 0 dB | False | 0,80 | 0,80 | 0,80 |
| Gebouw3D | 41,01 | 62,53 | 1,73 | 11,29 | | | | 0 | 0 | 0 | 0 dB | False | 0,80 | 0,80 | 0,80 |
| Gebouw3D | 16,03 | 13,81 | 2,51 | 5,51 | | | | 0 | 0 | 0 | 0 dB | False | 0,80 | 0,80 | 0,80 |
| Gebouw3D | 13,46 | 7,79 | 0,12 | 5,06 | | | | 0 | 0 | 0 | 0 dB | False | 0,80 | 0,80 | 0,80 |
| Gebouw3D | 41,84 | 60,05 | 0,47 | 12,79 | | | | 0 | 0 | 0 | 0 dB | False | 0,80 | 0,80 | 0,80 |
| Gebouw3D | 27,77 | 32,08 | 0,99 | 8,27 | | | | 0 | 0 | 0 | 0 dB | False | 0,80 | 0,80 | 0,80 |
| Gebouw3D | 47,13 | 130,13 | 8,83 | 14,73 | | | | 0 | 0 | 0 | 0 dB | False | 0,80 | 0,80 | 0,80 |
| Gebouw3D | 11,99 | 8,96 | 2,85 | 3,14 | | | | 0 | 0 | 0 | 0 dB | False | 0,80 | 0,80 | 0,80 |
| Gebouw3D | 62,36 | 189,97 | 0,22 | 15,47 | | | | 0 | 0 | 0 | 0 dB | False | 0,80 | 0,80 | 0,80 |
| Gebouw3D | 52,52 | 117,71 | 3,19 | 11,28 | | | | 0 | 0 | 0 | 0 dB | False | 0,80 | 0,80 | 0,80 |
| Gebouw3D | 51,23 | 64,33 | 0,09 | 12,93 | | | | 0 | 0 | 0 | 0 dB | False | 0,80 | 0,80 | 0,80 |
| Gebouw3D | 43,59 | 67,31 | 0,30 | 12,93 | | | | 0 | 0 | 0 | 0 dB | False | 0,80 | 0,80 | 0,80 |
| Gebouw3D | 18,64 | 19,89 | 3,31 | 6,01 | | | | 0 | 0 | 0 | 0 dB | False | 0,80 | 0,80 | 0,80 |
| Gebouw3D | 36,74 | 67,81 | 3,76 | 10,12 | | | | 0 | 0 | 0 | 0 dB | False | 0,80 | 0,80 | 0,80 |
| Gebouw3D | 39,58 | 65,37 | 0,26 | 7,16 | | | | 0 | 0 | 0 | 0 dB | False | 0,80 | 0,80 | 0,80 |
| Gebouw3D | 69,19 | 171,19 | 0,46 | 11,83 | | | | 0 | 0 | 0 | 0 dB | False | 0,80 | 0,80 | 0,80 |
| Gebouw3D | 38,37 | 70,91 | 0,15 | 11,52 | | | | 0 | 0 | 0 | 0 dB | False | 0,80 | 0,80 | 0,80 |
| Gebouw3D | 37,71 | 68,25 | 0,25 | 11,52 | | | | 0 | 0 | 0 | 0 dB | False | 0,80 | 0,80 | 0,80 |
| Gebouw3D | 22,69 | 31,27 | 4,71 | 6,63 | | | | 0 | 0 | 0 | 0 dB | False | 0,80 | 0,80 | 0,80 |
| Gebouw3D | 33,90 | 71,28 | 7,72 | 9,23 | | | | 0 | 0 | 0 | 0 dB | False | 0,80 | 0,80 | 0,80 |
| Gebouw3D | 50,86 | 67,21 | 0,10 | 7,17 | | | | 0 | 0 | 0 | 0 dB | False | 0,80 | 0,80 | 0,80 |
| Gebouw3D | 19,17 | 22,97 | 4,71 | 4,88 | | | | 0 | 0 | 0 | 0 dB | False | 0,80 | 0,80 | 0,80 |
| Gebouw3D | 51,02 | 64,74 | 0,05 | 12,99 | | | | 0 | 0 | 0 | 0 dB | False | 0,80 | 0,80 | 0,80 |
| Gebouw3D | 57,73 | 91,32 | 2,40 | 23,64 | | | | 0 | 0 | 0 | 0 dB | False | 0,80 | 0,80 | 0,80 |
| Gebouw3D | 51,03 | 67,17 | 0,15 | 12,99 | | | | 0 | 0 | 0 | 0 dB | False | 0,80 | 0,80 | 0,80 |
| Gebouw3D | 42,24 | 67,00 | 2,28 | 14,46 | | | | 0 | 0 | 0 | 0 dB | False | 0,80 | 0,80 | 0,80 |
| Gebouw3D | 22,66 | 29,37 | 4,02 | 7,31 | | | | 0 | 0 | 0 | 0 dB | False | 0,80 | 0,80 | 0,80 |
| Gebouw3D | 23,75 | 23,98 | 1,07 | 7,88 | | | | 0 | 0 | 0 | 0 dB | False | 0,80 | 0,80 | 0,80 |
| Gebouw3D | 92,29 | 358,67 | 1,20 | 13,08 | | | | 0 | 0 | 0 | 0 dB | False | 0,80 | 0,80 | 0,80 |

Model: Jager
Jager - Jager
Groep: (hoofdgroep)
Lijst van Gebouwen, voor rekenmethode Wegverkeerslawaai - RMW-2012

| Groep | Refl. 500 | Refl. 1k | Refl. 2k | Refl. 4k | Refl. 8k |
|---|---|---|---|---|---|
| Gebouw3D | 0,80 | 0,80 | 0,80 | 0,80 | 0,80 |
| Gebouw3D | 0,80 | 0,80 | 0,80 | 0,80 | 0,80 |
| Gebouw3D | 0,80 | 0,80 | 0,80 | 0,80 | 0,80 |
| Gebouw3D | 0,80 | 0,80 | 0,80 | 0,80 | 0,80 |
| Gebouw3D | 0,80 | 0,80 | 0,80 | 0,80 | 0,80 |
| Gebouw3D | 0,80 | 0,80 | 0,80 | 0,80 | 0,80 |
| Gebouw3D | 0,80 | 0,80 | 0,80 | 0,80 | 0,80 |
| Gebouw3D | 0,80 | 0,80 | 0,80 | 0,80 | 0,80 |
| Gebouw3D | 0,80 | 0,80 | 0,80 | 0,80 | 0,80 |
| Gebouw3D | 0,80 | 0,80 | 0,80 | 0,80 | 0,80 |
| Gebouw3D | 0,80 | 0,80 | 0,80 | 0,80 | 0,80 |
| Gebouw3D | 0,80 | 0,80 | 0,80 | 0,80 | 0,80 |
| Gebouw3D | 0,80 | 0,80 | 0,80 | 0,80 | 0,80 |
| Gebouw3D | 0,80 | 0,80 | 0,80 | 0,80 | 0,80 |
| Gebouw3D | 0,80 | 0,80 | 0,80 | 0,80 | 0,80 |
| Gebouw3D | 0,80 | 0,80 | 0,80 | 0,80 | 0,80 |
| Gebouw3D | 0,80 | 0,80 | 0,80 | 0,80 | 0,80 |
| Gebouw3D | 0,80 | 0,80 | 0,80 | 0,80 | 0,80 |
| Gebouw3D | 0,80 | 0,80 | 0,80 | 0,80 | 0,80 |
| Gebouw3D | 0,80 | 0,80 | 0,80 | 0,80 | 0,80 |
| Gebouw3D | 0,80 | 0,80 | 0,80 | 0,80 | 0,80 |
| Gebouw3D | 0,80 | 0,80 | 0,80 | 0,80 | 0,80 |
| Gebouw3D | 0,80 | 0,80 | 0,80 | 0,80 | 0,80 |
| Gebouw3D | 0,80 | 0,80 | 0,80 | 0,80 | 0,80 |
| Gebouw3D | 0,80 | 0,80 | 0,80 | 0,80 | 0,80 |
| Gebouw3D | 0,80 | 0,80 | 0,80 | 0,80 | 0,80 |
| Gebouw3D | 0,80 | 0,80 | 0,80 | 0,80 | 0,80 |
| Gebouw3D | 0,80 | 0,80 | 0,80 | 0,80 | 0,80 |
| Gebouw3D | 0,80 | 0,80 | 0,80 | 0,80 | 0,80 |
| Gebouw3D | 0,80 | 0,80 | 0,80 | 0,80 | 0,80 |
| Gebouw3D | 0,80 | 0,80 | 0,80 | 0,80 | 0,80 |
| Gebouw3D | 0,80 | 0,80 | 0,80 | 0,80 | 0,80 |

# Invoergegevens van het model

Model: Jager
Jager - Jager
Groep: (hoofdgroep)
Lijst van Gebouwen, voor rekenmethode Wegverkeerslawaai - RMW-2012

| Groep | ItemID | Grp.ID | Datum | Naam | Omschr. | Vorm | X-1 | Y-1 | Hoogte | Rel.H | Maaiveld | Hdef. | Vormpunten |
|---|---|---|---|---|---|---|---|---|---|---|---|---|---|
| Gebouw3D | 3236 | 1 | 08:58, 20 mrt 2020 | | | Polygoon | 246901,28 | 443680,98 | 7,00 | 7,00 | 0,00 | Relatief | 9 |
| Gebouw3D | 3238 | 1 | 09:54, 20 mrt 2020 | | | Polygoon | 246896,04 | 443693,99 | 9,30 | 9,30 | 0,00 | Relatief | 9 |
| Gebouw3D | 3239 | 1 | 08:58, 20 mrt 2020 | | | Polygoon | 246913,76 | 443712,36 | 6,90 | 6,90 | 0,00 | Relatief | 7 |
| Gebouw3D | 3240 | 1 | 09:54, 20 mrt 2020 | | | Polygoon | 246915,00 | 443731,52 | 8,60 | 8,60 | 0,00 | Relatief | 6 |
| Gebouw3D | 3241 | 1 | 09:55, 20 mrt 2020 | | | Polygoon | 246946,32 | 443724,95 | 3,00 | 3,00 | 0,00 | Relatief | 24 |
| Gebouw3D | 3243 | 1 | 08:58, 20 mrt 2020 | | | Polygoon | 246946,18 | 443596,15 | 7,30 | 7,30 | 0,00 | Relatief | 4 |
| Gebouw3D | 3244 | 1 | 09:54, 20 mrt 2020 | | | Polygoon | 246896,04 | 443693,99 | 8,70 | 8,70 | 0,00 | Relatief | 8 |
| Gebouw3D | 3245 | 1 | 08:58, 20 mrt 2020 | | | Polygoon | 246884,33 | 443615,77 | 8,30 | 8,30 | 0,00 | Relatief | 10 |
| Gebouw3D | 3246 | 1 | 09:54, 20 mrt 2020 | | | Polygoon | 246898,19 | 443700,16 | 8,90 | 8,90 | 0,00 | Relatief | 13 |
| Gebouw3D | 3247 | 1 | 09:54, 20 mrt 2020 | | | Polygoon | 246915,00 | 443731,52 | 8,60 | 8,60 | 0,00 | Relatief | 7 |
| Gebouw3D | 3248 | 1 | 08:58, 20 mrt 2020 | | | Polygoon | 246948,58 | 443646,31 | 7,30 | 7,30 | 0,00 | Relatief | 9 |
| Gebouw3D | 3249 | 1 | 08:58, 20 mrt 2020 | | | Polygoon | 246916,04 | 443686,26 | 3,90 | 3,90 | 0,00 | Relatief | 4 |
| Gebouw3D | 3250 | 1 | 08:58, 20 mrt 2020 | | | Polygoon | 246883,54 | 443636,20 | 8,20 | 8,20 | 0,00 | Relatief | 9 |
| Gebouw3D | 3251 | 1 | 08:58, 20 mrt 2020 | | | Polygoon | 246889,13 | 443625,68 | 6,20 | 6,20 | 0,00 | Relatief | 17 |
| Gebouw3D | 3252 | 1 | 08:58, 20 mrt 2020 | | | Polygoon | 246884,48 | 443641,12 | 8,00 | 8,00 | 0,00 | Relatief | 12 |
| Gebouw3D | 3253 | 1 | 08:58, 20 mrt 2020 | | | Polygoon | 246907,28 | 443644,81 | 2,30 | 2,30 | 0,00 | Relatief | 4 |
| Gebouw3D | 3254 | 1 | 08:58, 20 mrt 2020 | | | Polygoon | 246935,35 | 443617,89 | 3,90 | 3,90 | 0,00 | Relatief | 4 |
| Gebouw3D | 3255 | 1 | 08:58, 20 mrt 2020 | | | Polygoon | 246977,85 | 443590,69 | 7,80 | 7,80 | 0,00 | Relatief | 4 |
| Gebouw3D | 3256 | 1 | 08:58, 20 mrt 2020 | | | Polygoon | 246887,12 | 443654,95 | 7,20 | 7,20 | 0,00 | Relatief | 7 |
| Gebouw3D | 3257 | 1 | 08:58, 20 mrt 2020 | | | Polygoon | 246928,24 | 443599,14 | 3,00 | 3,00 | 0,00 | Relatief | 4 |
| Gebouw3D | 3258 | 1 | 09:53, 20 mrt 2020 | | | Polygoon | 246927,69 | 443684,06 | 6,40 | 6,40 | 0,00 | Relatief | 10 |
| Gebouw3D | 3259 | 1 | 09:53, 20 mrt 2020 | | | Polygoon | 246955,12 | 443671,64 | 6,00 | 6,00 | 0,00 | Relatief | 20 |
| Gebouw3D | 3260 | 1 | 09:53, 20 mrt 2020 | | | Polygoon | 246942,74 | 443677,61 | 3,20 | 3,20 | 0,00 | Relatief | 16 |
| Gebouw3D | 3343 | 1 | 08:58, 20 mrt 2020 | | | Polygoon | 246981,35 | 443644,30 | 7,00 | 7,00 | 0,00 | Relatief | 8 |
| Gebouw3D | 3344 | 1 | 08:58, 20 mrt 2020 | | | Polygoon | 246983,88 | 443651,51 | 7,00 | 7,00 | 0,00 | Relatief | 8 |
| Gebouw3D | 3345 | 1 | 08:58, 20 mrt 2020 | | | Polygoon | 246983,79 | 443659,13 | 7,00 | 7,00 | 0,00 | Relatief | 8 |
| Gebouw3D | 3346 | 1 | 08:58, 20 mrt 2020 | | | Polygoon | 246986,36 | 443666,24 | 7,00 | 7,00 | 0,00 | Relatief | 8 |
| Gebouw3D | 3347 | 1 | 08:58, 20 mrt 2020 | | | Polygoon | 246986,25 | 443673,91 | 7,30 | 7,30 | 0,00 | Relatief | 4 |
| Gebouw3D | 3348 | 1 | 08:58, 20 mrt 2020 | | | Polygoon | 246987,56 | 443697,64 | 7,60 | 7,60 | 0,00 | Relatief | 7 |
| Gebouw3D | 3349 | 1 | 08:58, 20 mrt 2020 | | | Polygoon | 246987,56 | 443697,64 | 7,50 | 7,50 | 0,00 | Relatief | 8 |
| Gebouw3D | 3350 | 1 | 08:58, 20 mrt 2020 | | | Polygoon | 247009,47 | 443678,33 | 4,10 | 4,10 | 0,00 | Relatief | 4 |
| Gebouw3D | 3351 | 1 | 08:58, 20 mrt 2020 | | | Polygoon | 246995,44 | 443672,18 | 0,20 | 0,20 | 0,00 | Relatief | 4 |
| Gebouw3D | 3352 | 1 | 08:58, 20 mrt 2020 | | | Polygoon | 247003,39 | 443700,74 | 2,30 | 2,30 | 0,00 | Relatief | 4 |
| Gebouw3D | 3353 | 1 | 08:58, 20 mrt 2020 | | | Polygoon | 247008,98 | 443648,68 | 4,90 | 4,90 | 0,00 | Relatief | 4 |
| Gebouw3D | 3354 | 1 | 08:58, 20 mrt 2020 | | | Polygoon | 247009,15 | 443653,58 | 2,20 | 2,20 | 0,00 | Relatief | 4 |
| Gebouw3D | 3355 | 1 | 08:58, 20 mrt 2020 | | | Polygoon | 247009,15 | 443653,58 | 2,20 | 2,20 | 0,00 | Relatief | 5 |

# Invoergegevens van het model

Model: Jager
Jager - Jager
Groep: (hoofdgroep)
Lijst van Gebouwen, voor rekenmethode Wegverkeerslawaai - RMW-2012

| Groep | Omtrek | Oppervlak | Min.lengte | Max.lengte | Functie | BAG-id | Gemeente | Jaar | AHN-jaar | Trust | Cp | Zwevend | Refl. 63 | Refl. 125 | Refl. 250 |
|---|---|---|---|---|---|---|---|---|---|---|---|---|---|---|---|
| Gebouw3D | 47,04 | 110,10 | 0,90 | 14,11 | | | | 0 | 0 | 0 | 0 dB | False | 0,80 | 0,80 | 0,80 |
| Gebouw3D | 31,81 | 60,85 | 0,21 | 8,97 | | | | 0 | 0 | 0 | 0 dB | False | 0,80 | 0,80 | 0,80 |
| Gebouw3D | 42,63 | 103,30 | 2,43 | 10,01 | | | | 0 | 0 | 0 | 0 dB | False | 0,80 | 0,80 | 0,80 |
| Gebouw3D | 29,58 | 50,32 | 0,41 | 9,02 | | | | 0 | 0 | 0 | 0 dB | False | 0,80 | 0,80 | 0,80 |
| Gebouw3D | 91,17 | 258,87 | 0,24 | 10,75 | | | | 0 | 0 | 0 | 0 dB | False | 0,80 | 0,80 | 0,80 |
| Gebouw3D | 27,22 | 46,18 | 6,45 | 7,16 | | | | 0 | 0 | 0 | 0 dB | False | 0,80 | 0,80 | 0,80 |
| Gebouw3D | 29,76 | 52,03 | 1,03 | 9,10 | | | | 0 | 0 | 0 | 0 dB | False | 0,80 | 0,80 | 0,80 |
| Gebouw3D | 167,76 | 747,29 | 1,45 | 36,46 | | | | 0 | 0 | 0 | 0 dB | False | 0,80 | 0,80 | 0,80 |
| Gebouw3D | 32,90 | 65,60 | 0,15 | 8,94 | | | | 0 | 0 | 0 | 0 dB | False | 0,80 | 0,80 | 0,80 |
| Gebouw3D | 29,55 | 50,27 | 0,41 | 8,99 | | | | 0 | 0 | 0 | 0 dB | False | 0,80 | 0,80 | 0,80 |
| Gebouw3D | 39,78 | 64,49 | 0,15 | 7,18 | | | | 0 | 0 | 0 | 0 dB | False | 0,80 | 0,80 | 0,80 |
| Gebouw3D | 17,32 | 18,15 | 3,26 | 4,80 | | | | 0 | 0 | 0 | 0 dB | False | 0,80 | 0,80 | 0,80 |
| Gebouw3D | 57,58 | 87,29 | 0,26 | 23,64 | | | | 0 | 0 | 0 | 0 dB | False | 0,80 | 0,80 | 0,80 |
| Gebouw3D | 99,27 | 218,35 | 0,31 | 28,60 | | | | 0 | 0 | 0 | 0 dB | False | 0,80 | 0,80 | 0,80 |
| Gebouw3D | 61,46 | 120,48 | 0,40 | 14,46 | | | | 0 | 0 | 0 | 0 dB | False | 0,80 | 0,80 | 0,80 |
| Gebouw3D | 16,97 | 14,06 | 2,16 | 6,23 | | | | 0 | 0 | 0 | 0 dB | False | 0,80 | 0,80 | 0,80 |
| Gebouw3D | 29,41 | 53,41 | 6,56 | 8,15 | | | | 0 | 0 | 0 | 0 dB | False | 0,80 | 0,80 | 0,80 |
| Gebouw3D | 28,38 | 50,34 | 7,07 | 7,12 | | | | 0 | 0 | 0 | 0 dB | False | 0,80 | 0,80 | 0,80 |
| Gebouw3D | 31,96 | 55,20 | 2,23 | 7,42 | | | | 0 | 0 | 0 | 0 dB | False | 0,80 | 0,80 | 0,80 |
| Gebouw3D | 22,21 | 26,62 | 3,50 | 7,61 | | | | 0 | 0 | 0 | 0 dB | False | 0,80 | 0,80 | 0,80 |
| Gebouw3D | 49,71 | 125,94 | 0,67 | 12,13 | | | | 0 | 0 | 0 | 0 dB | False | 0,80 | 0,80 | 0,80 |
| Gebouw3D | 56,20 | 116,02 | 0,30 | 6,02 | | | | 0 | 0 | 0 | 0 dB | False | 0,80 | 0,80 | 0,80 |
| Gebouw3D | 51,16 | 108,04 | 1,08 | 7,89 | | | | 0 | 0 | 0 | 0 dB | False | 0,80 | 0,80 | 0,80 |
| Gebouw3D | 41,31 | 64,10 | 1,34 | 11,78 | | | | 0 | 0 | 0 | 0 dB | False | 0,80 | 0,80 | 0,80 |
| Gebouw3D | 41,17 | 65,97 | 1,34 | 11,78 | | | | 0 | 0 | 0 | 0 dB | False | 0,80 | 0,80 | 0,80 |
| Gebouw3D | 41,03 | 63,23 | 1,37 | 11,70 | | | | 0 | 0 | 0 | 0 dB | False | 0,80 | 0,80 | 0,80 |
| Gebouw3D | 41,24 | 65,75 | 1,37 | 11,70 | | | | 0 | 0 | 0 | 0 dB | False | 0,80 | 0,80 | 0,80 |
| Gebouw3D | 28,31 | 50,06 | 6,90 | 7,26 | | | | 0 | 0 | 0 | 0 dB | False | 0,80 | 0,80 | 0,80 |
| Gebouw3D | 35,13 | 57,18 | 0,93 | 7,06 | | | | 0 | 0 | 0 | 0 dB | False | 0,80 | 0,80 | 0,80 |
| Gebouw3D | 30,12 | 47,36 | 0,64 | 7,06 | | | | 0 | 0 | 0 | 0 dB | False | 0,80 | 0,80 | 0,80 |
| Gebouw3D | 62,07 | 202,23 | 9,03 | 22,12 | | | | 0 | 0 | 0 | 0 dB | False | 0,80 | 0,80 | 0,80 |
| Gebouw3D | 11,71 | 8,52 | 2,71 | 3,14 | | | | 0 | 0 | 0 | 0 dB | False | 0,80 | 0,80 | 0,80 |
| Gebouw3D | 21,23 | 21,23 | 2,58 | 7,94 | | | | 0 | 0 | 0 | 0 dB | False | 0,80 | 0,80 | 0,80 |
| Gebouw3D | 16,20 | 15,07 | 2,90 | 5,20 | | | | 0 | 0 | 0 | 0 dB | False | 0,80 | 0,80 | 0,80 |
| Gebouw3D | 11,48 | 8,24 | 2,82 | 2,90 | | | | 0 | 0 | 0 | 0 dB | False | 0,80 | 0,80 | 0,80 |
| Gebouw3D | 15,58 | 14,18 | 1,30 | 4,91 | | | | 0 | 0 | 0 | 0 dB | False | 0,80 | 0,80 | 0,80 |

Model: Jager
Jager - Jager
Groep: (hoofdgroep)
Lijst van Gebouwen, voor rekenmethode Wegverkeerslawaai - RMW-2012

| Groep | Refl. 500 | Refl. 1k | Refl. 2k | Refl. 4k | Refl. 8k |
|---|---|---|---|---|---|
| Gebouw3D | 0,80 | 0,80 | 0,80 | 0,80 | 0,80 |
| Gebouw3D | 0,80 | 0,80 | 0,80 | 0,80 | 0,80 |
| Gebouw3D | 0,80 | 0,80 | 0,80 | 0,80 | 0,80 |
| Gebouw3D | 0,80 | 0,80 | 0,80 | 0,80 | 0,80 |
| Gebouw3D | 0,80 | 0,80 | 0,80 | 0,80 | 0,80 |
| Gebouw3D | 0,80 | 0,80 | 0,80 | 0,80 | 0,80 |
| Gebouw3D | 0,80 | 0,80 | 0,80 | 0,80 | 0,80 |
| Gebouw3D | 0,80 | 0,80 | 0,80 | 0,80 | 0,80 |
| Gebouw3D | 0,80 | 0,80 | 0,80 | 0,80 | 0,80 |
| Gebouw3D | 0,80 | 0,80 | 0,80 | 0,80 | 0,80 |
| Gebouw3D | 0,80 | 0,80 | 0,80 | 0,80 | 0,80 |
| Gebouw3D | 0,80 | 0,80 | 0,80 | 0,80 | 0,80 |
| Gebouw3D | 0,80 | 0,80 | 0,80 | 0,80 | 0,80 |
| Gebouw3D | 0,80 | 0,80 | 0,80 | 0,80 | 0,80 |
| Gebouw3D | 0,80 | 0,80 | 0,80 | 0,80 | 0,80 |
| Gebouw3D | 0,80 | 0,80 | 0,80 | 0,80 | 0,80 |
| Gebouw3D | 0,80 | 0,80 | 0,80 | 0,80 | 0,80 |
| Gebouw3D | 0,80 | 0,80 | 0,80 | 0,80 | 0,80 |
| Gebouw3D | 0,80 | 0,80 | 0,80 | 0,80 | 0,80 |
| Gebouw3D | 0,80 | 0,80 | 0,80 | 0,80 | 0,80 |
| Gebouw3D | 0,80 | 0,80 | 0,80 | 0,80 | 0,80 |
| Gebouw3D | 0,80 | 0,80 | 0,80 | 0,80 | 0,80 |
| Gebouw3D | 0,80 | 0,80 | 0,80 | 0,80 | 0,80 |
| Gebouw3D | 0,80 | 0,80 | 0,80 | 0,80 | 0,80 |
| Gebouw3D | 0,80 | 0,80 | 0,80 | 0,80 | 0,80 |
| Gebouw3D | 0,80 | 0,80 | 0,80 | 0,80 | 0,80 |
| Gebouw3D | 0,80 | 0,80 | 0,80 | 0,80 | 0,80 |
| Gebouw3D | 0,80 | 0,80 | 0,80 | 0,80 | 0,80 |
| Gebouw3D | 0,80 | 0,80 | 0,80 | 0,80 | 0,80 |
| Gebouw3D | 0,80 | 0,80 | 0,80 | 0,80 | 0,80 |
| Gebouw3D | 0,80 | 0,80 | 0,80 | 0,80 | 0,80 |
| Gebouw3D | 0,80 | 0,80 | 0,80 | 0,80 | 0,80 |

# Invoergegevens van het model

Model: Jager
Jager - Jager
Groep: (hoofdgroep)
Lijst van Gebouwen, voor rekenmethode Wegverkeerslawaai - RMW-2012

| Groep | ItemID | Grp.ID | Datum | Naam | Omschr. | Vorm | X-1 | Y-1 | Hoogte | Rel.H | Maaiveld | Hdef. | Vormpunten |
|---|---|---|---|---|---|---|---|---|---|---|---|---|---|
| Gebouw3D | 3356 | 1 | 08:58, 20 mrt 2020 | | | Polygoon | 247009,53 | 443675,57 | 2,30 | 2,30 | 0,00 | Relatief | 4 |
| Gebouw3D | 3357 | 1 | 08:58, 20 mrt 2020 | | | Polygoon | 247009,53 | 443675,57 | 2,30 | 2,30 | 0,00 | Relatief | 4 |
| Gebouw3D | 3358 | 1 | 08:58, 20 mrt 2020 | | | Polygoon | 247011,08 | 443680,80 | 2,40 | 2,40 | 0,00 | Relatief | 4 |
| Gebouw3D | 3359 | 1 | 08:58, 20 mrt 2020 | | | Polygoon | 247011,58 | 443697,44 | 2,50 | 2,50 | 0,00 | Relatief | 4 |
| Gebouw3D | 3360 | 1 | 08:58, 20 mrt 2020 | | | Polygoon | 247011,58 | 443697,44 | 2,30 | 2,30 | 0,00 | Relatief | 4 |
| Gebouw3D | 3361 | 1 | 08:58, 20 mrt 2020 | | | Polygoon | 247011,76 | 443687,29 | 2,30 | 2,30 | 0,00 | Relatief | 6 |
| Gebouw3D | 3362 | 1 | 08:58, 20 mrt 2020 | | | Polygoon | 247033,70 | 443646,08 | 7,30 | 7,30 | 0,00 | Relatief | 6 |
| Gebouw3D | 3363 | 1 | 08:58, 20 mrt 2020 | | | Polygoon | 247020,95 | 443647,36 | 7,40 | 7,40 | 0,00 | Relatief | 6 |
| Gebouw3D | 3364 | 1 | 08:58, 20 mrt 2020 | | | Polygoon | 247026,77 | 443651,81 | 7,40 | 7,40 | 0,00 | Relatief | 6 |
| Gebouw3D | 3365 | 1 | 08:58, 20 mrt 2020 | | | Polygoon | 247022,16 | 443668,95 | 7,40 | 7,40 | 0,00 | Relatief | 6 |
| Gebouw3D | 3366 | 1 | 08:58, 20 mrt 2020 | | | Polygoon | 247021,99 | 443657,31 | 7,40 | 7,40 | 0,00 | Relatief | 6 |
| Gebouw3D | 3367 | 1 | 08:58, 20 mrt 2020 | | | Polygoon | 247022,16 | 443668,95 | 7,50 | 7,50 | 0,00 | Relatief | 8 |
| Gebouw3D | 3368 | 1 | 08:58, 20 mrt 2020 | | | Polygoon | 247028,46 | 443673,70 | 7,60 | 7,60 | 0,00 | Relatief | 6 |
| Gebouw3D | 3369 | 1 | 08:58, 20 mrt 2020 | | | Polygoon | 247023,16 | 443679,59 | 7,30 | 7,30 | 0,00 | Relatief | 6 |
| Gebouw3D | 3370 | 1 | 08:58, 20 mrt 2020 | | | Polygoon | 247025,30 | 443690,99 | 7,40 | 7,40 | 0,00 | Relatief | 6 |
| Gebouw3D | 3371 | 1 | 08:58, 20 mrt 2020 | | | Polygoon | 247025,30 | 443690,99 | 7,40 | 7,40 | 0,00 | Relatief | 6 |
| Gebouw3D | 3372 | 1 | 08:58, 20 mrt 2020 | | | Polygoon | 247031,05 | 443695,51 | 7,40 | 7,40 | 0,00 | Relatief | 6 |
| Gebouw3D | 3373 | 1 | 08:58, 20 mrt 2020 | | | Polygoon | 247058,63 | 443702,05 | 7,30 | 7,30 | 0,00 | Relatief | 5 |
| Gebouw3D | 3374 | 1 | 08:58, 20 mrt 2020 | | | Polygoon | 247013,22 | 443707,50 | 2,30 | 2,30 | 0,00 | Relatief | 6 |
| Gebouw3D | 3375 | 1 | 08:58, 20 mrt 2020 | | | Polygoon | 246989,13 | 443712,29 | 7,00 | 7,00 | 0,00 | Relatief | 7 |
| Gebouw3D | 3376 | 1 | 08:58, 20 mrt 2020 | | | Polygoon | 247077,29 | 443705,88 | 2,20 | 2,20 | 0,00 | Relatief | 4 |
| Gebouw3D | 3377 | 1 | 08:58, 20 mrt 2020 | | | Polygoon | 247058,91 | 443706,96 | 7,50 | 7,50 | 0,00 | Relatief | 6 |
| Gebouw3D | 3378 | 1 | 08:58, 20 mrt 2020 | | | Polygoon | 247084,09 | 443711,79 | 2,20 | 2,20 | 0,00 | Relatief | 6 |
| Gebouw3D | 3379 | 1 | 08:58, 20 mrt 2020 | | | Polygoon | 247059,36 | 443718,29 | 7,40 | 7,40 | 0,00 | Relatief | 8 |
| Gebouw3D | 3380 | 1 | 08:58, 20 mrt 2020 | | | Polygoon | 247078,88 | 443717,01 | 2,10 | 2,10 | 0,00 | Relatief | 5 |
| Gebouw3D | 3381 | 1 | 08:58, 20 mrt 2020 | | | Polygoon | 247059,36 | 443718,29 | 7,40 | 7,40 | 0,00 | Relatief | 7 |
| Gebouw3D | 3382 | 1 | 08:58, 20 mrt 2020 | | | Polygoon | 247000,57 | 443721,80 | 2,60 | 2,60 | 0,00 | Relatief | 5 |
| Gebouw3D | 3383 | 1 | 08:58, 20 mrt 2020 | | | Polygoon | 247024,10 | 443723,16 | 9,00 | 9,00 | 0,00 | Relatief | 13 |
| Gebouw3D | 3384 | 1 | 08:58, 20 mrt 2020 | | | Polygoon | 247071,87 | 443724,51 | 2,30 | 2,30 | 0,00 | Relatief | 4 |
| Gebouw3D | 3385 | 1 | 08:58, 20 mrt 2020 | | | Polygoon | 247085,18 | 443729,27 | 7,60 | 7,60 | 0,00 | Relatief | 6 |
| Gebouw3D | 3386 | 1 | 08:58, 20 mrt 2020 | | | Polygoon | 247062,49 | 443734,16 | 2,80 | 2,80 | 0,00 | Relatief | 4 |
| Gebouw3D | 3387 | 1 | 08:58, 20 mrt 2020 | | | Polygoon | 247005,90 | 443738,93 | 3,80 | 3,80 | 0,00 | Relatief | 4 |
| Gebouw3D | 3388 | 1 | 08:58, 20 mrt 2020 | | | Polygoon | 247008,97 | 443738,60 | 6,10 | 6,10 | 0,00 | Relatief | 12 |
| Gebouw3D | 3389 | 1 | 08:58, 20 mrt 2020 | | | Polygoon | 247079,72 | 443750,03 | 5,40 | 5,40 | 0,00 | Relatief | 4 |
| Gebouw3D | 3390 | 1 | 08:58, 20 mrt 2020 | | | Polygoon | 247074,68 | 443752,16 | 6,80 | 6,80 | 0,00 | Relatief | 8 |
| Gebouw3D | 3391 | 1 | 08:58, 20 mrt 2020 | | | Polygoon | 247074,68 | 443752,16 | 6,90 | 6,90 | 0,00 | Relatief | 10 |

# Invoergegevens van het model

Model: Jager
Jager - Jager
Groep: (hoofdgroep)
Lijst van Gebouwen, voor rekenmethode Wegverkeerslawaai - RMW-2012

| Groep | Omtrek | Oppervlak | Min.lengte | Max.lengte | Functie | BAG-id | Gemeente | Jaar | AHN-jaar | Trust | Cp | Zwevend | Refl. 63 | Refl. 125 | Refl. 250 |
|---|---|---|---|---|---|---|---|---|---|---|---|---|---|---|---|
| Gebouw3D | 12,18 | 9,27 | 2,99 | 3,13 | | | | 0 | 0 | 0 | 0 dB | False | 0,80 | 0,80 | 0,80 |
| Gebouw3D | 13,98 | 11,96 | 2,99 | 4,03 | | | | 0 | 0 | 0 | 0 dB | False | 0,80 | 0,80 | 0,80 |
| Gebouw3D | 12,60 | 9,91 | 3,03 | 3,27 | | | | 0 | 0 | 0 | 0 dB | False | 0,80 | 0,80 | 0,80 |
| Gebouw3D | 14,16 | 12,24 | 3,01 | 4,10 | | | | 0 | 0 | 0 | 0 dB | False | 0,80 | 0,80 | 0,80 |
| Gebouw3D | 12,47 | 9,71 | 3,01 | 3,26 | | | | 0 | 0 | 0 | 0 dB | False | 0,80 | 0,80 | 0,80 |
| Gebouw3D | 16,09 | 14,76 | 0,31 | 4,91 | | | | 0 | 0 | 0 | 0 dB | False | 0,80 | 0,80 | 0,80 |
| Gebouw3D | 35,46 | 64,05 | 0,11 | 12,62 | | | | 0 | 0 | 0 | 0 dB | False | 0,80 | 0,80 | 0,80 |
| Gebouw3D | 35,63 | 50,61 | 2,48 | 12,80 | | | | 0 | 0 | 0 | 0 dB | False | 0,80 | 0,80 | 0,80 |
| Gebouw3D | 35,51 | 48,42 | 2,11 | 12,77 | | | | 0 | 0 | 0 | 0 dB | False | 0,80 | 0,80 | 0,80 |
| Gebouw3D | 38,38 | 56,24 | 2,25 | 13,76 | | | | 0 | 0 | 0 | 0 dB | False | 0,80 | 0,80 | 0,80 |
| Gebouw3D | 35,77 | 50,25 | 2,27 | 12,77 | | | | 0 | 0 | 0 | 0 dB | False | 0,80 | 0,80 | 0,80 |
| Gebouw3D | 38,23 | 57,35 | 0,01 | 13,76 | | | | 0 | 0 | 0 | 0 dB | False | 0,80 | 0,80 | 0,80 |
| Gebouw3D | 38,31 | 55,86 | 2,29 | 13,82 | | | | 0 | 0 | 0 | 0 dB | False | 0,80 | 0,80 | 0,80 |
| Gebouw3D | 38,49 | 57,27 | 2,40 | 13,82 | | | | 0 | 0 | 0 | 0 dB | False | 0,80 | 0,80 | 0,80 |
| Gebouw3D | 35,80 | 49,67 | 2,16 | 12,83 | | | | 0 | 0 | 0 | 0 dB | False | 0,80 | 0,80 | 0,80 |
| Gebouw3D | 35,81 | 51,64 | 2,53 | 12,83 | | | | 0 | 0 | 0 | 0 dB | False | 0,80 | 0,80 | 0,80 |
| Gebouw3D | 35,81 | 50,10 | 2,23 | 12,84 | | | | 0 | 0 | 0 | 0 dB | False | 0,80 | 0,80 | 0,80 |
| Gebouw3D | 35,02 | 61,94 | 4,92 | 12,58 | | | | 0 | 0 | 0 | 0 dB | False | 0,80 | 0,80 | 0,80 |
| Gebouw3D | 19,84 | 19,66 | 1,64 | 5,20 | | | | 0 | 0 | 0 | 0 dB | False | 0,80 | 0,80 | 0,80 |
| Gebouw3D | 38,40 | 74,98 | 2,50 | 7,32 | | | | 0 | 0 | 0 | 0 dB | False | 0,80 | 0,80 | 0,80 |
| Gebouw3D | 12,44 | 9,67 | 3,06 | 3,18 | | | | 0 | 0 | 0 | 0 dB | False | 0,80 | 0,80 | 0,80 |
| Gebouw3D | 35,38 | 49,41 | 2,20 | 12,58 | | | | 0 | 0 | 0 | 0 dB | False | 0,80 | 0,80 | 0,80 |
| Gebouw3D | 14,48 | 9,21 | 0,19 | 4,19 | | | | 0 | 0 | 0 | 0 dB | False | 0,80 | 0,80 | 0,80 |
| Gebouw3D | 35,62 | 50,08 | 0,04 | 7,49 | | | | 0 | 0 | 0 | 0 dB | False | 0,80 | 0,80 | 0,80 |
| Gebouw3D | 10,89 | 7,36 | 0,25 | 2,94 | | | | 0 | 0 | 0 | 0 dB | False | 0,80 | 0,80 | 0,80 |
| Gebouw3D | 35,59 | 50,44 | 2,26 | 7,49 | | | | 0 | 0 | 0 | 0 dB | False | 0,80 | 0,80 | 0,80 |
| Gebouw3D | 32,11 | 47,99 | 1,82 | 12,08 | | | | 0 | 0 | 0 | 0 dB | False | 0,80 | 0,80 | 0,80 |
| Gebouw3D | 75,37 | 200,72 | 0,57 | 13,71 | | | | 0 | 0 | 0 | 0 dB | False | 0,80 | 0,80 | 0,80 |
| Gebouw3D | 12,25 | 9,33 | 2,84 | 3,28 | | | | 0 | 0 | 0 | 0 dB | False | 0,80 | 0,80 | 0,80 |
| Gebouw3D | 35,57 | 48,90 | 2,16 | 12,80 | | | | 0 | 0 | 0 | 0 dB | False | 0,80 | 0,80 | 0,80 |
| Gebouw3D | 32,47 | 61,79 | 6,10 | 10,47 | | | | 0 | 0 | 0 | 0 dB | False | 0,80 | 0,80 | 0,80 |
| Gebouw3D | 24,22 | 31,20 | 3,72 | 8,43 | | | | 0 | 0 | 0 | 0 dB | False | 0,80 | 0,80 | 0,80 |
| Gebouw3D | 72,92 | 203,40 | 0,09 | 12,67 | | | | 0 | 0 | 0 | 0 dB | False | 0,80 | 0,80 | 0,80 |
| Gebouw3D | 25,53 | 40,38 | 5,80 | 7,00 | | | | 0 | 0 | 0 | 0 dB | False | 0,80 | 0,80 | 0,80 |
| Gebouw3D | 43,42 | 77,83 | 0,19 | 14,82 | | | | 0 | 0 | 0 | 0 dB | False | 0,80 | 0,80 | 0,80 |
| Gebouw3D | 47,86 | 80,58 | 0,26 | 14,82 | | | | 0 | 0 | 0 | 0 dB | False | 0,80 | 0,80 | 0,80 |

Model: Jager
Jager - Jager
Groep: (hoofdgroep)
Lijst van Gebouwen, voor rekenmethode Wegverkeerslawaai - RMW-2012

| Groep | Refl. 500 | Refl. 1k | Refl. 2k | Refl. 4k | Refl. 8k |
|---|---|---|---|---|---|
| Gebouw3D | 0,80 | 0,80 | 0,80 | 0,80 | 0,80 |
| Gebouw3D | 0,80 | 0,80 | 0,80 | 0,80 | 0,80 |
| Gebouw3D | 0,80 | 0,80 | 0,80 | 0,80 | 0,80 |
| Gebouw3D | 0,80 | 0,80 | 0,80 | 0,80 | 0,80 |
| Gebouw3D | 0,80 | 0,80 | 0,80 | 0,80 | 0,80 |
| Gebouw3D | 0,80 | 0,80 | 0,80 | 0,80 | 0,80 |
| Gebouw3D | 0,80 | 0,80 | 0,80 | 0,80 | 0,80 |
| Gebouw3D | 0,80 | 0,80 | 0,80 | 0,80 | 0,80 |
| Gebouw3D | 0,80 | 0,80 | 0,80 | 0,80 | 0,80 |
| Gebouw3D | 0,80 | 0,80 | 0,80 | 0,80 | 0,80 |
| Gebouw3D | 0,80 | 0,80 | 0,80 | 0,80 | 0,80 |
| Gebouw3D | 0,80 | 0,80 | 0,80 | 0,80 | 0,80 |
| Gebouw3D | 0,80 | 0,80 | 0,80 | 0,80 | 0,80 |
| Gebouw3D | 0,80 | 0,80 | 0,80 | 0,80 | 0,80 |
| Gebouw3D | 0,80 | 0,80 | 0,80 | 0,80 | 0,80 |
| Gebouw3D | 0,80 | 0,80 | 0,80 | 0,80 | 0,80 |
| Gebouw3D | 0,80 | 0,80 | 0,80 | 0,80 | 0,80 |
| Gebouw3D | 0,80 | 0,80 | 0,80 | 0,80 | 0,80 |
| Gebouw3D | 0,80 | 0,80 | 0,80 | 0,80 | 0,80 |
| Gebouw3D | 0,80 | 0,80 | 0,80 | 0,80 | 0,80 |
| Gebouw3D | 0,80 | 0,80 | 0,80 | 0,80 | 0,80 |
| Gebouw3D | 0,80 | 0,80 | 0,80 | 0,80 | 0,80 |
| Gebouw3D | 0,80 | 0,80 | 0,80 | 0,80 | 0,80 |
| Gebouw3D | 0,80 | 0,80 | 0,80 | 0,80 | 0,80 |
| Gebouw3D | 0,80 | 0,80 | 0,80 | 0,80 | 0,80 |
| Gebouw3D | 0,80 | 0,80 | 0,80 | 0,80 | 0,80 |
| Gebouw3D | 0,80 | 0,80 | 0,80 | 0,80 | 0,80 |
| Gebouw3D | 0,80 | 0,80 | 0,80 | 0,80 | 0,80 |
| Gebouw3D | 0,80 | 0,80 | 0,80 | 0,80 | 0,80 |
| Gebouw3D | 0,80 | 0,80 | 0,80 | 0,80 | 0,80 |
| Gebouw3D | 0,80 | 0,80 | 0,80 | 0,80 | 0,80 |
| Gebouw3D | 0,80 | 0,80 | 0,80 | 0,80 | 0,80 |

# Invoergegevens van het model

Model: Jager
Jager - Jager
Groep: (hoofdgroep)
Lijst van Gebouwen, voor rekenmethode Wegverkeerslawaai - RMW-2012

| Groep | ItemID | Grp.ID | Datum | Naam | Omschr. | Vorm | X-1 | Y-1 | Hoogte | Rel.H | Maaiveld | Hdef. | Vormpunten |
|---|---|---|---|---|---|---|---|---|---|---|---|---|---|
| Gebouw3D | 3392 | 1 | 08:58, 20 mrt 2020 | | | Polygoon | 247077,66 | 443713,43 | 2,20 | 2,20 | 0,00 | Relatief | 4 |
| Gebouw3D | 3393 | 1 | 08:58, 20 mrt 2020 | | | Polygoon | 247076,34 | 443720,34 | 2,10 | 2,10 | 0,00 | Relatief | 4 |
| Gebouw3D | 3394 | 1 | 08:58, 20 mrt 2020 | | | Polygoon | 247029,76 | 443715,34 | 8,50 | 8,50 | 0,00 | Relatief | 8 |
| Gebouw3D | 3395 | 1 | 08:58, 20 mrt 2020 | | | Polygoon | 247043,70 | 443713,83 | 7,80 | 7,80 | 0,00 | Relatief | 9 |
| Gebouw3D | 3396 | 1 | 08:58, 20 mrt 2020 | | | Polygoon | 247088,02 | 443722,64 | 7,80 | 7,80 | 0,00 | Relatief | 8 |
| Gebouw3D | 3397 | 1 | 08:58, 20 mrt 2020 | | | Polygoon | 247024,51 | 443733,52 | 4,60 | 4,60 | 0,00 | Relatief | 24 |
| Gebouw3D | 3398 | 1 | 08:58, 20 mrt 2020 | | | Polygoon | 246991,72 | 443736,34 | 7,30 | 7,30 | 0,00 | Relatief | 13 |
| Gebouw3D | 3399 | 1 | 08:58, 20 mrt 2020 | | | Polygoon | 247078,67 | 443726,05 | 7,70 | 7,70 | 0,00 | Relatief | 6 |
| Gebouw3D | 3400 | 1 | 08:58, 20 mrt 2020 | | | Polygoon | 247001,18 | 443725,73 | 2,90 | 2,90 | 0,00 | Relatief | 4 |
| Gebouw3D | 3401 | 1 | 08:58, 20 mrt 2020 | | | Polygoon | 247026,29 | 443701,08 | 7,50 | 7,50 | 0,00 | Relatief | 6 |
| Gebouw3D | 3402 | 1 | 08:58, 20 mrt 2020 | | | Polygoon | 247003,39 | 443700,74 | 2,50 | 2,50 | 0,00 | Relatief | 8 |
| Gebouw3D | 3403 | 1 | 08:58, 20 mrt 2020 | | | Polygoon | 247008,97 | 443738,60 | 8,20 | 8,20 | 0,00 | Relatief | 10 |
| Gebouw3D | 3404 | 1 | 08:58, 20 mrt 2020 | | | Polygoon | 247059,66 | 443740,03 | 8,40 | 8,40 | 0,00 | Relatief | 20 |
| Gebouw3D | 3405 | 1 | 09:57, 20 mrt 2020 | | | Polygoon | 246989,13 | 443712,29 | 7,00 | 7,00 | 0,00 | Relatief | 6 |
| Gebouw3D | 3406 | 1 | 08:58, 20 mrt 2020 | | | Polygoon | 247024,10 | 443723,16 | 2,20 | 2,20 | 0,00 | Relatief | 6 |
| Gebouw3D | 3407 | 1 | 08:58, 20 mrt 2020 | | | Polygoon | 247077,29 | 443705,88 | 2,20 | 2,20 | 0,00 | Relatief | 5 |
| Gebouw3D | 3408 | 1 | 08:58, 20 mrt 2020 | | | Polygoon | 247013,44 | 443715,19 | 2,80 | 2,80 | 0,00 | Relatief | 4 |
| Gebouw3D | 3409 | 1 | 08:58, 20 mrt 2020 | | | Polygoon | 246999,41 | 443787,45 | 8,40 | 8,40 | 0,00 | Relatief | 9 |
| Gebouw3D | 3410 | 1 | 08:58, 20 mrt 2020 | | | Polygoon | 246999,41 | 443787,45 | 8,30 | 8,30 | 0,00 | Relatief | 12 |
| Gebouw3D | 3411 | 1 | 08:58, 20 mrt 2020 | | | Polygoon | 247007,40 | 443791,55 | 8,20 | 8,20 | 0,00 | Relatief | 13 |
| Gebouw3D | 3412 | 1 | 08:58, 20 mrt 2020 | | | Polygoon | 247066,11 | 443778,96 | 3,10 | 3,10 | 0,00 | Relatief | 8 |
| Gebouw3D | 3413 | 1 | 08:58, 20 mrt 2020 | | | Polygoon | 247032,82 | 443794,10 | 8,40 | 8,40 | 0,00 | Relatief | 11 |
| Gebouw3D | 3414 | 1 | 08:58, 20 mrt 2020 | | | Polygoon | 247041,60 | 443792,80 | 8,30 | 8,30 | 0,00 | Relatief | 11 |
| Gebouw3D | 3415 | 1 | 08:58, 20 mrt 2020 | | | Polygoon | 247056,94 | 443782,62 | 8,30 | 8,30 | 0,00 | Relatief | 12 |
| Gebouw3D | 3416 | 1 | 08:58, 20 mrt 2020 | | | Polygoon | 247067,31 | 443805,25 | 7,40 | 7,40 | 0,00 | Relatief | 23 |
| Gebouw3D | 3417 | 1 | 08:58, 20 mrt 2020 | | | Polygoon | 246992,33 | 443800,12 | 2,70 | 2,70 | 0,00 | Relatief | 5 |
| Gebouw3D | 3418 | 1 | 08:58, 20 mrt 2020 | | | Polygoon | 247076,21 | 443811,12 | 2,70 | 2,70 | 0,00 | Relatief | 4 |
| Gebouw3D | 3419 | 1 | 08:58, 20 mrt 2020 | | | Polygoon | 247054,49 | 443813,59 | 3,00 | 3,00 | 0,00 | Relatief | 12 |
| Gebouw3D | 3420 | 1 | 08:58, 20 mrt 2020 | | | Polygoon | 246992,15 | 443825,35 | 8,30 | 8,30 | 0,00 | Relatief | 11 |
| Gebouw3D | 3421 | 1 | 08:58, 20 mrt 2020 | | | Polygoon | 246992,15 | 443825,35 | 8,30 | 8,30 | 0,00 | Relatief | 15 |
| Gebouw3D | 3422 | 1 | 08:58, 20 mrt 2020 | | | Polygoon | 247073,54 | 443814,91 | 3,50 | 3,50 | 0,00 | Relatief | 4 |
| Gebouw3D | 3423 | 1 | 08:58, 20 mrt 2020 | | | Polygoon | 247001,59 | 443820,43 | 8,30 | 8,30 | 0,00 | Relatief | 12 |
| Gebouw3D | 3424 | 1 | 08:58, 20 mrt 2020 | | | Polygoon | 247008,55 | 443830,06 | 8,30 | 8,30 | 0,00 | Relatief | 10 |
| Gebouw3D | 3425 | 1 | 08:58, 20 mrt 2020 | | | Polygoon | 247018,14 | 443825,20 | 8,30 | 8,30 | 0,00 | Relatief | 9 |
| Gebouw3D | 3426 | 1 | 08:58, 20 mrt 2020 | | | Polygoon | 247034,85 | 443828,44 | 6,90 | 6,90 | 0,00 | Relatief | 12 |
| Gebouw3D | 3427 | 1 | 08:58, 20 mrt 2020 | | | Polygoon | 247025,24 | 443833,30 | 8,30 | 8,30 | 0,00 | Relatief | 8 |

# Invoergegevens van het model

Model: Jager
Jager - Jager
Groep: (hoofdgroep)
Lijst van Gebouwen, voor rekenmethode Wegverkeerslawaai - RMW-2012

| Groep | Omtrek | Oppervlak | Min.lengte | Max.lengte | Functie | BAG-id | Gemeente | Jaar | AHN-jaar | Trust | Cp | Zwevend | Refl. 63 | Refl. 125 | Refl. 250 |
|---|---|---|---|---|---|---|---|---|---|---|---|---|---|---|---|
| Gebouw3D | 10,88 | 7,35 | 2,50 | 2,94 | | | | 0 | 0 | 0 | 0 dB | False | 0,80 | 0,80 | 0,80 |
| Gebouw3D | 12,38 | 9,58 | 3,03 | 3,16 | | | | 0 | 0 | 0 | 0 dB | False | 0,80 | 0,80 | 0,80 |
| Gebouw3D | 42,70 | 97,60 | 1,09 | 8,60 | | | | 0 | 0 | 0 | 0 dB | False | 0,80 | 0,80 | 0,80 |
| Gebouw3D | 56,44 | 90,03 | 0,58 | 12,92 | | | | 0 | 0 | 0 | 0 dB | False | 0,80 | 0,80 | 0,80 |
| Gebouw3D | 35,50 | 49,21 | 0,03 | 7,55 | | | | 0 | 0 | 0 | 0 dB | False | 0,80 | 0,80 | 0,80 |
| Gebouw3D | 108,82 | 457,64 | 0,33 | 12,19 | | | | 0 | 0 | 0 | 0 dB | False | 0,80 | 0,80 | 0,80 |
| Gebouw3D | 47,89 | 84,35 | 0,76 | 8,23 | | | | 0 | 0 | 0 | 0 dB | False | 0,80 | 0,80 | 0,80 |
| Gebouw3D | 35,78 | 50,32 | 2,27 | 12,80 | | | | 0 | 0 | 0 | 0 dB | False | 0,80 | 0,80 | 0,80 |
| Gebouw3D | 32,02 | 47,45 | 3,93 | 12,08 | | | | 0 | 0 | 0 | 0 dB | False | 0,80 | 0,80 | 0,80 |
| Gebouw3D | 35,84 | 51,88 | 2,53 | 12,84 | | | | 0 | 0 | 0 | 0 dB | False | 0,80 | 0,80 | 0,80 |
| Gebouw3D | 27,15 | 32,93 | 0,22 | 9,92 | | | | 0 | 0 | 0 | 0 dB | False | 0,80 | 0,80 | 0,80 |
| Gebouw3D | 65,43 | 178,47 | 0,19 | 13,59 | | | | 0 | 0 | 0 | 0 dB | False | 0,80 | 0,80 | 0,80 |
| Gebouw3D | 44,88 | 98,25 | 0,15 | 9,36 | | | | 0 | 0 | 0 | 0 dB | False | 0,80 | 0,80 | 0,80 |
| Gebouw3D | 29,34 | 53,89 | 1,25 | 7,66 | | | | 0 | 0 | 0 | 0 dB | False | 0,80 | 0,80 | 0,80 |
| Gebouw3D | 11,60 | 8,27 | 0,25 | 3,18 | | | | 0 | 0 | 0 | 0 dB | False | 0,80 | 0,80 | 0,80 |
| Gebouw3D | 12,00 | 8,99 | 0,02 | 3,06 | | | | 0 | 0 | 0 | 0 dB | False | 0,80 | 0,80 | 0,80 |
| Gebouw3D | 22,43 | 31,29 | 5,21 | 6,00 | | | | 0 | 0 | 0 | 0 dB | False | 0,80 | 0,80 | 0,80 |
| Gebouw3D | 41,05 | 71,47 | 0,01 | 10,51 | | | | 0 | 0 | 0 | 0 dB | False | 0,80 | 0,80 | 0,80 |
| Gebouw3D | 44,19 | 95,52 | 0,06 | 10,51 | | | | 0 | 0 | 0 | 0 dB | False | 0,80 | 0,80 | 0,80 |
| Gebouw3D | 50,26 | 109,63 | 0,06 | 10,48 | | | | 0 | 0 | 0 | 0 dB | False | 0,80 | 0,80 | 0,80 |
| Gebouw3D | 46,25 | 108,29 | 1,78 | 13,18 | | | | 0 | 0 | 0 | 0 dB | False | 0,80 | 0,80 | 0,80 |
| Gebouw3D | 47,00 | 103,40 | 0,06 | 14,99 | | | | 0 | 0 | 0 | 0 dB | False | 0,80 | 0,80 | 0,80 |
| Gebouw3D | 44,46 | 79,68 | 0,06 | 10,48 | | | | 0 | 0 | 0 | 0 dB | False | 0,80 | 0,80 | 0,80 |
| Gebouw3D | 55,49 | 112,29 | 0,51 | 10,48 | | | | 0 | 0 | 0 | 0 dB | False | 0,80 | 0,80 | 0,80 |
| Gebouw3D | 97,58 | 251,03 | 0,38 | 14,75 | | | | 0 | 0 | 0 | 0 dB | False | 0,80 | 0,80 | 0,80 |
| Gebouw3D | 18,17 | 19,73 | 0,02 | 5,49 | | | | 0 | 0 | 0 | 0 dB | False | 0,80 | 0,80 | 0,80 |
| Gebouw3D | 19,29 | 21,22 | 3,40 | 6,25 | | | | 0 | 0 | 0 | 0 dB | False | 0,80 | 0,80 | 0,80 |
| Gebouw3D | 44,74 | 68,84 | 0,09 | 10,02 | | | | 0 | 0 | 0 | 0 dB | False | 0,80 | 0,80 | 0,80 |
| Gebouw3D | 39,60 | 72,10 | 0,07 | 10,50 | | | | 0 | 0 | 0 | 0 dB | False | 0,80 | 0,80 | 0,80 |
| Gebouw3D | 44,09 | 78,14 | 0,06 | 10,50 | | | | 0 | 0 | 0 | 0 dB | False | 0,80 | 0,80 | 0,80 |
| Gebouw3D | 36,57 | 75,53 | 6,31 | 11,98 | | | | 0 | 0 | 0 | 0 dB | False | 0,80 | 0,80 | 0,80 |
| Gebouw3D | 44,92 | 98,04 | 0,06 | 13,77 | | | | 0 | 0 | 0 | 0 dB | False | 0,80 | 0,80 | 0,80 |
| Gebouw3D | 46,50 | 90,59 | 0,10 | 13,77 | | | | 0 | 0 | 0 | 0 dB | False | 0,80 | 0,80 | 0,80 |
| Gebouw3D | 44,23 | 96,28 | 0,07 | 13,28 | | | | 0 | 0 | 0 | 0 dB | False | 0,80 | 0,80 | 0,80 |
| Gebouw3D | 61,70 | 147,71 | 0,05 | 11,08 | | | | 0 | 0 | 0 | 0 dB | False | 0,80 | 0,80 | 0,80 |
| Gebouw3D | 44,35 | 94,69 | 0,34 | 13,28 | | | | 0 | 0 | 0 | 0 dB | False | 0,80 | 0,80 | 0,80 |

Model: Jager
Jager - Jager
Groep: (hoofdgroep)
Lijst van Gebouwen, voor rekenmethode Wegverkeerslawaai - RMW-2012

| Groep | Refl. 500 | Refl. 1k | Refl. 2k | Refl. 4k | Refl. 8k |
|---|---|---|---|---|---|
| Gebouw3D | 0,80 | 0,80 | 0,80 | 0,80 | 0,80 |
| Gebouw3D | 0,80 | 0,80 | 0,80 | 0,80 | 0,80 |
| Gebouw3D | 0,80 | 0,80 | 0,80 | 0,80 | 0,80 |
| Gebouw3D | 0,80 | 0,80 | 0,80 | 0,80 | 0,80 |
| Gebouw3D | 0,80 | 0,80 | 0,80 | 0,80 | 0,80 |
| Gebouw3D | 0,80 | 0,80 | 0,80 | 0,80 | 0,80 |
| Gebouw3D | 0,80 | 0,80 | 0,80 | 0,80 | 0,80 |
| Gebouw3D | 0,80 | 0,80 | 0,80 | 0,80 | 0,80 |
| Gebouw3D | 0,80 | 0,80 | 0,80 | 0,80 | 0,80 |
| Gebouw3D | 0,80 | 0,80 | 0,80 | 0,80 | 0,80 |
| Gebouw3D | 0,80 | 0,80 | 0,80 | 0,80 | 0,80 |
| Gebouw3D | 0,80 | 0,80 | 0,80 | 0,80 | 0,80 |
| Gebouw3D | 0,80 | 0,80 | 0,80 | 0,80 | 0,80 |
| Gebouw3D | 0,80 | 0,80 | 0,80 | 0,80 | 0,80 |
| Gebouw3D | 0,80 | 0,80 | 0,80 | 0,80 | 0,80 |
| Gebouw3D | 0,80 | 0,80 | 0,80 | 0,80 | 0,80 |
| Gebouw3D | 0,80 | 0,80 | 0,80 | 0,80 | 0,80 |
| Gebouw3D | 0,80 | 0,80 | 0,80 | 0,80 | 0,80 |
| Gebouw3D | 0,80 | 0,80 | 0,80 | 0,80 | 0,80 |
| Gebouw3D | 0,80 | 0,80 | 0,80 | 0,80 | 0,80 |
| Gebouw3D | 0,80 | 0,80 | 0,80 | 0,80 | 0,80 |
| Gebouw3D | 0,80 | 0,80 | 0,80 | 0,80 | 0,80 |
| Gebouw3D | 0,80 | 0,80 | 0,80 | 0,80 | 0,80 |
| Gebouw3D | 0,80 | 0,80 | 0,80 | 0,80 | 0,80 |
| Gebouw3D | 0,80 | 0,80 | 0,80 | 0,80 | 0,80 |
| Gebouw3D | 0,80 | 0,80 | 0,80 | 0,80 | 0,80 |
| Gebouw3D | 0,80 | 0,80 | 0,80 | 0,80 | 0,80 |
| Gebouw3D | 0,80 | 0,80 | 0,80 | 0,80 | 0,80 |
| Gebouw3D | 0,80 | 0,80 | 0,80 | 0,80 | 0,80 |
| Gebouw3D | 0,80 | 0,80 | 0,80 | 0,80 | 0,80 |
| Gebouw3D | 0,80 | 0,80 | 0,80 | 0,80 | 0,80 |
| Gebouw3D | 0,80 | 0,80 | 0,80 | 0,80 | 0,80 |

Model: Jager
Jager - Jager
Groep: (hoofdgroep)
Lijst van Gebouwen, voor rekenmethode Wegverkeerslawaai - RMW-2012

| Groep | ItemID | Grp.ID | Datum | Naam | Omschr. | Vorm | X-1 | Y-1 | Hoogte | Rel.H | Maaiveld | Hdef. | Vormpunten |
|---|---|---|---|---|---|---|---|---|---|---|---|---|---|
| Gebouw3D | 3428 | 1 | 08:58, 20 mrt 2020 | | | Polygoon | 247068,07 | 443844,26 | 7,60 | 7,60 | 0,00 | Relatief | 8 |
| Gebouw3D | 3429 | 1 | 08:58, 20 mrt 2020 | | | Polygoon | 246978,84 | 443852,34 | 6,20 | 6,20 | 0,00 | Relatief | 11 |
| Gebouw3D | 3430 | 1 | 08:58, 20 mrt 2020 | | | Polygoon | 247000,32 | 443860,90 | 3,70 | 3,70 | 0,00 | Relatief | 4 |
| Gebouw3D | 3431 | 1 | 08:58, 20 mrt 2020 | | | Polygoon | 247012,00 | 443853,52 | 2,80 | 2,80 | 0,00 | Relatief | 4 |
| Gebouw3D | 3432 | 1 | 08:58, 20 mrt 2020 | | | Polygoon | 247030,48 | 443857,41 | 7,40 | 7,40 | 0,00 | Relatief | 8 |
| Gebouw3D | 3433 | 1 | 08:58, 20 mrt 2020 | | | Polygoon | 246978,84 | 443852,34 | 6,20 | 6,20 | 0,00 | Relatief | 7 |
| Gebouw3D | 3434 | 1 | 08:58, 20 mrt 2020 | | | Polygoon | 247010,05 | 443857,36 | 2,60 | 2,60 | 0,00 | Relatief | 4 |
| Gebouw3D | 3435 | 1 | 08:58, 20 mrt 2020 | | | Polygoon | 247024,36 | 443793,68 | 8,30 | 8,30 | 0,00 | Relatief | 12 |
| Gebouw3D | 3436 | 1 | 08:58, 20 mrt 2020 | | | Polygoon | 247067,31 | 443805,25 | 2,80 | 2,80 | 0,00 | Relatief | 4 |
| Gebouw3D | 3437 | 1 | 08:58, 20 mrt 2020 | | | Polygoon | 247054,49 | 443813,59 | 2,50 | 2,50 | 0,00 | Relatief | 6 |
| Gebouw3D | 3438 | 1 | 08:58, 20 mrt 2020 | | | Polygoon | 246992,33 | 443800,12 | 2,60 | 2,60 | 0,00 | Relatief | 4 |
| Gebouw3D | 3439 | 1 | 08:58, 20 mrt 2020 | | | Polygoon | 247024,36 | 443793,68 | 8,20 | 8,20 | 0,00 | Relatief | 10 |
| Gebouw3D | 3482 | 1 | 08:58, 20 mrt 2020 | | | Polygoon | 246848,71 | 443821,32 | 2,80 | 2,80 | 0,00 | Relatief | 10 |
| Gebouw3D | 3483 | 1 | 08:58, 20 mrt 2020 | | | Polygoon | 246839,19 | 443789,42 | 8,50 | 8,50 | 0,00 | Relatief | 12 |
| Gebouw3D | 3484 | 1 | 08:58, 20 mrt 2020 | | | Polygoon | 246854,13 | 443852,41 | 7,40 | 7,40 | 0,00 | Relatief | 7 |
| Gebouw3D | 3485 | 1 | 08:58, 20 mrt 2020 | | | Polygoon | 246853,73 | 443789,04 | 8,40 | 8,40 | 0,00 | Relatief | 21 |
| Gebouw3D | 3486 | 1 | 08:58, 20 mrt 2020 | | | Polygoon | 246848,71 | 443821,32 | 3,50 | 3,50 | 0,00 | Relatief | 8 |
| Gebouw3D | 3487 | 1 | 08:58, 20 mrt 2020 | | | Polygoon | 246853,73 | 443789,04 | 8,30 | 8,30 | 0,00 | Relatief | 18 |
| Gebouw3D | 3488 | 1 | 08:58, 20 mrt 2020 | | | Polygoon | 246864,21 | 443871,42 | 7,80 | 7,80 | 0,00 | Relatief | 8 |
| Gebouw3D | 3489 | 1 | 08:58, 20 mrt 2020 | | | Polygoon | 246856,62 | 443821,44 | 3,40 | 3,40 | 0,00 | Relatief | 4 |
| Gebouw3D | 3490 | 1 | 08:58, 20 mrt 2020 | | | Polygoon | 246868,90 | 443787,42 | 9,10 | 9,10 | 0,00 | Relatief | 8 |
| Gebouw3D | 3491 | 1 | 08:58, 20 mrt 2020 | | | Polygoon | 246864,21 | 443871,42 | 7,60 | 7,60 | 0,00 | Relatief | 9 |
| Gebouw3D | 3492 | 1 | 08:58, 20 mrt 2020 | | | Polygoon | 246868,90 | 443787,42 | 9,10 | 9,10 | 0,00 | Relatief | 8 |
| Gebouw3D | 3493 | 1 | 08:58, 20 mrt 2020 | | | Polygoon | 246882,07 | 443800,90 | 3,20 | 3,20 | 0,00 | Relatief | 4 |
| Gebouw3D | 3494 | 1 | 08:58, 20 mrt 2020 | | | Polygoon | 246888,18 | 443841,38 | 7,90 | 7,90 | 0,00 | Relatief | 8 |
| Gebouw3D | 3495 | 1 | 08:58, 20 mrt 2020 | | | Polygoon | 246879,95 | 443851,50 | 4,70 | 4,70 | 0,00 | Relatief | 4 |
| Gebouw3D | 3496 | 1 | 08:58, 20 mrt 2020 | | | Polygoon | 246883,44 | 443786,35 | 9,20 | 9,20 | 0,00 | Relatief | 11 |
| Gebouw3D | 3497 | 1 | 08:58, 20 mrt 2020 | | | Polygoon | 246889,82 | 443865,00 | 5,80 | 5,80 | 0,00 | Relatief | 12 |
| Gebouw3D | 3498 | 1 | 08:58, 20 mrt 2020 | | | Polygoon | 246900,98 | 443819,27 | 7,70 | 7,70 | 0,00 | Relatief | 10 |
| Gebouw3D | 3499 | 1 | 08:58, 20 mrt 2020 | | | Polygoon | 246894,76 | 443859,61 | 8,20 | 8,20 | 0,00 | Relatief | 9 |
| Gebouw3D | 3500 | 1 | 08:58, 20 mrt 2020 | | | Polygoon | 246894,68 | 443857,37 | 2,70 | 2,70 | 0,00 | Relatief | 4 |
| Gebouw3D | 3501 | 1 | 08:58, 20 mrt 2020 | | | Polygoon | 246899,66 | 443864,91 | 8,10 | 8,10 | 0,00 | Relatief | 6 |
| Gebouw3D | 3502 | 1 | 08:58, 20 mrt 2020 | | | Polygoon | 246897,95 | 443846,17 | 2,90 | 2,90 | 0,00 | Relatief | 4 |
| Gebouw3D | 3503 | 1 | 08:58, 20 mrt 2020 | | | Polygoon | 246888,18 | 443841,38 | 7,90 | 7,90 | 0,00 | Relatief | 8 |
| Gebouw3D | 3504 | 1 | 08:58, 20 mrt 2020 | | | Polygoon | 246871,38 | 443821,17 | 2,90 | 2,90 | 0,00 | Relatief | 8 |
| Gebouw3D | 3505 | 1 | 08:58, 20 mrt 2020 | | | Polygoon | 246891,98 | 443794,35 | 8,50 | 8,50 | 0,00 | Relatief | 13 |

# Invoergegevens van het model

Model: Jager
Jager - Jager
Groep: (hoofdgroep)
Lijst van Gebouwen, voor rekenmethode Wegverkeerslawaai - RMW-2012

| Groep | Omtrek | Oppervlak | Min.lengte | Max.lengte | Functie | BAG-id | Gemeente | Jaar | AHN-jaar | Trust | Cp | Zwevend | Refl. 63 | Refl. 125 | Refl. 250 |
|---|---|---|---|---|---|---|---|---|---|---|---|---|---|---|---|
| Gebouw3D | 38,29 | 73,09 | 1,19 | 8,82 | | | | 0 | 0 | 0 | 0 dB | False | 0,80 | 0,80 | 0,80 |
| Gebouw3D | 52,40 | 109,91 | 1,95 | 6,54 | | | | 0 | 0 | 0 | 0 dB | False | 0,80 | 0,80 | 0,80 |
| Gebouw3D | 35,82 | 68,57 | 5,54 | 12,37 | | | | 0 | 0 | 0 | 0 dB | False | 0,80 | 0,80 | 0,80 |
| Gebouw3D | 19,55 | 22,84 | 3,77 | 5,93 | | | | 0 | 0 | 0 | 0 dB | False | 0,80 | 0,80 | 0,80 |
| Gebouw3D | 37,22 | 72,45 | 0,22 | 7,81 | | | | 0 | 0 | 0 | 0 dB | False | 0,80 | 0,80 | 0,80 |
| Gebouw3D | 33,89 | 57,53 | 3,17 | 6,84 | | | | 0 | 0 | 0 | 0 dB | False | 0,80 | 0,80 | 0,80 |
| Gebouw3D | 16,30 | 15,96 | 3,27 | 4,88 | | | | 0 | 0 | 0 | 0 dB | False | 0,80 | 0,80 | 0,80 |
| Gebouw3D | 48,33 | 113,08 | 0,05 | 14,99 | | | | 0 | 0 | 0 | 0 dB | False | 0,80 | 0,80 | 0,80 |
| Gebouw3D | 25,00 | 37,68 | 5,05 | 7,46 | | | | 0 | 0 | 0 | 0 dB | False | 0,80 | 0,80 | 0,80 |
| Gebouw3D | 21,54 | 20,61 | 0,09 | 8,18 | | | | 0 | 0 | 0 | 0 dB | False | 0,80 | 0,80 | 0,80 |
| Gebouw3D | 18,78 | 21,41 | 3,90 | 5,49 | | | | 0 | 0 | 0 | 0 dB | False | 0,80 | 0,80 | 0,80 |
| Gebouw3D | 48,23 | 95,16 | 0,06 | 10,48 | | | | 0 | 0 | 0 | 0 dB | False | 0,80 | 0,80 | 0,80 |
| Gebouw3D | 51,17 | 68,49 | 0,82 | 13,10 | | | | 0 | 0 | 0 | 0 dB | False | 0,80 | 0,80 | 0,80 |
| Gebouw3D | 40,86 | 98,44 | 1,04 | 9,74 | | | | 0 | 0 | 0 | 0 dB | False | 0,80 | 0,80 | 0,80 |
| Gebouw3D | 48,60 | 115,28 | 2,76 | 11,08 | | | | 0 | 0 | 0 | 0 dB | False | 0,80 | 0,80 | 0,80 |
| Gebouw3D | 55,65 | 89,82 | 0,27 | 13,48 | | | | 0 | 0 | 0 | 0 dB | False | 0,80 | 0,80 | 0,80 |
| Gebouw3D | 27,20 | 27,05 | 0,82 | 7,91 | | | | 0 | 0 | 0 | 0 dB | False | 0,80 | 0,80 | 0,80 |
| Gebouw3D | 52,68 | 79,72 | 0,55 | 13,48 | | | | 0 | 0 | 0 | 0 dB | False | 0,80 | 0,80 | 0,80 |
| Gebouw3D | 44,04 | 83,34 | 2,40 | 10,35 | | | | 0 | 0 | 0 | 0 dB | False | 0,80 | 0,80 | 0,80 |
| Gebouw3D | 10,37 | 6,21 | 1,87 | 3,32 | | | | 0 | 0 | 0 | 0 dB | False | 0,80 | 0,80 | 0,80 |
| Gebouw3D | 35,05 | 62,41 | 1,29 | 9,53 | | | | 0 | 0 | 0 | 0 dB | False | 0,80 | 0,80 | 0,80 |
| Gebouw3D | 44,09 | 96,87 | 0,04 | 10,35 | | | | 0 | 0 | 0 | 0 dB | False | 0,80 | 0,80 | 0,80 |
| Gebouw3D | 35,09 | 62,43 | 1,28 | 9,47 | | | | 0 | 0 | 0 | 0 dB | False | 0,80 | 0,80 | 0,80 |
| Gebouw3D | 22,16 | 25,82 | 3,33 | 7,75 | | | | 0 | 0 | 0 | 0 dB | False | 0,80 | 0,80 | 0,80 |
| Gebouw3D | 44,00 | 88,19 | 2,39 | 10,28 | | | | 0 | 0 | 0 | 0 dB | False | 0,80 | 0,80 | 0,80 |
| Gebouw3D | 25,62 | 33,67 | 3,69 | 9,14 | | | | 0 | 0 | 0 | 0 dB | False | 0,80 | 0,80 | 0,80 |
| Gebouw3D | 40,69 | 75,39 | 0,80 | 8,75 | | | | 0 | 0 | 0 | 0 dB | False | 0,80 | 0,80 | 0,80 |
| Gebouw3D | 39,46 | 60,59 | 0,02 | 8,97 | | | | 0 | 0 | 0 | 0 dB | False | 0,80 | 0,80 | 0,80 |
| Gebouw3D | 49,29 | 116,52 | 1,84 | 10,05 | | | | 0 | 0 | 0 | 0 dB | False | 0,80 | 0,80 | 0,80 |
| Gebouw3D | 40,31 | 57,27 | 0,02 | 13,65 | | | | 0 | 0 | 0 | 0 dB | False | 0,80 | 0,80 | 0,80 |
| Gebouw3D | 16,66 | 13,93 | 2,32 | 6,01 | | | | 0 | 0 | 0 | 0 dB | False | 0,80 | 0,80 | 0,80 |
| Gebouw3D | 37,06 | 52,94 | 2,28 | 13,65 | | | | 0 | 0 | 0 | 0 dB | False | 0,80 | 0,80 | 0,80 |
| Gebouw3D | 14,57 | 13,26 | 3,63 | 3,65 | | | | 0 | 0 | 0 | 0 dB | False | 0,80 | 0,80 | 0,80 |
| Gebouw3D | 43,87 | 82,72 | 2,41 | 10,28 | | | | 0 | 0 | 0 | 0 dB | False | 0,80 | 0,80 | 0,80 |
| Gebouw3D | 28,91 | 39,40 | 0,46 | 7,90 | | | | 0 | 0 | 0 | 0 dB | False | 0,80 | 0,80 | 0,80 |
| Gebouw3D | 66,26 | 136,24 | 0,69 | 14,31 | | | | 0 | 0 | 0 | 0 dB | False | 0,80 | 0,80 | 0,80 |

Model: Jager
Jager - Jager
Groep: (hoofdgroep)
Lijst van Gebouwen, voor rekenmethode Wegverkeerslawaai - RMW-2012

| Groep | Refl. 500 | Refl. 1k | Refl. 2k | Refl. 4k | Refl. 8k |
|---|---|---|---|---|---|
| Gebouw3D | 0,80 | 0,80 | 0,80 | 0,80 | 0,80 |
| Gebouw3D | 0,80 | 0,80 | 0,80 | 0,80 | 0,80 |
| Gebouw3D | 0,80 | 0,80 | 0,80 | 0,80 | 0,80 |
| Gebouw3D | 0,80 | 0,80 | 0,80 | 0,80 | 0,80 |
| Gebouw3D | 0,80 | 0,80 | 0,80 | 0,80 | 0,80 |
| Gebouw3D | 0,80 | 0,80 | 0,80 | 0,80 | 0,80 |
| Gebouw3D | 0,80 | 0,80 | 0,80 | 0,80 | 0,80 |
| Gebouw3D | 0,80 | 0,80 | 0,80 | 0,80 | 0,80 |
| Gebouw3D | 0,80 | 0,80 | 0,80 | 0,80 | 0,80 |
| Gebouw3D | 0,80 | 0,80 | 0,80 | 0,80 | 0,80 |
| Gebouw3D | 0,80 | 0,80 | 0,80 | 0,80 | 0,80 |
| Gebouw3D | 0,80 | 0,80 | 0,80 | 0,80 | 0,80 |
| Gebouw3D | 0,80 | 0,80 | 0,80 | 0,80 | 0,80 |
| Gebouw3D | 0,80 | 0,80 | 0,80 | 0,80 | 0,80 |
| Gebouw3D | 0,80 | 0,80 | 0,80 | 0,80 | 0,80 |
| Gebouw3D | 0,80 | 0,80 | 0,80 | 0,80 | 0,80 |
| Gebouw3D | 0,80 | 0,80 | 0,80 | 0,80 | 0,80 |
| Gebouw3D | 0,80 | 0,80 | 0,80 | 0,80 | 0,80 |
| Gebouw3D | 0,80 | 0,80 | 0,80 | 0,80 | 0,80 |
| Gebouw3D | 0,80 | 0,80 | 0,80 | 0,80 | 0,80 |
| Gebouw3D | 0,80 | 0,80 | 0,80 | 0,80 | 0,80 |
| Gebouw3D | 0,80 | 0,80 | 0,80 | 0,80 | 0,80 |
| Gebouw3D | 0,80 | 0,80 | 0,80 | 0,80 | 0,80 |
| Gebouw3D | 0,80 | 0,80 | 0,80 | 0,80 | 0,80 |
| Gebouw3D | 0,80 | 0,80 | 0,80 | 0,80 | 0,80 |
| Gebouw3D | 0,80 | 0,80 | 0,80 | 0,80 | 0,80 |
| Gebouw3D | 0,80 | 0,80 | 0,80 | 0,80 | 0,80 |
| Gebouw3D | 0,80 | 0,80 | 0,80 | 0,80 | 0,80 |
| Gebouw3D | 0,80 | 0,80 | 0,80 | 0,80 | 0,80 |
| Gebouw3D | 0,80 | 0,80 | 0,80 | 0,80 | 0,80 |
| Gebouw3D | 0,80 | 0,80 | 0,80 | 0,80 | 0,80 |
| Gebouw3D | 0,80 | 0,80 | 0,80 | 0,80 | 0,80 |

# Invoergegevens van het model

Model: Jager
Jager - Jager
Groep: (hoofdgroep)
Lijst van Gebouwen, voor rekenmethode Wegverkeerslawaai - RMW-2012

| Groep | ItemID | Grp.ID | Datum | Naam | Omschr. | Vorm | X-1 | Y-1 | Hoogte | Rel.H | Maaiveld | Hdef. | Vormpunten |
|---|---|---|---|---|---|---|---|---|---|---|---|---|---|
| Gebouw3D | 3550 | 1 | 08:58, 20 mrt 2020 | | | Polygoon | 246757,65 | 443744,78 | 6,20 | 6,20 | 0,00 | Relatief | 10 |
| Gebouw3D | 3551 | 1 | 08:58, 20 mrt 2020 | | | Polygoon | 246829,65 | 443791,26 | 6,20 | 6,20 | 0,00 | Relatief | 4 |
| Gebouw3D | 3552 | 1 | 08:58, 20 mrt 2020 | | | Polygoon | 246780,49 | 443800,14 | 7,00 | 7,00 | 0,00 | Relatief | 10 |
| Gebouw3D | 3553 | 1 | 08:58, 20 mrt 2020 | | | Polygoon | 246764,98 | 443796,52 | 7,20 | 7,20 | 0,00 | Relatief | 14 |
| Gebouw3D | 3554 | 1 | 08:58, 20 mrt 2020 | | | Polygoon | 246732,90 | 443848,32 | 7,80 | 7,80 | 0,00 | Relatief | 6 |
| Gebouw3D | 3555 | 1 | 08:58, 20 mrt 2020 | | | Polygoon | 246732,90 | 443848,32 | 7,40 | 7,40 | 0,00 | Relatief | 12 |
| Gebouw3D | 3556 | 1 | 08:58, 20 mrt 2020 | | | Polygoon | 246744,45 | 443854,79 | 7,40 | 7,40 | 0,00 | Relatief | 13 |
| Gebouw3D | 3557 | 1 | 08:58, 20 mrt 2020 | | | Polygoon | 246704,32 | 443860,20 | 5,30 | 5,30 | 0,00 | Relatief | 30 |
| Gebouw3D | 3558 | 1 | 08:58, 20 mrt 2020 | | | Polygoon | 246725,44 | 443843,53 | 3,20 | 3,20 | 0,00 | Relatief | 8 |
| Gebouw3D | 3559 | 1 | 08:58, 20 mrt 2020 | | | Polygoon | 246826,16 | 443852,66 | 5,20 | 5,20 | 0,00 | Relatief | 4 |
| Gebouw3D | 3560 | 1 | 08:58, 20 mrt 2020 | | | Polygoon | 246836,91 | 443853,27 | 3,80 | 3,80 | 0,00 | Relatief | 4 |
| Gebouw3D | 3561 | 1 | 08:58, 20 mrt 2020 | | | Polygoon | 246759,02 | 443869,65 | 6,00 | 6,00 | 0,00 | Relatief | 8 |
| Gebouw3D | 3562 | 1 | 08:58, 20 mrt 2020 | | | Polygoon | 246787,76 | 443858,87 | 7,00 | 7,00 | 0,00 | Relatief | 11 |
| Gebouw3D | 3563 | 1 | 08:58, 20 mrt 2020 | | | Polygoon | 246787,76 | 443858,87 | 6,80 | 6,80 | 0,00 | Relatief | 11 |
| Gebouw3D | 3564 | 1 | 08:58, 20 mrt 2020 | | | Polygoon | 246645,14 | 443861,51 | 6,60 | 6,60 | 0,00 | Relatief | 10 |
| Gebouw3D | 3565 | 1 | 08:58, 20 mrt 2020 | | | Polygoon | 246717,20 | 443863,02 | 0,20 | 0,20 | 0,00 | Relatief | 4 |
| Gebouw3D | 3566 | 1 | 08:58, 20 mrt 2020 | | | Polygoon | 246814,42 | 443866,01 | 2,70 | 2,70 | 0,00 | Relatief | 4 |
| Gebouw3D | 3567 | 1 | 08:58, 20 mrt 2020 | | | Polygoon | 246814,42 | 443866,01 | 5,40 | 5,40 | 0,00 | Relatief | 4 |
| Gebouw3D | 3568 | 1 | 08:58, 20 mrt 2020 | | | Polygoon | 246822,13 | 443874,50 | 7,10 | 7,10 | 0,00 | Relatief | 8 |
| Gebouw3D | 3569 | 1 | 08:58, 20 mrt 2020 | | | Polygoon | 246757,12 | 443878,47 | 6,20 | 6,20 | 0,00 | Relatief | 8 |
| Gebouw3D | 3570 | 1 | 08:58, 20 mrt 2020 | | | Polygoon | 246793,84 | 443873,55 | 8,30 | 8,30 | 0,00 | Relatief | 10 |
| Gebouw3D | 3571 | 1 | 08:58, 20 mrt 2020 | | | Polygoon | 246739,71 | 443870,18 | 2,70 | 2,70 | 0,00 | Relatief | 4 |
| Gebouw3D | 3572 | 1 | 08:58, 20 mrt 2020 | | | Polygoon | 246745,27 | 443872,09 | 2,90 | 2,90 | 0,00 | Relatief | 4 |
| Gebouw3D | 3573 | 1 | 08:58, 20 mrt 2020 | | | Polygoon | 246757,12 | 443878,47 | 6,40 | 6,40 | 0,00 | Relatief | 12 |
| Gebouw3D | 3574 | 1 | 08:58, 20 mrt 2020 | | | Polygoon | 246754,58 | 443887,52 | 4,00 | 4,00 | 0,00 | Relatief | 4 |
| Gebouw3D | 3575 | 1 | 08:58, 20 mrt 2020 | | | Polygoon | 246767,81 | 443889,60 | 9,00 | 9,00 | 0,00 | Relatief | 8 |
| Gebouw3D | 3576 | 1 | 08:58, 20 mrt 2020 | | | Polygoon | 246843,50 | 443892,20 | 6,20 | 6,20 | 0,00 | Relatief | 6 |
| Gebouw3D | 3577 | 1 | 08:58, 20 mrt 2020 | | | Polygoon | 246837,49 | 443889,89 | 6,40 | 6,40 | 0,00 | Relatief | 6 |
| Gebouw3D | 3578 | 1 | 08:58, 20 mrt 2020 | | | Polygoon | 246754,58 | 443887,52 | 3,80 | 3,80 | 0,00 | Relatief | 4 |
| Gebouw3D | 3579 | 1 | 08:58, 20 mrt 2020 | | | Polygoon | 246744,45 | 443854,79 | 7,40 | 7,40 | 0,00 | Relatief | 9 |
| Gebouw3D | 3580 | 1 | 08:58, 20 mrt 2020 | | | Polygoon | 246838,59 | 443840,79 | 0,10 | 0,10 | 0,00 | Relatief | 4 |
| Gebouw3D | 3581 | 1 | 08:58, 20 mrt 2020 | | | Polygoon | 246833,27 | 443840,85 | 0,10 | 0,10 | 0,00 | Relatief | 4 |
| Gebouw3D | 3582 | 1 | 08:58, 20 mrt 2020 | | | Polygoon | 246827,24 | 443840,86 | 0,20 | 0,20 | 0,00 | Relatief | 4 |
| Gebouw3D | 3583 | 1 | 08:58, 20 mrt 2020 | | | Polygoon | 246821,26 | 443840,92 | 0,10 | 0,10 | 0,00 | Relatief | 4 |
| Gebouw3D | 3647 | 1 | 08:58, 20 mrt 2020 | | | Polygoon | 247008,40 | 443860,80 | 3,80 | 3,80 | 0,00 | Relatief | 4 |
| Gebouw3D | 3648 | 1 | 08:58, 20 mrt 2020 | | | Polygoon | 247065,36 | 443871,10 | 6,70 | 6,70 | 0,00 | Relatief | 6 |

# Invoergegevens van het model

Model: Jager
Jager - Jager
Groep: (hoofdgroep)
Lijst van Gebouwen, voor rekenmethode Wegverkeerslawaai - RMW-2012

| Groep | Omtrek | Oppervlak | Min.lengte | Max.lengte | Functie | BAG-id | Gemeente | Jaar | AHN-jaar | Trust | Cp | Zwevend | Refl. 63 | Refl. 125 | Refl. 250 |
|---|---|---|---|---|---|---|---|---|---|---|---|---|---|---|---|
| Gebouw3D | 30,76 | 54,49 | 0,23 | 6,83 | | | | 0 | 0 | 0 | 0 dB | False | 0,80 | 0,80 | 0,80 |
| Gebouw3D | 49,86 | 133,32 | 7,77 | 17,16 | | | | 0 | 0 | 0 | 0 dB | False | 0,80 | 0,80 | 0,80 |
| Gebouw3D | 47,50 | 98,62 | 1,09 | 7,46 | | | | 0 | 0 | 0 | 0 dB | False | 0,80 | 0,80 | 0,80 |
| Gebouw3D | 44,66 | 99,97 | 0,49 | 10,17 | | | | 0 | 0 | 0 | 0 dB | False | 0,80 | 0,80 | 0,80 |
| Gebouw3D | 39,08 | 52,32 | 0,32 | 13,81 | | | | 0 | 0 | 0 | 0 dB | False | 0,80 | 0,80 | 0,80 |
| Gebouw3D | 65,05 | 131,26 | 0,36 | 18,10 | | | | 0 | 0 | 0 | 0 dB | False | 0,80 | 0,80 | 0,80 |
| Gebouw3D | 46,26 | 82,01 | 0,14 | 9,96 | | | | 0 | 0 | 0 | 0 dB | False | 0,80 | 0,80 | 0,80 |
| Gebouw3D | 216,56 | 1220,66 | 0,18 | 23,84 | | | | 0 | 0 | 0 | 0 dB | False | 0,80 | 0,80 | 0,80 |
| Gebouw3D | 23,02 | 30,94 | 0,95 | 6,03 | | | | 0 | 0 | 0 | 0 dB | False | 0,80 | 0,80 | 0,80 |
| Gebouw3D | 30,33 | 55,33 | 6,04 | 9,15 | | | | 0 | 0 | 0 | 0 dB | False | 0,80 | 0,80 | 0,80 |
| Gebouw3D | 32,15 | 50,25 | 4,24 | 11,91 | | | | 0 | 0 | 0 | 0 dB | False | 0,80 | 0,80 | 0,80 |
| Gebouw3D | 44,49 | 87,27 | 2,77 | 10,11 | | | | 0 | 0 | 0 | 0 dB | False | 0,80 | 0,80 | 0,80 |
| Gebouw3D | 54,04 | 100,37 | 0,13 | 21,23 | | | | 0 | 0 | 0 | 0 dB | False | 0,80 | 0,80 | 0,80 |
| Gebouw3D | 50,81 | 84,77 | 0,48 | 19,02 | | | | 0 | 0 | 0 | 0 dB | False | 0,80 | 0,80 | 0,80 |
| Gebouw3D | 52,11 | 120,37 | 1,35 | 11,23 | | | | 0 | 0 | 0 | 0 dB | False | 0,80 | 0,80 | 0,80 |
| Gebouw3D | 14,93 | 12,00 | 2,34 | 5,12 | | | | 0 | 0 | 0 | 0 dB | False | 0,80 | 0,80 | 0,80 |
| Gebouw3D | 19,53 | 23,83 | 4,75 | 5,00 | | | | 0 | 0 | 0 | 0 dB | False | 0,80 | 0,80 | 0,80 |
| Gebouw3D | 28,40 | 46,00 | 5,00 | 9,21 | | | | 0 | 0 | 0 | 0 dB | False | 0,80 | 0,80 | 0,80 |
| Gebouw3D | 47,91 | 112,29 | 0,16 | 12,02 | | | | 0 | 0 | 0 | 0 dB | False | 0,80 | 0,80 | 0,80 |
| Gebouw3D | 43,88 | 70,18 | 0,30 | 16,03 | | | | 0 | 0 | 0 | 0 dB | False | 0,80 | 0,80 | 0,80 |
| Gebouw3D | 54,55 | 122,63 | 1,24 | 14,38 | | | | 0 | 0 | 0 | 0 dB | False | 0,80 | 0,80 | 0,80 |
| Gebouw3D | 21,05 | 27,55 | 4,88 | 5,64 | | | | 0 | 0 | 0 | 0 dB | False | 0,80 | 0,80 | 0,80 |
| Gebouw3D | 16,15 | 15,57 | 3,19 | 4,89 | | | | 0 | 0 | 0 | 0 dB | False | 0,80 | 0,80 | 0,80 |
| Gebouw3D | 48,54 | 72,15 | 0,16 | 16,03 | | | | 0 | 0 | 0 | 0 dB | False | 0,80 | 0,80 | 0,80 |
| Gebouw3D | 19,50 | 22,77 | 3,89 | 5,93 | | | | 0 | 0 | 0 | 0 dB | False | 0,80 | 0,80 | 0,80 |
| Gebouw3D | 37,32 | 65,19 | 1,32 | 8,62 | | | | 0 | 0 | 0 | 0 dB | False | 0,80 | 0,80 | 0,80 |
| Gebouw3D | 32,74 | 58,33 | 1,60 | 10,40 | | | | 0 | 0 | 0 | 0 dB | False | 0,80 | 0,80 | 0,80 |
| Gebouw3D | 33,35 | 61,48 | 1,60 | 10,40 | | | | 0 | 0 | 0 | 0 dB | False | 0,80 | 0,80 | 0,80 |
| Gebouw3D | 13,84 | 11,79 | 2,97 | 3,89 | | | | 0 | 0 | 0 | 0 dB | False | 0,80 | 0,80 | 0,80 |
| Gebouw3D | 48,61 | 92,02 | 1,06 | 9,96 | | | | 0 | 0 | 0 | 0 dB | False | 0,80 | 0,80 | 0,80 |
| Gebouw3D | 29,66 | 50,64 | 5,33 | 9,50 | | | | 0 | 0 | 0 | 0 dB | False | 0,80 | 0,80 | 0,80 |
| Gebouw3D | 31,00 | 57,05 | 6,01 | 9,50 | | | | 0 | 0 | 0 | 0 dB | False | 0,80 | 0,80 | 0,80 |
| Gebouw3D | 30,95 | 56,85 | 5,99 | 9,48 | | | | 0 | 0 | 0 | 0 dB | False | 0,80 | 0,80 | 0,80 |
| Gebouw3D | 30,95 | 56,80 | 5,99 | 9,50 | | | | 0 | 0 | 0 | 0 dB | False | 0,80 | 0,80 | 0,80 |
| Gebouw3D | 25,73 | 33,31 | 3,59 | 9,27 | | | | 0 | 0 | 0 | 0 dB | False | 0,80 | 0,80 | 0,80 |
| Gebouw3D | 40,05 | 64,08 | 2,77 | 14,36 | | | | 0 | 0 | 0 | 0 dB | False | 0,80 | 0,80 | 0,80 |

Model: Jager
Jager - Jager
Groep: (hoofdgroep)
Lijst van Gebouwen, voor rekenmethode Wegverkeerslawaai - RMW-2012

| Groep | Refl. 500 | Refl. 1k | Refl. 2k | Refl. 4k | Refl. 8k |
|---|---|---|---|---|---|
| Gebouw3D | 0,80 | 0,80 | 0,80 | 0,80 | 0,80 |
| Gebouw3D | 0,80 | 0,80 | 0,80 | 0,80 | 0,80 |
| Gebouw3D | 0,80 | 0,80 | 0,80 | 0,80 | 0,80 |
| Gebouw3D | 0,80 | 0,80 | 0,80 | 0,80 | 0,80 |
| Gebouw3D | 0,80 | 0,80 | 0,80 | 0,80 | 0,80 |
| Gebouw3D | 0,80 | 0,80 | 0,80 | 0,80 | 0,80 |
| Gebouw3D | 0,80 | 0,80 | 0,80 | 0,80 | 0,80 |
| Gebouw3D | 0,80 | 0,80 | 0,80 | 0,80 | 0,80 |
| Gebouw3D | 0,80 | 0,80 | 0,80 | 0,80 | 0,80 |
| Gebouw3D | 0,80 | 0,80 | 0,80 | 0,80 | 0,80 |
| Gebouw3D | 0,80 | 0,80 | 0,80 | 0,80 | 0,80 |
| Gebouw3D | 0,80 | 0,80 | 0,80 | 0,80 | 0,80 |
| Gebouw3D | 0,80 | 0,80 | 0,80 | 0,80 | 0,80 |
| Gebouw3D | 0,80 | 0,80 | 0,80 | 0,80 | 0,80 |
| Gebouw3D | 0,80 | 0,80 | 0,80 | 0,80 | 0,80 |
| Gebouw3D | 0,80 | 0,80 | 0,80 | 0,80 | 0,80 |
| Gebouw3D | 0,80 | 0,80 | 0,80 | 0,80 | 0,80 |
| Gebouw3D | 0,80 | 0,80 | 0,80 | 0,80 | 0,80 |
| Gebouw3D | 0,80 | 0,80 | 0,80 | 0,80 | 0,80 |
| Gebouw3D | 0,80 | 0,80 | 0,80 | 0,80 | 0,80 |
| Gebouw3D | 0,80 | 0,80 | 0,80 | 0,80 | 0,80 |
| Gebouw3D | 0,80 | 0,80 | 0,80 | 0,80 | 0,80 |
| Gebouw3D | 0,80 | 0,80 | 0,80 | 0,80 | 0,80 |
| Gebouw3D | 0,80 | 0,80 | 0,80 | 0,80 | 0,80 |
| Gebouw3D | 0,80 | 0,80 | 0,80 | 0,80 | 0,80 |
| Gebouw3D | 0,80 | 0,80 | 0,80 | 0,80 | 0,80 |
| Gebouw3D | 0,80 | 0,80 | 0,80 | 0,80 | 0,80 |
| Gebouw3D | 0,80 | 0,80 | 0,80 | 0,80 | 0,80 |
| Gebouw3D | 0,80 | 0,80 | 0,80 | 0,80 | 0,80 |
| Gebouw3D | 0,80 | 0,80 | 0,80 | 0,80 | 0,80 |
| Gebouw3D | 0,80 | 0,80 | 0,80 | 0,80 | 0,80 |
| Gebouw3D | 0,80 | 0,80 | 0,80 | 0,80 | 0,80 |

Model: Jager
Jager - Jager
Groep: (hoofdgroep)
Lijst van Gebouwen, voor rekenmethode Wegverkeerslawaai - RMW-2012

| Groep | ItemID | Grp.ID | Datum | Naam | Omschr. | Vorm | X-1 | Y-1 | Hoogte | Rel.H | Maaiveld | Hdef. | Vormpunten |
|---|---|---|---|---|---|---|---|---|---|---|---|---|---|
| Gebouw3D | 3649 | 1 | 08:58, 20 mrt 2020 | | | Polygoon | 247070,34 | 443870,44 | 8,00 | 8,00 | 0,00 | Relatief | 14 |
| Gebouw3D | 3650 | 1 | 08:58, 20 mrt 2020 | | | Polygoon | 247006,49 | 443868,09 | 2,80 | 2,80 | 0,00 | Relatief | 4 |
| Gebouw3D | 3651 | 1 | 08:58, 20 mrt 2020 | | | Polygoon | 246970,39 | 443874,88 | 5,60 | 5,60 | 0,00 | Relatief | 7 |
| Gebouw3D | 3652 | 1 | 08:58, 20 mrt 2020 | | | Polygoon | 246984,65 | 443869,04 | 1,90 | 1,90 | 0,00 | Relatief | 4 |
| Gebouw3D | 3653 | 1 | 08:58, 20 mrt 2020 | | | Polygoon | 247070,34 | 443870,44 | 2,60 | 2,60 | 0,00 | Relatief | 12 |
| Gebouw3D | 3654 | 1 | 08:58, 20 mrt 2020 | | | Polygoon | 247015,39 | 443870,54 | 7,80 | 7,80 | 0,00 | Relatief | 8 |
| Gebouw3D | 3655 | 1 | 08:58, 20 mrt 2020 | | | Polygoon | 247079,17 | 443882,39 | 8,10 | 8,10 | 0,00 | Relatief | 11 |
| Gebouw3D | 3656 | 1 | 08:58, 20 mrt 2020 | | | Polygoon | 246979,37 | 443879,50 | 3,60 | 3,60 | 0,00 | Relatief | 7 |
| Gebouw3D | 3657 | 1 | 08:58, 20 mrt 2020 | | | Polygoon | 247045,21 | 443885,80 | 7,50 | 7,50 | 0,00 | Relatief | 14 |
| Gebouw3D | 3658 | 1 | 08:58, 20 mrt 2020 | | | Polygoon | 246966,21 | 443886,22 | 7,50 | 7,50 | 0,00 | Relatief | 12 |
| Gebouw3D | 3659 | 1 | 08:58, 20 mrt 2020 | | | Polygoon | 247001,76 | 443881,36 | 6,60 | 6,60 | 0,00 | Relatief | 14 |
| Gebouw3D | 3660 | 1 | 08:58, 20 mrt 2020 | | | Polygoon | 246979,37 | 443879,50 | 5,00 | 5,00 | 0,00 | Relatief | 6 |
| Gebouw3D | 3661 | 1 | 08:58, 20 mrt 2020 | | | Polygoon | 246966,21 | 443886,22 | 6,70 | 6,70 | 0,00 | Relatief | 18 |
| Gebouw3D | 3662 | 1 | 08:58, 20 mrt 2020 | | | Polygoon | 247077,23 | 443893,32 | 8,10 | 8,10 | 0,00 | Relatief | 9 |
| Gebouw3D | 3663 | 1 | 08:58, 20 mrt 2020 | | | Polygoon | 247063,97 | 443896,40 | 2,80 | 2,80 | 0,00 | Relatief | 5 |
| Gebouw3D | 3664 | 1 | 08:58, 20 mrt 2020 | | | Polygoon | 247010,17 | 443905,97 | 6,70 | 6,70 | 0,00 | Relatief | 10 |
| Gebouw3D | 3665 | 1 | 08:58, 20 mrt 2020 | | | Polygoon | 246993,24 | 443897,09 | 0,10 | 0,10 | 0,00 | Relatief | 4 |
| Gebouw3D | 3666 | 1 | 08:58, 20 mrt 2020 | | | Polygoon | 246976,00 | 443897,11 | 2,50 | 2,50 | 0,00 | Relatief | 4 |
| Gebouw3D | 3667 | 1 | 08:58, 20 mrt 2020 | | | Polygoon | 247060,90 | 443898,29 | 2,70 | 2,70 | 0,00 | Relatief | 6 |
| Gebouw3D | 3668 | 1 | 08:58, 20 mrt 2020 | | | Polygoon | 247048,79 | 443902,04 | 6,90 | 6,90 | 0,00 | Relatief | 23 |
| Gebouw3D | 3669 | 1 | 08:58, 20 mrt 2020 | | | Polygoon | 247071,54 | 443901,16 | 8,20 | 8,20 | 0,00 | Relatief | 9 |
| Gebouw3D | 3670 | 1 | 08:58, 20 mrt 2020 | | | Polygoon | 246975,94 | 443907,65 | 0,10 | 0,10 | 0,00 | Relatief | 4 |
| Gebouw3D | 3671 | 1 | 08:58, 20 mrt 2020 | | | Polygoon | 247003,52 | 443906,04 | 2,60 | 2,60 | 0,00 | Relatief | 4 |
| Gebouw3D | 3672 | 1 | 08:58, 20 mrt 2020 | | | Polygoon | 246975,94 | 443907,65 | 4,90 | 4,90 | 0,00 | Relatief | 6 |
| Gebouw3D | 3673 | 1 | 08:58, 20 mrt 2020 | | | Polygoon | 247018,03 | 443897,74 | 4,90 | 4,90 | 0,00 | Relatief | 4 |
| Gebouw3D | 3674 | 1 | 08:58, 20 mrt 2020 | | | Polygoon | 247072,63 | 443910,73 | 8,20 | 8,20 | 0,00 | Relatief | 9 |
| Gebouw3D | 3675 | 1 | 08:58, 20 mrt 2020 | | | Polygoon | 247064,56 | 443875,84 | 4,00 | 4,00 | 0,00 | Relatief | 4 |
| Gebouw3D | 3676 | 1 | 08:58, 20 mrt 2020 | | | Polygoon | 246975,85 | 443860,06 | 7,50 | 7,50 | 0,00 | Relatief | 4 |
| Gebouw3D | 3677 | 1 | 08:58, 20 mrt 2020 | | | Polygoon | 247054,29 | 443900,92 | 4,50 | 4,50 | 0,00 | Relatief | 6 |
| Gebouw3D | 3678 | 1 | 08:58, 20 mrt 2020 | | | Polygoon | 247030,48 | 443857,41 | 7,20 | 7,20 | 0,00 | Relatief | 10 |
| Gebouw3D | 3679 | 1 | 08:58, 20 mrt 2020 | | | Polygoon | 247015,39 | 443870,54 | 7,90 | 7,90 | 0,00 | Relatief | 7 |
| Gebouw3D | 3680 | 1 | 08:58, 20 mrt 2020 | | | Polygoon | 246915,31 | 443914,41 | 6,10 | 6,10 | 0,00 | Relatief | 26 |
| Gebouw3D | 3681 | 1 | 08:58, 20 mrt 2020 | | | Polygoon | 246925,51 | 443881,36 | 6,20 | 6,20 | 0,00 | Relatief | 8 |
| Gebouw3D | 3682 | 1 | 08:58, 20 mrt 2020 | | | Polygoon | 246855,92 | 443881,96 | 6,20 | 6,20 | 0,00 | Relatief | 12 |
| Gebouw3D | 3683 | 1 | 08:58, 20 mrt 2020 | | | Polygoon | 246939,20 | 443888,72 | 6,80 | 6,80 | 0,00 | Relatief | 18 |
| Gebouw3D | 3684 | 1 | 08:58, 20 mrt 2020 | | | Polygoon | 246948,60 | 443936,33 | 7,00 | 7,00 | 0,00 | Relatief | 4 |

# Invoergegevens van het model

Model: Jager
Jager - Jager
Groep: (hoofdgroep)
Lijst van Gebouwen, voor rekenmethode Wegverkeerslawaai - RMW-2012

| Groep | Omtrek | Oppervlak | Min.lengte | Max.lengte | Functie | BAG-id | Gemeente | Jaar | AHN-jaar | Trust | Cp | Zwevend | Refl. 63 | Refl. 125 | Refl. 250 |
|---|---|---|---|---|---|---|---|---|---|---|---|---|---|---|---|
| Gebouw3D | 49,73 | 96,75 | 0,05 | 6,51 | | | | 0 | 0 | 0 | 0 dB | False | 0,80 | 0,80 | 0,80 |
| Gebouw3D | 12,73 | 9,99 | 2,82 | 3,54 | | | | 0 | 0 | 0 | 0 dB | False | 0,80 | 0,80 | 0,80 |
| Gebouw3D | 37,30 | 67,72 | 2,63 | 8,78 | | | | 0 | 0 | 0 | 0 dB | False | 0,80 | 0,80 | 0,80 |
| Gebouw3D | 18,12 | 17,67 | 2,84 | 6,22 | | | | 0 | 0 | 0 | 0 dB | False | 0,80 | 0,80 | 0,80 |
| Gebouw3D | 49,90 | 62,76 | 0,02 | 8,16 | | | | 0 | 0 | 0 | 0 dB | False | 0,80 | 0,80 | 0,80 |
| Gebouw3D | 39,06 | 60,07 | 1,08 | 14,87 | | | | 0 | 0 | 0 | 0 dB | False | 0,80 | 0,80 | 0,80 |
| Gebouw3D | 43,35 | 83,61 | 0,05 | 9,01 | | | | 0 | 0 | 0 | 0 dB | False | 0,80 | 0,80 | 0,80 |
| Gebouw3D | 22,93 | 13,31 | 0,13 | 7,84 | | | | 0 | 0 | 0 | 0 dB | False | 0,80 | 0,80 | 0,80 |
| Gebouw3D | 65,13 | 143,58 | 0,80 | 7,76 | | | | 0 | 0 | 0 | 0 dB | False | 0,80 | 0,80 | 0,80 |
| Gebouw3D | 39,79 | 83,64 | 0,02 | 8,52 | | | | 0 | 0 | 0 | 0 dB | False | 0,80 | 0,80 | 0,80 |
| Gebouw3D | 64,70 | 116,08 | 0,27 | 16,41 | | | | 0 | 0 | 0 | 0 dB | False | 0,80 | 0,80 | 0,80 |
| Gebouw3D | 29,53 | 45,97 | 0,43 | 10,32 | | | | 0 | 0 | 0 | 0 dB | False | 0,80 | 0,80 | 0,80 |
| Gebouw3D | 54,38 | 91,79 | 0,05 | 9,09 | | | | 0 | 0 | 0 | 0 dB | False | 0,80 | 0,80 | 0,80 |
| Gebouw3D | 43,23 | 94,46 | 0,29 | 9,01 | | | | 0 | 0 | 0 | 0 dB | False | 0,80 | 0,80 | 0,80 |
| Gebouw3D | 11,12 | 7,89 | 1,00 | 3,31 | | | | 0 | 0 | 0 | 0 dB | False | 0,80 | 0,80 | 0,80 |
| Gebouw3D | 57,45 | 130,57 | 1,07 | 8,05 | | | | 0 | 0 | 0 | 0 dB | False | 0,80 | 0,80 | 0,80 |
| Gebouw3D | 12,84 | 9,61 | 2,38 | 4,04 | | | | 0 | 0 | 0 | 0 dB | False | 0,80 | 0,80 | 0,80 |
| Gebouw3D | 16,41 | 16,46 | 3,46 | 4,72 | | | | 0 | 0 | 0 | 0 dB | False | 0,80 | 0,80 | 0,80 |
| Gebouw3D | 12,03 | 8,99 | 0,10 | 3,76 | | | | 0 | 0 | 0 | 0 dB | False | 0,80 | 0,80 | 0,80 |
| Gebouw3D | 58,58 | 114,50 | 0,43 | 5,66 | | | | 0 | 0 | 0 | 0 dB | False | 0,80 | 0,80 | 0,80 |
| Gebouw3D | 42,95 | 82,05 | 2,95 | 6,50 | | | | 0 | 0 | 0 | 0 dB | False | 0,80 | 0,80 | 0,80 |
| Gebouw3D | 10,06 | 6,32 | 2,44 | 2,61 | | | | 0 | 0 | 0 | 0 dB | False | 0,80 | 0,80 | 0,80 |
| Gebouw3D | 33,34 | 42,29 | 3,12 | 13,55 | | | | 0 | 0 | 0 | 0 dB | False | 0,80 | 0,80 | 0,80 |
| Gebouw3D | 29,61 | 51,94 | 0,57 | 7,73 | | | | 0 | 0 | 0 | 0 dB | False | 0,80 | 0,80 | 0,80 |
| Gebouw3D | 30,40 | 56,18 | 6,34 | 8,86 | | | | 0 | 0 | 0 | 0 dB | False | 0,80 | 0,80 | 0,80 |
| Gebouw3D | 43,01 | 82,23 | 3,02 | 6,50 | | | | 0 | 0 | 0 | 0 dB | False | 0,80 | 0,80 | 0,80 |
| Gebouw3D | 26,21 | 34,11 | 3,52 | 9,55 | | | | 0 | 0 | 0 | 0 dB | False | 0,80 | 0,80 | 0,80 |
| Gebouw3D | 31,83 | 63,32 | 7,94 | 7,97 | | | | 0 | 0 | 0 | 0 dB | False | 0,80 | 0,80 | 0,80 |
| Gebouw3D | 38,63 | 62,60 | 3,65 | 10,77 | | | | 0 | 0 | 0 | 0 dB | False | 0,80 | 0,80 | 0,80 |
| Gebouw3D | 43,23 | 84,05 | 0,95 | 7,75 | | | | 0 | 0 | 0 | 0 dB | False | 0,80 | 0,80 | 0,80 |
| Gebouw3D | 39,42 | 73,43 | 1,19 | 14,87 | | | | 0 | 0 | 0 | 0 dB | False | 0,80 | 0,80 | 0,80 |
| Gebouw3D | 132,43 | 540,19 | 0,10 | 30,15 | | | | 0 | 0 | 0 | 0 dB | False | 0,80 | 0,80 | 0,80 |
| Gebouw3D | 53,18 | 146,32 | 0,17 | 12,51 | | | | 0 | 0 | 0 | 0 dB | False | 0,80 | 0,80 | 0,80 |
| Gebouw3D | 46,47 | 83,12 | 0,05 | 10,30 | | | | 0 | 0 | 0 | 0 dB | False | 0,80 | 0,80 | 0,80 |
| Gebouw3D | 69,19 | 96,19 | 0,25 | 14,57 | | | | 0 | 0 | 0 | 0 dB | False | 0,80 | 0,80 | 0,80 |
| Gebouw3D | 37,75 | 86,67 | 7,89 | 10,98 | | | | 0 | 0 | 0 | 0 dB | False | 0,80 | 0,80 | 0,80 |

Model: Jager
Jager - Jager
Groep: (hoofdgroep)
Lijst van Gebouwen, voor rekenmethode Wegverkeerslawaai - RMW-2012

| Groep | Refl. 500 | Refl. 1k | Refl. 2k | Refl. 4k | Refl. 8k |
|---|---|---|---|---|---|
| Gebouw3D | 0,80 | 0,80 | 0,80 | 0,80 | 0,80 |
| Gebouw3D | 0,80 | 0,80 | 0,80 | 0,80 | 0,80 |
| Gebouw3D | 0,80 | 0,80 | 0,80 | 0,80 | 0,80 |
| Gebouw3D | 0,80 | 0,80 | 0,80 | 0,80 | 0,80 |
| Gebouw3D | 0,80 | 0,80 | 0,80 | 0,80 | 0,80 |
| Gebouw3D | 0,80 | 0,80 | 0,80 | 0,80 | 0,80 |
| Gebouw3D | 0,80 | 0,80 | 0,80 | 0,80 | 0,80 |
| Gebouw3D | 0,80 | 0,80 | 0,80 | 0,80 | 0,80 |
| Gebouw3D | 0,80 | 0,80 | 0,80 | 0,80 | 0,80 |
| Gebouw3D | 0,80 | 0,80 | 0,80 | 0,80 | 0,80 |
| Gebouw3D | 0,80 | 0,80 | 0,80 | 0,80 | 0,80 |
| Gebouw3D | 0,80 | 0,80 | 0,80 | 0,80 | 0,80 |
| Gebouw3D | 0,80 | 0,80 | 0,80 | 0,80 | 0,80 |
| Gebouw3D | 0,80 | 0,80 | 0,80 | 0,80 | 0,80 |
| Gebouw3D | 0,80 | 0,80 | 0,80 | 0,80 | 0,80 |
| Gebouw3D | 0,80 | 0,80 | 0,80 | 0,80 | 0,80 |
| Gebouw3D | 0,80 | 0,80 | 0,80 | 0,80 | 0,80 |
| Gebouw3D | 0,80 | 0,80 | 0,80 | 0,80 | 0,80 |
| Gebouw3D | 0,80 | 0,80 | 0,80 | 0,80 | 0,80 |
| Gebouw3D | 0,80 | 0,80 | 0,80 | 0,80 | 0,80 |
| Gebouw3D | 0,80 | 0,80 | 0,80 | 0,80 | 0,80 |
| Gebouw3D | 0,80 | 0,80 | 0,80 | 0,80 | 0,80 |
| Gebouw3D | 0,80 | 0,80 | 0,80 | 0,80 | 0,80 |
| Gebouw3D | 0,80 | 0,80 | 0,80 | 0,80 | 0,80 |
| Gebouw3D | 0,80 | 0,80 | 0,80 | 0,80 | 0,80 |
| Gebouw3D | 0,80 | 0,80 | 0,80 | 0,80 | 0,80 |
| Gebouw3D | 0,80 | 0,80 | 0,80 | 0,80 | 0,80 |
| Gebouw3D | 0,80 | 0,80 | 0,80 | 0,80 | 0,80 |
| Gebouw3D | 0,80 | 0,80 | 0,80 | 0,80 | 0,80 |
| Gebouw3D | 0,80 | 0,80 | 0,80 | 0,80 | 0,80 |
| Gebouw3D | 0,80 | 0,80 | 0,80 | 0,80 | 0,80 |
| Gebouw3D | 0,80 | 0,80 | 0,80 | 0,80 | 0,80 |

# Invoergegevens van het model

Model: Jager
Jager - Jager
Groep: (hoofdgroep)
Lijst van Gebouwen, voor rekenmethode Wegverkeerslawaai - RMW-2012

| Groep | ItemID | Grp.ID | Datum | Naam | Omschr. | Vorm | X-1 | Y-1 | Hoogte | Rel.H | Maaiveld | Hdef. | Vormpunten |
|---|---|---|---|---|---|---|---|---|---|---|---|---|---|
| Gebouw3D | 3685 | 1 | 08:58, 20 mrt 2020 | | | Polygoon | 246951,93 | 443926,93 | 7,00 | 7,00 | 0,00 | Relatief | 7 |
| Gebouw3D | 3686 | 1 | 08:58, 20 mrt 2020 | | | Polygoon | 246943,96 | 443950,88 | 8,20 | 8,20 | 0,00 | Relatief | 10 |
| Gebouw3D | 3687 | 1 | 08:58, 20 mrt 2020 | | | Polygoon | 246951,93 | 443926,93 | 6,90 | 6,90 | 0,00 | Relatief | 9 |
| Gebouw3D | 3688 | 1 | 08:58, 20 mrt 2020 | | | Polygoon | 246925,51 | 443881,36 | 6,30 | 6,30 | 0,00 | Relatief | 7 |
| Gebouw3D | 3689 | 1 | 08:58, 20 mrt 2020 | | | Polygoon | 246884,41 | 443881,71 | 6,30 | 6,30 | 0,00 | Relatief | 7 |
| Gebouw3D | 3690 | 1 | 08:58, 20 mrt 2020 | | | Polygoon | 246937,62 | 443970,84 | 6,80 | 6,80 | 0,00 | Relatief | 6 |
| Gebouw3D | 3691 | 1 | 08:58, 20 mrt 2020 | | | Polygoon | 246939,17 | 443965,99 | 6,60 | 6,60 | 0,00 | Relatief | 9 |
| Gebouw3D | 3692 | 1 | 08:58, 20 mrt 2020 | | | Polygoon | 246878,24 | 443881,77 | 6,30 | 6,30 | 0,00 | Relatief | 7 |
| Gebouw3D | 3693 | 1 | 08:58, 20 mrt 2020 | | | Polygoon | 246963,18 | 443919,29 | 7,10 | 7,10 | 0,00 | Relatief | 7 |
| Gebouw3D | 3694 | 1 | 08:58, 20 mrt 2020 | | | Polygoon | 246939,20 | 443888,72 | 6,80 | 6,80 | 0,00 | Relatief | 14 |
| Gebouw3D | 3695 | 1 | 08:58, 20 mrt 2020 | | | Polygoon | 246943,96 | 443950,88 | 8,40 | 8,40 | 0,00 | Relatief | 6 |
| Gebouw3D | 3696 | 1 | 08:58, 20 mrt 2020 | | | Polygoon | 246960,56 | 443902,37 | 6,90 | 6,90 | 0,00 | Relatief | 4 |
| Gebouw3D | 3697 | 1 | 08:58, 20 mrt 2020 | | | Polygoon | 246861,68 | 443881,91 | 6,20 | 6,20 | 0,00 | Relatief | 8 |
| Gebouw3D | 3698 | 1 | 08:58, 20 mrt 2020 | | | Polygoon | 246939,05 | 443899,88 | 0,00 | 0,00 | 0,00 | Relatief | 4 |
| Gebouw3D | 3699 | 1 | 08:58, 20 mrt 2020 | | | Polygoon | 246911,78 | 443970,07 | 8,40 | 8,40 | 0,00 | Relatief | 17 |
| Gebouw3D | 3700 | 1 | 08:58, 20 mrt 2020 | | | Polygoon | 246960,56 | 443902,37 | 0,00 | 0,00 | 0,00 | Relatief | 4 |
| Gebouw3D | 3701 | 1 | 08:58, 20 mrt 2020 | | | Polygoon | 246897,25 | 443971,84 | 4,20 | 4,20 | 0,00 | Relatief | 6 |
| Gebouw3D | 3702 | 1 | 08:58, 20 mrt 2020 | | | Polygoon | 246913,64 | 443964,35 | 7,10 | 7,10 | 0,00 | Relatief | 8 |
| Gebouw3D | 3703 | 1 | 08:58, 20 mrt 2020 | | | Polygoon | 246942,51 | 443955,47 | 8,30 | 8,30 | 0,00 | Relatief | 6 |
| Gebouw3D | 3704 | 1 | 08:58, 20 mrt 2020 | | | Polygoon | 246902,90 | 443881,55 | 6,00 | 6,00 | 0,00 | Relatief | 6 |
| Gebouw3D | 3705 | 1 | 08:58, 20 mrt 2020 | | | Polygoon | 246902,90 | 443881,55 | 6,20 | 6,20 | 0,00 | Relatief | 6 |
| Gebouw3D | 3706 | 1 | 08:58, 20 mrt 2020 | | | Polygoon | 246861,68 | 443881,91 | 6,20 | 6,20 | 0,00 | Relatief | 6 |
| Gebouw3D | 3707 | 1 | 08:58, 20 mrt 2020 | | | Polygoon | 246890,58 | 443881,69 | 6,30 | 6,30 | 0,00 | Relatief | 4 |
| Gebouw3D | 3708 | 1 | 08:58, 20 mrt 2020 | | | Polygoon | 246890,59 | 443881,66 | 6,30 | 6,30 | 0,00 | Relatief | 6 |
| Gebouw3D | 3709 | 1 | 08:58, 20 mrt 2020 | | | Polygoon | 246849,50 | 443882,02 | 6,20 | 6,20 | 0,00 | Relatief | 6 |
| Gebouw3D | 3710 | 1 | 08:58, 20 mrt 2020 | | | Polygoon | 246917,37 | 443959,73 | 7,10 | 7,10 | 0,00 | Relatief | 10 |
| Gebouw3D | 3711 | 1 | 08:58, 20 mrt 2020 | | | Polygoon | 246919,25 | 443954,03 | 7,10 | 7,10 | 0,00 | Relatief | 5 |
| Gebouw3D | 3712 | 1 | 08:58, 20 mrt 2020 | | | Polygoon | 246919,25 | 443954,03 | 7,00 | 7,00 | 0,00 | Relatief | 4 |
| Gebouw3D | 3713 | 1 | 08:58, 20 mrt 2020 | | | Polygoon | 246927,51 | 443930,34 | 4,30 | 4,30 | 0,00 | Relatief | 4 |
| Gebouw3D | 3714 | 1 | 08:58, 20 mrt 2020 | | | Polygoon | 246870,19 | 443902,35 | 3,70 | 3,70 | 0,00 | Relatief | 6 |
| Gebouw3D | 3715 | 1 | 08:58, 20 mrt 2020 | | | Polygoon | 246902,81 | 443949,04 | 2,20 | 2,20 | 0,00 | Relatief | 6 |
| Gebouw3D | 3716 | 1 | 08:58, 20 mrt 2020 | | | Polygoon | 246909,38 | 443901,10 | 4,00 | 4,00 | 0,00 | Relatief | 4 |
| Gebouw3D | 3717 | 1 | 08:58, 20 mrt 2020 | | | Polygoon | 246959,43 | 443960,92 | 3,30 | 3,30 | 0,00 | Relatief | 10 |
| Gebouw3D | 3718 | 1 | 08:58, 20 mrt 2020 | | | Polygoon | 246915,40 | 443908,75 | 3,20 | 3,20 | 0,00 | Relatief | 6 |
| Gebouw3D | 3719 | 1 | 08:58, 20 mrt 2020 | | | Polygoon | 246890,88 | 443914,92 | 2,70 | 2,70 | 0,00 | Relatief | 4 |
| Gebouw3D | 3720 | 1 | 08:58, 20 mrt 2020 | | | Polygoon | 246902,81 | 443949,04 | 2,40 | 2,40 | 0,00 | Relatief | 4 |

# Invoergegevens van het model

Model: Jager
Jager - Jager
Groep: (hoofdgroep)
Lijst van Gebouwen, voor rekenmethode Wegverkeerslawaai - RMW-2012

| Groep | Omtrek | Oppervlak | Min.lengte | Max.lengte | Functie | BAG-id | Gemeente | Jaar | AHN-jaar | Trust | Cp | Zwevend | Refl. 63 | Refl. 125 | Refl. 250 |
|---|---|---|---|---|---|---|---|---|---|---|---|---|---|---|---|
| Gebouw3D | 39,09 | 66,40 | 2,32 | 10,22 | | | | 0 | 0 | 0 | 0 dB | False | 0,80 | 0,80 | 0,80 |
| Gebouw3D | 40,86 | 64,93 | 0,24 | 9,06 | | | | 0 | 0 | 0 | 0 dB | False | 0,80 | 0,80 | 0,80 |
| Gebouw3D | 39,33 | 70,43 | 0,05 | 10,22 | | | | 0 | 0 | 0 | 0 dB | False | 0,80 | 0,80 | 0,80 |
| Gebouw3D | 45,33 | 110,09 | 2,24 | 12,27 | | | | 0 | 0 | 0 | 0 dB | False | 0,80 | 0,80 | 0,80 |
| Gebouw3D | 39,46 | 64,64 | 0,02 | 13,50 | | | | 0 | 0 | 0 | 0 dB | False | 0,80 | 0,80 | 0,80 |
| Gebouw3D | 38,52 | 57,76 | 2,05 | 14,32 | | | | 0 | 0 | 0 | 0 dB | False | 0,80 | 0,80 | 0,80 |
| Gebouw3D | 38,32 | 65,36 | 1,12 | 14,10 | | | | 0 | 0 | 0 | 0 dB | False | 0,80 | 0,80 | 0,80 |
| Gebouw3D | 39,47 | 67,96 | 0,41 | 13,50 | | | | 0 | 0 | 0 | 0 dB | False | 0,80 | 0,80 | 0,80 |
| Gebouw3D | 35,93 | 69,95 | 2,39 | 8,00 | | | | 0 | 0 | 0 | 0 dB | False | 0,80 | 0,80 | 0,80 |
| Gebouw3D | 54,10 | 87,24 | 0,65 | 14,57 | | | | 0 | 0 | 0 | 0 dB | False | 0,80 | 0,80 | 0,80 |
| Gebouw3D | 36,13 | 45,11 | 0,19 | 13,15 | | | | 0 | 0 | 0 | 0 dB | False | 0,80 | 0,80 | 0,80 |
| Gebouw3D | 31,01 | 60,08 | 7,66 | 7,83 | | | | 0 | 0 | 0 | 0 dB | False | 0,80 | 0,80 | 0,80 |
| Gebouw3D | 34,86 | 54,97 | 1,33 | 10,30 | | | | 0 | 0 | 0 | 0 dB | False | 0,80 | 0,80 | 0,80 |
| Gebouw3D | 39,06 | 86,03 | 6,84 | 13,56 | | | | 0 | 0 | 0 | 0 dB | False | 0,80 | 0,80 | 0,80 |
| Gebouw3D | 36,45 | 52,78 | 0,15 | 8,92 | | | | 0 | 0 | 0 | 0 dB | False | 0,80 | 0,80 | 0,80 |
| Gebouw3D | 29,52 | 54,25 | 6,92 | 7,83 | | | | 0 | 0 | 0 | 0 dB | False | 0,80 | 0,80 | 0,80 |
| Gebouw3D | 29,09 | 52,74 | 0,36 | 7,95 | | | | 0 | 0 | 0 | 0 dB | False | 0,80 | 0,80 | 0,80 |
| Gebouw3D | 34,05 | 45,71 | 0,08 | 8,94 | | | | 0 | 0 | 0 | 0 dB | False | 0,80 | 0,80 | 0,80 |
| Gebouw3D | 33,95 | 45,61 | 1,16 | 13,15 | | | | 0 | 0 | 0 | 0 dB | False | 0,80 | 0,80 | 0,80 |
| Gebouw3D | 33,40 | 62,17 | 1,59 | 10,36 | | | | 0 | 0 | 0 | 0 dB | False | 0,80 | 0,80 | 0,80 |
| Gebouw3D | 33,15 | 60,47 | 1,60 | 10,41 | | | | 0 | 0 | 0 | 0 dB | False | 0,80 | 0,80 | 0,80 |
| Gebouw3D | 33,16 | 60,98 | 1,68 | 10,28 | | | | 0 | 0 | 0 | 0 dB | False | 0,80 | 0,80 | 0,80 |
| Gebouw3D | 32,97 | 63,42 | 6,09 | 10,40 | | | | 0 | 0 | 0 | 0 dB | False | 0,80 | 0,80 | 0,80 |
| Gebouw3D | 32,99 | 60,45 | 1,36 | 10,37 | | | | 0 | 0 | 0 | 0 dB | False | 0,80 | 0,80 | 0,80 |
| Gebouw3D | 32,64 | 59,10 | 1,42 | 10,24 | | | | 0 | 0 | 0 | 0 dB | False | 0,80 | 0,80 | 0,80 |
| Gebouw3D | 30,60 | 44,16 | 0,17 | 8,94 | | | | 0 | 0 | 0 | 0 dB | False | 0,80 | 0,80 | 0,80 |
| Gebouw3D | 26,54 | 43,98 | 0,63 | 6,85 | | | | 0 | 0 | 0 | 0 dB | False | 0,80 | 0,80 | 0,80 |
| Gebouw3D | 25,70 | 41,11 | 6,00 | 6,85 | | | | 0 | 0 | 0 | 0 dB | False | 0,80 | 0,80 | 0,80 |
| Gebouw3D | 29,50 | 53,58 | 6,48 | 8,27 | | | | 0 | 0 | 0 | 0 dB | False | 0,80 | 0,80 | 0,80 |
| Gebouw3D | 26,25 | 30,86 | 0,74 | 9,21 | | | | 0 | 0 | 0 | 0 dB | False | 0,80 | 0,80 | 0,80 |
| Gebouw3D | 26,32 | 30,09 | 1,96 | 8,61 | | | | 0 | 0 | 0 | 0 dB | False | 0,80 | 0,80 | 0,80 |
| Gebouw3D | 24,13 | 32,67 | 4,10 | 7,96 | | | | 0 | 0 | 0 | 0 dB | False | 0,80 | 0,80 | 0,80 |
| Gebouw3D | 22,18 | 25,90 | 0,14 | 5,61 | | | | 0 | 0 | 0 | 0 dB | False | 0,80 | 0,80 | 0,80 |
| Gebouw3D | 26,22 | 35,53 | 0,41 | 8,95 | | | | 0 | 0 | 0 | 0 dB | False | 0,80 | 0,80 | 0,80 |
| Gebouw3D | 24,85 | 30,91 | 3,44 | 8,98 | | | | 0 | 0 | 0 | 0 dB | False | 0,80 | 0,80 | 0,80 |
| Gebouw3D | 16,89 | 17,33 | 3,51 | 4,92 | | | | 0 | 0 | 0 | 0 dB | False | 0,80 | 0,80 | 0,80 |

Model: Jager
Jager - Jager
Groep: (hoofdgroep)
Lijst van Gebouwen, voor rekenmethode Wegverkeerslawaai - RMW-2012

| Groep | Refl. 500 | Refl. 1k | Refl. 2k | Refl. 4k | Refl. 8k |
|---|---|---|---|---|---|
| Gebouw3D | 0,80 | 0,80 | 0,80 | 0,80 | 0,80 |
| Gebouw3D | 0,80 | 0,80 | 0,80 | 0,80 | 0,80 |
| Gebouw3D | 0,80 | 0,80 | 0,80 | 0,80 | 0,80 |
| Gebouw3D | 0,80 | 0,80 | 0,80 | 0,80 | 0,80 |
| Gebouw3D | 0,80 | 0,80 | 0,80 | 0,80 | 0,80 |
| Gebouw3D | 0,80 | 0,80 | 0,80 | 0,80 | 0,80 |
| Gebouw3D | 0,80 | 0,80 | 0,80 | 0,80 | 0,80 |
| Gebouw3D | 0,80 | 0,80 | 0,80 | 0,80 | 0,80 |
| Gebouw3D | 0,80 | 0,80 | 0,80 | 0,80 | 0,80 |
| Gebouw3D | 0,80 | 0,80 | 0,80 | 0,80 | 0,80 |
| Gebouw3D | 0,80 | 0,80 | 0,80 | 0,80 | 0,80 |
| Gebouw3D | 0,80 | 0,80 | 0,80 | 0,80 | 0,80 |
| Gebouw3D | 0,80 | 0,80 | 0,80 | 0,80 | 0,80 |
| Gebouw3D | 0,80 | 0,80 | 0,80 | 0,80 | 0,80 |
| Gebouw3D | 0,80 | 0,80 | 0,80 | 0,80 | 0,80 |
| Gebouw3D | 0,80 | 0,80 | 0,80 | 0,80 | 0,80 |
| Gebouw3D | 0,80 | 0,80 | 0,80 | 0,80 | 0,80 |
| Gebouw3D | 0,80 | 0,80 | 0,80 | 0,80 | 0,80 |
| Gebouw3D | 0,80 | 0,80 | 0,80 | 0,80 | 0,80 |
| Gebouw3D | 0,80 | 0,80 | 0,80 | 0,80 | 0,80 |
| Gebouw3D | 0,80 | 0,80 | 0,80 | 0,80 | 0,80 |
| Gebouw3D | 0,80 | 0,80 | 0,80 | 0,80 | 0,80 |
| Gebouw3D | 0,80 | 0,80 | 0,80 | 0,80 | 0,80 |
| Gebouw3D | 0,80 | 0,80 | 0,80 | 0,80 | 0,80 |
| Gebouw3D | 0,80 | 0,80 | 0,80 | 0,80 | 0,80 |
| Gebouw3D | 0,80 | 0,80 | 0,80 | 0,80 | 0,80 |
| Gebouw3D | 0,80 | 0,80 | 0,80 | 0,80 | 0,80 |
| Gebouw3D | 0,80 | 0,80 | 0,80 | 0,80 | 0,80 |
| Gebouw3D | 0,80 | 0,80 | 0,80 | 0,80 | 0,80 |
| Gebouw3D | 0,80 | 0,80 | 0,80 | 0,80 | 0,80 |
| Gebouw3D | 0,80 | 0,80 | 0,80 | 0,80 | 0,80 |
| Gebouw3D | 0,80 | 0,80 | 0,80 | 0,80 | 0,80 |

# Invoergegevens van het model

Model: Jager
Jager - Jager
Groep: (hoofdgroep)
Lijst van Gebouwen, voor rekenmethode Wegverkeerslawaai - RMW-2012

| Groep | ItemID | Grp.ID | Datum | Naam | Omschr. | Vorm | X-1 | Y-1 | Hoogte | Rel.H | Maaiveld | Hdef. | Vormpunten |
|---|---|---|---|---|---|---|---|---|---|---|---|---|---|
| Gebouw3D | 3721 | 1 | 08:58, 20 mrt 2020 | | | Polygoon | 246900,91 | 443960,66 | 2,50 | 2,50 | 0,00 | Relatief | 4 |
| Gebouw3D | 3722 | 1 | 08:58, 20 mrt 2020 | | | Polygoon | 246900,91 | 443960,66 | 2,40 | 2,40 | 0,00 | Relatief | 4 |
| Gebouw3D | 3723 | 1 | 08:58, 20 mrt 2020 | | | Polygoon | 246959,43 | 443960,92 | 2,70 | 2,70 | 0,00 | Relatief | 8 |
| Gebouw3D | 3724 | 1 | 08:58, 20 mrt 2020 | | | Polygoon | 246965,56 | 443931,57 | 2,40 | 2,40 | 0,00 | Relatief | 4 |
| Gebouw3D | 3725 | 1 | 08:58, 20 mrt 2020 | | | Polygoon | 246963,14 | 443962,11 | 0,00 | 0,00 | 0,00 | Relatief | 5 |
| Gebouw3D | 3726 | 1 | 08:58, 20 mrt 2020 | | | Polygoon | 246858,88 | 443897,39 | 3,90 | 3,90 | 0,00 | Relatief | 4 |
| Gebouw3D | 3727 | 1 | 08:58, 20 mrt 2020 | | | Polygoon | 246896,69 | 443898,14 | 3,30 | 3,30 | 0,00 | Relatief | 4 |
| Gebouw3D | 3728 | 1 | 08:58, 20 mrt 2020 | | | Polygoon | 246845,99 | 443903,34 | 2,30 | 2,30 | 0,00 | Relatief | 4 |
| Gebouw3D | 3729 | 1 | 08:58, 20 mrt 2020 | | | Polygoon | 246884,47 | 443898,57 | 2,10 | 2,10 | 0,00 | Relatief | 4 |
| Gebouw3D | 3730 | 1 | 08:58, 20 mrt 2020 | | | Polygoon | 246919,19 | 443906,15 | 4,50 | 4,50 | 0,00 | Relatief | 4 |
| Gebouw3D | 3731 | 1 | 08:58, 20 mrt 2020 | | | Polygoon | 247036,41 | 443914,92 | 5,80 | 5,80 | 0,00 | Relatief | 12 |
| Gebouw3D | 3732 | 1 | 08:58, 20 mrt 2020 | | | Polygoon | 247055,26 | 443915,17 | 4,50 | 4,50 | 0,00 | Relatief | 6 |
| Gebouw3D | 3733 | 1 | 08:58, 20 mrt 2020 | | | Polygoon | 247060,36 | 443932,79 | 7,90 | 7,90 | 0,00 | Relatief | 11 |
| Gebouw3D | 3734 | 1 | 08:58, 20 mrt 2020 | | | Polygoon | 247001,52 | 443923,22 | 7,50 | 7,50 | 0,00 | Relatief | 4 |
| Gebouw3D | 3735 | 1 | 08:58, 20 mrt 2020 | | | Polygoon | 247049,95 | 443931,24 | 2,40 | 2,40 | 0,00 | Relatief | 4 |
| Gebouw3D | 3736 | 1 | 08:58, 20 mrt 2020 | | | Polygoon | 247039,79 | 443942,14 | 6,80 | 6,80 | 0,00 | Relatief | 14 |
| Gebouw3D | 3737 | 1 | 08:58, 20 mrt 2020 | | | Polygoon | 246983,04 | 443936,74 | 5,40 | 5,40 | 0,00 | Relatief | 7 |
| Gebouw3D | 3738 | 1 | 08:58, 20 mrt 2020 | | | Polygoon | 247060,36 | 443932,79 | 7,10 | 7,10 | 0,00 | Relatief | 5 |
| Gebouw3D | 3739 | 1 | 08:58, 20 mrt 2020 | | | Polygoon | 246997,93 | 443946,88 | 6,60 | 6,60 | 0,00 | Relatief | 6 |
| Gebouw3D | 3740 | 1 | 08:58, 20 mrt 2020 | | | Polygoon | 247048,04 | 443943,20 | 2,40 | 2,40 | 0,00 | Relatief | 4 |
| Gebouw3D | 3741 | 1 | 08:58, 20 mrt 2020 | | | Polygoon | 247048,04 | 443943,20 | 2,40 | 2,40 | 0,00 | Relatief | 4 |
| Gebouw3D | 3742 | 1 | 08:58, 20 mrt 2020 | | | Polygoon | 247061,86 | 443945,14 | 7,10 | 7,10 | 0,00 | Relatief | 7 |
| Gebouw3D | 3743 | 1 | 08:58, 20 mrt 2020 | | | Polygoon | 246970,37 | 443955,99 | 4,10 | 4,10 | 0,00 | Relatief | 5 |
| Gebouw3D | 3744 | 1 | 08:58, 20 mrt 2020 | | | Polygoon | 246976,10 | 443958,90 | 3,90 | 3,90 | 0,00 | Relatief | 4 |
| Gebouw3D | 3745 | 1 | 08:58, 20 mrt 2020 | | | Polygoon | 247044,02 | 443955,04 | 2,40 | 2,40 | 0,00 | Relatief | 5 |
| Gebouw3D | 3746 | 1 | 08:58, 20 mrt 2020 | | | Polygoon | 246998,21 | 443967,18 | 7,00 | 7,00 | 0,00 | Relatief | 9 |
| Gebouw3D | 3747 | 1 | 08:58, 20 mrt 2020 | | | Polygoon | 247016,90 | 443970,20 | 7,10 | 7,10 | 0,00 | Relatief | 8 |
| Gebouw3D | 3748 | 1 | 08:58, 20 mrt 2020 | | | Polygoon | 247034,67 | 443976,11 | 3,00 | 3,00 | 0,00 | Relatief | 7 |
| Gebouw3D | 3749 | 1 | 08:58, 20 mrt 2020 | | | Polygoon | 247037,72 | 443973,94 | 2,50 | 2,50 | 0,00 | Relatief | 4 |
| Gebouw3D | 3750 | 1 | 08:58, 20 mrt 2020 | | | Polygoon | 247059,00 | 443950,93 | 7,10 | 7,10 | 0,00 | Relatief | 10 |
| Gebouw3D | 3751 | 1 | 08:58, 20 mrt 2020 | | | Polygoon | 246970,37 | 443955,99 | 4,20 | 4,20 | 0,00 | Relatief | 5 |
| Gebouw3D | 3752 | 1 | 08:58, 20 mrt 2020 | | | Polygoon | 247022,37 | 443954,88 | 8,30 | 8,30 | 0,00 | Relatief | 13 |
| Gebouw3D | 3753 | 1 | 08:58, 20 mrt 2020 | | | Polygoon | 246978,62 | 443930,68 | 4,40 | 4,40 | 0,00 | Relatief | 4 |
| Gebouw3D | 3754 | 1 | 08:58, 20 mrt 2020 | | | Polygoon | 247062,31 | 443939,16 | 7,10 | 7,10 | 0,00 | Relatief | 9 |
| Gebouw3D | 3755 | 1 | 08:58, 20 mrt 2020 | | | Polygoon | 247015,52 | 443913,42 | 7,00 | 7,00 | 0,00 | Relatief | 12 |
| Gebouw3D | 3756 | 1 | 08:58, 20 mrt 2020 | | | Polygoon | 247055,26 | 443915,17 | 2,30 | 2,30 | 0,00 | Relatief | 4 |

# Invoergegevens van het model

Model: Jager
Jager - Jager
Groep: (hoofdgroep)
Lijst van Gebouwen, voor rekenmethode Wegverkeerslawaai - RMW-2012

| Groep | Omtrek | Oppervlak | Min.lengte | Max.lengte | Functie | BAG-id | Gemeente | Jaar | AHN-jaar | Trust | Cp | Zwevend | Refl. 63 | Refl. 125 | Refl. 250 |
|---|---|---|---|---|---|---|---|---|---|---|---|---|---|---|---|
| Gebouw3D | 16,90 | 17,27 | 3,42 | 5,01 | | | | 0 | 0 | 0 | 0 dB | False | 0,80 | 0,80 | 0,80 |
| Gebouw3D | 16,48 | 16,42 | 3,34 | 4,86 | | | | 0 | 0 | 0 | 0 dB | False | 0,80 | 0,80 | 0,80 |
| Gebouw3D | 17,09 | 11,59 | 0,41 | 4,01 | | | | 0 | 0 | 0 | 0 dB | False | 0,80 | 0,80 | 0,80 |
| Gebouw3D | 15,19 | 14,28 | 3,42 | 4,17 | | | | 0 | 0 | 0 | 0 dB | False | 0,80 | 0,80 | 0,80 |
| Gebouw3D | 14,82 | 13,61 | 0,48 | 4,07 | | | | 0 | 0 | 0 | 0 dB | False | 0,80 | 0,80 | 0,80 |
| Gebouw3D | 16,82 | 16,57 | 3,15 | 5,25 | | | | 0 | 0 | 0 | 0 dB | False | 0,80 | 0,80 | 0,80 |
| Gebouw3D | 18,50 | 18,53 | 2,93 | 6,31 | | | | 0 | 0 | 0 | 0 dB | False | 0,80 | 0,80 | 0,80 |
| Gebouw3D | 13,63 | 11,45 | 2,99 | 3,82 | | | | 0 | 0 | 0 | 0 dB | False | 0,80 | 0,80 | 0,80 |
| Gebouw3D | 9,12 | 5,02 | 1,86 | 2,71 | | | | 0 | 0 | 0 | 0 dB | False | 0,80 | 0,80 | 0,80 |
| Gebouw3D | 41,68 | 85,75 | 5,63 | 15,21 | | | | 0 | 0 | 0 | 0 dB | False | 0,80 | 0,80 | 0,80 |
| Gebouw3D | 49,40 | 72,25 | 0,64 | 17,73 | | | | 0 | 0 | 0 | 0 dB | False | 0,80 | 0,80 | 0,80 |
| Gebouw3D | 25,37 | 35,55 | 0,35 | 8,01 | | | | 0 | 0 | 0 | 0 dB | False | 0,80 | 0,80 | 0,80 |
| Gebouw3D | 40,97 | 77,89 | 0,46 | 9,32 | | | | 0 | 0 | 0 | 0 dB | False | 0,80 | 0,80 | 0,80 |
| Gebouw3D | 43,04 | 113,96 | 9,41 | 12,11 | | | | 0 | 0 | 0 | 0 dB | False | 0,80 | 0,80 | 0,80 |
| Gebouw3D | 13,01 | 10,57 | 3,14 | 3,37 | | | | 0 | 0 | 0 | 0 dB | False | 0,80 | 0,80 | 0,80 |
| Gebouw3D | 61,94 | 137,83 | 0,84 | 10,00 | | | | 0 | 0 | 0 | 0 dB | False | 0,80 | 0,80 | 0,80 |
| Gebouw3D | 34,77 | 70,97 | 0,33 | 8,78 | | | | 0 | 0 | 0 | 0 dB | False | 0,80 | 0,80 | 0,80 |
| Gebouw3D | 30,97 | 57,53 | 2,43 | 9,32 | | | | 0 | 0 | 0 | 0 dB | False | 0,80 | 0,80 | 0,80 |
| Gebouw3D | 34,39 | 67,49 | 0,03 | 11,13 | | | | 0 | 0 | 0 | 0 dB | False | 0,80 | 0,80 | 0,80 |
| Gebouw3D | 13,58 | 11,52 | 3,33 | 3,48 | | | | 0 | 0 | 0 | 0 dB | False | 0,80 | 0,80 | 0,80 |
| Gebouw3D | 16,88 | 17,29 | 3,48 | 5,00 | | | | 0 | 0 | 0 | 0 dB | False | 0,80 | 0,80 | 0,80 |
| Gebouw3D | 30,59 | 47,08 | 0,06 | 9,29 | | | | 0 | 0 | 0 | 0 dB | False | 0,80 | 0,80 | 0,80 |
| Gebouw3D | 25,71 | 41,41 | 0,47 | 6,93 | | | | 0 | 0 | 0 | 0 dB | False | 0,80 | 0,80 | 0,80 |
| Gebouw3D | 34,50 | 74,25 | 8,12 | 8,94 | | | | 0 | 0 | 0 | 0 dB | False | 0,80 | 0,80 | 0,80 |
| Gebouw3D | 14,19 | 12,55 | 0,12 | 3,58 | | | | 0 | 0 | 0 | 0 dB | False | 0,80 | 0,80 | 0,80 |
| Gebouw3D | 44,97 | 112,48 | 0,37 | 9,69 | | | | 0 | 0 | 0 | 0 dB | False | 0,80 | 0,80 | 0,80 |
| Gebouw3D | 39,61 | 69,87 | 0,69 | 13,59 | | | | 0 | 0 | 0 | 0 dB | False | 0,80 | 0,80 | 0,80 |
| Gebouw3D | 16,82 | 17,42 | 0,24 | 4,72 | | | | 0 | 0 | 0 | 0 dB | False | 0,80 | 0,80 | 0,80 |
| Gebouw3D | 13,86 | 12,00 | 3,44 | 3,50 | | | | 0 | 0 | 0 | 0 dB | False | 0,80 | 0,80 | 0,80 |
| Gebouw3D | 35,00 | 46,59 | 0,11 | 9,29 | | | | 0 | 0 | 0 | 0 dB | False | 0,80 | 0,80 | 0,80 |
| Gebouw3D | 22,47 | 30,98 | 0,47 | 5,94 | | | | 0 | 0 | 0 | 0 dB | False | 0,80 | 0,80 | 0,80 |
| Gebouw3D | 54,36 | 99,50 | 0,75 | 13,37 | | | | 0 | 0 | 0 | 0 dB | False | 0,80 | 0,80 | 0,80 |
| Gebouw3D | 37,60 | 75,13 | 5,76 | 13,03 | | | | 0 | 0 | 0 | 0 dB | False | 0,80 | 0,80 | 0,80 |
| Gebouw3D | 30,19 | 45,85 | 0,03 | 6,88 | | | | 0 | 0 | 0 | 0 dB | False | 0,80 | 0,80 | 0,80 |
| Gebouw3D | 47,94 | 112,39 | 0,84 | 10,36 | | | | 0 | 0 | 0 | 0 dB | False | 0,80 | 0,80 | 0,80 |
| Gebouw3D | 9,94 | 6,08 | 2,17 | 2,79 | | | | 0 | 0 | 0 | 0 dB | False | 0,80 | 0,80 | 0,80 |

Model: Jager
Jager - Jager
Groep: (hoofdgroep)
Lijst van Gebouwen, voor rekenmethode Wegverkeerslawaai - RMW-2012

| Groep | Refl. 500 | Refl. 1k | Refl. 2k | Refl. 4k | Refl. 8k |
|---|---|---|---|---|---|
| Gebouw3D | 0,80 | 0,80 | 0,80 | 0,80 | 0,80 |
| Gebouw3D | 0,80 | 0,80 | 0,80 | 0,80 | 0,80 |
| Gebouw3D | 0,80 | 0,80 | 0,80 | 0,80 | 0,80 |
| Gebouw3D | 0,80 | 0,80 | 0,80 | 0,80 | 0,80 |
| Gebouw3D | 0,80 | 0,80 | 0,80 | 0,80 | 0,80 |
| Gebouw3D | 0,80 | 0,80 | 0,80 | 0,80 | 0,80 |
| Gebouw3D | 0,80 | 0,80 | 0,80 | 0,80 | 0,80 |
| Gebouw3D | 0,80 | 0,80 | 0,80 | 0,80 | 0,80 |
| Gebouw3D | 0,80 | 0,80 | 0,80 | 0,80 | 0,80 |
| Gebouw3D | 0,80 | 0,80 | 0,80 | 0,80 | 0,80 |
| Gebouw3D | 0,80 | 0,80 | 0,80 | 0,80 | 0,80 |
| Gebouw3D | 0,80 | 0,80 | 0,80 | 0,80 | 0,80 |
| Gebouw3D | 0,80 | 0,80 | 0,80 | 0,80 | 0,80 |
| Gebouw3D | 0,80 | 0,80 | 0,80 | 0,80 | 0,80 |
| Gebouw3D | 0,80 | 0,80 | 0,80 | 0,80 | 0,80 |
| Gebouw3D | 0,80 | 0,80 | 0,80 | 0,80 | 0,80 |
| Gebouw3D | 0,80 | 0,80 | 0,80 | 0,80 | 0,80 |
| Gebouw3D | 0,80 | 0,80 | 0,80 | 0,80 | 0,80 |
| Gebouw3D | 0,80 | 0,80 | 0,80 | 0,80 | 0,80 |
| Gebouw3D | 0,80 | 0,80 | 0,80 | 0,80 | 0,80 |
| Gebouw3D | 0,80 | 0,80 | 0,80 | 0,80 | 0,80 |
| Gebouw3D | 0,80 | 0,80 | 0,80 | 0,80 | 0,80 |
| Gebouw3D | 0,80 | 0,80 | 0,80 | 0,80 | 0,80 |
| Gebouw3D | 0,80 | 0,80 | 0,80 | 0,80 | 0,80 |
| Gebouw3D | 0,80 | 0,80 | 0,80 | 0,80 | 0,80 |
| Gebouw3D | 0,80 | 0,80 | 0,80 | 0,80 | 0,80 |
| Gebouw3D | 0,80 | 0,80 | 0,80 | 0,80 | 0,80 |
| Gebouw3D | 0,80 | 0,80 | 0,80 | 0,80 | 0,80 |
| Gebouw3D | 0,80 | 0,80 | 0,80 | 0,80 | 0,80 |
| Gebouw3D | 0,80 | 0,80 | 0,80 | 0,80 | 0,80 |
| Gebouw3D | 0,80 | 0,80 | 0,80 | 0,80 | 0,80 |
| Gebouw3D | 0,80 | 0,80 | 0,80 | 0,80 | 0,80 |

# Invoergegevens van het model

Model: Jager
Jager - Jager
Groep: (hoofdgroep)
Lijst van Gebouwen, voor rekenmethode Wegverkeerslawaai - RMW-2012

| Groep | ItemID | Grp.ID | Datum | Naam | Omschr. | Vorm | X-1 | Y-1 | Hoogte | Rel.H | Maaiveld | Hdef. | Vormpunten |
|---|---|---|---|---|---|---|---|---|---|---|---|---|---|
| Gebouw3D | 3757 | 1 | 08:58, 20 mrt 2020 | | | Polygoon | 247049,95 | 443931,24 | 2,30 | 2,30 | 0,00 | Relatief | 4 |
| Gebouw3D | 3758 | 1 | 08:58, 20 mrt 2020 | | | Polygoon | 247036,41 | 443914,92 | 5,90 | 5,90 | 0,00 | Relatief | 11 |
| Gebouw3D | 3759 | 1 | 08:58, 20 mrt 2020 | | | Polygoon | 247016,90 | 443970,20 | 7,10 | 7,10 | 0,00 | Relatief | 8 |
| Gebouw3D | 3760 | 1 | 08:58, 20 mrt 2020 | | | Polygoon | 247039,79 | 443942,14 | 5,00 | 5,00 | 0,00 | Relatief | 13 |
| Gebouw3D | 3761 | 1 | 08:58, 20 mrt 2020 | | | Polygoon | 247044,02 | 443955,04 | 2,40 | 2,40 | 0,00 | Relatief | 6 |
| Gebouw3D | 3762 | 1 | 08:58, 20 mrt 2020 | | | Polygoon | 246997,93 | 443946,88 | 6,70 | 6,70 | 0,00 | Relatief | 6 |
| Gebouw3D | 3763 | 1 | 08:58, 20 mrt 2020 | | | Polygoon | 246980,45 | 443943,12 | 5,60 | 5,60 | 0,00 | Relatief | 4 |
| Gebouw3D | 3764 | 1 | 08:58, 20 mrt 2020 | | | Polygoon | 246993,61 | 443916,78 | 4,50 | 4,50 | 0,00 | Relatief | 7 |
| Gebouw3D | 3765 | 1 | 08:58, 20 mrt 2020 | | | Polygoon | 247060,95 | 443957,11 | 7,10 | 7,10 | 0,00 | Relatief | 4 |
| Gebouw3D | 3768 | 1 | 08:58, 20 mrt 2020 | | | Polygoon | 246649,28 | 443524,21 | 11,20 | 11,20 | 0,00 | Relatief | 8 |
| Gebouw3D | 3769 | 1 | 08:58, 20 mrt 2020 | | | Polygoon | 246643,12 | 443547,50 | 8,90 | 8,90 | 0,00 | Relatief | 13 |
| Gebouw3D | 3776 | 1 | 08:58, 20 mrt 2020 | | | Polygoon | 246643,12 | 443547,50 | 6,30 | 6,30 | 0,00 | Relatief | 14 |
| Gebouw3D | 3777 | 1 | 08:58, 20 mrt 2020 | | | Polygoon | 246611,38 | 443560,18 | 8,20 | 8,20 | 0,00 | Relatief | 18 |
| Gebouw3D | 3779 | 1 | 08:58, 20 mrt 2020 | | | Polygoon | 246652,32 | 443540,74 | 6,90 | 6,90 | 0,00 | Relatief | 10 |
| Gebouw3D | 3781 | 1 | 08:58, 20 mrt 2020 | | | Polygoon | 246579,49 | 443563,54 | 9,20 | 9,20 | 0,00 | Relatief | 17 |
| Gebouw3D | 3782 | 1 | 08:58, 20 mrt 2020 | | | Polygoon | 246631,09 | 443560,10 | 5,10 | 5,10 | 0,00 | Relatief | 4 |
| Gebouw3D | 3784 | 1 | 08:58, 20 mrt 2020 | | | Polygoon | 246622,68 | 443566,26 | 6,80 | 6,80 | 0,00 | Relatief | 14 |
| Gebouw3D | 3785 | 1 | 08:58, 20 mrt 2020 | | | Polygoon | 246654,74 | 443575,38 | 6,40 | 6,40 | 0,00 | Relatief | 4 |
| Gebouw3D | 3786 | 1 | 08:58, 20 mrt 2020 | | | Polygoon | 246641,92 | 443564,70 | 9,30 | 9,30 | 0,00 | Relatief | 8 |
| Gebouw3D | 3787 | 1 | 08:58, 20 mrt 2020 | | | Polygoon | 246579,49 | 443563,54 | 11,00 | 11,00 | 0,00 | Relatief | 4 |
| Gebouw3D | 3788 | 1 | 08:58, 20 mrt 2020 | | | Polygoon | 246641,92 | 443564,70 | 9,30 | 9,30 | 0,00 | Relatief | 8 |
| Gebouw3D | 3789 | 1 | 08:58, 20 mrt 2020 | | | Polygoon | 246585,20 | 443578,86 | 6,90 | 6,90 | 0,00 | Relatief | 8 |
| Gebouw3D | 3790 | 1 | 08:58, 20 mrt 2020 | | | Polygoon | 246636,08 | 443567,56 | 8,50 | 8,50 | 0,00 | Relatief | 9 |
| Gebouw3D | 3791 | 1 | 08:58, 20 mrt 2020 | | | Polygoon | 246615,88 | 443572,90 | 6,80 | 6,80 | 0,00 | Relatief | 13 |
| Gebouw3D | 3792 | 1 | 08:58, 20 mrt 2020 | | | Polygoon | 246630,15 | 443575,30 | 6,40 | 6,40 | 0,00 | Relatief | 4 |
| Gebouw3D | 3793 | 1 | 08:58, 20 mrt 2020 | | | Polygoon | 246593,78 | 443585,70 | 6,80 | 6,80 | 0,00 | Relatief | 9 |
| Gebouw3D | 3794 | 1 | 08:58, 20 mrt 2020 | | | Polygoon | 246575,16 | 443580,74 | 6,50 | 6,50 | 0,00 | Relatief | 13 |
| Gebouw3D | 3795 | 1 | 08:58, 20 mrt 2020 | | | Polygoon | 246593,17 | 443589,85 | 6,00 | 6,00 | 0,00 | Relatief | 10 |
| Gebouw3D | 3796 | 1 | 08:58, 20 mrt 2020 | | | Polygoon | 246590,09 | 443593,13 | 9,10 | 9,10 | 0,00 | Relatief | 5 |
| Gebouw3D | 3798 | 1 | 08:58, 20 mrt 2020 | | | Polygoon | 246783,59 | 443415,58 | 8,30 | 8,30 | 0,00 | Relatief | 8 |
| Gebouw3D | 3799 | 1 | 08:58, 20 mrt 2020 | | | Polygoon | 246781,30 | 443347,23 | 10,90 | 10,90 | 0,00 | Relatief | 12 |
| Gebouw3D | 3800 | 1 | 08:58, 20 mrt 2020 | | | Polygoon | 246778,42 | 443293,15 | 10,90 | 10,90 | 0,00 | Relatief | 6 |
| Gebouw3D | 3801 | 1 | 08:58, 20 mrt 2020 | | | Polygoon | 246781,44 | 443407,87 | 2,60 | 2,60 | 0,00 | Relatief | 4 |
| Gebouw3D | 3802 | 1 | 08:58, 20 mrt 2020 | | | Polygoon | 246781,30 | 443347,23 | 13,00 | 13,00 | 0,00 | Relatief | 10 |
| Gebouw3D | 3803 | 1 | 08:58, 20 mrt 2020 | | | Polygoon | 246781,44 | 443407,87 | 2,60 | 2,60 | 0,00 | Relatief | 4 |
| Gebouw3D | 3804 | 1 | 08:58, 20 mrt 2020 | | | Polygoon | 246782,37 | 443307,38 | 10,90 | 10,90 | 0,00 | Relatief | 4 |

# Invoergegevens van het model

Model: Jager
Jager - Jager
Groep: (hoofdgroep)
Lijst van Gebouwen, voor rekenmethode Wegverkeerslawaai - RMW-2012

| Groep | Omtrek | Oppervlak | Min.lengte | Max.lengte | Functie | BAG-id | Gemeente | Jaar | AHN-jaar | Trust | Cp | Zwevend | Refl. 63 | Refl. 125 | Refl. 250 |
|---|---|---|---|---|---|---|---|---|---|---|---|---|---|---|---|
| Gebouw3D | 13,04 | 10,61 | 3,14 | 3,38 | | | | 0 | 0 | 0 | 0 dB | False | 0,80 | 0,80 | 0,80 |
| Gebouw3D | 47,21 | 67,87 | 0,58 | 17,73 | | | | 0 | 0 | 0 | 0 dB | False | 0,80 | 0,80 | 0,80 |
| Gebouw3D | 39,63 | 70,02 | 0,63 | 13,59 | | | | 0 | 0 | 0 | 0 dB | False | 0,80 | 0,80 | 0,80 |
| Gebouw3D | 62,69 | 156,13 | 0,17 | 9,17 | | | | 0 | 0 | 0 | 0 dB | False | 0,80 | 0,80 | 0,80 |
| Gebouw3D | 22,17 | 25,65 | 0,26 | 7,52 | | | | 0 | 0 | 0 | 0 dB | False | 0,80 | 0,80 | 0,80 |
| Gebouw3D | 37,41 | 60,37 | 2,47 | 12,82 | | | | 0 | 0 | 0 | 0 dB | False | 0,80 | 0,80 | 0,80 |
| Gebouw3D | 24,69 | 37,93 | 5,74 | 6,60 | | | | 0 | 0 | 0 | 0 dB | False | 0,80 | 0,80 | 0,80 |
| Gebouw3D | 31,89 | 51,23 | 0,04 | 7,66 | | | | 0 | 0 | 0 | 0 dB | False | 0,80 | 0,80 | 0,80 |
| Gebouw3D | 25,85 | 41,58 | 6,04 | 6,88 | | | | 0 | 0 | 0 | 0 dB | False | 0,80 | 0,80 | 0,80 |
| Gebouw3D | 63,81 | 228,77 | 1,02 | 16,69 | | | | 0 | 0 | 0 | 0 dB | False | 0,80 | 0,80 | 0,80 |
| Gebouw3D | 116,19 | 477,08 | 0,06 | 17,16 | | | | 0 | 0 | 0 | 0 dB | False | 0,80 | 0,80 | 0,80 |
| Gebouw3D | 86,17 | 286,46 | 0,06 | 15,30 | | | | 0 | 0 | 0 | 0 dB | False | 0,80 | 0,80 | 0,80 |
| Gebouw3D | 103,90 | 519,56 | 0,33 | 23,02 | | | | 0 | 0 | 0 | 0 dB | False | 0,80 | 0,80 | 0,80 |
| Gebouw3D | 34,08 | 60,04 | 0,14 | 7,75 | | | | 0 | 0 | 0 | 0 dB | False | 0,80 | 0,80 | 0,80 |
| Gebouw3D | 82,19 | 318,18 | 0,06 | 15,11 | | | | 0 | 0 | 0 | 0 dB | False | 0,80 | 0,80 | 0,80 |
| Gebouw3D | 30,29 | 57,15 | 7,29 | 7,69 | | | | 0 | 0 | 0 | 0 dB | False | 0,80 | 0,80 | 0,80 |
| Gebouw3D | 45,88 | 87,57 | 0,15 | 7,53 | | | | 0 | 0 | 0 | 0 dB | False | 0,80 | 0,80 | 0,80 |
| Gebouw3D | 40,33 | 86,77 | 6,22 | 13,94 | | | | 0 | 0 | 0 | 0 dB | False | 0,80 | 0,80 | 0,80 |
| Gebouw3D | 39,11 | 63,55 | 0,91 | 14,06 | | | | 0 | 0 | 0 | 0 dB | False | 0,80 | 0,80 | 0,80 |
| Gebouw3D | 44,85 | 124,23 | 9,73 | 12,39 | | | | 0 | 0 | 0 | 0 dB | False | 0,80 | 0,80 | 0,80 |
| Gebouw3D | 41,74 | 77,06 | 0,91 | 14,13 | | | | 0 | 0 | 0 | 0 dB | False | 0,80 | 0,80 | 0,80 |
| Gebouw3D | 48,27 | 104,39 | 0,06 | 12,39 | | | | 0 | 0 | 0 | 0 dB | False | 0,80 | 0,80 | 0,80 |
| Gebouw3D | 63,34 | 119,04 | 1,48 | 17,20 | | | | 0 | 0 | 0 | 0 dB | False | 0,80 | 0,80 | 0,80 |
| Gebouw3D | 50,17 | 131,12 | 0,15 | 12,40 | | | | 0 | 0 | 0 | 0 dB | False | 0,80 | 0,80 | 0,80 |
| Gebouw3D | 33,72 | 69,97 | 7,39 | 9,46 | | | | 0 | 0 | 0 | 0 dB | False | 0,80 | 0,80 | 0,80 |
| Gebouw3D | 50,90 | 148,64 | 2,04 | 13,89 | | | | 0 | 0 | 0 | 0 dB | False | 0,80 | 0,80 | 0,80 |
| Gebouw3D | 60,95 | 213,04 | 0,15 | 14,04 | | | | 0 | 0 | 0 | 0 dB | False | 0,80 | 0,80 | 0,80 |
| Gebouw3D | 36,31 | 72,17 | 0,65 | 9,50 | | | | 0 | 0 | 0 | 0 dB | False | 0,80 | 0,80 | 0,80 |
| Gebouw3D | 35,63 | 35,86 | 1,82 | 15,87 | | | | 0 | 0 | 0 | 0 dB | False | 0,80 | 0,80 | 0,80 |
| Gebouw3D | 40,70 | 96,21 | 0,99 | 10,29 | | | | 0 | 0 | 0 | 0 dB | False | 0,80 | 0,80 | 0,80 |
| Gebouw3D | 67,55 | 188,32 | 1,31 | 14,32 | | | | 0 | 0 | 0 | 0 dB | False | 0,80 | 0,80 | 0,80 |
| Gebouw3D | 50,06 | 151,38 | 0,05 | 14,77 | | | | 0 | 0 | 0 | 0 dB | False | 0,80 | 0,80 | 0,80 |
| Gebouw3D | 11,38 | 7,67 | 2,20 | 3,52 | | | | 0 | 0 | 0 | 0 dB | False | 0,80 | 0,80 | 0,80 |
| Gebouw3D | 65,54 | 178,56 | 2,03 | 12,65 | | | | 0 | 0 | 0 | 0 dB | False | 0,80 | 0,80 | 0,80 |
| Gebouw3D | 11,29 | 7,44 | 2,07 | 3,58 | | | | 0 | 0 | 0 | 0 dB | False | 0,80 | 0,80 | 0,80 |
| Gebouw3D | 51,77 | 160,37 | 10,27 | 15,62 | | | | 0 | 0 | 0 | 0 dB | False | 0,80 | 0,80 | 0,80 |

Model: Jager
Jager - Jager
Groep: (hoofdgroep)
Lijst van Gebouwen, voor rekenmethode Wegverkeerslawaai - RMW-2012

| Groep | Refl. 500 | Refl. 1k | Refl. 2k | Refl. 4k | Refl. 8k |
|---|---|---|---|---|---|
| Gebouw3D | 0,80 | 0,80 | 0,80 | 0,80 | 0,80 |
| Gebouw3D | 0,80 | 0,80 | 0,80 | 0,80 | 0,80 |
| Gebouw3D | 0,80 | 0,80 | 0,80 | 0,80 | 0,80 |
| Gebouw3D | 0,80 | 0,80 | 0,80 | 0,80 | 0,80 |
| Gebouw3D | 0,80 | 0,80 | 0,80 | 0,80 | 0,80 |
| Gebouw3D | 0,80 | 0,80 | 0,80 | 0,80 | 0,80 |
| Gebouw3D | 0,80 | 0,80 | 0,80 | 0,80 | 0,80 |
| Gebouw3D | 0,80 | 0,80 | 0,80 | 0,80 | 0,80 |
| Gebouw3D | 0,80 | 0,80 | 0,80 | 0,80 | 0,80 |
| Gebouw3D | 0,80 | 0,80 | 0,80 | 0,80 | 0,80 |
| Gebouw3D | 0,80 | 0,80 | 0,80 | 0,80 | 0,80 |
| Gebouw3D | 0,80 | 0,80 | 0,80 | 0,80 | 0,80 |
| Gebouw3D | 0,80 | 0,80 | 0,80 | 0,80 | 0,80 |
| Gebouw3D | 0,80 | 0,80 | 0,80 | 0,80 | 0,80 |
| Gebouw3D | 0,80 | 0,80 | 0,80 | 0,80 | 0,80 |
| Gebouw3D | 0,80 | 0,80 | 0,80 | 0,80 | 0,80 |
| Gebouw3D | 0,80 | 0,80 | 0,80 | 0,80 | 0,80 |
| Gebouw3D | 0,80 | 0,80 | 0,80 | 0,80 | 0,80 |
| Gebouw3D | 0,80 | 0,80 | 0,80 | 0,80 | 0,80 |
| Gebouw3D | 0,80 | 0,80 | 0,80 | 0,80 | 0,80 |
| Gebouw3D | 0,80 | 0,80 | 0,80 | 0,80 | 0,80 |
| Gebouw3D | 0,80 | 0,80 | 0,80 | 0,80 | 0,80 |
| Gebouw3D | 0,80 | 0,80 | 0,80 | 0,80 | 0,80 |
| Gebouw3D | 0,80 | 0,80 | 0,80 | 0,80 | 0,80 |
| Gebouw3D | 0,80 | 0,80 | 0,80 | 0,80 | 0,80 |
| Gebouw3D | 0,80 | 0,80 | 0,80 | 0,80 | 0,80 |
| Gebouw3D | 0,80 | 0,80 | 0,80 | 0,80 | 0,80 |
| Gebouw3D | 0,80 | 0,80 | 0,80 | 0,80 | 0,80 |
| Gebouw3D | 0,80 | 0,80 | 0,80 | 0,80 | 0,80 |
| Gebouw3D | 0,80 | 0,80 | 0,80 | 0,80 | 0,80 |
| Gebouw3D | 0,80 | 0,80 | 0,80 | 0,80 | 0,80 |
| Gebouw3D | 0,80 | 0,80 | 0,80 | 0,80 | 0,80 |

Model: Jager
Jager - Jager
Groep: (hoofdgroep)
Lijst van Gebouwen, voor rekenmethode Wegverkeerslawaai - RMW-2012

| Groep | ItemID | Grp.ID | Datum | Naam | Omschr. | Vorm | X-1 | Y-1 | Hoogte | Rel.H | Maaiveld | Hdef. | Vormpunten |
|---|---|---|---|---|---|---|---|---|---|---|---|---|---|
| Gebouw3D | 3805 | 1 | 08:58, 20 mrt 2020 | | | Polygoon | 246788,27 | 443413,21 | 8,30 | 8,30 | 0,00 | Relatief | 6 |
| Gebouw3D | 3806 | 1 | 08:58, 20 mrt 2020 | | | Polygoon | 246788,27 | 443413,21 | 8,30 | 8,30 | 0,00 | Relatief | 6 |
| Gebouw3D | 3807 | 1 | 08:58, 20 mrt 2020 | | | Polygoon | 246789,23 | 443405,74 | 2,50 | 2,50 | 0,00 | Relatief | 4 |
| Gebouw3D | 3808 | 1 | 08:58, 20 mrt 2020 | | | Polygoon | 246803,27 | 443382,07 | 11,00 | 11,00 | 0,00 | Relatief | 4 |
| Gebouw3D | 3809 | 1 | 08:58, 20 mrt 2020 | | | Polygoon | 246803,27 | 443382,07 | 10,90 | 10,90 | 0,00 | Relatief | 4 |
| Gebouw3D | 3810 | 1 | 08:58, 20 mrt 2020 | | | Polygoon | 246807,16 | 443396,27 | 10,90 | 10,90 | 0,00 | Relatief | 4 |
| Gebouw3D | 3811 | 1 | 08:58, 20 mrt 2020 | | | Polygoon | 246810,93 | 443410,01 | 11,00 | 11,00 | 0,00 | Relatief | 6 |
| Gebouw3D | 3812 | 1 | 08:58, 20 mrt 2020 | | | Polygoon | 246847,01 | 443376,81 | 14,50 | 14,50 | 0,00 | Relatief | 18 |
| Gebouw3D | 3813 | 1 | 08:58, 20 mrt 2020 | | | Polygoon | 246867,58 | 443294,97 | 2,50 | 2,50 | 0,00 | Relatief | 13 |
| Gebouw3D | 3814 | 1 | 08:58, 20 mrt 2020 | | | Polygoon | 246853,00 | 443395,13 | 11,20 | 11,20 | 0,00 | Relatief | 12 |
| Gebouw3D | 3815 | 1 | 08:58, 20 mrt 2020 | | | Polygoon | 246853,00 | 443395,13 | 10,90 | 10,90 | 0,00 | Relatief | 9 |
| Gebouw3D | 3816 | 1 | 08:58, 20 mrt 2020 | | | Polygoon | 246855,52 | 443404,16 | 11,00 | 11,00 | 0,00 | Relatief | 6 |
| Gebouw3D | 3817 | 1 | 08:58, 20 mrt 2020 | | | Polygoon | 246858,04 | 443413,18 | 10,80 | 10,80 | 0,00 | Relatief | 13 |
| Gebouw3D | 3818 | 1 | 08:58, 20 mrt 2020 | | | Polygoon | 246869,78 | 443390,13 | 3,90 | 3,90 | 0,00 | Relatief | 5 |
| Gebouw3D | 3819 | 1 | 08:58, 20 mrt 2020 | | | Polygoon | 246869,78 | 443390,13 | 4,10 | 4,10 | 0,00 | Relatief | 5 |
| Gebouw3D | 3820 | 1 | 08:58, 20 mrt 2020 | | | Polygoon | 246777,26 | 443412,72 | 2,60 | 2,60 | 0,00 | Relatief | 4 |
| Gebouw3D | 3821 | 1 | 08:58, 20 mrt 2020 | | | Polygoon | 246874,74 | 443408,20 | 4,00 | 4,00 | 0,00 | Relatief | 6 |
| Gebouw3D | 3822 | 1 | 08:58, 20 mrt 2020 | | | Polygoon | 246874,74 | 443408,20 | 3,50 | 3,50 | 0,00 | Relatief | 6 |
| Gebouw3D | 3823 | 1 | 08:58, 20 mrt 2020 | | | Polygoon | 246878,12 | 443290,76 | 2,80 | 2,80 | 0,00 | Relatief | 6 |
| Gebouw3D | 3824 | 1 | 08:58, 20 mrt 2020 | | | Polygoon | 247041,49 | 443493,19 | 8,60 | 8,60 | 0,00 | Relatief | 6 |
| Gebouw3D | 3825 | 1 | 08:58, 20 mrt 2020 | | | Polygoon | 247055,17 | 443489,27 | 2,20 | 2,20 | 0,00 | Relatief | 4 |
| Gebouw3D | 3826 | 1 | 08:58, 20 mrt 2020 | | | Polygoon | 247041,49 | 443493,19 | 8,50 | 8,50 | 0,00 | Relatief | 6 |
| Gebouw3D | 3827 | 1 | 08:58, 20 mrt 2020 | | | Polygoon | 247064,76 | 443497,36 | 2,10 | 2,10 | 0,00 | Relatief | 4 |
| Gebouw3D | 3828 | 1 | 08:58, 20 mrt 2020 | | | Polygoon | 247041,51 | 443498,19 | 8,60 | 8,60 | 0,00 | Relatief | 6 |
| Gebouw3D | 3829 | 1 | 08:58, 20 mrt 2020 | | | Polygoon | 247061,15 | 443502,44 | 2,40 | 2,40 | 0,00 | Relatief | 4 |
| Gebouw3D | 3830 | 1 | 08:58, 20 mrt 2020 | | | Polygoon | 247041,53 | 443503,20 | 8,40 | 8,40 | 0,00 | Relatief | 7 |
| Gebouw3D | 3831 | 1 | 08:58, 20 mrt 2020 | | | Polygoon | 247079,00 | 443504,83 | 7,20 | 7,20 | 0,00 | Relatief | 4 |
| Gebouw3D | 3832 | 1 | 08:58, 20 mrt 2020 | | | Polygoon | 247066,02 | 443504,59 | 4,00 | 4,00 | 0,00 | Relatief | 4 |
| Gebouw3D | 3833 | 1 | 08:58, 20 mrt 2020 | | | Polygoon | 247065,57 | 443504,70 | 2,20 | 2,20 | 0,00 | Relatief | 4 |
| Gebouw3D | 3834 | 1 | 08:58, 20 mrt 2020 | | | Polygoon | 247079,00 | 443504,83 | 6,60 | 6,60 | 0,00 | Relatief | 8 |
| Gebouw3D | 3835 | 1 | 08:58, 20 mrt 2020 | | | Polygoon | 247041,55 | 443508,06 | 8,50 | 8,50 | 0,00 | Relatief | 6 |
| Gebouw3D | 3836 | 1 | 08:58, 20 mrt 2020 | | | Polygoon | 247067,39 | 443509,75 | 2,20 | 2,20 | 0,00 | Relatief | 4 |
| Gebouw3D | 3837 | 1 | 08:58, 20 mrt 2020 | | | Polygoon | 247047,35 | 443519,70 | 8,60 | 8,60 | 0,00 | Relatief | 6 |
| Gebouw3D | 3838 | 1 | 08:58, 20 mrt 2020 | | | Polygoon | 247067,94 | 443518,69 | 2,20 | 2,20 | 0,00 | Relatief | 4 |
| Gebouw3D | 3839 | 1 | 08:58, 20 mrt 2020 | | | Polygoon | 247080,46 | 443526,20 | 5,80 | 5,80 | 0,00 | Relatief | 8 |
| Gebouw3D | 3840 | 1 | 08:58, 20 mrt 2020 | | | Polygoon | 247055,73 | 443524,84 | 8,70 | 8,70 | 0,00 | Relatief | 7 |

# Invoergegevens van het model

Model: Jager
Jager - Jager
Groep: (hoofdgroep)
Lijst van Gebouwen, voor rekenmethode Wegverkeerslawaai - RMW-2012

| Groep | Omtrek | Oppervlak | Min.lengte | Max.lengte | Functie | BAG-id | Gemeente | Jaar | AHN-jaar | Trust | Cp | Zwevend | Refl. 63 | Refl. 125 | Refl. 250 |
|---|---|---|---|---|---|---|---|---|---|---|---|---|---|---|---|
| Gebouw3D | 30,29 | 48,17 | 0,99 | 10,05 | | | | 0 | 0 | 0 | 0 dB | False | 0,80 | 0,80 | 0,80 |
| Gebouw3D | 30,72 | 49,24 | 1,05 | 10,05 | | | | 0 | 0 | 0 | 0 dB | False | 0,80 | 0,80 | 0,80 |
| Gebouw3D | 11,57 | 8,02 | 2,28 | 3,54 | | | | 0 | 0 | 0 | 0 dB | False | 0,80 | 0,80 | 0,80 |
| Gebouw3D | 51,02 | 155,95 | 10,16 | 15,35 | | | | 0 | 0 | 0 | 0 dB | False | 0,80 | 0,80 | 0,80 |
| Gebouw3D | 49,77 | 149,59 | 10,16 | 14,73 | | | | 0 | 0 | 0 | 0 dB | False | 0,80 | 0,80 | 0,80 |
| Gebouw3D | 48,81 | 144,70 | 10,16 | 14,24 | | | | 0 | 0 | 0 | 0 dB | False | 0,80 | 0,80 | 0,80 |
| Gebouw3D | 53,20 | 134,79 | 3,25 | 14,83 | | | | 0 | 0 | 0 | 0 dB | False | 0,80 | 0,80 | 0,80 |
| Gebouw3D | 227,48 | 1906,81 | 0,33 | 50,16 | | | | 0 | 0 | 0 | 0 dB | False | 0,80 | 0,80 | 0,80 |
| Gebouw3D | 88,52 | 119,08 | 0,21 | 20,15 | | | | 0 | 0 | 0 | 0 dB | False | 0,80 | 0,80 | 0,80 |
| Gebouw3D | 53,34 | 147,36 | 0,02 | 14,60 | | | | 0 | 0 | 0 | 0 dB | False | 0,80 | 0,80 | 0,80 |
| Gebouw3D | 54,55 | 123,73 | 0,02 | 14,93 | | | | 0 | 0 | 0 | 0 dB | False | 0,80 | 0,80 | 0,80 |
| Gebouw3D | 48,60 | 109,44 | 0,16 | 14,93 | | | | 0 | 0 | 0 | 0 dB | False | 0,80 | 0,80 | 0,80 |
| Gebouw3D | 53,28 | 127,42 | 0,02 | 11,66 | | | | 0 | 0 | 0 | 0 dB | False | 0,80 | 0,80 | 0,80 |
| Gebouw3D | 15,82 | 13,24 | 0,13 | 5,50 | | | | 0 | 0 | 0 | 0 dB | False | 0,80 | 0,80 | 0,80 |
| Gebouw3D | 17,32 | 17,37 | 0,13 | 5,50 | | | | 0 | 0 | 0 | 0 dB | False | 0,80 | 0,80 | 0,80 |
| Gebouw3D | 9,74 | 5,88 | 2,18 | 2,64 | | | | 0 | 0 | 0 | 0 dB | False | 0,80 | 0,80 | 0,80 |
| Gebouw3D | 34,96 | 37,77 | 1,07 | 13,93 | | | | 0 | 0 | 0 | 0 dB | False | 0,80 | 0,80 | 0,80 |
| Gebouw3D | 32,09 | 27,97 | 0,34 | 13,93 | | | | 0 | 0 | 0 | 0 dB | False | 0,80 | 0,80 | 0,80 |
| Gebouw3D | 32,07 | 51,74 | 2,13 | 8,45 | | | | 0 | 0 | 0 | 0 dB | False | 0,80 | 0,80 | 0,80 |
| Gebouw3D | 34,50 | 67,81 | 2,46 | 8,88 | | | | 0 | 0 | 0 | 0 dB | False | 0,80 | 0,80 | 0,80 |
| Gebouw3D | 11,82 | 8,72 | 2,85 | 3,06 | | | | 0 | 0 | 0 | 0 dB | False | 0,80 | 0,80 | 0,80 |
| Gebouw3D | 37,46 | 57,81 | 1,98 | 13,77 | | | | 0 | 0 | 0 | 0 dB | False | 0,80 | 0,80 | 0,80 |
| Gebouw3D | 11,44 | 8,16 | 2,76 | 2,96 | | | | 0 | 0 | 0 | 0 dB | False | 0,80 | 0,80 | 0,80 |
| Gebouw3D | 37,62 | 50,78 | 1,75 | 13,77 | | | | 0 | 0 | 0 | 0 dB | False | 0,80 | 0,80 | 0,80 |
| Gebouw3D | 20,13 | 20,98 | 2,95 | 7,12 | | | | 0 | 0 | 0 | 0 dB | False | 0,80 | 0,80 | 0,80 |
| Gebouw3D | 37,53 | 56,19 | 0,02 | 13,74 | | | | 0 | 0 | 0 | 0 dB | False | 0,80 | 0,80 | 0,80 |
| Gebouw3D | 34,62 | 73,68 | 7,55 | 9,77 | | | | 0 | 0 | 0 | 0 dB | False | 0,80 | 0,80 | 0,80 |
| Gebouw3D | 12,64 | 9,77 | 2,68 | 3,65 | | | | 0 | 0 | 0 | 0 dB | False | 0,80 | 0,80 | 0,80 |
| Gebouw3D | 11,29 | 7,91 | 2,59 | 3,05 | | | | 0 | 0 | 0 | 0 dB | False | 0,80 | 0,80 | 0,80 |
| Gebouw3D | 39,01 | 75,83 | 1,20 | 7,55 | | | | 0 | 0 | 0 | 0 dB | False | 0,80 | 0,80 | 0,80 |
| Gebouw3D | 37,85 | 54,09 | 2,04 | 13,74 | | | | 0 | 0 | 0 | 0 dB | False | 0,80 | 0,80 | 0,80 |
| Gebouw3D | 11,18 | 7,77 | 2,61 | 2,98 | | | | 0 | 0 | 0 | 0 dB | False | 0,80 | 0,80 | 0,80 |
| Gebouw3D | 38,51 | 57,24 | 2,30 | 13,82 | | | | 0 | 0 | 0 | 0 dB | False | 0,80 | 0,80 | 0,80 |
| Gebouw3D | 11,82 | 8,70 | 2,78 | 3,11 | | | | 0 | 0 | 0 | 0 dB | False | 0,80 | 0,80 | 0,80 |
| Gebouw3D | 87,40 | 301,75 | 0,45 | 24,84 | | | | 0 | 0 | 0 | 0 dB | False | 0,80 | 0,80 | 0,80 |
| Gebouw3D | 38,51 | 69,01 | 2,14 | 13,82 | | | | 0 | 0 | 0 | 0 dB | False | 0,80 | 0,80 | 0,80 |

Model: Jager
Jager - Jager
Groep: (hoofdgroep)
Lijst van Gebouwen, voor rekenmethode Wegverkeerslawaai - RMW-2012

| Groep | Refl. 500 | Refl. 1k | Refl. 2k | Refl. 4k | Refl. 8k |
|---|---|---|---|---|---|
| Gebouw3D | 0,80 | 0,80 | 0,80 | 0,80 | 0,80 |
| Gebouw3D | 0,80 | 0,80 | 0,80 | 0,80 | 0,80 |
| Gebouw3D | 0,80 | 0,80 | 0,80 | 0,80 | 0,80 |
| Gebouw3D | 0,80 | 0,80 | 0,80 | 0,80 | 0,80 |
| Gebouw3D | 0,80 | 0,80 | 0,80 | 0,80 | 0,80 |
| Gebouw3D | 0,80 | 0,80 | 0,80 | 0,80 | 0,80 |
| Gebouw3D | 0,80 | 0,80 | 0,80 | 0,80 | 0,80 |
| Gebouw3D | 0,80 | 0,80 | 0,80 | 0,80 | 0,80 |
| Gebouw3D | 0,80 | 0,80 | 0,80 | 0,80 | 0,80 |
| Gebouw3D | 0,80 | 0,80 | 0,80 | 0,80 | 0,80 |
| Gebouw3D | 0,80 | 0,80 | 0,80 | 0,80 | 0,80 |
| Gebouw3D | 0,80 | 0,80 | 0,80 | 0,80 | 0,80 |
| Gebouw3D | 0,80 | 0,80 | 0,80 | 0,80 | 0,80 |
| Gebouw3D | 0,80 | 0,80 | 0,80 | 0,80 | 0,80 |
| Gebouw3D | 0,80 | 0,80 | 0,80 | 0,80 | 0,80 |
| Gebouw3D | 0,80 | 0,80 | 0,80 | 0,80 | 0,80 |
| Gebouw3D | 0,80 | 0,80 | 0,80 | 0,80 | 0,80 |
| Gebouw3D | 0,80 | 0,80 | 0,80 | 0,80 | 0,80 |
| Gebouw3D | 0,80 | 0,80 | 0,80 | 0,80 | 0,80 |
| Gebouw3D | 0,80 | 0,80 | 0,80 | 0,80 | 0,80 |
| Gebouw3D | 0,80 | 0,80 | 0,80 | 0,80 | 0,80 |
| Gebouw3D | 0,80 | 0,80 | 0,80 | 0,80 | 0,80 |
| Gebouw3D | 0,80 | 0,80 | 0,80 | 0,80 | 0,80 |
| Gebouw3D | 0,80 | 0,80 | 0,80 | 0,80 | 0,80 |
| Gebouw3D | 0,80 | 0,80 | 0,80 | 0,80 | 0,80 |
| Gebouw3D | 0,80 | 0,80 | 0,80 | 0,80 | 0,80 |
| Gebouw3D | 0,80 | 0,80 | 0,80 | 0,80 | 0,80 |
| Gebouw3D | 0,80 | 0,80 | 0,80 | 0,80 | 0,80 |
| Gebouw3D | 0,80 | 0,80 | 0,80 | 0,80 | 0,80 |
| Gebouw3D | 0,80 | 0,80 | 0,80 | 0,80 | 0,80 |
| Gebouw3D | 0,80 | 0,80 | 0,80 | 0,80 | 0,80 |
| Gebouw3D | 0,80 | 0,80 | 0,80 | 0,80 | 0,80 |

# Invoergegevens van het model

Model: Jager
Jager - Jager
Groep: (hoofdgroep)
Lijst van Gebouwen, voor rekenmethode Wegverkeerslawaai - RMW-2012

| Groep | ItemID | Grp.ID | Datum | Naam | Omschr. | Vorm | X-1 | Y-1 | Hoogte | Rel.H | Maaiveld | Hdef. | Vormpunten |
|---|---|---|---|---|---|---|---|---|---|---|---|---|---|
| Gebouw3D | 3841 | 1 | 08:58, 20 mrt 2020 | | | Polygoon | 247047,61 | 443524,98 | 8,80 | 8,80 | 0,00 | Relatief | 6 |
| Gebouw3D | 3842 | 1 | 08:58, 20 mrt 2020 | | | Polygoon | 247067,78 | 443526,25 | 2,20 | 2,20 | 0,00 | Relatief | 4 |
| Gebouw3D | 3843 | 1 | 08:58, 20 mrt 2020 | | | Polygoon | 247047,87 | 443530,32 | 8,50 | 8,50 | 0,00 | Relatief | 6 |
| Gebouw3D | 3844 | 1 | 08:58, 20 mrt 2020 | | | Polygoon | 247048,46 | 443542,15 | 8,60 | 8,60 | 0,00 | Relatief | 7 |
| Gebouw3D | 3845 | 1 | 08:58, 20 mrt 2020 | | | Polygoon | 247080,76 | 443537,04 | 3,60 | 3,60 | 0,00 | Relatief | 4 |
| Gebouw3D | 3846 | 1 | 08:58, 20 mrt 2020 | | | Polygoon | 247068,92 | 443541,25 | 2,20 | 2,20 | 0,00 | Relatief | 4 |
| Gebouw3D | 3847 | 1 | 08:58, 20 mrt 2020 | | | Polygoon | 247066,52 | 443541,58 | 2,90 | 2,90 | 0,00 | Relatief | 4 |
| Gebouw3D | 3848 | 1 | 08:58, 20 mrt 2020 | | | Polygoon | 247048,46 | 443542,15 | 8,70 | 8,70 | 0,00 | Relatief | 8 |
| Gebouw3D | 3849 | 1 | 08:58, 20 mrt 2020 | | | Polygoon | 247047,59 | 443563,77 | 9,10 | 9,10 | 0,00 | Relatief | 6 |
| Gebouw3D | 3850 | 1 | 08:58, 20 mrt 2020 | | | Polygoon | 247067,03 | 443563,02 | 2,70 | 2,70 | 0,00 | Relatief | 6 |
| Gebouw3D | 3851 | 1 | 08:58, 20 mrt 2020 | | | Polygoon | 247048,57 | 443585,26 | 9,40 | 9,40 | 0,00 | Relatief | 7 |
| Gebouw3D | 3852 | 1 | 08:58, 20 mrt 2020 | | | Polygoon | 247070,76 | 443594,60 | 2,20 | 2,20 | 0,00 | Relatief | 5 |
| Gebouw3D | 3853 | 1 | 08:58, 20 mrt 2020 | | | Polygoon | 247070,82 | 443588,54 | 2,30 | 2,30 | 0,00 | Relatief | 9 |
| Gebouw3D | 3854 | 1 | 08:58, 20 mrt 2020 | | | Polygoon | 247070,72 | 443604,07 | 2,60 | 2,60 | 0,00 | Relatief | 4 |
| Gebouw3D | 3855 | 1 | 08:58, 20 mrt 2020 | | | Polygoon | 247067,94 | 443518,69 | 2,20 | 2,20 | 0,00 | Relatief | 4 |
| Gebouw3D | 3856 | 1 | 08:58, 20 mrt 2020 | | | Polygoon | 247070,72 | 443604,07 | 2,20 | 2,20 | 0,00 | Relatief | 4 |
| Gebouw3D | 3857 | 1 | 08:58, 20 mrt 2020 | | | Polygoon | 247047,11 | 443602,56 | 7,30 | 7,30 | 0,00 | Relatief | 6 |
| Gebouw3D | 3858 | 1 | 08:58, 20 mrt 2020 | | | Polygoon | 246908,63 | 443841,64 | 7,90 | 7,90 | 0,00 | Relatief | 10 |
| Gebouw3D | 3859 | 1 | 08:58, 20 mrt 2020 | | | Polygoon | 246899,66 | 443864,91 | 8,00 | 8,00 | 0,00 | Relatief | 10 |
| Gebouw3D | 3860 | 1 | 08:58, 20 mrt 2020 | | | Polygoon | 246909,38 | 443782,26 | 7,80 | 7,80 | 0,00 | Relatief | 12 |
| Gebouw3D | 3861 | 1 | 08:58, 20 mrt 2020 | | | Polygoon | 246912,53 | 443851,19 | 3,40 | 3,40 | 0,00 | Relatief | 6 |
| Gebouw3D | 3862 | 1 | 08:58, 20 mrt 2020 | | | Polygoon | 246904,83 | 443873,17 | 8,30 | 8,30 | 0,00 | Relatief | 6 |
| Gebouw3D | 3863 | 1 | 08:58, 20 mrt 2020 | | | Polygoon | 246908,63 | 443841,64 | 7,90 | 7,90 | 0,00 | Relatief | 8 |
| Gebouw3D | 3864 | 1 | 08:58, 20 mrt 2020 | | | Polygoon | 246919,45 | 443790,01 | 7,90 | 7,90 | 0,00 | Relatief | 10 |
| Gebouw3D | 3865 | 1 | 08:58, 20 mrt 2020 | | | Polygoon | 246912,54 | 443854,47 | 2,50 | 2,50 | 0,00 | Relatief | 9 |
| Gebouw3D | 3866 | 1 | 08:58, 20 mrt 2020 | | | Polygoon | 246921,25 | 443861,93 | 8,00 | 8,00 | 0,00 | Relatief | 4 |
| Gebouw3D | 3867 | 1 | 08:58, 20 mrt 2020 | | | Polygoon | 246918,74 | 443846,92 | 4,10 | 4,10 | 0,00 | Relatief | 4 |
| Gebouw3D | 3868 | 1 | 08:58, 20 mrt 2020 | | | Polygoon | 246919,94 | 443837,54 | 7,80 | 7,80 | 0,00 | Relatief | 13 |
| Gebouw3D | 3869 | 1 | 08:58, 20 mrt 2020 | | | Polygoon | 246925,36 | 443851,60 | 0,10 | 0,10 | 0,00 | Relatief | 4 |
| Gebouw3D | 3870 | 1 | 08:58, 20 mrt 2020 | | | Polygoon | 246937,94 | 443788,24 | 7,50 | 7,50 | 0,00 | Relatief | 10 |
| Gebouw3D | 3871 | 1 | 08:58, 20 mrt 2020 | | | Polygoon | 246933,16 | 443851,94 | 2,30 | 2,30 | 0,00 | Relatief | 4 |
| Gebouw3D | 3872 | 1 | 08:58, 20 mrt 2020 | | | Polygoon | 246939,82 | 443864,34 | 6,50 | 6,50 | 0,00 | Relatief | 6 |
| Gebouw3D | 3873 | 1 | 08:58, 20 mrt 2020 | | | Polygoon | 246932,80 | 443820,17 | 7,90 | 7,90 | 0,00 | Relatief | 8 |
| Gebouw3D | 3874 | 1 | 08:58, 20 mrt 2020 | | | Polygoon | 246932,80 | 443820,17 | 7,70 | 7,70 | 0,00 | Relatief | 8 |
| Gebouw3D | 3875 | 1 | 08:58, 20 mrt 2020 | | | Polygoon | 246936,89 | 443851,09 | 4,90 | 4,90 | 0,00 | Relatief | 13 |
| Gebouw3D | 3876 | 1 | 08:58, 20 mrt 2020 | | | Polygoon | 246936,89 | 443851,09 | 4,40 | 4,40 | 0,00 | Relatief | 18 |

# Invoergegevens van het model

Model: Jager
Jager - Jager
Groep: (hoofdgroep)
Lijst van Gebouwen, voor rekenmethode Wegverkeerslawaai - RMW-2012

| Groep | Omtrek | Oppervlak | Min.lengte | Max.lengte | Functie | BAG-id | Gemeente | Jaar | AHN-jaar | Trust | Cp | Zwevend | Refl. 63 | Refl. 125 | Refl. 250 |
|---|---|---|---|---|---|---|---|---|---|---|---|---|---|---|---|
| Gebouw3D | 38,36 | 57,07 | 2,39 | 13,83 | | | | 0 | 0 | 0 | 0 dB | False | 0,80 | 0,80 | 0,80 |
| Gebouw3D | 17,62 | 16,94 | 2,83 | 5,98 | | | | 0 | 0 | 0 | 0 dB | False | 0,80 | 0,80 | 0,80 |
| Gebouw3D | 38,37 | 56,78 | 2,33 | 13,83 | | | | 0 | 0 | 0 | 0 dB | False | 0,80 | 0,80 | 0,80 |
| Gebouw3D | 38,30 | 56,76 | 2,18 | 8,09 | | | | 0 | 0 | 0 | 0 dB | False | 0,80 | 0,80 | 0,80 |
| Gebouw3D | 18,10 | 18,99 | 3,30 | 5,75 | | | | 0 | 0 | 0 | 0 dB | False | 0,80 | 0,80 | 0,80 |
| Gebouw3D | 12,60 | 9,91 | 3,04 | 3,26 | | | | 0 | 0 | 0 | 0 dB | False | 0,80 | 0,80 | 0,80 |
| Gebouw3D | 19,78 | 24,27 | 4,51 | 5,38 | | | | 0 | 0 | 0 | 0 dB | False | 0,80 | 0,80 | 0,80 |
| Gebouw3D | 38,06 | 56,94 | 0,12 | 8,09 | | | | 0 | 0 | 0 | 0 dB | False | 0,80 | 0,80 | 0,80 |
| Gebouw3D | 39,23 | 56,61 | 2,05 | 15,00 | | | | 0 | 0 | 0 | 0 dB | False | 0,80 | 0,80 | 0,80 |
| Gebouw3D | 35,09 | 52,91 | 2,96 | 9,44 | | | | 0 | 0 | 0 | 0 dB | False | 0,80 | 0,80 | 0,80 |
| Gebouw3D | 39,62 | 57,83 | 0,04 | 15,19 | | | | 0 | 0 | 0 | 0 dB | False | 0,80 | 0,80 | 0,80 |
| Gebouw3D | 12,26 | 9,43 | 0,23 | 3,06 | | | | 0 | 0 | 0 | 0 dB | False | 0,80 | 0,80 | 0,80 |
| Gebouw3D | 17,98 | 18,04 | 0,16 | 4,56 | | | | 0 | 0 | 0 | 0 dB | False | 0,80 | 0,80 | 0,80 |
| Gebouw3D | 12,67 | 10,03 | 3,12 | 3,19 | | | | 0 | 0 | 0 | 0 dB | False | 0,80 | 0,80 | 0,80 |
| Gebouw3D | 12,45 | 9,69 | 3,10 | 3,14 | | | | 0 | 0 | 0 | 0 dB | False | 0,80 | 0,80 | 0,80 |
| Gebouw3D | 11,89 | 8,82 | 2,82 | 3,12 | | | | 0 | 0 | 0 | 0 dB | False | 0,80 | 0,80 | 0,80 |
| Gebouw3D | 34,99 | 47,79 | 2,11 | 12,58 | | | | 0 | 0 | 0 | 0 dB | False | 0,80 | 0,80 | 0,80 |
| Gebouw3D | 44,04 | 92,81 | 0,05 | 10,36 | | | | 0 | 0 | 0 | 0 dB | False | 0,80 | 0,80 | 0,80 |
| Gebouw3D | 55,64 | 84,89 | 0,22 | 13,72 | | | | 0 | 0 | 0 | 0 dB | False | 0,80 | 0,80 | 0,80 |
| Gebouw3D | 51,00 | 102,64 | 0,80 | 11,58 | | | | 0 | 0 | 0 | 0 dB | False | 0,80 | 0,80 | 0,80 |
| Gebouw3D | 24,15 | 29,10 | 0,96 | 7,84 | | | | 0 | 0 | 0 | 0 dB | False | 0,80 | 0,80 | 0,80 |
| Gebouw3D | 37,38 | 53,20 | 2,16 | 13,72 | | | | 0 | 0 | 0 | 0 dB | False | 0,80 | 0,80 | 0,80 |
| Gebouw3D | 44,03 | 83,40 | 2,40 | 10,36 | | | | 0 | 0 | 0 | 0 dB | False | 0,80 | 0,80 | 0,80 |
| Gebouw3D | 48,06 | 86,94 | 0,80 | 11,58 | | | | 0 | 0 | 0 | 0 dB | False | 0,80 | 0,80 | 0,80 |
| Gebouw3D | 30,11 | 37,54 | 0,32 | 4,18 | | | | 0 | 0 | 0 | 0 dB | False | 0,80 | 0,80 | 0,80 |
| Gebouw3D | 29,84 | 53,71 | 6,03 | 8,86 | | | | 0 | 0 | 0 | 0 dB | False | 0,80 | 0,80 | 0,80 |
| Gebouw3D | 19,77 | 23,40 | 3,93 | 5,96 | | | | 0 | 0 | 0 | 0 dB | False | 0,80 | 0,80 | 0,80 |
| Gebouw3D | 49,37 | 106,92 | 1,85 | 6,64 | | | | 0 | 0 | 0 | 0 dB | False | 0,80 | 0,80 | 0,80 |
| Gebouw3D | 20,55 | 25,34 | 4,11 | 6,16 | | | | 0 | 0 | 0 | 0 dB | False | 0,80 | 0,80 | 0,80 |
| Gebouw3D | 48,01 | 86,58 | 0,77 | 11,58 | | | | 0 | 0 | 0 | 0 dB | False | 0,80 | 0,80 | 0,80 |
| Gebouw3D | 11,29 | 7,90 | 2,58 | 3,06 | | | | 0 | 0 | 0 | 0 dB | False | 0,80 | 0,80 | 0,80 |
| Gebouw3D | 32,20 | 64,43 | 0,02 | 8,53 | | | | 0 | 0 | 0 | 0 dB | False | 0,80 | 0,80 | 0,80 |
| Gebouw3D | 44,08 | 83,57 | 2,40 | 10,36 | | | | 0 | 0 | 0 | 0 dB | False | 0,80 | 0,80 | 0,80 |
| Gebouw3D | 44,07 | 83,54 | 2,40 | 10,36 | | | | 0 | 0 | 0 | 0 dB | False | 0,80 | 0,80 | 0,80 |
| Gebouw3D | 55,57 | 112,11 | 0,45 | 10,91 | | | | 0 | 0 | 0 | 0 dB | False | 0,80 | 0,80 | 0,80 |
| Gebouw3D | 51,29 | 63,81 | 0,36 | 7,09 | | | | 0 | 0 | 0 | 0 dB | False | 0,80 | 0,80 | 0,80 |

Model: Jager
Jager - Jager
Groep: (hoofdgroep)
Lijst van Gebouwen, voor rekenmethode Wegverkeerslawaai - RMW-2012

| Groep | Refl. 500 | Refl. 1k | Refl. 2k | Refl. 4k | Refl. 8k |
|---|---|---|---|---|---|
| Gebouw3D | 0,80 | 0,80 | 0,80 | 0,80 | 0,80 |
| Gebouw3D | 0,80 | 0,80 | 0,80 | 0,80 | 0,80 |
| Gebouw3D | 0,80 | 0,80 | 0,80 | 0,80 | 0,80 |
| Gebouw3D | 0,80 | 0,80 | 0,80 | 0,80 | 0,80 |
| Gebouw3D | 0,80 | 0,80 | 0,80 | 0,80 | 0,80 |
| Gebouw3D | 0,80 | 0,80 | 0,80 | 0,80 | 0,80 |
| Gebouw3D | 0,80 | 0,80 | 0,80 | 0,80 | 0,80 |
| Gebouw3D | 0,80 | 0,80 | 0,80 | 0,80 | 0,80 |
| Gebouw3D | 0,80 | 0,80 | 0,80 | 0,80 | 0,80 |
| Gebouw3D | 0,80 | 0,80 | 0,80 | 0,80 | 0,80 |
| Gebouw3D | 0,80 | 0,80 | 0,80 | 0,80 | 0,80 |
| Gebouw3D | 0,80 | 0,80 | 0,80 | 0,80 | 0,80 |
| Gebouw3D | 0,80 | 0,80 | 0,80 | 0,80 | 0,80 |
| Gebouw3D | 0,80 | 0,80 | 0,80 | 0,80 | 0,80 |
| Gebouw3D | 0,80 | 0,80 | 0,80 | 0,80 | 0,80 |
| Gebouw3D | 0,80 | 0,80 | 0,80 | 0,80 | 0,80 |
| Gebouw3D | 0,80 | 0,80 | 0,80 | 0,80 | 0,80 |
| Gebouw3D | 0,80 | 0,80 | 0,80 | 0,80 | 0,80 |
| Gebouw3D | 0,80 | 0,80 | 0,80 | 0,80 | 0,80 |
| Gebouw3D | 0,80 | 0,80 | 0,80 | 0,80 | 0,80 |
| Gebouw3D | 0,80 | 0,80 | 0,80 | 0,80 | 0,80 |
| Gebouw3D | 0,80 | 0,80 | 0,80 | 0,80 | 0,80 |
| Gebouw3D | 0,80 | 0,80 | 0,80 | 0,80 | 0,80 |
| Gebouw3D | 0,80 | 0,80 | 0,80 | 0,80 | 0,80 |
| Gebouw3D | 0,80 | 0,80 | 0,80 | 0,80 | 0,80 |
| Gebouw3D | 0,80 | 0,80 | 0,80 | 0,80 | 0,80 |
| Gebouw3D | 0,80 | 0,80 | 0,80 | 0,80 | 0,80 |
| Gebouw3D | 0,80 | 0,80 | 0,80 | 0,80 | 0,80 |
| Gebouw3D | 0,80 | 0,80 | 0,80 | 0,80 | 0,80 |
| Gebouw3D | 0,80 | 0,80 | 0,80 | 0,80 | 0,80 |
| Gebouw3D | 0,80 | 0,80 | 0,80 | 0,80 | 0,80 |
| Gebouw3D | 0,80 | 0,80 | 0,80 | 0,80 | 0,80 |

Model: Jager
Jager - Jager
Groep: (hoofdgroep)
Lijst van Gebouwen, voor rekenmethode Wegverkeerslawaai - RMW-2012

| Groep | ItemID | Grp.ID | Datum | Naam | Omschr. | Vorm | X-1 | Y-1 | Hoogte | Rel.H | Maaiveld | Hdef. | Vormpunten |
|---|---|---|---|---|---|---|---|---|---|---|---|---|---|
| Gebouw3D | 3877 | 1 | 08:58, 20 mrt 2020 | | | Polygoon | 246946,37 | 443778,73 | 7,90 | 7,90 | 0,00 | Relatief | 11 |
| Gebouw3D | 3878 | 1 | 08:58, 20 mrt 2020 | | | Polygoon | 246946,03 | 443863,09 | 5,10 | 5,10 | 0,00 | Relatief | 6 |
| Gebouw3D | 3879 | 1 | 08:58, 20 mrt 2020 | | | Polygoon | 246953,08 | 443783,97 | 7,70 | 7,70 | 0,00 | Relatief | 14 |
| Gebouw3D | 3880 | 1 | 08:58, 20 mrt 2020 | | | Polygoon | 246949,86 | 443868,23 | 7,20 | 7,20 | 0,00 | Relatief | 9 |
| Gebouw3D | 3881 | 1 | 08:58, 20 mrt 2020 | | | Polygoon | 246953,58 | 443841,35 | 9,80 | 9,80 | 0,00 | Relatief | 6 |
| Gebouw3D | 3882 | 1 | 08:58, 20 mrt 2020 | | | Polygoon | 246953,58 | 443841,35 | 9,70 | 9,70 | 0,00 | Relatief | 6 |
| Gebouw3D | 3883 | 1 | 08:58, 20 mrt 2020 | | | Polygoon | 246955,38 | 443857,75 | 8,50 | 8,50 | 0,00 | Relatief | 4 |
| Gebouw3D | 3884 | 1 | 08:58, 20 mrt 2020 | | | Polygoon | 246955,38 | 443857,75 | 8,50 | 8,50 | 0,00 | Relatief | 4 |
| Gebouw3D | 3885 | 1 | 08:58, 20 mrt 2020 | | | Polygoon | 246959,90 | 443820,42 | 7,80 | 7,80 | 0,00 | Relatief | 10 |
| Gebouw3D | 3886 | 1 | 08:58, 20 mrt 2020 | | | Polygoon | 246959,90 | 443820,42 | 7,80 | 7,80 | 0,00 | Relatief | 10 |
| Gebouw3D | 3887 | 1 | 08:58, 20 mrt 2020 | | | Polygoon | 246957,06 | 443792,83 | 7,90 | 7,90 | 0,00 | Relatief | 10 |
| Gebouw3D | 3888 | 1 | 08:58, 20 mrt 2020 | | | Polygoon | 246966,80 | 443791,08 | 7,80 | 7,80 | 0,00 | Relatief | 10 |
| Gebouw3D | 3889 | 1 | 08:58, 20 mrt 2020 | | | Polygoon | 246922,20 | 443785,93 | 7,80 | 7,80 | 0,00 | Relatief | 13 |
| Gebouw3D | 3890 | 1 | 08:58, 20 mrt 2020 | | | Polygoon | 246921,25 | 443861,93 | 8,10 | 8,10 | 0,00 | Relatief | 4 |
| Gebouw3D | 3891 | 1 | 08:58, 20 mrt 2020 | | | Polygoon | 246947,38 | 443817,05 | 2,50 | 2,50 | 0,00 | Relatief | 6 |
| Gebouw3D | 3892 | 1 | 08:58, 20 mrt 2020 | | | Polygoon | 246942,75 | 443863,12 | 6,50 | 6,50 | 0,00 | Relatief | 19 |
| Gebouw3D | 3928 | 1 | 08:58, 20 mrt 2020 | | | Polygoon | 247051,85 | 443634,88 | 7,40 | 7,40 | 0,00 | Relatief | 6 |
| Gebouw3D | 3929 | 1 | 08:58, 20 mrt 2020 | | | Polygoon | 247053,21 | 443644,58 | 7,40 | 7,40 | 0,00 | Relatief | 6 |
| Gebouw3D | 3930 | 1 | 08:58, 20 mrt 2020 | | | Polygoon | 247053,90 | 443649,46 | 7,40 | 7,40 | 0,00 | Relatief | 7 |
| Gebouw3D | 3931 | 1 | 08:58, 20 mrt 2020 | | | Polygoon | 247054,59 | 443654,44 | 7,00 | 7,00 | 0,00 | Relatief | 24 |
| Gebouw3D | 3932 | 1 | 08:58, 20 mrt 2020 | | | Polygoon | 247055,59 | 443662,61 | 9,40 | 9,40 | 0,00 | Relatief | 8 |
| Gebouw3D | 3933 | 1 | 08:58, 20 mrt 2020 | | | Polygoon | 247056,16 | 443668,63 | 0,00 | 0,00 | 0,00 | Relatief | 4 |
| Gebouw3D | 3934 | 1 | 08:58, 20 mrt 2020 | | | Polygoon | 247056,58 | 443673,06 | 9,60 | 9,60 | 0,00 | Relatief | 8 |
| Gebouw3D | 3935 | 1 | 08:58, 20 mrt 2020 | | | Polygoon | 247057,14 | 443679,04 | 7,30 | 7,30 | 0,00 | Relatief | 10 |
| Gebouw3D | 3936 | 1 | 08:58, 20 mrt 2020 | | | Polygoon | 247065,55 | 443691,59 | 7,30 | 7,30 | 0,00 | Relatief | 8 |
| Gebouw3D | 3937 | 1 | 08:58, 20 mrt 2020 | | | Polygoon | 247071,20 | 443701,29 | 7,10 | 7,10 | 0,00 | Relatief | 7 |
| Gebouw3D | 3938 | 1 | 08:58, 20 mrt 2020 | | | Polygoon | 247070,77 | 443620,43 | 2,30 | 2,30 | 0,00 | Relatief | 7 |
| Gebouw3D | 3939 | 1 | 08:58, 20 mrt 2020 | | | Polygoon | 247071,36 | 443632,10 | 2,80 | 2,80 | 0,00 | Relatief | 4 |
| Gebouw3D | 3940 | 1 | 08:58, 20 mrt 2020 | | | Polygoon | 247072,25 | 443641,61 | 2,10 | 2,10 | 0,00 | Relatief | 4 |
| Gebouw3D | 3941 | 1 | 08:58, 20 mrt 2020 | | | Polygoon | 247078,22 | 443679,06 | 2,40 | 2,40 | 0,00 | Relatief | 4 |
| Gebouw3D | 3942 | 1 | 08:58, 20 mrt 2020 | | | Polygoon | 247075,70 | 443682,51 | 2,60 | 2,60 | 0,00 | Relatief | 4 |
| Gebouw3D | 3943 | 1 | 08:58, 20 mrt 2020 | | | Polygoon | 247077,09 | 443696,03 | 2,20 | 2,20 | 0,00 | Relatief | 7 |
| Gebouw3D | 3944 | 1 | 08:58, 20 mrt 2020 | | | Polygoon | 247084,05 | 443633,00 | 2,30 | 2,30 | 0,00 | Relatief | 6 |
| Gebouw3D | 3945 | 1 | 08:58, 20 mrt 2020 | | | Polygoon | 247077,09 | 443696,03 | 2,20 | 2,20 | 0,00 | Relatief | 5 |
| Gebouw3D | 3946 | 1 | 08:58, 20 mrt 2020 | | | Polygoon | 247087,35 | 443677,78 | 7,70 | 7,70 | 0,00 | Relatief | 10 |
| Gebouw3D | 3947 | 1 | 08:58, 20 mrt 2020 | | | Polygoon | 247085,34 | 443645,20 | 7,40 | 7,40 | 0,00 | Relatief | 6 |

# Invoergegevens van het model

Model: Jager
Jager - Jager
Groep: (hoofdgroep)
Lijst van Gebouwen, voor rekenmethode Wegverkeerslawaai - RMW-2012

| Groep | Omtrek | Oppervlak | Min.lengte | Max.lengte | Functie | BAG-id | Gemeente | Jaar | AHN-jaar | Trust | Cp | Zwevend | Refl. 63 | Refl. 125 | Refl. 250 |
|---|---|---|---|---|---|---|---|---|---|---|---|---|---|---|---|
| Gebouw3D | 52,08 | 93,39 | 0,80 | 11,59 | | | | 0 | 0 | 0 | 0 dB | False | 0,80 | 0,80 | 0,80 |
| Gebouw3D | 17,90 | 18,90 | 0,03 | 5,50 | | | | 0 | 0 | 0 | 0 dB | False | 0,80 | 0,80 | 0,80 |
| Gebouw3D | 49,22 | 102,38 | 0,04 | 11,59 | | | | 0 | 0 | 0 | 0 dB | False | 0,80 | 0,80 | 0,80 |
| Gebouw3D | 46,85 | 83,95 | 0,12 | 15,89 | | | | 0 | 0 | 0 | 0 dB | False | 0,80 | 0,80 | 0,80 |
| Gebouw3D | 42,67 | 81,13 | 0,74 | 16,24 | | | | 0 | 0 | 0 | 0 dB | False | 0,80 | 0,80 | 0,80 |
| Gebouw3D | 44,54 | 86,82 | 0,87 | 16,24 | | | | 0 | 0 | 0 | 0 dB | False | 0,80 | 0,80 | 0,80 |
| Gebouw3D | 31,70 | 55,64 | 5,23 | 10,60 | | | | 0 | 0 | 0 | 0 dB | False | 0,80 | 0,80 | 0,80 |
| Gebouw3D | 32,40 | 59,34 | 5,58 | 10,60 | | | | 0 | 0 | 0 | 0 dB | False | 0,80 | 0,80 | 0,80 |
| Gebouw3D | 47,86 | 85,95 | 0,80 | 11,52 | | | | 0 | 0 | 0 | 0 dB | False | 0,80 | 0,80 | 0,80 |
| Gebouw3D | 47,87 | 86,05 | 0,80 | 11,52 | | | | 0 | 0 | 0 | 0 dB | False | 0,80 | 0,80 | 0,80 |
| Gebouw3D | 48,94 | 89,26 | 0,79 | 11,57 | | | | 0 | 0 | 0 | 0 dB | False | 0,80 | 0,80 | 0,80 |
| Gebouw3D | 50,01 | 100,56 | 0,79 | 11,57 | | | | 0 | 0 | 0 | 0 dB | False | 0,80 | 0,80 | 0,80 |
| Gebouw3D | 48,00 | 101,73 | 0,36 | 11,58 | | | | 0 | 0 | 0 | 0 dB | False | 0,80 | 0,80 | 0,80 |
| Gebouw3D | 29,34 | 51,48 | 5,78 | 8,86 | | | | 0 | 0 | 0 | 0 dB | False | 0,80 | 0,80 | 0,80 |
| Gebouw3D | 22,44 | 25,78 | 0,52 | 5,80 | | | | 0 | 0 | 0 | 0 dB | False | 0,80 | 0,80 | 0,80 |
| Gebouw3D | 40,01 | 87,92 | 0,03 | 8,53 | | | | 0 | 0 | 0 | 0 dB | False | 0,80 | 0,80 | 0,80 |
| Gebouw3D | 35,56 | 49,13 | 2,08 | 12,67 | | | | 0 | 0 | 0 | 0 dB | False | 0,80 | 0,80 | 0,80 |
| Gebouw3D | 35,28 | 49,30 | 2,36 | 12,68 | | | | 0 | 0 | 0 | 0 dB | False | 0,80 | 0,80 | 0,80 |
| Gebouw3D | 34,86 | 47,68 | 0,08 | 12,42 | | | | 0 | 0 | 0 | 0 dB | False | 0,80 | 0,80 | 0,80 |
| Gebouw3D | 69,03 | 135,76 | 0,08 | 12,42 | | | | 0 | 0 | 0 | 0 dB | False | 0,80 | 0,80 | 0,80 |
| Gebouw3D | 40,13 | 66,71 | 0,84 | 8,04 | | | | 0 | 0 | 0 | 0 dB | False | 0,80 | 0,80 | 0,80 |
| Gebouw3D | 24,90 | 35,45 | 4,36 | 8,05 | | | | 0 | 0 | 0 | 0 dB | False | 0,80 | 0,80 | 0,80 |
| Gebouw3D | 39,81 | 65,51 | 0,63 | 8,06 | | | | 0 | 0 | 0 | 0 dB | False | 0,80 | 0,80 | 0,80 |
| Gebouw3D | 43,09 | 91,33 | 0,16 | 12,52 | | | | 0 | 0 | 0 | 0 dB | False | 0,80 | 0,80 | 0,80 |
| Gebouw3D | 54,79 | 109,15 | 1,98 | 12,59 | | | | 0 | 0 | 0 | 0 dB | False | 0,80 | 0,80 | 0,80 |
| Gebouw3D | 39,05 | 70,85 | 0,52 | 12,59 | | | | 0 | 0 | 0 | 0 dB | False | 0,80 | 0,80 | 0,80 |
| Gebouw3D | 17,41 | 15,38 | 0,35 | 4,96 | | | | 0 | 0 | 0 | 0 dB | False | 0,80 | 0,80 | 0,80 |
| Gebouw3D | 16,42 | 15,61 | 2,99 | 5,22 | | | | 0 | 0 | 0 | 0 dB | False | 0,80 | 0,80 | 0,80 |
| Gebouw3D | 12,17 | 9,26 | 3,01 | 3,08 | | | | 0 | 0 | 0 | 0 dB | False | 0,80 | 0,80 | 0,80 |
| Gebouw3D | 10,89 | 7,36 | 2,50 | 2,94 | | | | 0 | 0 | 0 | 0 dB | False | 0,80 | 0,80 | 0,80 |
| Gebouw3D | 14,07 | 12,09 | 2,99 | 4,05 | | | | 0 | 0 | 0 | 0 dB | False | 0,80 | 0,80 | 0,80 |
| Gebouw3D | 18,56 | 21,28 | 0,06 | 5,01 | | | | 0 | 0 | 0 | 0 dB | False | 0,80 | 0,80 | 0,80 |
| Gebouw3D | 25,75 | 33,78 | 1,99 | 7,72 | | | | 0 | 0 | 0 | 0 dB | False | 0,80 | 0,80 | 0,80 |
| Gebouw3D | 11,87 | 8,81 | 0,25 | 3,01 | | | | 0 | 0 | 0 | 0 dB | False | 0,80 | 0,80 | 0,80 |
| Gebouw3D | 37,60 | 74,87 | 0,17 | 10,69 | | | | 0 | 0 | 0 | 0 dB | False | 0,80 | 0,80 | 0,80 |
| Gebouw3D | 35,67 | 50,59 | 2,14 | 12,75 | | | | 0 | 0 | 0 | 0 dB | False | 0,80 | 0,80 | 0,80 |

Model: Jager
Jager - Jager
Groep: (hoofdgroep)
Lijst van Gebouwen, voor rekenmethode Wegverkeerslawaai - RMW-2012

| Groep | Refl. 500 | Refl. 1k | Refl. 2k | Refl. 4k | Refl. 8k |
|---|---|---|---|---|---|
| Gebouw3D | 0,80 | 0,80 | 0,80 | 0,80 | 0,80 |
| Gebouw3D | 0,80 | 0,80 | 0,80 | 0,80 | 0,80 |
| Gebouw3D | 0,80 | 0,80 | 0,80 | 0,80 | 0,80 |
| Gebouw3D | 0,80 | 0,80 | 0,80 | 0,80 | 0,80 |
| Gebouw3D | 0,80 | 0,80 | 0,80 | 0,80 | 0,80 |
| Gebouw3D | 0,80 | 0,80 | 0,80 | 0,80 | 0,80 |
| Gebouw3D | 0,80 | 0,80 | 0,80 | 0,80 | 0,80 |
| Gebouw3D | 0,80 | 0,80 | 0,80 | 0,80 | 0,80 |
| Gebouw3D | 0,80 | 0,80 | 0,80 | 0,80 | 0,80 |
| Gebouw3D | 0,80 | 0,80 | 0,80 | 0,80 | 0,80 |
| Gebouw3D | 0,80 | 0,80 | 0,80 | 0,80 | 0,80 |
| Gebouw3D | 0,80 | 0,80 | 0,80 | 0,80 | 0,80 |
| Gebouw3D | 0,80 | 0,80 | 0,80 | 0,80 | 0,80 |
| Gebouw3D | 0,80 | 0,80 | 0,80 | 0,80 | 0,80 |
| Gebouw3D | 0,80 | 0,80 | 0,80 | 0,80 | 0,80 |
| Gebouw3D | 0,80 | 0,80 | 0,80 | 0,80 | 0,80 |
| Gebouw3D | 0,80 | 0,80 | 0,80 | 0,80 | 0,80 |
| Gebouw3D | 0,80 | 0,80 | 0,80 | 0,80 | 0,80 |
| Gebouw3D | 0,80 | 0,80 | 0,80 | 0,80 | 0,80 |
| Gebouw3D | 0,80 | 0,80 | 0,80 | 0,80 | 0,80 |
| Gebouw3D | 0,80 | 0,80 | 0,80 | 0,80 | 0,80 |
| Gebouw3D | 0,80 | 0,80 | 0,80 | 0,80 | 0,80 |
| Gebouw3D | 0,80 | 0,80 | 0,80 | 0,80 | 0,80 |
| Gebouw3D | 0,80 | 0,80 | 0,80 | 0,80 | 0,80 |
| Gebouw3D | 0,80 | 0,80 | 0,80 | 0,80 | 0,80 |
| Gebouw3D | 0,80 | 0,80 | 0,80 | 0,80 | 0,80 |
| Gebouw3D | 0,80 | 0,80 | 0,80 | 0,80 | 0,80 |
| Gebouw3D | 0,80 | 0,80 | 0,80 | 0,80 | 0,80 |
| Gebouw3D | 0,80 | 0,80 | 0,80 | 0,80 | 0,80 |
| Gebouw3D | 0,80 | 0,80 | 0,80 | 0,80 | 0,80 |
| Gebouw3D | 0,80 | 0,80 | 0,80 | 0,80 | 0,80 |
| Gebouw3D | 0,80 | 0,80 | 0,80 | 0,80 | 0,80 |

# Invoergegevens van het model

Model: Jager
Jager - Jager
Groep: (hoofdgroep)
Lijst van Gebouwen, voor rekenmethode Wegverkeerslawaai - RMW-2012

| Groep | ItemID | Grp.ID | Datum | Naam | Omschr. | Vorm | X-1 | Y-1 | Hoogte | Rel.H | Maaiveld | Hdef. | Vormpunten |
|---|---|---|---|---|---|---|---|---|---|---|---|---|---|
| Gebouw3D | 3948 | 1 | 08:58, 20 mrt 2020 | | | Polygoon | 247089,26 | 443696,21 | 2,30 | 2,30 | 0,00 | Relatief | 4 |
| Gebouw3D | 3949 | 1 | 08:58, 20 mrt 2020 | | | Polygoon | 247087,35 | 443677,78 | 7,50 | 7,50 | 0,00 | Relatief | 6 |
| Gebouw3D | 4012 | 1 | 08:58, 20 mrt 2020 | | | Polygoon | 246574,72 | 443597,10 | 9,30 | 9,30 | 0,00 | Relatief | 7 |
| Gebouw3D | 4013 | 1 | 08:58, 20 mrt 2020 | | | Polygoon | 246592,58 | 443608,66 | 10,70 | 10,70 | 0,00 | Relatief | 12 |
| Gebouw3D | 4016 | 1 | 08:58, 20 mrt 2020 | | | Polygoon | 246582,47 | 443619,57 | 6,20 | 6,20 | 0,00 | Relatief | 7 |
| Gebouw3D | 4020 | 1 | 08:58, 20 mrt 2020 | | | Polygoon | 246601,33 | 443699,41 | 8,60 | 8,60 | 0,00 | Relatief | 13 |
| Gebouw3D | 4022 | 1 | 08:58, 20 mrt 2020 | | | Polygoon | 246592,56 | 443608,67 | 6,40 | 6,40 | 0,00 | Relatief | 6 |
| Gebouw3D | 4023 | 1 | 08:58, 20 mrt 2020 | | | Polygoon | 246606,07 | 443647,30 | 9,80 | 9,80 | 0,00 | Relatief | 14 |
| Gebouw3D | 4024 | 1 | 08:58, 20 mrt 2020 | | | Polygoon | 246606,98 | 443690,04 | 8,70 | 8,70 | 0,00 | Relatief | 7 |
| Gebouw3D | 4025 | 1 | 08:58, 20 mrt 2020 | | | Polygoon | 246611,02 | 443654,63 | 6,20 | 6,20 | 0,00 | Relatief | 15 |
| Gebouw3D | 4026 | 1 | 08:58, 20 mrt 2020 | | | Polygoon | 246607,38 | 443689,23 | 8,60 | 8,60 | 0,00 | Relatief | 11 |
| Gebouw3D | 4027 | 1 | 08:58, 20 mrt 2020 | | | Polygoon | 246611,02 | 443654,63 | 8,90 | 8,90 | 0,00 | Relatief | 4 |
| Gebouw3D | 4028 | 1 | 08:58, 20 mrt 2020 | | | Polygoon | 246615,60 | 443601,84 | 8,10 | 8,10 | 0,00 | Relatief | 8 |
| Gebouw3D | 4029 | 1 | 08:58, 20 mrt 2020 | | | Polygoon | 246612,86 | 443678,45 | 8,60 | 8,60 | 0,00 | Relatief | 9 |
| Gebouw3D | 4030 | 1 | 08:58, 20 mrt 2020 | | | Polygoon | 246617,64 | 443724,68 | 0,20 | 0,20 | 0,00 | Relatief | 4 |
| Gebouw3D | 4031 | 1 | 08:58, 20 mrt 2020 | | | Polygoon | 246620,43 | 443650,62 | 8,70 | 8,70 | 0,00 | Relatief | 7 |
| Gebouw3D | 4032 | 1 | 08:58, 20 mrt 2020 | | | Polygoon | 246618,15 | 443704,63 | 3,10 | 3,10 | 0,00 | Relatief | 4 |
| Gebouw3D | 4033 | 1 | 08:58, 20 mrt 2020 | | | Polygoon | 246615,34 | 443664,35 | 9,70 | 9,70 | 0,00 | Relatief | 13 |
| Gebouw3D | 4034 | 1 | 08:58, 20 mrt 2020 | | | Polygoon | 246623,31 | 443655,62 | 11,30 | 11,30 | 0,00 | Relatief | 27 |
| Gebouw3D | 4035 | 1 | 08:58, 20 mrt 2020 | | | Polygoon | 246630,93 | 443680,91 | 13,10 | 13,10 | 0,00 | Relatief | 10 |
| Gebouw3D | 4038 | 1 | 08:58, 20 mrt 2020 | | | Polygoon | 246644,17 | 443590,47 | 0,00 | 0,00 | 0,00 | Relatief | 6 |
| Gebouw3D | 4039 | 1 | 08:58, 20 mrt 2020 | | | Polygoon | 246638,13 | 443622,86 | 3,40 | 3,40 | 0,00 | Relatief | 21 |
| Gebouw3D | 4040 | 1 | 08:58, 20 mrt 2020 | | | Polygoon | 246625,96 | 443630,54 | 3,40 | 3,40 | 0,00 | Relatief | 12 |
| Gebouw3D | 4041 | 1 | 08:58, 20 mrt 2020 | | | Polygoon | 246821,72 | 443885,71 | 7,30 | 7,30 | 0,00 | Relatief | 15 |
| Gebouw3D | 4042 | 1 | 08:58, 20 mrt 2020 | | | Polygoon | 246821,72 | 443885,71 | 7,20 | 7,20 | 0,00 | Relatief | 17 |
| Gebouw3D | 4043 | 1 | 08:58, 20 mrt 2020 | | | Polygoon | 246767,81 | 443889,60 | 9,00 | 9,00 | 0,00 | Relatief | 12 |
| Gebouw3D | 4044 | 1 | 08:58, 20 mrt 2020 | | | Polygoon | 246733,33 | 443948,45 | 12,20 | 12,20 | 0,00 | Relatief | 22 |
| Gebouw3D | 4045 | 1 | 08:58, 20 mrt 2020 | | | Polygoon | 246770,04 | 443895,52 | 4,40 | 4,40 | 0,00 | Relatief | 6 |
| Gebouw3D | 4046 | 1 | 08:58, 20 mrt 2020 | | | Polygoon | 246831,37 | 443905,48 | 2,70 | 2,70 | 0,00 | Relatief | 4 |
| Gebouw3D | 4047 | 1 | 08:58, 20 mrt 2020 | | | Polygoon | 246839,39 | 443900,68 | 2,40 | 2,40 | 0,00 | Relatief | 4 |
| Gebouw3D | 4048 | 1 | 08:58, 20 mrt 2020 | | | Polygoon | 246756,87 | 443905,04 | 2,60 | 2,60 | 0,00 | Relatief | 5 |
| Gebouw3D | 4049 | 1 | 08:58, 20 mrt 2020 | | | Polygoon | 246768,66 | 443907,56 | 8,10 | 8,10 | 0,00 | Relatief | 4 |
| Gebouw3D | 4050 | 1 | 08:58, 20 mrt 2020 | | | Polygoon | 246768,66 | 443907,56 | 0,00 | 0,00 | 0,00 | Relatief | 4 |
| Gebouw3D | 4051 | 1 | 08:58, 20 mrt 2020 | | | Polygoon | 246758,22 | 443912,07 | 2,60 | 2,60 | 0,00 | Relatief | 4 |
| Gebouw3D | 4052 | 1 | 08:58, 20 mrt 2020 | | | Polygoon | 246767,15 | 443918,29 | 8,00 | 8,00 | 0,00 | Relatief | 10 |
| Gebouw3D | 4053 | 1 | 08:58, 20 mrt 2020 | | | Polygoon | 246752,83 | 443917,98 | 0,10 | 0,10 | 0,00 | Relatief | 4 |

# Invoergegevens van het model

Model: Jager
Jager - Jager
Groep: (hoofdgroep)
Lijst van Gebouwen, voor rekenmethode Wegverkeerslawaai - RMW-2012

| Groep | Omtrek | Oppervlak | Min.lengte | Max.lengte | Functie | BAG-id | Gemeente | Jaar | AHN-jaar | Trust | Cp | Zwevend | Refl. 63 | Refl. 125 | Refl. 250 |
|---|---|---|---|---|---|---|---|---|---|---|---|---|---|---|---|
| Gebouw3D | 20,21 | 19,96 | 2,66 | 7,43 | | | | 0 | 0 | 0 | 0 dB | False | 0,80 | 0,80 | 0,80 |
| Gebouw3D | 31,89 | 44,91 | 1,82 | 10,69 | | | | 0 | 0 | 0 | 0 dB | False | 0,80 | 0,80 | 0,80 |
| Gebouw3D | 49,00 | 117,52 | 0,65 | 16,78 | | | | 0 | 0 | 0 | 0 dB | False | 0,80 | 0,80 | 0,80 |
| Gebouw3D | 47,87 | 135,07 | 0,09 | 12,73 | | | | 0 | 0 | 0 | 0 dB | False | 0,80 | 0,80 | 0,80 |
| Gebouw3D | 60,65 | 197,61 | 0,57 | 20,46 | | | | 0 | 0 | 0 | 0 dB | False | 0,80 | 0,80 | 0,80 |
| Gebouw3D | 71,37 | 239,40 | 0,37 | 19,66 | | | | 0 | 0 | 0 | 0 dB | False | 0,80 | 0,80 | 0,80 |
| Gebouw3D | 49,33 | 99,88 | 1,44 | 19,53 | | | | 0 | 0 | 0 | 0 dB | False | 0,80 | 0,80 | 0,80 |
| Gebouw3D | 86,93 | 335,23 | 0,10 | 12,17 | | | | 0 | 0 | 0 | 0 dB | False | 0,80 | 0,80 | 0,80 |
| Gebouw3D | 51,30 | 142,86 | 3,52 | 11,02 | | | | 0 | 0 | 0 | 0 dB | False | 0,80 | 0,80 | 0,80 |
| Gebouw3D | 82,40 | 262,29 | 0,03 | 11,07 | | | | 0 | 0 | 0 | 0 dB | False | 0,80 | 0,80 | 0,80 |
| Gebouw3D | 63,22 | 184,85 | 0,20 | 19,73 | | | | 0 | 0 | 0 | 0 dB | False | 0,80 | 0,80 | 0,80 |
| Gebouw3D | 30,05 | 48,74 | 4,03 | 10,25 | | | | 0 | 0 | 0 | 0 dB | False | 0,80 | 0,80 | 0,80 |
| Gebouw3D | 44,38 | 93,23 | 0,11 | 10,30 | | | | 0 | 0 | 0 | 0 dB | False | 0,80 | 0,80 | 0,80 |
| Gebouw3D | 51,61 | 136,50 | 0,14 | 18,55 | | | | 0 | 0 | 0 | 0 dB | False | 0,80 | 0,80 | 0,80 |
| Gebouw3D | 23,76 | 24,14 | 2,47 | 9,29 | | | | 0 | 0 | 0 | 0 dB | False | 0,80 | 0,80 | 0,80 |
| Gebouw3D | 34,74 | 68,21 | 2,76 | 7,81 | | | | 0 | 0 | 0 | 0 dB | False | 0,80 | 0,80 | 0,80 |
| Gebouw3D | 23,67 | 29,47 | 3,56 | 8,27 | | | | 0 | 0 | 0 | 0 dB | False | 0,80 | 0,80 | 0,80 |
| Gebouw3D | 56,71 | 171,76 | 0,35 | 10,25 | | | | 0 | 0 | 0 | 0 dB | False | 0,80 | 0,80 | 0,80 |
| Gebouw3D | 93,55 | 273,90 | 0,12 | 13,80 | | | | 0 | 0 | 0 | 0 dB | False | 0,80 | 0,80 | 0,80 |
| Gebouw3D | 62,01 | 219,48 | 0,31 | 18,46 | | | | 0 | 0 | 0 | 0 dB | False | 0,80 | 0,80 | 0,80 |
| Gebouw3D | 9,73 | 5,88 | 0,15 | 2,63 | | | | 0 | 0 | 0 | 0 dB | False | 0,80 | 0,80 | 0,80 |
| Gebouw3D | 63,49 | 135,72 | 0,06 | 15,69 | | | | 0 | 0 | 0 | 0 dB | False | 0,80 | 0,80 | 0,80 |
| Gebouw3D | 59,18 | 127,46 | 0,17 | 15,69 | | | | 0 | 0 | 0 | 0 dB | False | 0,80 | 0,80 | 0,80 |
| Gebouw3D | 58,02 | 124,34 | 0,07 | 11,35 | | | | 0 | 0 | 0 | 0 dB | False | 0,80 | 0,80 | 0,80 |
| Gebouw3D | 61,47 | 135,10 | 0,53 | 11,35 | | | | 0 | 0 | 0 | 0 dB | False | 0,80 | 0,80 | 0,80 |
| Gebouw3D | 31,44 | 54,20 | 0,52 | 8,62 | | | | 0 | 0 | 0 | 0 dB | False | 0,80 | 0,80 | 0,80 |
| Gebouw3D | 309,14 | 2055,18 | 0,71 | 48,86 | | | | 0 | 0 | 0 | 0 dB | False | 0,80 | 0,80 | 0,80 |
| Gebouw3D | 30,64 | 45,73 | 1,68 | 10,00 | | | | 0 | 0 | 0 | 0 dB | False | 0,80 | 0,80 | 0,80 |
| Gebouw3D | 20,76 | 22,68 | 3,09 | 7,25 | | | | 0 | 0 | 0 | 0 dB | False | 0,80 | 0,80 | 0,80 |
| Gebouw3D | 14,39 | 12,63 | 3,04 | 4,16 | | | | 0 | 0 | 0 | 0 dB | False | 0,80 | 0,80 | 0,80 |
| Gebouw3D | 22,20 | 27,70 | 0,39 | 7,68 | | | | 0 | 0 | 0 | 0 dB | False | 0,80 | 0,80 | 0,80 |
| Gebouw3D | 28,18 | 46,57 | 5,29 | 8,80 | | | | 0 | 0 | 0 | 0 dB | False | 0,80 | 0,80 | 0,80 |
| Gebouw3D | 27,94 | 45,51 | 5,16 | 8,80 | | | | 0 | 0 | 0 | 0 dB | False | 0,80 | 0,80 | 0,80 |
| Gebouw3D | 14,40 | 12,67 | 3,07 | 4,13 | | | | 0 | 0 | 0 | 0 dB | False | 0,80 | 0,80 | 0,80 |
| Gebouw3D | 41,46 | 85,50 | 1,08 | 11,60 | | | | 0 | 0 | 0 | 0 dB | False | 0,80 | 0,80 | 0,80 |
| Gebouw3D | 16,18 | 11,98 | 1,95 | 6,14 | | | | 0 | 0 | 0 | 0 dB | False | 0,80 | 0,80 | 0,80 |

Model: Jager
Jager - Jager
Groep: (hoofdgroep)
Lijst van Gebouwen, voor rekenmethode Wegverkeerslawaai - RMW-2012

| Groep | Refl. 500 | Refl. 1k | Refl. 2k | Refl. 4k | Refl. 8k |
|---|---|---|---|---|---|
| Gebouw3D | 0,80 | 0,80 | 0,80 | 0,80 | 0,80 |
| Gebouw3D | 0,80 | 0,80 | 0,80 | 0,80 | 0,80 |
| Gebouw3D | 0,80 | 0,80 | 0,80 | 0,80 | 0,80 |
| Gebouw3D | 0,80 | 0,80 | 0,80 | 0,80 | 0,80 |
| Gebouw3D | 0,80 | 0,80 | 0,80 | 0,80 | 0,80 |
| Gebouw3D | 0,80 | 0,80 | 0,80 | 0,80 | 0,80 |
| Gebouw3D | 0,80 | 0,80 | 0,80 | 0,80 | 0,80 |
| Gebouw3D | 0,80 | 0,80 | 0,80 | 0,80 | 0,80 |
| Gebouw3D | 0,80 | 0,80 | 0,80 | 0,80 | 0,80 |
| Gebouw3D | 0,80 | 0,80 | 0,80 | 0,80 | 0,80 |
| Gebouw3D | 0,80 | 0,80 | 0,80 | 0,80 | 0,80 |
| Gebouw3D | 0,80 | 0,80 | 0,80 | 0,80 | 0,80 |
| Gebouw3D | 0,80 | 0,80 | 0,80 | 0,80 | 0,80 |
| Gebouw3D | 0,80 | 0,80 | 0,80 | 0,80 | 0,80 |
| Gebouw3D | 0,80 | 0,80 | 0,80 | 0,80 | 0,80 |
| Gebouw3D | 0,80 | 0,80 | 0,80 | 0,80 | 0,80 |
| Gebouw3D | 0,80 | 0,80 | 0,80 | 0,80 | 0,80 |
| Gebouw3D | 0,80 | 0,80 | 0,80 | 0,80 | 0,80 |
| Gebouw3D | 0,80 | 0,80 | 0,80 | 0,80 | 0,80 |
| Gebouw3D | 0,80 | 0,80 | 0,80 | 0,80 | 0,80 |
| Gebouw3D | 0,80 | 0,80 | 0,80 | 0,80 | 0,80 |
| Gebouw3D | 0,80 | 0,80 | 0,80 | 0,80 | 0,80 |
| Gebouw3D | 0,80 | 0,80 | 0,80 | 0,80 | 0,80 |
| Gebouw3D | 0,80 | 0,80 | 0,80 | 0,80 | 0,80 |
| Gebouw3D | 0,80 | 0,80 | 0,80 | 0,80 | 0,80 |
| Gebouw3D | 0,80 | 0,80 | 0,80 | 0,80 | 0,80 |
| Gebouw3D | 0,80 | 0,80 | 0,80 | 0,80 | 0,80 |
| Gebouw3D | 0,80 | 0,80 | 0,80 | 0,80 | 0,80 |
| Gebouw3D | 0,80 | 0,80 | 0,80 | 0,80 | 0,80 |
| Gebouw3D | 0,80 | 0,80 | 0,80 | 0,80 | 0,80 |
| Gebouw3D | 0,80 | 0,80 | 0,80 | 0,80 | 0,80 |
| Gebouw3D | 0,80 | 0,80 | 0,80 | 0,80 | 0,80 |

Model: Jager
Jager - Jager
Groep: (hoofdgroep)
Lijst van Gebouwen, voor rekenmethode Wegverkeerslawaai - RMW-2012

| Groep | ItemID | Grp.ID | Datum | Naam | Omschr. | Vorm | X-1 | Y-1 | Hoogte | Rel.H | Maaiveld | Hdef. | Vormpunten |
|---|---|---|---|---|---|---|---|---|---|---|---|---|---|
| Gebouw3D | 4054 | 1 | 08:58, 20 mrt 2020 | | | Polygoon | 246763,95 | 443922,60 | 5,40 | 5,40 | 0,00 | Relatief | 4 |
| Gebouw3D | 4055 | 1 | 08:58, 20 mrt 2020 | | | Polygoon | 246776,68 | 443934,56 | 7,40 | 7,40 | 0,00 | Relatief | 10 |
| Gebouw3D | 4056 | 1 | 08:58, 20 mrt 2020 | | | Polygoon | 246758,89 | 443932,17 | 2,90 | 2,90 | 0,00 | Relatief | 4 |
| Gebouw3D | 4057 | 1 | 08:58, 20 mrt 2020 | | | Polygoon | 246776,68 | 443934,56 | 7,60 | 7,60 | 0,00 | Relatief | 6 |
| Gebouw3D | 4064 | 1 | 08:58, 20 mrt 2020 | | | Polygoon | 246807,34 | 443888,09 | 8,40 | 8,40 | 0,00 | Relatief | 91 |
| Gebouw3D | 4065 | 1 | 08:58, 20 mrt 2020 | | | Polygoon | 246769,29 | 443912,70 | 8,20 | 8,20 | 0,00 | Relatief | 6 |
| Gebouw3D | 4166 | 1 | 08:58, 20 mrt 2020 | | | Polygoon | 246928,78 | 444011,47 | 7,70 | 7,70 | 0,00 | Relatief | 10 |
| Gebouw3D | 4167 | 1 | 08:58, 20 mrt 2020 | | | Polygoon | 246930,61 | 444005,70 | 7,60 | 7,60 | 0,00 | Relatief | 4 |
| Gebouw3D | 4168 | 1 | 08:58, 20 mrt 2020 | | | Polygoon | 246932,42 | 444000,00 | 7,10 | 7,10 | 0,00 | Relatief | 6 |
| Gebouw3D | 4169 | 1 | 08:58, 20 mrt 2020 | | | Polygoon | 246934,22 | 443994,34 | 7,10 | 7,10 | 0,00 | Relatief | 7 |
| Gebouw3D | 4170 | 1 | 08:58, 20 mrt 2020 | | | Polygoon | 246934,22 | 443994,34 | 7,00 | 7,00 | 0,00 | Relatief | 15 |
| Gebouw3D | 4171 | 1 | 08:58, 20 mrt 2020 | | | Polygoon | 246936,12 | 443975,53 | 6,60 | 6,60 | 0,00 | Relatief | 10 |
| Gebouw3D | 4172 | 1 | 08:58, 20 mrt 2020 | | | Polygoon | 246939,17 | 443965,99 | 6,80 | 6,80 | 0,00 | Relatief | 6 |
| Gebouw3D | 4173 | 1 | 08:58, 20 mrt 2020 | | | Polygoon | 246943,51 | 444022,55 | 4,50 | 4,50 | 0,00 | Relatief | 6 |
| Gebouw3D | 4174 | 1 | 08:58, 20 mrt 2020 | | | Polygoon | 246947,12 | 444011,11 | 2,50 | 2,50 | 0,00 | Relatief | 5 |
| Gebouw3D | 4175 | 1 | 08:58, 20 mrt 2020 | | | Polygoon | 246947,12 | 444011,11 | 2,50 | 2,50 | 0,00 | Relatief | 5 |
| Gebouw3D | 4176 | 1 | 08:58, 20 mrt 2020 | | | Polygoon | 246947,57 | 444005,18 | 2,50 | 2,50 | 0,00 | Relatief | 4 |
| Gebouw3D | 4177 | 1 | 08:58, 20 mrt 2020 | | | Polygoon | 246958,17 | 444007,93 | 7,30 | 7,30 | 0,00 | Relatief | 11 |
| Gebouw3D | 4178 | 1 | 08:58, 20 mrt 2020 | | | Polygoon | 246957,63 | 443997,92 | 2,60 | 2,60 | 0,00 | Relatief | 8 |
| Gebouw3D | 4179 | 1 | 08:58, 20 mrt 2020 | | | Polygoon | 246958,00 | 443986,66 | 3,30 | 3,30 | 0,00 | Relatief | 8 |
| Gebouw3D | 4180 | 1 | 08:58, 20 mrt 2020 | | | Polygoon | 246964,10 | 444009,21 | 7,20 | 7,20 | 0,00 | Relatief | 9 |
| Gebouw3D | 4181 | 1 | 08:58, 20 mrt 2020 | | | Polygoon | 246964,55 | 444002,80 | 2,60 | 2,60 | 0,00 | Relatief | 6 |
| Gebouw3D | 5109 | 1 | 08:58, 20 mrt 2020 | | | Polygoon | 246966,33 | 443988,13 | 4,80 | 4,80 | 0,00 | Relatief | 16 |
| Gebouw3D | 5110 | 1 | 08:58, 20 mrt 2020 | | | Polygoon | 246970,29 | 444009,80 | 7,10 | 7,10 | 0,00 | Relatief | 12 |
| Gebouw3D | 5111 | 1 | 08:58, 20 mrt 2020 | | | Polygoon | 246964,55 | 444002,80 | 2,60 | 2,60 | 0,00 | Relatief | 6 |
| Gebouw3D | 5112 | 1 | 08:58, 20 mrt 2020 | | | Polygoon | 246964,91 | 443974,01 | 2,30 | 2,30 | 0,00 | Relatief | 8 |
| Gebouw3D | 5113 | 1 | 08:58, 20 mrt 2020 | | | Polygoon | 246964,91 | 443974,01 | 2,50 | 2,50 | 0,00 | Relatief | 6 |
| Gebouw3D | 5114 | 1 | 08:58, 20 mrt 2020 | | | Polygoon | 246966,33 | 443988,13 | 7,10 | 7,10 | 0,00 | Relatief | 13 |
| Gebouw3D | 5115 | 1 | 08:58, 20 mrt 2020 | | | Polygoon | 246976,24 | 444004,96 | 7,10 | 7,10 | 0,00 | Relatief | 10 |
| Gebouw3D | 5116 | 1 | 08:58, 20 mrt 2020 | | | Polygoon | 246976,24 | 444004,96 | 2,70 | 2,70 | 0,00 | Relatief | 7 |
| Gebouw3D | 5117 | 1 | 08:58, 20 mrt 2020 | | | Polygoon | 246976,28 | 444004,91 | 6,90 | 6,90 | 0,00 | Relatief | 10 |
| Gebouw3D | 5118 | 1 | 08:58, 20 mrt 2020 | | | Polygoon | 246986,19 | 444004,23 | 7,00 | 7,00 | 0,00 | Relatief | 4 |
| Gebouw3D | 5119 | 1 | 08:58, 20 mrt 2020 | | | Polygoon | 247004,29 | 444009,27 | 7,00 | 7,00 | 0,00 | Relatief | 6 |
| Gebouw3D | 5120 | 1 | 08:58, 20 mrt 2020 | | | Polygoon | 247004,29 | 444009,27 | 7,10 | 7,10 | 0,00 | Relatief | 7 |
| Gebouw3D | 5121 | 1 | 08:58, 20 mrt 2020 | | | Polygoon | 247019,64 | 444013,17 | 2,40 | 2,40 | 0,00 | Relatief | 7 |
| Gebouw3D | 5122 | 1 | 08:58, 20 mrt 2020 | | | Polygoon | 247029,96 | 443997,22 | 2,40 | 2,40 | 0,00 | Relatief | 6 |

# Invoergegevens van het model

Model: Jager
Jager - Jager
Groep: (hoofdgroep)
Lijst van Gebouwen, voor rekenmethode Wegverkeerslawaai - RMW-2012

| Groep | Omtrek | Oppervlak | Min.lengte | Max.lengte | Functie | BAG-id | Gemeente | Jaar | AHN-jaar | Trust | Cp | Zwevend | Refl. 63 | Refl. 125 | Refl. 250 |
|---|---|---|---|---|---|---|---|---|---|---|---|---|---|---|---|
| Gebouw3D | 29,98 | 56,02 | 7,11 | 7,88 | | | | 0 | 0 | 0 | 0 dB | False | 0,80 | 0,80 | 0,80 |
| Gebouw3D | 50,34 | 78,64 | 2,30 | 8,30 | | | | 0 | 0 | 0 | 0 dB | False | 0,80 | 0,80 | 0,80 |
| Gebouw3D | 19,27 | 21,82 | 3,64 | 5,99 | | | | 0 | 0 | 0 | 0 dB | False | 0,80 | 0,80 | 0,80 |
| Gebouw3D | 37,14 | 65,07 | 3,30 | 11,95 | | | | 0 | 0 | 0 | 0 dB | False | 0,80 | 0,80 | 0,80 |
| Gebouw3D | 361,41 | 2433,11 | 0,31 | 29,19 | | | | 0 | 0 | 0 | 0 dB | False | 0,80 | 0,80 | 0,80 |
| Gebouw3D | 33,77 | 52,99 | 2,33 | 11,60 | | | | 0 | 0 | 0 | 0 dB | False | 0,80 | 0,80 | 0,80 |
| Gebouw3D | 40,74 | 58,04 | 0,11 | 9,09 | | | | 0 | 0 | 0 | 0 dB | False | 0,80 | 0,80 | 0,80 |
| Gebouw3D | 30,23 | 54,76 | 5,98 | 9,09 | | | | 0 | 0 | 0 | 0 dB | False | 0,80 | 0,80 | 0,80 |
| Gebouw3D | 37,82 | 55,56 | 0,24 | 12,91 | | | | 0 | 0 | 0 | 0 dB | False | 0,80 | 0,80 | 0,80 |
| Gebouw3D | 49,81 | 56,31 | 2,75 | 12,91 | | | | 0 | 0 | 0 | 0 dB | False | 0,80 | 0,80 | 0,80 |
| Gebouw3D | 60,12 | 93,09 | 0,32 | 12,64 | | | | 0 | 0 | 0 | 0 dB | False | 0,80 | 0,80 | 0,80 |
| Gebouw3D | 52,09 | 92,26 | 0,56 | 14,32 | | | | 0 | 0 | 0 | 0 dB | False | 0,80 | 0,80 | 0,80 |
| Gebouw3D | 38,20 | 55,59 | 2,35 | 14,10 | | | | 0 | 0 | 0 | 0 dB | False | 0,80 | 0,80 | 0,80 |
| Gebouw3D | 21,92 | 30,02 | 0,55 | 5,47 | | | | 0 | 0 | 0 | 0 dB | False | 0,80 | 0,80 | 0,80 |
| Gebouw3D | 14,44 | 11,48 | 0,31 | 4,81 | | | | 0 | 0 | 0 | 0 dB | False | 0,80 | 0,80 | 0,80 |
| Gebouw3D | 13,16 | 10,12 | 0,31 | 4,18 | | | | 0 | 0 | 0 | 0 dB | False | 0,80 | 0,80 | 0,80 |
| Gebouw3D | 9,91 | 6,14 | 2,45 | 2,51 | | | | 0 | 0 | 0 | 0 dB | False | 0,80 | 0,80 | 0,80 |
| Gebouw3D | 38,87 | 66,23 | 0,06 | 11,37 | | | | 0 | 0 | 0 | 0 dB | False | 0,80 | 0,80 | 0,80 |
| Gebouw3D | 22,47 | 22,71 | 1,15 | 4,88 | | | | 0 | 0 | 0 | 0 dB | False | 0,80 | 0,80 | 0,80 |
| Gebouw3D | 27,09 | 42,36 | 0,25 | 6,88 | | | | 0 | 0 | 0 | 0 dB | False | 0,80 | 0,80 | 0,80 |
| Gebouw3D | 42,73 | 54,34 | 0,02 | 11,37 | | | | 0 | 0 | 0 | 0 dB | False | 0,80 | 0,80 | 0,80 |
| Gebouw3D | 14,04 | 10,40 | 0,12 | 4,67 | | | | 0 | 0 | 0 | 0 dB | False | 0,80 | 0,80 | 0,80 |
| Gebouw3D | 51,56 | 70,37 | 0,25 | 10,51 | | | | 0 | 0 | 0 | 0 dB | False | 0,80 | 0,80 | 0,80 |
| Gebouw3D | 44,37 | 59,91 | 0,26 | 10,53 | | | | 0 | 0 | 0 | 0 dB | False | 0,80 | 0,80 | 0,80 |
| Gebouw3D | 13,86 | 10,83 | 0,12 | 4,58 | | | | 0 | 0 | 0 | 0 dB | False | 0,80 | 0,80 | 0,80 |
| Gebouw3D | 18,83 | 10,98 | 0,25 | 5,49 | | | | 0 | 0 | 0 | 0 dB | False | 0,80 | 0,80 | 0,80 |
| Gebouw3D | 20,02 | 22,20 | 1,46 | 5,49 | | | | 0 | 0 | 0 | 0 dB | False | 0,80 | 0,80 | 0,80 |
| Gebouw3D | 69,35 | 183,73 | 0,37 | 10,51 | | | | 0 | 0 | 0 | 0 dB | False | 0,80 | 0,80 | 0,80 |
| Gebouw3D | 50,78 | 52,36 | 0,02 | 15,62 | | | | 0 | 0 | 0 | 0 dB | False | 0,80 | 0,80 | 0,80 |
| Gebouw3D | 13,16 | 9,54 | 0,02 | 4,36 | | | | 0 | 0 | 0 | 0 dB | False | 0,80 | 0,80 | 0,80 |
| Gebouw3D | 60,80 | 100,81 | 0,26 | 15,62 | | | | 0 | 0 | 0 | 0 dB | False | 0,80 | 0,80 | 0,80 |
| Gebouw3D | 34,85 | 71,56 | 6,62 | 10,80 | | | | 0 | 0 | 0 | 0 dB | False | 0,80 | 0,80 | 0,80 |
| Gebouw3D | 30,04 | 47,08 | 1,88 | 9,04 | | | | 0 | 0 | 0 | 0 dB | False | 0,80 | 0,80 | 0,80 |
| Gebouw3D | 30,96 | 50,46 | 1,88 | 7,16 | | | | 0 | 0 | 0 | 0 dB | False | 0,80 | 0,80 | 0,80 |
| Gebouw3D | 20,96 | 22,12 | 2,12 | 4,99 | | | | 0 | 0 | 0 | 0 dB | False | 0,80 | 0,80 | 0,80 |
| Gebouw3D | 14,03 | 12,30 | 0,67 | 3,44 | | | | 0 | 0 | 0 | 0 dB | False | 0,80 | 0,80 | 0,80 |

Model: Jager
Jager - Jager
Groep: (hoofdgroep)
Lijst van Gebouwen, voor rekenmethode Wegverkeerslawaai - RMW-2012

| Groep | Refl. 500 | Refl. 1k | Refl. 2k | Refl. 4k | Refl. 8k |
|---|---|---|---|---|---|
| Gebouw3D | 0,80 | 0,80 | 0,80 | 0,80 | 0,80 |
| Gebouw3D | 0,80 | 0,80 | 0,80 | 0,80 | 0,80 |
| Gebouw3D | 0,80 | 0,80 | 0,80 | 0,80 | 0,80 |
| Gebouw3D | 0,80 | 0,80 | 0,80 | 0,80 | 0,80 |
| Gebouw3D | 0,80 | 0,80 | 0,80 | 0,80 | 0,80 |
| Gebouw3D | 0,80 | 0,80 | 0,80 | 0,80 | 0,80 |
| Gebouw3D | 0,80 | 0,80 | 0,80 | 0,80 | 0,80 |
| Gebouw3D | 0,80 | 0,80 | 0,80 | 0,80 | 0,80 |
| Gebouw3D | 0,80 | 0,80 | 0,80 | 0,80 | 0,80 |
| Gebouw3D | 0,80 | 0,80 | 0,80 | 0,80 | 0,80 |
| Gebouw3D | 0,80 | 0,80 | 0,80 | 0,80 | 0,80 |
| Gebouw3D | 0,80 | 0,80 | 0,80 | 0,80 | 0,80 |
| Gebouw3D | 0,80 | 0,80 | 0,80 | 0,80 | 0,80 |
| Gebouw3D | 0,80 | 0,80 | 0,80 | 0,80 | 0,80 |
| Gebouw3D | 0,80 | 0,80 | 0,80 | 0,80 | 0,80 |
| Gebouw3D | 0,80 | 0,80 | 0,80 | 0,80 | 0,80 |
| Gebouw3D | 0,80 | 0,80 | 0,80 | 0,80 | 0,80 |
| Gebouw3D | 0,80 | 0,80 | 0,80 | 0,80 | 0,80 |
| Gebouw3D | 0,80 | 0,80 | 0,80 | 0,80 | 0,80 |
| Gebouw3D | 0,80 | 0,80 | 0,80 | 0,80 | 0,80 |
| Gebouw3D | 0,80 | 0,80 | 0,80 | 0,80 | 0,80 |
| Gebouw3D | 0,80 | 0,80 | 0,80 | 0,80 | 0,80 |
| Gebouw3D | 0,80 | 0,80 | 0,80 | 0,80 | 0,80 |
| Gebouw3D | 0,80 | 0,80 | 0,80 | 0,80 | 0,80 |
| Gebouw3D | 0,80 | 0,80 | 0,80 | 0,80 | 0,80 |
| Gebouw3D | 0,80 | 0,80 | 0,80 | 0,80 | 0,80 |
| Gebouw3D | 0,80 | 0,80 | 0,80 | 0,80 | 0,80 |
| Gebouw3D | 0,80 | 0,80 | 0,80 | 0,80 | 0,80 |
| Gebouw3D | 0,80 | 0,80 | 0,80 | 0,80 | 0,80 |
| Gebouw3D | 0,80 | 0,80 | 0,80 | 0,80 | 0,80 |
| Gebouw3D | 0,80 | 0,80 | 0,80 | 0,80 | 0,80 |
| Gebouw3D | 0,80 | 0,80 | 0,80 | 0,80 | 0,80 |

Model: Jager
Jager - Jager
Groep: (hoofdgroep)
Lijst van Gebouwen, voor rekenmethode Wegverkeerslawaai - RMW-2012

| Groep | ItemID | Grp.ID | Datum | Naam | Omschr. | Vorm | X-1 | Y-1 | Hoogte | Rel.H | Maaiveld | Hdef. | Vormpunten |
|---|---|---|---|---|---|---|---|---|---|---|---|---|---|
| Gebouw3D | 5123 | 1 | 08:58, 20 mrt 2020 | | | Polygoon | 247030,24 | 444024,98 | 7,20 | 7,20 | 0,00 | Relatief | 6 |
| Gebouw3D | 5124 | 1 | 08:58, 20 mrt 2020 | | | Polygoon | 247031,35 | 444009,47 | 2,40 | 2,40 | 0,00 | Relatief | 4 |
| Gebouw3D | 5125 | 1 | 08:58, 20 mrt 2020 | | | Polygoon | 247037,72 | 443973,94 | 2,40 | 2,40 | 0,00 | Relatief | 4 |
| Gebouw3D | 5126 | 1 | 08:58, 20 mrt 2020 | | | Polygoon | 247043,29 | 444010,41 | 2,60 | 2,60 | 0,00 | Relatief | 4 |
| Gebouw3D | 5127 | 1 | 08:58, 20 mrt 2020 | | | Polygoon | 247051,28 | 443975,57 | 7,00 | 7,00 | 0,00 | Relatief | 9 |
| Gebouw3D | 5128 | 1 | 08:58, 20 mrt 2020 | | | Polygoon | 247050,82 | 443981,58 | 7,10 | 7,10 | 0,00 | Relatief | 9 |
| Gebouw3D | 5129 | 1 | 08:58, 20 mrt 2020 | | | Polygoon | 247051,28 | 443975,57 | 7,10 | 7,10 | 0,00 | Relatief | 4 |
| Gebouw3D | 5130 | 1 | 08:58, 20 mrt 2020 | | | Polygoon | 247079,43 | 444006,40 | 8,40 | 8,40 | 0,00 | Relatief | 8 |
| Gebouw3D | 5131 | 1 | 08:58, 20 mrt 2020 | | | Polygoon | 247087,03 | 443986,13 | 7,00 | 7,00 | 0,00 | Relatief | 6 |
| Gebouw3D | 5132 | 1 | 08:58, 20 mrt 2020 | | | Polygoon | 247086,05 | 443998,93 | 2,50 | 2,50 | 0,00 | Relatief | 4 |
| Gebouw3D | 5257 | 1 | 08:58, 20 mrt 2020 | | | Polygoon | 247089,28 | 443781,96 | 6,70 | 6,70 | 0,00 | Relatief | 8 |
| Gebouw3D | 5258 | 1 | 08:58, 20 mrt 2020 | | | Polygoon | 247100,10 | 443742,80 | 3,00 | 3,00 | 0,00 | Relatief | 4 |
| Gebouw3D | 5259 | 1 | 08:58, 20 mrt 2020 | | | Polygoon | 247107,48 | 443757,67 | 8,40 | 8,40 | 0,00 | Relatief | 5 |
| Gebouw3D | 5260 | 1 | 08:58, 20 mrt 2020 | | | Polygoon | 247104,60 | 443792,86 | 7,30 | 7,30 | 0,00 | Relatief | 13 |
| Gebouw3D | 5261 | 1 | 08:58, 20 mrt 2020 | | | Polygoon | 247109,83 | 443739,87 | 0,00 | 0,00 | 0,00 | Relatief | 4 |
| Gebouw3D | 5262 | 1 | 08:58, 20 mrt 2020 | | | Polygoon | 247107,48 | 443757,67 | 8,70 | 8,70 | 0,00 | Relatief | 9 |
| Gebouw3D | 5263 | 1 | 08:58, 20 mrt 2020 | | | Polygoon | 247122,39 | 443803,71 | 6,80 | 6,80 | 0,00 | Relatief | 6 |
| Gebouw3D | 5264 | 1 | 08:58, 20 mrt 2020 | | | Polygoon | 247126,30 | 443762,56 | 7,20 | 7,20 | 0,00 | Relatief | 8 |
| Gebouw3D | 5265 | 1 | 08:58, 20 mrt 2020 | | | Polygoon | 247128,89 | 443745,06 | 2,50 | 2,50 | 0,00 | Relatief | 5 |
| Gebouw3D | 5266 | 1 | 08:58, 20 mrt 2020 | | | Polygoon | 247127,61 | 443750,11 | 4,10 | 4,10 | 0,00 | Relatief | 4 |
| Gebouw3D | 5267 | 1 | 08:58, 20 mrt 2020 | | | Polygoon | 247129,17 | 443816,66 | 3,50 | 3,50 | 0,00 | Relatief | 12 |
| Gebouw3D | 5268 | 1 | 08:58, 20 mrt 2020 | | | Polygoon | 247129,17 | 443816,66 | 0,00 | 0,00 | 0,00 | Relatief | 4 |
| Gebouw3D | 5269 | 1 | 08:58, 20 mrt 2020 | | | Polygoon | 247133,66 | 443730,22 | 7,50 | 7,50 | 0,00 | Relatief | 6 |
| Gebouw3D | 5270 | 1 | 08:58, 20 mrt 2020 | | | Polygoon | 247138,42 | 443800,26 | 7,30 | 7,30 | 0,00 | Relatief | 4 |
| Gebouw3D | 5271 | 1 | 08:58, 20 mrt 2020 | | | Polygoon | 247133,38 | 443748,64 | 4,20 | 4,20 | 0,00 | Relatief | 6 |
| Gebouw3D | 5272 | 1 | 08:58, 20 mrt 2020 | | | Polygoon | 247138,02 | 443728,65 | 7,30 | 7,30 | 0,00 | Relatief | 6 |
| Gebouw3D | 5273 | 1 | 08:58, 20 mrt 2020 | | | Polygoon | 247143,19 | 443726,79 | 7,30 | 7,30 | 0,00 | Relatief | 7 |
| Gebouw3D | 5274 | 1 | 08:58, 20 mrt 2020 | | | Polygoon | 247138,11 | 443747,53 | 0,10 | 0,10 | 0,00 | Relatief | 4 |
| Gebouw3D | 5275 | 1 | 08:58, 20 mrt 2020 | | | Polygoon | 247143,01 | 443775,80 | 9,60 | 9,60 | 0,00 | Relatief | 4 |
| Gebouw3D | 5276 | 1 | 08:58, 20 mrt 2020 | | | Polygoon | 247138,42 | 443800,26 | 6,80 | 6,80 | 0,00 | Relatief | 7 |
| Gebouw3D | 5277 | 1 | 08:58, 20 mrt 2020 | | | Polygoon | 247142,54 | 443752,92 | 2,50 | 2,50 | 0,00 | Relatief | 4 |
| Gebouw3D | 5278 | 1 | 08:58, 20 mrt 2020 | | | Polygoon | 247143,01 | 443775,80 | 9,80 | 9,80 | 0,00 | Relatief | 4 |
| Gebouw3D | 5279 | 1 | 08:58, 20 mrt 2020 | | | Polygoon | 247143,19 | 443726,79 | 7,10 | 7,10 | 0,00 | Relatief | 8 |
| Gebouw3D | 5280 | 1 | 08:58, 20 mrt 2020 | | | Polygoon | 247150,77 | 443811,60 | 8,60 | 8,60 | 0,00 | Relatief | 12 |
| Gebouw3D | 5281 | 1 | 08:58, 20 mrt 2020 | | | Polygoon | 247154,79 | 443742,11 | 3,70 | 3,70 | 0,00 | Relatief | 4 |
| Gebouw3D | 5282 | 1 | 08:58, 20 mrt 2020 | | | Polygoon | 247126,30 | 443762,56 | 7,20 | 7,20 | 0,00 | Relatief | 8 |

# Invoergegevens van het model

Model: Jager
Jager - Jager
Groep: (hoofdgroep)
Lijst van Gebouwen, voor rekenmethode Wegverkeerslawaai - RMW-2012

| Groep | Omtrek | Oppervlak | Min.lengte | Max.lengte | Functie | BAG-id | Gemeente | Jaar | AHN-jaar | Trust | Cp | Zwevend | Refl. 63 | Refl. 125 | Refl. 250 |
|---|---|---|---|---|---|---|---|---|---|---|---|---|---|---|---|
| Gebouw3D | 29,37 | 45,39 | 1,75 | 8,69 | | | | 0 | 0 | 0 | 0 dB | False | 0,80 | 0,80 | 0,80 |
| Gebouw3D | 14,39 | 12,93 | 3,51 | 3,69 | | | | 0 | 0 | 0 | 0 dB | False | 0,80 | 0,80 | 0,80 |
| Gebouw3D | 20,46 | 23,60 | 3,50 | 6,76 | | | | 0 | 0 | 0 | 0 dB | False | 0,80 | 0,80 | 0,80 |
| Gebouw3D | 14,37 | 12,90 | 3,50 | 3,70 | | | | 0 | 0 | 0 | 0 dB | False | 0,80 | 0,80 | 0,80 |
| Gebouw3D | 33,50 | 63,63 | 0,02 | 7,15 | | | | 0 | 0 | 0 | 0 dB | False | 0,80 | 0,80 | 0,80 |
| Gebouw3D | 31,04 | 47,94 | 0,04 | 7,15 | | | | 0 | 0 | 0 | 0 dB | False | 0,80 | 0,80 | 0,80 |
| Gebouw3D | 27,20 | 46,10 | 6,44 | 7,15 | | | | 0 | 0 | 0 | 0 dB | False | 0,80 | 0,80 | 0,80 |
| Gebouw3D | 34,76 | 58,66 | 0,11 | 6,98 | | | | 0 | 0 | 0 | 0 dB | False | 0,80 | 0,80 | 0,80 |
| Gebouw3D | 31,27 | 49,61 | 2,21 | 9,37 | | | | 0 | 0 | 0 | 0 dB | False | 0,80 | 0,80 | 0,80 |
| Gebouw3D | 13,88 | 12,04 | 3,40 | 3,52 | | | | 0 | 0 | 0 | 0 dB | False | 0,80 | 0,80 | 0,80 |
| Gebouw3D | 37,66 | 72,76 | 0,38 | 7,75 | | | | 0 | 0 | 0 | 0 dB | False | 0,80 | 0,80 | 0,80 |
| Gebouw3D | 26,52 | 41,68 | 5,66 | 8,68 | | | | 0 | 0 | 0 | 0 dB | False | 0,80 | 0,80 | 0,80 |
| Gebouw3D | 42,35 | 104,79 | 1,47 | 13,29 | | | | 0 | 0 | 0 | 0 dB | False | 0,80 | 0,80 | 0,80 |
| Gebouw3D | 47,83 | 99,51 | 0,03 | 8,95 | | | | 0 | 0 | 0 | 0 dB | False | 0,80 | 0,80 | 0,80 |
| Gebouw3D | 28,60 | 50,54 | 6,36 | 7,90 | | | | 0 | 0 | 0 | 0 dB | False | 0,80 | 0,80 | 0,80 |
| Gebouw3D | 57,03 | 152,03 | 0,91 | 13,29 | | | | 0 | 0 | 0 | 0 dB | False | 0,80 | 0,80 | 0,80 |
| Gebouw3D | 48,00 | 93,24 | 2,08 | 17,47 | | | | 0 | 0 | 0 | 0 dB | False | 0,80 | 0,80 | 0,80 |
| Gebouw3D | 33,94 | 52,49 | 1,27 | 8,75 | | | | 0 | 0 | 0 | 0 dB | False | 0,80 | 0,80 | 0,80 |
| Gebouw3D | 22,89 | 32,45 | 0,75 | 6,26 | | | | 0 | 0 | 0 | 0 dB | False | 0,80 | 0,80 | 0,80 |
| Gebouw3D | 18,32 | 20,97 | 4,46 | 4,73 | | | | 0 | 0 | 0 | 0 dB | False | 0,80 | 0,80 | 0,80 |
| Gebouw3D | 46,74 | 70,08 | 0,40 | 11,81 | | | | 0 | 0 | 0 | 0 dB | False | 0,80 | 0,80 | 0,80 |
| Gebouw3D | 24,08 | 33,93 | 4,34 | 7,58 | | | | 0 | 0 | 0 | 0 dB | False | 0,80 | 0,80 | 0,80 |
| Gebouw3D | 35,22 | 47,55 | 2,29 | 12,89 | | | | 0 | 0 | 0 | 0 dB | False | 0,80 | 0,80 | 0,80 |
| Gebouw3D | 37,21 | 78,32 | 6,36 | 12,17 | | | | 0 | 0 | 0 | 0 dB | False | 0,80 | 0,80 | 0,80 |
| Gebouw3D | 25,40 | 33,26 | 2,24 | 6,88 | | | | 0 | 0 | 0 | 0 dB | False | 0,80 | 0,80 | 0,80 |
| Gebouw3D | 35,19 | 50,51 | 2,00 | 12,89 | | | | 0 | 0 | 0 | 0 dB | False | 0,80 | 0,80 | 0,80 |
| Gebouw3D | 41,70 | 68,63 | 0,59 | 14,86 | | | | 0 | 0 | 0 | 0 dB | False | 0,80 | 0,80 | 0,80 |
| Gebouw3D | 14,84 | 13,42 | 3,12 | 4,30 | | | | 0 | 0 | 0 | 0 dB | False | 0,80 | 0,80 | 0,80 |
| Gebouw3D | 32,92 | 55,53 | 4,63 | 11,72 | | | | 0 | 0 | 0 | 0 dB | False | 0,80 | 0,80 | 0,80 |
| Gebouw3D | 53,88 | 108,80 | 1,67 | 12,17 | | | | 0 | 0 | 0 | 0 dB | False | 0,80 | 0,80 | 0,80 |
| Gebouw3D | 13,76 | 11,75 | 3,16 | 3,72 | | | | 0 | 0 | 0 | 0 dB | False | 0,80 | 0,80 | 0,80 |
| Gebouw3D | 33,25 | 57,45 | 4,79 | 11,72 | | | | 0 | 0 | 0 | 0 dB | False | 0,80 | 0,80 | 0,80 |
| Gebouw3D | 41,33 | 65,76 | 0,23 | 14,86 | | | | 0 | 0 | 0 | 0 dB | False | 0,80 | 0,80 | 0,80 |
| Gebouw3D | 63,99 | 196,53 | 0,45 | 15,67 | | | | 0 | 0 | 0 | 0 dB | False | 0,80 | 0,80 | 0,80 |
| Gebouw3D | 21,33 | 27,40 | 4,32 | 6,35 | | | | 0 | 0 | 0 | 0 dB | False | 0,80 | 0,80 | 0,80 |
| Gebouw3D | 44,27 | 83,07 | 1,27 | 15,22 | | | | 0 | 0 | 0 | 0 dB | False | 0,80 | 0,80 | 0,80 |

Model: Jager
Jager - Jager
Groep: (hoofdgroep)
Lijst van Gebouwen, voor rekenmethode Wegverkeerslawaai - RMW-2012

| Groep | Refl. 500 | Refl. 1k | Refl. 2k | Refl. 4k | Refl. 8k |
|---|---|---|---|---|---|
| Gebouw3D | 0,80 | 0,80 | 0,80 | 0,80 | 0,80 |
| Gebouw3D | 0,80 | 0,80 | 0,80 | 0,80 | 0,80 |
| Gebouw3D | 0,80 | 0,80 | 0,80 | 0,80 | 0,80 |
| Gebouw3D | 0,80 | 0,80 | 0,80 | 0,80 | 0,80 |
| Gebouw3D | 0,80 | 0,80 | 0,80 | 0,80 | 0,80 |
| Gebouw3D | 0,80 | 0,80 | 0,80 | 0,80 | 0,80 |
| Gebouw3D | 0,80 | 0,80 | 0,80 | 0,80 | 0,80 |
| Gebouw3D | 0,80 | 0,80 | 0,80 | 0,80 | 0,80 |
| Gebouw3D | 0,80 | 0,80 | 0,80 | 0,80 | 0,80 |
| Gebouw3D | 0,80 | 0,80 | 0,80 | 0,80 | 0,80 |
| Gebouw3D | 0,80 | 0,80 | 0,80 | 0,80 | 0,80 |
| Gebouw3D | 0,80 | 0,80 | 0,80 | 0,80 | 0,80 |
| Gebouw3D | 0,80 | 0,80 | 0,80 | 0,80 | 0,80 |
| Gebouw3D | 0,80 | 0,80 | 0,80 | 0,80 | 0,80 |
| Gebouw3D | 0,80 | 0,80 | 0,80 | 0,80 | 0,80 |
| Gebouw3D | 0,80 | 0,80 | 0,80 | 0,80 | 0,80 |
| Gebouw3D | 0,80 | 0,80 | 0,80 | 0,80 | 0,80 |
| Gebouw3D | 0,80 | 0,80 | 0,80 | 0,80 | 0,80 |
| Gebouw3D | 0,80 | 0,80 | 0,80 | 0,80 | 0,80 |
| Gebouw3D | 0,80 | 0,80 | 0,80 | 0,80 | 0,80 |
| Gebouw3D | 0,80 | 0,80 | 0,80 | 0,80 | 0,80 |
| Gebouw3D | 0,80 | 0,80 | 0,80 | 0,80 | 0,80 |
| Gebouw3D | 0,80 | 0,80 | 0,80 | 0,80 | 0,80 |
| Gebouw3D | 0,80 | 0,80 | 0,80 | 0,80 | 0,80 |
| Gebouw3D | 0,80 | 0,80 | 0,80 | 0,80 | 0,80 |
| Gebouw3D | 0,80 | 0,80 | 0,80 | 0,80 | 0,80 |
| Gebouw3D | 0,80 | 0,80 | 0,80 | 0,80 | 0,80 |
| Gebouw3D | 0,80 | 0,80 | 0,80 | 0,80 | 0,80 |
| Gebouw3D | 0,80 | 0,80 | 0,80 | 0,80 | 0,80 |
| Gebouw3D | 0,80 | 0,80 | 0,80 | 0,80 | 0,80 |
| Gebouw3D | 0,80 | 0,80 | 0,80 | 0,80 | 0,80 |
| Gebouw3D | 0,80 | 0,80 | 0,80 | 0,80 | 0,80 |

# Invoergegevens van het model

Model: Jager
Jager - Jager
Groep: (hoofdgroep)
Lijst van Gebouwen, voor rekenmethode Wegverkeerslawaai - RMW-2012

| Groep | ItemID | Grp.ID | Datum | Naam | Omschr. | Vorm | X-1 | Y-1 | Hoogte | Rel.H | Maaiveld | Hdef. | Vormpunten |
|---|---|---|---|---|---|---|---|---|---|---|---|---|---|
| Gebouw3D | 5283 | 1 | 08:58, 20 mrt 2020 | | | Polygoon | 247144,83 | 443761,64 | 3,80 | 3,80 | 0,00 | Relatief | 4 |
| Gebouw3D | 5284 | 1 | 08:58, 20 mrt 2020 | | | Polygoon | 247151,69 | 443751,14 | 0,10 | 0,10 | 0,00 | Relatief | 4 |
| Gebouw3D | 5285 | 1 | 08:58, 20 mrt 2020 | | | Polygoon | 247112,68 | 443747,25 | 7,60 | 7,60 | 0,00 | Relatief | 8 |
| Gebouw3D | 5286 | 1 | 08:58, 20 mrt 2020 | | | Polygoon | 247157,14 | 443777,36 | 8,40 | 8,40 | 0,00 | Relatief | 6 |
| Gebouw3D | 5287 | 1 | 08:58, 20 mrt 2020 | | | Polygoon | 247094,45 | 443725,88 | 7,60 | 7,60 | 0,00 | Relatief | 7 |
| Gebouw3D | 5288 | 1 | 08:58, 20 mrt 2020 | | | Polygoon | 247098,73 | 443804,91 | 3,00 | 3,00 | 0,00 | Relatief | 4 |
| Gebouw3D | 5289 | 1 | 08:58, 20 mrt 2020 | | | Polygoon | 247127,61 | 443750,11 | 3,90 | 3,90 | 0,00 | Relatief | 4 |
| Gebouw3D | 5290 | 1 | 08:58, 20 mrt 2020 | | | Polygoon | 247130,76 | 443774,03 | 7,10 | 7,10 | 0,00 | Relatief | 6 |
| Gebouw3D | 5291 | 1 | 08:58, 20 mrt 2020 | | | Polygoon | 247122,39 | 443803,71 | 6,60 | 6,60 | 0,00 | Relatief | 6 |
| Gebouw3D | 5292 | 1 | 08:58, 20 mrt 2020 | | | Polygoon | 247240,46 | 443769,45 | 9,00 | 9,00 | 0,00 | Relatief | 12 |
| Gebouw3D | 5293 | 1 | 08:58, 20 mrt 2020 | | | Polygoon | 247248,55 | 443740,50 | 8,40 | 8,40 | 0,00 | Relatief | 9 |
| Gebouw3D | 5294 | 1 | 08:58, 20 mrt 2020 | | | Polygoon | 247240,27 | 443748,07 | 8,80 | 8,80 | 0,00 | Relatief | 8 |
| Gebouw3D | 5295 | 1 | 08:58, 20 mrt 2020 | | | Polygoon | 247240,27 | 443748,07 | 0,00 | 0,00 | 0,00 | Relatief | 10 |
| Gebouw3D | 5296 | 1 | 08:58, 20 mrt 2020 | | | Polygoon | 247241,08 | 443753,50 | 8,90 | 8,90 | 0,00 | Relatief | 6 |
| Gebouw3D | 5297 | 1 | 08:58, 20 mrt 2020 | | | Polygoon | 247257,52 | 443729,44 | 3,50 | 3,50 | 0,00 | Relatief | 4 |
| Gebouw3D | 5298 | 1 | 08:58, 20 mrt 2020 | | | Polygoon | 247260,52 | 443740,09 | 3,40 | 3,40 | 0,00 | Relatief | 4 |
| Gebouw3D | 5299 | 1 | 08:58, 20 mrt 2020 | | | Polygoon | 247261,13 | 443736,56 | 2,70 | 2,70 | 0,00 | Relatief | 4 |
| Gebouw3D | 5300 | 1 | 08:58, 20 mrt 2020 | | | Polygoon | 247261,36 | 443751,20 | 3,90 | 3,90 | 0,00 | Relatief | 4 |
| Gebouw3D | 5301 | 1 | 08:58, 20 mrt 2020 | | | Polygoon | 247277,41 | 443755,92 | 2,10 | 2,10 | 0,00 | Relatief | 4 |
| Gebouw3D | 5302 | 1 | 08:58, 20 mrt 2020 | | | Polygoon | 247283,81 | 443767,57 | 5,70 | 5,70 | 0,00 | Relatief | 10 |
| Gebouw3D | 5303 | 1 | 08:58, 20 mrt 2020 | | | Polygoon | 247283,14 | 443760,35 | 5,60 | 5,60 | 0,00 | Relatief | 4 |
| Gebouw3D | 5304 | 1 | 08:58, 20 mrt 2020 | | | Polygoon | 247282,50 | 443774,97 | 5,70 | 5,70 | 0,00 | Relatief | 5 |
| Gebouw3D | 5305 | 1 | 08:58, 20 mrt 2020 | | | Polygoon | 247283,14 | 443760,35 | 5,60 | 5,60 | 0,00 | Relatief | 4 |
| Gebouw3D | 5306 | 1 | 08:58, 20 mrt 2020 | | | Polygoon | 247283,17 | 443782,18 | 5,60 | 5,60 | 0,00 | Relatief | 6 |
| Gebouw3D | 5307 | 1 | 08:58, 20 mrt 2020 | | | Polygoon | 247301,83 | 443743,11 | 5,70 | 5,70 | 0,00 | Relatief | 8 |
| Gebouw3D | 5308 | 1 | 08:58, 20 mrt 2020 | | | Polygoon | 247297,88 | 443814,16 | 8,20 | 8,20 | 0,00 | Relatief | 10 |
| Gebouw3D | 5309 | 1 | 08:58, 20 mrt 2020 | | | Polygoon | 247297,88 | 443814,16 | 8,40 | 8,40 | 0,00 | Relatief | 13 |
| Gebouw3D | 5310 | 1 | 08:58, 20 mrt 2020 | | | Polygoon | 247308,81 | 443742,44 | 5,70 | 5,70 | 0,00 | Relatief | 8 |
| Gebouw3D | 5311 | 1 | 08:58, 20 mrt 2020 | | | Polygoon | 247312,78 | 443794,22 | 7,20 | 7,20 | 0,00 | Relatief | 10 |
| Gebouw3D | 5312 | 1 | 08:58, 20 mrt 2020 | | | Polygoon | 247315,95 | 443741,76 | 5,70 | 5,70 | 0,00 | Relatief | 4 |
| Gebouw3D | 5313 | 1 | 08:58, 20 mrt 2020 | | | Polygoon | 247314,08 | 443815,81 | 2,60 | 2,60 | 0,00 | Relatief | 5 |
| Gebouw3D | 5314 | 1 | 08:58, 20 mrt 2020 | | | Polygoon | 247322,96 | 443739,17 | 5,70 | 5,70 | 0,00 | Relatief | 6 |
| Gebouw3D | 5315 | 1 | 08:58, 20 mrt 2020 | | | Polygoon | 247330,08 | 443738,49 | 5,60 | 5,60 | 0,00 | Relatief | 6 |
| Gebouw3D | 5316 | 1 | 08:58, 20 mrt 2020 | | | Polygoon | 247333,75 | 443818,38 | 8,80 | 8,80 | 0,00 | Relatief | 4 |
| Gebouw3D | 5317 | 1 | 08:58, 20 mrt 2020 | | | Polygoon | 247329,78 | 443769,16 | 3,20 | 3,20 | 0,00 | Relatief | 4 |
| Gebouw3D | 5318 | 1 | 08:58, 20 mrt 2020 | | | Polygoon | 247330,08 | 443738,49 | 5,60 | 5,60 | 0,00 | Relatief | 4 |

# Invoergegevens van het model

Model: Jager
Jager - Jager
Groep: (hoofdgroep)
Lijst van Gebouwen, voor rekenmethode Wegverkeerslawaai - RMW-2012

| Groep | Omtrek | Oppervlak | Min.lengte | Max.lengte | Functie | BAG-id | Gemeente | Jaar | AHN-jaar | Trust | Cp | Zwevend | Refl. 63 | Refl. 125 | Refl. 250 |
|---|---|---|---|---|---|---|---|---|---|---|---|---|---|---|---|
| Gebouw3D | 19,46 | 22,64 | 3,85 | 5,88 | | | | 0 | 0 | 0 | 0 dB | False | 0,80 | 0,80 | 0,80 |
| Gebouw3D | 13,85 | 11,21 | 2,58 | 4,34 | | | | 0 | 0 | 0 | 0 dB | False | 0,80 | 0,80 | 0,80 |
| Gebouw3D | 45,46 | 78,53 | 0,19 | 8,67 | | | | 0 | 0 | 0 | 0 dB | False | 0,80 | 0,80 | 0,80 |
| Gebouw3D | 36,06 | 50,27 | 2,10 | 12,95 | | | | 0 | 0 | 0 | 0 dB | False | 0,80 | 0,80 | 0,80 |
| Gebouw3D | 35,49 | 48,45 | 2,08 | 7,55 | | | | 0 | 0 | 0 | 0 dB | False | 0,80 | 0,80 | 0,80 |
| Gebouw3D | 27,42 | 46,96 | 6,72 | 6,99 | | | | 0 | 0 | 0 | 0 dB | False | 0,80 | 0,80 | 0,80 |
| Gebouw3D | 19,77 | 24,19 | 4,46 | 5,45 | | | | 0 | 0 | 0 | 0 dB | False | 0,80 | 0,80 | 0,80 |
| Gebouw3D | 42,17 | 71,70 | 2,71 | 15,22 | | | | 0 | 0 | 0 | 0 dB | False | 0,80 | 0,80 | 0,80 |
| Gebouw3D | 48,43 | 92,74 | 2,51 | 17,47 | | | | 0 | 0 | 0 | 0 dB | False | 0,80 | 0,80 | 0,80 |
| Gebouw3D | 49,11 | 123,69 | 0,64 | 14,45 | | | | 0 | 0 | 0 | 0 dB | False | 0,80 | 0,80 | 0,80 |
| Gebouw3D | 51,29 | 97,63 | 1,21 | 9,54 | | | | 0 | 0 | 0 | 0 dB | False | 0,80 | 0,80 | 0,80 |
| Gebouw3D | 40,44 | 64,24 | 0,20 | 14,84 | | | | 0 | 0 | 0 | 0 dB | False | 0,80 | 0,80 | 0,80 |
| Gebouw3D | 53,87 | 73,07 | 0,17 | 14,99 | | | | 0 | 0 | 0 | 0 dB | False | 0,80 | 0,80 | 0,80 |
| Gebouw3D | 39,96 | 59,45 | 2,29 | 14,99 | | | | 0 | 0 | 0 | 0 dB | False | 0,80 | 0,80 | 0,80 |
| Gebouw3D | 21,59 | 27,33 | 4,06 | 6,74 | | | | 0 | 0 | 0 | 0 dB | False | 0,80 | 0,80 | 0,80 |
| Gebouw3D | 20,10 | 25,06 | 4,58 | 5,47 | | | | 0 | 0 | 0 | 0 dB | False | 0,80 | 0,80 | 0,80 |
| Gebouw3D | 13,08 | 10,22 | 2,59 | 3,95 | | | | 0 | 0 | 0 | 0 dB | False | 0,80 | 0,80 | 0,80 |
| Gebouw3D | 18,78 | 20,26 | 3,36 | 6,03 | | | | 0 | 0 | 0 | 0 dB | False | 0,80 | 0,80 | 0,80 |
| Gebouw3D | 9,29 | 5,27 | 1,96 | 2,68 | | | | 0 | 0 | 0 | 0 dB | False | 0,80 | 0,80 | 0,80 |
| Gebouw3D | 39,16 | 74,42 | 0,01 | 10,16 | | | | 0 | 0 | 0 | 0 dB | False | 0,80 | 0,80 | 0,80 |
| Gebouw3D | 34,79 | 73,50 | 7,21 | 10,16 | | | | 0 | 0 | 0 | 0 dB | False | 0,80 | 0,80 | 0,80 |
| Gebouw3D | 34,75 | 73,32 | 0,18 | 10,16 | | | | 0 | 0 | 0 | 0 dB | False | 0,80 | 0,80 | 0,80 |
| Gebouw3D | 34,82 | 73,68 | 7,25 | 10,16 | | | | 0 | 0 | 0 | 0 dB | False | 0,80 | 0,80 | 0,80 |
| Gebouw3D | 35,06 | 74,86 | 0,06 | 10,16 | | | | 0 | 0 | 0 | 0 dB | False | 0,80 | 0,80 | 0,80 |
| Gebouw3D | 35,46 | 75,53 | 0,17 | 10,18 | | | | 0 | 0 | 0 | 0 dB | False | 0,80 | 0,80 | 0,80 |
| Gebouw3D | 37,97 | 67,09 | 0,05 | 8,89 | | | | 0 | 0 | 0 | 0 dB | False | 0,80 | 0,80 | 0,80 |
| Gebouw3D | 60,77 | 104,65 | 0,06 | 13,84 | | | | 0 | 0 | 0 | 0 dB | False | 0,80 | 0,80 | 0,80 |
| Gebouw3D | 35,18 | 74,11 | 0,17 | 10,19 | | | | 0 | 0 | 0 | 0 dB | False | 0,80 | 0,80 | 0,80 |
| Gebouw3D | 63,84 | 172,41 | 1,17 | 10,80 | | | | 0 | 0 | 0 | 0 dB | False | 0,80 | 0,80 | 0,80 |
| Gebouw3D | 34,73 | 73,12 | 7,17 | 10,19 | | | | 0 | 0 | 0 | 0 dB | False | 0,80 | 0,80 | 0,80 |
| Gebouw3D | 10,25 | 6,28 | 0,02 | 3,10 | | | | 0 | 0 | 0 | 0 dB | False | 0,80 | 0,80 | 0,80 |
| Gebouw3D | 38,65 | 74,06 | 0,21 | 12,10 | | | | 0 | 0 | 0 | 0 dB | False | 0,80 | 0,80 | 0,80 |
| Gebouw3D | 38,49 | 73,16 | 0,19 | 12,10 | | | | 0 | 0 | 0 | 0 dB | False | 0,80 | 0,80 | 0,80 |
| Gebouw3D | 27,10 | 45,00 | 5,83 | 7,72 | | | | 0 | 0 | 0 | 0 dB | False | 0,80 | 0,80 | 0,80 |
| Gebouw3D | 17,22 | 17,98 | 3,56 | 5,06 | | | | 0 | 0 | 0 | 0 dB | False | 0,80 | 0,80 | 0,80 |
| Gebouw3D | 35,07 | 74,88 | 7,35 | 10,19 | | | | 0 | 0 | 0 | 0 dB | False | 0,80 | 0,80 | 0,80 |

Model: Jager
Jager - Jager
Groep: (hoofdgroep)
Lijst van Gebouwen, voor rekenmethode Wegverkeerslawaai - RMW-2012

| Groep | Refl. 500 | Refl. 1k | Refl. 2k | Refl. 4k | Refl. 8k |
|---|---|---|---|---|---|
| Gebouw3D | 0,80 | 0,80 | 0,80 | 0,80 | 0,80 |
| Gebouw3D | 0,80 | 0,80 | 0,80 | 0,80 | 0,80 |
| Gebouw3D | 0,80 | 0,80 | 0,80 | 0,80 | 0,80 |
| Gebouw3D | 0,80 | 0,80 | 0,80 | 0,80 | 0,80 |
| Gebouw3D | 0,80 | 0,80 | 0,80 | 0,80 | 0,80 |
| Gebouw3D | 0,80 | 0,80 | 0,80 | 0,80 | 0,80 |
| Gebouw3D | 0,80 | 0,80 | 0,80 | 0,80 | 0,80 |
| Gebouw3D | 0,80 | 0,80 | 0,80 | 0,80 | 0,80 |
| Gebouw3D | 0,80 | 0,80 | 0,80 | 0,80 | 0,80 |
| Gebouw3D | 0,80 | 0,80 | 0,80 | 0,80 | 0,80 |
| Gebouw3D | 0,80 | 0,80 | 0,80 | 0,80 | 0,80 |
| Gebouw3D | 0,80 | 0,80 | 0,80 | 0,80 | 0,80 |
| Gebouw3D | 0,80 | 0,80 | 0,80 | 0,80 | 0,80 |
| Gebouw3D | 0,80 | 0,80 | 0,80 | 0,80 | 0,80 |
| Gebouw3D | 0,80 | 0,80 | 0,80 | 0,80 | 0,80 |
| Gebouw3D | 0,80 | 0,80 | 0,80 | 0,80 | 0,80 |
| Gebouw3D | 0,80 | 0,80 | 0,80 | 0,80 | 0,80 |
| Gebouw3D | 0,80 | 0,80 | 0,80 | 0,80 | 0,80 |
| Gebouw3D | 0,80 | 0,80 | 0,80 | 0,80 | 0,80 |
| Gebouw3D | 0,80 | 0,80 | 0,80 | 0,80 | 0,80 |
| Gebouw3D | 0,80 | 0,80 | 0,80 | 0,80 | 0,80 |
| Gebouw3D | 0,80 | 0,80 | 0,80 | 0,80 | 0,80 |
| Gebouw3D | 0,80 | 0,80 | 0,80 | 0,80 | 0,80 |
| Gebouw3D | 0,80 | 0,80 | 0,80 | 0,80 | 0,80 |
| Gebouw3D | 0,80 | 0,80 | 0,80 | 0,80 | 0,80 |
| Gebouw3D | 0,80 | 0,80 | 0,80 | 0,80 | 0,80 |
| Gebouw3D | 0,80 | 0,80 | 0,80 | 0,80 | 0,80 |
| Gebouw3D | 0,80 | 0,80 | 0,80 | 0,80 | 0,80 |
| Gebouw3D | 0,80 | 0,80 | 0,80 | 0,80 | 0,80 |
| Gebouw3D | 0,80 | 0,80 | 0,80 | 0,80 | 0,80 |
| Gebouw3D | 0,80 | 0,80 | 0,80 | 0,80 | 0,80 |
| Gebouw3D | 0,80 | 0,80 | 0,80 | 0,80 | 0,80 |

# Invoergegevens van het model

Model: Jager
Jager - Jager
Groep: (hoofdgroep)
Lijst van Gebouwen, voor rekenmethode Wegverkeerslawaai - RMW-2012

| Groep | ItemID | Grp.ID | Datum | Naam | Omschr. | Vorm | X-1 | Y-1 | Hoogte | Rel.H | Maaiveld | Hdef. | Vormpunten |
|---|---|---|---|---|---|---|---|---|---|---|---|---|---|
| Gebouw3D | 5319 | 1 | 08:58, 20 mrt 2020 | | | Polygoon | 247338,06 | 443796,78 | 7,30 | 7,30 | 0,00 | Relatief | 7 |
| Gebouw3D | 5320 | 1 | 08:58, 20 mrt 2020 | | | Polygoon | 247338,06 | 443796,78 | 7,30 | 7,30 | 0,00 | Relatief | 7 |
| Gebouw3D | 5321 | 1 | 08:58, 20 mrt 2020 | | | Polygoon | 247339,50 | 443818,98 | 8,70 | 8,70 | 0,00 | Relatief | 4 |
| Gebouw3D | 5322 | 1 | 08:58, 20 mrt 2020 | | | Polygoon | 247333,75 | 443818,38 | 8,70 | 8,70 | 0,00 | Relatief | 4 |
| Gebouw3D | 5323 | 1 | 08:58, 20 mrt 2020 | | | Polygoon | 247335,76 | 443766,24 | 4,60 | 4,60 | 0,00 | Relatief | 6 |
| Gebouw3D | 5324 | 1 | 08:58, 20 mrt 2020 | | | Polygoon | 247332,21 | 443729,12 | 2,80 | 2,80 | 0,00 | Relatief | 4 |
| Gebouw3D | 5325 | 1 | 08:58, 20 mrt 2020 | | | Polygoon | 247273,41 | 443835,34 | 8,20 | 8,20 | 0,00 | Relatief | 7 |
| Gebouw3D | 5326 | 1 | 08:58, 20 mrt 2020 | | | Polygoon | 247284,38 | 443857,73 | 2,60 | 2,60 | 0,00 | Relatief | 8 |
| Gebouw3D | 5327 | 1 | 08:58, 20 mrt 2020 | | | Polygoon | 247285,59 | 443845,38 | 8,40 | 8,40 | 0,00 | Relatief | 9 |
| Gebouw3D | 5328 | 1 | 08:58, 20 mrt 2020 | | | Polygoon | 247285,80 | 443946,31 | 2,70 | 2,70 | 0,00 | Relatief | 7 |
| Gebouw3D | 5329 | 1 | 08:58, 20 mrt 2020 | | | Polygoon | 247284,54 | 443854,84 | 2,60 | 2,60 | 0,00 | Relatief | 13 |
| Gebouw3D | 5330 | 1 | 08:58, 20 mrt 2020 | | | Polygoon | 247285,59 | 443845,38 | 8,40 | 8,40 | 0,00 | Relatief | 11 |
| Gebouw3D | 5331 | 1 | 08:58, 20 mrt 2020 | | | Polygoon | 247287,84 | 443860,98 | 2,50 | 2,50 | 0,00 | Relatief | 8 |
| Gebouw3D | 5332 | 1 | 08:58, 20 mrt 2020 | | | Polygoon | 247288,04 | 443858,13 | 2,60 | 2,60 | 0,00 | Relatief | 12 |
| Gebouw3D | 5333 | 1 | 08:58, 20 mrt 2020 | | | Polygoon | 247290,76 | 443845,93 | 8,30 | 8,30 | 0,00 | Relatief | 13 |
| Gebouw3D | 5334 | 1 | 08:58, 20 mrt 2020 | | | Polygoon | 247297,16 | 443943,59 | 2,80 | 2,80 | 0,00 | Relatief | 4 |
| Gebouw3D | 5335 | 1 | 08:58, 20 mrt 2020 | | | Polygoon | 247295,73 | 443852,80 | 8,20 | 8,20 | 0,00 | Relatief | 6 |
| Gebouw3D | 5336 | 1 | 08:58, 20 mrt 2020 | | | Polygoon | 247296,75 | 443824,85 | 8,20 | 8,20 | 0,00 | Relatief | 10 |
| Gebouw3D | 5337 | 1 | 08:58, 20 mrt 2020 | | | Polygoon | 247297,32 | 443819,51 | 8,30 | 8,30 | 0,00 | Relatief | 9 |
| Gebouw3D | 5338 | 1 | 08:58, 20 mrt 2020 | | | Polygoon | 247301,10 | 443853,37 | 8,30 | 8,30 | 0,00 | Relatief | 6 |
| Gebouw3D | 5339 | 1 | 08:58, 20 mrt 2020 | | | Polygoon | 247324,74 | 443916,54 | 6,10 | 6,10 | 0,00 | Relatief | 15 |
| Gebouw3D | 5340 | 1 | 08:58, 20 mrt 2020 | | | Polygoon | 247305,14 | 443866,16 | 2,50 | 2,50 | 0,00 | Relatief | 4 |
| Gebouw3D | 5341 | 1 | 08:58, 20 mrt 2020 | | | Polygoon | 247305,14 | 443866,16 | 2,60 | 2,60 | 0,00 | Relatief | 4 |
| Gebouw3D | 5342 | 1 | 08:58, 20 mrt 2020 | | | Polygoon | 247306,73 | 443851,48 | 8,20 | 8,20 | 0,00 | Relatief | 6 |
| Gebouw3D | 5343 | 1 | 08:58, 20 mrt 2020 | | | Polygoon | 247310,52 | 443835,27 | 2,50 | 2,50 | 0,00 | Relatief | 5 |
| Gebouw3D | 5344 | 1 | 08:58, 20 mrt 2020 | | | Polygoon | 247315,29 | 443835,63 | 2,60 | 2,60 | 0,00 | Relatief | 5 |
| Gebouw3D | 5345 | 1 | 08:58, 20 mrt 2020 | | | Polygoon | 247316,75 | 443824,26 | 0,10 | 0,10 | 0,00 | Relatief | 9 |
| Gebouw3D | 5346 | 1 | 08:58, 20 mrt 2020 | | | Polygoon | 247332,68 | 443828,61 | 2,40 | 2,40 | 0,00 | Relatief | 4 |
| Gebouw3D | 5347 | 1 | 08:58, 20 mrt 2020 | | | Polygoon | 247346,70 | 443878,70 | 8,60 | 8,60 | 0,00 | Relatief | 8 |
| Gebouw3D | 5348 | 1 | 08:58, 20 mrt 2020 | | | Polygoon | 247332,68 | 443828,61 | 2,40 | 2,40 | 0,00 | Relatief | 4 |
| Gebouw3D | 5349 | 1 | 08:58, 20 mrt 2020 | | | Polygoon | 247344,82 | 443829,79 | 2,40 | 2,40 | 0,00 | Relatief | 4 |
| Gebouw3D | 5350 | 1 | 08:58, 20 mrt 2020 | | | Polygoon | 247344,82 | 443829,79 | 2,40 | 2,40 | 0,00 | Relatief | 4 |
| Gebouw3D | 5351 | 1 | 08:58, 20 mrt 2020 | | | Polygoon | 247356,79 | 443831,06 | 2,30 | 2,30 | 0,00 | Relatief | 4 |
| Gebouw3D | 5352 | 1 | 08:58, 20 mrt 2020 | | | Polygoon | 247356,79 | 443831,06 | 2,30 | 2,30 | 0,00 | Relatief | 4 |
| Gebouw3D | 5353 | 1 | 08:58, 20 mrt 2020 | | | Polygoon | 247106,15 | 443858,54 | 8,40 | 8,40 | 0,00 | Relatief | 16 |
| Gebouw3D | 5354 | 1 | 08:58, 20 mrt 2020 | | | Polygoon | 247108,28 | 443906,35 | 7,10 | 7,10 | 0,00 | Relatief | 10 |

# Invoergegevens van het model

Model: Jager
Jager - Jager
Groep: (hoofdgroep)
Lijst van Gebouwen, voor rekenmethode Wegverkeerslawaai - RMW-2012

| Groep | Omtrek | Oppervlak | Min.lengte | Max.lengte | Functie | BAG-id | Gemeente | Jaar | AHN-jaar | Trust | Cp | Zwevend | Refl. 63 | Refl. 125 | Refl. 250 |
|---|---|---|---|---|---|---|---|---|---|---|---|---|---|---|---|
| Gebouw3D | 40,30 | 78,80 | 1,15 | 8,52 | | | | 0 | 0 | 0 | 0 dB | False | 0,80 | 0,80 | 0,80 |
| Gebouw3D | 41,67 | 84,12 | 2,26 | 8,52 | | | | 0 | 0 | 0 | 0 dB | False | 0,80 | 0,80 | 0,80 |
| Gebouw3D | 27,20 | 45,40 | 5,89 | 7,71 | | | | 0 | 0 | 0 | 0 dB | False | 0,80 | 0,80 | 0,80 |
| Gebouw3D | 26,99 | 44,59 | 5,78 | 7,72 | | | | 0 | 0 | 0 | 0 dB | False | 0,80 | 0,80 | 0,80 |
| Gebouw3D | 33,16 | 47,52 | 0,17 | 12,69 | | | | 0 | 0 | 0 | 0 dB | False | 0,80 | 0,80 | 0,80 |
| Gebouw3D | 17,01 | 18,01 | 4,00 | 4,50 | | | | 0 | 0 | 0 | 0 dB | False | 0,80 | 0,80 | 0,80 |
| Gebouw3D | 33,04 | 61,61 | 0,01 | 8,89 | | | | 0 | 0 | 0 | 0 dB | False | 0,80 | 0,80 | 0,80 |
| Gebouw3D | 19,39 | 20,42 | 0,13 | 4,60 | | | | 0 | 0 | 0 | 0 dB | False | 0,80 | 0,80 | 0,80 |
| Gebouw3D | 37,47 | 59,60 | 0,11 | 9,00 | | | | 0 | 0 | 0 | 0 dB | False | 0,80 | 0,80 | 0,80 |
| Gebouw3D | 25,01 | 32,08 | 2,11 | 7,21 | | | | 0 | 0 | 0 | 0 dB | False | 0,80 | 0,80 | 0,80 |
| Gebouw3D | 21,24 | 23,87 | 0,01 | 3,68 | | | | 0 | 0 | 0 | 0 dB | False | 0,80 | 0,80 | 0,80 |
| Gebouw3D | 29,47 | 49,82 | 0,09 | 8,89 | | | | 0 | 0 | 0 | 0 dB | False | 0,80 | 0,80 | 0,80 |
| Gebouw3D | 21,25 | 19,84 | 0,12 | 7,12 | | | | 0 | 0 | 0 | 0 dB | False | 0,80 | 0,80 | 0,80 |
| Gebouw3D | 20,35 | 21,01 | 0,02 | 6,97 | | | | 0 | 0 | 0 | 0 dB | False | 0,80 | 0,80 | 0,80 |
| Gebouw3D | 33,97 | 49,33 | 0,09 | 8,87 | | | | 0 | 0 | 0 | 0 dB | False | 0,80 | 0,80 | 0,80 |
| Gebouw3D | 19,34 | 21,10 | 3,31 | 6,38 | | | | 0 | 0 | 0 | 0 dB | False | 0,80 | 0,80 | 0,80 |
| Gebouw3D | 33,47 | 61,12 | 0,02 | 11,34 | | | | 0 | 0 | 0 | 0 dB | False | 0,80 | 0,80 | 0,80 |
| Gebouw3D | 37,49 | 71,32 | 0,04 | 8,75 | | | | 0 | 0 | 0 | 0 dB | False | 0,80 | 0,80 | 0,80 |
| Gebouw3D | 33,60 | 51,76 | 0,04 | 8,75 | | | | 0 | 0 | 0 | 0 dB | False | 0,80 | 0,80 | 0,80 |
| Gebouw3D | 33,50 | 52,14 | 1,65 | 11,34 | | | | 0 | 0 | 0 | 0 dB | False | 0,80 | 0,80 | 0,80 |
| Gebouw3D | 220,40 | 929,69 | 3,84 | 28,69 | | | | 0 | 0 | 0 | 0 dB | False | 0,80 | 0,80 | 0,80 |
| Gebouw3D | 9,83 | 5,68 | 1,83 | 3,06 | | | | 0 | 0 | 0 | 0 dB | False | 0,80 | 0,80 | 0,80 |
| Gebouw3D | 9,88 | 5,76 | 1,86 | 3,06 | | | | 0 | 0 | 0 | 0 dB | False | 0,80 | 0,80 | 0,80 |
| Gebouw3D | 34,70 | 66,32 | 2,80 | 8,87 | | | | 0 | 0 | 0 | 0 dB | False | 0,80 | 0,80 | 0,80 |
| Gebouw3D | 16,18 | 15,80 | 0,28 | 4,81 | | | | 0 | 0 | 0 | 0 dB | False | 0,80 | 0,80 | 0,80 |
| Gebouw3D | 15,97 | 15,24 | 0,10 | 4,86 | | | | 0 | 0 | 0 | 0 dB | False | 0,80 | 0,80 | 0,80 |
| Gebouw3D | 16,80 | 12,87 | 0,14 | 4,61 | | | | 0 | 0 | 0 | 0 dB | False | 0,80 | 0,80 | 0,80 |
| Gebouw3D | 10,57 | 6,96 | 2,49 | 2,79 | | | | 0 | 0 | 0 | 0 dB | False | 0,80 | 0,80 | 0,80 |
| Gebouw3D | 136,39 | 614,64 | 0,81 | 43,00 | | | | 0 | 0 | 0 | 0 dB | False | 0,80 | 0,80 | 0,80 |
| Gebouw3D | 11,22 | 7,86 | 2,77 | 2,85 | | | | 0 | 0 | 0 | 0 dB | False | 0,80 | 0,80 | 0,80 |
| Gebouw3D | 10,61 | 7,04 | 2,60 | 2,72 | | | | 0 | 0 | 0 | 0 dB | False | 0,80 | 0,80 | 0,80 |
| Gebouw3D | 10,99 | 7,55 | 2,72 | 2,76 | | | | 0 | 0 | 0 | 0 dB | False | 0,80 | 0,80 | 0,80 |
| Gebouw3D | 10,91 | 7,44 | 2,71 | 2,75 | | | | 0 | 0 | 0 | 0 dB | False | 0,80 | 0,80 | 0,80 |
| Gebouw3D | 10,94 | 7,47 | 2,68 | 2,77 | | | | 0 | 0 | 0 | 0 dB | False | 0,80 | 0,80 | 0,80 |
| Gebouw3D | 51,23 | 95,88 | 1,28 | 6,01 | | | | 0 | 0 | 0 | 0 dB | False | 0,80 | 0,80 | 0,80 |
| Gebouw3D | 31,52 | 51,47 | 0,47 | 6,94 | | | | 0 | 0 | 0 | 0 dB | False | 0,80 | 0,80 | 0,80 |

Model: Jager
Jager - Jager
Groep: (hoofdgroep)
Lijst van Gebouwen, voor rekenmethode Wegverkeerslawaai - RMW-2012

| Groep | Refl. 500 | Refl. 1k | Refl. 2k | Refl. 4k | Refl. 8k |
|---|---|---|---|---|---|
| Gebouw3D | 0,80 | 0,80 | 0,80 | 0,80 | 0,80 |
| Gebouw3D | 0,80 | 0,80 | 0,80 | 0,80 | 0,80 |
| Gebouw3D | 0,80 | 0,80 | 0,80 | 0,80 | 0,80 |
| Gebouw3D | 0,80 | 0,80 | 0,80 | 0,80 | 0,80 |
| Gebouw3D | 0,80 | 0,80 | 0,80 | 0,80 | 0,80 |
| Gebouw3D | 0,80 | 0,80 | 0,80 | 0,80 | 0,80 |
| Gebouw3D | 0,80 | 0,80 | 0,80 | 0,80 | 0,80 |
| Gebouw3D | 0,80 | 0,80 | 0,80 | 0,80 | 0,80 |
| Gebouw3D | 0,80 | 0,80 | 0,80 | 0,80 | 0,80 |
| Gebouw3D | 0,80 | 0,80 | 0,80 | 0,80 | 0,80 |
| Gebouw3D | 0,80 | 0,80 | 0,80 | 0,80 | 0,80 |
| Gebouw3D | 0,80 | 0,80 | 0,80 | 0,80 | 0,80 |
| Gebouw3D | 0,80 | 0,80 | 0,80 | 0,80 | 0,80 |
| Gebouw3D | 0,80 | 0,80 | 0,80 | 0,80 | 0,80 |
| Gebouw3D | 0,80 | 0,80 | 0,80 | 0,80 | 0,80 |
| Gebouw3D | 0,80 | 0,80 | 0,80 | 0,80 | 0,80 |
| Gebouw3D | 0,80 | 0,80 | 0,80 | 0,80 | 0,80 |
| Gebouw3D | 0,80 | 0,80 | 0,80 | 0,80 | 0,80 |
| Gebouw3D | 0,80 | 0,80 | 0,80 | 0,80 | 0,80 |
| Gebouw3D | 0,80 | 0,80 | 0,80 | 0,80 | 0,80 |
| Gebouw3D | 0,80 | 0,80 | 0,80 | 0,80 | 0,80 |
| Gebouw3D | 0,80 | 0,80 | 0,80 | 0,80 | 0,80 |
| Gebouw3D | 0,80 | 0,80 | 0,80 | 0,80 | 0,80 |
| Gebouw3D | 0,80 | 0,80 | 0,80 | 0,80 | 0,80 |
| Gebouw3D | 0,80 | 0,80 | 0,80 | 0,80 | 0,80 |
| Gebouw3D | 0,80 | 0,80 | 0,80 | 0,80 | 0,80 |
| Gebouw3D | 0,80 | 0,80 | 0,80 | 0,80 | 0,80 |
| Gebouw3D | 0,80 | 0,80 | 0,80 | 0,80 | 0,80 |
| Gebouw3D | 0,80 | 0,80 | 0,80 | 0,80 | 0,80 |
| Gebouw3D | 0,80 | 0,80 | 0,80 | 0,80 | 0,80 |
| Gebouw3D | 0,80 | 0,80 | 0,80 | 0,80 | 0,80 |
| Gebouw3D | 0,80 | 0,80 | 0,80 | 0,80 | 0,80 |

Model: Jager
Jager - Jager
Groep: (hoofdgroep)
Lijst van Gebouwen, voor rekenmethode Wegverkeerslawaai - RMW-2012

| Groep | ItemID | Grp.ID | Datum | Naam | Omschr. | Vorm | X-1 | Y-1 | Hoogte | Rel.H | Maaiveld | Hdef. | Vormpunten |
|---|---|---|---|---|---|---|---|---|---|---|---|---|---|
| Gebouw3D | 5355 | 1 | 08:58, 20 mrt 2020 | | | Polygoon | 247102,36 | 443932,83 | 7,10 | 7,10 | 0,00 | Relatief | 8 |
| Gebouw3D | 5356 | 1 | 08:58, 20 mrt 2020 | | | Polygoon | 247102,80 | 443926,84 | 7,10 | 7,10 | 0,00 | Relatief | 4 |
| Gebouw3D | 5357 | 1 | 08:58, 20 mrt 2020 | | | Polygoon | 247107,35 | 443918,90 | 2,30 | 2,30 | 0,00 | Relatief | 4 |
| Gebouw3D | 5358 | 1 | 08:58, 20 mrt 2020 | | | Polygoon | 247119,02 | 443919,85 | 2,40 | 2,40 | 0,00 | Relatief | 4 |
| Gebouw3D | 5359 | 1 | 08:58, 20 mrt 2020 | | | Polygoon | 247114,11 | 443906,78 | 7,00 | 7,00 | 0,00 | Relatief | 8 |
| Gebouw3D | 5360 | 1 | 08:58, 20 mrt 2020 | | | Polygoon | 247125,18 | 443863,18 | 8,60 | 8,60 | 0,00 | Relatief | 10 |
| Gebouw3D | 5361 | 1 | 08:58, 20 mrt 2020 | | | Polygoon | 247119,02 | 443919,85 | 2,30 | 2,30 | 0,00 | Relatief | 4 |
| Gebouw3D | 5362 | 1 | 08:58, 20 mrt 2020 | | | Polygoon | 247121,10 | 443928,18 | 2,40 | 2,40 | 0,00 | Relatief | 4 |
| Gebouw3D | 5363 | 1 | 08:58, 20 mrt 2020 | | | Polygoon | 247121,10 | 443928,18 | 2,40 | 2,40 | 0,00 | Relatief | 4 |
| Gebouw3D | 5364 | 1 | 08:58, 20 mrt 2020 | | | Polygoon | 247134,37 | 443845,03 | 3,20 | 3,20 | 0,00 | Relatief | 19 |
| Gebouw3D | 5365 | 1 | 08:58, 20 mrt 2020 | | | Polygoon | 247126,67 | 443925,84 | 2,40 | 2,40 | 0,00 | Relatief | 4 |
| Gebouw3D | 5366 | 1 | 08:58, 20 mrt 2020 | | | Polygoon | 247127,65 | 443913,48 | 2,40 | 2,40 | 0,00 | Relatief | 4 |
| Gebouw3D | 5367 | 1 | 08:58, 20 mrt 2020 | | | Polygoon | 247131,95 | 443937,51 | 2,50 | 2,50 | 0,00 | Relatief | 4 |
| Gebouw3D | 5368 | 1 | 08:58, 20 mrt 2020 | | | Polygoon | 247136,32 | 443920,36 | 7,10 | 7,10 | 0,00 | Relatief | 10 |
| Gebouw3D | 5369 | 1 | 08:58, 20 mrt 2020 | | | Polygoon | 247136,32 | 443920,36 | 7,10 | 7,10 | 0,00 | Relatief | 6 |
| Gebouw3D | 5370 | 1 | 08:58, 20 mrt 2020 | | | Polygoon | 247138,20 | 443926,65 | 7,30 | 7,30 | 0,00 | Relatief | 4 |
| Gebouw3D | 5371 | 1 | 08:58, 20 mrt 2020 | | | Polygoon | 247144,41 | 443870,91 | 3,20 | 3,20 | 0,00 | Relatief | 6 |
| Gebouw3D | 5372 | 1 | 08:58, 20 mrt 2020 | | | Polygoon | 247142,13 | 443885,97 | 7,10 | 7,10 | 0,00 | Relatief | 9 |
| Gebouw3D | 5373 | 1 | 08:58, 20 mrt 2020 | | | Polygoon | 247154,44 | 443827,51 | 3,00 | 3,00 | 0,00 | Relatief | 4 |
| Gebouw3D | 5374 | 1 | 08:58, 20 mrt 2020 | | | Polygoon | 247157,33 | 443896,88 | 7,20 | 7,20 | 0,00 | Relatief | 4 |
| Gebouw3D | 5375 | 1 | 08:58, 20 mrt 2020 | | | Polygoon | 247157,74 | 443871,19 | 4,60 | 4,60 | 0,00 | Relatief | 4 |
| Gebouw3D | 5376 | 1 | 08:58, 20 mrt 2020 | | | Polygoon | 247158,34 | 443856,36 | 3,70 | 3,70 | 0,00 | Relatief | 4 |
| Gebouw3D | 5377 | 1 | 08:58, 20 mrt 2020 | | | Polygoon | 247164,07 | 443864,80 | 3,20 | 3,20 | 0,00 | Relatief | 8 |
| Gebouw3D | 5378 | 1 | 08:58, 20 mrt 2020 | | | Polygoon | 247160,56 | 443878,22 | 3,00 | 3,00 | 0,00 | Relatief | 4 |
| Gebouw3D | 5379 | 1 | 08:58, 20 mrt 2020 | | | Polygoon | 247163,09 | 443889,14 | 3,30 | 3,30 | 0,00 | Relatief | 4 |
| Gebouw3D | 5380 | 1 | 08:58, 20 mrt 2020 | | | Polygoon | 247126,67 | 443925,84 | 2,40 | 2,40 | 0,00 | Relatief | 4 |
| Gebouw3D | 5381 | 1 | 08:58, 20 mrt 2020 | | | Polygoon | 247107,35 | 443918,90 | 2,40 | 2,40 | 0,00 | Relatief | 4 |
| Gebouw3D | 5382 | 1 | 08:58, 20 mrt 2020 | | | Polygoon | 247140,44 | 443938,22 | 2,50 | 2,50 | 0,00 | Relatief | 4 |
| Gebouw3D | 5383 | 1 | 08:58, 20 mrt 2020 | | | Polygoon | 247138,07 | 443854,34 | 4,20 | 4,20 | 0,00 | Relatief | 4 |
| Gebouw3D | 5384 | 1 | 08:58, 20 mrt 2020 | | | Polygoon | 247108,28 | 443906,35 | 7,10 | 7,10 | 0,00 | Relatief | 4 |
| Gebouw3D | 5385 | 1 | 08:58, 20 mrt 2020 | | | Polygoon | 247163,09 | 443889,14 | 3,20 | 3,20 | 0,00 | Relatief | 4 |
| Gebouw3D | 5386 | 1 | 08:58, 20 mrt 2020 | | | Polygoon | 247119,95 | 443907,22 | 7,10 | 7,10 | 0,00 | Relatief | 4 |
| Gebouw3D | 5387 | 1 | 08:58, 20 mrt 2020 | | | Polygoon | 247157,33 | 443896,88 | 7,20 | 7,20 | 0,00 | Relatief | 4 |
| Gebouw3D | 5388 | 1 | 08:58, 20 mrt 2020 | | | Polygoon | 247103,60 | 443834,90 | 2,40 | 2,40 | 0,00 | Relatief | 4 |
| Gebouw3D | 5389 | 1 | 08:58, 20 mrt 2020 | | | Polygoon | 247134,37 | 443845,03 | 2,20 | 2,20 | 0,00 | Relatief | 7 |
| Gebouw3D | 5390 | 1 | 08:58, 20 mrt 2020 | | | Polygoon | 247102,80 | 443926,84 | 7,10 | 7,10 | 0,00 | Relatief | 8 |

# Invoergegevens van het model

Model: Jager
Jager - Jager
Groep: (hoofdgroep)
Lijst van Gebouwen, voor rekenmethode Wegverkeerslawaai - RMW-2012

| Groep | Omtrek | Oppervlak | Min.lengte | Max.lengte | Functie | BAG-id | Gemeente | Jaar | AHN-jaar | Trust | Cp | Zwevend | Refl. 63 | Refl. 125 | Refl. 250 |
|---|---|---|---|---|---|---|---|---|---|---|---|---|---|---|---|
| Gebouw3D | 28,83 | 43,71 | 0,01 | 6,98 | | | | 0 | 0 | 0 | 0 dB | False | 0,80 | 0,80 | 0,80 |
| Gebouw3D | 26,80 | 44,80 | 6,42 | 6,98 | | | | 0 | 0 | 0 | 0 dB | False | 0,80 | 0,80 | 0,80 |
| Gebouw3D | 16,16 | 15,95 | 3,42 | 4,67 | | | | 0 | 0 | 0 | 0 dB | False | 0,80 | 0,80 | 0,80 |
| Gebouw3D | 16,64 | 16,75 | 3,42 | 4,94 | | | | 0 | 0 | 0 | 0 dB | False | 0,80 | 0,80 | 0,80 |
| Gebouw3D | 29,87 | 45,07 | 0,16 | 6,94 | | | | 0 | 0 | 0 | 0 dB | False | 0,80 | 0,80 | 0,80 |
| Gebouw3D | 39,47 | 78,55 | 0,63 | 8,71 | | | | 0 | 0 | 0 | 0 dB | False | 0,80 | 0,80 | 0,80 |
| Gebouw3D | 16,69 | 16,84 | 3,42 | 4,95 | | | | 0 | 0 | 0 | 0 dB | False | 0,80 | 0,80 | 0,80 |
| Gebouw3D | 16,78 | 17,13 | 3,50 | 4,89 | | | | 0 | 0 | 0 | 0 dB | False | 0,80 | 0,80 | 0,80 |
| Gebouw3D | 16,94 | 17,44 | 3,52 | 4,96 | | | | 0 | 0 | 0 | 0 dB | False | 0,80 | 0,80 | 0,80 |
| Gebouw3D | 69,14 | 162,63 | 0,02 | 11,03 | | | | 0 | 0 | 0 | 0 dB | False | 0,80 | 0,80 | 0,80 |
| Gebouw3D | 13,99 | 12,24 | 3,45 | 3,56 | | | | 0 | 0 | 0 | 0 dB | False | 0,80 | 0,80 | 0,80 |
| Gebouw3D | 14,46 | 13,05 | 3,41 | 3,77 | | | | 0 | 0 | 0 | 0 dB | False | 0,80 | 0,80 | 0,80 |
| Gebouw3D | 13,92 | 12,10 | 3,39 | 3,59 | | | | 0 | 0 | 0 | 0 dB | False | 0,80 | 0,80 | 0,80 |
| Gebouw3D | 35,60 | 49,67 | 0,08 | 9,56 | | | | 0 | 0 | 0 | 0 dB | False | 0,80 | 0,80 | 0,80 |
| Gebouw3D | 31,95 | 51,64 | 2,22 | 9,56 | | | | 0 | 0 | 0 | 0 dB | False | 0,80 | 0,80 | 0,80 |
| Gebouw3D | 27,36 | 46,63 | 6,43 | 7,25 | | | | 0 | 0 | 0 | 0 dB | False | 0,80 | 0,80 | 0,80 |
| Gebouw3D | 13,32 | 10,82 | 0,02 | 3,85 | | | | 0 | 0 | 0 | 0 dB | False | 0,80 | 0,80 | 0,80 |
| Gebouw3D | 43,64 | 67,54 | 0,36 | 9,61 | | | | 0 | 0 | 0 | 0 dB | False | 0,80 | 0,80 | 0,80 |
| Gebouw3D | 25,22 | 38,24 | 5,07 | 7,54 | | | | 0 | 0 | 0 | 0 dB | False | 0,80 | 0,80 | 0,80 |
| Gebouw3D | 27,14 | 45,96 | 6,49 | 7,09 | | | | 0 | 0 | 0 | 0 dB | False | 0,80 | 0,80 | 0,80 |
| Gebouw3D | 22,01 | 30,26 | 5,38 | 5,63 | | | | 0 | 0 | 0 | 0 dB | False | 0,80 | 0,80 | 0,80 |
| Gebouw3D | 17,85 | 19,63 | 3,92 | 5,01 | | | | 0 | 0 | 0 | 0 dB | False | 0,80 | 0,80 | 0,80 |
| Gebouw3D | 26,71 | 39,51 | 0,64 | 6,48 | | | | 0 | 0 | 0 | 0 dB | False | 0,80 | 0,80 | 0,80 |
| Gebouw3D | 17,37 | 17,99 | 3,41 | 5,27 | | | | 0 | 0 | 0 | 0 dB | False | 0,80 | 0,80 | 0,80 |
| Gebouw3D | 19,56 | 20,19 | 2,91 | 6,82 | | | | 0 | 0 | 0 | 0 dB | False | 0,80 | 0,80 | 0,80 |
| Gebouw3D | 13,82 | 11,94 | 3,44 | 3,49 | | | | 0 | 0 | 0 | 0 dB | False | 0,80 | 0,80 | 0,80 |
| Gebouw3D | 17,27 | 17,91 | 3,45 | 5,17 | | | | 0 | 0 | 0 | 0 dB | False | 0,80 | 0,80 | 0,80 |
| Gebouw3D | 13,96 | 12,17 | 3,36 | 3,62 | | | | 0 | 0 | 0 | 0 dB | False | 0,80 | 0,80 | 0,80 |
| Gebouw3D | 27,36 | 44,18 | 5,22 | 8,46 | | | | 0 | 0 | 0 | 0 dB | False | 0,80 | 0,80 | 0,80 |
| Gebouw3D | 25,58 | 40,61 | 5,85 | 6,94 | | | | 0 | 0 | 0 | 0 dB | False | 0,80 | 0,80 | 0,80 |
| Gebouw3D | 18,34 | 16,01 | 2,30 | 6,82 | | | | 0 | 0 | 0 | 0 dB | False | 0,80 | 0,80 | 0,80 |
| Gebouw3D | 26,48 | 43,73 | 6,30 | 6,94 | | | | 0 | 0 | 0 | 0 dB | False | 0,80 | 0,80 | 0,80 |
| Gebouw3D | 28,72 | 51,18 | 6,54 | 7,84 | | | | 0 | 0 | 0 | 0 dB | False | 0,80 | 0,80 | 0,80 |
| Gebouw3D | 22,69 | 31,76 | 5,03 | 6,31 | | | | 0 | 0 | 0 | 0 dB | False | 0,80 | 0,80 | 0,80 |
| Gebouw3D | 26,91 | 25,78 | 0,04 | 7,64 | | | | 0 | 0 | 0 | 0 dB | False | 0,80 | 0,80 | 0,80 |
| Gebouw3D | 29,04 | 45,35 | 0,25 | 6,98 | | | | 0 | 0 | 0 | 0 dB | False | 0,80 | 0,80 | 0,80 |

Model: Jager
Jager - Jager
Groep: (hoofdgroep)
Lijst van Gebouwen, voor rekenmethode Wegverkeerslawaai - RMW-2012

| Groep | Refl. 500 | Refl. 1k | Refl. 2k | Refl. 4k | Refl. 8k |
|---|---|---|---|---|---|
| Gebouw3D | 0,80 | 0,80 | 0,80 | 0,80 | 0,80 |
| Gebouw3D | 0,80 | 0,80 | 0,80 | 0,80 | 0,80 |
| Gebouw3D | 0,80 | 0,80 | 0,80 | 0,80 | 0,80 |
| Gebouw3D | 0,80 | 0,80 | 0,80 | 0,80 | 0,80 |
| Gebouw3D | 0,80 | 0,80 | 0,80 | 0,80 | 0,80 |
| Gebouw3D | 0,80 | 0,80 | 0,80 | 0,80 | 0,80 |
| Gebouw3D | 0,80 | 0,80 | 0,80 | 0,80 | 0,80 |
| Gebouw3D | 0,80 | 0,80 | 0,80 | 0,80 | 0,80 |
| Gebouw3D | 0,80 | 0,80 | 0,80 | 0,80 | 0,80 |
| Gebouw3D | 0,80 | 0,80 | 0,80 | 0,80 | 0,80 |
| Gebouw3D | 0,80 | 0,80 | 0,80 | 0,80 | 0,80 |
| Gebouw3D | 0,80 | 0,80 | 0,80 | 0,80 | 0,80 |
| Gebouw3D | 0,80 | 0,80 | 0,80 | 0,80 | 0,80 |
| Gebouw3D | 0,80 | 0,80 | 0,80 | 0,80 | 0,80 |
| Gebouw3D | 0,80 | 0,80 | 0,80 | 0,80 | 0,80 |
| Gebouw3D | 0,80 | 0,80 | 0,80 | 0,80 | 0,80 |
| Gebouw3D | 0,80 | 0,80 | 0,80 | 0,80 | 0,80 |
| Gebouw3D | 0,80 | 0,80 | 0,80 | 0,80 | 0,80 |
| Gebouw3D | 0,80 | 0,80 | 0,80 | 0,80 | 0,80 |
| Gebouw3D | 0,80 | 0,80 | 0,80 | 0,80 | 0,80 |
| Gebouw3D | 0,80 | 0,80 | 0,80 | 0,80 | 0,80 |
| Gebouw3D | 0,80 | 0,80 | 0,80 | 0,80 | 0,80 |
| Gebouw3D | 0,80 | 0,80 | 0,80 | 0,80 | 0,80 |
| Gebouw3D | 0,80 | 0,80 | 0,80 | 0,80 | 0,80 |
| Gebouw3D | 0,80 | 0,80 | 0,80 | 0,80 | 0,80 |
| Gebouw3D | 0,80 | 0,80 | 0,80 | 0,80 | 0,80 |
| Gebouw3D | 0,80 | 0,80 | 0,80 | 0,80 | 0,80 |
| Gebouw3D | 0,80 | 0,80 | 0,80 | 0,80 | 0,80 |
| Gebouw3D | 0,80 | 0,80 | 0,80 | 0,80 | 0,80 |
| Gebouw3D | 0,80 | 0,80 | 0,80 | 0,80 | 0,80 |
| Gebouw3D | 0,80 | 0,80 | 0,80 | 0,80 | 0,80 |
| Gebouw3D | 0,80 | 0,80 | 0,80 | 0,80 | 0,80 |

# Invoergegevens van het model

Model: Jager
Jager - Jager
Groep: (hoofdgroep)
Lijst van Gebouwen, voor rekenmethode Wegverkeerslawaai - RMW-2012

| Groep | ItemID | Grp.ID | Datum | Naam | Omschr. | Vorm | X-1 | Y-1 | Hoogte | Rel.H | Maaiveld | Hdef. | Vormpunten |
|---|---|---|---|---|---|---|---|---|---|---|---|---|---|
| Gebouw3D | 5391 | 1 | 08:58, 20 mrt 2020 | | | Polygoon | 247144,41 | 443870,91 | 7,00 | 7,00 | 0,00 | Relatief | 12 |
| Gebouw3D | 5392 | 1 | 08:58, 20 mrt 2020 | | | Polygoon | 247140,96 | 443839,05 | 2,80 | 2,80 | 0,00 | Relatief | 6 |
| Gebouw3D | 5393 | 1 | 08:58, 20 mrt 2020 | | | Polygoon | 247131,95 | 443937,51 | 2,40 | 2,40 | 0,00 | Relatief | 4 |
| Gebouw3D | 5394 | 1 | 08:58, 20 mrt 2020 | | | Polygoon | 247120,21 | 443939,88 | 2,40 | 2,40 | 0,00 | Relatief | 4 |
| Gebouw3D | 5395 | 1 | 08:58, 20 mrt 2020 | | | Polygoon | 247148,06 | 443878,40 | 3,10 | 3,10 | 0,00 | Relatief | 7 |
| Gebouw3D | 5396 | 1 | 08:58, 20 mrt 2020 | | | Polygoon | 247140,36 | 443876,57 | 7,40 | 7,40 | 0,00 | Relatief | 4 |
| Gebouw3D | 5397 | 1 | 08:58, 20 mrt 2020 | | | Polygoon | 247229,07 | 443827,70 | 6,80 | 6,80 | 0,00 | Relatief | 7 |
| Gebouw3D | 5398 | 1 | 08:58, 20 mrt 2020 | | | Polygoon | 247257,30 | 443833,61 | 8,30 | 8,30 | 0,00 | Relatief | 6 |
| Gebouw3D | 5399 | 1 | 08:58, 20 mrt 2020 | | | Polygoon | 247257,30 | 443833,61 | 8,20 | 8,20 | 0,00 | Relatief | 6 |
| Gebouw3D | 5400 | 1 | 08:58, 20 mrt 2020 | | | Polygoon | 247262,66 | 443834,19 | 8,20 | 8,20 | 0,00 | Relatief | 6 |
| Gebouw3D | 5401 | 1 | 08:58, 20 mrt 2020 | | | Polygoon | 247268,06 | 443834,77 | 8,20 | 8,20 | 0,00 | Relatief | 6 |
| Gebouw3D | 5402 | 1 | 08:58, 20 mrt 2020 | | | Polygoon | 247253,88 | 443846,89 | 2,60 | 2,60 | 0,00 | Relatief | 5 |
| Gebouw3D | 5403 | 1 | 08:58, 20 mrt 2020 | | | Polygoon | 247261,67 | 443844,60 | 2,60 | 2,60 | 0,00 | Relatief | 5 |
| Gebouw3D | 5404 | 1 | 08:58, 20 mrt 2020 | | | Polygoon | 247264,65 | 443848,02 | 2,50 | 2,50 | 0,00 | Relatief | 4 |
| Gebouw3D | 5405 | 1 | 08:58, 20 mrt 2020 | | | Polygoon | 247270,37 | 443845,54 | 2,60 | 2,60 | 0,00 | Relatief | 4 |
| Gebouw3D | 5406 | 1 | 08:58, 20 mrt 2020 | | | Polygoon | 247275,98 | 443846,07 | 2,50 | 2,50 | 0,00 | Relatief | 4 |
| Gebouw3D | 5407 | 1 | 08:58, 20 mrt 2020 | | | Polygoon | 247248,21 | 443866,23 | 7,00 | 7,00 | 0,00 | Relatief | 14 |
| Gebouw3D | 5408 | 1 | 08:58, 20 mrt 2020 | | | Polygoon | 247246,33 | 443872,98 | 7,10 | 7,10 | 0,00 | Relatief | 10 |
| Gebouw3D | 5409 | 1 | 08:58, 20 mrt 2020 | | | Polygoon | 247266,45 | 443874,37 | 2,30 | 2,30 | 0,00 | Relatief | 4 |
| Gebouw3D | 5410 | 1 | 08:58, 20 mrt 2020 | | | Polygoon | 247250,92 | 443881,55 | 7,10 | 7,10 | 0,00 | Relatief | 7 |
| Gebouw3D | 5411 | 1 | 08:58, 20 mrt 2020 | | | Polygoon | 247263,40 | 443879,89 | 2,30 | 2,30 | 0,00 | Relatief | 4 |
| Gebouw3D | 5412 | 1 | 08:58, 20 mrt 2020 | | | Polygoon | 247242,58 | 443886,49 | 7,10 | 7,10 | 0,00 | Relatief | 8 |
| Gebouw3D | 5413 | 1 | 08:58, 20 mrt 2020 | | | Polygoon | 247240,70 | 443893,23 | 6,90 | 6,90 | 0,00 | Relatief | 8 |
| Gebouw3D | 5414 | 1 | 08:58, 20 mrt 2020 | | | Polygoon | 247258,81 | 443898,38 | 2,50 | 2,50 | 0,00 | Relatief | 4 |
| Gebouw3D | 5415 | 1 | 08:58, 20 mrt 2020 | | | Polygoon | 247235,96 | 443909,82 | 7,40 | 7,40 | 0,00 | Relatief | 4 |
| Gebouw3D | 5416 | 1 | 08:58, 20 mrt 2020 | | | Polygoon | 247246,29 | 443907,74 | 2,60 | 2,60 | 0,00 | Relatief | 4 |
| Gebouw3D | 5417 | 1 | 08:58, 20 mrt 2020 | | | Polygoon | 247235,96 | 443909,82 | 7,10 | 7,10 | 0,00 | Relatief | 6 |
| Gebouw3D | 5418 | 1 | 08:58, 20 mrt 2020 | | | Polygoon | 247258,15 | 443925,94 | 3,90 | 3,90 | 0,00 | Relatief | 4 |
| Gebouw3D | 5419 | 1 | 08:58, 20 mrt 2020 | | | Polygoon | 247234,04 | 443916,52 | 7,10 | 7,10 | 0,00 | Relatief | 6 |
| Gebouw3D | 5420 | 1 | 08:58, 20 mrt 2020 | | | Polygoon | 247255,44 | 443917,02 | 2,70 | 2,70 | 0,00 | Relatief | 4 |
| Gebouw3D | 5421 | 1 | 08:58, 20 mrt 2020 | | | Polygoon | 247256,71 | 443927,92 | 5,60 | 5,60 | 0,00 | Relatief | 4 |
| Gebouw3D | 5422 | 1 | 08:58, 20 mrt 2020 | | | Polygoon | 247239,12 | 443932,56 | 3,00 | 3,00 | 0,00 | Relatief | 4 |
| Gebouw3D | 5423 | 1 | 08:58, 20 mrt 2020 | | | Polygoon | 247239,12 | 443932,56 | 3,20 | 3,20 | 0,00 | Relatief | 4 |
| Gebouw3D | 5424 | 1 | 08:58, 20 mrt 2020 | | | Polygoon | 247243,82 | 443937,35 | 3,00 | 3,00 | 0,00 | Relatief | 4 |
| Gebouw3D | 5425 | 1 | 08:58, 20 mrt 2020 | | | Polygoon | 247233,81 | 443941,83 | 6,90 | 6,90 | 0,00 | Relatief | 8 |
| Gebouw3D | 5426 | 1 | 08:58, 20 mrt 2020 | | | Polygoon | 247267,80 | 443945,42 | 7,10 | 7,10 | 0,00 | Relatief | 12 |

# Invoergegevens van het model

Model: Jager
Jager - Jager
Groep: (hoofdgroep)
Lijst van Gebouwen, voor rekenmethode Wegverkeerslawaai - RMW-2012

| Groep | Omtrek | Oppervlak | Min.lengte | Max.lengte | Functie | BAG-id | Gemeente | Jaar | AHN-jaar | Trust | Cp | Zwevend | Refl. 63 | Refl. 125 | Refl. 250 |
|---|---|---|---|---|---|---|---|---|---|---|---|---|---|---|---|
| Gebouw3D | 47,11 | 87,02 | 0,02 | 9,61 | | | | 0 | 0 | 0 | 0 dB | False | 0,80 | 0,80 | 0,80 |
| Gebouw3D | 17,53 | 18,52 | 0,02 | 5,21 | | | | 0 | 0 | 0 | 0 dB | False | 0,80 | 0,80 | 0,80 |
| Gebouw3D | 13,92 | 12,12 | 3,44 | 3,53 | | | | 0 | 0 | 0 | 0 dB | False | 0,80 | 0,80 | 0,80 |
| Gebouw3D | 16,39 | 16,41 | 3,48 | 4,73 | | | | 0 | 0 | 0 | 0 dB | False | 0,80 | 0,80 | 0,80 |
| Gebouw3D | 14,41 | 12,47 | 0,07 | 4,11 | | | | 0 | 0 | 0 | 0 dB | False | 0,80 | 0,80 | 0,80 |
| Gebouw3D | 28,15 | 49,33 | 6,59 | 7,50 | | | | 0 | 0 | 0 | 0 dB | False | 0,80 | 0,80 | 0,80 |
| Gebouw3D | 78,16 | 302,52 | 0,61 | 27,96 | | | | 0 | 0 | 0 | 0 dB | False | 0,80 | 0,80 | 0,80 |
| Gebouw3D | 32,89 | 60,84 | 1,88 | 8,95 | | | | 0 | 0 | 0 | 0 dB | False | 0,80 | 0,80 | 0,80 |
| Gebouw3D | 32,41 | 58,27 | 1,88 | 8,95 | | | | 0 | 0 | 0 | 0 dB | False | 0,80 | 0,80 | 0,80 |
| Gebouw3D | 32,53 | 58,91 | 1,89 | 8,93 | | | | 0 | 0 | 0 | 0 dB | False | 0,80 | 0,80 | 0,80 |
| Gebouw3D | 32,37 | 58,06 | 1,91 | 8,91 | | | | 0 | 0 | 0 | 0 dB | False | 0,80 | 0,80 | 0,80 |
| Gebouw3D | 10,29 | 6,34 | 0,03 | 3,09 | | | | 0 | 0 | 0 | 0 dB | False | 0,80 | 0,80 | 0,80 |
| Gebouw3D | 10,34 | 6,42 | 0,07 | 3,12 | | | | 0 | 0 | 0 | 0 dB | False | 0,80 | 0,80 | 0,80 |
| Gebouw3D | 10,22 | 6,28 | 2,03 | 3,07 | | | | 0 | 0 | 0 | 0 dB | False | 0,80 | 0,80 | 0,80 |
| Gebouw3D | 10,15 | 6,15 | 2,00 | 3,08 | | | | 0 | 0 | 0 | 0 dB | False | 0,80 | 0,80 | 0,80 |
| Gebouw3D | 10,16 | 6,16 | 2,00 | 3,11 | | | | 0 | 0 | 0 | 0 dB | False | 0,80 | 0,80 | 0,80 |
| Gebouw3D | 74,93 | 119,84 | 0,27 | 11,06 | | | | 0 | 0 | 0 | 0 dB | False | 0,80 | 0,80 | 0,80 |
| Gebouw3D | 48,72 | 62,22 | 0,29 | 12,44 | | | | 0 | 0 | 0 | 0 dB | False | 0,80 | 0,80 | 0,80 |
| Gebouw3D | 11,72 | 8,38 | 2,48 | 3,38 | | | | 0 | 0 | 0 | 0 dB | False | 0,80 | 0,80 | 0,80 |
| Gebouw3D | 38,76 | 59,16 | 2,15 | 12,38 | | | | 0 | 0 | 0 | 0 dB | False | 0,80 | 0,80 | 0,80 |
| Gebouw3D | 17,24 | 18,14 | 3,66 | 4,96 | | | | 0 | 0 | 0 | 0 dB | False | 0,80 | 0,80 | 0,80 |
| Gebouw3D | 43,82 | 66,29 | 0,07 | 14,59 | | | | 0 | 0 | 0 | 0 dB | False | 0,80 | 0,80 | 0,80 |
| Gebouw3D | 48,85 | 73,61 | 0,01 | 10,57 | | | | 0 | 0 | 0 | 0 dB | False | 0,80 | 0,80 | 0,80 |
| Gebouw3D | 17,47 | 18,46 | 3,59 | 5,16 | | | | 0 | 0 | 0 | 0 dB | False | 0,80 | 0,80 | 0,80 |
| Gebouw3D | 27,87 | 48,50 | 6,73 | 7,21 | | | | 0 | 0 | 0 | 0 dB | False | 0,80 | 0,80 | 0,80 |
| Gebouw3D | 12,15 | 8,92 | 2,45 | 3,60 | | | | 0 | 0 | 0 | 0 dB | False | 0,80 | 0,80 | 0,80 |
| Gebouw3D | 39,10 | 59,12 | 2,09 | 12,58 | | | | 0 | 0 | 0 | 0 dB | False | 0,80 | 0,80 | 0,80 |
| Gebouw3D | 47,69 | 122,17 | 7,45 | 16,40 | | | | 0 | 0 | 0 | 0 dB | False | 0,80 | 0,80 | 0,80 |
| Gebouw3D | 39,20 | 60,66 | 2,29 | 12,58 | | | | 0 | 0 | 0 | 0 dB | False | 0,80 | 0,80 | 0,80 |
| Gebouw3D | 17,11 | 17,82 | 3,58 | 4,97 | | | | 0 | 0 | 0 | 0 dB | False | 0,80 | 0,80 | 0,80 |
| Gebouw3D | 29,91 | 51,38 | 5,35 | 9,60 | | | | 0 | 0 | 0 | 0 dB | False | 0,80 | 0,80 | 0,80 |
| Gebouw3D | 10,80 | 7,01 | 2,17 | 3,23 | | | | 0 | 0 | 0 | 0 dB | False | 0,80 | 0,80 | 0,80 |
| Gebouw3D | 11,44 | 8,04 | 2,49 | 3,23 | | | | 0 | 0 | 0 | 0 dB | False | 0,80 | 0,80 | 0,80 |
| Gebouw3D | 17,03 | 17,02 | 3,20 | 5,31 | | | | 0 | 0 | 0 | 0 dB | False | 0,80 | 0,80 | 0,80 |
| Gebouw3D | 43,45 | 80,97 | 0,92 | 7,18 | | | | 0 | 0 | 0 | 0 dB | False | 0,80 | 0,80 | 0,80 |
| Gebouw3D | 55,84 | 92,99 | 0,05 | 12,31 | | | | 0 | 0 | 0 | 0 dB | False | 0,80 | 0,80 | 0,80 |

Model: Jager
Jager - Jager
Groep: (hoofdgroep)
Lijst van Gebouwen, voor rekenmethode Wegverkeerslawaai - RMW-2012

| Groep | Refl. 500 | Refl. 1k | Refl. 2k | Refl. 4k | Refl. 8k |
|---|---|---|---|---|---|
| Gebouw3D | 0,80 | 0,80 | 0,80 | 0,80 | 0,80 |
| Gebouw3D | 0,80 | 0,80 | 0,80 | 0,80 | 0,80 |
| Gebouw3D | 0,80 | 0,80 | 0,80 | 0,80 | 0,80 |
| Gebouw3D | 0,80 | 0,80 | 0,80 | 0,80 | 0,80 |
| Gebouw3D | 0,80 | 0,80 | 0,80 | 0,80 | 0,80 |
| Gebouw3D | 0,80 | 0,80 | 0,80 | 0,80 | 0,80 |
| Gebouw3D | 0,80 | 0,80 | 0,80 | 0,80 | 0,80 |
| Gebouw3D | 0,80 | 0,80 | 0,80 | 0,80 | 0,80 |
| Gebouw3D | 0,80 | 0,80 | 0,80 | 0,80 | 0,80 |
| Gebouw3D | 0,80 | 0,80 | 0,80 | 0,80 | 0,80 |
| Gebouw3D | 0,80 | 0,80 | 0,80 | 0,80 | 0,80 |
| Gebouw3D | 0,80 | 0,80 | 0,80 | 0,80 | 0,80 |
| Gebouw3D | 0,80 | 0,80 | 0,80 | 0,80 | 0,80 |
| Gebouw3D | 0,80 | 0,80 | 0,80 | 0,80 | 0,80 |
| Gebouw3D | 0,80 | 0,80 | 0,80 | 0,80 | 0,80 |
| Gebouw3D | 0,80 | 0,80 | 0,80 | 0,80 | 0,80 |
| Gebouw3D | 0,80 | 0,80 | 0,80 | 0,80 | 0,80 |
| Gebouw3D | 0,80 | 0,80 | 0,80 | 0,80 | 0,80 |
| Gebouw3D | 0,80 | 0,80 | 0,80 | 0,80 | 0,80 |
| Gebouw3D | 0,80 | 0,80 | 0,80 | 0,80 | 0,80 |
| Gebouw3D | 0,80 | 0,80 | 0,80 | 0,80 | 0,80 |
| Gebouw3D | 0,80 | 0,80 | 0,80 | 0,80 | 0,80 |
| Gebouw3D | 0,80 | 0,80 | 0,80 | 0,80 | 0,80 |
| Gebouw3D | 0,80 | 0,80 | 0,80 | 0,80 | 0,80 |
| Gebouw3D | 0,80 | 0,80 | 0,80 | 0,80 | 0,80 |
| Gebouw3D | 0,80 | 0,80 | 0,80 | 0,80 | 0,80 |
| Gebouw3D | 0,80 | 0,80 | 0,80 | 0,80 | 0,80 |
| Gebouw3D | 0,80 | 0,80 | 0,80 | 0,80 | 0,80 |
| Gebouw3D | 0,80 | 0,80 | 0,80 | 0,80 | 0,80 |
| Gebouw3D | 0,80 | 0,80 | 0,80 | 0,80 | 0,80 |
| Gebouw3D | 0,80 | 0,80 | 0,80 | 0,80 | 0,80 |
| Gebouw3D | 0,80 | 0,80 | 0,80 | 0,80 | 0,80 |

# Invoergegevens van het model

Model: Jager
Jager - Jager
Groep: (hoofdgroep)
Lijst van Gebouwen, voor rekenmethode Wegverkeerslawaai - RMW-2012

| Groep | ItemID | Grp.ID | Datum | Naam | Omschr. | Vorm | X-1 | Y-1 | Hoogte | Rel.H | Maaiveld | Hdef. | Vormpunten |
|---|---|---|---|---|---|---|---|---|---|---|---|---|---|
| Gebouw3D | 5427 | 1 | 08:58, 20 mrt 2020 | | | Polygoon | 247259,33 | 443948,35 | 7,10 | 7,10 | 0,00 | Relatief | 7 |
| Gebouw3D | 5428 | 1 | 08:58, 20 mrt 2020 | | | Polygoon | 247245,47 | 443942,30 | 3,00 | 3,00 | 0,00 | Relatief | 4 |
| Gebouw3D | 5429 | 1 | 08:58, 20 mrt 2020 | | | Polygoon | 247267,80 | 443945,42 | 7,20 | 7,20 | 0,00 | Relatief | 6 |
| Gebouw3D | 5430 | 1 | 08:58, 20 mrt 2020 | | | Polygoon | 247270,27 | 443959,37 | 7,20 | 7,20 | 0,00 | Relatief | 5 |
| Gebouw3D | 5431 | 1 | 08:58, 20 mrt 2020 | | | Polygoon | 247267,13 | 443904,54 | 2,50 | 2,50 | 0,00 | Relatief | 4 |
| Gebouw3D | 5432 | 1 | 08:58, 20 mrt 2020 | | | Polygoon | 247248,21 | 443866,23 | 7,00 | 7,00 | 0,00 | Relatief | 6 |
| Gebouw3D | 5433 | 1 | 08:58, 20 mrt 2020 | | | Polygoon | 247251,28 | 443912,00 | 2,30 | 2,30 | 0,00 | Relatief | 6 |
| Gebouw3D | 5434 | 1 | 08:58, 20 mrt 2020 | | | Polygoon | 247225,41 | 443815,67 | 8,40 | 8,40 | 0,00 | Relatief | 6 |
| Gebouw3D | 5513 | 1 | 08:58, 20 mrt 2020 | | | Polygoon | 247098,53 | 444000,02 | 2,50 | 2,50 | 0,00 | Relatief | 5 |
| Gebouw3D | 5514 | 1 | 08:58, 20 mrt 2020 | | | Polygoon | 247098,53 | 444000,02 | 2,40 | 2,40 | 0,00 | Relatief | 6 |
| Gebouw3D | 5515 | 1 | 08:58, 20 mrt 2020 | | | Polygoon | 247099,70 | 443984,85 | 7,10 | 7,10 | 0,00 | Relatief | 5 |
| Gebouw3D | 5516 | 1 | 08:58, 20 mrt 2020 | | | Polygoon | 247101,07 | 443950,40 | 7,10 | 7,10 | 0,00 | Relatief | 4 |
| Gebouw3D | 5517 | 1 | 08:58, 20 mrt 2020 | | | Polygoon | 247101,50 | 443944,54 | 7,10 | 7,10 | 0,00 | Relatief | 6 |
| Gebouw3D | 5518 | 1 | 08:58, 20 mrt 2020 | | | Polygoon | 247101,94 | 443938,55 | 7,10 | 7,10 | 0,00 | Relatief | 6 |
| Gebouw3D | 5519 | 1 | 08:58, 20 mrt 2020 | | | Polygoon | 247106,37 | 443992,74 | 2,50 | 2,50 | 0,00 | Relatief | 4 |
| Gebouw3D | 5520 | 1 | 08:58, 20 mrt 2020 | | | Polygoon | 247106,81 | 443986,73 | 2,50 | 2,50 | 0,00 | Relatief | 4 |
| Gebouw3D | 5521 | 1 | 08:58, 20 mrt 2020 | | | Polygoon | 247107,24 | 443980,74 | 2,40 | 2,40 | 0,00 | Relatief | 5 |
| Gebouw3D | 5522 | 1 | 08:58, 20 mrt 2020 | | | Polygoon | 247110,92 | 443981,02 | 4,10 | 4,10 | 0,00 | Relatief | 6 |
| Gebouw3D | 5523 | 1 | 08:58, 20 mrt 2020 | | | Polygoon | 247117,18 | 443981,49 | 7,70 | 7,70 | 0,00 | Relatief | 7 |
| Gebouw3D | 5524 | 1 | 08:58, 20 mrt 2020 | | | Polygoon | 247119,34 | 443951,73 | 2,30 | 2,30 | 0,00 | Relatief | 4 |
| Gebouw3D | 5525 | 1 | 08:58, 20 mrt 2020 | | | Polygoon | 247120,21 | 443939,88 | 2,40 | 2,40 | 0,00 | Relatief | 4 |
| Gebouw3D | 5526 | 1 | 08:58, 20 mrt 2020 | | | Polygoon | 247120,29 | 443993,78 | 7,20 | 7,20 | 0,00 | Relatief | 4 |
| Gebouw3D | 5527 | 1 | 08:58, 20 mrt 2020 | | | Polygoon | 247120,71 | 443988,13 | 7,20 | 7,20 | 0,00 | Relatief | 5 |
| Gebouw3D | 5528 | 1 | 08:58, 20 mrt 2020 | | | Polygoon | 247131,47 | 443945,98 | 7,30 | 7,30 | 0,00 | Relatief | 10 |
| Gebouw3D | 5529 | 1 | 08:58, 20 mrt 2020 | | | Polygoon | 247131,47 | 443945,98 | 7,10 | 7,10 | 0,00 | Relatief | 8 |
| Gebouw3D | 5530 | 1 | 08:58, 20 mrt 2020 | | | Polygoon | 247136,94 | 443955,50 | 7,20 | 7,20 | 0,00 | Relatief | 8 |
| Gebouw3D | 5531 | 1 | 08:58, 20 mrt 2020 | | | Polygoon | 247119,34 | 443951,73 | 2,40 | 2,40 | 0,00 | Relatief | 5 |
| Gebouw3D | 5532 | 1 | 08:58, 20 mrt 2020 | | | Polygoon | 247117,18 | 443981,49 | 7,70 | 7,70 | 0,00 | Relatief | 6 |
| Gebouw3D | 5533 | 1 | 08:58, 20 mrt 2020 | | | Polygoon | 247093,45 | 443984,37 | 7,20 | 7,20 | 0,00 | Relatief | 8 |
| Gebouw3D | 5534 | 1 | 08:58, 20 mrt 2020 | | | Polygoon | 247093,17 | 444025,47 | 2,40 | 2,40 | 0,00 | Relatief | 4 |
| Gebouw3D | 5535 | 1 | 08:58, 20 mrt 2020 | | | Polygoon | 247094,14 | 444014,26 | 2,40 | 2,40 | 0,00 | Relatief | 4 |
| Gebouw3D | 5536 | 1 | 08:58, 20 mrt 2020 | | | Polygoon | 247094,14 | 444014,26 | 2,40 | 2,40 | 0,00 | Relatief | 4 |
| Gebouw3D | 5537 | 1 | 08:58, 20 mrt 2020 | | | Polygoon | 247098,38 | 444006,54 | 2,40 | 2,40 | 0,00 | Relatief | 4 |
| Gebouw3D | 5538 | 1 | 08:58, 20 mrt 2020 | | | Polygoon | 247099,76 | 444006,32 | 2,40 | 2,40 | 0,00 | Relatief | 4 |
| Gebouw3D | 5540 | 1 | 08:58, 20 mrt 2020 | | | Polygoon | 247105,75 | 444005,07 | 2,40 | 2,40 | 0,00 | Relatief | 4 |
| Gebouw3D | 5541 | 1 | 08:58, 20 mrt 2020 | | | Polygoon | 247111,73 | 444010,73 | 2,40 | 2,40 | 0,00 | Relatief | 4 |

# Invoergegevens van het model

Model: Jager
Jager - Jager
Groep: (hoofdgroep)
Lijst van Gebouwen, voor rekenmethode Wegverkeerslawaai - RMW-2012

| Groep | Omtrek | Oppervlak | Min.lengte | Max.lengte | Functie | BAG-id | Gemeente | Jaar | AHN-jaar | Trust | Cp | Zwevend | Refl. 63 | Refl. 125 | Refl. 250 |
|---|---|---|---|---|---|---|---|---|---|---|---|---|---|---|---|
| Gebouw3D | 40,03 | 91,23 | 0,12 | 7,15 | | | | 0 | 0 | 0 | 0 dB | False | 0,80 | 0,80 | 0,80 |
| Gebouw3D | 20,30 | 25,14 | 4,28 | 5,87 | | | | 0 | 0 | 0 | 0 dB | False | 0,80 | 0,80 | 0,80 |
| Gebouw3D | 38,59 | 60,94 | 2,52 | 12,31 | | | | 0 | 0 | 0 | 0 dB | False | 0,80 | 0,80 | 0,80 |
| Gebouw3D | 27,35 | 46,74 | 0,07 | 6,98 | | | | 0 | 0 | 0 | 0 dB | False | 0,80 | 0,80 | 0,80 |
| Gebouw3D | 14,81 | 13,51 | 3,25 | 4,16 | | | | 0 | 0 | 0 | 0 dB | False | 0,80 | 0,80 | 0,80 |
| Gebouw3D | 38,88 | 59,61 | 2,20 | 12,44 | | | | 0 | 0 | 0 | 0 dB | False | 0,80 | 0,80 | 0,80 |
| Gebouw3D | 24,13 | 26,14 | 2,15 | 6,53 | | | | 0 | 0 | 0 | 0 dB | False | 0,80 | 0,80 | 0,80 |
| Gebouw3D | 42,35 | 66,87 | 1,62 | 16,48 | | | | 0 | 0 | 0 | 0 dB | False | 0,80 | 0,80 | 0,80 |
| Gebouw3D | 15,15 | 14,33 | 0,28 | 3,85 | | | | 0 | 0 | 0 | 0 dB | False | 0,80 | 0,80 | 0,80 |
| Gebouw3D | 16,60 | 14,68 | 1,43 | 4,61 | | | | 0 | 0 | 0 | 0 dB | False | 0,80 | 0,80 | 0,80 |
| Gebouw3D | 26,78 | 44,64 | 2,46 | 7,13 | | | | 0 | 0 | 0 | 0 dB | False | 0,80 | 0,80 | 0,80 |
| Gebouw3D | 26,50 | 43,77 | 6,27 | 6,98 | | | | 0 | 0 | 0 | 0 dB | False | 0,80 | 0,80 | 0,80 |
| Gebouw3D | 28,80 | 41,20 | 0,12 | 8,52 | | | | 0 | 0 | 0 | 0 dB | False | 0,80 | 0,80 | 0,80 |
| Gebouw3D | 29,03 | 45,20 | 1,54 | 8,52 | | | | 0 | 0 | 0 | 0 dB | False | 0,80 | 0,80 | 0,80 |
| Gebouw3D | 14,88 | 13,84 | 3,69 | 3,75 | | | | 0 | 0 | 0 | 0 dB | False | 0,80 | 0,80 | 0,80 |
| Gebouw3D | 19,43 | 22,24 | 3,69 | 6,03 | | | | 0 | 0 | 0 | 0 dB | False | 0,80 | 0,80 | 0,80 |
| Gebouw3D | 19,38 | 22,14 | 2,26 | 6,00 | | | | 0 | 0 | 0 | 0 dB | False | 0,80 | 0,80 | 0,80 |
| Gebouw3D | 29,47 | 44,70 | 2,85 | 8,22 | | | | 0 | 0 | 0 | 0 dB | False | 0,80 | 0,80 | 0,80 |
| Gebouw3D | 35,14 | 68,70 | 0,36 | 11,21 | | | | 0 | 0 | 0 | 0 dB | False | 0,80 | 0,80 | 0,80 |
| Gebouw3D | 16,05 | 15,74 | 3,41 | 4,62 | | | | 0 | 0 | 0 | 0 dB | False | 0,80 | 0,80 | 0,80 |
| Gebouw3D | 17,26 | 17,92 | 3,48 | 5,16 | | | | 0 | 0 | 0 | 0 dB | False | 0,80 | 0,80 | 0,80 |
| Gebouw3D | 26,42 | 43,28 | 6,02 | 7,19 | | | | 0 | 0 | 0 | 0 dB | False | 0,80 | 0,80 | 0,80 |
| Gebouw3D | 26,41 | 43,26 | 0,36 | 7,19 | | | | 0 | 0 | 0 | 0 dB | False | 0,80 | 0,80 | 0,80 |
| Gebouw3D | 34,23 | 65,09 | 0,06 | 9,09 | | | | 0 | 0 | 0 | 0 dB | False | 0,80 | 0,80 | 0,80 |
| Gebouw3D | 34,84 | 59,69 | 0,49 | 9,09 | | | | 0 | 0 | 0 | 0 dB | False | 0,80 | 0,80 | 0,80 |
| Gebouw3D | 31,00 | 50,55 | 0,43 | 7,19 | | | | 0 | 0 | 0 | 0 dB | False | 0,80 | 0,80 | 0,80 |
| Gebouw3D | 17,34 | 17,95 | 2,46 | 5,25 | | | | 0 | 0 | 0 | 0 dB | False | 0,80 | 0,80 | 0,80 |
| Gebouw3D | 35,24 | 55,88 | 2,43 | 11,21 | | | | 0 | 0 | 0 | 0 dB | False | 0,80 | 0,80 | 0,80 |
| Gebouw3D | 30,75 | 48,76 | 0,52 | 7,13 | | | | 0 | 0 | 0 | 0 dB | False | 0,80 | 0,80 | 0,80 |
| Gebouw3D | 16,77 | 17,09 | 3,48 | 4,89 | | | | 0 | 0 | 0 | 0 dB | False | 0,80 | 0,80 | 0,80 |
| Gebouw3D | 15,30 | 14,52 | 3,49 | 4,17 | | | | 0 | 0 | 0 | 0 dB | False | 0,80 | 0,80 | 0,80 |
| Gebouw3D | 18,55 | 20,30 | 3,52 | 5,75 | | | | 0 | 0 | 0 | 0 dB | False | 0,80 | 0,80 | 0,80 |
| Gebouw3D | 17,03 | 17,55 | 3,45 | 5,02 | | | | 0 | 0 | 0 | 0 dB | False | 0,80 | 0,80 | 0,80 |
| Gebouw3D | 16,69 | 16,86 | 3,44 | 4,92 | | | | 0 | 0 | 0 | 0 dB | False | 0,80 | 0,80 | 0,80 |
| Gebouw3D | 14,36 | 12,88 | 3,50 | 3,71 | | | | 0 | 0 | 0 | 0 dB | False | 0,80 | 0,80 | 0,80 |
| Gebouw3D | 17,02 | 17,58 | 3,50 | 5,03 | | | | 0 | 0 | 0 | 0 dB | False | 0,80 | 0,80 | 0,80 |

Model: Jager
Jager - Jager
Groep: (hoofdgroep)
Lijst van Gebouwen, voor rekenmethode Wegverkeerslawaai - RMW-2012

| Groep | Refl. 500 | Refl. 1k | Refl. 2k | Refl. 4k | Refl. 8k |
|---|---|---|---|---|---|
| Gebouw3D | 0,80 | 0,80 | 0,80 | 0,80 | 0,80 |
| Gebouw3D | 0,80 | 0,80 | 0,80 | 0,80 | 0,80 |
| Gebouw3D | 0,80 | 0,80 | 0,80 | 0,80 | 0,80 |
| Gebouw3D | 0,80 | 0,80 | 0,80 | 0,80 | 0,80 |
| Gebouw3D | 0,80 | 0,80 | 0,80 | 0,80 | 0,80 |
| Gebouw3D | 0,80 | 0,80 | 0,80 | 0,80 | 0,80 |
| Gebouw3D | 0,80 | 0,80 | 0,80 | 0,80 | 0,80 |
| Gebouw3D | 0,80 | 0,80 | 0,80 | 0,80 | 0,80 |
| Gebouw3D | 0,80 | 0,80 | 0,80 | 0,80 | 0,80 |
| Gebouw3D | 0,80 | 0,80 | 0,80 | 0,80 | 0,80 |
| Gebouw3D | 0,80 | 0,80 | 0,80 | 0,80 | 0,80 |
| Gebouw3D | 0,80 | 0,80 | 0,80 | 0,80 | 0,80 |
| Gebouw3D | 0,80 | 0,80 | 0,80 | 0,80 | 0,80 |
| Gebouw3D | 0,80 | 0,80 | 0,80 | 0,80 | 0,80 |
| Gebouw3D | 0,80 | 0,80 | 0,80 | 0,80 | 0,80 |
| Gebouw3D | 0,80 | 0,80 | 0,80 | 0,80 | 0,80 |
| Gebouw3D | 0,80 | 0,80 | 0,80 | 0,80 | 0,80 |
| Gebouw3D | 0,80 | 0,80 | 0,80 | 0,80 | 0,80 |
| Gebouw3D | 0,80 | 0,80 | 0,80 | 0,80 | 0,80 |
| Gebouw3D | 0,80 | 0,80 | 0,80 | 0,80 | 0,80 |
| Gebouw3D | 0,80 | 0,80 | 0,80 | 0,80 | 0,80 |
| Gebouw3D | 0,80 | 0,80 | 0,80 | 0,80 | 0,80 |
| Gebouw3D | 0,80 | 0,80 | 0,80 | 0,80 | 0,80 |
| Gebouw3D | 0,80 | 0,80 | 0,80 | 0,80 | 0,80 |
| Gebouw3D | 0,80 | 0,80 | 0,80 | 0,80 | 0,80 |
| Gebouw3D | 0,80 | 0,80 | 0,80 | 0,80 | 0,80 |
| Gebouw3D | 0,80 | 0,80 | 0,80 | 0,80 | 0,80 |
| Gebouw3D | 0,80 | 0,80 | 0,80 | 0,80 | 0,80 |
| Gebouw3D | 0,80 | 0,80 | 0,80 | 0,80 | 0,80 |
| Gebouw3D | 0,80 | 0,80 | 0,80 | 0,80 | 0,80 |
| Gebouw3D | 0,80 | 0,80 | 0,80 | 0,80 | 0,80 |
| Gebouw3D | 0,80 | 0,80 | 0,80 | 0,80 | 0,80 |

# Invoergegevens van het model

Model: Jager
Jager - Jager
Groep: (hoofdgroep)
Lijst van Gebouwen, voor rekenmethode Wegverkeerslawaai - RMW-2012

| Groep | ItemID | Grp.ID | Datum | Naam | Omschr. | Vorm | X-1 | Y-1 | Hoogte | Rel.H | Maaiveld | Hdef. | Vormpunten |
|---|---|---|---|---|---|---|---|---|---|---|---|---|---|
| Gebouw3D | 5545 | 1 | 08:58, 20 mrt 2020 | | | Polygoon | 247111,73 | 444010,73 | 2,40 | 2,40 | 0,00 | Relatief | 4 |
| Gebouw3D | 5546 | 1 | 08:58, 20 mrt 2020 | | | Polygoon | 247123,86 | 444011,59 | 2,40 | 2,40 | 0,00 | Relatief | 4 |
| Gebouw3D | 5549 | 1 | 08:58, 20 mrt 2020 | | | Polygoon | 247123,86 | 444011,59 | 2,40 | 2,40 | 0,00 | Relatief | 4 |
| Gebouw3D | 5561 | 1 | 08:58, 20 mrt 2020 | | | Polygoon | 247104,12 | 444031,26 | 7,10 | 7,10 | 0,00 | Relatief | 10 |
| Gebouw3D | 5562 | 1 | 08:58, 20 mrt 2020 | | | Polygoon | 247110,24 | 444030,86 | 7,00 | 7,00 | 0,00 | Relatief | 8 |
| Gebouw3D | 5563 | 1 | 08:58, 20 mrt 2020 | | | Polygoon | 247116,30 | 444031,31 | 7,10 | 7,10 | 0,00 | Relatief | 8 |
| Gebouw3D | 5564 | 1 | 08:58, 20 mrt 2020 | | | Polygoon | 247104,12 | 444031,26 | 7,10 | 7,10 | 0,00 | Relatief | 10 |
| Gebouw3D | 5569 | 1 | 08:58, 20 mrt 2020 | | | Polygoon | 247093,17 | 444025,47 | 2,40 | 2,40 | 0,00 | Relatief | 4 |
| Gebouw3D | 5577 | 1 | 08:58, 20 mrt 2020 | | | Polygoon | 247119,85 | 443999,78 | 7,30 | 7,30 | 0,00 | Relatief | 8 |
| Gebouw3D | 5578 | 1 | 08:58, 20 mrt 2020 | | | Polygoon | 247122,36 | 444031,76 | 7,10 | 7,10 | 0,00 | Relatief | 8 |
| Gebouw3D | 5581 | 1 | 08:58, 20 mrt 2020 | | | Polygoon | 247146,32 | 444013,86 | 7,10 | 7,10 | 0,00 | Relatief | 8 |
| Gebouw3D | 5586 | 1 | 08:58, 20 mrt 2020 | | | Polygoon | 247160,50 | 444020,93 | 2,50 | 2,50 | 0,00 | Relatief | 6 |
| Gebouw3D | 5587 | 1 | 08:58, 20 mrt 2020 | | | Polygoon | 247160,50 | 444020,93 | 2,40 | 2,40 | 0,00 | Relatief | 4 |
| Gebouw3D | 5588 | 1 | 08:58, 20 mrt 2020 | | | Polygoon | 247161,42 | 444008,97 | 2,40 | 2,40 | 0,00 | Relatief | 4 |
| Gebouw3D | 5590 | 1 | 08:58, 20 mrt 2020 | | | Polygoon | 247178,92 | 444007,18 | 7,10 | 7,10 | 0,00 | Relatief | 4 |
| Gebouw3D | 5594 | 1 | 08:58, 20 mrt 2020 | | | Polygoon | 247178,92 | 444007,18 | 7,10 | 7,10 | 0,00 | Relatief | 12 |
| Gebouw3D | 5599 | 1 | 08:58, 20 mrt 2020 | | | Polygoon | 247188,36 | 444005,71 | 7,10 | 7,10 | 0,00 | Relatief | 14 |
| Gebouw3D | 5612 | 1 | 08:58, 20 mrt 2020 | | | Polygoon | 247146,77 | 444007,87 | 7,10 | 7,10 | 0,00 | Relatief | 8 |
| Gebouw3D | 5615 | 1 | 08:58, 20 mrt 2020 | | | Polygoon | 247161,42 | 444008,97 | 2,40 | 2,40 | 0,00 | Relatief | 4 |
| Gebouw3D | 5617 | 1 | 08:58, 20 mrt 2020 | | | Polygoon | 247145,87 | 444019,84 | 7,10 | 7,10 | 0,00 | Relatief | 9 |
| Gebouw3D | 5621 | 1 | 08:58, 20 mrt 2020 | | | Polygoon | 247173,34 | 444006,72 | 7,20 | 7,20 | 0,00 | Relatief | 8 |
| Gebouw3D | 5623 | 1 | 08:58, 20 mrt 2020 | | | Polygoon | 247147,22 | 444001,89 | 7,10 | 7,10 | 0,00 | Relatief | 8 |
| Gebouw3D | 5857 | 1 | 08:58, 20 mrt 2020 | | | Polygoon | 247157,14 | 443777,36 | 8,40 | 8,40 | 0,00 | Relatief | 6 |
| Gebouw3D | 5858 | 1 | 08:58, 20 mrt 2020 | | | Polygoon | 247160,74 | 443748,59 | 2,70 | 2,70 | 0,00 | Relatief | 6 |
| Gebouw3D | 5859 | 1 | 08:58, 20 mrt 2020 | | | Polygoon | 247160,58 | 443802,05 | 7,10 | 7,10 | 0,00 | Relatief | 12 |
| Gebouw3D | 5860 | 1 | 08:58, 20 mrt 2020 | | | Polygoon | 247160,74 | 443748,59 | 2,80 | 2,80 | 0,00 | Relatief | 4 |
| Gebouw3D | 5861 | 1 | 08:58, 20 mrt 2020 | | | Polygoon | 247167,02 | 443778,60 | 8,40 | 8,40 | 0,00 | Relatief | 7 |
| Gebouw3D | 5862 | 1 | 08:58, 20 mrt 2020 | | | Polygoon | 247170,86 | 443747,52 | 2,70 | 2,70 | 0,00 | Relatief | 4 |
| Gebouw3D | 5863 | 1 | 08:58, 20 mrt 2020 | | | Polygoon | 247172,04 | 443779,23 | 8,60 | 8,60 | 0,00 | Relatief | 6 |
| Gebouw3D | 5864 | 1 | 08:58, 20 mrt 2020 | | | Polygoon | 247173,61 | 443792,38 | 7,00 | 7,00 | 0,00 | Relatief | 4 |
| Gebouw3D | 5865 | 1 | 08:58, 20 mrt 2020 | | | Polygoon | 247176,95 | 443779,85 | 8,40 | 8,40 | 0,00 | Relatief | 7 |
| Gebouw3D | 5866 | 1 | 08:58, 20 mrt 2020 | | | Polygoon | 247180,02 | 443746,52 | 2,70 | 2,70 | 0,00 | Relatief | 4 |
| Gebouw3D | 5867 | 1 | 08:58, 20 mrt 2020 | | | Polygoon | 247180,02 | 443746,52 | 2,70 | 2,70 | 0,00 | Relatief | 4 |
| Gebouw3D | 5868 | 1 | 08:58, 20 mrt 2020 | | | Polygoon | 247187,11 | 443719,39 | 7,40 | 7,40 | 0,00 | Relatief | 6 |
| Gebouw3D | 5869 | 1 | 08:58, 20 mrt 2020 | | | Polygoon | 247189,66 | 443743,97 | 2,70 | 2,70 | 0,00 | Relatief | 6 |
| Gebouw3D | 5870 | 1 | 08:58, 20 mrt 2020 | | | Polygoon | 247187,11 | 443719,39 | 7,50 | 7,50 | 0,00 | Relatief | 6 |

# Invoergegevens van het model

Model: Jager
Jager - Jager
Groep: (hoofdgroep)
Lijst van Gebouwen, voor rekenmethode Wegverkeerslawaai - RMW-2012

| Groep | Omtrek | Oppervlak | Min.lengte | Max.lengte | Functie | BAG-id | Gemeente | Jaar | AHN-jaar | Trust | Cp | Zwevend | Refl. 63 | Refl. 125 | Refl. 250 |
|---|---|---|---|---|---|---|---|---|---|---|---|---|---|---|---|
| Gebouw3D | 16,68 | 16,91 | 3,45 | 4,89 | | | | 0 | 0 | 0 | 0 dB | False | 0,80 | 0,80 | 0,80 |
| Gebouw3D | 17,34 | 18,16 | 3,49 | 5,13 | | | | 0 | 0 | 0 | 0 dB | False | 0,80 | 0,80 | 0,80 |
| Gebouw3D | 16,33 | 16,26 | 3,40 | 4,73 | | | | 0 | 0 | 0 | 0 dB | False | 0,80 | 0,80 | 0,80 |
| Gebouw3D | 31,33 | 47,02 | 0,17 | 7,72 | | | | 0 | 0 | 0 | 0 dB | False | 0,80 | 0,80 | 0,80 |
| Gebouw3D | 30,04 | 46,30 | 0,15 | 6,86 | | | | 0 | 0 | 0 | 0 dB | False | 0,80 | 0,80 | 0,80 |
| Gebouw3D | 29,83 | 46,04 | 0,25 | 6,86 | | | | 0 | 0 | 0 | 0 dB | False | 0,80 | 0,80 | 0,80 |
| Gebouw3D | 31,36 | 45,93 | 0,13 | 7,72 | | | | 0 | 0 | 0 | 0 dB | False | 0,80 | 0,80 | 0,80 |
| Gebouw3D | 16,85 | 17,19 | 3,45 | 4,99 | | | | 0 | 0 | 0 | 0 dB | False | 0,80 | 0,80 | 0,80 |
| Gebouw3D | 31,18 | 50,56 | 0,34 | 7,19 | | | | 0 | 0 | 0 | 0 dB | False | 0,80 | 0,80 | 0,80 |
| Gebouw3D | 29,67 | 45,85 | 0,28 | 6,86 | | | | 0 | 0 | 0 | 0 dB | False | 0,80 | 0,80 | 0,80 |
| Gebouw3D | 33,90 | 47,06 | 0,13 | 8,99 | | | | 0 | 0 | 0 | 0 dB | False | 0,80 | 0,80 | 0,80 |
| Gebouw3D | 20,25 | 23,14 | 3,05 | 3,63 | | | | 0 | 0 | 0 | 0 dB | False | 0,80 | 0,80 | 0,80 |
| Gebouw3D | 13,83 | 11,95 | 3,42 | 3,48 | | | | 0 | 0 | 0 | 0 dB | False | 0,80 | 0,80 | 0,80 |
| Gebouw3D | 13,81 | 11,92 | 3,43 | 3,47 | | | | 0 | 0 | 0 | 0 dB | False | 0,80 | 0,80 | 0,80 |
| Gebouw3D | 25,19 | 39,21 | 5,60 | 6,98 | | | | 0 | 0 | 0 | 0 dB | False | 0,80 | 0,80 | 0,80 |
| Gebouw3D | 33,84 | 60,51 | 0,08 | 9,19 | | | | 0 | 0 | 0 | 0 dB | False | 0,80 | 0,80 | 0,80 |
| Gebouw3D | 36,63 | 51,58 | 0,05 | 9,19 | | | | 0 | 0 | 0 | 0 dB | False | 0,80 | 0,80 | 0,80 |
| Gebouw3D | 33,93 | 47,18 | 0,15 | 8,99 | | | | 0 | 0 | 0 | 0 dB | False | 0,80 | 0,80 | 0,80 |
| Gebouw3D | 13,99 | 12,23 | 3,39 | 3,58 | | | | 0 | 0 | 0 | 0 dB | False | 0,80 | 0,80 | 0,80 |
| Gebouw3D | 33,89 | 48,26 | 0,18 | 8,98 | | | | 0 | 0 | 0 | 0 dB | False | 0,80 | 0,80 | 0,80 |
| Gebouw3D | 30,39 | 48,81 | 0,41 | 7,00 | | | | 0 | 0 | 0 | 0 dB | False | 0,80 | 0,80 | 0,80 |
| Gebouw3D | 33,40 | 46,86 | 0,04 | 8,99 | | | | 0 | 0 | 0 | 0 dB | False | 0,80 | 0,80 | 0,80 |
| Gebouw3D | 35,81 | 50,62 | 2,35 | 12,95 | | | | 0 | 0 | 0 | 0 dB | False | 0,80 | 0,80 | 0,80 |
| Gebouw3D | 11,02 | 7,53 | 0,03 | 3,00 | | | | 0 | 0 | 0 | 0 dB | False | 0,80 | 0,80 | 0,80 |
| Gebouw3D | 73,97 | 159,11 | 0,60 | 19,65 | | | | 0 | 0 | 0 | 0 dB | False | 0,80 | 0,80 | 0,80 |
| Gebouw3D | 11,01 | 7,51 | 2,50 | 3,00 | | | | 0 | 0 | 0 | 0 dB | False | 0,80 | 0,80 | 0,80 |
| Gebouw3D | 36,13 | 50,97 | 0,02 | 12,99 | | | | 0 | 0 | 0 | 0 dB | False | 0,80 | 0,80 | 0,80 |
| Gebouw3D | 10,96 | 7,45 | 2,49 | 3,00 | | | | 0 | 0 | 0 | 0 dB | False | 0,80 | 0,80 | 0,80 |
| Gebouw3D | 35,45 | 49,71 | 2,27 | 12,83 | | | | 0 | 0 | 0 | 0 dB | False | 0,80 | 0,80 | 0,80 |
| Gebouw3D | 35,37 | 77,24 | 7,88 | 9,81 | | | | 0 | 0 | 0 | 0 dB | False | 0,80 | 0,80 | 0,80 |
| Gebouw3D | 35,79 | 50,20 | 0,09 | 12,83 | | | | 0 | 0 | 0 | 0 dB | False | 0,80 | 0,80 | 0,80 |
| Gebouw3D | 10,36 | 6,71 | 2,49 | 2,69 | | | | 0 | 0 | 0 | 0 dB | False | 0,80 | 0,80 | 0,80 |
| Gebouw3D | 11,62 | 8,28 | 2,50 | 3,31 | | | | 0 | 0 | 0 | 0 dB | False | 0,80 | 0,80 | 0,80 |
| Gebouw3D | 35,87 | 50,82 | 2,44 | 12,95 | | | | 0 | 0 | 0 | 0 dB | False | 0,80 | 0,80 | 0,80 |
| Gebouw3D | 12,18 | 9,22 | 0,10 | 3,31 | | | | 0 | 0 | 0 | 0 dB | False | 0,80 | 0,80 | 0,80 |
| Gebouw3D | 36,17 | 50,05 | 2,09 | 12,95 | | | | 0 | 0 | 0 | 0 dB | False | 0,80 | 0,80 | 0,80 |

Model: Jager
Jager - Jager
Groep: (hoofdgroep)
Lijst van Gebouwen, voor rekenmethode Wegverkeerslawaai - RMW-2012

| Groep | Refl. 500 | Refl. 1k | Refl. 2k | Refl. 4k | Refl. 8k |
|---|---|---|---|---|---|
| Gebouw3D | 0,80 | 0,80 | 0,80 | 0,80 | 0,80 |
| Gebouw3D | 0,80 | 0,80 | 0,80 | 0,80 | 0,80 |
| Gebouw3D | 0,80 | 0,80 | 0,80 | 0,80 | 0,80 |
| Gebouw3D | 0,80 | 0,80 | 0,80 | 0,80 | 0,80 |
| Gebouw3D | 0,80 | 0,80 | 0,80 | 0,80 | 0,80 |
| Gebouw3D | 0,80 | 0,80 | 0,80 | 0,80 | 0,80 |
| Gebouw3D | 0,80 | 0,80 | 0,80 | 0,80 | 0,80 |
| Gebouw3D | 0,80 | 0,80 | 0,80 | 0,80 | 0,80 |
| Gebouw3D | 0,80 | 0,80 | 0,80 | 0,80 | 0,80 |
| Gebouw3D | 0,80 | 0,80 | 0,80 | 0,80 | 0,80 |
| Gebouw3D | 0,80 | 0,80 | 0,80 | 0,80 | 0,80 |
| Gebouw3D | 0,80 | 0,80 | 0,80 | 0,80 | 0,80 |
| Gebouw3D | 0,80 | 0,80 | 0,80 | 0,80 | 0,80 |
| Gebouw3D | 0,80 | 0,80 | 0,80 | 0,80 | 0,80 |
| Gebouw3D | 0,80 | 0,80 | 0,80 | 0,80 | 0,80 |
| Gebouw3D | 0,80 | 0,80 | 0,80 | 0,80 | 0,80 |
| Gebouw3D | 0,80 | 0,80 | 0,80 | 0,80 | 0,80 |
| Gebouw3D | 0,80 | 0,80 | 0,80 | 0,80 | 0,80 |
| Gebouw3D | 0,80 | 0,80 | 0,80 | 0,80 | 0,80 |
| Gebouw3D | 0,80 | 0,80 | 0,80 | 0,80 | 0,80 |
| Gebouw3D | 0,80 | 0,80 | 0,80 | 0,80 | 0,80 |
| Gebouw3D | 0,80 | 0,80 | 0,80 | 0,80 | 0,80 |
| Gebouw3D | 0,80 | 0,80 | 0,80 | 0,80 | 0,80 |
| Gebouw3D | 0,80 | 0,80 | 0,80 | 0,80 | 0,80 |
| Gebouw3D | 0,80 | 0,80 | 0,80 | 0,80 | 0,80 |
| Gebouw3D | 0,80 | 0,80 | 0,80 | 0,80 | 0,80 |
| Gebouw3D | 0,80 | 0,80 | 0,80 | 0,80 | 0,80 |
| Gebouw3D | 0,80 | 0,80 | 0,80 | 0,80 | 0,80 |
| Gebouw3D | 0,80 | 0,80 | 0,80 | 0,80 | 0,80 |
| Gebouw3D | 0,80 | 0,80 | 0,80 | 0,80 | 0,80 |
| Gebouw3D | 0,80 | 0,80 | 0,80 | 0,80 | 0,80 |
| Gebouw3D | 0,80 | 0,80 | 0,80 | 0,80 | 0,80 |

# Invoergegevens van het model

Model: Jager
Jager - Jager
Groep: (hoofdgroep)
Lijst van Gebouwen, voor rekenmethode Wegverkeerslawaai - RMW-2012

| Groep | ItemID | Grp.ID | Datum | Naam | Omschr. | Vorm | X-1 | Y-1 | Hoogte | Rel.H | Maaiveld | Hdef. | Vormpunten |
|---|---|---|---|---|---|---|---|---|---|---|---|---|---|
| Gebouw3D | 5871 | 1 | 08:58, 20 mrt 2020 | | | Polygoon | 247188,20 | 443771,35 | 2,40 | 2,40 | 0,00 | Relatief | 5 |
| Gebouw3D | 5872 | 1 | 08:58, 20 mrt 2020 | | | Polygoon | 247189,66 | 443743,97 | 3,00 | 3,00 | 0,00 | Relatief | 16 |
| Gebouw3D | 5873 | 1 | 08:58, 20 mrt 2020 | | | Polygoon | 247197,15 | 443780,42 | 8,50 | 8,50 | 0,00 | Relatief | 11 |
| Gebouw3D | 5874 | 1 | 08:58, 20 mrt 2020 | | | Polygoon | 247199,21 | 443731,06 | 2,20 | 2,20 | 0,00 | Relatief | 4 |
| Gebouw3D | 5875 | 1 | 08:58, 20 mrt 2020 | | | Polygoon | 247200,11 | 443740,36 | 2,20 | 2,20 | 0,00 | Relatief | 4 |
| Gebouw3D | 5876 | 1 | 08:58, 20 mrt 2020 | | | Polygoon | 247208,04 | 443771,52 | 8,50 | 8,50 | 0,00 | Relatief | 10 |
| Gebouw3D | 5877 | 1 | 08:58, 20 mrt 2020 | | | Polygoon | 247210,66 | 443805,38 | 7,10 | 7,10 | 0,00 | Relatief | 7 |
| Gebouw3D | 5878 | 1 | 08:58, 20 mrt 2020 | | | Polygoon | 247208,30 | 443764,20 | 8,80 | 8,80 | 0,00 | Relatief | 9 |
| Gebouw3D | 5879 | 1 | 08:58, 20 mrt 2020 | | | Polygoon | 247210,66 | 443805,38 | 7,00 | 7,00 | 0,00 | Relatief | 7 |
| Gebouw3D | 5880 | 1 | 08:58, 20 mrt 2020 | | | Polygoon | 247211,13 | 443729,78 | 8,70 | 8,70 | 0,00 | Relatief | 7 |
| Gebouw3D | 5881 | 1 | 08:58, 20 mrt 2020 | | | Polygoon | 247211,96 | 443739,35 | 8,50 | 8,50 | 0,00 | Relatief | 7 |
| Gebouw3D | 5882 | 1 | 08:58, 20 mrt 2020 | | | Polygoon | 247222,02 | 443758,45 | 8,50 | 8,50 | 0,00 | Relatief | 10 |
| Gebouw3D | 5883 | 1 | 08:58, 20 mrt 2020 | | | Polygoon | 247221,30 | 443808,63 | 8,60 | 8,60 | 0,00 | Relatief | 7 |
| Gebouw3D | 5884 | 1 | 08:58, 20 mrt 2020 | | | Polygoon | 247196,88 | 443795,48 | 7,40 | 7,40 | 0,00 | Relatief | 9 |
| Gebouw3D | 5885 | 1 | 08:58, 20 mrt 2020 | | | Polygoon | 247215,68 | 443764,02 | 8,50 | 8,50 | 0,00 | Relatief | 11 |
| Gebouw3D | 5886 | 1 | 08:58, 20 mrt 2020 | | | Polygoon | 247187,84 | 443775,14 | 3,00 | 3,00 | 0,00 | Relatief | 4 |
| Gebouw3D | 5887 | 1 | 08:58, 20 mrt 2020 | | | Polygoon | 247177,21 | 443720,46 | 7,50 | 7,50 | 0,00 | Relatief | 6 |
| Gebouw3D | 5888 | 1 | 08:58, 20 mrt 2020 | | | Polygoon | 247221,30 | 443808,63 | 9,00 | 9,00 | 0,00 | Relatief | 8 |
| Gebouw3D | 5889 | 1 | 08:58, 20 mrt 2020 | | | Polygoon | 247202,64 | 443815,46 | 2,30 | 2,30 | 0,00 | Relatief | 4 |
| Gebouw3D | 5890 | 1 | 08:58, 20 mrt 2020 | | | Polygoon | 247179,08 | 443736,27 | 2,30 | 2,30 | 0,00 | Relatief | 4 |
| Gebouw3D | 5891 | 1 | 08:58, 20 mrt 2020 | | | Polygoon | 247170,86 | 443747,52 | 2,80 | 2,80 | 0,00 | Relatief | 4 |
| Gebouw3D | 5892 | 1 | 08:58, 20 mrt 2020 | | | Polygoon | 247180,70 | 443805,20 | 4,20 | 4,20 | 0,00 | Relatief | 6 |
| Gebouw3D | 5893 | 1 | 08:58, 20 mrt 2020 | | | Polygoon | 247162,06 | 443777,98 | 0,00 | 0,00 | 0,00 | Relatief | 6 |
| Gebouw3D | 5894 | 1 | 08:58, 20 mrt 2020 | | | Polygoon | 247222,02 | 443758,45 | 8,60 | 8,60 | 0,00 | Relatief | 8 |
| Gebouw3D | 5895 | 1 | 08:58, 20 mrt 2020 | | | Polygoon | 247216,57 | 443734,14 | 8,80 | 8,80 | 0,00 | Relatief | 7 |
| Gebouw3D | 5896 | 1 | 08:58, 20 mrt 2020 | | | Polygoon | 247182,15 | 443719,92 | 7,50 | 7,50 | 0,00 | Relatief | 6 |
| Gebouw3D | 5897 | 1 | 08:58, 20 mrt 2020 | | | Polygoon | 247213,61 | 443745,96 | 2,50 | 2,50 | 0,00 | Relatief | 5 |
| Gebouw3D | 5898 | 1 | 08:58, 20 mrt 2020 | | | Polygoon | 247180,70 | 443805,20 | 6,90 | 6,90 | 0,00 | Relatief | 23 |
| Gebouw3D | 5920 | 1 | 08:58, 20 mrt 2020 | | | Polygoon | 247172,45 | 443907,85 | 7,20 | 7,20 | 0,00 | Relatief | 6 |
| Gebouw3D | 5921 | 1 | 08:58, 20 mrt 2020 | | | Polygoon | 247175,46 | 443872,50 | 2,10 | 2,10 | 0,00 | Relatief | 4 |
| Gebouw3D | 5922 | 1 | 08:58, 20 mrt 2020 | | | Polygoon | 247175,51 | 443867,43 | 2,40 | 2,40 | 0,00 | Relatief | 4 |
| Gebouw3D | 5923 | 1 | 08:58, 20 mrt 2020 | | | Polygoon | 247181,01 | 443901,92 | 3,30 | 3,30 | 0,00 | Relatief | 4 |
| Gebouw3D | 5924 | 1 | 08:58, 20 mrt 2020 | | | Polygoon | 247178,53 | 443912,21 | 7,30 | 7,30 | 0,00 | Relatief | 7 |
| Gebouw3D | 5925 | 1 | 08:58, 20 mrt 2020 | | | Polygoon | 247182,83 | 443877,79 | 1,90 | 1,90 | 0,00 | Relatief | 4 |
| Gebouw3D | 5926 | 1 | 08:58, 20 mrt 2020 | | | Polygoon | 247186,45 | 443901,44 | 0,10 | 0,10 | 0,00 | Relatief | 4 |
| Gebouw3D | 5927 | 1 | 08:58, 20 mrt 2020 | | | Polygoon | 247191,54 | 443922,11 | 3,00 | 3,00 | 0,00 | Relatief | 6 |

# Invoergegevens van het model

Model: Jager
Jager - Jager
Groep: (hoofdgroep)
Lijst van Gebouwen, voor rekenmethode Wegverkeerslawaai - RMW-2012

| Groep | Omtrek | Oppervlak | Min.lengte | Max.lengte | Functie | BAG-id | Gemeente | Jaar | AHN-jaar | Trust | Cp | Zwevend | Refl. 63 | Refl. 125 | Refl. 250 |
|---|---|---|---|---|---|---|---|---|---|---|---|---|---|---|---|
| Gebouw3D | 12,71 | 10,14 | 0,24 | 3,35 | | | | 0 | 0 | 0 | 0 dB | False | 0,80 | 0,80 | 0,80 |
| Gebouw3D | 41,94 | 53,20 | 0,10 | 7,58 | | | | 0 | 0 | 0 | 0 dB | False | 0,80 | 0,80 | 0,80 |
| Gebouw3D | 40,66 | 74,90 | 0,52 | 13,00 | | | | 0 | 0 | 0 | 0 dB | False | 0,80 | 0,80 | 0,80 |
| Gebouw3D | 12,44 | 9,68 | 3,09 | 3,14 | | | | 0 | 0 | 0 | 0 dB | False | 0,80 | 0,80 | 0,80 |
| Gebouw3D | 11,91 | 8,84 | 2,81 | 3,14 | | | | 0 | 0 | 0 | 0 dB | False | 0,80 | 0,80 | 0,80 |
| Gebouw3D | 36,96 | 57,43 | 0,10 | 7,90 | | | | 0 | 0 | 0 | 0 dB | False | 0,80 | 0,80 | 0,80 |
| Gebouw3D | 36,35 | 61,77 | 0,99 | 8,19 | | | | 0 | 0 | 0 | 0 dB | False | 0,80 | 0,80 | 0,80 |
| Gebouw3D | 37,40 | 55,90 | 0,10 | 13,41 | | | | 0 | 0 | 0 | 0 dB | False | 0,80 | 0,80 | 0,80 |
| Gebouw3D | 36,21 | 61,21 | 0,86 | 8,19 | | | | 0 | 0 | 0 | 0 dB | False | 0,80 | 0,80 | 0,80 |
| Gebouw3D | 35,80 | 50,32 | 2,41 | 8,18 | | | | 0 | 0 | 0 | 0 dB | False | 0,80 | 0,80 | 0,80 |
| Gebouw3D | 36,45 | 51,87 | 2,37 | 8,18 | | | | 0 | 0 | 0 | 0 dB | False | 0,80 | 0,80 | 0,80 |
| Gebouw3D | 36,10 | 53,43 | 0,47 | 8,03 | | | | 0 | 0 | 0 | 0 dB | False | 0,80 | 0,80 | 0,80 |
| Gebouw3D | 42,66 | 68,89 | 1,70 | 9,98 | | | | 0 | 0 | 0 | 0 dB | False | 0,80 | 0,80 | 0,80 |
| Gebouw3D | 51,67 | 95,73 | 1,36 | 10,16 | | | | 0 | 0 | 0 | 0 dB | False | 0,80 | 0,80 | 0,80 |
| Gebouw3D | 43,69 | 66,74 | 0,26 | 13,41 | | | | 0 | 0 | 0 | 0 dB | False | 0,80 | 0,80 | 0,80 |
| Gebouw3D | 17,64 | 18,31 | 3,34 | 5,48 | | | | 0 | 0 | 0 | 0 dB | False | 0,80 | 0,80 | 0,80 |
| Gebouw3D | 36,26 | 51,02 | 2,26 | 13,00 | | | | 0 | 0 | 0 | 0 dB | False | 0,80 | 0,80 | 0,80 |
| Gebouw3D | 42,92 | 77,59 | 0,03 | 16,48 | | | | 0 | 0 | 0 | 0 dB | False | 0,80 | 0,80 | 0,80 |
| Gebouw3D | 17,16 | 18,09 | 3,74 | 4,84 | | | | 0 | 0 | 0 | 0 dB | False | 0,80 | 0,80 | 0,80 |
| Gebouw3D | 12,85 | 10,30 | 3,04 | 3,39 | | | | 0 | 0 | 0 | 0 dB | False | 0,80 | 0,80 | 0,80 |
| Gebouw3D | 10,96 | 7,44 | 2,48 | 3,00 | | | | 0 | 0 | 0 | 0 dB | False | 0,80 | 0,80 | 0,80 |
| Gebouw3D | 24,45 | 36,66 | 0,01 | 6,92 | | | | 0 | 0 | 0 | 0 dB | False | 0,80 | 0,80 | 0,80 |
| Gebouw3D | 35,96 | 50,47 | 2,25 | 12,99 | | | | 0 | 0 | 0 | 0 dB | False | 0,80 | 0,80 | 0,80 |
| Gebouw3D | 36,31 | 51,79 | 0,68 | 13,16 | | | | 0 | 0 | 0 | 0 dB | False | 0,80 | 0,80 | 0,80 |
| Gebouw3D | 36,26 | 50,92 | 2,11 | 8,18 | | | | 0 | 0 | 0 | 0 dB | False | 0,80 | 0,80 | 0,80 |
| Gebouw3D | 35,94 | 49,27 | 2,16 | 13,00 | | | | 0 | 0 | 0 | 0 dB | False | 0,80 | 0,80 | 0,80 |
| Gebouw3D | 22,74 | 25,90 | 0,34 | 8,33 | | | | 0 | 0 | 0 | 0 dB | False | 0,80 | 0,80 | 0,80 |
| Gebouw3D | 123,87 | 527,03 | 0,01 | 30,61 | | | | 0 | 0 | 0 | 0 dB | False | 0,80 | 0,80 | 0,80 |
| Gebouw3D | 33,88 | 50,75 | 0,61 | 9,53 | | | | 0 | 0 | 0 | 0 dB | False | 0,80 | 0,80 | 0,80 |
| Gebouw3D | 14,71 | 12,92 | 2,90 | 4,45 | | | | 0 | 0 | 0 | 0 dB | False | 0,80 | 0,80 | 0,80 |
| Gebouw3D | 14,59 | 12,20 | 2,60 | 4,69 | | | | 0 | 0 | 0 | 0 dB | False | 0,80 | 0,80 | 0,80 |
| Gebouw3D | 20,23 | 21,46 | 3,03 | 7,09 | | | | 0 | 0 | 0 | 0 dB | False | 0,80 | 0,80 | 0,80 |
| Gebouw3D | 33,90 | 60,73 | 2,51 | 7,88 | | | | 0 | 0 | 0 | 0 dB | False | 0,80 | 0,80 | 0,80 |
| Gebouw3D | 14,09 | 11,55 | 2,60 | 4,45 | | | | 0 | 0 | 0 | 0 dB | False | 0,80 | 0,80 | 0,80 |
| Gebouw3D | 13,57 | 11,44 | 3,13 | 3,68 | | | | 0 | 0 | 0 | 0 dB | False | 0,80 | 0,80 | 0,80 |
| Gebouw3D | 27,14 | 36,90 | 2,91 | 7,32 | | | | 0 | 0 | 0 | 0 dB | False | 0,80 | 0,80 | 0,80 |

Model: Jager
Jager - Jager
Groep: (hoofdgroep)
Lijst van Gebouwen, voor rekenmethode Wegverkeerslawaai - RMW-2012

| Groep | Refl. 500 | Refl. 1k | Refl. 2k | Refl. 4k | Refl. 8k |
|---|---|---|---|---|---|
| Gebouw3D | 0,80 | 0,80 | 0,80 | 0,80 | 0,80 |
| Gebouw3D | 0,80 | 0,80 | 0,80 | 0,80 | 0,80 |
| Gebouw3D | 0,80 | 0,80 | 0,80 | 0,80 | 0,80 |
| Gebouw3D | 0,80 | 0,80 | 0,80 | 0,80 | 0,80 |
| Gebouw3D | 0,80 | 0,80 | 0,80 | 0,80 | 0,80 |
| Gebouw3D | 0,80 | 0,80 | 0,80 | 0,80 | 0,80 |
| Gebouw3D | 0,80 | 0,80 | 0,80 | 0,80 | 0,80 |
| Gebouw3D | 0,80 | 0,80 | 0,80 | 0,80 | 0,80 |
| Gebouw3D | 0,80 | 0,80 | 0,80 | 0,80 | 0,80 |
| Gebouw3D | 0,80 | 0,80 | 0,80 | 0,80 | 0,80 |
| Gebouw3D | 0,80 | 0,80 | 0,80 | 0,80 | 0,80 |
| Gebouw3D | 0,80 | 0,80 | 0,80 | 0,80 | 0,80 |
| Gebouw3D | 0,80 | 0,80 | 0,80 | 0,80 | 0,80 |
| Gebouw3D | 0,80 | 0,80 | 0,80 | 0,80 | 0,80 |
| Gebouw3D | 0,80 | 0,80 | 0,80 | 0,80 | 0,80 |
| Gebouw3D | 0,80 | 0,80 | 0,80 | 0,80 | 0,80 |
| Gebouw3D | 0,80 | 0,80 | 0,80 | 0,80 | 0,80 |
| Gebouw3D | 0,80 | 0,80 | 0,80 | 0,80 | 0,80 |
| Gebouw3D | 0,80 | 0,80 | 0,80 | 0,80 | 0,80 |
| Gebouw3D | 0,80 | 0,80 | 0,80 | 0,80 | 0,80 |
| Gebouw3D | 0,80 | 0,80 | 0,80 | 0,80 | 0,80 |
| Gebouw3D | 0,80 | 0,80 | 0,80 | 0,80 | 0,80 |
| Gebouw3D | 0,80 | 0,80 | 0,80 | 0,80 | 0,80 |
| Gebouw3D | 0,80 | 0,80 | 0,80 | 0,80 | 0,80 |
| Gebouw3D | 0,80 | 0,80 | 0,80 | 0,80 | 0,80 |
| Gebouw3D | 0,80 | 0,80 | 0,80 | 0,80 | 0,80 |
| Gebouw3D | 0,80 | 0,80 | 0,80 | 0,80 | 0,80 |
| Gebouw3D | 0,80 | 0,80 | 0,80 | 0,80 | 0,80 |
| Gebouw3D | 0,80 | 0,80 | 0,80 | 0,80 | 0,80 |
| Gebouw3D | 0,80 | 0,80 | 0,80 | 0,80 | 0,80 |
| Gebouw3D | 0,80 | 0,80 | 0,80 | 0,80 | 0,80 |
| Gebouw3D | 0,80 | 0,80 | 0,80 | 0,80 | 0,80 |

# Invoergegevens van het model

Model: Jager
Jager - Jager
Groep: (hoofdgroep)
Lijst van Gebouwen, voor rekenmethode Wegverkeerslawaai - RMW-2012

| Groep | ItemID | Grp.ID | Datum | Naam | Omschr. | Vorm | X-1 | Y-1 | Hoogte | Rel.H | Maaiveld | Hdef. | Vormpunten |
|---|---|---|---|---|---|---|---|---|---|---|---|---|---|
| Gebouw3D | 5928 | 1 | 08:58, 20 mrt 2020 | | | Polygoon | 247190,26 | 443886,12 | 2,80 | 2,80 | 0,00 | Relatief | 4 |
| Gebouw3D | 5929 | 1 | 08:58, 20 mrt 2020 | | | Polygoon | 247206,94 | 443862,91 | 2,90 | 2,90 | 0,00 | Relatief | 19 |
| Gebouw3D | 5930 | 1 | 08:58, 20 mrt 2020 | | | Polygoon | 247203,55 | 443903,52 | 7,30 | 7,30 | 0,00 | Relatief | 10 |
| Gebouw3D | 5931 | 1 | 08:58, 20 mrt 2020 | | | Polygoon | 247205,40 | 443918,61 | 7,30 | 7,30 | 0,00 | Relatief | 14 |
| Gebouw3D | 5932 | 1 | 08:58, 20 mrt 2020 | | | Polygoon | 247205,68 | 443896,64 | 3,00 | 3,00 | 0,00 | Relatief | 6 |
| Gebouw3D | 5933 | 1 | 08:58, 20 mrt 2020 | | | Polygoon | 247210,05 | 443927,21 | 7,10 | 7,10 | 0,00 | Relatief | 4 |
| Gebouw3D | 5934 | 1 | 08:58, 20 mrt 2020 | | | Polygoon | 247211,14 | 443898,36 | 7,30 | 7,30 | 0,00 | Relatief | 6 |
| Gebouw3D | 5935 | 1 | 08:58, 20 mrt 2020 | | | Polygoon | 247208,46 | 443879,42 | 2,40 | 2,40 | 0,00 | Relatief | 4 |
| Gebouw3D | 5936 | 1 | 08:58, 20 mrt 2020 | | | Polygoon | 247206,24 | 443871,72 | 7,40 | 7,40 | 0,00 | Relatief | 9 |
| Gebouw3D | 5937 | 1 | 08:58, 20 mrt 2020 | | | Polygoon | 247211,14 | 443898,36 | 7,50 | 7,50 | 0,00 | Relatief | 7 |
| Gebouw3D | 5938 | 1 | 08:58, 20 mrt 2020 | | | Polygoon | 247211,96 | 443840,50 | 6,90 | 6,90 | 0,00 | Relatief | 6 |
| Gebouw3D | 5939 | 1 | 08:58, 20 mrt 2020 | | | Polygoon | 247223,51 | 443854,69 | 7,40 | 7,40 | 0,00 | Relatief | 12 |
| Gebouw3D | 5940 | 1 | 08:58, 20 mrt 2020 | | | Polygoon | 247221,59 | 443861,47 | 7,30 | 7,30 | 0,00 | Relatief | 7 |
| Gebouw3D | 5941 | 1 | 08:58, 20 mrt 2020 | | | Polygoon | 247213,94 | 443826,78 | 3,20 | 3,20 | 0,00 | Relatief | 4 |
| Gebouw3D | 5942 | 1 | 08:58, 20 mrt 2020 | | | Polygoon | 247219,08 | 443825,87 | 3,60 | 3,60 | 0,00 | Relatief | 6 |
| Gebouw3D | 5943 | 1 | 08:58, 20 mrt 2020 | | | Polygoon | 247220,44 | 443826,80 | 3,90 | 3,90 | 0,00 | Relatief | 4 |
| Gebouw3D | 5944 | 1 | 08:58, 20 mrt 2020 | | | Polygoon | 247230,19 | 443930,01 | 0,00 | 0,00 | 0,00 | Relatief | 4 |
| Gebouw3D | 5945 | 1 | 08:58, 20 mrt 2020 | | | Polygoon | 247174,56 | 443888,99 | 7,40 | 7,40 | 0,00 | Relatief | 11 |
| Gebouw3D | 5946 | 1 | 08:58, 20 mrt 2020 | | | Polygoon | 247205,21 | 443869,09 | 0,30 | 0,30 | 0,00 | Relatief | 9 |
| Gebouw3D | 5947 | 1 | 08:58, 20 mrt 2020 | | | Polygoon | 247178,92 | 443821,05 | 2,60 | 2,60 | 0,00 | Relatief | 5 |
| Gebouw3D | 5948 | 1 | 08:58, 20 mrt 2020 | | | Polygoon | 247195,12 | 443888,81 | 2,60 | 2,60 | 0,00 | Relatief | 4 |
| Gebouw3D | 5949 | 1 | 08:58, 20 mrt 2020 | | | Polygoon | 247213,87 | 443913,73 | 7,30 | 7,30 | 0,00 | Relatief | 8 |
| Gebouw3D | 5950 | 1 | 08:58, 20 mrt 2020 | | | Polygoon | 247176,97 | 443838,36 | 3,00 | 3,00 | 0,00 | Relatief | 9 |
| Gebouw3D | 5951 | 1 | 08:58, 20 mrt 2020 | | | Polygoon | 247219,68 | 443868,20 | 7,40 | 7,40 | 0,00 | Relatief | 8 |
| Gebouw3D | 5952 | 1 | 08:58, 20 mrt 2020 | | | Polygoon | 247174,56 | 443888,99 | 2,70 | 2,70 | 0,00 | Relatief | 4 |
| Gebouw3D | 5953 | 1 | 08:58, 20 mrt 2020 | | | Polygoon | 247215,90 | 443881,58 | 7,00 | 7,00 | 0,00 | Relatief | 10 |
| Gebouw3D | 5954 | 1 | 08:58, 20 mrt 2020 | | | Polygoon | 247194,02 | 443866,92 | 2,30 | 2,30 | 0,00 | Relatief | 6 |
| Gebouw3D | 5955 | 1 | 08:58, 20 mrt 2020 | | | Polygoon | 247223,51 | 443854,69 | 7,20 | 7,20 | 0,00 | Relatief | 4 |
| Gebouw3D | 5956 | 1 | 08:58, 20 mrt 2020 | | | Polygoon | 247232,12 | 443923,27 | 0,00 | 0,00 | 0,00 | Relatief | 4 |
| Gebouw3D | 5957 | 1 | 08:58, 20 mrt 2020 | | | Polygoon | 247206,98 | 443824,56 | 3,80 | 3,80 | 0,00 | Relatief | 4 |
| Gebouw3D | 5995 | 1 | 08:58, 20 mrt 2020 | | | Polygoon | 247306,78 | 443953,76 | 2,90 | 2,90 | 0,00 | Relatief | 9 |
| Gebouw3D | 5996 | 1 | 08:58, 20 mrt 2020 | | | Polygoon | 247276,84 | 443961,72 | 7,10 | 7,10 | 0,00 | Relatief | 12 |
| Gebouw3D | 5997 | 1 | 08:58, 20 mrt 2020 | | | Polygoon | 247306,78 | 443953,76 | 2,60 | 2,60 | 0,00 | Relatief | 9 |
| Gebouw3D | 5998 | 1 | 08:58, 20 mrt 2020 | | | Polygoon | 247279,88 | 443953,01 | 3,40 | 3,40 | 0,00 | Relatief | 5 |
| Gebouw3D | 5999 | 1 | 08:58, 20 mrt 2020 | | | Polygoon | 247312,59 | 443953,51 | 2,60 | 2,60 | 0,00 | Relatief | 5 |
| Gebouw3D | 6001 | 1 | 08:58, 20 mrt 2020 | | | Polygoon | 247319,48 | 443956,00 | 2,80 | 2,80 | 0,00 | Relatief | 6 |

# Invoergegevens van het model

Model: Jager
Jager - Jager
Groep: (hoofdgroep)
Lijst van Gebouwen, voor rekenmethode Wegverkeerslawaai - RMW-2012

| Groep | Omtrek | Oppervlak | Min.lengte | Max.lengte | Functie | BAG-id | Gemeente | Jaar | AHN-jaar | Trust | Cp | Zwevend | Refl. 63 | Refl. 125 | Refl. 250 |
|---|---|---|---|---|---|---|---|---|---|---|---|---|---|---|---|
| Gebouw3D | 14,34 | 12,81 | 3,39 | 3,77 | | | | 0 | 0 | 0 | 0 dB | False | 0,80 | 0,80 | 0,80 |
| Gebouw3D | 62,79 | 199,88 | 0,15 | 10,91 | | | | 0 | 0 | 0 | 0 dB | False | 0,80 | 0,80 | 0,80 |
| Gebouw3D | 53,21 | 80,50 | 0,10 | 12,72 | | | | 0 | 0 | 0 | 0 dB | False | 0,80 | 0,80 | 0,80 |
| Gebouw3D | 44,48 | 64,17 | 0,06 | 7,00 | | | | 0 | 0 | 0 | 0 dB | False | 0,80 | 0,80 | 0,80 |
| Gebouw3D | 24,78 | 27,92 | 2,55 | 6,63 | | | | 0 | 0 | 0 | 0 dB | False | 0,80 | 0,80 | 0,80 |
| Gebouw3D | 28,01 | 49,02 | 6,82 | 7,18 | | | | 0 | 0 | 0 | 0 dB | False | 0,80 | 0,80 | 0,80 |
| Gebouw3D | 39,53 | 61,82 | 2,33 | 12,72 | | | | 0 | 0 | 0 | 0 dB | False | 0,80 | 0,80 | 0,80 |
| Gebouw3D | 14,49 | 12,85 | 3,10 | 4,15 | | | | 0 | 0 | 0 | 0 dB | False | 0,80 | 0,80 | 0,80 |
| Gebouw3D | 53,27 | 76,55 | 0,11 | 18,83 | | | | 0 | 0 | 0 | 0 dB | False | 0,80 | 0,80 | 0,80 |
| Gebouw3D | 40,41 | 64,44 | 2,49 | 7,18 | | | | 0 | 0 | 0 | 0 dB | False | 0,80 | 0,80 | 0,80 |
| Gebouw3D | 77,52 | 341,79 | 10,22 | 14,97 | | | | 0 | 0 | 0 | 0 dB | False | 0,80 | 0,80 | 0,80 |
| Gebouw3D | 54,25 | 85,71 | 0,40 | 7,18 | | | | 0 | 0 | 0 | 0 dB | False | 0,80 | 0,80 | 0,80 |
| Gebouw3D | 44,80 | 67,73 | 2,32 | 8,55 | | | | 0 | 0 | 0 | 0 dB | False | 0,80 | 0,80 | 0,80 |
| Gebouw3D | 12,91 | 7,10 | 1,35 | 5,08 | | | | 0 | 0 | 0 | 0 dB | False | 0,80 | 0,80 | 0,80 |
| Gebouw3D | 13,09 | 4,45 | 0,19 | 5,01 | | | | 0 | 0 | 0 | 0 dB | False | 0,80 | 0,80 | 0,80 |
| Gebouw3D | 19,80 | 22,54 | 3,55 | 6,35 | | | | 0 | 0 | 0 | 0 dB | False | 0,80 | 0,80 | 0,80 |
| Gebouw3D | 27,45 | 47,07 | 6,73 | 6,99 | | | | 0 | 0 | 0 | 0 dB | False | 0,80 | 0,80 | 0,80 |
| Gebouw3D | 64,14 | 109,86 | 0,55 | 13,07 | | | | 0 | 0 | 0 | 0 dB | False | 0,80 | 0,80 | 0,80 |
| Gebouw3D | 21,54 | 20,08 | 1,15 | 4,80 | | | | 0 | 0 | 0 | 0 dB | False | 0,80 | 0,80 | 0,80 |
| Gebouw3D | 24,83 | 38,49 | 0,08 | 6,28 | | | | 0 | 0 | 0 | 0 dB | False | 0,80 | 0,80 | 0,80 |
| Gebouw3D | 20,35 | 24,87 | 4,08 | 6,10 | | | | 0 | 0 | 0 | 0 dB | False | 0,80 | 0,80 | 0,80 |
| Gebouw3D | 39,49 | 63,12 | 0,40 | 12,76 | | | | 0 | 0 | 0 | 0 dB | False | 0,80 | 0,80 | 0,80 |
| Gebouw3D | 35,22 | 61,71 | 0,26 | 7,37 | | | | 0 | 0 | 0 | 0 dB | False | 0,80 | 0,80 | 0,80 |
| Gebouw3D | 51,75 | 62,50 | 0,11 | 18,83 | | | | 0 | 0 | 0 | 0 dB | False | 0,80 | 0,80 | 0,80 |
| Gebouw3D | 18,71 | 18,09 | 2,69 | 6,62 | | | | 0 | 0 | 0 | 0 dB | False | 0,80 | 0,80 | 0,80 |
| Gebouw3D | 44,19 | 88,98 | 0,11 | 7,97 | | | | 0 | 0 | 0 | 0 dB | False | 0,80 | 0,80 | 0,80 |
| Gebouw3D | 23,98 | 21,57 | 1,08 | 9,32 | | | | 0 | 0 | 0 | 0 dB | False | 0,80 | 0,80 | 0,80 |
| Gebouw3D | 27,78 | 48,23 | 6,85 | 7,05 | | | | 0 | 0 | 0 | 0 dB | False | 0,80 | 0,80 | 0,80 |
| Gebouw3D | 27,49 | 47,21 | 6,73 | 7,01 | | | | 0 | 0 | 0 | 0 dB | False | 0,80 | 0,80 | 0,80 |
| Gebouw3D | 17,90 | 17,85 | 3,00 | 5,95 | | | | 0 | 0 | 0 | 0 dB | False | 0,80 | 0,80 | 0,80 |
| Gebouw3D | 25,87 | 38,36 | 0,78 | 5,01 | | | | 0 | 0 | 0 | 0 dB | False | 0,80 | 0,80 | 0,80 |
| Gebouw3D | 41,71 | 64,16 | 0,07 | 7,11 | | | | 0 | 0 | 0 | 0 dB | False | 0,80 | 0,80 | 0,80 |
| Gebouw3D | 21,09 | 27,79 | 0,01 | 5,36 | | | | 0 | 0 | 0 | 0 dB | False | 0,80 | 0,80 | 0,80 |
| Gebouw3D | 10,72 | 6,96 | 0,07 | 3,16 | | | | 0 | 0 | 0 | 0 dB | False | 0,80 | 0,80 | 0,80 |
| Gebouw3D | 9,77 | 5,73 | 0,05 | 2,95 | | | | 0 | 0 | 0 | 0 dB | False | 0,80 | 0,80 | 0,80 |
| Gebouw3D | 16,53 | 15,64 | 0,02 | 5,41 | | | | 0 | 0 | 0 | 0 dB | False | 0,80 | 0,80 | 0,80 |

Model: Jager
Jager - Jager
Groep: (hoofdgroep)
Lijst van Gebouwen, voor rekenmethode Wegverkeerslawaai - RMW-2012

| Groep | Refl. 500 | Refl. 1k | Refl. 2k | Refl. 4k | Refl. 8k |
|---|---|---|---|---|---|
| Gebouw3D | 0,80 | 0,80 | 0,80 | 0,80 | 0,80 |
| Gebouw3D | 0,80 | 0,80 | 0,80 | 0,80 | 0,80 |
| Gebouw3D | 0,80 | 0,80 | 0,80 | 0,80 | 0,80 |
| Gebouw3D | 0,80 | 0,80 | 0,80 | 0,80 | 0,80 |
| Gebouw3D | 0,80 | 0,80 | 0,80 | 0,80 | 0,80 |
| Gebouw3D | 0,80 | 0,80 | 0,80 | 0,80 | 0,80 |
| Gebouw3D | 0,80 | 0,80 | 0,80 | 0,80 | 0,80 |
| Gebouw3D | 0,80 | 0,80 | 0,80 | 0,80 | 0,80 |
| Gebouw3D | 0,80 | 0,80 | 0,80 | 0,80 | 0,80 |
| Gebouw3D | 0,80 | 0,80 | 0,80 | 0,80 | 0,80 |
| Gebouw3D | 0,80 | 0,80 | 0,80 | 0,80 | 0,80 |
| Gebouw3D | 0,80 | 0,80 | 0,80 | 0,80 | 0,80 |
| Gebouw3D | 0,80 | 0,80 | 0,80 | 0,80 | 0,80 |
| Gebouw3D | 0,80 | 0,80 | 0,80 | 0,80 | 0,80 |
| Gebouw3D | 0,80 | 0,80 | 0,80 | 0,80 | 0,80 |
| Gebouw3D | 0,80 | 0,80 | 0,80 | 0,80 | 0,80 |
| Gebouw3D | 0,80 | 0,80 | 0,80 | 0,80 | 0,80 |
| Gebouw3D | 0,80 | 0,80 | 0,80 | 0,80 | 0,80 |
| Gebouw3D | 0,80 | 0,80 | 0,80 | 0,80 | 0,80 |
| Gebouw3D | 0,80 | 0,80 | 0,80 | 0,80 | 0,80 |
| Gebouw3D | 0,80 | 0,80 | 0,80 | 0,80 | 0,80 |
| Gebouw3D | 0,80 | 0,80 | 0,80 | 0,80 | 0,80 |
| Gebouw3D | 0,80 | 0,80 | 0,80 | 0,80 | 0,80 |
| Gebouw3D | 0,80 | 0,80 | 0,80 | 0,80 | 0,80 |
| Gebouw3D | 0,80 | 0,80 | 0,80 | 0,80 | 0,80 |
| Gebouw3D | 0,80 | 0,80 | 0,80 | 0,80 | 0,80 |
| Gebouw3D | 0,80 | 0,80 | 0,80 | 0,80 | 0,80 |
| Gebouw3D | 0,80 | 0,80 | 0,80 | 0,80 | 0,80 |
| Gebouw3D | 0,80 | 0,80 | 0,80 | 0,80 | 0,80 |
| Gebouw3D | 0,80 | 0,80 | 0,80 | 0,80 | 0,80 |
| Gebouw3D | 0,80 | 0,80 | 0,80 | 0,80 | 0,80 |
| Gebouw3D | 0,80 | 0,80 | 0,80 | 0,80 | 0,80 |

Model: Jager
Jager - Jager
Groep: (hoofdgroep)
Lijst van Gebouwen, voor rekenmethode Wegverkeerslawaai - RMW-2012

| Groep | ItemID | Grp.ID | Datum | Naam | Omschr. | Vorm | X-1 | Y-1 | Hoogte | Rel.H | Maaiveld | Hdef. | Vormpunten |
|---|---|---|---|---|---|---|---|---|---|---|---|---|---|
| Gebouw3D | 6002 | 1 | 08:58, 20 mrt 2020 | | | Polygoon | 247283,42 | 443964,07 | 7,20 | 7,20 | 0,00 | Relatief | 7 |
| Gebouw3D | 6003 | 1 | 08:58, 20 mrt 2020 | | | Polygoon | 247300,82 | 443970,33 | 8,70 | 8,70 | 0,00 | Relatief | 9 |
| Gebouw3D | 6005 | 1 | 08:58, 20 mrt 2020 | | | Polygoon | 247316,16 | 443975,80 | 8,20 | 8,20 | 0,00 | Relatief | 8 |
| Gebouw3D | 6006 | 1 | 08:58, 20 mrt 2020 | | | Polygoon | 247310,99 | 443973,96 | 8,30 | 8,30 | 0,00 | Relatief | 5 |
| Gebouw3D | 6012 | 1 | 08:58, 20 mrt 2020 | | | Polygoon | 247305,92 | 443972,15 | 8,30 | 8,30 | 0,00 | Relatief | 6 |
| Gebouw3D | 6013 | 1 | 08:58, 20 mrt 2020 | | | Polygoon | 247300,82 | 443970,33 | 8,30 | 8,30 | 0,00 | Relatief | 6 |
| Gebouw3D | 6016 | 1 | 08:58, 20 mrt 2020 | | | Polygoon | 247322,77 | 443957,07 | 2,70 | 2,70 | 0,00 | Relatief | 4 |
| Gebouw3D | 6147 | 1 | 08:58, 20 mrt 2020 | | | Polygoon | 247147,66 | 443995,91 | 7,10 | 7,10 | 0,00 | Relatief | 8 |
| Gebouw3D | 6148 | 1 | 08:58, 20 mrt 2020 | | | Polygoon | 247147,66 | 443995,91 | 7,10 | 7,10 | 0,00 | Relatief | 6 |
| Gebouw3D | 6149 | 1 | 08:58, 20 mrt 2020 | | | Polygoon | 247164,19 | 443960,78 | 2,50 | 2,50 | 0,00 | Relatief | 4 |
| Gebouw3D | 6150 | 1 | 08:58, 20 mrt 2020 | | | Polygoon | 247165,35 | 443946,70 | 7,20 | 7,20 | 0,00 | Relatief | 4 |
| Gebouw3D | 6151 | 1 | 08:58, 20 mrt 2020 | | | Polygoon | 247160,52 | 443980,45 | 7,10 | 7,10 | 0,00 | Relatief | 9 |
| Gebouw3D | 6152 | 1 | 08:58, 20 mrt 2020 | | | Polygoon | 247160,94 | 443974,46 | 7,10 | 7,10 | 0,00 | Relatief | 8 |
| Gebouw3D | 6153 | 1 | 08:58, 20 mrt 2020 | | | Polygoon | 247161,37 | 443968,31 | 7,10 | 7,10 | 0,00 | Relatief | 6 |
| Gebouw3D | 6154 | 1 | 08:58, 20 mrt 2020 | | | Polygoon | 247161,37 | 443968,31 | 7,30 | 7,30 | 0,00 | Relatief | 4 |
| Gebouw3D | 6155 | 1 | 08:58, 20 mrt 2020 | | | Polygoon | 247162,26 | 443997,00 | 2,40 | 2,40 | 0,00 | Relatief | 6 |
| Gebouw3D | 6156 | 1 | 08:58, 20 mrt 2020 | | | Polygoon | 247164,19 | 443960,78 | 2,50 | 2,50 | 0,00 | Relatief | 4 |
| Gebouw3D | 6157 | 1 | 08:58, 20 mrt 2020 | | | Polygoon | 247165,35 | 443946,70 | 7,20 | 7,20 | 0,00 | Relatief | 4 |
| Gebouw3D | 6158 | 1 | 08:58, 20 mrt 2020 | | | Polygoon | 247177,27 | 443981,56 | 2,40 | 2,40 | 0,00 | Relatief | 11 |
| Gebouw3D | 6159 | 1 | 08:58, 20 mrt 2020 | | | Polygoon | 247174,02 | 443998,20 | 2,40 | 2,40 | 0,00 | Relatief | 4 |
| Gebouw3D | 6160 | 1 | 08:58, 20 mrt 2020 | | | Polygoon | 247171,25 | 443947,17 | 7,10 | 7,10 | 0,00 | Relatief | 4 |
| Gebouw3D | 6161 | 1 | 08:58, 20 mrt 2020 | | | Polygoon | 247176,11 | 443961,76 | 2,40 | 2,40 | 0,00 | Relatief | 4 |
| Gebouw3D | 6162 | 1 | 08:58, 20 mrt 2020 | | | Polygoon | 247174,02 | 443998,20 | 2,40 | 2,40 | 0,00 | Relatief | 4 |
| Gebouw3D | 6163 | 1 | 08:58, 20 mrt 2020 | | | Polygoon | 247176,11 | 443961,76 | 2,60 | 2,60 | 0,00 | Relatief | 4 |
| Gebouw3D | 6164 | 1 | 08:58, 20 mrt 2020 | | | Polygoon | 247182,89 | 443948,08 | 7,20 | 7,20 | 0,00 | Relatief | 8 |
| Gebouw3D | 6165 | 1 | 08:58, 20 mrt 2020 | | | Polygoon | 247178,24 | 443969,49 | 2,40 | 2,40 | 0,00 | Relatief | 4 |
| Gebouw3D | 6166 | 1 | 08:58, 20 mrt 2020 | | | Polygoon | 247178,24 | 443969,49 | 2,40 | 2,40 | 0,00 | Relatief | 5 |
| Gebouw3D | 6167 | 1 | 08:58, 20 mrt 2020 | | | Polygoon | 247181,95 | 443987,19 | 2,40 | 2,40 | 0,00 | Relatief | 4 |
| Gebouw3D | 6168 | 1 | 08:58, 20 mrt 2020 | | | Polygoon | 247181,95 | 443987,19 | 2,40 | 2,40 | 0,00 | Relatief | 4 |
| Gebouw3D | 6169 | 1 | 08:58, 20 mrt 2020 | | | Polygoon | 247182,88 | 443975,34 | 2,40 | 2,40 | 0,00 | Relatief | 4 |
| Gebouw3D | 6170 | 1 | 08:58, 20 mrt 2020 | | | Polygoon | 247182,88 | 443975,34 | 2,40 | 2,40 | 0,00 | Relatief | 4 |
| Gebouw3D | 6171 | 1 | 08:58, 20 mrt 2020 | | | Polygoon | 247183,77 | 443963,59 | 2,40 | 2,40 | 0,00 | Relatief | 4 |
| Gebouw3D | 6172 | 1 | 08:58, 20 mrt 2020 | | | Polygoon | 247183,77 | 443963,59 | 2,40 | 2,40 | 0,00 | Relatief | 4 |
| Gebouw3D | 6173 | 1 | 08:58, 20 mrt 2020 | | | Polygoon | 247184,64 | 443951,41 | 2,40 | 2,40 | 0,00 | Relatief | 4 |
| Gebouw3D | 6174 | 1 | 08:58, 20 mrt 2020 | | | Polygoon | 247185,63 | 443999,11 | 2,40 | 2,40 | 0,00 | Relatief | 5 |
| Gebouw3D | 6175 | 1 | 08:58, 20 mrt 2020 | | | Polygoon | 247193,09 | 443988,06 | 7,20 | 7,20 | 0,00 | Relatief | 9 |

# Invoergegevens van het model

Model: Jager
Jager - Jager
Groep: (hoofdgroep)
Lijst van Gebouwen, voor rekenmethode Wegverkeerslawaai - RMW-2012

| Groep | Omtrek | Oppervlak | Min.lengte | Max.lengte | Functie | BAG-id | Gemeente | Jaar | AHN-jaar | Trust | Cp | Zwevend | Refl. 63 | Refl. 125 | Refl. 250 |
|---|---|---|---|---|---|---|---|---|---|---|---|---|---|---|---|
| Gebouw3D | 39,68 | 61,91 | 2,34 | 7,15 | | | | 0 | 0 | 0 | 0 dB | False | 0,80 | 0,80 | 0,80 |
| Gebouw3D | 31,49 | 53,13 | 0,07 | 8,68 | | | | 0 | 0 | 0 | 0 dB | False | 0,80 | 0,80 | 0,80 |
| Gebouw3D | 42,31 | 77,73 | 2,95 | 8,75 | | | | 0 | 0 | 0 | 0 dB | False | 0,80 | 0,80 | 0,80 |
| Gebouw3D | 28,42 | 47,76 | 0,07 | 8,75 | | | | 0 | 0 | 0 | 0 dB | False | 0,80 | 0,80 | 0,80 |
| Gebouw3D | 28,31 | 47,27 | 0,07 | 8,68 | | | | 0 | 0 | 0 | 0 dB | False | 0,80 | 0,80 | 0,80 |
| Gebouw3D | 28,28 | 47,14 | 0,07 | 8,68 | | | | 0 | 0 | 0 | 0 dB | False | 0,80 | 0,80 | 0,80 |
| Gebouw3D | 9,72 | 5,68 | 1,92 | 2,93 | | | | 0 | 0 | 0 | 0 dB | False | 0,80 | 0,80 | 0,80 |
| Gebouw3D | 32,88 | 46,22 | 0,08 | 8,75 | | | | 0 | 0 | 0 | 0 dB | False | 0,80 | 0,80 | 0,80 |
| Gebouw3D | 29,89 | 47,35 | 1,69 | 8,75 | | | | 0 | 0 | 0 | 0 dB | False | 0,80 | 0,80 | 0,80 |
| Gebouw3D | 19,55 | 21,66 | 3,38 | 6,40 | | | | 0 | 0 | 0 | 0 dB | False | 0,80 | 0,80 | 0,80 |
| Gebouw3D | 26,35 | 43,29 | 6,24 | 6,92 | | | | 0 | 0 | 0 | 0 dB | False | 0,80 | 0,80 | 0,80 |
| Gebouw3D | 33,60 | 47,70 | 0,09 | 8,60 | | | | 0 | 0 | 0 | 0 dB | False | 0,80 | 0,80 | 0,80 |
| Gebouw3D | 32,60 | 45,49 | 0,11 | 8,65 | | | | 0 | 0 | 0 | 0 dB | False | 0,80 | 0,80 | 0,80 |
| Gebouw3D | 29,65 | 46,65 | 1,70 | 8,65 | | | | 0 | 0 | 0 | 0 dB | False | 0,80 | 0,80 | 0,80 |
| Gebouw3D | 25,81 | 41,37 | 5,95 | 6,95 | | | | 0 | 0 | 0 | 0 dB | False | 0,80 | 0,80 | 0,80 |
| Gebouw3D | 14,14 | 12,50 | 0,58 | 3,49 | | | | 0 | 0 | 0 | 0 dB | False | 0,80 | 0,80 | 0,80 |
| Gebouw3D | 13,70 | 11,72 | 3,37 | 3,51 | | | | 0 | 0 | 0 | 0 dB | False | 0,80 | 0,80 | 0,80 |
| Gebouw3D | 25,66 | 40,90 | 5,90 | 6,92 | | | | 0 | 0 | 0 | 0 dB | False | 0,80 | 0,80 | 0,80 |
| Gebouw3D | 48,37 | 53,21 | 0,20 | 7,91 | | | | 0 | 0 | 0 | 0 dB | False | 0,80 | 0,80 | 0,80 |
| Gebouw3D | 14,61 | 13,30 | 3,45 | 3,87 | | | | 0 | 0 | 0 | 0 dB | False | 0,80 | 0,80 | 0,80 |
| Gebouw3D | 25,35 | 39,81 | 5,71 | 6,92 | | | | 0 | 0 | 0 | 0 dB | False | 0,80 | 0,80 | 0,80 |
| Gebouw3D | 13,98 | 12,21 | 3,45 | 3,52 | | | | 0 | 0 | 0 | 0 dB | False | 0,80 | 0,80 | 0,80 |
| Gebouw3D | 13,20 | 10,87 | 3,16 | 3,45 | | | | 0 | 0 | 0 | 0 dB | False | 0,80 | 0,80 | 0,80 |
| Gebouw3D | 13,85 | 11,99 | 3,38 | 3,53 | | | | 0 | 0 | 0 | 0 dB | False | 0,80 | 0,80 | 0,80 |
| Gebouw3D | 30,43 | 50,12 | 0,41 | 6,92 | | | | 0 | 0 | 0 | 0 dB | False | 0,80 | 0,80 | 0,80 |
| Gebouw3D | 14,75 | 13,56 | 3,48 | 3,91 | | | | 0 | 0 | 0 | 0 dB | False | 0,80 | 0,80 | 0,80 |
| Gebouw3D | 14,03 | 12,28 | 0,63 | 3,70 | | | | 0 | 0 | 0 | 0 dB | False | 0,80 | 0,80 | 0,80 |
| Gebouw3D | 14,68 | 13,43 | 3,50 | 3,84 | | | | 0 | 0 | 0 | 0 dB | False | 0,80 | 0,80 | 0,80 |
| Gebouw3D | 13,35 | 11,11 | 3,12 | 3,52 | | | | 0 | 0 | 0 | 0 dB | False | 0,80 | 0,80 | 0,80 |
| Gebouw3D | 14,38 | 12,90 | 3,44 | 3,76 | | | | 0 | 0 | 0 | 0 dB | False | 0,80 | 0,80 | 0,80 |
| Gebouw3D | 13,44 | 11,28 | 3,22 | 3,47 | | | | 0 | 0 | 0 | 0 dB | False | 0,80 | 0,80 | 0,80 |
| Gebouw3D | 14,08 | 12,38 | 3,45 | 3,57 | | | | 0 | 0 | 0 | 0 dB | False | 0,80 | 0,80 | 0,80 |
| Gebouw3D | 14,09 | 12,41 | 3,49 | 3,55 | | | | 0 | 0 | 0 | 0 dB | False | 0,80 | 0,80 | 0,80 |
| Gebouw3D | 14,41 | 12,95 | 3,43 | 3,84 | | | | 0 | 0 | 0 | 0 dB | False | 0,80 | 0,80 | 0,80 |
| Gebouw3D | 23,65 | 29,19 | 0,07 | 8,28 | | | | 0 | 0 | 0 | 0 dB | False | 0,80 | 0,80 | 0,80 |
| Gebouw3D | 34,66 | 49,30 | 0,24 | 9,01 | | | | 0 | 0 | 0 | 0 dB | False | 0,80 | 0,80 | 0,80 |

Model: Jager
Jager - Jager
Groep: (hoofdgroep)
Lijst van Gebouwen, voor rekenmethode Wegverkeerslawaai - RMW-2012

| Groep | Refl. 500 | Refl. 1k | Refl. 2k | Refl. 4k | Refl. 8k |
|---|---|---|---|---|---|
| Gebouw3D | 0,80 | 0,80 | 0,80 | 0,80 | 0,80 |
| Gebouw3D | 0,80 | 0,80 | 0,80 | 0,80 | 0,80 |
| Gebouw3D | 0,80 | 0,80 | 0,80 | 0,80 | 0,80 |
| Gebouw3D | 0,80 | 0,80 | 0,80 | 0,80 | 0,80 |
| Gebouw3D | 0,80 | 0,80 | 0,80 | 0,80 | 0,80 |
| Gebouw3D | 0,80 | 0,80 | 0,80 | 0,80 | 0,80 |
| Gebouw3D | 0,80 | 0,80 | 0,80 | 0,80 | 0,80 |
| Gebouw3D | 0,80 | 0,80 | 0,80 | 0,80 | 0,80 |
| Gebouw3D | 0,80 | 0,80 | 0,80 | 0,80 | 0,80 |
| Gebouw3D | 0,80 | 0,80 | 0,80 | 0,80 | 0,80 |
| Gebouw3D | 0,80 | 0,80 | 0,80 | 0,80 | 0,80 |
| Gebouw3D | 0,80 | 0,80 | 0,80 | 0,80 | 0,80 |
| Gebouw3D | 0,80 | 0,80 | 0,80 | 0,80 | 0,80 |
| Gebouw3D | 0,80 | 0,80 | 0,80 | 0,80 | 0,80 |
| Gebouw3D | 0,80 | 0,80 | 0,80 | 0,80 | 0,80 |
| Gebouw3D | 0,80 | 0,80 | 0,80 | 0,80 | 0,80 |
| Gebouw3D | 0,80 | 0,80 | 0,80 | 0,80 | 0,80 |
| Gebouw3D | 0,80 | 0,80 | 0,80 | 0,80 | 0,80 |
| Gebouw3D | 0,80 | 0,80 | 0,80 | 0,80 | 0,80 |
| Gebouw3D | 0,80 | 0,80 | 0,80 | 0,80 | 0,80 |
| Gebouw3D | 0,80 | 0,80 | 0,80 | 0,80 | 0,80 |
| Gebouw3D | 0,80 | 0,80 | 0,80 | 0,80 | 0,80 |
| Gebouw3D | 0,80 | 0,80 | 0,80 | 0,80 | 0,80 |
| Gebouw3D | 0,80 | 0,80 | 0,80 | 0,80 | 0,80 |
| Gebouw3D | 0,80 | 0,80 | 0,80 | 0,80 | 0,80 |
| Gebouw3D | 0,80 | 0,80 | 0,80 | 0,80 | 0,80 |
| Gebouw3D | 0,80 | 0,80 | 0,80 | 0,80 | 0,80 |
| Gebouw3D | 0,80 | 0,80 | 0,80 | 0,80 | 0,80 |
| Gebouw3D | 0,80 | 0,80 | 0,80 | 0,80 | 0,80 |
| Gebouw3D | 0,80 | 0,80 | 0,80 | 0,80 | 0,80 |
| Gebouw3D | 0,80 | 0,80 | 0,80 | 0,80 | 0,80 |
| Gebouw3D | 0,80 | 0,80 | 0,80 | 0,80 | 0,80 |

# Invoergegevens van het model

Model: Jager
Jager - Jager
Groep: (hoofdgroep)
Lijst van Gebouwen, voor rekenmethode Wegverkeerslawaai - RMW-2012

| Groep | ItemID | Grp.ID | Datum | Naam | Omschr. | Vorm | X-1 | Y-1 | Hoogte | Rel.H | Maaiveld | Hdef. | Vormpunten |
|---|---|---|---|---|---|---|---|---|---|---|---|---|---|
| Gebouw3D | 6176 | 1 | 08:58, 20 mrt 2020 | | | Polygoon | 247193,95 | 443976,20 | 7,20 | 7,20 | 0,00 | Relatief | 8 |
| Gebouw3D | 6177 | 1 | 08:58, 20 mrt 2020 | | | Polygoon | 247196,51 | 443970,49 | 7,20 | 7,20 | 0,00 | Relatief | 6 |
| Gebouw3D | 6178 | 1 | 08:58, 20 mrt 2020 | | | Polygoon | 247197,43 | 443958,74 | 7,20 | 7,20 | 0,00 | Relatief | 8 |
| Gebouw3D | 6179 | 1 | 08:58, 20 mrt 2020 | | | Polygoon | 247196,97 | 443964,62 | 7,10 | 7,10 | 0,00 | Relatief | 4 |
| Gebouw3D | 6180 | 1 | 08:58, 20 mrt 2020 | | | Polygoon | 247197,43 | 443958,74 | 7,20 | 7,20 | 0,00 | Relatief | 4 |
| Gebouw3D | 6181 | 1 | 08:58, 20 mrt 2020 | | | Polygoon | 247177,26 | 443981,62 | 2,50 | 2,50 | 0,00 | Relatief | 4 |
| Gebouw3D | 6182 | 1 | 08:58, 20 mrt 2020 | | | Polygoon | 247162,26 | 443997,00 | 2,40 | 2,40 | 0,00 | Relatief | 4 |
| Gebouw3D | 6183 | 1 | 08:58, 20 mrt 2020 | | | Polygoon | 247185,63 | 443999,11 | 2,30 | 2,30 | 0,00 | Relatief | 4 |
| Gebouw3D | 6184 | 1 | 08:58, 20 mrt 2020 | | | Polygoon | 247193,46 | 443982,07 | 7,20 | 7,20 | 0,00 | Relatief | 8 |
| Gebouw3D | 6264 | 1 | 08:58, 20 mrt 2020 | | | Polygoon | 247347,20 | 443789,40 | 7,20 | 7,20 | 0,00 | Relatief | 7 |
| Gebouw3D | 6265 | 1 | 08:58, 20 mrt 2020 | | | Polygoon | 247352,16 | 443820,30 | 8,80 | 8,80 | 0,00 | Relatief | 4 |
| Gebouw3D | 6266 | 1 | 08:58, 20 mrt 2020 | | | Polygoon | 247351,63 | 443739,98 | 2,90 | 2,90 | 0,00 | Relatief | 6 |
| Gebouw3D | 6267 | 1 | 08:58, 20 mrt 2020 | | | Polygoon | 247355,85 | 443763,53 | 3,20 | 3,20 | 0,00 | Relatief | 4 |
| Gebouw3D | 6268 | 1 | 08:58, 20 mrt 2020 | | | Polygoon | 247352,16 | 443820,30 | 8,70 | 8,70 | 0,00 | Relatief | 4 |
| Gebouw3D | 6269 | 1 | 08:58, 20 mrt 2020 | | | Polygoon | 247355,79 | 443786,99 | 7,40 | 7,40 | 0,00 | Relatief | 11 |
| Gebouw3D | 6270 | 1 | 08:58, 20 mrt 2020 | | | Polygoon | 247355,79 | 443786,99 | 5,70 | 5,70 | 0,00 | Relatief | 7 |
| Gebouw3D | 6271 | 1 | 08:58, 20 mrt 2020 | | | Polygoon | 247355,85 | 443728,00 | 7,00 | 7,00 | 0,00 | Relatief | 4 |
| Gebouw3D | 6272 | 1 | 08:58, 20 mrt 2020 | | | Polygoon | 247355,96 | 443734,73 | 7,00 | 7,00 | 0,00 | Relatief | 4 |
| Gebouw3D | 6273 | 1 | 08:58, 20 mrt 2020 | | | Polygoon | 247357,85 | 443820,90 | 8,70 | 8,70 | 0,00 | Relatief | 4 |
| Gebouw3D | 6287 | 1 | 08:58, 20 mrt 2020 | | | Polygoon | 247356,08 | 443741,49 | 6,90 | 6,90 | 0,00 | Relatief | 13 |
| Gebouw3D | 7611 | 1 | 08:58, 20 mrt 2020 | | | Polygoon | 247157,76 | 443250,01 | 2,70 | 2,70 | 0,00 | Relatief | 5 |
| Gebouw3D | 7612 | 1 | 08:58, 20 mrt 2020 | | | Polygoon | 247169,28 | 443259,53 | 2,60 | 2,60 | 0,00 | Relatief | 4 |
| Gebouw3D | 7613 | 1 | 08:58, 20 mrt 2020 | | | Polygoon | 247154,64 | 443275,66 | 8,30 | 8,30 | 0,00 | Relatief | 36 |
| Gebouw3D | 7614 | 1 | 08:58, 20 mrt 2020 | | | Polygoon | 247163,63 | 443309,22 | 9,00 | 9,00 | 0,00 | Relatief | 6 |
| Gebouw3D | 7615 | 1 | 08:58, 20 mrt 2020 | | | Polygoon | 247113,67 | 443300,97 | 2,60 | 2,60 | 0,00 | Relatief | 4 |
| Gebouw3D | 7616 | 1 | 08:58, 20 mrt 2020 | | | Polygoon | 247162,34 | 443300,34 | 2,70 | 2,70 | 0,00 | Relatief | 4 |
| Gebouw3D | 7617 | 1 | 08:58, 20 mrt 2020 | | | Polygoon | 247163,63 | 443309,22 | 8,60 | 8,60 | 0,00 | Relatief | 12 |
| Gebouw3D | 7618 | 1 | 08:58, 20 mrt 2020 | | | Polygoon | 247164,74 | 443318,26 | 8,50 | 8,50 | 0,00 | Relatief | 9 |
| Gebouw3D | 7619 | 1 | 08:58, 20 mrt 2020 | | | Polygoon | 247123,34 | 443319,09 | 8,90 | 8,90 | 0,00 | Relatief | 9 |
| Gebouw3D | 7620 | 1 | 08:58, 20 mrt 2020 | | | Polygoon | 247082,73 | 443328,85 | 7,80 | 7,80 | 0,00 | Relatief | 12 |
| Gebouw3D | 7621 | 1 | 08:58, 20 mrt 2020 | | | Polygoon | 247118,77 | 443334,24 | 8,70 | 8,70 | 0,00 | Relatief | 10 |
| Gebouw3D | 7622 | 1 | 08:58, 20 mrt 2020 | | | Polygoon | 247091,04 | 443345,73 | 7,90 | 7,90 | 0,00 | Relatief | 8 |
| Gebouw3D | 7623 | 1 | 08:58, 20 mrt 2020 | | | Polygoon | 247157,55 | 443355,64 | 8,40 | 8,40 | 0,00 | Relatief | 11 |
| Gebouw3D | 7624 | 1 | 08:58, 20 mrt 2020 | | | Polygoon | 247157,55 | 443355,64 | 8,80 | 8,80 | 0,00 | Relatief | 10 |
| Gebouw3D | 7625 | 1 | 08:58, 20 mrt 2020 | | | Polygoon | 247150,81 | 443367,40 | 8,90 | 8,90 | 0,00 | Relatief | 10 |
| Gebouw3D | 7626 | 1 | 08:58, 20 mrt 2020 | | | Polygoon | 247124,11 | 443361,90 | 8,80 | 8,80 | 0,00 | Relatief | 9 |

# Invoergegevens van het model

Model: Jager
Jager - Jager
Groep: (hoofdgroep)
Lijst van Gebouwen, voor rekenmethode Wegverkeerslawaai - RMW-2012

| Groep | Omtrek | Oppervlak | Min.lengte | Max.lengte | Functie | BAG-id | Gemeente | Jaar | AHN-jaar | Trust | Cp | Zwevend | Refl. 63 | Refl. 125 | Refl. 250 |
|---|---|---|---|---|---|---|---|---|---|---|---|---|---|---|---|
| Gebouw3D | 34,19 | 45,39 | 0,12 | 9,10 | | | | 0 | 0 | 0 | 0 dB | False | 0,80 | 0,80 | 0,80 |
| Gebouw3D | 29,92 | 45,48 | 2,10 | 9,07 | | | | 0 | 0 | 0 | 0 dB | False | 0,80 | 0,80 | 0,80 |
| Gebouw3D | 31,34 | 49,56 | 0,16 | 6,97 | | | | 0 | 0 | 0 | 0 dB | False | 0,80 | 0,80 | 0,80 |
| Gebouw3D | 25,71 | 41,02 | 5,89 | 6,97 | | | | 0 | 0 | 0 | 0 dB | False | 0,80 | 0,80 | 0,80 |
| Gebouw3D | 25,73 | 41,10 | 5,90 | 6,97 | | | | 0 | 0 | 0 | 0 dB | False | 0,80 | 0,80 | 0,80 |
| Gebouw3D | 13,77 | 11,84 | 3,35 | 3,51 | | | | 0 | 0 | 0 | 0 dB | False | 0,80 | 0,80 | 0,80 |
| Gebouw3D | 13,99 | 12,22 | 3,46 | 3,53 | | | | 0 | 0 | 0 | 0 dB | False | 0,80 | 0,80 | 0,80 |
| Gebouw3D | 18,75 | 20,34 | 3,36 | 5,98 | | | | 0 | 0 | 0 | 0 dB | False | 0,80 | 0,80 | 0,80 |
| Gebouw3D | 34,30 | 46,22 | 0,26 | 9,10 | | | | 0 | 0 | 0 | 0 dB | False | 0,80 | 0,80 | 0,80 |
| Gebouw3D | 42,59 | 75,23 | 3,23 | 8,21 | | | | 0 | 0 | 0 | 0 dB | False | 0,80 | 0,80 | 0,80 |
| Gebouw3D | 26,92 | 44,42 | 5,79 | 7,67 | | | | 0 | 0 | 0 | 0 dB | False | 0,80 | 0,80 | 0,80 |
| Gebouw3D | 12,18 | 9,11 | 0,27 | 3,44 | | | | 0 | 0 | 0 | 0 dB | False | 0,80 | 0,80 | 0,80 |
| Gebouw3D | 28,11 | 48,81 | 6,26 | 7,79 | | | | 0 | 0 | 0 | 0 dB | False | 0,80 | 0,80 | 0,80 |
| Gebouw3D | 26,80 | 43,92 | 5,72 | 7,68 | | | | 0 | 0 | 0 | 0 dB | False | 0,80 | 0,80 | 0,80 |
| Gebouw3D | 38,82 | 78,32 | 0,29 | 10,79 | | | | 0 | 0 | 0 | 0 dB | False | 0,80 | 0,80 | 0,80 |
| Gebouw3D | 47,58 | 102,37 | 2,64 | 17,18 | | | | 0 | 0 | 0 | 0 dB | False | 0,80 | 0,80 | 0,80 |
| Gebouw3D | 26,18 | 42,80 | 6,36 | 6,73 | | | | 0 | 0 | 0 | 0 dB | False | 0,80 | 0,80 | 0,80 |
| Gebouw3D | 26,25 | 43,02 | 6,36 | 6,76 | | | | 0 | 0 | 0 | 0 dB | False | 0,80 | 0,80 | 0,80 |
| Gebouw3D | 27,06 | 44,92 | 5,85 | 7,68 | | | | 0 | 0 | 0 | 0 dB | False | 0,80 | 0,80 | 0,80 |
| Gebouw3D | 39,48 | 64,80 | 0,10 | 6,93 | | | | 0 | 0 | 0 | 0 dB | False | 0,80 | 0,80 | 0,80 |
| Gebouw3D | 51,75 | 133,71 | 4,04 | 19,27 | | | | 0 | 0 | 0 | 0 dB | False | 0,80 | 0,80 | 0,80 |
| Gebouw3D | 16,94 | 16,51 | 3,04 | 5,43 | | | | 0 | 0 | 0 | 0 dB | False | 0,80 | 0,80 | 0,80 |
| Gebouw3D | 142,78 | 586,82 | 0,31 | 11,40 | | | | 0 | 0 | 0 | 0 dB | False | 0,80 | 0,80 | 0,80 |
| Gebouw3D | 36,97 | 50,21 | 0,15 | 12,97 | | | | 0 | 0 | 0 | 0 dB | False | 0,80 | 0,80 | 0,80 |
| Gebouw3D | 13,00 | 10,43 | 2,90 | 3,60 | | | | 0 | 0 | 0 | 0 dB | False | 0,80 | 0,80 | 0,80 |
| Gebouw3D | 12,87 | 10,34 | 3,11 | 3,32 | | | | 0 | 0 | 0 | 0 dB | False | 0,80 | 0,80 | 0,80 |
| Gebouw3D | 49,70 | 93,06 | 0,77 | 12,97 | | | | 0 | 0 | 0 | 0 dB | False | 0,80 | 0,80 | 0,80 |
| Gebouw3D | 49,11 | 101,98 | 3,00 | 12,91 | | | | 0 | 0 | 0 | 0 dB | False | 0,80 | 0,80 | 0,80 |
| Gebouw3D | 40,92 | 69,22 | 0,47 | 9,01 | | | | 0 | 0 | 0 | 0 dB | False | 0,80 | 0,80 | 0,80 |
| Gebouw3D | 75,60 | 160,47 | 3,49 | 9,40 | | | | 0 | 0 | 0 | 0 dB | False | 0,80 | 0,80 | 0,80 |
| Gebouw3D | 51,10 | 102,38 | 0,38 | 11,28 | | | | 0 | 0 | 0 | 0 dB | False | 0,80 | 0,80 | 0,80 |
| Gebouw3D | 44,70 | 80,54 | 3,30 | 9,40 | | | | 0 | 0 | 0 | 0 dB | False | 0,80 | 0,80 | 0,80 |
| Gebouw3D | 49,14 | 87,45 | 1,00 | 12,64 | | | | 0 | 0 | 0 | 0 dB | False | 0,80 | 0,80 | 0,80 |
| Gebouw3D | 46,48 | 81,43 | 0,12 | 12,64 | | | | 0 | 0 | 0 | 0 dB | False | 0,80 | 0,80 | 0,80 |
| Gebouw3D | 42,45 | 61,35 | 0,19 | 9,00 | | | | 0 | 0 | 0 | 0 dB | False | 0,80 | 0,80 | 0,80 |
| Gebouw3D | 47,05 | 77,29 | 3,01 | 9,01 | | | | 0 | 0 | 0 | 0 dB | False | 0,80 | 0,80 | 0,80 |

Model: Jager
Jager - Jager
Groep: (hoofdgroep)
Lijst van Gebouwen, voor rekenmethode Wegverkeerslawaai - RMW-2012

| Groep | Refl. 500 | Refl. 1k | Refl. 2k | Refl. 4k | Refl. 8k |
|---|---|---|---|---|---|
| Gebouw3D | 0,80 | 0,80 | 0,80 | 0,80 | 0,80 |
| Gebouw3D | 0,80 | 0,80 | 0,80 | 0,80 | 0,80 |
| Gebouw3D | 0,80 | 0,80 | 0,80 | 0,80 | 0,80 |
| Gebouw3D | 0,80 | 0,80 | 0,80 | 0,80 | 0,80 |
| Gebouw3D | 0,80 | 0,80 | 0,80 | 0,80 | 0,80 |
| Gebouw3D | 0,80 | 0,80 | 0,80 | 0,80 | 0,80 |
| Gebouw3D | 0,80 | 0,80 | 0,80 | 0,80 | 0,80 |
| Gebouw3D | 0,80 | 0,80 | 0,80 | 0,80 | 0,80 |
| Gebouw3D | 0,80 | 0,80 | 0,80 | 0,80 | 0,80 |
| Gebouw3D | 0,80 | 0,80 | 0,80 | 0,80 | 0,80 |
| Gebouw3D | 0,80 | 0,80 | 0,80 | 0,80 | 0,80 |
| Gebouw3D | 0,80 | 0,80 | 0,80 | 0,80 | 0,80 |
| Gebouw3D | 0,80 | 0,80 | 0,80 | 0,80 | 0,80 |
| Gebouw3D | 0,80 | 0,80 | 0,80 | 0,80 | 0,80 |
| Gebouw3D | 0,80 | 0,80 | 0,80 | 0,80 | 0,80 |
| Gebouw3D | 0,80 | 0,80 | 0,80 | 0,80 | 0,80 |
| Gebouw3D | 0,80 | 0,80 | 0,80 | 0,80 | 0,80 |
| Gebouw3D | 0,80 | 0,80 | 0,80 | 0,80 | 0,80 |
| Gebouw3D | 0,80 | 0,80 | 0,80 | 0,80 | 0,80 |
| Gebouw3D | 0,80 | 0,80 | 0,80 | 0,80 | 0,80 |
| Gebouw3D | 0,80 | 0,80 | 0,80 | 0,80 | 0,80 |
| Gebouw3D | 0,80 | 0,80 | 0,80 | 0,80 | 0,80 |
| Gebouw3D | 0,80 | 0,80 | 0,80 | 0,80 | 0,80 |
| Gebouw3D | 0,80 | 0,80 | 0,80 | 0,80 | 0,80 |
| Gebouw3D | 0,80 | 0,80 | 0,80 | 0,80 | 0,80 |
| Gebouw3D | 0,80 | 0,80 | 0,80 | 0,80 | 0,80 |
| Gebouw3D | 0,80 | 0,80 | 0,80 | 0,80 | 0,80 |
| Gebouw3D | 0,80 | 0,80 | 0,80 | 0,80 | 0,80 |
| Gebouw3D | 0,80 | 0,80 | 0,80 | 0,80 | 0,80 |
| Gebouw3D | 0,80 | 0,80 | 0,80 | 0,80 | 0,80 |
| Gebouw3D | 0,80 | 0,80 | 0,80 | 0,80 | 0,80 |
| Gebouw3D | 0,80 | 0,80 | 0,80 | 0,80 | 0,80 |

Model: Jager
Jager - Jager
Groep: (hoofdgroep)
Lijst van Gebouwen, voor rekenmethode Wegverkeerslawaai - RMW-2012

| Groep | ItemID | Grp.ID | Datum | Naam | Omschr. | Vorm | X-1 | Y-1 | Hoogte | Rel.H | Maaiveld | Hdef. | Vormpunten |
|---|---|---|---|---|---|---|---|---|---|---|---|---|---|
| Gebouw3D | 7627 | 1 | 08:58, 20 mrt 2020 | | | Polygoon | 247124,11 | 443361,90 | 8,90 | 8,90 | 0,00 | Relatief | 10 |
| Gebouw3D | 7628 | 1 | 08:58, 20 mrt 2020 | | | Polygoon | 247117,08 | 443372,11 | 8,70 | 8,70 | 0,00 | Relatief | 7 |
| Gebouw3D | 7629 | 1 | 08:58, 20 mrt 2020 | | | Polygoon | 247100,48 | 443376,22 | 8,70 | 8,70 | 0,00 | Relatief | 9 |
| Gebouw3D | 7630 | 1 | 08:58, 20 mrt 2020 | | | Polygoon | 247090,45 | 443367,13 | 8,80 | 8,80 | 0,00 | Relatief | 7 |
| Gebouw3D | 7631 | 1 | 08:58, 20 mrt 2020 | | | Polygoon | 247137,76 | 443373,91 | 2,50 | 2,50 | 0,00 | Relatief | 5 |
| Gebouw3D | 7632 | 1 | 08:58, 20 mrt 2020 | | | Polygoon | 247107,30 | 443364,51 | 8,60 | 8,60 | 0,00 | Relatief | 13 |
| Gebouw3D | 7633 | 1 | 08:58, 20 mrt 2020 | | | Polygoon | 247177,74 | 443330,97 | 8,80 | 8,80 | 0,00 | Relatief | 11 |
| Gebouw3D | 7634 | 1 | 08:58, 20 mrt 2020 | | | Polygoon | 247185,04 | 443346,76 | 2,50 | 2,50 | 0,00 | Relatief | 8 |
| Gebouw3D | 7635 | 1 | 08:58, 20 mrt 2020 | | | Polygoon | 247113,24 | 443317,90 | 8,90 | 8,90 | 0,00 | Relatief | 8 |
| Gebouw3D | 7636 | 1 | 08:58, 20 mrt 2020 | | | Polygoon | 247140,98 | 443359,27 | 9,00 | 9,00 | 0,00 | Relatief | 4 |
| Gebouw3D | 7637 | 1 | 08:58, 20 mrt 2020 | | | Polygoon | 247171,28 | 443324,64 | 8,70 | 8,70 | 0,00 | Relatief | 10 |
| Gebouw3D | 7638 | 1 | 08:58, 20 mrt 2020 | | | Polygoon | 247131,32 | 443232,01 | 4,80 | 4,80 | 0,00 | Relatief | 8 |
| Gebouw3D | 7639 | 1 | 08:58, 20 mrt 2020 | | | Polygoon | 247180,12 | 443277,08 | 2,60 | 2,60 | 0,00 | Relatief | 4 |
| Gebouw3D | 7640 | 1 | 08:58, 20 mrt 2020 | | | Polygoon | 247188,59 | 443235,42 | 0,00 | 0,00 | 0,00 | Relatief | 4 |
| Gebouw3D | 7641 | 1 | 08:58, 20 mrt 2020 | | | Polygoon | 247116,39 | 443329,33 | 8,60 | 8,60 | 0,00 | Relatief | 15 |
| Gebouw3D | 7642 | 1 | 08:58, 20 mrt 2020 | | | Polygoon | 247118,72 | 443630,09 | 2,20 | 2,20 | 0,00 | Relatief | 4 |
| Gebouw3D | 7643 | 1 | 08:58, 20 mrt 2020 | | | Polygoon | 247136,08 | 443630,73 | 2,40 | 2,40 | 0,00 | Relatief | 4 |
| Gebouw3D | 7644 | 1 | 08:58, 20 mrt 2020 | | | Polygoon | 247109,27 | 443630,92 | 2,20 | 2,20 | 0,00 | Relatief | 5 |
| Gebouw3D | 7645 | 1 | 08:58, 20 mrt 2020 | | | Polygoon | 247129,71 | 443630,91 | 2,20 | 2,20 | 0,00 | Relatief | 4 |
| Gebouw3D | 7646 | 1 | 08:58, 20 mrt 2020 | | | Polygoon | 247109,27 | 443630,92 | 2,20 | 2,20 | 0,00 | Relatief | 5 |
| Gebouw3D | 7647 | 1 | 08:58, 20 mrt 2020 | | | Polygoon | 247129,71 | 443630,91 | 2,20 | 2,20 | 0,00 | Relatief | 4 |
| Gebouw3D | 7648 | 1 | 08:58, 20 mrt 2020 | | | Polygoon | 247099,93 | 443632,03 | 2,50 | 2,50 | 0,00 | Relatief | 4 |
| Gebouw3D | 7649 | 1 | 08:58, 20 mrt 2020 | | | Polygoon | 247084,05 | 443633,00 | 2,30 | 2,30 | 0,00 | Relatief | 4 |
| Gebouw3D | 7650 | 1 | 08:58, 20 mrt 2020 | | | Polygoon | 247115,58 | 443647,27 | 7,30 | 7,30 | 0,00 | Relatief | 7 |
| Gebouw3D | 7651 | 1 | 08:58, 20 mrt 2020 | | | Polygoon | 247140,06 | 443639,85 | 7,40 | 7,40 | 0,00 | Relatief | 6 |
| Gebouw3D | 7652 | 1 | 08:58, 20 mrt 2020 | | | Polygoon | 247135,88 | 443645,18 | 7,40 | 7,40 | 0,00 | Relatief | 6 |
| Gebouw3D | 7653 | 1 | 08:58, 20 mrt 2020 | | | Polygoon | 247085,34 | 443645,20 | 7,30 | 7,30 | 0,00 | Relatief | 9 |
| Gebouw3D | 7654 | 1 | 08:58, 20 mrt 2020 | | | Polygoon | 247126,41 | 443646,14 | 7,40 | 7,40 | 0,00 | Relatief | 7 |
| Gebouw3D | 7655 | 1 | 08:58, 20 mrt 2020 | | | Polygoon | 247115,58 | 443647,27 | 7,40 | 7,40 | 0,00 | Relatief | 7 |
| Gebouw3D | 7656 | 1 | 08:58, 20 mrt 2020 | | | Polygoon | 247110,41 | 443642,65 | 7,40 | 7,40 | 0,00 | Relatief | 8 |
| Gebouw3D | 7657 | 1 | 08:58, 20 mrt 2020 | | | Polygoon | 247106,24 | 443648,19 | 7,40 | 7,40 | 0,00 | Relatief | 6 |
| Gebouw3D | 7658 | 1 | 08:58, 20 mrt 2020 | | | Polygoon | 247101,07 | 443643,66 | 7,50 | 7,50 | 0,00 | Relatief | 6 |
| Gebouw3D | 7659 | 1 | 08:58, 20 mrt 2020 | | | Polygoon | 247091,35 | 443657,43 | 7,40 | 7,40 | 0,00 | Relatief | 9 |
| Gebouw3D | 7660 | 1 | 08:58, 20 mrt 2020 | | | Polygoon | 247125,17 | 443631,76 | 2,60 | 2,60 | 0,00 | Relatief | 4 |
| Gebouw3D | 7661 | 1 | 08:58, 20 mrt 2020 | | | Polygoon | 247147,30 | 443632,40 | 2,60 | 2,60 | 0,00 | Relatief | 8 |
| Gebouw3D | 7662 | 1 | 08:58, 20 mrt 2020 | | | Polygoon | 247144,68 | 443644,29 | 7,40 | 7,40 | 0,00 | Relatief | 7 |

# Invoergegevens van het model

Model: Jager
Jager - Jager
Groep: (hoofdgroep)
Lijst van Gebouwen, voor rekenmethode Wegverkeerslawaai - RMW-2012

| Groep | Omtrek | Oppervlak | Min.lengte | Max.lengte | Functie | BAG-id | Gemeente | Jaar | AHN-jaar | Trust | Cp | Zwevend | Refl. 63 | Refl. 125 | Refl. 250 |
|---|---|---|---|---|---|---|---|---|---|---|---|---|---|---|---|
| Gebouw3D | 41,06 | 84,47 | 0,06 | 9,01 | | | | 0 | 0 | 0 | 0 dB | False | 0,80 | 0,80 | 0,80 |
| Gebouw3D | 41,01 | 75,11 | 2,99 | 12,01 | | | | 0 | 0 | 0 | 0 dB | False | 0,80 | 0,80 | 0,80 |
| Gebouw3D | 44,85 | 89,60 | 2,00 | 11,91 | | | | 0 | 0 | 0 | 0 dB | False | 0,80 | 0,80 | 0,80 |
| Gebouw3D | 41,29 | 84,99 | 3,18 | 11,91 | | | | 0 | 0 | 0 | 0 dB | False | 0,80 | 0,80 | 0,80 |
| Gebouw3D | 10,20 | 6,21 | 0,05 | 3,10 | | | | 0 | 0 | 0 | 0 dB | False | 0,80 | 0,80 | 0,80 |
| Gebouw3D | 51,04 | 87,65 | 0,71 | 12,01 | | | | 0 | 0 | 0 | 0 dB | False | 0,80 | 0,80 | 0,80 |
| Gebouw3D | 40,83 | 67,97 | 0,01 | 6,18 | | | | 0 | 0 | 0 | 0 dB | False | 0,80 | 0,80 | 0,80 |
| Gebouw3D | 17,38 | 17,91 | 0,66 | 4,19 | | | | 0 | 0 | 0 | 0 dB | False | 0,80 | 0,80 | 0,80 |
| Gebouw3D | 37,26 | 60,83 | 1,20 | 9,01 | | | | 0 | 0 | 0 | 0 dB | False | 0,80 | 0,80 | 0,80 |
| Gebouw3D | 29,03 | 49,63 | 5,51 | 9,00 | | | | 0 | 0 | 0 | 0 dB | False | 0,80 | 0,80 | 0,80 |
| Gebouw3D | 42,81 | 80,14 | 0,01 | 12,91 | | | | 0 | 0 | 0 | 0 dB | False | 0,80 | 0,80 | 0,80 |
| Gebouw3D | 108,30 | 468,32 | 4,51 | 24,83 | | | | 0 | 0 | 0 | 0 dB | False | 0,80 | 0,80 | 0,80 |
| Gebouw3D | 16,86 | 16,49 | 3,08 | 5,37 | | | | 0 | 0 | 0 | 0 dB | False | 0,80 | 0,80 | 0,80 |
| Gebouw3D | 17,02 | 16,73 | 3,08 | 5,42 | | | | 0 | 0 | 0 | 0 dB | False | 0,80 | 0,80 | 0,80 |
| Gebouw3D | 59,85 | 105,19 | 0,33 | 11,28 | | | | 0 | 0 | 0 | 0 dB | False | 0,80 | 0,80 | 0,80 |
| Gebouw3D | 12,43 | 9,65 | 3,03 | 3,19 | | | | 0 | 0 | 0 | 0 dB | False | 0,80 | 0,80 | 0,80 |
| Gebouw3D | 25,04 | 30,07 | 3,24 | 9,28 | | | | 0 | 0 | 0 | 0 dB | False | 0,80 | 0,80 | 0,80 |
| Gebouw3D | 12,52 | 9,78 | 0,04 | 3,26 | | | | 0 | 0 | 0 | 0 dB | False | 0,80 | 0,80 | 0,80 |
| Gebouw3D | 12,09 | 9,13 | 2,98 | 3,06 | | | | 0 | 0 | 0 | 0 dB | False | 0,80 | 0,80 | 0,80 |
| Gebouw3D | 11,44 | 8,15 | 0,04 | 3,00 | | | | 0 | 0 | 0 | 0 dB | False | 0,80 | 0,80 | 0,80 |
| Gebouw3D | 12,20 | 9,30 | 3,03 | 3,06 | | | | 0 | 0 | 0 | 0 dB | False | 0,80 | 0,80 | 0,80 |
| Gebouw3D | 18,53 | 21,46 | 4,55 | 4,76 | | | | 0 | 0 | 0 | 0 dB | False | 0,80 | 0,80 | 0,80 |
| Gebouw3D | 15,63 | 14,68 | 3,14 | 4,70 | | | | 0 | 0 | 0 | 0 dB | False | 0,80 | 0,80 | 0,80 |
| Gebouw3D | 41,72 | 57,25 | 2,29 | 8,17 | | | | 0 | 0 | 0 | 0 dB | False | 0,80 | 0,80 | 0,80 |
| Gebouw3D | 34,85 | 47,23 | 2,13 | 12,72 | | | | 0 | 0 | 0 | 0 dB | False | 0,80 | 0,80 | 0,80 |
| Gebouw3D | 35,17 | 48,07 | 2,22 | 12,89 | | | | 0 | 0 | 0 | 0 dB | False | 0,80 | 0,80 | 0,80 |
| Gebouw3D | 43,88 | 53,16 | 0,04 | 12,75 | | | | 0 | 0 | 0 | 0 dB | False | 0,80 | 0,80 | 0,80 |
| Gebouw3D | 35,56 | 49,31 | 2,21 | 7,84 | | | | 0 | 0 | 0 | 0 dB | False | 0,80 | 0,80 | 0,80 |
| Gebouw3D | 35,20 | 46,54 | 1,93 | 7,80 | | | | 0 | 0 | 0 | 0 dB | False | 0,80 | 0,80 | 0,80 |
| Gebouw3D | 35,20 | 47,13 | 0,02 | 7,80 | | | | 0 | 0 | 0 | 0 dB | False | 0,80 | 0,80 | 0,80 |
| Gebouw3D | 35,03 | 45,64 | 1,79 | 12,81 | | | | 0 | 0 | 0 | 0 dB | False | 0,80 | 0,80 | 0,80 |
| Gebouw3D | 35,60 | 49,59 | 2,14 | 12,81 | | | | 0 | 0 | 0 | 0 dB | False | 0,80 | 0,80 | 0,80 |
| Gebouw3D | 35,65 | 48,73 | 0,04 | 7,73 | | | | 0 | 0 | 0 | 0 dB | False | 0,80 | 0,80 | 0,80 |
| Gebouw3D | 15,16 | 12,98 | 2,58 | 4,97 | | | | 0 | 0 | 0 | 0 dB | False | 0,80 | 0,80 | 0,80 |
| Gebouw3D | 27,03 | 37,06 | 0,07 | 7,71 | | | | 0 | 0 | 0 | 0 dB | False | 0,80 | 0,80 | 0,80 |
| Gebouw3D | 35,28 | 48,51 | 0,77 | 12,72 | | | | 0 | 0 | 0 | 0 dB | False | 0,80 | 0,80 | 0,80 |

Model: Jager
Jager - Jager
Groep: (hoofdgroep)
Lijst van Gebouwen, voor rekenmethode Wegverkeerslawaai - RMW-2012

| Groep | Refl. 500 | Refl. 1k | Refl. 2k | Refl. 4k | Refl. 8k |
|---|---|---|---|---|---|
| Gebouw3D | 0,80 | 0,80 | 0,80 | 0,80 | 0,80 |
| Gebouw3D | 0,80 | 0,80 | 0,80 | 0,80 | 0,80 |
| Gebouw3D | 0,80 | 0,80 | 0,80 | 0,80 | 0,80 |
| Gebouw3D | 0,80 | 0,80 | 0,80 | 0,80 | 0,80 |
| Gebouw3D | 0,80 | 0,80 | 0,80 | 0,80 | 0,80 |
| Gebouw3D | 0,80 | 0,80 | 0,80 | 0,80 | 0,80 |
| Gebouw3D | 0,80 | 0,80 | 0,80 | 0,80 | 0,80 |
| Gebouw3D | 0,80 | 0,80 | 0,80 | 0,80 | 0,80 |
| Gebouw3D | 0,80 | 0,80 | 0,80 | 0,80 | 0,80 |
| Gebouw3D | 0,80 | 0,80 | 0,80 | 0,80 | 0,80 |
| Gebouw3D | 0,80 | 0,80 | 0,80 | 0,80 | 0,80 |
| Gebouw3D | 0,80 | 0,80 | 0,80 | 0,80 | 0,80 |
| Gebouw3D | 0,80 | 0,80 | 0,80 | 0,80 | 0,80 |
| Gebouw3D | 0,80 | 0,80 | 0,80 | 0,80 | 0,80 |
| Gebouw3D | 0,80 | 0,80 | 0,80 | 0,80 | 0,80 |
| Gebouw3D | 0,80 | 0,80 | 0,80 | 0,80 | 0,80 |
| Gebouw3D | 0,80 | 0,80 | 0,80 | 0,80 | 0,80 |
| Gebouw3D | 0,80 | 0,80 | 0,80 | 0,80 | 0,80 |
| Gebouw3D | 0,80 | 0,80 | 0,80 | 0,80 | 0,80 |
| Gebouw3D | 0,80 | 0,80 | 0,80 | 0,80 | 0,80 |
| Gebouw3D | 0,80 | 0,80 | 0,80 | 0,80 | 0,80 |
| Gebouw3D | 0,80 | 0,80 | 0,80 | 0,80 | 0,80 |
| Gebouw3D | 0,80 | 0,80 | 0,80 | 0,80 | 0,80 |
| Gebouw3D | 0,80 | 0,80 | 0,80 | 0,80 | 0,80 |
| Gebouw3D | 0,80 | 0,80 | 0,80 | 0,80 | 0,80 |
| Gebouw3D | 0,80 | 0,80 | 0,80 | 0,80 | 0,80 |
| Gebouw3D | 0,80 | 0,80 | 0,80 | 0,80 | 0,80 |
| Gebouw3D | 0,80 | 0,80 | 0,80 | 0,80 | 0,80 |
| Gebouw3D | 0,80 | 0,80 | 0,80 | 0,80 | 0,80 |
| Gebouw3D | 0,80 | 0,80 | 0,80 | 0,80 | 0,80 |
| Gebouw3D | 0,80 | 0,80 | 0,80 | 0,80 | 0,80 |
| Gebouw3D | 0,80 | 0,80 | 0,80 | 0,80 | 0,80 |

Model: Jager
Jager - Jager
Groep: (hoofdgroep)
Lijst van Gebouwen, voor rekenmethode Wegverkeerslawaai - RMW-2012

| Groep | ItemID | Grp.ID | Datum | Naam | Omschr. | Vorm | X-1 | Y-1 | Hoogte | Rel.H | Maaiveld | Hdef. | Vormpunten |
|---|---|---|---|---|---|---|---|---|---|---|---|---|---|
| Gebouw3D | 7663 | 1 | 08:58, 20 mrt 2020 | | | Polygoon | 247099,93 | 443632,03 | 2,50 | 2,50 | 0,00 | Relatief | 4 |
| Gebouw3D | 7664 | 1 | 08:58, 20 mrt 2020 | | | Polygoon | 247130,69 | 443640,63 | 7,50 | 7,50 | 0,00 | Relatief | 6 |
| Gebouw3D | 7665 | 1 | 08:58, 20 mrt 2020 | | | Polygoon | 247125,47 | 443674,00 | 7,20 | 7,20 | 0,00 | Relatief | 10 |
| Gebouw3D | 7666 | 1 | 08:58, 20 mrt 2020 | | | Polygoon | 247125,47 | 443674,00 | 7,60 | 7,60 | 0,00 | Relatief | 8 |
| Gebouw3D | 7667 | 1 | 08:58, 20 mrt 2020 | | | Polygoon | 247113,98 | 443675,13 | 7,50 | 7,50 | 0,00 | Relatief | 6 |
| Gebouw3D | 7668 | 1 | 08:58, 20 mrt 2020 | | | Polygoon | 247109,01 | 443675,63 | 7,50 | 7,50 | 0,00 | Relatief | 8 |
| Gebouw3D | 7669 | 1 | 08:58, 20 mrt 2020 | | | Polygoon | 247104,00 | 443676,14 | 7,60 | 7,60 | 0,00 | Relatief | 7 |
| Gebouw3D | 7670 | 1 | 08:58, 20 mrt 2020 | | | Polygoon | 247099,02 | 443676,64 | 7,60 | 7,60 | 0,00 | Relatief | 7 |
| Gebouw3D | 7671 | 1 | 08:58, 20 mrt 2020 | | | Polygoon | 247127,40 | 443691,28 | 2,20 | 2,20 | 0,00 | Relatief | 4 |
| Gebouw3D | 7672 | 1 | 08:58, 20 mrt 2020 | | | Polygoon | 247127,40 | 443691,28 | 2,30 | 2,30 | 0,00 | Relatief | 5 |
| Gebouw3D | 7673 | 1 | 08:58, 20 mrt 2020 | | | Polygoon | 247115,36 | 443692,60 | 2,30 | 2,30 | 0,00 | Relatief | 4 |
| Gebouw3D | 7674 | 1 | 08:58, 20 mrt 2020 | | | Polygoon | 247110,87 | 443694,02 | 2,30 | 2,30 | 0,00 | Relatief | 4 |
| Gebouw3D | 7675 | 1 | 08:58, 20 mrt 2020 | | | Polygoon | 247110,87 | 443694,02 | 2,40 | 2,40 | 0,00 | Relatief | 4 |
| Gebouw3D | 7676 | 1 | 08:58, 20 mrt 2020 | | | Polygoon | 247100,70 | 443694,95 | 2,40 | 2,40 | 0,00 | Relatief | 4 |
| Gebouw3D | 7677 | 1 | 08:58, 20 mrt 2020 | | | Polygoon | 247133,28 | 443695,40 | 2,10 | 2,10 | 0,00 | Relatief | 5 |
| Gebouw3D | 7678 | 1 | 08:58, 20 mrt 2020 | | | Polygoon | 247100,70 | 443694,95 | 2,30 | 2,30 | 0,00 | Relatief | 4 |
| Gebouw3D | 7679 | 1 | 08:58, 20 mrt 2020 | | | Polygoon | 247133,28 | 443695,40 | 2,20 | 2,20 | 0,00 | Relatief | 5 |
| Gebouw3D | 7680 | 1 | 08:58, 20 mrt 2020 | | | Polygoon | 247123,56 | 443699,47 | 2,30 | 2,30 | 0,00 | Relatief | 9 |
| Gebouw3D | 7681 | 1 | 08:58, 20 mrt 2020 | | | Polygoon | 247123,27 | 443696,38 | 2,30 | 2,30 | 0,00 | Relatief | 5 |
| Gebouw3D | 7682 | 1 | 08:58, 20 mrt 2020 | | | Polygoon | 247136,22 | 443704,67 | 3,20 | 3,20 | 0,00 | Relatief | 4 |
| Gebouw3D | 7683 | 1 | 08:58, 20 mrt 2020 | | | Polygoon | 247113,57 | 443701,04 | 2,20 | 2,20 | 0,00 | Relatief | 4 |
| Gebouw3D | 7684 | 1 | 08:58, 20 mrt 2020 | | | Polygoon | 247113,57 | 443701,04 | 2,30 | 2,30 | 0,00 | Relatief | 4 |
| Gebouw3D | 7685 | 1 | 08:58, 20 mrt 2020 | | | Polygoon | 247136,18 | 443705,14 | 7,40 | 7,40 | 0,00 | Relatief | 6 |
| Gebouw3D | 7686 | 1 | 08:58, 20 mrt 2020 | | | Polygoon | 247099,85 | 443705,97 | 2,20 | 2,20 | 0,00 | Relatief | 4 |
| Gebouw3D | 7687 | 1 | 08:58, 20 mrt 2020 | | | Polygoon | 247136,18 | 443705,14 | 7,40 | 7,40 | 0,00 | Relatief | 6 |
| Gebouw3D | 7688 | 1 | 08:58, 20 mrt 2020 | | | Polygoon | 247093,36 | 443708,27 | 2,20 | 2,20 | 0,00 | Relatief | 4 |
| Gebouw3D | 7689 | 1 | 08:58, 20 mrt 2020 | | | Polygoon | 247133,29 | 443711,70 | 7,60 | 7,60 | 0,00 | Relatief | 6 |
| Gebouw3D | 7690 | 1 | 08:58, 20 mrt 2020 | | | Polygoon | 247093,36 | 443708,27 | 2,30 | 2,30 | 0,00 | Relatief | 4 |
| Gebouw3D | 7691 | 1 | 08:58, 20 mrt 2020 | | | Polygoon | 247126,84 | 443708,46 | 7,60 | 7,60 | 0,00 | Relatief | 6 |
| Gebouw3D | 7692 | 1 | 08:58, 20 mrt 2020 | | | Polygoon | 247084,09 | 443711,79 | 2,20 | 2,20 | 0,00 | Relatief | 4 |
| Gebouw3D | 7693 | 1 | 08:58, 20 mrt 2020 | | | Polygoon | 247123,99 | 443715,09 | 7,60 | 7,60 | 0,00 | Relatief | 7 |
| Gebouw3D | 7694 | 1 | 08:58, 20 mrt 2020 | | | Polygoon | 247117,52 | 443711,85 | 7,40 | 7,40 | 0,00 | Relatief | 7 |
| Gebouw3D | 7695 | 1 | 08:58, 20 mrt 2020 | | | Polygoon | 247114,68 | 443718,49 | 7,60 | 7,60 | 0,00 | Relatief | 10 |
| Gebouw3D | 7696 | 1 | 08:58, 20 mrt 2020 | | | Polygoon | 247109,32 | 443720,45 | 7,70 | 7,70 | 0,00 | Relatief | 10 |
| Gebouw3D | 7697 | 1 | 08:58, 20 mrt 2020 | | | Polygoon | 247103,77 | 443722,48 | 7,50 | 7,50 | 0,00 | Relatief | 7 |
| Gebouw3D | 7698 | 1 | 08:58, 20 mrt 2020 | | | Polygoon | 247097,32 | 443719,22 | 7,50 | 7,50 | 0,00 | Relatief | 8 |

# Invoergegevens van het model

Model: Jager
Jager - Jager
Groep: (hoofdgroep)
Lijst van Gebouwen, voor rekenmethode Wegverkeerslawaai - RMW-2012

| Groep | Omtrek | Oppervlak | Min.lengte | Max.lengte | Functie | BAG-id | Gemeente | Jaar | AHN-jaar | Trust | Cp | Zwevend | Refl. 63 | Refl. 125 | Refl. 250 |
|---|---|---|---|---|---|---|---|---|---|---|---|---|---|---|---|
| Gebouw3D | 19,64 | 23,97 | 4,55 | 5,31 | | | | 0 | 0 | 0 | 0 dB | False | 0,80 | 0,80 | 0,80 |
| Gebouw3D | 35,41 | 48,06 | 2,04 | 12,89 | | | | 0 | 0 | 0 | 0 dB | False | 0,80 | 0,80 | 0,80 |
| Gebouw3D | 40,00 | 76,88 | 0,35 | 7,22 | | | | 0 | 0 | 0 | 0 dB | False | 0,80 | 0,80 | 0,80 |
| Gebouw3D | 31,08 | 43,39 | 0,74 | 7,22 | | | | 0 | 0 | 0 | 0 dB | False | 0,80 | 0,80 | 0,80 |
| Gebouw3D | 31,56 | 51,92 | 0,91 | 10,58 | | | | 0 | 0 | 0 | 0 dB | False | 0,80 | 0,80 | 0,80 |
| Gebouw3D | 36,55 | 49,18 | 0,15 | 10,60 | | | | 0 | 0 | 0 | 0 dB | False | 0,80 | 0,80 | 0,80 |
| Gebouw3D | 30,79 | 42,29 | 0,07 | 10,32 | | | | 0 | 0 | 0 | 0 dB | False | 0,80 | 0,80 | 0,80 |
| Gebouw3D | 31,18 | 44,05 | 0,07 | 10,32 | | | | 0 | 0 | 0 | 0 dB | False | 0,80 | 0,80 | 0,80 |
| Gebouw3D | 24,84 | 27,58 | 2,90 | 9,53 | | | | 0 | 0 | 0 | 0 dB | False | 0,80 | 0,80 | 0,80 |
| Gebouw3D | 14,84 | 13,09 | 0,17 | 4,53 | | | | 0 | 0 | 0 | 0 dB | False | 0,80 | 0,80 | 0,80 |
| Gebouw3D | 16,84 | 16,12 | 2,95 | 5,47 | | | | 0 | 0 | 0 | 0 dB | False | 0,80 | 0,80 | 0,80 |
| Gebouw3D | 11,60 | 8,41 | 2,86 | 2,98 | | | | 0 | 0 | 0 | 0 dB | False | 0,80 | 0,80 | 0,80 |
| Gebouw3D | 13,79 | 11,53 | 2,86 | 4,07 | | | | 0 | 0 | 0 | 0 dB | False | 0,80 | 0,80 | 0,80 |
| Gebouw3D | 11,44 | 8,18 | 2,84 | 2,89 | | | | 0 | 0 | 0 | 0 dB | False | 0,80 | 0,80 | 0,80 |
| Gebouw3D | 21,04 | 22,98 | 0,36 | 7,50 | | | | 0 | 0 | 0 | 0 dB | False | 0,80 | 0,80 | 0,80 |
| Gebouw3D | 18,39 | 17,97 | 2,78 | 6,39 | | | | 0 | 0 | 0 | 0 dB | False | 0,80 | 0,80 | 0,80 |
| Gebouw3D | 13,22 | 10,75 | 0,36 | 3,60 | | | | 0 | 0 | 0 | 0 dB | False | 0,80 | 0,80 | 0,80 |
| Gebouw3D | 11,91 | 8,52 | 0,12 | 3,11 | | | | 0 | 0 | 0 | 0 dB | False | 0,80 | 0,80 | 0,80 |
| Gebouw3D | 12,80 | 10,19 | 0,10 | 3,31 | | | | 0 | 0 | 0 | 0 dB | False | 0,80 | 0,80 | 0,80 |
| Gebouw3D | 15,58 | 13,18 | 2,48 | 5,31 | | | | 0 | 0 | 0 | 0 dB | False | 0,80 | 0,80 | 0,80 |
| Gebouw3D | 13,45 | 11,12 | 2,94 | 3,81 | | | | 0 | 0 | 0 | 0 dB | False | 0,80 | 0,80 | 0,80 |
| Gebouw3D | 12,35 | 9,51 | 2,94 | 3,26 | | | | 0 | 0 | 0 | 0 dB | False | 0,80 | 0,80 | 0,80 |
| Gebouw3D | 35,69 | 48,83 | 1,96 | 12,72 | | | | 0 | 0 | 0 | 0 dB | False | 0,80 | 0,80 | 0,80 |
| Gebouw3D | 12,24 | 9,37 | 3,06 | 3,07 | | | | 0 | 0 | 0 | 0 dB | False | 0,80 | 0,80 | 0,80 |
| Gebouw3D | 35,37 | 49,40 | 2,30 | 12,72 | | | | 0 | 0 | 0 | 0 dB | False | 0,80 | 0,80 | 0,80 |
| Gebouw3D | 11,85 | 8,76 | 2,85 | 3,07 | | | | 0 | 0 | 0 | 0 dB | False | 0,80 | 0,80 | 0,80 |
| Gebouw3D | 35,49 | 47,69 | 1,98 | 12,80 | | | | 0 | 0 | 0 | 0 dB | False | 0,80 | 0,80 | 0,80 |
| Gebouw3D | 12,45 | 9,69 | 3,07 | 3,16 | | | | 0 | 0 | 0 | 0 dB | False | 0,80 | 0,80 | 0,80 |
| Gebouw3D | 35,52 | 49,88 | 2,37 | 12,80 | | | | 0 | 0 | 0 | 0 dB | False | 0,80 | 0,80 | 0,80 |
| Gebouw3D | 18,24 | 20,67 | 4,19 | 4,97 | | | | 0 | 0 | 0 | 0 dB | False | 0,80 | 0,80 | 0,80 |
| Gebouw3D | 35,56 | 47,45 | 1,90 | 10,00 | | | | 0 | 0 | 0 | 0 dB | False | 0,80 | 0,80 | 0,80 |
| Gebouw3D | 35,54 | 50,01 | 2,40 | 10,00 | | | | 0 | 0 | 0 | 0 dB | False | 0,80 | 0,80 | 0,80 |
| Gebouw3D | 36,84 | 54,57 | 0,52 | 7,55 | | | | 0 | 0 | 0 | 0 dB | False | 0,80 | 0,80 | 0,80 |
| Gebouw3D | 37,27 | 55,90 | 0,24 | 7,55 | | | | 0 | 0 | 0 | 0 dB | False | 0,80 | 0,80 | 0,80 |
| Gebouw3D | 35,54 | 48,51 | 2,09 | 7,55 | | | | 0 | 0 | 0 | 0 dB | False | 0,80 | 0,80 | 0,80 |
| Gebouw3D | 35,58 | 48,70 | 0,02 | 7,55 | | | | 0 | 0 | 0 | 0 dB | False | 0,80 | 0,80 | 0,80 |

Model: Jager
Jager - Jager
Groep: (hoofdgroep)
Lijst van Gebouwen, voor rekenmethode Wegverkeerslawaai - RMW-2012

| Groep | Refl. 500 | Refl. 1k | Refl. 2k | Refl. 4k | Refl. 8k |
|---|---|---|---|---|---|
| Gebouw3D | 0,80 | 0,80 | 0,80 | 0,80 | 0,80 |
| Gebouw3D | 0,80 | 0,80 | 0,80 | 0,80 | 0,80 |
| Gebouw3D | 0,80 | 0,80 | 0,80 | 0,80 | 0,80 |
| Gebouw3D | 0,80 | 0,80 | 0,80 | 0,80 | 0,80 |
| Gebouw3D | 0,80 | 0,80 | 0,80 | 0,80 | 0,80 |
| Gebouw3D | 0,80 | 0,80 | 0,80 | 0,80 | 0,80 |
| Gebouw3D | 0,80 | 0,80 | 0,80 | 0,80 | 0,80 |
| Gebouw3D | 0,80 | 0,80 | 0,80 | 0,80 | 0,80 |
| Gebouw3D | 0,80 | 0,80 | 0,80 | 0,80 | 0,80 |
| Gebouw3D | 0,80 | 0,80 | 0,80 | 0,80 | 0,80 |
| Gebouw3D | 0,80 | 0,80 | 0,80 | 0,80 | 0,80 |
| Gebouw3D | 0,80 | 0,80 | 0,80 | 0,80 | 0,80 |
| Gebouw3D | 0,80 | 0,80 | 0,80 | 0,80 | 0,80 |
| Gebouw3D | 0,80 | 0,80 | 0,80 | 0,80 | 0,80 |
| Gebouw3D | 0,80 | 0,80 | 0,80 | 0,80 | 0,80 |
| Gebouw3D | 0,80 | 0,80 | 0,80 | 0,80 | 0,80 |
| Gebouw3D | 0,80 | 0,80 | 0,80 | 0,80 | 0,80 |
| Gebouw3D | 0,80 | 0,80 | 0,80 | 0,80 | 0,80 |
| Gebouw3D | 0,80 | 0,80 | 0,80 | 0,80 | 0,80 |
| Gebouw3D | 0,80 | 0,80 | 0,80 | 0,80 | 0,80 |
| Gebouw3D | 0,80 | 0,80 | 0,80 | 0,80 | 0,80 |
| Gebouw3D | 0,80 | 0,80 | 0,80 | 0,80 | 0,80 |
| Gebouw3D | 0,80 | 0,80 | 0,80 | 0,80 | 0,80 |
| Gebouw3D | 0,80 | 0,80 | 0,80 | 0,80 | 0,80 |
| Gebouw3D | 0,80 | 0,80 | 0,80 | 0,80 | 0,80 |
| Gebouw3D | 0,80 | 0,80 | 0,80 | 0,80 | 0,80 |
| Gebouw3D | 0,80 | 0,80 | 0,80 | 0,80 | 0,80 |
| Gebouw3D | 0,80 | 0,80 | 0,80 | 0,80 | 0,80 |
| Gebouw3D | 0,80 | 0,80 | 0,80 | 0,80 | 0,80 |
| Gebouw3D | 0,80 | 0,80 | 0,80 | 0,80 | 0,80 |
| Gebouw3D | 0,80 | 0,80 | 0,80 | 0,80 | 0,80 |
| Gebouw3D | 0,80 | 0,80 | 0,80 | 0,80 | 0,80 |

# Invoergegevens van het model

Model: Jager
Jager - Jager
Groep: (hoofdgroep)
Lijst van Gebouwen, voor rekenmethode Wegverkeerslawaai - RMW-2012

| Groep | ItemID | Grp.ID | Datum | Naam | Omschr. | Vorm | X-1 | Y-1 | Hoogte | Rel.H | Maaiveld | Hdef. | Vormpunten |
|---|---|---|---|---|---|---|---|---|---|---|---|---|---|
| Gebouw3D | 7699 | 1 | 08:58, 20 mrt 2020 | | | Polygoon | 247089,26 | 443696,21 | 3,40 | 3,40 | 0,00 | Relatief | 4 |
| Gebouw3D | 7700 | 1 | 08:58, 20 mrt 2020 | | | Polygoon | 247106,92 | 443703,33 | 2,20 | 2,20 | 0,00 | Relatief | 4 |
| Gebouw3D | 7701 | 1 | 08:58, 20 mrt 2020 | | | Polygoon | 247113,98 | 443675,13 | 7,50 | 7,50 | 0,00 | Relatief | 8 |
| Gebouw3D | 7702 | 1 | 08:58, 20 mrt 2020 | | | Polygoon | 247158,62 | 443386,91 | 8,70 | 8,70 | 0,00 | Relatief | 10 |
| Gebouw3D | 7703 | 1 | 08:58, 20 mrt 2020 | | | Polygoon | 247132,58 | 443396,00 | 8,80 | 8,80 | 0,00 | Relatief | 8 |
| Gebouw3D | 7704 | 1 | 08:58, 20 mrt 2020 | | | Polygoon | 247105,42 | 443396,75 | 8,70 | 8,70 | 0,00 | Relatief | 7 |
| Gebouw3D | 7705 | 1 | 08:58, 20 mrt 2020 | | | Polygoon | 247176,20 | 443412,81 | 7,50 | 7,50 | 0,00 | Relatief | 4 |
| Gebouw3D | 7706 | 1 | 08:58, 20 mrt 2020 | | | Polygoon | 247156,85 | 443429,28 | 7,80 | 7,80 | 0,00 | Relatief | 7 |
| Gebouw3D | 7707 | 1 | 08:58, 20 mrt 2020 | | | Polygoon | 247147,77 | 443418,18 | 6,50 | 6,50 | 0,00 | Relatief | 8 |
| Gebouw3D | 7708 | 1 | 08:58, 20 mrt 2020 | | | Polygoon | 247139,54 | 443419,53 | 6,50 | 6,50 | 0,00 | Relatief | 4 |
| Gebouw3D | 7709 | 1 | 08:58, 20 mrt 2020 | | | Polygoon | 247107,74 | 443436,20 | 7,40 | 7,40 | 0,00 | Relatief | 7 |
| Gebouw3D | 7710 | 1 | 08:58, 20 mrt 2020 | | | Polygoon | 247102,21 | 443424,31 | 7,40 | 7,40 | 0,00 | Relatief | 9 |
| Gebouw3D | 7711 | 1 | 08:58, 20 mrt 2020 | | | Polygoon | 247167,83 | 443434,93 | 2,60 | 2,60 | 0,00 | Relatief | 4 |
| Gebouw3D | 7712 | 1 | 08:58, 20 mrt 2020 | | | Polygoon | 247092,55 | 443425,71 | 7,10 | 7,10 | 0,00 | Relatief | 8 |
| Gebouw3D | 7713 | 1 | 08:58, 20 mrt 2020 | | | Polygoon | 247127,39 | 443433,68 | 2,80 | 2,80 | 0,00 | Relatief | 6 |
| Gebouw3D | 7714 | 1 | 08:58, 20 mrt 2020 | | | Polygoon | 247165,52 | 443441,31 | 6,00 | 6,00 | 0,00 | Relatief | 6 |
| Gebouw3D | 7715 | 1 | 08:58, 20 mrt 2020 | | | Polygoon | 247152,28 | 443451,48 | 6,70 | 6,70 | 0,00 | Relatief | 9 |
| Gebouw3D | 7716 | 1 | 08:58, 20 mrt 2020 | | | Polygoon | 247134,09 | 443445,92 | 7,30 | 7,30 | 0,00 | Relatief | 4 |
| Gebouw3D | 7717 | 1 | 08:58, 20 mrt 2020 | | | Polygoon | 247115,71 | 443446,68 | 6,90 | 6,90 | 0,00 | Relatief | 8 |
| Gebouw3D | 7718 | 1 | 08:58, 20 mrt 2020 | | | Polygoon | 247099,47 | 443447,86 | 7,20 | 7,20 | 0,00 | Relatief | 8 |
| Gebouw3D | 7719 | 1 | 08:58, 20 mrt 2020 | | | Polygoon | 247156,25 | 443451,73 | 4,20 | 4,20 | 0,00 | Relatief | 6 |
| Gebouw3D | 7720 | 1 | 08:58, 20 mrt 2020 | | | Polygoon | 247091,78 | 443456,52 | 3,00 | 3,00 | 0,00 | Relatief | 4 |
| Gebouw3D | 7721 | 1 | 08:58, 20 mrt 2020 | | | Polygoon | 247145,35 | 443458,90 | 3,30 | 3,30 | 0,00 | Relatief | 6 |
| Gebouw3D | 7722 | 1 | 08:58, 20 mrt 2020 | | | Polygoon | 247133,92 | 443458,25 | 3,10 | 3,10 | 0,00 | Relatief | 4 |
| Gebouw3D | 7723 | 1 | 08:58, 20 mrt 2020 | | | Polygoon | 247160,64 | 443466,21 | 3,50 | 3,50 | 0,00 | Relatief | 4 |
| Gebouw3D | 7724 | 1 | 08:58, 20 mrt 2020 | | | Polygoon | 247144,22 | 443466,09 | 2,60 | 2,60 | 0,00 | Relatief | 4 |
| Gebouw3D | 7725 | 1 | 08:58, 20 mrt 2020 | | | Polygoon | 247135,66 | 443464,06 | 2,00 | 2,00 | 0,00 | Relatief | 4 |
| Gebouw3D | 7726 | 1 | 08:58, 20 mrt 2020 | | | Polygoon | 247125,36 | 443464,64 | 3,40 | 3,40 | 0,00 | Relatief | 8 |
| Gebouw3D | 7727 | 1 | 08:58, 20 mrt 2020 | | | Polygoon | 247112,02 | 443466,20 | 2,30 | 2,30 | 0,00 | Relatief | 4 |
| Gebouw3D | 7728 | 1 | 08:58, 20 mrt 2020 | | | Polygoon | 247109,69 | 443472,20 | 2,80 | 2,80 | 0,00 | Relatief | 4 |
| Gebouw3D | 7729 | 1 | 08:58, 20 mrt 2020 | | | Polygoon | 247119,25 | 443477,76 | 7,20 | 7,20 | 0,00 | Relatief | 10 |
| Gebouw3D | 7730 | 1 | 08:58, 20 mrt 2020 | | | Polygoon | 247135,79 | 443493,36 | 8,40 | 8,40 | 0,00 | Relatief | 11 |
| Gebouw3D | 7731 | 1 | 08:58, 20 mrt 2020 | | | Polygoon | 247164,41 | 443482,29 | 4,60 | 4,60 | 0,00 | Relatief | 6 |
| Gebouw3D | 7732 | 1 | 08:58, 20 mrt 2020 | | | Polygoon | 247119,44 | 443494,90 | 8,70 | 8,70 | 0,00 | Relatief | 7 |
| Gebouw3D | 7733 | 1 | 08:58, 20 mrt 2020 | | | Polygoon | 247140,80 | 443494,79 | 8,50 | 8,50 | 0,00 | Relatief | 6 |
| Gebouw3D | 7734 | 1 | 08:58, 20 mrt 2020 | | | Polygoon | 247123,24 | 443394,33 | 8,40 | 8,40 | 0,00 | Relatief | 8 |

# Invoergegevens van het model

Model: Jager
Jager - Jager
Groep: (hoofdgroep)
Lijst van Gebouwen, voor rekenmethode Wegverkeerslawaai - RMW-2012

| Groep | Omtrek | Oppervlak | Min.lengte | Max.lengte | Functie | BAG-id | Gemeente | Jaar | AHN-jaar | Trust | Cp | Zwevend | Refl. 63 | Refl. 125 | Refl. 250 |
|---|---|---|---|---|---|---|---|---|---|---|---|---|---|---|---|
| Gebouw3D | 11,30 | 7,98 | 2,73 | 2,91 | | | | 0 | 0 | 0 | 0 dB | False | 0,80 | 0,80 | 0,80 |
| Gebouw3D | 12,36 | 9,55 | 3,04 | 3,14 | | | | 0 | 0 | 0 | 0 dB | False | 0,80 | 0,80 | 0,80 |
| Gebouw3D | 37,99 | 43,99 | 0,37 | 10,60 | | | | 0 | 0 | 0 | 0 dB | False | 0,80 | 0,80 | 0,80 |
| Gebouw3D | 47,04 | 80,05 | 0,04 | 8,95 | | | | 0 | 0 | 0 | 0 dB | False | 0,80 | 0,80 | 0,80 |
| Gebouw3D | 41,73 | 71,81 | 2,91 | 8,97 | | | | 0 | 0 | 0 | 0 dB | False | 0,80 | 0,80 | 0,80 |
| Gebouw3D | 41,64 | 87,68 | 3,14 | 11,85 | | | | 0 | 0 | 0 | 0 dB | False | 0,80 | 0,80 | 0,80 |
| Gebouw3D | 31,90 | 63,11 | 7,27 | 8,68 | | | | 0 | 0 | 0 | 0 dB | False | 0,80 | 0,80 | 0,80 |
| Gebouw3D | 37,23 | 67,06 | 3,17 | 8,41 | | | | 0 | 0 | 0 | 0 dB | False | 0,80 | 0,80 | 0,80 |
| Gebouw3D | 45,16 | 100,71 | 2,45 | 9,86 | | | | 0 | 0 | 0 | 0 dB | False | 0,80 | 0,80 | 0,80 |
| Gebouw3D | 35,37 | 75,86 | 7,33 | 10,43 | | | | 0 | 0 | 0 | 0 dB | False | 0,80 | 0,80 | 0,80 |
| Gebouw3D | 37,97 | 68,33 | 3,13 | 8,58 | | | | 0 | 0 | 0 | 0 dB | False | 0,80 | 0,80 | 0,80 |
| Gebouw3D | 46,70 | 85,24 | 1,94 | 8,46 | | | | 0 | 0 | 0 | 0 dB | False | 0,80 | 0,80 | 0,80 |
| Gebouw3D | 25,11 | 31,51 | 3,45 | 9,20 | | | | 0 | 0 | 0 | 0 dB | False | 0,80 | 0,80 | 0,80 |
| Gebouw3D | 49,76 | 103,09 | 2,31 | 8,16 | | | | 0 | 0 | 0 | 0 dB | False | 0,80 | 0,80 | 0,80 |
| Gebouw3D | 26,76 | 25,05 | 2,13 | 8,81 | | | | 0 | 0 | 0 | 0 dB | False | 0,80 | 0,80 | 0,80 |
| Gebouw3D | 35,39 | 71,44 | 1,00 | 10,49 | | | | 0 | 0 | 0 | 0 dB | False | 0,80 | 0,80 | 0,80 |
| Gebouw3D | 54,08 | 110,17 | 0,48 | 9,75 | | | | 0 | 0 | 0 | 0 dB | False | 0,80 | 0,80 | 0,80 |
| Gebouw3D | 28,85 | 51,78 | 6,74 | 7,68 | | | | 0 | 0 | 0 | 0 dB | False | 0,80 | 0,80 | 0,80 |
| Gebouw3D | 43,90 | 91,71 | 2,78 | 10,41 | | | | 0 | 0 | 0 | 0 dB | False | 0,80 | 0,80 | 0,80 |
| Gebouw3D | 43,76 | 90,50 | 2,89 | 10,37 | | | | 0 | 0 | 0 | 0 dB | False | 0,80 | 0,80 | 0,80 |
| Gebouw3D | 24,15 | 29,35 | 0,41 | 8,32 | | | | 0 | 0 | 0 | 0 dB | False | 0,80 | 0,80 | 0,80 |
| Gebouw3D | 19,31 | 21,15 | 3,36 | 6,30 | | | | 0 | 0 | 0 | 0 dB | False | 0,80 | 0,80 | 0,80 |
| Gebouw3D | 27,83 | 37,52 | 2,68 | 7,52 | | | | 0 | 0 | 0 | 0 dB | False | 0,80 | 0,80 | 0,80 |
| Gebouw3D | 17,94 | 19,46 | 3,67 | 5,30 | | | | 0 | 0 | 0 | 0 dB | False | 0,80 | 0,80 | 0,80 |
| Gebouw3D | 23,04 | 32,29 | 4,82 | 6,70 | | | | 0 | 0 | 0 | 0 dB | False | 0,80 | 0,80 | 0,80 |
| Gebouw3D | 12,16 | 9,16 | 2,75 | 3,33 | | | | 0 | 0 | 0 | 0 dB | False | 0,80 | 0,80 | 0,80 |
| Gebouw3D | 10,95 | 6,98 | 2,02 | 3,45 | | | | 0 | 0 | 0 | 0 dB | False | 0,80 | 0,80 | 0,80 |
| Gebouw3D | 22,33 | 28,50 | 0,39 | 5,37 | | | | 0 | 0 | 0 | 0 dB | False | 0,80 | 0,80 | 0,80 |
| Gebouw3D | 12,52 | 9,69 | 2,87 | 3,64 | | | | 0 | 0 | 0 | 0 dB | False | 0,80 | 0,80 | 0,80 |
| Gebouw3D | 22,45 | 25,86 | 3,24 | 7,99 | | | | 0 | 0 | 0 | 0 dB | False | 0,80 | 0,80 | 0,80 |
| Gebouw3D | 50,56 | 91,29 | 0,81 | 8,46 | | | | 0 | 0 | 0 | 0 dB | False | 0,80 | 0,80 | 0,80 |
| Gebouw3D | 48,37 | 83,97 | 0,12 | 9,59 | | | | 0 | 0 | 0 | 0 dB | False | 0,80 | 0,80 | 0,80 |
| Gebouw3D | 31,29 | 46,89 | 1,08 | 10,90 | | | | 0 | 0 | 0 | 0 dB | False | 0,80 | 0,80 | 0,80 |
| Gebouw3D | 35,38 | 59,60 | 2,79 | 8,17 | | | | 0 | 0 | 0 | 0 dB | False | 0,80 | 0,80 | 0,80 |
| Gebouw3D | 34,12 | 61,19 | 1,38 | 11,01 | | | | 0 | 0 | 0 | 0 dB | False | 0,80 | 0,80 | 0,80 |
| Gebouw3D | 44,09 | 92,54 | 1,20 | 13,06 | | | | 0 | 0 | 0 | 0 dB | False | 0,80 | 0,80 | 0,80 |

Model: Jager
Jager - Jager
Groep: (hoofdgroep)
Lijst van Gebouwen, voor rekenmethode Wegverkeerslawaai - RMW-2012

| Groep | Refl. 500 | Refl. 1k | Refl. 2k | Refl. 4k | Refl. 8k |
|---|---|---|---|---|---|
| Gebouw3D | 0,80 | 0,80 | 0,80 | 0,80 | 0,80 |
| Gebouw3D | 0,80 | 0,80 | 0,80 | 0,80 | 0,80 |
| Gebouw3D | 0,80 | 0,80 | 0,80 | 0,80 | 0,80 |
| Gebouw3D | 0,80 | 0,80 | 0,80 | 0,80 | 0,80 |
| Gebouw3D | 0,80 | 0,80 | 0,80 | 0,80 | 0,80 |
| Gebouw3D | 0,80 | 0,80 | 0,80 | 0,80 | 0,80 |
| Gebouw3D | 0,80 | 0,80 | 0,80 | 0,80 | 0,80 |
| Gebouw3D | 0,80 | 0,80 | 0,80 | 0,80 | 0,80 |
| Gebouw3D | 0,80 | 0,80 | 0,80 | 0,80 | 0,80 |
| Gebouw3D | 0,80 | 0,80 | 0,80 | 0,80 | 0,80 |
| Gebouw3D | 0,80 | 0,80 | 0,80 | 0,80 | 0,80 |
| Gebouw3D | 0,80 | 0,80 | 0,80 | 0,80 | 0,80 |
| Gebouw3D | 0,80 | 0,80 | 0,80 | 0,80 | 0,80 |
| Gebouw3D | 0,80 | 0,80 | 0,80 | 0,80 | 0,80 |
| Gebouw3D | 0,80 | 0,80 | 0,80 | 0,80 | 0,80 |
| Gebouw3D | 0,80 | 0,80 | 0,80 | 0,80 | 0,80 |
| Gebouw3D | 0,80 | 0,80 | 0,80 | 0,80 | 0,80 |
| Gebouw3D | 0,80 | 0,80 | 0,80 | 0,80 | 0,80 |
| Gebouw3D | 0,80 | 0,80 | 0,80 | 0,80 | 0,80 |
| Gebouw3D | 0,80 | 0,80 | 0,80 | 0,80 | 0,80 |
| Gebouw3D | 0,80 | 0,80 | 0,80 | 0,80 | 0,80 |
| Gebouw3D | 0,80 | 0,80 | 0,80 | 0,80 | 0,80 |
| Gebouw3D | 0,80 | 0,80 | 0,80 | 0,80 | 0,80 |
| Gebouw3D | 0,80 | 0,80 | 0,80 | 0,80 | 0,80 |
| Gebouw3D | 0,80 | 0,80 | 0,80 | 0,80 | 0,80 |
| Gebouw3D | 0,80 | 0,80 | 0,80 | 0,80 | 0,80 |
| Gebouw3D | 0,80 | 0,80 | 0,80 | 0,80 | 0,80 |
| Gebouw3D | 0,80 | 0,80 | 0,80 | 0,80 | 0,80 |
| Gebouw3D | 0,80 | 0,80 | 0,80 | 0,80 | 0,80 |
| Gebouw3D | 0,80 | 0,80 | 0,80 | 0,80 | 0,80 |
| Gebouw3D | 0,80 | 0,80 | 0,80 | 0,80 | 0,80 |
| Gebouw3D | 0,80 | 0,80 | 0,80 | 0,80 | 0,80 |

Model: Jager
Jager - Jager
Groep: (hoofdgroep)
Lijst van Gebouwen, voor rekenmethode Wegverkeerslawaai - RMW-2012

| Groep | ItemID | Grp.ID | Datum | Naam | Omschr. | Vorm | X-1 | Y-1 | Hoogte | Rel.H | Maaiveld | Hdef. | Vormpunten |
|---|---|---|---|---|---|---|---|---|---|---|---|---|---|
| Gebouw3D | 7735 | 1 | 08:58, 20 mrt 2020 | | | Polygoon | 247135,79 | 443493,36 | 8,50 | 8,50 | 0,00 | Relatief | 7 |
| Gebouw3D | 7736 | 1 | 08:58, 20 mrt 2020 | | | Polygoon | 247141,10 | 443391,93 | 8,70 | 8,70 | 0,00 | Relatief | 11 |
| Gebouw3D | 7737 | 1 | 08:58, 20 mrt 2020 | | | Polygoon | 247115,71 | 443446,68 | 7,10 | 7,10 | 0,00 | Relatief | 12 |
| Gebouw3D | 7738 | 1 | 08:58, 20 mrt 2020 | | | Polygoon | 247138,52 | 443443,62 | 6,10 | 6,10 | 0,00 | Relatief | 4 |
| Gebouw3D | 7739 | 1 | 08:58, 20 mrt 2020 | | | Polygoon | 247096,56 | 443397,95 | 8,80 | 8,80 | 0,00 | Relatief | 7 |
| Gebouw3D | 7740 | 1 | 08:58, 20 mrt 2020 | | | Polygoon | 247150,08 | 443496,30 | 8,10 | 8,10 | 0,00 | Relatief | 11 |
| Gebouw3D | 7741 | 1 | 08:58, 20 mrt 2020 | | | Polygoon | 247114,19 | 443394,35 | 8,70 | 8,70 | 0,00 | Relatief | 9 |
| Gebouw3D | 7742 | 1 | 08:58, 20 mrt 2020 | | | Polygoon | 247092,98 | 443384,75 | 2,60 | 2,60 | 0,00 | Relatief | 4 |
| Gebouw3D | 7743 | 1 | 08:58, 20 mrt 2020 | | | Polygoon | 247097,51 | 443487,31 | 8,80 | 8,80 | 0,00 | Relatief | 12 |
| Gebouw3D | 7744 | 1 | 08:58, 20 mrt 2020 | | | Polygoon | 247158,62 | 443386,91 | 6,60 | 6,60 | 0,00 | Relatief | 8 |
| Gebouw3D | 7745 | 1 | 08:58, 20 mrt 2020 | | | Polygoon | 247137,86 | 443463,42 | 2,40 | 2,40 | 0,00 | Relatief | 4 |
| Gebouw3D | 7746 | 1 | 08:58, 20 mrt 2020 | | | Polygoon | 247121,07 | 443421,71 | 7,30 | 7,30 | 0,00 | Relatief | 8 |
| Gebouw3D | 7747 | 1 | 08:58, 20 mrt 2020 | | | Polygoon | 247087,40 | 443473,04 | 3,30 | 3,30 | 0,00 | Relatief | 8 |
| Gebouw3D | 7748 | 1 | 08:58, 20 mrt 2020 | | | Polygoon | 247150,38 | 443393,61 | 8,80 | 8,80 | 0,00 | Relatief | 8 |
| Gebouw3D | 7749 | 1 | 08:58, 20 mrt 2020 | | | Polygoon | 247106,80 | 443590,10 | 7,90 | 7,90 | 0,00 | Relatief | 8 |
| Gebouw3D | 7750 | 1 | 08:58, 20 mrt 2020 | | | Polygoon | 247093,17 | 443585,60 | 2,20 | 2,20 | 0,00 | Relatief | 4 |
| Gebouw3D | 7751 | 1 | 08:58, 20 mrt 2020 | | | Polygoon | 247106,80 | 443590,10 | 7,90 | 7,90 | 0,00 | Relatief | 8 |
| Gebouw3D | 7752 | 1 | 08:58, 20 mrt 2020 | | | Polygoon | 247150,02 | 443589,80 | 7,80 | 7,80 | 0,00 | Relatief | 6 |
| Gebouw3D | 7753 | 1 | 08:58, 20 mrt 2020 | | | Polygoon | 247106,99 | 443595,05 | 7,90 | 7,90 | 0,00 | Relatief | 8 |
| Gebouw3D | 7754 | 1 | 08:58, 20 mrt 2020 | | | Polygoon | 247130,42 | 443598,41 | 8,60 | 8,60 | 0,00 | Relatief | 8 |
| Gebouw3D | 7755 | 1 | 08:58, 20 mrt 2020 | | | Polygoon | 247141,02 | 443611,76 | 8,40 | 8,40 | 0,00 | Relatief | 7 |
| Gebouw3D | 7756 | 1 | 08:58, 20 mrt 2020 | | | Polygoon | 247130,42 | 443598,41 | 8,40 | 8,40 | 0,00 | Relatief | 8 |
| Gebouw3D | 7757 | 1 | 08:58, 20 mrt 2020 | | | Polygoon | 247135,85 | 443606,68 | 8,50 | 8,50 | 0,00 | Relatief | 7 |
| Gebouw3D | 7758 | 1 | 08:58, 20 mrt 2020 | | | Polygoon | 247125,52 | 443599,20 | 8,40 | 8,40 | 0,00 | Relatief | 6 |
| Gebouw3D | 7759 | 1 | 08:58, 20 mrt 2020 | | | Polygoon | 247120,33 | 443599,43 | 8,50 | 8,50 | 0,00 | Relatief | 6 |
| Gebouw3D | 7760 | 1 | 08:58, 20 mrt 2020 | | | Polygoon | 247150,83 | 443609,86 | 2,20 | 2,20 | 0,00 | Relatief | 4 |
| Gebouw3D | 7761 | 1 | 08:58, 20 mrt 2020 | | | Polygoon | 247141,16 | 443617,53 | 2,30 | 2,30 | 0,00 | Relatief | 4 |
| Gebouw3D | 7762 | 1 | 08:58, 20 mrt 2020 | | | Polygoon | 247131,29 | 443620,52 | 2,50 | 2,50 | 0,00 | Relatief | 5 |
| Gebouw3D | 7763 | 1 | 08:58, 20 mrt 2020 | | | Polygoon | 247141,16 | 443617,53 | 2,30 | 2,30 | 0,00 | Relatief | 4 |
| Gebouw3D | 7764 | 1 | 08:58, 20 mrt 2020 | | | Polygoon | 247131,29 | 443620,52 | 2,30 | 2,30 | 0,00 | Relatief | 5 |
| Gebouw3D | 7765 | 1 | 08:58, 20 mrt 2020 | | | Polygoon | 247121,14 | 443617,65 | 2,30 | 2,30 | 0,00 | Relatief | 4 |
| Gebouw3D | 7766 | 1 | 08:58, 20 mrt 2020 | | | Polygoon | 247121,14 | 443617,65 | 2,30 | 2,30 | 0,00 | Relatief | 4 |
| Gebouw3D | 7767 | 1 | 08:58, 20 mrt 2020 | | | Polygoon | 247098,94 | 443602,24 | 3,30 | 3,30 | 0,00 | Relatief | 4 |
| Gebouw3D | 7768 | 1 | 08:58, 20 mrt 2020 | | | Polygoon | 247093,70 | 443595,61 | 2,30 | 2,30 | 0,00 | Relatief | 4 |
| Gebouw3D | 7769 | 1 | 08:58, 20 mrt 2020 | | | Polygoon | 247101,71 | 443510,23 | 9,10 | 9,10 | 0,00 | Relatief | 11 |
| Gebouw3D | 7770 | 1 | 08:58, 20 mrt 2020 | | | Polygoon | 247093,64 | 443519,04 | 4,20 | 4,20 | 0,00 | Relatief | 4 |

# Invoergegevens van het model

Model: Jager
Jager - Jager
Groep: (hoofdgroep)
Lijst van Gebouwen, voor rekenmethode Wegverkeerslawaai - RMW-2012

| Groep | Omtrek | Oppervlak | Min.lengte | Max.lengte | Functie | BAG-id | Gemeente | Jaar | AHN-jaar | Trust | Cp | Zwevend | Refl. 63 | Refl. 125 | Refl. 250 |
|---|---|---|---|---|---|---|---|---|---|---|---|---|---|---|---|
| Gebouw3D | 32,21 | 52,85 | 1,30 | 9,63 | | | | 0 | 0 | 0 | 0 dB | False | 0,80 | 0,80 | 0,80 |
| Gebouw3D | 41,29 | 76,53 | 0,65 | 8,97 | | | | 0 | 0 | 0 | 0 dB | False | 0,80 | 0,80 | 0,80 |
| Gebouw3D | 75,20 | 156,69 | 2,79 | 10,46 | | | | 0 | 0 | 0 | 0 dB | False | 0,80 | 0,80 | 0,80 |
| Gebouw3D | 34,61 | 70,89 | 6,66 | 10,64 | | | | 0 | 0 | 0 | 0 dB | False | 0,80 | 0,80 | 0,80 |
| Gebouw3D | 41,74 | 88,40 | 2,99 | 11,85 | | | | 0 | 0 | 0 | 0 dB | False | 0,80 | 0,80 | 0,80 |
| Gebouw3D | 48,78 | 123,16 | 0,63 | 8,91 | | | | 0 | 0 | 0 | 0 dB | False | 0,80 | 0,80 | 0,80 |
| Gebouw3D | 44,13 | 88,30 | 0,10 | 13,06 | | | | 0 | 0 | 0 | 0 dB | False | 0,80 | 0,80 | 0,80 |
| Gebouw3D | 14,22 | 12,23 | 2,92 | 4,19 | | | | 0 | 0 | 0 | 0 dB | False | 0,80 | 0,80 | 0,80 |
| Gebouw3D | 49,17 | 99,40 | 0,52 | 6,87 | | | | 0 | 0 | 0 | 0 dB | False | 0,80 | 0,80 | 0,80 |
| Gebouw3D | 49,51 | 101,06 | 3,40 | 9,98 | | | | 0 | 0 | 0 | 0 dB | False | 0,80 | 0,80 | 0,80 |
| Gebouw3D | 13,06 | 10,14 | 2,55 | 3,98 | | | | 0 | 0 | 0 | 0 dB | False | 0,80 | 0,80 | 0,80 |
| Gebouw3D | 41,33 | 100,66 | 0,31 | 8,03 | | | | 0 | 0 | 0 | 0 dB | False | 0,80 | 0,80 | 0,80 |
| Gebouw3D | 22,95 | 26,94 | 1,07 | 5,96 | | | | 0 | 0 | 0 | 0 dB | False | 0,80 | 0,80 | 0,80 |
| Gebouw3D | 41,69 | 71,42 | 2,91 | 8,95 | | | | 0 | 0 | 0 | 0 dB | False | 0,80 | 0,80 | 0,80 |
| Gebouw3D | 31,79 | 47,69 | 0,15 | 7,27 | | | | 0 | 0 | 0 | 0 dB | False | 0,80 | 0,80 | 0,80 |
| Gebouw3D | 12,53 | 9,80 | 3,06 | 3,20 | | | | 0 | 0 | 0 | 0 dB | False | 0,80 | 0,80 | 0,80 |
| Gebouw3D | 31,47 | 46,70 | 0,06 | 7,27 | | | | 0 | 0 | 0 | 0 dB | False | 0,80 | 0,80 | 0,80 |
| Gebouw3D | 32,44 | 48,68 | 2,46 | 10,98 | | | | 0 | 0 | 0 | 0 dB | False | 0,80 | 0,80 | 0,80 |
| Gebouw3D | 32,42 | 50,12 | 0,09 | 7,27 | | | | 0 | 0 | 0 | 0 dB | False | 0,80 | 0,80 | 0,80 |
| Gebouw3D | 37,85 | 53,78 | 0,55 | 13,86 | | | | 0 | 0 | 0 | 0 dB | False | 0,80 | 0,80 | 0,80 |
| Gebouw3D | 36,65 | 50,27 | 0,11 | 13,15 | | | | 0 | 0 | 0 | 0 dB | False | 0,80 | 0,80 | 0,80 |
| Gebouw3D | 37,59 | 53,63 | 0,57 | 13,86 | | | | 0 | 0 | 0 | 0 dB | False | 0,80 | 0,80 | 0,80 |
| Gebouw3D | 36,41 | 52,79 | 0,11 | 13,15 | | | | 0 | 0 | 0 | 0 dB | False | 0,80 | 0,80 | 0,80 |
| Gebouw3D | 36,50 | 53,18 | 2,34 | 13,06 | | | | 0 | 0 | 0 | 0 dB | False | 0,80 | 0,80 | 0,80 |
| Gebouw3D | 35,81 | 48,02 | 1,86 | 13,06 | | | | 0 | 0 | 0 | 0 dB | False | 0,80 | 0,80 | 0,80 |
| Gebouw3D | 11,80 | 8,67 | 2,71 | 3,12 | | | | 0 | 0 | 0 | 0 dB | False | 0,80 | 0,80 | 0,80 |
| Gebouw3D | 11,99 | 8,98 | 2,99 | 3,00 | | | | 0 | 0 | 0 | 0 dB | False | 0,80 | 0,80 | 0,80 |
| Gebouw3D | 11,93 | 8,90 | 0,04 | 3,01 | | | | 0 | 0 | 0 | 0 dB | False | 0,80 | 0,80 | 0,80 |
| Gebouw3D | 12,18 | 9,26 | 3,00 | 3,10 | | | | 0 | 0 | 0 | 0 dB | False | 0,80 | 0,80 | 0,80 |
| Gebouw3D | 12,25 | 9,37 | 0,04 | 3,12 | | | | 0 | 0 | 0 | 0 dB | False | 0,80 | 0,80 | 0,80 |
| Gebouw3D | 11,42 | 8,15 | 2,80 | 2,91 | | | | 0 | 0 | 0 | 0 dB | False | 0,80 | 0,80 | 0,80 |
| Gebouw3D | 12,38 | 9,54 | 2,91 | 3,28 | | | | 0 | 0 | 0 | 0 dB | False | 0,80 | 0,80 | 0,80 |
| Gebouw3D | 22,72 | 31,54 | 4,83 | 6,53 | | | | 0 | 0 | 0 | 0 dB | False | 0,80 | 0,80 | 0,80 |
| Gebouw3D | 19,43 | 23,58 | 4,73 | 4,97 | | | | 0 | 0 | 0 | 0 dB | False | 0,80 | 0,80 | 0,80 |
| Gebouw3D | 50,86 | 115,12 | 0,89 | 8,38 | | | | 0 | 0 | 0 | 0 dB | False | 0,80 | 0,80 | 0,80 |
| Gebouw3D | 21,59 | 27,43 | 4,09 | 6,70 | | | | 0 | 0 | 0 | 0 dB | False | 0,80 | 0,80 | 0,80 |

Model: Jager
Jager - Jager
Groep: (hoofdgroep)
Lijst van Gebouwen, voor rekenmethode Wegverkeerslawaai - RMW-2012

| Groep | Refl. 500 | Refl. 1k | Refl. 2k | Refl. 4k | Refl. 8k |
|---|---|---|---|---|---|
| Gebouw3D | 0,80 | 0,80 | 0,80 | 0,80 | 0,80 |
| Gebouw3D | 0,80 | 0,80 | 0,80 | 0,80 | 0,80 |
| Gebouw3D | 0,80 | 0,80 | 0,80 | 0,80 | 0,80 |
| Gebouw3D | 0,80 | 0,80 | 0,80 | 0,80 | 0,80 |
| Gebouw3D | 0,80 | 0,80 | 0,80 | 0,80 | 0,80 |
| Gebouw3D | 0,80 | 0,80 | 0,80 | 0,80 | 0,80 |
| Gebouw3D | 0,80 | 0,80 | 0,80 | 0,80 | 0,80 |
| Gebouw3D | 0,80 | 0,80 | 0,80 | 0,80 | 0,80 |
| Gebouw3D | 0,80 | 0,80 | 0,80 | 0,80 | 0,80 |
| Gebouw3D | 0,80 | 0,80 | 0,80 | 0,80 | 0,80 |
| Gebouw3D | 0,80 | 0,80 | 0,80 | 0,80 | 0,80 |
| Gebouw3D | 0,80 | 0,80 | 0,80 | 0,80 | 0,80 |
| Gebouw3D | 0,80 | 0,80 | 0,80 | 0,80 | 0,80 |
| Gebouw3D | 0,80 | 0,80 | 0,80 | 0,80 | 0,80 |
| Gebouw3D | 0,80 | 0,80 | 0,80 | 0,80 | 0,80 |
| Gebouw3D | 0,80 | 0,80 | 0,80 | 0,80 | 0,80 |
| Gebouw3D | 0,80 | 0,80 | 0,80 | 0,80 | 0,80 |
| Gebouw3D | 0,80 | 0,80 | 0,80 | 0,80 | 0,80 |
| Gebouw3D | 0,80 | 0,80 | 0,80 | 0,80 | 0,80 |
| Gebouw3D | 0,80 | 0,80 | 0,80 | 0,80 | 0,80 |
| Gebouw3D | 0,80 | 0,80 | 0,80 | 0,80 | 0,80 |
| Gebouw3D | 0,80 | 0,80 | 0,80 | 0,80 | 0,80 |
| Gebouw3D | 0,80 | 0,80 | 0,80 | 0,80 | 0,80 |
| Gebouw3D | 0,80 | 0,80 | 0,80 | 0,80 | 0,80 |
| Gebouw3D | 0,80 | 0,80 | 0,80 | 0,80 | 0,80 |
| Gebouw3D | 0,80 | 0,80 | 0,80 | 0,80 | 0,80 |
| Gebouw3D | 0,80 | 0,80 | 0,80 | 0,80 | 0,80 |
| Gebouw3D | 0,80 | 0,80 | 0,80 | 0,80 | 0,80 |
| Gebouw3D | 0,80 | 0,80 | 0,80 | 0,80 | 0,80 |
| Gebouw3D | 0,80 | 0,80 | 0,80 | 0,80 | 0,80 |
| Gebouw3D | 0,80 | 0,80 | 0,80 | 0,80 | 0,80 |
| Gebouw3D | 0,80 | 0,80 | 0,80 | 0,80 | 0,80 |

# Invoergegevens van het model

Model: Jager
Jager - Jager
Groep: (hoofdgroep)
Lijst van Gebouwen, voor rekenmethode Wegverkeerslawaai - RMW-2012

| Groep | ItemID | Grp.ID | Datum | Naam | Omschr. | Vorm | X-1 | Y-1 | Hoogte | Rel.H | Maaiveld | Hdef. | Vormpunten |
|---|---|---|---|---|---|---|---|---|---|---|---|---|---|
| Gebouw3D | 7771 | 1 | 08:58, 20 mrt 2020 | | | Polygoon | 247117,58 | 443529,65 | 7,00 | 7,00 | 0,00 | Relatief | 7 |
| Gebouw3D | 7772 | 1 | 08:58, 20 mrt 2020 | | | Polygoon | 247127,25 | 443536,02 | 6,50 | 6,50 | 0,00 | Relatief | 12 |
| Gebouw3D | 7773 | 1 | 08:58, 20 mrt 2020 | | | Polygoon | 247127,25 | 443536,02 | 6,40 | 6,40 | 0,00 | Relatief | 6 |
| Gebouw3D | 7774 | 1 | 08:58, 20 mrt 2020 | | | Polygoon | 247136,72 | 443523,02 | 6,70 | 6,70 | 0,00 | Relatief | 6 |
| Gebouw3D | 7775 | 1 | 08:58, 20 mrt 2020 | | | Polygoon | 247136,72 | 443523,02 | 6,80 | 6,80 | 0,00 | Relatief | 4 |
| Gebouw3D | 7776 | 1 | 08:58, 20 mrt 2020 | | | Polygoon | 247142,04 | 443524,51 | 6,30 | 6,30 | 0,00 | Relatief | 7 |
| Gebouw3D | 7777 | 1 | 08:58, 20 mrt 2020 | | | Polygoon | 247114,64 | 443535,64 | 4,10 | 4,10 | 0,00 | Relatief | 4 |
| Gebouw3D | 7778 | 1 | 08:58, 20 mrt 2020 | | | Polygoon | 247124,49 | 443537,62 | 2,50 | 2,50 | 0,00 | Relatief | 4 |
| Gebouw3D | 7779 | 1 | 08:58, 20 mrt 2020 | | | Polygoon | 247143,82 | 443543,22 | 2,60 | 2,60 | 0,00 | Relatief | 4 |
| Gebouw3D | 7780 | 1 | 08:58, 20 mrt 2020 | | | Polygoon | 247133,14 | 443544,88 | 2,60 | 2,60 | 0,00 | Relatief | 4 |
| Gebouw3D | 7781 | 1 | 08:58, 20 mrt 2020 | | | Polygoon | 247133,14 | 443544,88 | 2,70 | 2,70 | 0,00 | Relatief | 8 |
| Gebouw3D | 7782 | 1 | 08:58, 20 mrt 2020 | | | Polygoon | 247095,50 | 443546,29 | 2,50 | 2,50 | 0,00 | Relatief | 6 |
| Gebouw3D | 7783 | 1 | 08:58, 20 mrt 2020 | | | Polygoon | 247101,80 | 443549,30 | 2,10 | 2,10 | 0,00 | Relatief | 5 |
| Gebouw3D | 7784 | 1 | 08:58, 20 mrt 2020 | | | Polygoon | 247101,80 | 443549,30 | 2,20 | 2,20 | 0,00 | Relatief | 5 |
| Gebouw3D | 7785 | 1 | 08:58, 20 mrt 2020 | | | Polygoon | 247111,59 | 443549,79 | 2,20 | 2,20 | 0,00 | Relatief | 4 |
| Gebouw3D | 7786 | 1 | 08:58, 20 mrt 2020 | | | Polygoon | 247111,59 | 443549,79 | 2,30 | 2,30 | 0,00 | Relatief | 6 |
| Gebouw3D | 7787 | 1 | 08:58, 20 mrt 2020 | | | Polygoon | 247122,78 | 443553,04 | 2,30 | 2,30 | 0,00 | Relatief | 5 |
| Gebouw3D | 7788 | 1 | 08:58, 20 mrt 2020 | | | Polygoon | 247122,78 | 443553,04 | 2,20 | 2,20 | 0,00 | Relatief | 5 |
| Gebouw3D | 7789 | 1 | 08:58, 20 mrt 2020 | | | Polygoon | 247136,77 | 443551,23 | 3,60 | 3,60 | 0,00 | Relatief | 4 |
| Gebouw3D | 7790 | 1 | 08:58, 20 mrt 2020 | | | Polygoon | 247148,40 | 443555,72 | 2,10 | 2,10 | 0,00 | Relatief | 5 |
| Gebouw3D | 7791 | 1 | 08:58, 20 mrt 2020 | | | Polygoon | 247148,40 | 443555,72 | 2,20 | 2,20 | 0,00 | Relatief | 5 |
| Gebouw3D | 7792 | 1 | 08:58, 20 mrt 2020 | | | Polygoon | 247123,11 | 443561,26 | 8,50 | 8,50 | 0,00 | Relatief | 8 |
| Gebouw3D | 7793 | 1 | 08:58, 20 mrt 2020 | | | Polygoon | 247138,16 | 443573,73 | 8,50 | 8,50 | 0,00 | Relatief | 7 |
| Gebouw3D | 7794 | 1 | 08:58, 20 mrt 2020 | | | Polygoon | 247133,23 | 443573,95 | 8,60 | 8,60 | 0,00 | Relatief | 6 |
| Gebouw3D | 7795 | 1 | 08:58, 20 mrt 2020 | | | Polygoon | 247128,46 | 443574,17 | 8,50 | 8,50 | 0,00 | Relatief | 6 |
| Gebouw3D | 7796 | 1 | 08:58, 20 mrt 2020 | | | Polygoon | 247123,11 | 443561,26 | 8,40 | 8,40 | 0,00 | Relatief | 7 |
| Gebouw3D | 7797 | 1 | 08:58, 20 mrt 2020 | | | Polygoon | 247112,10 | 443561,68 | 8,60 | 8,60 | 0,00 | Relatief | 6 |
| Gebouw3D | 7798 | 1 | 08:58, 20 mrt 2020 | | | Polygoon | 247112,10 | 443561,68 | 8,60 | 8,60 | 0,00 | Relatief | 6 |
| Gebouw3D | 7799 | 1 | 08:58, 20 mrt 2020 | | | Polygoon | 247107,52 | 443566,94 | 8,50 | 8,50 | 0,00 | Relatief | 6 |
| Gebouw3D | 7800 | 1 | 08:58, 20 mrt 2020 | | | Polygoon | 247102,50 | 443562,19 | 8,50 | 8,50 | 0,00 | Relatief | 5 |
| Gebouw3D | 7801 | 1 | 08:58, 20 mrt 2020 | | | Polygoon | 247153,79 | 443571,77 | 8,70 | 8,70 | 0,00 | Relatief | 7 |
| Gebouw3D | 7802 | 1 | 08:58, 20 mrt 2020 | | | Polygoon | 247148,89 | 443566,98 | 8,50 | 8,50 | 0,00 | Relatief | 6 |
| Gebouw3D | 7803 | 1 | 08:58, 20 mrt 2020 | | | Polygoon | 247157,12 | 443670,96 | 7,60 | 7,60 | 0,00 | Relatief | 8 |
| Gebouw3D | 7804 | 1 | 08:58, 20 mrt 2020 | | | Polygoon | 247153,70 | 443687,66 | 2,20 | 2,20 | 0,00 | Relatief | 4 |
| Gebouw3D | 7805 | 1 | 08:58, 20 mrt 2020 | | | Polygoon | 247161,02 | 443699,51 | 7,40 | 7,40 | 0,00 | Relatief | 6 |
| Gebouw3D | 7806 | 1 | 08:58, 20 mrt 2020 | | | Polygoon | 247158,99 | 443688,56 | 2,40 | 2,40 | 0,00 | Relatief | 7 |

# Invoergegevens van het model

Model: Jager
Jager - Jager
Groep: (hoofdgroep)
Lijst van Gebouwen, voor rekenmethode Wegverkeerslawaai - RMW-2012

| Groep | Omtrek | Oppervlak | Min.lengte | Max.lengte | Functie | BAG-id | Gemeente | Jaar | AHN-jaar | Trust | Cp | Zwevend | Refl. 63 | Refl. 125 | Refl. 250 |
|---|---|---|---|---|---|---|---|---|---|---|---|---|---|---|---|
| Gebouw3D | 45,94 | 102,41 | 3,41 | 10,38 | | | | 0 | 0 | 0 | 0 dB | False | 0,80 | 0,80 | 0,80 |
| Gebouw3D | 40,54 | 62,63 | 0,21 | 14,99 | | | | 0 | 0 | 0 | 0 dB | False | 0,80 | 0,80 | 0,80 |
| Gebouw3D | 38,27 | 56,08 | 1,30 | 14,99 | | | | 0 | 0 | 0 | 0 dB | False | 0,80 | 0,80 | 0,80 |
| Gebouw3D | 42,26 | 62,92 | 2,06 | 16,36 | | | | 0 | 0 | 0 | 0 dB | False | 0,80 | 0,80 | 0,80 |
| Gebouw3D | 42,26 | 78,03 | 4,77 | 16,36 | | | | 0 | 0 | 0 | 0 dB | False | 0,80 | 0,80 | 0,80 |
| Gebouw3D | 57,31 | 128,92 | 1,58 | 12,53 | | | | 0 | 0 | 0 | 0 dB | False | 0,80 | 0,80 | 0,80 |
| Gebouw3D | 17,58 | 17,63 | 3,10 | 5,70 | | | | 0 | 0 | 0 | 0 dB | False | 0,80 | 0,80 | 0,80 |
| Gebouw3D | 14,00 | 11,50 | 2,64 | 4,36 | | | | 0 | 0 | 0 | 0 dB | False | 0,80 | 0,80 | 0,80 |
| Gebouw3D | 23,22 | 31,07 | 4,23 | 7,75 | | | | 0 | 0 | 0 | 0 dB | False | 0,80 | 0,80 | 0,80 |
| Gebouw3D | 18,09 | 19,95 | 3,64 | 5,30 | | | | 0 | 0 | 0 | 0 dB | False | 0,80 | 0,80 | 0,80 |
| Gebouw3D | 20,72 | 22,96 | 0,11 | 5,27 | | | | 0 | 0 | 0 | 0 dB | False | 0,80 | 0,80 | 0,80 |
| Gebouw3D | 38,58 | 41,59 | 0,76 | 16,31 | | | | 0 | 0 | 0 | 0 dB | False | 0,80 | 0,80 | 0,80 |
| Gebouw3D | 11,84 | 8,73 | 0,46 | 3,14 | | | | 0 | 0 | 0 | 0 dB | False | 0,80 | 0,80 | 0,80 |
| Gebouw3D | 12,38 | 9,48 | 0,46 | 3,41 | | | | 0 | 0 | 0 | 0 dB | False | 0,80 | 0,80 | 0,80 |
| Gebouw3D | 15,43 | 14,02 | 2,93 | 4,80 | | | | 0 | 0 | 0 | 0 dB | False | 0,80 | 0,80 | 0,80 |
| Gebouw3D | 17,77 | 18,47 | 0,18 | 5,36 | | | | 0 | 0 | 0 | 0 dB | False | 0,80 | 0,80 | 0,80 |
| Gebouw3D | 12,57 | 9,73 | 0,36 | 3,44 | | | | 0 | 0 | 0 | 0 dB | False | 0,80 | 0,80 | 0,80 |
| Gebouw3D | 15,29 | 13,75 | 0,36 | 4,80 | | | | 0 | 0 | 0 | 0 dB | False | 0,80 | 0,80 | 0,80 |
| Gebouw3D | 20,14 | 25,16 | 4,43 | 5,27 | | | | 0 | 0 | 0 | 0 dB | False | 0,80 | 0,80 | 0,80 |
| Gebouw3D | 13,21 | 10,73 | 0,15 | 3,70 | | | | 0 | 0 | 0 | 0 dB | False | 0,80 | 0,80 | 0,80 |
| Gebouw3D | 11,75 | 8,65 | 0,15 | 2,98 | | | | 0 | 0 | 0 | 0 dB | False | 0,80 | 0,80 | 0,80 |
| Gebouw3D | 43,19 | 57,45 | 0,04 | 13,14 | | | | 0 | 0 | 0 | 0 dB | False | 0,80 | 0,80 | 0,80 |
| Gebouw3D | 35,95 | 50,17 | 2,20 | 8,08 | | | | 0 | 0 | 0 | 0 dB | False | 0,80 | 0,80 | 0,80 |
| Gebouw3D | 36,09 | 50,68 | 2,16 | 13,11 | | | | 0 | 0 | 0 | 0 dB | False | 0,80 | 0,80 | 0,80 |
| Gebouw3D | 35,79 | 50,39 | 2,34 | 13,11 | | | | 0 | 0 | 0 | 0 dB | False | 0,80 | 0,80 | 0,80 |
| Gebouw3D | 36,25 | 63,92 | 0,59 | 13,14 | | | | 0 | 0 | 0 | 0 dB | False | 0,80 | 0,80 | 0,80 |
| Gebouw3D | 36,21 | 51,07 | 2,16 | 13,15 | | | | 0 | 0 | 0 | 0 dB | False | 0,80 | 0,80 | 0,80 |
| Gebouw3D | 35,90 | 50,87 | 2,38 | 13,15 | | | | 0 | 0 | 0 | 0 dB | False | 0,80 | 0,80 | 0,80 |
| Gebouw3D | 35,72 | 49,97 | 2,23 | 13,05 | | | | 0 | 0 | 0 | 0 dB | False | 0,80 | 0,80 | 0,80 |
| Gebouw3D | 36,02 | 64,74 | 4,96 | 13,05 | | | | 0 | 0 | 0 | 0 dB | False | 0,80 | 0,80 | 0,80 |
| Gebouw3D | 35,74 | 48,87 | 0,10 | 13,15 | | | | 0 | 0 | 0 | 0 dB | False | 0,80 | 0,80 | 0,80 |
| Gebouw3D | 36,51 | 54,02 | 2,49 | 13,15 | | | | 0 | 0 | 0 | 0 dB | False | 0,80 | 0,80 | 0,80 |
| Gebouw3D | 30,69 | 42,01 | 0,06 | 10,30 | | | | 0 | 0 | 0 | 0 dB | False | 0,80 | 0,80 | 0,80 |
| Gebouw3D | 11,44 | 8,18 | 2,83 | 2,90 | | | | 0 | 0 | 0 | 0 dB | False | 0,80 | 0,80 | 0,80 |
| Gebouw3D | 35,87 | 51,40 | 2,31 | 12,75 | | | | 0 | 0 | 0 | 0 dB | False | 0,80 | 0,80 | 0,80 |
| Gebouw3D | 16,13 | 15,07 | 0,62 | 2,94 | | | | 0 | 0 | 0 | 0 dB | False | 0,80 | 0,80 | 0,80 |

Model: Jager
Jager - Jager
Groep: (hoofdgroep)
Lijst van Gebouwen, voor rekenmethode Wegverkeerslawaai - RMW-2012

| Groep | Refl. 500 | Refl. 1k | Refl. 2k | Refl. 4k | Refl. 8k |
|---|---|---|---|---|---|
| Gebouw3D | 0,80 | 0,80 | 0,80 | 0,80 | 0,80 |
| Gebouw3D | 0,80 | 0,80 | 0,80 | 0,80 | 0,80 |
| Gebouw3D | 0,80 | 0,80 | 0,80 | 0,80 | 0,80 |
| Gebouw3D | 0,80 | 0,80 | 0,80 | 0,80 | 0,80 |
| Gebouw3D | 0,80 | 0,80 | 0,80 | 0,80 | 0,80 |
| Gebouw3D | 0,80 | 0,80 | 0,80 | 0,80 | 0,80 |
| Gebouw3D | 0,80 | 0,80 | 0,80 | 0,80 | 0,80 |
| Gebouw3D | 0,80 | 0,80 | 0,80 | 0,80 | 0,80 |
| Gebouw3D | 0,80 | 0,80 | 0,80 | 0,80 | 0,80 |
| Gebouw3D | 0,80 | 0,80 | 0,80 | 0,80 | 0,80 |
| Gebouw3D | 0,80 | 0,80 | 0,80 | 0,80 | 0,80 |
| Gebouw3D | 0,80 | 0,80 | 0,80 | 0,80 | 0,80 |
| Gebouw3D | 0,80 | 0,80 | 0,80 | 0,80 | 0,80 |
| Gebouw3D | 0,80 | 0,80 | 0,80 | 0,80 | 0,80 |
| Gebouw3D | 0,80 | 0,80 | 0,80 | 0,80 | 0,80 |
| Gebouw3D | 0,80 | 0,80 | 0,80 | 0,80 | 0,80 |
| Gebouw3D | 0,80 | 0,80 | 0,80 | 0,80 | 0,80 |
| Gebouw3D | 0,80 | 0,80 | 0,80 | 0,80 | 0,80 |
| Gebouw3D | 0,80 | 0,80 | 0,80 | 0,80 | 0,80 |
| Gebouw3D | 0,80 | 0,80 | 0,80 | 0,80 | 0,80 |
| Gebouw3D | 0,80 | 0,80 | 0,80 | 0,80 | 0,80 |
| Gebouw3D | 0,80 | 0,80 | 0,80 | 0,80 | 0,80 |
| Gebouw3D | 0,80 | 0,80 | 0,80 | 0,80 | 0,80 |
| Gebouw3D | 0,80 | 0,80 | 0,80 | 0,80 | 0,80 |
| Gebouw3D | 0,80 | 0,80 | 0,80 | 0,80 | 0,80 |
| Gebouw3D | 0,80 | 0,80 | 0,80 | 0,80 | 0,80 |
| Gebouw3D | 0,80 | 0,80 | 0,80 | 0,80 | 0,80 |
| Gebouw3D | 0,80 | 0,80 | 0,80 | 0,80 | 0,80 |
| Gebouw3D | 0,80 | 0,80 | 0,80 | 0,80 | 0,80 |
| Gebouw3D | 0,80 | 0,80 | 0,80 | 0,80 | 0,80 |
| Gebouw3D | 0,80 | 0,80 | 0,80 | 0,80 | 0,80 |
| Gebouw3D | 0,80 | 0,80 | 0,80 | 0,80 | 0,80 |

Model: Jager
Jager - Jager
Groep: (hoofdgroep)
Lijst van Gebouwen, voor rekenmethode Wegverkeerslawaai - RMW-2012

| Groep | ItemID | Grp.ID | Datum | Naam | Omschr. | Vorm | X-1 | Y-1 | Hoogte | Rel.H | Maaiveld | Hdef. | Vormpunten |
|---|---|---|---|---|---|---|---|---|---|---|---|---|---|
| Gebouw3D | 7807 | 1 | 08:58, 20 mrt 2020 | | | Polygoon | 247170,93 | 443698,40 | 7,40 | 7,40 | 0,00 | Relatief | 11 |
| Gebouw3D | 7808 | 1 | 08:58, 20 mrt 2020 | | | Polygoon | 247163,53 | 443684,74 | 2,30 | 2,30 | 0,00 | Relatief | 5 |
| Gebouw3D | 7809 | 1 | 08:58, 20 mrt 2020 | | | Polygoon | 247165,70 | 443692,41 | 3,00 | 3,00 | 0,00 | Relatief | 6 |
| Gebouw3D | 7810 | 1 | 08:58, 20 mrt 2020 | | | Polygoon | 247172,31 | 443646,47 | 7,80 | 7,80 | 0,00 | Relatief | 7 |
| Gebouw3D | 7811 | 1 | 08:58, 20 mrt 2020 | | | Polygoon | 247172,98 | 443664,33 | 7,40 | 7,40 | 0,00 | Relatief | 7 |
| Gebouw3D | 7812 | 1 | 08:58, 20 mrt 2020 | | | Polygoon | 247169,98 | 443685,92 | 2,30 | 2,30 | 0,00 | Relatief | 4 |
| Gebouw3D | 7813 | 1 | 08:58, 20 mrt 2020 | | | Polygoon | 247169,80 | 443688,65 | 2,20 | 2,20 | 0,00 | Relatief | 6 |
| Gebouw3D | 7814 | 1 | 08:58, 20 mrt 2020 | | | Polygoon | 247170,93 | 443698,40 | 7,40 | 7,40 | 0,00 | Relatief | 6 |
| Gebouw3D | 7815 | 1 | 08:58, 20 mrt 2020 | | | Polygoon | 247176,54 | 443640,99 | 7,80 | 7,80 | 0,00 | Relatief | 6 |
| Gebouw3D | 7816 | 1 | 08:58, 20 mrt 2020 | | | Polygoon | 247178,03 | 443663,83 | 7,40 | 7,40 | 0,00 | Relatief | 6 |
| Gebouw3D | 7817 | 1 | 08:58, 20 mrt 2020 | | | Polygoon | 247175,49 | 443631,23 | 2,20 | 2,20 | 0,00 | Relatief | 4 |
| Gebouw3D | 7818 | 1 | 08:58, 20 mrt 2020 | | | Polygoon | 247179,87 | 443682,44 | 2,30 | 2,30 | 0,00 | Relatief | 6 |
| Gebouw3D | 7819 | 1 | 08:58, 20 mrt 2020 | | | Polygoon | 247181,10 | 443689,93 | 4,70 | 4,70 | 0,00 | Relatief | 9 |
| Gebouw3D | 7820 | 1 | 08:58, 20 mrt 2020 | | | Polygoon | 247181,73 | 443645,56 | 7,60 | 7,60 | 0,00 | Relatief | 6 |
| Gebouw3D | 7821 | 1 | 08:58, 20 mrt 2020 | | | Polygoon | 247183,04 | 443663,33 | 7,30 | 7,30 | 0,00 | Relatief | 6 |
| Gebouw3D | 7822 | 1 | 08:58, 20 mrt 2020 | | | Polygoon | 247180,12 | 443684,93 | 2,50 | 2,50 | 0,00 | Relatief | 7 |
| Gebouw3D | 7823 | 1 | 08:58, 20 mrt 2020 | | | Polygoon | 247181,20 | 443687,40 | 2,20 | 2,20 | 0,00 | Relatief | 4 |
| Gebouw3D | 7824 | 1 | 08:58, 20 mrt 2020 | | | Polygoon | 247187,49 | 443701,51 | 7,70 | 7,70 | 0,00 | Relatief | 6 |
| Gebouw3D | 7825 | 1 | 08:58, 20 mrt 2020 | | | Polygoon | 247186,01 | 443640,03 | 7,70 | 7,70 | 0,00 | Relatief | 6 |
| Gebouw3D | 7826 | 1 | 08:58, 20 mrt 2020 | | | Polygoon | 247186,41 | 443684,98 | 2,20 | 2,20 | 0,00 | Relatief | 4 |
| Gebouw3D | 7827 | 1 | 08:58, 20 mrt 2020 | | | Polygoon | 247189,81 | 443681,51 | 2,20 | 2,20 | 0,00 | Relatief | 6 |
| Gebouw3D | 7828 | 1 | 08:58, 20 mrt 2020 | | | Polygoon | 247191,72 | 443695,88 | 7,80 | 7,80 | 0,00 | Relatief | 6 |
| Gebouw3D | 7829 | 1 | 08:58, 20 mrt 2020 | | | Polygoon | 247189,81 | 443681,51 | 2,10 | 2,10 | 0,00 | Relatief | 6 |
| Gebouw3D | 7830 | 1 | 08:58, 20 mrt 2020 | | | Polygoon | 247191,72 | 443695,88 | 7,70 | 7,70 | 0,00 | Relatief | 6 |
| Gebouw3D | 7831 | 1 | 08:58, 20 mrt 2020 | | | Polygoon | 247192,18 | 443631,49 | 2,20 | 2,20 | 0,00 | Relatief | 4 |
| Gebouw3D | 7832 | 1 | 08:58, 20 mrt 2020 | | | Polygoon | 247193,64 | 443651,14 | 2,50 | 2,50 | 0,00 | Relatief | 8 |
| Gebouw3D | 7833 | 1 | 08:58, 20 mrt 2020 | | | Polygoon | 247189,72 | 443685,59 | 6,10 | 6,10 | 0,00 | Relatief | 6 |
| Gebouw3D | 7834 | 1 | 08:58, 20 mrt 2020 | | | Polygoon | 247184,88 | 443630,39 | 2,20 | 2,20 | 0,00 | Relatief | 4 |
| Gebouw3D | 7835 | 1 | 08:58, 20 mrt 2020 | | | Polygoon | 247182,18 | 443696,88 | 7,70 | 7,70 | 0,00 | Relatief | 6 |
| Gebouw3D | 7836 | 1 | 08:58, 20 mrt 2020 | | | Polygoon | 247184,88 | 443630,39 | 2,20 | 2,20 | 0,00 | Relatief | 4 |
| Gebouw3D | 7837 | 1 | 08:58, 20 mrt 2020 | | | Polygoon | 247175,49 | 443631,23 | 2,20 | 2,20 | 0,00 | Relatief | 4 |
| Gebouw3D | 7838 | 1 | 08:58, 20 mrt 2020 | | | Polygoon | 247152,09 | 443671,46 | 7,60 | 7,60 | 0,00 | Relatief | 6 |
| Gebouw3D | 7839 | 1 | 08:58, 20 mrt 2020 | | | Polygoon | 247186,01 | 443640,03 | 7,70 | 7,70 | 0,00 | Relatief | 6 |
| Gebouw3D | 7840 | 1 | 08:58, 20 mrt 2020 | | | Polygoon | 247190,67 | 443623,86 | 2,30 | 2,30 | 0,00 | Relatief | 4 |
| Gebouw3D | 7841 | 1 | 08:58, 20 mrt 2020 | | | Polygoon | 247162,11 | 443670,46 | 7,50 | 7,50 | 0,00 | Relatief | 7 |
| Gebouw3D | 7842 | 1 | 08:58, 20 mrt 2020 | | | Polygoon | 247187,95 | 443662,85 | 7,40 | 7,40 | 0,00 | Relatief | 6 |

# Invoergegevens van het model

Model: Jager
Jager - Jager
Groep: (hoofdgroep)
Lijst van Gebouwen, voor rekenmethode Wegverkeerslawaai - RMW-2012

| Groep | Omtrek | Oppervlak | Min.lengte | Max.lengte | Functie | BAG-id | Gemeente | Jaar | AHN-jaar | Trust | Cp | Zwevend | Refl. 63 | Refl. 125 | Refl. 250 |
|---|---|---|---|---|---|---|---|---|---|---|---|---|---|---|---|
| Gebouw3D | 55,57 | 96,94 | 0,03 | 12,75 | | | | 0 | 0 | 0 | 0 dB | False | 0,80 | 0,80 | 0,80 |
| Gebouw3D | 10,51 | 6,71 | 0,20 | 3,07 | | | | 0 | 0 | 0 | 0 dB | False | 0,80 | 0,80 | 0,80 |
| Gebouw3D | 19,90 | 23,10 | 0,56 | 5,89 | | | | 0 | 0 | 0 | 0 dB | False | 0,80 | 0,80 | 0,80 |
| Gebouw3D | 35,90 | 49,54 | 2,01 | 7,87 | | | | 0 | 0 | 0 | 0 dB | False | 0,80 | 0,80 | 0,80 |
| Gebouw3D | 35,47 | 47,90 | 1,93 | 7,55 | | | | 0 | 0 | 0 | 0 dB | False | 0,80 | 0,80 | 0,80 |
| Gebouw3D | 10,87 | 7,34 | 2,50 | 2,93 | | | | 0 | 0 | 0 | 0 dB | False | 0,80 | 0,80 | 0,80 |
| Gebouw3D | 13,28 | 10,35 | 1,21 | 2,93 | | | | 0 | 0 | 0 | 0 dB | False | 0,80 | 0,80 | 0,80 |
| Gebouw3D | 35,56 | 48,67 | 1,96 | 12,67 | | | | 0 | 0 | 0 | 0 dB | False | 0,80 | 0,80 | 0,80 |
| Gebouw3D | 35,30 | 48,87 | 2,31 | 12,92 | | | | 0 | 0 | 0 | 0 dB | False | 0,80 | 0,80 | 0,80 |
| Gebouw3D | 35,92 | 50,77 | 2,33 | 12,88 | | | | 0 | 0 | 0 | 0 dB | False | 0,80 | 0,80 | 0,80 |
| Gebouw3D | 11,85 | 8,77 | 2,88 | 3,03 | | | | 0 | 0 | 0 | 0 dB | False | 0,80 | 0,80 | 0,80 |
| Gebouw3D | 13,34 | 10,42 | 1,38 | 2,79 | | | | 0 | 0 | 0 | 0 dB | False | 0,80 | 0,80 | 0,80 |
| Gebouw3D | 19,00 | 21,71 | 0,23 | 4,84 | | | | 0 | 0 | 0 | 0 dB | False | 0,80 | 0,80 | 0,80 |
| Gebouw3D | 35,30 | 47,47 | 2,03 | 12,92 | | | | 0 | 0 | 0 | 0 dB | False | 0,80 | 0,80 | 0,80 |
| Gebouw3D | 35,84 | 49,07 | 2,07 | 12,88 | | | | 0 | 0 | 0 | 0 dB | False | 0,80 | 0,80 | 0,80 |
| Gebouw3D | 18,18 | 20,39 | 0,07 | 4,79 | | | | 0 | 0 | 0 | 0 dB | False | 0,80 | 0,80 | 0,80 |
| Gebouw3D | 10,69 | 7,11 | 2,50 | 2,85 | | | | 0 | 0 | 0 | 0 dB | False | 0,80 | 0,80 | 0,80 |
| Gebouw3D | 35,46 | 47,92 | 2,05 | 12,93 | | | | 0 | 0 | 0 | 0 dB | False | 0,80 | 0,80 | 0,80 |
| Gebouw3D | 36,03 | 50,88 | 2,18 | 12,97 | | | | 0 | 0 | 0 | 0 dB | False | 0,80 | 0,80 | 0,80 |
| Gebouw3D | 10,89 | 7,36 | 2,50 | 2,94 | | | | 0 | 0 | 0 | 0 dB | False | 0,80 | 0,80 | 0,80 |
| Gebouw3D | 12,32 | 9,11 | 0,48 | 3,34 | | | | 0 | 0 | 0 | 0 dB | False | 0,80 | 0,80 | 0,80 |
| Gebouw3D | 35,44 | 47,82 | 2,05 | 12,92 | | | | 0 | 0 | 0 | 0 dB | False | 0,80 | 0,80 | 0,80 |
| Gebouw3D | 11,93 | 7,83 | 0,48 | 3,20 | | | | 0 | 0 | 0 | 0 dB | False | 0,80 | 0,80 | 0,80 |
| Gebouw3D | 35,61 | 48,11 | 1,98 | 12,92 | | | | 0 | 0 | 0 | 0 dB | False | 0,80 | 0,80 | 0,80 |
| Gebouw3D | 11,10 | 7,62 | 2,50 | 3,05 | | | | 0 | 0 | 0 | 0 dB | False | 0,80 | 0,80 | 0,80 |
| Gebouw3D | 26,63 | 34,60 | 0,50 | 6,45 | | | | 0 | 0 | 0 | 0 dB | False | 0,80 | 0,80 | 0,80 |
| Gebouw3D | 29,06 | 51,23 | 0,43 | 7,93 | | | | 0 | 0 | 0 | 0 dB | False | 0,80 | 0,80 | 0,80 |
| Gebouw3D | 11,71 | 8,56 | 2,80 | 3,02 | | | | 0 | 0 | 0 | 0 dB | False | 0,80 | 0,80 | 0,80 |
| Gebouw3D | 35,58 | 48,06 | 2,00 | 12,93 | | | | 0 | 0 | 0 | 0 dB | False | 0,80 | 0,80 | 0,80 |
| Gebouw3D | 12,12 | 9,18 | 3,00 | 3,08 | | | | 0 | 0 | 0 | 0 dB | False | 0,80 | 0,80 | 0,80 |
| Gebouw3D | 12,26 | 9,40 | 3,03 | 3,12 | | | | 0 | 0 | 0 | 0 dB | False | 0,80 | 0,80 | 0,80 |
| Gebouw3D | 31,06 | 44,03 | 2,07 | 10,30 | | | | 0 | 0 | 0 | 0 dB | False | 0,80 | 0,80 | 0,80 |
| Gebouw3D | 35,51 | 49,33 | 2,28 | 12,97 | | | | 0 | 0 | 0 | 0 dB | False | 0,80 | 0,80 | 0,80 |
| Gebouw3D | 12,14 | 9,21 | 2,98 | 3,11 | | | | 0 | 0 | 0 | 0 dB | False | 0,80 | 0,80 | 0,80 |
| Gebouw3D | 31,30 | 43,62 | 1,89 | 8,25 | | | | 0 | 0 | 0 | 0 dB | False | 0,80 | 0,80 | 0,80 |
| Gebouw3D | 36,56 | 50,06 | 2,06 | 13,19 | | | | 0 | 0 | 0 | 0 dB | False | 0,80 | 0,80 | 0,80 |

Model: Jager
Jager - Jager
Groep: (hoofdgroep)
Lijst van Gebouwen, voor rekenmethode Wegverkeerslawaai - RMW-2012

| Groep | Refl. 500 | Refl. 1k | Refl. 2k | Refl. 4k | Refl. 8k |
|---|---|---|---|---|---|
| Gebouw3D | 0,80 | 0,80 | 0,80 | 0,80 | 0,80 |
| Gebouw3D | 0,80 | 0,80 | 0,80 | 0,80 | 0,80 |
| Gebouw3D | 0,80 | 0,80 | 0,80 | 0,80 | 0,80 |
| Gebouw3D | 0,80 | 0,80 | 0,80 | 0,80 | 0,80 |
| Gebouw3D | 0,80 | 0,80 | 0,80 | 0,80 | 0,80 |
| Gebouw3D | 0,80 | 0,80 | 0,80 | 0,80 | 0,80 |
| Gebouw3D | 0,80 | 0,80 | 0,80 | 0,80 | 0,80 |
| Gebouw3D | 0,80 | 0,80 | 0,80 | 0,80 | 0,80 |
| Gebouw3D | 0,80 | 0,80 | 0,80 | 0,80 | 0,80 |
| Gebouw3D | 0,80 | 0,80 | 0,80 | 0,80 | 0,80 |
| Gebouw3D | 0,80 | 0,80 | 0,80 | 0,80 | 0,80 |
| Gebouw3D | 0,80 | 0,80 | 0,80 | 0,80 | 0,80 |
| Gebouw3D | 0,80 | 0,80 | 0,80 | 0,80 | 0,80 |
| Gebouw3D | 0,80 | 0,80 | 0,80 | 0,80 | 0,80 |
| Gebouw3D | 0,80 | 0,80 | 0,80 | 0,80 | 0,80 |
| Gebouw3D | 0,80 | 0,80 | 0,80 | 0,80 | 0,80 |
| Gebouw3D | 0,80 | 0,80 | 0,80 | 0,80 | 0,80 |
| Gebouw3D | 0,80 | 0,80 | 0,80 | 0,80 | 0,80 |
| Gebouw3D | 0,80 | 0,80 | 0,80 | 0,80 | 0,80 |
| Gebouw3D | 0,80 | 0,80 | 0,80 | 0,80 | 0,80 |
| Gebouw3D | 0,80 | 0,80 | 0,80 | 0,80 | 0,80 |
| Gebouw3D | 0,80 | 0,80 | 0,80 | 0,80 | 0,80 |
| Gebouw3D | 0,80 | 0,80 | 0,80 | 0,80 | 0,80 |
| Gebouw3D | 0,80 | 0,80 | 0,80 | 0,80 | 0,80 |
| Gebouw3D | 0,80 | 0,80 | 0,80 | 0,80 | 0,80 |
| Gebouw3D | 0,80 | 0,80 | 0,80 | 0,80 | 0,80 |
| Gebouw3D | 0,80 | 0,80 | 0,80 | 0,80 | 0,80 |
| Gebouw3D | 0,80 | 0,80 | 0,80 | 0,80 | 0,80 |
| Gebouw3D | 0,80 | 0,80 | 0,80 | 0,80 | 0,80 |
| Gebouw3D | 0,80 | 0,80 | 0,80 | 0,80 | 0,80 |
| Gebouw3D | 0,80 | 0,80 | 0,80 | 0,80 | 0,80 |
| Gebouw3D | 0,80 | 0,80 | 0,80 | 0,80 | 0,80 |

# Invoergegevens van het model

Model: Jager
Jager - Jager
Groep: (hoofdgroep)
Lijst van Gebouwen, voor rekenmethode Wegverkeerslawaai - RMW-2012

| Groep | ItemID | Grp.ID | Datum | Naam | Omschr. | Vorm | X-1 | Y-1 | Hoogte | Rel.H | Maaiveld | Hdef. | Vormpunten |
|---|---|---|---|---|---|---|---|---|---|---|---|---|---|
| Gebouw3D | 7843 | 1 | 08:58, 20 mrt 2020 | | | Polygoon | 247187,95 | 443662,85 | 7,30 | 7,30 | 0,00 | Relatief | 6 |
| Gebouw3D | 7844 | 1 | 08:58, 20 mrt 2020 | | | Polygoon | 247159,97 | 443691,29 | 2,10 | 2,10 | 0,00 | Relatief | 4 |
| Gebouw3D | 7845 | 1 | 08:58, 20 mrt 2020 | | | Polygoon | 247159,97 | 443691,29 | 2,30 | 2,30 | 0,00 | Relatief | 4 |
| Gebouw3D | 7846 | 1 | 08:58, 20 mrt 2020 | | | Polygoon | 247153,70 | 443687,66 | 2,20 | 2,20 | 0,00 | Relatief | 4 |
| Gebouw3D | 7847 | 1 | 08:58, 20 mrt 2020 | | | Polygoon | 247190,67 | 443623,86 | 2,20 | 2,20 | 0,00 | Relatief | 4 |
| Gebouw3D | 7848 | 1 | 08:58, 20 mrt 2020 | | | Polygoon | 247162,11 | 443670,46 | 7,30 | 7,30 | 0,00 | Relatief | 9 |
| Gebouw3D | 7849 | 1 | 08:58, 20 mrt 2020 | | | Polygoon | 247220,97 | 443590,92 | 6,80 | 6,80 | 0,00 | Relatief | 11 |
| Gebouw3D | 7850 | 1 | 08:58, 20 mrt 2020 | | | Polygoon | 247192,93 | 443592,68 | 8,40 | 8,40 | 0,00 | Relatief | 8 |
| Gebouw3D | 7851 | 1 | 08:58, 20 mrt 2020 | | | Polygoon | 247176,73 | 443588,80 | 7,90 | 7,90 | 0,00 | Relatief | 8 |
| Gebouw3D | 7852 | 1 | 08:58, 20 mrt 2020 | | | Polygoon | 247160,12 | 443589,40 | 7,90 | 7,90 | 0,00 | Relatief | 9 |
| Gebouw3D | 7853 | 1 | 08:58, 20 mrt 2020 | | | Polygoon | 247160,12 | 443589,40 | 7,90 | 7,90 | 0,00 | Relatief | 7 |
| Gebouw3D | 7854 | 1 | 08:58, 20 mrt 2020 | | | Polygoon | 247221,97 | 443598,00 | 5,90 | 5,90 | 0,00 | Relatief | 10 |
| Gebouw3D | 7855 | 1 | 08:58, 20 mrt 2020 | | | Polygoon | 247184,13 | 443594,93 | 2,50 | 2,50 | 0,00 | Relatief | 8 |
| Gebouw3D | 7856 | 1 | 08:58, 20 mrt 2020 | | | Polygoon | 247221,97 | 443598,00 | 5,70 | 5,70 | 0,00 | Relatief | 10 |
| Gebouw3D | 7857 | 1 | 08:58, 20 mrt 2020 | | | Polygoon | 247198,33 | 443603,18 | 8,50 | 8,50 | 0,00 | Relatief | 7 |
| Gebouw3D | 7858 | 1 | 08:58, 20 mrt 2020 | | | Polygoon | 247187,47 | 443599,75 | 0,10 | 0,10 | 0,00 | Relatief | 4 |
| Gebouw3D | 7859 | 1 | 08:58, 20 mrt 2020 | | | Polygoon | 247198,33 | 443603,18 | 8,50 | 8,50 | 0,00 | Relatief | 11 |
| Gebouw3D | 7860 | 1 | 08:58, 20 mrt 2020 | | | Polygoon | 247222,65 | 443604,57 | 5,90 | 5,90 | 0,00 | Relatief | 10 |
| Gebouw3D | 7861 | 1 | 08:58, 20 mrt 2020 | | | Polygoon | 247188,38 | 443604,74 | 3,10 | 3,10 | 0,00 | Relatief | 5 |
| Gebouw3D | 7862 | 1 | 08:58, 20 mrt 2020 | | | Polygoon | 247198,54 | 443608,17 | 8,40 | 8,40 | 0,00 | Relatief | 5 |
| Gebouw3D | 7863 | 1 | 08:58, 20 mrt 2020 | | | Polygoon | 247269,27 | 443607,85 | 3,10 | 3,10 | 0,00 | Relatief | 4 |
| Gebouw3D | 7864 | 1 | 08:58, 20 mrt 2020 | | | Polygoon | 247180,40 | 443608,44 | 2,20 | 2,20 | 0,00 | Relatief | 4 |
| Gebouw3D | 7865 | 1 | 08:58, 20 mrt 2020 | | | Polygoon | 247189,63 | 443613,97 | 2,30 | 2,30 | 0,00 | Relatief | 10 |
| Gebouw3D | 7866 | 1 | 08:58, 20 mrt 2020 | | | Polygoon | 247223,25 | 443610,42 | 6,00 | 6,00 | 0,00 | Relatief | 10 |
| Gebouw3D | 7867 | 1 | 08:58, 20 mrt 2020 | | | Polygoon | 247160,90 | 443609,29 | 2,20 | 2,20 | 0,00 | Relatief | 4 |
| Gebouw3D | 7868 | 1 | 08:58, 20 mrt 2020 | | | Polygoon | 247199,03 | 443613,02 | 8,40 | 8,40 | 0,00 | Relatief | 6 |
| Gebouw3D | 7869 | 1 | 08:58, 20 mrt 2020 | | | Polygoon | 247150,83 | 443609,86 | 2,70 | 2,70 | 0,00 | Relatief | 6 |
| Gebouw3D | 7870 | 1 | 08:58, 20 mrt 2020 | | | Polygoon | 247189,63 | 443613,97 | 2,20 | 2,20 | 0,00 | Relatief | 6 |
| Gebouw3D | 7871 | 1 | 08:58, 20 mrt 2020 | | | Polygoon | 247160,90 | 443609,29 | 2,20 | 2,20 | 0,00 | Relatief | 4 |
| Gebouw3D | 7872 | 1 | 08:58, 20 mrt 2020 | | | Polygoon | 247171,59 | 443588,96 | 7,90 | 7,90 | 0,00 | Relatief | 8 |
| Gebouw3D | 7873 | 1 | 08:58, 20 mrt 2020 | | | Polygoon | 247170,33 | 443611,75 | 2,60 | 2,60 | 0,00 | Relatief | 4 |
| Gebouw3D | 7874 | 1 | 08:58, 20 mrt 2020 | | | Polygoon | 247192,93 | 443592,68 | 8,50 | 8,50 | 0,00 | Relatief | 7 |
| Gebouw3D | 7875 | 1 | 08:58, 20 mrt 2020 | | | Polygoon | 247188,66 | 443604,30 | 2,20 | 2,20 | 0,00 | Relatief | 4 |
| Gebouw3D | 7876 | 1 | 08:58, 20 mrt 2020 | | | Polygoon | 247176,73 | 443588,80 | 7,80 | 7,80 | 0,00 | Relatief | 11 |
| Gebouw3D | 7877 | 1 | 08:58, 20 mrt 2020 | | | Polygoon | 247155,10 | 443589,60 | 7,80 | 7,80 | 0,00 | Relatief | 6 |
| Gebouw3D | 7878 | 1 | 08:58, 20 mrt 2020 | | | Polygoon | 247153,61 | 443548,37 | 3,70 | 3,70 | 0,00 | Relatief | 4 |

# Invoergegevens van het model

Model: Jager
Jager - Jager
Groep: (hoofdgroep)
Lijst van Gebouwen, voor rekenmethode Wegverkeerslawaai - RMW-2012

| Groep | Omtrek | Oppervlak | Min.lengte | Max.lengte | Functie | BAG-id | Gemeente | Jaar | AHN-jaar | Trust | Cp | Zwevend | Refl. 63 | Refl. 125 | Refl. 250 |
|---|---|---|---|---|---|---|---|---|---|---|---|---|---|---|---|
| Gebouw3D | 36,26 | 50,99 | 2,43 | 13,19 | | | | 0 | 0 | 0 | 0 dB | False | 0,80 | 0,80 | 0,80 |
| Gebouw3D | 16,53 | 16,13 | 3,16 | 5,11 | | | | 0 | 0 | 0 | 0 dB | False | 0,80 | 0,80 | 0,80 |
| Gebouw3D | 12,60 | 9,92 | 3,13 | 3,16 | | | | 0 | 0 | 0 | 0 dB | False | 0,80 | 0,80 | 0,80 |
| Gebouw3D | 12,32 | 9,42 | 2,83 | 3,34 | | | | 0 | 0 | 0 | 0 dB | False | 0,80 | 0,80 | 0,80 |
| Gebouw3D | 11,80 | 8,70 | 2,91 | 2,98 | | | | 0 | 0 | 0 | 0 dB | False | 0,80 | 0,80 | 0,80 |
| Gebouw3D | 31,02 | 52,55 | 0,06 | 8,25 | | | | 0 | 0 | 0 | 0 dB | False | 0,80 | 0,80 | 0,80 |
| Gebouw3D | 50,94 | 96,47 | 0,28 | 8,65 | | | | 0 | 0 | 0 | 0 dB | False | 0,80 | 0,80 | 0,80 |
| Gebouw3D | 35,91 | 48,93 | 0,13 | 7,95 | | | | 0 | 0 | 0 | 0 dB | False | 0,80 | 0,80 | 0,80 |
| Gebouw3D | 32,39 | 49,14 | 0,07 | 7,60 | | | | 0 | 0 | 0 | 0 dB | False | 0,80 | 0,80 | 0,80 |
| Gebouw3D | 32,34 | 48,38 | 0,05 | 10,82 | | | | 0 | 0 | 0 | 0 dB | False | 0,80 | 0,80 | 0,80 |
| Gebouw3D | 32,00 | 47,49 | 0,15 | 10,82 | | | | 0 | 0 | 0 | 0 dB | False | 0,80 | 0,80 | 0,80 |
| Gebouw3D | 44,97 | 66,82 | 0,68 | 15,07 | | | | 0 | 0 | 0 | 0 dB | False | 0,80 | 0,80 | 0,80 |
| Gebouw3D | 12,70 | 7,90 | 0,41 | 2,95 | | | | 0 | 0 | 0 | 0 dB | False | 0,80 | 0,80 | 0,80 |
| Gebouw3D | 47,71 | 85,80 | 0,35 | 15,07 | | | | 0 | 0 | 0 | 0 dB | False | 0,80 | 0,80 | 0,80 |
| Gebouw3D | 36,28 | 50,94 | 2,17 | 7,76 | | | | 0 | 0 | 0 | 0 dB | False | 0,80 | 0,80 | 0,80 |
| Gebouw3D | 10,87 | 7,33 | 2,50 | 2,93 | | | | 0 | 0 | 0 | 0 dB | False | 0,80 | 0,80 | 0,80 |
| Gebouw3D | 47,22 | 52,28 | 0,06 | 7,78 | | | | 0 | 0 | 0 | 0 dB | False | 0,80 | 0,80 | 0,80 |
| Gebouw3D | 43,69 | 64,98 | 0,62 | 15,27 | | | | 0 | 0 | 0 | 0 dB | False | 0,80 | 0,80 | 0,80 |
| Gebouw3D | 18,37 | 20,18 | 1,14 | 5,57 | | | | 0 | 0 | 0 | 0 dB | False | 0,80 | 0,80 | 0,80 |
| Gebouw3D | 36,51 | 65,67 | 4,87 | 13,35 | | | | 0 | 0 | 0 | 0 dB | False | 0,80 | 0,80 | 0,80 |
| Gebouw3D | 17,19 | 18,20 | 3,79 | 4,81 | | | | 0 | 0 | 0 | 0 dB | False | 0,80 | 0,80 | 0,80 |
| Gebouw3D | 12,03 | 9,03 | 2,90 | 3,12 | | | | 0 | 0 | 0 | 0 dB | False | 0,80 | 0,80 | 0,80 |
| Gebouw3D | 18,14 | 15,33 | 0,30 | 4,25 | | | | 0 | 0 | 0 | 0 dB | False | 0,80 | 0,80 | 0,80 |
| Gebouw3D | 46,34 | 76,99 | 0,11 | 15,27 | | | | 0 | 0 | 0 | 0 dB | False | 0,80 | 0,80 | 0,80 |
| Gebouw3D | 11,70 | 8,54 | 2,81 | 3,05 | | | | 0 | 0 | 0 | 0 dB | False | 0,80 | 0,80 | 0,80 |
| Gebouw3D | 36,56 | 53,44 | 2,22 | 13,35 | | | | 0 | 0 | 0 | 0 dB | False | 0,80 | 0,80 | 0,80 |
| Gebouw3D | 16,01 | 15,47 | 0,07 | 4,69 | | | | 0 | 0 | 0 | 0 dB | False | 0,80 | 0,80 | 0,80 |
| Gebouw3D | 14,96 | 10,23 | 0,22 | 4,25 | | | | 0 | 0 | 0 | 0 dB | False | 0,80 | 0,80 | 0,80 |
| Gebouw3D | 11,56 | 8,35 | 2,81 | 2,98 | | | | 0 | 0 | 0 | 0 dB | False | 0,80 | 0,80 | 0,80 |
| Gebouw3D | 32,51 | 49,95 | 0,13 | 7,70 | | | | 0 | 0 | 0 | 0 dB | False | 0,80 | 0,80 | 0,80 |
| Gebouw3D | 11,91 | 8,85 | 2,88 | 3,07 | | | | 0 | 0 | 0 | 0 dB | False | 0,80 | 0,80 | 0,80 |
| Gebouw3D | 35,73 | 49,48 | 2,26 | 7,95 | | | | 0 | 0 | 0 | 0 dB | False | 0,80 | 0,80 | 0,80 |
| Gebouw3D | 12,37 | 9,55 | 3,03 | 3,15 | | | | 0 | 0 | 0 | 0 dB | False | 0,80 | 0,80 | 0,80 |
| Gebouw3D | 32,07 | 48,68 | 0,07 | 7,65 | | | | 0 | 0 | 0 | 0 dB | False | 0,80 | 0,80 | 0,80 |
| Gebouw3D | 32,12 | 47,30 | 2,35 | 10,98 | | | | 0 | 0 | 0 | 0 dB | False | 0,80 | 0,80 | 0,80 |
| Gebouw3D | 14,13 | 12,46 | 3,43 | 3,63 | | | | 0 | 0 | 0 | 0 dB | False | 0,80 | 0,80 | 0,80 |

Model: Jager
Jager - Jager
Groep: (hoofdgroep)
Lijst van Gebouwen, voor rekenmethode Wegverkeerslawaai - RMW-2012

| Groep | Refl. 500 | Refl. 1k | Refl. 2k | Refl. 4k | Refl. 8k |
|---|---|---|---|---|---|
| Gebouw3D | 0,80 | 0,80 | 0,80 | 0,80 | 0,80 |
| Gebouw3D | 0,80 | 0,80 | 0,80 | 0,80 | 0,80 |
| Gebouw3D | 0,80 | 0,80 | 0,80 | 0,80 | 0,80 |
| Gebouw3D | 0,80 | 0,80 | 0,80 | 0,80 | 0,80 |
| Gebouw3D | 0,80 | 0,80 | 0,80 | 0,80 | 0,80 |
| Gebouw3D | 0,80 | 0,80 | 0,80 | 0,80 | 0,80 |
| Gebouw3D | 0,80 | 0,80 | 0,80 | 0,80 | 0,80 |
| Gebouw3D | 0,80 | 0,80 | 0,80 | 0,80 | 0,80 |
| Gebouw3D | 0,80 | 0,80 | 0,80 | 0,80 | 0,80 |
| Gebouw3D | 0,80 | 0,80 | 0,80 | 0,80 | 0,80 |
| Gebouw3D | 0,80 | 0,80 | 0,80 | 0,80 | 0,80 |
| Gebouw3D | 0,80 | 0,80 | 0,80 | 0,80 | 0,80 |
| Gebouw3D | 0,80 | 0,80 | 0,80 | 0,80 | 0,80 |
| Gebouw3D | 0,80 | 0,80 | 0,80 | 0,80 | 0,80 |
| Gebouw3D | 0,80 | 0,80 | 0,80 | 0,80 | 0,80 |
| Gebouw3D | 0,80 | 0,80 | 0,80 | 0,80 | 0,80 |
| Gebouw3D | 0,80 | 0,80 | 0,80 | 0,80 | 0,80 |
| Gebouw3D | 0,80 | 0,80 | 0,80 | 0,80 | 0,80 |
| Gebouw3D | 0,80 | 0,80 | 0,80 | 0,80 | 0,80 |
| Gebouw3D | 0,80 | 0,80 | 0,80 | 0,80 | 0,80 |
| Gebouw3D | 0,80 | 0,80 | 0,80 | 0,80 | 0,80 |
| Gebouw3D | 0,80 | 0,80 | 0,80 | 0,80 | 0,80 |
| Gebouw3D | 0,80 | 0,80 | 0,80 | 0,80 | 0,80 |
| Gebouw3D | 0,80 | 0,80 | 0,80 | 0,80 | 0,80 |
| Gebouw3D | 0,80 | 0,80 | 0,80 | 0,80 | 0,80 |
| Gebouw3D | 0,80 | 0,80 | 0,80 | 0,80 | 0,80 |
| Gebouw3D | 0,80 | 0,80 | 0,80 | 0,80 | 0,80 |
| Gebouw3D | 0,80 | 0,80 | 0,80 | 0,80 | 0,80 |
| Gebouw3D | 0,80 | 0,80 | 0,80 | 0,80 | 0,80 |
| Gebouw3D | 0,80 | 0,80 | 0,80 | 0,80 | 0,80 |
| Gebouw3D | 0,80 | 0,80 | 0,80 | 0,80 | 0,80 |
| Gebouw3D | 0,80 | 0,80 | 0,80 | 0,80 | 0,80 |

# Invoergegevens van het model

Model: Jager
Jager - Jager
Groep: (hoofdgroep)
Lijst van Gebouwen, voor rekenmethode Wegverkeerslawaai - RMW-2012

| Groep | ItemID | Grp.ID | Datum | Naam | Omschr. | Vorm | X-1 | Y-1 | Hoogte | Rel.H | Maaiveld | Hdef. | Vormpunten |
|---|---|---|---|---|---|---|---|---|---|---|---|---|---|
| Gebouw3D | 7879 | 1 | 08:58, 20 mrt 2020 | | | Polygoon | 247153,79 | 443571,77 | 8,60 | 8,60 | 0,00 | Relatief | 8 |
| Gebouw3D | 7880 | 1 | 08:58, 20 mrt 2020 | | | Polygoon | 247161,21 | 443541,97 | 4,20 | 4,20 | 0,00 | Relatief | 4 |
| Gebouw3D | 7881 | 1 | 08:58, 20 mrt 2020 | | | Polygoon | 247159,22 | 443524,98 | 6,80 | 6,80 | 0,00 | Relatief | 4 |
| Gebouw3D | 7882 | 1 | 08:58, 20 mrt 2020 | | | Polygoon | 247164,58 | 443564,00 | 8,50 | 8,50 | 0,00 | Relatief | 8 |
| Gebouw3D | 7883 | 1 | 08:58, 20 mrt 2020 | | | Polygoon | 247164,27 | 443556,39 | 2,20 | 2,20 | 0,00 | Relatief | 4 |
| Gebouw3D | 7884 | 1 | 08:58, 20 mrt 2020 | | | Polygoon | 247167,52 | 443498,34 | 5,80 | 5,80 | 0,00 | Relatief | 7 |
| Gebouw3D | 7885 | 1 | 08:58, 20 mrt 2020 | | | Polygoon | 247164,27 | 443556,39 | 2,10 | 2,10 | 0,00 | Relatief | 6 |
| Gebouw3D | 7886 | 1 | 08:58, 20 mrt 2020 | | | Polygoon | 247164,58 | 443564,00 | 8,50 | 8,50 | 0,00 | Relatief | 8 |
| Gebouw3D | 7887 | 1 | 08:58, 20 mrt 2020 | | | Polygoon | 247174,28 | 443558,54 | 2,30 | 2,30 | 0,00 | Relatief | 4 |
| Gebouw3D | 7888 | 1 | 08:58, 20 mrt 2020 | | | Polygoon | 247171,18 | 443540,55 | 6,90 | 6,90 | 0,00 | Relatief | 8 |
| Gebouw3D | 7889 | 1 | 08:58, 20 mrt 2020 | | | Polygoon | 247171,40 | 443547,54 | 2,10 | 2,10 | 0,00 | Relatief | 6 |
| Gebouw3D | 7890 | 1 | 08:58, 20 mrt 2020 | | | Polygoon | 247170,25 | 443579,18 | 8,40 | 8,40 | 0,00 | Relatief | 6 |
| Gebouw3D | 7891 | 1 | 08:58, 20 mrt 2020 | | | Polygoon | 247175,56 | 443492,45 | 7,70 | 7,70 | 0,00 | Relatief | 13 |
| Gebouw3D | 7892 | 1 | 08:58, 20 mrt 2020 | | | Polygoon | 247174,28 | 443558,54 | 2,20 | 2,20 | 0,00 | Relatief | 6 |
| Gebouw3D | 7893 | 1 | 08:58, 20 mrt 2020 | | | Polygoon | 247174,96 | 443578,99 | 8,50 | 8,50 | 0,00 | Relatief | 8 |
| Gebouw3D | 7894 | 1 | 08:58, 20 mrt 2020 | | | Polygoon | 247184,98 | 443529,89 | 2,90 | 2,90 | 0,00 | Relatief | 4 |
| Gebouw3D | 7895 | 1 | 08:58, 20 mrt 2020 | | | Polygoon | 247180,94 | 443536,98 | 2,20 | 2,20 | 0,00 | Relatief | 4 |
| Gebouw3D | 7896 | 1 | 08:58, 20 mrt 2020 | | | Polygoon | 247180,16 | 443557,56 | 2,30 | 2,30 | 0,00 | Relatief | 5 |
| Gebouw3D | 7897 | 1 | 08:58, 20 mrt 2020 | | | Polygoon | 247180,24 | 443547,88 | 2,20 | 2,20 | 0,00 | Relatief | 4 |
| Gebouw3D | 7898 | 1 | 08:58, 20 mrt 2020 | | | Polygoon | 247180,16 | 443557,56 | 2,30 | 2,30 | 0,00 | Relatief | 5 |
| Gebouw3D | 7899 | 1 | 08:58, 20 mrt 2020 | | | Polygoon | 247180,24 | 443547,88 | 2,20 | 2,20 | 0,00 | Relatief | 4 |
| Gebouw3D | 7900 | 1 | 08:58, 20 mrt 2020 | | | Polygoon | 247180,93 | 443562,52 | 2,30 | 2,30 | 0,00 | Relatief | 8 |
| Gebouw3D | 7901 | 1 | 08:58, 20 mrt 2020 | | | Polygoon | 247176,11 | 443428,12 | 2,50 | 2,50 | 0,00 | Relatief | 6 |
| Gebouw3D | 7902 | 1 | 08:58, 20 mrt 2020 | | | Polygoon | 247186,90 | 443377,63 | 6,80 | 6,80 | 0,00 | Relatief | 11 |
| Gebouw3D | 7903 | 1 | 08:58, 20 mrt 2020 | | | Polygoon | 247189,91 | 443362,57 | 2,50 | 2,50 | 0,00 | Relatief | 4 |
| Gebouw3D | 7904 | 1 | 08:58, 20 mrt 2020 | | | Polygoon | 247192,84 | 443462,93 | 2,80 | 2,80 | 0,00 | Relatief | 4 |
| Gebouw3D | 7905 | 1 | 08:58, 20 mrt 2020 | | | Polygoon | 247189,91 | 443362,57 | 2,60 | 2,60 | 0,00 | Relatief | 4 |
| Gebouw3D | 7906 | 1 | 08:58, 20 mrt 2020 | | | Polygoon | 247212,08 | 443412,29 | 6,80 | 6,80 | 0,00 | Relatief | 6 |
| Gebouw3D | 7907 | 1 | 08:58, 20 mrt 2020 | | | Polygoon | 247207,62 | 443452,87 | 2,80 | 2,80 | 0,00 | Relatief | 4 |
| Gebouw3D | 7908 | 1 | 08:58, 20 mrt 2020 | | | Polygoon | 247209,94 | 443414,76 | 2,00 | 2,00 | 0,00 | Relatief | 4 |
| Gebouw3D | 7909 | 1 | 08:58, 20 mrt 2020 | | | Polygoon | 247212,14 | 443418,01 | 4,00 | 4,00 | 0,00 | Relatief | 6 |
| Gebouw3D | 7910 | 1 | 08:58, 20 mrt 2020 | | | Polygoon | 247218,73 | 443392,60 | 6,90 | 6,90 | 0,00 | Relatief | 7 |
| Gebouw3D | 7911 | 1 | 08:58, 20 mrt 2020 | | | Polygoon | 247219,95 | 443445,31 | 3,00 | 3,00 | 0,00 | Relatief | 4 |
| Gebouw3D | 7912 | 1 | 08:58, 20 mrt 2020 | | | Polygoon | 247223,97 | 443412,45 | 3,90 | 3,90 | 0,00 | Relatief | 4 |
| Gebouw3D | 7913 | 1 | 08:58, 20 mrt 2020 | | | Polygoon | 247236,13 | 443427,44 | 7,00 | 7,00 | 0,00 | Relatief | 14 |
| Gebouw3D | 7914 | 1 | 08:58, 20 mrt 2020 | | | Polygoon | 247235,86 | 443407,96 | 4,00 | 4,00 | 0,00 | Relatief | 4 |

# Invoergegevens van het model

Model: Jager
Jager - Jager
Groep: (hoofdgroep)
Lijst van Gebouwen, voor rekenmethode Wegverkeerslawaai - RMW-2012

| Groep | Omtrek | Oppervlak | Min.lengte | Max.lengte | Functie | BAG-id | Gemeente | Jaar | AHN-jaar | Trust | Cp | Zwevend | Refl. 63 | Refl. 125 | Refl. 250 |
|---|---|---|---|---|---|---|---|---|---|---|---|---|---|---|---|
| Gebouw3D | 36,11 | 51,58 | 0,10 | 8,15 | | | | 0 | 0 | 0 | 0 dB | False | 0,80 | 0,80 | 0,80 |
| Gebouw3D | 28,74 | 43,75 | 4,38 | 9,99 | | | | 0 | 0 | 0 | 0 dB | False | 0,80 | 0,80 | 0,80 |
| Gebouw3D | 38,88 | 90,77 | 7,79 | 11,65 | | | | 0 | 0 | 0 | 0 dB | False | 0,80 | 0,80 | 0,80 |
| Gebouw3D | 40,88 | 51,00 | 0,12 | 15,40 | | | | 0 | 0 | 0 | 0 dB | False | 0,80 | 0,80 | 0,80 |
| Gebouw3D | 13,03 | 10,52 | 2,92 | 3,57 | | | | 0 | 0 | 0 | 0 dB | False | 0,80 | 0,80 | 0,80 |
| Gebouw3D | 40,51 | 75,82 | 3,74 | 7,61 | | | | 0 | 0 | 0 | 0 dB | False | 0,80 | 0,80 | 0,80 |
| Gebouw3D | 15,28 | 13,63 | 0,28 | 4,71 | | | | 0 | 0 | 0 | 0 dB | False | 0,80 | 0,80 | 0,80 |
| Gebouw3D | 40,88 | 55,50 | 0,33 | 15,40 | | | | 0 | 0 | 0 | 0 dB | False | 0,80 | 0,80 | 0,80 |
| Gebouw3D | 16,09 | 14,94 | 2,90 | 5,21 | | | | 0 | 0 | 0 | 0 dB | False | 0,80 | 0,80 | 0,80 |
| Gebouw3D | 52,17 | 116,13 | 2,38 | 14,46 | | | | 0 | 0 | 0 | 0 dB | False | 0,80 | 0,80 | 0,80 |
| Gebouw3D | 19,82 | 13,69 | 0,31 | 8,14 | | | | 0 | 0 | 0 | 0 dB | False | 0,80 | 0,80 | 0,80 |
| Gebouw3D | 35,39 | 48,71 | 2,28 | 12,93 | | | | 0 | 0 | 0 | 0 dB | False | 0,80 | 0,80 | 0,80 |
| Gebouw3D | 47,29 | 86,63 | 0,35 | 8,75 | | | | 0 | 0 | 0 | 0 dB | False | 0,80 | 0,80 | 0,80 |
| Gebouw3D | 15,54 | 13,88 | 0,19 | 4,70 | | | | 0 | 0 | 0 | 0 dB | False | 0,80 | 0,80 | 0,80 |
| Gebouw3D | 36,51 | 53,45 | 0,23 | 12,93 | | | | 0 | 0 | 0 | 0 dB | False | 0,80 | 0,80 | 0,80 |
| Gebouw3D | 26,39 | 43,17 | 6,00 | 7,20 | | | | 0 | 0 | 0 | 0 dB | False | 0,80 | 0,80 | 0,80 |
| Gebouw3D | 15,26 | 14,07 | 3,12 | 4,51 | | | | 0 | 0 | 0 | 0 dB | False | 0,80 | 0,80 | 0,80 |
| Gebouw3D | 11,72 | 8,55 | 0,34 | 3,04 | | | | 0 | 0 | 0 | 0 dB | False | 0,80 | 0,80 | 0,80 |
| Gebouw3D | 12,14 | 9,21 | 3,01 | 3,06 | | | | 0 | 0 | 0 | 0 dB | False | 0,80 | 0,80 | 0,80 |
| Gebouw3D | 12,51 | 9,79 | 0,34 | 3,22 | | | | 0 | 0 | 0 | 0 dB | False | 0,80 | 0,80 | 0,80 |
| Gebouw3D | 12,14 | 9,21 | 3,01 | 3,06 | | | | 0 | 0 | 0 | 0 dB | False | 0,80 | 0,80 | 0,80 |
| Gebouw3D | 16,60 | 13,99 | 0,11 | 3,08 | | | | 0 | 0 | 0 | 0 dB | False | 0,80 | 0,80 | 0,80 |
| Gebouw3D | 26,28 | 41,96 | 3,24 | 5,52 | | | | 0 | 0 | 0 | 0 dB | False | 0,80 | 0,80 | 0,80 |
| Gebouw3D | 51,07 | 107,30 | 2,07 | 7,19 | | | | 0 | 0 | 0 | 0 dB | False | 0,80 | 0,80 | 0,80 |
| Gebouw3D | 26,58 | 30,86 | 2,99 | 10,29 | | | | 0 | 0 | 0 | 0 dB | False | 0,80 | 0,80 | 0,80 |
| Gebouw3D | 18,24 | 20,77 | 4,46 | 4,66 | | | | 0 | 0 | 0 | 0 dB | False | 0,80 | 0,80 | 0,80 |
| Gebouw3D | 26,02 | 27,99 | 2,71 | 10,29 | | | | 0 | 0 | 0 | 0 dB | False | 0,80 | 0,80 | 0,80 |
| Gebouw3D | 40,11 | 93,77 | 3,15 | 9,49 | | | | 0 | 0 | 0 | 0 dB | False | 0,80 | 0,80 | 0,80 |
| Gebouw3D | 19,53 | 23,83 | 4,85 | 4,91 | | | | 0 | 0 | 0 | 0 dB | False | 0,80 | 0,80 | 0,80 |
| Gebouw3D | 16,61 | 15,75 | 2,93 | 5,38 | | | | 0 | 0 | 0 | 0 dB | False | 0,80 | 0,80 | 0,80 |
| Gebouw3D | 25,24 | 33,90 | 0,24 | 8,76 | | | | 0 | 0 | 0 | 0 dB | False | 0,80 | 0,80 | 0,80 |
| Gebouw3D | 34,41 | 55,83 | 2,49 | 7,91 | | | | 0 | 0 | 0 | 0 dB | False | 0,80 | 0,80 | 0,80 |
| Gebouw3D | 18,85 | 21,11 | 3,67 | 5,76 | | | | 0 | 0 | 0 | 0 dB | False | 0,80 | 0,80 | 0,80 |
| Gebouw3D | 20,52 | 24,10 | 3,64 | 6,62 | | | | 0 | 0 | 0 | 0 dB | False | 0,80 | 0,80 | 0,80 |
| Gebouw3D | 58,22 | 85,39 | 0,26 | 12,22 | | | | 0 | 0 | 0 | 0 dB | False | 0,80 | 0,80 | 0,80 |
| Gebouw3D | 25,64 | 35,11 | 3,96 | 8,86 | | | | 0 | 0 | 0 | 0 dB | False | 0,80 | 0,80 | 0,80 |

Model: Jager
Jager - Jager
Groep: (hoofdgroep)
Lijst van Gebouwen, voor rekenmethode Wegverkeerslawaai - RMW-2012

| Groep | Refl. 500 | Refl. 1k | Refl. 2k | Refl. 4k | Refl. 8k |
|---|---|---|---|---|---|
| Gebouw3D | 0,80 | 0,80 | 0,80 | 0,80 | 0,80 |
| Gebouw3D | 0,80 | 0,80 | 0,80 | 0,80 | 0,80 |
| Gebouw3D | 0,80 | 0,80 | 0,80 | 0,80 | 0,80 |
| Gebouw3D | 0,80 | 0,80 | 0,80 | 0,80 | 0,80 |
| Gebouw3D | 0,80 | 0,80 | 0,80 | 0,80 | 0,80 |
| Gebouw3D | 0,80 | 0,80 | 0,80 | 0,80 | 0,80 |
| Gebouw3D | 0,80 | 0,80 | 0,80 | 0,80 | 0,80 |
| Gebouw3D | 0,80 | 0,80 | 0,80 | 0,80 | 0,80 |
| Gebouw3D | 0,80 | 0,80 | 0,80 | 0,80 | 0,80 |
| Gebouw3D | 0,80 | 0,80 | 0,80 | 0,80 | 0,80 |
| Gebouw3D | 0,80 | 0,80 | 0,80 | 0,80 | 0,80 |
| Gebouw3D | 0,80 | 0,80 | 0,80 | 0,80 | 0,80 |
| Gebouw3D | 0,80 | 0,80 | 0,80 | 0,80 | 0,80 |
| Gebouw3D | 0,80 | 0,80 | 0,80 | 0,80 | 0,80 |
| Gebouw3D | 0,80 | 0,80 | 0,80 | 0,80 | 0,80 |
| Gebouw3D | 0,80 | 0,80 | 0,80 | 0,80 | 0,80 |
| Gebouw3D | 0,80 | 0,80 | 0,80 | 0,80 | 0,80 |
| Gebouw3D | 0,80 | 0,80 | 0,80 | 0,80 | 0,80 |
| Gebouw3D | 0,80 | 0,80 | 0,80 | 0,80 | 0,80 |
| Gebouw3D | 0,80 | 0,80 | 0,80 | 0,80 | 0,80 |
| Gebouw3D | 0,80 | 0,80 | 0,80 | 0,80 | 0,80 |
| Gebouw3D | 0,80 | 0,80 | 0,80 | 0,80 | 0,80 |
| Gebouw3D | 0,80 | 0,80 | 0,80 | 0,80 | 0,80 |
| Gebouw3D | 0,80 | 0,80 | 0,80 | 0,80 | 0,80 |
| Gebouw3D | 0,80 | 0,80 | 0,80 | 0,80 | 0,80 |
| Gebouw3D | 0,80 | 0,80 | 0,80 | 0,80 | 0,80 |
| Gebouw3D | 0,80 | 0,80 | 0,80 | 0,80 | 0,80 |
| Gebouw3D | 0,80 | 0,80 | 0,80 | 0,80 | 0,80 |
| Gebouw3D | 0,80 | 0,80 | 0,80 | 0,80 | 0,80 |
| Gebouw3D | 0,80 | 0,80 | 0,80 | 0,80 | 0,80 |
| Gebouw3D | 0,80 | 0,80 | 0,80 | 0,80 | 0,80 |
| Gebouw3D | 0,80 | 0,80 | 0,80 | 0,80 | 0,80 |

# Invoergegevens van het model

Model: Jager
Jager - Jager
Groep: (hoofdgroep)
Lijst van Gebouwen, voor rekenmethode Wegverkeerslawaai - RMW-2012

| Groep | ItemID | Grp.ID | Datum | Naam | Omschr. | Vorm | X-1 | Y-1 | Hoogte | Rel.H | Maaiveld | Hdef. | Vormpunten |
|---|---|---|---|---|---|---|---|---|---|---|---|---|---|
| Gebouw3D | 7915 | 1 | 08:58, 20 mrt 2020 | | | Polygoon | 247249,40 | 443379,35 | 6,30 | 6,30 | 0,00 | Relatief | 17 |
| Gebouw3D | 7916 | 1 | 08:58, 20 mrt 2020 | | | Polygoon | 247246,09 | 443432,44 | 3,40 | 3,40 | 0,00 | Relatief | 4 |
| Gebouw3D | 7917 | 1 | 08:58, 20 mrt 2020 | | | Polygoon | 247256,55 | 443424,79 | 7,60 | 7,60 | 0,00 | Relatief | 10 |
| Gebouw3D | 7918 | 1 | 08:58, 20 mrt 2020 | | | Polygoon | 247257,98 | 443404,80 | 4,40 | 4,40 | 0,00 | Relatief | 4 |
| Gebouw3D | 7919 | 1 | 08:58, 20 mrt 2020 | | | Polygoon | 247258,18 | 443401,05 | 6,90 | 6,90 | 0,00 | Relatief | 6 |
| Gebouw3D | 7920 | 1 | 08:58, 20 mrt 2020 | | | Polygoon | 247262,64 | 443364,74 | 6,40 | 6,40 | 0,00 | Relatief | 13 |
| Gebouw3D | 7921 | 1 | 08:58, 20 mrt 2020 | | | Polygoon | 247270,66 | 443424,36 | 3,50 | 3,50 | 0,00 | Relatief | 4 |
| Gebouw3D | 7922 | 1 | 08:58, 20 mrt 2020 | | | Polygoon | 247277,12 | 443401,46 | 2,70 | 2,70 | 0,00 | Relatief | 4 |
| Gebouw3D | 7923 | 1 | 08:58, 20 mrt 2020 | | | Polygoon | 247275,48 | 443372,85 | 2,70 | 2,70 | 0,00 | Relatief | 4 |
| Gebouw3D | 7924 | 1 | 08:58, 20 mrt 2020 | | | Polygoon | 247286,28 | 443420,22 | 6,80 | 6,80 | 0,00 | Relatief | 8 |
| Gebouw3D | 7925 | 1 | 08:58, 20 mrt 2020 | | | Polygoon | 247285,63 | 443384,58 | 2,90 | 2,90 | 0,00 | Relatief | 4 |
| Gebouw3D | 7926 | 1 | 08:58, 20 mrt 2020 | | | Polygoon | 247287,64 | 443371,38 | 3,10 | 3,10 | 0,00 | Relatief | 4 |
| Gebouw3D | 7927 | 1 | 08:58, 20 mrt 2020 | | | Polygoon | 247286,74 | 443394,92 | 2,40 | 2,40 | 0,00 | Relatief | 4 |
| Gebouw3D | 7928 | 1 | 08:58, 20 mrt 2020 | | | Polygoon | 247291,29 | 443380,51 | 3,10 | 3,10 | 0,00 | Relatief | 4 |
| Gebouw3D | 7929 | 1 | 08:58, 20 mrt 2020 | | | Polygoon | 247195,43 | 443406,10 | 7,20 | 7,20 | 0,00 | Relatief | 7 |
| Gebouw3D | 7930 | 1 | 08:58, 20 mrt 2020 | | | Polygoon | 247217,30 | 443435,52 | 4,90 | 4,90 | 0,00 | Relatief | 6 |
| Gebouw3D | 7931 | 1 | 08:58, 20 mrt 2020 | | | Polygoon | 247195,43 | 443406,10 | 7,30 | 7,30 | 0,00 | Relatief | 8 |
| Gebouw3D | 7932 | 1 | 08:58, 20 mrt 2020 | | | Polygoon | 247256,55 | 443424,79 | 7,70 | 7,70 | 0,00 | Relatief | 8 |
| Gebouw3D | 7933 | 1 | 08:58, 20 mrt 2020 | | | Polygoon | 247187,64 | 443425,77 | 3,10 | 3,10 | 0,00 | Relatief | 4 |
| Gebouw3D | 7934 | 1 | 08:58, 20 mrt 2020 | | | Polygoon | 247207,24 | 443371,45 | 9,80 | 9,80 | 0,00 | Relatief | 8 |
| Gebouw3D | 7935 | 1 | 08:58, 20 mrt 2020 | | | Polygoon | 247243,23 | 443440,86 | 3,20 | 3,20 | 0,00 | Relatief | 4 |
| Gebouw3D | 7936 | 1 | 08:58, 20 mrt 2020 | | | Polygoon | 247194,03 | 443420,10 | 4,30 | 4,30 | 0,00 | Relatief | 6 |
| Gebouw3D | 7937 | 1 | 08:58, 20 mrt 2020 | | | Polygoon | 247173,63 | 443445,58 | 4,70 | 4,70 | 0,00 | Relatief | 12 |
| Gebouw3D | 7938 | 1 | 08:58, 20 mrt 2020 | | | Polygoon | 247229,52 | 443384,64 | 7,00 | 7,00 | 0,00 | Relatief | 12 |
| Gebouw3D | 7939 | 1 | 08:58, 20 mrt 2020 | | | Polygoon | 247229,81 | 443409,14 | 2,30 | 2,30 | 0,00 | Relatief | 8 |
| Gebouw3D | 7940 | 1 | 08:58, 20 mrt 2020 | | | Polygoon | 247227,58 | 443441,86 | 3,50 | 3,50 | 0,00 | Relatief | 4 |
| Gebouw3D | 7941 | 1 | 08:58, 20 mrt 2020 | | | Polygoon | 247245,74 | 443390,97 | 3,70 | 3,70 | 0,00 | Relatief | 4 |
| Gebouw3D | 7942 | 1 | 08:58, 20 mrt 2020 | | | Polygoon | 247192,83 | 443439,98 | 5,00 | 5,00 | 0,00 | Relatief | 15 |
| Gebouw3D | 7943 | 1 | 08:58, 20 mrt 2020 | | | Polygoon | 247176,20 | 443412,81 | 7,10 | 7,10 | 0,00 | Relatief | 5 |
| Gebouw3D | 7944 | 1 | 08:58, 20 mrt 2020 | | | Polygoon | 247236,13 | 443427,44 | 7,10 | 7,10 | 0,00 | Relatief | 8 |
| Gebouw3D | 7945 | 1 | 08:58, 20 mrt 2020 | | | Polygoon | 247229,44 | 443429,07 | 7,10 | 7,10 | 0,00 | Relatief | 6 |
| Gebouw3D | 7946 | 1 | 08:58, 20 mrt 2020 | | | Polygoon | 247248,50 | 443388,33 | 6,70 | 6,70 | 0,00 | Relatief | 7 |
| Gebouw3D | 7947 | 1 | 08:58, 20 mrt 2020 | | | Polygoon | 247207,24 | 443371,45 | 9,60 | 9,60 | 0,00 | Relatief | 10 |
| Gebouw3D | 7948 | 1 | 08:58, 20 mrt 2020 | | | Polygoon | 247181,05 | 443377,60 | 3,80 | 3,80 | 0,00 | Relatief | 4 |
| Gebouw3D | 7949 | 1 | 08:58, 20 mrt 2020 | | | Polygoon | 247190,93 | 443572,75 | 8,00 | 8,00 | 0,00 | Relatief | 12 |
| Gebouw3D | 7950 | 1 | 08:58, 20 mrt 2020 | | | Polygoon | 247181,50 | 443569,86 | 2,30 | 2,30 | 0,00 | Relatief | 4 |

# Invoergegevens van het model

Model: Jager
Jager - Jager
Groep: (hoofdgroep)
Lijst van Gebouwen, voor rekenmethode Wegverkeerslawaai - RMW-2012

| Groep | Omtrek | Oppervlak | Min.lengte | Max.lengte | Functie | BAG-id | Gemeente | Jaar | AHN-jaar | Trust | Cp | Zwevend | Refl. 63 | Refl. 125 | Refl. 250 |
|---|---|---|---|---|---|---|---|---|---|---|---|---|---|---|---|
| Gebouw3D | 60,82 | 113,50 | 0,49 | 7,51 | | | | 0 | 0 | 0 | 0 dB | False | 0,80 | 0,80 | 0,80 |
| Gebouw3D | 20,19 | 23,48 | 3,63 | 6,46 | | | | 0 | 0 | 0 | 0 dB | False | 0,80 | 0,80 | 0,80 |
| Gebouw3D | 39,86 | 71,53 | 0,42 | 11,29 | | | | 0 | 0 | 0 | 0 dB | False | 0,80 | 0,80 | 0,80 |
| Gebouw3D | 27,72 | 47,98 | 6,68 | 7,18 | | | | 0 | 0 | 0 | 0 dB | False | 0,80 | 0,80 | 0,80 |
| Gebouw3D | 46,95 | 123,08 | 1,07 | 13,69 | | | | 0 | 0 | 0 | 0 dB | False | 0,80 | 0,80 | 0,80 |
| Gebouw3D | 60,90 | 125,62 | 0,34 | 11,15 | | | | 0 | 0 | 0 | 0 dB | False | 0,80 | 0,80 | 0,80 |
| Gebouw3D | 22,63 | 29,63 | 4,12 | 7,19 | | | | 0 | 0 | 0 | 0 dB | False | 0,80 | 0,80 | 0,80 |
| Gebouw3D | 16,74 | 16,51 | 3,18 | 5,19 | | | | 0 | 0 | 0 | 0 dB | False | 0,80 | 0,80 | 0,80 |
| Gebouw3D | 20,61 | 25,56 | 4,16 | 6,14 | | | | 0 | 0 | 0 | 0 dB | False | 0,80 | 0,80 | 0,80 |
| Gebouw3D | 51,73 | 98,13 | 2,80 | 9,82 | | | | 0 | 0 | 0 | 0 dB | False | 0,80 | 0,80 | 0,80 |
| Gebouw3D | 10,49 | 6,85 | 2,44 | 2,81 | | | | 0 | 0 | 0 | 0 dB | False | 0,80 | 0,80 | 0,80 |
| Gebouw3D | 13,76 | 11,46 | 2,83 | 4,05 | | | | 0 | 0 | 0 | 0 dB | False | 0,80 | 0,80 | 0,80 |
| Gebouw3D | 13,96 | 12,18 | 3,46 | 3,52 | | | | 0 | 0 | 0 | 0 dB | False | 0,80 | 0,80 | 0,80 |
| Gebouw3D | 11,22 | 7,81 | 2,57 | 3,04 | | | | 0 | 0 | 0 | 0 dB | False | 0,80 | 0,80 | 0,80 |
| Gebouw3D | 38,70 | 81,42 | 2,66 | 9,07 | | | | 0 | 0 | 0 | 0 dB | False | 0,80 | 0,80 | 0,80 |
| Gebouw3D | 38,81 | 86,80 | 0,49 | 11,50 | | | | 0 | 0 | 0 | 0 dB | False | 0,80 | 0,80 | 0,80 |
| Gebouw3D | 38,50 | 80,21 | 0,03 | 9,07 | | | | 0 | 0 | 0 | 0 dB | False | 0,80 | 0,80 | 0,80 |
| Gebouw3D | 42,17 | 70,66 | 0,04 | 11,29 | | | | 0 | 0 | 0 | 0 dB | False | 0,80 | 0,80 | 0,80 |
| Gebouw3D | 11,10 | 7,39 | 2,21 | 3,34 | | | | 0 | 0 | 0 | 0 dB | False | 0,80 | 0,80 | 0,80 |
| Gebouw3D | 40,64 | 66,80 | 0,99 | 13,64 | | | | 0 | 0 | 0 | 0 dB | False | 0,80 | 0,80 | 0,80 |
| Gebouw3D | 21,94 | 29,23 | 4,55 | 6,42 | | | | 0 | 0 | 0 | 0 dB | False | 0,80 | 0,80 | 0,80 |
| Gebouw3D | 26,19 | 39,31 | 1,04 | 6,91 | | | | 0 | 0 | 0 | 0 dB | False | 0,80 | 0,80 | 0,80 |
| Gebouw3D | 52,61 | 126,98 | 0,37 | 11,14 | | | | 0 | 0 | 0 | 0 dB | False | 0,80 | 0,80 | 0,80 |
| Gebouw3D | 49,57 | 102,41 | 0,10 | 7,77 | | | | 0 | 0 | 0 | 0 dB | False | 0,80 | 0,80 | 0,80 |
| Gebouw3D | 29,22 | 39,48 | 1,51 | 9,51 | | | | 0 | 0 | 0 | 0 dB | False | 0,80 | 0,80 | 0,80 |
| Gebouw3D | 22,28 | 27,67 | 3,74 | 7,40 | | | | 0 | 0 | 0 | 0 dB | False | 0,80 | 0,80 | 0,80 |
| Gebouw3D | 25,20 | 30,34 | 3,24 | 9,36 | | | | 0 | 0 | 0 | 0 dB | False | 0,80 | 0,80 | 0,80 |
| Gebouw3D | 59,66 | 124,14 | 0,22 | 8,33 | | | | 0 | 0 | 0 | 0 dB | False | 0,80 | 0,80 | 0,80 |
| Gebouw3D | 36,36 | 79,80 | 2,10 | 10,77 | | | | 0 | 0 | 0 | 0 dB | False | 0,80 | 0,80 | 0,80 |
| Gebouw3D | 36,35 | 72,79 | 0,45 | 12,22 | | | | 0 | 0 | 0 | 0 dB | False | 0,80 | 0,80 | 0,80 |
| Gebouw3D | 34,45 | 58,11 | 2,93 | 11,05 | | | | 0 | 0 | 0 | 0 dB | False | 0,80 | 0,80 | 0,80 |
| Gebouw3D | 43,36 | 96,78 | 2,26 | 10,93 | | | | 0 | 0 | 0 | 0 dB | False | 0,80 | 0,80 | 0,80 |
| Gebouw3D | 44,78 | 80,92 | 2,43 | 8,79 | | | | 0 | 0 | 0 | 0 dB | False | 0,80 | 0,80 | 0,80 |
| Gebouw3D | 27,89 | 46,34 | 5,46 | 8,49 | | | | 0 | 0 | 0 | 0 dB | False | 0,80 | 0,80 | 0,80 |
| Gebouw3D | 59,91 | 92,49 | 0,02 | 13,28 | | | | 0 | 0 | 0 | 0 dB | False | 0,80 | 0,80 | 0,80 |
| Gebouw3D | 12,06 | 9,09 | 2,95 | 3,08 | | | | 0 | 0 | 0 | 0 dB | False | 0,80 | 0,80 | 0,80 |

Model: Jager
Jager - Jager
Groep: (hoofdgroep)
Lijst van Gebouwen, voor rekenmethode Wegverkeerslawaai - RMW-2012

| Groep | Refl. 500 | Refl. 1k | Refl. 2k | Refl. 4k | Refl. 8k |
|---|---|---|---|---|---|
| Gebouw3D | 0,80 | 0,80 | 0,80 | 0,80 | 0,80 |
| Gebouw3D | 0,80 | 0,80 | 0,80 | 0,80 | 0,80 |
| Gebouw3D | 0,80 | 0,80 | 0,80 | 0,80 | 0,80 |
| Gebouw3D | 0,80 | 0,80 | 0,80 | 0,80 | 0,80 |
| Gebouw3D | 0,80 | 0,80 | 0,80 | 0,80 | 0,80 |
| Gebouw3D | 0,80 | 0,80 | 0,80 | 0,80 | 0,80 |
| Gebouw3D | 0,80 | 0,80 | 0,80 | 0,80 | 0,80 |
| Gebouw3D | 0,80 | 0,80 | 0,80 | 0,80 | 0,80 |
| Gebouw3D | 0,80 | 0,80 | 0,80 | 0,80 | 0,80 |
| Gebouw3D | 0,80 | 0,80 | 0,80 | 0,80 | 0,80 |
| Gebouw3D | 0,80 | 0,80 | 0,80 | 0,80 | 0,80 |
| Gebouw3D | 0,80 | 0,80 | 0,80 | 0,80 | 0,80 |
| Gebouw3D | 0,80 | 0,80 | 0,80 | 0,80 | 0,80 |
| Gebouw3D | 0,80 | 0,80 | 0,80 | 0,80 | 0,80 |
| Gebouw3D | 0,80 | 0,80 | 0,80 | 0,80 | 0,80 |
| Gebouw3D | 0,80 | 0,80 | 0,80 | 0,80 | 0,80 |
| Gebouw3D | 0,80 | 0,80 | 0,80 | 0,80 | 0,80 |
| Gebouw3D | 0,80 | 0,80 | 0,80 | 0,80 | 0,80 |
| Gebouw3D | 0,80 | 0,80 | 0,80 | 0,80 | 0,80 |
| Gebouw3D | 0,80 | 0,80 | 0,80 | 0,80 | 0,80 |
| Gebouw3D | 0,80 | 0,80 | 0,80 | 0,80 | 0,80 |
| Gebouw3D | 0,80 | 0,80 | 0,80 | 0,80 | 0,80 |
| Gebouw3D | 0,80 | 0,80 | 0,80 | 0,80 | 0,80 |
| Gebouw3D | 0,80 | 0,80 | 0,80 | 0,80 | 0,80 |
| Gebouw3D | 0,80 | 0,80 | 0,80 | 0,80 | 0,80 |
| Gebouw3D | 0,80 | 0,80 | 0,80 | 0,80 | 0,80 |
| Gebouw3D | 0,80 | 0,80 | 0,80 | 0,80 | 0,80 |
| Gebouw3D | 0,80 | 0,80 | 0,80 | 0,80 | 0,80 |
| Gebouw3D | 0,80 | 0,80 | 0,80 | 0,80 | 0,80 |
| Gebouw3D | 0,80 | 0,80 | 0,80 | 0,80 | 0,80 |
| Gebouw3D | 0,80 | 0,80 | 0,80 | 0,80 | 0,80 |
| Gebouw3D | 0,80 | 0,80 | 0,80 | 0,80 | 0,80 |

# Invoergegevens van het model

Model: Jager
Jager - Jager
Groep: (hoofdgroep)
Lijst van Gebouwen, voor rekenmethode Wegverkeerslawaai - RMW-2012

| Groep | ItemID | Grp.ID | Datum | Naam | Omschr. | Vorm | X-1 | Y-1 | Hoogte | Rel.H | Maaiveld | Hdef. | Vormpunten |
|---|---|---|---|---|---|---|---|---|---|---|---|---|---|
| Gebouw3D | 7951 | 1 | 08:58, 20 mrt 2020 | | | Polygoon | 247194,54 | 443503,15 | 7,90 | 7,90 | 0,00 | Relatief | 13 |
| Gebouw3D | 7952 | 1 | 08:58, 20 mrt 2020 | | | Polygoon | 247186,93 | 443535,77 | 8,00 | 8,00 | 0,00 | Relatief | 8 |
| Gebouw3D | 7953 | 1 | 08:58, 20 mrt 2020 | | | Polygoon | 247186,93 | 443535,77 | 8,40 | 8,40 | 0,00 | Relatief | 8 |
| Gebouw3D | 7954 | 1 | 08:58, 20 mrt 2020 | | | Polygoon | 247190,93 | 443572,75 | 8,40 | 8,40 | 0,00 | Relatief | 7 |
| Gebouw3D | 7955 | 1 | 08:58, 20 mrt 2020 | | | Polygoon | 247192,47 | 443546,12 | 8,40 | 8,40 | 0,00 | Relatief | 6 |
| Gebouw3D | 7956 | 1 | 08:58, 20 mrt 2020 | | | Polygoon | 247192,47 | 443546,12 | 8,60 | 8,60 | 0,00 | Relatief | 6 |
| Gebouw3D | 7957 | 1 | 08:58, 20 mrt 2020 | | | Polygoon | 247198,34 | 443550,67 | 8,30 | 8,30 | 0,00 | Relatief | 7 |
| Gebouw3D | 7958 | 1 | 08:58, 20 mrt 2020 | | | Polygoon | 247193,57 | 443556,29 | 8,30 | 8,30 | 0,00 | Relatief | 7 |
| Gebouw3D | 7959 | 1 | 08:58, 20 mrt 2020 | | | Polygoon | 247199,38 | 443560,85 | 8,40 | 8,40 | 0,00 | Relatief | 7 |
| Gebouw3D | 7960 | 1 | 08:58, 20 mrt 2020 | | | Polygoon | 247194,54 | 443503,15 | 5,60 | 5,60 | 0,00 | Relatief | 4 |
| Gebouw3D | 7961 | 1 | 08:58, 20 mrt 2020 | | | Polygoon | 247207,92 | 443518,02 | 7,90 | 7,90 | 0,00 | Relatief | 6 |
| Gebouw3D | 7962 | 1 | 08:58, 20 mrt 2020 | | | Polygoon | 247211,10 | 443509,08 | 7,10 | 7,10 | 0,00 | Relatief | 19 |
| Gebouw3D | 7963 | 1 | 08:58, 20 mrt 2020 | | | Polygoon | 247217,20 | 443551,50 | 8,20 | 8,20 | 0,00 | Relatief | 5 |
| Gebouw3D | 7964 | 1 | 08:58, 20 mrt 2020 | | | Polygoon | 247217,20 | 443551,50 | 7,70 | 7,70 | 0,00 | Relatief | 4 |
| Gebouw3D | 7965 | 1 | 08:58, 20 mrt 2020 | | | Polygoon | 247232,20 | 443562,13 | 7,30 | 7,30 | 0,00 | Relatief | 9 |
| Gebouw3D | 7966 | 1 | 08:58, 20 mrt 2020 | | | Polygoon | 247235,08 | 443561,90 | 7,30 | 7,30 | 0,00 | Relatief | 15 |
| Gebouw3D | 7967 | 1 | 08:58, 20 mrt 2020 | | | Polygoon | 247236,61 | 443571,89 | 6,60 | 6,60 | 0,00 | Relatief | 10 |
| Gebouw3D | 7968 | 1 | 08:58, 20 mrt 2020 | | | Polygoon | 247229,29 | 443501,13 | 5,80 | 5,80 | 0,00 | Relatief | 10 |
| Gebouw3D | 7969 | 1 | 08:58, 20 mrt 2020 | | | Polygoon | 247229,34 | 443495,50 | 2,30 | 2,30 | 0,00 | Relatief | 4 |
| Gebouw3D | 7970 | 1 | 08:58, 20 mrt 2020 | | | Polygoon | 247232,16 | 443556,01 | 6,20 | 6,20 | 0,00 | Relatief | 6 |
| Gebouw3D | 7971 | 1 | 08:58, 20 mrt 2020 | | | Polygoon | 247236,36 | 443558,98 | 2,30 | 2,30 | 0,00 | Relatief | 5 |
| Gebouw3D | 7972 | 1 | 08:58, 20 mrt 2020 | | | Polygoon | 247236,36 | 443558,98 | 5,10 | 5,10 | 0,00 | Relatief | 12 |
| Gebouw3D | 7973 | 1 | 08:58, 20 mrt 2020 | | | Polygoon | 247247,28 | 443498,74 | 10,00 | 10,00 | 0,00 | Relatief | 14 |
| Gebouw3D | 7974 | 1 | 08:58, 20 mrt 2020 | | | Polygoon | 247259,11 | 443500,63 | 6,10 | 6,10 | 0,00 | Relatief | 16 |
| Gebouw3D | 7975 | 1 | 08:58, 20 mrt 2020 | | | Polygoon | 247260,79 | 443553,74 | 5,90 | 5,90 | 0,00 | Relatief | 4 |
| Gebouw3D | 7976 | 1 | 08:58, 20 mrt 2020 | | | Polygoon | 247260,17 | 443557,64 | 4,10 | 4,10 | 0,00 | Relatief | 4 |
| Gebouw3D | 7977 | 1 | 08:58, 20 mrt 2020 | | | Polygoon | 247263,30 | 443515,04 | 6,80 | 6,80 | 0,00 | Relatief | 10 |
| Gebouw3D | 7981 | 1 | 08:58, 20 mrt 2020 | | | Polygoon | 247236,33 | 443297,80 | 7,30 | 7,30 | 0,00 | Relatief | 6 |
| Gebouw3D | 7982 | 1 | 08:58, 20 mrt 2020 | | | Polygoon | 247214,00 | 443277,25 | 2,70 | 2,70 | 0,00 | Relatief | 4 |
| Gebouw3D | 7983 | 1 | 08:58, 20 mrt 2020 | | | Polygoon | 247236,33 | 443297,80 | 6,40 | 6,40 | 0,00 | Relatief | 4 |
| Gebouw3D | 7984 | 1 | 08:58, 20 mrt 2020 | | | Polygoon | 247212,57 | 443322,94 | 8,40 | 8,40 | 0,00 | Relatief | 16 |
| Gebouw3D | 7987 | 1 | 08:58, 20 mrt 2020 | | | Polygoon | 247234,78 | 443304,89 | 2,50 | 2,50 | 0,00 | Relatief | 4 |
| Gebouw3D | 7998 | 1 | 08:58, 20 mrt 2020 | | | Polygoon | 247277,63 | 443355,62 | 6,90 | 6,90 | 0,00 | Relatief | 4 |
| Gebouw3D | 7999 | 1 | 08:58, 20 mrt 2020 | | | Polygoon | 247208,57 | 443347,86 | 6,10 | 6,10 | 0,00 | Relatief | 5 |
| Gebouw3D | 8006 | 1 | 08:58, 20 mrt 2020 | | | Polygoon | 247216,88 | 443271,75 | 4,40 | 4,40 | 0,00 | Relatief | 4 |
| Gebouw3D | 8007 | 1 | 08:58, 20 mrt 2020 | | | Polygoon | 247228,52 | 443268,00 | 2,70 | 2,70 | 0,00 | Relatief | 4 |

# Invoergegevens van het model

Model: Jager
Jager - Jager
Groep: (hoofdgroep)
Lijst van Gebouwen, voor rekenmethode Wegverkeerslawaai - RMW-2012

| Groep | Omtrek | Oppervlak | Min.lengte | Max.lengte | Functie | BAG-id | Gemeente | Jaar | AHN-jaar | Trust | Cp | Zwevend | Refl. 63 | Refl. 125 | Refl. 250 |
|---|---|---|---|---|---|---|---|---|---|---|---|---|---|---|---|
| Gebouw3D | 57,89 | 120,02 | 0,51 | 10,67 | | | | 0 | 0 | 0 | 0 dB | False | 0,80 | 0,80 | 0,80 |
| Gebouw3D | 38,95 | 71,18 | 0,42 | 8,04 | | | | 0 | 0 | 0 | 0 dB | False | 0,80 | 0,80 | 0,80 |
| Gebouw3D | 36,43 | 50,27 | 0,42 | 8,04 | | | | 0 | 0 | 0 | 0 dB | False | 0,80 | 0,80 | 0,80 |
| Gebouw3D | 36,00 | 48,69 | 0,02 | 13,28 | | | | 0 | 0 | 0 | 0 dB | False | 0,80 | 0,80 | 0,80 |
| Gebouw3D | 35,94 | 47,02 | 1,76 | 13,12 | | | | 0 | 0 | 0 | 0 dB | False | 0,80 | 0,80 | 0,80 |
| Gebouw3D | 36,46 | 53,73 | 2,48 | 13,12 | | | | 0 | 0 | 0 | 0 dB | False | 0,80 | 0,80 | 0,80 |
| Gebouw3D | 36,33 | 50,96 | 0,16 | 12,89 | | | | 0 | 0 | 0 | 0 dB | False | 0,80 | 0,80 | 0,80 |
| Gebouw3D | 36,33 | 51,73 | 0,16 | 12,89 | | | | 0 | 0 | 0 | 0 dB | False | 0,80 | 0,80 | 0,80 |
| Gebouw3D | 35,84 | 48,22 | 1,95 | 7,74 | | | | 0 | 0 | 0 | 0 dB | False | 0,80 | 0,80 | 0,80 |
| Gebouw3D | 31,03 | 51,66 | 4,59 | 10,67 | | | | 0 | 0 | 0 | 0 dB | False | 0,80 | 0,80 | 0,80 |
| Gebouw3D | 37,22 | 81,99 | 1,55 | 9,37 | | | | 0 | 0 | 0 | 0 dB | False | 0,80 | 0,80 | 0,80 |
| Gebouw3D | 94,26 | 276,24 | 0,14 | 17,51 | | | | 0 | 0 | 0 | 0 dB | False | 0,80 | 0,80 | 0,80 |
| Gebouw3D | 46,89 | 126,57 | 3,38 | 15,01 | | | | 0 | 0 | 0 | 0 dB | False | 0,80 | 0,80 | 0,80 |
| Gebouw3D | 34,63 | 66,11 | 5,69 | 11,63 | | | | 0 | 0 | 0 | 0 dB | False | 0,80 | 0,80 | 0,80 |
| Gebouw3D | 36,55 | 58,41 | 0,10 | 13,78 | | | | 0 | 0 | 0 | 0 dB | False | 0,80 | 0,80 | 0,80 |
| Gebouw3D | 58,67 | 113,57 | 0,03 | 13,78 | | | | 0 | 0 | 0 | 0 dB | False | 0,80 | 0,80 | 0,80 |
| Gebouw3D | 52,14 | 113,64 | 0,35 | 11,04 | | | | 0 | 0 | 0 | 0 dB | False | 0,80 | 0,80 | 0,80 |
| Gebouw3D | 47,03 | 107,15 | 0,69 | 13,31 | | | | 0 | 0 | 0 | 0 dB | False | 0,80 | 0,80 | 0,80 |
| Gebouw3D | 12,18 | 9,12 | 2,65 | 3,44 | | | | 0 | 0 | 0 | 0 dB | False | 0,80 | 0,80 | 0,80 |
| Gebouw3D | 37,86 | 86,61 | 0,71 | 9,51 | | | | 0 | 0 | 0 | 0 dB | False | 0,80 | 0,80 | 0,80 |
| Gebouw3D | 8,65 | 4,24 | 0,03 | 2,80 | | | | 0 | 0 | 0 | 0 dB | False | 0,80 | 0,80 | 0,80 |
| Gebouw3D | 36,36 | 63,34 | 0,15 | 8,64 | | | | 0 | 0 | 0 | 0 dB | False | 0,80 | 0,80 | 0,80 |
| Gebouw3D | 68,52 | 107,66 | 0,86 | 16,43 | | | | 0 | 0 | 0 | 0 dB | False | 0,80 | 0,80 | 0,80 |
| Gebouw3D | 73,64 | 178,87 | 0,68 | 11,69 | | | | 0 | 0 | 0 | 0 dB | False | 0,80 | 0,80 | 0,80 |
| Gebouw3D | 39,91 | 96,50 | 8,23 | 11,72 | | | | 0 | 0 | 0 | 0 dB | False | 0,80 | 0,80 | 0,80 |
| Gebouw3D | 22,58 | 30,80 | 4,61 | 6,68 | | | | 0 | 0 | 0 | 0 dB | False | 0,80 | 0,80 | 0,80 |
| Gebouw3D | 45,13 | 103,85 | 1,01 | 8,46 | | | | 0 | 0 | 0 | 0 dB | False | 0,80 | 0,80 | 0,80 |
| Gebouw3D | 81,46 | 415,03 | 0,36 | 20,51 | | | | 0 | 0 | 0 | 0 dB | False | 0,80 | 0,80 | 0,80 |
| Gebouw3D | 10,55 | 6,95 | 2,62 | 2,66 | | | | 0 | 0 | 0 | 0 dB | False | 0,80 | 0,80 | 0,80 |
| Gebouw3D | 138,40 | 969,02 | 19,46 | 49,73 | | | | 0 | 0 | 0 | 0 dB | False | 0,80 | 0,80 | 0,80 |
| Gebouw3D | 212,53 | 1002,96 | 0,30 | 28,13 | | | | 0 | 0 | 0 | 0 dB | False | 0,80 | 0,80 | 0,80 |
| Gebouw3D | 68,25 | 190,32 | 7,02 | 27,10 | | | | 0 | 0 | 0 | 0 dB | False | 0,80 | 0,80 | 0,80 |
| Gebouw3D | 23,71 | 34,94 | 5,48 | 6,37 | | | | 0 | 0 | 0 | 0 dB | False | 0,80 | 0,80 | 0,80 |
| Gebouw3D | 26,20 | 40,65 | 0,10 | 8,05 | | | | 0 | 0 | 0 | 0 dB | False | 0,80 | 0,80 | 0,80 |
| Gebouw3D | 16,68 | 16,00 | 2,98 | 5,35 | | | | 0 | 0 | 0 | 0 dB | False | 0,80 | 0,80 | 0,80 |
| Gebouw3D | 17,16 | 17,03 | 3,12 | 5,46 | | | | 0 | 0 | 0 | 0 dB | False | 0,80 | 0,80 | 0,80 |

Model: Jager
Jager - Jager
Groep: (hoofdgroep)
Lijst van Gebouwen, voor rekenmethode Wegverkeerslawaai - RMW-2012

| Groep | Refl. 500 | Refl. 1k | Refl. 2k | Refl. 4k | Refl. 8k |
|---|---|---|---|---|---|
| Gebouw3D | 0,80 | 0,80 | 0,80 | 0,80 | 0,80 |
| Gebouw3D | 0,80 | 0,80 | 0,80 | 0,80 | 0,80 |
| Gebouw3D | 0,80 | 0,80 | 0,80 | 0,80 | 0,80 |
| Gebouw3D | 0,80 | 0,80 | 0,80 | 0,80 | 0,80 |
| Gebouw3D | 0,80 | 0,80 | 0,80 | 0,80 | 0,80 |
| Gebouw3D | 0,80 | 0,80 | 0,80 | 0,80 | 0,80 |
| Gebouw3D | 0,80 | 0,80 | 0,80 | 0,80 | 0,80 |
| Gebouw3D | 0,80 | 0,80 | 0,80 | 0,80 | 0,80 |
| Gebouw3D | 0,80 | 0,80 | 0,80 | 0,80 | 0,80 |
| Gebouw3D | 0,80 | 0,80 | 0,80 | 0,80 | 0,80 |
| Gebouw3D | 0,80 | 0,80 | 0,80 | 0,80 | 0,80 |
| Gebouw3D | 0,80 | 0,80 | 0,80 | 0,80 | 0,80 |
| Gebouw3D | 0,80 | 0,80 | 0,80 | 0,80 | 0,80 |
| Gebouw3D | 0,80 | 0,80 | 0,80 | 0,80 | 0,80 |
| Gebouw3D | 0,80 | 0,80 | 0,80 | 0,80 | 0,80 |
| Gebouw3D | 0,80 | 0,80 | 0,80 | 0,80 | 0,80 |
| Gebouw3D | 0,80 | 0,80 | 0,80 | 0,80 | 0,80 |
| Gebouw3D | 0,80 | 0,80 | 0,80 | 0,80 | 0,80 |
| Gebouw3D | 0,80 | 0,80 | 0,80 | 0,80 | 0,80 |
| Gebouw3D | 0,80 | 0,80 | 0,80 | 0,80 | 0,80 |
| Gebouw3D | 0,80 | 0,80 | 0,80 | 0,80 | 0,80 |
| Gebouw3D | 0,80 | 0,80 | 0,80 | 0,80 | 0,80 |
| Gebouw3D | 0,80 | 0,80 | 0,80 | 0,80 | 0,80 |
| Gebouw3D | 0,80 | 0,80 | 0,80 | 0,80 | 0,80 |
| Gebouw3D | 0,80 | 0,80 | 0,80 | 0,80 | 0,80 |
| Gebouw3D | 0,80 | 0,80 | 0,80 | 0,80 | 0,80 |
| Gebouw3D | 0,80 | 0,80 | 0,80 | 0,80 | 0,80 |
| Gebouw3D | 0,80 | 0,80 | 0,80 | 0,80 | 0,80 |
| Gebouw3D | 0,80 | 0,80 | 0,80 | 0,80 | 0,80 |
| Gebouw3D | 0,80 | 0,80 | 0,80 | 0,80 | 0,80 |
| Gebouw3D | 0,80 | 0,80 | 0,80 | 0,80 | 0,80 |
| Gebouw3D | 0,80 | 0,80 | 0,80 | 0,80 | 0,80 |

# Invoergegevens van het model

Model: Jager
Jager - Jager
Groep: (hoofdgroep)
Lijst van Gebouwen, voor rekenmethode Wegverkeerslawaai - RMW-2012

| Groep | ItemID | Grp.ID | Datum | Naam | Omschr. | Vorm | X-1 | Y-1 | Hoogte | Rel.H | Maaiveld | Hdef. | Vormpunten |
|---|---|---|---|---|---|---|---|---|---|---|---|---|---|
| Gebouw3D | 8009 | 1 | 08:58, 20 mrt 2020 | | | Polygoon | 247282,71 | 443351,87 | 6,70 | 6,70 | 0,00 | Relatief | 4 |
| Gebouw3D | 8011 | 1 | 08:58, 20 mrt 2020 | | | Polygoon | 247282,71 | 443351,87 | 6,70 | 6,70 | 0,00 | Relatief | 10 |
| Gebouw3D | 8012 | 1 | 08:58, 20 mrt 2020 | | | Polygoon | 247199,76 | 443342,12 | 8,00 | 8,00 | 0,00 | Relatief | 8 |
| Gebouw3D | 8014 | 1 | 08:58, 20 mrt 2020 | | | Polygoon | 247214,00 | 443277,25 | 0,00 | 0,00 | 0,00 | Relatief | 4 |
| Gebouw3D | 8017 | 1 | 08:58, 20 mrt 2020 | | | Polygoon | 247200,11 | 443680,62 | 2,10 | 2,10 | 0,00 | Relatief | 4 |
| Gebouw3D | 8018 | 1 | 08:58, 20 mrt 2020 | | | Polygoon | 247197,96 | 443683,78 | 2,20 | 2,20 | 0,00 | Relatief | 4 |
| Gebouw3D | 8019 | 1 | 08:58, 20 mrt 2020 | | | Polygoon | 247201,14 | 443718,66 | 2,20 | 2,20 | 0,00 | Relatief | 4 |
| Gebouw3D | 8020 | 1 | 08:58, 20 mrt 2020 | | | Polygoon | 247202,84 | 443639,04 | 9,40 | 9,40 | 0,00 | Relatief | 8 |
| Gebouw3D | 8021 | 1 | 08:58, 20 mrt 2020 | | | Polygoon | 247203,06 | 443704,05 | 2,30 | 2,30 | 0,00 | Relatief | 4 |
| Gebouw3D | 8022 | 1 | 08:58, 20 mrt 2020 | | | Polygoon | 247205,09 | 443617,36 | 8,50 | 8,50 | 0,00 | Relatief | 6 |
| Gebouw3D | 8023 | 1 | 08:58, 20 mrt 2020 | | | Polygoon | 247200,30 | 443622,88 | 8,50 | 8,50 | 0,00 | Relatief | 6 |
| Gebouw3D | 8024 | 1 | 08:58, 20 mrt 2020 | | | Polygoon | 247206,36 | 443673,22 | 9,10 | 9,10 | 0,00 | Relatief | 8 |
| Gebouw3D | 8025 | 1 | 08:58, 20 mrt 2020 | | | Polygoon | 247202,84 | 443639,04 | 8,80 | 8,80 | 0,00 | Relatief | 8 |
| Gebouw3D | 8026 | 1 | 08:58, 20 mrt 2020 | | | Polygoon | 247206,36 | 443673,22 | 9,40 | 9,40 | 0,00 | Relatief | 8 |
| Gebouw3D | 8027 | 1 | 08:58, 20 mrt 2020 | | | Polygoon | 247212,30 | 443689,00 | 8,50 | 8,50 | 0,00 | Relatief | 7 |
| Gebouw3D | 8028 | 1 | 08:58, 20 mrt 2020 | | | Polygoon | 247207,40 | 443694,20 | 8,70 | 8,70 | 0,00 | Relatief | 7 |
| Gebouw3D | 8029 | 1 | 08:58, 20 mrt 2020 | | | Polygoon | 247213,24 | 443698,42 | 8,40 | 8,40 | 0,00 | Relatief | 6 |
| Gebouw3D | 8030 | 1 | 08:58, 20 mrt 2020 | | | Polygoon | 247215,60 | 443724,64 | 8,30 | 8,30 | 0,00 | Relatief | 6 |
| Gebouw3D | 8031 | 1 | 08:58, 20 mrt 2020 | | | Polygoon | 247225,90 | 443632,08 | 8,80 | 8,80 | 0,00 | Relatief | 7 |
| Gebouw3D | 8032 | 1 | 08:58, 20 mrt 2020 | | | Polygoon | 247225,95 | 443638,07 | 8,70 | 8,70 | 0,00 | Relatief | 6 |
| Gebouw3D | 8033 | 1 | 08:58, 20 mrt 2020 | | | Polygoon | 247273,70 | 443659,73 | 4,70 | 4,70 | 0,00 | Relatief | 14 |
| Gebouw3D | 8034 | 1 | 08:58, 20 mrt 2020 | | | Polygoon | 247237,70 | 443720,78 | 8,70 | 8,70 | 0,00 | Relatief | 4 |
| Gebouw3D | 8035 | 1 | 08:58, 20 mrt 2020 | | | Polygoon | 247259,14 | 443712,46 | 4,30 | 4,30 | 0,00 | Relatief | 8 |
| Gebouw3D | 8036 | 1 | 08:58, 20 mrt 2020 | | | Polygoon | 247264,64 | 443624,52 | 6,80 | 6,80 | 0,00 | Relatief | 10 |
| Gebouw3D | 8037 | 1 | 08:58, 20 mrt 2020 | | | Polygoon | 247272,83 | 443630,18 | 6,60 | 6,60 | 0,00 | Relatief | 12 |
| Gebouw3D | 8038 | 1 | 08:58, 20 mrt 2020 | | | Polygoon | 247281,39 | 443711,43 | 6,30 | 6,30 | 0,00 | Relatief | 7 |
| Gebouw3D | 8039 | 1 | 08:58, 20 mrt 2020 | | | Polygoon | 247199,21 | 443731,06 | 2,20 | 2,20 | 0,00 | Relatief | 4 |
| Gebouw3D | 8040 | 1 | 08:58, 20 mrt 2020 | | | Polygoon | 247275,27 | 443711,75 | 6,40 | 6,40 | 0,00 | Relatief | 11 |
| Gebouw3D | 8041 | 1 | 08:58, 20 mrt 2020 | | | Polygoon | 247225,90 | 443632,08 | 8,40 | 8,40 | 0,00 | Relatief | 16 |
| Gebouw3D | 8042 | 1 | 08:58, 20 mrt 2020 | | | Polygoon | 247200,11 | 443680,62 | 2,70 | 2,70 | 0,00 | Relatief | 4 |
| Gebouw3D | 8043 | 1 | 08:58, 20 mrt 2020 | | | Polygoon | 247272,83 | 443630,18 | 6,70 | 6,70 | 0,00 | Relatief | 8 |
| Gebouw3D | 8044 | 1 | 08:58, 20 mrt 2020 | | | Polygoon | 247256,95 | 443724,14 | 3,80 | 3,80 | 0,00 | Relatief | 4 |
| Gebouw3D | 8045 | 1 | 08:58, 20 mrt 2020 | | | Polygoon | 247223,96 | 443617,34 | 6,00 | 6,00 | 0,00 | Relatief | 9 |
| Gebouw3D | 8046 | 1 | 08:58, 20 mrt 2020 | | | Polygoon | 247199,49 | 443695,03 | 2,20 | 2,20 | 0,00 | Relatief | 6 |
| Gebouw3D | 8047 | 1 | 08:58, 20 mrt 2020 | | | Polygoon | 247199,49 | 443695,03 | 2,20 | 2,20 | 0,00 | Relatief | 4 |
| Gebouw3D | 8048 | 1 | 08:58, 20 mrt 2020 | | | Polygoon | 247237,70 | 443720,78 | 8,70 | 8,70 | 0,00 | Relatief | 4 |

# Invoergegevens van het model

Model: Jager
Jager - Jager
Groep: (hoofdgroep)
Lijst van Gebouwen, voor rekenmethode Wegverkeerslawaai - RMW-2012

| Groep | Omtrek | Oppervlak | Min.lengte | Max.lengte | Functie | BAG-id | Gemeente | Jaar | AHN-jaar | Trust | Cp | Zwevend | Refl. 63 | Refl. 125 | Refl. 250 |
|---|---|---|---|---|---|---|---|---|---|---|---|---|---|---|---|
| Gebouw3D | 23,59 | 34,62 | 5,48 | 6,31 | | | | 0 | 0 | 0 | 0 dB | False | 0,80 | 0,80 | 0,80 |
| Gebouw3D | 34,99 | 68,62 | 0,17 | 6,42 | | | | 0 | 0 | 0 | 0 dB | False | 0,80 | 0,80 | 0,80 |
| Gebouw3D | 42,96 | 81,97 | 3,00 | 9,00 | | | | 0 | 0 | 0 | 0 dB | False | 0,80 | 0,80 | 0,80 |
| Gebouw3D | 10,40 | 6,76 | 2,57 | 2,62 | | | | 0 | 0 | 0 | 0 dB | False | 0,80 | 0,80 | 0,80 |
| Gebouw3D | 10,85 | 7,32 | 2,50 | 2,93 | | | | 0 | 0 | 0 | 0 dB | False | 0,80 | 0,80 | 0,80 |
| Gebouw3D | 12,79 | 10,23 | 3,15 | 3,24 | | | | 0 | 0 | 0 | 0 dB | False | 0,80 | 0,80 | 0,80 |
| Gebouw3D | 12,01 | 9,02 | 2,99 | 3,01 | | | | 0 | 0 | 0 | 0 dB | False | 0,80 | 0,80 | 0,80 |
| Gebouw3D | 32,90 | 56,44 | 1,11 | 8,69 | | | | 0 | 0 | 0 | 0 dB | False | 0,80 | 0,80 | 0,80 |
| Gebouw3D | 12,31 | 9,47 | 3,05 | 3,11 | | | | 0 | 0 | 0 | 0 dB | False | 0,80 | 0,80 | 0,80 |
| Gebouw3D | 36,19 | 50,05 | 2,10 | 13,08 | | | | 0 | 0 | 0 | 0 dB | False | 0,80 | 0,80 | 0,80 |
| Gebouw3D | 36,48 | 53,61 | 2,56 | 13,08 | | | | 0 | 0 | 0 | 0 dB | False | 0,80 | 0,80 | 0,80 |
| Gebouw3D | 32,62 | 57,05 | 0,80 | 8,48 | | | | 0 | 0 | 0 | 0 dB | False | 0,80 | 0,80 | 0,80 |
| Gebouw3D | 33,13 | 65,94 | 1,04 | 8,69 | | | | 0 | 0 | 0 | 0 dB | False | 0,80 | 0,80 | 0,80 |
| Gebouw3D | 32,67 | 57,34 | 0,79 | 8,48 | | | | 0 | 0 | 0 | 0 dB | False | 0,80 | 0,80 | 0,80 |
| Gebouw3D | 36,05 | 62,27 | 0,03 | 13,17 | | | | 0 | 0 | 0 | 0 dB | False | 0,80 | 0,80 | 0,80 |
| Gebouw3D | 36,27 | 51,24 | 0,18 | 13,17 | | | | 0 | 0 | 0 | 0 dB | False | 0,80 | 0,80 | 0,80 |
| Gebouw3D | 32,21 | 56,95 | 2,52 | 8,15 | | | | 0 | 0 | 0 | 0 dB | False | 0,80 | 0,80 | 0,80 |
| Gebouw3D | 32,78 | 59,31 | 2,50 | 8,21 | | | | 0 | 0 | 0 | 0 dB | False | 0,80 | 0,80 | 0,80 |
| Gebouw3D | 30,28 | 53,29 | 0,57 | 9,19 | | | | 0 | 0 | 0 | 0 dB | False | 0,80 | 0,80 | 0,80 |
| Gebouw3D | 30,49 | 54,28 | 0,53 | 9,19 | | | | 0 | 0 | 0 | 0 dB | False | 0,80 | 0,80 | 0,80 |
| Gebouw3D | 146,98 | 514,25 | 0,46 | 31,08 | | | | 0 | 0 | 0 | 0 dB | False | 0,80 | 0,80 | 0,80 |
| Gebouw3D | 31,12 | 59,52 | 6,70 | 8,78 | | | | 0 | 0 | 0 | 0 dB | False | 0,80 | 0,80 | 0,80 |
| Gebouw3D | 34,68 | 57,55 | 0,44 | 6,31 | | | | 0 | 0 | 0 | 0 dB | False | 0,80 | 0,80 | 0,80 |
| Gebouw3D | 41,99 | 58,80 | 0,30 | 14,49 | | | | 0 | 0 | 0 | 0 dB | False | 0,80 | 0,80 | 0,80 |
| Gebouw3D | 42,03 | 66,98 | 0,03 | 6,84 | | | | 0 | 0 | 0 | 0 dB | False | 0,80 | 0,80 | 0,80 |
| Gebouw3D | 38,95 | 57,05 | 0,03 | 13,35 | | | | 0 | 0 | 0 | 0 dB | False | 0,80 | 0,80 | 0,80 |
| Gebouw3D | 10,69 | 6,96 | 2,25 | 3,09 | | | | 0 | 0 | 0 | 0 dB | False | 0,80 | 0,80 | 0,80 |
| Gebouw3D | 44,81 | 70,21 | 0,03 | 13,35 | | | | 0 | 0 | 0 | 0 dB | False | 0,80 | 0,80 | 0,80 |
| Gebouw3D | 49,37 | 81,99 | 0,29 | 8,59 | | | | 0 | 0 | 0 | 0 dB | False | 0,80 | 0,80 | 0,80 |
| Gebouw3D | 10,86 | 7,33 | 2,50 | 2,93 | | | | 0 | 0 | 0 | 0 dB | False | 0,80 | 0,80 | 0,80 |
| Gebouw3D | 41,70 | 61,24 | 0,55 | 14,49 | | | | 0 | 0 | 0 | 0 dB | False | 0,80 | 0,80 | 0,80 |
| Gebouw3D | 23,27 | 33,07 | 4,94 | 6,69 | | | | 0 | 0 | 0 | 0 dB | False | 0,80 | 0,80 | 0,80 |
| Gebouw3D | 37,61 | 63,42 | 0,61 | 7,31 | | | | 0 | 0 | 0 | 0 dB | False | 0,80 | 0,80 | 0,80 |
| Gebouw3D | 10,88 | 7,34 | 0,04 | 2,89 | | | | 0 | 0 | 0 | 0 dB | False | 0,80 | 0,80 | 0,80 |
| Gebouw3D | 10,87 | 7,33 | 2,50 | 2,93 | | | | 0 | 0 | 0 | 0 dB | False | 0,80 | 0,80 | 0,80 |
| Gebouw3D | 30,38 | 56,25 | 6,33 | 8,78 | | | | 0 | 0 | 0 | 0 dB | False | 0,80 | 0,80 | 0,80 |

Model: Jager
Jager - Jager
Groep: (hoofdgroep)
Lijst van Gebouwen, voor rekenmethode Wegverkeerslawaai - RMW-2012

| Groep | Refl. 500 | Refl. 1k | Refl. 2k | Refl. 4k | Refl. 8k |
|---|---|---|---|---|---|
| Gebouw3D | 0,80 | 0,80 | 0,80 | 0,80 | 0,80 |
| Gebouw3D | 0,80 | 0,80 | 0,80 | 0,80 | 0,80 |
| Gebouw3D | 0,80 | 0,80 | 0,80 | 0,80 | 0,80 |
| Gebouw3D | 0,80 | 0,80 | 0,80 | 0,80 | 0,80 |
| Gebouw3D | 0,80 | 0,80 | 0,80 | 0,80 | 0,80 |
| Gebouw3D | 0,80 | 0,80 | 0,80 | 0,80 | 0,80 |
| Gebouw3D | 0,80 | 0,80 | 0,80 | 0,80 | 0,80 |
| Gebouw3D | 0,80 | 0,80 | 0,80 | 0,80 | 0,80 |
| Gebouw3D | 0,80 | 0,80 | 0,80 | 0,80 | 0,80 |
| Gebouw3D | 0,80 | 0,80 | 0,80 | 0,80 | 0,80 |
| Gebouw3D | 0,80 | 0,80 | 0,80 | 0,80 | 0,80 |
| Gebouw3D | 0,80 | 0,80 | 0,80 | 0,80 | 0,80 |
| Gebouw3D | 0,80 | 0,80 | 0,80 | 0,80 | 0,80 |
| Gebouw3D | 0,80 | 0,80 | 0,80 | 0,80 | 0,80 |
| Gebouw3D | 0,80 | 0,80 | 0,80 | 0,80 | 0,80 |
| Gebouw3D | 0,80 | 0,80 | 0,80 | 0,80 | 0,80 |
| Gebouw3D | 0,80 | 0,80 | 0,80 | 0,80 | 0,80 |
| Gebouw3D | 0,80 | 0,80 | 0,80 | 0,80 | 0,80 |
| Gebouw3D | 0,80 | 0,80 | 0,80 | 0,80 | 0,80 |
| Gebouw3D | 0,80 | 0,80 | 0,80 | 0,80 | 0,80 |
| Gebouw3D | 0,80 | 0,80 | 0,80 | 0,80 | 0,80 |
| Gebouw3D | 0,80 | 0,80 | 0,80 | 0,80 | 0,80 |
| Gebouw3D | 0,80 | 0,80 | 0,80 | 0,80 | 0,80 |
| Gebouw3D | 0,80 | 0,80 | 0,80 | 0,80 | 0,80 |
| Gebouw3D | 0,80 | 0,80 | 0,80 | 0,80 | 0,80 |
| Gebouw3D | 0,80 | 0,80 | 0,80 | 0,80 | 0,80 |
| Gebouw3D | 0,80 | 0,80 | 0,80 | 0,80 | 0,80 |
| Gebouw3D | 0,80 | 0,80 | 0,80 | 0,80 | 0,80 |
| Gebouw3D | 0,80 | 0,80 | 0,80 | 0,80 | 0,80 |
| Gebouw3D | 0,80 | 0,80 | 0,80 | 0,80 | 0,80 |
| Gebouw3D | 0,80 | 0,80 | 0,80 | 0,80 | 0,80 |
| Gebouw3D | 0,80 | 0,80 | 0,80 | 0,80 | 0,80 |

Model: Jager
Jager - Jager
Groep: (hoofdgroep)
Lijst van Gebouwen, voor rekenmethode Wegverkeerslawaai - RMW-2012

| Groep | ItemID | Grp.ID | Datum | Naam | Omschr. | Vorm | X-1 | Y-1 | Hoogte | Rel.H | Maaiveld | Hdef. | Vormpunten |
|---|---|---|---|---|---|---|---|---|---|---|---|---|---|
| Gebouw3D | 8049 | 1 | 08:58, 20 mrt 2020 | | | Polygoon | 247251,41 | 443642,42 | 2,50 | 2,50 | 0,00 | Relatief | 4 |
| Gebouw3D | 8050 | 1 | 08:58, 20 mrt 2020 | | | Polygoon | 247215,60 | 443724,64 | 8,40 | 8,40 | 0,00 | Relatief | 7 |
| Gebouw3D | 8051 | 1 | 08:58, 20 mrt 2020 | | | Polygoon | 247196,23 | 443672,59 | 2,80 | 2,80 | 0,00 | Relatief | 4 |
| Gebouw3D | 8052 | 1 | 08:58, 20 mrt 2020 | | | Polygoon | 247212,30 | 443689,00 | 8,60 | 8,60 | 0,00 | Relatief | 7 |
| Gebouw3D | 8053 | 1 | 08:58, 20 mrt 2020 | | | Polygoon | 247218,26 | 443678,02 | 3,20 | 3,20 | 0,00 | Relatief | 4 |
| Gebouw3D | 8054 | 1 | 08:58, 20 mrt 2020 | | | Polygoon | 247319,06 | 443450,36 | 3,10 | 3,10 | 0,00 | Relatief | 7 |
| Gebouw3D | 8055 | 1 | 08:58, 20 mrt 2020 | | | Polygoon | 247316,94 | 443451,02 | 3,00 | 3,00 | 0,00 | Relatief | 4 |
| Gebouw3D | 8056 | 1 | 08:58, 20 mrt 2020 | | | Polygoon | 247314,16 | 443455,04 | 2,50 | 2,50 | 0,00 | Relatief | 4 |
| Gebouw3D | 8057 | 1 | 08:58, 20 mrt 2020 | | | Polygoon | 247328,72 | 443478,93 | 6,80 | 6,80 | 0,00 | Relatief | 18 |
| Gebouw3D | 8058 | 1 | 08:58, 20 mrt 2020 | | | Polygoon | 247324,18 | 443478,59 | 3,00 | 3,00 | 0,00 | Relatief | 4 |
| Gebouw3D | 8059 | 1 | 08:58, 20 mrt 2020 | | | Polygoon | 247318,50 | 443493,22 | 2,10 | 2,10 | 0,00 | Relatief | 4 |
| Gebouw3D | 8060 | 1 | 08:58, 20 mrt 2020 | | | Polygoon | 247337,65 | 443506,43 | 2,90 | 2,90 | 0,00 | Relatief | 4 |
| Gebouw3D | 8061 | 1 | 08:58, 20 mrt 2020 | | | Polygoon | 247328,90 | 443511,44 | 7,00 | 7,00 | 0,00 | Relatief | 11 |
| Gebouw3D | 8062 | 1 | 08:58, 20 mrt 2020 | | | Polygoon | 247322,07 | 443507,09 | 7,00 | 7,00 | 0,00 | Relatief | 15 |
| Gebouw3D | 8063 | 1 | 08:58, 20 mrt 2020 | | | Polygoon | 247308,90 | 443512,22 | 7,00 | 7,00 | 0,00 | Relatief | 9 |
| Gebouw3D | 8064 | 1 | 08:58, 20 mrt 2020 | | | Polygoon | 247283,95 | 443568,11 | 7,90 | 7,90 | 0,00 | Relatief | 6 |
| Gebouw3D | 8065 | 1 | 08:58, 20 mrt 2020 | | | Polygoon | 247314,40 | 443575,02 | 8,10 | 8,10 | 0,00 | Relatief | 13 |
| Gebouw3D | 8066 | 1 | 08:58, 20 mrt 2020 | | | Polygoon | 247325,86 | 443559,62 | 8,90 | 8,90 | 0,00 | Relatief | 4 |
| Gebouw3D | 8067 | 1 | 08:58, 20 mrt 2020 | | | Polygoon | 247327,92 | 443582,35 | 8,20 | 8,20 | 0,00 | Relatief | 23 |
| Gebouw3D | 8068 | 1 | 08:58, 20 mrt 2020 | | | Polygoon | 247285,78 | 443588,97 | 4,40 | 4,40 | 0,00 | Relatief | 6 |
| Gebouw3D | 8069 | 1 | 08:58, 20 mrt 2020 | | | Polygoon | 247344,23 | 443596,28 | 6,80 | 6,80 | 0,00 | Relatief | 6 |
| Gebouw3D | 8070 | 1 | 08:58, 20 mrt 2020 | | | Polygoon | 247298,02 | 443602,75 | 2,70 | 2,70 | 0,00 | Relatief | 4 |
| Gebouw3D | 8071 | 1 | 08:58, 20 mrt 2020 | | | Polygoon | 247292,57 | 443606,32 | 2,20 | 2,20 | 0,00 | Relatief | 4 |
| Gebouw3D | 8072 | 1 | 08:58, 20 mrt 2020 | | | Polygoon | 247309,62 | 443616,40 | 3,50 | 3,50 | 0,00 | Relatief | 4 |
| Gebouw3D | 8073 | 1 | 08:58, 20 mrt 2020 | | | Polygoon | 247310,23 | 443618,16 | 6,60 | 6,60 | 0,00 | Relatief | 12 |
| Gebouw3D | 8074 | 1 | 08:58, 20 mrt 2020 | | | Polygoon | 247300,53 | 443628,79 | 6,70 | 6,70 | 0,00 | Relatief | 16 |
| Gebouw3D | 8075 | 1 | 08:58, 20 mrt 2020 | | | Polygoon | 247296,39 | 443616,89 | 3,50 | 3,50 | 0,00 | Relatief | 4 |
| Gebouw3D | 8076 | 1 | 08:58, 20 mrt 2020 | | | Polygoon | 247306,49 | 443626,71 | 6,70 | 6,70 | 0,00 | Relatief | 4 |
| Gebouw3D | 8077 | 1 | 08:58, 20 mrt 2020 | | | Polygoon | 247290,50 | 443506,11 | 4,00 | 4,00 | 0,00 | Relatief | 4 |
| Gebouw3D | 8078 | 1 | 08:58, 20 mrt 2020 | | | Polygoon | 247344,23 | 443596,28 | 6,70 | 6,70 | 0,00 | Relatief | 5 |
| Gebouw3D | 8079 | 1 | 08:58, 20 mrt 2020 | | | Polygoon | 247320,25 | 443608,51 | 6,70 | 6,70 | 0,00 | Relatief | 8 |
| Gebouw3D | 8080 | 1 | 08:58, 20 mrt 2020 | | | Polygoon | 247283,95 | 443568,11 | 7,60 | 7,60 | 0,00 | Relatief | 8 |
| Gebouw3D | 8081 | 1 | 08:58, 20 mrt 2020 | | | Polygoon | 247320,25 | 443608,51 | 6,70 | 6,70 | 0,00 | Relatief | 8 |
| Gebouw3D | 8082 | 1 | 08:58, 20 mrt 2020 | | | Polygoon | 247342,31 | 443596,16 | 2,50 | 2,50 | 0,00 | Relatief | 4 |
| Gebouw3D | 8083 | 1 | 08:58, 20 mrt 2020 | | | Polygoon | 247338,32 | 443603,20 | 2,60 | 2,60 | 0,00 | Relatief | 4 |
| Gebouw3D | 8084 | 1 | 08:58, 20 mrt 2020 | | | Polygoon | 247318,75 | 443467,49 | 6,90 | 6,90 | 0,00 | Relatief | 12 |

# Invoergegevens van het model

Model: Jager
Jager - Jager
Groep: (hoofdgroep)
Lijst van Gebouwen, voor rekenmethode Wegverkeerslawaai - RMW-2012

| Groep | Omtrek | Oppervlak | Min.lengte | Max.lengte | Functie | BAG-id | Gemeente | Jaar | AHN-jaar | Trust | Cp | Zwevend | Refl. 63 | Refl. 125 | Refl. 250 |
|---|---|---|---|---|---|---|---|---|---|---|---|---|---|---|---|
| Gebouw3D | 20,31 | 24,07 | 3,75 | 6,41 | | | | 0 | 0 | 0 | 0 dB | False | 0,80 | 0,80 | 0,80 |
| Gebouw3D | 35,81 | 49,65 | 2,04 | 8,18 | | | | 0 | 0 | 0 | 0 dB | False | 0,80 | 0,80 | 0,80 |
| Gebouw3D | 18,31 | 18,78 | 3,09 | 6,05 | | | | 0 | 0 | 0 | 0 dB | False | 0,80 | 0,80 | 0,80 |
| Gebouw3D | 36,33 | 51,89 | 2,26 | 7,95 | | | | 0 | 0 | 0 | 0 dB | False | 0,80 | 0,80 | 0,80 |
| Gebouw3D | 24,73 | 31,76 | 3,64 | 8,72 | | | | 0 | 0 | 0 | 0 dB | False | 0,80 | 0,80 | 0,80 |
| Gebouw3D | 11,25 | 7,66 | 0,09 | 3,14 | | | | 0 | 0 | 0 | 0 dB | False | 0,80 | 0,80 | 0,80 |
| Gebouw3D | 11,57 | 8,30 | 2,64 | 3,14 | | | | 0 | 0 | 0 | 0 dB | False | 0,80 | 0,80 | 0,80 |
| Gebouw3D | 15,29 | 14,53 | 3,54 | 4,11 | | | | 0 | 0 | 0 | 0 dB | False | 0,80 | 0,80 | 0,80 |
| Gebouw3D | 56,76 | 97,54 | 0,15 | 6,39 | | | | 0 | 0 | 0 | 0 dB | False | 0,80 | 0,80 | 0,80 |
| Gebouw3D | 11,61 | 8,34 | 2,61 | 3,19 | | | | 0 | 0 | 0 | 0 dB | False | 0,80 | 0,80 | 0,80 |
| Gebouw3D | 9,55 | 5,68 | 2,25 | 2,52 | | | | 0 | 0 | 0 | 0 dB | False | 0,80 | 0,80 | 0,80 |
| Gebouw3D | 14,73 | 12,54 | 2,68 | 4,69 | | | | 0 | 0 | 0 | 0 dB | False | 0,80 | 0,80 | 0,80 |
| Gebouw3D | 45,30 | 63,30 | 0,10 | 9,23 | | | | 0 | 0 | 0 | 0 dB | False | 0,80 | 0,80 | 0,80 |
| Gebouw3D | 54,90 | 63,90 | 0,10 | 9,24 | | | | 0 | 0 | 0 | 0 dB | False | 0,80 | 0,80 | 0,80 |
| Gebouw3D | 45,23 | 64,10 | 0,13 | 9,24 | | | | 0 | 0 | 0 | 0 dB | False | 0,80 | 0,80 | 0,80 |
| Gebouw3D | 52,99 | 83,02 | 2,26 | 21,22 | | | | 0 | 0 | 0 | 0 dB | False | 0,80 | 0,80 | 0,80 |
| Gebouw3D | 74,78 | 185,01 | 0,50 | 11,95 | | | | 0 | 0 | 0 | 0 dB | False | 0,80 | 0,80 | 0,80 |
| Gebouw3D | 40,78 | 103,25 | 9,36 | 11,03 | | | | 0 | 0 | 0 | 0 dB | False | 0,80 | 0,80 | 0,80 |
| Gebouw3D | 120,80 | 437,41 | 0,04 | 14,18 | | | | 0 | 0 | 0 | 0 dB | False | 0,80 | 0,80 | 0,80 |
| Gebouw3D | 52,45 | 132,08 | 2,58 | 18,11 | | | | 0 | 0 | 0 | 0 dB | False | 0,80 | 0,80 | 0,80 |
| Gebouw3D | 28,42 | 50,41 | 0,02 | 7,38 | | | | 0 | 0 | 0 | 0 dB | False | 0,80 | 0,80 | 0,80 |
| Gebouw3D | 24,19 | 36,08 | 5,18 | 6,49 | | | | 0 | 0 | 0 | 0 dB | False | 0,80 | 0,80 | 0,80 |
| Gebouw3D | 12,28 | 9,42 | 3,05 | 3,09 | | | | 0 | 0 | 0 | 0 dB | False | 0,80 | 0,80 | 0,80 |
| Gebouw3D | 12,10 | 8,22 | 2,06 | 3,99 | | | | 0 | 0 | 0 | 0 dB | False | 0,80 | 0,80 | 0,80 |
| Gebouw3D | 38,12 | 65,63 | 0,01 | 6,85 | | | | 0 | 0 | 0 | 0 dB | False | 0,80 | 0,80 | 0,80 |
| Gebouw3D | 43,33 | 66,70 | 0,04 | 7,31 | | | | 0 | 0 | 0 | 0 dB | False | 0,80 | 0,80 | 0,80 |
| Gebouw3D | 11,90 | 7,68 | 1,89 | 4,06 | | | | 0 | 0 | 0 | 0 dB | False | 0,80 | 0,80 | 0,80 |
| Gebouw3D | 26,33 | 43,26 | 6,31 | 6,85 | | | | 0 | 0 | 0 | 0 dB | False | 0,80 | 0,80 | 0,80 |
| Gebouw3D | 22,11 | 29,77 | 4,63 | 6,42 | | | | 0 | 0 | 0 | 0 dB | False | 0,80 | 0,80 | 0,80 |
| Gebouw3D | 27,91 | 48,51 | 0,11 | 7,38 | | | | 0 | 0 | 0 | 0 dB | False | 0,80 | 0,80 | 0,80 |
| Gebouw3D | 39,04 | 46,21 | 0,56 | 12,68 | | | | 0 | 0 | 0 | 0 dB | False | 0,80 | 0,80 | 0,80 |
| Gebouw3D | 61,08 | 103,94 | 2,35 | 21,22 | | | | 0 | 0 | 0 | 0 dB | False | 0,80 | 0,80 | 0,80 |
| Gebouw3D | 40,01 | 64,54 | 0,77 | 12,68 | | | | 0 | 0 | 0 | 0 dB | False | 0,80 | 0,80 | 0,80 |
| Gebouw3D | 14,43 | 12,00 | 2,60 | 4,61 | | | | 0 | 0 | 0 | 0 dB | False | 0,80 | 0,80 | 0,80 |
| Gebouw3D | 14,37 | 11,92 | 2,60 | 4,59 | | | | 0 | 0 | 0 | 0 dB | False | 0,80 | 0,80 | 0,80 |
| Gebouw3D | 52,89 | 89,85 | 0,04 | 12,88 | | | | 0 | 0 | 0 | 0 dB | False | 0,80 | 0,80 | 0,80 |

Model: Jager
Jager - Jager
Groep: (hoofdgroep)
Lijst van Gebouwen, voor rekenmethode Wegverkeerslawaai - RMW-2012

| Groep | Refl. 500 | Refl. 1k | Refl. 2k | Refl. 4k | Refl. 8k |
|---|---|---|---|---|---|
| Gebouw3D | 0,80 | 0,80 | 0,80 | 0,80 | 0,80 |
| Gebouw3D | 0,80 | 0,80 | 0,80 | 0,80 | 0,80 |
| Gebouw3D | 0,80 | 0,80 | 0,80 | 0,80 | 0,80 |
| Gebouw3D | 0,80 | 0,80 | 0,80 | 0,80 | 0,80 |
| Gebouw3D | 0,80 | 0,80 | 0,80 | 0,80 | 0,80 |
| Gebouw3D | 0,80 | 0,80 | 0,80 | 0,80 | 0,80 |
| Gebouw3D | 0,80 | 0,80 | 0,80 | 0,80 | 0,80 |
| Gebouw3D | 0,80 | 0,80 | 0,80 | 0,80 | 0,80 |
| Gebouw3D | 0,80 | 0,80 | 0,80 | 0,80 | 0,80 |
| Gebouw3D | 0,80 | 0,80 | 0,80 | 0,80 | 0,80 |
| Gebouw3D | 0,80 | 0,80 | 0,80 | 0,80 | 0,80 |
| Gebouw3D | 0,80 | 0,80 | 0,80 | 0,80 | 0,80 |
| Gebouw3D | 0,80 | 0,80 | 0,80 | 0,80 | 0,80 |
| Gebouw3D | 0,80 | 0,80 | 0,80 | 0,80 | 0,80 |
| Gebouw3D | 0,80 | 0,80 | 0,80 | 0,80 | 0,80 |
| Gebouw3D | 0,80 | 0,80 | 0,80 | 0,80 | 0,80 |
| Gebouw3D | 0,80 | 0,80 | 0,80 | 0,80 | 0,80 |
| Gebouw3D | 0,80 | 0,80 | 0,80 | 0,80 | 0,80 |
| Gebouw3D | 0,80 | 0,80 | 0,80 | 0,80 | 0,80 |
| Gebouw3D | 0,80 | 0,80 | 0,80 | 0,80 | 0,80 |
| Gebouw3D | 0,80 | 0,80 | 0,80 | 0,80 | 0,80 |
| Gebouw3D | 0,80 | 0,80 | 0,80 | 0,80 | 0,80 |
| Gebouw3D | 0,80 | 0,80 | 0,80 | 0,80 | 0,80 |
| Gebouw3D | 0,80 | 0,80 | 0,80 | 0,80 | 0,80 |
| Gebouw3D | 0,80 | 0,80 | 0,80 | 0,80 | 0,80 |
| Gebouw3D | 0,80 | 0,80 | 0,80 | 0,80 | 0,80 |
| Gebouw3D | 0,80 | 0,80 | 0,80 | 0,80 | 0,80 |
| Gebouw3D | 0,80 | 0,80 | 0,80 | 0,80 | 0,80 |
| Gebouw3D | 0,80 | 0,80 | 0,80 | 0,80 | 0,80 |
| Gebouw3D | 0,80 | 0,80 | 0,80 | 0,80 | 0,80 |
| Gebouw3D | 0,80 | 0,80 | 0,80 | 0,80 | 0,80 |
| Gebouw3D | 0,80 | 0,80 | 0,80 | 0,80 | 0,80 |

# Invoergegevens van het model

Model: Jager
Jager - Jager
Groep: (hoofdgroep)
Lijst van Gebouwen, voor rekenmethode Wegverkeerslawaai - RMW-2012

| Groep | ItemID | Grp.ID | Datum | Naam | Omschr. | Vorm | X-1 | Y-1 | Hoogte | Rel.H | Maaiveld | Hdef. | Vormpunten |
|---|---|---|---|---|---|---|---|---|---|---|---|---|---|
| Gebouw3D | 8085 | 1 | 08:58, 20 mrt 2020 | | | Polygoon | 247284,80 | 443609,76 | 4,10 | 4,10 | 0,00 | Relatief | 4 |
| Gebouw3D | 8086 | 1 | 08:58, 20 mrt 2020 | | | Polygoon | 247345,42 | 443609,40 | 6,80 | 6,80 | 0,00 | Relatief | 12 |
| Gebouw3D | 8087 | 1 | 08:58, 20 mrt 2020 | | | Polygoon | 247328,90 | 443511,44 | 7,00 | 7,00 | 0,00 | Relatief | 11 |
| Gebouw3D | 8088 | 1 | 08:58, 20 mrt 2020 | | | Polygoon | 247315,41 | 443507,64 | 7,00 | 7,00 | 0,00 | Relatief | 15 |
| Gebouw3D | 8089 | 1 | 08:58, 20 mrt 2020 | | | Polygoon | 247280,60 | 443611,55 | 2,70 | 2,70 | 0,00 | Relatief | 4 |
| Gebouw3D | 8090 | 1 | 08:58, 20 mrt 2020 | | | Polygoon | 247321,81 | 443493,23 | 2,40 | 2,40 | 0,00 | Relatief | 4 |
| Gebouw3D | 8091 | 1 | 08:58, 20 mrt 2020 | | | Polygoon | 247316,21 | 443616,08 | 0,00 | 0,00 | 0,00 | Relatief | 4 |
| Gebouw3D | 8092 | 1 | 08:58, 20 mrt 2020 | | | Polygoon | 247318,75 | 443467,49 | 7,10 | 7,10 | 0,00 | Relatief | 10 |
| Gebouw3D | 8093 | 1 | 08:58, 20 mrt 2020 | | | Polygoon | 247336,10 | 443520,30 | 6,80 | 6,80 | 0,00 | Relatief | 5 |
| Gebouw3D | 8094 | 1 | 08:58, 20 mrt 2020 | | | Polygoon | 247293,79 | 443568,73 | 8,20 | 8,20 | 0,00 | Relatief | 17 |
| Gebouw3D | 8095 | 1 | 08:58, 20 mrt 2020 | | | Polygoon | 247287,69 | 443521,26 | 7,30 | 7,30 | 0,00 | Relatief | 8 |
| Gebouw3D | 8096 | 1 | 08:58, 20 mrt 2020 | | | Polygoon | 247327,92 | 443582,35 | 4,10 | 4,10 | 0,00 | Relatief | 13 |
| Gebouw3D | 8097 | 1 | 08:58, 20 mrt 2020 | | | Polygoon | 247280,79 | 443635,04 | 6,80 | 6,80 | 0,00 | Relatief | 4 |
| Gebouw3D | 8098 | 1 | 08:58, 20 mrt 2020 | | | Polygoon | 247327,09 | 443472,37 | 6,90 | 6,90 | 0,00 | Relatief | 6 |
| Gebouw3D | 8099 | 1 | 08:58, 20 mrt 2020 | | | Polygoon | 247327,31 | 443601,82 | 2,60 | 2,60 | 0,00 | Relatief | 4 |
| Gebouw3D | 8100 | 1 | 08:58, 20 mrt 2020 | | | Polygoon | 247344,82 | 443602,82 | 6,70 | 6,70 | 0,00 | Relatief | 4 |
| Gebouw3D | 8101 | 1 | 08:58, 20 mrt 2020 | | | Polygoon | 247326,66 | 443446,21 | 7,00 | 7,00 | 0,00 | Relatief | 10 |
| Gebouw3D | 8102 | 1 | 08:58, 20 mrt 2020 | | | Polygoon | 247349,68 | 443643,01 | 7,10 | 7,10 | 0,00 | Relatief | 4 |
| Gebouw3D | 8103 | 1 | 08:58, 20 mrt 2020 | | | Polygoon | 247326,01 | 443640,89 | 6,30 | 6,30 | 0,00 | Relatief | 8 |
| Gebouw3D | 8104 | 1 | 08:58, 20 mrt 2020 | | | Polygoon | 247326,01 | 443640,89 | 6,20 | 6,20 | 0,00 | Relatief | 8 |
| Gebouw3D | 8105 | 1 | 08:58, 20 mrt 2020 | | | Polygoon | 247345,20 | 443641,69 | 2,90 | 2,90 | 0,00 | Relatief | 4 |
| Gebouw3D | 8106 | 1 | 08:58, 20 mrt 2020 | | | Polygoon | 247345,20 | 443641,69 | 2,90 | 2,90 | 0,00 | Relatief | 4 |
| Gebouw3D | 8107 | 1 | 08:58, 20 mrt 2020 | | | Polygoon | 247320,27 | 443642,82 | 6,30 | 6,30 | 0,00 | Relatief | 6 |
| Gebouw3D | 8108 | 1 | 08:58, 20 mrt 2020 | | | Polygoon | 247314,49 | 443644,75 | 6,30 | 6,30 | 0,00 | Relatief | 10 |
| Gebouw3D | 8109 | 1 | 08:58, 20 mrt 2020 | | | Polygoon | 247298,53 | 443650,15 | 6,20 | 6,20 | 0,00 | Relatief | 7 |
| Gebouw3D | 8110 | 1 | 08:58, 20 mrt 2020 | | | Polygoon | 247350,34 | 443649,79 | 7,10 | 7,10 | 0,00 | Relatief | 4 |
| Gebouw3D | 8111 | 1 | 08:58, 20 mrt 2020 | | | Polygoon | 247298,53 | 443650,15 | 6,30 | 6,30 | 0,00 | Relatief | 7 |
| Gebouw3D | 8112 | 1 | 08:58, 20 mrt 2020 | | | Polygoon | 247292,76 | 443652,09 | 6,40 | 6,40 | 0,00 | Relatief | 4 |
| Gebouw3D | 8113 | 1 | 08:58, 20 mrt 2020 | | | Polygoon | 247287,01 | 443654,03 | 6,40 | 6,40 | 0,00 | Relatief | 12 |
| Gebouw3D | 8114 | 1 | 08:58, 20 mrt 2020 | | | Polygoon | 247346,39 | 443655,28 | 2,80 | 2,80 | 0,00 | Relatief | 4 |
| Gebouw3D | 8115 | 1 | 08:58, 20 mrt 2020 | | | Polygoon | 247346,39 | 443655,28 | 2,90 | 2,90 | 0,00 | Relatief | 4 |
| Gebouw3D | 8116 | 1 | 08:58, 20 mrt 2020 | | | Polygoon | 247351,00 | 443656,51 | 7,10 | 7,10 | 0,00 | Relatief | 4 |
| Gebouw3D | 8117 | 1 | 08:58, 20 mrt 2020 | | | Polygoon | 247313,87 | 443668,27 | 3,20 | 3,20 | 0,00 | Relatief | 4 |
| Gebouw3D | 8118 | 1 | 08:58, 20 mrt 2020 | | | Polygoon | 247291,21 | 443666,50 | 2,80 | 2,80 | 0,00 | Relatief | 4 |
| Gebouw3D | 8119 | 1 | 08:58, 20 mrt 2020 | | | Polygoon | 247349,57 | 443665,75 | 2,70 | 2,70 | 0,00 | Relatief | 4 |
| Gebouw3D | 8120 | 1 | 08:58, 20 mrt 2020 | | | Polygoon | 247352,60 | 443673,92 | 7,10 | 7,10 | 0,00 | Relatief | 4 |

# Invoergegevens van het model

Model: Jager
Jager - Jager
Groep: (hoofdgroep)
Lijst van Gebouwen, voor rekenmethode Wegverkeerslawaai - RMW-2012

| Groep | Omtrek | Oppervlak | Min.lengte | Max.lengte | Functie | BAG-id | Gemeente | Jaar | AHN-jaar | Trust | Cp | Zwevend | Refl. 63 | Refl. 125 | Refl. 250 |
|---|---|---|---|---|---|---|---|---|---|---|---|---|---|---|---|
| Gebouw3D | 29,54 | 38,56 | 3,39 | 11,38 | | | | 0 | 0 | 0 | 0 dB | False | 0,80 | 0,80 | 0,80 |
| Gebouw3D | 60,10 | 101,75 | 0,06 | 10,72 | | | | 0 | 0 | 0 | 0 dB | False | 0,80 | 0,80 | 0,80 |
| Gebouw3D | 41,16 | 64,92 | 0,14 | 9,17 | | | | 0 | 0 | 0 | 0 dB | False | 0,80 | 0,80 | 0,80 |
| Gebouw3D | 53,90 | 67,63 | 0,10 | 9,24 | | | | 0 | 0 | 0 | 0 dB | False | 0,80 | 0,80 | 0,80 |
| Gebouw3D | 15,76 | 15,52 | 3,89 | 3,99 | | | | 0 | 0 | 0 | 0 dB | False | 0,80 | 0,80 | 0,80 |
| Gebouw3D | 11,50 | 8,18 | 2,59 | 3,16 | | | | 0 | 0 | 0 | 0 dB | False | 0,80 | 0,80 | 0,80 |
| Gebouw3D | 26,35 | 43,33 | 6,32 | 6,85 | | | | 0 | 0 | 0 | 0 dB | False | 0,80 | 0,80 | 0,80 |
| Gebouw3D | 42,95 | 50,00 | 0,49 | 12,88 | | | | 0 | 0 | 0 | 0 dB | False | 0,80 | 0,80 | 0,80 |
| Gebouw3D | 27,80 | 48,28 | 2,27 | 7,11 | | | | 0 | 0 | 0 | 0 dB | False | 0,80 | 0,80 | 0,80 |
| Gebouw3D | 90,26 | 262,59 | 0,45 | 11,20 | | | | 0 | 0 | 0 | 0 dB | False | 0,80 | 0,80 | 0,80 |
| Gebouw3D | 43,70 | 101,40 | 0,90 | 9,92 | | | | 0 | 0 | 0 | 0 dB | False | 0,80 | 0,80 | 0,80 |
| Gebouw3D | 39,81 | 69,78 | 0,04 | 6,29 | | | | 0 | 0 | 0 | 0 dB | False | 0,80 | 0,80 | 0,80 |
| Gebouw3D | 26,68 | 44,45 | 6,50 | 6,84 | | | | 0 | 0 | 0 | 0 dB | False | 0,80 | 0,80 | 0,80 |
| Gebouw3D | 26,44 | 42,33 | 0,51 | 6,76 | | | | 0 | 0 | 0 | 0 dB | False | 0,80 | 0,80 | 0,80 |
| Gebouw3D | 19,53 | 21,65 | 3,40 | 6,36 | | | | 0 | 0 | 0 | 0 dB | False | 0,80 | 0,80 | 0,80 |
| Gebouw3D | 27,97 | 48,74 | 6,60 | 7,38 | | | | 0 | 0 | 0 | 0 dB | False | 0,80 | 0,80 | 0,80 |
| Gebouw3D | 30,83 | 51,70 | 0,03 | 6,92 | | | | 0 | 0 | 0 | 0 dB | False | 0,80 | 0,80 | 0,80 |
| Gebouw3D | 26,59 | 44,12 | 6,35 | 6,94 | | | | 0 | 0 | 0 | 0 dB | False | 0,80 | 0,80 | 0,80 |
| Gebouw3D | 38,85 | 57,55 | 0,37 | 13,21 | | | | 0 | 0 | 0 | 0 dB | False | 0,80 | 0,80 | 0,80 |
| Gebouw3D | 38,53 | 58,41 | 0,47 | 13,21 | | | | 0 | 0 | 0 | 0 dB | False | 0,80 | 0,80 | 0,80 |
| Gebouw3D | 11,45 | 7,94 | 2,31 | 3,37 | | | | 0 | 0 | 0 | 0 dB | False | 0,80 | 0,80 | 0,80 |
| Gebouw3D | 11,84 | 8,59 | 2,51 | 3,37 | | | | 0 | 0 | 0 | 0 dB | False | 0,80 | 0,80 | 0,80 |
| Gebouw3D | 39,00 | 57,74 | 2,42 | 13,42 | | | | 0 | 0 | 0 | 0 dB | False | 0,80 | 0,80 | 0,80 |
| Gebouw3D | 42,37 | 62,12 | 0,34 | 13,42 | | | | 0 | 0 | 0 | 0 dB | False | 0,80 | 0,80 | 0,80 |
| Gebouw3D | 38,77 | 68,26 | 2,27 | 13,17 | | | | 0 | 0 | 0 | 0 dB | False | 0,80 | 0,80 | 0,80 |
| Gebouw3D | 26,21 | 42,91 | 6,35 | 6,75 | | | | 0 | 0 | 0 | 0 dB | False | 0,80 | 0,80 | 0,80 |
| Gebouw3D | 38,52 | 66,43 | 2,41 | 13,17 | | | | 0 | 0 | 0 | 0 dB | False | 0,80 | 0,80 | 0,80 |
| Gebouw3D | 25,85 | 41,62 | 6,07 | 6,85 | | | | 0 | 0 | 0 | 0 dB | False | 0,80 | 0,80 | 0,80 |
| Gebouw3D | 45,95 | 74,73 | 0,12 | 9,66 | | | | 0 | 0 | 0 | 0 dB | False | 0,80 | 0,80 | 0,80 |
| Gebouw3D | 11,81 | 8,51 | 2,49 | 3,42 | | | | 0 | 0 | 0 | 0 dB | False | 0,80 | 0,80 | 0,80 |
| Gebouw3D | 11,82 | 8,51 | 2,49 | 3,42 | | | | 0 | 0 | 0 | 0 dB | False | 0,80 | 0,80 | 0,80 |
| Gebouw3D | 26,39 | 43,47 | 6,35 | 6,84 | | | | 0 | 0 | 0 | 0 dB | False | 0,80 | 0,80 | 0,80 |
| Gebouw3D | 27,21 | 36,80 | 3,72 | 9,88 | | | | 0 | 0 | 0 | 0 dB | False | 0,80 | 0,80 | 0,80 |
| Gebouw3D | 11,90 | 8,35 | 2,21 | 3,68 | | | | 0 | 0 | 0 | 0 dB | False | 0,80 | 0,80 | 0,80 |
| Gebouw3D | 16,74 | 17,47 | 4,00 | 4,37 | | | | 0 | 0 | 0 | 0 dB | False | 0,80 | 0,80 | 0,80 |
| Gebouw3D | 26,56 | 44,00 | 6,34 | 6,94 | | | | 0 | 0 | 0 | 0 dB | False | 0,80 | 0,80 | 0,80 |

Model: Jager
Jager - Jager
Groep: (hoofdgroep)
Lijst van Gebouwen, voor rekenmethode Wegverkeerslawaai - RMW-2012

| Groep | Refl. 500 | Refl. 1k | Refl. 2k | Refl. 4k | Refl. 8k |
|---|---|---|---|---|---|
| Gebouw3D | 0,80 | 0,80 | 0,80 | 0,80 | 0,80 |
| Gebouw3D | 0,80 | 0,80 | 0,80 | 0,80 | 0,80 |
| Gebouw3D | 0,80 | 0,80 | 0,80 | 0,80 | 0,80 |
| Gebouw3D | 0,80 | 0,80 | 0,80 | 0,80 | 0,80 |
| Gebouw3D | 0,80 | 0,80 | 0,80 | 0,80 | 0,80 |
| Gebouw3D | 0,80 | 0,80 | 0,80 | 0,80 | 0,80 |
| Gebouw3D | 0,80 | 0,80 | 0,80 | 0,80 | 0,80 |
| Gebouw3D | 0,80 | 0,80 | 0,80 | 0,80 | 0,80 |
| Gebouw3D | 0,80 | 0,80 | 0,80 | 0,80 | 0,80 |
| Gebouw3D | 0,80 | 0,80 | 0,80 | 0,80 | 0,80 |
| Gebouw3D | 0,80 | 0,80 | 0,80 | 0,80 | 0,80 |
| Gebouw3D | 0,80 | 0,80 | 0,80 | 0,80 | 0,80 |
| Gebouw3D | 0,80 | 0,80 | 0,80 | 0,80 | 0,80 |
| Gebouw3D | 0,80 | 0,80 | 0,80 | 0,80 | 0,80 |
| Gebouw3D | 0,80 | 0,80 | 0,80 | 0,80 | 0,80 |
| Gebouw3D | 0,80 | 0,80 | 0,80 | 0,80 | 0,80 |
| Gebouw3D | 0,80 | 0,80 | 0,80 | 0,80 | 0,80 |
| Gebouw3D | 0,80 | 0,80 | 0,80 | 0,80 | 0,80 |
| Gebouw3D | 0,80 | 0,80 | 0,80 | 0,80 | 0,80 |
| Gebouw3D | 0,80 | 0,80 | 0,80 | 0,80 | 0,80 |
| Gebouw3D | 0,80 | 0,80 | 0,80 | 0,80 | 0,80 |
| Gebouw3D | 0,80 | 0,80 | 0,80 | 0,80 | 0,80 |
| Gebouw3D | 0,80 | 0,80 | 0,80 | 0,80 | 0,80 |
| Gebouw3D | 0,80 | 0,80 | 0,80 | 0,80 | 0,80 |
| Gebouw3D | 0,80 | 0,80 | 0,80 | 0,80 | 0,80 |
| Gebouw3D | 0,80 | 0,80 | 0,80 | 0,80 | 0,80 |
| Gebouw3D | 0,80 | 0,80 | 0,80 | 0,80 | 0,80 |
| Gebouw3D | 0,80 | 0,80 | 0,80 | 0,80 | 0,80 |
| Gebouw3D | 0,80 | 0,80 | 0,80 | 0,80 | 0,80 |
| Gebouw3D | 0,80 | 0,80 | 0,80 | 0,80 | 0,80 |
| Gebouw3D | 0,80 | 0,80 | 0,80 | 0,80 | 0,80 |
| Gebouw3D | 0,80 | 0,80 | 0,80 | 0,80 | 0,80 |

# Invoergegevens van het model

Model: Jager
Jager - Jager
Groep: (hoofdgroep)
Lijst van Gebouwen, voor rekenmethode Wegverkeerslawaai - RMW-2012

| Groep | ItemID | Grp.ID | Datum | Naam | Omschr. | Vorm | X-1 | Y-1 | Hoogte | Rel.H | Maaiveld | Hdef. | Vormpunten |
|---|---|---|---|---|---|---|---|---|---|---|---|---|---|
| Gebouw3D | 8121 | 1 | 08:58, 20 mrt 2020 | | | Polygoon | 247340,99 | 443667,09 | 3,00 | 3,00 | 0,00 | Relatief | 4 |
| Gebouw3D | 8122 | 1 | 08:58, 20 mrt 2020 | | | Polygoon | 247333,75 | 443667,79 | 2,50 | 2,50 | 0,00 | Relatief | 4 |
| Gebouw3D | 8123 | 1 | 08:58, 20 mrt 2020 | | | Polygoon | 247310,22 | 443670,13 | 2,60 | 2,60 | 0,00 | Relatief | 4 |
| Gebouw3D | 8124 | 1 | 08:58, 20 mrt 2020 | | | Polygoon | 247337,42 | 443652,21 | 2,30 | 2,30 | 0,00 | Relatief | 6 |
| Gebouw3D | 8125 | 1 | 08:58, 20 mrt 2020 | | | Polygoon | 247337,03 | 443662,30 | 2,40 | 2,40 | 0,00 | Relatief | 4 |
| Gebouw3D | 8126 | 1 | 08:58, 20 mrt 2020 | | | Polygoon | 247349,68 | 443643,01 | 7,00 | 7,00 | 0,00 | Relatief | 4 |
| Gebouw3D | 8127 | 1 | 08:58, 20 mrt 2020 | | | Polygoon | 247352,60 | 443673,92 | 7,00 | 7,00 | 0,00 | Relatief | 4 |
| Gebouw3D | 8128 | 1 | 08:58, 20 mrt 2020 | | | Polygoon | 247329,35 | 443688,42 | 6,30 | 6,30 | 0,00 | Relatief | 8 |
| Gebouw3D | 8129 | 1 | 08:58, 20 mrt 2020 | | | Polygoon | 247322,88 | 443679,16 | 6,20 | 6,20 | 0,00 | Relatief | 6 |
| Gebouw3D | 8130 | 1 | 08:58, 20 mrt 2020 | | | Polygoon | 247322,88 | 443679,16 | 6,20 | 6,20 | 0,00 | Relatief | 10 |
| Gebouw3D | 8131 | 1 | 08:58, 20 mrt 2020 | | | Polygoon | 247316,64 | 443675,90 | 6,30 | 6,30 | 0,00 | Relatief | 8 |
| Gebouw3D | 8132 | 1 | 08:58, 20 mrt 2020 | | | Polygoon | 247302,35 | 443676,49 | 2,80 | 2,80 | 0,00 | Relatief | 4 |
| Gebouw3D | 8133 | 1 | 08:58, 20 mrt 2020 | | | Polygoon | 247302,35 | 443676,49 | 2,80 | 2,80 | 0,00 | Relatief | 4 |
| Gebouw3D | 8134 | 1 | 08:58, 20 mrt 2020 | | | Polygoon | 247290,19 | 443676,94 | 2,90 | 2,90 | 0,00 | Relatief | 4 |
| Gebouw3D | 8135 | 1 | 08:58, 20 mrt 2020 | | | Polygoon | 247290,19 | 443676,94 | 2,80 | 2,80 | 0,00 | Relatief | 4 |
| Gebouw3D | 8136 | 1 | 08:58, 20 mrt 2020 | | | Polygoon | 247346,24 | 443681,28 | 2,90 | 2,90 | 0,00 | Relatief | 4 |
| Gebouw3D | 8137 | 1 | 08:58, 20 mrt 2020 | | | Polygoon | 247353,23 | 443680,62 | 7,10 | 7,10 | 0,00 | Relatief | 4 |
| Gebouw3D | 8138 | 1 | 08:58, 20 mrt 2020 | | | Polygoon | 247346,24 | 443681,28 | 3,00 | 3,00 | 0,00 | Relatief | 4 |
| Gebouw3D | 8139 | 1 | 08:58, 20 mrt 2020 | | | Polygoon | 247302,58 | 443682,56 | 6,30 | 6,30 | 0,00 | Relatief | 4 |
| Gebouw3D | 8140 | 1 | 08:58, 20 mrt 2020 | | | Polygoon | 247296,52 | 443682,80 | 6,40 | 6,40 | 0,00 | Relatief | 4 |
| Gebouw3D | 8141 | 1 | 08:58, 20 mrt 2020 | | | Polygoon | 247355,62 | 443714,37 | 7,00 | 7,00 | 0,00 | Relatief | 4 |
| Gebouw3D | 8142 | 1 | 08:58, 20 mrt 2020 | | | Polygoon | 247331,03 | 443708,86 | 6,20 | 6,20 | 0,00 | Relatief | 10 |
| Gebouw3D | 8143 | 1 | 08:58, 20 mrt 2020 | | | Polygoon | 247331,03 | 443708,86 | 6,30 | 6,30 | 0,00 | Relatief | 13 |
| Gebouw3D | 8144 | 1 | 08:58, 20 mrt 2020 | | | Polygoon | 247324,95 | 443709,18 | 6,30 | 6,30 | 0,00 | Relatief | 4 |
| Gebouw3D | 8145 | 1 | 08:58, 20 mrt 2020 | | | Polygoon | 247318,88 | 443709,50 | 6,30 | 6,30 | 0,00 | Relatief | 4 |
| Gebouw3D | 8146 | 1 | 08:58, 20 mrt 2020 | | | Polygoon | 247299,72 | 443710,46 | 6,30 | 6,30 | 0,00 | Relatief | 8 |
| Gebouw3D | 8147 | 1 | 08:58, 20 mrt 2020 | | | Polygoon | 247299,72 | 443710,46 | 6,20 | 6,20 | 0,00 | Relatief | 8 |
| Gebouw3D | 8148 | 1 | 08:58, 20 mrt 2020 | | | Polygoon | 247287,50 | 443711,10 | 6,30 | 6,30 | 0,00 | Relatief | 4 |
| Gebouw3D | 8149 | 1 | 08:58, 20 mrt 2020 | | | Polygoon | 247351,08 | 443712,96 | 3,00 | 3,00 | 0,00 | Relatief | 4 |
| Gebouw3D | 8150 | 1 | 08:58, 20 mrt 2020 | | | Polygoon | 247351,08 | 443712,96 | 3,00 | 3,00 | 0,00 | Relatief | 4 |
| Gebouw3D | 8151 | 1 | 08:58, 20 mrt 2020 | | | Polygoon | 247355,62 | 443714,37 | 7,00 | 7,00 | 0,00 | Relatief | 4 |
| Gebouw3D | 8152 | 1 | 08:58, 20 mrt 2020 | | | Polygoon | 247319,38 | 443718,92 | 2,80 | 2,80 | 0,00 | Relatief | 4 |
| Gebouw3D | 8153 | 1 | 08:58, 20 mrt 2020 | | | Polygoon | 247288,00 | 443720,49 | 2,80 | 2,80 | 0,00 | Relatief | 4 |
| Gebouw3D | 8154 | 1 | 08:58, 20 mrt 2020 | | | Polygoon | 247288,00 | 443720,49 | 2,80 | 2,80 | 0,00 | Relatief | 4 |
| Gebouw3D | 8155 | 1 | 08:58, 20 mrt 2020 | | | Polygoon | 247355,74 | 443721,18 | 7,00 | 7,00 | 0,00 | Relatief | 5 |
| Gebouw3D | 8156 | 1 | 08:58, 20 mrt 2020 | | | Polygoon | 247309,17 | 443726,80 | 2,50 | 2,50 | 0,00 | Relatief | 4 |

# Invoergegevens van het model

Model: Jager
Jager - Jager
Groep: (hoofdgroep)
Lijst van Gebouwen, voor rekenmethode Wegverkeerslawaai - RMW-2012

| Groep | Omtrek | Oppervlak | Min.lengte | Max.lengte | Functie | BAG-id | Gemeente | Jaar | AHN-jaar | Trust | Cp | Zwevend | Refl. 63 | Refl. 125 | Refl. 250 |
|---|---|---|---|---|---|---|---|---|---|---|---|---|---|---|---|
| Gebouw3D | 19,11 | 16,77 | 2,32 | 7,23 | | | | 0 | 0 | 0 | 0 dB | False | 0,80 | 0,80 | 0,80 |
| Gebouw3D | 18,70 | 21,14 | 3,82 | 5,53 | | | | 0 | 0 | 0 | 0 dB | False | 0,80 | 0,80 | 0,80 |
| Gebouw3D | 18,04 | 17,26 | 2,76 | 6,26 | | | | 0 | 0 | 0 | 0 dB | False | 0,80 | 0,80 | 0,80 |
| Gebouw3D | 23,00 | 18,30 | 1,68 | 6,02 | | | | 0 | 0 | 0 | 0 dB | False | 0,80 | 0,80 | 0,80 |
| Gebouw3D | 12,45 | 9,67 | 2,98 | 3,24 | | | | 0 | 0 | 0 | 0 dB | False | 0,80 | 0,80 | 0,80 |
| Gebouw3D | 26,32 | 43,26 | 6,35 | 6,81 | | | | 0 | 0 | 0 | 0 dB | False | 0,80 | 0,80 | 0,80 |
| Gebouw3D | 26,15 | 42,69 | 6,34 | 6,73 | | | | 0 | 0 | 0 | 0 dB | False | 0,80 | 0,80 | 0,80 |
| Gebouw3D | 38,31 | 57,34 | 0,54 | 12,86 | | | | 0 | 0 | 0 | 0 dB | False | 0,80 | 0,80 | 0,80 |
| Gebouw3D | 38,04 | 65,79 | 2,29 | 12,86 | | | | 0 | 0 | 0 | 0 dB | False | 0,80 | 0,80 | 0,80 |
| Gebouw3D | 43,42 | 57,13 | 0,07 | 13,00 | | | | 0 | 0 | 0 | 0 dB | False | 0,80 | 0,80 | 0,80 |
| Gebouw3D | 38,48 | 56,63 | 0,41 | 13,00 | | | | 0 | 0 | 0 | 0 dB | False | 0,80 | 0,80 | 0,80 |
| Gebouw3D | 12,32 | 8,87 | 2,28 | 3,86 | | | | 0 | 0 | 0 | 0 dB | False | 0,80 | 0,80 | 0,80 |
| Gebouw3D | 12,68 | 9,57 | 2,46 | 3,86 | | | | 0 | 0 | 0 | 0 dB | False | 0,80 | 0,80 | 0,80 |
| Gebouw3D | 12,36 | 8,99 | 2,32 | 3,83 | | | | 0 | 0 | 0 | 0 dB | False | 0,80 | 0,80 | 0,80 |
| Gebouw3D | 12,33 | 8,93 | 2,31 | 3,83 | | | | 0 | 0 | 0 | 0 dB | False | 0,80 | 0,80 | 0,80 |
| Gebouw3D | 12,85 | 7,13 | 1,38 | 5,00 | | | | 0 | 0 | 0 | 0 dB | False | 0,80 | 0,80 | 0,80 |
| Gebouw3D | 26,53 | 43,91 | 6,34 | 6,93 | | | | 0 | 0 | 0 | 0 dB | False | 0,80 | 0,80 | 0,80 |
| Gebouw3D | 13,56 | 8,89 | 1,73 | 5,00 | | | | 0 | 0 | 0 | 0 dB | False | 0,80 | 0,80 | 0,80 |
| Gebouw3D | 25,95 | 41,92 | 6,07 | 6,90 | | | | 0 | 0 | 0 | 0 dB | False | 0,80 | 0,80 | 0,80 |
| Gebouw3D | 25,98 | 42,02 | 6,09 | 6,90 | | | | 0 | 0 | 0 | 0 dB | False | 0,80 | 0,80 | 0,80 |
| Gebouw3D | 26,36 | 43,37 | 6,36 | 6,82 | | | | 0 | 0 | 0 | 0 dB | False | 0,80 | 0,80 | 0,80 |
| Gebouw3D | 46,58 | 79,49 | 0,60 | 15,21 | | | | 0 | 0 | 0 | 0 dB | False | 0,80 | 0,80 | 0,80 |
| Gebouw3D | 51,25 | 62,27 | 0,29 | 15,21 | | | | 0 | 0 | 0 | 0 dB | False | 0,80 | 0,80 | 0,80 |
| Gebouw3D | 25,96 | 41,93 | 6,07 | 6,91 | | | | 0 | 0 | 0 | 0 dB | False | 0,80 | 0,80 | 0,80 |
| Gebouw3D | 26,31 | 43,17 | 6,25 | 6,91 | | | | 0 | 0 | 0 | 0 dB | False | 0,80 | 0,80 | 0,80 |
| Gebouw3D | 38,70 | 58,14 | 1,03 | 13,23 | | | | 0 | 0 | 0 | 0 dB | False | 0,80 | 0,80 | 0,80 |
| Gebouw3D | 43,53 | 53,69 | 2,37 | 13,23 | | | | 0 | 0 | 0 | 0 dB | False | 0,80 | 0,80 | 0,80 |
| Gebouw3D | 26,14 | 42,54 | 6,12 | 6,95 | | | | 0 | 0 | 0 | 0 dB | False | 0,80 | 0,80 | 0,80 |
| Gebouw3D | 11,82 | 8,57 | 2,55 | 3,36 | | | | 0 | 0 | 0 | 0 dB | False | 0,80 | 0,80 | 0,80 |
| Gebouw3D | 11,81 | 8,56 | 2,55 | 3,36 | | | | 0 | 0 | 0 | 0 dB | False | 0,80 | 0,80 | 0,80 |
| Gebouw3D | 26,34 | 43,31 | 6,36 | 6,81 | | | | 0 | 0 | 0 | 0 dB | False | 0,80 | 0,80 | 0,80 |
| Gebouw3D | 12,25 | 8,80 | 2,24 | 3,83 | | | | 0 | 0 | 0 | 0 dB | False | 0,80 | 0,80 | 0,80 |
| Gebouw3D | 11,91 | 8,20 | 2,10 | 3,79 | | | | 0 | 0 | 0 | 0 dB | False | 0,80 | 0,80 | 0,80 |
| Gebouw3D | 12,55 | 9,42 | 2,43 | 3,79 | | | | 0 | 0 | 0 | 0 dB | False | 0,80 | 0,80 | 0,80 |
| Gebouw3D | 26,36 | 43,37 | 0,01 | 6,82 | | | | 0 | 0 | 0 | 0 dB | False | 0,80 | 0,80 | 0,80 |
| Gebouw3D | 17,66 | 18,55 | 3,45 | 5,38 | | | | 0 | 0 | 0 | 0 dB | False | 0,80 | 0,80 | 0,80 |

Model: Jager
Jager - Jager
Groep: (hoofdgroep)
Lijst van Gebouwen, voor rekenmethode Wegverkeerslawaai - RMW-2012

| Groep | Refl. 500 | Refl. 1k | Refl. 2k | Refl. 4k | Refl. 8k |
|---|---|---|---|---|---|
| Gebouw3D | 0,80 | 0,80 | 0,80 | 0,80 | 0,80 |
| Gebouw3D | 0,80 | 0,80 | 0,80 | 0,80 | 0,80 |
| Gebouw3D | 0,80 | 0,80 | 0,80 | 0,80 | 0,80 |
| Gebouw3D | 0,80 | 0,80 | 0,80 | 0,80 | 0,80 |
| Gebouw3D | 0,80 | 0,80 | 0,80 | 0,80 | 0,80 |
| Gebouw3D | 0,80 | 0,80 | 0,80 | 0,80 | 0,80 |
| Gebouw3D | 0,80 | 0,80 | 0,80 | 0,80 | 0,80 |
| Gebouw3D | 0,80 | 0,80 | 0,80 | 0,80 | 0,80 |
| Gebouw3D | 0,80 | 0,80 | 0,80 | 0,80 | 0,80 |
| Gebouw3D | 0,80 | 0,80 | 0,80 | 0,80 | 0,80 |
| Gebouw3D | 0,80 | 0,80 | 0,80 | 0,80 | 0,80 |
| Gebouw3D | 0,80 | 0,80 | 0,80 | 0,80 | 0,80 |
| Gebouw3D | 0,80 | 0,80 | 0,80 | 0,80 | 0,80 |
| Gebouw3D | 0,80 | 0,80 | 0,80 | 0,80 | 0,80 |
| Gebouw3D | 0,80 | 0,80 | 0,80 | 0,80 | 0,80 |
| Gebouw3D | 0,80 | 0,80 | 0,80 | 0,80 | 0,80 |
| Gebouw3D | 0,80 | 0,80 | 0,80 | 0,80 | 0,80 |
| Gebouw3D | 0,80 | 0,80 | 0,80 | 0,80 | 0,80 |
| Gebouw3D | 0,80 | 0,80 | 0,80 | 0,80 | 0,80 |
| Gebouw3D | 0,80 | 0,80 | 0,80 | 0,80 | 0,80 |
| Gebouw3D | 0,80 | 0,80 | 0,80 | 0,80 | 0,80 |
| Gebouw3D | 0,80 | 0,80 | 0,80 | 0,80 | 0,80 |
| Gebouw3D | 0,80 | 0,80 | 0,80 | 0,80 | 0,80 |
| Gebouw3D | 0,80 | 0,80 | 0,80 | 0,80 | 0,80 |
| Gebouw3D | 0,80 | 0,80 | 0,80 | 0,80 | 0,80 |
| Gebouw3D | 0,80 | 0,80 | 0,80 | 0,80 | 0,80 |
| Gebouw3D | 0,80 | 0,80 | 0,80 | 0,80 | 0,80 |
| Gebouw3D | 0,80 | 0,80 | 0,80 | 0,80 | 0,80 |
| Gebouw3D | 0,80 | 0,80 | 0,80 | 0,80 | 0,80 |
| Gebouw3D | 0,80 | 0,80 | 0,80 | 0,80 | 0,80 |
| Gebouw3D | 0,80 | 0,80 | 0,80 | 0,80 | 0,80 |
| Gebouw3D | 0,80 | 0,80 | 0,80 | 0,80 | 0,80 |

# Invoergegevens van het model

Model: Jager
Jager - Jager
Groep: (hoofdgroep)
Lijst van Gebouwen, voor rekenmethode Wegverkeerslawaai - RMW-2012

| Groep | ItemID | Grp.ID | Datum | Naam | Omschr. | Vorm | X-1 | Y-1 | Hoogte | Rel.H | Maaiveld | Hdef. | Vormpunten |
|---|---|---|---|---|---|---|---|---|---|---|---|---|---|
| Gebouw3D | 8157 | 1 | 08:58, 20 mrt 2020 | | | Polygoon | 247302,58 | 443682,56 | 6,30 | 6,30 | 0,00 | Relatief | 4 |
| Gebouw3D | 8158 | 1 | 08:58, 20 mrt 2020 | | | Polygoon | 247290,43 | 443683,04 | 6,40 | 6,40 | 0,00 | Relatief | 4 |
| Gebouw3D | 8159 | 1 | 08:58, 20 mrt 2020 | | | Polygoon | 247293,56 | 443710,78 | 6,30 | 6,30 | 0,00 | Relatief | 4 |
| Gebouw3D | 8160 | 1 | 08:58, 20 mrt 2020 | | | Polygoon | 247351,33 | 443726,47 | 3,00 | 3,00 | 0,00 | Relatief | 4 |
| Gebouw3D | 8161 | 1 | 08:58, 20 mrt 2020 | | | Polygoon | 247351,33 | 443726,47 | 3,00 | 3,00 | 0,00 | Relatief | 4 |
| Gebouw3D | 8162 | 1 | 08:58, 20 mrt 2020 | | | Polygoon | 247344,70 | 443707,66 | 2,80 | 2,80 | 0,00 | Relatief | 4 |
| Gebouw3D | 8163 | 1 | 08:58, 20 mrt 2020 | | | Polygoon | 247295,47 | 443364,19 | 3,00 | 3,00 | 0,00 | Relatief | 4 |
| Gebouw3D | 8164 | 1 | 08:58, 20 mrt 2020 | | | Polygoon | 247295,86 | 443380,13 | 7,10 | 7,10 | 0,00 | Relatief | 4 |
| Gebouw3D | 8165 | 1 | 08:58, 20 mrt 2020 | | | Polygoon | 247296,04 | 443393,24 | 3,00 | 3,00 | 0,00 | Relatief | 7 |
| Gebouw3D | 8166 | 1 | 08:58, 20 mrt 2020 | | | Polygoon | 247298,48 | 443386,49 | 7,00 | 7,00 | 0,00 | Relatief | 14 |
| Gebouw3D | 8167 | 1 | 08:58, 20 mrt 2020 | | | Polygoon | 247295,86 | 443380,13 | 7,00 | 7,00 | 0,00 | Relatief | 4 |
| Gebouw3D | 8168 | 1 | 08:58, 20 mrt 2020 | | | Polygoon | 247298,42 | 443417,07 | 2,90 | 2,90 | 0,00 | Relatief | 4 |
| Gebouw3D | 8169 | 1 | 08:58, 20 mrt 2020 | | | Polygoon | 247300,05 | 443421,98 | 2,50 | 2,50 | 0,00 | Relatief | 4 |
| Gebouw3D | 8170 | 1 | 08:58, 20 mrt 2020 | | | Polygoon | 247301,66 | 443405,48 | 2,90 | 2,90 | 0,00 | Relatief | 4 |
| Gebouw3D | 8171 | 1 | 08:58, 20 mrt 2020 | | | Polygoon | 247309,52 | 443396,52 | 7,00 | 7,00 | 0,00 | Relatief | 4 |
| Gebouw3D | 8172 | 1 | 08:58, 20 mrt 2020 | | | Polygoon | 247312,40 | 443422,31 | 7,10 | 7,10 | 0,00 | Relatief | 4 |
| Gebouw3D | 8173 | 1 | 08:58, 20 mrt 2020 | | | Polygoon | 247314,46 | 443428,82 | 7,00 | 7,00 | 0,00 | Relatief | 10 |
| Gebouw3D | 8174 | 1 | 08:58, 20 mrt 2020 | | | Polygoon | 247322,59 | 443433,33 | 6,90 | 6,90 | 0,00 | Relatief | 8 |
| Gebouw3D | 8175 | 1 | 08:58, 20 mrt 2020 | | | Polygoon | 247324,62 | 443439,76 | 7,00 | 7,00 | 0,00 | Relatief | 4 |
| Gebouw3D | 8187 | 1 | 08:58, 20 mrt 2020 | | | Polygoon | 247286,28 | 443420,22 | 6,90 | 6,90 | 0,00 | Relatief | 12 |
| Gebouw3D | 8188 | 1 | 08:58, 20 mrt 2020 | | | Polygoon | 247294,01 | 443386,13 | 2,40 | 2,40 | 0,00 | Relatief | 4 |
| Gebouw3D | 8189 | 1 | 08:58, 20 mrt 2020 | | | Polygoon | 247301,66 | 443405,48 | 2,80 | 2,80 | 0,00 | Relatief | 6 |
| Gebouw3D | 8190 | 1 | 08:58, 20 mrt 2020 | | | Polygoon | 247311,96 | 443435,22 | 3,10 | 3,10 | 0,00 | Relatief | 5 |
| Gebouw3D | 8193 | 1 | 08:58, 20 mrt 2020 | | | Polygoon | 247291,29 | 443380,51 | 3,00 | 3,00 | 0,00 | Relatief | 4 |
| Gebouw3D | 8194 | 1 | 08:58, 20 mrt 2020 | | | Polygoon | 247312,40 | 443422,31 | 7,00 | 7,00 | 0,00 | Relatief | 4 |
| Gebouw3D | 8195 | 1 | 08:58, 20 mrt 2020 | | | Polygoon | 247307,90 | 443422,30 | 2,90 | 2,90 | 0,00 | Relatief | 4 |
| Gebouw3D | 8196 | 1 | 08:58, 20 mrt 2020 | | | Polygoon | 247287,64 | 443371,38 | 2,90 | 2,90 | 0,00 | Relatief | 4 |
| Gebouw3D | 8200 | 1 | 08:58, 20 mrt 2020 | | | Polygoon | 247307,90 | 443422,30 | 3,00 | 3,00 | 0,00 | Relatief | 4 |
| Gebouw3D | 8202 | 1 | 08:58, 20 mrt 2020 | | | Polygoon | 247312,09 | 443402,75 | 7,00 | 7,00 | 0,00 | Relatief | 4 |
| Gebouw3D | 15781 | 1 | 09:55, 20 mrt 2020 | | | Polygoon | 246929,58 | 443735,59 | 6,80 | 6,80 | 0,00 | Relatief | 5 |
| Gebouw3D | 15782 | 1 | 09:56, 20 mrt 2020 | | | Polygoon | 246946,30 | 443741,22 | 7,10 | 7,10 | 0,00 | Relatief | 7 |
| plan | 15722 | 25 | 09:42, 20 mrt 2020 | S1 | Starters woning | Polygoon | 246960,96 | 443742,88 | 10,00 | 10,00 | 0,00 | Relatief | 4 |
| plan | 15723 | 25 | 09:42, 20 mrt 2020 | S2 | Starters woning | Polygoon | 246961,07 | 443742,76 | 10,00 | 10,00 | 0,00 | Relatief | 4 |
| plan | 15724 | 25 | 09:42, 20 mrt 2020 | S3 | Starters woning | Polygoon | 246968,59 | 443750,46 | 10,00 | 10,00 | 0,00 | Relatief | 4 |
| plan | 15725 | 25 | 09:42, 20 mrt 2020 | S4 | Starters woning | Polygoon | 246974,87 | 443749,27 | 10,00 | 10,00 | 0,00 | Relatief | 4 |
| plan | 15726 | 25 | 09:43, 20 mrt 2020 | G1 | Generatie woning | Polygoon | 246967,41 | 443723,91 | 7,00 | 7,00 | 0,00 | Relatief | 4 |

# Invoergegevens van het model

Model: Jager
Jager - Jager
Groep: (hoofdgroep)
Lijst van Gebouwen, voor rekenmethode Wegverkeerslawaai - RMW-2012

| Groep | Omtrek | Oppervlak | Min.lengte | Max.lengte | Functie | BAG-id | Gemeente | Jaar | AHN-jaar | Trust | Cp | Zwevend | Refl. 63 | Refl. 125 | Refl. 250 |
|---|---|---|---|---|---|---|---|---|---|---|---|---|---|---|---|
| Gebouw3D | 26,31 | 43,14 | 6,25 | 6,90 | | | | 0 | 0 | 0 | 0 dB | False | 0,80 | 0,80 | 0,80 |
| Gebouw3D | 26,30 | 43,11 | 6,25 | 6,90 | | | | 0 | 0 | 0 | 0 dB | False | 0,80 | 0,80 | 0,80 |
| Gebouw3D | 26,04 | 42,18 | 6,07 | 6,95 | | | | 0 | 0 | 0 | 0 dB | False | 0,80 | 0,80 | 0,80 |
| Gebouw3D | 12,00 | 8,82 | 2,57 | 3,43 | | | | 0 | 0 | 0 | 0 dB | False | 0,80 | 0,80 | 0,80 |
| Gebouw3D | 11,80 | 8,48 | 2,47 | 3,43 | | | | 0 | 0 | 0 | 0 dB | False | 0,80 | 0,80 | 0,80 |
| Gebouw3D | 21,28 | 24,95 | 3,47 | 7,18 | | | | 0 | 0 | 0 | 0 dB | False | 0,80 | 0,80 | 0,80 |
| Gebouw3D | 14,06 | 11,91 | 2,86 | 4,17 | | | | 0 | 0 | 0 | 0 dB | False | 0,80 | 0,80 | 0,80 |
| Gebouw3D | 26,30 | 43,19 | 6,38 | 6,77 | | | | 0 | 0 | 0 | 0 dB | False | 0,80 | 0,80 | 0,80 |
| Gebouw3D | 11,22 | 7,84 | 0,03 | 2,90 | | | | 0 | 0 | 0 | 0 dB | False | 0,80 | 0,80 | 0,80 |
| Gebouw3D | 52,28 | 120,37 | 0,03 | 6,75 | | | | 0 | 0 | 0 | 0 dB | False | 0,80 | 0,80 | 0,80 |
| Gebouw3D | 26,52 | 43,90 | 6,38 | 6,88 | | | | 0 | 0 | 0 | 0 dB | False | 0,80 | 0,80 | 0,80 |
| Gebouw3D | 17,51 | 18,59 | 3,62 | 5,19 | | | | 0 | 0 | 0 | 0 dB | False | 0,80 | 0,80 | 0,80 |
| Gebouw3D | 17,97 | 19,45 | 3,63 | 5,35 | | | | 0 | 0 | 0 | 0 dB | False | 0,80 | 0,80 | 0,80 |
| Gebouw3D | 10,54 | 6,89 | 2,35 | 2,89 | | | | 0 | 0 | 0 | 0 dB | False | 0,80 | 0,80 | 0,80 |
| Gebouw3D | 26,24 | 43,00 | 6,38 | 6,75 | | | | 0 | 0 | 0 | 0 dB | False | 0,80 | 0,80 | 0,80 |
| Gebouw3D | 26,50 | 43,85 | 6,40 | 6,85 | | | | 0 | 0 | 0 | 0 dB | False | 0,80 | 0,80 | 0,80 |
| Gebouw3D | 38,12 | 56,45 | 1,59 | 8,23 | | | | 0 | 0 | 0 | 0 dB | False | 0,80 | 0,80 | 0,80 |
| Gebouw3D | 29,95 | 48,72 | 0,15 | 8,23 | | | | 0 | 0 | 0 | 0 dB | False | 0,80 | 0,80 | 0,80 |
| Gebouw3D | 26,33 | 43,29 | 6,40 | 6,76 | | | | 0 | 0 | 0 | 0 dB | False | 0,80 | 0,80 | 0,80 |
| Gebouw3D | 65,16 | 141,86 | 1,97 | 10,56 | | | | 0 | 0 | 0 | 0 dB | False | 0,80 | 0,80 | 0,80 |
| Gebouw3D | 16,63 | 12,16 | 1,89 | 6,42 | | | | 0 | 0 | 0 | 0 dB | False | 0,80 | 0,80 | 0,80 |
| Gebouw3D | 16,32 | 11,93 | 1,25 | 5,24 | | | | 0 | 0 | 0 | 0 dB | False | 0,80 | 0,80 | 0,80 |
| Gebouw3D | 11,59 | 8,36 | 1,46 | 3,03 | | | | 0 | 0 | 0 | 0 dB | False | 0,80 | 0,80 | 0,80 |
| Gebouw3D | 11,22 | 7,81 | 2,57 | 3,04 | | | | 0 | 0 | 0 | 0 dB | False | 0,80 | 0,80 | 0,80 |
| Gebouw3D | 26,45 | 43,68 | 6,40 | 6,83 | | | | 0 | 0 | 0 | 0 dB | False | 0,80 | 0,80 | 0,80 |
| Gebouw3D | 10,65 | 7,02 | 2,39 | 2,93 | | | | 0 | 0 | 0 | 0 dB | False | 0,80 | 0,80 | 0,80 |
| Gebouw3D | 13,76 | 11,46 | 2,83 | 4,05 | | | | 0 | 0 | 0 | 0 dB | False | 0,80 | 0,80 | 0,80 |
| Gebouw3D | 11,33 | 8,01 | 2,73 | 2,93 | | | | 0 | 0 | 0 | 0 dB | False | 0,80 | 0,80 | 0,80 |
| Gebouw3D | 26,54 | 43,97 | 6,38 | 6,90 | | | | 0 | 0 | 0 | 0 dB | False | 0,80 | 0,80 | 0,80 |
| Gebouw3D | 29,48 | 51,45 | 1,07 | 8,98 | | | | 0 | 0 | 0 | 0 dB | False | 0,80 | 0,80 | 0,80 |
| Gebouw3D | 39,35 | 89,61 | 1,20 | 10,08 | | | | 0 | 0 | 0 | 0 dB | False | 0,80 | 0,80 | 0,80 |
| plan | 29,94 | 54,65 | 6,27 | 8,72 | | | | 0 | 0 | 0 | 0 dB | False | 0,80 | 0,80 | 0,80 |
| plan | 29,72 | 53,57 | 6,13 | 8,72 | | | | 0 | 0 | 0 | 0 dB | False | 0,80 | 0,80 | 0,80 |
| plan | 29,88 | 54,53 | 6,33 | 8,69 | | | | 0 | 0 | 0 | 0 dB | False | 0,80 | 0,80 | 0,80 |
| plan | 29,65 | 53,56 | 6,17 | 8,68 | | | | 0 | 0 | 0 | 0 dB | False | 0,80 | 0,80 | 0,80 |
| plan | 33,64 | 68,53 | 6,92 | 9,92 | | | | 0 | 0 | 0 | 0 dB | False | 0,80 | 0,80 | 0,80 |

Model: Jager
Jager - Jager
Groep: (hoofdgroep)
Lijst van Gebouwen, voor rekenmethode Wegverkeerslawaai - RMW-2012

| Groep | Refl. 500 | Refl. 1k | Refl. 2k | Refl. 4k | Refl. 8k |
|---|---|---|---|---|---|
| Gebouw3D | 0,80 | 0,80 | 0,80 | 0,80 | 0,80 |
| Gebouw3D | 0,80 | 0,80 | 0,80 | 0,80 | 0,80 |
| Gebouw3D | 0,80 | 0,80 | 0,80 | 0,80 | 0,80 |
| Gebouw3D | 0,80 | 0,80 | 0,80 | 0,80 | 0,80 |
| Gebouw3D | 0,80 | 0,80 | 0,80 | 0,80 | 0,80 |
| Gebouw3D | 0,80 | 0,80 | 0,80 | 0,80 | 0,80 |
| Gebouw3D | 0,80 | 0,80 | 0,80 | 0,80 | 0,80 |
| Gebouw3D | 0,80 | 0,80 | 0,80 | 0,80 | 0,80 |
| Gebouw3D | 0,80 | 0,80 | 0,80 | 0,80 | 0,80 |
| Gebouw3D | 0,80 | 0,80 | 0,80 | 0,80 | 0,80 |
| Gebouw3D | 0,80 | 0,80 | 0,80 | 0,80 | 0,80 |
| Gebouw3D | 0,80 | 0,80 | 0,80 | 0,80 | 0,80 |
| Gebouw3D | 0,80 | 0,80 | 0,80 | 0,80 | 0,80 |
| Gebouw3D | 0,80 | 0,80 | 0,80 | 0,80 | 0,80 |
| Gebouw3D | 0,80 | 0,80 | 0,80 | 0,80 | 0,80 |
| Gebouw3D | 0,80 | 0,80 | 0,80 | 0,80 | 0,80 |
| Gebouw3D | 0,80 | 0,80 | 0,80 | 0,80 | 0,80 |
| Gebouw3D | 0,80 | 0,80 | 0,80 | 0,80 | 0,80 |
| Gebouw3D | 0,80 | 0,80 | 0,80 | 0,80 | 0,80 |
| Gebouw3D | 0,80 | 0,80 | 0,80 | 0,80 | 0,80 |
| Gebouw3D | 0,80 | 0,80 | 0,80 | 0,80 | 0,80 |
| Gebouw3D | 0,80 | 0,80 | 0,80 | 0,80 | 0,80 |
| Gebouw3D | 0,80 | 0,80 | 0,80 | 0,80 | 0,80 |
| Gebouw3D | 0,80 | 0,80 | 0,80 | 0,80 | 0,80 |
| Gebouw3D | 0,80 | 0,80 | 0,80 | 0,80 | 0,80 |
| Gebouw3D | 0,80 | 0,80 | 0,80 | 0,80 | 0,80 |
| plan | 0,80 | 0,80 | 0,80 | 0,80 | 0,80 |
| plan | 0,80 | 0,80 | 0,80 | 0,80 | 0,80 |
| plan | 0,80 | 0,80 | 0,80 | 0,80 | 0,80 |
| plan | 0,80 | 0,80 | 0,80 | 0,80 | 0,80 |
| plan | 0,80 | 0,80 | 0,80 | 0,80 | 0,80 |

# Invoergegevens van het model

Model: Jager
Jager - Jager
Groep: (hoofdgroep)
Lijst van Gebouwen, voor rekenmethode Wegverkeerslawaai - RMW-2012

| Groep | ItemID | Grp.ID | Datum | Naam | Omschr. | Vorm | X-1 | Y-1 | Hoogte | Rel.H | Maaiveld | Hdef. | Vormpunten |
|---|---|---|---|---|---|---|---|---|---|---|---|---|---|
| plan | 15727 | 25 | 09:43, 20 mrt 2020 | G2 | Generatie woning | Polygoon | 246967,46 | 443723,89 | 7,00 | 7,00 | 0,00 | Relatief | 4 |
| plan | 15728 | 25 | 09:43, 20 mrt 2020 | G3 | Generatie woning | Polygoon | 246966,38 | 443717,09 | 7,00 | 7,00 | 0,00 | Relatief | 4 |
| plan | 15729 | 25 | 09:44, 20 mrt 2020 | G4 | Generatie woning | Polygoon | 246960,56 | 443699,01 | 7,00 | 7,00 | 0,00 | Relatief | 4 |
| plan | 15730 | 25 | 09:44, 20 mrt 2020 | G5 | Generatie woning | Polygoon | 246960,46 | 443699,03 | 7,00 | 7,00 | 0,00 | Relatief | 4 |
| plan | 15731 | 25 | 09:44, 20 mrt 2020 | G6 | Generatie woning | Polygoon | 246954,51 | 443702,44 | 7,00 | 7,00 | 0,00 | Relatief | 4 |

# Invoergegevens van het model

Model: Jager
Jager - Jager
Groep: (hoofdgroep)
Lijst van Gebouwen, voor rekenmethode Wegverkeerslawaai - RMW-2012

| Groep | Omtrek | Oppervlak | Min.lengte | Max.lengte | Functie | BAG-id | Gemeente | Jaar | AHN-jaar | Trust | Cp | Zwevend | Refl. 63 | Refl. 125 | Refl. 250 |
|---|---|---|---|---|---|---|---|---|---|---|---|---|---|---|---|
| plan | 33,64 | 68,52 | 6,91 | 9,90 | | | | 0 | 0 | 0 | 0 dB | False | 0,80 | 0,80 | 0,80 |
| plan | 33,35 | 67,31 | 6,84 | 9,87 | | | | 0 | 0 | 0 | 0 dB | False | 0,80 | 0,80 | 0,80 |
| plan | 33,65 | 68,47 | 6,83 | 9,94 | | | | 0 | 0 | 0 | 0 dB | False | 0,80 | 0,80 | 0,80 |
| plan | 33,49 | 67,90 | 6,84 | 9,86 | | | | 0 | 0 | 0 | 0 dB | False | 0,80 | 0,80 | 0,80 |
| plan | 33,56 | 68,06 | 6,86 | 10,00 | | | | 0 | 0 | 0 | 0 dB | False | 0,80 | 0,80 | 0,80 |

Model: Jager
Jager - Jager
Groep: (hoofdgroep)
Lijst van Gebouwen, voor rekenmethode Wegverkeerslawaai - RMW-2012

| Groep | Refl. 500 | Refl. 1k | Refl. 2k | Refl. 4k | Refl. 8k |
|---|---|---|---|---|---|
| plan | 0,80 | 0,80 | 0,80 | 0,80 | 0,80 |
| plan | 0,80 | 0,80 | 0,80 | 0,80 | 0,80 |
| plan | 0,80 | 0,80 | 0,80 | 0,80 | 0,80 |
| plan | 0,80 | 0,80 | 0,80 | 0,80 | 0,80 |
| plan | 0,80 | 0,80 | 0,80 | 0,80 | 0,80 |

Model: Jager
Jager - Jager
Groep: (hoofdgroep)
Lijst van Bodemgebieden, voor rekenmethode Wegverkeerslawaai - RMW-2012

| Groep | ItemID | Grp.ID | Datum | Naam | Omschr. | Vorm | X-1 | Y-1 | Vormpunten | Omtrek |
|---|---|---|---|---|---|---|---|---|---|---|
| groenvoorziening | 9541 | 3 | 09:02, 20 mrt 2020 | groenvoorz | | Polygoon | 247253,27 | 443851,75 | 9 | 64,84 |
| groenvoorziening | 9834 | 3 | 09:02, 20 mrt 2020 | groenvoorz | | Polygoon | 246991,25 | 443222,98 | 12 | 329,58 |
| groenvoorziening | 9840 | 3 | 09:02, 20 mrt 2020 | groenvoorz | groenvoorziening | Polygoon | 246695,17 | 443619,40 | 50 | 112,39 |
| groenvoorziening | 9843 | 3 | 09:02, 20 mrt 2020 | groenvoorz | groenvoorziening | Polygoon | 247319,18 | 443888,03 | 4 | 19,92 |
| groenvoorziening | 9848 | 3 | 09:02, 20 mrt 2020 | groenvoorz | groenvoorziening | Polygoon | 246793,39 | 443677,46 | 62 | 265,05 |
| groenvoorziening | 9854 | 3 | 09:02, 20 mrt 2020 | groenvoorz | groenvoorziening | Polygoon | 246742,82 | 443712,00 | 161 | 223,46 |
| groenvoorziening | 9861 | 3 | 09:02, 20 mrt 2020 | groenvoorz | groenvoorziening | Polygoon | 247145,96 | 443325,83 | 36 | 87,11 |
| groenvoorziening | 9862 | 3 | 09:02, 20 mrt 2020 | groenvoorz | groenvoorziening | Polygoon | 247146,69 | 443188,22 | 11 | 37,36 |
| groenvoorziening | 9863 | 3 | 09:02, 20 mrt 2020 | groenvoorz | groenvoorziening | Polygoon | 246878,11 | 443680,95 | 8 | 51,27 |
| groenvoorziening | 9864 | 3 | 09:02, 20 mrt 2020 | groenvoorz | groenvoorziening | Polygoon | 246703,49 | 443763,94 | 52 | 58,28 |
| groenvoorziening | 9865 | 3 | 09:02, 20 mrt 2020 | groenvoorz | groenvoorziening | Polygoon | 246652,25 | 443654,64 | 10 | 19,15 |
| groenvoorziening | 9870 | 3 | 09:02, 20 mrt 2020 | groenvoorz | groenvoorziening | Polygoon | 246649,45 | 443950,88 | 37 | 11,67 |
| groenvoorziening | 9876 | 3 | 09:02, 20 mrt 2020 | groenvoorz | groenvoorziening | Polygoon | 246652,78 | 443646,41 | 5 | 9,89 |
| groenvoorziening | 9879 | 3 | 09:02, 20 mrt 2020 | groenvoorz | groenvoorziening | Polygoon | 246830,53 | 443663,64 | 9 | 70,52 |
| groenvoorziening | 9883 | 3 | 09:02, 20 mrt 2020 | groenvoorz | groenvoorziening | Polygoon | 247039,45 | 443759,24 | 5 | 13,67 |
| groenvoorziening | 9886 | 3 | 09:02, 20 mrt 2020 | groenvoorz | groenvoorziening | Polygoon | 247189,59 | 443580,23 | 4 | 43,26 |
| groenvoorziening | 9890 | 3 | 09:02, 20 mrt 2020 | groenvoorz | groenvoorziening | Polygoon | 247162,30 | 443620,48 | 30 | 84,16 |
| groenvoorziening | 9906 | 3 | 09:02, 20 mrt 2020 | groenvoorz | groenvoorziening | Polygoon | 246716,76 | 443278,43 | 97 | 25,13 |
| groenvoorziening | 9909 | 3 | 09:02, 20 mrt 2020 | groenvoorz | groenvoorziening | Polygoon | 247089,55 | 443585,12 | 4 | 38,75 |
| groenvoorziening | 9928 | 3 | 09:02, 20 mrt 2020 | groenvoorz | groenvoorziening | Polygoon | 246764,35 | 443432,76 | 4 | 10,68 |
| groenvoorziening | 9932 | 3 | 09:02, 20 mrt 2020 | groenvoorz | groenvoorziening | Polygoon | 246880,93 | 443770,88 | 32 | 22,59 |
| groenvoorziening | 9942 | 3 | 09:02, 20 mrt 2020 | groenvoorz | groenvoorziening | Polygoon | 247054,74 | 443711,87 | 5 | 16,30 |
| groenvoorziening | 9952 | 3 | 09:02, 20 mrt 2020 | groenvoorz | groenvoorziening | Polygoon | 247054,45 | 443675,43 | 10 | 14,40 |
| groenvoorziening | 9956 | 3 | 09:02, 20 mrt 2020 | groenvoorz | groenvoorziening | Polygoon | 246790,84 | 443336,14 | 4 | 30,96 |
| groenvoorziening | 9960 | 3 | 09:02, 20 mrt 2020 | groenvoorz | groenvoorziening | Polygoon | 246749,77 | 443884,06 | 323 | 455,39 |
| groenvoorziening | 9964 | 3 | 09:02, 20 mrt 2020 | groenvoorz | groenvoorziening | Polygoon | 247083,44 | 443586,11 | 79 | 63,72 |
| groenvoorziening | 9968 | 3 | 09:02, 20 mrt 2020 | groenvoorz | groenvoorziening | Polygoon | 247040,10 | 443641,01 | 28 | 28,24 |
| groenvoorziening | 9971 | 3 | 09:02, 20 mrt 2020 | groenvoorz | groenvoorziening | Polygoon | 246848,25 | 443646,82 | 13 | 82,09 |
| groenvoorziening | 9978 | 3 | 09:02, 20 mrt 2020 | groenvoorz | groenvoorziening | Polygoon | 246790,95 | 443675,56 | 161 | 374,86 |
| groenvoorziening | 9979 | 3 | 09:02, 20 mrt 2020 | groenvoorz | groenvoorziening | Polygoon | 246650,77 | 443591,91 | 20 | 24,32 |
| groenvoorziening | 9988 | 3 | 09:02, 20 mrt 2020 | groenvoorz | groenvoorziening | Polygoon | 246680,40 | 443588,06 | 8 | 133,09 |
| groenvoorziening | 9989 | 3 | 09:02, 20 mrt 2020 | groenvoorz | groenvoorziening | Polygoon | 247150,68 | 443720,42 | 32 | 66,78 |
| groenvoorziening | 9996 | 3 | 09:02, 20 mrt 2020 | groenvoorz | groenvoorziening | Polygoon | 246685,27 | 443406,37 | 4 | 50,75 |
| groenvoorziening | 10007 | 3 | 09:02, 20 mrt 2020 | groenvoorz | groenvoorziening | Polygoon | 246734,95 | 443377,23 | 73 | 13,04 |
| groenvoorziening | 10016 | 3 | 09:02, 20 mrt 2020 | groenvoorz | groenvoorziening | Polygoon | 247192,06 | 443294,65 | 28 | 52,41 |
| groenvoorziening | 10022 | 3 | 09:02, 20 mrt 2020 | groenvoorz | groenvoorziening | Polygoon | 246729,86 | 443436,36 | 71 | 95,89 |

Model: Jager
Jager - Jager
Groep: (hoofdgroep)
Lijst van Bodemgebieden, voor rekenmethode Wegverkeerslawaai - RMW-2012

| Groep | Oppervlak | Min.lengte | Max.lengte | Bf |
|---|---|---|---|---|
| groenvoorziening | 60,20 | 0,21 | 27,11 | 0,80 |
| groenvoorziening | 377,36 | 0,11 | 107,75 | 0,80 |
| groenvoorziening | 393,61 | 0,36 | 39,12 | 0,80 |
| groenvoorziening | 13,05 | 1,53 | 8,43 | 0,80 |
| groenvoorziening | 859,92 | 0,48 | 23,73 | 0,80 |
| groenvoorziening | 1377,36 | 0,16 | 22,54 | 0,80 |
| groenvoorziening | 301,79 | 0,36 | 10,80 | 0,80 |
| groenvoorziening | 33,38 | 2,55 | 8,21 | 0,80 |
| groenvoorziening | 131,79 | 0,37 | 16,94 | 0,80 |
| groenvoorziening | 49,73 | 0,08 | 9,98 | 0,80 |
| groenvoorziening | 8,16 | 0,12 | 7,52 | 0,80 |
| groenvoorziening | 5,44 | 0,05 | 4,57 | 0,80 |
| groenvoorziening | 3,20 | 0,75 | 4,20 | 0,80 |
| groenvoorziening | 247,29 | 1,20 | 20,67 | 0,80 |
| groenvoorziening | 11,21 | 0,99 | 3,78 | 0,80 |
| groenvoorziening | 41,97 | 2,08 | 19,50 | 0,80 |
| groenvoorziening | 357,18 | 0,03 | 26,86 | 0,80 |
| groenvoorziening | 22,86 | 0,03 | 9,58 | 0,80 |
| groenvoorziening | 32,89 | 1,88 | 17,52 | 0,80 |
| groenvoorziening | 6,76 | 2,04 | 3,32 | 0,80 |
| groenvoorziening | 29,03 | 0,07 | 6,92 | 0,80 |
| groenvoorziening | 13,31 | 1,63 | 4,65 | 0,80 |
| groenvoorziening | 2,03 | 0,30 | 6,90 | 0,80 |
| groenvoorziening | 51,15 | 4,67 | 10,72 | 0,80 |
| groenvoorziening | 461,93 | 0,03 | 38,48 | 0,80 |
| groenvoorziening | 112,67 | 0,03 | 20,68 | 0,80 |
| groenvoorziening | 24,65 | 0,07 | 9,67 | 0,80 |
| groenvoorziening | 97,88 | 0,65 | 26,61 | 0,80 |
| groenvoorziening | 3714,40 | 0,07 | 28,12 | 0,80 |
| groenvoorziening | 4,64 | 0,04 | 2,92 | 0,80 |
| groenvoorziening | 46,08 | 0,70 | 40,43 | 0,80 |
| groenvoorziening | 10,03 | 0,16 | 14,81 | 0,80 |
| groenvoorziening | 46,75 | 2,00 | 23,37 | 0,80 |
| groenvoorziening | 9,94 | 0,14 | 1,91 | 0,80 |
| groenvoorziening | 161,65 | 0,20 | 14,72 | 0,80 |
| groenvoorziening | 87,85 | 0,02 | 15,27 | 0,80 |

# Invoergegevens van het model

Model: Jager
Jager - Jager
Groep: (hoofdgroep)
Lijst van Bodemgebieden, voor rekenmethode Wegverkeerslawaai - RMW-2012

| Groep | ItemID | Grp.ID | Datum | Naam | Omschr. | Vorm | X-1 | Y-1 | Vormpunten | Omtrek |
|---|---|---|---|---|---|---|---|---|---|---|
| groenvoorziening | 10023 | 3 | 09:02, 20 mrt 2020 | groenvoorz | groenvoorziening | Polygoon | 247299,51 | 443766,52 | 9 | 20,79 |
| groenvoorziening | 10024 | 3 | 09:02, 20 mrt 2020 | groenvoorz | groenvoorziening | Polygoon | 246873,34 | 443683,12 | 248 | 256,50 |
| groenvoorziening | 10028 | 3 | 09:02, 20 mrt 2020 | groenvoorz | groenvoorziening | Polygoon | 246689,77 | 443332,24 | 107 | 15,13 |
| groenvoorziening | 10031 | 3 | 09:02, 20 mrt 2020 | groenvoorz | groenvoorziening | Polygoon | 247339,36 | 443542,78 | 31 | 40,08 |
| groenvoorziening | 10040 | 3 | 09:02, 20 mrt 2020 | groenvoorz | groenvoorziening | Polygoon | 247267,45 | 443892,23 | 4 | 61,84 |
| groenvoorziening | 10046 | 3 | 09:02, 20 mrt 2020 | groenvoorz | groenvoorziening | Polygoon | 246715,46 | 443370,23 | 46 | 9,63 |
| groenvoorziening | 10048 | 3 | 09:02, 20 mrt 2020 | groenvoorz | groenvoorziening | Polygoon | 246710,52 | 443784,31 | 46 | 55,96 |
| groenvoorziening | 10056 | 3 | 09:02, 20 mrt 2020 | groenvoorz | groenvoorziening | Polygoon | 246816,28 | 443362,70 | 25 | 127,97 |
| groenvoorziening | 10058 | 3 | 09:02, 20 mrt 2020 | groenvoorz | groenvoorziening | Polygoon | 247234,35 | 443698,97 | 5 | 13,99 |
| groenvoorziening | 10065 | 3 | 09:02, 20 mrt 2020 | groenvoorz | groenvoorziening | Polygoon | 246806,69 | 443423,92 | 45 | 68,10 |
| groenvoorziening | 10071 | 3 | 09:02, 20 mrt 2020 | groenvoorz | groenvoorziening | Polygoon | 247189,59 | 443580,23 | 5 | 43,26 |
| groenvoorziening | 10075 | 3 | 09:02, 20 mrt 2020 | groenvoorz | groenvoorziening | Polygoon | 246716,45 | 443808,49 | 12 | 45,33 |
| groenvoorziening | 10084 | 3 | 09:02, 20 mrt 2020 | groenvoorz | groenvoorziening | Polygoon | 246855,71 | 443773,34 | 29 | 20,04 |
| groenvoorziening | 10085 | 3 | 09:02, 20 mrt 2020 | groenvoorz | groenvoorziening | Polygoon | 247311,24 | 443944,01 | 35 | 161,19 |
| groenvoorziening | 10088 | 3 | 09:02, 20 mrt 2020 | groenvoorz | groenvoorziening | Polygoon | 247272,64 | 443931,39 | 37 | 52,60 |
| groenvoorziening | 10094 | 3 | 09:02, 20 mrt 2020 | groenvoorz | groenvoorziening | Polygoon | 246960,52 | 443231,54 | 127 | 906,06 |
| groenvoorziening | 10095 | 3 | 09:02, 20 mrt 2020 | groenvoorz | groenvoorziening | Polygoon | 246641,61 | 443594,68 | 15 | 35,67 |
| groenvoorziening | 10105 | 3 | 09:02, 20 mrt 2020 | groenvoorz | groenvoorziening | Polygoon | 246843,01 | 443772,44 | 4 | 24,37 |
| groenvoorziening | 10115 | 3 | 09:02, 20 mrt 2020 | groenvoorz | groenvoorziening | Polygoon | 246650,57 | 443597,88 | 14 | 65,59 |
| groenvoorziening | 10128 | 3 | 09:02, 20 mrt 2020 | groenvoorz | groenvoorziening | Polygoon | 247290,86 | 443910,65 | 48 | 130,38 |
| groenvoorziening | 10132 | 3 | 09:02, 20 mrt 2020 | groenvoorz | groenvoorziening | Polygoon | 247152,52 | 443983,89 | 82 | 50,31 |
| groenvoorziening | 10136 | 3 | 09:02, 20 mrt 2020 | groenvoorz | groenvoorziening | Polygoon | 246654,16 | 443721,98 | 44 | 140,94 |
| groenvoorziening | 10138 | 3 | 09:02, 20 mrt 2020 | groenvoorz | groenvoorziening | Polygoon | 246641,49 | 443840,64 | 5 | 23,28 |
| groenvoorziening | 10142 | 3 | 09:02, 20 mrt 2020 | groenvoorz | groenvoorziening | Polygoon | 246915,29 | 443327,58 | 5 | 91,25 |
| groenvoorziening | 10159 | 3 | 09:02, 20 mrt 2020 | groenvoorz | groenvoorziening | Polygoon | 247290,86 | 443910,65 | 62 | 171,83 |
| groenvoorziening | 10166 | 3 | 09:02, 20 mrt 2020 | groenvoorz | groenvoorziening | Polygoon | 246881,16 | 443286,71 | 10 | 74,39 |
| groenvoorziening | 10169 | 3 | 09:02, 20 mrt 2020 | groenvoorz | groenvoorziening | Polygoon | 246679,74 | 443686,97 | 186 | 344,50 |
| groenvoorziening | 10171 | 3 | 09:02, 20 mrt 2020 | groenvoorz | groenvoorziening | Polygoon | 247146,18 | 443302,95 | 43 | 67,09 |
| groenvoorziening | 10173 | 3 | 09:02, 20 mrt 2020 | groenvoorz | groenvoorziening | Polygoon | 247161,45 | 443588,96 | 4 | 10,81 |
| groenvoorziening | 10175 | 3 | 09:02, 20 mrt 2020 | groenvoorz | groenvoorziening | Polygoon | 246714,25 | 443685,76 | 139 | 176,39 |
| groenvoorziening | 10186 | 3 | 09:02, 20 mrt 2020 | groenvoorz | groenvoorziening | Polygoon | 246719,60 | 443600,72 | 138 | 238,99 |
| groenvoorziening | 10193 | 3 | 09:02, 20 mrt 2020 | groenvoorz | groenvoorziening | Polygoon | 246878,06 | 443962,30 | 30 | 48,11 |
| groenvoorziening | 10195 | 3 | 09:02, 20 mrt 2020 | groenvoorz | groenvoorziening | Polygoon | 247148,72 | 443718,58 | 28 | 56,73 |
| groenvoorziening | 10203 | 3 | 09:02, 20 mrt 2020 | groenvoorz | groenvoorziening | Polygoon | 246645,93 | 443592,20 | 9 | 14,74 |
| groenvoorziening | 10207 | 3 | 09:02, 20 mrt 2020 | groenvoorz | groenvoorziening | Polygoon | 246650,26 | 443591,85 | 17 | 24,32 |
| groenvoorziening | 10213 | 3 | 09:02, 20 mrt 2020 | groenvoorz | groenvoorziening | Polygoon | 246893,48 | 443257,85 | 13 | 149,72 |

Model: Jager
Jager - Jager
Groep: (hoofdgroep)
Lijst van Bodemgebieden, voor rekenmethode Wegverkeerslawaai - RMW-2012

| Groep | Oppervlak | Min.lengte | Max.lengte | Bf |
|---|---|---|---|---|
| groenvoorziening | 19,61 | 0,76 | 8,04 | 0,80 |
| groenvoorziening | 820,47 | 0,16 | 34,14 | 0,80 |
| groenvoorziening | 13,45 | 0,03 | 4,47 | 0,80 |
| groenvoorziening | 77,38 | 0,28 | 12,77 | 0,80 |
| groenvoorziening | 220,22 | 10,68 | 19,82 | 0,80 |
| groenvoorziening | 5,46 | 0,13 | 3,77 | 0,80 |
| groenvoorziening | 135,11 | 0,08 | 9,98 | 0,80 |
| groenvoorziening | 93,80 | 0,44 | 18,60 | 0,80 |
| groenvoorziening | 12,22 | 1,37 | 3,65 | 0,80 |
| groenvoorziening | 95,98 | 0,03 | 22,41 | 0,80 |
| groenvoorziening | 41,97 | 0,73 | 19,50 | 0,80 |
| groenvoorziening | 66,70 | 1,17 | 13,73 | 0,80 |
| groenvoorziening | 24,87 | 0,05 | 6,19 | 0,80 |
| groenvoorziening | 189,07 | 0,52 | 23,79 | 0,80 |
| groenvoorziening | 114,70 | 0,19 | 14,22 | 0,80 |
| groenvoorziening | 4920,46 | 0,59 | 138,83 | 0,80 |
| groenvoorziening | 27,29 | 0,04 | 11,54 | 0,80 |
| groenvoorziening | 34,51 | 4,47 | 7,77 | 0,80 |
| groenvoorziening | 22,35 | 0,07 | 19,19 | 0,80 |
| groenvoorziening | 261,39 | 0,26 | 20,63 | 0,80 |
| groenvoorziening | 137,67 | 0,03 | 15,80 | 0,80 |
| groenvoorziening | 156,74 | 0,15 | 19,68 | 0,80 |
| groenvoorziening | 18,41 | 1,46 | 9,93 | 0,80 |
| groenvoorziening | 107,37 | 2,44 | 42,96 | 0,80 |
| groenvoorziening | 245,65 | 0,26 | 20,63 | 0,80 |
| groenvoorziening | 81,13 | 1,00 | 22,66 | 0,80 |
| groenvoorziening | 3775,85 | 0,12 | 40,43 | 0,80 |
| groenvoorziening | 229,47 | 0,04 | 19,41 | 0,80 |
| groenvoorziening | 6,54 | 1,83 | 3,57 | 0,80 |
| groenvoorziening | 1843,08 | 0,15 | 17,32 | 0,80 |
| groenvoorziening | 1478,71 | 0,02 | 44,18 | 0,80 |
| groenvoorziening | 51,42 | 0,22 | 17,66 | 0,80 |
| groenvoorziening | 8,36 | 0,19 | 11,51 | 0,80 |
| groenvoorziening | 12,61 | 0,26 | 3,86 | 0,80 |
| groenvoorziening | 4,64 | 0,04 | 2,92 | 0,80 |
| groenvoorziening | 403,83 | 1,69 | 54,18 | 0,80 |

# Invoergegevens van het model

Model: Jager
Jager - Jager
Groep: (hoofdgroep)
Lijst van Bodemgebieden, voor rekenmethode Wegverkeerslawaai - RMW-2012

| Groep | ItemID | Grp.ID | Datum | Naam | Omschr. | Vorm | X-1 | Y-1 | Vormpunten | Omtrek |
|---|---|---|---|---|---|---|---|---|---|---|
| groenvoorziening | 10239 | 3 | 09:02, 20 mrt 2020 | groenvoorz | groenvoorziening | Polygoon | 246743,46 | 443291,06 | 4 | 25,04 |
| groenvoorziening | 10241 | 3 | 09:02, 20 mrt 2020 | groenvoorz | groenvoorziening | Polygoon | 246831,00 | 443293,89 | 4 | 14,49 |
| groenvoorziening | 10248 | 3 | 09:02, 20 mrt 2020 | groenvoorz | groenvoorziening | Polygoon | 246745,58 | 443369,66 | 13 | 18,67 |
| groenvoorziening | 10255 | 3 | 09:02, 20 mrt 2020 | groenvoorz | groenvoorziening | Polygoon | 247155,89 | 443710,88 | 71 | 16,27 |
| groenvoorziening | 10267 | 3 | 09:02, 20 mrt 2020 | groenvoorz | groenvoorziening | Polygoon | 246650,57 | 443597,88 | 13 | 65,72 |
| groenvoorziening | 10274 | 3 | 09:02, 20 mrt 2020 | groenvoorz | groenvoorziening | Polygoon | 247348,44 | 443541,60 | 31 | 19,00 |
| groenvoorziening | 10280 | 3 | 09:02, 20 mrt 2020 | groenvoorz | groenvoorziening | Polygoon | 246745,54 | 443951,38 | 4 | 22,02 |
| groenvoorziening | 10282 | 3 | 09:02, 20 mrt 2020 | groenvoorz | groenvoorziening | Polygoon | 247039,70 | 443558,58 | 7 | 23,42 |
| groenvoorziening | 10291 | 3 | 09:02, 20 mrt 2020 | groenvoorz | groenvoorziening | Polygoon | 247167,98 | 443588,70 | 4 | 10,56 |
| groenvoorziening | 10292 | 3 | 09:02, 20 mrt 2020 | groenvoorz | groenvoorziening | Polygoon | 246785,18 | 443431,88 | 14 | 41,31 |
| groenvoorziening | 10293 | 3 | 09:02, 20 mrt 2020 | groenvoorz | groenvoorziening | Polygoon | 247052,71 | 443764,05 | 27 | 24,43 |
| groenvoorziening | 10294 | 3 | 09:02, 20 mrt 2020 | groenvoorz | groenvoorziening | Polygoon | 247338,53 | 443533,54 | 50 | 13,05 |
| groenvoorziening | 10308 | 3 | 09:02, 20 mrt 2020 | groenvoorz | groenvoorziening | Polygoon | 246924,19 | 443943,73 | 35 | 144,43 |
| groenvoorziening | 10313 | 3 | 09:02, 20 mrt 2020 | groenvoorz | groenvoorziening | Polygoon | 246718,96 | 443764,56 | 48 | 45,91 |
| groenvoorziening | 10315 | 3 | 09:02, 20 mrt 2020 | groenvoorz | groenvoorziening | Polygoon | 246924,74 | 443752,33 | 46 | 27,42 |
| groenvoorziening | 10327 | 3 | 09:02, 20 mrt 2020 | groenvoorz | groenvoorziening | Polygoon | 246805,75 | 443780,16 | 16 | 15,52 |
| groenvoorziening | 10328 | 3 | 09:02, 20 mrt 2020 | groenvoorz | groenvoorziening | Polygoon | 246779,59 | 443957,47 | 5 | 22,11 |
| groenvoorziening | 10332 | 3 | 09:02, 20 mrt 2020 | groenvoorz | groenvoorziening | Polygoon | 247034,09 | 443587,87 | 13 | 30,86 |
| groenvoorziening | 10345 | 3 | 09:02, 20 mrt 2020 | groenvoorz | groenvoorziening | Polygoon | 247281,40 | 443812,65 | 23 | 62,96 |
| groenvoorziening | 10354 | 3 | 09:02, 20 mrt 2020 | groenvoorz | groenvoorziening | Polygoon | 246971,90 | 443830,08 | 4 | 15,30 |
| groenvoorziening | 10362 | 3 | 09:02, 20 mrt 2020 | groenvoorz | groenvoorziening | Polygoon | 247179,87 | 443717,61 | 4 | 15,50 |
| groenvoorziening | 10366 | 3 | 09:02, 20 mrt 2020 | groenvoorz | groenvoorziening | Polygoon | 246790,95 | 443675,56 | 173 | 380,92 |
| groenvoorziening | 10370 | 3 | 09:02, 20 mrt 2020 | groenvoorz | groenvoorziening | Polygoon | 247147,02 | 443699,47 | 50 | 48,89 |
| groenvoorziening | 10374 | 3 | 09:02, 20 mrt 2020 | groenvoorz | groenvoorziening | Polygoon | 247081,73 | 443553,01 | 5 | 23,07 |
| groenvoorziening | 10384 | 3 | 09:02, 20 mrt 2020 | groenvoorz | groenvoorziening | Polygoon | 247014,16 | 443384,06 | 25 | 370,49 |
| groenvoorziening | 10389 | 3 | 09:02, 20 mrt 2020 | groenvoorz | groenvoorziening | Polygoon | 246948,55 | 443809,56 | 4 | 16,01 |
| groenvoorziening | 10392 | 3 | 09:02, 20 mrt 2020 | groenvoorz | groenvoorziening | Polygoon | 246756,86 | 443732,44 | 13 | 203,50 |
| groenvoorziening | 10402 | 3 | 09:02, 20 mrt 2020 | groenvoorz | groenvoorziening | Polygoon | 247114,75 | 443661,38 | 6 | 27,54 |
| groenvoorziening | 10405 | 3 | 09:02, 20 mrt 2020 | groenvoorz | groenvoorziening | Polygoon | 247325,76 | 443534,84 | 34 | 16,13 |
| groenvoorziening | 10407 | 3 | 09:02, 20 mrt 2020 | groenvoorz | groenvoorziening | Polygoon | 246629,22 | 443723,29 | 12 | 36,61 |
| groenvoorziening | 10415 | 3 | 09:02, 20 mrt 2020 | groenvoorz | groenvoorziening | Polygoon | 247115,02 | 443628,52 | 6 | 50,06 |
| groenvoorziening | 10422 | 3 | 09:02, 20 mrt 2020 | groenvoorz | groenvoorziening | Polygoon | 246766,35 | 443763,04 | 50 | 222,49 |
| groenvoorziening | 10424 | 3 | 09:02, 20 mrt 2020 | groenvoorz | groenvoorziening | Polygoon | 246707,38 | 443415,19 | 34 | 65,30 |
| groenvoorziening | 10427 | 3 | 09:02, 20 mrt 2020 | groenvoorz | groenvoorziening | Polygoon | 246866,78 | 443699,75 | 358 | 178,59 |
| groenvoorziening | 10430 | 3 | 09:02, 20 mrt 2020 | groenvoorz | groenvoorziening | Polygoon | 247286,08 | 443877,31 | 30 | 55,83 |
| groenvoorziening | 10444 | 3 | 09:02, 20 mrt 2020 | groenvoorz | groenvoorziening | Polygoon | 246749,77 | 443884,06 | 274 | 446,68 |

Model: Jager
Jager - Jager
Groep: (hoofdgroep)
Lijst van Bodemgebieden, voor rekenmethode Wegverkeerslawaai - RMW-2012

| Groep | Oppervlak | Min.lengte | Max.lengte | Bf |
|---|---|---|---|---|
| groenvoorziening | 25,81 | 4,27 | 8,57 | 0,80 |
| groenvoorziening | 13,09 | 3,44 | 3,81 | 0,80 |
| groenvoorziening | 16,66 | 0,60 | 3,98 | 0,80 |
| groenvoorziening | 16,23 | 0,03 | 4,31 | 0,80 |
| groenvoorziening | 38,33 | 0,07 | 28,65 | 0,80 |
| groenvoorziening | 24,43 | 0,22 | 4,98 | 0,80 |
| groenvoorziening | 3,33 | 0,30 | 10,70 | 0,80 |
| groenvoorziening | 17,48 | 0,10 | 10,29 | 0,80 |
| groenvoorziening | 6,33 | 1,84 | 3,44 | 0,80 |
| groenvoorziening | 47,62 | 0,37 | 12,45 | 0,80 |
| groenvoorziening | 18,75 | 0,27 | 11,31 | 0,80 |
| groenvoorziening | 9,46 | 0,07 | 3,96 | 0,80 |
| groenvoorziening | 382,30 | 0,46 | 20,57 | 0,80 |
| groenvoorziening | 115,09 | 0,29 | 12,95 | 0,80 |
| groenvoorziening | 34,89 | 0,06 | 5,80 | 0,80 |
| groenvoorziening | 14,50 | 0,08 | 4,48 | 0,80 |
| groenvoorziening | 25,88 | 1,91 | 7,75 | 0,80 |
| groenvoorziening | 32,12 | 0,70 | 6,34 | 0,80 |
| groenvoorziening | 242,26 | 0,82 | 19,61 | 0,80 |
| groenvoorziening | 10,29 | 1,83 | 6,25 | 0,80 |
| groenvoorziening | 11,29 | 1,94 | 5,81 | 0,80 |
| groenvoorziening | 3776,05 | 0,23 | 22,86 | 0,80 |
| groenvoorziening | 41,98 | 0,13 | 11,60 | 0,80 |
| groenvoorziening | 16,09 | 1,61 | 9,86 | 0,80 |
| groenvoorziening | 1299,01 | 0,11 | 108,50 | 0,80 |
| groenvoorziening | 9,71 | 2,37 | 7,27 | 0,80 |
| groenvoorziening | 2257,33 | 0,08 | 63,96 | 0,80 |
| groenvoorziening | 34,02 | 0,77 | 11,69 | 0,80 |
| groenvoorziening | 17,17 | 0,06 | 4,25 | 0,80 |
| groenvoorziening | 15,38 | 0,84 | 9,93 | 0,80 |
| groenvoorziening | 57,62 | 2,06 | 19,43 | 0,80 |
| groenvoorziening | 508,56 | 0,51 | 20,67 | 0,80 |
| groenvoorziening | 94,58 | 0,20 | 28,75 | 0,80 |
| groenvoorziening | 1032,26 | 0,16 | 42,24 | 0,80 |
| groenvoorziening | 62,49 | 0,46 | 22,92 | 0,80 |
| groenvoorziening | 436,54 | 0,03 | 38,48 | 0,80 |

# Invoergegevens van het model

Model: Jager
Jager - Jager
Groep: (hoofdgroep)
Lijst van Bodemgebieden, voor rekenmethode Wegverkeerslawaai - RMW-2012

| Groep | ItemID | Grp.ID | Datum | Naam | Omschr. | Vorm | X-1 | Y-1 | Vormpunten | Omtrek |
|---|---|---|---|---|---|---|---|---|---|---|
| groenvoorziening | 10453 | 3 | 09:02, 20 mrt 2020 | groenvoorz | groenvoorziening | Polygoon | 247115,02 | 443628,52 | 9 | 123,90 |
| groenvoorziening | 10455 | 3 | 09:02, 20 mrt 2020 | groenvoorz | groenvoorziening | Polygoon | 247055,03 | 443723,64 | 5 | 25,22 |
| groenvoorziening | 10458 | 3 | 09:02, 20 mrt 2020 | groenvoorz | groenvoorziening | Polygoon | 247173,01 | 443720,91 | 4 | 6,96 |
| groenvoorziening | 10462 | 3 | 09:02, 20 mrt 2020 | groenvoorz | groenvoorziening | Polygoon | 246767,28 | 443296,15 | 4 | 10,82 |
| groenvoorziening | 10466 | 3 | 09:02, 20 mrt 2020 | groenvoorz | groenvoorziening | Polygoon | 246770,54 | 443585,87 | 64 | 116,25 |
| groenvoorziening | 10468 | 3 | 09:02, 20 mrt 2020 | groenvoorz | groenvoorziening | Polygoon | 247352,08 | 443886,78 | 9 | 15,76 |
| groenvoorziening | 10469 | 3 | 09:02, 20 mrt 2020 | groenvoorz | groenvoorziening | Polygoon | 247142,13 | 443982,99 | 10 | 25,18 |
| groenvoorziening | 10479 | 3 | 09:02, 20 mrt 2020 | groenvoorz | groenvoorziening | Polygoon | 247127,31 | 443576,18 | 4 | 17,15 |
| groenvoorziening | 10489 | 3 | 09:02, 20 mrt 2020 | groenvoorz | groenvoorziening | Polygoon | 246960,52 | 443231,54 | 141 | 1000,01 |
| groenvoorziening | 10494 | 3 | 09:02, 20 mrt 2020 | groenvoorz | groenvoorziening | Polygoon | 247148,23 | 443582,58 | 4 | 11,14 |
| groenvoorziening | 10497 | 3 | 09:02, 20 mrt 2020 | groenvoorz | groenvoorziening | Polygoon | 247273,04 | 443919,98 | 73 | 57,29 |
| groenvoorziening | 10508 | 3 | 09:02, 20 mrt 2020 | groenvoorz | groenvoorziening | Polygoon | 247286,75 | 443863,58 | 5 | 17,13 |
| groenvoorziening | 10515 | 3 | 09:02, 20 mrt 2020 | groenvoorz | groenvoorziening | Polygoon | 247305,05 | 443786,70 | 14 | 44,13 |
| groenvoorziening | 10516 | 3 | 09:02, 20 mrt 2020 | groenvoorz | groenvoorziening | Polygoon | 246829,64 | 443684,20 | 225 | 110,90 |
| groenvoorziening | 10517 | 3 | 09:02, 20 mrt 2020 | groenvoorz | groenvoorziening | Polygoon | 247046,26 | 443337,21 | 7 | 62,44 |
| groenvoorziening | 10519 | 3 | 09:02, 20 mrt 2020 | groenvoorz | groenvoorziening | Polygoon | 246864,42 | 443720,01 | 29 | 65,27 |
| groenvoorziening | 10525 | 3 | 09:02, 20 mrt 2020 | groenvoorz | groenvoorziening | Polygoon | 246650,26 | 443591,85 | 15 | 24,21 |
| groenvoorziening | 10526 | 3 | 09:02, 20 mrt 2020 | groenvoorz | groenvoorziening | Polygoon | 246651,69 | 443603,76 | 28 | 32,13 |
| groenvoorziening | 10538 | 3 | 09:02, 20 mrt 2020 | groenvoorz | groenvoorziening | Polygoon | 247338,04 | 443850,68 | 30 | 55,77 |
| groenvoorziening | 10539 | 3 | 09:02, 20 mrt 2020 | groenvoorz | groenvoorziening | Polygoon | 246872,24 | 443586,98 | 8 | 50,48 |
| groenvoorziening | 10540 | 3 | 09:02, 20 mrt 2020 | groenvoorz | groenvoorziening | Polygoon | 246659,91 | 443797,74 | 45 | 127,56 |
| groenvoorziening | 10544 | 3 | 09:02, 20 mrt 2020 | groenvoorz | groenvoorziening | Polygoon | 247129,46 | 443730,14 | 8 | 22,63 |
| groenvoorziening | 10545 | 3 | 09:02, 20 mrt 2020 | groenvoorz | groenvoorziening | Polygoon | 246683,11 | 443401,09 | 710 | 140,83 |
| groenvoorziening | 10546 | 3 | 09:02, 20 mrt 2020 | groenvoorz | groenvoorziening | Polygoon | 247127,07 | 443723,64 | 8 | 23,43 |
| groenvoorziening | 10550 | 3 | 09:02, 20 mrt 2020 | groenvoorz | groenvoorziening | Polygoon | 246818,52 | 443321,85 | 50 | 12,34 |
| groenvoorziening | 10554 | 3 | 09:02, 20 mrt 2020 | groenvoorz | groenvoorziening | Polygoon | 246994,91 | 443373,12 | 89 | 300,62 |
| groenvoorziening | 10556 | 3 | 09:02, 20 mrt 2020 | groenvoorz | groenvoorziening | Polygoon | 247102,04 | 443737,10 | 7 | 19,77 |
| groenvoorziening | 10560 | 3 | 09:02, 20 mrt 2020 | groenvoorz | groenvoorziening | Polygoon | 246764,35 | 443321,66 | 8 | 13,11 |
| groenvoorziening | 10561 | 3 | 09:02, 20 mrt 2020 | groenvoorz | groenvoorziening | Polygoon | 246966,36 | 443871,41 | 27 | 22,75 |
| groenvoorziening | 10564 | 3 | 09:02, 20 mrt 2020 | groenvoorz | groenvoorziening | Polygoon | 246801,99 | 443888,99 | 5 | 34,23 |
| groenvoorziening | 10571 | 3 | 09:02, 20 mrt 2020 | groenvoorz | groenvoorziening | Polygoon | 246641,87 | 443608,91 | 16 | 44,22 |
| groenvoorziening | 10573 | 3 | 09:02, 20 mrt 2020 | groenvoorz | groenvoorziening | Polygoon | 247183,40 | 443656,65 | 16 | 33,40 |
| groenvoorziening | 10588 | 3 | 09:02, 20 mrt 2020 | groenvoorz | groenvoorziening | Polygoon | 246705,65 | 443331,02 | 385 | 94,67 |
| groenvoorziening | 10597 | 3 | 09:02, 20 mrt 2020 | groenvoorz | groenvoorziening | Polygoon | 246870,06 | 443964,74 | 88 | 80,77 |
| groenvoorziening | 10603 | 3 | 09:02, 20 mrt 2020 | groenvoorz | groenvoorziening | Polygoon | 247056,03 | 443758,89 | 26 | 35,13 |
| groenvoorziening | 10611 | 3 | 09:02, 20 mrt 2020 | groenvoorz | groenvoorziening | Polygoon | 246776,23 | 443451,27 | 4 | 35,65 |

Model: Jager
Jager - Jager
Groep: (hoofdgroep)
Lijst van Bodemgebieden, voor rekenmethode Wegverkeerslawaai - RMW-2012

| Groep | Oppervlak | Min.lengte | Max.lengte | Bf |
|---|---|---|---|---|
| groenvoorziening | 129,20 | 1,93 | 20,92 | 0,80 |
| groenvoorziening | 25,63 | 2,56 | 10,09 | 0,80 |
| groenvoorziening | 2,37 | 0,91 | 2,56 | 0,80 |
| groenvoorziening | 7,30 | 2,55 | 2,86 | 0,80 |
| groenvoorziening | 133,09 | 0,07 | 11,92 | 0,80 |
| groenvoorziening | 10,73 | 1,00 | 4,56 | 0,80 |
| groenvoorziening | 23,03 | 1,49 | 10,42 | 0,80 |
| groenvoorziening | 9,87 | 1,37 | 7,21 | 0,80 |
| groenvoorziening | 4808,14 | 0,54 | 138,83 | 0,80 |
| groenvoorziening | 6,84 | 1,83 | 3,75 | 0,80 |
| groenvoorziening | 204,40 | 0,31 | 7,84 | 0,80 |
| groenvoorziening | 7,12 | 0,87 | 7,65 | 0,80 |
| groenvoorziening | 86,91 | 0,44 | 19,08 | 0,80 |
| groenvoorziening | 268,15 | 0,16 | 43,71 | 0,80 |
| groenvoorziening | 27,19 | 0,76 | 26,14 | 0,80 |
| groenvoorziening | 154,32 | 1,09 | 11,16 | 0,80 |
| groenvoorziening | 4,66 | 0,04 | 2,92 | 0,80 |
| groenvoorziening | 69,61 | 0,07 | 4,73 | 0,80 |
| groenvoorziening | 88,39 | 0,03 | 23,57 | 0,80 |
| groenvoorziening | 123,17 | 0,90 | 15,79 | 0,80 |
| groenvoorziening | 510,92 | 0,13 | 36,03 | 0,80 |
| groenvoorziening | 23,25 | 0,62 | 8,20 | 0,80 |
| groenvoorziening | 204,70 | 0,02 | 55,96 | 0,80 |
| groenvoorziening | 24,08 | 0,58 | 8,71 | 0,80 |
| groenvoorziening | 8,61 | 0,03 | 3,45 | 0,80 |
| groenvoorziening | 5393,26 | 1,38 | 78,67 | 0,80 |
| groenvoorziening | 2,88 | 0,30 | 5,78 | 0,80 |
| groenvoorziening | 5,85 | 0,43 | 4,60 | 0,80 |
| groenvoorziening | 14,59 | 0,07 | 10,83 | 0,80 |
| groenvoorziening | 41,84 | 2,07 | 14,22 | 0,80 |
| groenvoorziening | 6,61 | 0,30 | 4,69 | 0,80 |
| groenvoorziening | 4,92 | 0,30 | 9,26 | 0,80 |
| groenvoorziening | 112,45 | 0,03 | 24,55 | 0,80 |
| groenvoorziening | 193,46 | 0,06 | 23,11 | 0,80 |
| groenvoorziening | 55,22 | 0,09 | 13,43 | 0,80 |
| groenvoorziening | 37,83 | 2,44 | 15,37 | 0,80 |

# Invoergegevens van het model

Model: Jager
Jager - Jager
Groep: (hoofdgroep)
Lijst van Bodemgebieden, voor rekenmethode Wegverkeerslawaai - RMW-2012

| Groep | ItemID | Grp.ID | Datum | Naam | Omschr. | Vorm | X-1 | Y-1 | Vormpunten | Omtrek |
|---|---|---|---|---|---|---|---|---|---|---|
| groenvoorziening | 10618 | 3 | 09:02, 20 mrt 2020 | groenvoorz | groenvoorziening | Polygoon | 246683,11 | 443401,09 | 709 | 140,83 |
| groenvoorziening | 10620 | 3 | 09:02, 20 mrt 2020 | groenvoorz | groenvoorziening | Polygoon | 247149,61 | 443720,49 | 7 | 31,86 |
| groenvoorziening | 10631 | 3 | 09:02, 20 mrt 2020 | groenvoorz | groenvoorziening | Polygoon | 246909,42 | 443739,25 | 38 | 20,42 |
| groenvoorziening | 10641 | 3 | 09:02, 20 mrt 2020 | groenvoorz | groenvoorziening | Polygoon | 246701,15 | 443465,34 | 96 | 14,35 |
| groenvoorziening | 10643 | 3 | 09:02, 20 mrt 2020 | groenvoorz | groenvoorziening | Polygoon | 247359,18 | 443635,13 | 11 | 57,14 |
| groenvoorziening | 10646 | 3 | 09:02, 20 mrt 2020 | groenvoorz | groenvoorziening | Polygoon | 246843,18 | 443744,85 | 7 | 29,21 |
| groenvoorziening | 10649 | 3 | 09:02, 20 mrt 2020 | groenvoorz | groenvoorziening | Polygoon | 247327,57 | 443888,87 | 4 | 19,90 |
| groenvoorziening | 10651 | 3 | 09:02, 20 mrt 2020 | groenvoorz | groenvoorziening | Polygoon | 247145,96 | 443325,83 | 45 | 87,11 |
| groenvoorziening | 10659 | 3 | 09:02, 20 mrt 2020 | groenvoorz | groenvoorziening | Polygoon | 246924,71 | 443359,35 | 13 | 70,02 |
| groenvoorziening | 10666 | 3 | 09:02, 20 mrt 2020 | groenvoorz | groenvoorziening | Polygoon | 246695,63 | 443824,44 | 29 | 75,88 |
| groenvoorziening | 10670 | 3 | 09:02, 20 mrt 2020 | groenvoorz | groenvoorziening | Polygoon | 246924,19 | 443943,73 | 34 | 144,43 |
| groenvoorziening | 10677 | 3 | 09:02, 20 mrt 2020 | groenvoorz | groenvoorziening | Polygoon | 246834,34 | 443365,35 | 12 | 44,40 |
| groenvoorziening | 10681 | 3 | 09:02, 20 mrt 2020 | groenvoorz | groenvoorziening | Polygoon | 247097,23 | 443583,44 | 4 | 35,65 |
| groenvoorziening | 10685 | 3 | 09:02, 20 mrt 2020 | groenvoorz | groenvoorziening | Polygoon | 246695,17 | 443619,40 | 50 | 111,97 |
| groenvoorziening | 10687 | 3 | 09:02, 20 mrt 2020 | groenvoorz | groenvoorziening | Polygoon | 247331,32 | 443980,24 | 57 | 21,30 |
| groenvoorziening | 10693 | 3 | 09:02, 20 mrt 2020 | groenvoorz | groenvoorziening | Polygoon | 246731,38 | 443753,39 | 55 | 69,06 |
| groenvoorziening | 10694 | 3 | 09:02, 20 mrt 2020 | groenvoorz | groenvoorziening | Polygoon | 247109,11 | 443881,20 | 50 | 43,75 |
| groenvoorziening | 10725 | 3 | 09:02, 20 mrt 2020 | groenvoorz | groenvoorziening | Polygoon | 246814,81 | 443673,48 | 140 | 552,81 |
| groenvoorziening | 10733 | 3 | 09:02, 20 mrt 2020 | groenvoorz | groenvoorziening | Polygoon | 247164,73 | 443412,40 | 34 | 15,85 |
| groenvoorziening | 10742 | 3 | 09:02, 20 mrt 2020 | groenvoorz | groenvoorziening | Polygoon | 247276,47 | 443905,58 | 4 | 11,78 |
| groenvoorziening | 10743 | 3 | 09:02, 20 mrt 2020 | groenvoorz | groenvoorziening | Polygoon | 246719,60 | 443600,72 | 137 | 238,18 |
| groenvoorziening | 10745 | 3 | 09:02, 20 mrt 2020 | groenvoorz | groenvoorziening | Polygoon | 246717,79 | 443877,39 | 326 | 455,71 |
| groenvoorziening | 10747 | 3 | 09:02, 20 mrt 2020 | groenvoorz | groenvoorziening | Polygoon | 247181,20 | 443588,17 | 4 | 10,08 |
| groenvoorziening | 10753 | 3 | 09:02, 20 mrt 2020 | groenvoorz | groenvoorziening | Polygoon | 246931,81 | 443809,37 | 4 | 12,77 |
| groenvoorziening | 10757 | 3 | 09:02, 20 mrt 2020 | groenvoorz | groenvoorziening | Polygoon | 246809,00 | 443348,28 | 9 | 126,98 |
| groenvoorziening | 10758 | 3 | 09:02, 20 mrt 2020 | groenvoorz | groenvoorziening | Polygoon | 246900,72 | 443953,55 | 33 | 102,33 |
| groenvoorziening | 10763 | 3 | 09:02, 20 mrt 2020 | groenvoorz | groenvoorziening | Polygoon | 246690,44 | 443612,32 | 54 | 115,77 |
| groenvoorziening | 10774 | 3 | 09:02, 20 mrt 2020 | groenvoorz | groenvoorziening | Polygoon | 247121,18 | 443588,18 | 4 | 48,30 |
| groenvoorziening | 10784 | 3 | 09:02, 20 mrt 2020 | groenvoorz | groenvoorziening | Polygoon | 247163,19 | 443920,33 | 49 | 36,05 |
| groenvoorziening | 10797 | 3 | 09:02, 20 mrt 2020 | groenvoorz | groenvoorziening | Polygoon | 247144,78 | 443589,60 | 4 | 11,40 |
| groenvoorziening | 10803 | 3 | 09:02, 20 mrt 2020 | groenvoorz | groenvoorziening | Polygoon | 246797,44 | 443553,14 | 22 | 41,36 |
| groenvoorziening | 10808 | 3 | 09:02, 20 mrt 2020 | groenvoorz | groenvoorziening | Polygoon | 246773,91 | 443313,68 | 69 | 60,54 |
| groenvoorziening | 10813 | 3 | 09:02, 20 mrt 2020 | groenvoorz | groenvoorziening | Polygoon | 246774,39 | 443353,18 | 50 | 68,41 |
| groenvoorziening | 10816 | 3 | 09:02, 20 mrt 2020 | groenvoorz | groenvoorziening | Polygoon | 247140,41 | 443587,26 | 4 | 8,71 |
| groenvoorziening | 10824 | 3 | 09:02, 20 mrt 2020 | groenvoorz | groenvoorziening | Polygoon | 247209,63 | 443534,24 | 8 | 23,88 |
| groenvoorziening | 10826 | 3 | 09:02, 20 mrt 2020 | groenvoorz | groenvoorziening | Polygoon | 246771,65 | 443296,15 | 4 | 9,17 |

Model: Jager
Jager - Jager
Groep: (hoofdgroep)
Lijst van Bodemgebieden, voor rekenmethode Wegverkeerslawaai - RMW-2012

| Groep | Oppervlak | Min.lengte | Max.lengte | Bf |
|---|---|---|---|---|
| groenvoorziening | 204,70 | 0,02 | 55,96 | 0,80 |
| groenvoorziening | 33,22 | 0,91 | 14,11 | 0,80 |
| groenvoorziening | 21,05 | 0,16 | 2,37 | 0,80 |
| groenvoorziening | 6,69 | 0,03 | 3,76 | 0,80 |
| groenvoorziening | 143,39 | 0,62 | 13,02 | 0,80 |
| groenvoorziening | 40,71 | 0,68 | 11,45 | 0,80 |
| groenvoorziening | 13,04 | 1,53 | 8,42 | 0,80 |
| groenvoorziening | 301,73 | 0,36 | 10,80 | 0,80 |
| groenvoorziening | 58,79 | 0,19 | 30,49 | 0,80 |
| groenvoorziening | 281,64 | 0,08 | 15,88 | 0,80 |
| groenvoorziening | 382,30 | 0,46 | 20,57 | 0,80 |
| groenvoorziening | 116,79 | 0,64 | 15,28 | 0,80 |
| groenvoorziening | 33,92 | 2,17 | 15,66 | 0,80 |
| groenvoorziening | 393,05 | 0,36 | 39,12 | 0,80 |
| groenvoorziening | 28,44 | 0,07 | 5,81 | 0,80 |
| groenvoorziening | 98,79 | 0,13 | 14,52 | 0,80 |
| groenvoorziening | 120,35 | 0,08 | 11,92 | 0,80 |
| groenvoorziening | 1671,15 | 0,07 | 43,71 | 0,80 |
| groenvoorziening | 15,00 | 0,05 | 5,93 | 0,80 |
| groenvoorziening | 4,04 | 0,79 | 5,10 | 0,80 |
| groenvoorziening | 1492,50 | 0,06 | 44,18 | 0,80 |
| groenvoorziening | 466,15 | 0,03 | 38,48 | 0,80 |
| groenvoorziening | 5,89 | 1,84 | 3,21 | 0,80 |
| groenvoorziening | 6,80 | 2,33 | 5,67 | 0,80 |
| groenvoorziening | 107,78 | 0,15 | 61,65 | 0,80 |
| groenvoorziening | 377,39 | 0,19 | 17,66 | 0,80 |
| groenvoorziening | 720,74 | 0,25 | 42,69 | 0,80 |
| groenvoorziening | 129,70 | 8,06 | 16,09 | 0,80 |
| groenvoorziening | 63,73 | 0,09 | 5,83 | 0,80 |
| groenvoorziening | 7,07 | 1,82 | 3,88 | 0,80 |
| groenvoorziening | 39,65 | 0,19 | 17,03 | 0,80 |
| groenvoorziening | 62,39 | 0,02 | 19,44 | 0,80 |
| groenvoorziening | 178,05 | 0,02 | 18,37 | 0,80 |
| groenvoorziening | 4,72 | 2,03 | 2,32 | 0,80 |
| groenvoorziening | 28,22 | 0,26 | 9,69 | 0,80 |
| groenvoorziening | 4,34 | 1,34 | 3,24 | 0,80 |

# Invoergegevens van het model

Model: Jager
Jager - Jager
Groep: (hoofdgroep)
Lijst van Bodemgebieden, voor rekenmethode Wegverkeerslawaai - RMW-2012

| Groep | ItemID | Grp.ID | Datum | Naam | Omschr. | Vorm | X-1 | Y-1 | Vormpunten | Omtrek |
|---|---|---|---|---|---|---|---|---|---|---|
| groenvoorziening | 10830 | 3 | 09:02, 20 mrt 2020 | groenvoorz | groenvoorziening | Polygoon | 247039,71 | 443627,64 | 4 | 21,45 |
| groenvoorziening | 10836 | 3 | 09:02, 20 mrt 2020 | groenvoorz | groenvoorziening | Polygoon | 246679,74 | 443686,97 | 171 | 291,42 |
| groenvoorziening | 10837 | 3 | 09:02, 20 mrt 2020 | groenvoorz | groenvoorziening | Polygoon | 246862,60 | 443775,24 | 4 | 14,11 |
| groenvoorziening | 10839 | 3 | 09:02, 20 mrt 2020 | groenvoorz | groenvoorziening | Polygoon | 247152,86 | 443580,56 | 4 | 10,54 |
| groenvoorziening | 10846 | 3 | 09:02, 20 mrt 2020 | groenvoorz | groenvoorziening | Polygoon | 247044,92 | 443585,58 | 4 | 14,58 |
| groenvoorziening | 10861 | 3 | 09:02, 20 mrt 2020 | groenvoorz | groenvoorziening | Polygoon | 246827,80 | 443778,25 | 26 | 13,04 |
| groenvoorziening | 10868 | 3 | 09:02, 20 mrt 2020 | groenvoorz | groenvoorziening | Polygoon | 247146,29 | 443622,18 | 6 | 64,15 |
| groenvoorziening | 10870 | 3 | 09:02, 20 mrt 2020 | groenvoorz | groenvoorziening | Polygoon | 247349,45 | 443568,52 | 4 | 11,14 |
| groenvoorziening | 10874 | 3 | 09:02, 20 mrt 2020 | groenvoorz | groenvoorziening | Polygoon | 246671,14 | 443904,14 | 150 | 542,03 |
| groenvoorziening | 10877 | 3 | 09:02, 20 mrt 2020 | groenvoorz | groenvoorziening | Polygoon | 247316,83 | 443858,75 | 5 | 32,05 |
| groenvoorziening | 10879 | 3 | 09:02, 20 mrt 2020 | groenvoorz | groenvoorziening | Polygoon | 246972,62 | 443860,94 | 14 | 41,16 |
| groenvoorziening | 10884 | 3 | 09:02, 20 mrt 2020 | groenvoorz | groenvoorziening | Polygoon | 247110,57 | 443884,09 | 51 | 43,75 |
| groenvoorziening | 10890 | 3 | 09:02, 20 mrt 2020 | groenvoorz | groenvoorziening | Polygoon | 247168,07 | 443654,45 | 51 | 21,50 |
| groenvoorziening | 10903 | 3 | 09:02, 20 mrt 2020 | groenvoorz | groenvoorziening | Polygoon | 246777,38 | 443323,12 | 4 | 15,76 |
| groenvoorziening | 10911 | 3 | 09:02, 20 mrt 2020 | groenvoorz | groenvoorziening | Polygoon | 247203,46 | 444000,00 | 11 | 50,16 |
| groenvoorziening | 10913 | 3 | 09:02, 20 mrt 2020 | groenvoorz | groenvoorziening | Polygoon | 247170,04 | 443726,30 | 74 | 22,52 |
| groenvoorziening | 10924 | 3 | 09:02, 20 mrt 2020 | groenvoorz | groenvoorziening | Polygoon | 247031,18 | 443527,41 | 4 | 14,14 |
| groenvoorziening | 10926 | 3 | 09:02, 20 mrt 2020 | groenvoorz | groenvoorziening | Polygoon | 246754,94 | 443308,46 | 6 | 22,37 |
| groenvoorziening | 10928 | 3 | 09:02, 20 mrt 2020 | groenvoorz | groenvoorziening | Polygoon | 247093,75 | 443574,00 | 7 | 22,86 |
| groenvoorziening | 10939 | 3 | 09:02, 20 mrt 2020 | groenvoorz | groenvoorziening | Polygoon | 246908,20 | 443734,05 | 4 | 17,40 |
| groenvoorziening | 10946 | 3 | 09:02, 20 mrt 2020 | groenvoorz | groenvoorziening | Polygoon | 247054,40 | 443668,24 | 8 | 33,85 |
| groenvoorziening | 10950 | 3 | 09:02, 20 mrt 2020 | groenvoorz | groenvoorziening | Polygoon | 247082,36 | 443667,97 | 24 | 16,48 |
| groenvoorziening | 10953 | 3 | 09:02, 20 mrt 2020 | groenvoorz | groenvoorziening | Polygoon | 247037,47 | 443513,24 | 4 | 21,85 |
| groenvoorziening | 10954 | 3 | 09:02, 20 mrt 2020 | groenvoorz | groenvoorziening | Polygoon | 247030,94 | 443522,10 | 29 | 11,85 |
| groenvoorziening | 10956 | 3 | 09:02, 20 mrt 2020 | groenvoorz | groenvoorziening | Polygoon | 247218,00 | 443650,92 | 77 | 17,69 |
| groenvoorziening | 10966 | 3 | 09:02, 20 mrt 2020 | groenvoorz | groenvoorziening | Polygoon | 247359,18 | 443635,13 | 12 | 57,14 |
| groenvoorziening | 10968 | 3 | 09:02, 20 mrt 2020 | groenvoorz | groenvoorziening | Polygoon | 247049,06 | 443484,15 | 6 | 23,84 |
| groenvoorziening | 10974 | 3 | 09:02, 20 mrt 2020 | groenvoorz | groenvoorziening | Polygoon | 247037,40 | 443503,16 | 4 | 19,57 |
| groenvoorziening | 10975 | 3 | 09:02, 20 mrt 2020 | groenvoorz | groenvoorziening | Polygoon | 246687,80 | 443410,30 | 21 | 53,13 |
| groenvoorziening | 10984 | 3 | 09:02, 20 mrt 2020 | groenvoorz | groenvoorziening | Polygoon | 247082,99 | 443710,02 | 35 | 41,88 |
| groenvoorziening | 10991 | 3 | 09:02, 20 mrt 2020 | groenvoorz | groenvoorziening | Polygoon | 246908,36 | 443764,54 | 18 | 42,57 |
| groenvoorziening | 11010 | 3 | 09:02, 20 mrt 2020 | groenvoorz | groenvoorziening | Polygoon | 247093,90 | 443962,04 | 26 | 97,36 |
| groenvoorziening | 11015 | 3 | 09:02, 20 mrt 2020 | groenvoorz | groenvoorziening | Polygoon | 247086,88 | 443422,45 | 14 | 13,68 |
| groenvoorziening | 11016 | 3 | 09:02, 20 mrt 2020 | groenvoorz | groenvoorziening | Polygoon | 247100,32 | 443699,83 | 42 | 40,83 |
| groenvoorziening | 11018 | 3 | 09:02, 20 mrt 2020 | groenvoorz | groenvoorziening | Polygoon | 247346,11 | 443545,98 | 29 | 39,15 |
| groenvoorziening | 11021 | 3 | 09:02, 20 mrt 2020 | groenvoorz | groenvoorziening | Polygoon | 247325,91 | 443545,10 | 10 | 29,27 |

Model: Jager
Jager - Jager
Groep: (hoofdgroep)
Lijst van Bodemgebieden, voor rekenmethode Wegverkeerslawaai - RMW-2012

| Groep | Oppervlak | Min.lengte | Max.lengte | Bf |
|---|---|---|---|---|
| groenvoorziening | 18,83 | 2,21 | 8,56 | 0,80 |
| groenvoorziening | 4026,64 | 0,19 | 27,21 | 0,80 |
| groenvoorziening | 9,78 | 1,87 | 5,21 | 0,80 |
| groenvoorziening | 6,28 | 1,82 | 3,45 | 0,80 |
| groenvoorziening | 12,43 | 2,72 | 4,57 | 0,80 |
| groenvoorziening | 9,12 | 0,06 | 4,46 | 0,80 |
| groenvoorziening | 171,94 | 0,61 | 25,14 | 0,80 |
| groenvoorziening | 4,36 | 0,94 | 4,63 | 0,80 |
| groenvoorziening | 1969,88 | 0,04 | 48,86 | 0,80 |
| groenvoorziening | 29,64 | 1,78 | 9,75 | 0,80 |
| groenvoorziening | 43,31 | 0,35 | 18,77 | 0,80 |
| groenvoorziening | 120,36 | 0,08 | 10,36 | 0,80 |
| groenvoorziening | 24,45 | 0,03 | 4,06 | 0,80 |
| groenvoorziening | 10,78 | 0,60 | 5,86 | 0,80 |
| groenvoorziening | 100,96 | 1,44 | 20,06 | 0,80 |
| groenvoorziening | 30,39 | 0,03 | 7,58 | 0,80 |
| groenvoorziening | 10,89 | 2,25 | 4,82 | 0,80 |
| groenvoorziening | 25,32 | 2,08 | 6,76 | 0,80 |
| groenvoorziening | 23,11 | 1,32 | 7,74 | 0,80 |
| groenvoorziening | 16,23 | 2,24 | 6,34 | 0,80 |
| groenvoorziening | 34,86 | 2,16 | 7,08 | 0,80 |
| groenvoorziening | 15,96 | 0,04 | 5,49 | 0,80 |
| groenvoorziening | 20,23 | 2,34 | 8,57 | 0,80 |
| groenvoorziening | 6,71 | 0,06 | 4,37 | 0,80 |
| groenvoorziening | 15,43 | 0,03 | 3,71 | 0,80 |
| groenvoorziening | 143,39 | 0,05 | 12,96 | 0,80 |
| groenvoorziening | 17,36 | 2,35 | 5,59 | 0,80 |
| groenvoorziening | 17,64 | 2,38 | 7,41 | 0,80 |
| groenvoorziening | 126,83 | 0,78 | 9,10 | 0,80 |
| groenvoorziening | 21,83 | 0,03 | 9,87 | 0,80 |
| groenvoorziening | 67,93 | 0,65 | 17,28 | 0,80 |
| groenvoorziening | 191,52 | 0,25 | 42,82 | 0,80 |
| groenvoorziening | 10,29 | 0,45 | 4,94 | 0,80 |
| groenvoorziening | 35,20 | 0,03 | 13,94 | 0,80 |
| groenvoorziening | 59,49 | 0,27 | 8,42 | 0,80 |
| groenvoorziening | 13,63 | 1,00 | 4,04 | 0,80 |

# Invoergegevens van het model

Model: Jager
Jager - Jager
Groep: (hoofdgroep)
Lijst van Bodemgebieden, voor rekenmethode Wegverkeerslawaai - RMW-2012

| Groep | ItemID | Grp.ID | Datum | Naam | Omschr. | Vorm | X-1 | Y-1 | Vormpunten | Omtrek |
|---|---|---|---|---|---|---|---|---|---|---|
| groenvoorziening | 11031 | 3 | 09:02, 20 mrt 2020 | groenvoorz | groenvoorziening | Polygoon | 247083,44 | 443586,11 | 83 | 65,02 |
| groenvoorziening | 11039 | 3 | 09:02, 20 mrt 2020 | groenvoorz | groenvoorziening | Polygoon | 247217,33 | 443659,98 | 10 | 44,26 |
| groenvoorziening | 11045 | 3 | 09:02, 20 mrt 2020 | groenvoorz | groenvoorziening | Polygoon | 246639,05 | 443711,58 | 5 | 18,41 |
| groenvoorziening | 11048 | 3 | 09:02, 20 mrt 2020 | groenvoorz | groenvoorziening | Polygoon | 246812,74 | 443426,56 | 6 | 45,92 |
| groenvoorziening | 11056 | 3 | 09:02, 20 mrt 2020 | groenvoorz | groenvoorziening | Polygoon | 247261,88 | 443654,73 | 14 | 113,62 |
| groenvoorziening | 11058 | 3 | 09:02, 20 mrt 2020 | groenvoorz | groenvoorziening | Polygoon | 246882,82 | 443727,83 | 35 | 94,80 |
| groenvoorziening | 11064 | 3 | 09:02, 20 mrt 2020 | groenvoorz | groenvoorziening | Polygoon | 247102,04 | 443737,10 | 4 | 19,78 |
| groenvoorziening | 11065 | 3 | 09:02, 20 mrt 2020 | groenvoorz | groenvoorziening | Polygoon | 246849,28 | 443730,75 | 35 | 135,55 |
| groenvoorziening | 11077 | 3 | 09:02, 20 mrt 2020 | groenvoorz | groenvoorziening | Polygoon | 246816,28 | 443362,70 | 16 | 127,11 |
| groenvoorziening | 11093 | 3 | 09:02, 20 mrt 2020 | groenvoorz | groenvoorziening | Polygoon | 247212,68 | 443641,65 | 7 | 33,88 |
| groenvoorziening | 11101 | 3 | 09:02, 20 mrt 2020 | groenvoorz | groenvoorziening | Polygoon | 247346,91 | 443546,36 | 7 | 31,64 |
| groenvoorziening | 11102 | 3 | 09:02, 20 mrt 2020 | groenvoorz | groenvoorziening | Polygoon | 246715,19 | 443783,73 | 14 | 27,09 |
| groenvoorziening | 11108 | 3 | 09:02, 20 mrt 2020 | groenvoorz | groenvoorziening | Polygoon | 246638,52 | 443723,37 | 67 | 26,78 |
| groenvoorziening | 11111 | 3 | 09:02, 20 mrt 2020 | groenvoorz | groenvoorziening | Polygoon | 246695,63 | 443824,44 | 22 | 75,86 |
| groenvoorziening | 11114 | 3 | 09:02, 20 mrt 2020 | groenvoorz | groenvoorziening | Polygoon | 247048,12 | 443336,85 | 6 | 12,73 |
| groenvoorziening | 11115 | 3 | 09:02, 20 mrt 2020 | groenvoorz | groenvoorziening | Polygoon | 246752,06 | 443571,33 | 17 | 89,78 |
| groenvoorziening | 11117 | 3 | 09:02, 20 mrt 2020 | groenvoorz | groenvoorziening | Polygoon | 246966,86 | 443809,69 | 5 | 20,77 |
| groenvoorziening | 11118 | 3 | 09:02, 20 mrt 2020 | groenvoorz | groenvoorziening | Polygoon | 246947,12 | 443930,48 | 21 | 29,09 |
| groenvoorziening | 11122 | 3 | 09:02, 20 mrt 2020 | groenvoorz | groenvoorziening | Polygoon | 246660,49 | 443693,72 | 21 | 28,02 |
| groenvoorziening | 11124 | 3 | 09:02, 20 mrt 2020 | groenvoorz | groenvoorziening | Polygoon | 247173,30 | 443657,63 | 8 | 16,94 |
| groenvoorziening | 11125 | 3 | 09:02, 20 mrt 2020 | groenvoorz | groenvoorziening | Polygoon | 246696,66 | 443816,97 | 19 | 68,43 |
| groenvoorziening | 11126 | 3 | 09:02, 20 mrt 2020 | groenvoorz | groenvoorziening | Polygoon | 246704,55 | 443790,26 | 98 | 271,67 |
| groenvoorziening | 11137 | 3 | 09:02, 20 mrt 2020 | groenvoorz | groenvoorziening | Polygoon | 246966,86 | 443809,69 | 4 | 20,77 |
| groenvoorziening | 11141 | 3 | 09:02, 20 mrt 2020 | groenvoorz | groenvoorziening | Polygoon | 246793,17 | 443334,65 | 4 | 9,25 |
| groenvoorziening | 11144 | 3 | 09:02, 20 mrt 2020 | groenvoorz | groenvoorziening | Polygoon | 246686,50 | 443960,25 | 47 | 43,39 |
| groenvoorziening | 11145 | 3 | 09:02, 20 mrt 2020 | groenvoorz | groenvoorziening | Polygoon | 246611,86 | 443888,86 | 17 | 120,24 |
| groenvoorziening | 11147 | 3 | 09:02, 20 mrt 2020 | groenvoorz | groenvoorziening | Polygoon | 247237,74 | 443373,50 | 18 | 20,22 |
| groenvoorziening | 11151 | 3 | 09:02, 20 mrt 2020 | groenvoorz | groenvoorziening | Polygoon | 246678,55 | 443572,75 | 9 | 39,54 |
| groenvoorziening | 11158 | 3 | 09:02, 20 mrt 2020 | groenvoorz | groenvoorziening | Polygoon | 246868,79 | 443486,08 | 65 | 56,54 |
| groenvoorziening | 11164 | 3 | 09:02, 20 mrt 2020 | groenvoorz | groenvoorziening | Polygoon | 247039,94 | 443629,02 | 15 | 24,70 |
| groenvoorziening | 11170 | 3 | 09:02, 20 mrt 2020 | groenvoorz | groenvoorziening | Polygoon | 247173,05 | 443614,16 | 34 | 61,67 |
| groenvoorziening | 11173 | 3 | 09:02, 20 mrt 2020 | groenvoorz | groenvoorziening | Polygoon | 246854,20 | 443742,44 | 26 | 70,28 |
| groenvoorziening | 11174 | 3 | 09:02, 20 mrt 2020 | groenvoorz | groenvoorziening | Polygoon | 246604,87 | 443630,66 | 18 | 89,56 |
| groenvoorziening | 11175 | 3 | 09:02, 20 mrt 2020 | groenvoorz | groenvoorziening | Polygoon | 247341,20 | 443541,62 | 27 | 21,56 |
| groenvoorziening | 11182 | 3 | 09:02, 20 mrt 2020 | groenvoorz | groenvoorziening | Polygoon | 247341,65 | 443547,22 | 92 | 12,69 |
| groenvoorziening | 11183 | 3 | 09:02, 20 mrt 2020 | groenvoorz | groenvoorziening | Polygoon | 246670,39 | 443691,15 | 120 | 170,64 |

Model: Jager
Jager - Jager
Groep: (hoofdgroep)
Lijst van Bodemgebieden, voor rekenmethode Wegverkeerslawaai - RMW-2012

| Groep | Oppervlak | Min.lengte | Max.lengte | Bf |
|---|---|---|---|---|
| groenvoorziening | 110,89 | 0,03 | 20,68 | 0,80 |
| groenvoorziening | 6,55 | 0,30 | 8,70 | 0,80 |
| groenvoorziening | 6,87 | 0,23 | 8,44 | 0,80 |
| groenvoorziening | 51,49 | 3,00 | 14,66 | 0,80 |
| groenvoorziening | 439,22 | 0,05 | 19,03 | 0,80 |
| groenvoorziening | 490,47 | 1,13 | 20,02 | 0,80 |
| groenvoorziening | 23,74 | 4,10 | 5,79 | 0,80 |
| groenvoorziening | 777,79 | 0,12 | 24,92 | 0,80 |
| groenvoorziening | 203,08 | 0,46 | 56,05 | 0,80 |
| groenvoorziening | 64,63 | 0,32 | 11,54 | 0,80 |
| groenvoorziening | 15,38 | 0,37 | 11,70 | 0,80 |
| groenvoorziening | 38,77 | 0,95 | 6,51 | 0,80 |
| groenvoorziening | 34,50 | 0,02 | 7,14 | 0,80 |
| groenvoorziening | 279,37 | 0,08 | 28,56 | 0,80 |
| groenvoorziening | 8,50 | 0,70 | 4,08 | 0,80 |
| groenvoorziening | 67,95 | 1,30 | 14,70 | 0,80 |
| groenvoorziening | 14,56 | 1,31 | 8,97 | 0,80 |
| groenvoorziening | 19,79 | 0,06 | 13,35 | 0,80 |
| groenvoorziening | 49,83 | 0,51 | 5,79 | 0,80 |
| groenvoorziening | 2,45 | 0,30 | 3,43 | 0,80 |
| groenvoorziening | 141,47 | 1,10 | 22,01 | 0,80 |
| groenvoorziening | 1787,96 | 0,09 | 21,73 | 0,80 |
| groenvoorziening | 14,56 | 1,79 | 8,97 | 0,80 |
| groenvoorziening | 5,22 | 1,94 | 2,69 | 0,80 |
| groenvoorziening | 43,73 | 0,42 | 3,24 | 0,80 |
| groenvoorziening | 153,30 | 1,36 | 18,02 | 0,80 |
| groenvoorziening | 18,85 | 0,20 | 8,41 | 0,80 |
| groenvoorziening | 29,89 | 0,09 | 18,21 | 0,80 |
| groenvoorziening | 58,27 | 0,06 | 9,54 | 0,80 |
| groenvoorziening | 22,48 | 0,13 | 9,67 | 0,80 |
| groenvoorziening | 80,39 | 0,03 | 23,99 | 0,80 |
| groenvoorziening | 190,14 | 1,14 | 13,71 | 0,80 |
| groenvoorziening | 106,88 | 0,44 | 30,00 | 0,80 |
| groenvoorziening | 20,64 | 0,26 | 6,61 | 0,80 |
| groenvoorziening | 12,81 | 0,14 | 0,14 | 0,80 |
| groenvoorziening | 1617,87 | 0,15 | 25,60 | 0,80 |

# Invoergegevens van het model

Model: Jager
Jager - Jager
Groep: (hoofdgroep)
Lijst van Bodemgebieden, voor rekenmethode Wegverkeerslawaai - RMW-2012

| Groep | ItemID | Grp.ID | Datum | Naam | Omschr. | Vorm | X-1 | Y-1 | Vormpunten | Omtrek |
|---|---|---|---|---|---|---|---|---|---|---|
| groenvoorziening | 11185 | 3 | 09:02, 20 mrt 2020 | groenvoorz | groenvoorziening | Polygoon | 247132,03 | 443574,54 | 4 | 10,07 |
| groenvoorziening | 11188 | 3 | 09:02, 20 mrt 2020 | groenvoorz | groenvoorziening | Polygoon | 247159,15 | 443719,57 | 76 | 20,43 |
| groenvoorziening | 11225 | 3 | 09:02, 20 mrt 2020 | groenvoorz | groenvoorziening | Polygoon | 247159,15 | 443719,57 | 72 | 20,43 |
| groenvoorziening | 11242 | 3 | 09:02, 20 mrt 2020 | groenvoorz | groenvoorziening | Polygoon | 246657,41 | 443586,83 | 5 | 21,80 |
| groenvoorziening | 11244 | 3 | 09:02, 20 mrt 2020 | groenvoorz | groenvoorziening | Polygoon | 246724,99 | 443787,16 | 22 | 53,05 |
| groenvoorziening | 11247 | 3 | 09:02, 20 mrt 2020 | groenvoorz | groenvoorziening | Polygoon | 246942,42 | 443950,50 | 28 | 10,15 |
| groenvoorziening | 11249 | 3 | 09:02, 20 mrt 2020 | groenvoorz | groenvoorziening | Polygoon | 246669,18 | 443874,43 | 110 | 271,36 |
| groenvoorziening | 11250 | 3 | 09:02, 20 mrt 2020 | groenvoorz | groenvoorziening | Polygoon | 246787,40 | 443961,25 | 7 | 22,12 |
| groenvoorziening | 11263 | 3 | 09:02, 20 mrt 2020 | groenvoorz | groenvoorziening | Polygoon | 246744,62 | 443404,08 | 7 | 26,00 |
| groenvoorziening | 11264 | 3 | 09:02, 20 mrt 2020 | groenvoorz | groenvoorziening | Polygoon | 246744,50 | 443382,57 | 6 | 28,66 |
| groenvoorziening | 11267 | 3 | 09:02, 20 mrt 2020 | groenvoorz | groenvoorziening | Polygoon | 246717,48 | 443794,15 | 19 | 27,12 |
| groenvoorziening | 11268 | 3 | 09:02, 20 mrt 2020 | groenvoorz | groenvoorziening | Polygoon | 246663,40 | 443915,36 | 65 | 95,96 |
| groenvoorziening | 11269 | 3 | 09:02, 20 mrt 2020 | groenvoorz | groenvoorziening | Polygoon | 246671,14 | 443904,14 | 121 | 471,75 |
| groenvoorziening | 11276 | 3 | 09:02, 20 mrt 2020 | groenvoorz | groenvoorziening | Polygoon | 246779,70 | 443780,03 | 34 | 28,03 |
| groenvoorziening | 11278 | 3 | 09:02, 20 mrt 2020 | groenvoorz | groenvoorziening | Polygoon | 246968,09 | 443865,86 | 30 | 22,92 |
| groenvoorziening | 11281 | 3 | 09:02, 20 mrt 2020 | groenvoorz | groenvoorziening | Polygoon | 246671,11 | 443419,09 | 21 | 34,49 |
| groenvoorziening | 11284 | 3 | 09:02, 20 mrt 2020 | groenvoorz | groenvoorziening | Polygoon | 246648,78 | 443693,64 | 4 | 23,79 |
| groenvoorziening | 11286 | 3 | 09:02, 20 mrt 2020 | groenvoorz | groenvoorziening | Polygoon | 246666,37 | 443667,97 | 12 | 9,78 |
| groenvoorziening | 11292 | 3 | 09:02, 20 mrt 2020 | groenvoorz | groenvoorziening | Polygoon | 246719,60 | 443600,72 | 183 | 211,23 |
| groenvoorziening | 11295 | 3 | 09:02, 20 mrt 2020 | groenvoorz | groenvoorziening | Polygoon | 247055,44 | 443334,45 | 106 | 134,44 |
| groenvoorziening | 11299 | 3 | 09:02, 20 mrt 2020 | groenvoorz | groenvoorziening | Polygoon | 246875,63 | 443478,69 | 8 | 26,03 |
| groenvoorziening | 11300 | 3 | 09:02, 20 mrt 2020 | groenvoorz | groenvoorziening | Polygoon | 247165,93 | 443630,44 | 6 | 67,57 |
| groenvoorziening | 11316 | 3 | 09:02, 20 mrt 2020 | groenvoorz | groenvoorziening | Polygoon | 246660,05 | 443824,74 | 82 | 197,84 |
| groenvoorziening | 11320 | 3 | 09:02, 20 mrt 2020 | groenvoorz | groenvoorziening | Polygoon | 246801,99 | 443888,99 | 8 | 52,55 |
| groenvoorziening | 11322 | 3 | 09:02, 20 mrt 2020 | groenvoorz | groenvoorziening | Polygoon | 246746,21 | 443786,39 | 46 | 22,29 |
| groenvoorziening | 11323 | 3 | 09:02, 20 mrt 2020 | groenvoorz | groenvoorziening | Polygoon | 246716,20 | 443944,36 | 4 | 35,94 |
| groenvoorziening | 11329 | 3 | 09:02, 20 mrt 2020 | groenvoorz | groenvoorziening | Polygoon | 246836,00 | 443425,20 | 11 | 57,13 |
| groenvoorziening | 11332 | 3 | 09:02, 20 mrt 2020 | groenvoorz | groenvoorziening | Polygoon | 246708,14 | 443914,73 | 4 | 15,27 |
| groenvoorziening | 11333 | 3 | 09:02, 20 mrt 2020 | groenvoorz | groenvoorziening | Polygoon | 246919,91 | 443822,47 | 88 | 61,95 |
| groenvoorziening | 11356 | 3 | 09:02, 20 mrt 2020 | groenvoorz | groenvoorziening | Polygoon | 247127,73 | 443726,29 | 8 | 25,83 |
| groenvoorziening | 11362 | 3 | 09:02, 20 mrt 2020 | groenvoorz | groenvoorziening | Polygoon | 246705,18 | 443829,34 | 9 | 41,08 |
| groenvoorziening | 11364 | 3 | 09:02, 20 mrt 2020 | groenvoorz | groenvoorziening | Polygoon | 246971,90 | 443830,08 | 5 | 15,31 |
| groenvoorziening | 11366 | 3 | 09:02, 20 mrt 2020 | groenvoorz | groenvoorziening | Polygoon | 246677,70 | 443571,31 | 15 | 46,65 |
| groenvoorziening | 11367 | 3 | 09:02, 20 mrt 2020 | groenvoorz | groenvoorziening | Polygoon | 246705,18 | 443829,34 | 6 | 41,05 |
| groenvoorziening | 11381 | 3 | 09:02, 20 mrt 2020 | groenvoorz | groenvoorziening | Polygoon | 247171,43 | 443406,66 | 21 | 14,78 |
| groenvoorziening | 11390 | 3 | 09:02, 20 mrt 2020 | groenvoorz | groenvoorziening | Polygoon | 246664,38 | 443580,17 | 10 | 27,63 |

Model: Jager
Jager - Jager
Groep: (hoofdgroep)
Lijst van Bodemgebieden, voor rekenmethode Wegverkeerslawaai - RMW-2012

| Groep | Oppervlak | Min.lengte | Max.lengte | Bf |
|---|---|---|---|---|
| groenvoorziening | 5,09 | 1,40 | 3,63 | 0,80 |
| groenvoorziening | 25,52 | 0,03 | 4,25 | 0,80 |
| groenvoorziening | 25,52 | 0,03 | 5,87 | 0,80 |
| groenvoorziening | 13,71 | 1,55 | 9,35 | 0,80 |
| groenvoorziening | 106,16 | 0,23 | 11,37 | 0,80 |
| groenvoorziening | 4,39 | 0,06 | 3,76 | 0,80 |
| groenvoorziening | 1417,28 | 0,04 | 31,25 | 0,80 |
| groenvoorziening | 26,34 | 0,67 | 6,38 | 0,80 |
| groenvoorziening | 42,17 | 2,15 | 6,76 | 0,80 |
| groenvoorziening | 41,65 | 1,95 | 8,73 | 0,80 |
| groenvoorziening | 38,79 | 0,53 | 3,25 | 0,80 |
| groenvoorziening | 137,67 | 0,05 | 22,25 | 0,80 |
| groenvoorziening | 2020,09 | 0,04 | 48,86 | 0,80 |
| groenvoorziening | 41,01 | 0,03 | 10,57 | 0,80 |
| groenvoorziening | 15,44 | 0,07 | 10,79 | 0,80 |
| groenvoorziening | 57,30 | 0,21 | 4,70 | 0,80 |
| groenvoorziening | 18,17 | 1,80 | 10,18 | 0,80 |
| groenvoorziening | 5,48 | 0,53 | 1,60 | 0,80 |
| groenvoorziening | 2262,58 | 0,06 | 35,03 | 0,80 |
| groenvoorziening | 96,30 | 0,03 | 32,92 | 0,80 |
| groenvoorziening | 40,46 | 0,50 | 7,40 | 0,80 |
| groenvoorziening | 19,90 | 0,60 | 23,73 | 0,80 |
| groenvoorziening | 1327,38 | 0,34 | 34,42 | 0,80 |
| groenvoorziening | 132,56 | 2,07 | 14,85 | 0,80 |
| groenvoorziening | 25,10 | 0,07 | 7,76 | 0,80 |
| groenvoorziening | 6,64 | 0,31 | 17,61 | 0,80 |
| groenvoorziening | 61,64 | 0,44 | 17,00 | 0,80 |
| groenvoorziening | 13,03 | 2,47 | 5,13 | 0,80 |
| groenvoorziening | 54,71 | 0,17 | 7,47 | 0,80 |
| groenvoorziening | 31,47 | 0,58 | 9,31 | 0,80 |
| groenvoorziening | 35,84 | 0,40 | 19,42 | 0,80 |
| groenvoorziening | 10,25 | 1,04 | 6,25 | 0,80 |
| groenvoorziening | 9,16 | 0,09 | 18,70 | 0,80 |
| groenvoorziening | 34,91 | 1,21 | 19,42 | 0,80 |
| groenvoorziening | 13,62 | 0,06 | 5,26 | 0,80 |
| groenvoorziening | 5,37 | 0,16 | 10,18 | 0,80 |

# Invoergegevens van het model

Model: Jager
Jager - Jager
Groep: (hoofdgroep)
Lijst van Bodemgebieden, voor rekenmethode Wegverkeerslawaai - RMW-2012

| Groep | ItemID | Grp.ID | Datum | Naam | Omschr. | Vorm | X-1 | Y-1 | Vormpunten | Omtrek |
|---|---|---|---|---|---|---|---|---|---|---|
| groenvoorziening | 11391 | 3 | 09:02, 20 mrt 2020 | groenvoorz | groenvoorziening | Polygoon | 246735,02 | 443918,46 | 71 | 70,67 |
| groenvoorziening | 11399 | 3 | 09:02, 20 mrt 2020 | groenvoorz | groenvoorziening | Polygoon | 247231,52 | 443682,08 | 6 | 14,46 |
| groenvoorziening | 11400 | 3 | 09:02, 20 mrt 2020 | groenvoorz | groenvoorziening | Polygoon | 246752,49 | 443363,40 | 7 | 26,19 |
| groenvoorziening | 11404 | 3 | 09:02, 20 mrt 2020 | groenvoorz | groenvoorziening | Polygoon | 246729,87 | 443552,27 | 21 | 38,59 |
| groenvoorziening | 11405 | 3 | 09:02, 20 mrt 2020 | groenvoorz | groenvoorziening | Polygoon | 246760,25 | 443436,79 | 7 | 37,79 |
| groenvoorziening | 11407 | 3 | 09:02, 20 mrt 2020 | groenvoorz | groenvoorziening | Polygoon | 246721,06 | 443916,36 | 4 | 16,82 |
| groenvoorziening | 11417 | 3 | 09:02, 20 mrt 2020 | groenvoorz | groenvoorziening | Polygoon | 246759,54 | 443767,53 | 56 | 69,06 |
| groenvoorziening | 11435 | 3 | 09:02, 20 mrt 2020 | groenvoorz | groenvoorziening | Polygoon | 247229,39 | 443682,27 | 5 | 14,46 |
| groenvoorziening | 11438 | 3 | 09:02, 20 mrt 2020 | groenvoorz | groenvoorziening | Polygoon | 246896,42 | 443586,68 | 7 | 26,69 |
| groenvoorziening | 11439 | 3 | 09:02, 20 mrt 2020 | groenvoorz | groenvoorziening | Polygoon | 247055,51 | 443693,27 | 4 | 4,50 |
| groenvoorziening | 11440 | 3 | 09:02, 20 mrt 2020 | groenvoorz | groenvoorziening | Polygoon | 246636,62 | 443724,24 | 7 | 8,67 |
| groenvoorziening | 11441 | 3 | 09:02, 20 mrt 2020 | groenvoorz | groenvoorziening | Polygoon | 246604,87 | 443630,66 | 17 | 84,63 |
| groenvoorziening | 11448 | 3 | 09:02, 20 mrt 2020 | groenvoorz | groenvoorziening | Polygoon | 246846,85 | 443665,54 | 47 | 38,88 |
| groenvoorziening | 11451 | 3 | 09:02, 20 mrt 2020 | groenvoorz | groenvoorziening | Polygoon | 246882,46 | 443724,16 | 15 | 32,14 |
| groenvoorziening | 11452 | 3 | 09:02, 20 mrt 2020 | groenvoorz | groenvoorziening | Polygoon | 246747,05 | 443752,99 | 44 | 44,37 |
| groenvoorziening | 11453 | 3 | 09:02, 20 mrt 2020 | groenvoorz | groenvoorziening | Polygoon | 247218,00 | 443650,92 | 78 | 17,69 |
| groenvoorziening | 11456 | 3 | 09:02, 20 mrt 2020 | groenvoorz | groenvoorziening | Polygoon | 246810,60 | 443779,74 | 4 | 36,94 |
| groenvoorziening | 11459 | 3 | 09:02, 20 mrt 2020 | groenvoorz | groenvoorziening | Polygoon | 247219,60 | 443632,90 | 6 | 17,79 |
| groenvoorziening | 11465 | 3 | 09:02, 20 mrt 2020 | groenvoorz | groenvoorziening | Polygoon | 247274,10 | 443909,08 | 6 | 7,20 |
| groenvoorziening | 11468 | 3 | 09:02, 20 mrt 2020 | groenvoorz | groenvoorziening | Polygoon | 247145,96 | 443325,83 | 44 | 87,11 |
| groenvoorziening | 11469 | 3 | 09:02, 20 mrt 2020 | groenvoorz | groenvoorziening | Polygoon | 246790,95 | 443675,56 | 157 | 374,95 |
| groenvoorziening | 11481 | 3 | 09:02, 20 mrt 2020 | groenvoorz | groenvoorziening | Polygoon | 246732,07 | 443826,76 | 23 | 18,42 |
| groenvoorziening | 11501 | 3 | 09:02, 20 mrt 2020 | groenvoorz | groenvoorziening | Polygoon | 247302,39 | 443792,49 | 4 | 13,53 |
| groenvoorziening | 11505 | 3 | 09:02, 20 mrt 2020 | groenvoorz | groenvoorziening | Polygoon | 246651,69 | 443603,76 | 50 | 204,03 |
| groenvoorziening | 11514 | 3 | 09:02, 20 mrt 2020 | groenvoorz | groenvoorziening | Polygoon | 247173,05 | 443614,16 | 36 | 61,67 |
| groenvoorziening | 11517 | 3 | 09:02, 20 mrt 2020 | groenvoorz | groenvoorziening | Polygoon | 246877,22 | 443586,13 | 6 | 7,66 |
| groenvoorziening | 11520 | 3 | 09:02, 20 mrt 2020 | groenvoorz | groenvoorziening | Polygoon | 246991,24 | 443222,87 | 17 | 367,75 |
| groenvoorziening | 11522 | 3 | 09:02, 20 mrt 2020 | groenvoorz | groenvoorziening | Polygoon | 247109,08 | 443734,85 | 9 | 17,32 |
| groenvoorziening | 11524 | 3 | 09:02, 20 mrt 2020 | groenvoorz | groenvoorziening | Polygoon | 246809,85 | 443422,51 | 5 | 36,44 |
| groenvoorziening | 11527 | 3 | 09:02, 20 mrt 2020 | groenvoorz | groenvoorziening | Polygoon | 247228,52 | 443768,84 | 9 | 58,76 |
| groenvoorziening | 11535 | 3 | 09:02, 20 mrt 2020 | groenvoorz | groenvoorziening | Polygoon | 246683,33 | 443425,42 | 53 | 20,46 |
| groenvoorziening | 11539 | 3 | 09:02, 20 mrt 2020 | groenvoorz | groenvoorziening | Polygoon | 246662,70 | 443835,39 | 31 | 10,91 |
| groenvoorziening | 11547 | 3 | 09:02, 20 mrt 2020 | groenvoorz | groenvoorziening | Polygoon | 247189,86 | 443718,49 | 4 | 15,41 |
| groenvoorziening | 11548 | 3 | 09:02, 20 mrt 2020 | groenvoorz | groenvoorziening | Polygoon | 246797,38 | 443384,71 | 5 | 31,62 |
| groenvoorziening | 11549 | 3 | 09:02, 20 mrt 2020 | groenvoorz | groenvoorziening | Polygoon | 247145,08 | 443658,34 | 8 | 23,79 |
| groenvoorziening | 11556 | 3 | 09:02, 20 mrt 2020 | groenvoorz | groenvoorziening | Polygoon | 247049,42 | 443632,85 | 26 | 42,16 |

Model: Jager
Jager - Jager
Groep: (hoofdgroep)
Lijst van Bodemgebieden, voor rekenmethode Wegverkeerslawaai - RMW-2012

| Groep | Oppervlak | Min.lengte | Max.lengte | Bf |
|---|---|---|---|---|
| groenvoorziening | 321,61 | 0,03 | 19,89 | 0,80 |
| groenvoorziening | 12,91 | 0,66 | 3,97 | 0,80 |
| groenvoorziening | 25,64 | 0,26 | 9,71 | 0,80 |
| groenvoorziening | 42,90 | 0,77 | 12,17 | 0,80 |
| groenvoorziening | 46,39 | 2,04 | 14,05 | 0,80 |
| groenvoorziening | 17,03 | 3,35 | 5,02 | 0,80 |
| groenvoorziening | 98,79 | 0,13 | 8,04 | 0,80 |
| groenvoorziening | 12,92 | 1,17 | 3,97 | 0,80 |
| groenvoorziening | 14,29 | 0,20 | 11,63 | 0,80 |
| groenvoorziening | 0,59 | 0,30 | 1,95 | 0,80 |
| groenvoorziening | 2,04 | 0,19 | 2,72 | 0,80 |
| groenvoorziening | 12,79 | 0,30 | 27,87 | 0,80 |
| groenvoorziening | 29,24 | 0,07 | 8,58 | 0,80 |
| groenvoorziening | 38,20 | 0,12 | 13,04 | 0,80 |
| groenvoorziening | 60,87 | 0,24 | 7,54 | 0,80 |
| groenvoorziening | 15,43 | 0,03 | 2,53 | 0,80 |
| groenvoorziening | 31,49 | 1,88 | 16,57 | 0,80 |
| groenvoorziening | 16,48 | 0,59 | 6,36 | 0,80 |
| groenvoorziening | 1,92 | 0,65 | 1,70 | 0,80 |
| groenvoorziening | 301,73 | 0,36 | 10,80 | 0,80 |
| groenvoorziening | 3719,38 | 0,07 | 28,12 | 0,80 |
| groenvoorziening | 18,17 | 0,33 | 4,02 | 0,80 |
| groenvoorziening | 10,23 | 1,94 | 4,37 | 0,80 |
| groenvoorziening | 335,95 | 0,07 | 27,21 | 0,80 |
| groenvoorziening | 80,39 | 0,03 | 23,99 | 0,80 |
| groenvoorziening | 1,37 | 0,40 | 1,98 | 0,80 |
| groenvoorziening | 1305,57 | 0,11 | 138,83 | 0,80 |
| groenvoorziening | 18,92 | 0,45 | 5,52 | 0,80 |
| groenvoorziening | 29,13 | 1,72 | 16,51 | 0,80 |
| groenvoorziening | 167,60 | 0,74 | 19,48 | 0,80 |
| groenvoorziening | 24,03 | 0,03 | 4,48 | 0,80 |
| groenvoorziening | 5,60 | 0,06 | 4,26 | 0,80 |
| groenvoorziening | 11,12 | 1,92 | 5,79 | 0,80 |
| groenvoorziening | 23,37 | 0,35 | 14,03 | 0,80 |
| groenvoorziening | 29,45 | 0,78 | 5,31 | 0,80 |
| groenvoorziening | 37,30 | 0,08 | 19,59 | 0,80 |

# Invoergegevens van het model

Model: Jager
Jager - Jager
Groep: (hoofdgroep)
Lijst van Bodemgebieden, voor rekenmethode Wegverkeerslawaai - RMW-2012

| Groep | ItemID | Grp.ID | Datum | Naam | Omschr. | Vorm | X-1 | Y-1 | Vormpunten | Omtrek |
|---|---|---|---|---|---|---|---|---|---|---|
| groenvoorziening | 11564 | 3 | 09:02, 20 mrt 2020 | groenvoorz | groenvoorziening | Polygoon | 247261,88 | 443654,73 | 48 | 113,90 |
| groenvoorziening | 11571 | 3 | 09:02, 20 mrt 2020 | groenvoorz | groenvoorziening | Polygoon | 247201,92 | 443190,75 | 129 | 241,13 |
| groenvoorziening | 11584 | 3 | 09:02, 20 mrt 2020 | groenvoorz | groenvoorziening | Polygoon | 247201,92 | 443190,75 | 137 | 241,13 |
| groenvoorziening | 11604 | 3 | 09:02, 20 mrt 2020 | groenvoorz | groenvoorziening | Polygoon | 246863,90 | 443508,33 | 9 | 42,75 |
| groenvoorziening | 11606 | 3 | 09:02, 20 mrt 2020 | groenvoorz | groenvoorziening | Polygoon | 247048,67 | 443730,67 | 10 | 14,96 |
| groenvoorziening | 11611 | 3 | 09:02, 20 mrt 2020 | groenvoorz | groenvoorziening | Polygoon | 246841,67 | 443432,30 | 6 | 10,25 |
| groenvoorziening | 11619 | 3 | 09:02, 20 mrt 2020 | groenvoorz | groenvoorziening | Polygoon | 247286,75 | 443863,58 | 5 | 17,26 |
| groenvoorziening | 11622 | 3 | 09:02, 20 mrt 2020 | groenvoorz | groenvoorziening | Polygoon | 247126,75 | 443723,64 | 19 | 49,90 |
| groenvoorziening | 11634 | 3 | 09:02, 20 mrt 2020 | groenvoorz | groenvoorziening | Polygoon | 247054,94 | 443732,77 | 6 | 25,21 |
| groenvoorziening | 11636 | 3 | 09:02, 20 mrt 2020 | groenvoorz | groenvoorziening | Polygoon | 246725,44 | 443803,80 | 30 | 53,06 |
| groenvoorziening | 11638 | 3 | 09:02, 20 mrt 2020 | groenvoorz | groenvoorziening | Polygoon | 246703,97 | 443968,45 | 58 | 25,68 |
| groenvoorziening | 11652 | 3 | 09:02, 20 mrt 2020 | groenvoorz | groenvoorziening | Polygoon | 247021,07 | 443336,09 | 11 | 212,26 |
| groenvoorziening | 11664 | 3 | 09:02, 20 mrt 2020 | groenvoorz | groenvoorziening | Polygoon | 246830,19 | 443350,45 | 12 | 44,68 |
| groenvoorziening | 11665 | 3 | 09:02, 20 mrt 2020 | groenvoorz | groenvoorziening | Polygoon | 246825,21 | 443344,24 | 31 | 32,28 |
| groenvoorziening | 11670 | 3 | 09:02, 20 mrt 2020 | groenvoorz | groenvoorziening | Polygoon | 247213,35 | 443571,17 | 67 | 23,77 |
| groenvoorziening | 11675 | 3 | 09:02, 20 mrt 2020 | groenvoorz | groenvoorziening | Polygoon | 247035,52 | 443600,79 | 14 | 30,86 |
| groenvoorziening | 11678 | 3 | 09:02, 20 mrt 2020 | groenvoorz | groenvoorziening | Polygoon | 247206,99 | 443654,36 | 13 | 39,46 |
| groenvoorziening | 11680 | 3 | 09:02, 20 mrt 2020 | groenvoorz | groenvoorziening | Polygoon | 247056,13 | 443704,45 | 4 | 1,80 |
| groenvoorziening | 11681 | 3 | 09:02, 20 mrt 2020 | groenvoorz | groenvoorziening | Polygoon | 247204,74 | 443577,82 | 4 | 32,00 |
| groenvoorziening | 11682 | 3 | 09:02, 20 mrt 2020 | groenvoorz | groenvoorziening | Polygoon | 246798,17 | 443438,31 | 49 | 29,43 |
| groenvoorziening | 11685 | 3 | 09:02, 20 mrt 2020 | groenvoorz | groenvoorziening | Polygoon | 246695,63 | 443824,44 | 18 | 54,72 |
| groenvoorziening | 11688 | 3 | 09:02, 20 mrt 2020 | groenvoorz | groenvoorziening | Polygoon | 246698,25 | 443736,36 | 9 | 50,05 |
| groenvoorziening | 11702 | 3 | 09:02, 20 mrt 2020 | groenvoorz | groenvoorziening | Polygoon | 246828,74 | 443358,75 | 4 | 13,50 |
| groenvoorziening | 11704 | 3 | 09:02, 20 mrt 2020 | groenvoorz | groenvoorziening | Polygoon | 246807,27 | 443358,10 | 32 | 29,92 |
| groenvoorziening | 11706 | 3 | 09:02, 20 mrt 2020 | groenvoorz | groenvoorziening | Polygoon | 246836,00 | 443425,20 | 12 | 57,43 |
| groenvoorziening | 11710 | 3 | 09:02, 20 mrt 2020 | groenvoorz | groenvoorziening | Polygoon | 246686,65 | 443755,87 | 72 | 147,99 |
| groenvoorziening | 11711 | 3 | 09:02, 20 mrt 2020 | groenvoorz | groenvoorziening | Polygoon | 246745,14 | 443310,71 | 11 | 44,17 |
| groenvoorziening | 11715 | 3 | 09:02, 20 mrt 2020 | groenvoorz | groenvoorziening | Polygoon | 246748,94 | 443290,02 | 4 | 11,62 |
| groenvoorziening | 11719 | 3 | 09:02, 20 mrt 2020 | groenvoorz | groenvoorziening | Polygoon | 247214,35 | 443641,44 | 11 | 54,47 |
| groenvoorziening | 11734 | 3 | 09:02, 20 mrt 2020 | groenvoorz | groenvoorziening | Polygoon | 246822,25 | 443286,24 | 23 | 116,15 |
| groenvoorziening | 11735 | 3 | 09:02, 20 mrt 2020 | groenvoorz | groenvoorziening | Polygoon | 246794,17 | 443288,84 | 6 | 145,99 |
| groenvoorziening | 11740 | 3 | 09:02, 20 mrt 2020 | groenvoorz | groenvoorziening | Polygoon | 246737,60 | 443921,01 | 69 | 70,66 |
| groenvoorziening | 11744 | 3 | 09:02, 20 mrt 2020 | groenvoorz | groenvoorziening | Polygoon | 246661,02 | 443690,41 | 279 | 248,09 |
| groenvoorziening | 11758 | 3 | 09:02, 20 mrt 2020 | groenvoorz | groenvoorziening | Polygoon | 246724,79 | 443275,28 | 5 | 17,74 |
| groenvoorziening | 11767 | 3 | 09:02, 20 mrt 2020 | groenvoorz | groenvoorziening | Polygoon | 246649,13 | 443590,04 | 7 | 14,74 |
| groenvoorziening | 11771 | 3 | 09:02, 20 mrt 2020 | groenvoorz | groenvoorziening | Polygoon | 246960,52 | 443231,54 | 39 | 535,68 |

Model: Jager
Jager - Jager
Groep: (hoofdgroep)
Lijst van Bodemgebieden, voor rekenmethode Wegverkeerslawaai - RMW-2012

| Groep | Oppervlak | Min.lengte | Max.lengte | Bf |
|---|---|---|---|---|
| groenvoorziening | 451,17 | 0,05 | 19,03 | 0,80 |
| groenvoorziening | 935,70 | 0,15 | 46,42 | 0,80 |
| groenvoorziening | 935,63 | 0,15 | 46,42 | 0,80 |
| groenvoorziening | 67,66 | 0,76 | 11,95 | 0,80 |
| groenvoorziening | 10,04 | 0,82 | 5,73 | 0,80 |
| groenvoorziening | 6,26 | 0,80 | 3,69 | 0,80 |
| groenvoorziening | 7,18 | 0,87 | 7,65 | 0,80 |
| groenvoorziening | 7,39 | 0,19 | 9,31 | 0,80 |
| groenvoorziening | 26,90 | 1,31 | 8,56 | 0,80 |
| groenvoorziening | 106,07 | 0,23 | 7,40 | 0,80 |
| groenvoorziening | 30,38 | 0,13 | 4,97 | 0,80 |
| groenvoorziening | 52,53 | 0,02 | 58,20 | 0,80 |
| groenvoorziening | 117,39 | 0,72 | 15,53 | 0,80 |
| groenvoorziening | 33,49 | 0,36 | 15,15 | 0,80 |
| groenvoorziening | 22,02 | 0,04 | 8,69 | 0,80 |
| groenvoorziening | 32,12 | 0,62 | 5,97 | 0,80 |
| groenvoorziening | 5,83 | 0,30 | 8,99 | 0,80 |
| groenvoorziening | 0,18 | 0,30 | 0,60 | 0,80 |
| groenvoorziening | 10,71 | 0,70 | 15,32 | 0,80 |
| groenvoorziening | 27,42 | 0,02 | 7,95 | 0,80 |
| groenvoorziening | 25,29 | 0,08 | 22,01 | 0,80 |
| groenvoorziening | 98,90 | 1,56 | 14,88 | 0,80 |
| groenvoorziening | 8,09 | 1,84 | 5,48 | 0,80 |
| groenvoorziening | 44,70 | 0,07 | 7,53 | 0,80 |
| groenvoorziening | 62,14 | 0,22 | 17,00 | 0,80 |
| groenvoorziening | 1189,86 | 0,28 | 13,29 | 0,80 |
| groenvoorziening | 57,72 | 0,58 | 8,87 | 0,80 |
| groenvoorziening | 7,19 | 1,90 | 4,29 | 0,80 |
| groenvoorziening | 8,06 | 0,32 | 12,15 | 0,80 |
| groenvoorziening | 192,86 | 0,83 | 25,92 | 0,80 |
| groenvoorziening | 108,61 | 1,50 | 61,65 | 0,80 |
| groenvoorziening | 320,80 | 0,03 | 19,89 | 0,80 |
| groenvoorziening | 392,58 | 0,03 | 27,81 | 0,80 |
| groenvoorziening | 16,42 | 0,79 | 6,39 | 0,80 |
| groenvoorziening | 12,61 | 0,54 | 3,86 | 0,80 |
| groenvoorziening | 10886,50 | 0,59 | 108,50 | 0,80 |

# Invoergegevens van het model

Model: Jager
Jager - Jager
Groep: (hoofdgroep)
Lijst van Bodemgebieden, voor rekenmethode Wegverkeerslawaai - RMW-2012

| Groep | ItemID | Grp.ID | Datum | Naam | Omschr. | Vorm | X-1 | Y-1 | Vormpunten | Omtrek |
|---|---|---|---|---|---|---|---|---|---|---|
| groenvoorziening | 11775 | 3 | 09:02, 20 mrt 2020 | groenvoorz | groenvoorziening | Polygoon | 246632,08 | 443846,15 | 25 | 120,27 |
| groenvoorziening | 11777 | 3 | 09:02, 20 mrt 2020 | groenvoorz | groenvoorziening | Polygoon | 247172,74 | 443655,00 | 4 | 10,40 |
| groenvoorziening | 11778 | 3 | 09:02, 20 mrt 2020 | groenvoorz | groenvoorziening | Polygoon | 246812,74 | 443426,56 | 9 | 54,85 |
| groenvoorziening | 11780 | 3 | 09:02, 20 mrt 2020 | groenvoorz | groenvoorziening | Polygoon | 247116,82 | 443591,41 | 4 | 26,60 |
| groenvoorziening | 11783 | 3 | 09:02, 20 mrt 2020 | groenvoorz | groenvoorziening | Polygoon | 246664,88 | 443904,18 | 86 | 96,41 |
| groenvoorziening | 11784 | 3 | 09:02, 20 mrt 2020 | groenvoorz | groenvoorziening | Polygoon | 246661,50 | 443837,56 | 30 | 10,73 |
| groenvoorziening | 11787 | 3 | 09:02, 20 mrt 2020 | groenvoorz | groenvoorziening | Polygoon | 246739,03 | 443445,13 | 15 | 56,44 |
| groenvoorziening | 11792 | 3 | 09:02, 20 mrt 2020 | groenvoorz | groenvoorziening | Polygoon | 246836,54 | 443647,83 | 5 | 27,76 |
| groenvoorziening | 11795 | 3 | 09:02, 20 mrt 2020 | groenvoorz | groenvoorziening | Polygoon | 246719,60 | 443600,72 | 171 | 209,15 |
| groenvoorziening | 11799 | 3 | 09:02, 20 mrt 2020 | groenvoorz | groenvoorziening | Polygoon | 247166,41 | 443933,03 | 7 | 28,52 |
| groenvoorziening | 11800 | 3 | 09:02, 20 mrt 2020 | groenvoorz | groenvoorziening | Polygoon | 247157,75 | 443582,18 | 4 | 10,51 |
| groenvoorziening | 11808 | 3 | 09:02, 20 mrt 2020 | groenvoorz | groenvoorziening | Polygoon | 246706,48 | 443792,56 | 86 | 197,95 |
| groenvoorziening | 11812 | 3 | 09:02, 20 mrt 2020 | groenvoorz | groenvoorziening | Polygoon | 246860,25 | 443728,67 | 49 | 118,35 |
| groenvoorziening | 11816 | 3 | 09:02, 20 mrt 2020 | groenvoorz | groenvoorziening | Polygoon | 247353,24 | 443538,91 | 38 | 18,94 |
| groenvoorziening | 11825 | 3 | 09:02, 20 mrt 2020 | groenvoorz | groenvoorziening | Polygoon | 247297,95 | 443760,85 | 8 | 28,51 |
| groenvoorziening | 11827 | 3 | 09:02, 20 mrt 2020 | groenvoorz | groenvoorziening | Polygoon | 246674,09 | 443688,53 | 171 | 292,47 |
| groenvoorziening | 11830 | 3 | 09:02, 20 mrt 2020 | groenvoorz | groenvoorziening | Polygoon | 247121,71 | 443189,48 | 33 | 65,82 |
| groenvoorziening | 11831 | 3 | 09:02, 20 mrt 2020 | groenvoorz | groenvoorziening | Polygoon | 246667,89 | 443724,30 | 86 | 87,16 |
| groenvoorziening | 11832 | 3 | 09:02, 20 mrt 2020 | groenvoorz | groenvoorziening | Polygoon | 246743,92 | 443586,14 | 190 | 398,12 |
| groenvoorziening | 11834 | 3 | 09:02, 20 mrt 2020 | groenvoorz | groenvoorziening | Polygoon | 247345,71 | 443888,48 | 11 | 22,15 |
| groenvoorziening | 11837 | 3 | 09:02, 20 mrt 2020 | groenvoorz | groenvoorziening | Polygoon | 247190,51 | 443653,22 | 8 | 22,12 |
| groenvoorziening | 11840 | 3 | 09:02, 20 mrt 2020 | groenvoorz | groenvoorziening | Polygoon | 246864,37 | 443653,73 | 16 | 57,15 |
| groenvoorziening | 11844 | 3 | 09:02, 20 mrt 2020 | groenvoorz | groenvoorziening | Polygoon | 247224,87 | 443659,13 | 63 | 16,57 |
| groenvoorziening | 11847 | 3 | 09:02, 20 mrt 2020 | groenvoorz | groenvoorziening | Polygoon | 247215,48 | 443668,86 | 5 | 31,26 |
| groenvoorziening | 11857 | 3 | 09:02, 20 mrt 2020 | groenvoorz | groenvoorziening | Polygoon | 247234,62 | 443784,28 | 58 | 71,28 |
| groenvoorziening | 11858 | 3 | 09:02, 20 mrt 2020 | groenvoorz | groenvoorziening | Polygoon | 247048,67 | 443730,67 | 11 | 14,96 |
| groenvoorziening | 11860 | 3 | 09:02, 20 mrt 2020 | groenvoorz | groenvoorziening | Polygoon | 246751,20 | 443299,44 | 9 | 17,65 |
| groenvoorziening | 11862 | 3 | 09:02, 20 mrt 2020 | groenvoorz | groenvoorziening | Polygoon | 246710,52 | 443784,31 | 47 | 55,96 |
| groenvoorziening | 11866 | 3 | 09:02, 20 mrt 2020 | groenvoorz | groenvoorziening | Polygoon | 246827,26 | 443419,01 | 35 | 133,36 |
| groenvoorziening | 11867 | 3 | 09:02, 20 mrt 2020 | groenvoorz | groenvoorziening | Polygoon | 247348,44 | 443541,60 | 36 | 19,00 |
| groenvoorziening | 11873 | 3 | 09:02, 20 mrt 2020 | groenvoorz | groenvoorziening | Polygoon | 246710,18 | 443783,37 | 22 | 46,95 |
| groenvoorziening | 11874 | 3 | 09:02, 20 mrt 2020 | groenvoorz | groenvoorziening | Polygoon | 246890,38 | 443943,04 | 26 | 55,13 |
| groenvoorziening | 11878 | 3 | 09:02, 20 mrt 2020 | groenvoorz | groenvoorziening | Polygoon | 246776,69 | 443778,34 | 33 | 28,03 |
| groenvoorziening | 11879 | 3 | 09:02, 20 mrt 2020 | groenvoorz | groenvoorziening | Polygoon | 247273,09 | 443929,24 | 57 | 43,49 |
| groenvoorziening | 11895 | 3 | 09:02, 20 mrt 2020 | groenvoorz | groenvoorziening | Polygoon | 246973,90 | 443820,34 | 10 | 16,59 |
| groenvoorziening | 11902 | 3 | 09:02, 20 mrt 2020 | groenvoorz | groenvoorziening | Polygoon | 247202,58 | 443648,83 | 12 | 27,47 |

Model: Jager
Jager - Jager
Groep: (hoofdgroep)
Lijst van Bodemgebieden, voor rekenmethode Wegverkeerslawaai - RMW-2012

| Groep | Oppervlak | Min.lengte | Max.lengte | Bf |
|---|---|---|---|---|
| groenvoorziening | 153,20 | 1,24 | 9,64 | 0,80 |
| groenvoorziening | 6,71 | 2,37 | 2,83 | 0,80 |
| groenvoorziening | 113,13 | 0,44 | 17,00 | 0,80 |
| groenvoorziening | 24,40 | 2,20 | 11,11 | 0,80 |
| groenvoorziening | 138,86 | 0,05 | 22,25 | 0,80 |
| groenvoorziening | 5,21 | 0,06 | 4,27 | 0,80 |
| groenvoorziening | 73,00 | 0,57 | 9,05 | 0,80 |
| groenvoorziening | 47,90 | 0,78 | 7,70 | 0,80 |
| groenvoorziening | 2262,75 | 0,06 | 35,03 | 0,80 |
| groenvoorziening | 40,83 | 0,39 | 10,40 | 0,80 |
| groenvoorziening | 6,31 | 1,85 | 3,40 | 0,80 |
| groenvoorziening | 1323,92 | 0,34 | 34,01 | 0,80 |
| groenvoorziening | 623,46 | 0,12 | 27,76 | 0,80 |
| groenvoorziening | 17,90 | 0,06 | 2,73 | 0,80 |
| groenvoorziening | 12,52 | 0,14 | 8,04 | 0,80 |
| groenvoorziening | 4068,65 | 0,19 | 27,81 | 0,80 |
| groenvoorziening | 65,27 | 0,34 | 17,26 | 0,80 |
| groenvoorziening | 152,31 | 0,03 | 25,60 | 0,80 |
| groenvoorziening | 3931,88 | 0,23 | 15,11 | 0,80 |
| groenvoorziening | 15,90 | 0,25 | 8,81 | 0,80 |
| groenvoorziening | 18,70 | 0,78 | 8,66 | 0,80 |
| groenvoorziening | 132,50 | 0,75 | 9,80 | 0,80 |
| groenvoorziening | 15,40 | 0,03 | 3,86 | 0,80 |
| groenvoorziening | 57,51 | 2,62 | 8,70 | 0,80 |
| groenvoorziening | 187,04 | 0,04 | 19,48 | 0,80 |
| groenvoorziening | 10,04 | 0,68 | 5,73 | 0,80 |
| groenvoorziening | 14,98 | 0,18 | 3,85 | 0,80 |
| groenvoorziening | 135,58 | 0,08 | 5,48 | 0,80 |
| groenvoorziening | 106,78 | 0,44 | 18,60 | 0,80 |
| groenvoorziening | 24,43 | 0,06 | 4,98 | 0,80 |
| groenvoorziening | 85,38 | 0,26 | 5,32 | 0,80 |
| groenvoorziening | 66,28 | 0,36 | 17,66 | 0,80 |
| groenvoorziening | 41,01 | 0,07 | 10,57 | 0,80 |
| groenvoorziening | 86,45 | 0,19 | 7,53 | 0,80 |
| groenvoorziening | 11,44 | 0,88 | 6,39 | 0,80 |
| groenvoorziening | 31,11 | 0,30 | 8,39 | 0,80 |

# Invoergegevens van het model

Model: Jager
Jager - Jager
Groep: (hoofdgroep)
Lijst van Bodemgebieden, voor rekenmethode Wegverkeerslawaai - RMW-2012

| Groep | ItemID | Grp.ID | Datum | Naam | Omschr. | Vorm | X-1 | Y-1 | Vormpunten | Omtrek |
|---|---|---|---|---|---|---|---|---|---|---|
| groenvoorziening | 11903 | 3 | 09:02, 20 mrt 2020 | groenvoorz | groenvoorziening | Polygoon | 247148,72 | 443718,58 | 16 | 29,42 |
| groenvoorziening | 11904 | 3 | 09:02, 20 mrt 2020 | groenvoorz | groenvoorziening | Polygoon | 246718,36 | 443311,43 | 4 | 54,73 |
| groenvoorziening | 11921 | 3 | 09:02, 20 mrt 2020 | groenvoorz | groenvoorziening | Polygoon | 247305,05 | 443786,70 | 11 | 59,86 |
| groenvoorziening | 11922 | 3 | 09:02, 20 mrt 2020 | groenvoorz | groenvoorziening | Polygoon | 246918,34 | 443580,47 | 7 | 64,69 |
| groenvoorziening | 11923 | 3 | 09:02, 20 mrt 2020 | groenvoorz | groenvoorziening | Polygoon | 247048,21 | 443635,10 | 25 | 42,16 |
| groenvoorziening | 11929 | 3 | 09:02, 20 mrt 2020 | groenvoorz | groenvoorziening | Polygoon | 247046,42 | 443760,70 | 26 | 22,16 |
| groenvoorziening | 11941 | 3 | 09:02, 20 mrt 2020 | groenvoorz | groenvoorziening | Polygoon | 247159,56 | 443195,50 | 38 | 26,35 |
| groenvoorziening | 11946 | 3 | 09:02, 20 mrt 2020 | groenvoorz | groenvoorziening | Polygoon | 246718,00 | 443590,21 | 179 | 209,83 |
| groenvoorziening | 11948 | 3 | 09:02, 20 mrt 2020 | groenvoorz | groenvoorziening | Polygoon | 246644,56 | 443605,96 | 81 | 19,98 |
| groenvoorziening | 11949 | 3 | 09:02, 20 mrt 2020 | groenvoorz | groenvoorziening | Polygoon | 246798,17 | 443438,31 | 49 | 62,71 |
| groenvoorziening | 11963 | 3 | 09:02, 20 mrt 2020 | groenvoorz | groenvoorziening | Polygoon | 247212,99 | 443714,11 | 4 | 37,44 |
| groenvoorziening | 11964 | 3 | 09:02, 20 mrt 2020 | groenvoorz | groenvoorziening | Polygoon | 247272,94 | 443873,25 | 5 | 61,84 |
| groenvoorziening | 11965 | 3 | 09:02, 20 mrt 2020 | groenvoorz | groenvoorziening | Polygoon | 246784,18 | 443590,64 | 22 | 13,97 |
| groenvoorziening | 11982 | 3 | 09:02, 20 mrt 2020 | groenvoorz | groenvoorziening | Polygoon | 247043,20 | 443665,21 | 20 | 15,89 |
| groenvoorziening | 11986 | 3 | 09:02, 20 mrt 2020 | groenvoorz | groenvoorziening | Polygoon | 247108,98 | 443734,56 | 37 | 17,10 |
| groenvoorziening | 11990 | 3 | 09:02, 20 mrt 2020 | groenvoorz | groenvoorziening | Polygoon | 247183,93 | 443653,88 | 8 | 23,91 |
| groenvoorziening | 12004 | 3 | 09:02, 20 mrt 2020 | groenvoorz | groenvoorziening | Polygoon | 247128,24 | 443727,72 | 19 | 48,30 |
| groenvoorziening | 12007 | 3 | 09:02, 20 mrt 2020 | groenvoorz | groenvoorziening | Polygoon | 246775,76 | 443327,77 | 4 | 14,22 |
| groenvoorziening | 12013 | 3 | 09:02, 20 mrt 2020 | groenvoorz | groenvoorziening | Polygoon | 246778,68 | 443362,49 | 77 | 35,41 |
| groenvoorziening | 12014 | 3 | 09:02, 20 mrt 2020 | groenvoorz | groenvoorziening | Polygoon | 246741,46 | 443751,65 | 29 | 34,98 |
| groenvoorziening | 12023 | 3 | 09:02, 20 mrt 2020 | groenvoorz | groenvoorziening | Polygoon | 246683,33 | 443425,42 | 56 | 20,46 |
| groenvoorziening | 12024 | 3 | 09:02, 20 mrt 2020 | groenvoorz | groenvoorziening | Polygoon | 246699,92 | 443364,92 | 4 | 26,20 |
| groenvoorziening | 12025 | 3 | 09:02, 20 mrt 2020 | groenvoorz | groenvoorziening | Polygoon | 246719,19 | 443815,89 | 11 | 38,77 |
| groenvoorziening | 12028 | 3 | 09:02, 20 mrt 2020 | groenvoorz | groenvoorziening | Polygoon | 247085,49 | 443628,37 | 80 | 64,77 |
| groenvoorziening | 12030 | 3 | 09:02, 20 mrt 2020 | groenvoorz | groenvoorziening | Polygoon | 247295,70 | 443793,78 | 9 | 41,73 |
| groenvoorziening | 12036 | 3 | 09:02, 20 mrt 2020 | groenvoorz | groenvoorziening | Polygoon | 247115,52 | 443735,56 | 25 | 18,41 |
| groenvoorziening | 12038 | 3 | 09:02, 20 mrt 2020 | groenvoorz | groenvoorziening | Polygoon | 246757,24 | 443441,96 | 7 | 14,13 |
| groenvoorziening | 12044 | 3 | 09:02, 20 mrt 2020 | groenvoorz | groenvoorziening | Polygoon | 246865,52 | 443525,67 | 45 | 39,42 |
| groenvoorziening | 12049 | 3 | 09:02, 20 mrt 2020 | groenvoorz | groenvoorziening | Polygoon | 247149,20 | 443615,63 | 11 | 61,73 |
| groenvoorziening | 12051 | 3 | 09:02, 20 mrt 2020 | groenvoorz | groenvoorziening | Polygoon | 247300,00 | 443768,30 | 46 | 185,20 |
| groenvoorziening | 12054 | 3 | 09:02, 20 mrt 2020 | groenvoorz | groenvoorziening | Polygoon | 246864,72 | 443493,83 | 100 | 67,50 |
| groenvoorziening | 12057 | 3 | 09:02, 20 mrt 2020 | groenvoorz | groenvoorziening | Polygoon | 246705,65 | 443331,02 | 381 | 91,12 |
| groenvoorziening | 12058 | 3 | 09:02, 20 mrt 2020 | groenvoorz | groenvoorziening | Polygoon | 247038,96 | 443636,36 | 16 | 24,70 |
| groenvoorziening | 12059 | 3 | 09:02, 20 mrt 2020 | groenvoorz | groenvoorziening | Polygoon | 246868,03 | 443465,82 | 24 | 31,10 |
| groenvoorziening | 12066 | 3 | 09:02, 20 mrt 2020 | groenvoorz | groenvoorziening | Polygoon | 247190,39 | 443304,90 | 26 | 24,73 |
| groenvoorziening | 12067 | 3 | 09:02, 20 mrt 2020 | groenvoorz | groenvoorziening | Polygoon | 247054,47 | 443705,60 | 6 | 16,30 |

Model: Jager
Jager - Jager
Groep: (hoofdgroep)
Lijst van Bodemgebieden, voor rekenmethode Wegverkeerslawaai - RMW-2012

| Groep | Oppervlak | Min.lengte | Max.lengte | Bf |
|---|---|---|---|---|
| groenvoorziening | 36,13 | 0,35 | 11,51 | 0,80 |
| groenvoorziening | 55,07 | 2,15 | 25,59 | 0,80 |
| groenvoorziening | 94,16 | 0,76 | 21,59 | 0,80 |
| groenvoorziening | 28,31 | 0,90 | 27,64 | 0,80 |
| groenvoorziening | 37,30 | 0,08 | 19,59 | 0,80 |
| groenvoorziening | 30,02 | 0,06 | 7,03 | 0,80 |
| groenvoorziening | 26,43 | 0,24 | 5,63 | 0,80 |
| groenvoorziening | 2287,11 | 0,06 | 40,07 | 0,80 |
| groenvoorziening | 20,73 | 0,04 | 4,01 | 0,80 |
| groenvoorziening | 68,48 | 0,02 | 24,63 | 0,80 |
| groenvoorziening | 46,34 | 2,89 | 15,80 | 0,80 |
| groenvoorziening | 220,22 | 5,84 | 19,82 | 0,80 |
| groenvoorziening | 11,65 | 0,29 | 4,40 | 0,80 |
| groenvoorziening | 11,24 | 0,07 | 6,35 | 0,80 |
| groenvoorziening | 2,57 | 0,07 | 2,82 | 0,80 |
| groenvoorziening | 23,62 | 0,62 | 9,26 | 0,80 |
| groenvoorziening | 7,15 | 0,19 | 8,79 | 0,80 |
| groenvoorziening | 11,33 | 2,02 | 4,42 | 0,80 |
| groenvoorziening | 45,05 | 0,02 | 9,77 | 0,80 |
| groenvoorziening | 63,30 | 0,44 | 9,23 | 0,80 |
| groenvoorziening | 24,05 | 0,03 | 4,48 | 0,80 |
| groenvoorziening | 22,20 | 2,00 | 11,10 | 0,80 |
| groenvoorziening | 45,91 | 1,43 | 7,51 | 0,80 |
| groenvoorziening | 115,65 | 0,03 | 16,54 | 0,80 |
| groenvoorziening | 90,87 | 0,76 | 10,80 | 0,80 |
| groenvoorziening | 21,49 | 0,23 | 5,82 | 0,80 |
| groenvoorziening | 11,38 | 0,71 | 5,07 | 0,80 |
| groenvoorziening | 60,71 | 0,10 | 8,50 | 0,80 |
| groenvoorziening | 34,86 | 0,13 | 23,99 | 0,80 |
| groenvoorziening | 318,25 | 0,14 | 30,24 | 0,80 |
| groenvoorziening | 86,91 | 0,02 | 11,30 | 0,80 |
| groenvoorziening | 167,52 | 0,03 | 30,30 | 0,80 |
| groenvoorziening | 22,48 | 0,13 | 7,03 | 0,80 |
| groenvoorziening | 14,98 | 0,30 | 4,94 | 0,80 |
| groenvoorziening | 35,19 | 0,04 | 8,22 | 0,80 |
| groenvoorziening | 13,31 | 1,04 | 4,23 | 0,80 |

# Invoergegevens van het model

Model: Jager
Jager - Jager
Groep: (hoofdgroep)
Lijst van Bodemgebieden, voor rekenmethode Wegverkeerslawaai - RMW-2012

| Groep | ItemID | Grp.ID | Datum | Naam | Omschr. | Vorm | X-1 | Y-1 | Vormpunten | Omtrek |
|---|---|---|---|---|---|---|---|---|---|---|
| groenvoorziening | 12071 | 3 | 09:02, 20 mrt 2020 | groenvoorz | groenvoorziening | Polygoon | 246788,33 | 443290,46 | 6 | 32,88 |
| groenvoorziening | 12074 | 3 | 09:02, 20 mrt 2020 | groenvoorz | groenvoorziening | Polygoon | 247115,52 | 443735,56 | 30 | 18,41 |
| groenvoorziening | 12076 | 3 | 09:02, 20 mrt 2020 | groenvoorz | groenvoorziening | Polygoon | 246664,84 | 443707,94 | 43 | 81,27 |
| groenvoorziening | 12081 | 3 | 09:02, 20 mrt 2020 | groenvoorz | groenvoorziening | Polygoon | 247048,21 | 443706,73 | 14 | 28,16 |
| groenvoorziening | 12083 | 3 | 09:02, 20 mrt 2020 | groenvoorz | groenvoorziening | Polygoon | 246809,08 | 443425,72 | 5 | 38,18 |
| groenvoorziening | 12085 | 3 | 09:02, 20 mrt 2020 | groenvoorz | groenvoorziening | Polygoon | 246878,06 | 443962,30 | 28 | 55,12 |
| groenvoorziening | 12086 | 3 | 09:02, 20 mrt 2020 | groenvoorz | groenvoorziening | Polygoon | 246660,05 | 443824,74 | 79 | 197,84 |
| groenvoorziening | 12098 | 3 | 09:02, 20 mrt 2020 | groenvoorz | groenvoorziening | Polygoon | 246679,74 | 443686,97 | 171 | 292,93 |
| groenvoorziening | 12110 | 3 | 09:02, 20 mrt 2020 | groenvoorz | groenvoorziening | Polygoon | 246796,72 | 443579,44 | 14 | 59,06 |
| groenvoorziening | 12118 | 3 | 09:02, 20 mrt 2020 | groenvoorz | groenvoorziening | Polygoon | 246760,25 | 443436,79 | 6 | 37,75 |
| groenvoorziening | 12119 | 3 | 09:02, 20 mrt 2020 | groenvoorz | groenvoorziening | Polygoon | 247121,71 | 443189,48 | 28 | 64,20 |
| groenvoorziening | 12124 | 3 | 09:02, 20 mrt 2020 | groenvoorz | groenvoorziening | Polygoon | 246722,83 | 443739,49 | 10 | 21,36 |
| groenvoorziening | 12126 | 3 | 09:02, 20 mrt 2020 | groenvoorz | groenvoorziening | Polygoon | 246872,38 | 443771,60 | 49 | 16,24 |
| groenvoorziening | 12133 | 3 | 09:02, 20 mrt 2020 | groenvoorz | groenvoorziening | Polygoon | 247322,93 | 443547,57 | 14 | 44,05 |
| groenvoorziening | 12134 | 3 | 09:02, 20 mrt 2020 | groenvoorz | groenvoorziening | Polygoon | 246668,73 | 443579,77 | 8 | 13,23 |
| groenvoorziening | 12136 | 3 | 09:02, 20 mrt 2020 | groenvoorz | groenvoorziening | Polygoon | 246703,49 | 443763,94 | 111 | 273,12 |
| groenvoorziening | 12142 | 3 | 09:02, 20 mrt 2020 | groenvoorz | groenvoorziening | Polygoon | 247169,63 | 443655,31 | 4 | 12,20 |
| groenvoorziening | 12146 | 3 | 09:02, 20 mrt 2020 | groenvoorz | groenvoorziening | Polygoon | 246882,82 | 443727,83 | 28 | 107,34 |
| groenvoorziening | 12159 | 3 | 09:02, 20 mrt 2020 | groenvoorz | groenvoorziening | Polygoon | 246887,40 | 443734,08 | 46 | 63,01 |
| groenvoorziening | 12162 | 3 | 09:02, 20 mrt 2020 | groenvoorz | groenvoorziening | Polygoon | 246942,43 | 443949,79 | 29 | 10,15 |
| groenvoorziening | 12163 | 3 | 09:02, 20 mrt 2020 | groenvoorz | groenvoorziening | Polygoon | 246864,36 | 443961,32 | 92 | 80,78 |
| groenvoorziening | 12164 | 3 | 09:02, 20 mrt 2020 | groenvoorz | groenvoorziening | Polygoon | 246638,52 | 443723,37 | 207 | 122,58 |
| groenvoorziening | 12168 | 3 | 09:02, 20 mrt 2020 | groenvoorz | groenvoorziening | Polygoon | 246699,17 | 443434,10 | 35 | 29,75 |
| groenvoorziening | 12176 | 3 | 09:02, 20 mrt 2020 | groenvoorz | groenvoorziening | Polygoon | 246669,67 | 443578,66 | 8 | 26,67 |
| groenvoorziening | 12184 | 3 | 09:02, 20 mrt 2020 | groenvoorz | groenvoorziening | Polygoon | 247104,16 | 443704,34 | 5 | 18,00 |
| groenvoorziening | 12204 | 3 | 09:02, 20 mrt 2020 | groenvoorz | groenvoorziening | Polygoon | 247035,78 | 443602,59 | 7 | 26,90 |
| groenvoorziening | 12212 | 3 | 09:02, 20 mrt 2020 | groenvoorz | groenvoorziening | Polygoon | 247341,98 | 443549,21 | 25 | 30,91 |
| groenvoorziening | 12220 | 3 | 09:02, 20 mrt 2020 | groenvoorz | groenvoorziening | Polygoon | 247049,82 | 443336,44 | 108 | 145,40 |
| groenvoorziening | 12222 | 3 | 09:02, 20 mrt 2020 | groenvoorz | groenvoorziening | Polygoon | 246806,08 | 443881,70 | 10 | 52,55 |
| groenvoorziening | 12226 | 3 | 09:02, 20 mrt 2020 | groenvoorz | groenvoorziening | Polygoon | 246651,69 | 443603,76 | 49 | 204,03 |
| groenvoorziening | 12240 | 3 | 09:02, 20 mrt 2020 | groenvoorz | groenvoorziening | Polygoon | 246698,41 | 443453,19 | 96 | 14,10 |
| groenvoorziening | 12246 | 3 | 09:02, 20 mrt 2020 | groenvoorz | groenvoorziening | Polygoon | 247208,89 | 443663,44 | 7 | 30,07 |
| groenvoorziening | 12252 | 3 | 09:02, 20 mrt 2020 | groenvoorz | groenvoorziening | Polygoon | 246789,14 | 443403,45 | 77 | 66,42 |
| groenvoorziening | 12262 | 3 | 09:02, 20 mrt 2020 | groenvoorz | groenvoorziening | Polygoon | 246683,11 | 443401,09 | 722 | 154,66 |
| groenvoorziening | 12272 | 3 | 09:02, 20 mrt 2020 | groenvoorz | groenvoorziening | Polygoon | 246856,58 | 443715,56 | 99 | 37,45 |
| groenvoorziening | 12273 | 3 | 09:02, 20 mrt 2020 | groenvoorz | groenvoorziening | Polygoon | 246960,52 | 443231,54 | 134 | 953,58 |

Model: Jager
Jager - Jager
Groep: (hoofdgroep)
Lijst van Bodemgebieden, voor rekenmethode Wegverkeerslawaai - RMW-2012

| Groep | Oppervlak | Min.lengte | Max.lengte | Bf |
|---|---|---|---|---|
| groenvoorziening | 60,53 | 4,07 | 10,01 | 0,80 |
| groenvoorziening | 21,49 | 0,07 | 5,82 | 0,80 |
| groenvoorziening | 275,05 | 0,50 | 25,60 | 0,80 |
| groenvoorziening | 10,50 | 0,18 | 13,54 | 0,80 |
| groenvoorziening | 18,79 | 1,00 | 18,03 | 0,80 |
| groenvoorziening | 66,37 | 0,22 | 17,66 | 0,80 |
| groenvoorziening | 1327,38 | 0,34 | 34,42 | 0,80 |
| groenvoorziening | 4048,99 | 0,19 | 27,21 | 0,80 |
| groenvoorziening | 88,55 | 0,25 | 13,00 | 0,80 |
| groenvoorziening | 53,16 | 2,09 | 14,05 | 0,80 |
| groenvoorziening | 98,58 | 0,61 | 17,26 | 0,80 |
| groenvoorziening | 30,39 | 0,83 | 4,71 | 0,80 |
| groenvoorziening | 16,57 | 0,06 | 4,77 | 0,80 |
| groenvoorziening | 22,61 | 1,09 | 4,28 | 0,80 |
| groenvoorziening | 2,48 | 0,40 | 2,67 | 0,80 |
| groenvoorziening | 1700,78 | 0,13 | 36,03 | 0,80 |
| groenvoorziening | 9,16 | 2,67 | 3,43 | 0,80 |
| groenvoorziening | 639,90 | 0,68 | 20,02 | 0,80 |
| groenvoorziening | 86,98 | 0,26 | 5,31 | 0,80 |
| groenvoorziening | 4,39 | 0,05 | 3,76 | 0,80 |
| groenvoorziening | 193,82 | 0,06 | 23,11 | 0,80 |
| groenvoorziening | 139,26 | 0,02 | 15,42 | 0,80 |
| groenvoorziening | 36,02 | 0,14 | 6,98 | 0,80 |
| groenvoorziening | 5,17 | 0,40 | 9,44 | 0,80 |
| groenvoorziening | 19,88 | 1,79 | 4,94 | 0,80 |
| groenvoorziening | 26,38 | 2,29 | 5,99 | 0,80 |
| groenvoorziening | 44,11 | 0,26 | 11,70 | 0,80 |
| groenvoorziening | 121,63 | 0,03 | 32,88 | 0,80 |
| groenvoorziening | 132,57 | 2,07 | 12,00 | 0,80 |
| groenvoorziening | 335,95 | 0,38 | 27,21 | 0,80 |
| groenvoorziening | 6,59 | 0,03 | 3,59 | 0,80 |
| groenvoorziening | 50,97 | 0,30 | 8,53 | 0,80 |
| groenvoorziening | 103,48 | 0,03 | 9,02 | 0,80 |
| groenvoorziening | 127,96 | 0,02 | 23,37 | 0,80 |
| groenvoorziening | 73,26 | 0,17 | 6,85 | 0,80 |
| groenvoorziening | 4849,76 | 0,54 | 138,83 | 0,80 |

# Invoergegevens van het model

Model: Jager
Jager - Jager
Groep: (hoofdgroep)
Lijst van Bodemgebieden, voor rekenmethode Wegverkeerslawaai - RMW-2012

| Groep | ItemID | Grp.ID | Datum | Naam | Omschr. | Vorm | X-1 | Y-1 | Vormpunten | Omtrek |
|---|---|---|---|---|---|---|---|---|---|---|
| groenvoorziening | 12276 | 3 | 09:02, 20 mrt 2020 | groenvoorz | groenvoorziening | Polygoon | 246705,65 | 443331,02 | 379 | 91,12 |
| groenvoorziening | 12278 | 3 | 09:02, 20 mrt 2020 | groenvoorz | groenvoorziening | Polygoon | 246826,94 | 443417,87 | 15 | 121,26 |
| groenvoorziening | 12282 | 3 | 09:02, 20 mrt 2020 | groenvoorz | groenvoorziening | Polygoon | 246609,35 | 443629,21 | 21 | 127,48 |
| groenvoorziening | 12283 | 3 | 09:02, 20 mrt 2020 | groenvoorz | groenvoorziening | Polygoon | 246679,74 | 443686,97 | 181 | 343,39 |
| groenvoorziening | 12284 | 3 | 09:02, 20 mrt 2020 | groenvoorz | groenvoorziening | Polygoon | 247334,34 | 443848,07 | 75 | 46,55 |
| groenvoorziening | 12285 | 3 | 09:02, 20 mrt 2020 | groenvoorz | groenvoorziening | Polygoon | 247154,90 | 443691,96 | 22 | 29,32 |
| groenvoorziening | 12321 | 3 | 09:02, 20 mrt 2020 | groenvoorz | groenvoorziening | Polygoon | 247154,72 | 443320,38 | 37 | 67,09 |
| groenvoorziening | 12323 | 3 | 09:02, 20 mrt 2020 | groenvoorz | groenvoorziening | Polygoon | 246779,06 | 443997,34 | 18 | 50,84 |
| groenvoorziening | 12326 | 3 | 09:02, 20 mrt 2020 | groenvoorz | groenvoorziening | Polygoon | 246756,09 | 443421,89 | 6 | 18,08 |
| groenvoorziening | 12332 | 3 | 09:02, 20 mrt 2020 | groenvoorz | groenvoorziening | Polygoon | 247152,52 | 443983,89 | 75 | 50,31 |
| groenvoorziening | 12333 | 3 | 09:02, 20 mrt 2020 | groenvoorz | groenvoorziening | Polygoon | 247279,15 | 443862,71 | 76 | 198,60 |
| groenvoorziening | 12339 | 3 | 09:02, 20 mrt 2020 | groenvoorz | groenvoorziening | Polygoon | 247340,54 | 443540,08 | 6 | 25,20 |
| groenvoorziening | 12340 | 3 | 09:02, 20 mrt 2020 | groenvoorz | groenvoorziening | Polygoon | 246785,88 | 443562,52 | 7 | 21,06 |
| groenvoorziening | 12356 | 3 | 09:02, 20 mrt 2020 | groenvoorz | groenvoorziening | Polygoon | 247135,37 | 443315,54 | 44 | 67,09 |
| groenvoorziening | 12380 | 3 | 09:02, 20 mrt 2020 | groenvoorz | groenvoorziening | Polygoon | 247181,13 | 443717,47 | 4 | 6,84 |
| groenvoorziening | 12386 | 3 | 09:02, 20 mrt 2020 | groenvoorz | groenvoorziening | Polygoon | 247282,96 | 443908,84 | 4 | 4,90 |
| groenvoorziening | 12389 | 3 | 09:02, 20 mrt 2020 | groenvoorz | groenvoorziening | Polygoon | 247139,84 | 443578,91 | 4 | 16,53 |
| groenvoorziening | 12405 | 3 | 09:02, 20 mrt 2020 | groenvoorz | groenvoorziening | Polygoon | 247214,35 | 443641,44 | 5 | 35,62 |
| groenvoorziening | 12412 | 3 | 09:02, 20 mrt 2020 | groenvoorz | groenvoorziening | Polygoon | 246797,91 | 443386,06 | 5 | 19,00 |
| groenvoorziening | 12413 | 3 | 09:02, 20 mrt 2020 | groenvoorz | groenvoorziening | Polygoon | 246777,04 | 443701,07 | 8 | 121,30 |
| groenvoorziening | 12424 | 3 | 09:02, 20 mrt 2020 | groenvoorz | groenvoorziening | Polygoon | 246864,86 | 443530,63 | 23 | 17,37 |
| groenvoorziening | 12429 | 3 | 09:02, 20 mrt 2020 | groenvoorz | groenvoorziening | Polygoon | 246787,10 | 443581,84 | 68 | 116,87 |
| groenvoorziening | 12430 | 3 | 09:02, 20 mrt 2020 | groenvoorz | groenvoorziening | Polygoon | 247265,08 | 443892,34 | 6 | 25,14 |
| groenvoorziening | 12433 | 3 | 09:02, 20 mrt 2020 | groenvoorz | groenvoorziening | Polygoon | 246706,11 | 443930,46 | 4 | 34,11 |
| groenvoorziening | 12434 | 3 | 09:02, 20 mrt 2020 | groenvoorz | groenvoorziening | Polygoon | 247123,56 | 443962,65 | 7 | 50,74 |
| groenvoorziening | 12443 | 3 | 09:02, 20 mrt 2020 | groenvoorz | groenvoorziening | Polygoon | 246770,32 | 443596,66 | 4 | 13,63 |
| groenvoorziening | 12444 | 3 | 09:02, 20 mrt 2020 | groenvoorz | groenvoorziening | Polygoon | 246777,79 | 443561,01 | 4 | 14,98 |
| groenvoorziening | 12448 | 3 | 09:02, 20 mrt 2020 | groenvoorz | groenvoorziening | Polygoon | 246667,16 | 443578,20 | 5 | 7,34 |
| groenvoorziening | 12451 | 3 | 09:02, 20 mrt 2020 | groenvoorz | groenvoorziening | Polygoon | 246641,61 | 443594,68 | 13 | 35,67 |
| groenvoorziening | 12455 | 3 | 09:02, 20 mrt 2020 | groenvoorz | groenvoorziening | Polygoon | 246898,25 | 443597,74 | 6 | 27,66 |
| groenvoorziening | 12461 | 3 | 09:02, 20 mrt 2020 | groenvoorz | groenvoorziening | Polygoon | 247219,13 | 443356,98 | 16 | 44,66 |
| groenvoorziening | 12462 | 3 | 09:02, 20 mrt 2020 | groenvoorz | groenvoorziening | Polygoon | 246787,72 | 443556,83 | 27 | 57,27 |
| groenvoorziening | 12473 | 3 | 09:02, 20 mrt 2020 | groenvoorz | groenvoorziening | Polygoon | 246841,77 | 443432,24 | 10 | 10,50 |
| groenvoorziening | 12490 | 3 | 09:02, 20 mrt 2020 | groenvoorz | groenvoorziening | Polygoon | 247041,58 | 443486,81 | 5 | 23,84 |
| groenvoorziening | 12495 | 3 | 09:02, 20 mrt 2020 | groenvoorz | groenvoorziening | Polygoon | 246763,27 | 443363,23 | 6 | 17,58 |
| groenvoorziening | 12498 | 3 | 09:02, 20 mrt 2020 | groenvoorz | groenvoorziening | Polygoon | 246723,75 | 443823,12 | 4 | 23,45 |

Model: Jager
Jager - Jager
Groep: (hoofdgroep)
Lijst van Bodemgebieden, voor rekenmethode Wegverkeerslawaai - RMW-2012

| Groep | Oppervlak | Min.lengte | Max.lengte | Bf |
|---|---|---|---|---|
| groenvoorziening | 167,52 | 0,03 | 30,30 | 0,80 |
| groenvoorziening | 109,28 | 0,44 | 56,05 | 0,80 |
| groenvoorziening | 166,05 | 0,35 | 36,16 | 0,80 |
| groenvoorziening | 3745,61 | 0,08 | 40,43 | 0,80 |
| groenvoorziening | 61,03 | 0,03 | 11,77 | 0,80 |
| groenvoorziening | 39,23 | 0,12 | 6,42 | 0,80 |
| groenvoorziening | 229,47 | 0,01 | 19,41 | 0,80 |
| groenvoorziening | 120,75 | 0,68 | 20,31 | 0,80 |
| groenvoorziening | 20,67 | 0,96 | 4,40 | 0,80 |
| groenvoorziening | 137,67 | 0,06 | 15,80 | 0,80 |
| groenvoorziening | 638,45 | 0,23 | 46,27 | 0,80 |
| groenvoorziening | 11,10 | 0,93 | 6,61 | 0,80 |
| groenvoorziening | 26,66 | 0,43 | 5,44 | 0,80 |
| groenvoorziening | 229,47 | 0,01 | 19,41 | 0,80 |
| groenvoorziening | 2,86 | 1,46 | 1,95 | 0,80 |
| groenvoorziening | 1,09 | 0,59 | 1,87 | 0,80 |
| groenvoorziening | 13,26 | 2,18 | 6,09 | 0,80 |
| groenvoorziening | 72,69 | 1,68 | 12,15 | 0,80 |
| groenvoorziening | 12,11 | 0,46 | 7,78 | 0,80 |
| groenvoorziening | 606,65 | 0,18 | 34,14 | 0,80 |
| groenvoorziening | 10,32 | 0,08 | 7,49 | 0,80 |
| groenvoorziening | 128,87 | 0,07 | 12,86 | 0,80 |
| groenvoorziening | 21,68 | 0,62 | 10,51 | 0,80 |
| groenvoorziening | 6,20 | 0,31 | 16,69 | 0,80 |
| groenvoorziening | 71,43 | 2,16 | 22,44 | 0,80 |
| groenvoorziening | 9,80 | 2,05 | 4,76 | 0,80 |
| groenvoorziening | 12,98 | 2,70 | 4,77 | 0,80 |
| groenvoorziening | 3,37 | 0,14 | 1,88 | 0,80 |
| groenvoorziening | 27,29 | 0,04 | 13,60 | 0,80 |
| groenvoorziening | 16,29 | 1,30 | 11,23 | 0,80 |
| groenvoorziening | 71,64 | 0,32 | 19,10 | 0,80 |
| groenvoorziening | 51,31 | 0,14 | 13,00 | 0,80 |
| groenvoorziening | 6,71 | 0,33 | 1,88 | 0,80 |
| groenvoorziening | 17,36 | 2,35 | 8,12 | 0,80 |
| groenvoorziening | 12,16 | 0,90 | 6,72 | 0,80 |
| groenvoorziening | 18,85 | 0,98 | 9,98 | 0,80 |

# Invoergegevens van het model

Model: Jager
Jager - Jager
Groep: (hoofdgroep)
Lijst van Bodemgebieden, voor rekenmethode Wegverkeerslawaai - RMW-2012

| Groep | ItemID | Grp.ID | Datum | Naam | Omschr. | Vorm | X-1 | Y-1 | Vormpunten | Omtrek |
|---|---|---|---|---|---|---|---|---|---|---|
| groenvoorziening | 12500 | 3 | 09:02, 20 mrt 2020 | groenvoorz | groenvoorziening | Polygoon | 247214,76 | 443716,48 | 5 | 16,46 |
| groenvoorziening | 12503 | 3 | 09:02, 20 mrt 2020 | groenvoorz | groenvoorziening | Polygoon | 246662,94 | 443624,85 | 11 | 22,10 |
| groenvoorziening | 12504 | 3 | 09:02, 20 mrt 2020 | groenvoorz | groenvoorziening | Polygoon | 247094,52 | 443606,32 | 10 | 123,90 |
| groenvoorziening | 12505 | 3 | 09:02, 20 mrt 2020 | groenvoorz | groenvoorziening | Polygoon | 246788,44 | 443594,95 | 90 | 250,31 |
| groenvoorziening | 12510 | 3 | 09:02, 20 mrt 2020 | groenvoorz | groenvoorziening | Polygoon | 246675,93 | 443801,66 | 89 | 197,95 |
| groenvoorziening | 12514 | 3 | 09:02, 20 mrt 2020 | groenvoorz | groenvoorziening | Polygoon | 247128,24 | 443727,72 | 8 | 25,03 |
| groenvoorziening | 12516 | 3 | 09:02, 20 mrt 2020 | groenvoorz | groenvoorziening | Polygoon | 247150,68 | 443720,42 | 22 | 34,28 |
| groenvoorziening | 12519 | 3 | 09:02, 20 mrt 2020 | groenvoorz | groenvoorziening | Polygoon | 246818,63 | 443320,76 | 44 | 12,33 |
| groenvoorziening | 12521 | 3 | 09:02, 20 mrt 2020 | groenvoorz | groenvoorziening | Polygoon | 247224,87 | 443659,13 | 69 | 27,16 |
| groenvoorziening | 12522 | 3 | 09:02, 20 mrt 2020 | groenvoorz | groenvoorziening | Polygoon | 246808,77 | 443424,64 | 7 | 41,60 |
| groenvoorziening | 12555 | 3 | 09:02, 20 mrt 2020 | groenvoorz | groenvoorziening | Polygoon | 246725,78 | 443674,99 | 214 | 219,11 |
| groenvoorziening | 12560 | 3 | 09:02, 20 mrt 2020 | groenvoorz | groenvoorziening | Polygoon | 247261,88 | 443654,73 | 13 | 113,62 |
| groenvoorziening | 12564 | 3 | 09:02, 20 mrt 2020 | groenvoorz | groenvoorziening | Polygoon | 247224,87 | 443659,13 | 62 | 16,57 |
| groenvoorziening | 12565 | 3 | 09:02, 20 mrt 2020 | groenvoorz | groenvoorziening | Polygoon | 247224,87 | 443659,13 | 66 | 25,81 |
| groenvoorziening | 12569 | 3 | 09:02, 20 mrt 2020 | groenvoorz | groenvoorziening | Polygoon | 246645,55 | 443722,73 | 137 | 74,11 |
| groenvoorziening | 12570 | 3 | 09:02, 20 mrt 2020 | groenvoorz | groenvoorziening | Polygoon | 246791,24 | 443881,94 | 6 | 46,76 |
| groenvoorziening | 12572 | 3 | 09:02, 20 mrt 2020 | groenvoorz | groenvoorziening | Polygoon | 246868,79 | 443486,08 | 64 | 63,42 |
| groenvoorziening | 12580 | 3 | 09:02, 20 mrt 2020 | groenvoorz | groenvoorziening | Polygoon | 246790,95 | 443675,56 | 156 | 371,46 |
| groenvoorziening | 12601 | 3 | 09:02, 20 mrt 2020 | groenvoorz | groenvoorziening | Polygoon | 246816,29 | 443313,66 | 22 | 115,86 |
| groenvoorziening | 12616 | 3 | 09:02, 20 mrt 2020 | groenvoorz | groenvoorziening | Polygoon | 246807,27 | 443358,10 | 33 | 30,31 |
| groenvoorziening | 12623 | 3 | 09:02, 20 mrt 2020 | groenvoorz | groenvoorziening | Polygoon | 246880,93 | 443770,88 | 33 | 22,59 |
| groenvoorziening | 12631 | 3 | 09:02, 20 mrt 2020 | groenvoorz | groenvoorziening | Polygoon | 247168,32 | 443579,91 | 4 | 15,64 |
| groenvoorziening | 12639 | 3 | 09:02, 20 mrt 2020 | groenvoorz | groenvoorziening | Polygoon | 246718,90 | 443932,06 | 59 | 23,53 |
| groenvoorziening | 12644 | 3 | 09:02, 20 mrt 2020 | groenvoorz | groenvoorziening | Polygoon | 246731,02 | 443928,57 | 75 | 23,68 |
| groenvoorziening | 12645 | 3 | 09:02, 20 mrt 2020 | groenvoorz | groenvoorziening | Polygoon | 247234,35 | 443698,97 | 55 | 16,75 |
| groenvoorziening | 12647 | 3 | 09:02, 20 mrt 2020 | groenvoorz | groenvoorziening | Polygoon | 247084,87 | 443957,22 | 31 | 95,85 |
| groenvoorziening | 12652 | 3 | 09:02, 20 mrt 2020 | groenvoorz | groenvoorziening | Polygoon | 247273,04 | 443919,98 | 383 | 121,71 |
| groenvoorziening | 12654 | 3 | 09:02, 20 mrt 2020 | groenvoorz | groenvoorziening | Polygoon | 246719,15 | 443931,75 | 138 | 59,28 |
| groenvoorziening | 12666 | 3 | 09:02, 20 mrt 2020 | groenvoorz | groenvoorziening | Polygoon | 246679,74 | 443686,97 | 189 | 345,67 |
| groenvoorziening | 12667 | 3 | 09:02, 20 mrt 2020 | groenvoorz | groenvoorziening | Polygoon | 246651,69 | 443603,76 | 27 | 32,13 |
| groenvoorziening | 12686 | 3 | 09:02, 20 mrt 2020 | groenvoorz | groenvoorziening | Polygoon | 247195,25 | 443257,85 | 90 | 19,55 |
| groenvoorziening | 12696 | 3 | 09:02, 20 mrt 2020 | groenvoorz | groenvoorziening | Polygoon | 247272,94 | 443873,25 | 10 | 54,51 |
| groenvoorziening | 12697 | 3 | 09:02, 20 mrt 2020 | groenvoorz | groenvoorziening | Polygoon | 247301,69 | 443866,25 | 6 | 72,37 |
| groenvoorziening | 12699 | 3 | 09:02, 20 mrt 2020 | groenvoorz | groenvoorziening | Polygoon | 247272,16 | 443919,86 | 55 | 43,49 |
| groenvoorziening | 12702 | 3 | 09:02, 20 mrt 2020 | groenvoorz | groenvoorziening | Polygoon | 247094,52 | 443606,32 | 10 | 75,58 |
| groenvoorziening | 12704 | 3 | 09:02, 20 mrt 2020 | groenvoorz | groenvoorziening | Polygoon | 246679,71 | 443577,05 | 4 | 71,46 |

Model: Jager
Jager - Jager
Groep: (hoofdgroep)
Lijst van Bodemgebieden, voor rekenmethode Wegverkeerslawaai - RMW-2012

| Groep | Oppervlak | Min.lengte | Max.lengte | Bf |
|---|---|---|---|---|
| groenvoorziening | 14,47 | 1,55 | 5,68 | 0,80 |
| groenvoorziening | 24,28 | 1,29 | 5,03 | 0,80 |
| groenvoorziening | 129,20 | 0,03 | 20,92 | 0,80 |
| groenvoorziening | 176,95 | 0,45 | 22,86 | 0,80 |
| groenvoorziening | 1323,92 | 0,34 | 34,01 | 0,80 |
| groenvoorziening | 30,40 | 0,62 | 8,79 | 0,80 |
| groenvoorziening | 43,25 | 0,16 | 14,81 | 0,80 |
| groenvoorziening | 8,60 | 0,03 | 3,45 | 0,80 |
| groenvoorziening | 19,79 | 0,03 | 6,91 | 0,80 |
| groenvoorziening | 47,92 | 1,13 | 18,03 | 0,80 |
| groenvoorziening | 966,35 | 0,15 | 12,95 | 0,80 |
| groenvoorziening | 439,23 | 0,05 | 19,03 | 0,80 |
| groenvoorziening | 15,40 | 0,03 | 3,86 | 0,80 |
| groenvoorziening | 19,30 | 0,03 | 7,65 | 0,80 |
| groenvoorziening | 87,35 | 0,04 | 15,42 | 0,80 |
| groenvoorziening | 90,72 | 3,45 | 14,85 | 0,80 |
| groenvoorziening | 113,76 | 0,06 | 17,99 | 0,80 |
| groenvoorziening | 3763,49 | 0,26 | 22,86 | 0,80 |
| groenvoorziening | 191,72 | 0,53 | 25,79 | 0,80 |
| groenvoorziening | 45,18 | 0,03 | 7,64 | 0,80 |
| groenvoorziening | 28,88 | 0,07 | 6,92 | 0,80 |
| groenvoorziening | 11,04 | 1,85 | 5,97 | 0,80 |
| groenvoorziening | 6,04 | 0,33 | 0,76 | 0,80 |
| groenvoorziening | 26,06 | 0,11 | 3,98 | 0,80 |
| groenvoorziening | 12,24 | 0,03 | 5,89 | 0,80 |
| groenvoorziening | 198,18 | 0,25 | 42,82 | 0,80 |
| groenvoorziening | 164,00 | 0,02 | 6,13 | 0,80 |
| groenvoorziening | 47,49 | 0,15 | 7,94 | 0,80 |
| groenvoorziening | 3791,83 | 0,19 | 40,43 | 0,80 |
| groenvoorziening | 69,61 | 0,07 | 4,73 | 0,80 |
| groenvoorziening | 30,39 | 0,22 | 0,22 | 0,80 |
| groenvoorziening | 51,52 | 0,41 | 17,96 | 0,80 |
| groenvoorziening | 287,31 | 0,75 | 24,75 | 0,80 |
| groenvoorziening | 86,45 | 0,19 | 7,53 | 0,80 |
| groenvoorziening | 69,22 | 0,03 | 19,13 | 0,80 |
| groenvoorziening | 24,52 | 0,70 | 35,03 | 0,80 |

# Invoergegevens van het model

Model: Jager
Jager - Jager
Groep: (hoofdgroep)
Lijst van Bodemgebieden, voor rekenmethode Wegverkeerslawaai - RMW-2012

| Groep | ItemID | Grp.ID | Datum | Naam | Omschr. | Vorm | X-1 | Y-1 | Vormpunten | Omtrek |
|---|---|---|---|---|---|---|---|---|---|---|
| groenvoorziening | 12709 | 3 | 09:02, 20 mrt 2020 | groenvoorz | groenvoorziening | Polygoon | 246794,17 | 443288,84 | 15 | 148,48 |
| groenvoorziening | 12717 | 3 | 09:02, 20 mrt 2020 | groenvoorz | groenvoorziening | Polygoon | 246864,72 | 443493,83 | 58 | 32,80 |
| groenvoorziening | 12718 | 3 | 09:02, 20 mrt 2020 | groenvoorz | groenvoorziening | Polygoon | 246745,10 | 443728,29 | 141 | 154,86 |
| groenvoorziening | 12726 | 3 | 09:02, 20 mrt 2020 | groenvoorz | groenvoorziening | Polygoon | 246797,45 | 443635,79 | 43 | 171,17 |
| groenvoorziening | 12731 | 3 | 09:02, 20 mrt 2020 | groenvoorz | groenvoorziening | Polygoon | 246731,02 | 443932,73 | 137 | 48,65 |
| groenvoorziening | 12732 | 3 | 09:02, 20 mrt 2020 | groenvoorz | groenvoorziening | Polygoon | 246679,81 | 443577,53 | 5 | 72,59 |
| groenvoorziening | 12745 | 3 | 09:02, 20 mrt 2020 | groenvoorz | groenvoorziening | Polygoon | 246748,60 | 443288,86 | 4 | 10,72 |
| groenvoorziening | 12750 | 3 | 09:02, 20 mrt 2020 | groenvoorz | groenvoorziening | Polygoon | 246644,56 | 443605,96 | 79 | 18,88 |
| groenvoorziening | 12754 | 3 | 09:02, 20 mrt 2020 | groenvoorz | groenvoorziening | Polygoon | 246836,00 | 443425,20 | 11 | 57,23 |
| groenvoorziening | 12755 | 3 | 09:02, 20 mrt 2020 | groenvoorz | groenvoorziening | Polygoon | 247054,80 | 443683,23 | 10 | 13,80 |
| groenvoorziening | 12756 | 3 | 09:02, 20 mrt 2020 | groenvoorz | groenvoorziening | Polygoon | 247055,89 | 443699,66 | 10 | 11,40 |
| groenvoorziening | 12759 | 3 | 09:02, 20 mrt 2020 | groenvoorz | groenvoorziening | Polygoon | 247146,64 | 443716,52 | 9 | 26,68 |
| groenvoorziening | 12768 | 3 | 09:02, 20 mrt 2020 | groenvoorz | groenvoorziening | Polygoon | 246788,44 | 443594,95 | 87 | 249,42 |
| groenvoorziening | 12781 | 3 | 09:02, 20 mrt 2020 | groenvoorz | groenvoorziening | Polygoon | 246620,00 | 443725,41 | 12 | 34,48 |
| groenvoorziening | 12783 | 3 | 09:02, 20 mrt 2020 | groenvoorz | groenvoorziening | Polygoon | 247301,69 | 443866,25 | 20 | 108,11 |
| groenvoorziening | 12788 | 3 | 09:02, 20 mrt 2020 | groenvoorz | groenvoorziening | Polygoon | 246683,11 | 443401,09 | 714 | 146,66 |
| groenvoorziening | 12795 | 3 | 09:02, 20 mrt 2020 | groenvoorz | groenvoorziening | Polygoon | 246878,47 | 443962,58 | 9 | 18,09 |
| groenvoorziening | 12797 | 3 | 09:02, 20 mrt 2020 | groenvoorz | groenvoorziening | Polygoon | 246732,07 | 443826,76 | 24 | 18,42 |
| groenvoorziening | 12798 | 3 | 09:02, 20 mrt 2020 | groenvoorz | groenvoorziening | Polygoon | 246664,75 | 443657,47 | 11 | 25,64 |
| groenvoorziening | 12802 | 3 | 09:02, 20 mrt 2020 | groenvoorz | groenvoorziening | Polygoon | 246697,32 | 443353,25 | 15 | 40,77 |
| groenvoorziening | 12803 | 3 | 09:02, 20 mrt 2020 | groenvoorz | groenvoorziening | Polygoon | 246694,15 | 443578,25 | 8 | 142,91 |
| groenvoorziening | 12826 | 3 | 09:02, 20 mrt 2020 | groenvoorz | groenvoorziening | Polygoon | 247272,94 | 443873,25 | 11 | 54,34 |
| groenvoorziening | 12836 | 3 | 09:02, 20 mrt 2020 | groenvoorz | groenvoorziening | Polygoon | 246727,42 | 443779,83 | 25 | 27,56 |
| groenvoorziening | 12843 | 3 | 09:02, 20 mrt 2020 | groenvoorz | groenvoorziening | Polygoon | 246760,40 | 443298,14 | 4 | 16,71 |
| groenvoorziening | 12850 | 3 | 09:02, 20 mrt 2020 | groenvoorz | groenvoorziening | Polygoon | 247107,57 | 443735,40 | 5 | 18,58 |
| groenvoorziening | 12859 | 3 | 09:02, 20 mrt 2020 | groenvoorz | groenvoorziening | Polygoon | 246866,65 | 443706,33 | 50 | 118,35 |
| groenvoorziening | 12873 | 3 | 09:02, 20 mrt 2020 | groenvoorz | groenvoorziening | Polygoon | 246707,05 | 443553,94 | 29 | 157,09 |
| groenvoorziening | 12877 | 3 | 09:02, 20 mrt 2020 | groenvoorz | groenvoorziening | Polygoon | 246762,45 | 443447,78 | 4 | 20,40 |
| groenvoorziening | 12878 | 3 | 09:02, 20 mrt 2020 | groenvoorz | groenvoorziening | Polygoon | 246802,33 | 443640,92 | 22 | 15,97 |
| groenvoorziening | 12879 | 3 | 09:02, 20 mrt 2020 | groenvoorz | groenvoorziening | Polygoon | 246746,55 | 443411,08 | 8 | 26,18 |
| groenvoorziening | 12881 | 3 | 09:02, 20 mrt 2020 | groenvoorz | groenvoorziening | Polygoon | 247114,01 | 443887,96 | 5 | 27,20 |
| groenvoorziening | 12890 | 3 | 09:02, 20 mrt 2020 | groenvoorz | groenvoorziening | Polygoon | 247221,98 | 443627,42 | 71 | 20,42 |
| groenvoorziening | 12892 | 3 | 09:02, 20 mrt 2020 | groenvoorz | groenvoorziening | Polygoon | 247047,22 | 443617,92 | 40 | 16,42 |
| groenvoorziening | 12894 | 3 | 09:02, 20 mrt 2020 | groenvoorz | groenvoorziening | Polygoon | 247206,37 | 443329,74 | 4 | 10,89 |
| groenvoorziening | 12897 | 3 | 09:02, 20 mrt 2020 | groenvoorz | groenvoorziening | Polygoon | 247091,09 | 443628,94 | 27 | 60,05 |
| groenvoorziening | 12907 | 3 | 09:02, 20 mrt 2020 | groenvoorz | groenvoorziening | Polygoon | 247217,16 | 443578,65 | 10 | 25,91 |

Model: Jager
Jager - Jager
Groep: (hoofdgroep)
Lijst van Bodemgebieden, voor rekenmethode Wegverkeerslawaai - RMW-2012

| Groep | Oppervlak | Min.lengte | Max.lengte | Bf |
|---|---|---|---|---|
| groenvoorziening | 117,12 | 0,03 | 61,65 | 0,80 |
| groenvoorziening | 26,20 | 0,02 | 7,47 | 0,80 |
| groenvoorziening | 1506,64 | 0,16 | 22,54 | 0,80 |
| groenvoorziening | 156,64 | 0,08 | 59,02 | 0,80 |
| groenvoorziening | 15,11 | 0,13 | 1,66 | 0,80 |
| groenvoorziening | 38,31 | 0,18 | 35,22 | 0,80 |
| groenvoorziening | 4,99 | 1,20 | 4,16 | 0,80 |
| groenvoorziening | 20,03 | 0,04 | 4,01 | 0,80 |
| groenvoorziening | 61,51 | 0,23 | 17,00 | 0,80 |
| groenvoorziening | 1,94 | 0,30 | 6,60 | 0,80 |
| groenvoorziening | 1,60 | 0,30 | 5,40 | 0,80 |
| groenvoorziening | 27,78 | 0,58 | 10,64 | 0,80 |
| groenvoorziening | 221,06 | 0,45 | 28,12 | 0,80 |
| groenvoorziening | 14,94 | 0,65 | 8,47 | 0,80 |
| groenvoorziening | 279,89 | 0,75 | 24,75 | 0,80 |
| groenvoorziening | 196,92 | 0,02 | 55,96 | 0,80 |
| groenvoorziening | 14,94 | 0,61 | 4,51 | 0,80 |
| groenvoorziening | 18,09 | 0,33 | 3,43 | 0,80 |
| groenvoorziening | 30,27 | 1,21 | 6,27 | 0,80 |
| groenvoorziening | 35,95 | 0,96 | 8,01 | 0,80 |
| groenvoorziening | 49,52 | 0,70 | 44,18 | 0,80 |
| groenvoorziening | 51,60 | 0,12 | 17,96 | 0,80 |
| groenvoorziening | 35,45 | 0,27 | 8,12 | 0,80 |
| groenvoorziening | 14,90 | 2,58 | 5,78 | 0,80 |
| groenvoorziening | 20,87 | 0,30 | 5,49 | 0,80 |
| groenvoorziening | 623,47 | 0,12 | 24,92 | 0,80 |
| groenvoorziening | 149,17 | 0,35 | 44,25 | 0,80 |
| groenvoorziening | 6,47 | 0,67 | 9,52 | 0,80 |
| groenvoorziening | 15,19 | 0,34 | 4,78 | 0,80 |
| groenvoorziening | 44,02 | 1,85 | 5,60 | 0,80 |
| groenvoorziening | 33,63 | 0,74 | 9,99 | 0,80 |
| groenvoorziening | 20,43 | 0,03 | 6,37 | 0,80 |
| groenvoorziening | 9,39 | 0,06 | 7,52 | 0,80 |
| groenvoorziening | 6,18 | 2,06 | 3,97 | 0,80 |
| groenvoorziening | 55,12 | 0,04 | 24,15 | 0,80 |
| groenvoorziening | 30,85 | 0,26 | 11,02 | 0,80 |

# Invoergegevens van het model

Model: Jager
Jager - Jager
Groep: (hoofdgroep)
Lijst van Bodemgebieden, voor rekenmethode Wegverkeerslawaai - RMW-2012

| Groep | ItemID | Grp.ID | Datum | Naam | Omschr. | Vorm | X-1 | Y-1 | Vormpunten | Omtrek |
|---|---|---|---|---|---|---|---|---|---|---|
| groenvoorziening | 12917 | 3 | 09:02, 20 mrt 2020 | groenvoorz | groenvoorziening | Polygoon | 246828,31 | 443358,56 | 26 | 14,82 |
| groenvoorziening | 12928 | 3 | 09:02, 20 mrt 2020 | groenvoorz | groenvoorziening | Polygoon | 246690,44 | 443612,32 | 61 | 127,36 |
| groenvoorziening | 12932 | 3 | 09:02, 20 mrt 2020 | groenvoorz | groenvoorziening | Polygoon | 246758,59 | 443756,07 | 28 | 205,08 |
| groenvoorziening | 12934 | 3 | 09:02, 20 mrt 2020 | groenvoorz | groenvoorziening | Polygoon | 247154,90 | 443691,96 | 21 | 29,32 |
| groenvoorziening | 12935 | 3 | 09:02, 20 mrt 2020 | groenvoorz | groenvoorziening | Polygoon | 247091,09 | 443628,94 | 28 | 60,05 |
| groenvoorziening | 12950 | 3 | 09:02, 20 mrt 2020 | groenvoorz | groenvoorziening | Polygoon | 247037,37 | 443494,23 | 4 | 22,51 |
| groenvoorziening | 12951 | 3 | 09:02, 20 mrt 2020 | groenvoorz | groenvoorziening | Polygoon | 246706,78 | 443296,93 | 86 | 14,93 |
| groenvoorziening | 12958 | 3 | 09:02, 20 mrt 2020 | groenvoorz | groenvoorziening | Polygoon | 246654,53 | 443586,68 | 8 | 18,42 |
| groenvoorziening | 12981 | 3 | 09:02, 20 mrt 2020 | groenvoorz | groenvoorziening | Polygoon | 247141,65 | 443575,52 | 4 | 17,27 |
| groenvoorziening | 12994 | 3 | 09:02, 20 mrt 2020 | groenvoorz | groenvoorziening | Polygoon | 246809,66 | 443777,33 | 18 | 15,54 |
| groenvoorziening | 13002 | 3 | 09:02, 20 mrt 2020 | groenvoorz | groenvoorziening | Polygoon | 246696,63 | 443558,35 | 6 | 23,40 |
| groenvoorziening | 13018 | 3 | 09:02, 20 mrt 2020 | groenvoorz | groenvoorziening | Polygoon | 247082,00 | 443570,99 | 52 | 21,96 |
| groenvoorziening | 13022 | 3 | 09:02, 20 mrt 2020 | groenvoorz | groenvoorziening | Polygoon | 247078,40 | 443417,68 | 22 | 15,79 |
| groenvoorziening | 13030 | 3 | 09:02, 20 mrt 2020 | groenvoorz | groenvoorziening | Polygoon | 247178,38 | 443581,38 | 4 | 15,78 |
| groenvoorziening | 13048 | 3 | 09:02, 20 mrt 2020 | groenvoorz | groenvoorziening | Polygoon | 246654,53 | 443586,68 | 5 | 12,30 |
| groenvoorziening | 13050 | 3 | 09:02, 20 mrt 2020 | groenvoorz | groenvoorziening | Polygoon | 246762,10 | 443437,96 | 17 | 31,35 |
| groenvoorziening | 13055 | 3 | 09:02, 20 mrt 2020 | groenvoorz | groenvoorziening | Polygoon | 247369,69 | 443835,70 | 22 | 22,54 |
| groenvoorziening | 13056 | 3 | 09:02, 20 mrt 2020 | groenvoorz | groenvoorziening | Polygoon | 247287,79 | 443910,27 | 51 | 73,11 |
| groenvoorziening | 13058 | 3 | 09:02, 20 mrt 2020 | groenvoorz | groenvoorziening | Polygoon | 246971,47 | 443836,99 | 6 | 20,93 |
| groenvoorziening | 13059 | 3 | 09:02, 20 mrt 2020 | groenvoorz | groenvoorziening | Polygoon | 247344,98 | 443918,87 | 54 | 29,39 |
| groenvoorziening | 13069 | 3 | 09:02, 20 mrt 2020 | groenvoorz | groenvoorziening | Polygoon | 246835,58 | 443369,82 | 11 | 43,65 |
| groenvoorziening | 13071 | 3 | 09:02, 20 mrt 2020 | groenvoorz | groenvoorziening | Polygoon | 247319,85 | 443539,56 | 12 | 15,91 |
| groenvoorziening | 13077 | 3 | 09:02, 20 mrt 2020 | groenvoorz | groenvoorziening | Polygoon | 247333,95 | 443851,30 | 31 | 55,77 |
| groenvoorziening | 13080 | 3 | 09:02, 20 mrt 2020 | groenvoorz | groenvoorziening | Polygoon | 247033,10 | 443567,01 | 4 | 63,61 |
| groenvoorziening | 13082 | 3 | 09:02, 20 mrt 2020 | groenvoorz | groenvoorziening | Polygoon | 247151,22 | 443587,53 | 4 | 18,53 |
| groenvoorziening | 13089 | 3 | 09:02, 20 mrt 2020 | groenvoorz | groenvoorziening | Polygoon | 247162,45 | 443296,96 | 9 | 58,48 |
| groenvoorziening | 13105 | 3 | 09:02, 20 mrt 2020 | groenvoorz | groenvoorziening | Polygoon | 247106,70 | 443575,70 | 4 | 17,29 |
| groenvoorziening | 13117 | 3 | 09:02, 20 mrt 2020 | groenvoorz | groenvoorziening | Polygoon | 246796,94 | 443776,73 | 27 | 15,80 |
| groenvoorziening | 13122 | 3 | 09:02, 20 mrt 2020 | groenvoorz | groenvoorziening | Polygoon | 246873,25 | 443592,41 | 4 | 11,67 |
| groenvoorziening | 13139 | 3 | 09:02, 20 mrt 2020 | groenvoorz | groenvoorziening | Polygoon | 247225,23 | 443949,99 | 29 | 19,19 |
| groenvoorziening | 13143 | 3 | 09:02, 20 mrt 2020 | groenvoorz | groenvoorziening | Polygoon | 247174,39 | 443654,86 | 6 | 20,69 |
| groenvoorziening | 13144 | 3 | 09:02, 20 mrt 2020 | groenvoorz | groenvoorziening | Polygoon | 247142,82 | 443691,44 | 41 | 18,55 |
| groenvoorziening | 13147 | 3 | 09:02, 20 mrt 2020 | groenvoorz | groenvoorziening | Polygoon | 247344,65 | 443943,87 | 25 | 15,02 |
| groenvoorziening | 13165 | 3 | 09:02, 20 mrt 2020 | groenvoorz | groenvoorziening | Polygoon | 247281,18 | 443908,97 | 90 | 10,87 |
| groenvoorziening | 13171 | 3 | 09:02, 20 mrt 2020 | groenvoorz | groenvoorziening | Polygoon | 247202,58 | 443648,83 | 10 | 28,66 |
| groenvoorziening | 13177 | 3 | 09:02, 20 mrt 2020 | groenvoorz | groenvoorziening | Polygoon | 246793,82 | 443599,57 | 60 | 169,20 |

Model: Jager
Jager - Jager
Groep: (hoofdgroep)
Lijst van Bodemgebieden, voor rekenmethode Wegverkeerslawaai - RMW-2012

| Groep | Oppervlak | Min.lengte | Max.lengte | Bf |
|---|---|---|---|---|
| groenvoorziening | 9,52 | 0,05 | 6,02 | 0,80 |
| groenvoorziening | 717,14 | 0,25 | 42,69 | 0,80 |
| groenvoorziening | 1336,81 | 0,94 | 73,88 | 0,80 |
| groenvoorziening | 39,23 | 0,12 | 6,76 | 0,80 |
| groenvoorziening | 55,12 | 0,04 | 23,85 | 0,80 |
| groenvoorziening | 20,76 | 2,32 | 9,05 | 0,80 |
| groenvoorziening | 13,04 | 0,03 | 4,41 | 0,80 |
| groenvoorziening | 3,53 | 0,40 | 5,02 | 0,80 |
| groenvoorziening | 10,26 | 1,42 | 7,21 | 0,80 |
| groenvoorziening | 14,67 | 0,08 | 4,48 | 0,80 |
| groenvoorziening | 12,46 | 0,57 | 9,25 | 0,80 |
| groenvoorziening | 31,97 | 0,04 | 4,63 | 0,80 |
| groenvoorziening | 14,30 | 0,37 | 5,41 | 0,80 |
| groenvoorziening | 11,32 | 1,89 | 6,00 | 0,80 |
| groenvoorziening | 8,23 | 1,40 | 4,23 | 0,80 |
| groenvoorziening | 24,10 | 0,50 | 5,03 | 0,80 |
| groenvoorziening | 15,83 | 0,07 | 10,39 | 0,80 |
| groenvoorziening | 320,30 | 0,25 | 10,66 | 0,80 |
| groenvoorziening | 15,26 | 0,52 | 7,57 | 0,80 |
| groenvoorziening | 46,45 | 0,06 | 4,43 | 0,80 |
| groenvoorziening | 115,10 | 0,93 | 14,70 | 0,80 |
| groenvoorziening | 10,60 | 0,21 | 6,41 | 0,80 |
| groenvoorziening | 88,39 | 0,03 | 23,57 | 0,80 |
| groenvoorziening | 65,98 | 2,20 | 29,63 | 0,80 |
| groenvoorziening | 13,58 | 1,82 | 7,44 | 0,80 |
| groenvoorziening | 31,62 | 1,11 | 13,93 | 0,80 |
| groenvoorziening | 10,01 | 1,38 | 7,27 | 0,80 |
| groenvoorziening | 15,29 | 0,06 | 4,52 | 0,80 |
| groenvoorziening | 8,26 | 2,38 | 3,43 | 0,80 |
| groenvoorziening | 13,06 | 0,07 | 8,27 | 0,80 |
| groenvoorziening | 20,18 | 0,62 | 7,67 | 0,80 |
| groenvoorziening | 16,35 | 0,04 | 6,73 | 0,80 |
| groenvoorziening | 12,98 | 0,13 | 5,32 | 0,80 |
| groenvoorziening | 9,41 | 0,12 | 0,12 | 0,80 |
| groenvoorziening | 36,94 | 0,75 | 8,99 | 0,80 |
| groenvoorziening | 171,83 | 0,08 | 59,02 | 0,80 |

Model: Jager
Jager - Jager
Groep: (hoofdgroep)
Lijst van Bodemgebieden, voor rekenmethode Wegverkeerslawaai - RMW-2012

| Groep | ItemID | Grp.ID | Datum | Naam | Omschr. | Vorm | X-1 | Y-1 | Vormpunten | Omtrek |
|---|---|---|---|---|---|---|---|---|---|---|
| groenvoorziening | 13183 | 3 | 09:02, 20 mrt 2020 | groenvoorz | groenvoorziening | Polygoon | 246795,84 | 443570,47 | 17 | 25,26 |
| groenvoorziening | 13188 | 3 | 09:02, 20 mrt 2020 | groenvoorz | groenvoorziening | Polygoon | 246788,44 | 443594,95 | 24 | 19,10 |
| groenvoorziening | 13194 | 3 | 09:02, 20 mrt 2020 | groenvoorz | groenvoorziening | Polygoon | 247056,06 | 443702,95 | 4 | 3,90 |
| groenvoorziening | 13200 | 3 | 09:02, 20 mrt 2020 | groenvoorz | groenvoorziening | Polygoon | 247173,05 | 443588,48 | 4 | 10,39 |
| groenvoorziening | 13203 | 3 | 09:02, 20 mrt 2020 | groenvoorz | groenvoorziening | Polygoon | 247101,83 | 443670,26 | 6 | 18,43 |
| groenvoorziening | 13205 | 3 | 09:02, 20 mrt 2020 | groenvoorz | groenvoorziening | Polygoon | 246702,44 | 443318,24 | 105 | 15,36 |
| groenvoorziening | 13207 | 3 | 09:02, 20 mrt 2020 | groenvoorz | groenvoorziening | Polygoon | 246786,18 | 443380,75 | 74 | 97,35 |
| groenvoorziening | 13209 | 3 | 09:02, 20 mrt 2020 | groenvoorz | groenvoorziening | Polygoon | 247043,67 | 443673,87 | 32 | 15,99 |
| groenvoorziening | 13217 | 3 | 09:02, 20 mrt 2020 | groenvoorz | groenvoorziening | Polygoon | 246782,81 | 443595,49 | 189 | 398,12 |
| groenvoorziening | 13224 | 3 | 09:02, 20 mrt 2020 | groenvoorz | groenvoorziening | Polygoon | 246947,12 | 443930,48 | 19 | 29,08 |
| groenvoorziening | 13228 | 3 | 09:02, 20 mrt 2020 | groenvoorz | groenvoorziening | Polygoon | 246878,06 | 443962,30 | 25 | 55,12 |
| groenvoorziening | 13229 | 3 | 09:02, 20 mrt 2020 | groenvoorz | groenvoorziening | Polygoon | 247096,51 | 443956,37 | 6 | 60,08 |
| groenvoorziening | 13230 | 3 | 09:02, 20 mrt 2020 | groenvoorz | groenvoorziening | Polygoon | 247157,12 | 443922,69 | 23 | 32,26 |
| groenvoorziening | 13244 | 3 | 09:02, 20 mrt 2020 | groenvoorz | groenvoorziening | Polygoon | 247062,73 | 443751,08 | 25 | 35,13 |
| groenvoorziening | 13246 | 3 | 09:02, 20 mrt 2020 | groenvoorz | groenvoorziening | Polygoon | 246715,62 | 443616,86 | 110 | 236,34 |
| groenvoorziening | 13250 | 3 | 09:02, 20 mrt 2020 | groenvoorz | groenvoorziening | Polygoon | 247039,74 | 443522,24 | 28 | 18,25 |
| groenvoorziening | 13253 | 3 | 09:02, 20 mrt 2020 | groenvoorz | groenvoorziening | Polygoon | 247286,08 | 443877,31 | 44 | 79,86 |
| groenvoorziening | 13257 | 3 | 09:02, 20 mrt 2020 | groenvoorz | groenvoorziening | Polygoon | 246714,25 | 443685,76 | 124 | 174,79 |
| groenvoorziening | 13261 | 3 | 09:02, 20 mrt 2020 | groenvoorz | groenvoorziening | Polygoon | 246789,86 | 443779,64 | 4 | 22,56 |
| groenvoorziening | 13287 | 3 | 09:02, 20 mrt 2020 | groenvoorz | groenvoorziening | Polygoon | 246872,33 | 443754,12 | 70 | 220,82 |
| groenvoorziening | 13292 | 3 | 09:02, 20 mrt 2020 | groenvoorz | groenvoorziening | Polygoon | 247037,88 | 443760,45 | 5 | 13,95 |
| groenvoorziening | 13295 | 3 | 09:02, 20 mrt 2020 | groenvoorz | groenvoorziening | Polygoon | 246676,89 | 443573,86 | 5 | 20,93 |
| groenvoorziening | 13299 | 3 | 09:02, 20 mrt 2020 | groenvoorz | groenvoorziening | Polygoon | 247140,41 | 443673,36 | 62 | 25,05 |
| groenvoorziening | 13305 | 3 | 09:02, 20 mrt 2020 | groenvoorz | groenvoorziening | Polygoon | 247141,90 | 443663,29 | 9 | 23,79 |
| groenvoorziening | 13318 | 3 | 09:02, 20 mrt 2020 | groenvoorz | groenvoorziening | Polygoon | 246737,60 | 443921,01 | 140 | 80,35 |
| groenvoorziening | 13322 | 3 | 09:02, 20 mrt 2020 | groenvoorz | groenvoorziening | Polygoon | 246704,55 | 443790,26 | 113 | 273,13 |
| groenvoorziening | 13328 | 3 | 09:02, 20 mrt 2020 | groenvoorz | groenvoorziening | Polygoon | 247085,44 | 443352,96 | 92 | 30,69 |
| groenvoorziening | 13330 | 3 | 09:02, 20 mrt 2020 | groenvoorz | groenvoorziening | Polygoon | 246707,42 | 443553,80 | 11 | 26,38 |
| groenvoorziening | 13353 | 3 | 09:02, 20 mrt 2020 | groenvoorz | groenvoorziening | Polygoon | 247048,72 | 443720,48 | 12 | 23,86 |
| groenvoorziening | 13358 | 3 | 09:02, 20 mrt 2020 | groenvoorz | groenvoorziening | Polygoon | 246785,62 | 443565,33 | 69 | 116,58 |
| groenvoorziening | 13367 | 3 | 09:02, 20 mrt 2020 | groenvoorz | groenvoorziening | Polygoon | 246716,76 | 443278,43 | 96 | 25,13 |
| groenvoorziening | 13372 | 3 | 09:02, 20 mrt 2020 | groenvoorz | groenvoorziening | Polygoon | 247358,36 | 443896,13 | 38 | 27,52 |
| groenvoorziening | 13373 | 3 | 09:02, 20 mrt 2020 | groenvoorz | groenvoorziening | Polygoon | 247116,28 | 443576,65 | 4 | 17,20 |
| groenvoorziening | 13379 | 3 | 09:02, 20 mrt 2020 | groenvoorz | groenvoorziening | Polygoon | 247346,01 | 443544,07 | 26 | 16,92 |
| groenvoorziening | 13380 | 3 | 09:02, 20 mrt 2020 | groenvoorz | groenvoorziening | Polygoon | 247339,36 | 443542,78 | 31 | 42,03 |
| struiken | 9903 | 9 | 09:02, 20 mrt 2020 | struiken | struiken | Polygoon | 247296,36 | 443761,04 | 4 | 34,99 |

Model: Jager
Jager - Jager
Groep: (hoofdgroep)
Lijst van Bodemgebieden, voor rekenmethode Wegverkeerslawaai - RMW-2012

| Groep | Oppervlak | Min.lengte | Max.lengte | Bf |
|---|---|---|---|---|
| groenvoorziening | 37,24 | 0,14 | 8,73 | 0,80 |
| groenvoorziening | 22,97 | 0,29 | 4,85 | 0,80 |
| groenvoorziening | 0,50 | 0,30 | 1,65 | 0,80 |
| groenvoorziening | 6,17 | 1,84 | 3,36 | 0,80 |
| groenvoorziening | 12,92 | 0,75 | 7,37 | 0,80 |
| groenvoorziening | 13,80 | 0,03 | 4,59 | 0,80 |
| groenvoorziening | 109,48 | 0,02 | 19,15 | 0,80 |
| groenvoorziening | 11,45 | 0,06 | 6,37 | 0,80 |
| groenvoorziening | 3931,88 | 0,23 | 15,11 | 0,80 |
| groenvoorziening | 19,84 | 0,06 | 13,35 | 0,80 |
| groenvoorziening | 66,36 | 0,36 | 17,66 | 0,80 |
| groenvoorziening | 109,58 | 4,11 | 25,80 | 0,80 |
| groenvoorziening | 39,32 | 0,24 | 9,45 | 0,80 |
| groenvoorziening | 55,22 | 0,09 | 14,69 | 0,80 |
| groenvoorziening | 1438,35 | 0,02 | 44,18 | 0,80 |
| groenvoorziening | 13,88 | 0,06 | 7,52 | 0,80 |
| groenvoorziening | 46,35 | 0,15 | 22,92 | 0,80 |
| groenvoorziening | 1812,70 | 0,15 | 17,32 | 0,80 |
| groenvoorziening | 17,50 | 1,81 | 9,42 | 0,80 |
| groenvoorziening | 245,89 | 0,51 | 20,02 | 0,80 |
| groenvoorziening | 11,70 | 1,00 | 3,85 | 0,80 |
| groenvoorziening | 15,32 | 1,70 | 8,67 | 0,80 |
| groenvoorziening | 34,24 | 0,03 | 3,86 | 0,80 |
| groenvoorziening | 29,45 | 0,37 | 5,31 | 0,80 |
| groenvoorziening | 137,57 | 0,03 | 18,76 | 0,80 |
| groenvoorziening | 1704,97 | 0,13 | 21,73 | 0,80 |
| groenvoorziening | 57,45 | 0,13 | 8,07 | 0,80 |
| groenvoorziening | 5,23 | 0,35 | 9,16 | 0,80 |
| groenvoorziening | 13,70 | 0,84 | 5,73 | 0,80 |
| groenvoorziening | 168,50 | 0,07 | 12,86 | 0,80 |
| groenvoorziening | 22,86 | 0,03 | 9,58 | 0,80 |
| groenvoorziening | 30,45 | 0,06 | 12,26 | 0,80 |
| groenvoorziening | 10,16 | 1,41 | 7,18 | 0,80 |
| groenvoorziening | 9,54 | 0,26 | 5,21 | 0,80 |
| groenvoorziening | 91,01 | 0,28 | 12,77 | 0,80 |
| struiken | 35,23 | 1,12 | 15,24 | 0,80 |

Model: Jager
Jager - Jager
Groep: (hoofdgroep)
Lijst van Bodemgebieden, voor rekenmethode Wegverkeerslawaai - RMW-2012

| Groep | ItemID | Grp.ID | Datum | Naam | Omschr. | Vorm | X-1 | Y-1 | Vormpunten | Omtrek |
|---|---|---|---|---|---|---|---|---|---|---|
| struiken | 10008 | 9 | 09:02, 20 mrt 2020 | struiken | struiken | Polygoon | 246942,24 | 443922,25 | 41 | 161,42 |
| struiken | 10017 | 9 | 09:02, 20 mrt 2020 | struiken | struiken | Polygoon | 246919,84 | 443916,64 | 4 | 65,71 |
| struiken | 10099 | 9 | 09:02, 20 mrt 2020 | struiken | struiken | Polygoon | 246726,96 | 443436,36 | 86 | 181,62 |
| struiken | 10182 | 9 | 09:02, 20 mrt 2020 | struiken | struiken | Polygoon | 246966,16 | 443536,09 | 7 | 25,75 |
| struiken | 10209 | 9 | 09:02, 20 mrt 2020 | struiken | struiken | Polygoon | 247261,22 | 443817,08 | 33 | 104,96 |
| struiken | 10330 | 9 | 09:02, 20 mrt 2020 | struiken | struiken | Polygoon | 246955,35 | 443566,17 | 11 | 39,94 |
| struiken | 10353 | 9 | 09:02, 20 mrt 2020 | struiken | struiken | Polygoon | 247286,82 | 443805,32 | 36 | 104,96 |
| struiken | 10452 | 9 | 09:02, 20 mrt 2020 | struiken | struiken | Polygoon | 246956,99 | 443557,70 | 15 | 26,71 |
| struiken | 10457 | 9 | 09:02, 20 mrt 2020 | struiken | struiken | Polygoon | 246725,45 | 443412,60 | 33 | 37,64 |
| struiken | 10731 | 9 | 09:02, 20 mrt 2020 | struiken | struiken | Polygoon | 246939,08 | 443551,83 | 6 | 9,10 |
| struiken | 10752 | 9 | 09:02, 20 mrt 2020 | struiken | struiken | Polygoon | 247323,95 | 443827,69 | 4 | 40,08 |
| struiken | 10776 | 9 | 09:02, 20 mrt 2020 | struiken | struiken | Polygoon | 246929,80 | 443555,68 | 8 | 9,27 |
| struiken | 10908 | 9 | 09:02, 20 mrt 2020 | struiken | struiken | Polygoon | 247319,32 | 443853,35 | 61 | 31,64 |
| struiken | 10999 | 9 | 09:02, 20 mrt 2020 | struiken | struiken | Polygoon | 246866,68 | 443473,34 | 16 | 52,18 |
| struiken | 11052 | 9 | 09:02, 20 mrt 2020 | struiken | struiken | Polygoon | 247345,71 | 443888,48 | 17 | 28,79 |
| struiken | 11210 | 9 | 09:02, 20 mrt 2020 | struiken | struiken | Polygoon | 246919,84 | 443916,64 | 8 | 70,79 |
| struiken | 11314 | 9 | 09:02, 20 mrt 2020 | struiken | struiken | Polygoon | 246929,55 | 443930,24 | 34 | 120,91 |
| struiken | 11372 | 9 | 09:02, 20 mrt 2020 | struiken | struiken | Polygoon | 247347,50 | 443878,78 | 4 | 89,50 |
| struiken | 11961 | 9 | 09:02, 20 mrt 2020 | struiken | struiken | Polygoon | 246966,48 | 443551,16 | 6 | 49,38 |
| struiken | 12034 | 9 | 09:02, 20 mrt 2020 | struiken | struiken | Polygoon | 247286,82 | 443805,32 | 40 | 111,13 |
| struiken | 12111 | 9 | 09:02, 20 mrt 2020 | struiken | struiken | Polygoon | 246726,35 | 443430,65 | 76 | 106,16 |
| struiken | 12328 | 9 | 09:02, 20 mrt 2020 | struiken | struiken | Polygoon | 246956,14 | 443582,39 | 12 | 39,94 |
| struiken | 12374 | 9 | 09:02, 20 mrt 2020 | struiken | struiken | Polygoon | 246956,14 | 443582,39 | 18 | 39,23 |
| struiken | 12678 | 9 | 09:02, 20 mrt 2020 | struiken | struiken | Polygoon | 246867,40 | 443467,67 | 15 | 52,18 |
| struiken | 12684 | 9 | 09:02, 20 mrt 2020 | struiken | struiken | Polygoon | 247347,50 | 443878,78 | 5 | 89,50 |
| struiken | 12904 | 9 | 09:02, 20 mrt 2020 | struiken | struiken | Polygoon | 246941,16 | 443921,99 | 34 | 120,91 |
| struiken | 13031 | 9 | 09:02, 20 mrt 2020 | struiken | struiken | Polygoon | 246862,23 | 443709,53 | 36 | 24,34 |
| struiken | 13115 | 9 | 09:02, 20 mrt 2020 | struiken | struiken | Polygoon | 247301,96 | 443941,73 | 5 | 8,35 |
| struiken | 13286 | 9 | 09:02, 20 mrt 2020 | struiken | struiken | Polygoon | 246909,65 | 443557,06 | 7 | 9,39 |
| grasland overig | 9891 | 10 | 09:02, 20 mrt 2020 | grasland o | grasland overig | Polygoon | 247342,95 | 443909,84 | 28 | 107,32 |
| grasland overig | 10143 | 10 | 09:02, 20 mrt 2020 | grasland o | grasland overig | Polygoon | 246750,54 | 443590,05 | 97 | 96,68 |
| grasland overig | 10338 | 10 | 09:02, 20 mrt 2020 | grasland o | grasland overig | Polygoon | 246742,94 | 443596,38 | 38 | 43,63 |
| grasland overig | 10532 | 10 | 09:02, 20 mrt 2020 | grasland o | grasland overig | Polygoon | 246732,29 | 443582,26 | 57 | 44,61 |
| grasland overig | 11043 | 10 | 09:02, 20 mrt 2020 | grasland o | grasland overig | Polygoon | 246703,13 | 443977,86 | 225 | 380,09 |
| grasland overig | 11146 | 10 | 09:02, 20 mrt 2020 | grasland o | grasland overig | Polygoon | 247344,33 | 443911,24 | 13 | 69,48 |
| grasland overig | 11211 | 10 | 09:02, 20 mrt 2020 | grasland o | grasland overig | Polygoon | 246701,74 | 443955,88 | 167 | 338,18 |

Model: Jager
Jager - Jager
Groep: (hoofdgroep)
Lijst van Bodemgebieden, voor rekenmethode Wegverkeerslawaai - RMW-2012

| Groep | Oppervlak | Min.lengte | Max.lengte | Bf |
|---|---|---|---|---|
| struiken | 199,76 | 0,15 | 18,16 | 0,80 |
| struiken | 122,60 | 4,28 | 29,33 | 0,80 |
| struiken | 262,33 | 0,02 | 28,21 | 0,80 |
| struiken | 40,36 | 0,81 | 7,90 | 0,80 |
| struiken | 179,21 | 0,28 | 32,04 | 0,80 |
| struiken | 26,16 | 0,12 | 16,03 | 0,80 |
| struiken | 179,21 | 0,28 | 27,66 | 0,80 |
| struiken | 22,49 | 0,24 | 8,79 | 0,80 |
| struiken | 57,53 | 0,03 | 14,93 | 0,80 |
| struiken | 4,79 | 0,41 | 3,11 | 0,80 |
| struiken | 40,98 | 2,28 | 17,76 | 0,80 |
| struiken | 4,93 | 0,31 | 3,16 | 0,80 |
| struiken | 49,79 | 0,03 | 10,60 | 0,80 |
| struiken | 148,98 | 0,12 | 10,33 | 0,80 |
| struiken | 26,64 | 0,25 | 8,81 | 0,80 |
| struiken | 115,88 | 2,54 | 29,33 | 0,80 |
| struiken | 193,92 | 0,16 | 13,57 | 0,80 |
| struiken | 75,75 | 1,72 | 43,00 | 0,80 |
| struiken | 64,16 | 0,15 | 22,93 | 0,80 |
| struiken | 170,87 | 0,28 | 22,23 | 0,80 |
| struiken | 160,85 | 0,02 | 15,27 | 0,80 |
| struiken | 26,16 | 0,12 | 16,03 | 0,80 |
| struiken | 26,06 | 0,12 | 16,03 | 0,80 |
| struiken | 148,98 | 0,12 | 10,33 | 0,80 |
| struiken | 75,76 | 1,72 | 43,00 | 0,80 |
| struiken | 193,92 | 0,16 | 13,57 | 0,80 |
| struiken | 32,60 | 0,43 | 3,92 | 0,80 |
| struiken | 4,25 | 0,70 | 2,70 | 0,80 |
| struiken | 4,79 | 0,04 | 3,29 | 0,80 |
| grasland overig | 280,58 | 0,52 | 17,75 | 0,80 |
| grasland overig | 288,99 | 0,05 | 14,70 | 0,80 |
| grasland overig | 102,72 | 0,18 | 5,90 | 0,80 |
| grasland overig | 110,59 | 0,23 | 5,90 | 0,80 |
| grasland overig | 1360,02 | 0,03 | 50,62 | 0,80 |
| grasland overig | 177,22 | 0,48 | 16,99 | 0,80 |
| grasland overig | 1266,02 | 0,10 | 58,43 | 0,80 |

# Invoergegevens van het model

Model: Jager
Jager - Jager
Groep: (hoofdgroep)
Lijst van Bodemgebieden, voor rekenmethode Wegverkeerslawaai - RMW-2012

| Groep | ItemID | Grp.ID | Datum | Naam | Omschr. | Vorm | X-1 | Y-1 | Vormpunten | Omtrek |
|---|---|---|---|---|---|---|---|---|---|---|
| grasland overig | 11265 | 10 | 09:02, 20 mrt 2020 | grasland o | grasland overig | Polygoon | 246781,03 | 443989,63 | 50 | 114,09 |
| grasland overig | 11434 | 10 | 09:02, 20 mrt 2020 | grasland o | grasland overig | Polygoon | 247268,83 | 443879,30 | 67 | 229,14 |
| grasland overig | 11466 | 10 | 09:02, 20 mrt 2020 | grasland o | grasland overig | Polygoon | 247291,33 | 443500,24 | 299 | 649,98 |
| grasland overig | 11475 | 10 | 09:02, 20 mrt 2020 | grasland o | grasland overig | Polygoon | 247347,50 | 443878,78 | 28 | 144,83 |
| grasland overig | 11588 | 10 | 09:02, 20 mrt 2020 | grasland o | grasland overig | Polygoon | 247346,60 | 443879,71 | 26 | 115,85 |
| grasland overig | 11900 | 10 | 09:02, 20 mrt 2020 | grasland o | grasland overig | Polygoon | 246727,42 | 443570,66 | 60 | 114,06 |
| grasland overig | 11943 | 10 | 09:02, 20 mrt 2020 | grasland o | grasland overig | Polygoon | 247271,16 | 443905,58 | 22 | 24,94 |
| grasland overig | 11984 | 10 | 09:02, 20 mrt 2020 | grasland o | grasland overig | Polygoon | 246727,98 | 443572,56 | 54 | 92,20 |
| grasland overig | 12187 | 10 | 09:02, 20 mrt 2020 | grasland o | grasland overig | Polygoon | 247237,19 | 443570,39 | 14 | 159,94 |
| grasland overig | 12211 | 10 | 09:02, 20 mrt 2020 | grasland o | grasland overig | Polygoon | 247283,76 | 443873,75 | 47 | 96,34 |
| grasland overig | 12349 | 10 | 09:02, 20 mrt 2020 | grasland o | grasland overig | Polygoon | 246750,54 | 443590,05 | 91 | 97,06 |
| grasland overig | 12376 | 10 | 09:02, 20 mrt 2020 | grasland o | grasland overig | Polygoon | 246742,94 | 443596,38 | 40 | 44,02 |
| grasland overig | 12502 | 10 | 09:02, 20 mrt 2020 | grasland o | grasland overig | Polygoon | 246770,95 | 443956,91 | 48 | 114,09 |
| grasland overig | 12719 | 10 | 09:02, 20 mrt 2020 | grasland o | grasland overig | Polygoon | 247291,33 | 443500,24 | 285 | 648,81 |
| zand | 14508 | 18 | 09:02, 20 mrt 2020 | zand | | Polygoon | 246862,73 | 443831,09 | 21 | 278,98 |
| zand | 14890 | 18 | 09:02, 20 mrt 2020 | zand | | Polygoon | 247275,22 | 443917,02 | 228 | 25,16 |
| zand | 15494 | 18 | 09:02, 20 mrt 2020 | zand | | Polygoon | 246755,51 | 443808,98 | 12 | 278,98 |
| erf | 13399 | 17 | 09:02, 20 mrt 2020 | erf | | Polygoon | 247029,23 | 443681,40 | 469 | 2310,74 |
| erf | 13403 | 17 | 09:02, 20 mrt 2020 | erf | | Polygoon | 247057,51 | 443988,07 | 47 | 257,61 |
| erf | 13410 | 17 | 09:02, 20 mrt 2020 | erf | | Polygoon | 246852,98 | 443568,47 | 231 | 1347,34 |
| erf | 13411 | 17 | 09:02, 20 mrt 2020 | erf | | Polygoon | 246807,61 | 443564,51 | 6 | 38,42 |
| erf | 13422 | 17 | 09:02, 20 mrt 2020 | erf | | Polygoon | 246813,06 | 443379,38 | 11 | 126,44 |
| erf | 13425 | 17 | 09:02, 20 mrt 2020 | erf | | Polygoon | 246856,12 | 443383,11 | 347 | 2144,48 |
| erf | 13429 | 17 | 09:02, 20 mrt 2020 | erf | | Polygoon | 246836,37 | 443293,28 | 197 | 738,23 |
| erf | 13430 | 17 | 09:02, 20 mrt 2020 | erf | | Polygoon | 247282,50 | 443774,97 | 336 | 1878,20 |
| erf | 13432 | 17 | 09:02, 20 mrt 2020 | erf | | Polygoon | 247356,67 | 443649,17 | 192 | 929,71 |
| erf | 13446 | 17 | 09:02, 20 mrt 2020 | erf | | Polygoon | 247106,99 | 443595,05 | 235 | 1033,66 |
| erf | 13448 | 17 | 09:02, 20 mrt 2020 | erf | | Polygoon | 246670,66 | 443867,11 | 6 | 44,88 |
| erf | 13449 | 17 | 09:02, 20 mrt 2020 | erf | | Polygoon | 246810,93 | 443410,01 | 8 | 105,60 |
| erf | 13459 | 17 | 09:02, 20 mrt 2020 | erf | | Polygoon | 246619,89 | 443511,18 | 38 | 185,10 |
| erf | 13463 | 17 | 09:02, 20 mrt 2020 | erf | | Polygoon | 247028,07 | 443549,63 | 617 | 3275,41 |
| erf | 13464 | 17 | 09:02, 20 mrt 2020 | erf | | Polygoon | 247170,25 | 443293,27 | 414 | 1841,50 |
| erf | 13466 | 17 | 09:02, 20 mrt 2020 | erf | | Polygoon | 247163,75 | 443251,32 | 715 | 3642,17 |
| erf | 13469 | 17 | 09:02, 20 mrt 2020 | erf | | Polygoon | 247010,50 | 443602,68 | 31 | 120,45 |
| erf | 13477 | 17 | 09:02, 20 mrt 2020 | erf | | Polygoon | 246707,77 | 443365,51 | 86 | 322,72 |
| erf | 13489 | 17 | 09:02, 20 mrt 2020 | erf | | Polygoon | 247352,16 | 443820,30 | 35 | 162,56 |

Model: Jager
Jager - Jager
Groep: (hoofdgroep)
Lijst van Bodemgebieden, voor rekenmethode Wegverkeerslawaai - RMW-2012

| Groep | Oppervlak | Min.lengte | Max.lengte | Bf |
|---|---|---|---|---|
| grasland overig | 671,56 | 0,09 | 37,04 | 0,80 |
| grasland overig | 215,06 | 0,11 | 20,26 | 0,80 |
| grasland overig | 1946,89 | 0,08 | 27,41 | 0,80 |
| grasland overig | 371,64 | 0,25 | 42,97 | 0,80 |
| grasland overig | 355,10 | 0,25 | 41,21 | 0,80 |
| grasland overig | 372,50 | 0,14 | 12,63 | 0,80 |
| grasland overig | 31,50 | 0,34 | 7,31 | 0,80 |
| grasland overig | 304,55 | 0,14 | 14,70 | 0,80 |
| grasland overig | 1470,31 | 1,24 | 46,66 | 0,80 |
| grasland overig | 98,99 | 0,36 | 20,26 | 0,80 |
| grasland overig | 293,97 | 0,13 | 14,70 | 0,80 |
| grasland overig | 105,80 | 0,29 | 5,90 | 0,80 |
| grasland overig | 671,79 | 0,09 | 37,04 | 0,80 |
| grasland overig | 1955,56 | 0,08 | 27,41 | 0,80 |
| zand | 2308,37 | 0,39 | 58,31 | 0,80 |
| zand | 23,95 | 0,02 | 3,27 | 0,80 |
| zand | 2308,38 | 4,18 | 58,31 | 0,80 |
| erf | 5341,89 | 0,01 | 32,72 | 0,50 |
| erf | 939,96 | 0,12 | 31,64 | 0,50 |
| erf | 3747,95 | 0,15 | 27,85 | 0,50 |
| erf | 91,85 | 0,13 | 10,26 | 0,50 |
| erf | 255,76 | 1,30 | 56,05 | 0,50 |
| erf | 7691,35 | 0,03 | 67,00 | 0,50 |
| erf | 2761,18 | 0,01 | 46,71 | 0,50 |
| erf | 5604,64 | 0,02 | 43,85 | 0,50 |
| erf | 2047,40 | 0,03 | 31,44 | 0,50 |
| erf | 1681,17 | 0,04 | 42,91 | 0,50 |
| erf | 73,80 | 0,87 | 19,57 | 0,50 |
| erf | 150,73 | 2,84 | 31,17 | 0,50 |
| erf | 435,73 | 0,22 | 24,04 | 0,50 |
| erf | 9313,78 | 0,04 | 51,75 | 0,50 |
| erf | 5863,37 | 0,04 | 87,76 | 0,50 |
| erf | 19937,50 | 0,03 | 73,20 | 0,50 |
| erf | 207,05 | 0,31 | 18,69 | 0,50 |
| erf | 553,28 | 0,26 | 50,88 | 0,50 |
| erf | 412,22 | 0,80 | 17,76 | 0,50 |

Model: Jager
Jager - Jager
Groep: (hoofdgroep)
Lijst van Bodemgebieden, voor rekenmethode Wegverkeerslawaai - RMW-2012

| Groep | ItemID | Grp.ID | Datum | Naam | Omschr. | Vorm | X-1 | Y-1 | Vormpunten | Omtrek |
|---|---|---|---|---|---|---|---|---|---|---|
| erf | 13495 | 17 | 09:02, 20 mrt 2020 | erf | | Polygoon | 246945,55 | 443886,60 | 19 | 79,38 |
| erf | 13502 | 17 | 09:02, 20 mrt 2020 | erf | | Polygoon | 246686,30 | 443439,66 | 15 | 54,22 |
| erf | 13503 | 17 | 09:02, 20 mrt 2020 | erf | | Polygoon | 247272,89 | 443861,99 | 19 | 147,58 |
| erf | 13506 | 17 | 09:02, 20 mrt 2020 | erf | | Polygoon | 247170,25 | 443293,27 | 423 | 1860,37 |
| erf | 13510 | 17 | 09:02, 20 mrt 2020 | erf | | Polygoon | 246747,84 | 443392,64 | 9 | 32,94 |
| erf | 13511 | 17 | 09:02, 20 mrt 2020 | erf | | Polygoon | 247281,73 | 443821,82 | 205 | 939,13 |
| erf | 13515 | 17 | 09:02, 20 mrt 2020 | erf | | Polygoon | 247205,03 | 443539,97 | 651 | 2884,12 |
| erf | 13521 | 17 | 09:02, 20 mrt 2020 | erf | | Polygoon | 247281,73 | 443821,82 | 201 | 932,59 |
| erf | 13523 | 17 | 09:02, 20 mrt 2020 | erf | | Polygoon | 246856,12 | 443383,11 | 342 | 2145,04 |
| erf | 13525 | 17 | 09:02, 20 mrt 2020 | erf | | Polygoon | 247106,99 | 443595,05 | 228 | 1002,56 |
| erf | 13536 | 17 | 09:02, 20 mrt 2020 | erf | | Polygoon | 247057,51 | 443988,07 | 48 | 257,61 |
| erf | 13541 | 17 | 09:02, 20 mrt 2020 | erf | | Polygoon | 246739,03 | 443445,13 | 40 | 146,84 |
| erf | 13554 | 17 | 09:02, 20 mrt 2020 | erf | | Polygoon | 246634,54 | 443509,23 | 12 | 84,49 |
| erf | 13559 | 17 | 09:02, 20 mrt 2020 | erf | | Polygoon | 247057,28 | 443620,40 | 143 | 636,79 |
| erf | 13561 | 17 | 09:02, 20 mrt 2020 | erf | | Polygoon | 247281,73 | 443821,82 | 201 | 932,11 |
| erf | 13564 | 17 | 09:02, 20 mrt 2020 | erf | | Polygoon | 247240,75 | 443700,67 | 99 | 652,91 |
| erf | 13574 | 17 | 09:02, 20 mrt 2020 | erf | | Polygoon | 247282,50 | 443774,97 | 349 | 1901,55 |
| erf | 13575 | 17 | 09:02, 20 mrt 2020 | erf | | Polygoon | 247314,40 | 443575,02 | 439 | 2535,07 |
| erf | 13578 | 17 | 09:02, 20 mrt 2020 | erf | | Polygoon | 247265,08 | 443892,34 | 49 | 200,11 |
| erf | 13579 | 17 | 09:02, 20 mrt 2020 | erf | | Polygoon | 247087,35 | 443677,78 | 90 | 373,97 |
| erf | 13580 | 17 | 09:02, 20 mrt 2020 | erf | | Polygoon | 247157,81 | 443960,28 | 29 | 170,81 |
| erf | 13582 | 17 | 09:02, 20 mrt 2020 | erf | | Polygoon | 247289,54 | 443500,67 | 115 | 620,62 |
| erf | 13584 | 17 | 09:02, 20 mrt 2020 | erf | | Polygoon | 247205,03 | 443539,97 | 643 | 2905,71 |
| erf | 13589 | 17 | 09:02, 20 mrt 2020 | erf | | Polygoon | 246709,20 | 443456,24 | 4 | 22,29 |
| erf | 13590 | 17 | 09:02, 20 mrt 2020 | erf | | Polygoon | 247126,68 | 443932,03 | 38 | 162,67 |
| erf | 13601 | 17 | 09:02, 20 mrt 2020 | erf | | Polygoon | 246702,89 | 443361,58 | 88 | 322,72 |
| erf | 13609 | 17 | 09:02, 20 mrt 2020 | erf | | Polygoon | 247165,40 | 443441,32 | 580 | 2789,05 |
| erf | 13619 | 17 | 09:02, 20 mrt 2020 | erf | | Polygoon | 247163,75 | 443251,32 | 639 | 3420,42 |
| erf | 13625 | 17 | 09:37, 20 mrt 2020 | erf | | Polygoon | 246950,43 | 443752,72 | 20 | 106,14 |
| erf | 13631 | 17 | 09:02, 20 mrt 2020 | erf | | Polygoon | 246606,29 | 443593,77 | 6 | 15,93 |
| erf | 13636 | 17 | 09:02, 20 mrt 2020 | erf | | Polygoon | 246666,25 | 443485,36 | 7 | 30,06 |
| erf | 13653 | 17 | 09:02, 20 mrt 2020 | erf | | Polygoon | 246593,52 | 443585,95 | 10 | 34,43 |
| erf | 13656 | 17 | 09:02, 20 mrt 2020 | erf | | Polygoon | 247049,12 | 443940,05 | 385 | 1911,02 |
| erf | 13657 | 17 | 09:02, 20 mrt 2020 | erf | | Polygoon | 246657,44 | 443840,28 | 35 | 279,20 |
| erf | 13666 | 17 | 09:02, 20 mrt 2020 | erf | | Polygoon | 246714,29 | 443305,70 | 4 | 7,14 |
| erf | 13669 | 17 | 09:02, 20 mrt 2020 | erf | | Polygoon | 247147,30 | 443632,40 | 7 | 21,60 |

Model: Jager
Jager - Jager
Groep: (hoofdgroep)
Lijst van Bodemgebieden, voor rekenmethode Wegverkeerslawaai - RMW-2012

| Groep | Oppervlak | Min.lengte | Max.lengte | Bf |
|---|---|---|---|---|
| erf | 83,24 | 0,70 | 18,64 | 0,50 |
| erf | 75,21 | 0,65 | 11,29 | 0,50 |
| erf | 296,28 | 0,20 | 33,53 | 0,50 |
| erf | 5782,56 | 0,04 | 78,89 | 0,50 |
| erf | 50,32 | 0,48 | 8,73 | 0,50 |
| erf | 2499,15 | 0,09 | 30,93 | 0,50 |
| erf | 6153,92 | 0,03 | 34,36 | 0,50 |
| erf | 2528,79 | 0,09 | 45,64 | 0,50 |
| erf | 7692,16 | 0,03 | 67,00 | 0,50 |
| erf | 1688,63 | 0,04 | 42,91 | 0,50 |
| erf | 939,82 | 0,12 | 31,64 | 0,50 |
| erf | 428,85 | 0,57 | 7,81 | 0,50 |
| erf | 37,01 | 0,20 | 16,80 | 0,50 |
| erf | 971,29 | 0,01 | 32,75 | 0,50 |
| erf | 2506,14 | 0,09 | 30,93 | 0,50 |
| erf | 1521,67 | 0,12 | 28,62 | 0,50 |
| erf | 5551,12 | 0,02 | 43,85 | 0,50 |
| erf | 8135,30 | 0,01 | 68,22 | 0,50 |
| erf | 481,38 | 0,29 | 11,94 | 0,50 |
| erf | 822,45 | 0,15 | 26,41 | 0,50 |
| erf | 456,20 | 0,41 | 26,19 | 0,50 |
| erf | 1489,47 | 0,02 | 34,63 | 0,50 |
| erf | 6180,84 | 0,03 | 49,11 | 0,50 |
| erf | 16,03 | 0,43 | 9,56 | 0,50 |
| erf | 424,25 | 0,04 | 18,83 | 0,50 |
| erf | 553,28 | 0,26 | 50,88 | 0,50 |
| erf | 6449,30 | 0,02 | 63,26 | 0,50 |
| erf | 18624,12 | 0,03 | 73,20 | 0,50 |
| erf | 118,95 | 0,66 | 19,79 | 0,50 |
| erf | 11,97 | 0,46 | 5,63 | 0,50 |
| erf | 15,01 | 0,32 | 13,36 | 0,50 |
| erf | 13,57 | 0,15 | 13,89 | 0,50 |
| erf | 5073,51 | 0,02 | 35,30 | 0,50 |
| erf | 1729,47 | 0,22 | 39,06 | 0,50 |
| erf | 1,78 | 0,54 | 2,99 | 0,50 |
| erf | 9,07 | 0,25 | 5,06 | 0,50 |

# Invoergegevens van het model

Model: Jager
Jager - Jager
Groep: (hoofdgroep)
Lijst van Bodemgebieden, voor rekenmethode Wegverkeerslawaai - RMW-2012

| Groep | ItemID | Grp.ID | Datum | Naam | Omschr. | Vorm | X-1 | Y-1 | Vormpunten | Omtrek |
|---|---|---|---|---|---|---|---|---|---|---|
| erf | 13675 | 17 | 09:02, 20 mrt 2020 | erf | | Polygoon | 246766,91 | 443885,30 | 262 | 1464,50 |
| erf | 13681 | 17 | 09:02, 20 mrt 2020 | erf | | Polygoon | 247126,68 | 443932,03 | 40 | 162,75 |
| erf | 13682 | 17 | 09:02, 20 mrt 2020 | erf | | Polygoon | 246991,94 | 443850,25 | 584 | 2862,41 |
| erf | 13693 | 17 | 09:02, 20 mrt 2020 | erf | | Polygoon | 247037,44 | 443683,63 | 7 | 53,41 |
| erf | 13701 | 17 | 09:02, 20 mrt 2020 | erf | | Polygoon | 247247,87 | 443846,33 | 31 | 109,87 |
| erf | 13705 | 17 | 09:02, 20 mrt 2020 | erf | | Polygoon | 247033,94 | 443964,06 | 378 | 1853,68 |
| erf | 13709 | 17 | 09:02, 20 mrt 2020 | erf | | Polygoon | 247163,75 | 443251,32 | 640 | 3419,03 |
| erf | 13711 | 17 | 09:02, 20 mrt 2020 | erf | | Polygoon | 246808,94 | 443435,78 | 68 | 109,79 |
| erf | 13713 | 17 | 09:02, 20 mrt 2020 | erf | | Polygoon | 247057,51 | 443988,07 | 49 | 257,61 |
| erf | 13715 | 17 | 09:02, 20 mrt 2020 | erf | | Polygoon | 247177,07 | 443842,64 | 780 | 4167,33 |
| erf | 13725 | 17 | 09:02, 20 mrt 2020 | erf | | Polygoon | 247259,33 | 443948,35 | 32 | 127,56 |
| erf | 13726 | 17 | 09:02, 20 mrt 2020 | erf | | Polygoon | 247182,18 | 443696,88 | 243 | 1033,17 |
| erf | 13741 | 17 | 09:02, 20 mrt 2020 | erf | | Polygoon | 247087,35 | 443677,78 | 92 | 373,97 |
| erf | 13742 | 17 | 09:02, 20 mrt 2020 | erf | | Polygoon | 246852,98 | 443568,47 | 232 | 1347,34 |
| erf | 13745 | 17 | 09:02, 20 mrt 2020 | erf | | Polygoon | 246663,91 | 443544,68 | 30 | 36,15 |
| erf | 13749 | 17 | 09:02, 20 mrt 2020 | erf | | Polygoon | 247077,59 | 443412,33 | 191 | 957,53 |
| erf | 13753 | 17 | 09:02, 20 mrt 2020 | erf | | Polygoon | 247314,40 | 443575,02 | 381 | 2130,56 |
| erf | 13757 | 17 | 09:02, 20 mrt 2020 | erf | | Polygoon | 247170,25 | 443293,27 | 423 | 1869,08 |
| erf | 13779 | 17 | 09:02, 20 mrt 2020 | erf | | Polygoon | 247177,07 | 443842,64 | 756 | 4147,22 |
| erf | 13781 | 17 | 09:02, 20 mrt 2020 | erf | | Polygoon | 246742,06 | 443469,18 | 36 | 164,61 |
| erf | 13782 | 17 | 09:02, 20 mrt 2020 | erf | | Polygoon | 247085,40 | 443393,29 | 416 | 1865,42 |
| erf | 13795 | 17 | 09:02, 20 mrt 2020 | erf | | Polygoon | 246731,35 | 443378,13 | 5 | 8,03 |
| erf | 13800 | 17 | 09:02, 20 mrt 2020 | erf | | Polygoon | 246913,00 | 443881,49 | 361 | 1531,76 |
| erf | 13801 | 17 | 09:02, 20 mrt 2020 | erf | | Polygoon | 247033,94 | 443964,06 | 380 | 1847,56 |
| erf | 13802 | 17 | 09:02, 20 mrt 2020 | erf | | Polygoon | 246991,94 | 443850,25 | 580 | 2861,32 |
| erf | 13803 | 17 | 09:02, 20 mrt 2020 | erf | | Polygoon | 247192,31 | 444019,12 | 56 | 179,58 |
| erf | 13808 | 17 | 09:02, 20 mrt 2020 | erf | | Polygoon | 246991,94 | 443850,25 | 576 | 2831,88 |
| erf | 13813 | 17 | 09:02, 20 mrt 2020 | erf | | Polygoon | 246899,34 | 443965,41 | 62 | 273,12 |
| erf | 13822 | 17 | 09:02, 20 mrt 2020 | erf | | Polygoon | 247177,07 | 443842,64 | 755 | 4147,83 |
| erf | 13823 | 17 | 09:02, 20 mrt 2020 | erf | | Polygoon | 247182,18 | 443696,88 | 243 | 1033,17 |
| erf | 13827 | 17 | 09:02, 20 mrt 2020 | erf | | Polygoon | 246582,87 | 443552,23 | 6 | 31,98 |
| erf | 13842 | 17 | 09:02, 20 mrt 2020 | erf | | Polygoon | 247159,15 | 443264,57 | 270 | 287,70 |
| erf | 13843 | 17 | 09:02, 20 mrt 2020 | erf | | Polygoon | 246740,96 | 443355,92 | 5 | 19,57 |
| erf | 13859 | 17 | 09:02, 20 mrt 2020 | erf | | Polygoon | 247106,99 | 443595,05 | 233 | 1027,38 |
| erf | 13862 | 17 | 09:02, 20 mrt 2020 | erf | | Polygoon | 247157,81 | 443960,28 | 30 | 170,81 |
| erf | 13864 | 17 | 09:02, 20 mrt 2020 | erf | | Polygoon | 246733,11 | 443378,76 | 5 | 9,41 |

Model: Jager
Jager - Jager
Groep: (hoofdgroep)
Lijst van Bodemgebieden, voor rekenmethode Wegverkeerslawaai - RMW-2012

| Groep | Oppervlak | Min.lengte | Max.lengte | Bf |
|---|---|---|---|---|
| erf | 3726,55 | 0,14 | 54,23 | 0,50 |
| erf | 406,71 | 0,04 | 18,53 | 0,50 |
| erf | 6663,05 | 0,04 | 77,91 | 0,50 |
| erf | 113,00 | 5,20 | 21,31 | 0,50 |
| erf | 247,29 | 0,20 | 19,98 | 0,50 |
| erf | 5074,02 | 0,02 | 43,56 | 0,50 |
| erf | 18620,11 | 0,03 | 73,20 | 0,50 |
| erf | 274,73 | 0,03 | 12,32 | 0,50 |
| erf | 939,96 | 0,12 | 31,64 | 0,50 |
| erf | 13297,87 | 0,04 | 100,55 | 0,50 |
| erf | 406,19 | 0,09 | 14,22 | 0,50 |
| erf | 1524,50 | 0,04 | 44,73 | 0,50 |
| erf | 831,78 | 0,07 | 26,41 | 0,50 |
| erf | 3747,95 | 0,15 | 27,85 | 0,50 |
| erf | 42,24 | 0,11 | 9,95 | 0,50 |
| erf | 2591,85 | 0,02 | 31,18 | 0,50 |
| erf | 6364,54 | 0,03 | 30,51 | 0,50 |
| erf | 5796,97 | 0,04 | 87,76 | 0,50 |
| erf | 13224,80 | 0,01 | 100,55 | 0,50 |
| erf | 139,14 | 0,06 | 17,84 | 0,50 |
| erf | 5808,36 | 0,04 | 87,76 | 0,50 |
| erf | 4,03 | 0,65 | 2,04 | 0,50 |
| erf | 3913,38 | 0,02 | 89,67 | 0,50 |
| erf | 5082,36 | 0,02 | 43,56 | 0,50 |
| erf | 6638,13 | 0,04 | 77,91 | 0,50 |
| erf | 338,90 | 0,03 | 26,80 | 0,50 |
| erf | 6562,51 | 0,04 | 77,91 | 0,50 |
| erf | 654,11 | 0,07 | 37,22 | 0,50 |
| erf | 13256,66 | 0,01 | 100,55 | 0,50 |
| erf | 1514,57 | 0,04 | 44,73 | 0,50 |
| erf | 9,87 | 0,33 | 15,11 | 0,50 |
| erf | 368,79 | 0,04 | 15,00 | 0,50 |
| erf | 17,05 | 2,14 | 7,43 | 0,50 |
| erf | 1690,99 | 0,04 | 42,91 | 0,50 |
| erf | 456,19 | 0,41 | 26,14 | 0,50 |
| erf | 5,49 | 1,21 | 2,72 | 0,50 |

Model: Jager
Jager - Jager
Groep: (hoofdgroep)
Lijst van Bodemgebieden, voor rekenmethode Wegverkeerslawaai - RMW-2012

| Groep | ItemID | Grp.ID | Datum | Naam | Omschr. | Vorm | X-1 | Y-1 | Vormpunten | Omtrek |
|---|---|---|---|---|---|---|---|---|---|---|
| erf | 13865 | 17 | 09:02, 20 mrt 2020 | erf | | Polygoon | 247057,28 | 443620,40 | 150 | 659,28 |
| erf | 13874 | 17 | 09:02, 20 mrt 2020 | erf | | Polygoon | 246941,08 | 443558,10 | 122 | 684,92 |
| erf | 13876 | 17 | 09:02, 20 mrt 2020 | erf | | Polygoon | 247154,90 | 443690,38 | 242 | 1033,10 |
| erf | 13878 | 17 | 09:02, 20 mrt 2020 | erf | | Polygoon | 247186,01 | 443640,03 | 92 | 259,33 |
| erf | 13891 | 17 | 09:02, 20 mrt 2020 | erf | | Polygoon | 247267,24 | 443892,97 | 5 | 17,72 |
| erf | 13894 | 17 | 09:02, 20 mrt 2020 | erf | | Polygoon | 246899,75 | 443511,93 | 13 | 53,57 |
| erf | 13897 | 17 | 09:02, 20 mrt 2020 | erf | | Polygoon | 247183,35 | 443410,85 | 570 | 2941,03 |
| erf | 13906 | 17 | 09:02, 20 mrt 2020 | erf | | Polygoon | 246936,76 | 443398,43 | 7 | 119,70 |
| erf | 13909 | 17 | 09:02, 20 mrt 2020 | erf | | Polygoon | 247029,23 | 443681,40 | 482 | 2353,09 |
| erf | 13915 | 17 | 09:02, 20 mrt 2020 | erf | | Polygoon | 246899,66 | 443864,91 | 670 | 4457,86 |
| erf | 13916 | 17 | 09:02, 20 mrt 2020 | erf | | Polygoon | 247057,51 | 443988,07 | 48 | 257,61 |
| erf | 13919 | 17 | 09:02, 20 mrt 2020 | erf | | Polygoon | 247069,84 | 443753,90 | 11 | 53,46 |
| erf | 13920 | 17 | 09:02, 20 mrt 2020 | erf | | Polygoon | 246620,69 | 443603,53 | 20 | 117,04 |
| erf | 13921 | 17 | 09:02, 20 mrt 2020 | erf | | Polygoon | 246836,37 | 443293,28 | 197 | 733,91 |
| erf | 13924 | 17 | 09:02, 20 mrt 2020 | erf | | Polygoon | 247183,35 | 443410,85 | 582 | 2937,48 |
| erf | 13928 | 17 | 09:02, 20 mrt 2020 | erf | | Polygoon | 246742,82 | 443397,54 | 5 | 26,00 |
| erf | 13930 | 17 | 09:02, 20 mrt 2020 | erf | | Polygoon | 247186,01 | 443640,03 | 94 | 259,33 |
| erf | 13931 | 17 | 09:02, 20 mrt 2020 | erf | | Polygoon | 247356,67 | 443649,17 | 190 | 918,87 |
| erf | 13933 | 17 | 09:02, 20 mrt 2020 | erf | | Polygoon | 247183,35 | 443410,85 | 576 | 2937,48 |
| erf | 13941 | 17 | 09:02, 20 mrt 2020 | erf | | Polygoon | 246913,00 | 443881,49 | 370 | 1799,50 |
| erf | 13953 | 17 | 09:02, 20 mrt 2020 | erf | | Polygoon | 246820,00 | 443466,08 | 12 | 57,31 |
| erf | 13982 | 17 | 09:02, 20 mrt 2020 | erf | | Polygoon | 247164,55 | 444012,80 | 59 | 266,97 |
| erf | 13983 | 17 | 09:02, 20 mrt 2020 | erf | | Polygoon | 247225,47 | 443847,78 | 66 | 201,50 |
| erf | 13987 | 17 | 09:02, 20 mrt 2020 | erf | | Polygoon | 247106,99 | 443595,05 | 230 | 1021,21 |
| erf | 13999 | 17 | 09:02, 20 mrt 2020 | erf | | Polygoon | 246929,88 | 443946,17 | 61 | 273,12 |
| erf | 14001 | 17 | 09:02, 20 mrt 2020 | erf | | Polygoon | 246742,06 | 443469,18 | 32 | 164,05 |
| erf | 14002 | 17 | 09:02, 20 mrt 2020 | erf | | Polygoon | 246617,80 | 443694,18 | 156 | 642,44 |
| erf | 14013 | 17 | 09:02, 20 mrt 2020 | erf | | Polygoon | 247183,35 | 443410,85 | 573 | 2937,48 |
| erf | 14014 | 17 | 09:02, 20 mrt 2020 | erf | | Polygoon | 246767,50 | 443376,80 | 52 | 149,53 |
| erf | 14018 | 17 | 09:02, 20 mrt 2020 | erf | | Polygoon | 246774,96 | 443508,80 | 7 | 27,64 |
| erf | 14026 | 17 | 09:02, 20 mrt 2020 | erf | | Polygoon | 246808,93 | 443486,07 | 56 | 218,92 |
| erf | 14031 | 17 | 09:02, 20 mrt 2020 | erf | | Polygoon | 247129,26 | 443731,81 | 290 | 1233,15 |
| erf | 14032 | 17 | 09:02, 20 mrt 2020 | erf | | Polygoon | 246899,66 | 443864,91 | 669 | 4404,33 |
| erf | 14034 | 17 | 09:02, 20 mrt 2020 | erf | | Polygoon | 247244,41 | 443904,74 | 93 | 343,49 |
| erf | 14043 | 17 | 09:02, 20 mrt 2020 | erf | | Polygoon | 247129,26 | 443731,81 | 294 | 1241,14 |
| erf | 14048 | 17 | 09:02, 20 mrt 2020 | erf | | Polygoon | 247069,42 | 443742,13 | 3 | 7,21 |

Model: Jager
Jager - Jager
Groep: (hoofdgroep)
Lijst van Bodemgebieden, voor rekenmethode Wegverkeerslawaai - RMW-2012

| Groep | Oppervlak | Min.lengte | Max.lengte | Bf |
|---|---|---|---|---|
| erf | 948,20 | 0,01 | 32,75 | 0,50 |
| erf | 866,27 | 0,16 | 36,46 | 0,50 |
| erf | 1501,16 | 0,04 | 44,73 | 0,50 |
| erf | 589,61 | 0,04 | 21,51 | 0,50 |
| erf | 14,90 | 0,76 | 6,60 | 0,50 |
| erf | 35,32 | 1,16 | 11,29 | 0,50 |
| erf | 6613,91 | 0,04 | 76,85 | 0,50 |
| erf | 794,05 | 0,53 | 40,10 | 0,50 |
| erf | 5308,52 | 0,01 | 31,88 | 0,50 |
| erf | 10403,72 | 0,04 | 102,78 | 0,50 |
| erf | 939,96 | 0,12 | 31,64 | 0,50 |
| erf | 100,59 | 0,46 | 14,69 | 0,50 |
| erf | 281,98 | 0,04 | 13,81 | 0,50 |
| erf | 2755,87 | 0,01 | 46,71 | 0,50 |
| erf | 6615,01 | 0,04 | 76,85 | 0,50 |
| erf | 42,17 | 2,98 | 6,76 | 0,50 |
| erf | 589,61 | 0,04 | 21,51 | 0,50 |
| erf | 2050,92 | 0,03 | 31,44 | 0,50 |
| erf | 6615,01 | 0,01 | 76,85 | 0,50 |
| erf | 3822,34 | 0,02 | 112,60 | 0,50 |
| erf | 144,38 | 0,18 | 12,32 | 0,50 |
| erf | 571,40 | 0,13 | 38,90 | 0,50 |
| erf | 324,18 | 0,17 | 35,05 | 0,50 |
| erf | 1700,27 | 0,04 | 42,91 | 0,50 |
| erf | 654,11 | 0,07 | 37,22 | 0,50 |
| erf | 139,79 | 0,12 | 19,80 | 0,50 |
| erf | 2251,06 | 0,09 | 30,00 | 0,50 |
| erf | 6615,01 | 0,04 | 76,85 | 0,50 |
| erf | 279,43 | 1,08 | 6,72 | 0,50 |
| erf | 44,73 | 0,45 | 6,84 | 0,50 |
| erf | 368,09 | 0,09 | 17,27 | 0,50 |
| erf | 3786,12 | 0,03 | 22,68 | 0,50 |
| erf | 10427,95 | 0,01 | 102,78 | 0,50 |
| erf | 784,40 | 0,06 | 25,85 | 0,50 |
| erf | 3808,07 | 0,03 | 22,68 | 0,50 |
| erf | 1,30 | 0,83 | 3,24 | 0,50 |

# Invoergegevens van het model

Model: Jager
Jager - Jager
Groep: (hoofdgroep)
Lijst van Bodemgebieden, voor rekenmethode Wegverkeerslawaai - RMW-2012

| Groep | ItemID | Grp.ID | Datum | Naam | Omschr. | Vorm | X-1 | Y-1 | Vormpunten | Omtrek |
|---|---|---|---|---|---|---|---|---|---|---|
| erf | 14050 | 17 | 09:02, 20 mrt 2020 | erf | | Polygoon | 247126,68 | 443932,03 | 39 | 162,75 |
| erf | 14054 | 17 | 09:02, 20 mrt 2020 | erf | | Polygoon | 247066,53 | 443708,70 | 45 | 150,32 |
| erf | 14059 | 17 | 09:02, 20 mrt 2020 | erf | | Polygoon | 247029,23 | 443681,40 | 502 | 2389,31 |
| erf | 14072 | 17 | 09:02, 20 mrt 2020 | erf | | Polygoon | 246753,44 | 443436,11 | 9 | 57,87 |
| erf | 14075 | 17 | 09:02, 20 mrt 2020 | erf | | Polygoon | 247094,72 | 443632,45 | 71 | 311,07 |
| erf | 14089 | 17 | 09:02, 20 mrt 2020 | erf | | Polygoon | 246801,24 | 443953,72 | 33 | 176,82 |
| erf | 14091 | 17 | 09:02, 20 mrt 2020 | erf | | Polygoon | 247188,30 | 443709,24 | 7 | 42,76 |
| erf | 14092 | 17 | 09:02, 20 mrt 2020 | erf | | Polygoon | 247287,54 | 443863,44 | 8 | 32,54 |
| erf | 14094 | 17 | 09:02, 20 mrt 2020 | erf | | Polygoon | 247029,23 | 443681,40 | 482 | 2353,09 |
| erf | 14096 | 17 | 09:02, 20 mrt 2020 | erf | | Polygoon | 247078,45 | 443681,56 | 44 | 150,32 |
| erf | 14103 | 17 | 09:02, 20 mrt 2020 | erf | | Polygoon | 246816,90 | 443287,75 | 6 | 64,41 |
| erf | 14104 | 17 | 09:02, 20 mrt 2020 | erf | | Polygoon | 247159,15 | 443264,57 | 218 | 184,02 |
| erf | 14108 | 17 | 09:02, 20 mrt 2020 | erf | | Polygoon | 247247,87 | 443846,33 | 33 | 109,87 |
| erf | 14112 | 17 | 09:02, 20 mrt 2020 | erf | | Polygoon | 247107,00 | 443655,95 | 72 | 319,97 |
| erf | 14115 | 17 | 09:02, 20 mrt 2020 | erf | | Polygoon | 246622,68 | 443566,26 | 23 | 95,64 |
| erf | 14122 | 17 | 09:02, 20 mrt 2020 | erf | | Polygoon | 246713,63 | 443369,21 | 52 | 13,25 |
| erf | 14123 | 17 | 09:02, 20 mrt 2020 | erf | | Polygoon | 246919,85 | 443934,06 | 392 | 1914,35 |
| erf | 14131 | 17 | 09:02, 20 mrt 2020 | erf | | Polygoon | 247244,41 | 443904,74 | 69 | 341,09 |
| erf | 14144 | 17 | 09:02, 20 mrt 2020 | erf | | Polygoon | 246765,74 | 443429,06 | 13 | 81,69 |
| erf | 14152 | 17 | 09:02, 20 mrt 2020 | erf | | Polygoon | 247010,50 | 443602,68 | 29 | 116,38 |
| erf | 14154 | 17 | 09:02, 20 mrt 2020 | erf | | Polygoon | 246703,00 | 443534,38 | 129 | 572,51 |
| erf | 14156 | 17 | 09:02, 20 mrt 2020 | erf | | Polygoon | 246606,07 | 443647,30 | 26 | 211,24 |
| erf | 14158 | 17 | 09:02, 20 mrt 2020 | erf | | Polygoon | 247052,95 | 443932,19 | 384 | 1911,01 |
| erf | 14159 | 17 | 09:02, 20 mrt 2020 | erf | | Polygoon | 246984,65 | 443816,16 | 756 | 4201,10 |
| erf | 14160 | 17 | 09:02, 20 mrt 2020 | erf | | Polygoon | 246756,78 | 443342,97 | 65 | 172,72 |
| erf | 14167 | 17 | 09:02, 20 mrt 2020 | erf | | Polygoon | 246941,08 | 443558,10 | 353 | 2293,68 |
| erf | 14177 | 17 | 09:02, 20 mrt 2020 | erf | | Polygoon | 247192,31 | 444019,12 | 51 | 179,58 |
| erf | 14178 | 17 | 09:02, 20 mrt 2020 | erf | | Polygoon | 246906,81 | 443632,03 | 297 | 1744,10 |
| erf | 14186 | 17 | 09:02, 20 mrt 2020 | erf | | Polygoon | 246767,50 | 443376,80 | 126 | 357,07 |
| erf | 14187 | 17 | 09:02, 20 mrt 2020 | erf | | Polygoon | 247129,26 | 443731,81 | 292 | 1236,27 |
| erf | 14193 | 17 | 09:02, 20 mrt 2020 | erf | | Polygoon | 246764,39 | 443284,72 | 17 | 112,86 |
| erf | 14194 | 17 | 09:02, 20 mrt 2020 | erf | | Polygoon | 247228,82 | 443585,25 | 37 | 173,28 |
| erf | 14198 | 17 | 09:02, 20 mrt 2020 | erf | | Polygoon | 247259,33 | 443948,35 | 33 | 130,25 |
| erf | 14207 | 17 | 09:02, 20 mrt 2020 | erf | | Polygoon | 247259,33 | 443948,35 | 34 | 127,56 |
| erf | 14213 | 17 | 09:02, 20 mrt 2020 | erf | | Polygoon | 246758,56 | 443415,72 | 67 | 206,11 |
| erf | 14214 | 17 | 09:02, 20 mrt 2020 | erf | | Polygoon | 246856,12 | 443383,11 | 361 | 2260,40 |

Model: Jager
Jager - Jager
Groep: (hoofdgroep)
Lijst van Bodemgebieden, voor rekenmethode Wegverkeerslawaai - RMW-2012

| Groep | Oppervlak | Min.lengte | Max.lengte | Bf |
|---|---|---|---|---|
| erf | 406,71 | 0,04 | 18,53 | 0,50 |
| erf | 280,32 | 0,26 | 13,87 | 0,50 |
| erf | 5269,57 | 0,01 | 31,88 | 0,50 |
| erf | 57,46 | 1,91 | 26,87 | 0,50 |
| erf | 724,35 | 0,39 | 21,52 | 0,50 |
| erf | 140,12 | 0,66 | 18,68 | 0,50 |
| erf | 39,76 | 2,04 | 19,31 | 0,50 |
| erf | 18,27 | 0,23 | 12,68 | 0,50 |
| erf | 5325,05 | 0,01 | 31,88 | 0,50 |
| erf | 280,32 | 0,26 | 13,87 | 0,50 |
| erf | 79,74 | 1,05 | 25,92 | 0,50 |
| erf | 362,24 | 0,04 | 24,61 | 0,50 |
| erf | 247,29 | 0,12 | 19,98 | 0,50 |
| erf | 716,79 | 0,21 | 21,52 | 0,50 |
| erf | 113,50 | 0,15 | 15,30 | 0,50 |
| erf | 7,74 | 0,05 | 2,93 | 0,50 |
| erf | 4115,12 | 0,06 | 112,98 | 0,50 |
| erf | 787,26 | 0,06 | 25,85 | 0,50 |
| erf | 181,14 | 0,83 | 26,79 | 0,50 |
| erf | 197,26 | 0,31 | 18,69 | 0,50 |
| erf | 1291,31 | 0,12 | 31,52 | 0,50 |
| erf | 1062,92 | 0,70 | 48,69 | 0,50 |
| erf | 5073,51 | 0,11 | 35,30 | 0,50 |
| erf | 13238,35 | 0,04 | 100,55 | 0,50 |
| erf | 334,73 | 0,12 | 6,48 | 0,50 |
| erf | 5396,79 | 0,11 | 46,83 | 0,50 |
| erf | 338,90 | 0,05 | 26,80 | 0,50 |
| erf | 4978,77 | 0,11 | 33,05 | 0,50 |
| erf | 563,47 | 0,28 | 10,52 | 0,50 |
| erf | 3820,07 | 0,03 | 22,68 | 0,50 |
| erf | 208,62 | 0,18 | 34,06 | 0,50 |
| erf | 224,08 | 0,28 | 25,31 | 0,50 |
| erf | 397,56 | 0,09 | 14,22 | 0,50 |
| erf | 418,03 | 0,09 | 14,22 | 0,50 |
| erf | 279,07 | 0,37 | 10,52 | 0,50 |
| erf | 7706,72 | 0,03 | 67,00 | 0,50 |

# Invoergegevens van het model

Model: Jager
Jager - Jager
Groep: (hoofdgroep)
Lijst van Bodemgebieden, voor rekenmethode Wegverkeerslawaai - RMW-2012

| Groep | ItemID | Grp.ID | Datum | Naam | Omschr. | Vorm | X-1 | Y-1 | Vormpunten | Omtrek |
|---|---|---|---|---|---|---|---|---|---|---|
| erf | 14216 | 17 | 09:02, 20 mrt 2020 | erf | | Polygoon | 247072,88 | 443752,81 | 10 | 53,46 |
| erf | 14236 | 17 | 09:02, 20 mrt 2020 | erf | | Polygoon | 246781,18 | 443322,17 | 15 | 100,25 |
| erf | 14239 | 17 | 09:02, 20 mrt 2020 | erf | | Polygoon | 246906,81 | 443632,03 | 245 | 1420,87 |
| erf | 14242 | 17 | 09:02, 20 mrt 2020 | erf | | Polygoon | 247282,50 | 443774,97 | 336 | 1947,65 |
| erf | 14246 | 17 | 09:02, 20 mrt 2020 | erf | | Polygoon | 246797,60 | 443442,49 | 52 | 85,30 |
| erf | 14251 | 17 | 09:02, 20 mrt 2020 | erf | | Polygoon | 247126,68 | 443932,03 | 39 | 162,67 |
| erf | 14257 | 17 | 09:02, 20 mrt 2020 | erf | | Polygoon | 246852,98 | 443568,47 | 230 | 1347,26 |
| erf | 14259 | 17 | 09:02, 20 mrt 2020 | erf | | Polygoon | 246767,50 | 443376,80 | 124 | 357,07 |
| erf | 14263 | 17 | 09:02, 20 mrt 2020 | erf | | Polygoon | 246620,69 | 443603,53 | 18 | 117,04 |
| erf | 14271 | 17 | 09:02, 20 mrt 2020 | erf | | Polygoon | 247063,58 | 443765,50 | 13 | 53,46 |
| erf | 14276 | 17 | 09:02, 20 mrt 2020 | erf | | Polygoon | 247129,26 | 443731,81 | 290 | 1233,14 |
| erf | 14279 | 17 | 09:02, 20 mrt 2020 | erf | | Polygoon | 247202,05 | 443778,00 | 299 | 1311,08 |
| erf | 14281 | 17 | 09:02, 20 mrt 2020 | erf | | Polygoon | 246919,85 | 443934,06 | 361 | 1709,72 |
| erf | 14282 | 17 | 09:02, 20 mrt 2020 | erf | | Polygoon | 247124,25 | 443933,30 | 45 | 229,46 |
| erf | 14288 | 17 | 09:02, 20 mrt 2020 | erf | | Polygoon | 247186,01 | 443640,03 | 93 | 259,33 |
| erf | 14294 | 17 | 09:02, 20 mrt 2020 | erf | | Polygoon | 246991,94 | 443850,25 | 578 | 2861,32 |
| erf | 14295 | 17 | 09:02, 20 mrt 2020 | erf | | Polygoon | 246899,34 | 443965,41 | 63 | 273,12 |
| erf | 14296 | 17 | 09:02, 20 mrt 2020 | erf | | Polygoon | 247341,05 | 443753,44 | 126 | 735,45 |
| erf | 14300 | 17 | 09:02, 20 mrt 2020 | erf | | Polygoon | 247066,53 | 443708,70 | 47 | 150,32 |
| erf | 14303 | 17 | 09:02, 20 mrt 2020 | erf | | Polygoon | 246960,78 | 443540,31 | 633 | 3233,33 |
| erf | 14307 | 17 | 09:02, 20 mrt 2020 | erf | | Polygoon | 247106,99 | 443595,05 | 234 | 1033,67 |
| erf | 14315 | 17 | 09:02, 20 mrt 2020 | erf | | Polygoon | 247087,35 | 443677,78 | 91 | 373,88 |
| erf | 14318 | 17 | 09:02, 20 mrt 2020 | erf | | Polygoon | 246836,37 | 443293,28 | 243 | 745,63 |
| erf | 14323 | 17 | 09:02, 20 mrt 2020 | erf | | Polygoon | 246913,00 | 443881,49 | 369 | 1792,17 |
| erf | 14325 | 17 | 09:02, 20 mrt 2020 | erf | | Polygoon | 247205,03 | 443539,97 | 658 | 2905,15 |
| erf | 14327 | 17 | 09:02, 20 mrt 2020 | erf | | Polygoon | 246678,72 | 443453,94 | 8 | 20,99 |
| erf | 14334 | 17 | 09:02, 20 mrt 2020 | erf | | Polygoon | 247265,08 | 443892,34 | 45 | 195,88 |
| erf | 14338 | 17 | 09:02, 20 mrt 2020 | erf | | Polygoon | 247164,55 | 444012,80 | 60 | 266,97 |
| erf | 14342 | 17 | 09:02, 20 mrt 2020 | erf | | Polygoon | 246703,00 | 443534,38 | 131 | 563,71 |
| erf | 14344 | 17 | 09:02, 20 mrt 2020 | erf | | Polygoon | 246631,50 | 443537,94 | 41 | 201,23 |
| erf | 14347 | 17 | 09:02, 20 mrt 2020 | erf | | Polygoon | 247163,75 | 443251,32 | 643 | 3420,42 |
| erf | 14352 | 17 | 09:02, 20 mrt 2020 | erf | | Polygoon | 247160,50 | 444020,93 | 58 | 266,97 |
| erf | 14359 | 17 | 09:02, 20 mrt 2020 | erf | | Polygoon | 247192,31 | 444019,12 | 50 | 179,58 |
| erf | 14366 | 17 | 09:02, 20 mrt 2020 | erf | | Polygoon | 246601,33 | 443699,41 | 85 | 459,29 |
| erf | 14379 | 17 | 09:02, 20 mrt 2020 | erf | | Polygoon | 247106,99 | 443595,05 | 237 | 1033,67 |
| erf | 14380 | 17 | 09:02, 20 mrt 2020 | erf | | Polygoon | 246782,93 | 443286,23 | 17 | 102,91 |

Model: Jager
Jager - Jager
Groep: (hoofdgroep)
Lijst van Bodemgebieden, voor rekenmethode Wegverkeerslawaai - RMW-2012

| Groep | Oppervlak | Min.lengte | Max.lengte | Bf |
|---|---|---|---|---|
| erf | 100,59 | 0,46 | 14,69 | 0,50 |
| erf | 190,90 | 0,79 | 28,12 | 0,50 |
| erf | 3807,67 | 0,11 | 33,05 | 0,50 |
| erf | 5618,82 | 0,02 | 43,85 | 0,50 |
| erf | 98,95 | 0,02 | 24,63 | 0,50 |
| erf | 424,26 | 0,04 | 18,53 | 0,50 |
| erf | 3746,38 | 0,15 | 27,85 | 0,50 |
| erf | 563,47 | 0,28 | 10,52 | 0,50 |
| erf | 281,98 | 0,04 | 13,81 | 0,50 |
| erf | 100,59 | 0,46 | 13,43 | 0,50 |
| erf | 3795,99 | 0,03 | 22,68 | 0,50 |
| erf | 3770,52 | 0,03 | 22,68 | 0,50 |
| erf | 3834,38 | 0,06 | 112,98 | 0,50 |
| erf | 600,68 | 0,12 | 37,27 | 0,50 |
| erf | 589,61 | 0,04 | 21,51 | 0,50 |
| erf | 6638,13 | 0,04 | 77,91 | 0,50 |
| erf | 654,11 | 0,06 | 37,22 | 0,50 |
| erf | 1706,36 | 0,07 | 26,06 | 0,50 |
| erf | 280,32 | 0,04 | 13,87 | 0,50 |
| erf | 9314,82 | 0,04 | 51,75 | 0,50 |
| erf | 1701,18 | 0,04 | 42,91 | 0,50 |
| erf | 832,32 | 0,15 | 26,41 | 0,50 |
| erf | 2826,27 | 0,01 | 46,71 | 0,50 |
| erf | 3830,88 | 0,02 | 112,98 | 0,50 |
| erf | 6134,40 | 0,03 | 34,36 | 0,50 |
| erf | 13,84 | 0,08 | 5,56 | 0,50 |
| erf | 472,97 | 0,29 | 11,94 | 0,50 |
| erf | 571,40 | 0,13 | 38,90 | 0,50 |
| erf | 1295,79 | 0,12 | 31,52 | 0,50 |
| erf | 445,12 | 0,22 | 24,04 | 0,50 |
| erf | 18624,12 | 0,03 | 73,20 | 0,50 |
| erf | 571,40 | 0,13 | 38,90 | 0,50 |
| erf | 338,90 | 0,05 | 26,80 | 0,50 |
| erf | 1422,36 | 0,14 | 28,78 | 0,50 |
| erf | 1701,18 | 0,03 | 42,91 | 0,50 |
| erf | 181,45 | 0,48 | 32,86 | 0,50 |

Model: Jager
Jager - Jager
Groep: (hoofdgroep)
Lijst van Bodemgebieden, voor rekenmethode Wegverkeerslawaai - RMW-2012

| Groep | ItemID | Grp.ID | Datum | Naam | Omschr. | Vorm | X-1 | Y-1 | Vormpunten | Omtrek |
|---|---|---|---|---|---|---|---|---|---|---|
| erf | 14384 | 17 | 09:02, 20 mrt 2020 | erf | | Polygoon | 247163,75 | 443251,32 | 718 | 3642,17 |
| erf | 14387 | 17 | 09:02, 20 mrt 2020 | erf | | Polygoon | 247205,03 | 443539,97 | 656 | 2905,11 |
| erf | 14396 | 17 | 09:02, 20 mrt 2020 | erf | | Polygoon | 247170,25 | 443293,27 | 424 | 1870,90 |
| erf | 14404 | 17 | 09:02, 20 mrt 2020 | erf | | Polygoon | 247106,99 | 443595,05 | 226 | 1002,56 |
| erf | 14410 | 17 | 09:02, 20 mrt 2020 | erf | | Polygoon | 247240,75 | 443700,67 | 92 | 605,87 |
| erf | 14415 | 17 | 09:02, 20 mrt 2020 | erf | | Polygoon | 246960,52 | 443231,54 | 566 | 3464,64 |
| erf | 14416 | 17 | 09:02, 20 mrt 2020 | erf | | Polygoon | 246960,78 | 443540,31 | 637 | 3233,33 |
| erf | 14421 | 17 | 09:02, 20 mrt 2020 | erf | | Polygoon | 246736,01 | 443323,67 | 140 | 492,24 |
| erf | 14423 | 17 | 09:02, 20 mrt 2020 | erf | | Polygoon | 247057,79 | 443687,39 | 31 | 69,82 |
| erf | 14428 | 17 | 09:02, 20 mrt 2020 | erf | | Polygoon | 246800,55 | 443333,38 | 15 | 117,99 |
| erf | 14432 | 17 | 09:02, 20 mrt 2020 | erf | | Polygoon | 247244,41 | 443904,74 | 66 | 341,09 |
| erf | 14443 | 17 | 09:02, 20 mrt 2020 | erf | | Polygoon | 246780,35 | 443504,00 | 6 | 18,92 |
| erf | 14447 | 17 | 09:02, 20 mrt 2020 | erf | | Polygoon | 247094,72 | 443632,45 | 73 | 319,97 |
| erf | 14449 | 17 | 09:02, 20 mrt 2020 | erf | | Polygoon | 246609,94 | 443565,23 | 24 | 104,78 |
| erf | 14451 | 17 | 09:02, 20 mrt 2020 | erf | | Polygoon | 247314,40 | 443575,02 | 432 | 2459,51 |
| erf | 14456 | 17 | 09:02, 20 mrt 2020 | erf | | Polygoon | 247183,35 | 443410,85 | 571 | 2941,03 |
| erf | 14469 | 17 | 09:02, 20 mrt 2020 | erf | | Polygoon | 246808,21 | 443433,26 | 88 | 199,95 |
| erf | 14472 | 17 | 09:02, 20 mrt 2020 | erf | | Polygoon | 246798,34 | 443547,11 | 210 | 927,13 |
| erf | 14499 | 17 | 09:02, 20 mrt 2020 | erf | | Polygoon | 247165,40 | 443441,32 | 578 | 2784,31 |
| erf | 14517 | 17 | 09:02, 20 mrt 2020 | erf | | Polygoon | 247170,25 | 443293,27 | 422 | 1860,32 |
| erf | 14524 | 17 | 09:02, 20 mrt 2020 | erf | | Polygoon | 246767,50 | 443376,80 | 124 | 357,02 |
| erf | 14528 | 17 | 09:02, 20 mrt 2020 | erf | | Polygoon | 247272,89 | 443861,99 | 20 | 147,58 |
| erf | 14531 | 17 | 09:02, 20 mrt 2020 | erf | | Polygoon | 247182,71 | 443979,10 | 88 | 297,69 |
| erf | 14547 | 17 | 09:02, 20 mrt 2020 | erf | | Polygoon | 246742,06 | 443469,18 | 31 | 163,64 |
| erf | 14552 | 17 | 09:02, 20 mrt 2020 | erf | | Polygoon | 247087,35 | 443677,78 | 91 | 373,97 |
| erf | 14555 | 17 | 09:02, 20 mrt 2020 | erf | | Polygoon | 246946,32 | 443724,95 | 51 | 239,99 |
| erf | 14561 | 17 | 09:02, 20 mrt 2020 | erf | | Polygoon | 246647,30 | 443507,64 | 23 | 127,21 |
| erf | 14564 | 17 | 09:02, 20 mrt 2020 | erf | | Polygoon | 246827,69 | 443445,70 | 27 | 83,30 |
| erf | 14567 | 17 | 09:02, 20 mrt 2020 | erf | | Polygoon | 246617,80 | 443694,18 | 96 | 457,55 |
| erf | 14569 | 17 | 09:02, 20 mrt 2020 | erf | | Polygoon | 247028,07 | 443549,63 | 642 | 3458,40 |
| erf | 14570 | 17 | 09:02, 20 mrt 2020 | erf | | Polygoon | 247165,40 | 443441,32 | 585 | 2814,36 |
| erf | 14574 | 17 | 09:02, 20 mrt 2020 | erf | | Polygoon | 247028,07 | 443549,63 | 626 | 3288,07 |
| erf | 14576 | 17 | 09:02, 20 mrt 2020 | erf | | Polygoon | 247033,94 | 443964,06 | 380 | 1911,30 |
| erf | 14581 | 17 | 09:02, 20 mrt 2020 | erf | | Polygoon | 247170,25 | 443293,27 | 426 | 1870,90 |
| erf | 14591 | 17 | 09:02, 20 mrt 2020 | erf | | Polygoon | 247183,99 | 443960,05 | 97 | 318,78 |
| erf | 14603 | 17 | 09:02, 20 mrt 2020 | erf | | Polygoon | 247167,61 | 443978,75 | 37 | 165,02 |

Model: Jager
Jager - Jager
Groep: (hoofdgroep)
Lijst van Bodemgebieden, voor rekenmethode Wegverkeerslawaai - RMW-2012

| Groep | Oppervlak | Min.lengte | Max.lengte | Bf |
|---|---|---|---|---|
| erf | 19937,50 | 0,03 | 73,20 | 0,50 |
| erf | 6145,11 | 0,03 | 34,36 | 0,50 |
| erf | 5791,07 | 0,04 | 87,76 | 0,50 |
| erf | 1672,79 | 0,04 | 42,91 | 0,50 |
| erf | 1527,29 | 0,12 | 28,62 | 0,50 |
| erf | 24191,69 | 0,01 | 125,98 | 0,50 |
| erf | 9314,82 | 0,04 | 51,75 | 0,50 |
| erf | 850,20 | 0,09 | 49,53 | 0,50 |
| erf | 73,46 | 0,16 | 9,77 | 0,50 |
| erf | 206,38 | 0,57 | 44,93 | 0,50 |
| erf | 787,26 | 0,06 | 25,85 | 0,50 |
| erf | 18,34 | 0,64 | 6,04 | 0,50 |
| erf | 716,79 | 0,21 | 21,52 | 0,50 |
| erf | 134,26 | 0,15 | 15,30 | 0,50 |
| erf | 8145,51 | 0,01 | 68,22 | 0,50 |
| erf | 6613,91 | 0,04 | 76,85 | 0,50 |
| erf | 500,07 | 0,03 | 17,00 | 0,50 |
| erf | 1059,45 | 0,02 | 71,74 | 0,50 |
| erf | 6457,89 | 0,02 | 63,26 | 0,50 |
| erf | 5782,59 | 0,04 | 78,89 | 0,50 |
| erf | 563,44 | 0,28 | 10,52 | 0,50 |
| erf | 296,27 | 0,20 | 33,53 | 0,50 |
| erf | 829,05 | 0,12 | 19,22 | 0,50 |
| erf | 86,06 | 0,06 | 17,84 | 0,50 |
| erf | 831,78 | 0,15 | 26,41 | 0,50 |
| erf | 461,93 | 0,16 | 17,19 | 0,50 |
| erf | 140,09 | 0,14 | 16,88 | 0,50 |
| erf | 283,31 | 0,25 | 15,23 | 0,50 |
| erf | 1373,38 | 0,14 | 19,73 | 0,50 |
| erf | 9292,13 | 0,04 | 53,28 | 0,50 |
| erf | 6446,42 | 0,02 | 63,26 | 0,50 |
| erf | 9292,82 | 0,04 | 51,75 | 0,50 |
| erf | 5071,29 | 0,02 | 43,56 | 0,50 |
| erf | 5791,08 | 0,04 | 87,76 | 0,50 |
| erf | 804,69 | 0,05 | 19,22 | 0,50 |
| erf | 397,98 | 0,09 | 24,82 | 0,50 |

Model: Jager
Jager - Jager
Groep: (hoofdgroep)
Lijst van Bodemgebieden, voor rekenmethode Wegverkeerslawaai - RMW-2012

| Groep | ItemID | Grp.ID | Datum | Naam | Omschr. | Vorm | X-1 | Y-1 | Vormpunten | Omtrek |
|---|---|---|---|---|---|---|---|---|---|---|
| erf | 14606 | 17 | 09:02, 20 mrt 2020 | erf | | Polygoon | 246856,12 | 443383,11 | 348 | 2175,52 |
| erf | 14607 | 17 | 09:02, 20 mrt 2020 | erf | | Polygoon | 247165,40 | 443441,32 | 579 | 2784,31 |
| erf | 14609 | 17 | 09:02, 20 mrt 2020 | erf | | Polygoon | 247205,03 | 443539,97 | 653 | 2884,12 |
| erf | 14611 | 17 | 09:02, 20 mrt 2020 | erf | | Polygoon | 247057,28 | 443620,40 | 148 | 659,28 |
| erf | 14619 | 17 | 09:02, 20 mrt 2020 | erf | | Polygoon | 246804,68 | 443332,55 | 17 | 143,10 |
| erf | 14622 | 17 | 09:02, 20 mrt 2020 | erf | | Polygoon | 246941,08 | 443558,10 | 114 | 673,27 |
| erf | 14630 | 17 | 09:02, 20 mrt 2020 | erf | | Polygoon | 246883,46 | 443515,38 | 32 | 103,61 |
| erf | 14631 | 17 | 09:02, 20 mrt 2020 | erf | | Polygoon | 247093,45 | 443984,37 | 42 | 192,22 |
| erf | 14642 | 17 | 09:02, 20 mrt 2020 | erf | | Polygoon | 247057,28 | 443620,40 | 152 | 666,76 |
| erf | 14649 | 17 | 09:02, 20 mrt 2020 | erf | | Polygoon | 246758,56 | 443415,72 | 68 | 206,11 |
| erf | 14650 | 17 | 09:02, 20 mrt 2020 | erf | | Polygoon | 246826,90 | 443310,69 | 6 | 64,28 |
| erf | 14652 | 17 | 09:02, 20 mrt 2020 | erf | | Polygoon | 246948,55 | 443809,56 | 681 | 4450,95 |
| erf | 14653 | 17 | 09:02, 20 mrt 2020 | erf | | Polygoon | 246817,23 | 443852,78 | 4 | 30,33 |
| erf | 14660 | 17 | 09:02, 20 mrt 2020 | erf | | Polygoon | 247057,28 | 443620,40 | 152 | 642,86 |
| erf | 14661 | 17 | 09:02, 20 mrt 2020 | erf | | Polygoon | 247282,50 | 443774,97 | 354 | 1909,89 |
| erf | 14663 | 17 | 09:02, 20 mrt 2020 | erf | | Polygoon | 247312,64 | 443533,82 | 145 | 626,30 |
| erf | 14666 | 17 | 09:02, 20 mrt 2020 | erf | | Polygoon | 246703,00 | 443534,38 | 130 | 563,71 |
| erf | 14667 | 17 | 09:02, 20 mrt 2020 | erf | | Polygoon | 247106,99 | 443595,05 | 237 | 1022,39 |
| erf | 14680 | 17 | 09:02, 20 mrt 2020 | erf | | Polygoon | 246913,00 | 443881,49 | 369 | 1797,24 |
| erf | 14701 | 17 | 09:02, 20 mrt 2020 | erf | | Polygoon | 247356,67 | 443649,17 | 190 | 929,71 |
| erf | 14702 | 17 | 09:02, 20 mrt 2020 | erf | | Polygoon | 247029,23 | 443681,40 | 471 | 2310,75 |
| erf | 14703 | 17 | 09:02, 20 mrt 2020 | erf | | Polygoon | 246766,91 | 443885,30 | 261 | 1464,50 |
| erf | 14708 | 17 | 09:02, 20 mrt 2020 | erf | | Polygoon | 247132,90 | 443640,41 | 40 | 201,07 |
| erf | 14713 | 17 | 09:02, 20 mrt 2020 | erf | | Polygoon | 246813,06 | 443379,38 | 21 | 165,70 |
| erf | 14717 | 17 | 09:02, 20 mrt 2020 | erf | | Polygoon | 246906,81 | 443632,03 | 334 | 1732,25 |
| erf | 14722 | 17 | 09:02, 20 mrt 2020 | erf | | Polygoon | 247177,07 | 443842,64 | 757 | 4155,49 |
| erf | 14757 | 17 | 09:02, 20 mrt 2020 | erf | | Polygoon | 246766,91 | 443885,30 | 267 | 1464,50 |
| erf | 14765 | 17 | 09:02, 20 mrt 2020 | erf | | Polygoon | 246712,48 | 443542,81 | 272 | 1273,21 |
| erf | 14776 | 17 | 09:02, 20 mrt 2020 | erf | | Polygoon | 246714,56 | 443372,75 | 7 | 14,54 |
| erf | 14777 | 17 | 09:02, 20 mrt 2020 | erf | | Polygoon | 247240,51 | 443694,17 | 91 | 606,03 |
| erf | 14789 | 17 | 09:02, 20 mrt 2020 | erf | | Polygoon | 247114,36 | 443973,08 | 48 | 233,80 |
| erf | 14790 | 17 | 09:02, 20 mrt 2020 | erf | | Polygoon | 246883,46 | 443515,38 | 33 | 103,61 |
| erf | 14794 | 17 | 09:02, 20 mrt 2020 | erf | | Polygoon | 247097,08 | 444020,79 | 57 | 253,17 |
| erf | 14799 | 17 | 09:02, 20 mrt 2020 | erf | | Polygoon | 247281,73 | 443821,82 | 203 | 926,11 |
| erf | 14803 | 17 | 09:02, 20 mrt 2020 | erf | | Polygoon | 247131,95 | 443937,51 | 50 | 213,50 |
| erf | 14824 | 17 | 09:02, 20 mrt 2020 | erf | | Polygoon | 246784,91 | 443940,44 | 266 | 1466,42 |

Model: Jager
Jager - Jager
Groep: (hoofdgroep)
Lijst van Bodemgebieden, voor rekenmethode Wegverkeerslawaai - RMW-2012

| Groep | Oppervlak | Min.lengte | Max.lengte | Bf |
|---|---|---|---|---|
| erf | 7592,66 | 0,03 | 67,00 | 0,50 |
| erf | 6457,90 | 0,02 | 63,26 | 0,50 |
| erf | 6153,92 | 0,03 | 34,36 | 0,50 |
| erf | 948,20 | 0,01 | 32,75 | 0,50 |
| erf | 262,75 | 0,57 | 44,93 | 0,50 |
| erf | 864,42 | 0,16 | 36,46 | 0,50 |
| erf | 130,57 | 0,26 | 12,05 | 0,50 |
| erf | 547,99 | 0,10 | 26,38 | 0,50 |
| erf | 974,69 | 0,01 | 32,75 | 0,50 |
| erf | 279,07 | 0,36 | 10,52 | 0,50 |
| erf | 79,33 | 1,05 | 25,79 | 0,50 |
| erf | 10486,97 | 0,01 | 102,62 | 0,50 |
| erf | 55,34 | 6,04 | 9,15 | 0,50 |
| erf | 965,13 | 0,01 | 32,75 | 0,50 |
| erf | 5527,01 | 0,02 | 43,85 | 0,50 |
| erf | 1807,98 | 0,21 | 35,72 | 0,50 |
| erf | 1295,79 | 0,12 | 31,52 | 0,50 |
| erf | 1668,01 | 0,04 | 42,91 | 0,50 |
| erf | 3843,51 | 0,02 | 112,98 | 0,50 |
| erf | 2047,40 | 0,03 | 31,44 | 0,50 |
| erf | 5341,90 | 0,01 | 31,88 | 0,50 |
| erf | 3726,55 | 0,14 | 54,23 | 0,50 |
| erf | 393,05 | 0,64 | 27,06 | 0,50 |
| erf | 506,75 | 0,46 | 22,80 | 0,50 |
| erf | 4869,10 | 0,10 | 33,05 | 0,50 |
| erf | 13249,26 | 0,01 | 100,55 | 0,50 |
| erf | 3726,55 | 0,03 | 54,23 | 0,50 |
| erf | 1500,70 | 0,03 | 71,74 | 0,50 |
| erf | 10,15 | 0,56 | 3,77 | 0,50 |
| erf | 1522,95 | 0,12 | 28,62 | 0,50 |
| erf | 508,48 | 0,28 | 29,59 | 0,50 |
| erf | 130,57 | 0,26 | 12,05 | 0,50 |
| erf | 617,34 | 0,11 | 21,06 | 0,50 |
| erf | 2517,82 | 0,09 | 30,93 | 0,50 |
| erf | 350,39 | 0,16 | 22,76 | 0,50 |
| erf | 3740,99 | 0,14 | 54,23 | 0,50 |

Model: Jager
Jager - Jager
Groep: (hoofdgroep)
Lijst van Bodemgebieden, voor rekenmethode Wegverkeerslawaai - RMW-2012

| Groep | ItemID | Grp.ID | Datum | Naam | Omschr. | Vorm | X-1 | Y-1 | Vormpunten | Omtrek |
|---|---|---|---|---|---|---|---|---|---|---|
| erf | 14827 | 17 | 09:02, 20 mrt 2020 | erf | | Polygoon | 246991,94 | 443850,25 | 585 | 2834,06 |
| erf | 14829 | 17 | 09:02, 20 mrt 2020 | erf | | Polygoon | 246611,60 | 443595,40 | 16 | 72,50 |
| erf | 14830 | 17 | 09:02, 20 mrt 2020 | erf | | Polygoon | 246742,20 | 443333,04 | 18 | 48,77 |
| erf | 14842 | 17 | 09:02, 20 mrt 2020 | erf | | Polygoon | 247028,07 | 443549,63 | 625 | 3226,64 |
| erf | 14855 | 17 | 09:02, 20 mrt 2020 | erf | | Polygoon | 247355,33 | 443635,49 | 196 | 949,79 |
| erf | 14856 | 17 | 09:02, 20 mrt 2020 | erf | | Polygoon | 247315,38 | 443951,42 | 50 | 223,32 |
| erf | 14871 | 17 | 09:02, 20 mrt 2020 | erf | | Polygoon | 247228,82 | 443585,25 | 39 | 175,34 |
| erf | 14875 | 17 | 09:02, 20 mrt 2020 | erf | | Polygoon | 247314,40 | 443575,02 | 382 | 2130,56 |
| erf | 14879 | 17 | 09:57, 20 mrt 2020 | erf | | Polygoon | 247029,23 | 443681,40 | 477 | 2346,45 |
| erf | 14881 | 17 | 09:02, 20 mrt 2020 | erf | | Polygoon | 246703,00 | 443534,38 | 127 | 558,50 |
| erf | 14885 | 17 | 09:02, 20 mrt 2020 | erf | | Polygoon | 247247,87 | 443846,33 | 32 | 109,87 |
| erf | 14892 | 17 | 09:02, 20 mrt 2020 | erf | | Polygoon | 247106,99 | 443595,05 | 228 | 1021,15 |
| erf | 14894 | 17 | 09:02, 20 mrt 2020 | erf | | Polygoon | 246800,72 | 443504,13 | 60 | 218,92 |
| erf | 14912 | 17 | 09:02, 20 mrt 2020 | erf | | Polygoon | 247057,28 | 443620,40 | 150 | 642,86 |
| erf | 14928 | 17 | 09:02, 20 mrt 2020 | erf | | Polygoon | 247356,67 | 443649,17 | 197 | 949,79 |
| erf | 14932 | 17 | 09:02, 20 mrt 2020 | erf | | Polygoon | 247114,58 | 443703,80 | 156 | 545,93 |
| erf | 14933 | 17 | 09:02, 20 mrt 2020 | erf | | Polygoon | 247183,35 | 443410,85 | 574 | 2937,48 |
| erf | 14940 | 17 | 09:02, 20 mrt 2020 | erf | | Polygoon | 246972,51 | 443869,03 | 588 | 2940,92 |
| erf | 14962 | 17 | 09:02, 20 mrt 2020 | erf | | Polygoon | 246827,69 | 443445,70 | 26 | 83,30 |
| erf | 14966 | 17 | 09:02, 20 mrt 2020 | erf | | Polygoon | 246790,16 | 443890,98 | 33 | 176,82 |
| erf | 14972 | 17 | 09:02, 20 mrt 2020 | erf | | Polygoon | 246813,06 | 443379,38 | 13 | 126,44 |
| erf | 14974 | 17 | 09:02, 20 mrt 2020 | erf | | Polygoon | 246726,94 | 443342,43 | 139 | 492,24 |
| erf | 14977 | 17 | 09:02, 20 mrt 2020 | erf | | Polygoon | 246841,08 | 443495,47 | 11 | 58,46 |
| erf | 14980 | 17 | 09:02, 20 mrt 2020 | erf | | Polygoon | 246679,91 | 443466,27 | 40 | 174,56 |
| erf | 14981 | 17 | 09:02, 20 mrt 2020 | erf | | Polygoon | 246679,91 | 443466,27 | 41 | 174,56 |
| erf | 14984 | 17 | 09:02, 20 mrt 2020 | erf | | Polygoon | 246670,35 | 443540,03 | 130 | 708,06 |
| erf | 14985 | 17 | 09:02, 20 mrt 2020 | erf | | Polygoon | 246768,14 | 443409,23 | 56 | 153,66 |
| erf | 14986 | 17 | 09:02, 20 mrt 2020 | erf | | Polygoon | 246845,64 | 443446,61 | 10 | 56,46 |
| erf | 15013 | 17 | 09:02, 20 mrt 2020 | erf | | Polygoon | 247057,79 | 443687,39 | 16 | 66,82 |
| erf | 15029 | 17 | 09:02, 20 mrt 2020 | erf | | Polygoon | 246736,01 | 443323,67 | 135 | 485,72 |
| erf | 15033 | 17 | 09:02, 20 mrt 2020 | erf | | Polygoon | 246781,18 | 443322,17 | 16 | 100,25 |
| erf | 15035 | 17 | 09:02, 20 mrt 2020 | erf | | Polygoon | 246661,92 | 443522,62 | 57 | 176,20 |
| erf | 15037 | 17 | 09:02, 20 mrt 2020 | erf | | Polygoon | 246899,66 | 443864,91 | 666 | 4393,13 |
| erf | 15040 | 17 | 09:02, 20 mrt 2020 | erf | | Polygoon | 247300,30 | 443944,72 | 57 | 198,91 |
| erf | 15041 | 17 | 09:02, 20 mrt 2020 | erf | | Polygoon | 247225,47 | 443847,78 | 42 | 199,10 |
| erf | 15045 | 17 | 09:02, 20 mrt 2020 | erf | | Polygoon | 246653,84 | 443652,41 | 69 | 193,16 |

Model: Jager
Jager - Jager
Groep: (hoofdgroep)
Lijst van Bodemgebieden, voor rekenmethode Wegverkeerslawaai - RMW-2012

| Groep | Oppervlak | Min.lengte | Max.lengte | Bf |
|---|---|---|---|---|
| erf | 6631,80 | 0,04 | 77,91 | 0,50 |
| erf | 127,55 | 0,11 | 16,61 | 0,50 |
| erf | 101,87 | 0,16 | 12,90 | 0,50 |
| erf | 9300,48 | 0,04 | 51,75 | 0,50 |
| erf | 2023,91 | 0,03 | 31,44 | 0,50 |
| erf | 457,31 | 0,02 | 22,30 | 0,50 |
| erf | 222,13 | 0,28 | 25,31 | 0,50 |
| erf | 6364,54 | 0,03 | 30,51 | 0,50 |
| erf | 5320,99 | 0,01 | 31,88 | 0,50 |
| erf | 1301,23 | 0,12 | 31,52 | 0,50 |
| erf | 247,29 | 0,20 | 19,98 | 0,50 |
| erf | 1666,49 | 0,02 | 42,91 | 0,50 |
| erf | 368,09 | 0,09 | 17,27 | 0,50 |
| erf | 965,13 | 0,01 | 32,75 | 0,50 |
| erf | 2023,91 | 0,03 | 31,44 | 0,50 |
| erf | 1088,29 | 0,05 | 13,89 | 0,50 |
| erf | 6615,01 | 0,04 | 76,85 | 0,50 |
| erf | 6520,97 | 0,02 | 77,91 | 0,50 |
| erf | 283,31 | 0,25 | 15,23 | 0,50 |
| erf | 135,91 | 0,66 | 32,37 | 0,50 |
| erf | 255,76 | 1,00 | 56,05 | 0,50 |
| erf | 850,20 | 0,09 | 49,53 | 0,50 |
| erf | 31,46 | 0,55 | 18,71 | 0,50 |
| erf | 268,53 | 0,30 | 15,80 | 0,50 |
| erf | 268,53 | 0,30 | 15,80 | 0,50 |
| erf | 1634,44 | 0,21 | 31,52 | 0,50 |
| erf | 291,59 | 0,90 | 5,99 | 0,50 |
| erf | 95,49 | 1,09 | 14,04 | 0,50 |
| erf | 80,36 | 0,16 | 9,77 | 0,50 |
| erf | 814,25 | 0,09 | 49,53 | 0,50 |
| erf | 190,90 | 0,79 | 23,06 | 0,50 |
| erf | 185,71 | 0,11 | 16,88 | 0,50 |
| erf | 10455,27 | 0,01 | 102,78 | 0,50 |
| erf | 361,21 | 0,20 | 45,26 | 0,50 |
| erf | 326,88 | 0,17 | 35,05 | 0,50 |
| erf | 928,08 | 0,09 | 27,87 | 0,50 |

Model: Jager
Jager - Jager
Groep: (hoofdgroep)
Lijst van Bodemgebieden, voor rekenmethode Wegverkeerslawaai - RMW-2012

| Groep | ItemID | Grp.ID | Datum | Naam | Omschr. | Vorm | X-1 | Y-1 | Vormpunten | Omtrek |
|---|---|---|---|---|---|---|---|---|---|---|
| erf | 15049 | 17 | 09:02, 20 mrt 2020 | erf | | Polygoon | 247265,08 | 443892,34 | 49 | 193,98 |
| erf | 15054 | 17 | 09:02, 20 mrt 2020 | erf | | Polygoon | 246691,78 | 443933,58 | 8 | 64,71 |
| erf | 15058 | 17 | 09:02, 20 mrt 2020 | erf | | Polygoon | 247341,05 | 443753,44 | 127 | 735,45 |
| erf | 15067 | 17 | 09:02, 20 mrt 2020 | erf | | Polygoon | 247314,40 | 443575,02 | 382 | 2107,80 |
| erf | 15079 | 17 | 09:02, 20 mrt 2020 | erf | | Polygoon | 247216,50 | 443798,01 | 85 | 491,70 |
| erf | 15081 | 17 | 09:02, 20 mrt 2020 | erf | | Polygoon | 247077,59 | 443412,33 | 189 | 956,08 |
| erf | 15096 | 17 | 09:02, 20 mrt 2020 | erf | | Polygoon | 246707,80 | 443465,84 | 18 | 90,20 |
| erf | 15104 | 17 | 09:02, 20 mrt 2020 | erf | | Polygoon | 247127,37 | 443897,06 | 36 | 195,79 |
| erf | 15109 | 17 | 09:02, 20 mrt 2020 | erf | | Polygoon | 247250,98 | 443664,68 | 97 | 202,12 |
| erf | 15114 | 17 | 09:02, 20 mrt 2020 | erf | | Polygoon | 246798,08 | 443544,86 | 96 | 261,96 |
| erf | 15115 | 17 | 09:02, 20 mrt 2020 | erf | | Polygoon | 247202,05 | 443778,00 | 291 | 1285,80 |
| erf | 15122 | 17 | 09:02, 20 mrt 2020 | erf | | Polygoon | 246807,61 | 443564,51 | 7 | 38,42 |
| erf | 15126 | 17 | 09:02, 20 mrt 2020 | erf | | Polygoon | 246852,93 | 443466,30 | 277 | 1273,21 |
| erf | 15153 | 17 | 09:02, 20 mrt 2020 | erf | | Polygoon | 246827,69 | 443445,70 | 30 | 97,73 |
| erf | 15154 | 17 | 09:02, 20 mrt 2020 | erf | | Polygoon | 247028,07 | 443549,63 | 630 | 3238,62 |
| erf | 15160 | 17 | 09:02, 20 mrt 2020 | erf | | Polygoon | 246756,02 | 443315,73 | 66 | 195,20 |
| erf | 15162 | 17 | 09:02, 20 mrt 2020 | erf | | Polygoon | 246765,74 | 443429,06 | 12 | 81,69 |
| erf | 15163 | 17 | 09:02, 20 mrt 2020 | erf | | Polygoon | 247106,99 | 443595,05 | 237 | 1033,67 |
| erf | 15176 | 17 | 09:02, 20 mrt 2020 | erf | | Polygoon | 246956,32 | 443872,66 | 6 | 26,58 |
| erf | 15178 | 17 | 09:02, 20 mrt 2020 | erf | | Polygoon | 246920,79 | 443739,93 | 53 | 239,99 |
| erf | 15179 | 17 | 09:02, 20 mrt 2020 | erf | | Polygoon | 247356,67 | 443649,17 | 184 | 887,33 |
| erf | 15182 | 17 | 09:02, 20 mrt 2020 | erf | | Polygoon | 246913,00 | 443881,49 | 369 | 1792,17 |
| erf | 15188 | 17 | 09:02, 20 mrt 2020 | erf | | Polygoon | 247044,33 | 443731,23 | 13 | 51,95 |
| erf | 15189 | 17 | 09:02, 20 mrt 2020 | erf | | Polygoon | 247289,54 | 443500,67 | 113 | 620,73 |
| erf | 15190 | 17 | 09:02, 20 mrt 2020 | erf | | Polygoon | 246736,01 | 443323,67 | 136 | 486,35 |
| erf | 15198 | 17 | 09:02, 20 mrt 2020 | erf | | Polygoon | 246975,44 | 444020,58 | 582 | 2832,60 |
| erf | 15204 | 17 | 09:02, 20 mrt 2020 | erf | | Polygoon | 246606,61 | 443647,75 | 8 | 51,41 |
| erf | 15209 | 17 | 09:02, 20 mrt 2020 | erf | | Polygoon | 246620,74 | 443639,04 | 9 | 52,80 |
| erf | 15234 | 17 | 09:02, 20 mrt 2020 | erf | | Polygoon | 246734,05 | 443522,28 | 4 | 74,14 |
| erf | 15247 | 17 | 09:02, 20 mrt 2020 | erf | | Polygoon | 247312,64 | 443533,82 | 142 | 629,47 |
| erf | 15257 | 17 | 09:02, 20 mrt 2020 | erf | | Polygoon | 246984,65 | 443816,16 | 763 | 4201,11 |
| erf | 15260 | 17 | 09:02, 20 mrt 2020 | erf | | Polygoon | 246852,93 | 443466,30 | 279 | 1274,34 |
| erf | 15262 | 17 | 09:02, 20 mrt 2020 | erf | | Polygoon | 246859,13 | 443588,68 | 227 | 1347,26 |
| erf | 15265 | 17 | 09:02, 20 mrt 2020 | erf | | Polygoon | 246741,08 | 443321,96 | 5 | 23,53 |
| erf | 15275 | 17 | 09:02, 20 mrt 2020 | erf | | Polygoon | 246653,84 | 443652,41 | 89 | 263,66 |
| erf | 15284 | 17 | 09:02, 20 mrt 2020 | erf | | Polygoon | 246742,54 | 443362,24 | 4 | 11,23 |

Model: Jager
Jager - Jager
Groep: (hoofdgroep)
Lijst van Bodemgebieden, voor rekenmethode Wegverkeerslawaai - RMW-2012

| Groep | Oppervlak | Min.lengte | Max.lengte | Bf |
|---|---|---|---|---|
| erf | 467,08 | 0,29 | 10,54 | 0,50 |
| erf | 124,00 | 2,23 | 22,19 | 0,50 |
| erf | 1706,36 | 0,07 | 26,06 | 0,50 |
| erf | 6402,99 | 0,02 | 30,51 | 0,50 |
| erf | 1094,82 | 0,19 | 23,70 | 0,50 |
| erf | 2573,16 | 0,02 | 31,18 | 0,50 |
| erf | 106,08 | 0,12 | 19,85 | 0,50 |
| erf | 414,19 | 0,16 | 26,25 | 0,50 |
| erf | 544,53 | 0,03 | 27,81 | 0,50 |
| erf | 648,58 | 0,03 | 63,55 | 0,50 |
| erf | 3794,17 | 0,03 | 22,68 | 0,50 |
| erf | 91,85 | 0,13 | 10,26 | 0,50 |
| erf | 1500,70 | 0,01 | 71,74 | 0,50 |
| erf | 255,57 | 0,23 | 15,23 | 0,50 |
| erf | 9307,25 | 0,04 | 51,75 | 0,50 |
| erf | 398,30 | 0,12 | 8,87 | 0,50 |
| erf | 181,13 | 0,83 | 26,79 | 0,50 |
| erf | 1687,56 | 0,03 | 42,91 | 0,50 |
| erf | 32,09 | 1,35 | 8,81 | 0,50 |
| erf | 461,93 | 0,16 | 17,19 | 0,50 |
| erf | 2072,05 | 0,03 | 31,44 | 0,50 |
| erf | 3834,30 | 0,02 | 112,98 | 0,50 |
| erf | 149,34 | 0,10 | 13,37 | 0,50 |
| erf | 1466,06 | 0,02 | 34,63 | 0,50 |
| erf | 788,44 | 0,09 | 49,53 | 0,50 |
| erf | 6586,74 | 0,04 | 77,91 | 0,50 |
| erf | 37,78 | 0,38 | 11,68 | 0,50 |
| erf | 28,93 | 0,70 | 11,07 | 0,50 |
| erf | 161,94 | 5,06 | 32,01 | 0,50 |
| erf | 1815,61 | 0,15 | 35,72 | 0,50 |
| erf | 13238,35 | 0,04 | 100,55 | 0,50 |
| erf | 1512,94 | 0,01 | 71,74 | 0,50 |
| erf | 3746,38 | 0,15 | 27,85 | 0,50 |
| erf | 33,16 | 3,35 | 7,08 | 0,50 |
| erf | 674,75 | 0,09 | 27,87 | 0,50 |
| erf | 7,03 | 1,80 | 3,75 | 0,50 |

Model: Jager
Jager - Jager
Groep: (hoofdgroep)
Lijst van Bodemgebieden, voor rekenmethode Wegverkeerslawaai - RMW-2012

| Groep | ItemID | Grp.ID | Datum | Naam | Omschr. | Vorm | X-1 | Y-1 | Vormpunten | Omtrek |
|---|---|---|---|---|---|---|---|---|---|---|
| erf | 15285 | 17 | 09:02, 20 mrt 2020 | erf | | Polygoon | 246715,71 | 443373,16 | 51 | 16,63 |
| erf | 15287 | 17 | 09:02, 20 mrt 2020 | erf | | Polygoon | 246733,11 | 443378,76 | 74 | 15,59 |
| erf | 15301 | 17 | 09:02, 20 mrt 2020 | erf | | Polygoon | 246653,84 | 443652,41 | 105 | 317,60 |
| erf | 15302 | 17 | 09:02, 20 mrt 2020 | erf | | Polygoon | 247177,07 | 443842,64 | 784 | 4199,22 |
| erf | 15312 | 17 | 09:02, 20 mrt 2020 | erf | | Polygoon | 247163,75 | 443251,32 | 635 | 3430,17 |
| erf | 15330 | 17 | 09:02, 20 mrt 2020 | erf | | Polygoon | 246972,80 | 443826,64 | 682 | 4450,95 |
| erf | 15337 | 17 | 09:02, 20 mrt 2020 | erf | | Polygoon | 246913,00 | 443881,49 | 370 | 1799,00 |
| erf | 15345 | 17 | 09:02, 20 mrt 2020 | erf | | Polygoon | 247244,41 | 443904,74 | 69 | 351,92 |
| erf | 15348 | 17 | 09:02, 20 mrt 2020 | erf | | Polygoon | 246787,33 | 443519,32 | 78 | 208,89 |
| erf | 15357 | 17 | 09:02, 20 mrt 2020 | erf | | Polygoon | 247029,23 | 443681,40 | 502 | 2388,84 |
| erf | 15365 | 17 | 09:02, 20 mrt 2020 | erf | | Polygoon | 247167,61 | 443978,75 | 38 | 180,92 |
| erf | 15366 | 17 | 09:02, 20 mrt 2020 | erf | | Polygoon | 247244,41 | 443904,74 | 70 | 351,92 |
| erf | 15367 | 17 | 09:02, 20 mrt 2020 | erf | | Polygoon | 247163,75 | 443251,32 | 644 | 3420,49 |
| erf | 15369 | 17 | 09:02, 20 mrt 2020 | erf | | Polygoon | 246660,74 | 443882,68 | 27 | 279,14 |
| erf | 15370 | 17 | 09:02, 20 mrt 2020 | erf | | Polygoon | 247109,06 | 443936,89 | 44 | 229,46 |
| erf | 15371 | 17 | 09:02, 20 mrt 2020 | erf | | Polygoon | 247177,07 | 443842,64 | 757 | 4142,82 |
| erf | 15378 | 17 | 09:02, 20 mrt 2020 | erf | | Polygoon | 246767,50 | 443376,80 | 123 | 357,02 |
| erf | 15384 | 17 | 09:02, 20 mrt 2020 | erf | | Polygoon | 247170,25 | 443293,27 | 414 | 1855,57 |
| erf | 15387 | 17 | 09:02, 20 mrt 2020 | erf | | Polygoon | 247182,18 | 443696,88 | 242 | 1033,17 |
| erf | 15390 | 17 | 09:02, 20 mrt 2020 | erf | | Polygoon | 246899,66 | 443864,91 | 668 | 4404,33 |
| erf | 15391 | 17 | 09:02, 20 mrt 2020 | erf | | Polygoon | 247029,23 | 443681,40 | 474 | 2347,48 |
| erf | 15399 | 17 | 09:02, 20 mrt 2020 | erf | | Polygoon | 246765,74 | 443429,06 | 167 | 434,83 |
| erf | 15402 | 17 | 09:02, 20 mrt 2020 | erf | | Polygoon | 246721,07 | 443374,47 | 5 | 8,38 |
| erf | 15414 | 17 | 09:02, 20 mrt 2020 | erf | | Polygoon | 247250,98 | 443664,68 | 26 | 181,89 |
| erf | 15416 | 17 | 09:02, 20 mrt 2020 | erf | | Polygoon | 247177,07 | 443842,64 | 781 | 4167,32 |
| erf | 15418 | 17 | 09:02, 20 mrt 2020 | erf | | Polygoon | 247312,64 | 443533,82 | 143 | 626,30 |
| erf | 15426 | 17 | 09:02, 20 mrt 2020 | erf | | Polygoon | 246617,80 | 443694,18 | 94 | 439,75 |
| erf | 15428 | 17 | 09:02, 20 mrt 2020 | erf | | Polygoon | 246766,91 | 443885,30 | 266 | 1464,50 |
| erf | 15431 | 17 | 09:02, 20 mrt 2020 | erf | | Polygoon | 247114,58 | 443703,80 | 157 | 545,93 |
| erf | 15436 | 17 | 09:02, 20 mrt 2020 | erf | | Polygoon | 246665,43 | 443848,24 | 5 | 44,88 |
| erf | 15447 | 17 | 09:02, 20 mrt 2020 | erf | | Polygoon | 247033,94 | 443964,06 | 377 | 1847,56 |
| erf | 15449 | 17 | 09:02, 20 mrt 2020 | erf | | Polygoon | 246972,51 | 443869,03 | 586 | 2932,11 |
| erf | 15451 | 17 | 09:02, 20 mrt 2020 | erf | | Polygoon | 246906,81 | 443632,03 | 259 | 1504,68 |
| erf | 15455 | 17 | 09:02, 20 mrt 2020 | erf | | Polygoon | 247010,50 | 443602,68 | 28 | 116,38 |
| erf | 15457 | 17 | 09:02, 20 mrt 2020 | erf | | Polygoon | 247272,89 | 443861,99 | 44 | 149,98 |
| erf | 15466 | 17 | 09:02, 20 mrt 2020 | erf | | Polygoon | 247167,61 | 443978,75 | 36 | 165,02 |

Model: Jager
Jager - Jager
Groep: (hoofdgroep)
Lijst van Bodemgebieden, voor rekenmethode Wegverkeerslawaai - RMW-2012

| Groep | Oppervlak | Min.lengte | Max.lengte | Bf |
|---|---|---|---|---|
| erf | 15,61 | 0,13 | 3,44 | 0,50 |
| erf | 15,44 | 0,14 | 2,72 | 0,50 |
| erf | 708,86 | 0,06 | 27,87 | 0,50 |
| erf | 13223,29 | 0,01 | 100,55 | 0,50 |
| erf | 18687,96 | 0,03 | 73,20 | 0,50 |
| erf | 10486,97 | 0,01 | 102,62 | 0,50 |
| erf | 3825,83 | 0,02 | 112,60 | 0,50 |
| erf | 812,39 | 0,92 | 25,85 | 0,50 |
| erf | 580,37 | 0,03 | 62,26 | 0,50 |
| erf | 5257,13 | 0,01 | 31,88 | 0,50 |
| erf | 389,01 | 0,09 | 24,82 | 0,50 |
| erf | 812,39 | 0,06 | 25,85 | 0,50 |
| erf | 18612,63 | 0,03 | 73,20 | 0,50 |
| erf | 1728,03 | 0,22 | 39,06 | 0,50 |
| erf | 600,68 | 0,12 | 37,27 | 0,50 |
| erf | 13305,81 | 0,01 | 100,55 | 0,50 |
| erf | 563,44 | 0,28 | 10,52 | 0,50 |
| erf | 5828,89 | 0,04 | 87,76 | 0,50 |
| erf | 1514,57 | 0,04 | 44,73 | 0,50 |
| erf | 10427,96 | 0,01 | 102,78 | 0,50 |
| erf | 5319,40 | 0,01 | 31,88 | 0,50 |
| erf | 658,72 | 0,03 | 31,74 | 0,50 |
| erf | 4,38 | 0,84 | 2,21 | 0,50 |
| erf | 520,34 | 0,05 | 27,81 | 0,50 |
| erf | 13309,35 | 0,01 | 100,55 | 0,50 |
| erf | 1807,97 | 0,28 | 35,72 | 0,50 |
| erf | 1396,80 | 0,14 | 19,73 | 0,50 |
| erf | 3726,55 | 0,03 | 54,23 | 0,50 |
| erf | 1088,29 | 0,05 | 13,89 | 0,50 |
| erf | 73,82 | 2,06 | 19,57 | 0,50 |
| erf | 5082,36 | 0,02 | 43,56 | 0,50 |
| erf | 6536,38 | 0,02 | 77,91 | 0,50 |
| erf | 5222,21 | 0,11 | 33,05 | 0,50 |
| erf | 197,26 | 0,31 | 18,69 | 0,50 |
| erf | 293,48 | 0,20 | 33,53 | 0,50 |
| erf | 397,98 | 0,09 | 24,82 | 0,50 |

Model: Jager
Jager - Jager
Groep: (hoofdgroep)
Lijst van Bodemgebieden, voor rekenmethode Wegverkeerslawaai - RMW-2012

| Groep | ItemID | Grp.ID | Datum | Naam | Omschr. | Vorm | X-1 | Y-1 | Vormpunten | Omtrek |
|---|---|---|---|---|---|---|---|---|---|---|
| erf | 15482 | 17 | 09:02, 20 mrt 2020 | erf | | Polygoon | 247314,40 | 443575,02 | 388 | 2113,54 |
| erf | 15499 | 17 | 09:02, 20 mrt 2020 | erf | | Polygoon | 247127,37 | 443897,06 | 37 | 195,79 |
| erf | 15502 | 17 | 09:02, 20 mrt 2020 | erf | | Polygoon | 247172,41 | 443710,98 | 6 | 43,37 |
| erf | 15504 | 17 | 09:02, 20 mrt 2020 | erf | | Polygoon | 247033,94 | 443964,06 | 376 | 1853,68 |
| erf | 15518 | 17 | 09:02, 20 mrt 2020 | erf | | Polygoon | 247126,20 | 443698,89 | 157 | 546,52 |
| erf | 15521 | 17 | 09:02, 20 mrt 2020 | erf | | Polygoon | 246856,12 | 443383,11 | 360 | 2260,37 |
| erf | 15522 | 17 | 09:02, 20 mrt 2020 | erf | | Polygoon | 247341,05 | 443753,44 | 126 | 729,31 |
| erf | 15530 | 17 | 09:02, 20 mrt 2020 | erf | | Polygoon | 247164,55 | 444012,80 | 61 | 266,97 |
| erf | 15531 | 17 | 09:02, 20 mrt 2020 | erf | | Polygoon | 246899,66 | 443864,91 | 664 | 4392,85 |
| erf | 15542 | 17 | 09:02, 20 mrt 2020 | erf | | Polygoon | 246689,62 | 443504,03 | 4 | 41,40 |
| erf | 15551 | 17 | 09:02, 20 mrt 2020 | erf | | Polygoon | 247163,75 | 443251,32 | 634 | 3435,31 |
| erf | 15555 | 17 | 09:02, 20 mrt 2020 | erf | | Polygoon | 247282,50 | 443774,97 | 343 | 1929,84 |
| erf | 15556 | 17 | 09:02, 20 mrt 2020 | erf | | Polygoon | 246856,12 | 443383,11 | 360 | 2221,84 |
| erf | 15559 | 17 | 09:02, 20 mrt 2020 | erf | | Polygoon | 246836,37 | 443293,28 | 258 | 836,65 |
| erf | 15560 | 17 | 09:02, 20 mrt 2020 | erf | | Polygoon | 246703,91 | 443911,76 | 12 | 213,39 |
| erf | 15562 | 17 | 09:02, 20 mrt 2020 | erf | | Polygoon | 246829,71 | 443343,01 | 257 | 836,65 |
| erf | 15565 | 17 | 09:02, 20 mrt 2020 | erf | | Polygoon | 246915,29 | 443327,58 | 39 | 427,07 |
| erf | 15567 | 17 | 09:02, 20 mrt 2020 | erf | | Polygoon | 247039,43 | 443422,83 | 182 | 956,08 |
| erf | 15577 | 17 | 09:02, 20 mrt 2020 | erf | | Polygoon | 247300,20 | 443945,91 | 33 | 196,51 |
| erf | 15586 | 17 | 09:02, 20 mrt 2020 | erf | | Polygoon | 246856,12 | 443383,11 | 362 | 2221,84 |
| erf | 15596 | 17 | 09:02, 20 mrt 2020 | erf | | Polygoon | 247202,05 | 443778,00 | 298 | 1311,08 |
| erf | 15599 | 17 | 09:02, 20 mrt 2020 | erf | | Polygoon | 247132,90 | 443640,41 | 41 | 201,07 |
| erf | 15601 | 17 | 09:02, 20 mrt 2020 | erf | | Polygoon | 246899,66 | 443864,91 | 668 | 4393,47 |
| erf | 15610 | 17 | 09:02, 20 mrt 2020 | erf | | Polygoon | 246941,08 | 443558,10 | 354 | 2293,68 |
| erf | 15620 | 17 | 09:02, 20 mrt 2020 | erf | | Polygoon | 246781,30 | 443347,23 | 12 | 79,37 |
| erf | 15621 | 17 | 09:02, 20 mrt 2020 | erf | | Polygoon | 247229,22 | 443372,56 | 429 | 1871,87 |
| erf | 15632 | 17 | 09:02, 20 mrt 2020 | erf | | Polygoon | 247165,40 | 443441,32 | 578 | 2789,05 |
| erf | 15635 | 17 | 09:02, 20 mrt 2020 | erf | | Polygoon | 247238,46 | 443609,02 | 14 | 36,68 |
| erf | 15648 | 17 | 09:02, 20 mrt 2020 | erf | | Polygoon | 246752,49 | 443363,40 | 8 | 33,81 |
| erf | 15649 | 17 | 09:02, 20 mrt 2020 | erf | | Polygoon | 247340,94 | 443754,36 | 112 | 675,91 |
| erf | 15654 | 17 | 09:02, 20 mrt 2020 | erf | | Polygoon | 246941,08 | 443558,10 | 113 | 673,27 |
| erf | 15655 | 17 | 09:02, 20 mrt 2020 | erf | | Polygoon | 246745,14 | 443310,71 | 67 | 195,20 |
| erf | 15659 | 17 | 09:02, 20 mrt 2020 | erf | | Polygoon | 247205,03 | 443539,97 | 647 | 2939,45 |
| erf | 15662 | 17 | 09:02, 20 mrt 2020 | erf | | Polygoon | 246906,81 | 443632,03 | 254 | 1451,07 |
| erf | 15669 | 17 | 09:02, 20 mrt 2020 | erf | | Polygoon | 247106,99 | 443595,05 | 235 | 1033,67 |
| erf | 15676 | 17 | 09:02, 20 mrt 2020 | erf | | Polygoon | 246972,51 | 443869,03 | 588 | 2940,63 |

Model: Jager
Jager - Jager
Groep: (hoofdgroep)
Lijst van Bodemgebieden, voor rekenmethode Wegverkeerslawaai - RMW-2012

| Groep | Oppervlak | Min.lengte | Max.lengte | Bf |
|---|---|---|---|---|
| erf | 6382,21 | 0,02 | 30,51 | 0,50 |
| erf | 414,19 | 0,16 | 25,47 | 0,50 |
| erf | 38,14 | 1,79 | 19,72 | 0,50 |
| erf | 5074,02 | 0,02 | 43,56 | 0,50 |
| erf | 1067,32 | 0,05 | 13,89 | 0,50 |
| erf | 7689,00 | 0,03 | 67,00 | 0,50 |
| erf | 1746,50 | 0,17 | 26,06 | 0,50 |
| erf | 571,40 | 0,13 | 38,90 | 0,50 |
| erf | 10473,42 | 0,01 | 102,78 | 0,50 |
| erf | 25,32 | 1,24 | 19,48 | 0,50 |
| erf | 18715,16 | 0,03 | 73,20 | 0,50 |
| erf | 5586,63 | 0,02 | 43,85 | 0,50 |
| erf | 7719,32 | 0,03 | 67,00 | 0,50 |
| erf | 3097,33 | 0,01 | 46,71 | 0,50 |
| erf | 570,70 | 1,65 | 47,88 | 0,50 |
| erf | 3097,33 | 0,01 | 46,71 | 0,50 |
| erf | 1309,94 | 0,34 | 51,64 | 0,50 |
| erf | 2573,16 | 0,20 | 31,18 | 0,50 |
| erf | 364,05 | 0,30 | 45,26 | 0,50 |
| erf | 7719,32 | 0,03 | 67,00 | 0,50 |
| erf | 3770,53 | 0,04 | 22,68 | 0,50 |
| erf | 393,05 | 0,64 | 27,06 | 0,50 |
| erf | 10456,17 | 0,01 | 102,78 | 0,50 |
| erf | 5396,79 | 0,11 | 46,83 | 0,50 |
| erf | 163,38 | 0,79 | 23,06 | 0,50 |
| erf | 5880,00 | 0,04 | 87,76 | 0,50 |
| erf | 6449,30 | 0,02 | 63,26 | 0,50 |
| erf | 53,76 | 0,11 | 8,20 | 0,50 |
| erf | 32,67 | 0,60 | 9,71 | 0,50 |
| erf | 1551,39 | 0,17 | 25,52 | 0,50 |
| erf | 864,42 | 0,16 | 36,46 | 0,50 |
| erf | 398,30 | 0,12 | 8,87 | 0,50 |
| erf | 6171,34 | 0,03 | 49,11 | 0,50 |
| erf | 5194,79 | 0,11 | 33,05 | 0,50 |
| erf | 1701,18 | 0,04 | 42,91 | 0,50 |
| erf | 6520,87 | 0,02 | 77,91 | 0,50 |

# Invoergegevens van het model

Model: Jager
Jager - Jager
Groep: (hoofdgroep)
Lijst van Bodemgebieden, voor rekenmethode Wegverkeerslawaai - RMW-2012

| Groep | ItemID | Grp.ID | Datum | Naam | Omschr. | Vorm | X-1 | Y-1 | Vormpunten | Omtrek |
|---|---|---|---|---|---|---|---|---|---|---|
| erf | 15679 | 17 | 09:02, 20 mrt 2020 | erf | | Polygoon | 247340,94 | 443754,36 | 113 | 675,91 |
| erf | 15686 | 17 | 09:02, 20 mrt 2020 | erf | | Polygoon | 247247,17 | 443895,03 | 44 | 195,88 |
| erf | 15688 | 17 | 09:02, 20 mrt 2020 | erf | | Polygoon | 246856,12 | 443383,11 | 347 | 2163,63 |
| erf | 15692 | 17 | 09:02, 20 mrt 2020 | erf | | Polygoon | 246984,65 | 443816,16 | 756 | 4152,59 |
| erf | 15695 | 17 | 09:02, 20 mrt 2020 | erf | | Polygoon | 246729,00 | 443377,30 | 5 | 15,74 |
| erf | 15700 | 17 | 09:02, 20 mrt 2020 | erf | | Polygoon | 246757,44 | 443452,92 | 6 | 65,55 |
| erf | 15702 | 17 | 09:02, 20 mrt 2020 | erf | | Polygoon | 246722,10 | 443516,22 | 10 | 38,97 |
| erf | 15710 | 17 | 09:02, 20 mrt 2020 | erf | | Polygoon | 246766,91 | 443885,30 | 259 | 1425,92 |
| plan | 15716 | 25 | 09:38, 20 mrt 2020 | groen | | Polygoon | 246935,27 | 443711,42 | 4 | 29,96 |
| plan | 15717 | 25 | 09:38, 20 mrt 2020 | groen | | Polygoon | 246968,21 | 443754,68 | 3 | 34,93 |
| plan | 15718 | 25 | 09:39, 20 mrt 2020 | groen | | Polygoon | 246962,04 | 443684,30 | 12 | 81,31 |
| plan | 15719 | 25 | 09:39, 20 mrt 2020 | tuin | | Polygoon | 246950,35 | 443713,23 | 4 | 87,77 |
| plan | 15720 | 25 | 09:40, 20 mrt 2020 | tuin | | Polygoon | 246957,96 | 443710,65 | 5 | 85,12 |
| plan | 15721 | 25 | 09:40, 20 mrt 2020 | tuin | | Polygoon | 246949,27 | 443737,01 | 6 | 98,43 |

Model: Jager
Jager - Jager
Groep: (hoofdgroep)
Lijst van Bodemgebieden, voor rekenmethode Wegverkeerslawaai - RMW-2012

| Groep | Oppervlak | Min.lengte | Max.lengte | Bf |
|---|---|---|---|---|
| erf | 1551,39 | 0,17 | 25,52 | 0,50 |
| erf | 472,97 | 0,29 | 13,56 | 0,50 |
| erf | 7722,14 | 0,03 | 67,00 | 0,50 |
| erf | 13262,85 | 0,04 | 100,55 | 0,50 |
| erf | 11,81 | 2,00 | 5,85 | 0,50 |
| erf | 130,31 | 0,48 | 27,50 | 0,50 |
| erf | 44,18 | 0,43 | 7,82 | 0,50 |
| erf | 3716,21 | 0,14 | 54,23 | 0,50 |
| plan | 47,42 | 4,51 | 10,45 | 0,80 |
| plan | 32,99 | 4,38 | 15,46 | 0,80 |
| plan | 137,97 | 1,64 | 18,63 | 0,80 |
| plan | 473,46 | 19,07 | 24,85 | 0,50 |
| plan | 453,05 | 2,04 | 23,72 | 0,50 |
| plan | 578,69 | 1,20 | 31,99 | 0,50 |

# Invoergegevens van het model

Model: Jager
Jager - Jager
Groep: (hoofdgroep)
Lijst van Toetspunten, voor rekenmethode Wegverkeerslawaai - RMW-2012

| Groep | ItemID | Grp.ID | Datum | 1e kid | NrKids | Naam | Omschr. | Vorm | X | Y | Maaiveld | Hdef. | Hoogte A | Hoogte B |
|---|---|---|---|---|---|---|---|---|---|---|---|---|---|---|
| -- | 15732 | 0 | 09:58, 20 mrt 2020 | -7 | 3 | Wnp.01 | S1 | Punt | 246959,13 | 443752,04 | 0,00 | Relatief | 1,50 | 4,50 |
| -- | 15733 | 0 | 09:58, 20 mrt 2020 | -13 | 3 | Wnp.02 | S1 | Punt | 246955,81 | 443750,98 | 0,00 | Relatief | 1,50 | 4,50 |
| -- | 15734 | 0 | 09:58, 20 mrt 2020 | -19 | 3 | Wnp.03 | S1 | Punt | 246954,84 | 443745,35 | 0,00 | Relatief | 1,50 | 4,50 |
| -- | 15735 | 0 | 09:58, 20 mrt 2020 | -25 | 3 | Wnp.04 | S1 | Punt | 246958,03 | 443743,25 | 0,00 | Relatief | 1,50 | 4,50 |
| -- | 15736 | 0 | 09:58, 20 mrt 2020 | -31 | 3 | Wnp.05 | S2 | Punt | 246965,48 | 443750,99 | 0,00 | Relatief | 1,50 | 4,50 |
| -- | 15737 | 0 | 09:58, 20 mrt 2020 | -37 | 3 | Wnp.06 | S2 | Punt | 246964,25 | 443742,16 | 0,00 | Relatief | 1,50 | 4,50 |
| -- | 15738 | 0 | 09:58, 20 mrt 2020 | -43 | 3 | Wnp.07 | S3 | Punt | 246971,76 | 443749,91 | 0,00 | Relatief | 1,50 | 4,50 |
| -- | 15739 | 0 | 09:58, 20 mrt 2020 | -49 | 3 | Wnp.08 | S3 | Punt | 246970,47 | 443741,21 | 0,00 | Relatief | 1,50 | 4,50 |
| -- | 15740 | 0 | 09:58, 20 mrt 2020 | -55 | 3 | Wnp.09 | S4 | Punt | 246978,03 | 443748,87 | 0,00 | Relatief | 1,50 | 4,50 |
| -- | 15741 | 0 | 09:58, 20 mrt 2020 | -61 | 3 | Wnp.10 | S4 | Punt | 246980,87 | 443747,11 | 0,00 | Relatief | 1,50 | 4,50 |
| -- | 15742 | 0 | 09:58, 20 mrt 2020 | -67 | 3 | Wnp.11 | S4 | Punt | 246979,90 | 443741,07 | 0,00 | Relatief | 1,50 | 4,50 |
| -- | 15743 | 0 | 09:58, 20 mrt 2020 | -73 | 3 | Wnp.12 | S4 | Punt | 246976,44 | 443740,22 | 0,00 | Relatief | 1,50 | 4,50 |
| -- | 15744 | 0 | 09:58, 20 mrt 2020 | -79 | 2 | Wnp.13 | G1 | Punt | 246967,54 | 443725,19 | 0,00 | Relatief | 1,50 | 4,50 |
| -- | 15745 | 0 | 09:58, 20 mrt 2020 | -85 | 2 | Wnp.14 | G1 | Punt | 246968,30 | 443729,47 | 0,00 | Relatief | 1,50 | 4,50 |
| -- | 15746 | 0 | 09:58, 20 mrt 2020 | -91 | 2 | Wnp.15 | G1 | Punt | 246970,34 | 443730,55 | 0,00 | Relatief | 1,50 | 4,50 |
| -- | 15747 | 0 | 09:58, 20 mrt 2020 | -97 | 2 | Wnp.16 | G1 | Punt | 246976,87 | 443729,49 | 0,00 | Relatief | 1,50 | 4,50 |
| -- | 15748 | 0 | 09:58, 20 mrt 2020 | -103 | 2 | Wnp.17 | G1 | Punt | 246978,26 | 443727,89 | 0,00 | Relatief | 1,50 | 4,50 |
| -- | 15749 | 0 | 09:58, 20 mrt 2020 | -109 | 2 | Wnp.18 | G1 | Punt | 246977,54 | 443723,68 | 0,00 | Relatief | 1,50 | 4,50 |
| -- | 15750 | 0 | 09:58, 20 mrt 2020 | -115 | 2 | Wnp.19 | G2 | Punt | 246966,43 | 443718,52 | 0,00 | Relatief | 1,50 | 4,50 |
| -- | 15751 | 0 | 09:58, 20 mrt 2020 | -121 | 2 | Wnp.20 | G2 | Punt | 246967,10 | 443722,37 | 0,00 | Relatief | 1,50 | 4,50 |
| -- | 15752 | 0 | 09:58, 20 mrt 2020 | -127 | 2 | Wnp.21 | G2 | Punt | 246977,05 | 443720,78 | 0,00 | Relatief | 1,50 | 4,50 |
| -- | 15753 | 0 | 09:58, 20 mrt 2020 | -133 | 2 | Wnp.22 | G2 | Punt | 246976,38 | 443716,80 | 0,00 | Relatief | 1,50 | 4,50 |
| -- | 15754 | 0 | 09:58, 20 mrt 2020 | -139 | 2 | Wnp.23 | G3 | Punt | 246975,90 | 443714,10 | 0,00 | Relatief | 1,50 | 4,50 |
| -- | 15755 | 0 | 09:58, 20 mrt 2020 | -145 | 2 | Wnp.24 | G3 | Punt | 246975,22 | 443709,88 | 0,00 | Relatief | 1,50 | 4,50 |
| -- | 15756 | 0 | 09:58, 20 mrt 2020 | -151 | 2 | Wnp.25 | G3 | Punt | 246973,49 | 443708,80 | 0,00 | Relatief | 1,50 | 4,50 |
| -- | 15757 | 0 | 09:58, 20 mrt 2020 | -157 | 2 | Wnp.26 | G3 | Punt | 246966,73 | 443709,96 | 0,00 | Relatief | 1,50 | 4,50 |
| -- | 15758 | 0 | 09:58, 20 mrt 2020 | -163 | 2 | Wnp.27 | G3 | Punt | 246965,35 | 443711,78 | 0,00 | Relatief | 1,50 | 4,50 |
| -- | 15759 | 0 | 09:58, 20 mrt 2020 | -169 | 2 | Wnp.28 | G3 | Punt | 246966,02 | 443715,64 | 0,00 | Relatief | 1,50 | 4,50 |
| -- | 15760 | 0 | 09:58, 20 mrt 2020 | -175 | 2 | Wnp.29 | G4 | Punt | 246961,75 | 443698,43 | 0,00 | Relatief | 1,50 | 4,50 |
| -- | 15761 | 0 | 09:58, 20 mrt 2020 | -181 | 2 | Wnp.30 | G4 | Punt | 246965,44 | 443696,28 | 0,00 | Relatief | 1,50 | 4,50 |
| -- | 15762 | 0 | 09:58, 20 mrt 2020 | -187 | 2 | Wnp.31 | G4 | Punt | 246965,92 | 443694,42 | 0,00 | Relatief | 1,50 | 4,50 |
| -- | 15763 | 0 | 09:58, 20 mrt 2020 | -193 | 2 | Wnp.32 | G4 | Punt | 246962,34 | 443688,17 | 0,00 | Relatief | 1,50 | 4,50 |
| -- | 15764 | 0 | 09:58, 20 mrt 2020 | -199 | 2 | Wnp.33 | G4 | Punt | 246960,43 | 443687,47 | 0,00 | Relatief | 1,50 | 4,50 |
| -- | 15765 | 0 | 09:58, 20 mrt 2020 | -205 | 2 | Wnp.34 | G4 | Punt | 246956,70 | 443689,65 | 0,00 | Relatief | 1,50 | 4,50 |
| -- | 15766 | 0 | 09:58, 20 mrt 2020 | -211 | 2 | Wnp.35 | G5 | Punt | 246954,66 | 443690,87 | 0,00 | Relatief | 1,50 | 4,50 |
| -- | 15767 | 0 | 09:58, 20 mrt 2020 | -217 | 2 | Wnp.36 | G5 | Punt | 246950,90 | 443693,04 | 0,00 | Relatief | 1,50 | 4,50 |

Model: Jager
Jager - Jager
Groep: (hoofdgroep)
Lijst van Toetspunten, voor rekenmethode Wegverkeerslawaai - RMW-2012

| Groep | Hoogte C | Hoogte D | Hoogte E | Hoogte F | Hoogtes | Gevel |
|---|---|---|---|---|---|---|
| -- | 7,50 | -- | -- | -- | 1,50/4,50/7,50 | Ja |
| -- | 7,50 | -- | -- | -- | 1,50/4,50/7,50 | Ja |
| -- | 7,50 | -- | -- | -- | 1,50/4,50/7,50 | Ja |
| -- | 7,50 | -- | -- | -- | 1,50/4,50/7,50 | Ja |
| -- | 7,50 | -- | -- | -- | 1,50/4,50/7,50 | Ja |
| -- | 7,50 | -- | -- | -- | 1,50/4,50/7,50 | Ja |
| -- | 7,50 | -- | -- | -- | 1,50/4,50/7,50 | Ja |
| -- | 7,50 | -- | -- | -- | 1,50/4,50/7,50 | Ja |
| -- | 7,50 | -- | -- | -- | 1,50/4,50/7,50 | Ja |
| -- | 7,50 | -- | -- | -- | 1,50/4,50/7,50 | Ja |
| -- | 7,50 | -- | -- | -- | 1,50/4,50/7,50 | Ja |
| -- | -- | -- | -- | -- | 1,50/4,50 | Ja |
| -- | -- | -- | -- | -- | 1,50/4,50 | Ja |
| -- | -- | -- | -- | -- | 1,50/4,50 | Ja |
| -- | -- | -- | -- | -- | 1,50/4,50 | Ja |
| -- | -- | -- | -- | -- | 1,50/4,50 | Ja |
| -- | -- | -- | -- | -- | 1,50/4,50 | Ja |
| -- | -- | -- | -- | -- | 1,50/4,50 | Ja |
| -- | -- | -- | -- | -- | 1,50/4,50 | Ja |
| -- | -- | -- | -- | -- | 1,50/4,50 | Ja |
| -- | -- | -- | -- | -- | 1,50/4,50 | Ja |
| -- | -- | -- | -- | -- | 1,50/4,50 | Ja |
| -- | -- | -- | -- | -- | 1,50/4,50 | Ja |
| -- | -- | -- | -- | -- | 1,50/4,50 | Ja |
| -- | -- | -- | -- | -- | 1,50/4,50 | Ja |
| -- | -- | -- | -- | -- | 1,50/4,50 | Ja |
| -- | -- | -- | -- | -- | 1,50/4,50 | Ja |
| -- | -- | -- | -- | -- | 1,50/4,50 | Ja |
| -- | -- | -- | -- | -- | 1,50/4,50 | Ja |
| -- | -- | -- | -- | -- | 1,50/4,50 | Ja |
| -- | -- | -- | -- | -- | 1,50/4,50 | Ja |
| -- | -- | -- | -- | -- | 1,50/4,50 | Ja |
| -- | -- | -- | -- | -- | 1,50/4,50 | Ja |
| -- | -- | -- | -- | -- | 1,50/4,50 | Ja |
| -- | -- | -- | -- | -- | 1,50/4,50 | Ja |
| -- | -- | -- | -- | -- | 1,50/4,50 | Ja |
| -- | -- | -- | -- | -- | 1,50/4,50 | Ja |
| -- | -- | -- | -- | -- | 1,50/4,50 | Ja |
| -- | -- | -- | -- | -- | 1,50/4,50 | Ja |
| -- | -- | -- | -- | -- | 1,50/4,50 | Ja |

# Invoergegevens van het model

Model: Jager
Jager - Jager
Groep: (hoofdgroep)
Lijst van Toetspunten, voor rekenmethode Wegverkeerslawaai - RMW-2012

| Groep | ItemID | Grp.ID | Datum | 1e kid | NrKids | Naam | Omschr. | Vorm | X | Y | Maaiveld | Hdef. | Hoogte A | Hoogte B |
|---|---|---|---|---|---|---|---|---|---|---|---|---|---|---|
| -- | 15768 | 0 | 09:58, 20 mrt 2020 | -223 | 2 | Wnp.37 | G5 | Punt | 246955,73 | 443701,87 | 0,00 | Relatief | 1,50 | 4,50 |
| -- | 15769 | 0 | 09:58, 20 mrt 2020 | -229 | 2 | Wnp.38 | G5 | Punt | 246959,51 | 443699,69 | 0,00 | Relatief | 1,50 | 4,50 |
| -- | 15770 | 0 | 09:58, 20 mrt 2020 | -235 | 2 | Wnp.39 | G6 | Punt | 246948,43 | 443694,48 | 0,00 | Relatief | 1,50 | 4,50 |
| -- | 15771 | 0 | 09:58, 20 mrt 2020 | -241 | 2 | Wnp.40 | G6 | Punt | 246944,81 | 443696,53 | 0,00 | Relatief | 1,50 | 4,50 |
| -- | 15772 | 0 | 09:58, 20 mrt 2020 | -247 | 2 | Wnp.41 | G6 | Punt | 246944,11 | 443698,49 | 0,00 | Relatief | 1,50 | 4,50 |
| -- | 15773 | 0 | 09:58, 20 mrt 2020 | -253 | 2 | Wnp.42 | G6 | Punt | 246947,85 | 443704,86 | 0,00 | Relatief | 1,50 | 4,50 |
| -- | 15774 | 0 | 09:58, 20 mrt 2020 | -259 | 2 | Wnp.43 | G6 | Punt | 246950,34 | 443705,06 | 0,00 | Relatief | 1,50 | 4,50 |
| -- | 15775 | 0 | 09:58, 20 mrt 2020 | -265 | 2 | Wnp.44 | G6 | Punt | 246953,21 | 443703,33 | 0,00 | Relatief | 1,50 | 4,50 |

Model: Jager
Jager - Jager
Groep: (hoofdgroep)
Lijst van Toetspunten, voor rekenmethode Wegverkeerslawaai - RMW-2012

| Groep | Hoogte C | Hoogte D | Hoogte E | Hoogte F | Hoogtes | Gevel |
|---|---|---|---|---|---|---|
| -- | -- | -- | -- | -- | 1,50/4,50 | Ja |
| -- | -- | -- | -- | -- | 1,50/4,50 | Ja |
| -- | -- | -- | -- | -- | 1,50/4,50 | Ja |
| -- | -- | -- | -- | -- | 1,50/4,50 | Ja |
| -- | -- | -- | -- | -- | 1,50/4,50 | Ja |
| -- | -- | -- | -- | -- | 1,50/4,50 | Ja |
| -- | -- | -- | -- | -- | 1,50/4,50 | Ja |
| -- | -- | -- | -- | -- | 1,50/4,50 | Ja |

# Bijlage 3 ecologisch onderzoek deel I

buro ontwerp & omgeving
adviseurs voor leefomgeving

## Quickscan natuurtoets

# Ontwikkeling Vredenseweg 4-6

**Winterswijk**

**van ERS architekten bna**

Projectnummer: 3192.01
Datum: 21-2-2020
Versie: Concept 1

# Quickscan natuurtoets

## Vredenseweg 4-6 te Winterswijk

| | |
|---|---|
| Opdrachtgever: | ERS architekten bna |
| Projectnummer: | 3192.01 |
| Datum: | 21-2-2020 |
| Versie: | Concept 1 |
| Projectleider en rapporteur: | Jur Metselaar |
| Autorisatie: | Laura Tilleman |


Opdrachtnemer: Buro Ontwerp & Omgeving

Velperweg 157
6824 MB Arnhem
Postbus 2033
6802 CA Arnhem

info@ontwerpenomgeving.nl
www.ontwerpenomgeving.nl

# INHOUD

1 INLEIDING ..... 3

2 BELEIDSKADER ..... 4
2.1 Algemeen ..... 4
2.2 Gebiedsbescherming ..... 4
2.3 Soortbescherming ..... 4
2.4 Houtopstanden ..... 5

3 PROJECTGEBIED EN WERKZAAMHEDEN ..... 6
3.1 Beschrijving projectgebied ..... 6
3.2 Geplande werkzaamheden ..... 7

4 WERKWIJZE ..... 8
4.1 Bureauonderzoek ..... 8
4.2 Veldbezoek ..... 8
4.3 Betrouwbaarheid ..... 8

5 RESULTATEN ..... 9
5.1 Gebiedsbescherming ..... 9
5.2 Soortbescherming ..... 11
5.3 Samenvatting ..... 15

6 CONCLUSIE ..... 16
6.1 Conclusies soort- en gebiedsbescherming ..... 16
6.2 Aanvullend onderzoek ..... 16

7 LITERATUURLIJST ..... 18

# BIJLAGEN

1. Effectenindicator Natura 2000-gebieden

# 1 INLEIDING

In opdracht van ERS architekten bna is door Buro Ontwerp & Omgeving een quickscan natuurtoets uitgevoerd op de Vredenseweg 4-6 te Winterswijk. Het betreft het voormalige pand van De Jager Wonen met een aanliggend parkeerterrein. De ontwikkeling voorziet in de sloop van het bestaande complex en de bouw van 10 koopwoningen.

Het doel van de natuurtoets is om een indicatie te krijgen van de aanwezigheid en (mogelijke) effecten van de ingreep op beschermde dier- en plantensoorten en gebieden. Uit deze natuurtoets moet blijken of er nadelige effecten zijn op gebieden met een speciale beschermingsstatus, namelijk Natura 2000-gebieden, Natuurnetwerk Nederland en Groene Ontwikkelingszone. Vervolgens worden de mogelijke effecten onderzocht op onder de Wet natuurbescherming beschermde dier- of plantensoorten. Als (nadelige) effecten niet uit te sluiten zijn moet nader onderzoek plaatsvinden, moeten er mitigerende/compenserende maatregelen getroffen worden en/of eventueel een ontheffing van de Wet natuurbescherming worden aangevraagd. Deze natuurtoets is gebaseerd op bureauonderzoek naar het gebied en waarnemingen van een verkennend veldonderzoek.

In het voorliggende rapport worden achtereenvolgens het beleidskader (hoofdstuk 2), het projectgebied en de werkzaamheden (hoofdstuk 3), de werkwijze (hoofdstuk 4), de resultaten (hoofdstuk 5) en de conclusie (hoofdstuk 6) beschreven.

# 2 BELEIDSKADER

## 2.1 Algemeen

De Wet natuurbescherming (Wnb) heeft als doel de natuur te beschermen en ontwikkelen en de biologische diversiteit te behouden en herstellen. Voor ruimtelijke ingrepen zijn naast de algemene zorgplicht (artikel 1.11) ook hoofdstuk 2 (Natura 2000-gebieden), hoofdstuk 3 (soortenbescherming) en hoofdstuk 4 (houtopstanden) van de Wnb van belang.

## 2.2 Gebiedsbescherming

*Natura 2000-gebieden*

Natura 2000-gebieden zijn aangewezen op basis van de Europese Vogel- en Habitatrichtlijn. Het omvat gebieden waarin habitats en soorten beschermd worden die van Europees belang zijn. Per Natura 2000-gebied zijn specifieke instandhoudingsdoelen opgesteld. Projecten en andere handelingen die negatieve effecten hebben op de kwaliteit van de habitats en/of de instandhoudingsdoelen van het gebied mogen niet plaatsvinden zonder een vergunning. Dit geldt niet alleen voor projecten en handelingen binnen het Natura 2000-gebied. Ook projecten en handelingen aangrenzend of buiten het gebied kunnen negatieve effecten veroorzaken.

*Natuurnetwerk Nederland*

Natuurnetwerk Nederland, NNN (in Gelderland het Gelders Natuurnetwerk, GNN, genoemd), bestaat uit een netwerk van natuurgebieden en heeft als doel deze beter met elkaar en omringende agrarische gebieden te verbinden. Het NNN is niet meegenomen in de Wnb, provincies wijzen zelf gebieden aan en dragen de verantwoordelijkheid voor het NNN en zijn behoud en ontwikkeling.

Ruimtelijke ingrepen mogen de kenmerken en waarden van het NNN niet schaden. Dit wordt gewaarborgd door het ‘nee, tenzij’-principe. Dit houdt in dat de voorgenomen ontwikkeling geen doorgang kan vinden als er sprake is van significant negatieve effecten, tenzij wordt voldaan aan de volgende voorwaarden:

- De ontwikkeling moet van groot openbaar belang zijn;
- Er zijn geen reële alternatieven;
- Negatieve effecten worden zoveel mogelijk beperkt.

## 2.3 Soortbescherming

*De Wet natuurbescherming kent drie beschermingsregimes voor soorten:*

- Beschermingsregime soorten Vogelrichtlijn (Wnb § 3.1)
- Beschermingsregime soorten uit bijlage IV van de Habitatrichtlijn, bijlage II van het verdrag van Bern en bijlage I van het verdrag van Bonn (Wnb § 3.2)
- Beschermingsregime andere soorten (Wnb § 3.3)

In bovengenoemde paragrafen uit het Wnb zijn verbodspalingen vastgesteld en is vastgesteld voor welke handelingen een vrijstelling verleend kan worden. De verbodsbepalingen houden in dat vogels en andere beschermde soorten niet gedood of opzettelijk gestoord mogen worden en nesten, voortplantings- en rustplaatsen niet beschadigd mogen worden. Verder mogen beschermde planten niet geplukt of vernield worden. Als de werkzaamheden van het project leiden tot het overtreden van deze verbodsbepalingen moet worden nagegaan of een provinciale vrijstelling geldt of dat een ontheffing moet worden verkregen.

## 2.4 Houtopstanden

Er kan een meld- en herbeplantingsplicht gelden als houtopstanden buiten de bebouwde kom worden geveld. Dergelijke houtopstanden worden in de Wet natuurbescherming omschreven als een zelfstandige eenheid van bomen, boomvormers, struiken, hakhout of griend die een oppervlakte van 10 are of meer beslaan. Ook wordt een rijbeplanting van meer dan 20 bomen als houtopstand gerekend. Er zijn een aantal uitzonderingen op de meld- en herbeplantingsplicht (Wnb §4).

# 3 PROJECTGEBIED EN WERKZAAMHEDEN

## 3.1 Beschrijving projectgebied

Het projectgebied ligt in de kern van Winterswijk en bestaat uit bebouwing en een parkeerterrein aan de Vredenseweg 4-6 (figuur 1). Rondom het complex bevinden zich woningen, een parkje, een begraafplaats, bestrating, enkele winkels en een cafetaria. Aan de noordzijde loopt de Vredenseweg, aan de oostkant de Eikenstraat en aan de zuidkant van het gebouw bevindt zich de Lijsterbesstraat.




*Figuur 1. Ligging projectgebied Vredenseweg 4-6.*

Het gebouw heeft een oppervlakte van circa 1840 m², heeft twee etages en is voorzien van een plat dak (figuur 2 t/m 5). Tussen de noordgrens van het gebouw en de Vredenseweg bevindt zich een parkeergelegenheid en een klein groenperkje. Aan de noordoostrand van het terrein staan twee jonge bomen. Los daarvan is er geen begroeiing aanwezig in het projectgebied.




*Figuur 2. Impressie van het projectgebied met de zijkant van het gebouw aan de Lijsterbesstraat (linksboven)*
*Figuur 3. Zijkant van het gebouw aan de Eikenstraat (rechtsboven)*
*Figuur 4 en 5. Voorzijde van het gebouw aan de Vredenseweg (links- en rechtsonder).*

## 3.2 Geplande werkzaamheden

De voorgenomen ontwikkeling bestaat uit de sloop van het bestaande complex en het realiseren van 4 starterswoningen en 6 generatiewoningen. Ook wordt ruimte gemaakt voor nieuwe parkeervakken en worden er grasperkjes en enkele heesters aangeplant.

# 4 WERKWIJZE

## 4.1 Bureauonderzoek

Voorafgaand aan het veldbezoek is onderzoek gedaan naar de ligging van het gebied t.o.v. beschermde natuurgebieden, de voorkomende habitats en de verspreidingsgegevens van beschermde soorten in en rondom het gebied (pdok.nl en verspreidingsatlas.nl).

## 4.2 Veldbezoek

Het veldbezoek ten behoeve van de quickscan natuurtoets is uitgevoerd op 14 februari 2020, van 8:30 tot 9:30. Tijdens het veldbezoek was het geheel bewolkt, vrijwel windstil en circa 6 graden Celsius. Er is gekeken naar het terrein en de geschiktheid hiervan voor beschermde planten- en diersoorten. Ook is gekeken naar de aanwezigheid van beschermde soorten, met inbegrip van sporen als pootafdrukken, uitwerpselen, nesten en andere mogelijke verblijfplaatsen.

## 4.3 Betrouwbaarheid

Dit onderzoek is op zorgvuldige wijze uitgevoerd conform de toepasselijke en van kracht zijnde regelgeving ten aanzien van natuurwetgeving. Het onderzoek betreft een momentopname en geeft een inschatting van de geschiktheid van het projectgebied voor beschermde soorten en het al dan niet voorkomen van deze soorten. De gebruikte informatie m.b.t. de verspreiding van flora en fauna mag niet zonder toestemming worden verstrekt aan derden of op enige andere wijze openbaar gemaakt worden. Buro Ontwerp & Omgeving accepteert op voorhand geen aansprakelijkheid ten aanzien van mogelijke beslissingen die de opdrachtgever naar aanleiding van het door Buro Ontwerp & Omgeving uitgevoerde onderzoek neemt.

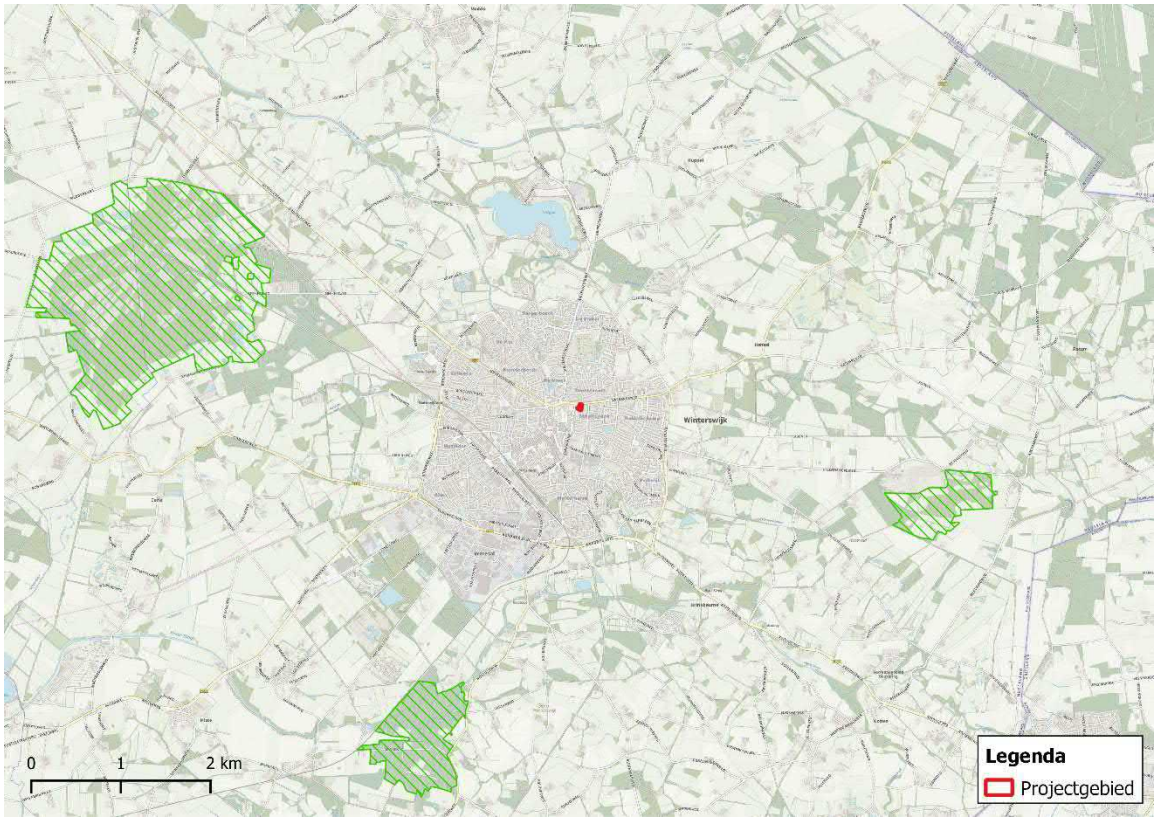
In het algemeen kan gesteld worden dat een quickscan natuurtoets geldig is voor een periode van 2 tot 3 jaar, tenzij de ecologische omstandigheden in deze periode wezenlijk zijn veranderd en/of de Wet natuurbescherming, of wanneer inzichten hieromtrent zijn gewijzigd. Bij uitstel van de uitvoering van een project met meer dan 3 jaar verdient het de aanbeveling de resultaten van de natuurtoets opnieuw te onderzoeken.

# 5 RESULTATEN

## 5.1 Gebiedsbescherming

*Natura 2000*

Het projectgebied ligt op een afstand van circa 3 à 4 km van de Natura 2000-gebieden Bekendelle, Korenburgerveen en Willinks Weust (figuur 6).




*Figuur 6. Ligging projectgebied t.o.v. de Natura 2000-gebieden Bekendelle (onder), Korenburgerveen (links) en Willinks Weust (rechts) (groen gestreept).*

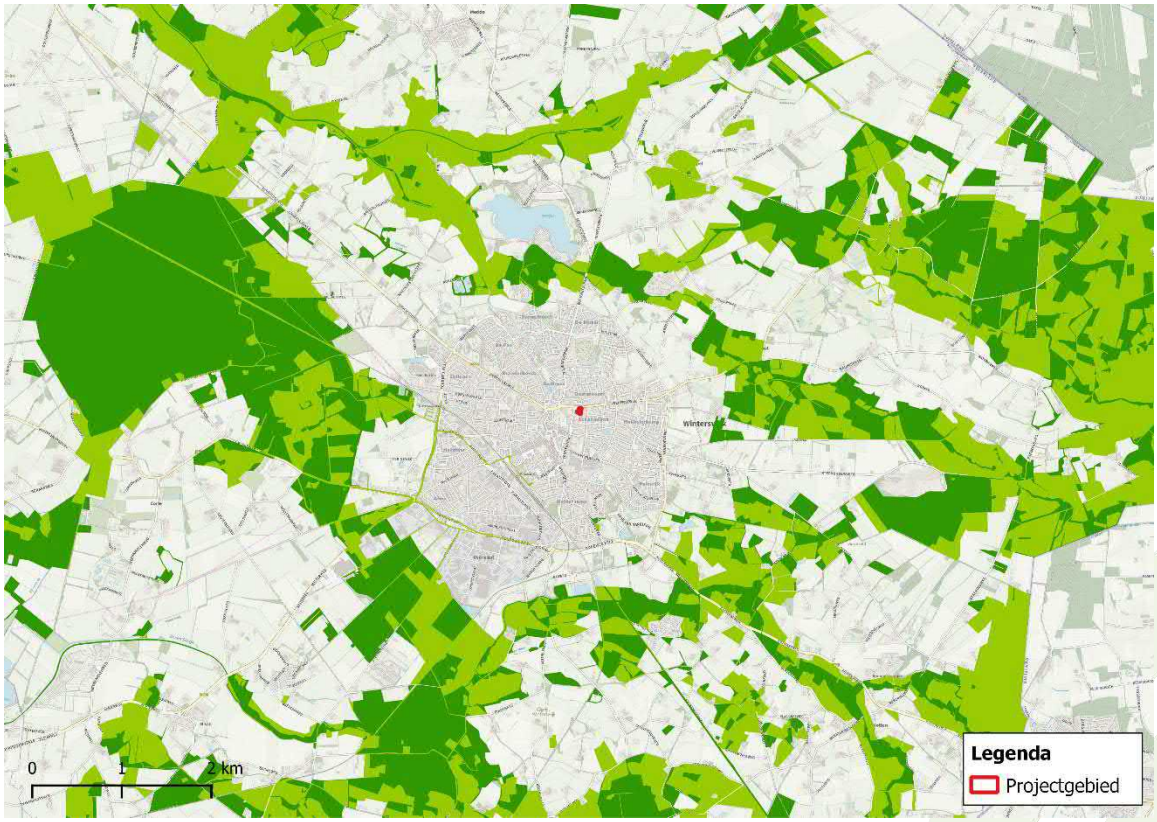
Met de effectenindicator van het ministerie van Landbouw, Natuur en Voedselkwaliteit kan worden ingezien hoe gevoelig bepaalde vegetatietypen, planten- en diersoorten zijn voor verschillende soorten verstoringen. De effectenindicatoren voor woningbouw op deze Natura 2000-gebieden zijn toegevoegd in bijlage 1.

Gezien de werkzaamheden niet plaatsvinden binnen de beschermde gebieden worden de factoren oppervlakteverlies en versnippering uitgesloten. Verder vinden er geen werkzaamheden plaats die invloed hebben op grondwater of waterhuishouding van de gebieden, waardoor verzoeting, verzilting, verdroging, vernatting, verandering in stroomsnelheid of overstromingsfrequentie ook worden uitgesloten. Verontreiniging wordt ook uitgesloten, omdat er geen stoffen worden geloosd.

De afstand tussen het projectgebied en de Natura 2000-gebieden is groot te noemen. Verandering in dynamiek van het substraat, optische verstoring en verstoring door mechanische effecten, geluid, licht en trilling zijn daarom uit te sluiten. Ook wordt verandering in populatiedynamiek en soortensamenstelling uitgesloten vanwege de afstand.

De storingsfactoren die overblijven zijn vermesting en verzuring door stikstofdepositie uit de lucht. Gezien de ingreep en de afstand tot de Natura 2000-gebieden wordt verwacht dat negatieve effecten uit te sluiten zijn, desalniettemin wordt geadviseerd om een AERIUS-berekening te laten uitvoeren.

*Natuurnetwerk Nederland*
Het projectgebied is niet gelegen binnen een Groene Ontwikkelingszone (GO) en ligt op circa 1,2 km afstand van gebieden die onder het Gelders Natuurnetwerk (GNN) vallen; de Gelderse gebieden van Natuurnetwerk Nederland (figuur 7). Gezien de ligging buiten deze gebieden worden de kernkwaliteiten en ontwikkelingen van de GO en het GNN bij de werkzaamheden niet aangetast.




*Figuur 7. Ligging projectgebied t.o.v. het Gelders Natuurnetwerk (donkergroen) en de Groene Ontwikkelingszone (lichtgroen).*

## 5.2 Soortbescherming

***Grondgebonden zoogdieren***

*Algemene soorten*

Er wordt verwacht dat er verschillende algemene grondgebonden zoogdieren kunnen voorkomen in en rondom het projectgebied. Enkele voorbeelden hiervan zijn de egel en huisspitsmuis. Het is niet uit te sluiten dat deze zoogdieren in het projectgebied aanwezig zijn tijdens de werkzaamheden. Voor de meeste grondgebonden zoogdieren geldt in Gelderland een vrijstelling van de Wet natuurbescherming. Verder geldt voor deze soorten de algemene zorgplicht, waarbij alle handelingen die nadelige gevolgen veroorzaken achterwege gelaten moeten worden (Wnb artikel 1.11).

*Strikt beschermde soorten*

Op basis van verspreidingsgegevens is de steenmarter de enige strikt beschermde soort die in de omgeving van het projectgebied voorkomt. Deze soort komt in de omgeving veelvuldig voor. Steenmarters gebruiken hooizolders, loze ruimtes onder het dak, schuurtjes en dergelijke als verblijfplaats. De leegstand van het gebouw kan in het voordeel zijn van de steenmarter, maar er werden geen sporen aangetroffen die duiden op de aanwezigheid van de steenmarter. Deze soort kan daarom worden uitgesloten.

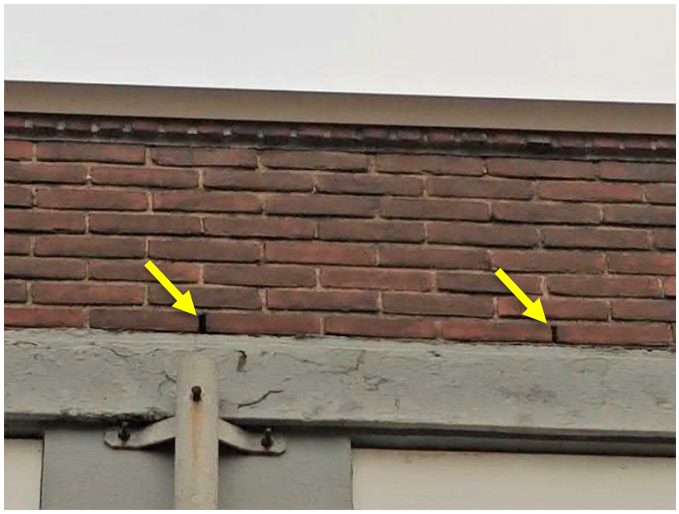
***Vleermuizen***

Op basis van openbare verspreidingsgegevens kunnen in de omgeving van het projectgebied de volgende vleermuissoorten voorkomen: gewone dwergvleermuis, ruige dwergvleermuis, laatvlieger, rosse vleermuis, gewone grootoorvleermuis, franjestaart, baardvleermuis en watervleermuis.

Vleermuizen kunnen globaal opgedeeld worden in boombewonende soorten zoals de rosse vleermuis en gebouwbewonende soorten zoals de gewone dwergvleermuis. Er zijn ook soorten die zowel gebouw- als boombewonend zijn. Vervolgens wordt er onderscheid gemaakt in typen verblijfplaatsen, bijvoorbeeld zomer- en paarverblijven.

In het projectgebied zijn geen geschikte bomen aanwezig die kunnen dienen als verblijfplaats voor boombewonende vleermuissoorten. Hierdoor kunnen verblijfplaatsen van de rosse vleermuis in het projectgebied worden uitgesloten.

Gebouwbewonende soorten maken doorgaans gebruik van spouwruimtes, spleten en vergelijkbare ruimtes in gebouwen. Tijdens het veldbezoek zijn aan de kant van de Eikenstraat en Lijsterbesstraat diverse open stootvoegen gezien die vleermuizen toegang kunnen verlenen tot de spouwmuur (figuur 8). Ook spleten in de houten gevelbetimmering aan de westkant van het gebouw bieden vleermuizen de mogelijkheid om het pand te bereiken. Hierdoor is het niet uit te sluiten dat er verblijfplaatsen van gebouwbewonende vleermuizen in het pand aanwezig zijn (zie hoofdstuk 6).



*Figuur 8. Open stootvoegen die vleermuizen toegang bieden tot de spouwmuur.*

***Vogels***

*Algemene soorten*

Het is op voorhand niet uit te sluiten dat algemene soorten (nog) tot broeden komen in het projectgebied. Tijdens het veldbezoek is in een van de twee bomen op de hoek van de Vredenseweg en Eikenstraat een duivennest aangetroffen dat mogelijk opnieuw bezet gaat worden (figuur 9). Daarnaast werden nog enkele loshangende takken gezien aan de westkant van het gebouw; mogelijk nestmateriaal van algemene broedvogelsoorten (figuur 10).

Alle in het wilde levende vogelsoorten mogen niet opzettelijk gestoord, gevangen of gedood worden volgens de Vogelrichtlijn (Wnb artikel 3.1). Tevens zijn alle vogelsoorten tijdens het broedseizoen beschermd. Hier geldt dat buiten het broedseizoen gewerkt moet worden om verstoring te voorkomen. Voor de meeste vogels kan worden aangenomen dat het broedseizoen van maart tot en met juli loopt, maar bij enkele soorten begint het seizoen eerder of loopt het langer door. Geldend hierbij is de aanwezigheid van een broedgeval op het moment van ingrijpen. Het is op voorhand niet uit te sluiten dat algemene broedvogels tot broeden komen in het te slopen complex of de boom op de hoek van de Vredenseweg en Eikenstraat. De sloop van het complex en het verwijderen van de boom met het vogelnest moet daarom buiten het broedseizoen plaatsvinden.




*Figuur 9. Duivennest in de boom op de hoek Vredenseweg en Eikenstraat (links).*



*Figuur 10. Mogelijk nestmateriaal van een algemene broedvogelsoort aan de westkant van het gebouw.*

*Strikt beschermde soorten*

Van sommige vogelsoorten zijn de vaste rust- en verblijfplaatsen jaarrond beschermd. Voorbeelden hiervan zijn de slechtvalk, steenuil, gierzwaluw en huismus. Ook zijn er soorten waarbij het nest alleen jaarrond beschermd is als er zwaarwegende ecologische redenen zijn, bijvoorbeeld de boerenzwaluw, huiszwaluw en torenvalk.

Soorten met jaarrond beschermde nesten die potentieel in het projectgebied tot broeden kunnen komen zijn de gierzwaluw en huismus.

De gierzwaluw is een soort die voorkomt in dorpen en steden waar hij broedt in donkere holtes, spleten en onder dakpannen van gebouwen. Langs de rand van het houten dakbeschot aan de zuidwestkant van het gebouw zijn spleten aanwezig die als nestplaats geschikt zijn voor gierzwaluwen (figuur 11). De aanwezigheid van deze soort kan daarom niet worden uitgesloten (zie hoofdstuk 6).



*Figuur 11. Openingen die geschikt zijn als nestplaats voor gierzwaluwen.*

De huismus is een standvogel die gebonden is aan bebouwing en komt voornamelijk voor in dorpen en steden. De huismus is tijdens het veldbezoek niet waargenomen in het projectgebied, maar wel in het verlengde deel van de Eikenweg met rijtjeshuizen uit 1947/48 (Kadaster, 2020), tuinen en een zogenoemd kwetterbosje. Aan de Vredenseweg 4-6 is echter geen dekking aanwezig binnen enkele meters van potentieel geschikte nestruimtes. Dekking moet aanwezig zijn voor de jongen als ze uitvliegen en voor de ouders voordat ze naar het nest vliegen om de jongen te voeren. Hierdoor kan de huismus redelijkerwijs worden uitgesloten als broedvogel in het projectgebied.

***Reptielen en amfibieën***

Op basis van de openbare verspreidingsgegevens zijn de gewone pad en bruine kikker te verwachten in de omgeving van het projectgebied. Echter, het projectgebied is vrijwel helemaal bebouwd of anderzijds verhard, waardoor het ongeschikt is voor amfibieën- en reptielensoorten. Hierdoor zijn negatieve effecten op deze soortgroepen uitgesloten.

***Overige beschermde diersoorten***

Uit de openbare beschikbare verspreidingsgegevens blijkt dat in de omgeving van het projectgebied geen waarnemingen bekend zijn van beschermde vissen, weekdieren, libellen, kevers en vlinders. Het projectgebied is verhard en er is geen oppervlaktewater aanwezig, waardoor het ongeschikt is voor deze soortgroepen.

***Vaatplanten***

Op basis van de openbare verspreidingsgegevens zijn er geen beschermde vaatplanten te verwachten in het projectgebied. Het projectgebied bevindt zich binnen de bebouwde kom en is vrijwel helemaal bebouwd of anderzijds verhard. Omdat de beschermde vaatplanten hoge eisen stellen aan hun leefomgeving zijn ze niet in dit projectgebied te verwachten. Hierdoor zijn negatieve effecten op bedreigde vaatplanten uit te sluiten.

## 5.3 Samenvatting

Onderstaande tabel geeft de soorten die (mogelijk) aanwezig zijn weer, de effecten waar ze last van hebben en eventuele vervolgstappen die genomen moeten worden.

| Soortgroep | Soort(en) | Aanwezigheid | Mogelijk effect | Opmerkingen |
|---|---|---|---|---|
| **Grondgebonden zoogdiersoorten** | Strikt beschermde zoogdiersoorten | Nee | Nee | - |
| | Algemene zoogdiersoorten | Mogelijk | Nee* | - |
| **Vleermuizen** | Gebouwbewonende vleermuizen | Mogelijk | Verstoring verblijfplaatsen | Nader onderzoek nodig |
| **Vogels** | Gierzwaluw | Mogelijk | Verstoring nestplaatsen | Nader onderzoek nodig |
| | Algemene broedvogelsoorten | Ja | Verstoring nestplaatsen | Werken buiten het vogelbroedseizoen |
| **Reptielen en amfibieën** | - | Nee | Nee | - |
| **Overige soorten** | - | Nee | Nee | - |
| **Vaatplanten** | - | Nee | Nee | - |

*Er dient wel rekening te worden gehouden met de algemene zorgplicht.

# 6 CONCLUSIE

## 6.1 Conclusies soort- en gebiedsbescherming

Er is onderzoek gedaan naar de mogelijke effecten van het project op vaste verblijf- en rustplaatsen van beschermde dier- en plantensoorten (Wnb). Daarnaast zijn de mogelijke effecten op beschermde natuurgebieden onderzocht.

**Soortbescherming**

Van een aantal soorten is de aanwezigheid in het projectgebied niet uit te sluiten. Hieronder wordt per soort(groep) ingegaan op de bescherming en de mogelijke effecten die zij kunnen ondervinden door de werkzaamheden.

*Vleermuizen*

Tijdens het veldbezoek zijn open stootvoegen aangetroffen die gebouwbewonende vleermuizen kunnen gebruiken om in de spouwmuur te verblijven. Alle vleermuissoorten zijn beschermd volgens artikel 3.5 van de Wnb. Hierdoor is het verboden om de soorten opzettelijk te storen, vangen of doden en hun vaste verblijf- of rustplaatsen opzettelijk te beschadigen of vernielen. De sloop van het gebouw zou kunnen leiden tot overtreding van de Wet natuurbescherming als de deze als verblijfplaats fungeert voor vleermuizen. Daarom moet de aanwezigheid van vleermuizen in het complex nader worden onderzocht.

*Gierzwaluw*

Het projectgebied vormt een geschikte leefomgeving voor de gierzwaluw en tijdens het veldbezoek zijn diverse spleten langs het dakbeschot aangetroffen die kunnen dienen als broedplaats voor gierzwaluwen. De gierzwaluw is beschermd volgens artikel 3.1 van de Wnb en zijn nest is jaarrond beschermd. Hierdoor is het verboden om de soort opzettelijk te storen, vangen of doden en zijn vaste verblijf- of rustplaatsen opzettelijk te beschadigen of vernielen. De sloop van het gebouw zou kunnen leiden tot overtreding van de Wet natuurbescherming als deze als nestplaats fungeert voor de gierzwaluw. Daarom moet de aanwezigheid van gierzwaluwen in het complex nader worden onderzocht.

**Gebiedsbescherming**

Het projectgebied ligt op een afstand van 3 à 4 kilometer van de Natura 2000-gebieden Bekendelle, Korenburgerveen en Willinks Weust, maar effecten worden op deze gebieden niet verwacht vanwege de grote afstand tussen het projectgebied en de Natura 2000-gebieden. Desalniettemin wordt geadviseerd om een AERIUS-berekening te laten uitvoeren. Verder ligt het projectgebied op een afstand van circa 1,2 km van het Gelders Natuurnetwerk en de Groene Ontwikkelingszone. De kernkwaliteiten van deze gebieden worden niet aangetast waardoor negatieve effecten zijn uitgesloten.

## 6.2 Aanvullend onderzoek

Gelet op de geschiktheid van het projectgebied voor vleermuizen en de gierzwaluw, zal aanvullend onderzoek noodzakelijk zijn om de daadwerkelijke functie van het complex voor deze soorten te kunnen bepalen. Deze informatie is benodigd om vast te kunnen stellen of overtredingen van de Wet natuurbescherming aan de orde zijn.

*Vleermuizen*

Het aanvullend onderzoek dient uitgevoerd te worden conform het vleermuisprotocol 2017 (Vleermuisvakberaad Netwerk Groene Bureaus & Zoogdiervereniging, 2017). De onderzoeksmethoden van gewone dwergvleermuis en laatvlieger worden aangehouden, waarbij ook andere vleermuissoorten aangetoond kunnen worden m.b.v. batdetectors. Dit houdt in dat er in de periode mei tot en oktober de volgende onderzoeken uitgevoerd dienen te worden:

- Kraamverblijfonderzoek: 2 onderzoeksrondes (15 mei tot 15 juli) met tussenperiode van minimaal 30 dagen;
- Paarverblijfonderzoek: 2 onderzoeksrondes (15 aug tot 1 okt) met een tussenperiode van minimaal 20 dagen;
- Zomerverblijfonderzoek: 2 onderzoeksrondes (15 mei tot 15 aug) met een tussenperiode van minimaal 20 dagen, waarbij minimaal 1 onderzoeksronde moet plaatsvinden in de kraamperiode.

*Gierzwaluw*

Het aanvullend onderzoek naar de gierzwaluw moet worden uitgevoerd tussen 15 mei en 31 juli, wanneer gierzwaluwen gebruik maken van de nestlocaties. In deze periode moeten er 3 veldbezoeken worden afgelegd met een tussenperiode van 10 dagen. Hiervan moet minimaal 1 van de veldbezoeken plaatsvinden tussen 20 juni en 7 juli, wanneer er jongen aanwezig zijn. De inventarisaties beginnen twee uur voordat de zon ondergaat en duren tot aan zonsondergang (BIJ12, 2017).

# 7 LITERATUURLIJST

BIJ12 (2017*). Kennisdocument Gierzwaluw, Apus apus, versie 1.0, juli 2017.* BIJ12: Utrecht, Nederland.

Kadaster (2020). *Basisregistratie Adressen en Gebouwen*. Geraadpleegd op 14 februari 2020 via https://bagviewer.kadaster.nl/lvbag/bag-viewer/index.html#?searchQuery=eikenstraat,%20win&resultOffset=0&objectId=0294200000415012&geometry.x=246987.594&geometry.y=443655.609&zoomlevel=6&detailsObjectId=0294010000415013

Ministerie van Landbouw, Natuur & Voedselkwaliteit (2020). *Effectenindicator Natura 2000-gebieden*. Geraadpleegd op 17 februari 2020 via https://www.synbiosys.alterra.nl/bij12/effectenindicatorappl.aspx?subj=effectenmatrix&tab=1

Vleermuisvakberaad Netwerk Groene Bureaus & Zoogdiervereniging (2017). *Vleermuisprotocol 2017, maart 2017.* Geraadpleegd op 14 februari 2020 via https://www.netwerkgroenebureaus.nl/werken-aan-kwaliteit/vleermuisprotocol

# BIJLAGE 1

## Effectenindicator Natura 2000-gebieden

Effectenindicator voor activiteit ‘woningbouw’ op Natura 2000-gebied Bekendelle (Ministerie van Landbouw, Natuur & Voedselkwaliteit, 2020).

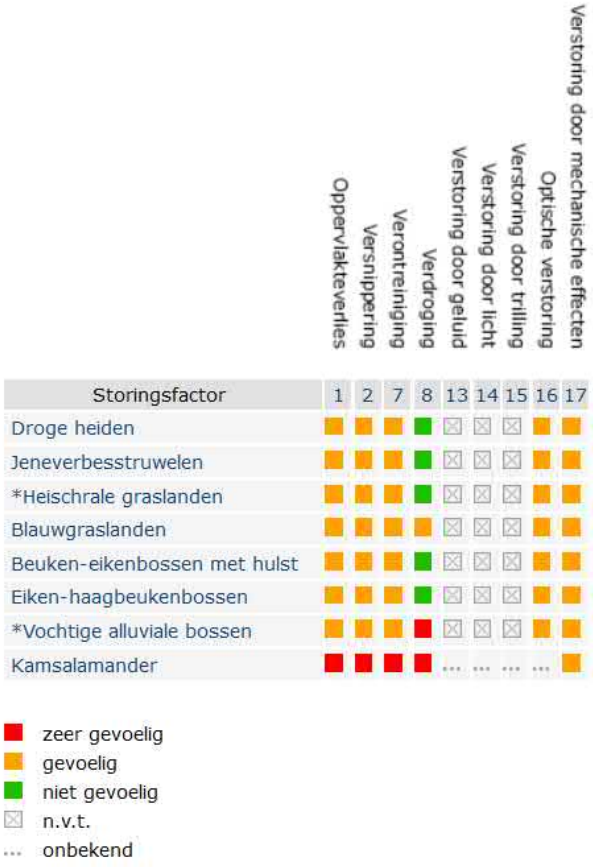
| Storingsfactor | 1 Oppervlakteverlies | 2 Versnippering | 7 Verontreiniging | 8 Verdroging | 13 Verstoring door geluid | 14 Verstoring door licht | 15 Verstoring door trilling | 16 Optische verstoring | 17 Verstoring door mechanische effecten |
|---|---|---|---|---|---|---|---|---|---|
| Beuken-eikenbossen met hulst | gevoelig | gevoelig | gevoelig | niet gevoelig | n.v.t. | n.v.t. | n.v.t. | gevoelig | gevoelig |
| Eiken-haagbeukenbossen | gevoelig | gevoelig | gevoelig | niet gevoelig | n.v.t. | n.v.t. | n.v.t. | gevoelig | gevoelig |
| *Vochtige alluviale bossen | gevoelig | gevoelig | gevoelig | zeer gevoelig | n.v.t. | n.v.t. | n.v.t. | gevoelig | gevoelig |

- zeer gevoelig
- gevoelig
- niet gevoelig
- ☒ n.v.t.
- … onbekend

Effectenindicator voor activiteit ‘woningbouw’ op Natura 2000-gebied Korenburgerveen (Ministerie van Landbouw, Natuur & Voedselkwaliteit, 2020).



Effectenindicator voor activiteit ‘woningbouw’ op Natura 2000-gebied Willinks Weust (Ministerie van Landbouw, Natuur & Voedselkwaliteit, 2020).



# Bijlage 4 ecologisch onderzoek deel II

buro ontwerp & omgeving
adviseurs voor leefomgeving

## Nader ecologisch onderzoek

# Vredenseweg 4 t/m 6

**Winterswijk**

**ERS architekten bna**

Projectnummer: 3192.02
Datum: 21-9-2020

# Nader ecologisch onderzoek

Vredenseweg 4 t/m 6

Winterswijk

| | |
|---|---|
| Opdrachtgever: | ERS architekten bna |
| Projectnummer: | 3192.02 |
| Datum: | 21-9-2020 |
| Projectleider en rapporteur: | Jur Metselaar |
| Autorisatie: | Laura Tilleman |


Opdrachtnemer: Buro Ontwerp & Omgeving

Velperweg 157
6824 MB Arnhem
Postbus 2033
6802 CA Arnhem

info@ontwerpenomgeving.nl
www.ontwerpenomgeving.nl

# INHOUD

Pagina


1 INLEIDING ..... 3

2 PROJECTGEBIED EN WERKZAAMHEDEN ..... 4
2.1 Beschrijving projectgebied ..... 4
2.2 Geplande werkzaamheden ..... 4

3 RESULTATEN QUICKSCAN ..... 5
3.1 Vleermuizen ..... 5
3.2 Gierzwaluw ..... 5

4 ONDERZOEKSMETHODE ..... 6
4.1 Vleermuizen ..... 6
4.2 Gierzwaluw ..... 7

5 RESULTATEN ..... 8
5.1 Vleermuizen ..... 8
5.2 Gierzwaluw ..... 10
5.3 Toetsing Wet natuurbescherming ..... 10

6 CONCLUSIE EN ADVIES ..... 11

7 LITERATUURLIJST ..... 12
7.1 Referenties ..... 12
7.2 Overige geraadpleegde bronnen ..... 12

# 1 INLEIDING

In opdracht van ERS architekten bna is door Buro Ontwerp & Omgeving een aanvullend ecologisch onderzoek uitgevoerd op de percelen aan de Vredenseweg 4 t/m 6 te Winterswijk. Het betreft het voormalige pand van De Jager Wonen met een aanliggend parkeerterrein. De ontwikkeling voorziet in de sloop van het bestaande complex en de bouw van tien woningen.

Het aanvullend ecologisch onderzoek is uitgevoerd naar aanleiding van de resultaten van de quickscan natuurtoets die Buro Ontwerp & Omgeving op 14 februari 2020 in het projectgebied heeft uitgevoerd. Hieruit kwam naar voren dat de projectlocatie geschikt is als verblijfplaats voor gebouwbewonende vleermuizen en de gierzwaluw. Er is daarom nader onderzoek gedaan om vast te stellen of er verblijfplaatsen of jaarrond beschermde nesten aanwezig zijn.

De volgende vragen staan centraal in het onderzoek:

- Zijn gebouwbewonende vleermuizen en de gierzwaluw in het projectgebied aanwezig?
- Wat is de functie van het projectgebied voor de gebouwbewonende vleermuizen en de gierzwaluw?
- Moet er een vergunning in het kader van de Wet natuurbescherming worden aangevraagd?
- Moeten er mitigerende en compenserende maatregelen worden genomen?

In het voorliggende rapport worden achtereenvolgens het projectgebied (hoofdstuk 2), de resultaten uit de quickscan (hoofdstuk 3), de onderzoeksmethode (hoofdstuk 4), de resultaten (hoofdstuk 5) en de conclusie (hoofdstuk 6) beschreven.

# 2 PROJECTGEBIED EN WERKZAAMHEDEN

## 2.1 Beschrijving projectgebied

Het projectgebied ligt in de kern van Winterswijk en bestaat uit bebouwing en een parkeerterrein aan de Vredenseweg 4 t/m 6 (figuur 1). Rondom het complex bevinden zich woningen, een parkje, een begraafplaats, bestrating, enkele winkels en een cafetaria. Aan de noordzijde loopt de Vredenseweg, aan de oostkant de Eikenstraat en aan de zuidkant van het gebouw bevindt zich de Lijsterbesstraat.




*Figuur 1. Ligging projectgebied aan de Vredenseweg (donkerrode lijn).*

Het gebouw heeft een oppervlakte van circa 1.840 m², heeft twee etages en is voorzien van een plat dak. Tussen de noordgrens van het gebouw en de Vredenseweg bevindt zich een parkeergelegenheid en een klein groenperkje. Aan de noordoostrand van het terrein staan twee jonge bomen. Los daarvan is er geen begroeiing aanwezig in het projectgebied.

## 2.2 Geplande werkzaamheden

De voorgenomen ontwikkeling bestaat uit de sloop van het bestaande complex en het realiseren van tien woningen. Ook wordt ruimte gemaakt voor nieuwe parkeervakken en worden er grasperkjes en enkele heesters aangeplant.

# 3 RESULTATEN QUICKSCAN

Op 14 februari 2020 is in het projectgebied een quickscan natuurtoets uitgevoerd. Uit de quickscan bleek dat er meer informatie benodigd was om de effecten van de sloop van de panden volledig te kunnen toetsen aan de Wet natuurbescherming. Hieronder worden deze resultaten nog eens kort besproken.

## 3.1 Vleermuizen

Tijdens het veldbezoek werden open stootvoegen aangetroffen die gebouwbewonende vleermuizen kunnen gebruiken om in de spouwmuur te verblijven. De sloop van het gebouw zou kunnen leiden tot overtreding van de Wet natuurbescherming als de deze als verblijfplaats fungeert voor vleermuizen. Daarom wordt in dit nader onderzoek de aanwezigheid van vleermuizen in het complex nader onderzocht.

## 3.2 Gierzwaluw

Het projectgebied vormt een geschikte leefomgeving voor de gierzwaluw en tijdens het veldbezoek werden diverse spleten langs het dakbeschot aangetroffen die kunnen dienen als broedplaats voor gierzwaluwen. De sloop van het gebouw zou kunnen leiden tot overtreding van de Wet natuurbescherming als deze als nestplaats fungeert voor de gierzwaluw. Daarom moet de aanwezigheid van gierzwaluwen in het complex nader worden onderzocht.

# 4 ONDERZOEKSMETHODE

## 4.1 Vleermuizen

Het nader onderzoek werd uitgevoerd conform het vleermuisprotocol 2017 (Vleermuisvakberaad Netwerk Groene Bureaus & Zoogdiervereniging, 2017).

Omdat onderzoek werd gedaan naar gebouwbewonende vleermuizen werden de onderzoeksmethoden van de gewone dwergvleermuis aangehouden, waarbij ook andere vleermuissoorten aangetoond konden worden. Dit houdt in dat de volgende onderzoeken werden uitgevoerd in de periode 15 mei tot 1 oktober 2020 (BIJ12, 2017[a]):

- Kraamverblijven: Twee onderzoeksrondes (15 mei - 15 juli) met een tussenperiode van minimaal tien dagen;
- Zomerverblijven: Twee onderzoeksrondes (15 mei - 15 aug) met een tussenperiode van minimaal tien dagen, waarbij minimaal één onderzoeksronde moet plaatsvinden in de kraamperiode;
- Paarverblijven: Twee onderzoeksrondes (15 aug - 30 sep) met een tussenperiode van minimaal tien dagen. In deze periode baltsen de mannetjes van de gewone en ruige dwergvleermuis om vrouwtjes te lokken. Deze activiteit wordt vastgesteld rondom de paarverblijfplaatsen.
- Massawinterverblijven: Twee onderzoeksrondes (1 aug - 10 sep) met een tussenperiode van minimaal tien dagen. Dit onderzoek kan gecombineerd worden met het onderzoek naar paarverblijven.

De veldbezoeken werden uitgevoerd onder omstandigheden die gunstig zijn voor het waarnemen van vleermuizen. De temperatuur was bij alle veldbezoeken tenminste 10°C, de windsnelheid lag onder de 5 Bft. en er viel geen neerslag anders dan lichte motregen. De veldbezoeken voor de verschillende verblijfsfuncties werden gecombineerd uitgevoerd indien dit mogelijk was.

| Type onderzoek | Datum | Tijd | Temp. (°C) | Wind (Bft.) | Weer | Waarnemers |
|---|---|---|---|---|---|---|
| **Kraam** | 11-06-2020 | 22:00 – 00:00 | 16 | NO2 | Bewolking 95 – 60% en droog | J. Metselaar<br>M. Grishchenko |
| **Zomer** | 26-06-2020 | 03:20 – 05:20 | 18 | O2 | Bewolking 0% en droog | J. Metselaar<br>M. Grishchenko |
| **Kraam/ zomer** | 14-07-2020 | 21:45 – 23:45 | 17 – 15 | NW1 | Bewolking 100% en droog | J. Metselaar<br>M. Grishchenko |
| **Paar/massa-winter** | 26-08-2020 – 27-08-2020 | 22:15 – 02:00 | 16 – 14 | NW3 | Bewolking 100 – 0% en droog (motregen tussen 22:49 en 22:52) | J. Metselaar |
| **Paar/massa-winter** | 09-09-2020 | 00:00 – 02:00 | 17 | ZZW2 | Bewolking 100% en droog | J. Metselaar |

De onderzoeken werden uitgevoerd met behulp van vleermuisdetectors (Batlogger M en Pettersson D200) waarmee ultrasone geluiden van vleermuizen geluiden van vleermuizen hoorbaar werden gemaakt voor het menselijk oor.

### 4.2 Gierzwaluw

Het nader onderzoek naar de gierzwaluw werd uitgevoerd conform het kennisdocument van BIJ12. De inventarisaties vonden plaats in de periode dat gierzwaluwen gebruik maken van de nestlocaties (tussen 15 mei en 31 juli). Het onderzoek bestond uit drie veldbezoeken met een tussenperiode van minimaal tien dagen. Hiervan vond tenminste één van de veldbezoeken plaats tussen 20 juni en 7 juli (periode wanneer jongen aanwezig zijn). De inventarisaties begonnen twee uur voordat de zon onderging en duurden tot aan zonsondergang (BIJ12, 2017[b]).

| Datum | Tijd | Temp. (°C) | Wind (Bft.) | Weer | Waarnemers |
|---|---|---|---|---|---|
| **11-06-2020** | 20:00 – 22:00 | 17 | NO2 | Bewolking 100% en droog | J. Metselaar<br>M. Grishchenko |
| **25-06-2020** | 20:00 – 22:00 | 26 – 23 | ONO3 – NO2 | Bewolking 0% en droog | J. Metselaar<br>M. Grishchenko |
| **14-07-2020** | 19:45 – 21:45 | 17 | NW1 | Bewolking 100% en droog | J. Metselaar<br>M. Grishchenko |

# 5 RESULTATEN

## 5.1 Vleermuizen

*Eerste veldonderzoek (kraamverblijven)*

Het eerste veldbezoek werd uitgevoerd in de avond van 12 juni 2020. Tijdens het veldbezoek werden geen kraamverblijfplaatsen van vleermuizen vastgesteld. Wel is er sprake van één zomerverblijfplaats van een gewone dwergvleermuis. Om 22:28 vloog deze uit een open stootvoeg ter hoogte van Eikenstraat 11 (figuur 2 en 3). Later op de avond foerageerden er ook twee exemplaren op deze locatie. Op de Lijsterbesstraat werden alleen passerende gewone dwergvleermuizen waargenomen.

*Tweede veldonderzoek (zomerverblijven)*

Het tweede veldbezoek werd uitgevoerd in de vroege ochtend van 26 juni 2020. Tijdens dit veldbezoek werden geen verblijfplaatsen van vleermuizen vastgesteld. Wel is er opnieuw een foeragerende gewone dwergvleermuis waargenomen ter hoogte van Eikenstraat 11 en waren er tenminste twee rosse vleermuizen en één laatvlieger aanwezig in het park ten westen van het projectgebied. Rosse vleermuizen vlogen daarop enkele malen over het complex en een ruige dwergvleermuis passeerde op de hoek van de Lijsterbesstraat met de Vredensestraat. Deze hadden verder geen binding met het projectgebied.

*Derde veldonderzoek (kraam- en zomerverblijven)*

Het derde veldbezoek werd uitgevoerd in de avond van 14 juli 2020. Tijdens dit veldbezoek werden geen verblijfplaatsen van vleermuizen vastgesteld. Wel werden er meerdere foeragerende gewone dwergvleermuizen waargenomen. Eén hiervan was geruime tijd aanwezig aan de westzijde van het complex, in de achtertuinen van Vredensestraat 72 t/m 78. Een tweede exemplaar foerageerde kort in de achtertuinen van Vredensestraat 64 t/m 68. Ter hoogte van de Eikenstraat werden aan het begin van de avond alleen enkele passerende gewone dwergvleermuizen, laatvliegers en een rosse vleermuis gezien. Om 23:17 dook een exemplaar op ter hoogte van de hoek Eikenstraat en Lijsterbesstraat die ook sociale roepen liet horen. Deze werd met regelmaat gezien tot aan het einde van het veldbezoek.

*Vierde veldonderzoek (paar- en massawinterverblijven)*

Het vierde veldbezoek werd uitgevoerd in de late avond van 26 augustus en de vroege ochtend van 27 augustus 2020. Al van het begin af aan waren er drie baltsende gewone dwergvleermuizen aanwezig. Twee hiervan zijn toe te kennen zijn aan het onderzochte complex. Hiervan baltste één exemplaar rond het meest westelijke deel van het complex langs de Lijsterbesstraat (figuur 4) en het tweede exemplaar ter hoogte van de hoek van de Eikenstraat met de Lijsterbesstraat (figuur 3). Opvallend was dat er tenminste vier gewone dwergvleermuizen waren die zeer dicht langs de gevel vlogen op de Eikenstraat en daarbij ook veelvuldig de gevels en open stootvoegen aantikten. Dit gedrag werd vrijwel de gehele onderzoeksronde waargenomen en duidt op de aanwezigheid van een winterverblijfplaats.

*Vijfde veldonderzoek (paar- en massawinterverblijven)*

Het laatste veldbezoek werd uitgevoerd in de vroege ochtend van 9 september 2020. Tijdens het veldbezoek werden opnieuw twee baltsende gewone dwergvleermuizen vastgesteld die toe te kennen zijn aan het onderzochte complex. Het gaat om dezelfde locaties als het vorige bezoek. Ook werden vrijwel de gehele onderzoeksperiode vleermuizen gezien die de gevels en open stootvoegen aantikken ter hoogte van de hoek Eikenstraat met de Lijsterbesstraat. Er waren maximaal vijf exemplaren tegelijk aanwezig die dit gedrag vertoonden wat betekent dat moet worden uitgegaan van winterverblijf dat door vijf exemplaren wordt gebruikt. Ook werd op deze avond drie keer een passerende rosse vleermuis genoteerd, één passerende ruige dwergvleermuis en één passerende vleermuissoort uit het geslacht Myotis. Deze toonden echter geen baltsgedrag of binding met het projectgebied.




*Figuur 2. Baltsende gewone dwergvleermuizen (oranje stippen) waarvan één in het projectgebied (langs dakrand); Open stootvoeg die leidt naar een verblijfplaats van een gewone dwergvleermuis met een dubbele functie van zomer- en paarverblijf (rode stip); Gedeelte van de gevel waar een winterverblijfplaats van vijf gewone dwergvleermuizen aanwezig zijn (blauw geribbelde lijn); Begrenzing projectgebied (donkerrode lijn).*



*Figuur 3 (links). Open stootvoeg in het gebouw waarachter zich een zomerverblijf bevindt (gele pijl). Deze dient ook als paarverblijfplaats. Het deel van de gevel dat op de foto staat vormt ook nog een winterverblijfplaats voor vijf exemplaren.*
*Figuur 4 (rechts). Gedeelte van de dakrand waarlangs een gewone dwergvleermuis veelvuldig aan het baltsen was.*

## 5.2 Gierzwaluw

Om de aanwezigheid van de gierzwaluw te onderzoeken zijn drie veldbezoeken afgelegd. Deze vonden plaats op 11 juni, 25 juni en 14 juli 2020. Tijdens de veldbezoeken werden geen waarnemingen gedaan die duiden op een nestlocatie van de soort in het complex. Wel werden gierzwaluwen tijdens ieder veldbezoek in de omgeving van het projectgebied waargenomen. Meestal lag het aantal onder de tien exemplaren, maar op 14 juli werden tot 40 exemplaren op één moment waargenomen. Nestlocaties kunnen worden verwacht onder kantpannen en nokvorsten van rijtjeswoningen van omliggende straten, bijvoorbeeld de Scholtenenk, Noteboomstraat en de Singelweg. Deze liggen op een afstand van 50 meter of meer van het projectgebied.

## 5.3 Toetsing Wet natuurbescherming

In totaal zijn er één zomerverblijf, twee paarverblijven en één winterverblijf van gewone dwergvleermuizen aangetroffen binnen het projectgebied. Het winterverblijf wordt gebruikt door vijf individuen. Het zomerverblijf en één van de paarverblijven bevinden zich op dezelfde plek, waardoor dit voor één exemplaar een dubbele verblijfsfunctie betreft. Bij werkzaamheden op deze locatie worden Wnb artikel 3.5 lid 1, 2 en 4 mogelijk overtreden.

# 6 CONCLUSIE EN ADVIES

Buro Ontwerp & Omgeving heeft in opdracht van ERS architekten bna een nader ecologisch onderzoek uitgevoerd op de Vredenseweg 4 t/m 6. Het onderzoek vond plaats naar aanleiding van de sloop van het bestaande complex en de ontwikkeling van tien woningen.

In onderstaande tabel staat een samenvatting van de resultaten. Bij aanwezigheid van de soort is aangegeven waar deze soort is aangetroffen, welke artikelen van de Wet natuurbescherming kunnen worden overtreden en welke vervolgstappen ondernomen moeten worden.

| Soort | Aanwezigheid | Locatie | Wnb artikel | Vervolgstap |
|---|---|---|---|---|
| **Gebouwbewonende vleermuizen** | 1 zomerverblijf, 2 paarverblijven en 1 winterverblijf (5 individuen) | Spouwmuur t.h.v. de Eikenstraat en dakrand Lijsterbes-straat | 3.5 lid 1, 2 en 4 | • Ontheffing Wnb<br>• Activiteitenplan |
| **Gierzwaluw** | - | - | - | - |

In totaal zijn er één zomerverblijf, twee paarverblijven en één winterverblijf van gewone dwergvleermuizen aangetroffen binnen het projectgebied. Het winterverblijf wordt gebruikt door vijf individuen. Het zomerverblijf en één van de paarverblijven bevinden zich op dezelfde plek, waardoor dit voor één exemplaar een dubbele verblijfsfunctie betreft. Bij werkzaamheden op deze locatie worden Wnb artikel 3.5 lid 1, 2 en 4 mogelijk overtreden.

Voor het overtreden van de verbodsbepalingen uit artikel 3.5 lid 2 en 4 (soorten opzettelijk storen en verblijfplaatsen vernielen) is een ontheffing in het kader van de Wet natuurbescherming noodzakelijk. Ten behoeve van de ontheffingsaanvraag dient een activiteitenplan te worden opgesteld.

Daarnaast is ook artikel 3.5 lid 1 relevant voor gebouwbewonende vleermuizen. Dit artikel heeft betrekking op het doden en vangen van soorten. Er is echter geen ontheffing in het kader van dit wetsartikel nodig indien mitigerende maatregelen worden getroffen en zorgvuldig wordt gehandeld. Dit dient eveneens te worden opgenomen in het activiteitenplan.

# 7 LITERATUURLIJST

## 7.1 Referenties

BIJ12 (2017[a]). *Kennisdocument Gewone dwergvleermuis, Pipistrellus pipistrellus, versie 1.0, juli 2017.* Utrecht, Nederland: BIJ12.

BIJ12 (2017[b]). *Kennisdocument Gierzwaluw, Apus apus, versie 1.0, juli 2017*. Utrecht, Nederland: BIJ12.

Vleermuisvakberaad Netwerk Groene Bureaus & Zoogdiervereniging (2017). *Vleermuisprotocol 2017, maart 2017.* Geraadpleegd op 14 september 2020 via https://www.netwerkgroenebureaus.nl/werken-aan-kwaliteit/vleermuisprotocol

## 7.2 Overige geraadpleegde bronnen

Dietz, C. & Kiefer, A. (2016). *Bats of Britain and Europe.* Londen, Verenigd Koninkrijk: Bloomsbury Publishing.

Middleton, N., Froud, A. & French, K. (2016). *Social Calls of the Bats of Britain and Ireland* (2e ed.). Exeter, Verenigd Koninkrijk: Pelagic Publishing.

Svensson, L., Mullarney, K. & Zetterström, D. (2009). *Birds of Europe* (2e ed.). Londen, Verenigd Koninkrijk: HarperCollins Publishers.

# Bijlage 5 ecologisch onderzoek deel III

buro ontwerp & omgeving
adviseurs voor leefomgeving

# Activiteitenplan

# Vredenseweg 4 t/m 6

## Winterswijk

## ERS architekten bna

Projectnummer: 3192.03
Datum: 27-10-2020

# Activiteitenplan

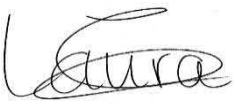
## Vredenseweg 4 t/m 6

## Winterswijk

| | |
|---|---|
| Opdrachtgever: | ERS architekten bna |
| Projectnummer: | 3192.03 |
| Datum: | 27-10-2020 |
| Projectleider en rapporteur: | Jur Metselaar |



| | |
|---|---|
| Autorisatie: | Laura Tilleman |




Opdrachtnemer: Buro Ontwerp & Omgeving

Velperweg 157
6824 MB Arnhem
Postbus 2033
6802 CA Arnhem

info@ontwerpenomgeving.nl
www.ontwerpenomgeving.nl

# INHOUD

Pagina


1 INLEIDING ..... 3

2 SAMENVATTING ..... 4
2.1 Locatiegegevens ..... 4
2.2 Soort ..... 4
2.3 Ontheffing ..... 4

3 PROJECTGEBIED ..... 6
3.1 Beschrijving projectgebied ..... 6
3.2 Toekomstige situatie ..... 7

4 METHODE EN ONDERZOEKSRESULTATEN ..... 8
4.1 Methode ..... 8
4.2 Onderzoeksresultaten ..... 9

5 GEWONE DWERGVLEERMUIS ..... 10
5.1 Staat van instandhouding ..... 10
5.2 Effecten ..... 10
5.3 Maatregelen ..... 10

6 MAATREGELEN EN PLANNING ..... 12
6.1 Uitvoering van de werkzaamheden ..... 12
6.2 Ophangen tijdelijke verblijfplaatsen ..... 12
6.3 Ongeschikt maken van het gebouw ..... 13
6.4 Controle op de effectiviteit ..... 14
6.5 Bescherming tijdelijke verblijven ..... 14
6.6 Sloop van bebouwing ..... 14
6.7 Aanbrengen permanente verblijven ..... 14
6.8 Logboek ..... 15
6.9 Planning ..... 15

7 WERKPROTOCOL ..... 16

8 WETTELIJK BELANG EN ALTERNATIEVEN ..... 17
8.1 Wettelijk belang ..... 17
8.2 Alternatieven ..... 17

9 KWALIFICATIE EN CONTACTGEGEVENS ..... 18
9.1 Kwalificatie onderzoekers ..... 18
9.2 Opdrachtgever ..... 18
9.3 Ecoloog en opdrachtnemer ..... 18

10 LITERATUURLIJST ..... 19
10.1 Referenties ..... 19
10.2 Overige geraadpleegde bronnen ..... 19

# 1 INLEIDING

In opdracht van ERS architekten bna is door Buro Ontwerp & Omgeving een activiteitenplan opgesteld voor een locatie aan de Vredenseweg 4 t/m 6 te Winterswijk. Aanleiding is de op 14 februari 2020 uitgevoerde quickscan natuurtoets en het daaruit voortvloeiende nader onderzoek. Het nader onderzoek richtte zich op gebouwbewonende vleermuizen en gierzwaluwen.

In onderstaande tabel staat een samenvatting van de resultaten van het nader ecologisch onderzoek. Aangegeven is welke soort is aangetroffen, welke artikelen van de Wet natuurbescherming mogelijk worden overtreden en welke vervolgstappen genomen moeten worden.

| Soort | Aanwezigheid | Locatie | Wnb artikel | Vervolgstap |
|---|---|---|---|---|
| **Gewone dwergvleermuis** | 1 zomerverblijf, 2 paarverblijven en 1 winterverblijf (5 individuen) | Spouwmuur t.h.v. de Eikenstraat en dakrand Lijsterbes-straat | 3.5 lid 1, 2 en 4 | • Ontheffing Wnb<br>• Activiteitenplan |
| **Gierzwaluw** | - | - | - | • - |

In totaal zijn er één zomerverblijf, twee paarverblijven en één winterverblijf van gewone dwergvleermuizen aangetroffen binnen het projectgebied. Het winterverblijf wordt gebruikt door vijf individuen. Het zomerverblijf en één van de paarverblijven bevindt zich op exact dezelfde plek, waardoor dit voor één exemplaar een dubbele verblijfsfunctie betreft. Bij de werkzaamheden op de locatie worden Wnb artikel 3.5 lid 1, 2 en 4 mogelijk overtreden.

Voor het overtreden van de verbodsbepalingen uit artikel 3.5 lid 2 en 4 (soorten opzettelijk storen en verblijfplaatsen vernielen) is een ontheffing in het kader van de Wet natuurbescherming noodzakelijk. Daarnaast is ook artikel 3.5 lid 1 relevant voor gebouwbewonende vleermuizen. Dit artikel heeft betrekking op het doden en vangen van soorten. Er is echter geen ontheffing in het kader van dit wetsartikel nodig indien mitigerende maatregelen worden getroffen en zorgvuldig wordt gehandeld.

Voor de geplande ontwikkeling wordt daarom een ontheffing in het kader van de Wet natuurbescherming aangevraagd voor de verstoring, beschadiging en vernieling van verblijfplaatsen van gewone dwergvleermuizen (artikel 3.5 lid 2 en 4 Wnb). Deze ontheffing wordt aangevraagd voor de periode 01-01-2021 tot 31-12-2025. Dit activiteitenplan dient ter onderbouwing van de mitigerende maatregelen, compenserende maatregelen en de ontheffingsaanvraag.

In het voorliggende rapport worden achtereenvolgens de samenvatting (hoofdstuk 2), het projectgebied (hoofdstuk 3), de methode en onderzoeksresultaten (hoofdstuk 4), de betrokken soort (hoofdstuk 5), de maatregelen en planning (hoofdstuk 6), het werkprotocol (hoofdstuk 7), het wettelijk belang en de alternatieven (hoofdstuk 8) en de kwalificaties en contactgegevens (hoofdstuk 9) beschreven.

# 2 SAMENVATTING

## 2.1 Locatiegegevens

| | |
|---|---|
| Adres: | Vredenseweg 4 t/m 6<br>7101 LN Winterswijk |
| Gemeente: | Winterswijk |
| Provincie: | Gelderland |
| Coördinaten: | 51.97419, 6.72561 |
| Kadastraal: | WTW00-I-11937 |

## 2.2 Soort

| | |
|---|---|
| Nederlandse naam: | Gewone dwergvleermuis |
| Wetenschappelijke naam: | *Pipistrellus pipistrellus* |
| Functie plangebied: | Paarverblijf, zomerverblijf en winterverblijf |
| Periode aanwezig: | Jaarrond |
| Nader onderzoek door: | Buro Ontwerp & Omgeving |
| Uitvoeringsjaar: | 2020 |
| Vastgesteld: | Conform vleermuisprotocol 2017 |

## 2.3 Ontheffing

| | |
|---|---|
| Periode ontheffing: | 01-01-2021 tot 31-12-2025 |
| Verbodsbepaling: | Artikel 3.5 lid 2 en 4, storen, vernielen en beschadigen rustplaatsen |
| Aanvraag op grond van: | Artikel 3.8 lid 5b 3$^{e}$ belang: “in het belang van de volksgezondheid, de openbare veiligheid of andere dwingende redenen van groot openbaar belang, met inbegrip van redenen van sociale of economische aard en met inbegrip van voor het milieu wezenlijke gunstige effecten” |
| Motivering: | Om een duurzame, toekomstbestendige situatie te creëren moet het oude gebouw worden gesloopt. Meer informatie in hoofdstuk 8. |
| Alternatieven: | Het pand is op geen enkele wijze meer opnieuw te gebruiken en staat herontwikkeling van de locatie in de weg. Meer informatie in hoofdstuk 8. |
| Alternatief inrichtingsplan: | Het pand heeft een gebouwstructuur die niet geschikt is om er een nieuwe functie aan te geven. Alleen middels sloop kan er een nieuwe ontwikkeling op deze locatie mogelijk gemaakt worden. Meer informatie in hoofdstuk 8. |
| . | |
| Alternatieve werkwijze: | Bij sloop van de gebouwen gaan de verblijven van de gewone dwergvleermuis verloren. Dit is niet te voorkomen. De werkzaamheden vinden plaats in de minst kwetsbare periode waarbij de gewone dwergvleermuis in een eerder stadium heeft kunnen wennen aan nieuwe verblijfplaatsen (kasten). Dit is het meest gunstige alternatief, waarbij de mate van verstoring zoveel mogelijk wordt beperkt. |
| Alternatieve planning: | De planning is afgestemd op de aanwezigheid van de gewone dwergvleermuis. Het pand wordt in de minst kwetsbare periode ongeschikt gemaakt. Pas daarna wordt het pand gesloopt. |

| | |
|---|---|
| Mitigatie: | Ja, meer informatie pagina 10-14 |
| Effectief bewezen: | Alternatieve verblijfslocaties |
| | Slopen buiten de kwetsbare periode |
| Begeleidend ecoloog: | Ja |
| Instandhouding: | Ja, meer informatie op pagina 10 |
| Onderbouwing: | Zie hoofdstuk 8. |

# 3 PROJECTGEBIED

## 3.1 Beschrijving projectgebied

Het projectgebied ligt in de kern van Winterswijk en bestaat uit de bebouwing en een parkeerterrein aan de Vredenseweg 4 t/m 6 (figuur 1). Rondom het complex bevinden zich woningen, een parkje, een begraafplaats, enkele winkels en een cafetaria. Aan de noordzijde loopt de Vredenseweg, aan de oostkant de Eikenstraat en aan de zuidkant van het gebouw bevindt zich de Lijsterbesstraat.




*Figuur 1. Ligging projectgebied aan de Vredenseweg (donkerrode lijn).*

Het gebouw heeft een oppervlakte van circa 1.840 m², heeft twee etages en is voorzien van een plat dak. Tussen de noordgrens van het gebouw en de Vredenseweg bevindt zich een parkeergelegenheid en een klein groenperkje. Aan de noordoostrand van het terrein staan twee jonge bomen. Het projectgebied is grotendeels verhard en los van het voorgenoemde is er geen begroeiing aanwezig in het projectgebied.

## 3.2 Toekomstige situatie

De voorgenomen ontwikkeling betreft de sloop van het bestaande complex en het realiseren van tien woningen. Ook wordt ruimte gemaakt voor nieuwe parkeervakken en worden er grasperkjes en enkele heesters aangeplant (figuur 2).




*Figuur 2. Toekomstige situatie projectgebied (ontwerp)*

# 4 METHODE EN ONDERZOEKSRESULTATEN

## 4.1 Methode

Het nader onderzoek is uitgevoerd conform het vleermuisprotocol 2017 (Vleermuisvakberaad Netwerk Groene Bureaus & Zoogdiervereniging, 2017).

Omdat onderzoek is gedaan naar gebouwbewonende vleermuizen is de onderzoeksmethode van de gewone dwergvleermuis aangehouden, waarbij ook andere vleermuissoorten aangetoond konden worden. Dit houdt in dat er in de periode mei tot oktober 2020 de volgende onderzoeken zijn uitgevoerd (BIJ12, 2017):

- Kraamverblijven: Twee onderzoeksrondes (15 mei - 15 juli) met een tussenperiode van minimaal tien dagen;
- Zomerverblijven: Twee onderzoeksrondes (15 mei - 15 aug) met een tussenperiode van minimaal tien dagen, waarbij minimaal één onderzoeksronde moet plaatsvinden in de kraamperiode;
- Paarverblijven: Twee onderzoeksrondes (15 aug - 30 sep) met een tussenperiode van minimaal tien dagen.
- Massawinterverblijven: Twee onderzoeksrondes (1 aug - 10 sep) met een tussenperiode van minimaal tien dagen. Dit onderzoek is gecombineerd met het onderzoek naar paarverblijven.

De veldbezoeken zijn uitgevoerd onder omstandigheden die gunstig zijn voor het waarnemen van vleermuizen. De temperatuur was bij alle veldbezoeken tenminste 10°C, de windsnelheid lag onder de 5 Bft. en er viel geen neerslag, anders dan lichte motregen. De veldbezoeken voor de verschillende verblijfsfuncties werden gecombineerd uitgevoerd indien dit mogelijk was.

| Type onderzoek | Datum | Tijd | Temp. (°C) | Wind (Bft.) | Weer | Waarnemers |
|---|---|---|---|---|---|---|
| **Kraam** | 11-06-2020 | 22:00 – 00:00 | 16 | NO2 | Bewolking 95 – 60% en droog | J. Metselaar<br>M. Grishchenko |
| **Zomer** | 26-06-2020 | 03:20 – 05:20 | 18 | O2 | Bewolking 0% en droog | J. Metselaar<br>M. Grishchenko |
| **Kraam/ zomer** | 14-07-2020 | 21:45 – 23:45 | 17 – 15 | NW1 | Bewolking 100% en droog | J. Metselaar<br>M. Grishchenko |
| **Paar/massa-winter** | 26-08-2020 – 27-08-2020 | 22:15 – 02:00 | 16 – 14 | NW3 | Bewolking 100 – 0% en droog (motregen tussen 22:49 en 22:52) | J. Metselaar |
| **Paar/massa-winter** | 09-09-2020 | 00:00 – 02:00 | 17 | ZZW2 | Bewolking 100% en droog | J. Metselaar |

De onderzoeken werden uitgevoerd met behulp van vleermuisdetectors (Batlogger M en Pettersson D200) waarmee ultrasone geluiden van vleermuizen geluiden van vleermuizen hoorbaar werden gemaakt voor het menselijk oor.

## 4.2 Onderzoeksresultaten

Tijdens de quickscan werden aan de kant van de Eikenstraat en Lijsterbesstraat diverse open stootvoegen gezien die vleermuizen toegang kunnen verlenen tot de spouwmuur. Ook spleten in de houten gevelbetimmering aan de westkant van het gebouw bieden vleermuizen de mogelijkheid om het pand te bereiken.

In het daaruit voortgekomen nader onderzoek werden in totaal er één zomerverblijf, twee paarverblijven en één winterverblijf van gewone dwergvleermuizen aangetroffen binnen het projectgebied. Het winterverblijf wordt gebruikt door vijf individuen. Het zomerverblijf en één van de paarverblijven bevindt zich op exact dezelfde plek, waardoor dit voor één exemplaar een dubbele verblijfsfunctie betreft (figuur 3).




*Figuur 3. De rode stip geeft een stootvoeg aan die leidt naar een verblijfplaats van één gewone dwergvleermuis en heeft een dubbele functie van zomer- en paarverblijf. De oranje stippen geven paarverblijven van de gewone dwergvleermuis aan, waarvan één in het projectgebied (langs dakrand). De blauw geribbelde lijn geeft het gedeelte van de gevel aan waar het winterverblijf zich bevindt (vijf exemplaren).*

# 5 GEWONE DWERGVLEERMUIS

## 5.1 Staat van instandhouding

De gewone dwergvleermuis is een algemeen voorkomende soort, waarvan geen aanwijzingen bekend zijn voor een aantalsverandering (Nationale Databank Flora en Fauna, 2020). De staat van instandhouding is in de huidige situatie 'ongunstig – ontoereikend' in Nederland. De criteria populatieomvang, verspreidingsgebied, kwaliteit van het leefgebied en toekomstperspectief zijn beoordeeld als gunstig. Het toekomstperspectief wordt beoordeeld als ongunstig, waardoor de eindbeoordeling ongunstig is. Daarbij wordt wel vermeld dat de staat van instandhouding als 'gunstig' beoordeeld wordt indien voldoende mitigerende maatregelen genomen worden (Arcadis, 2018). Er wordt niet verwacht dat de staat van instandhouding in gevaar komt bij het verwijderen van deze verblijfplaatsen. Door het aanbieden van vervangende verblijfplaatsen worden negatieve effecten op de plaatselijke populatie zoveel mogelijk voorkomen.

De gewone dwergvleermuis komt bijna overal in Nederland voor en leeft in verschillende biotopen. De soort jaagt bij opgaande vegetatie, bossen, bomenrijen, water en in de bebouwde kom, in tuinen of bij straatlantaarns (Janssen et al., 2008). In de omgeving van het projectgebied is voldoende geschikt leefgebied aanwezig. Omliggende woningen aan de Eikenstraat, Vredensestraat, Singelweg en Scholtenenk hebben geschikte kantpannen of andere openingen en het ten westen van het projectgebied gelegen park en begraafplaats kunnen worden gebruikt om langs te foerageren. Naast het aanbieden van vervangende verblijfplaatsen is het voor de soort dus ook mogelijk om naar andere gebouwen in de omgeving uit te wijken.

## 5.2 Effecten

De gewone dwergvleermuis valt onder de Habitatrichtlijn en is beschermd volgens artikel 3.5 van de Wet natuurbescherming. Hierdoor is het verboden om de soort opzettelijk te doden of vangen (artikel 3.5 lid 1 Wnb), is het verboden om de soort opzettelijk te verstoren (artikel 3.5 lid 2 Wnb) en is het verboden de vaste voortplantingsplaatsen of rustplaatsen te beschadigen of vernielen (artikel 3.5 lid 4 Wnb).

Overtreding van artikel 3.5 lid 1 moet worden voorkomen door op zorgvuldige wijze te handelen en de werkzaamheden uit te voeren in de minst kwetsbare periode van het jaar.

Omdat het complex dient als zomer-, paar- en winterverblijfplaats zal de sloop leiden tot overtreding van artikel 3.5 lid 2 en lid 4 van de Wet natuurbescherming.

Zoals boven beschreven worden op korte of lange termijn geen negatieve effecten verwacht op de lokale populatie en staat van instandhouding van de gewone dwergvleermuis. Dit wordt voorkomen door het nemen van maatregelen, zorgvuldig te handelen en de werkzaamheden uit te voeren buiten de kwetsbare periodes.

## 5.3 Maatregelen

De eerste stap die genomen moet worden is het treffen van mitigerende maatregelen door het plaatsen van tijdelijke verblijfplaatsen. Deze moeten binnen 100 à 200 meter van de huidige verblijven worden aangebracht. Omdat er twee paarverblijven zijn vastgesteld moet er gemitigeerd worden met acht vleermuiskasten. Voor het plaatsen van tijdelijke paarverblijfplaatsen geldt een gewenningsperiode van zes maanden voorafgaand aan de paarperiode. Dit betekent dat tijdelijke kasten uiterlijk 15 februari aanwezig moeten zijn. De helft hiervan moet ook geschikt kunnen zijn als zomerverblijf. De gewenningsperiode voor zomerverblijven is drie maanden, waarin alleen de maanden april t/m oktober meetellen. De gewenningsperiodes zullen elkaar daarom deels overlappen. Gekozen is voor vleermuiskast Elisa, gemaakt door Faunus Nature Creations, die gelijkwaardig is aan in het kennisdocument voorgeschreven vleermuiskasten.

Voor de winterverblijven zijn geen standaard oplossingen bekend. Tijdelijke vervanging van het winterverblijf is niet mogelijk. Er wordt daarom direct geïnvesteerd in permanente voorzieningen die voldoende bescherming bieden tegen winterse omstandigheden. Hierdoor is gekozen van vier permanente wintervoorzieningen van Faunus Nature Creations, namelijk drie maal vleermuiskast Celina en één maal vleermuiskast Ariela.

De volgende stap die genomen moet worden is het ongeschikt maken van het gebouw. Dit moet plaatsvinden in de periode waarin vleermuizen het minst kwetsbaar zijn, namelijk tussen 15 april en 15 mei of tussen 15 augustus en 31 oktober. Deze periodes zijn gekozen na overeenstemming met de Zoogdiervereniging en de Provincie Utrecht (M. Warringa, persoonlijke communicatie, 16-10-2020). Gelet op de gewenningsperiodes van tijdelijke vleermuiskasten is de eerstvolgende periode waarin het gebouw ongeschikt kan worden gemaakt tussen 15 augustus en 31 oktober 2021. Na de gewenningsperiode van zes maanden kan het gebouw ongeschikt worden gemaakt door de spouw flink te laten tochten. Dit kan bereikt worden door de muren op de hoeken van het gebouw volledig te verwijderen. Het doel van deze maatregel is dat vleermuizen uit het gebouw vertrekken voordat de werkzaamheden plaats gaan vinden. Wanneer het gebouw ongeschikt is gemaakt, kunnen de vleermuizen de tijdelijke verblijfplaatsen gebruiken als vervangende verblijfplaats. Vijf dagen na het ongeschikt maken van het gebouw moet worden gecontroleerd of er nog vleermuizen aanwezig zijn. Als deze niet meer worden waargenomen kan de begeleidend ecoloog het gebouw natuurvrij verklaren en kan de sloop plaatsvinden. Hiermee is overtreding van artikel 3.5 lid 1 van de Wnb voorkomen.

Als de bouwfase eenmaal is aangebroken moeten permanente verblijfplaatsen worden gerealiseerd in de nieuwe bebouwing. Permanente verblijfplaatsen kunnen op meerdere manieren worden gerealiseerd. Duurzame verblijfplaatsen kunnen in een spouwmuur worden gerealiseerd door deze toegankelijk te maken en geschikt te houden voor vleermuizen (bijv. door open stootvoegen). Verder kunnen permanente verblijfplaatsen worden gecreëerd door een meerlaagse gevelbetimmering aan te brengen. Daarnaast kunnen ook gevelkasten ingemetseld worden in de bebouwing, bijvoorbeeld van type IB VL 04 van Vivara Pro. Omdat er één paar- en één gecombineerd paar/zomerverblijf is aangetroffen moet er conform het kennisdocument met acht permanente kasten worden gecompenseerd.

# 6 MAATREGELEN EN PLANNING

## 6.1 Uitvoering van de werkzaamheden

De planning van de werkzaamheden is afgestemd op de aanwezigheid van de gewone dwergvleermuis en het jaarrond in gebruik nemen van verblijfplaatsen. De werkzaamheden die de vleermuizen kunnen verstoren vinden daarom plaats in de minst kwetsbare periode, namelijk van half april tot half mei of half augustus t/m 31 oktober (zie tabel). Deze periodes zijn gekozen in overeenstemming met de Zoogdiervereniging en de Provincie Utrecht (M. Warringa, persoonlijke communicatie, 16-10-2020). Pas nadat het pand ongeschikt is gemaakt en de effectiviteit van deze maatregel is gecontroleerd, mag de sloop plaatsvinden. Met het in acht nemen van de gewenningstijd is de eerstvolgende mogelijkheid tussen 1 september en 15 oktober 2021.

| | Jan | Feb | Mrt | Apr | Mei | Jun | Jul | Aug | Sep | Okt | Nov | Dec |
|---|---|---|---|---|---|---|---|---|---|---|---|---|
| **Gewone dwergvleermuis** | | | | | | | | | | | | |

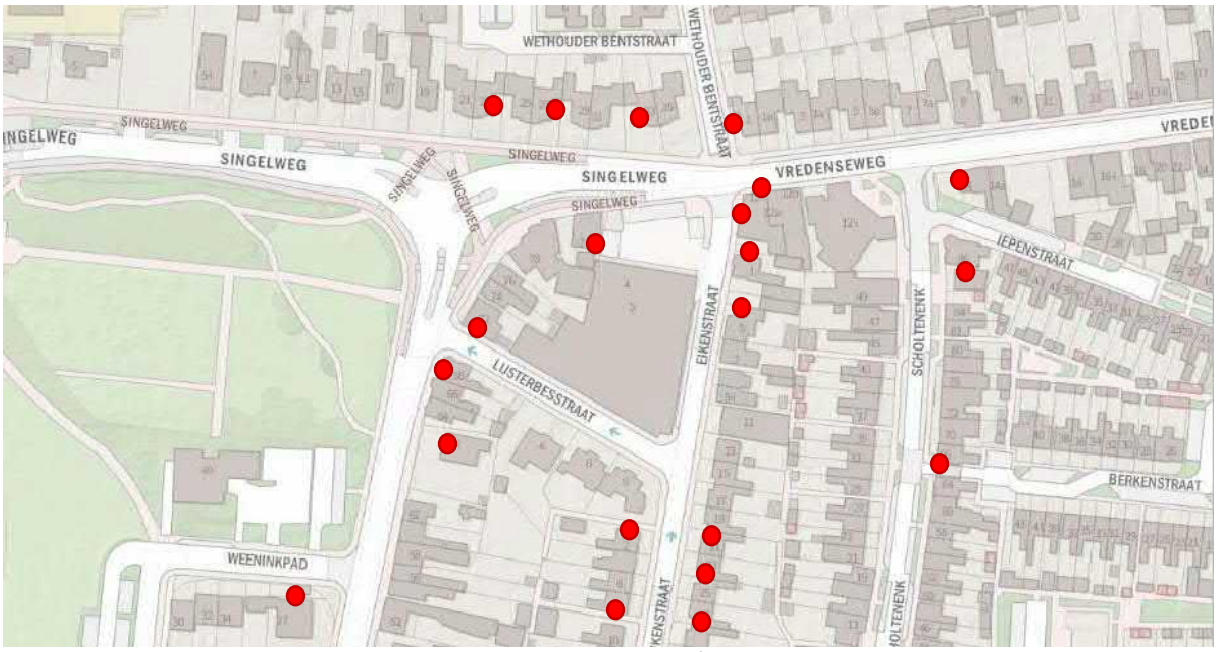
De ecologische maatregelen worden in de onderstaande volgorde uitgevoerd:

- Ophangen tijdelijke verblijfplaatsen;
- Tijdig ongeschikt maken van het gebouw;
- Controle op effectiviteit;
- Bescherming tijdelijke verblijven;
- Sloop gebouw;
- Aanbrengen nieuwe verblijven;

## 6.2 Ophangen tijdelijke verblijfplaatsen

In totaal moeten er acht tijdelijke paar/zomerkasten worden geplaatst. Deze worden geplaatst tussen week 43 en 46 van 2020. De kasten worden opgehangen volgens de voorschriften van het 'Kennisdocument Gewone dwergvleermuis' van BIJ12. Dit houdt onder andere in dat ze allemaal op 3 meter hoogte zijn geplaatst met een vrije invliegroute en buiten het bereik van predatoren. Ook mogen ze niet op dezelfde gevel worden aangebracht (BIJ12, 2017). Potentiële locaties voor het ophangen van vleermuiskasten zijn weergegeven in figuur 4. Voor de tijdelijke paarverblijfplaatsen geldt een gewenningsperiode van minimaal zes maanden, wat betekent dat de vleermuizen zes maanden de tijd moeten hebben om de nieuwe verblijven te inspecteren. De gewenningsperiode voor zomerverblijven bedraagt drie maanden, waarin alleen de maanden april t/m oktober meetellen. Omdat het zomerverblijf ook als paarverblijf wordt gebruikt hoeven niet vier extra kasten te worden geplaatst. Wel moet rekening worden gehouden met drie maanden gewenningstijd in de maanden april, mei en juni. Dit houdt in dat het gebouw vanaf 15 augustus 2021 ongeschikt mag worden gemaakt indien de ontheffing is verleend.

Voor winterverblijven zijn geen passende maatregelen bekend volgens het kennisdocument. Het ophangen van vleermuiskasten is daarom maatwerk. Tijdelijke vervanging van winterverblijven is niet mogelijk. Er moeten daarom direct permanente verblijfplaatsen worden aangeboden. De kasten moeten zo dicht mogelijk bij de oorspronkelijke overwinterplek worden geplaatst en van een goed isolerend materiaal zijn, zodat vleermuizen ook bij strenge winters een veilig onderkomen hebben. In tegenstelling tot de kasten voor paarverblijven, mogen de winterkasten op dezelfde gevel worden aangebracht. Potentiële locaties voor het ophangen van vleermuiskasten zijn weergegeven in figuur 5. Indien het bevoegd gezag dit vereist moet de effectiviteit van de winterkasten worden onderzocht door middel van monitoring.




*Figuur 4. Potentiële locaties voor het ophangen van acht tijdelijke paar/zomerverblijven (rood)*




*Figuur 5. Potentiële locaties voor het ophangen van vier winterverblijven (blauw).*

### 6.3 Ongeschikt maken van het gebouw

Het ongeschikt maken van het gebouw kan plaatsvinden in de periode half augustus tot eind oktober of half april tot half mei. Dit moet minimaal vijf dagen voorafgaand aan de werkzaamheden gebeuren. Om het gebouw ongeschikt te maken als verblijfplaats moet de spouw flink gaan tochten. Dit kan bereikt worden door gaten in de muren te maken of door de dakbedekking los te maken, dan wel gaten hierin te maken. Er wordt aangeraden om de muren op de hoeken van het gebouw volledig te verwijderen, waardoor een flinke tocht in de spouwmuur ontstaat en licht kan doordringen. Gaten van 50 x 50 cm zijn vaak onvoldoende om tocht in de spouw te creëren (BIJ12, 2017). Het doel van deze maatregel is dat vleermuizen uit het gebouw vertrekken voordat de sloopwerkzaamheden plaats gaan vinden.

### 6.4 Controle op de effectiviteit

Nadat de gebouwen ongeschikt zijn gemaakt moet er na vijf dagen een controle plaatsvinden. Deze controle vindt plaats in dezelfde vorm als het nader onderzoek naar vleermuizen. De temperatuur moet voor het uitvoeren van dit onderzoek dus boven de 10 graden Celsius liggen. Wanneer er nog steeds gewone dwergvleermuizen aangetroffen worden moeten de maatregelen worden uitgebreid. Na vijf dagen vindt er dan opnieuw een controle plaats. Wanneer er geen vleermuizen meer aanwezig zijn wordt het gebouw natuurvrij verklaard door de begeleidend ecoloog en mogen de werkzaamheden worden uitgevoerd.

### 6.5 Bescherming tijdelijke verblijven

De tijdelijke verblijven (en permanente winterverblijven) moeten tijdens de werkzaamheden worden beschermd. Er mag geen (bouw)verlichting schijnen of uitstralen op de aangebrachte vleermuiskasten. Na uitvoering van de werkzaamheden blijven deze voorzieningen hangen. Als het gewenst is deze voorzieningen te verwijderen, kan dit pas nadat de permanente verblijven zijn geplaatst, de gewenningsperiode voor deze kasten voorbij is en de afwezigheid van vleermuizen in de vleermuiskasten is gecontroleerd.

### 6.6 Sloop van bebouwing

De bebouwing moet gesloopt worden vanaf één zijde. Op deze manier hebben eventueel nog aanwezige dieren de mogelijkheid om te ontsnappen. Wordt een dier tijdens de sloop aangetroffen dan moet dit dier de kans krijgen om zichzelf in veiligheid te brengen. Bij onbekende situaties wordt contact opgenomen met de begeleidend ecoloog.

### 6.7 Aanbrengen permanente verblijven

Bij de bouw van nieuwe woningen worden op acht plaatsen permanente paar/zomerkasten in de gevels verwerkt (figuur 6). Hiervoor worden inbouwkasten gebruikt die in de spouw worden aangebracht. Gebruikt worden de stenen IB VL 04 van Vivara Pro of gelijkwaardige vleermuiskasten. Zes kasten worden in de zes aanwezige kopgevels geplaatst. De twee resterende kasten worden in voor- of achtergevels verwerkt.




*Figuur 6. Locaties waar acht permanente paar/zomerkasten kunnen worden aangebracht – de paarse contouren om de nieuw te bouwen woningen.*

## 6.8 Logboek

Van alle werkzaamheden wordt een ecologisch logboek bijgehouden dat (digitaal) op de projectlocatie aanwezig is. Het is belangrijk dat alle mitigerende en compenserende maatregelen goed gedocumenteerd worden. Dit houdt in dat de locaties van de nestkasten duidelijk in beeld moeten worden gebracht, maar ook de datum waarop deze geplaatst worden. Daarnaast moet hier ook in komen te staan wanneer de controle wordt uitgevoerd op de afwezigheid van vleermuizen en wanneer het gebouw natuurvrij is verklaard.

## 6.9 Planning

De planning van de maatregelen die in dit hoofdstuk aan bod zijn gekomen staat in onderstaande tabel weergegeven.

| | 2020 | | | 2021 | | | | | | | | |
|---|---|---|---|---|---|---|---|---|---|---|---|---|
| | Okt | Nov | Dec | Jan | Feb | Mrt | Apr | Mei | Jun | Jul | Aug | Sep |
| **Kwetsbare periodes** | | | | | | | | | | | | |
| **Nestkasten ophangen** | | | | | | | | | | | | |
| **Gewenningsperiode** | | P | P | P | P | P | P/Z | Z | Z | | | |
| **Doorlooptijd ontheffingsaanvraag** | | | | | | | | | | | | |
| **Gebouw ongeschikt maken** | | | | | | | | | | | Vanaf 15 | |
| **Afwezigheid controleren** | | | | | | | | | | | Vanaf 20 | |
| **Start werkzaamheden** | | | | | | | | | | | Na 20* | |

* Nadat afwezigheid vleermuizen is bevestigd

# 7 WERKPROTOCOL

Eind oktober – 15 november 2020

- Acht tijdelijke vleermuiskasten en vier permanente winterkasten worden opgehangen binnen 200 meter van het complex

Eind oktober – 15 november 2020

- Ontheffingsaanvraag wordt ingediend (doorlooptijd van 20 tot 26 weken)

15 augustus – 31 oktober 2021 (na verkrijgen ontheffing)

- Ongeschikt maken van complex d.m.v. het slopen van de muren op de hoeken van gebouw. Eventueel gaten maken in muren of verwijderen van kozijnen en/of dakbedekking
- Het doel is om tocht te creëren in het complex en de spouwmuren, zodat vleermuizen het pand zullen verlaten

20 augustus – 31 oktober 2021 (vijf dagen na het ongeschikt maken)

- Controle op effectiviteit (nachttemperatuur 10°C of hoger)
- Natuurvrij verklaring als er geen vleermuizen meer aanwezig zijn
- Als er wel vleermuizen aanwezig zijn, gebouw verder ongeschikt maken en na 5 dagen weer een controle

21 augustus – 31 oktober 2021 (na natuurvrij verklaring)

- Aanvang sloop en werkzaamheden
- Realisatie van acht permanente vleermuisverblijven (open stootvoegen, gevelbetimmering of ingemetselde gevelkasten)

**Logboek**

Van alle werkzaamheden en maatregelen wordt een logboek bijgehouden. Hierin komt te staan welke maatregelen er zijn genomen, wanneer deze genomen zijn en wie er bij betrokken zijn geweest. Ook als er bepaalde soorten worden aangetroffen tijdens de werkzaamheden moet dit in het logboek worden vermeld

# 8 WETTELIJK BELANG EN ALTERNATIEVEN

## 8.1 Wettelijk belang

Het complex staat al geruime tijd leeg en bevindt zich in een slechte staat van onderhoud. De leegstand midden in een woonwijk is ook niet bevorderlijk en zorgt voor een verslechtering van de leefomgeving. Omdat het gebouw verlaten is bestaat er een verhoogd risico op inbraak en diefstal van herbruikbare materialen. Om het gebouw zijn bouwhekken geplaatst en wordt regelmatig gesurveilleerd om de openbare veiligheid te waarborgen. Los daarvan is het gebouw gasgestookt. Door het oude pand te slopen en aardgasvrije nieuwbouwwoningen te realiseren wordt voorzien in de regionale woningbehoefte en zal er minder $CO_2$-uitstoot plaatsvinden. Hierdoor wordt bijgedragen aan het behalen van de klimaatdoelen van Parijs. Op deze manier wordt tevens een duurzame toekomstige situatie gecreëerd die minder belastend is voor het milieu en bijdraagt aan een betere leefomgeving voor de omwonenden en toekomstige bewoner(s).

Voor de gewone dwergvleermuis wordt de ontheffing daarom aangevraagd in het kader van artikel 3.8 lid 5b belang 3°: "*in het belang van de volksgezondheid, de openbare veiligheid of andere dwingende redenen van groot openbaar belang, met inbegrip van redenen van sociale of economische aard en met inbegrip van voor het milieu wezenlijke gunstige effecten*"

## 8.2 Alternatieven

Er zijn geen reële alternatieven voorhanden waarmee de verblijfplaatsen van de gewone dwergvleermuizen behouden blijven. Het complex staat al lange tijd leeg en heeft een gebouwstructuur die niet geschikt is om er een nieuwe functie aan te geven. Het behouden van het complex is geen alternatief omdat er daarmee geen doelmatige herontwikkeling van het terrein mogelijk is. Door het gasgestookte complex te slopen en aardgasvrije nieuwbouwwoningen terug te bouwen wordt een duurzame en toekomstbestendige situatie gecreëerd.

Door het nemen van soortgerichte maatregelen worden negatieve gevolgen zoveel mogelijk voorkomen. Door het nemen van mitigerende en compenserende maatregelen en te werken in de minst kwetsbare periodes van de gewone dwergvleermuis wordt het meest gunstige alternatief gebruikt waarmee de mate van verstoring zoveel mogelijk wordt beperkt. De maatregelen die in dit rapport worden besproken zijn gebaseerd op het kennisdocument van BIJ12 en zijn daarmee voldoende effectief bewezen.

# 9 KWALIFICATIE EN CONTACTGEGEVENS

## 9.1 Kwalificatie onderzoekers

Buro Ontwerp & Omgeving is betrokken als ecologisch adviseur van dit project. De heer J. Metselaar en mevrouw L. Tilleman zijn betrokken als projectleider bij dit project. Het veldwerk voor het nader onderzoek is uitgevoerd door de heer J. Metselaar en Dr. M. Grishchenko.

De heer J. Metselaar is afgestudeerd in Diermanagement aan de Hogeschool Van Hall Larenstein.
Mevrouw L. Tilleman is afgestudeerd in Toegepaste biologie aan de HAS Den Bosch.
Dr. M. Grishchenko is gepromoveerd in Resource ecology aan de Wageningen Universiteit.

## 9.2 Opdrachtgever

ERS architekten bna
Stationsweg 25
7061 CT Terborg

| | |
|---|---|
| Opdrachtgever: | Rudy Schuurman |
| Telefoonnummer: | 0315 323070 |
| E-mail: | rschuurman@ers.nl |

## 9.3 Ecoloog en opdrachtnemer

| | |
|---|---|
| Bedrijf: | Buro Ontwerp & Omgeving |
| Naam: | Jur Metselaar |
| Telefoonnummer: | 06 30927432 |
| E-mail: | j.metselaar@ontwerpenomgeving.nl |

# 10 LITERATUURLIJST

## 10.1 Referenties


Arcadis (2018). *De staat van instandhouding, Factsheets voor 25 soorten in Gelderland*. Arnhem, Nederland: Arcadis

BIJ12 (2017*). Kennisdocument Gewone dwergvleermuis Pipistrellus pipistrellus Versie 1.0, juli 2017.* Utrecht, Nederland: BIJ12

Janssen, J. A. M., Schaminée, J. H. J., Brasseur, S. M. J. M., & de Bruyne, R. H. (2008). *Europese Natuur in Nederland. Soorten van de Habitatrichtlijn. Tweede sterk herziene en uitgebreide druk.* Zeist, Nederland: KNNV Uitgeverij

Nationale Databank Flora en Fauna (2020). *NDFF Verspreidingsatlas Zoogdieren. Pipistrellus pipistrellus.* Geraadpleegd op 29 september 2020 via https://www.verspreidingsatlas.nl/8496199#

Vleermuisvakberaad Netwerk Groene Bureaus, Zoogdiervereniging (2017). *Vleermuisprotocol 2017, maart 2017.* www.netwerkgroenebureaus.nl en www.zoogdiervereniging.nl


## 10.2 Overige geraadpleegde bronnen


Dietz, C. & Kiefer, A. (2016). *Bats of Britain and Europe*. Londen, Verenigd Koninkrijk: Bloomsbury Publishing.

Middleton, N., Froud, A. & French, K. (2016). *Social Calls of the Bats of Britain and Ireland* (2e ed.). Exeter, Verenigd Koninkrijk: Pelagic Publishing.

# Bijlage 6 aanmeldnotitie vormrvije m.e.r.

# Aanmeldnotitie Vormvrije m.e.r.-beoordeling

Vredenseweg 6 te Winterswijk

**Gemeente Winterswijk**

Projectnummer: 3192.01
Datum: 20 februari 2020

## Inhoudsopgave

**1 Algemeen ..... 3**

**2 Toetsing ..... 4**

*2.1 Algemeen ..... 4*

*2.2 De kenmerken van het project ..... 4*

*2.3 De plaats waar de activiteit wordt verricht ..... 5*

*2.4 De kenmerken van het potentiële effect ..... 5*

**3 Conclusie ..... 7**

**Bijlage**

*Bijlage 1 – Quickscan natuurtoets, Buro Ontwerp & Omgeving*

*Bijlage 2 – Memo effectbeoordeling stikstofdepositie, Buro Ontwerp & Omgeving*

# 1 Algemeen

Om te bepalen of voor een project een milieueffectrapport (M.E.R.) moet worden opgesteld, is het van belang om te kijken of de ontwikkeling een activiteit is als opgenomen in de bijlagen van het Besluit milieueffectrapportage (m.e.r.).

In de bijlagen van het Besluit m.e.r. zijn twee onderdelen (C en D) opgenomen. Het onderscheid tussen deze twee bijlagen is dat in bijlage C er direct sprake is van een m.e.r.-plicht voor besluiten met een omvang boven de drempelwaarden en besluiten onder de drempelwaarden zijn niet m.e.r.-plichtig. Onderdeel D geeft aan of er voor besluiten beoordeeld moet worden of er m.e.r. noodzakelijk is. Voor besluiten met een omvang boven de drempelwaarden moet een m.e.r.-beoordeling worden uitgevoerd en voor besluiten met een omvang onder de drempelwaarden een zogenaamde vormvrije m.e.r.-beoordeling. Pas na het uitvoeren van een (vormvrije) m.e.r-beoordeling is duidelijk of er een M.E.R. moet worden opgesteld.

# 2 Toetsing

## 2.1 Algemeen

Met het plan is sprake van de realisatie van tien grondgebonden woningen met bijbehorende parkeerplaatsen. De realisatie van de woningen en enkele parkeerplaatsen kan worden gekwalificeerd als "de aanleg of uitbreiding van een stedelijk ontwikkelingsproject met inbegrip van de bouw van winkelcentra of parkeerterreinen" als genoemd in onderdeel D.11.2 van de bijlage van het Besluit m.e.r.. Bij de uitleg van de Europese m.e.r.-richtlijn wordt immers aangegeven dat 'stedelijke ontwikkelingsprojecten' breed moet worden geïnterpreteerd.

Bij de activiteit zijn drie relevante indicatieve drempelwaarden opgenomen, namelijk:

- een oppervlakte van 100 hectare of meer;
- een aaneengesloten gebied en 2.000 of meer woningen;
- een bedrijfsvloeroppervlakte van 200.000 m² of meer.

De activiteit valt ruim beneden de gestelde drempelwaarde, waardoor geen sprake is van een directe m.e.r.-(beoordelings)plicht. Dit betekent concreet dat het bevoegd gezag zich ervan moet vergewissen of de activiteit, wanneer deze onder de drempelwaarden zit, daadwerkelijk geen belangrijke nadelige milieugevolgen kan hebben, waarbij het in het bijzonder moet worden nagegaan of sprake is van de omstandigheden als bedoeld in bijlage III van de Europese Richtlijn betreffende de milieueffectbeoordeling. Dit is de zogenaamde vormvrije m.e.r.-beoordeling.

Bij het bepalen van belangrijke nadelige gevolgen voor het milieu wordt, conform de Bijlage III van de Europese Richtlijn, ingegaan op de volgende onderdelen:

- de kenmerken van het project;
- de plaats waar de activiteit wordt verricht;
- de kenmerken van het potentiële effect.

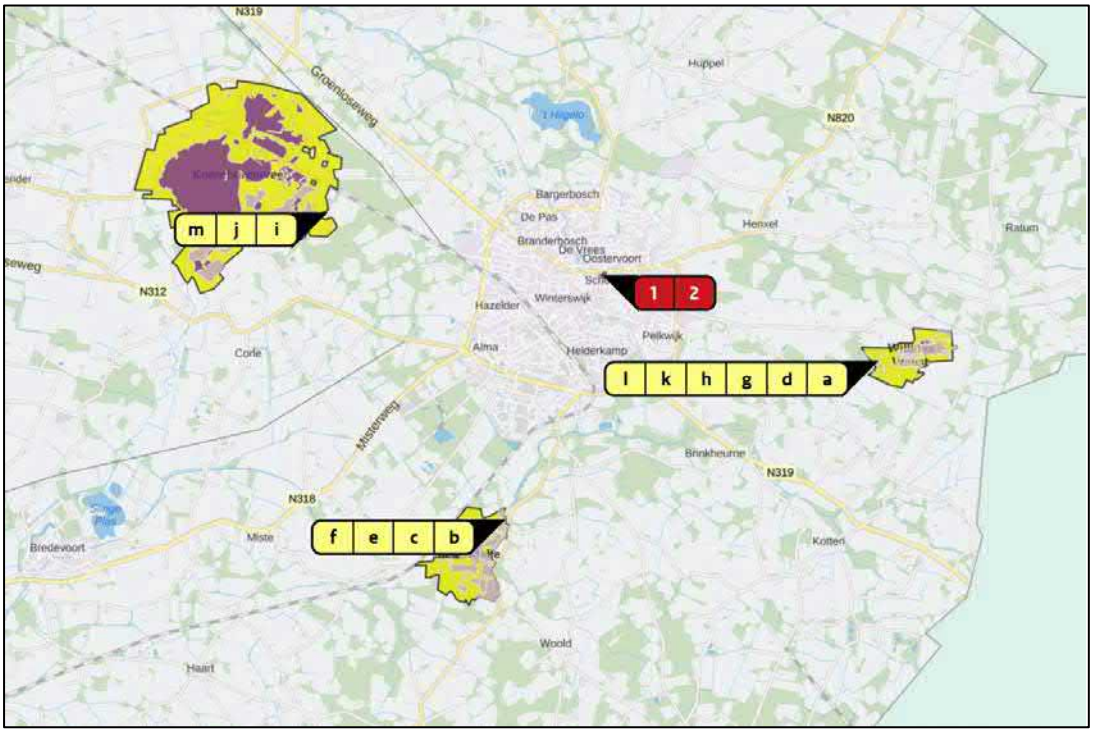
## 2.2 De kenmerken van het project

In het plangebied zijn momenteel verouderde en leegstaande bedrijfsbebouwing en 12 parkeerplaatsen aanwezig. In het verleden waren de winkels De Jager wonen en Senzo living hierin gevestigd. Inmiddels zijn er plannen voor de sloop van de bebouwing en de realisatie van tien woningen met bijbehorende ontsluiting en parkeerplaatsen.

Met het plan is sprake van herstructurering binnen bestaand stedelijk gebied. Het aantal woningen binnen het plangebied neemt per saldo toe met tien. Het aantal parkeerplaatsen neemt per saldo toe met 11.

## 2.3 De plaats waar de activiteit wordt verricht

Het onderzoeksgebied is gelegen in de driehoek Vredenseweg, Eikenstraat, Lijsterbesstraat, in het centrum van Winterswijk. Het onderzoeksgebied ligt op een afstand van 3 tot 4 km van stikstofgevoelige habitats in het Natura 2000-gebied Bekendelle, Korenburgerveen en Willinks Weust. Op navolgende afbeelding is de ligging van het projectgebied (rode labels 1 en 2) ten opzichte van de Natura 2000-gebieden weergegeven en zijn de stikstofgevoelige habitats en leefgebieden paars gekleurd, de overige delen van Natura 2000-gebieden zijn geel.




*Ligging onderzoeksgebied t.o.v. de Natura 2000-gebieden Bekendelle (onder), Korenburgerveen (linksboven) en Willinks Weust (rechts).*

## 2.4 De kenmerken van het potentiële effect

De omvang van het project ligt ver beneden de voor de m.e.r.-beoordeling gedefinieerde drempelwaarden. In de navolgende paragrafen van dit hoofdstuk is aangetoond dat voor deze ontwikkeling geen sprake is van negatieve effecten op het milieu.

Op grond van de kenmerken van het plan en de ligging, kan de realisatie van de woningen en een aantal parkeerplaatsen in potentie de volgende effecten hebben:

- verslechtering van de luchtkwaliteit in de omgeving;
- invloed op omliggende beschermde natuurgebieden.

### 2.4.1 Luchtkwaliteit

Volgens de ministeriële regeling NIBM draagt een bouwplan met minder dan 1.500 woningen niet in betekenende mate bij aan de luchtverontreiniging. In dit plan wordt tien nieuwe grondgebonden woningen met bijbehorende ontsluiting en parkeerplaatsen gerealiseerd. Het plan zal derhalve niet in betekenende mate bijdragen aan de luchtverontreiniging.

### 2.4.2 Beschermde natuurgebieden

Door Bureau Ontwerp & Omgeving is een quickscan natuurtoets uitgevoerd. De quickscan natuurtoets is als bijlage toegevoegd.

Gezien de afstand van het plangebied tot beschermde natuurgebieden is uitsluitend sprake van externe werking. Externe werking kan ontstaan door verstoring (licht en/of geluid) of door een toename van de stikstofdepositie. De afstand van het plangebied tot het Natura 2000-gebied Bekendelle, Korenburgerveen en Willinks Weust bedraagt 3 tot 4 km, waardoor effecten van een toename van bijvoorbeeld licht en geluid te verwaarlozen zijn. Daarbij wordt opgemerkt dat tussen het plangebied en de natuurgebieden sprake is van bestaand stedelijk gebied.

Vermestende en/of verzurende effecten van een toename van stikstofdepositie zijn tot op grotere afstanden (juridisch) relevant. De realisatie van het bouwplan leidt tot emissies van stikstofoxiden (NOx) in de bouwfase én in de gebruiksfase. Stikstofemissies in de bouwfase vinden plaats door onder andere vrachtwagenbewegingen van en naar het plangebied en het gebruik van mobiele werktuigen. Stikstofemissies in de gebruiksfase kunnen optreden vanwege vervoersbewegingen van bewoners. Deze stikstofemissies kunnen leiden tot een toename van de depositie van stikstof in de omgeving.

Door Buro Ontwerp & Omgeving is in februari 2020 een Aeriusberekening uitgevoerd. De berekening is als bijlage toegevoegd. Uit de rekenresultaten blijkt dat, zowel tijdens de realisatiefase als de gebruiksfase, op verschillende stikstofgevoelige habitattypes in de Natura 2000- gebied Bekendelle, Korenburgerveen en Willinks Weust geen stikstofdepositie groter dan 0,00 mol/ha/jr plaats vindt. Een negatief effect op Natura 2000-gebieden is daarom uitgesloten.

# 3 Conclusie

Op grond van het voorgaande kan geconcludeerd worden dat mogelijke belangrijke nadelige gevolgen voor het milieu als gevolg van het initiatief binnen het plangebied kunnen worden uitgesloten. Het bestemmingsplan kan zonder m.e.r.(-beoordeling) worden vastgesteld.

# Bijlage 1: Quickscan natuurtoets

buro ontwerp & omgeving
adviseurs voor leefomgeving

## Quickscan natuurtoets

# Ontwikkeling Vredenseweg 4-6

**Winterswijk**

**van ERS architekten bna**

Projectnummer: 3192.01
Datum: 21-2-2020
Versie: Concept 1

# Quickscan natuurtoets

## Vredenseweg 4-6 te Winterswijk

| | |
|---|---|
| Opdrachtgever: | ERS architekten bna |
| Projectnummer: | 3192.01 |
| Datum: | 21-2-2020 |
| Versie: | Concept 1 |
| Projectleider en rapporteur: | Jur Metselaar |
| Autorisatie: | Laura Tilleman |


Opdrachtnemer: Buro Ontwerp & Omgeving

Velperweg 157
6824 MB Arnhem
Postbus 2033
6802 CA Arnhem

info@ontwerpenomgeving.nl
www.ontwerpenomgeving.nl

# INHOUD

1 INLEIDING ..... 3

2 BELEIDSKADER ..... 4
2.1 Algemeen ..... 4
2.2 Gebiedsbescherming ..... 4
2.3 Soortbescherming ..... 4
2.4 Houtopstanden ..... 5

3 PROJECTGEBIED EN WERKZAAMHEDEN ..... 6
3.1 Beschrijving projectgebied ..... 6
3.2 Geplande werkzaamheden ..... 7

4 WERKWIJZE ..... 8
4.1 Bureauonderzoek ..... 8
4.2 Veldbezoek ..... 8
4.3 Betrouwbaarheid ..... 8

5 RESULTATEN ..... 9
5.1 Gebiedsbescherming ..... 9
5.2 Soortbescherming ..... 11
5.3 Samenvatting ..... 15

6 CONCLUSIE ..... 16
6.1 Conclusies soort- en gebiedsbescherming ..... 16
6.2 Aanvullend onderzoek ..... 16

7 LITERATUURLIJST ..... 18

# BIJLAGEN

1. Effectenindicator Natura 2000-gebieden

# 1 INLEIDING

In opdracht van ERS architekten bna is door Buro Ontwerp & Omgeving een quickscan natuurtoets uitgevoerd op de Vredenseweg 4-6 te Winterswijk. Het betreft het voormalige pand van De Jager Wonen met een aanliggend parkeerterrein. De ontwikkeling voorziet in de sloop van het bestaande complex en de bouw van 10 koopwoningen.

Het doel van de natuurtoets is om een indicatie te krijgen van de aanwezigheid en (mogelijke) effecten van de ingreep op beschermde dier- en plantensoorten en gebieden. Uit deze natuurtoets moet blijken of er nadelige effecten zijn op gebieden met een speciale beschermingsstatus, namelijk Natura 2000-gebieden, Natuurnetwerk Nederland en Groene Ontwikkelingszone. Vervolgens worden de mogelijke effecten onderzocht op onder de Wet natuurbescherming beschermde dier- of plantensoorten. Als (nadelige) effecten niet uit te sluiten zijn moet nader onderzoek plaatsvinden, moeten er mitigerende/compenserende maatregelen getroffen worden en/of eventueel een ontheffing van de Wet natuurbescherming worden aangevraagd. Deze natuurtoets is gebaseerd op bureauonderzoek naar het gebied en waarnemingen van een verkennend veldonderzoek.

In het voorliggende rapport worden achtereenvolgens het beleidskader (hoofdstuk 2), het projectgebied en de werkzaamheden (hoofdstuk 3), de werkwijze (hoofdstuk 4), de resultaten (hoofdstuk 5) en de conclusie (hoofdstuk 6) beschreven.

# 2 BELEIDSKADER

## 2.1 Algemeen

De Wet natuurbescherming (Wnb) heeft als doel de natuur te beschermen en ontwikkelen en de biologische diversiteit te behouden en herstellen. Voor ruimtelijke ingrepen zijn naast de algemene zorgplicht (artikel 1.11) ook hoofdstuk 2 (Natura 2000-gebieden), hoofdstuk 3 (soortenbescherming) en hoofdstuk 4 (houtopstanden) van de Wnb van belang.

## 2.2 Gebiedsbescherming

*Natura 2000-gebieden*

Natura 2000-gebieden zijn aangewezen op basis van de Europese Vogel- en Habitatrichtlijn. Het omvat gebieden waarin habitats en soorten beschermd worden die van Europees belang zijn. Per Natura 2000-gebied zijn specifieke instandhoudingsdoelen opgesteld. Projecten en andere handelingen die negatieve effecten hebben op de kwaliteit van de habitats en/of de instandhoudingsdoelen van het gebied mogen niet plaatsvinden zonder een vergunning. Dit geldt niet alleen voor projecten en handelingen binnen het Natura 2000-gebied. Ook projecten en handelingen aangrenzend of buiten het gebied kunnen negatieve effecten veroorzaken.

*Natuurnetwerk Nederland*

Natuurnetwerk Nederland, NNN (in Gelderland het Gelders Natuurnetwerk, GNN, genoemd), bestaat uit een netwerk van natuurgebieden en heeft als doel deze beter met elkaar en omringende agrarische gebieden te verbinden. Het NNN is niet meegenomen in de Wnb, provincies wijzen zelf gebieden aan en dragen de verantwoordelijkheid voor het NNN en zijn behoud en ontwikkeling.

Ruimtelijke ingrepen mogen de kenmerken en waarden van het NNN niet schaden. Dit wordt gewaarborgd door het ‘nee, tenzij’-principe. Dit houdt in dat de voorgenomen ontwikkeling geen doorgang kan vinden als er sprake is van significant negatieve effecten, tenzij wordt voldaan aan de volgende voorwaarden:

- De ontwikkeling moet van groot openbaar belang zijn;
- Er zijn geen reële alternatieven;
- Negatieve effecten worden zoveel mogelijk beperkt.

## 2.3 Soortbescherming

*De Wet natuurbescherming kent drie beschermingsregimes voor soorten:*

- Beschermingsregime soorten Vogelrichtlijn (Wnb § 3.1)
- Beschermingsregime soorten uit bijlage IV van de Habitatrichtlijn, bijlage II van het verdrag van Bern en bijlage I van het verdrag van Bonn (Wnb § 3.2)
- Beschermingsregime andere soorten (Wnb § 3.3)

In bovengenoemde paragrafen uit het Wnb zijn verbodspalingen vastgesteld en is vastgesteld voor welke handelingen een vrijstelling verleend kan worden. De verbodsbepalingen houden in dat vogels en andere beschermde soorten niet gedood of opzettelijk gestoord mogen worden en nesten, voortplantings- en rustplaatsen niet beschadigd mogen worden. Verder mogen beschermde planten niet geplukt of vernield worden. Als de werkzaamheden van het project leiden tot het overtreden van deze verbodsbepalingen moet worden nagegaan of een provinciale vrijstelling geldt of dat een ontheffing moet worden verkregen.

## 2.4 Houtopstanden

Er kan een meld- en herbeplantingsplicht gelden als houtopstanden buiten de bebouwde kom worden geveld. Dergelijke houtopstanden worden in de Wet natuurbescherming omschreven als een zelfstandige eenheid van bomen, boomvormers, struiken, hakhout of griend die een oppervlakte van 10 are of meer beslaan. Ook wordt een rijbeplanting van meer dan 20 bomen als houtopstand gerekend. Er zijn een aantal uitzonderingen op de meld- en herbeplantingsplicht (Wnb §4).

# 3 PROJECTGEBIED EN WERKZAAMHEDEN

## 3.1 Beschrijving projectgebied

Het projectgebied ligt in de kern van Winterswijk en bestaat uit bebouwing en een parkeerterrein aan de Vredenseweg 4-6 (figuur 1). Rondom het complex bevinden zich woningen, een parkje, een begraafplaats, bestrating, enkele winkels en een cafetaria. Aan de noordzijde loopt de Vredenseweg, aan de oostkant de Eikenstraat en aan de zuidkant van het gebouw bevindt zich de Lijsterbesstraat.




*Figuur 1. Ligging projectgebied Vredenseweg 4-6.*

Het gebouw heeft een oppervlakte van circa 1840 m², heeft twee etages en is voorzien van een plat dak (figuur 2 t/m 5). Tussen de noordgrens van het gebouw en de Vredenseweg bevindt zich een parkeergelegenheid en een klein groenperkje. Aan de noordoostrand van het terrein staan twee jonge bomen. Los daarvan is er geen begroeiing aanwezig in het projectgebied.




*Figuur 2. Impressie van het projectgebied met de zijkant van het gebouw aan de Lijsterbesstraat (linksboven)*
*Figuur 3. Zijkant van het gebouw aan de Eikenstraat (rechtsboven)*
*Figuur 4 en 5. Voorzijde van het gebouw aan de Vredenseweg (links- en rechtsonder).*

## 3.2 Geplande werkzaamheden

De voorgenomen ontwikkeling bestaat uit de sloop van het bestaande complex en het realiseren van 4 starterswoningen en 6 generatiewoningen. Ook wordt ruimte gemaakt voor nieuwe parkeervakken en worden er grasperkjes en enkele heesters aangeplant.

# 4 WERKWIJZE

## 4.1 Bureauonderzoek

Voorafgaand aan het veldbezoek is onderzoek gedaan naar de ligging van het gebied t.o.v. beschermde natuurgebieden, de voorkomende habitats en de verspreidingsgegevens van beschermde soorten in en rondom het gebied (pdok.nl en verspreidingsatlas.nl).

## 4.2 Veldbezoek

Het veldbezoek ten behoeve van de quickscan natuurtoets is uitgevoerd op 14 februari 2020, van 8:30 tot 9:30. Tijdens het veldbezoek was het geheel bewolkt, vrijwel windstil en circa 6 graden Celsius. Er is gekeken naar het terrein en de geschiktheid hiervan voor beschermde planten- en diersoorten. Ook is gekeken naar de aanwezigheid van beschermde soorten, met inbegrip van sporen als pootafdrukken, uitwerpselen, nesten en andere mogelijke verblijfplaatsen.

## 4.3 Betrouwbaarheid

Dit onderzoek is op zorgvuldige wijze uitgevoerd conform de toepasselijke en van kracht zijnde regelgeving ten aanzien van natuurwetgeving. Het onderzoek betreft een momentopname en geeft een inschatting van de geschiktheid van het projectgebied voor beschermde soorten en het al dan niet voorkomen van deze soorten. De gebruikte informatie m.b.t. de verspreiding van flora en fauna mag niet zonder toestemming worden verstrekt aan derden of op enige andere wijze openbaar gemaakt worden. Buro Ontwerp & Omgeving accepteert op voorhand geen aansprakelijkheid ten aanzien van mogelijke beslissingen die de opdrachtgever naar aanleiding van het door Buro Ontwerp & Omgeving uitgevoerde onderzoek neemt.

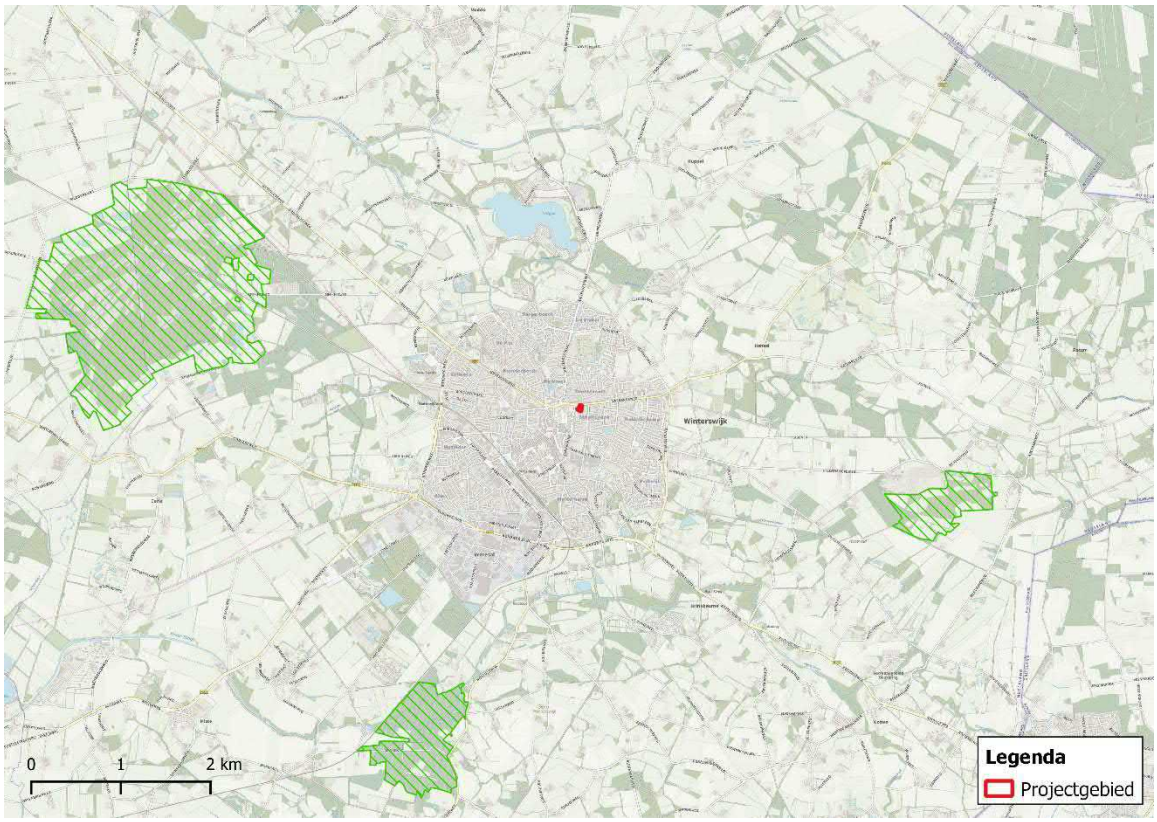
In het algemeen kan gesteld worden dat een quickscan natuurtoets geldig is voor een periode van 2 tot 3 jaar, tenzij de ecologische omstandigheden in deze periode wezenlijk zijn veranderd en/of de Wet natuurbescherming, of wanneer inzichten hieromtrent zijn gewijzigd. Bij uitstel van de uitvoering van een project met meer dan 3 jaar verdient het de aanbeveling de resultaten van de natuurtoets opnieuw te onderzoeken.

# 5 RESULTATEN

## 5.1 Gebiedsbescherming

*Natura 2000*

Het projectgebied ligt op een afstand van circa 3 à 4 km van de Natura 2000-gebieden Bekendelle, Korenburgerveen en Willinks Weust (figuur 6).




*Figuur 6. Ligging projectgebied t.o.v. de Natura 2000-gebieden Bekendelle (onder), Korenburgerveen (links) en Willinks Weust (rechts) (groen gestreept).*

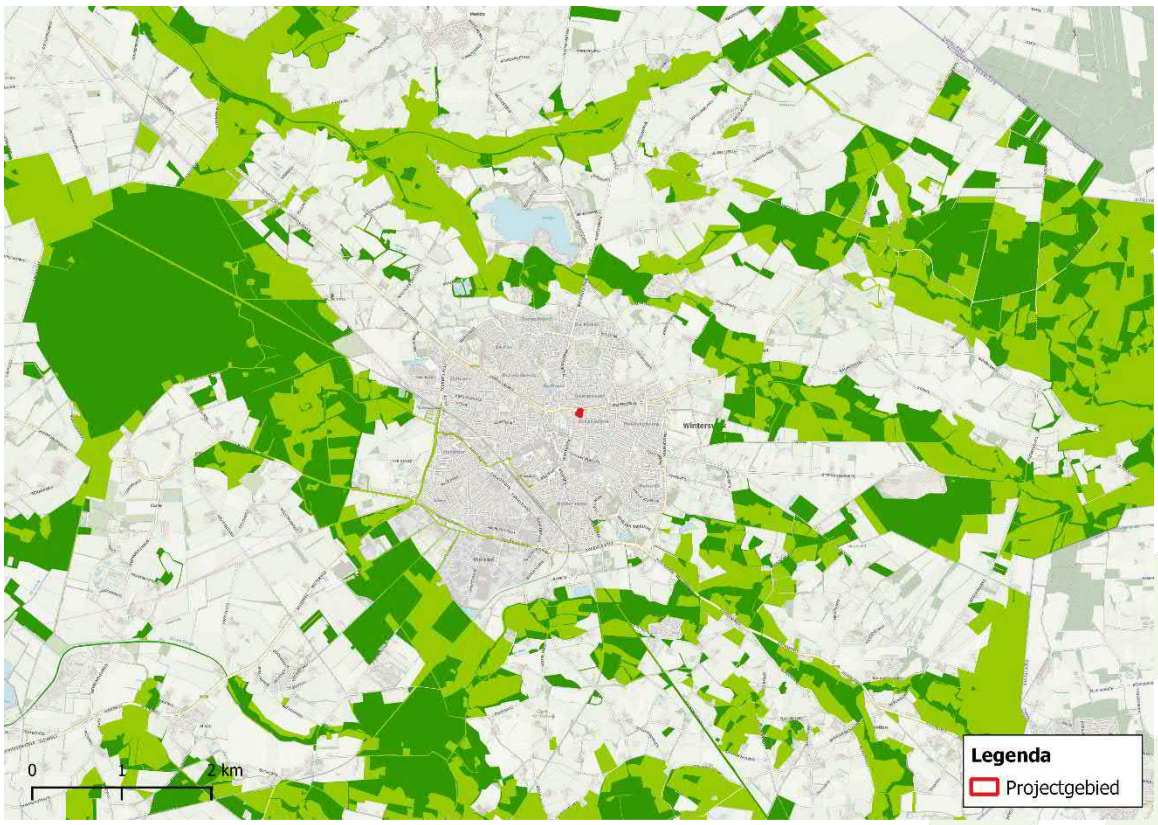
Met de effectenindicator van het ministerie van Landbouw, Natuur en Voedselkwaliteit kan worden ingezien hoe gevoelig bepaalde vegetatietypen, planten- en diersoorten zijn voor verschillende soorten verstoringen. De effectenindicatoren voor woningbouw op deze Natura 2000-gebieden zijn toegevoegd in bijlage 1.

Gezien de werkzaamheden niet plaatsvinden binnen de beschermde gebieden worden de factoren oppervlakteverlies en versnippering uitgesloten. Verder vinden er geen werkzaamheden plaats die invloed hebben op grondwater of waterhuishouding van de gebieden, waardoor verzoeting, verzilting, verdroging, vernatting, verandering in stroomsnelheid of overstromingsfrequentie ook worden uitgesloten. Verontreiniging wordt ook uitgesloten, omdat er geen stoffen worden geloosd.

De afstand tussen het projectgebied en de Natura 2000-gebieden is groot te noemen. Verandering in dynamiek van het substraat, optische verstoring en verstoring door mechanische effecten, geluid, licht en trilling zijn daarom uit te sluiten. Ook wordt verandering in populatiedynamiek en soortensamenstelling uitgesloten vanwege de afstand.

De storingsfactoren die overblijven zijn vermesting en verzuring door stikstofdepositie uit de lucht. Gezien de ingreep en de afstand tot de Natura 2000-gebieden wordt verwacht dat negatieve effecten uit te sluiten zijn, desalniettemin wordt geadviseerd om een AERIUS-berekening te laten uitvoeren.

*Natuurnetwerk Nederland*
Het projectgebied is niet gelegen binnen een Groene Ontwikkelingszone (GO) en ligt op circa 1,2 km afstand van gebieden die onder het Gelders Natuurnetwerk (GNN) vallen; de Gelderse gebieden van Natuurnetwerk Nederland (figuur 7). Gezien de ligging buiten deze gebieden worden de kernkwaliteiten en ontwikkelingen van de GO en het GNN bij de werkzaamheden niet aangetast.




*Figuur 7. Ligging projectgebied t.o.v. het Gelders Natuurnetwerk (donkergroen) en de Groene Ontwikkelingszone (lichtgroen).*

## 5.2 Soortbescherming

***Grondgebonden zoogdieren***

*Algemene soorten*

Er wordt verwacht dat er verschillende algemene grondgebonden zoogdieren kunnen voorkomen in en rondom het projectgebied. Enkele voorbeelden hiervan zijn de egel en huisspitsmuis. Het is niet uit te sluiten dat deze zoogdieren in het projectgebied aanwezig zijn tijdens de werkzaamheden. Voor de meeste grondgebonden zoogdieren geldt in Gelderland een vrijstelling van de Wet natuurbescherming. Verder geldt voor deze soorten de algemene zorgplicht, waarbij alle handelingen die nadelige gevolgen veroorzaken achterwege gelaten moeten worden (Wnb artikel 1.11).

*Strikt beschermde soorten*

Op basis van verspreidingsgegevens is de steenmarter de enige strikt beschermde soort die in de omgeving van het projectgebied voorkomt. Deze soort komt in de omgeving veelvuldig voor. Steenmarters gebruiken hooizolders, loze ruimtes onder het dak, schuurtjes en dergelijke als verblijfplaats. De leegstand van het gebouw kan in het voordeel zijn van de steenmarter, maar er werden geen sporen aangetroffen die duiden op de aanwezigheid van de steenmarter. Deze soort kan daarom worden uitgesloten.

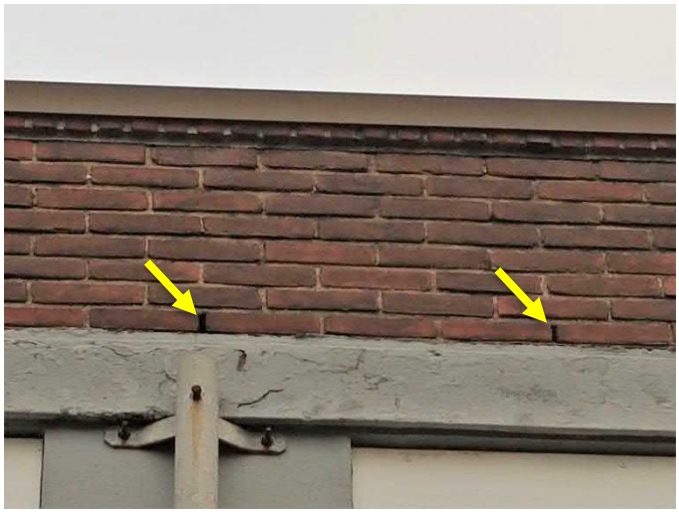
***Vleermuizen***

Op basis van openbare verspreidingsgegevens kunnen in de omgeving van het projectgebied de volgende vleermuissoorten voorkomen: gewone dwergvleermuis, ruige dwergvleermuis, laatvlieger, rosse vleermuis, gewone grootoorvleermuis, franjestaart, baardvleermuis en watervleermuis.

Vleermuizen kunnen globaal opgedeeld worden in boombewonende soorten zoals de rosse vleermuis en gebouwbewonende soorten zoals de gewone dwergvleermuis. Er zijn ook soorten die zowel gebouw- als boombewonend zijn. Vervolgens wordt er onderscheid gemaakt in typen verblijfplaatsen, bijvoorbeeld zomer- en paarverblijven.

In het projectgebied zijn geen geschikte bomen aanwezig die kunnen dienen als verblijfplaats voor boombewonende vleermuissoorten. Hierdoor kunnen verblijfplaatsen van de rosse vleermuis in het projectgebied worden uitgesloten.

Gebouwbewonende soorten maken doorgaans gebruik van spouwruimtes, spleten en vergelijkbare ruimtes in gebouwen. Tijdens het veldbezoek zijn aan de kant van de Eikenstraat en Lijsterbesstraat diverse open stootvoegen gezien die vleermuizen toegang kunnen verlenen tot de spouwmuur (figuur 8). Ook spleten in de houten gevelbetimmering aan de westkant van het gebouw bieden vleermuizen de mogelijkheid om het pand te bereiken. Hierdoor is het niet uit te sluiten dat er verblijfplaatsen van gebouwbewonende vleermuizen in het pand aanwezig zijn (zie hoofdstuk 6).



*Figuur 8. Open stootvoegen die vleermuizen toegang bieden tot de spouwmuur.*

***Vogels***

*Algemene soorten*

Het is op voorhand niet uit te sluiten dat algemene soorten (nog) tot broeden komen in het projectgebied. Tijdens het veldbezoek is in een van de twee bomen op de hoek van de Vredenseweg en Eikenstraat een duivennest aangetroffen dat mogelijk opnieuw bezet gaat worden (figuur 9). Daarnaast werden nog enkele loshangende takken gezien aan de westkant van het gebouw; mogelijk nestmateriaal van algemene broedvogelsoorten (figuur 10).

Alle in het wilde levende vogelsoorten mogen niet opzettelijk gestoord, gevangen of gedood worden volgens de Vogelrichtlijn (Wnb artikel 3.1). Tevens zijn alle vogelsoorten tijdens het broedseizoen beschermd. Hier geldt dat buiten het broedseizoen gewerkt moet worden om verstoring te voorkomen. Voor de meeste vogels kan worden aangenomen dat het broedseizoen van maart tot en met juli loopt, maar bij enkele soorten begint het seizoen eerder of loopt het langer door. Geldend hierbij is de aanwezigheid van een broedgeval op het moment van ingrijpen. Het is op voorhand niet uit te sluiten dat algemene broedvogels tot broeden komen in het te slopen complex of de boom op de hoek van de Vredenseweg en Eikenstraat. De sloop van het complex en het verwijderen van de boom met het vogelnest moet daarom buiten het broedseizoen plaatsvinden.




*Figuur 9. Duivennest in de boom op de hoek Vredenseweg en Eikenstraat (links).*



*Figuur 10. Mogelijk nestmateriaal van een algemene broedvogelsoort aan de westkant van het gebouw.*

*Strikt beschermde soorten*

Van sommige vogelsoorten zijn de vaste rust- en verblijfplaatsen jaarrond beschermd. Voorbeelden hiervan zijn de slechtvalk, steenuil, gierzwaluw en huismus. Ook zijn er soorten waarbij het nest alleen jaarrond beschermd is als er zwaarwegende ecologische redenen zijn, bijvoorbeeld de boerenzwaluw, huiszwaluw en torenvalk.

Soorten met jaarrond beschermde nesten die potentieel in het projectgebied tot broeden kunnen komen zijn de gierzwaluw en huismus.

De gierzwaluw is een soort die voorkomt in dorpen en steden waar hij broedt in donkere holtes, spleten en onder dakpannen van gebouwen. Langs de rand van het houten dakbeschot aan de zuidwestkant van het gebouw zijn spleten aanwezig die als nestplaats geschikt zijn voor gierzwaluwen (figuur 11). De aanwezigheid van deze soort kan daarom niet worden uitgesloten (zie hoofdstuk 6).



*Figuur 11. Openingen die geschikt zijn als nestplaats voor gierzwaluwen.*

De huismus is een standvogel die gebonden is aan bebouwing en komt voornamelijk voor in dorpen en steden. De huismus is tijdens het veldbezoek niet waargenomen in het projectgebied, maar wel in het verlengde deel van de Eikenweg met rijtjeshuizen uit 1947/48 (Kadaster, 2020), tuinen en een zogenoemd kwetterbosje. Aan de Vredenseweg 4-6 is echter geen dekking aanwezig binnen enkele meters van potentieel geschikte nestruimtes. Dekking moet aanwezig zijn voor de jongen als ze uitvliegen en voor de ouders voordat ze naar het nest vliegen om de jongen te voeren. Hierdoor kan de huismus redelijkerwijs worden uitgesloten als broedvogel in het projectgebied.

***Reptielen en amfibieën***

Op basis van de openbare verspreidingsgegevens zijn de gewone pad en bruine kikker te verwachten in de omgeving van het projectgebied. Echter, het projectgebied is vrijwel helemaal bebouwd of anderzijds verhard, waardoor het ongeschikt is voor amfibieën- en reptielensoorten. Hierdoor zijn negatieve effecten op deze soortgroepen uitgesloten.

***Overige beschermde diersoorten***

Uit de openbare beschikbare verspreidingsgegevens blijkt dat in de omgeving van het projectgebied geen waarnemingen bekend zijn van beschermde vissen, weekdieren, libellen, kevers en vlinders. Het projectgebied is verhard en er is geen oppervlaktewater aanwezig, waardoor het ongeschikt is voor deze soortgroepen.

***Vaatplanten***

Op basis van de openbare verspreidingsgegevens zijn er geen beschermde vaatplanten te verwachten in het projectgebied. Het projectgebied bevindt zich binnen de bebouwde kom en is vrijwel helemaal bebouwd of anderzijds verhard. Omdat de beschermde vaatplanten hoge eisen stellen aan hun leefomgeving zijn ze niet in dit projectgebied te verwachten. Hierdoor zijn negatieve effecten op bedreigde vaatplanten uit te sluiten.

## 5.3 Samenvatting

Onderstaande tabel geeft de soorten die (mogelijk) aanwezig zijn weer, de effecten waar ze last van hebben en eventuele vervolgstappen die genomen moeten worden.

| Soortgroep | Soort(en) | Aanwezigheid | Mogelijk effect | Opmerkingen |
|---|---|---|---|---|
| **Grondgebonden zoogdiersoorten** | Strikt beschermde zoogdiersoorten | Nee | Nee | - |
| | Algemene zoogdiersoorten | Mogelijk | Nee* | - |
| **Vleermuizen** | Gebouwbewonende vleermuizen | Mogelijk | Verstoring verblijfplaatsen | Nader onderzoek nodig |
| **Vogels** | Gierzwaluw | Mogelijk | Verstoring nestplaatsen | Nader onderzoek nodig |
| | Algemene broedvogelsoorten | Ja | Verstoring nestplaatsen | Werken buiten het vogelbroedseizoen |
| **Reptielen en amfibieën** | - | Nee | Nee | - |
| **Overige soorten** | - | Nee | Nee | - |
| **Vaatplanten** | - | Nee | Nee | - |

*Er dient wel rekening te worden gehouden met de algemene zorgplicht.

# 6 CONCLUSIE

## 6.1 Conclusies soort- en gebiedsbescherming

Er is onderzoek gedaan naar de mogelijke effecten van het project op vaste verblijf- en rustplaatsen van beschermde dier- en plantensoorten (Wnb). Daarnaast zijn de mogelijke effecten op beschermde natuurgebieden onderzocht.

**Soortbescherming**

Van een aantal soorten is de aanwezigheid in het projectgebied niet uit te sluiten. Hieronder wordt per soort(groep) ingegaan op de bescherming en de mogelijke effecten die zij kunnen ondervinden door de werkzaamheden.

*Vleermuizen*

Tijdens het veldbezoek zijn open stootvoegen aangetroffen die gebouwbewonende vleermuizen kunnen gebruiken om in de spouwmuur te verblijven. Alle vleermuissoorten zijn beschermd volgens artikel 3.5 van de Wnb. Hierdoor is het verboden om de soorten opzettelijk te storen, vangen of doden en hun vaste verblijf- of rustplaatsen opzettelijk te beschadigen of vernielen. De sloop van het gebouw zou kunnen leiden tot overtreding van de Wet natuurbescherming als de deze als verblijfplaats fungeert voor vleermuizen. Daarom moet de aanwezigheid van vleermuizen in het complex nader worden onderzocht.

*Gierzwaluw*

Het projectgebied vormt een geschikte leefomgeving voor de gierzwaluw en tijdens het veldbezoek zijn diverse spleten langs het dakbeschot aangetroffen die kunnen dienen als broedplaats voor gierzwaluwen. De gierzwaluw is beschermd volgens artikel 3.1 van de Wnb en zijn nest is jaarrond beschermd. Hierdoor is het verboden om de soort opzettelijk te storen, vangen of doden en zijn vaste verblijf- of rustplaatsen opzettelijk te beschadigen of vernielen. De sloop van het gebouw zou kunnen leiden tot overtreding van de Wet natuurbescherming als deze als nestplaats fungeert voor de gierzwaluw. Daarom moet de aanwezigheid van gierzwaluwen in het complex nader worden onderzocht.

**Gebiedsbescherming**

Het projectgebied ligt op een afstand van 3 à 4 kilometer van de Natura 2000-gebieden Bekendelle, Korenburgerveen en Willinks Weust, maar effecten worden op deze gebieden niet verwacht vanwege de grote afstand tussen het projectgebied en de Natura 2000-gebieden. Desalniettemin wordt geadviseerd om een AERIUS-berekening te laten uitvoeren. Verder ligt het projectgebied op een afstand van circa 1,2 km van het Gelders Natuurnetwerk en de Groene Ontwikkelingszone. De kernkwaliteiten van deze gebieden worden niet aangetast waardoor negatieve effecten zijn uitgesloten.

## 6.2 Aanvullend onderzoek

Gelet op de geschiktheid van het projectgebied voor vleermuizen en de gierzwaluw, zal aanvullend onderzoek noodzakelijk zijn om de daadwerkelijke functie van het complex voor deze soorten te kunnen bepalen. Deze informatie is benodigd om vast te kunnen stellen of overtredingen van de Wet natuurbescherming aan de orde zijn.

*Vleermuizen*

Het aanvullend onderzoek dient uitgevoerd te worden conform het vleermuisprotocol 2017 (Vleermuisvakberaad Netwerk Groene Bureaus & Zoogdiervereniging, 2017). De onderzoeksmethoden van gewone dwergvleermuis en laatvlieger worden aangehouden, waarbij ook andere vleermuissoorten aangetoond kunnen worden m.b.v. batdetectors. Dit houdt in dat er in de periode mei tot en oktober de volgende onderzoeken uitgevoerd dienen te worden:

- Kraamverblijfonderzoek: 2 onderzoeksrondes (15 mei tot 15 juli) met tussenperiode van minimaal 30 dagen;
- Paarverblijfonderzoek: 2 onderzoeksrondes (15 aug tot 1 okt) met een tussenperiode van minimaal 20 dagen;
- Zomerverblijfonderzoek: 2 onderzoeksrondes (15 mei tot 15 aug) met een tussenperiode van minimaal 20 dagen, waarbij minimaal 1 onderzoeksronde moet plaatsvinden in de kraamperiode.

*Gierzwaluw*

Het aanvullend onderzoek naar de gierzwaluw moet worden uitgevoerd tussen 15 mei en 31 juli, wanneer gierzwaluwen gebruik maken van de nestlocaties. In deze periode moeten er 3 veldbezoeken worden afgelegd met een tussenperiode van 10 dagen. Hiervan moet minimaal 1 van de veldbezoeken plaatsvinden tussen 20 juni en 7 juli, wanneer er jongen aanwezig zijn. De inventarisaties beginnen twee uur voordat de zon ondergaat en duren tot aan zonsondergang (BIJ12, 2017).

# 7 LITERATUURLIJST

BIJ12 (2017*). Kennisdocument Gierzwaluw, Apus apus, versie 1.0, juli 2017.* BIJ12: Utrecht, Nederland.

Kadaster (2020). *Basisregistratie Adressen en Gebouwen*. Geraadpleegd op 14 februari 2020 via https://bagviewer.kadaster.nl/lvbag/bag-viewer/index.html#?searchQuery=eikenstraat,%20win&resultOffset=0&objectId=0294200000415012&geometry.x=246987.594&geometry.y=443655.609&zoomlevel=6&detailsObjectId=0294010000415013

Ministerie van Landbouw, Natuur & Voedselkwaliteit (2020). *Effectenindicator Natura 2000-gebieden*. Geraadpleegd op 17 februari 2020 via https://www.synbiosys.alterra.nl/bij12/effectenindicatorappl.aspx?subj=effectenmatrix&tab=1

Vleermuisvakberaad Netwerk Groene Bureaus & Zoogdiervereniging (2017). *Vleermuisprotocol 2017, maart 2017.* Geraadpleegd op 14 februari 2020 via https://www.netwerkgroenebureaus.nl/werken-aan-kwaliteit/vleermuisprotocol

# BIJLAGE 1

## Effectenindicator Natura 2000-gebieden

Effectenindicator voor activiteit ‘woningbouw’ op Natura 2000-gebied Bekendelle (Ministerie van Landbouw, Natuur & Voedselkwaliteit, 2020).

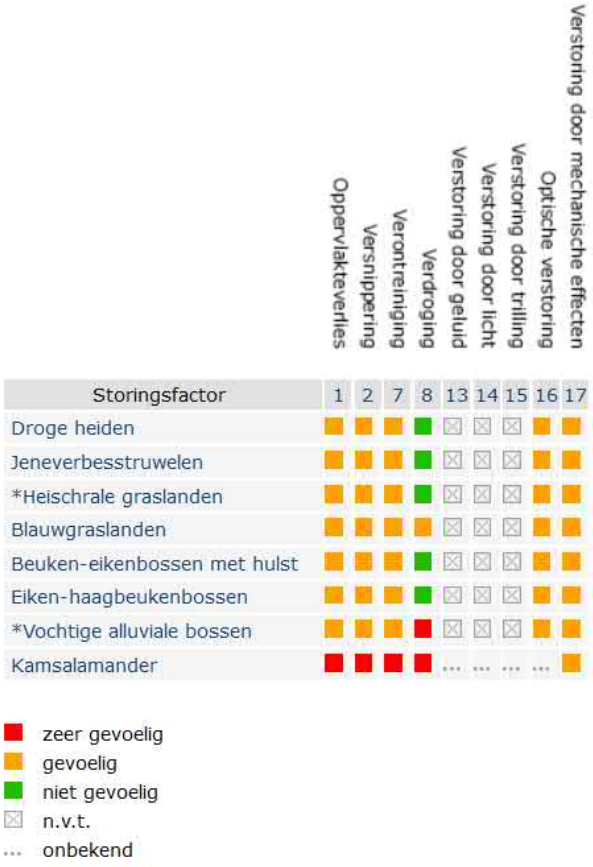
| Storingsfactor | 1 Oppervlakteverlies | 2 Versnippering | 7 Verontreiniging | 8 Verdroging | 13 Verstoring door geluid | 14 Verstoring door licht | 15 Verstoring door trilling | 16 Optische verstoring | 17 Verstoring door mechanische effecten |
|---|---|---|---|---|---|---|---|---|---|
| Beuken-eikenbossen met hulst | gevoelig | gevoelig | gevoelig | niet gevoelig | n.v.t. | n.v.t. | n.v.t. | gevoelig | gevoelig |
| Eiken-haagbeukenbossen | gevoelig | gevoelig | gevoelig | niet gevoelig | n.v.t. | n.v.t. | n.v.t. | gevoelig | gevoelig |
| *Vochtige alluviale bossen | gevoelig | gevoelig | gevoelig | zeer gevoelig | n.v.t. | n.v.t. | n.v.t. | gevoelig | gevoelig |

- zeer gevoelig
- gevoelig
- niet gevoelig
- ☒ n.v.t.
- … onbekend

Effectenindicator voor activiteit ‘woningbouw’ op Natura 2000-gebied Korenburgerveen (Ministerie van Landbouw, Natuur & Voedselkwaliteit, 2020).



Effectenindicator voor activiteit ‘woningbouw’ op Natura 2000-gebied Willinks Weust (Ministerie van Landbouw, Natuur & Voedselkwaliteit, 2020).



# Bijlage 2: Memo effectbeoordeling stikstofdepositie

**MEMO**

| | |
|---|---|
| Aan: | ERS architekten bna |
| Datum: | 5/2/2019 |
| Project nr: | 3192.01 |
| Betreft: | Memo effectbeoordeling stikstofdepositie<br>Woningbouw aan de Vredenseweg 4-6 te Winterswijk |
| Bijlage(n) | BIJL 1 – Opgave inzet mobiele werktuigen<br>BIJL 2 – AERIUS-berekening realisatiefase<br>BIJL 3 – AERIUS-berekening gebruiksfase |

## 1. Aanleiding

In opdracht van ERS architekten heeft buro ontwerp & omgeving onderzoek verricht naar de stikstofdepositie op nabijgelegen kwetsbare natuurgebieden ten gevolge van de realisatie van 10 koopwoningen aan de Vredenseweg 4-6 te Winterswijk.

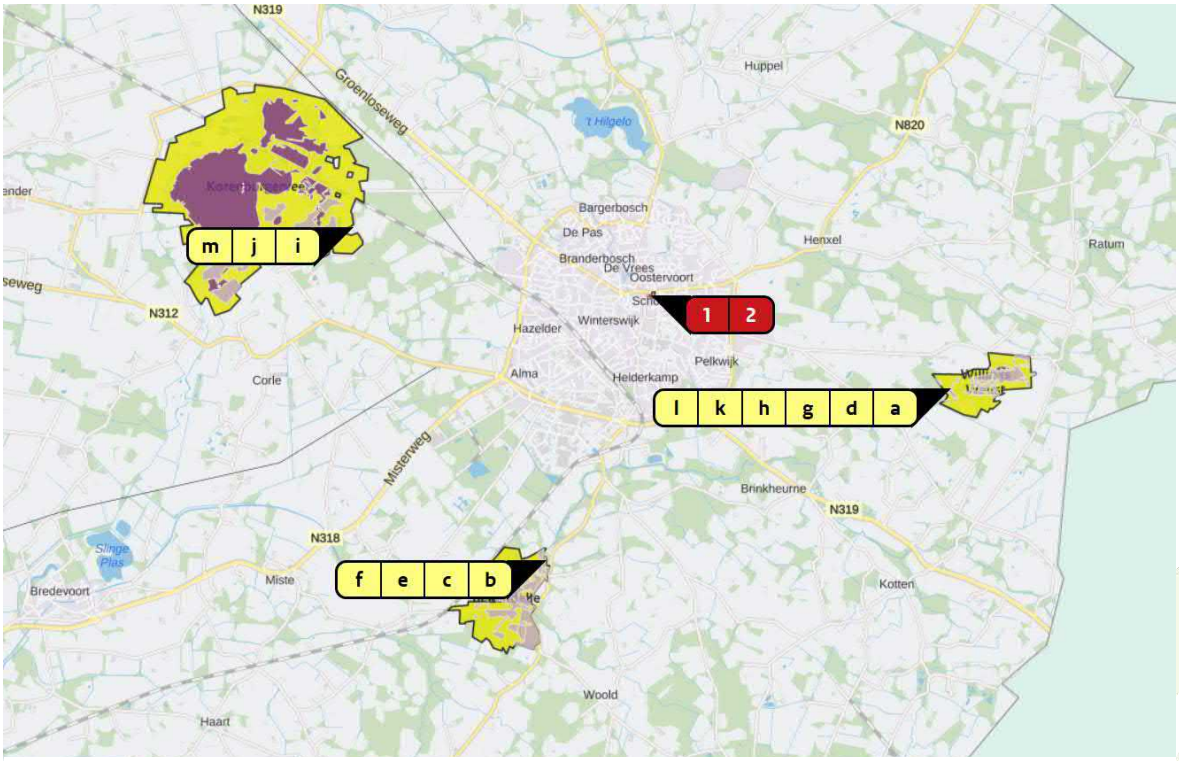



**Figuur 1: Luchtfoto van de het projectgebied.**

Het perceel aan de Vredenseweg betreft een kavel op de voormalige locatie van De Jager wonen. De initiatiefnemer wil ter plaatse 10 woningen bouwen. Op basis van het vigerend bestemmingsplan is de bouw van nieuwe woningen op het terrein (grotendeels) toegestaan. Het perceel is gelegen in de kern van de plaats Winterswijk. In figuur 1 is de globale ligging en begrenzing van het perceel weergegeven.

***Ligging Natura-2000***

Het onderzoeksgebied ligt op een afstand van 3 tot 4 km van stikstofgevoelige habitats in het Natura 2000-gebied Bekendelle, Korenburgerveen en Willinks Weust. Op de navolgende kaart (figuur 2) is de ligging van het projectgebied (rode labels 1 en 2) ten opzichte van de Natura 2000-gebieden weergegeven en zijn de stikstofgevoelige habitats en leefgebieden paars gekleurd, de overige delen van Natura 2000-gebieden zijn geel.




**Figuur 2: Ligging projectgebied t.o.v. de Natura 2000-gebieden Bekendelle (onder), Korenburgerveen (linksboven) en Willinks Weust (rechts).**

***Doel van het onderzoek***

In het kader van de Wet natuurbescherming moet uitgesloten worden dat significante negatieve effecten kunnen optreden in Natura 2000-gebieden. Stikstofdepositie kan verslechterende gevolgen hebben voor stikstofgevoelige habitattypen of leefgebieden waarvoor een Natura 2000-gebied is aangewezen. Deze gevolgen kunnen significant zijn wanneer een plan, project of andere handeling leidt tot een toename van stikstofdepositie op stikstofgevoelige habitattypen of leefgebieden die overbelast zijn.

De effectbeoordeling stikstofdepositie heeft tot doel de $NO_x$-emissies (stikstofoxiden) en $NH_3$-emissies (ammoniak) naar de lucht door het voornemen inzichtelijk te maken en de toename van stikstofdepositie op stikstofgevoelige habitattypen of leefgebieden te berekenen. De effectbeoordeling stikstofdepositie wordt afgesloten met conclusies waarbij duidelijk wordt of in het kader van de Wet natuurbescherming significante effecten uitgesloten kunnen worden, dan wel een nader onderzoek nodig is (passende beoordeling).

***Onderzoeksopzet***

In dit onderzoek is achtereenvolgens onderzocht:

- de $NO_X$- en $NH_3$-emissies gedurende de tijdelijke fase (realisatiefase);
- de $NO_X$- en $NH_3$-emissies gedurende de permanente fase (gebruiksfase);
- de stikstofdepositie als gevolg van de tijdelijke en permanente fase.

# 2. Emissie tijdelijke fase (realisatiefase)

***Mobiele werktuigen***

Tijdens de aanleg- en bouwperiode ontstaan $NO_x$-emissies door de inzet van machinerie (veelal mobiele werktuigen), auto's en vrachtwagens. De inzet van materieel (mobiele werktuigen en vrachtwagenbewegingen) is ingeschat door buro ontwerp & omgeving aan de hand van de werkelijk verwachte inzet voor de bouw van 10 woningen. De opgave is als ***bijlage 1*** bij voorliggend memo gevoegd. Het aantal voertuigbewegingen door auto's en busjes is ingeschat op het totaal aantal bewegingen in de bouwperiode. Voor aanvoer met zwaar vrachtverkeer zijn de totale verkeersbewegingen eveneens in beeld gebracht.

| Overzicht mobiele werktuigen | | | | | | |
|---|---|---|---|---|---|---|
| **Werktuig** | **Draaiuren (uur)** | **Bouwjaar** | **Vermogen (kW)** | **Belasting %** | **Emissiefactor (g/kWh)** | **Emissie NOx (kg)** |
| Mobiele kraan 14T | 50 | 2015 | 95 | 50% | 0,4 | 1,0 |
| Boorstelling 50T | 27 | 2016 | 404 | 60% | 0,4 | 2,6 |
| Betonpomp | 10 | 2014 | 228 | 60% | 0,4 | 0,5 |
| Telescoopkraan 40T | 13 | 2014 | 184 | 50% | 0,4 | 0,5 |
| Mobiele kraan 40T | 30 | 2015 | 184 | 50% | 0,4 | 1,1 |
| Mobiele kraan 33m1 spiering | 27 | 2015 | 87 | 50% | 0,4 | 0,5 |
| | | | | | | |
| | | | | | | |
| Aantal voertuigbewegingen auto's en busjes | | | totaal | | 1080 | |
| Aantal voertuigbewegingen zware vrachtwagens | | | totaal | | 183 | |
| Bouwtijd in dagen | | | | 260 | | |
| | | | | | Totaal NOx | 6,2 |

**Figuur 3: Overzicht verkeersbewegingen en emissie van stikstofoxiden in de realisatiefase.**

De bouwtijd bedraagt 260 dagen. Voor de bepaling van de jaargemiddelde emissie is uitgegaan van 100% van de totale $NO_x$-emissie en 100% van de aantallen motorvoertuigbewegingen. Jaarlijks gaat het om 6,2 kg $NO_x$, 1080 voertuigbewegingen met lichte voertuigen en 183 voertuigbewegingen met zware vrachtwagens.

***Uitgangspunten verkeersafwikkeling***

De gevolgen voor het milieu van het af- en aanrijdend verkeer worden niet meer aan het onderhavige project toegerekend wanneer dit verkeer kan worden geacht te zijn opgenomen in het heersende verkeersbeeld[1]. Volgens de Raad van State is dit het geval op het moment dat het aan- en afrijdende verkeer zich door zijn snelheid en rij- en stopgedrag nog niet dan wel niet meer onderscheidt van het overige verkeer dat zich op de betrokken weg bevindt[2]. Het verkeer rijdt vanuit het projectgebied via de Lijsterbesstraat naar de Vredensestraat. Dit is een doorgaande weg. Hier is het verkeer zeker opgenomen in het heersende verkeersbeeld.

[1] https://www.infomil.nl/vaste-onderdelen/uitgebreid-zoeken/@89887/wanneer_is_het/

[2] uitspraak E03.99.0110 C.G.M. Otten, E. Bouman en Exploitatiemaatschappij Gelredome te Arnhem, Dorpsvereniging Elden, H. van der Wagen-Bötzel en R.M. van der Wagen-Bötzel te Elden - B&W Arnhem

# 3. Emissie permanente fase (gebruiksfase)

***Programma***

Het beoogde programma is als volgt:

- 10 woningen;

De woningen worden gasloos opgeleverd.

***Verkeersaantrekkende werking***

De verkeersgeneratie bepaald met behulp van de publicatie 317 "Kencijfers parkeren en verkeersgeneratie van het CROW, oktober 2012" en "Demografische kerncijfers per gemeente" van het CBS. De verkeersaantrekkelijke werking is afhankelijk van de stedelijkheid van de gemeente, de ligging t.o.v. het centrum en het woningtype. Het CBS typeert de gemeente Winterswijk als een matig stedelijke gemeente[3].

| Grootte en stedelijkheid van gemeenten | | | | |
|---|---|---|---|---|
| Regio's | Gemeentegrootte Code | Omschrijving | Stedelijkheid Code | Omschrijving |
| | code | omschrijving | code | omschrijving |
| Winterswijk | 4 | 20 000 tot 50 000 inwoners | 3 | Matig stedelijk |

Bron: CBS

**Figuur 4: Classificering gemeente Raalte.**

Volgens het CROW kan de ligging van het plangebied getypeerd worden als 'rest bebouwde kom' aangezien de locatie buiten het centrum van Winterswijk ligt, maar wel binnen de bebouwde kom. De verkeersaantrekkende werking voor woningen op een dergelijke locatie is als volgt:

| Overzicht verkeersbewegingen (rest bebouwde kom) | | | | | |
|---|---|---|---|---|---|
| Type | Aantal | norm (min) | Norm (max) | Gemideld | bewegingen per etmaal |
| Koop, tussen/hoek | 10 | 6,7 | 7,5 | 7,1 | 71 |
| | Totaal per etmaal | | | | 71 |
| | Percentage vrachtverkeer per woning | | 0,018 | | |
| | Aantal woningen | 10 | 0,18 | | |
| | Per jaar | 365 dagen | 65,7 | | |

**Figuur 5: Overzicht verkeersbewegingen in de gebruiksfase.**

[3] https://opendata.cbs.nl/statline/#/CBS/nl/dataset/83859NED/table?dl=2944A

De totale verkeersaantrekkende werking van het projectgebied is gemiddeld 71 motorvoertuigbewegingen per etmaal. In de CROW-publicatie is het volgende over vrachtverkeer opgenomen: “het vrachtverkeer naar en van woongebieden is doorgaans verwaarloosbaar, maar is wel in de cijfers verwerkt. Als gemiddelde kan worden gehanteerd: 0,02 vrachtautobewegingen per woning per werkdagetmaal”. Een werkdag kan naar weekdag worden omgerekend door te delen met 1,11. Per weekdagetmaal zijn er dus 0,018 vrachtverkeerbewegingen per woning. Op jaarbasis zijn dit er 66.

***Huishoudens***

Conform de gegevensset ‘kentallen ruimtelijke plannen’ van RIVM/EZ, behorende bij de AERIUS-factsheet ‘Ruimtelijke plannen – emissiefactoren’ is de $NH_3$-emissie van huishoudens voor nieuwbouwwoningen 0 kg/jr. Ook de $NO_x$-emissie is verwaarloosbaar, aangezien de geplande woning gasloos wordt opgeleverd (Emissiefactor = 0 kg/jr).

# 4. AERIUS-berekening

***Uitgangspunten berekeningen***
In lijn met de gewijzigde Regeling natuurbescherming van 24 april 2019 zijn aparte stikstofdepositieberekeningen uitgevoerd voor de tijdelijke en de permanente fase. Met AERIUS Calculator zijn de eerder genoemde emissiebronnen gemodelleerd waarbij wordt opgemerkt dat:

- het wegverkeer is gemodelleerd als lijnbron;
- AERIUS hanteert een minimum van 1,0 voertuig; Als het voertuigaantal per etmaal lager is dan 1,0 is het aantal per jaar weergegeven;
- De emissie door de woningen zijn gemodelleerd als oppervlaktebron;
- De emissie door mobiele werktuigen zijn gemodelleerd als oppervlaktebron.

***Rekenresultaten realisatiefase***
De verspreidingsberekeningen zijn uitgevoerd met AERIUS Calculator 2019A voor het jaar 2020. Dit is het eerste jaar waarin het plan kan worden vastgesteld.

Uit de rekenresultaten blijkt dat op verschillende stikstofgevoelige habitattypes in de Natura 2000-gebied Bekendelle, Korenburgerveen en Willinks Weust geen stikstofdepositie groter dan 0,00 mol/ha/jr plaats vindt. De rekenresultaten voor de realisatiefase zijn als ***bijlage 2*** bij dit memo gevoegd.

***Rekenresultaten gebruiksfase***
De verspreidingsberekeningen zijn uitgevoerd met AERIUS Calculator 2019A voor het rekenjaar 2020, aangezien dit het eerste jaar is wanneer theoretisch de woning bewoond kan zijn.

Uit de rekenresultaten blijkt dat op verschillende stikstofgevoelige habitattypes in de Natura 2000-gebieden Bekendelle, Korenburgerveen en Willinks Weust geen stikstofdepositie groter dan 0,00 mol/ha/jr plaats vindt. De rekenresultaten voor de gebruiksfase zijn als ***bijlage 3*** bij dit memo gevoegd.

***Conclusie***
Uit de uitgevoerde effectbeoordeling stikstofdepositie blijkt dat de voorgenomen bouw en gebruik van 12 woningen aan de Vredenseweg te Winterswijk, zowel in de tijdelijke fase (de bouw van de woningen) als in de permanente fase (bewoning) niet leidt tot een stikstofdepositie groter dan 0,00 mol/ha/jr.

buro ontwerp & omgeving
adviseurs voor leefomgeving

## Bijlagen

Bijlage 1: Opgave inzet mobiele werktuigen
Bijlage 2: AERIUS-berekening realisatiefase
Bijlage 3: AERIUS-berekening gebruiksfase

**Betreft:** Opgave activiteiten die stikstof uitstoten t.g.v. bouwwerkzaamheden
**Project:** 10 woningen
**Opgesteld:** Jur Metselaar
**Datum:** 5 februari 2020

**Inschatting bouwduur:** 260 werkdagen (ca. 52 werkweken) in fasen

*Inzet materieel t.g.v. realisatie 10 woningen.*

| Omschrijving werkzaamheden | Toe te passen materieel (niet-electrisch) | Aantal | Eenheid | Type | Tijdsduur / Eenheid | Totale tijdsduur | Bouwjaar | Vermogen |
|---|---|---|---|---|---|---|---|---|
| | | | | | | | | |
| | **Inkoopvoorwaarde vrachtverkeer en graafmachines dient Euro 6 te zijn** | | | | | | | |
| Leveren en ophalen units | Autolaad kraan Euro 6 DAF VM | 2 | ritten | | 2 uur | 4 uur | 2017 | 360 kW |
| Uitgraven bouwput | Mobiele kraan Volvo of Liebherr | 3 | stuks | 14 tons kraan | 1 dag | 20 uur | 2015 | 130 pk |
| aanvullen bouwput | Mobiele kraan Volvo of Liebherr | 3 | stuks | 14 tons kraan | 4 uur | 10 uur | 2015 | 130 pk |
| Leveren en plaatsen bergingen | Autolaad kraan Euro 6 DAF VM | 1 | ritten | | 2 uur | 2 uur | 2017 | 360 kW |
| Aanbrengen palen | Boorstelling | 2 | stuks | 50 tons boorstelling | 2 dagen | 27 uur | 2016 | 550 pk |
| Storten fundering | Betonpomp | 4 | stuks | Mixerpomp | 3 uur | 10 uur | 2014 | 228 kW |
| Leveren vloerelementen | Vrachtwagen DAF XF480 STG | 15 | ritten | | 1 uur | 15 uur | 2014 | 483 pk (355 kW) |
| Plaatsen vloerelementen | Telescoopkraan 40 T | 4 | keer | 40T | 4 uur | 13 uur | 2014 | 184 kW |
| Leveren lijmelementen | Vrachtwagen | 10 | ritten | | 1,5 uur | 15 uur | 2018 | 450 pk |
| Opperen lijmelementen | Mobiele kraan (opperen elementen) | 8 | keer | 40T | 1,5 uur | 10 uur | 2015 | 184 kW |
| Leveren vloerelementen | Vrachtwagen | 15 | ritten | | 1 uur | 15 uur | 2014 | 470 pk |
| Aanbrengen vloerelementen | Mobiele kraan (opperen elementen) | 7 | keer | 33m1 spiering | 4 uur | 27 uur | 2015 | 87 kW |
| Leveren lijmelementen | Vrachtwagen | 5 | ritten | | 1,5 uur | 8 uur | 2018 | 450 pk |
| Opperen lijmelementen | Mobiele kraan (opperen elementen) | 8 | keer | 40T | 1,5 uur | 10 uur | 2015 | 184 kW |
| Leveren en leggen kapelementen | Autolaad kraan Euro 6 Scania R490 | 13 | ritten | | 2 uur | 26 uur | 2017 | 360 kW |
| Leveren, vullen en ophalen silo | Silo wagen | 5 | ritten | | 2 uur | 10 uur | 2016 | 410 kW |
| Levering gevelkozijnen | Licht vrachtverkeer | 5 | ritten | | 1,5 uur | 7,5 uur | 2016 | 150 pk |
| Leveren gevelisolatie | Vrachtwagen | 4 | ritten | | 2 uur | 8 uur | 2016 | 235 kW |
| Leveren gevelstenen | Vrachtwagen | 6 | ritten | | 1,5 uur | 9 uur | 2014 | 290 kW |
| Leveren dakpannen | Vrachtwagen | 4 | ritten | | 2 uur | 8 uur | 2017 | 320 KW |
| Leveren steiger en bouwliften | Bakwagen met aanhanger met korte kraan Euro 6 Scania G450 | 3 | ritten | | 4 uur | 12 uur | 2015 | 331 kW |
| Ophalen steiger en bouwliften | Bakwagen met aanhanger met korte kraan | 3 | ritten | | 4 uur | 12 uur | 2015 | 331 kW |
| kraanwerkzaamheden | Mobiele kraan (opperen elementen) | 8 | keer | 40T | 1,5 uur | 10 uur | 2015 | 184 kW |
| Aanvullen tuinen | Mobiele kraan | 1 | stuks | 14 tons kraan | 2,5 dagen | 20 uur | 2015 | 130 pk |

AERIUS CALCULATOR

*Dit document bevat rekenresultaten van AERIUS Calculator. Het betreft de hoogst berekende stikstofbijdragen per stikstofgevoelig Natura 2000-gebied, op basis van rekenpunten die overlappen met habitattypen en/of leefgebieden die aangewezen zijn in het kader van de Wet natuurbescherming, gekoppeld aan een aangewezen soort, of nog onbekend maar mogelijk wel relevant.*

*De berekening op basis van stikstofemissies gaat uit van de componenten ammoniak (NH3) en/of stikstofoxide (NOx).*

*Wilt u verder rekenen of gegevens wijzigen? Importeer de pdf dan in Calculator. Voor meer toelichting verwijzen wij u naar de website www.aerius.nl.*


Berekening Situatie 1

- Kenmerken
- Samenvatting emissies
- Depositieresultaten
- Gedetailleerde emissiegegevens


Verdere toelichting over deze PDF kunt u vinden in een bijbehorende leeswijzer. Deze leeswijzer en overige documentatie is te raadplegen via: https://www.aerius.nl/handleidingen-en-leeswijzers.

AERIUS CALCULATOR

## Contact

| Rechtspersoon | Inrichtingslocatie |
|---|---|
| J. Metselaar | Vredenseweg 6, 7101 LN Winterswijk |

## Activiteit

| Omschrijving | AERIUS kenmerk |
|---|---|
| 3192.01 | RWhQ5P3mvnGg |

| Datum berekening | Rekenjaar | Rekenconfiguratie |
|---|---|---|
| 05 februari 2020, 19:02 | 2020 | Berekend voor natuurgebieden |

## Totale emissie

| | Situatie 1 |
|---|---|
| NOx | 6,29 kg/j |
| NH3 | < 1 kg/j |

## Resultaten

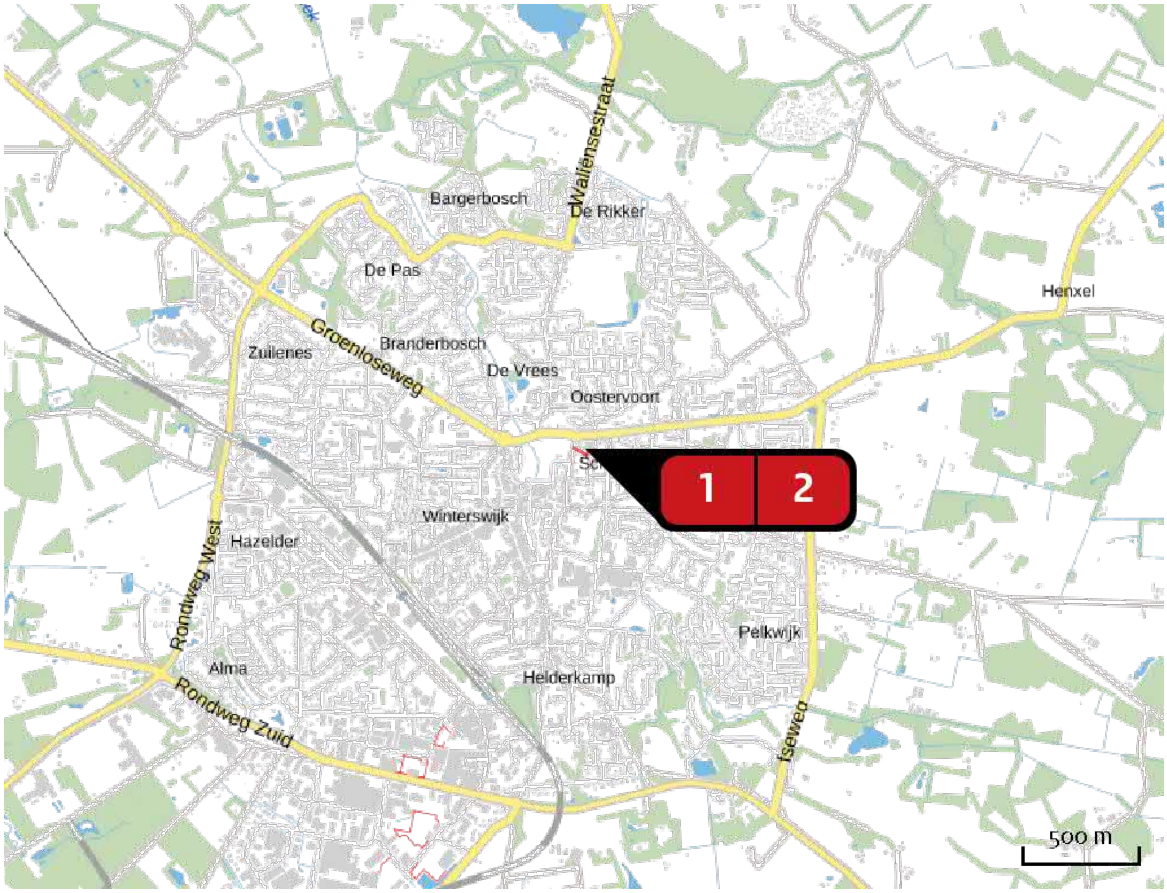
Hectare met hoogste bijdrage (mol/ha/j)

| Natuurgebied |
|---|
| Uw berekening heeft geen depositieresultaten opgeleverd boven 0,00 mol/ha/jr. |

## Toelichting

Realisatie bouw 10 woningen

## Locatie
Situatie 1

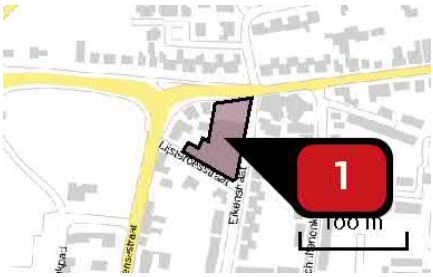



## Emissie
Situatie 1

| Bron<br>Sector | | | Emissie NH3 | Emissie NOx |
|---|---|---|---|---|
| 1 | | Bron 1<br>Mobiele werktuigen \| Bouw en Industrie | - | 6,20 kg/j |
| 2 | | Bron 2<br>Wegverkeer \| Binnen bebouwde kom | < 1 kg/j | < 1 kg/j |

## Emissie (per bron)

Situatie 1




| | |
|---|---|
| Naam | Bron 1 |
| Locatie (X,Y) | 246961, 443720 |
| NOx | 6,20 kg/j |

| Voertuig | Omschrijving | Brandstof verbruik (l/j) | Uitstoot hoogte (m) | Spreiding (m) | Warmte inhoud (MW) | Stof | Emissie |
|---|---|---|---|---|---|---|---|
| AFW | Realisatiefase | | 4,0 | 4,0 | 0,0 | NOx | 6,20 kg/j |




| | |
|---|---|
| Naam | Bron 2 |
| Locatie (X,Y) | 246930, 443697 |
| NOx | < 1 kg/j |
| NH3 | < 1 kg/j |

| Soort | Voertuig | Aantal voertuigen | Stof | Emissie |
|---|---|---|---|---|
| Standaard | Licht verkeer | 1.080,0 / jaar | NOx | < 1 kg/j |
| | | | NH3 | < 1 kg/j |
| Standaard | Zwaar vrachtverkeer | 183,0 / jaar | NOx | < 1 kg/j |
| | | | NH3 | < 1 kg/j |

## Disclaimer

Hoewel verstrekte gegevens kunnen dienen ter onderbouwing van een vergunningaanvraag, kunnen er geen rechten aan worden ontleend. De eigenaar van AERIUS aanvaardt geen aansprakelijkheid voor de inhoud van de door de gebruiker aangeboden informatie. Bovenstaande gegevens zijn enkel bruikbaar tot er een nieuwe versie van AERIUS beschikbaar is. AERIUS is een geregistreerd handelsmerk in Europa. Alle rechten die niet expliciet worden verleend, zijn voorbehouden.

## Rekenbasis

Deze berekening is tot stand gekomen op basis van:

| | |
|---|---|
| AERIUS | versie 2019A_20200113_49aab7f583 |
| Database | versie 49aab7f583 |

Voor meer informatie over de gebruikte methodiek en data zie:
https://www.aerius.nl/nl/factsheets/release/aerius-calculator-2019A

AERIUS CALCULATOR

*Dit document bevat rekenresultaten van AERIUS Calculator. Het betreft de hoogst berekende stikstofbijdragen per stikstofgevoelig Natura 2000-gebied, op basis van rekenpunten die overlappen met habitattypen en/of leefgebieden die aangewezen zijn in het kader van de Wet natuurbescherming, gekoppeld aan een aangewezen soort, of nog onbekend maar mogelijk wel relevant.*

*De berekening op basis van stikstofemissies gaat uit van de componenten ammoniak ($NH_3$) en/of stikstofoxide ($NO_x$).*

*Wilt u verder rekenen of gegevens wijzigen? Importeer de pdf dan in Calculator. Voor meer toelichting verwijzen wij u naar de website www.aerius.nl.*


Berekening Situatie 1

- Kenmerken
- Samenvatting emissies
- Depositieresultaten
- Gedetailleerde emissiegegevens


Verdere toelichting over deze PDF kunt u vinden in een bijbehorende leeswijzer. Deze leeswijzer en overige documentatie is te raadplegen via: https://www.aerius.nl/handleidingen-en-leeswijzers.

AERIUS CALCULATOR

## Contact

| Rechtspersoon | Inrichtingslocatie |
|---|---|
| J. Metselaar | Vredenseweg 6, 7101 LN Winterswijk |

## Activiteit

| Omschrijving | AERIUS kenmerk |
|---|---|
| 3192.01 | Rh9sufzB47Cq |

| Datum berekening | Rekenjaar | Rekenconfiguratie |
|---|---|---|
| 05 februari 2020, 18:54 | 2020 | Berekend voor natuurgebieden |

## Totale emissie

| | Situatie 1 |
|---|---|
| NOx | < 1 kg/j |
| NH3 | < 1 kg/j |

## Resultaten

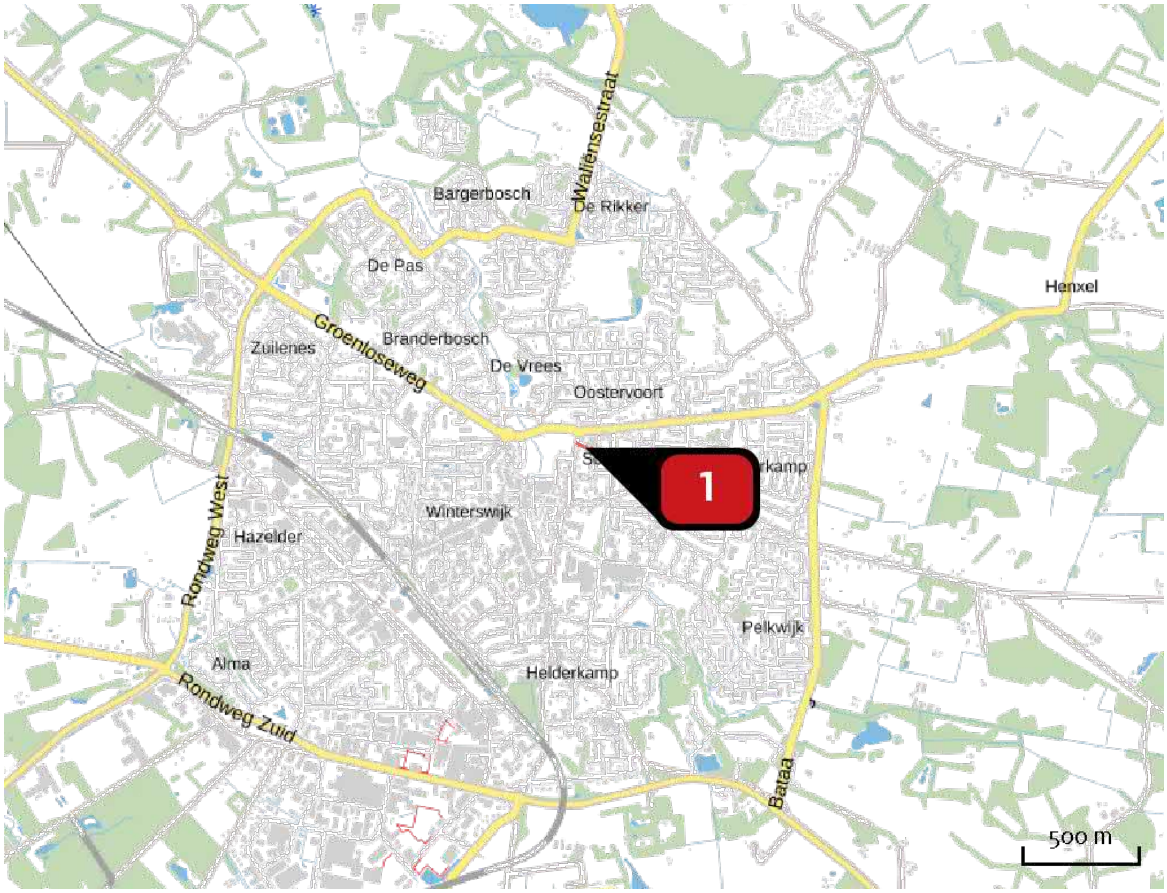
Hectare met hoogste bijdrage (mol/ha/j)

| Natuurgebied |
|---|
| Uw berekening heeft geen depositieresultaten opgeleverd boven 0,00 mol/ha/jr. |

## Toelichting

Gebruiksfase 10 woningen

## Locatie
Situatie 1




## Emissie
Situatie 1

| Bron<br>Sector | | | Emissie NH3 | Emissie NOx |
|---|---|---|---|---|
| 1 | | Gebruiksfase<br>Wegverkeer \| Binnen bebouwde kom | < 1 kg/j | < 1 kg/j |

## Emissie (per bron)

Situatie 1




| | |
|---|---|
| Naam | Gebruiksfase |
| Locatie (X,Y) | 246933, 443694 |
| NOx | < 1 kg/j |
| NH3 | < 1 kg/j |

| Soort | Voertuig | Aantal voertuigen | Stof | Emissie |
|---|---|---|---|---|
| Standaard | Licht verkeer | 71,0 / etmaal | NOx | < 1 kg/j |
| | | | NH3 | < 1 kg/j |
| Standaard | Zwaar vrachtverkeer | 65,7 / jaar | NOx | < 1 kg/j |
| | | | NH3 | < 1 kg/j |

## Disclaimer

Hoewel verstrekte gegevens kunnen dienen ter onderbouwing van een vergunningaanvraag, kunnen er geen rechten aan worden ontleend. De eigenaar van AERIUS aanvaardt geen aansprakelijkheid voor de inhoud van de door de gebruiker aangeboden informatie. Bovenstaande gegevens zijn enkel bruikbaar tot er een nieuwe versie van AERIUS beschikbaar is. AERIUS is een geregistreerd handelsmerk in Europa. Alle rechten die niet expliciet worden verleend, zijn voorbehouden.

## Rekenbasis

Deze berekening is tot stand gekomen op basis van:

| | |
|---|---|
| AERIUS | versie 2019A_20200113_49aab7f583 |
| Database | versie 49aab7f583 |

Voor meer informatie over de gebruikte methodiek en data zie:

https://www.aerius.nl/nl/factsheets/release/aerius-calculator-2019A

# Bijlage 7 Bodemonderzoek I

# Verkennend bodemonderzoek en verkennend onderzoek asbest in bodem

Vredenseweg 4-6 te Winterswijk

**Gemeente Winterswijk**

Projectnummer: 3192.01
Datum: 12-05-2020
Versie: definitief

# Verkennend bodemonderzoek en verkennend onderzoek asbest in bodem

Vredenseweg 4-6 te Winterswijk

## Gemeente Winterswijk

| | |
|---|---|
| Opdrachtgever: | ERS architecten bna |
| Projectnummer: | 3192.01 |
| Datum: | 12 mei 2020 |
| Versie: | definitief |
| Projectleider en rapporteur: | Ing. M. Teusink |
| Autorisatie: | Ing. R. Schreuder |


Opdrachtnemer: Buro Ontwerp & Omgeving

Velperweg 157
6824 MB Arnhem
Postbus 2033
6802 CA Arnhem

info@ontwerpenomgeving.nl
www.ontwerpenomgeving.nl

## INHOUD

Pagina

1 INLEIDING ..... 3

2 VOORONDERZOEK ..... 4
2.1 Algemeen ..... 4
2.2 Locatie gegevens ..... 4
2.3 Historisch gebruik en beïnvloeding van de onderzoekslocatie ..... 6
2.4 Verwachting ten aanzien van de bodemkwaliteit ..... 12
2.5 Regionale bodemopbouw en geohydrologische situatie ..... 14
2.6 Onderzoeksopzet ..... 14

3 RESULTATEN BODEMONDERZOEK ..... 17
3.1 Veldwerkzaamheden ..... 17
3.2 Maaiveldinspectie, bodemopbouw en zintuiglijke waarnemingen ..... 18
3.3 Laboratoriumonderzoek ..... 19
3.4 Toetsingskader ..... 20
3.5 Analyseresultaten ..... 21
3.6 Interpretatie ..... 24

4 SAMENVATTING, CONCLUSIES EN AANBEVELINGEN ..... 26
4.1 Samenvatting ..... 26
4.2 Conclusies en Aanbevelingen ..... 28
4.3 Opmerkingen ..... 28

## BIJLAGEN

1. Situatietekeningen
1.1 Regionale ligging
1.2 Situatietekening met boorpunten
2. Boorprofielen en legenda
3. Analysecertificaten
4. Toetsing van de analyseresultaten
4.1 Wet bodembescherming (Wbb)
4.2 Besluit bodemkwaliteit (Bbk)
4.3 Tijdelijk handelingskader voor hergebruik van PFAS-houdende grond en baggerspecie
5. Toetsingskader
5.1. Wet bodembescherming (Wbb)
5.2 Besluit bodemkwaliteit (Bbk)
5.3 Tijdelijk handelingskader voor hergebruik van PFAS-houdende grond en baggerspecie
6. Inspectierapport verkennend onderzoek asbest in bodem

# 1 INLEIDING

In opdracht van ERS architecten is door Buro Ontwerp & Omgeving een verkennend bodemonderzoek en een verkennend onderzoek asbest in bodem uitgevoerd op de locatie bekend als Vredenseweg 4 en 6 te Winterswijk (gemeente Winterswijk).

De aanleiding tot de uitvoering van de werkzaamheden betreft de voorgenomen ontwikkeling van de onderzoekslocatie.

Doel van het verkennend bodemonderzoek is een indicatie te krijgen van de huidige milieuhygienische kwaliteit van de bodem. Het doel van het verkennend onderzoek asbest in bodem is om, met een relatief geringe onderzoeksinspanning, na te gaan of de verdenking op verontreiniging van de bodem met asbest terecht is en een indicatieve uitspraak te doen over het asbestgehalte in de bodem.

Het verkennend bodemonderzoek is uitgevoerd conform de NEN 5740:2009/A1:2016 (Bodem – Landbodem – Strategie voor het uitvoeren van verkennend bodemonderzoek – Onderzoek naar de milieuhygiënische kwaliteit van bodem en grond). Hierbij wordt tevens aandacht besteed aan de aanwezigheid van PFAS.
Het verkennend onderzoek asbest in bodem is uitgevoerd conform de NEN 5707+C1:2016/C2: 2017 (Bodem- Inspectie en monsterneming van asbest in bodem en partijen grond).
Uitvoering van een vooronderzoek conform NEN 5725:2017 (Bodem - Landbodem - Strategie voor het uitvoeren van milieuhygiënisch vooronderzoek) maakt deel uit van het onderzoek.

In het voorliggende rapport worden achtereenvolgens de resultaten van het vooronderzoek en de daarop gebaseerde onderzoeksstrategie (hoofdstuk 2), de uitvoering en resultaten van het uitgevoerde onderzoek (hoofdstuk 3) en de samenvatting, conclusies en aanbevelingen (hoofdstuk 4) beschreven.

Buro Ontwerp & Omgeving verklaart dat zij geen financieel of zakelijk belang heeft bij het resultaat van het onderzoek. Het onderzoek is in dat opzicht onafhankelijk van de opdrachtgever uitgevoerd.

# 2 VOORONDERZOEK

## 2.1 Algemeen

Ten behoeve van het verkennend bodemonderzoek is een vooronderzoek uitgevoerd conform de norm NEN 5725. In het kader van het vooronderzoek is informatie verzameld over de volgende onderzoeksaspecten:

- Locatie gegevens;
- Gebruik en beïnvloeding van de locatie, verdachte situatie, activiteiten, ongewoon voorval;
- Verwachting ten aanzien van de bodemkwaliteit;
- Bodemopbouw en geohydrologie.

Hierbij zijn de volgende bronnen geraadpleegd:

- Verstrekte informatie door de opdrachtgever, de heer Schuurman van ERS architecten bna;
- Verstrekte informatie door mevrouw A. van Aalten van de Omgevingsdienst Achterhoek (ODA);
- Verstrekte informatie door mevrouw Hoog Antink van de gemeente Winterswijk;
- Archiefonderzoek bij de gemeente Winterswijk;
- Verstrekte informatie door de provincie Gelderland;
- www.kadaster.nl;
- www.dinoloket.nl;
- www.bodemloket.nl;
- diverse kaarten van de website van de Provincie Gelderland;
- www.topotijdreis.nl.

## 2.2 Locatie gegevens

*Afbakening onderzoekslocatie vooronderzoek*
De onderzoekslocatie is gelegen aan de Vredenseweg 4-6 te Winterwijk. De onderzoekslocatie heeft een oppervlakte van circa 2.500 m2 en staat kadastraal bekend als gemeente Winterswijk, sectie I, perceelsnummer 11937.

Voor de ligging van de locatie en de kadastrale kaart wordt verwezen naar bijlage 1.1 en voor een situatietekening naar bijlage 1.2.

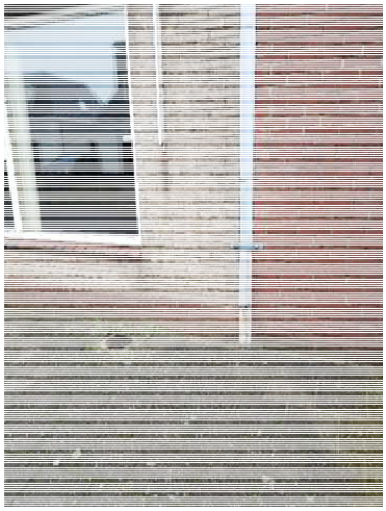
Het vooronderzoek omvat de onderzoekslocatie en direct hieraan grenzende percelen binnen een afstand van 25 meter.

*Huidig gebruik onderzoekslocatie*

De onderzoekslocatie is grotendeels bebouwd met een voormalige meubelfabriek/woonwinkel. De bebouwing staat momenteel leeg. Het voorterrein, aan de Vredenseweg, is in gebruik als parkeerplaats met groen.

*Terreinverkenning*

Voorafgaand aan het bodemonderzoek is er een terreinverkenning uitgevoerd. De inspectie is onder andere gericht op de identificatie van bronnen, die mogelijk hebben geleid of kunnen leiden tot een bodemverontreiniging. Tijdens de terreinverkenning is een vulpunt waargenomen. Het vulpunt bevindt zicht in het troittoir langs de Lijsterbesstraat. Verder zijn geen bijzonderheden waargenomen.








*Toekomstig gebruik*

De initiatiefnemer is voornemens woningen op de locatie te realiseren.

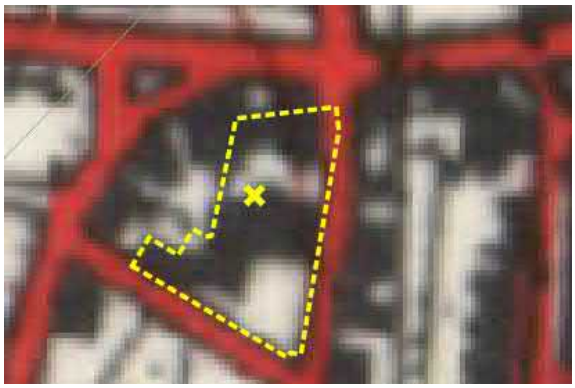
## 2.3 Historisch gebruik en beïnvloeding van de onderzoekslocatie

Om in beeld te brengen of ter plaatse van het huidige adres Vredenseweg 4-6 in Winterswijk mogelijk sprake is van een afwijkende bodemkwaliteit, heeft de ODA kortgeleden een bodeminventarisatie uitgevoerd. Hieruit blijkt het volgende:

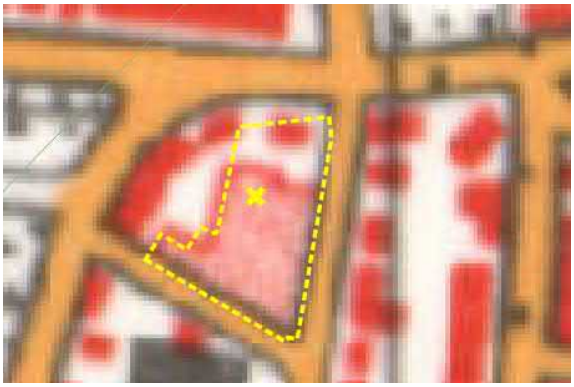
- Op het perceel was tijdens de inventarisatie “Jagers Wonen” aanwezig. In het bodeminformatiesysteem is echter aangetekend dat er in het verleden een houtmeubelfabriek heeft gezeten. Voor deze fabriek is een Hinderwetdossier beschikbaar. Waarschijnlijk is binnen de fabriek sprake geweest van bodembedreigende activiteiten;
- Voor zowel Vredenseweg 4 als Vredenseweg 6 is aangegeven dat er een ondergrondse tank aanwezig is (geweest). De tank ter plaatse van nr. 4 zou in 1997 zijn verwijderd (certificaat BB444). Voor nr. 6 is aangegeven dat de tank ongesaneerd is en dat de tank onder de bebouwing ligt met het vulpunt nog zichtbaar aan de straatzijde;
- Op het perceel is, voor zover bekend, niet eerder bodemonderzoek verricht. Ook niet in het kader van de zogenaamde BSB-operatie;
- Voor het perceel is geen melding voor het toepassen of opslaan van grond bekend;
- Op de asbestdakenkaart is aangegeven dat voor het gebouw een sloopmelding is verleend. De asbestinventarisatierapportage is (nog) niet ingezien. De dakbedekking lijkt op luchtfoto’s echter niet asbesthoudend te zijn. Een eventuele erfverharding, puinfundatie of puinhoudende grond moet als asbestverdacht worden aangemerkt;
- Op oude luchtfoto’s (>2008) en historisch kaartmateriaal (http://www.topotijdreis.nl/) zijn geen bijzonderheden of bodemverstoringen zichtbaar.

*Historisch kaartmateriaal en foto’s*

Op historisch kaartmateriaal is de eerste bebouwing zichtbaar in 1955. Hiervoor betrof het agrarisch gebied. De huidige bebouwingscontour is zichtbaar op de kaart uit 1970, ook is dan op het noordelijk deel bebouwing aanwezig. Deze bebouwing aan de noordkant lijkt tussen 1999 en 2006 gesloopt.

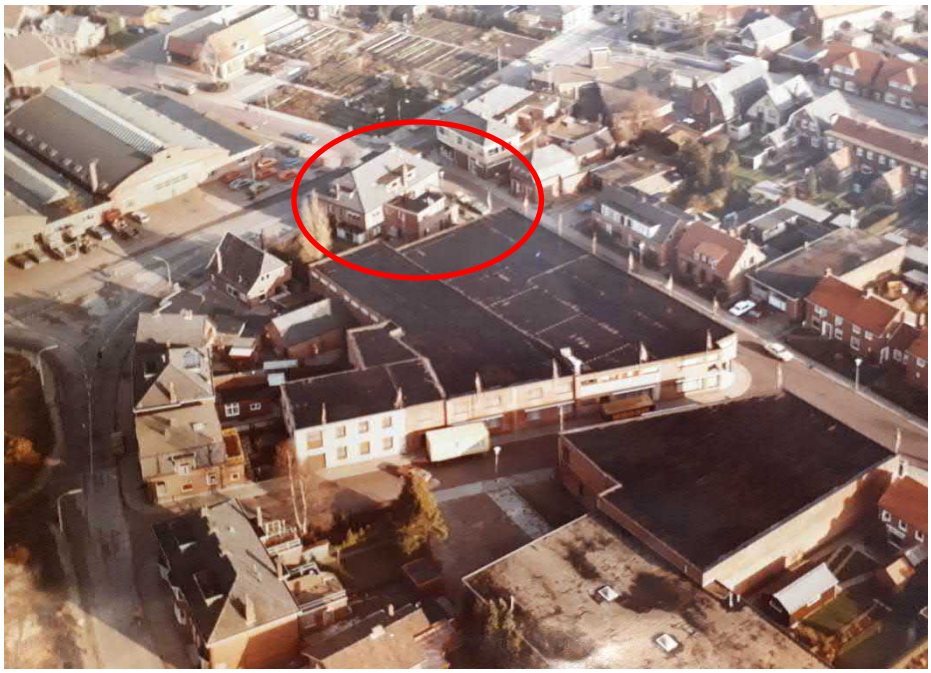


*1955*



*1970*

Tijdens het uitgevoerde archiefonderzoek is onderstaande foto gevonden in de dossierstukken van de verbouwing in 1989. Hierop is het pand zo goed als in de huidige omvang zichtbaar. Alleen aan de noordkant is de uitbreiding nog niet gerealiseerd. Op de foto is tevens de woning zichtbaar welke in 1929 is gebouwd en waar nu parkeerplaatsen aanwezig zijn. Bij de gemeente zijn geen gegevens aanwezig over de sloop van deze woning.



*Calamiteiten*

Voor zover bij de opdrachtgever, de gemeente en de Omgevingsdienst bekend hebben zich op de onderzoekslocatie in het verleden geen calamiteiten met een bodembedreigend karakter voorgedaan.

*Bouw- en sloopvergunningen*

Bij de gemeente Winterswijk zijn de volgende bouwvergunningen ingezien. In de vergunningen is, met uitzondering van de bouw van de verwarmingskelder in 1960 en een gebouwtje in 1942 geen sprake van toepassing van asbesthoudende materialen. Het voorterrein (huidige parkeerplaats) betrof in het verleden Eikenstraat 2 (woning).

*Tabel 1 Bouwverguningen*

| Dossier | Bouw | Datum | Opmerking |
|---|---|---|---|
| Map 1/19 .5087 | verbouwing fabriek G. Knook | d.d. 28-09-1950 | Plan voor het maken van brandmuren in de fabriek. Betreft (een deel van) het huidige pand. |
| Map 1/20 .5356 | verbouwing stofloods G. Knook | d.d. 26-04-1951 | Is in de huidige bebouwing gesitueerd |
| Map 1/21 .5636 | bouw houtloodsen G. Knook | d.d. 03-04-1952 | Ten zuiden van Lijsterbesstraat, buiten locatie. Opmerking op formulier: dient te worden geweigerd |
| Map 2/23 .5747 | bouw kantoor + buigerij G. Knook | d.d. 30-07-1952 | Beide tpv huidige bebouwing. Lijmafdeling genoemd. |
| Map 2/24 .5813 | bouw kantoor G. Knook | d.d. 16-10-1952 | Betreft wijziging bouwvergunning 30-07-1952 |
| Map 2/25 .5907 | verbouwing loods + stofhok G. Knook | d.d. 26-02-1953 | Het stofhok bevindt zich tpv de huidige bebouwing. De loods bevindt zich op het perceel ten zuiden van de Lijsterbesstraat buiten onderhavige locatie |
| Map 2/26 .6094 | verbouwing fabriek G. Knook | d.d. 03-09-1953 | Uitbreiding werkplaats. Ligt binnen bestaande bebouwing. Lijmafdeling |
| Map 2/27 .6965 | uitbreiding houtloods G. Knook | d.d. 19-04-1956 | Ten zuiden van de Lijsterbessstraat, buiten locatie |

| Dossier | Bouw | Datum | Opmerking |
|---|---|---|---|
| Map 2/28 .7238 | verbouwing loods G. Knook | d.d. 25-10-1956 | Ten zuiden van de Lijsterbessstraat, buiten locatie |
| Map 2/29 .8401 | bouw fabriek G. Knook | d.d. 15-07-1959 | Ter plaatse van huidige bebouwing |
| Map 1/01 .3057 | bouw werkplaats voor machinale houtbewerking G. Knook | d.d. 17-08-1923 | Situering onbekend |
| Map 2/30 .8798 | bouw verwarmingskelder + gebouw G. Knook | d.d. 22-06-1960 | Betreft het maken van en verwarmings kelder en gebouw. Dak asbestgolfplaten.<br>Gesitueerd aan de kant van de Lijsterbesstraat. Nu bebouwd. |
| Map 1/02 .5112 | Bouw drie woningen | d.d. 05-11-1927 | Lijkt op de plek van het huidige parkeerterrein maar vooraanzicht komt niet overeen met foto. Niet gebouwd? |
| Map 2/31 .9177 | uitbreiding meubelfabriek G. Knook | d.d. 30-03-1961 | Voorlopig 1 verdieping, later zal bouwaanvraag worden ingediend voor opbouwen tweede verdieping. Betreft volbouwen hoek Lijsterbesstraat/Eikenstraat met meubelmontage en kantoor |
| Map 1/03 .5560 | Bouw woning, winkel en pakhuis voor de heer Knook | d.d. 18-04-1929 | Betreft het pand dat ter plaatse van de huidige parkeerplaats heeft gestaan. |
| Map 2/32 .9225 | Bouw zagerij G. Knook | d.d. 27-04-1961 | Betreft bebouwing langs de Lijsterbesstraat ten westen van de verwarmingskelder. |
| Map 1/04 .585 | Bouw garage G. Knook | d.d. 04-05-1933 | Vergroten garage. Situering onbekend. |
| Map 2/33 .357 | bouw meubelfabriek G. Knook | d.d. 07-12-1962 | Betreft verbouwing meubelfabriek. Betreft in omvang grotendeels huidige pand. Deel aan Eikenstraat wordt tot rooilijn bebouwd met meubelfabriek. |
| Map 1/05 .762 | Uitbr. Meubelmakerswerkplaats G. Knook | d.d. 16-01-1934 | Ter plaatsen van huidige parkeerterrein behorende bij pand Eikenstraat 2. Andere bebouwing Vredenseweg 4-6 nog niet zichtbaar |
| Map 3/34 .946 | verbouwing spuiterij | d.d. 02-04-1964 | Het betreft de verbouwing van een magazijn. Hoe kan dat deze vergunning onder de naam verbouwing spuiterij geregistreerd is, is onbekend.<br>Het deel aan de Lijsterbesstraat wordt bebouwd en voorzien van een verdieping. |
| Map 1/06 .1214 | Uitbr. Meubelmakerswerkplaats G. Knook | d.d. 25-09 1935 | Lijkt ter plaatse van huidige pand te liggen |
| Map 3/35 .1486 | verbouwing magazijn G. Knook | d.d. 21-04-1965 | Lijmafdeling wordt magazijn |
| Map 1/07 .2151 | Uitbr. Meubelmakerswerkplaats G. Knook | d.d. 03-02-1937 | Ter plaatse van huidige bebouwing |
| Map 3/36 .2517 | verbouwing + aanbouw G. Knook | d.d. 07-09-1967 | Betreft aanbouw in de hoek achter de Vredenseweg 74 en 76 met lijmerij en wijzigingen aanzicht. De huidige lijmerij wordt toonzaal. |
| Map 1/08 .1510 | Uitbr. Meubelmakerswerkplaats G. Knook | d.d. 02-03-1937 | Ter plaatse van huidige bebouwing |
| Map 3/37 .3388 | verbouwing woonhuis G. Knook | d.d. 23-07-1969 | Betreft rechterkant van voormalige woning op huidig parkeerterrein. Aanbouw met zowel plat als puntddak wordt voorzien van tweede verdieping met plat dak. |
| Map 1/09 .957 | Revisietekening | d.d. 18-06-1937 | |
| Map 3/38 .3927 | verbouwing fabriek (toonkamers) | d.d. 05-11-1970 | Bouw verdieping |
| Map 1/10 .2121 | Uitbr. Meubelmakerswerkplaats G. Knook | d.d. 22-11-1938 | Betreft deel huidige bebouwing |
| Map 3/39 .4149 | uitbreiding toonkamer G. Knook | d.d. 26-05-1971 | Interne verbouwing |
| Map 1/11 .2520 | Verbouw woning G. Knook | d.d. 06-09-1940 | Bouw provisiekelder achter woning G. Knook. Situering onbekend |
| Map 3/40 .4196 | bouw opslagruimte G. Knook | d.d. 07-07-1971 | Betreft locatie aan de oostkant van de eikenstraat buiten onderhavige locatie. |
| Map 1/12 .2610 | Verbouw meubelfabriek | d.d. 14-03-1941 | Ter plaatse van huidige bebouwing |
| Map2/22 .5721 | verbouwing stofhok | d.d. 10-07-1952 | IJzeren stofhok afbreken en nieuw stofhok metselen. Tpv huidige bebouwing |
| Map 1/13 .2868 | bouw gebouwtje G. Knook | d.d. 14-09-1942 | Betreft hout-droogloods ter plaatse van zuidelijk deel huidige bebouwing. Dakbedekking betreft golfplaten van eterniet. |
| Map 1/14 .2922 | verbouwing raam G. Knook | d.d. 01-02-1943 | Vervangen raam voorgevel |
| Map 1/15 .4110 | uitbreiding meubelfabriek G. Knook | d.d. 21-01-1947 | Geen tekening |
| Map 1/16 .2421 | Uitbr. Meubelmakerswerkplaats G. Knook | d.d. 09-02-1948 | Op tek. Lijkt 1940 te staan |
| Map 1/17 .4381 | bouw houtloods G. Knook | d.d. 25-10-1948 | Betreft open houtloods met op tekening datum 4-11-1948. Bevindt zicht tpv het huidige pand. Gegalvaniseerde golfplaten |

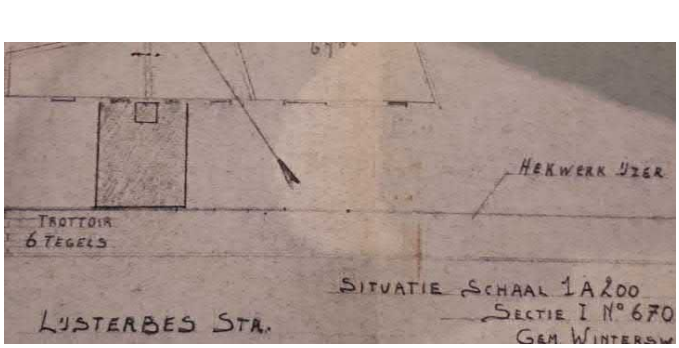
| Dossier | Bouw | Datum | Opmerking |
|---|---|---|---|
| Map 1/18 .4465 | uitbreiding houtloods G. Knook | d.d. 02-04-1949 | Tegen bestaande loods en tpv huidige bebouwing. Gegalvaniseerde golfplaten. |
| 14833 | Uitbreiden showroom G. Knook | d.d. 8 juni 1979 | Dit betreft het pand dat op de foto uit 1989 op het huidige parkeerterrein staat.<br>Een deel van het huidige pand is ook zichtbaar als showroom |
| 183686 | Verbouw meubeltoonzaal | d.d. 26-09-1989 | In de map bevindt zich een foto waarop de voormalige bebouwing op het huidige parkeerterrein zichtbaar is. Het adres is hier Eikenstraat 2-1 |
| 24036 | Verbouwing bedrijfspand, Vredenseweg 6 | d.d. 25-03-1997 | Wijzigen gevel |

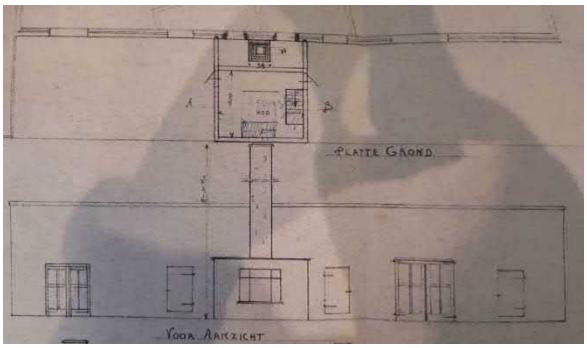
Op 20 september 2018 is een sloopmelding verricht voor het slopen en verwijderen van asbest van een bedrijfspand op het perceel Vredenseweg 4-6 te Winterswijk. Ten behoeve van de sloop is een asbestinventarisatie uitgevoerd, zie kopje asbest.

*Tanks*

Voor zowel Vredenseweg 4 als Vredenseweg 6 is in de inventarisatie van de gemeente aangegeven dat er een ondergrondse tank aanwezig is (geweest). De tank ter plaatse van nr. 4 zou in 1997 zijn verwijderd (KIWA-certificaat BB444). Het betrof een 3.000 liter ondergrondse HBO-tank welke inpandig was gelegen. Rondom de tank is tijdens de verwijdering op zintuiglijke wijze geen verontreiniging aangetroffen. De voormalige ligging van de tank is onbekend.
Voor nr. 6 is aangegeven dat de tank ongesaneerd is en dat de tank onder de bebouwing ligt met het vulpunt nog zichtbaar aan de straatzijde. Ook de exacte situering van deze tank is onbekend.

Tijdens het archiefonderzoek zijn geen tekeningen gevonden met hierop de situering van de tanks. Ook worden geen tanks beschreven. Wel is sprake van de aanwezigheid van een verwarmingskelder (1960) en/of aan de zijde van de Lijsterbesstraat. In het trottoir is nog een vulpunt zichtbaar, zie locatie-inspectie. Het vulpunt is echter niet gesitueerd voor de in de bouwvergunningen weergegeven verwarmingskelder/ketelhuis (later kantoor




Situatie 1960

In 1964 Later ingebouwd in de bebouwing, zie onderstaand waarbij de schoorsteen een herkenningspunt is. De kelder is niet meer zichtbaar.




*Historisch bodemgebruik*

Uit bodemloket en informatie van de Provincie Gelderland blijkt dat de in tabel 2 genoemde HBB-(historisch bodemgebruik) locaties ter plaatse van en of in de nabijheid van de onderzoekslocatie aanwezig zijn/waren.

*Tabel 2 HBB-locaties*

| Locatie | GE-code | Bis-code | Activiteit | start | eind | Opmerking |
|---|---|---|---|---|---|---|
| Vredenseweg 6 | GE029400964 | AA029400872 | houtmeubelfabriek (3616) | 1932 | onbekend | Stukken ingezien bij gemeente |
| Singelweg 21 Ten noorden van onderzoekslocatie. Aan de overkant van de Singelweg/Vredenseweg | GE029400090 | AA029400089 | brandstoftank (ondergronds) (631240) | onbekend | onbekend | Voldoende onderzocht volgens provincie, zie ook par. 2.4 |
| | | | chemicaliënopslagplaats (631280) | onbekend | onbekend | |
| | | | opslag van alifatische koolwaterstoffen (631205) | onbekend | onbekend | |
| | | | chemische afvalstoffenopslag/kca-depot (900027) | onbekend | onbekend | |
| | | | hbo-tank (ondergronds) (631242) | onbekend | 1998 | |
| | | | hbo-tank (ondergronds) (631242) | 1966 | onbekend | |
| | | | verfspuitinrichting (metaal) (285132) | 1966 | onbekend | |
| | | | autoreparatiebedrijf (501044) | 1966 | onbekend | |
| | | | autospuitbedrijf (geen plaatwerkerij) (502041) | 1939 | onbekend | |
| | | | carrosseriefabriek (34201) | 1939 | onbekend | |
| Lijsterbesstraat 6 | GE029400658 | AA029400570 | meubelververij en -spuiterij (361601) | 1987 | onbekend | Zie bodemonderzoek par. 2.4 |

| Locatie | GE-code | Bis-code | Activiteit | start | eind | Opmerking |
|---|---|---|---|---|---|---|
| Ten zuiden van onderzoekslocatie. Aan de overkant van de Lijsterbesstraat. | | | | | | |
| Eikenstraat 1 Ten noordoosten van de onderzoekslocatie aan de overkant van de Eikenstraat | GE029400478 | AA029400396 | houtmeubelfabriek (3616) | 1948 | onbekend | Uitvoeren historisch onderzoek. |

Tijdens het archiefonderzoek bij de gemeente Winterswijk zijn onderstaande vergunningen ingezien.

- Oprichtingsvergunning, Meubileer-inrichting ’t Binnenhuis G. Knook, 10 mei 1932, Vredenseweg 4-1 of 4a. Het betreft de plaatsing van een electromotor ten dienst zijnder meubelmakerij. De exacte situering van het pand is onbekend;
- Vergunning uitbreiding, Meubileer-inrichting ’t Binnenhuis G. Knook, 3 januari 1936, Vredenseweg 4-1 of 4a. Het betreft een forse uitbreiding van de bestaande werkplaats. De exacte situering is onbekend;
- Vergunning uitbreiding, Meubileer-inrichting ’t Binnenhuis G. Knook, 2 juli 1937, Vredenseweg 4-1 of 4a. Het betreft een uitbreiding van de bestaande werkplaats. De exacte situering is onbekend;
- Vergunning uitbreiding, Meubileer-inrichting ’t Binnenhuis G. Knook, 8 februari 1938, Vredenseweg 4-1 of 4a. Het betreft het plaatsen en verplaatsen van electromotoren in de meubelmakerij. De exacte situering is onbekend;
- Vergunning uitbreiding, Meubileer-inrichting ’t Binnenhuis G. Knook, 7 juli 1939, Vredenseweg 4-1. Het betreft het plaatsen en verplaatsen van electromotoren in de meubelmakerij en het uitbreiden van de werkplaats. De exacte situering is onbekend;
- Vergunning uitbreiding, Meubileer-inrichting ’t Binnenhuis G. Knook, 3 februari 1949, Vredenseweg 4a. Het betreft het plaatsen van electromotoren in de meubelmakerij. Op de tekening zijn o.a. diverse werkplaatsen en een lijmerij zichtbaar;
- Verplaatsing bedrijf, in 1973 is de productieafdeling van meubelfabriek Knook bv overgebracht naar een ander pand aan de Laan van Hilbrink 28.

## 2.4 Verwachting ten aanzien van de bodemkwaliteit

Uit bodemloket, de atlas Gelderland en informatie van de ODA blijkt dat voor zover bekend op de onderzoekslocatie geen bodemonderzoek is uitgevoerd. In de omgeving zijn de in tabel 3 weergegeven onderzoeken uitgevoerd.

*Tabel 3 Bodemonderzoeken*

| Locatie | GE-code | Bis-code | Type | Auteur | Nummer | Datum | Resultaat |
|---|---|---|---|---|---|---|---|
| Singelweg 21 | GE029400090 | AA029400089 | Historisch onderzoek | Register | 9909/145 | 2000-04-25 | Niet in bezit |
| | | | Beschikking evaluatie | Provincie Gelderland | MW1999.28122 | 1999-08-30 | De sanering is niet volledig afgerond. Op het westelijk terrein dient de restverontreiniging met minerale olie nog gesaneerd te worden. |
| | | | Saneringsevaluatie | Ecopart B.V. | 11812 | 1999-06-28 | PAK<br>Putwanden EV102 en 105 2,8 mg/kg ds<br>Ondergrondse tank<br>Put en grondwater schoon<br>Opslag afval<br>Put en grondwater schoon<br>Westelijk terrein<br>Putwand zijde bebouwing (Walienstraat 4) niet bemonsterd omdat hier van bekend was dat restverontreiniging zou achterblijven. Deze verontreiniging wordt verder in-situ gesaneerd. Put en rondwater verder schoon.<br>De tekeningen zijn onduidelijk maar de Walienstraat 4 bevindt zich ruim buiten onderhavige onderzoekslocatie. De situering van de restverontreiniging met PAK is niet te achterhalen. Gezien de zeer lichte gehalten en de afstand tot onderhavige onderzoekslocatie wordt hiervan geen invloed verwacht. |
| | | | Aanvullend saneringsplan | Ecopart B.V. | 11812 | 1999-04-14 | Heeft betrekking op de aanvullend aangetroffen verontreinigingen |
| | | | fax | Ecopart B.V. | geen | 1999-03-16 | Tijdens de sanering zijn een tweetal aanvullende verontreinigingen aangetroffen welke aanvullend zijn onderzocht.<br>Het betreft minerale olie in de grond en grondwater en aromaten in de grond. |
| | | | fax | Ecopart B.V. | Onbekend | 1999-01-29 | Er is 78 m3 grond sterk verontreinigd met PAK en 5 m3 grond sterk verontreinigd met minerale olie.<br>Het betreft een deelsanering omdat de PAK verontreiniging aan de perceelgrens niet is afgeperkt. Ten behoeve van de ontgraving dient bemaling plaats te vinden |
| | | | Brief | Provincie Gelderland | MW98.51517 | 1999-02-21 | |
| | | | beschikking | Provincie Gelderland | 11943/GE/445/046 | 10-12-1998 | |
| | | | Saneringsonderzoek- en-plan | Ecopart B.V. | 11812 | 1998-11-10 | |

| Locatie | GE-code | Bis-code | Type | Auteur | Nummer | Datum | Resultaat |
|---|---|---|---|---|---|---|---|
| | | | Nader onderzoek | Ecopart B.V. | 001.98.116 | 1998-06-16 | |
| | | | Verkennend onderzoek NVN 5740 | Ecopart B.V. | 001.98.031 | 1998-04-02 | |
| | | | Oriënterend bodemonderzoek | cbb | 10505273 | 1991-06-01 | Niet in bezit |
| Lijsterbesstraat 6 (ten zuiden van de onderzoekslocatie) | GE029400658 | AA029400570 | Verkennend onderzoek NEN 5740 | Econsultancy bv | 08045375 | 2008-07-04 | BG Cu, PB, Zn, PAK >AW<br>OG <AW<br>GRW Cr, Ni, Zn >S |

De locatie aan de Lijsterbesstraat 6 (ten zuiden van onderhavige locatie) is eveneens in gebruik geweest door G. Knook (net als onderhavige onderzoekslocatie). Diverse bouwvergunningen van de locatie aan de Lijsterbesstraat waren opgenomen in het archief van de Vredenseweg 4-6. Uit het bodemonderzoek dat ter plaatse van de Lijsterbesstraat 6 is uitgevoerd blijkt dat op een vergunning uit 1963 een spuitcabine (lakspuiterij) en lakkluis aanwezig zijn. Mogelijk is hierdoor de ook archiefnaam ‘spuiterij’ voor een dossier aan de Vredenseweg veroorzaakt.

*Publiekrechtelijke beperkingen tan aanzien van artikel 55 Wet bodembescherming*
Ten aanzien van de onderzoekslocatie zijn geen publiekrechtelijke beperkingen opgenomen ten aanzien van het artikel 55 uit de Wet bodembescherming, , hetgeen inhoudt dat bij het Kadaster geen geval van ernstige bodemverontreiniging is geregistreerd.

*Asbest*
Ten behoeve van de sloop is een asbestinventarisatie uitgevoerd (Obelink, 2018508, d.d. 04-09-2018). Op de verdieping is een buis aanwezig welke 10-15% chrysotiel asbest bevat. Opgemerkt dient te worden dat geen destructief onderzoek is uitgevoerd. Hierdoor zijn o.a. het dak en gevelbekleding niet onderzocht.
Uit de bouwvergunningen welke zijn ingezien blijkt dat voor zover bekend alleen asbest is toegepast bij de bouw van de verwarmingskelder in 1960 (dak) en een gebouwtje in 1942 (dak).

*PFAS*
Er zijn geen specifieke aanwijzingen voor de aanwezigheid van PFAS ter plaatse van de onderzoekslocatie.

*Bodemkwaliteitskaart*
De gemeente Winterswijk heeft, in samenwerking met zeven andere gemeenten in de Regio Achterhoek de achtergrondwaarden, van een aantal metalen, PAK, PCB en minerale olie voor grond vastgesteld (CSO, kenmerk 11K054, 24 oktober 2011). De onderzoekslocatie ligt binnen de zone "Wonen voor 1970". De gemeente Winterswijk hanteert de 80-percentielwaarde (80% van de

beschikbare gemeten stofgehalten voor die zone zijn lager dan deze waarde vastgesteld) als gebiedseigen bodemkwaliteit binnen een zone. Als deze waarde onder de landelijke achtergrondwaarde (AW) is gelegen, geldt de AW als de gebiedseigen bodemkwaliteit.

Met betrekking tot de bovengrond in deze zone overschrijden de 80-percentielswaarden van de parameters kwik, lood, zink en PAK de landelijke achtergrondwaarden. In de ondergrond overschrijdt de 80-percentielwaarde van de parameter kwik de landelijke achtergrondwaarde.

Regionaal komen verhoogde concentraties van metalen in het grondwater voor.

## 2.5 Regionale bodemopbouw en geohydrologische situatie

Het maaiveld ligt globaal op een hoogte van circa 34,5 m +NAP. Volgens de Bodemkaart van Nederland ligt de locatie in een niet-gekarteerd gebied. De dichtstbijzijnde kaarteenheid betreft een beekeerdgrond welke is opgebouwd uit leemarm en zwak lemig fijn zand.

**Fout! Verwijzingsbron niet gevonden.**geeft de hydrologische bodemopbouw op basis van gegevens afkomstig van het DINOloket.

*Tabel 4 Geohydrologische bodemopbouw (Dinoloket)*

| m-mv | Beschrijving | Formatie |
|---|---|---|
| 0-11 | Zandige eenheid, hoofdzakelijk bestaande uit midden en fijn zand, met weinig zandige klei en grof zand en een spoor klei, veen en grind | Formatie van Boxtel |
| 11-30 | Kleiige eenheid, hoofdzakelijk bestaande uit zandige klei, klei en fijn zand, met weinig midden zand en een spoor grof zand en grind | Rupel Formatie, |

Het grondwater bevindt zich naar verwachting op circa 32 m +NAP en stroomt globaal in noordwestelijke richting. Er liggen geen pompstations in de buurt van de onderzoekslocatie die van invloed zouden kunnen zijn op de grondwaterstroming ter plaatse van de onderzoekslocatie. De onderzoekslocatie ligt niet in een grondwaterbeschermings- en/of grondwaterwingebied. De onderzoekslocatie is gelegen in een fluctuatiezone van grondwater en een intrekgebied.

## 2.6 Onderzoeksopzet

Uit het vooronderzoek blijkt dat op de locatie een houtmeubelfabriek was gevestigd met werkplaatsen en lijmerij. Aan de noordkant van het perceel waren woningen aanwezig met hierbij een werkplaats. De bebouwing is in de loop der jaren beetje bij beetje gebouwd en uitgebreid. Hierbij zijn tevens asbesthoudende golfplaten toegepast ter plaatse van de toenmalige verwarmingskelder (reeds verwijderd) en de voormalige droogloods op het zuidelijk deel van de locatie ter plaatse van de huidige bebouwing (reeds verwijderd).
Tevens is sprake van 2 ondergrondse tanks (waarvan 1 KIWA-gesaneerde en hiermee voldoende onderzocht) waarvan de ligging onbekend is en een vulpunt.

Omdat over bijna de gehele locatie sprake is (geweest) van bebouwing en activiteiten hebben plaatsgevonden ten behoeve van de timmerfabriek waarbij de indeling en locaties waar één en ander heeft plaatsgevonden vaak gewijzigd is wordt voorgesteld de gehele locatie te onderzoeken conform de strategie voor een verdachte locatie met een diffuse bodembelasting, heterogeen verdeelde verontreiniging op schaal van monsterneming (VED-HE) uit de NEN-5740.
De niet gesaneerde tank heeft waarschijnlijk in de buurt van het vulpunt gelegen. Het vulpunt wordt onderzocht conform de strategie voor een verdachte locatie met één of meerdere ondergrondse opslagtanks (VEP-OO) waarbij alleen ter plaatse van het vulpunt een boring met peilbuis wordt geplaatst. Het kan ook zijn dan deze tank bij de verwarmingskelder/het ketelhuis is gelegen. Derhalve wordt ook hier een boring afgewerkt met peilbuis.

Gezien de voormalige bekende asbesttoepassingen en de uitgevoerde sloopwerkzaamheden op de locatie wordt de locatie tevens op asbest onderzocht conform de strategie voor een verdachte locatie met diffuse bodembelasting, heterogeen verdeeld uit de NEN-5707.

Uit het vooronderzoek blijkt dat er meerdere deellocaties zijn te onderscheiden. **Fout! Verwijzingsbron niet gevonden.**bevat de gehanteerde onderzoeksstrategieën.

*Tabel 5 Onderzoekstrategieën*

| Terreindeel | Oppervlakte | Strategie |
|---|---|---|
| Gehele perceel | Circa 2.500 $m^2$ | NEN-5740: VED-HE-NL<br>NEN-5707: VED-HE-NL |
| Vulpunt | nvt | NEN-5740: VEP-OO |
| Tank | onbekend | NEN-5740: Maatwerk |

***Onderzoeksstrategieën volgens NEN 5740:2009/A1:2016***
VEP-OO : Verdacht, plaatselijke bodembelasting, (verwijderde) ondergrondse opslagtanks
VED-HE-NL/L : Verdacht, diffuse bodembelasting, heterogene verontreiniging (niet lijnvormig / lijnvormig)

Tenzij anders vermeld worden de veldwerkzaamheden uitgevoerd conform het Bemonsteringsprotocol PFAS-verbindingen in grond- en grondwater en de BRL SIKB 2000 Beoordelingsrichtlijn voor het SIKB procescertificaat Veldwerk bij Milieuhygiënisch Bodemonderzoek en de bijbehorende protocollen 2001 (Plaatsen van handboringen en peilbuizen, maken van boorbeschrijvingen, nemen van grondmonsters en waterpassen), 2002 (Het nemen van grondwatermonsters), 2003 (Veldwerk bij milieuhygiënisch waterbodemonderzoek) en 2018 (Locatie-inspectie en monsterneming van asbest in bodem).

De grond- en grondwatermonsters ten behoeve van de onderzoeken zijn, tenzij anders vermeld, ter analyse aangeboden aan het milieulaboratorium van Eurofins Analytico B.V. te Barneveld. Eurofins Analytico is een NEN-EN-ISO/IEC 17025 geaccrediteerd milieulaboratorium, en door het Ministerie van Infrastructuur en Milieu erkend voor de uitvoering van milieuanalyses in het kader van AS3000 en AP04.

De grondmonsters- en/of materiaalmonsters ten behoeve van het asbestonderzoek en de grondmonsters ten behoeve van de PFAS-analyses zijn, via het milieulaboratorium van Eurofins Analytico B.V, aangeboden aan Eurofins Omegam te Amsterdam. Eurofins Omegam is tevens een NEN-EN-ISO/IEC 17025 geaccrediteerd milieulaboratorium.

# 3 RESULTATEN BODEMONDERZOEK

## 3.1 Veldwerkzaamheden

De veldwerkzaamheden ten behoeve van het verkennend bodemonderzoek en het verkennend onderzoek asbest in bodem zijn op 9 april 2020 uitgevoerd. Beide onderzoeken zijn verricht door de erkende veldwerker, de heer M. Scholten van Bodem Expert te Huissen. Tijdens de uitvoering van de veldwerkzaamheden zijn geen kritieke afwijkingen opgetreden van de protocollen beschreven in de BRL SIKB 2000. Tabel 6 geeft een overzicht van de uitgevoerde veldwerkzaamheden.

*Tabel 6 Uitgevoerde veldwerkzaamheden*

| Terreindeel | Discipline | Aantal boringen/gaten | Boornummers |
|---|---|---|---|
| Gehele perceel | Verkennend bodemonderzoek | 11x 1,0 m –mv<br>2x 2,0 (waarvan 1 bij vermoedelijke tank nabij vulpunt)<br>1x peilbuis (nabij ketelhuis/verwarmingskelder) | 01 t/m 14 |
| | Verkennend onderzoek asbest in bodem | 13x 0,5 m -mv<br>(0,3 m x 0,3 m),<br>waarvan 2x 2,0 m -mv | 01 t/m 12 en 14 |
| Vulpunt | Verkennend bodemonderzoek | 1x peilbuis | 15 |

Bij alle boringen is de vrijgekomen grond zintuiglijk beoordeeld op textuur, kleur en zintuiglijk waarneembare verontreinigingen.

De gegevens van de monsterpunten zijn verwerkt tot boorprofielen, welke zijn opgenomen in bijlage 2. De situering van de boringen en de inspectiegaten is aangegeven op tekening 1 in bijlage 1.2.

De asbestgaten (01 t/m 12 en 14) zijn handmatig gegraven tot een diepte van maximaal 0,5 m -mv en hebben een lengte en breedte van circa 0,3 meter. Twee gaten (7 en 14) zijn met een edelmanboor met een grotere diameter (12 cm) doorgezet tot een diepte van 2,0 m –mv.

Het grondwater is bemonsterd op 22 april 2020, eveneens door de heer M. Scholten. Tabel 7 geeft een overzicht van de tijdens de monstername van het grondwater gemeten grondwaterstand, zuurgraad (pH) en het elektrisch geleidingsvermogen (EC). Tevens is in de tabel de troebelheid van het grondwater aangegeven (in NTU).

*Tabel 7 Grondwaterstanden, zuurgraad (pH), elektrisch geleidingsvermogen (EC) en troebelheid (NTU)*

| Peilbuis | Filterstelling (m -mv) | Grondwaterstand (m -mv) | Zuurgraad (pH) | Geleidbaarheid (EC: µs/cm) | Troebelheid (NTU) |
|---|---|---|---|---|---|
| 13 | 1,40 - 2,40 | 1,21 | 6,5 | 590 | 2,82 |
| 15 | 1,30 - 2,30 | 0,88 | 6,0 | 130 | 9,16 |

De waarden voor de zuurgraad (pH), het elektrisch geleidingsvermogen (EC) en de troebelheid (NTU) kunnen als normaal worden beschouwd.

## 3.2 Maaiveldinspectie, bodemopbouw en zintuiglijke waarnemingen

Voorafgaand aan het veldwerk is het maaiveld geïnspecteerd op de aanwezigheid van asbestverdachte materialen. Hierbij zijn geen asbestverdachte materialen aangetroffen. Het uitgegraven materiaal is per inspectiegat gezeefd (20 mm) en afzonderlijk beoordeeld op de aanwezigheid van asbestverdachte materialen in de fractie >20 mm. Ook hierbij zijn geen asbestverdachte materialen waargenomen. Alle inspectiegaten zijn na het uitvoeren van het veldwerk gedicht met uitkomende grond/puin. In bijlage 6 is het inspectierapport opgenomen.

De bovengrond bestaat voornamelijk uit matig fijn zwak siltig zand. De ondergrond bestaat voornamelijk uit matig grof, zwak tot matig siltig zand. Over het algemeen is globaal van 0,5 tot maximaal 1,0 m-mv een donkere, plaatselijk humeuze laag met sporen plantenresten aanwezig.

Op het maaiveld en in het opgeboorde materiaal zijn op zintuiglijke wijze geen asbestverdachte materialen waargenomen. Tabel 8 geeft een overzicht van de zintuiglijke waarnemingen.

*Tabel 8 Zintuiglijke waarnemingen*

| Boring | Traject (m –mv) | Zintuiglijke waarneming |
|---|---|---|
| 01 | 0,50 - 0,80 | sporen baksteen |
| 03 | 0,08 - 0,50 | sporen baksteen |
| 04 | 0,50 - 0,70 | sporen baksteen |
| 05 | 0,20 - 0,50 | sporen baksteen, brokken beton |
| 06 | 0,12 - 0,50 | sporen baksteen, brokken beton |
| 07 | 0,15 - 0,50 | sporen baksteen, brokken beton |
| 08 | 0,20 - 0,50 | sporen baksteen, brokken beton |
| 09 | 0,20 - 0,50 | sporen baksteen, brokken beton |
| 10 | 0,20 - 0,60 | sporen baksteen, brokken beton |
| 11 | 0,15 - 0,60 | sporen baksteen, brokken beton |
| 12 | 0,20 - 0,50 | sporen baksteen, brokken beton |
| 13 | 0,20 - 0,50 | sporen baksteen, brokken beton |
| 14 | 0,20 - 0,50 | sporen baksteen, brokken beton |

## 3.3 Laboratoriumonderzoek

Ten behoeve van het analyseprogramma is rekening gehouden met de resultaten van de zintuiglijke waarnemingen. Tabel 9 geeft een overzicht van de onderzochte monsters en de analysepakketten. De asbestmonsters zijn op locatie samengesteld van het uitgezeefde materiaal (fractie < 20 mm).

*Tabel 9 Analyseprogramma*

| Monstercode | Boring/gat/monster (m -mv) | Textuur en zint. waarnemingen | Analyses |
|---|---|---|---|
| *Grond* | | | |
| GRN M15.1 | 15 (0,06 - 0,50) | Vulpunt, zintuiglijk schoon | Minerale olie en organische stof |
| GRN MM01 | 01 (0,08 - 0,50), 02 (0,08 - 0,50), 04 (0,08 - 0,50) | Bovengrond, zintuiglijk schoon | Standaardanalysepakket grond |
| GRN MM02 | 03 (0,08 - 0,50), 05 (0,20 - 0,50), 06 (0,12 - 0,50), 07 (0,15 - 0,50), 08 (0,20 - 0,50), 09 (0,20 - 0,50) | Bovengrond, sporen baksteen en/of brokken beton | Standaardanalysepakket grond |
| GRN MM03 | 10 (0,20 - 0,60), 11 (0,15 - 0,60), 12 (0,20 - 0,50), 13 (0,20 - 0,50), 14 (0,20 - 0,50) | Bovengrond, sporen baksteen, brokken beton en sporen plantenresten | Standaardanalysepakket grond |
| GRN MM04 | 01 (0,50 - 0,80), 04 (0,50 - 0,70) | Ondergrond, sporen baksteen, sporen plantenresten | Standaardanalysepakket grond |
| GRN MM05 | 07 (0,70 - 1,20), 07 (1,20 - 1,50), 07 (1,50 - 2,00), 13 (0,50 - 1,00), 13 (1,00 - 1,50), 13 (1,50 - 2,00), 14 (0,80 - 1,10), 14 (1,10 - 1,60), 14 (1,60 - 2,00) | Ondergrond, plaatselijk sporen plantenresten | Standaardanalysepakket grond |
| PFAS MM01 | 01 (0,08 - 0,50), 02 (0,08 - 0,50), 03 (0,08 - 0,50), 04 (0,08 - 0,50) | Bovengrond buitenterrein | PFAS |
| PFAS MM02 | 05 (0,20 - 0,50), 06 (0,12 - 0,50), 07 (0,15 - 0,50), 08 (0,20 - 0,50), 09 (0,20 - 0,50), 10 (0,20 - 0,60), 11 (0,15 - 0,60), 12 (0,20 - 0,50), 13 (0,20 - 0,50), 14 (0,20 - 0,50) | Bovengrond binnen bebouwing | PFAS |
| PFAS MM03 | 02 (0,50 - 0,80), 02 (0,80 - 1,00), 03 (0,50 - 1,00), 06 (0,50 - 1,00), 08 (0,50 - 0,70), 10 (0,60 - 0,80), 10 (0,80 - 1,20), 11 (0,60 - 1,10), 14 (0,50 - 0,80), 14 (0,80 - 1,10) | Ondergrond | PFAS |
| *Grondwater* | | | |
| 13-1-1 | 13 (1,40 - 2,40) | - | Standaardanalysepakket grondwater |
| 15-1-1 | 15 (1,30 - 2,30) | - | Standaardanalysepakket grondwater |
| *Asbest* | | | |
| ASB MM01 | 01 (0,08 - 0,50), 02 (0,08 - 0,50), 03 (0,08 - 0,50), 04 (0,08 - 0,50) | Plaatselijk sporen baksteen | Asbest in grond |
| ASB MM02 | 05 (0,20 - 0,50), 06 (0,12 - 0,50), 07 (0,15 - 0,50), 08 (020 - 0,50), | Sporen baksteen, brokken beton | Asbest in grond |

| Monstercode | Boring/gat/monster (m -mv) | Textuur en zint. waarnemingen | Analyses |
|---|---|---|---|
| | 09 (0,20 - 0,50) | | |
| ASB MM03 | 10 (0,20 - 0,60), 11 (0,15 - 0,60), 12 (0,20 - 0,50), 14 (0,20 - 0,50) | Sporen baksteen, brokken beton | Asbest in grond |
| *Standaardanalysepakket grond:* | *droge stof, lutum, organische stof, metalen (barium, cadmium, kobalt, koper, kwik, lood, molybdeen, nikkel en zink), PCB, PAK en minerale olie.* | | |
| *Standaardanalysepakket grondwater:* | *metalen (barium, cadmium, kobalt, koper, kwik, lood, molybdeen, nikkel en zink), vluchtige aromaten (BTEX), styreen, naftaleen, gehalogeneerde koolwaterstoffen (VOX) en minerale olie.* | | |
| *Asbest:* | *serpentijns asbest (chrysotiel) en amfibool asbest (amosiet, crocidoliet, anthophylliet, tremoliet en actinoliet).* | | |
| *PFAS:* | *Uit de advieslijst d.d. 12-07-2019* | | |

## 3.4 Toetsingskader

*Verkennend bodemonderzoek*

De analyseresultaten van de grond zijn in het kader van de Wet bodembescherming (Wbb) getoetst aan de Achtergrondwaarden uit het Besluit bodemkwaliteit (Bbk) en de interventiewaarden uit de Circulaire bodemsanering 2013. De analyseresultaten voor grond zijn omgerekend naar het gehalte voor standaardbodem en vervolgens getoetst aan de toetsingswaarden voor standaardbodem. Voor de omrekening naar standaardbodem wordt gebruik gemaakt van de gemeten percentages voor organische stof (humus) en lutum. De analyseresultaten van het grondwater zijn in het kader van de Wet bodembescherming (Wbb) getoetst aan de streefwaarden en de interventiewaarden uit de Circulaire bodemsanering 2013.

Tabel 10 bevat het toetsingskader volgens de Wbb (zie tevens bijlage 5.1).

*Tabel 10 Overzicht toetsingskader Wbb*

| Gehalte/concentratie | Betekenis | Opmerking |
|---|---|---|
| ≤ AW-waarde (of < detectielimiet) | niet verontreinigd | geen aanvullend onderzoek nodig (*A) |
| > AW-waarde ≤ T-waarde | licht verontreinigd | geen aanvullend onderzoek nodig (*A) |
| > T-waarde ≤ I-waarde | matig verontreinigd | mogelijk nader bodemonderzoek noodzakelijk |
| > I-waarde | sterk verontreinigd | nader bodemonderzoek noodzakelijk;<br>mogelijk sprake van ernstige bodemverontreiniging |
| *(*A)* | *Voor grondwater geldt de streefwaarde.* | |
| *Toelichting:* | *De AW-waarden zijn achtergrondwaarden en zijn referentiewaarden voor een multifunctionele bodem.* | |
| | *De halve som van de AW- en I-waarden ((AW+I)/2 = T-waarde) is een toetsingswaarde waarboven er een vermoeden is van ernstige bodemverontreiniging. Door middel van aanvullend onderzoek moet dit vermoeden worden getoetst.* | |
| | *De I-waarden zijn de 'interventiewaarden'. Als de I-waarde voor een stof wordt overschreden in meer dan 25 $m^3$ grond of in meer dan 100 $m^3$ grondwater (bodemvolume), dan wordt gesproken van een geval van ernstige bodemverontreiniging.* | |

De analyseresultaten zijn tevens getoetst aan de maximale waarden van het Bbk. Dit teneinde een indicatie omtrent de te verwachten bodemkwaliteitsklasse van de voorkomende bodemlagen te verkrijgen (zie tevens bijlagen 5.2).

Tevens zijn de analyseresultaten indicatief getoetst aan het de Toepassingsnormen voor het toepassen van grond en baggerspecie op landbodem boven grondwaterniveau uit het Tijdelijk handelingskader. In bijlage 5.3 is het toetsingskader (PFAS) opgenomen.

*Asbest in bodemonderzoek*
De interventiewaarde voor asbest, zoals vastgesteld in de Circulaire bodemsanering 2013, bedraagt 100 mg/kg d.s. gewogen. Gewogen wil zeggen dat de totale asbestconcentratie, de concentratie serpentijnasbest vermeerderd met 10 maal de concentratie amfibool asbest is.

Het resultaat van het verkennend onderzoek is een uitspraak over de mogelijke verontreiniging van de bodem op basis van verzamelde stukken asbesthoudend materiaal en (meng)monsters van de grond. Aan de hand van het verkregen indicatieve gehalte aan asbest wordt nagegaan of nader onderzoek al dan niet noodzakelijk is. Door de lagere onderzoeksintensiteit van het verkennend onderzoek kan in deze fase niet direct worden getoetst aan de interventiewaarde. In het verkennend onderzoek wordt het gehalte getoetst aan de interventiewaarde gecorrigeerd met een factor 2. Deze correctiefactor is een maat voor de betrouwbaarheid van het verkennend onderzoek in relatie tot het nader onderzoek. Indien het asbestgehalte kleiner is dan de helft van de interventiewaarde, dus kleiner dan 50 mg/kg ds. gewogen, is het statistisch aannemelijk dat ook in een nader onderzoekstraject de interventiewaarde niet zal worden overschreden. In deze gevallen geldt er geen noodzaak tot het uitvoeren van een nader onderzoek asbest.

## 3.5 Analyseresultaten

De analysecertificaten zijn opgenomen in bijlage 3.Het resultaat van de toetsing is in bijlage 4.1 numeriek weergegeven voor toetsing van grond aan de achtergrond- en interventiewaarden uit de Wbb en in bijlage 4.2 voor de toetsing aan het Bbk.

*Verkennend bodemonderzoek*
Tabel 11 bevat de analyse- en de toetsingsresultaten voor grond bij toetsing aan achtergrond- en interventiewaarden (Wbb). Tevens is een indicatie met betrekking tot de te verwachten bodemkwaliteitsklasse weergegeven op basis van het Besluit bodemkwaliteit.

*Tabel 11 Analyse- en toetsingsresultaten grond*

| Monster-code | Boring/monster (m –mv) | Textuur en zint. waarnemingen | Gemeten verhoogde parameters Wbb (gestandaardiseerde gehalten in mg/kg d.s.) | | | Indicatie Bbk# |
|---|---|---|---|---|---|---|
| | | | > AW-waarde | > T-waarde | > I-waarde | |
| GRN M15.1 | 15 (0,06 - 0,50) | Vulpunt, zintuiglijk schoon | < | | | AW |
| GRN MM01 | 01 (0,08 - 0,50),<br>02 (0,08 - 0,50),<br>04 (0,08 - 0,50) | Bovengrond,<br>zintuiglijk schoon | < | | | AW |
| GRN MM02 | 03 (0,08 - 0,50),<br>05 (0,20 - 0,50),<br>06 (0,12 - 0,50),<br>07 (0,15 - 0,50),<br>08 (0,20 - 0,50),<br>09 (0,20 - 0,50) | Bovengrond,<br>sporen baksteen en/of brokken beton | < | | | AW |
| GRN MM03 | 10 (0,20 - 0,60),<br>11 (0,15 - 0,60),<br>12 (0,20 - 0,50),<br>13 (0,20 - 0,50),<br>14 (0,20 - 0,50) | Bovengrond,<br>sporen baksteen, brokken beton en sporen plantenresten | Kwik (0,1578)<br>PAK (8,026) | | | Industrie |
| GRN MM04 | 01 (0,50 - 0,80),<br>04 (0,50 - 0,70) | Ondergrond,<br>sporen baksteen, sporen plantenresten | Lood (75,14)<br>PAK (2,405) | | | AW |
| GRN MM05 | 07 (0,70 - 1,20),<br>07 (1,20 - 1,50),<br>07 (1,50 - 2,00),<br>13 (0,50 - 1,00),<br>13 (1,00 - 1,50),<br>13 (1,50 - 2,00),<br>14 (0,80 - 1,10),<br>14 (1,10 - 1,60),<br>14 (1,60 - 2,00) | Ondergrond,<br>plaatselijk sporen plantenresten | < | | | AW |

*Wbb:*

| | |
|---|---|
| *<* | *: aangetroffen gehaltes kleiner dan achtergrond-, tussen- en interventiewaarde* |
| *>AW-waarde* | *: aangetroffen gehalte groter dan achtergrondwaarde* |
| *>T-waarde* | *: aangetroffen gehalte groter dan tussenwaarde (aanvullend / nader bodemonderzoek nodig* |
| *>I-waarde* | *: aangetroffen gehalte groter dan interventiewaarde* |

| | |
|---|---|
| *Bbk:* | *De indicatieve beoordeling Bbk geldt voor de situatie "Grond, toepassing op landbodem"* |
| *#* | *: Op basis van de geanalyseerde parameters* |
| *AW* | *: overal toepasbaar (voldoet aan Achtergrondwaarde)* |
| *Wonen* | *: toepasbaar (functieklasse wonen)* |
| *Industrie* | *: toepasbaar (functieklasse industrie)* |
| *NT* | *: niet toepasbaar* |

In Tabel 12 zijn de PFAS-parameters weergegeven waarvan het gehalte boven de achtergrondwaarde is gemeten. Tevens is de indicatieve functieklasse in de zin van het Besluit bodemkwaliteit weergegeven.

*Tabel 12 Analyse- en toetsingsresultaten PFAS grond in µg/kg d.s.*

| Monster-code | Boring/monster (m –mv) | Gemeten verhoogde parameters PFAS (gehalten in µg/kg d.s.) | Indicatie bodemkwaliteits-klasse |
|---|---|---|---|
| PFAS MM01 | 01 (0,08 - 0,50), 02 (0,08 - 0,50), 03 (0,08 - 0,50), 04 (0,08 - 0,50) | < | AW |
| PFAS MM02 | 05 (0,20 - 0,50), 06 (0,12 - 0,50), 07 (0,15 - 0,50), 08 (0,20 - 0,50), 09 (0,20 - 0,50), 10 (0,20 - 0,60), 11 (0,15 - 0,60), 12 (0,20 - 0,50), 13 (0,20 - 0,50), 14 (0,20 - 0,50) | < | AW |
| PFAS MM03 | 02 (0,50 - 0,80), 02 (0,80 - 1,00), 03 (0,50 - 1,00), 06 (0,50 - 1,00), 08 (0,50 - 0,70), 10 (0,60 - 0,80), 10 (0,80 - 1,20), 11 (0,60 - 1,10), 14 (0,50 - 0,80), 14 (0,80 - 1,10) | < | AW |

| | |
|---|---|
| < | : aangetroffen gehaltes kleiner dan achtergrondwaarde |
| *Bbk* | *: de indicatieve beoordeling Bbk geldt voor de situatie "Grond, toepassing op landbodem"* |
| *AW* | *: overal toepasbaar (voldoet aan Achtergrondwaarde)* |
| *Wonen* | *: toepasbaar (bodemkwaliteitsklasse wonen)* |
| *Industrie* | *: toepasbaar (bodemkwaliteitsklasse industrie)* |
| *NT* | *: niet toepasbaar* |

Tabel 13 bevat de analyse- en de toetsingsresultaten voor grondwater bij toetsing aan streef- en interventiewaarden.

*Tabel 13 Analyse- en toetsingsresultaten grondwater in µg/l*

| Monstercode | Traject (m -mv) | Gemeten verhoogde parameters (concentraties in µg/l) | | |
|---|---|---|---|---|
| | | > S-waarde | > T-waarde | > I-waarde |
| 13-1-1 | 13 (1,40 - 2,40) | Barium (88) | | |
| 15-1-1 | 15 (1,30 - 2,30) | < | | |

*Wbb:*

| | |
|---|---|
| < | *: aangetroffen gehaltes kleiner dan streef-, tussen- en interventiewaarde* |
| *>S-waarde* | *: aangetroffen gehalte groter dan streefwaarde* |
| *>T-waarde* | *: aangetroffen gehalte groter dan tussenwaarde* |
| *>I-waarde* | *: aangetroffen gehalte groter dan interventiewaarde* |

*Verkennend onderzoek asbest in bodem*

De originele analysecertificaten zijn opgenomen in bijlage 2. De analyseresultaten van de grondanalyses zijn in onderstaande Tabel 14 weergegeven.

*Tabel 14 Analyseresultaten asbest in de grond in mg/kg ds gewogen*

| Monstercode | Traject (m -mv) | Zintuiglijk | Gewogen gehalte asbest in mg/kg ds gewogen | Type asbest | Hechtgebonden |
|---|---|---|---|---|---|
| ASB MM01 | 01 (0,08 - 0,50), 02 (0,08 - 0,50), 03 (0,08 - 0,50), 04 (0,08 - 0,50) | Plaatselijk sporen baksteen | <0,4 | nvt | nvt |
| ASB MM02 | 05 (0,20 - 0,50), 06 (0,12 - 0,50), 07 (0,15 - 0,50), 08 (020 - 0,50), 09 (0,20 - 0,50) | Sporen baksteen, brokken beton | <0,4 | nvt | nvt |
| ASB MM03 | 10 (0,20 - 0,60), 11 (0,15 - 0,60), 12 (0,20 - 0,50), 14 (0,20 - 0,50) | Sporen baksteen, brokken beton | <0,6 | nvt | nvt |

## 3.6 Interpretatie

*Verkennend bodemonderzoek*

Tijdens de uitvoering van de veldwerkzaamheden is zintuiglijk waargenomen dat over het algemeen tot maximaal 0,8 m-mv bijmengingen met sporen baksteen en/of brokken beton aanwezig zijn. Over het algemeen is globaal van 0,5 tot maximaal 1,0 m-mv een donkere, plaatselijk humeuze laag met sporen plantenresten aanwezig. Er zijn zintuiglijk geen waarnemingen gedaan welke kunnen duiden op de aanwezigheid van een bodemverontreiniging veroorzaakt door de tanks en het bijbehorende vulpunt.

In het monster van de bovengrond nabij het vulpunt (GRN M15.1) is analytisch geen minerale olie aangetoond. In het samengestelde mengmonster van zowel de zintuiglijk schone bovengrond (GRN MM01) als het mengmonster van de bovengrond met sporen baksteen en/of brokken beton (GRN MM02) zijn geen van de onderzochte parameters in verhoogde gehalten ten opzichte van de achtergrondwaarde aangetoond. Het mengmonster van de bovengrond met zowel sporen baksteen, brokken beton als sporen plantenresten (GRN MM03) bevat licht verhoogde gehalten kwik en PAK. Verder zijn licht verhoogde gehalten lood en PAK aangetoond in het mengmonster van de ondergrond met sporen baksteen en sporen plantenresten (GRN MM04). In het samengestelde mengmonster van de ondergrond met plaatselijk plantenresten (GRN MM05) zijn geen verhoogde gehalten gemeten.

In de grond zijn geen verhoogde gehalten PFAS ten opzichte van de achtergrondwaarde aangetoond.

Indicatief getoetst aan het Besluit bodemkwaliteit valt de grond grotendeels in de bodemkwaliteitsklasse betreft AW (overal toepasbaar).

Alleen de bovengrond met sporen baksteen, brokken beton en sporen plantenresten (GRN MM03) valt, op basis van het gehalte PAK, in de bodemkwaliteitsklasse Industrie.

In het grondwater uit peilbuis 13 is een licht verhoogde concentratie barium aangetoond. In het grondwater uit peilbuis 15 zijn geen van de onderzochte parameters in verhoogde concentraties ten opzichte van de streefwaarde gemeten.

*Verkennend onderzoek asbest in bodem*
Zowel op het maaiveld als in de onderzochte bovengrond is zintuiglijk geen asbestverdacht materiaal in de fractie > 20 mm waargenomen. Analytisch is in de onderzochte mengmonsters (ASB MM01, ASB MM02 en ASB MM03) eveneens geen asbest aangetoond.

# 4 SAMENVATTING, CONCLUSIES EN AANBEVELINGEN

## 4.1 Samenvatting

In opdracht van ERS architecten is door Buro Ontwerp & Omgeving een verkennend bodemonderzoek en een verkennend onderzoek asbest in bodem uitgevoerd op de locatie bekend als Vredenseweg 4 en 6 te Winterswijk (gemeente Winterswijk).

De aanleiding tot de uitvoering van de werkzaamheden betreft de voorgenomen ontwikkeling van de onderzoekslocatie.

Doel van het verkennend bodemonderzoek is een indicatie te krijgen van de huidige milieuhygienische kwaliteit van de bodem. Het doel van het verkennend onderzoek asbest in bodem is om, met een relatief geringe onderzoeksinspanning, na te gaan of de verdenking op verontreiniging van de bodem met asbest terecht is en een indicatieve uitspraak te doen over het asbestgehalte in de bodem.

*Vooronderzoek en onderzoeksopzet*
Uit het vooronderzoek blijkt dat op de locatie een houtmeubelfabriek was gevestigd met werkplaatsen en lijmerij. Aan de noordkant van het perceel waren woningen aanwezig met hierbij een werkplaats. De bebouwing is in de loop der jaren beetje bij beetje gebouwd en uitgebreid. Hierbij zijn tevens asbesthoudende golfplaten toegepast ter plaatse van de toenmalige verwarmingskelder (reeds verwijderd) en de voormalige droogloods op het zuidelijk deel van de locatie ter plaatse van de huidige bebouwing (reeds verwijderd).
Tevens is sprake van 2 ondergrondse tanks (waarvan 1 KIWA-gesaneerde en hiermee voldoende onderzocht) waarvan de ligging onbekend is en een vulpunt.

De gehele locatie is onderzocht conform de strategie voor een verdachte locatie met een diffuse bodembelasting, heterogeen verdeelde verontreiniging op schaal van monsterneming (VED-HE) uit de NEN-5740.
De niet gesaneerde tank heeft waarschijnlijk in de buurt van het vulpunt gelegen. Het vulpunt is onderzocht conform de strategie voor een verdachte locatie met één of meerdere ondergrondse opslagtanks (VEP-OO) uit de NEN-5740 waarbij alleen ter plaatse van het vulpunt een boring met peilbuis is geplaatst. Het kan ook zijn dan deze tank bij de verwarmingskelder/het ketelhuis is gelegen. Derhalve is ook hier een boring afgewerkt met peilbuis.

Gezien de voormalige bekende asbesttoepassingen en de uitgevoerde sloopwerkzaamheden op de locatie is de locatie tevens op asbest onderzocht conform de strategie voor een verdachte locatie met diffuse bodembelasting, heterogeen verdeeld uit de NEN-5707.

*Zintuiglijke waarnemingen*
Tijdens de uitvoering van de veldwerkzaamheden is zintuiglijk waargenomen dat over het algemeen tot maximaal 0,8 m-mv bijmengingen met sporen baksteen en/of brokken beton aanwezig zijn. Over het algemeen is globaal van 0,5 tot maximaal 1,0 m-mv een donkere, plaatselijk humeuze laag met sporen plantenresten aanwezig. Er zijn zintuiglijk geen warnemingen gedaan welke kunnen duiden op de aanwezigheid van een bodemverontreiniging veroorzaakt door de tanks en het bijbehorende vulpunt. Zintuiglijk zijn eveneens geen asbestverdachte materialen waargenomen.

*Resultaten verkennend bodemonderzoek*
Ten aanzien van de onderzoekslocatie wordt de hypothese 'verdachte locatie' voor het vulpunt op basis van de resultaten van het verkennend bodemonderzoek niet bevestigd. Zowel in de grond als in het grondwater ter plaatse van het vulpunt zijn geen verhoogde gehalten minerale olie aangetoond.

De hypothese 'verdachte locatie' dient voor het overig terrein, op basis van de resultaten van het verkennend bodemonderzoek, formeel gezien gehandhaafd te worden. In zowel de zintuiglijk schone bovengrond als de bovengrond met sporen baksteen en/of brokken beton zijn geen van de onderzochte parameters in verhoogde gehalten ten opzichte van de achtergrondwaarde aangetoond. De bovengrond met zowel sporen baksteen, brokken beton en sporen plantenresten bevat licht verhoogde gehalten kwik en PAK. Verder zijn licht verhoogde gehalten lood en PAK aangetoond in de ondergrond met sporen baksteen en sporen plantenresten. In de ondergrond met plaatselijk plantenresten zijn geen verhoogde gehalten gemeten.

In het grondwater is plaatselijk een licht verhoogde concentratie barium aangetoond.

In de grond zijn geen verhoogde gehalten PFAS ten opzichte van de achtergrondwaarde aangetoond. Indicatief getoetst aan het Besluit bodemkwaliteit valt de grond grotendeels in de bodemkwaliteitsklasse betreft AW (overal toepasbaar). Alleen de bovengrond met sporen baksteen, brokken beton en sporen plantenresten valt, op basis van het gehalte PAK, in de bodemkwaliteitsklasse Industrie.

*Resultaten verkennend bodemonderzoek*
Ten aanzien van de onderzoekslocatie wordt de hypothese 'verdachte locatie' op basis van de resultaten van het verkennend onderzoek asbest in grond niet bevestigd.
Voorafgaand aan het veldwerk is het maaiveld, voor zover mogelijk, geïnspecteerd op de aanwezigheid van asbestverdachte materialen. Hierbij zijn geen asbestverdachte materialen aangetroffen. Het uitgegraven materiaal is per inspectiegat gezeefd (20 mm) en afzonderlijk beoordeeld op de aanwezigheid van asbestverdachte materialen in de fractie >20 mm. Ook hierbij zijn geen asbestverdachte materialen waargenomen. Analytisch is in de grond geen asbest aangetoond.

## 4.2 Conclusies en Aanbevelingen

In het kader van de Wet bodembescherming geven de resultaten van het uitgevoerde verkennend bodemonderzoek en verkennend onderzoek asbest in grond onzes inziens geen aanleiding tot het uitvoeren van een aanvullend of nader onderzoek.

Op basis van het uitgevoerde verkennend onderzoek zien wij geen milieuhygiënische belemmering voor de voorgenomen ontwikkeling van de onderzoekslocatie.

## 4.3 Opmerkingen

Dit onderzoek is uitgevoerd met de grootst mogelijke nauwkeurigheid en conform de daarvoor opgestelde normen en richtlijnen. Desondanks dient opgemerkt te worden dat een bodemonderzoek slechts bestaat uit een steekproef, waarbij een relatief gering aantal boringen en analyses wordt uitgevoerd. Niet geheel uitgesloten kan worden dat op de locatie een verontreiniging aanwezig is, die bij dit onderzoek niet is aangetroffen.

Tevens dient opgemerkt te worden dat het verkennend bodemonderzoek volgens de NEN 5740 niet is bedoeld voor beoordeling van de kwaliteit van de grond bij afvoer. De genoemde bodemkwaliteitsklassen betreffen een indicatie. Voor afvoer van grond is het Besluit bodemkwaliteit van toepassing, waarover u informatie kunt inwinnen bij Buro Ontwerp & Omgeving of de betreffende gemeente.

# Bijlagen

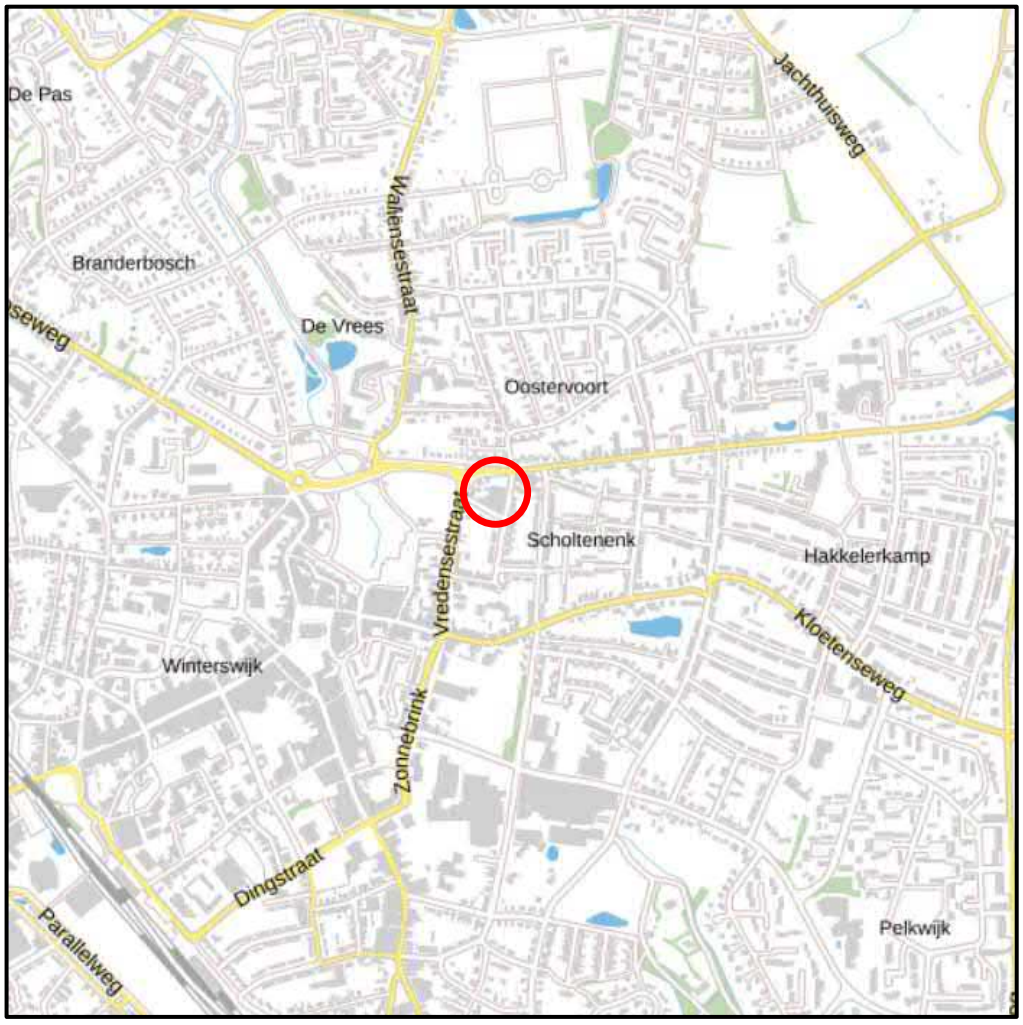
# Bijlage 1

Situatietekeningen

# Bijlage 1.1

Regionale ligging

# Regionale Ligging

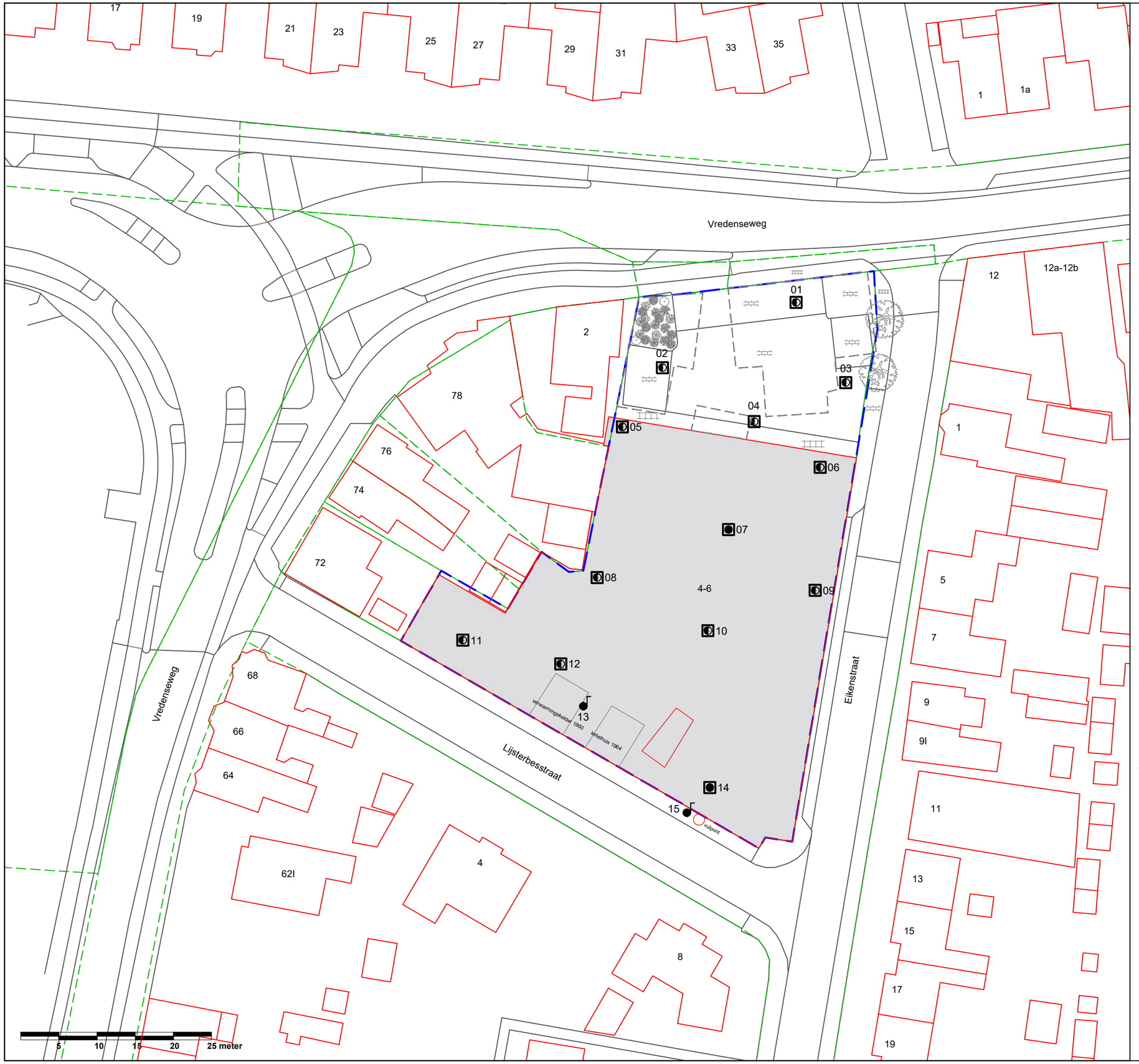



Bron: https://www.pdok.nl/viewer/

Hier bevindt zich de onderzoekslocatie

# Bijlage 1.2

Situatietekening met boorpunten en asbestinspectiegaten




## Legenda

- Perceelsgrens
- Bebouwingsgrens
- Onderzoekslocatie
- Boring met peilbuis
- Boring tot 1,0 m-mv
- Boring tot 2,0 m-mv
- Asbestinspectiegat
- Klinkers
- Betontegels
- Grindtegels
- Vml. bebouwing welke was gesitueerd buiten de huidige bebouwing

Aan de maten kunnen geen rechten worden ontleend.

| | | | |
|---|---|---|---|
| *Locatie:* | Vredenseweg 6 te Winterswijk | | |
| *Type:* | Verkennend bodemonderzoek | | |
| *Omschrijving:* | Situatietekening met boorpunten en asbestinspectiegaten | | |
| *Projectnr:* | 3192.01 | | |
| *Schaal:* | 1 : 500 | *Formaat:* | A3 |
| *Datum:* | 10-04-2020 | | |
| *Getekend:* | SD | | |
| *Tekeningnr:* | 1 | | |
| *Bestandsnaam:* | 3192.01-01 | | |

N

buro ontwerp & omgeving
adviseurs voor leefomgeving

# Bijlage 2

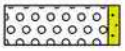
Boorprofielen en legenda

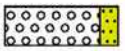
buro ontwerp & omgeving
adviseurs voor leefomgeving

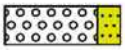
# Legenda (conform NEN 5104)

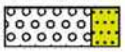
## grind


Grind, siltig


Grind, zwak zandig


Grind, matig zandig


Grind, sterk zandig


Grind, uiterst zandig

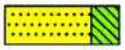
## zand


Zand, kleïig


Zand, zwak siltig


Zand, matig siltig


Zand, sterk siltig


Zand, uiterst siltig

## veen


Veen, mineraalarm


Veen, zwak kleïig


Veen, sterk kleïig


Veen, zwak zandig


Veen, sterk zandig

## klei


Klei, zwak siltig


Klei, matig siltig


Klei, sterk siltig


Klei, uiterst siltig


Klei, zwak zandig


Klei, matig zandig


Klei, sterk zandig

## leem


Leem, zwak zandig


Leem, sterk zandig

## overige toevoegingen


zwak humeus


matig humeus

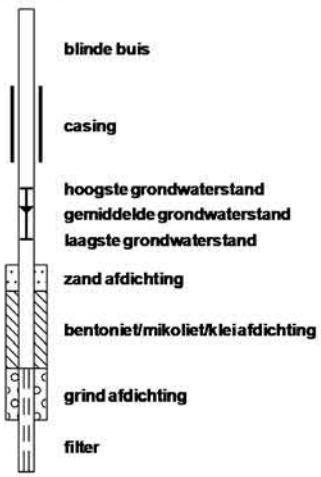

sterk humeus


zwak grindig


matig grindig


sterk grindig

## peilbuis




## geur

- geen geur
- zwakke geur
- matige geur
- sterke geur
- uiterste geur

## olie

- geen olie-water reactie
- zwakke olie-water reactie
- matige olie-water reactie
- sterke olie-water reactie
- uiterste olie-water reactie

## p.i.d.-waarde

- >0
- >1
- >10
- >100
- >1000
- >10000

## monsters




## overig

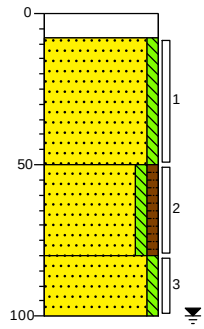
- bijzonder bestanddeel
- Gemiddeld hoogste grondwaterstand
- grondwaterstand
- Gemiddeld laagste grondwaterstand


slib


water

## Boring: 01

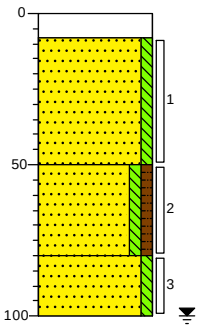
Datum: 9-4-2020




0 klinker
8 Edelmanboor
Zand, matig fijn, zwak siltig, neutraal cremebruin, Schep
50
Zand, matig grof, zwak siltig, zwak humeus, sporen plantenresten, sporen baksteen, sporen grind, donker cremebruin, Edelmanboor
80
Zand, matig grof, zwak siltig, sporen roest, licht cremebruin, Edelmanboor
100

## Boring: 02

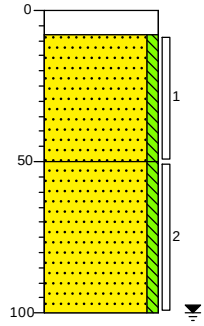
Datum: 9-4-2020




0 klinker
8 Edelmanboor
Zand, matig fijn, zwak siltig, neutraal cremebruin, Schep
50
Zand, matig grof, zwak siltig, zwak humeus, sporen plantenresten, sporen klei, donker cremebruin, Edelmanboor
80
Zand, matig grof, zwak siltig, sporen roest, neutraal cremebruin, Edelmanboor
100

## Boring: 03

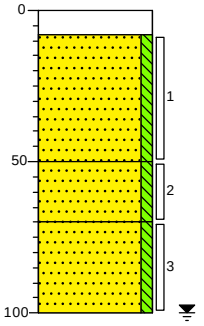
Datum: 9-4-2020




0 klinker
8 Edelmanboor
Zand, matig fijn, zwak siltig, sporen roest, sporen baksteen, neutraal cremebruin, Schep
50
Zand, matig grof, zwak siltig, sporen roest, licht cremebruin, Edelmanboor
100

## Boring: 04

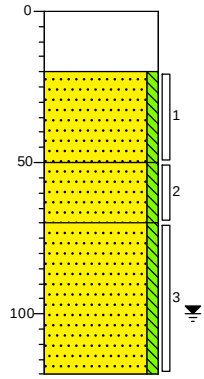
Datum: 9-4-2020




0 klinker
8 Edelmanboor
Zand, matig fijn, zwak siltig, neutraal cremebruin, Schep
50
Zand, matig grof, zwak siltig, sporen baksteen, sporen plantenresten, donker cremebruin, Edelmanboor
70
Zand, matig grof, zwak siltig, sporen roest, neutraal roestbruin, Edelmanboor
100

## Boring: 05

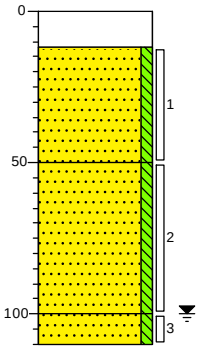
Datum: 9-4-2020




0 beton
Betonboor
20
Zand, matig fijn, zwak siltig, sporen baksteen, brokken beton, sporen grind, neutraal cremebruin, Schep
50
Zand, matig fijn, zwak siltig, sporen plantenresten, donker zwartbruin, Edelmanboor
70
Zand, matig grof, zwak siltig, sporen roest, neutraal cremebruin, Edelmanboor
120

## Boring: 06

Datum: 9-4-2020




0 beton
Betonboor
12
Zand, matig fijn, zwak siltig, sporen baksteen, brokken beton, sporen grind, neutraal cremebruin, Schep
50
Zand, matig fijn, zwak siltig, sporen plantenresten, donker zwartbruin, Edelmanboor
100
110
Zand, matig grof, zwak siltig, sporen roest, neutraal cremebruin, Edelmanboor

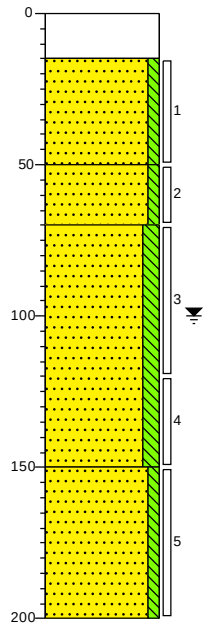
**Project: Vredenseweg 4-6 Winterswijk**

**Projectnummer: 3192.01**

'getekend volgens NEN 5104'

## Boring: 07

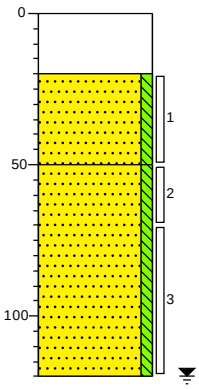
Datum: 9-4-2020




0 beton
Betonboor
15 Zand, matig fijn, zwak siltig, sporen baksteen, brokken beton, sporen grind, neutraal cremebruin, Schep
50 Zand, matig fijn, zwak siltig, sporen plantenresten, donker zwartbruin, Edelmanboor
70 Zand, matig grof, matig siltig, sporen roest, neutraal grijsbruin, Edelmanboor
150 Zand, matig grof, zwak siltig, sporen roest, neutraal roestbruin, Zuigerboor handmatig
200

## Boring: 08

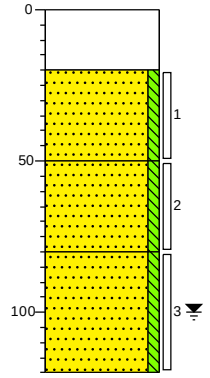
Datum: 9-4-2020




0 beton
Betonboor
20 Zand, matig fijn, zwak siltig, sporen baksteen, brokken beton, sporen grind, neutraal cremebruin, Schep
50 Zand, matig grof, zwak siltig, sporen roest, neutraal grijsbruin, Edelmanboor
120

## Boring: 09

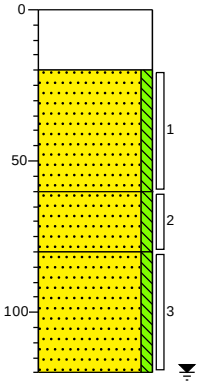
Datum: 9-4-2020




0 beton
Betonboor
20 Zand, matig fijn, zwak siltig, sporen baksteen, brokken beton, sporen grind, neutraal cremebruin, Schep
50 Zand, matig fijn, zwak siltig, sporen plantenresten, donker zwartbruin, Edelmanboor
80 Zand, matig grof, zwak siltig, sporen roest, neutraal roestbruin, Edelmanboor
120

## Boring: 10

Datum: 9-4-2020




0 beton
Betonboor
20 Zand, matig fijn, zwak siltig, sporen baksteen, brokken beton, sporen plantenresten, donker zwartbruin, Schep
60 Zand, matig fijn, zwak siltig, sporen plantenresten, donker grijsbruin, Edelmanboor
80 Zand, matig grof, zwak siltig, sporen roest, neutraal cremebruin, Edelmanboor
120

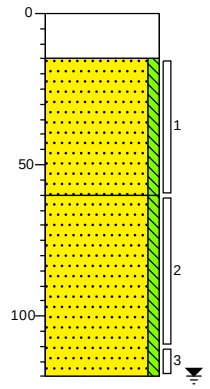
**Project: Vredenseweg 4-6 Winterswijk**

**Projectnummer: 3192.01**

'getekend volgens NEN 5104'

## Boring: 11

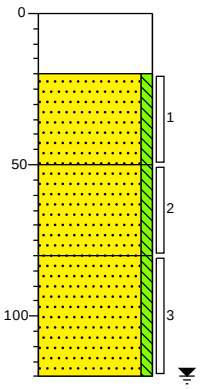
Datum: 9-4-2020




0 beton
Betonboor
15 Zand, matig fijn, zwak siltig, sporen baksteen, brokken beton, sporen plantenresten, donker zwartbruin, Schep
60 Zand, matig grof, zwak siltig, sporen roest, neutraal grijsbruin, Edelmanboor
120

## Boring: 12

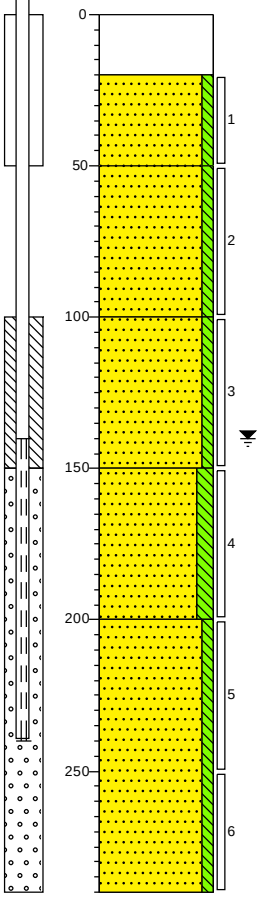
Datum: 9-4-2020




0 beton
Betonboor
20 Zand, matig fijn, zwak siltig, sporen baksteen, brokken beton, sporen plantenresten, donker zwartbruin, Schep
50 Zand, matig fijn, zwak siltig, sporen plantenresten, donker zwartbruin, Edelmanboor
80 Zand, matig grof, zwak siltig, sporen roest, neutraal cremebruin, Edelmanboor
120

## Boring: 13

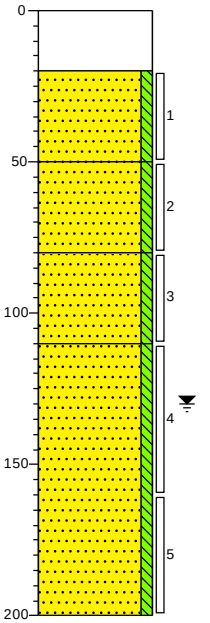
Datum: 9-4-2020




0 beton
Betonboor
20 Zand, matig fijn, zwak siltig, sporen baksteen, brokken beton, sporen plantenresten, donker cremebruin, Schep
50 Zand, matig fijn, zwak siltig, sporen plantenresten, neutraal cremebruin, Edelmanboor
100 Zand, matig grof, zwak siltig, matig roesthoudend, neutraal roestbruin, Zuigerboor handmatig
150 Zand, matig grof, matig siltig, neutraal grijsbruin, Zuigerboor handmatig
200 Zand, matig grof, zwak siltig, licht grijsbruin, Zuigerboor handmatig
290

## Boring: 14

Datum: 9-4-2020




0 beton
Betonboor
20 Zand, matig fijn, zwak siltig, sporen baksteen, brokken beton, sporen grind, sporen plantenresten, donker cremebruin, Schep
50 Zand, matig fijn, zwak siltig, sporen plantenresten, donker zwartbruin, Edelmanboor
80 Zand, matig grof, zwak siltig, sporen roest, neutraal grijsbruin, Edelmanboor
110 Zand, matig grof, zwak siltig, licht cremebruin, Zuigerboor handmatig
200

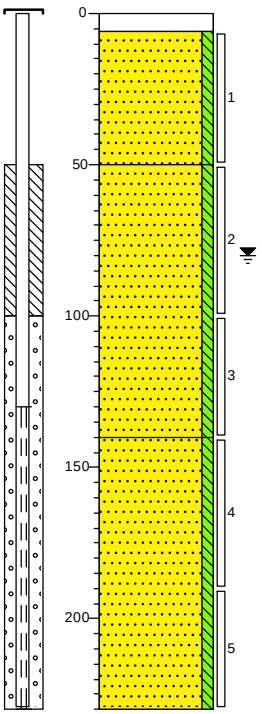
**Project: Vredenseweg 4-6 Winterswijk**

**Projectnummer: 3192.01**

'getekend volgens NEN 5104'

## Boring: 15

Datum: 9-4-2020




0 tegel

6 Edelmanboor

Zand, matig fijn, zwak siltig, sporen roest, neutraal cremebruin, Edelmanboor

50

Zand, matig grof, zwak siltig, matig roesthoudend, neutraal roestbruin, Edelmanboor

140

Zand, matig grof, zwak siltig, sporen roest, licht roestgrijs, Zuigerboor handmatig

230

**Project: Vredenseweg 4-6 Winterswijk**

**Projectnummer: 3192.01**

'getekend volgens NEN 5104'

# Bijlage 3

Analysecertificaten

Buro Ontwerp & Omgeving
T.a.v. Marieke Teusink
Velperweg 157
6824 MB ARNHEM
NETHERLANDS

## Analysecertificaat

Datum: 20-Apr-2020

Hierbij ontvangt u de resultaten van het navolgende laboratoriumonderzoek.

| | |
|---|---|
| Certificaatnummer/Versie | 2020055822/1 |
| Uw project/verslagnummer | 3192.01 |
| Uw projectnaam | Vredenseweg 4-6 Winterswijk |
| Uw ordernummer | |
| Monster(s) ontvangen | 09-Apr-2020 |

Dit certificaat mag uitsluitend in zijn geheel worden gereproduceerd.
De analyse resultaten hebben alleen betrekking op het beproefde object.

De grondmonsters worden tot 4 weken na datum ontvangst bewaard en watermonsters tot 2 weken na datum ontvangst. Zonder tegenbericht worden de monsters nadien afgevoerd.
Indien de monsters langer bewaard dienen te blijven verzoeken wij U dit exemplaar uiterlijk 1 werkdag voor afloop van de standaardbewaarperiode ondertekend aan ons te retourneren. Voor de kosten van het langer bewaren van monsters verwijzen wij naar de prijslijst.

Bewaren tot:
Datum: Naam: Handtekening:

Wij vertrouwen erop uw opdracht hiermee naar verwachting te hebben uitgevoerd, mocht U naar aanleiding van dit analysecertificaat nog vragen hebben verzoeken wij U contact op te nemen met de afdeling Verkoop en Advies.

Met vriendelijke groet,

Eurofins Analytico B.V.

Ing. A. Veldhuizen
Technical Manager

eurofins | — analytico®

## Analysecertificaat

| | | | |
|---|---|---|---|
| Uw project/verslagnummer | 3192.01 | Certificaatnummer/Versie | 2020055822/1 |
| Uw projectnaam | Vredenseweg 4-6 Winterswijk | Startdatum | 10-Apr-2020 |
| Uw ordernummer | | Rapportagedatum | 20-Apr-2020/10:57 |
| | | Bijlage | A,B,C |
| Monsternemer | Max Scholten | Pagina | 1/4 |
| Monstermatrix | Grond (AS3000) | | |

| | Analyse | Eenheid | 1 | 2 | 3 | 4 | 5 |
|---|---|---|---|---|---|---|---|
| | **Voorbehandeling** | | | | | | |
| | Cryogeen malen AS3000 | | Uitgevoerd | Uitgevoerd | Uitgevoerd | Uitgevoerd | Uitgevoerd |
| | **Bodemkundige analyses** | | | | | | |
| S | Droge stof | % (m/m) | 93.1 | 89.7 | 92.2 | 89.2 | 86.1 |
| S | Organische stof | % (m/m) ds | <0.7 [1)] | <0.7 | <0.7 | 2.2 | 0.7 |
| | Gloeirest | % (m/m) ds | 99 | 99 | 99 | 98 | 99 |
| S | Korrelgrootte < 2 µm (Lutum) | % (m/m) ds | | <2.0 | 5.7 | <2.0 | 2.3 |
| | **Metalen** | | | | | | |
| S | Barium (Ba) | mg/kg ds | | <20 | 24 | 39 | 25 |
| S | Cadmium (Cd) | mg/kg ds | | <0.20 | <0.20 | 0.21 | <0.20 |
| S | Kobalt (Co) | mg/kg ds | | 3.0 | <3.0 | <3.0 | <3.0 |
| S | Koper (Cu) | mg/kg ds | | <5.0 | <5.0 | 11 | 6.3 |
| S | Kwik (Hg) | mg/kg ds | | <0.050 | <0.050 | 0.11 | <0.050 |
| S | Molybdeen (Mo) | mg/kg ds | | <1.5 | <1.5 | <1.5 | <1.5 |
| S | Nikkel (Ni) | mg/kg ds | | 7.0 | 4.3 | <4.0 | 4.8 |
| S | Lood (Pb) | mg/kg ds | | <10 | 13 | 24 | 48 |
| S | Zink (Zn) | mg/kg ds | | <20 | 36 | 46 | 41 |
| | **Minerale olie** | | | | | | |
| | Minerale olie (C10-C12) | mg/kg ds | <3.0 | <3.0 | <3.0 | <3.0 | <3.0 |
| | Minerale olie (C12-C16) | mg/kg ds | <5.0 | <5.0 | <5.0 | <5.0 | <5.0 |
| | Minerale olie (C16-C21) | mg/kg ds | <5.0 | <5.0 | <5.0 | <5.0 | <5.0 |
| | Minerale olie (C21-C30) | mg/kg ds | 12 | <11 | 12 | 23 | 12 |
| | Minerale olie (C30-C35) | mg/kg ds | <5.0 | <5.0 | 7.3 | 10 | 5.0 |
| | Minerale olie (C35-C40) | mg/kg ds | <6.0 | <6.0 | <6.0 | <6.0 | <6.0 |
| S | Minerale olie totaal (C10-C40) | mg/kg ds | <35 | <35 | <35 | 39 | <35 |
| | Chromatogram olie (GC) | | | | | Zie bijl. | |
| | **Polychloorbifenylen, PCB** | | | | | | |
| S | PCB 28 | mg/kg ds | | <0.0010 | <0.0010 | <0.0010 | <0.0010 |
| S | PCB 52 | mg/kg ds | | <0.0010 | <0.0010 | <0.0010 | <0.0010 |
| S | PCB 101 | mg/kg ds | | <0.0010 | <0.0010 | <0.0010 | <0.0010 |

| Nr. | Monsteromschrijving | Datum monstername | Monster nr. |
|---|---|---|---|
| 1 | GRN M15.1 15 (6-50) | 09-Apr-2020 | 11305380 |
| 2 | GRN MM01 01 (8-50) 02 (8-50) 04 (8-50) | 09-Apr-2020 | 11305381 |
| 3 | GRN MM02 03 (8-50) 05 (20-50) 06 (12-50) 07 (15-50) 08 (20-50) 09 (20-50) | 09-Apr-2020 | 11305382 |
| 4 | GRN MM03 10 (20-60) 11 (15-60) 12 (20-50) 13 (20-50) 14 (20-50) | 09-Apr-2020 | 11305383 |
| 5 | GRN MM04 01 (50-80) 04 (50-70) | 09-Apr-2020 | 11305384 |

Q: door RvA geaccrediteerde verrichting
A: AP04 erkende verrichting
S: AS SIKB erkende verrichting
V: VLAREL erkende verrichting

**Eurofins Analytico B.V.**

Gildeweg 42-46
3771 NB Barneveld
P.O. Box 459
3770 AL Barneveld NL

Tel. +31 (0)34 242 63 00
Fax +31 (0)34 242 63 99
E-mail info-env@eurofins.nl
Site www.eurofins.nl

BNP Paribas S.A. 227 9245 25
IBAN: NL71BNPA0227924525
BIC: BNPANL2A
KvK/CoC No. 09088623
BTW/VAT No. NL 8043.14.883.B01

Dit certificaat mag uitsluitend in zijn geheel worden gereproduceerd.
Eurofins Analytico B.V. is ISO 14001: 2015 gecertificeerd door TÜV en erkend door het Vlaamse Gewest (OVAM en Dep. Omgeving), het Brusselse Gewest (BIM), het Waalse Gewest (DGRNE-OWD) en door de overheid van Luxemburg (MEV).

TESTEN
RvA L010

## Analysecertificaat

| | | | |
|---|---|---|---|
| Uw project/verslagnummer | 3192.01 | Certificaatnummer/Versie | 2020055822/1 |
| Uw projectnaam | Vredenseweg 4-6 Winterswijk | Startdatum | 10-Apr-2020 |
| Uw ordernummer | | Rapportagedatum | 20-Apr-2020/10:57 |
| | | Bijlage | A,B,C |
| Monsternemer | Max Scholten | Pagina | 2/4 |
| Monstermatrix | Grond (AS3000) | | |

| | Analyse | Eenheid | 1 | 2 | 3 | 4 | 5 |
|---|---|---|---|---|---|---|---|
| S | PCB 118 | mg/kg ds | | <0.0010 | <0.0010 | <0.0010 | <0.0010 |
| S | PCB 138 | mg/kg ds | | <0.0010 | <0.0010 | <0.0010 | <0.0010 |
| S | PCB 153 | mg/kg ds | | <0.0010 | <0.0010 | <0.0010 | <0.0010 |
| S | PCB 180 | mg/kg ds | | <0.0010 | <0.0010 | <0.0010 | <0.0010 |
| S | PCB (som 7) (factor 0,7) | mg/kg ds | | 0.0049 2) | 0.0049 2) | 0.0049 2) | 0.0049 2) |
| | **Polycyclische Aromatische Koolwaterstoffen, PAK** | | | | | | |
| S | Naftaleen | mg/kg ds | | <0.050 | <0.050 | <0.050 | <0.050 |
| S | Fenanthreen | mg/kg ds | | <0.050 | <0.050 | 0.061 | 0.16 |
| S | Anthraceen | mg/kg ds | | <0.050 | <0.050 | 0.10 | 0.060 |
| S | Fluorantheen | mg/kg ds | | 0.067 | <0.050 | 0.53 | 0.51 |
| S | Benzo(a)anthraceen | mg/kg ds | | <0.050 | <0.050 | 1.3 | 0.37 |
| S | Chryseen | mg/kg ds | | <0.050 | <0.050 | 1.8 | 0.41 |
| S | Benzo(k)fluorantheen | mg/kg ds | | <0.050 | <0.050 | 0.92 | 0.17 |
| S | Benzo(a)pyreen | mg/kg ds | | <0.050 | <0.050 | 0.88 | 0.30 |
| S | Benzo(ghi)peryleen | mg/kg ds | | <0.050 | <0.050 | 1.0 | 0.18 |
| S | Indeno(123-cd)pyreen | mg/kg ds | | <0.050 | <0.050 | 1.4 | 0.21 |
| S | PAK VROM (10) (factor 0,7) | mg/kg ds | | 0.38 | 0.35 2) | 8.1 | 2.4 |

| Nr. | Monsteromschrijving | Datum monstername | Monster nr. |
|---|---|---|---|
| 1 | GRN M15.1 15 (6-50) | 09-Apr-2020 | 11305380 |
| 2 | GRN MM01 01 (8-50) 02 (8-50) 04 (8-50) | 09-Apr-2020 | 11305381 |
| 3 | GRN MM02 03 (8-50) 05 (20-50) 06 (12-50) 07 (15-50) 08 (20-50) 09 (20-50) | 09-Apr-2020 | 11305382 |
| 4 | GRN MM03 10 (20-60) 11 (15-60) 12 (20-50) 13 (20-50) 14 (20-50) | 09-Apr-2020 | 11305383 |
| 5 | GRN MM04 01 (50-80) 04 (50-70) | 09-Apr-2020 | 11305384 |

Q: door RvA geaccrediteerde verrichting
A: AP04 erkende verrichting
S: AS SIKB erkende verrichting
V: VLAREL erkende verrichting

**Eurofins Analytico B.V.**

Gildeweg 42-46
3771 NB Barneveld
P.O. Box 459
3770 AL Barneveld NL

Tel. +31 (0)34 242 63 00
Fax +31 (0)34 242 63 99
E-mail info-env@eurofins.nl
Site www.eurofins.nl

BNP Paribas S.A. 227 9245 25
IBAN: NL71BNPA0227924525
BIC: BNPANL2A
KvK/CoC No. 09088623
BTW/VAT No. NL 8043.14.883.B01

Dit certificaat mag uitsluitend in zijn geheel worden gereproduceerd.
Eurofins Analytico B.V. is ISO 14001: 2015 gecertificeerd door TÜV en erkend door het Vlaamse Gewest (OVAM en Dep. Omgeving), het Brusselse Gewest (BIM), het Waalse Gewest (DGRNE-OWD) en door de overheid van Luxemburg (MEV).

TESTEN
RvA L010

eurofins | — analytico®

## Analysecertificaat

| | | | |
|---|---|---|---|
| Uw project/verslagnummer | 3192.01 | Certificaatnummer/Versie | 2020055822/1 |
| Uw projectnaam | Vredenseweg 4-6 Winterswijk | Startdatum | 10-Apr-2020 |
| Uw ordernummer | | Rapportagedatum | 20-Apr-2020/10:57 |
| | | Bijlage | A,B,C |
| Monsternemer | Max Scholten | Pagina | 3/4 |
| Monstermatrix | Grond (AS3000) | | |

| | Analyse | Eenheid | 6 |
|---|---|---|---|
| | **Voorbehandeling** | | |
| | Cryogeen malen AS3000 | | Uitgevoerd |
| | **Bodemkundige analyses** | | |
| S | Droge stof | % (m/m) | 84.5 |
| S | Organische stof | % (m/m) ds | <0.7 |
| | Gloeirest | % (m/m) ds | 99 |
| S | Korrelgrootte < 2 µm (Lutum) | % (m/m) ds | <2.0 |
| | **Metalen** | | |
| S | Barium (Ba) | mg/kg ds | <20 |
| S | Cadmium (Cd) | mg/kg ds | <0.20 |
| S | Kobalt (Co) | mg/kg ds | <3.0 |
| S | Koper (Cu) | mg/kg ds | <5.0 |
| S | Kwik (Hg) | mg/kg ds | <0.050 |
| S | Molybdeen (Mo) | mg/kg ds | <1.5 |
| S | Nikkel (Ni) | mg/kg ds | <4.0 |
| S | Lood (Pb) | mg/kg ds | <10 |
| S | Zink (Zn) | mg/kg ds | <20 |
| | **Minerale olie** | | |
| | Minerale olie (C10-C12) | mg/kg ds | <3.0 |
| | Minerale olie (C12-C16) | mg/kg ds | <5.0 |
| | Minerale olie (C16-C21) | mg/kg ds | <5.0 |
| | Minerale olie (C21-C30) | mg/kg ds | <11 |
| | Minerale olie (C30-C35) | mg/kg ds | <5.0 |
| | Minerale olie (C35-C40) | mg/kg ds | <6.0 |
| S | Minerale olie totaal (C10-C40) | mg/kg ds | <35 |
| | **Polychloorbifenylen, PCB** | | |
| S | PCB 28 | mg/kg ds | <0.0010 |
| S | PCB 52 | mg/kg ds | <0.0010 |
| S | PCB 101 | mg/kg ds | <0.0010 |
| S | PCB 118 | mg/kg ds | <0.0010 |

| Nr. | Monsteromschrijving | Datum monstername | Monster nr. |
|---|---|---|---|
| 6 | GRN MM05 07 (70-120) 07 (120-150) 07 (150-200) 13 (50-100) 13 (100-150) 13 (150-20( | 09-Apr-2020 | 11305385 |

Q: door RvA geaccrediteerde verrichting
A: AP04 erkende verrichting
S: AS SIKB erkende verrichting
V: VLAREL erkende verrichting

Dit certificaat mag uitsluitend in zijn geheel worden gereproduceerd.
Eurofins Analytico B.V. is ISO 14001: 2015 gecertificeerd door TÜV en erkend door het Vlaamse Gewest (OVAM en Dep. Omgeving), het Brusselse Gewest (BIM), het Waalse Gewest (DGRNE-OWD) en door de overheid van Luxemburg (MEV).

TESTEN
RvA L010

**Eurofins Analytico B.V.**

Gildeweg 42-46
3771 NB Barneveld
P.O. Box 459
3770 AL Barneveld NL

Tel. +31 (0)34 242 63 00
Fax +31 (0)34 242 63 99
E-mail info-env@eurofins.nl
Site www.eurofins.nl

BNP Paribas S.A. 227 9245 25
IBAN: NL71BNPA0227924525
BIC: BNPANL2A
KvK/CoC No. 09088623
BTW/VAT No. NL 8043.14.883.B01

## Analysecertificaat

| | | | |
|---|---|---|---|
| Uw project/verslagnummer | 3192.01 | Certificaatnummer/Versie | 2020055822/1 |
| Uw projectnaam | Vredenseweg 4-6 Winterswijk | Startdatum | 10-Apr-2020 |
| Uw ordernummer | | Rapportagedatum | 20-Apr-2020/10:57 |
| | | Bijlage | A,B,C |
| Monsternemer | Max Scholten | Pagina | 4/4 |
| Monstermatrix | Grond (AS3000) | | |

| | Analyse | Eenheid | 6 | |
|---|---|---|---|---|
| S | PCB 138 | mg/kg ds | <0.0010 | |
| S | PCB 153 | mg/kg ds | <0.0010 | |
| S | PCB 180 | mg/kg ds | <0.0010 | |
| S | PCB (som 7) (factor 0,7) | mg/kg ds | 0.0049 | 2) |
| | **Polycyclische Aromatische Koolwaterstoffen, PAK** | | | |
| S | Naftaleen | mg/kg ds | <0.050 | |
| S | Fenanthreen | mg/kg ds | <0.050 | |
| S | Anthraceen | mg/kg ds | <0.050 | |
| S | Fluorantheen | mg/kg ds | <0.050 | |
| S | Benzo(a)anthraceen | mg/kg ds | <0.050 | |
| S | Chryseen | mg/kg ds | <0.050 | |
| S | Benzo(k)fluorantheen | mg/kg ds | <0.050 | |
| S | Benzo(a)pyreen | mg/kg ds | <0.050 | |
| S | Benzo(ghi)peryleen | mg/kg ds | <0.050 | |
| S | Indeno(123-cd)pyreen | mg/kg ds | <0.050 | |
| S | PAK VROM (10) (factor 0,7) | mg/kg ds | 0.35 | 2) |

| Nr. | Monsteromschrijving | Datum monstername | Monster nr. |
|---|---|---|---|
| 6 | GRN MM05 07 (70-120) 07 (120-150) 07 (150-200) 13 (50-100) 13 (100-150) 13 (150-20( | 09-Apr-2020 | 11305385 |

Q: door RvA geaccrediteerde verrichting
A: AP04 erkende verrichting
S: AS SIKB erkende verrichting
V: VLAREL erkende verrichting

Akkoord
Pr.coörd.
VA

Eurofins Analytico B.V.

Gildeweg 42-46
3771 NB Barneveld
P.O. Box 459
3770 AL Barneveld NL

Tel. +31 (0)34 242 63 00
Fax +31 (0)34 242 63 99
E-mail info-env@eurofins.nl
Site www.eurofins.nl

BNP Paribas S.A. 227 9245 25
IBAN: NL71BNPA0227924525
BIC: BNPANL2A
KvK/CoC No. 09088623
BTW/VAT No. NL 8043.14.883.B01

Dit certificaat mag uitsluitend in zijn geheel worden gereproduceerd.
Eurofins Analytico B.V. is ISO 14001: 2015 gecertificeerd door TÜV en erkend door het Vlaamse Gewest (OVAM en Dep. Omgeving), het Brusselse Gewest (BIM), het Waalse Gewest (DGRNE-OWD) en door de overheid van Luxemburg (MEV).

TESTEN
RvA L010

eurofins | — analytico®

## Bijlage (A) met deelmonsterinformatie behorende bij analysecertificaat 2020055822/1



| Monster nr. | Boornr | Omschrijving | Van | Tot | Barcode | Monstername ID/Monsteromsch. |
|---|---|---|---|---|---|---|
| 11305380 | 15 | 1 | 6 | 50 | 0538040411 | GRN M15.1 15 (6-50) |
| 11305381 | 04 | 1 | 8 | 50 | 0538040512 | GRN MM01 01 (8-50) 02 (8-50) 0 |
| 11305381 | 02 | 1 | 8 | 50 | 0538040521 | GRN MM01 01 (8-50) 02 (8-50) 0 |
| 11305381 | 01 | 1 | 8 | 50 | 0538040523 | GRN MM01 01 (8-50) 02 (8-50) 0 |
| 11305382 | 09 | 1 | 20 | 50 | 0538040501 | GRN MM02 03 (8-50) 05 (20-50) |
| 11305382 | 03 | 1 | 8 | 50 | 0538040524 | GRN MM02 03 (8-50) 05 (20-50) |
| 11305382 | 06 | 1 | 12 | 50 | 0538040410 | GRN MM02 03 (8-50) 05 (20-50) |
| 11305382 | 05 | 1 | 20 | 50 | 0538040405 | GRN MM02 03 (8-50) 05 (20-50) |
| 11305382 | 08 | 1 | 20 | 50 | 0538040517 | GRN MM02 03 (8-50) 05 (20-50) |
| 11305382 | 07 | 1 | 15 | 50 | 0538040409 | GRN MM02 03 (8-50) 05 (20-50) |
| 11305383 | 14 | 1 | 20 | 50 | 0538040497 | GRN MM03 10 (20-60) 11 (15-60 |
| 11305383 | 10 | 1 | 20 | 60 | 0538041283 | GRN MM03 10 (20-60) 11 (15-60 |
| 11305383 | 12 | 1 | 20 | 50 | 0538040498 | GRN MM03 10 (20-60) 11 (15-60 |
| 11305383 | 11 | 1 | 15 | 60 | 0538040211 | GRN MM03 10 (20-60) 11 (15-60 |
| 11305383 | 13 | 1 | 20 | 50 | 0538040207 | GRN MM03 10 (20-60) 11 (15-60 |
| 11305384 | 04 | 2 | 50 | 70 | 0538040518 | GRN MM04 01 (50-80) 04 (50-70 |
| 11305384 | 01 | 2 | 50 | 80 | 0538040513 | GRN MM04 01 (50-80) 04 (50-70 |
| 11305385 | 07 | 3 | 70 | 120 | 0538040412 | GRN MM05 07 (70-120) 07 (120- |
| 11305385 | 07 | 4 | 120 | 150 | 0538040516 | GRN MM05 07 (70-120) 07 (120- |
| 11305385 | 07 | 5 | 150 | 200 | 0538040511 | GRN MM05 07 (70-120) 07 (120- |
| 11305385 | 14 | 3 | 80 | 110 | 0538040402 | GRN MM05 07 (70-120) 07 (120- |
| 11305385 | 14 | 4 | 110 | 160 | 0538040404 | GRN MM05 07 (70-120) 07 (120- |
| 11305385 | 14 | 5 | 160 | 200 | 0538040400 | GRN MM05 07 (70-120) 07 (120- |
| 11305385 | 13 | 2 | 50 | 100 | 0538040203 | GRN MM05 07 (70-120) 07 (120- |
| 11305385 | 13 | 3 | 100 | 150 | 0538040217 | GRN MM05 07 (70-120) 07 (120- |
| 11305385 | 13 | 4 | 150 | 200 | 0538040682 | GRN MM05 07 (70-120) 07 (120- |

**Eurofins Analytico B.V.**

Gildeweg 42-46
3771 NB Barneveld
P.O. Box 459
3770 AL Barneveld NL

Tel. +31 (0)34 242 63 00
Fax +31 (0)34 242 63 99
E-mail info-env@eurofins.nl
Site www.eurofins.nl

BNP Paribas S.A. 227 9245 25
IBAN: NL71BNPA0227924525
BIC: BNPANL2A
KvK/CoC No. 09088623
BTW/VAT No. NL 8043.14.883.B01

Eurofins Analytico B.V. is ISO 14001: 2015 gecertificeerd door TÜV en erkend door het Vlaamse Gewest (OVAM en Dep. Omgeving), het Brusselse Gewest (BIM), het Waalse Gewest (DGRNE-OWD) en door de overheid van Luxemburg (MEV).

**Bijlage (B) met opmerkingen behorende bij analysecertificaat 2020055822/1**



**Opmerking 1)**

Het organische stof gehalte is gecorrigeerd voor het lutumgehalte van 5.4 % m/m (SIKB 3010 pb 3).

**Opmerking 2)**

De toetswaarde van de som is gelijk aan de sommatie van 0,7*RG

**Eurofins Analytico B.V.**

Gildeweg 42-46
3771 NB Barneveld
P.O. Box 459
3770 AL Barneveld NL

Tel. +31 (0)34 242 63 00
Fax +31 (0)34 242 63 99
E-mail info-env@eurofins.nl
Site www.eurofins.nl

BNP Paribas S.A. 227 9245 25
IBAN: NL71BNPA0227924525
BIC: BNPANL2A
KvK/CoC No. 09088623
BTW/VAT No. NL 8043.14.883.B01

Eurofins Analytico B.V. is ISO 14001: 2015 gecertificeerd door TÜV en erkend door het Vlaamse Gewest (OVAM en Dep. Omgeving), het Brusselse Gewest (BIM), het Waalse Gewest (DGRNE-OWD) en door de overheid van Luxemburg (MEV).

**Bijlage (C) met methodeverwijzingen behorende bij analysecertificaat 2020055822/1**



| Analyse | Methode | Techniek | Methode referentie |
|---|---|---|---|
| **Voorbehandeling** | | | |
| Cryogeen malen | W0106 | Voorbehandeling | AS3000 |
| **Bodemkundige analyses** | | | |
| Droge Stof | W0104 | Gravimetrie | pb 3010-2 en NEN-EN 15934 |
| Organische stof (gloeiverlies) | W0109 | Gravimetrie | pb 3010-3 en NEN 5754 |
| Korrelgrootte < 2 µm (lutum) | W0171 | Sedimentatie | pb 3010-4 en NEN 5753 |
| **Metalen** | | | |
| Barium (Ba) | W0423 | ICP-MS | pb 3010-5 en NEN-EN-ISO 17294-2 |
| Cadmium (Cd) | W0423 | ICP-MS | pb 3010-5 en NEN-EN-ISO 17294-2 |
| Kobalt (Co) | W0423 | ICP-MS | pb 3010-5 en NEN-EN-ISO 17294-2 |
| Koper (Cu) | W0423 | ICP-MS | pb 3010-5 en NEN-EN-ISO 17294-2 |
| Kwik (Hg) | W0423 | ICP-MS | pb 3010-5 en NEN-EN-ISO 17294-2 |
| Molybdeen (Mo) | W0423 | ICP-MS | pb 3010-5 en NEN-EN-ISO 17294-2 |
| Nikkel (Ni) | W0423 | ICP-MS | pb 3010-5 en NEN-EN-ISO 17294-2 |
| Lood (Pb) | W0423 | ICP-MS | pb 3010-5 en NEN-EN-ISO 17294-2 |
| Zink (Zn) | W0423 | ICP-MS | pb 3010-5 en NEN-EN-ISO 17294-2 |
| **Minerale olie** | | | |
| Minerale Olie (C10-C40) | W0202 | GC-FID | pb 3010-7 en NEN-EN-ISO 16703 |
| Chromatogram MO (GC) | W0202 | GC-FID | NEN-EN-ISO 16703 |
| **Polychloorbifenylen, PCB** | | | |
| PCB (7) | W0271 | GC-MS | pb 3010-8 en NEN 6980 |
| **Polycyclische Aromatische Koolwaterstoffen, PAK** | | | |
| PAK (10) (VROM) | W0271 | GC-MS | pb. 3010-6 en NEN-ISO 18287 |
| PAK som AS3000/AP04 | W0271 | GC-MS | pb. 3010-6 en NEN-ISO 18287 |

Nadere informatie over de toegepaste onderzoeksmethoden alsmede een classificatie van de meetonzekerheid staan vermeld in ons overzicht "Specificaties analysemethoden", versie juni 2019.

**Eurofins Analytico B.V.**

Gildeweg 42-46
3771 NB Barneveld
P.O. Box 459
3770 AL Barneveld NL

Tel. +31 (0)34 242 63 00
Fax +31 (0)34 242 63 99
E-mail info-env@eurofins.nl
Site www.eurofins.nl

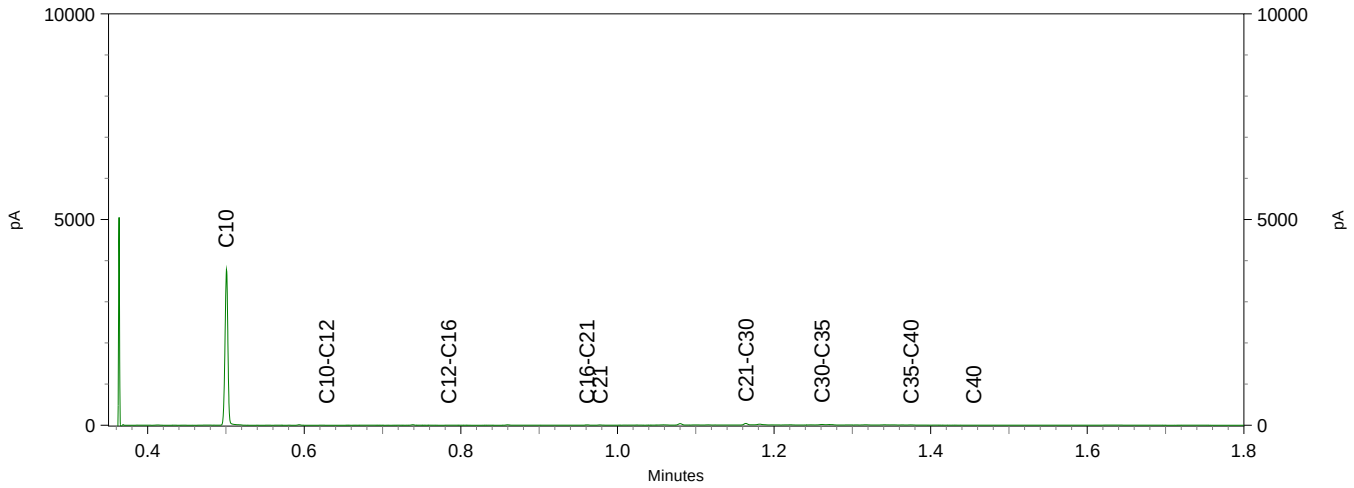
BNP Paribas S.A. 227 9245 25
IBAN: NL71BNPA0227924525
BIC: BNPANL2A
KvK/CoC No. 09088623
BTW/VAT No. NL 8043.14.883.B01

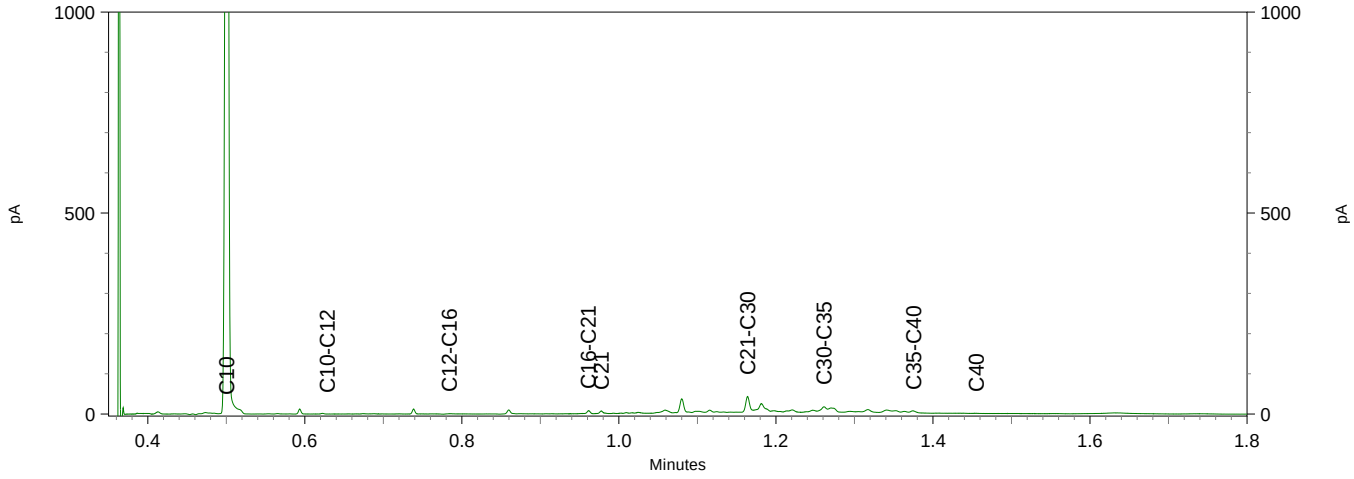
Eurofins Analytico B.V. is ISO 14001: 2015 gecertificeerd door TÜV en erkend door het Vlaamse Gewest (OVAM en Dep. Omgeving), het Brusselse Gewest (BIM), het Waalse Gewest (DGRNE-OWD) en door de overheid van Luxemburg (MEV).

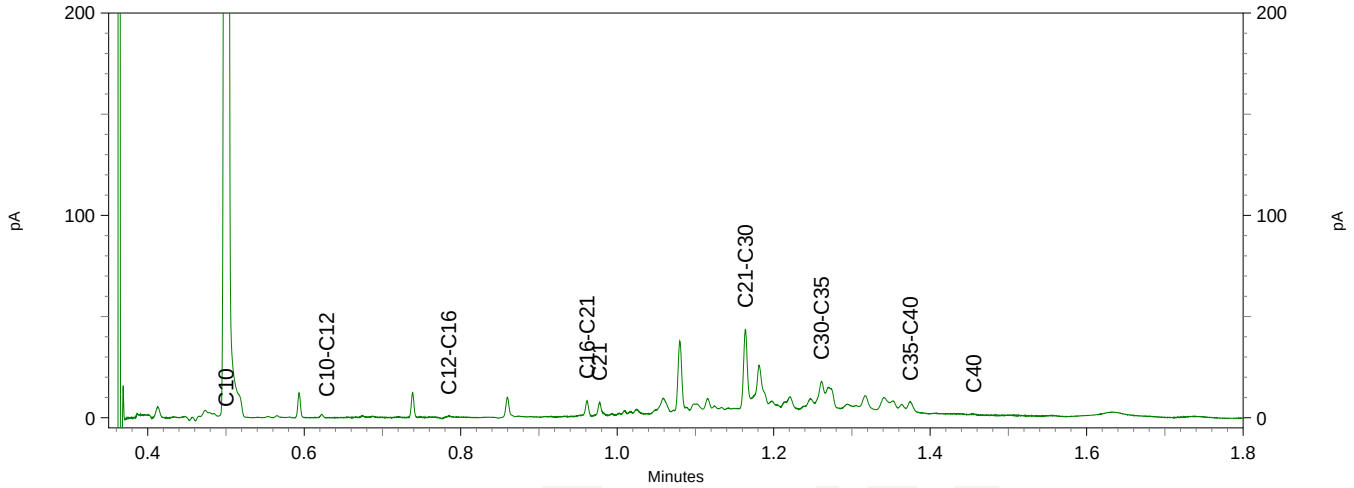
eurofins | — analytics

# Chromatogram TPH/ Mineral Oil

Sample ID.: 11305383
Certificate no.: 2020055822
Sample description.: GRN MM03 10 (20-60) 11 (15-60) 12 (20-50) 13 (20-5
V



Buro Ontwerp & Omgeving
T.a.v. Marieke Teusink
Velperweg 157
6824 MB ARNHEM
NETHERLANDS

## Analysecertificaat

Datum: 17-Apr-2020

Hierbij ontvangt u de resultaten van het navolgende laboratoriumonderzoek.

| | |
|---|---|
| Certificaatnummer/Versie | 2020055823/1 |
| Uw project/verslagnummer | 3192.01 |
| Uw projectnaam | Vredenseweg 4-6 Winterswijk |
| Uw ordernummer | |
| Monster(s) ontvangen | 09-Apr-2020 |

Dit certificaat mag uitsluitend in zijn geheel worden gereproduceerd.
De analyse resultaten hebben alleen betrekking op het beproefde object.

De grondmonsters worden tot 4 weken na datum ontvangst bewaard en watermonsters tot 2 weken na datum ontvangst. Zonder tegenbericht worden de monsters nadien afgevoerd.
Indien de monsters langer bewaard dienen te blijven verzoeken wij U dit exemplaar uiterlijk 1 werkdag voor afloop van de standaardbewaarperiode ondertekend aan ons te retourneren. Voor de kosten van het langer bewaren van monsters verwijzen wij naar de prijslijst.

Bewaren tot:
Datum: Naam: Handtekening:

Wij vertrouwen erop uw opdracht hiermee naar verwachting te hebben uitgevoerd, mocht U naar aanleiding van dit analysecertificaat nog vragen hebben verzoeken wij U contact op te nemen met de afdeling Verkoop en Advies.

Met vriendelijke groet,

Eurofins Analytico B.V.

Ing. A. Veldhuizen
Technical Manager

## Analysecertificaat

| | | | |
|---|---|---|---|
| Uw project/verslagnummer | 3192.01 | Certificaatnummer/Versie | 2020055823/1 |
| Uw projectnaam | Vredenseweg 4-6 Winterswijk | Startdatum | 10-Apr-2020 |
| Uw ordernummer | | Rapportagedatum | 17-Apr-2020/06:13 |
| | | Bijlage | A,B,C |
| Monsternemer | | Pagina | 1/1 |
| Monstermatrix | Asbestverdachte grond | | |

| Analyse | Eenheid | 1 | 2 | 3 |
|---|---|---|---|---|
| **Bodemkundige analyses** | | | | |
| Droge stof (Extern) | % (m/m) | 90.7 [1)] | 93.5 [1)] | 91.8 [1)] |
| **Extern / Overig onderzoek** | | | | |
| In behandeling genomen hoeveelheid | kg | 15.0 [2)] | 14.4 [2)] | 13.9 [2)] |
| Asbest fractie 0,5-1mm | mg | 0.0 [2)] | 0.0 [2)] | 0.0 [2)] |
| Asbest fractie 1-2mm | mg | 0.0 [2)] | 0.0 [2)] | 0.0 [2)] |
| Asbest fractie 2-4mm | mg | 0.0 [2)] | 0.0 [2)] | 0.0 [2)] |
| Asbest fractie 4-8mm | mg | 0.0 [2)] | 0.0 [2)] | 0.0 [2)] |
| Asbest fractie 8-20mm | mg | 0.0 [2)] | 0.0 [2)] | 0.0 [2)] |
| Asbest fractie >20mm | mg | 0.0 [2)] | 0.0 [2)] | 0.0 [2)] |
| Asbest (som) | mg | <5.0 [2)] | <5.1 [2)] | <6.4 [2)] |
| Asbest in grond | mg/kg ds | <0.4 [2)] | <0.4 [2)] | <0.6 [2)] |
| Gemeten Asbestconcentratie | mg/kg ds | <0.4 [2)] | <0.4 [2)] | <0.6 [2)] |
| Gemeten concentratie Chrysotiel | mg/kg ds | <0.4 [2)] | <0.4 [2)] | <0.6 [2)] |
| Gemeten concentratie Amfibool | mg/kg ds | 0.0 [2)] | 0.0 [2)] | 0.0 [2)] |
| Totaal asbest hechtgebonden | mg/kg ds | 0.0 [2)] | 0.0 [2)] | 0.0 [2)] |
| Totaal asbest niet hechtgebonden | mg/kg ds | 0.0 [2)] | 0.0 [2)] | 0.0 [2)] |

| Nr. | Monsteromschrijving | Datum monstername | Monster nr. |
|---|---|---|---|
| 1 | ASB MM01 MM01 (8-50) | 09-Apr-2020 | 11305386 |
| 2 | ASB MM02 MM02 (15-50) | 09-Apr-2020 | 11305387 |
| 3 | ASB MM03 MM03 (15-50) | 09-Apr-2020 | 11305388 |

Q: door RvA geaccrediteerde verrichting
A: AP04 erkende verrichting
S: AS SIKB erkende verrichting
V: VLAREL erkende verrichting

**Akkoord**
**Pr.coörd.**
VA

**Eurofins Analytico B.V.**

Gildeweg 42-46
3771 NB Barneveld
P.O. Box 459
3770 AL Barneveld NL

Tel. +31 (0)34 242 63 00
Fax +31 (0)34 242 63 99
E-mail info-env@eurofins.nl
Site www.eurofins.nl

BNP Paribas S.A. 227 9245 25
IBAN: NL71BNPA0227924525
BIC: BNPANL2A
KvK/CoC No. 09088623
BTW/VAT No. NL 8043.14.883.B01

Dit certificaat mag uitsluitend in zijn geheel worden gereproduceerd.
Eurofins Analytico B.V. is ISO 14001: 2015 gecertificeerd door TÜV en erkend door het Vlaamse Gewest (OVAM en Dep. Omgeving), het Brusselse Gewest (BIM), het Waalse Gewest (DGRNE-OWD) en door de overheid van Luxemburg (MEV).

## Bijlage (A) met deelmonsterinformatie behorende bij analysecertificaat 2020055823/1



| Monster nr. | Boornr | Omschrijving | Van | Tot | Barcode | Monstername ID/Monsteromsch. |
|---|---|---|---|---|---|---|
| 11305386 | MM01 | 1 | 8 | 50 | 1573177MG | ASB MM01 MM01 (8-50) |
| 11305387 | MM02 | 1 | 15 | 50 | 1573178MG | ASB MM02 MM02 (15-50) |
| 11305388 | MM03 | 1 | 15 | 50 | 1573179MG | ASB MM03 MM03 (15-50) |

**Eurofins Analytico B.V.**

Gildeweg 42-46
3771 NB Barneveld
P.O. Box 459
3770 AL Barneveld NL

Tel. +31 (0)34 242 63 00
Fax +31 (0)34 242 63 99
E-mail info-env@eurofins.nl
Site www.eurofins.nl

BNP Paribas S.A. 227 9245 25
IBAN: NL71BNPA0227924525
BIC: BNPANL2A
KvK/CoC No. 09088623
BTW/VAT No. NL 8043.14.883.B01

Eurofins Analytico B.V. is ISO 14001: 2015 gecertificeerd door TÜV en erkend door het Vlaamse Gewest (OVAM en Dep. Omgeving), het Brusselse Gewest (BIM), het Waalse Gewest (DGRNE-OWD) en door de overheid van Luxemburg (MEV).

**Bijlage (B) met opmerkingen behorende bij analysecertificaat 2020055823/1**



**Opmerking 1)**

Deze bepaling is uitgevoerd bij Eurofins Omegam (L086).

**Opmerking 2)**

Deze bepaling is uitbesteed bij L086.

**Eurofins Analytico B.V.**

Gildeweg 42-46
3771 NB Barneveld
P.O. Box 459
3770 AL Barneveld NL

Tel. +31 (0)34 242 63 00
Fax +31 (0)34 242 63 99
E-mail info-env@eurofins.nl
Site www.eurofins.nl

BNP Paribas S.A. 227 9245 25
IBAN: NL71BNPA0227924525
BIC: BNPANL2A
KvK/CoC No. 09088623
BTW/VAT No. NL 8043.14.883.B01

Eurofins Analytico B.V. is ISO 14001: 2015 gecertificeerd door TÜV en erkend door het Vlaamse Gewest (OVAM en Dep. Omgeving), het Brusselse Gewest (BIM), het Waalse Gewest (DGRNE-OWD) en door de overheid van Luxemburg (MEV).

**Bijlage (C) met methodeverwijzingen behorende bij analysecertificaat 2020055823/1**



| Analyse | Methode | Techniek | Methode referentie |
|---|---|---|---|
| **Bodemkundige analyses** | | | |
| Droge stof (uitbesteed) | W0004 | Extern | Uitbesteding |
| **Extern / Overig onderzoek** | | | |
| Asbest Grond NEN5898 2016 | W0004 | Microscopie | NEN 5898 |

Nadere informatie over de toegepaste onderzoeksmethoden alsmede een classificatie van de meetonzekerheid staan vermeld in ons overzicht "Specificaties analysemethoden", versie juni 2019.

**Eurofins Analytico B.V.**

Gildeweg 42-46
3771 NB Barneveld
P.O. Box 459
3770 AL Barneveld NL

Tel. +31 (0)34 242 63 00
Fax +31 (0)34 242 63 99
E-mail info-env@eurofins.nl
Site www.eurofins.nl

BNP Paribas S.A. 227 9245 25
IBAN: NL71BNPA0227924525
BIC: BNPANL2A
KvK/CoC No. 09088623
BTW/VAT No. NL 8043.14.883.B01

Eurofins Analytico B.V. is ISO 14001: 2015 gecertificeerd door TÜV en erkend door het Vlaamse Gewest (OVAM en Dep. Omgeving), het Brusselse Gewest (BIM), het Waalse Gewest (DGRNE-OWD) en door de overheid van Luxemburg (MEV).

**A N A L Y S E C E R T I F I C A A T**

| | | |
|---|---|---|
| **Project code** | : | **1025076** |
| **Uw Project omschrijving** | : | **2020055823-3192.01** |
| **Opdrachtgever** | : | **Eurofins Analytico B.V.** |

| | | |
|---|---|---|
| **Monstercode** | : | **6300430** |
| **Uw referentie** | : | **ASB MM01 MM01 (8-50)** |
| **Opgegeven bemonsteringsdatum** | : | **09/04/2020** |

# Asbestonderzoek

Initialen analist : M.M.
Datum geanalyseerd : 16-04-2020

Analyse is uitgevoerd conform NEN 5898 (**S**).

Massa aangeleverde monster : 15000 g
Droge massa aangeleverde monster : 13605 g
Percentage droogrest : **90,7 m/m %**
Type zeving : nat

| zeeffractie (mm) | massa zeeffractie (gram) | percentage zeeffractie (m/m %) | massa onderzocht (gram) | percentage onderzocht (m/m %) | aantal asbest (deeltjes) | massa asbest-houdend materiaal (mg) |
|---|---|---|---|---|---|---|
| <0,5 mm | 13306,2 | 99,7 | 12,7 | 0,10 | n.v.t. | n.v.t. |
| 0,5-1 mm | 9,0 | 0,1 | 2,0 | 22,22 | 0 | 0,0 |
| 1-2 mm | 5,6 | 0,0 | 1,9 | 33,93 | 0 | 0,0 |
| 2-4 mm | 2,9 | 0,0 | 2,9 | 100,00 | 0 | 0,0 |
| 4-8 mm | 10,2 | 0,1 | 10,2 | 100,00 | 0 | 0,0 |
| 8-20 mm | 17,1 | 0,1 | 17,1 | 100,00 | 0 | 0,0 |
| >20 mm | 0,0 | 0,0 | 0,0 | 100,00 | 0 | 0,0 |
| **Totaal** | **13351,0** | **100,0** | **46,8** | | **0** | **0,0** |

| | asbest totaal | | | serpentijn asbest | | | amfibool asbest | | |
|---|---|---|---|---|---|---|---|---|---|
| zeeffractie (mm) | gehalte asbest (mg/kg ds) | ondergrens (mg/kg ds) | bovengrens (mg/kg ds) | gehalte asbest (mg/kg ds) | ondergrens (mg/kg ds) | bovengrens (mg/kg ds) | gehalte asbest (mg/kg ds) | ondergrens (mg/kg ds) | bovengrens (mg/kg ds) |
| <0,5 mm | - | | | | | | | | |
| 0,5-1 mm | 0,0 | 0,0 | 0,1 | 0,0 | 0,0 | 0,1 | 0,0 | 0,0 | 0,0 |
| 1-2 mm | 0,0 | 0,0 | 0,3 | 0,0 | 0,0 | 0,3 | 0,0 | 0,0 | 0,0 |
| 2-4 mm | 0,0 | 0,0 | 0,0 | 0,0 | 0,0 | 0,0 | 0,0 | 0,0 | 0,0 |
| 4-8 mm | 0,0 | 0,0 | 0,0 | 0,0 | 0,0 | 0,0 | 0,0 | 0,0 | 0,0 |
| 8-20 mm | 0,0 | 0,0 | 0,0 | 0,0 | 0,0 | 0,0 | 0,0 | 0,0 | 0,0 |
| >20 mm | 0,0 | 0,0 | 0,0 | 0,0 | 0,0 | 0,0 | 0,0 | 0,0 | 0,0 |
| **Totaal** | **<0,4** | **0,0** | **0,4** | **<0,4** | **0,0** | **0,4** | **0,0** | **0,0** | **0,0** |

Aangetroffen type asbest : Geen
Bijzonderheden waargenomen : Geen

Serpentijn asbest is chrysotiel.
Amfibool asbest is amosiet, crocidoliet, actinoliet, anthophylliet en tremoliet.

De bepalingsgrens is bepaald voor de zeeffracties kleiner dan 4 mm. De totale bepalingsgrens is verkregen door de bepalingsgrenzen van de afzonderlijke zeeffracties te sommeren.
Het materiaal is middels polarisatiemicroscopie onderzocht, de analyse is uitgevoerd conform NEN 5896.

| gebondenheid | serpentijn asbest | amfibool asbest | totaal afgerond |
|---|---|---|---|
| hecht | 0,0 | 0,0 | 0,0 |
| niet hecht | 0,0 | 0,0 | 0,0 |
| totaal afgerond | 0,0 | 0,0 | |

Gewogen concentratie (serpentijnasbestconcentratie vermeerderd met 10 maal de amfiboolasbestconcentratie) is: **<0,4 mg/kg ds**

De gewogen asbestconcentratie wordt berekend uit de niet-afgeronde gehalten aan serpentijn en amfibool asbest. De weergegeven resultaten zijn afgerond.

Verklaring kwalitatief onderzoek zeeffractie <0,5 mm:
- : geen asbest waargenomen

Dit analyse-certificaat, inclusief voorblad en eventuele bijlage(n), mag niet anders dan in zijn geheel worden gereproduceerd.
- De met een 'Q' gemerkte analyses zijn door RvA geaccrediteerd (registratienummer L086).
- De met een 'S' gemerkte analyses zijn door RvA geaccrediteerd (L086) en op basis van het schema AS 3000 erkend.

**A N A L Y S E C E R T I F I C A A T**

| | | |
|---|---|---|
| **Project code** | : | **1025076** |
| **Uw Project omschrijving** | : | **2020055823-3192.01** |
| **Opdrachtgever** | : | **Eurofins Analytico B.V.** |

| | | |
|---|---|---|
| **Monstercode** | : | **6300431** |
| **Uw referentie** | : | **ASB MM02 MM02 (15-50)** |
| **Opgegeven bemonsteringsdatum** | : | **09/04/2020** |

# Asbestonderzoek

Initialen analist : N.A.
Datum geanalyseerd : 16-04-2020

Analyse is uitgevoerd conform NEN 5898 (**S**).

Massa aangeleverde monster : 14400 g
Droge massa aangeleverde monster : 13464 g
Percentage droogrest : **93,5 m/m %**
Type zeving : nat

| zeeffractie (mm) | massa zeeffractie (gram) | percentage zeeffractie (m/m %) | massa onderzocht (gram) | percentage onderzocht (m/m %) | aantal asbest (deeltjes) | massa asbest-houdend materiaal (mg) |
|---|---|---|---|---|---|---|
| <0,5 mm | 11613,5 | 87,5 | 12,6 | 0,11 | n.v.t. | n.v.t. |
| 0,5-1 mm | 312,9 | 2,4 | 65,4 | 20,90 | 0 | 0,0 |
| 1-2 mm | 262,5 | 2,0 | 88,8 | 33,83 | 0 | 0,0 |
| 2-4 mm | 211,6 | 1,6 | 211,6 | 100,00 | 0 | 0,0 |
| 4-8 mm | 251,3 | 1,9 | 251,3 | 100,00 | 0 | 0,0 |
| 8-20 mm | 615,9 | 4,6 | 615,9 | 100,00 | 0 | 0,0 |
| >20 mm | 0,0 | 0,0 | 0,0 | 100,00 | 0 | 0,0 |
| **Totaal** | **13267,7** | **100,0** | **1245,6** | | **0** | **0,0** |

| | asbest totaal | | | serpentijn asbest | | | amfibool asbest | | |
|---|---|---|---|---|---|---|---|---|---|
| zeeffractie (mm) | gehalte asbest (mg/kg ds) | ondergrens (mg/kg ds) | bovengrens (mg/kg ds) | gehalte asbest (mg/kg ds) | ondergrens (mg/kg ds) | bovengrens (mg/kg ds) | gehalte asbest (mg/kg ds) | ondergrens (mg/kg ds) | bovengrens (mg/kg ds) |
| <0,5 mm | - | | | | | | | | |
| 0,5-1 mm | 0,0 | 0,0 | 0,1 | 0,0 | 0,0 | 0,1 | 0,0 | 0,0 | 0,0 |
| 1-2 mm | 0,0 | 0,0 | 0,3 | 0,0 | 0,0 | 0,3 | 0,0 | 0,0 | 0,0 |
| 2-4 mm | 0,0 | 0,0 | 0,0 | 0,0 | 0,0 | 0,0 | 0,0 | 0,0 | 0,0 |
| 4-8 mm | 0,0 | 0,0 | 0,0 | 0,0 | 0,0 | 0,0 | 0,0 | 0,0 | 0,0 |
| 8-20 mm | 0,0 | 0,0 | 0,0 | 0,0 | 0,0 | 0,0 | 0,0 | 0,0 | 0,0 |
| >20 mm | 0,0 | 0,0 | 0,0 | 0,0 | 0,0 | 0,0 | 0,0 | 0,0 | 0,0 |
| **Totaal** | **<0,4** | **0,0** | **0,4** | **<0,4** | **0,0** | **0,4** | **0,0** | **0,0** | **0,0** |

Aangetroffen type asbest : Geen
Bijzonderheden waargenomen : Geen

Serpentijn asbest is chrysotiel.
Amfibool asbest is amosiet, crocidoliet, actinoliet, anthophylliet en tremoliet.

De bepalingsgrens is bepaald voor de zeeffracties kleiner dan 4 mm. De totale bepalingsgrens is verkregen door de bepalingsgrenzen van de afzonderlijke zeeffracties te sommeren.
Het materiaal is middels polarisatiemicroscopie onderzocht, de analyse is uitgevoerd conform NEN 5896.

| gebondenheid | serpentijn asbest | amfibool asbest | totaal afgerond |
|---|---|---|---|
| hecht | 0,0 | 0,0 | 0,0 |
| niet hecht | 0,0 | 0,0 | 0,0 |
| totaal afgerond | 0,0 | 0,0 | |

Gewogen concentratie (serpentijnasbestconcentratie vermeerderd met 10 maal de amfiboolasbestconcentratie) is: **<0,4 mg/kg ds**

De gewogen asbestconcentratie wordt berekend uit de niet-afgeronde gehalten aan serpentijn en amfibool asbest. De weergegeven resultaten zijn afgerond.

Verklaring kwalitatief onderzoek zeeffractie <0,5 mm:
- : geen asbest waargenomen

Dit analyse-certificaat, inclusief voorblad en eventuele bijlage(n), mag niet anders dan in zijn geheel worden gereproduceerd.
- De met een 'Q' gemerkte analyses zijn door RvA geaccrediteerd (registratienummer L086).
- De met een 'S' gemerkte analyses zijn door RvA geaccrediteerd (L086) en op basis van het schema AS 3000 erkend.

**A N A L Y S E C E R T I F I C A A T**

| | | |
|---|---|---|
| **Project code** | : | **1025076** |
| **Uw Project omschrijving** | : | **2020055823-3192.01** |
| **Opdrachtgever** | : | **Eurofins Analytico B.V.** |

| | | |
|---|---|---|
| **Monstercode** | : | **6300432** |
| **Uw referentie** | : | **ASB MM03 MM03 (15-50)** |
| **Opgegeven bemonsteringsdatum** | : | **09/04/2020** |

# Asbestonderzoek

Initialen analist : A.M.
Datum geanalyseerd : 16-04-2020

Analyse is uitgevoerd conform NEN 5898 (**S**).

Massa aangeleverde monster : 13940 g
Droge massa aangeleverde monster : 12797 g
Percentage droogrest : **91,8 m/m %**
Type zeving : nat

| zeeffractie (mm) | massa zeeffractie (gram) | percentage zeeffractie (m/m %) | massa onderzocht (gram) | percentage onderzocht (m/m %) | aantal asbest (deeltjes) | massa asbest-houdend materiaal (mg) |
|---|---|---|---|---|---|---|
| <0,5 mm | 11590,9 | 92,3 | 13,4 | 0,12 | n.v.t. | n.v.t. |
| 0,5-1 mm | 105,0 | 0,8 | 28,2 | 26,86 | 0 | 0,0 |
| 1-2 mm | 71,2 | 0,6 | 18,5 | 25,98 | 0 | 0,0 |
| 2-4 mm | 87,4 | 0,7 | 87,4 | 100,00 | 0 | 0,0 |
| 4-8 mm | 285,6 | 2,3 | 285,6 | 100,00 | 0 | 0,0 |
| 8-20 mm | 418,1 | 3,3 | 418,1 | 100,00 | 0 | 0,0 |
| >20 mm | 0,0 | 0,0 | 0,0 | 100,00 | 0 | 0,0 |
| **Totaal** | **12558,2** | **100,0** | **851,2** | | **0** | **0,0** |

| | asbest totaal | | | serpentijn asbest | | | amfibool asbest | | |
|---|---|---|---|---|---|---|---|---|---|
| zeeffractie (mm) | gehalte asbest (mg/kg ds) | ondergrens (mg/kg ds) | bovengrens (mg/kg ds) | gehalte asbest (mg/kg ds) | ondergrens (mg/kg ds) | bovengrens (mg/kg ds) | gehalte asbest (mg/kg ds) | ondergrens (mg/kg ds) | bovengrens (mg/kg ds) |
| <0,5 mm | - | | | | | | | | |
| 0,5-1 mm | 0,0 | 0,0 | 0,1 | 0,0 | 0,0 | 0,1 | 0,0 | 0,0 | 0,0 |
| 1-2 mm | 0,0 | 0,0 | 0,4 | 0,0 | 0,0 | 0,4 | 0,0 | 0,0 | 0,0 |
| 2-4 mm | 0,0 | 0,0 | 0,0 | 0,0 | 0,0 | 0,0 | 0,0 | 0,0 | 0,0 |
| 4-8 mm | 0,0 | 0,0 | 0,0 | 0,0 | 0,0 | 0,0 | 0,0 | 0,0 | 0,0 |
| 8-20 mm | 0,0 | 0,0 | 0,0 | 0,0 | 0,0 | 0,0 | 0,0 | 0,0 | 0,0 |
| >20 mm | 0,0 | 0,0 | 0,0 | 0,0 | 0,0 | 0,0 | 0,0 | 0,0 | 0,0 |
| **Totaal** | **<0,6** | **0,0** | **0,5** | **<0,6** | **0,0** | **0,5** | **0,0** | **0,0** | **0,0** |

Aangetroffen type asbest : Geen
Bijzonderheden waargenomen : Geen

Serpentijn asbest is chrysotiel.
Amfibool asbest is amosiet, crocidoliet, actinoliet, anthophylliet en tremoliet.

De bepalingsgrens is bepaald voor de zeeffracties kleiner dan 4 mm. De totale bepalingsgrens is verkregen door de bepalingsgrenzen van de afzonderlijke zeeffracties te sommeren.
Het materiaal is middels polarisatiemicroscopie onderzocht, de analyse is uitgevoerd conform NEN 5896.

| gebondenheid | serpentijn asbest | amfibool asbest | totaal afgerond |
|---|---|---|---|
| hecht | 0,0 | 0,0 | 0,0 |
| niet hecht | 0,0 | 0,0 | 0,0 |
| totaal afgerond | 0,0 | 0,0 | |

Gewogen concentratie (serpentijnasbestconcentratie vermeerderd met 10 maal de amfiboolasbestconcentratie) is: **<0,6 mg/kg ds**

De gewogen asbestconcentratie wordt berekend uit de niet-afgeronde gehalten aan serpentijn en amfibool asbest. De weergegeven resultaten zijn afgerond.

Verklaring kwalitatief onderzoek zeeffractie <0,5 mm:
- : geen asbest waargenomen

Dit analyse-certificaat, inclusief voorblad en eventuele bijlage(n), mag niet anders dan in zijn geheel worden gereproduceerd.
- De met een 'Q' gemerkte analyses zijn door RvA geaccrediteerd (registratienummer L086).
- De met een 'S' gemerkte analyses zijn door RvA geaccrediteerd (L086) en op basis van het schema AS 3000 erkend.

**A N A L Y S E C E R T I F I C A A T**

| | | |
|---|---|---|
| **Project code** | : | **1025076** |
| **Uw Project omschrijving** | : | **2020055823-3192.01** |
| **Opdrachtgever** | : | **Eurofins Analytico B.V.** |

# Opmerkingen m.b.t. analyses

**Opmerking(en) algemeen**

De volgende informatie is indien van toepassing verstrekt door de opdrachtgever:
Project omschrijving, Monsterreferentie(s), Opgegeven bemonsteringsdatum, Matrix, Monsterdiepte, Potnr (Barcode), Veldgegevens, Veldwaarnemingen en Bemonsteringsdata. De opgegeven bemonsteringsdatum kan van invloed zijn op de geldigheid van de resultaten.

**Asbest**
Individuele monsters van dit project zijn als asbest verdacht gekwalificeerd. De analysedeelmonsters zijn met beschermende maatregelen in het laboratorium in behandeling genomen.

| | |
|---|---|
| Opmerking bij project: | - Eurofins Omegam heeft het asbestonderzoek in dit/deze monster(s) uitgevoerd volgens de NEN 5898, en zoals beschreven in een aparte bijlage als onderdeel van dit analysecertificaat. Voor de analyseresultaten van het asbestonderzoek geldt dat Eurofins Omegam de analyse heeft uitgevoerd in de monsters die de opdrachtgever, zoals deze staan vermeld in de koptekst van dit analysecertificaat, zelf heeft genomen of laten nemen en aan Eurofins Omegam heeft aangeboden. Eurofins Omegam draagt geen verantwoordelijkheid inzake de herkomst en representativiteit alsmede de veiligheid tijdens de monsterneming. |

Dit analyse-certificaat, inclusief voorblad en eventuele bijlage(n), mag niet anders dan in zijn geheel worden gereproduceerd.

**A N A L Y S E C E R T I F I C A A T**

| | | |
|---|---|---|
| **Project code** | : | **1025076** |
| **Uw Project omschrijving** | : | **2020055823-3192.01** |
| **Opdrachtgever** | : | **Eurofins Analytico B.V.** |

# Barcodeschema's

| *Monstercode* | *Uw referentie* | *uw monsterref.* | *uw diepte* | *uw barcode* |
|---|---|---|---|---|
| 6300430 | ASB MM01 MM01 (8-50) | MM01 | .08-.5 | 1573177MG |
| 6300431 | ASB MM02 MM02 (15-50) | MM02 | .15-.5 | 1573178MG |
| 6300432 | ASB MM03 MM03 (15-50) | MM03 | .15-.5 | 1573179MG |

Dit analyse-certificaat, inclusief voorblad en eventuele bijlage(n), mag niet anders dan in zijn geheel worden gereproduceerd.

**A N A L Y S E C E R T I F I C A A T**

| | | |
|---|---|---|
| **Project code** | : | **1025076** |
| **Uw Project omschrijving** | : | **2020055823-3192.01** |
| **Opdrachtgever** | : | **Eurofins Analytico B.V.** |

# Analysemethoden in Grond (AS3000)

AS3000
In dit analysecertificaat zijn de met 'S' gemerkte analyses uitgevoerd volgens de analysemethoden beschreven in het "Accreditatieschema Laboratoriumanalyses voor grond-, waterbodem- en grondwateronderzoek (AS SIKB 3000)". Het laboratoriumonderzoek is uitgevoerd volgens de onderstaande analysemethoden. Deze analyses zijn vastgelegd in het geldende accreditatie-certificaat met bijbehorende verrichtingenlijst L086 van Eurofins Omegam BV.

| | | |
|---|---|---|
| Asbestonderzoek | : | Conform AS3070 prestatieblad 1 en NEN 5898 |

Dit analyse-certificaat, inclusief voorblad en eventuele bijlage(n), mag niet anders dan in zijn geheel worden gereproduceerd.

Buro Ontwerp & Omgeving
T.a.v. Marieke Teusink
Velperweg 157
6824 MB ARNHEM
NETHERLANDS

## Analysecertificaat

Datum: 28-Apr-2020

Hierbij ontvangt u de resultaten van het navolgende laboratoriumonderzoek.

| | |
|---|---|
| Certificaatnummer/Versie | 2020060014/1 |
| Uw project/verslagnummer | 3192.01 |
| Uw projectnaam | Vredenseweg 4-6 Winterswijk |
| Uw ordernummer | |
| Monster(s) ontvangen | 09-Apr-2020 |

Dit certificaat mag uitsluitend in zijn geheel worden gereproduceerd.
De analyse resultaten hebben alleen betrekking op het beproefde object.

De grondmonsters worden tot 4 weken na datum ontvangst bewaard en watermonsters tot 2 weken na datum ontvangst. Zonder tegenbericht worden de monsters nadien afgevoerd.
Indien de monsters langer bewaard dienen te blijven verzoeken wij U dit exemplaar uiterlijk 1 werkdag voor afloop van de standaardbewaarperiode ondertekend aan ons te retourneren. Voor de kosten van het langer bewaren van monsters verwijzen wij naar de prijslijst.

Bewaren tot:
Datum: Naam: Handtekening:

Wij vertrouwen erop uw opdracht hiermee naar verwachting te hebben uitgevoerd, mocht U naar aanleiding van dit analysecertificaat nog vragen hebben verzoeken wij U contact op te nemen met de afdeling Verkoop en Advies.

Met vriendelijke groet,

Eurofins Analytico B.V.

Ing. A. Veldhuizen
Technical Manager

**Eurofins Analytico B.V.**

Gildeweg 42-46
3771 NB Barneveld
P.O. Box 459
3770 AL Barneveld NL

Tel. +31 (0)34 242 63 00
Fax +31 (0)34 242 63 99
E-mail info-env@eurofins.nl
Site www.eurofins.nl

BNP Paribas S.A. 227 9245 25
IBAN: NL71BNPA0227924525
BIC: BNPANL2A
KvK/CoC No. 09088623
BTW/VAT No. NL 8043.14.883.B01

Eurofins Analytico B.V. is ISO 14001: 2015 gecertificeerd door TÜV en erkend door het Vlaamse Gewest (OVAM en Dep. Omgeving), het Brusselse Gewest (BIM), het Waalse Gewest (DGRNE-OWD) en door de overheid van Luxemburg (MEV).

eurofins — analytico®

## Analysecertificaat

| | | | |
|---|---|---|---|
| Uw project/verslagnummer | 3192.01 | Certificaatnummer/Versie | 2020060014/1 |
| Uw projectnaam | Vredenseweg 4-6 Winterswijk | Startdatum | 20-Apr-2020 |
| Uw ordernummer | | Rapportagedatum | 24-Apr-2020/15:39 |
| | | Bijlage | A,B,C |
| Monsternemer | Max Scholten | Pagina | 1/2 |
| Monstermatrix | Grond (AS3000) | | |

| | Analyse | Eenheid | 1 | 2 | 3 |
|---|---|---|---|---|---|
| | **Bodemkundige analyses** | | | | |
| S | Droge stof | % (m/m) | 90.1 | 90.4 | 85.8 |
| S | Organische stof | % (m/m) ds | <0.7 1) | 1.2 1) | 0.7 1) |
| | Gloeirest | % (m/m) ds | 99 | 98 | 99 |
| | **PerFluorKoolwaterstoffen(PFC)** | | | | |
| | perfluorbutaanzuur (PFBA) | µg/kg ds | <0.1 | <0.1 | <0.1 |
| | perfluorpentaanzuur (PFPeA) | µg/kg ds | <0.1 | <0.1 | <0.1 |
| | perfluorhexaanzuur (PFHxA) | µg/kg ds | <0.1 | <0.1 | <0.1 |
| | perfluorheptaanzuur (PFHpA) | µg/kg ds | <0.1 | <0.1 | <0.1 |
| | perfluoroctaanzuur (PFOA) lineair | µg/kg ds | <0.1 | <0.1 | <0.1 |
| | perfluoroctaanzuur (PFOA) vertakt | µg/kg ds | <0.1 | <0.1 | <0.1 |
| | perfluornonaanzuur (PFNA) | µg/kg ds | <0.1 | <0.1 | <0.1 |
| | perfluordecaanzuur (PFDA) | µg/kg ds | 0.1 | <0.1 | <0.1 |
| | perfluorundecaanzuur (PFUnDA) | µg/kg ds | <0.1 | <0.1 | <0.1 |
| | perfluordodecaanzuur (PFDoA) | µg/kg ds | <0.1 | <0.1 | <0.1 |
| | perfluortridecaanzuur (PFTrDA) | µg/kg ds | <0.1 | <0.1 | <0.1 |
| | perfluortetradecaanzuur (PFTeDA) | µg/kg ds | <0.1 | <0.1 | <0.1 |
| | perfluorhexadecaanzuur (PFHxDA) | µg/kg ds | <0.1 | <0.1 | <0.1 |
| | perfluoroctadecaanzuur (PFODA) | µg/kg ds | <0.1 | <0.1 | <0.1 |
| | perfluorbutaansulfonzuur (PFBS) | µg/kg ds | <0.1 | <0.1 | <0.1 |
| | perfluorpentaansulfonzuur (PFPeS) | µg/kg ds | <0.1 | <0.1 | <0.1 |
| | perfluorhexaansulfonzuur (PFHxS) | µg/kg ds | <0.1 | <0.1 | <0.1 |
| | perfluorheptaansulfonzuur (PFHpS) | µg/kg ds | <0.1 | <0.1 | <0.1 |
| | perfluoroctaansulfonzuur (PFOS) lineair | µg/kg ds | 0.5 | <0.1 | <0.1 |
| | perfluoroctaansulfonzuur (PFOS) vertakt | µg/kg ds | <0.1 | <0.1 | <0.1 |
| | perfluordecaansulfonzuur (PFDS) | µg/kg ds | <0.1 | <0.1 | <0.1 |
| | 4:2 fluortelomeer sulfonzuur (4:2 FTS) | µg/kg ds | <0.1 | <0.1 | <0.1 |
| | 6:2 fluortelomeer sulfonzuur (6:2 FTS) | µg/kg ds | <0.1 | <0.1 | <0.1 |
| | 8:2 fluortelomeer sulfonzuur (8:2 FTS) | µg/kg ds | <0.1 | <0.1 | <0.1 |
| | 10:2 fluortelomeer sulfonzuur (10:2 FTS) | µg/kg ds | <0.1 | <0.1 | <0.1 |

| Nr. | Monsteromschrijving | Datum monstername | Monster nr. |
|---|---|---|---|
| 1 | PFAS MM01 01 (8-50) 02 (8-50) 03 (8-50) 04 (8-50) | 09-Apr-2020 | 11318565 |
| 2 | PFAS MM02 05 (20-50) 06 (12-50) 07 (15-50) 08 (20-50) 09 (20-50) 10 (20-60) 11 (1! | 09-Apr-2020 | 11318566 |
| 3 | PFAS MM03 02 (50-80) 02 (80-100) 03 (50-100) 06 (50-100) 08 (50-70) 10 (60-80) 10 (80 | 09-Apr-2020 | 11318567 |

Q: door RvA geaccrediteerde verrichting
A: AP04 erkende verrichting
S: AS SIKB erkende verrichting
V: VLAREL erkende verrichting

Dit certificaat mag uitsluitend in zijn geheel worden gereproduceerd.
Eurofins Analytico B.V. is ISO 14001: 2015 gecertificeerd door TÜV en erkend door het Vlaamse Gewest (OVAM en Dep. Omgeving), het Brusselse Gewest (BIM), het Waalse Gewest (DGRNE-OWD) en door de overheid van Luxemburg (MEV).

TESTEN
RvA L010

**Eurofins Analytico B.V.**

Gildeweg 42-46
3771 NB Barneveld
P.O. Box 459
3770 AL Barneveld NL

Tel. +31 (0)34 242 63 00
Fax +31 (0)34 242 63 99
E-mail info-env@eurofins.nl
Site www.eurofins.nl

BNP Paribas S.A. 227 9245 25
IBAN: NL71BNPA0227924525
BIC: BNPANL2A
KvK/CoC No. 09088623
BTW/VAT No. NL 8043.14.883.B01

## Analysecertificaat

| | | | |
|---|---|---|---|
| Uw project/verslagnummer | 3192.01 | Certificaatnummer/Versie | 2020060014/1 |
| Uw projectnaam | Vredenseweg 4-6 Winterswijk | Startdatum | 20-Apr-2020 |
| Uw ordernummer | | Rapportagedatum | 24-Apr-2020/15:39 |
| | | Bijlage | A,B,C |
| Monsternemer | Max Scholten | Pagina | 2/2 |
| Monstermatrix | Grond (AS3000) | | |

| Analyse | Eenheid | 1 | 2 | 3 |
|---|---|---|---|---|
| N-methylperfluoroctaansulfonamideacetaat(MeFOSAA) | µg/kg ds | <0.1 | <0.1 | <0.1 |
| N-ethylperfluoroctaansulfonamideacetaat (EtFOSAA) | µg/kg ds | <0.1 | <0.1 | <0.1 |
| perfluoroctaansulfonamide (PFOSA) | µg/kg ds | <0.1 | <0.1 | <0.1 |
| N-methylperfluoroctaansulfonamide (MeFOSA) | µg/kg ds | <0.1 | <0.1 | <0.1 |
| 8:2 fluortelomeerfosfaatdiester (8:2 diPAP) | µg/kg ds | <0.1 | <0.1 | <0.1 |
| som PFOA (*0,7) | µg/kg ds | 0.1 2) | 0.1 2) | 0.1 2) |
| som PFOS (*0,7) | µg/kg ds | 0.5 | 0.1 2) | 0.1 2) |

| Nr. | Monsteromschrijving | Datum monstername | Monster nr. |
|---|---|---|---|
| 1 | PFAS MM01 01 (8-50) 02 (8-50) 03 (8-50) 04 (8-50) | 09-Apr-2020 | 11318565 |
| 2 | PFAS MM02 05 (20-50) 06 (12-50) 07 (15-50) 08 (20-50) 09 (20-50) 10 (20-60) 11 (1! | 09-Apr-2020 | 11318566 |
| 3 | PFAS MM03 02 (50-80) 02 (80-100) 03 (50-100) 06 (50-100) 08 (50-70) 10 (60-80) 10 (80 | 09-Apr-2020 | 11318567 |

Q: door RvA geaccrediteerde verrichting
A: AP04 erkende verrichting
S: AS SIKB erkende verrichting
V: VLAREL erkende verrichting

Akkoord
Pr.coörd.

Eurofins Analytico B.V.

Gildeweg 42-46
3771 NB Barneveld
P.O. Box 459
3770 AL Barneveld NL

Tel. +31 (0)34 242 63 00
Fax +31 (0)34 242 63 99
E-mail info-env@eurofins.nl
Site www.eurofins.nl

BNP Paribas S.A. 227 9245 25
IBAN: NL71BNPA0227924525
BIC: BNPANL2A
KvK/CoC No. 09088623
BTW/VAT No. NL 8043.14.883.B01

Dit certificaat mag uitsluitend in zijn geheel worden gereproduceerd.
Eurofins Analytico B.V. is ISO 14001: 2015 gecertificeerd door TÜV en erkend door het Vlaamse Gewest (OVAM en Dep. Omgeving), het Brusselse Gewest (BIM), het Waalse Gewest (DGRNE-OWD) en door de overheid van Luxemburg (MEV).

NV
TESTEN
RvA L010

**Bijlage (A) met deelmonsterinformatie behorende bij analysecertificaat 2020060014/1**



| Monster nr. | Boornr | Omschrijving | Van | Tot | Barcode | Monstername ID/Monsteromsch. |
|---|---|---|---|---|---|---|
| 11318565 | 04 | 1 | 8 | 50 | 0538040512 | PFAS MM01 01 (8-50) 02 (8-50) |
| 11318565 | 02 | 1 | 8 | 50 | 0538040521 | PFAS MM01 01 (8-50) 02 (8-50) |
| 11318565 | 03 | 1 | 8 | 50 | 0538040524 | PFAS MM01 01 (8-50) 02 (8-50) |
| 11318565 | 01 | 1 | 8 | 50 | 0538040523 | PFAS MM01 01 (8-50) 02 (8-50) |
| 11318566 | 14 | 1 | 20 | 50 | 0538040497 | PFAS MM02 05 (20-50) 06 (12-5( |
| 11318566 | 10 | 1 | 20 | 60 | 0538041283 | PFAS MM02 05 (20-50) 06 (12-5( |
| 11318566 | 12 | 1 | 20 | 50 | 0538040498 | PFAS MM02 05 (20-50) 06 (12-5( |
| 11318566 | 11 | 1 | 15 | 60 | 0538040211 | PFAS MM02 05 (20-50) 06 (12-5( |
| 11318566 | 13 | 1 | 20 | 50 | 0538040207 | PFAS MM02 05 (20-50) 06 (12-5( |
| 11318566 | 06 | 1 | 12 | 50 | 0538040410 | PFAS MM02 05 (20-50) 06 (12-5( |
| 11318566 | 05 | 1 | 20 | 50 | 0538040405 | PFAS MM02 05 (20-50) 06 (12-5( |
| 11318566 | 08 | 1 | 20 | 50 | 0538040517 | PFAS MM02 05 (20-50) 06 (12-5( |
| 11318566 | 07 | 1 | 15 | 50 | 0538040409 | PFAS MM02 05 (20-50) 06 (12-5( |
| 11318566 | 09 | 1 | 20 | 50 | 0538040501 | PFAS MM02 05 (20-50) 06 (12-5( |
| 11318567 | 02 | 2 | 50 | 80 | 0538040514 | PFAS MM03 02 (50-80) 02 (80-1( |
| 11318567 | 02 | 3 | 80 | 100 | 0538041681 | PFAS MM03 02 (50-80) 02 (80-1( |
| 11318567 | 03 | 2 | 50 | 100 | 0538040509 | PFAS MM03 02 (50-80) 02 (80-1( |
| 11318567 | 06 | 2 | 50 | 100 | 0538040522 | PFAS MM03 02 (50-80) 02 (80-1( |
| 11318567 | 08 | 2 | 50 | 70 | 0537976658 | PFAS MM03 02 (50-80) 02 (80-1( |
| 11318567 | 14 | 2 | 50 | 80 | 0538040502 | PFAS MM03 02 (50-80) 02 (80-1( |
| 11318567 | 14 | 3 | 80 | 110 | 0538040402 | PFAS MM03 02 (50-80) 02 (80-1( |
| 11318567 | 10 | 2 | 60 | 80 | 0538040510 | PFAS MM03 02 (50-80) 02 (80-1( |
| 11318567 | 10 | 3 | 80 | 120 | 0538040508 | PFAS MM03 02 (50-80) 02 (80-1( |
| 11318567 | 11 | 2 | 60 | 110 | 0538040202 | PFAS MM03 02 (50-80) 02 (80-1( |

**Eurofins Analytico B.V.**

Gildeweg 42-46
3771 NB Barneveld
P.O. Box 459
3770 AL Barneveld NL

Tel. +31 (0)34 242 63 00
Fax +31 (0)34 242 63 99
E-mail info-env@eurofins.nl
Site www.eurofins.nl

BNP Paribas S.A. 227 9245 25
IBAN: NL71BNPA0227924525
BIC: BNPANL2A
KvK/CoC No. 09088623
BTW/VAT No. NL 8043.14.883.B01

Eurofins Analytico B.V. is ISO 14001: 2015 gecertificeerd door TÜV en erkend door het Vlaamse Gewest (OVAM en Dep. Omgeving), het Brusselse Gewest (BIM), het Waalse Gewest (DGRNE-OWD) en door de overheid van Luxemburg (MEV).

**Bijlage (B) met opmerkingen behorende bij analysecertificaat 2020060014/1**



**Opmerking 1)**

Het organische stof gehalte is gecorrigeerd voor het lutumgehalte van 5.4 % m/m (SIKB 3010 pb 3).

**Opmerking 2)**

De toetswaarde van de som is gelijk aan de sommatie van 0,7*RG

**Eurofins Analytico B.V.**

Gildeweg 42-46
3771 NB Barneveld
P.O. Box 459
3770 AL Barneveld NL

Tel. +31 (0)34 242 63 00
Fax +31 (0)34 242 63 99
E-mail info-env@eurofins.nl
Site www.eurofins.nl

BNP Paribas S.A. 227 9245 25
IBAN: NL71BNPA0227924525
BIC: BNPANL2A
KvK/CoC No. 09088623
BTW/VAT No. NL 8043.14.883.B01

Eurofins Analytico B.V. is ISO 14001: 2015 gecertificeerd door TÜV en erkend door het Vlaamse Gewest (OVAM en Dep. Omgeving), het Brusselse Gewest (BIM), het Waalse Gewest (DGRNE-OWD) en door de overheid van Luxemburg (MEV).

**Bijlage (C) met methodeverwijzingen behorende bij analysecertificaat 2020060014/1**



| Analyse | Methode | Techniek | Methode referentie |
|---|---|---|---|
| **Bodemkundige analyses** | | | |
| Droge Stof | W0104 | Gravimetrie | pb 3010-2 en NEN-EN 15934 |
| Organische stof (gloeiverlies) | W0109 | Gravimetrie | pb 3010-3 en NEN 5754 |
| **PerFluorKoolwaterstoffen(PFC)** | | | |
| PFAS (28) Handelingskader | W0323 | LC-MSMS | Eigen methode |
| Som lineair en vertakt PFOS en PFOA (AS3000 en AP04) grond | W0323 | LC-MSMS | Eigen methode |

Nadere informatie over de toegepaste onderzoeksmethoden alsmede een classificatie van de meetonzekerheid staan vermeld in ons overzicht "Specificaties analysemethoden", versie juni 2019.

**Eurofins Analytico B.V.**

Gildeweg 42-46
3771 NB Barneveld
P.O. Box 459
3770 AL Barneveld NL

Tel. +31 (0)34 242 63 00
Fax +31 (0)34 242 63 99
E-mail info-env@eurofins.nl
Site www.eurofins.nl

BNP Paribas S.A. 227 9245 25
IBAN: NL71BNPA0227924525
BIC: BNPANL2A
KvK/CoC No. 09088623
BTW/VAT No. NL 8043.14.883.B01

Eurofins Analytico B.V. is ISO 14001: 2015 gecertificeerd door TÜV en erkend door het Vlaamse Gewest (OVAM en Dep. Omgeving), het Brusselse Gewest (BIM), het Waalse Gewest (DGRNE-OWD) en door de overheid van Luxemburg (MEV).

Buro Ontwerp & Omgeving
T.a.v. Marieke Teusink
Velperweg 157
6824 MB ARNHEM
NETHERLANDS

## Analysecertificaat

Datum: 29-Apr-2020

Hierbij ontvangt u de resultaten van het navolgende laboratoriumonderzoek.

| | |
|---|---|
| Certificaatnummer/Versie | 2020062045/1 |
| Uw project/verslagnummer | 3192.01 |
| Uw projectnaam | Vredenseweg 4-6 Winterswijk |
| Uw ordernummer | |
| Monster(s) ontvangen | 23-Apr-2020 |

Dit certificaat mag uitsluitend in zijn geheel worden gereproduceerd.
De analyse resultaten hebben alleen betrekking op het beproefde object.

De grondmonsters worden tot 4 weken na datum ontvangst bewaard en watermonsters tot 2 weken na datum ontvangst. Zonder tegenbericht worden de monsters nadien afgevoerd.
Indien de monsters langer bewaard dienen te blijven verzoeken wij U dit exemplaar uiterlijk 1 werkdag voor afloop van de standaardbewaarperiode ondertekend aan ons te retourneren. Voor de kosten van het langer bewaren van monsters verwijzen wij naar de prijslijst.

Bewaren tot:
Datum: Naam: Handtekening:

Wij vertrouwen erop uw opdracht hiermee naar verwachting te hebben uitgevoerd, mocht U naar aanleiding van dit analysecertificaat nog vragen hebben verzoeken wij U contact op te nemen met de afdeling Verkoop en Advies.

Met vriendelijke groet,

Eurofins Analytico B.V.

Ing. A. Veldhuizen
Technical Manager

eurofins | — analytico®

## Analysecertificaat

| | | | |
|---|---|---|---|
| Uw project/verslagnummer | 3192.01 | Certificaatnummer/Versie | 2020062045/1 |
| Uw projectnaam | Vredenseweg 4-6 Winterswijk | Startdatum | 23-Apr-2020 |
| Uw ordernummer | | Rapportagedatum | 29-Apr-2020/11:57 |
| | | Bijlage | A,B,C |
| Monsternemer | Max Scholten | Pagina | 1/2 |
| Monstermatrix | Water (AS3000) | | |

| | Analyse | Eenheid | 1 | 2 |
|---|---|---|---|---|
| | **Metalen** | | | |
| S | Barium (Ba) | µg/L | 88 | 20 |
| S | Cadmium (Cd) | µg/L | <0.20 | <0.20 |
| S | Kobalt (Co) | µg/L | <2.0 | <2.0 |
| S | Koper (Cu) | µg/L | 3.2 | 2.8 |
| S | Kwik (Hg) | µg/L | <0.050 | <0.050 |
| S | Molybdeen (Mo) | µg/L | 3.6 | <2.0 |
| S | Nikkel (Ni) | µg/L | <3.0 | <3.0 |
| S | Lood (Pb) | µg/L | <2.0 | <2.0 |
| S | Zink (Zn) | µg/L | 12 | <10 |
| | **Vluchtige Aromatische Koolwaterstoffen** | | | |
| S | Benzeen | µg/L | <0.20 | <0.20 |
| S | Tolueen | µg/L | <0.20 | <0.20 |
| S | Ethylbenzeen | µg/L | <0.20 | <0.20 |
| S | o-Xyleen | µg/L | <0.10 | <0.10 |
| S | m,p-Xyleen | µg/L | <0.20 | <0.20 |
| S | Xylenen (som) factor 0,7 | µg/L | 0.21 [1)] | 0.21 [1)] |
| | BTEX (som) | µg/L | <0.90 | <0.90 |
| S | Naftaleen | µg/L | <0.020 | <0.020 |
| S | Styreen | µg/L | <0.20 | <0.20 |
| | **Vluchtige organische halogeenkoolwaterstoffen** | | | |
| S | Dichloormethaan | µg/L | <0.20 | <0.20 |
| S | Trichloormethaan | µg/L | <0.20 | <0.20 |
| S | Tetrachloormethaan | µg/L | <0.10 | <0.10 |
| S | Trichlooretheen | µg/L | <0.20 | <0.20 |
| S | Tetrachlooretheen | µg/L | <0.10 | <0.10 |
| S | 1,1-Dichloorethaan | µg/L | <0.20 | <0.20 |
| S | 1,2-Dichloorethaan | µg/L | <0.20 | <0.20 |
| S | 1,1,1-Trichloorethaan | µg/L | <0.10 | <0.10 |
| S | 1,1,2-Trichloorethaan | µg/L | <0.10 | <0.10 |
| S | cis 1,2-Dichlooretheen | µg/L | <0.10 | <0.10 |

| Nr. | Monsteromschrijving | Datum monstername | Monster nr. |
|---|---|---|---|
| 1 | 13-1-1 13 (190-290) | 22-Apr-2020 | 11324822 |
| 2 | 15-1-1 15 (130-230) | 22-Apr-2020 | 11324823 |

Q: door RvA geaccrediteerde verrichting
A: AP04 erkende verrichting
S: AS SIKB erkende verrichting
V: VLAREL erkende verrichting

**Eurofins Analytico B.V.**

Gildeweg 42-46
3771 NB Barneveld
P.O. Box 459
3770 AL Barneveld NL

Tel. +31 (0)34 242 63 00
Fax +31 (0)34 242 63 99
E-mail info-env@eurofins.nl
Site www.eurofins.nl

BNP Paribas S.A. 227 9245 25
IBAN: NL71BNPA0227924525
BIC: BNPANL2A
KvK/CoC No. 09088623
BTW/VAT No. NL 8043.14.883.B01

Dit certificaat mag uitsluitend in zijn geheel worden gereproduceerd.
Eurofins Analytico B.V. is ISO 14001: 2015 gecertificeerd door TÜV en erkend door het Vlaamse Gewest (OVAM en Dep. Omgeving), het Brusselse Gewest (BIM), het Waalse Gewest (DGRNE-OWD) en door de overheid van Luxemburg (MEV).

TESTEN
RvA L010

## Analysecertificaat

| | | | |
|---|---|---|---|
| Uw project/verslagnummer | 3192.01 | Certificaatnummer/Versie | 2020062045/1 |
| Uw projectnaam | Vredenseweg 4-6 Winterswijk | Startdatum | 23-Apr-2020 |
| Uw ordernummer | | Rapportagedatum | 29-Apr-2020/11:57 |
| | | Bijlage | A,B,C |
| Monsternemer | Max Scholten | Pagina | 2/2 |
| Monstermatrix | Water (AS3000) | | |

| | Analyse | Eenheid | 1 | 2 |
|---|---|---|---|---|
| S | trans 1,2-Dichlooretheen | µg/l | <0.10 | <0.10 |
| | CKW (som) | µg/l | <1.6 | <1.6 |
| S | Tribroommethaan | µg/l | <0.20 | <0.20 |
| S | Vinylchloride | µg/l | <0.10 | <0.10 |
| S | 1,1-Dichlooretheen | µg/l | <0.10 | <0.10 |
| S | 1,2-Dichloorethenen (Som) factor 0,7 | µg/l | 0.14 [1)] | 0.14 [1)] |
| S | 1,1-Dichloorpropaan | µg/l | <0.20 | <0.20 |
| S | 1,2-Dichloorpropaan | µg/l | <0.20 | <0.20 |
| S | 1,3-Dichloorpropaan | µg/l | <0.20 | <0.20 |
| S | Dichloorpropanen som factor 0.7 | µg/l | 0.42 | 0.42 |
| | **Minerale olie** | | | |
| | Minerale olie (C10-C12) | µg/l | <10 | <10 |
| | Minerale olie (C12-C16) | µg/l | <10 | <10 |
| | Minerale olie (C16-C21) | µg/l | <10 | <10 |
| | Minerale olie (C21-C30) | µg/l | <15 | <15 |
| | Minerale olie (C30-C35) | µg/l | <10 | <10 |
| | Minerale olie (C35-C40) | µg/l | <10 | <10 |
| S | Minerale olie totaal (C10-C40) | µg/l | <50 | <50 |

| Nr. | Monsteromschrijving | Datum monstername | Monster nr. |
|---|---|---|---|
| 1 | 13-1-1 13 (190-290) | 22-Apr-2020 | 11324822 |
| 2 | 15-1-1 15 (130-230) | 22-Apr-2020 | 11324823 |

Q: door RvA geaccrediteerde verrichting
A: AP04 erkende verrichting
S: AS SIKB erkende verrichting
V: VLAREL erkende verrichting

Akkoord
Pr.coörd.
VA

Eurofins Analytico B.V.

Gildeweg 42-46
3771 NB Barneveld
P.O. Box 459
3770 AL Barneveld NL

Tel. +31 (0)34 242 63 00
Fax +31 (0)34 242 63 99
E-mail info-env@eurofins.nl
Site www.eurofins.nl

BNP Paribas S.A. 227 9245 25
IBAN: NL71BNPA0227924525
BIC: BNPANL2A
KvK/CoC No. 09088623
BTW/VAT No. NL 8043.14.883.B01

Dit certificaat mag uitsluitend in zijn geheel worden gereproduceerd.
Eurofins Analytico B.V. is ISO 14001: 2015 gecertificeerd door TÜV en erkend door het Vlaamse Gewest (OVAM en Dep. Omgeving), het Brusselse Gewest (BIM), het Waalse Gewest (DGRNE-OWD) en door de overheid van Luxemburg (MEV).

TESTEN
RvA L010

## Bijlage (A) met deelmonsterinformatie behorende bij analysecertificaat 2020062045/1



| Monster nr. | Boornr | Omschrijving | Van | Tot | Barcode | Monstername ID/Monsteromsch. |
|---|---|---|---|---|---|---|
| 11324822 | 13 | 1 | 190 | 290 | 0800881712 | 13-1-1 13 (190-290) |
| 11324822 | 13 | 2 | 190 | 290 | 0680455045 | 13-1-1 13 (190-290) |
| 11324822 | 13 | 3 | 190 | 290 | 0680455050 | 13-1-1 13 (190-290) |
| 11324823 | 15 | 1 | 130 | 230 | 0800881440 | 15-1-1 15 (130-230) |
| 11324823 | 15 | 2 | 130 | 230 | 0680455052 | 15-1-1 15 (130-230) |
| 11324823 | 15 | 3 | 130 | 230 | 0680455051 | 15-1-1 15 (130-230) |

**Eurofins Analytico B.V.**

Gildeweg 42-46
3771 NB Barneveld
P.O. Box 459
3770 AL Barneveld NL

Tel. +31 (0)34 242 63 00
Fax +31 (0)34 242 63 99
E-mail info-env@eurofins.nl
Site www.eurofins.nl

BNP Paribas S.A. 227 9245 25
IBAN: NL71BNPA0227924525
BIC: BNPANL2A
KvK/CoC No. 09088623
BTW/VAT No. NL 8043.14.883.B01

Eurofins Analytico B.V. is ISO 14001: 2015 gecertificeerd door TÜV en erkend door het Vlaamse Gewest (OVAM en Dep. Omgeving), het Brusselse Gewest (BIM), het Waalse Gewest (DGRNE-OWD) en door de overheid van Luxemburg (MEV).

**Bijlage (B) met opmerkingen behorende bij analysecertificaat 2020062045/1**



**Opmerking 1)**

De toetswaarde van de som is gelijk aan de sommatie van 0,7*RG

**Eurofins Analytico B.V.**

Gildeweg 42-46
3771 NB Barneveld
P.O. Box 459
3770 AL Barneveld NL

Tel. +31 (0)34 242 63 00
Fax +31 (0)34 242 63 99
E-mail info-env@eurofins.nl
Site www.eurofins.nl

BNP Paribas S.A. 227 9245 25
IBAN: NL71BNPA0227924525
BIC: BNPANL2A
KvK/CoC No. 09088623
BTW/VAT No. NL 8043.14.883.B01

Eurofins Analytico B.V. is ISO 14001: 2015 gecertificeerd door TÜV en erkend door het Vlaamse Gewest (OVAM en Dep. Omgeving), het Brusselse Gewest (BIM), het Waalse Gewest (DGRNE-OWD) en door de overheid van Luxemburg (MEV).

**Bijlage (C) met methodeverwijzingen behorende bij analysecertificaat 2020062045/1**



| Analyse | Methode | Techniek | Methode referentie |
|---|---|---|---|
| **Metalen** | | | |
| Barium (Ba) | W0421 | ICP-MS | pb 3110-3 en NEN-EN-ISO 17294-2 |
| Cadmium (Cd) | W0421 | ICP-MS | pb 3110-3 en NEN-EN-ISO 17294-2 |
| Kobalt (Co) | W0421 | ICP-MS | pb 3110-3 en NEN-EN-ISO 17294-2 |
| Koper (Cu) | W0421 | ICP-MS | pb 3110-3 en NEN-EN-ISO 17294-2 |
| Kwik (Hg) | W0421 | ICP-MS | pb 3110-3 en NEN-EN-ISO 17294-2 |
| Molybdeen (Mo) | W0421 | ICP-MS | pb 3110-3 en NEN-EN-ISO 17294-2 |
| Nikkel (Ni) | W0421 | ICP-MS | pb 3110-3 en NEN-EN-ISO 17294-2 |
| Lood (Pb) | W0421 | ICP-MS | pb 3110-3 en NEN-EN-ISO 17294-2 |
| Zink (Zn) | W0421 | ICP-MS | pb 3110-3 en NEN-EN-ISO 17294-2 |
| **Vluchtige Aromatische Koolwaterstoffen** | | | |
| Aromaten (BTEXN) | W0254 | HS-GC-MS | pb 3130-1 |
| Xylenen som AS3000 | W0254 | HS-GC-MS | pb 3130-1 |
| Styreen | W0254 | HS-GC-MS | pb 3130-1 |
| **Vluchtige organische halogeenkoolwaterstoffen** | | | |
| VOCl (11) | W0254 | HS-GC-MS | pb 3130-1 |
| Tribroommethaan (Bromoform) | W0254 | HS-GC-MS | pb 3130-1 |
| Vinylchloride | W0254 | HS-GC-MS | pb 3130-1 |
| 1,1-Dichlooretheen | W0254 | HS-GC-MS | pb 3130-1 |
| DiClEtheen som AS3000 | W0254 | HS-GC-MS | pb 3130-1 |
| 1,1-Dichloorpropaan | W0254 | HS-GC-MS | pb 3130-1 |
| 1,2-Dichloorpropaan | W0254 | HS-GC-MS | pb 3130-1 |
| 1,3-Dichloorpropaan | W0254 | HS-GC-MS | pb 3130-1 |
| DiChlprop. som AS3000 | W0254 | HS-GC-MS | pb 3130-1 |
| **Minerale olie** | | | |
| Minerale olie (C10-C40) | W0215 | GC-FID | pb 3110-5 |

Nadere informatie over de toegepaste onderzoeksmethoden alsmede een classificatie van de meetonzekerheid staan vermeld in ons overzicht "Specificaties analysemethoden", versie juni 2019.

**Eurofins Analytico B.V.**

Gildeweg 42-46
3771 NB Barneveld
P.O. Box 459
3770 AL Barneveld NL

Tel. +31 (0)34 242 63 00
Fax +31 (0)34 242 63 99
E-mail info-env@eurofins.nl
Site www.eurofins.nl

BNP Paribas S.A. 227 9245 25
IBAN: NL71BNPA0227924525
BIC: BNPANL2A
KvK/CoC No. 09088623
BTW/VAT No. NL 8043.14.883.B01

Eurofins Analytico B.V. is ISO 14001: 2015 gecertificeerd door TÜV en erkend door het Vlaamse Gewest (OVAM en Dep. Omgeving), het Brusselse Gewest (BIM), het Waalse Gewest (DGRNE-OWD) en door de overheid van Luxemburg (MEV).

# Bijlage 4

Toetsing van de analyseresultaten

# Bijlage 4.1

Toetsing analyseresultaten aan Wbb

**BoToVa T12 Toetsing Wbb grond**

| | |
|---|---|
| Projectnummer | 3192.01 |
| Projectnaam | Vredenseweg 4-6 Winterswijk |
| Ordernummer | |
| Datum monstername | 09-04-2020 |
| Monsternemer | Max Scholten |
| Certificaatnummer | 2020055822 |
| Startdatum | 10-04-2020 |
| Rapportagedatum | 20-04-2020 |

| Analyse | Eenheid | 1 | GSSD | Oordeel | RG | AW | T | I |
|---|---|---|---|---|---|---|---|---|
| **Bodemtype correctie** | | | | | | | | |
| Organische stof | | 0,7 | | | | | | |
| Korrelgrootte < 2 µm (Lutum) | | 25 | | | | | | |
| **Voorbehandeling** | | | | | | | | |
| Cryogeen malen AS3000 | | Uitgevoerd | | | | | | |
| **Bodemkundige analyses** | | | | | | | | |
| Droge stof | % (m/m) | 93,1 | 93,1 | | | | | |
| Organische stof | % (m/m) ds | <0,7 | 0,49 | | | | | |
| Gloeirest | % (m/m) ds | 99 | | | | | | |
| **Minerale olie** | | | | | | | | |
| Minerale olie (C10-C12) | mg/kg ds | <3,0 | 10,5 | | | | | |
| Minerale olie (C12-C16) | mg/kg ds | <5,0 | 17,5 | | | | | |
| Minerale olie (C16-C21) | mg/kg ds | <5,0 | 17,5 | | | | | |
| Minerale olie (C21-C30) | mg/kg ds | 12 | 60 | | | | | |
| Minerale olie (C30-C35) | mg/kg ds | <5,0 | 17,5 | | | | | |
| Minerale olie (C35-C40) | mg/kg ds | <6,0 | 21 | | | | | |
| Minerale olie totaal (C10-C40) | mg/kg ds | <35 | 122,5 | - | 35 | 190 | 2600 | 5000 |

Legenda

| Nr. | Analytico-nr | Monster |
|---|---|---|
| 1 | 11305380 | GRN M15.1 15 (6-50) |

Eindoordeel: Voldoet aan Achtergrondwaarde

Gebruikte afkortingen

| | |
|---|---|
| - | kleiner dan of gelijk aan Achtergrondwaarde |
| * | groter dan Achtergrondwaarde |
| ** | groter dan Tussenwaarde |
| *** | groter dan Interventiewaarde |

| | |
|---|---|
| GSSD | Gestandaardiseerd gehalte |
| RG | Vereiste Rapportagegrens |
| AW | Achtergrondwaarde |
| T | Tussenwaarde |
| I | Interventiewaarde |

Deze toetsing is uitgevoerd met behulp van BoToVa.

Zie voor info: http://www.rwsleefomgeving.nl/onderwerpen/bodem-ondergrond/bbk/instrumenten/botova/

N.B.: de vermelde tussenwaarde is door PAIS berekend en is niet afkomstig uit BoToVa

**BoToVa T12 Toetsing Wbb grond**

| | |
|---|---|
| Projectnummer | 3192.01 |
| Projectnaam | Vredenseweg 4-6 Winterswijk |
| Ordernummer | |
| Datum monstername | 09-04-2020 |
| Monsternemer | Max Scholten |
| Certificaatnummer | 2020055822 |
| Startdatum | 10-04-2020 |
| Rapportagedatum | 20-04-2020 |

| Analyse | Eenheid | 2 | GSSD | Oordeel | RG | AW | T | I |
|---|---|---|---|---|---|---|---|---|
| **Bodemtype correctie** | | | | | | | | |
| Organische stof | | 0,7 | | | | | | |
| Korrelgrootte < 2 µm (Lutum) | | 2 | | | | | | |
| **Voorbehandeling** | | | | | | | | |
| Cryogeen malen AS3000 | | Uitgevoerd | | | | | | |
| **Bodemkundige analyses** | | | | | | | | |
| Droge stof | % (m/m) | 89,7 | 89,7 | | | | | |
| Organische stof | % (m/m) ds | <0,7 | 0,49 | | | | | |
| Gloeirest | % (m/m) ds | 99 | | | | | | |
| Korrelgrootte < 2 µm (Lutum) | % (m/m) ds | <2,0 | 1,4 | | | | | |
| **Minerale olie** | | | | | | | | |
| Minerale olie (C10-C12) | mg/kg ds | <3,0 | 10,5 | | | | | |
| Minerale olie (C12-C16) | mg/kg ds | <5,0 | 17,5 | | | | | |
| Minerale olie (C16-C21) | mg/kg ds | <5,0 | 17,5 | | | | | |
| Minerale olie (C21-C30) | mg/kg ds | <11 | 38,5 | | | | | |
| Minerale olie (C30-C35) | mg/kg ds | <5,0 | 17,5 | | | | | |
| Minerale olie (C35-C40) | mg/kg ds | <6,0 | 21 | | | | | |
| Minerale olie totaal (C10-C40) | mg/kg ds | <35 | 122,5 | - | 35 | 190 | 2600 | 5000 |
| **Metalen** | | | | | | | | |
| Barium (Ba) | mg/kg ds | <20 | 54,25 | | 20 | 190 | 555 | 920 |
| Cadmium (Cd) | mg/kg ds | <0,20 | 0,241 | - | 0,2 | 0,6 | 6,8 | 13 |
| Kobalt (Co) | mg/kg ds | 3 | 10,55 | - | 3 | 15 | 103 | 190 |
| Koper (Cu) | mg/kg ds | <5,0 | 7,241 | - | 5 | 40 | 115 | 190 |
| Kwik (Hg) | mg/kg ds | <0,050 | 0,0502 | - | 0,05 | 0,15 | 18,1 | 36 |
| Molybdeen (Mo) | mg/kg ds | <1,5 | 1,05 | - | 1,5 | 1,5 | 95,8 | 190 |
| Nikkel (Ni) | mg/kg ds | 7 | 20,42 | - | 4 | 35 | 67,5 | 100 |
| Lood (Pb) | mg/kg ds | <10 | 11,02 | - | 10 | 50 | 290 | 530 |
| Zink (Zn) | mg/kg ds | <20 | 33,22 | - | 20 | 140 | 430 | 720 |
| **Polychloorbifenylen, PCB** | | | | | | | | |
| PCB 28 | mg/kg ds | <0,0010 | 0,0035 | | | | | |
| PCB 52 | mg/kg ds | <0,0010 | 0,0035 | | | | | |
| PCB 101 | mg/kg ds | <0,0010 | 0,0035 | | | | | |
| PCB 118 | mg/kg ds | <0,0010 | 0,0035 | | | | | |
| PCB 138 | mg/kg ds | <0,0010 | 0,0035 | | | | | |
| PCB 153 | mg/kg ds | <0,0010 | 0,0035 | | | | | |
| PCB 180 | mg/kg ds | <0,0010 | 0,0035 | | | | | |
| PCB (som 7) (factor 0,7) | mg/kg ds | 0,0049 | 0,0245 | - | 0,007 | 0,02 | 0,51 | 1 |
| **Polycyclische Aromatische Koolwaterstoffen, PA** | | | | | | | | |
| Naftaleen | mg/kg ds | <0,050 | 0,035 | | | | | |
| Fenanthreen | mg/kg ds | <0,050 | 0,035 | | | | | |
| Anthraceen | mg/kg ds | <0,050 | 0,035 | | | | | |
| Fluorantheen | mg/kg ds | 0,067 | 0,067 | | | | | |
| Benzo(a)anthraceen | mg/kg ds | <0,050 | 0,035 | | | | | |
| Chryseen | mg/kg ds | <0,050 | 0,035 | | | | | |
| Benzo(k)fluorantheen | mg/kg ds | <0,050 | 0,035 | | | | | |
| Benzo(a)pyreen | mg/kg ds | <0,050 | 0,035 | | | | | |
| Benzo(ghi)peryleen | mg/kg ds | <0,050 | 0,035 | | | | | |
| Indeno(123-cd)pyreen | mg/kg ds | <0,050 | 0,035 | | | | | |
| PAK VROM (10) (factor 0,7) | mg/kg ds | 0,38 | 0,382 | - | 0,35 | 1,5 | 20,8 | 40 |

Legenda

| Nr. | Analytico-nr | Monster |
|---|---|---|
| 2 | 11305381 | GRN MM01 01 (8-50) 02 (8-50) 04 (8-50) |

Eindoordeel: Voldoet aan Achtergrondwaarde

Gebruikte afkortingen

| | |
|---|---|
| - | kleiner dan of gelijk aan Achtergrondwaarde |
| * | groter dan Achtergrondwaarde |
| ** | groter dan Tussenwaarde |
| *** | groter dan Interventiewaarde |

| | |
|---|---|
| GSSD | Gestandaardiseerd gehalte |
| RG | Vereiste Rapportagegrens |
| AW | Achtergrondwaarde |
| T | Tussenwaarde |
| I | Interventiewaarde |

Deze toetsing is uitgevoerd met behulp van BoToVa.

Zie voor info: http://www.rwsleefomgeving.nl/onderwerpen/bodem-ondergrond/bbk/instrumenten/botova/

N.B.: de vermelde tussenwaarde is door PAIS berekend en is niet afkomstig uit BoToVa

**BoToVa T12 Toetsing Wbb grond**

| | |
|---|---|
| Projectnummer | 3192.01 |
| Projectnaam | Vredenseweg 4-6 Winterswijk |
| Ordernummer | |
| Datum monstername | 09-04-2020 |
| Monsternemer | Max Scholten |
| Certificaatnummer | 2020055822 |
| Startdatum | 10-04-2020 |
| Rapportagedatum | 20-04-2020 |

| Analyse | Eenheid | 3 | GSSD | Oordeel | RG | AW | T | I |
|---|---|---|---|---|---|---|---|---|
| **Bodemtype correctie** | | | | | | | | |
| Organische stof | | 0,7 | | | | | | |
| Korrelgrootte < 2 µm (Lutum) | | 5,7 | | | | | | |
| **Voorbehandeling** | | | | | | | | |
| Cryogeen malen AS3000 | | Uitgevoerd | | | | | | |
| **Bodemkundige analyses** | | | | | | | | |
| Droge stof | % (m/m) | 92,2 | 92,2 | | | | | |
| Organische stof | % (m/m) ds | <0,7 | 0,49 | | | | | |
| Gloeirest | % (m/m) ds | 99 | | | | | | |
| Korrelgrootte < 2 µm (Lutum) | % (m/m) ds | 5,7 | 5,7 | | | | | |
| **Minerale olie** | | | | | | | | |
| Minerale olie (C10-C12) | mg/kg ds | <3,0 | 10,5 | | | | | |
| Minerale olie (C12-C16) | mg/kg ds | <5,0 | 17,5 | | | | | |
| Minerale olie (C16-C21) | mg/kg ds | <5,0 | 17,5 | | | | | |
| Minerale olie (C21-C30) | mg/kg ds | 12 | 60 | | | | | |
| Minerale olie (C30-C35) | mg/kg ds | 7,3 | 36,5 | | | | | |
| Minerale olie (C35-C40) | mg/kg ds | <6,0 | 21 | | | | | |
| Minerale olie totaal (C10-C40) | mg/kg ds | <35 | 122,5 | - | 35 | 190 | 2600 | 5000 |
| **Metalen** | | | | | | | | |
| Barium (Ba) | mg/kg ds | 24 | 63,59 | | 20 | 190 | 555 | 920 |
| Cadmium (Cd) | mg/kg ds | <0,20 | 0,2281 | - | 0,2 | 0,6 | 6,8 | 13 |
| Kobalt (Co) | mg/kg ds | <3,0 | 5,256 | - | 3 | 15 | 103 | 190 |
| Koper (Cu) | mg/kg ds | <5,0 | 6,422 | - | 5 | 40 | 115 | 190 |
| Kwik (Hg) | mg/kg ds | <0,050 | 0,0474 | - | 0,05 | 0,15 | 18,1 | 36 |
| Molybdeen (Mo) | mg/kg ds | <1,5 | 1,05 | - | 1,5 | 1,5 | 95,8 | 190 |
| Nikkel (Ni) | mg/kg ds | 4,3 | 9,586 | - | 4 | 35 | 67,5 | 100 |
| Lood (Pb) | mg/kg ds | 13 | 19,15 | - | 10 | 50 | 290 | 530 |
| Zink (Zn) | mg/kg ds | 36 | 71,9 | - | 20 | 140 | 430 | 720 |
| **Polychloorbifenylen, PCB** | | | | | | | | |
| PCB 28 | mg/kg ds | <0,0010 | 0,0035 | | | | | |
| PCB 52 | mg/kg ds | <0,0010 | 0,0035 | | | | | |
| PCB 101 | mg/kg ds | <0,0010 | 0,0035 | | | | | |
| PCB 118 | mg/kg ds | <0,0010 | 0,0035 | | | | | |
| PCB 138 | mg/kg ds | <0,0010 | 0,0035 | | | | | |
| PCB 153 | mg/kg ds | <0,0010 | 0,0035 | | | | | |
| PCB 180 | mg/kg ds | <0,0010 | 0,0035 | | | | | |
| PCB (som 7) (factor 0,7) | mg/kg ds | 0,0049 | 0,0245 | - | 0,007 | 0,02 | 0,51 | 1 |
| **Polycyclische Aromatische Koolwaterstoffen, PA** | | | | | | | | |
| Naftaleen | mg/kg ds | <0,050 | 0,035 | | | | | |
| Fenanthreen | mg/kg ds | <0,050 | 0,035 | | | | | |
| Anthraceen | mg/kg ds | <0,050 | 0,035 | | | | | |
| Fluorantheen | mg/kg ds | <0,050 | 0,035 | | | | | |
| Benzo(a)anthraceen | mg/kg ds | <0,050 | 0,035 | | | | | |
| Chryseen | mg/kg ds | <0,050 | 0,035 | | | | | |
| Benzo(k)fluorantheen | mg/kg ds | <0,050 | 0,035 | | | | | |
| Benzo(a)pyreen | mg/kg ds | <0,050 | 0,035 | | | | | |
| Benzo(ghi)peryleen | mg/kg ds | <0,050 | 0,035 | | | | | |
| Indeno(123-cd)pyreen | mg/kg ds | <0,050 | 0,035 | | | | | |
| PAK VROM (10) (factor 0,7) | mg/kg ds | 0,35 | 0,35 | - | 0,35 | 1,5 | 20,8 | 40 |

Legenda

| Nr. | Analytico-nr | Monster |
|---|---|---|
| 3 | 11305382 | GRN MM02 03 (8-50) 05 (20-50) 06 (12-50) 07 (15-50) 08 (20-50) 09 (20-50) |

Eindoordeel: Voldoet aan Achtergrondwaarde

Gebruikte afkortingen

| | |
|---|---|
| - | kleiner dan of gelijk aan Achtergrondwaarde |
| * | groter dan Achtergrondwaarde |
| ** | groter dan Tussenwaarde |
| *** | groter dan Interventiewaarde |

| | |
|---|---|
| GSSD | Gestandaardiseerd gehalte |
| RG | Vereiste Rapportagegrens |
| AW | Achtergrondwaarde |
| T | Tussenwaarde |
| I | Interventiewaarde |

Deze toetsing is uitgevoerd met behulp van BoToVa.

Zie voor info: http://www.rwsleefomgeving.nl/onderwerpen/bodem-ondergrond/bbk/instrumenten/botova/

N.B.: de vermelde tussenwaarde is door PAIS berekend en is niet afkomstig uit BoToVa

**BoToVa T12 Toetsing Wbb grond**

| | |
|---|---|
| Projectnummer | 3192.01 |
| Projectnaam | Vredenseweg 4-6 Winterswijk |
| Ordernummer | |
| Datum monstername | 09-04-2020 |
| Monsternemer | Max Scholten |
| Certificaatnummer | 2020055822 |
| Startdatum | 10-04-2020 |
| Rapportagedatum | 20-04-2020 |

| Analyse | Eenheid | 4 | GSSD | Oordeel | RG | AW | T | I |
|---|---|---|---|---|---|---|---|---|
| **Bodemtype correctie** | | | | | | | | |
| Organische stof | | 2,2 | | | | | | |
| Korrelgrootte < 2 µm (Lutum) | | 2 | | | | | | |
| **Voorbehandeling** | | | | | | | | |
| Cryogeen malen AS3000 | | Uitgevoerd | | | | | | |
| **Bodemkundige analyses** | | | | | | | | |
| Droge stof | % (m/m) | 89,2 | 89,2 | | | | | |
| Organische stof | % (m/m) ds | 2,2 | 2,2 | | | | | |
| Gloeirest | % (m/m) ds | 98 | | | | | | |
| Korrelgrootte < 2 µm (Lutum) | % (m/m) ds | <2,0 | 1,4 | | | | | |
| **Minerale olie** | | | | | | | | |
| Minerale olie (C10-C12) | mg/kg ds | <3,0 | 9,545 | | | | | |
| Minerale olie (C12-C16) | mg/kg ds | <5,0 | 15,91 | | | | | |
| Minerale olie (C16-C21) | mg/kg ds | <5,0 | 15,91 | | | | | |
| Minerale olie (C21-C30) | mg/kg ds | 23 | 104,5 | | | | | |
| Minerale olie (C30-C35) | mg/kg ds | 10 | 45,45 | | | | | |
| Minerale olie (C35-C40) | mg/kg ds | <6,0 | 19,09 | | | | | |
| Minerale olie totaal (C10-C40) | mg/kg ds | 39 | 177,3 | - | 35 | 190 | 2600 | 5000 |
| Chromatogram olie (GC) | | Zie bijl. | | | | | | |
| **Metalen** | | | | | | | | |
| Barium (Ba) | mg/kg ds | 39 | 151,1 | | 20 | 190 | 555 | 920 |
| Cadmium (Cd) | mg/kg ds | 0,21 | 0,3582 | - | 0,2 | 0,6 | 6,8 | 13 |
| Kobalt (Co) | mg/kg ds | <3,0 | 7,383 | - | 3 | 15 | 103 | 190 |
| Koper (Cu) | mg/kg ds | 11 | 22,6 | - | 5 | 40 | 115 | 190 |
| Kwik (Hg) | mg/kg ds | 0,11 | 0,1578 | * | 0,05 | 0,15 | 18,1 | 36 |
| Molybdeen (Mo) | mg/kg ds | <1,5 | 1,05 | - | 1,5 | 1,5 | 95,8 | 190 |
| Nikkel (Ni) | mg/kg ds | <4,0 | 8,167 | - | 4 | 35 | 67,5 | 100 |
| Lood (Pb) | mg/kg ds | 24 | 37,64 | - | 10 | 50 | 290 | 530 |
| Zink (Zn) | mg/kg ds | 46 | 108,6 | - | 20 | 140 | 430 | 720 |
| **Polychloorbifenylen, PCB** | | | | | | | | |
| PCB 28 | mg/kg ds | <0,0010 | 0,0031 | | | | | |
| PCB 52 | mg/kg ds | <0,0010 | 0,0031 | | | | | |
| PCB 101 | mg/kg ds | <0,0010 | 0,0031 | | | | | |
| PCB 118 | mg/kg ds | <0,0010 | 0,0031 | | | | | |
| PCB 138 | mg/kg ds | <0,0010 | 0,0031 | | | | | |
| PCB 153 | mg/kg ds | <0,0010 | 0,0031 | | | | | |
| PCB 180 | mg/kg ds | <0,0010 | 0,0031 | | | | | |
| PCB (som 7) (factor 0,7) | mg/kg ds | 0,0049 | 0,0222 | - | 0,007 | 0,02 | 0,51 | 1 |
| **Polycyclische Aromatische Koolwaterstoffen, PA** | | | | | | | | |
| Naftaleen | mg/kg ds | <0,050 | 0,035 | | | | | |
| Fenanthreen | mg/kg ds | 0,061 | 0,061 | | | | | |
| Anthraceen | mg/kg ds | 0,1 | 0,1 | | | | | |
| Fluorantheen | mg/kg ds | 0,53 | 0,53 | | | | | |
| Benzo(a)anthraceen | mg/kg ds | 1,3 | 1,3 | | | | | |
| Chryseen | mg/kg ds | 1,8 | 1,8 | | | | | |
| Benzo(k)fluorantheen | mg/kg ds | 0,92 | 0,92 | | | | | |
| Benzo(a)pyreen | mg/kg ds | 0,88 | 0,88 | | | | | |
| Benzo(ghi)peryleen | mg/kg ds | 1 | 1 | | | | | |
| Indeno(123-cd)pyreen | mg/kg ds | 1,4 | 1,4 | | | | | |
| PAK VROM (10) (factor 0,7) | mg/kg ds | 8,1 | 8,026 | * | 0,35 | 1,5 | 20,8 | 40 |

Legenda

| Nr. | Analytico-nr | Monster |
|---|---|---|
| 4 | 11305383 | GRN MM03 10 (20-60) 11 (15-60) 12 (20-50) 13 (20-50) 14 (20-50) |

Eindoordeel: Overschrijding Achtergrondwaarde

Gebruikte afkortingen

| | |
|---|---|
| - | kleiner dan of gelijk aan Achtergrondwaarde |
| * | groter dan Achtergrondwaarde |
| ** | groter dan Tussenwaarde |
| *** | groter dan Interventiewaarde |

| | |
|---|---|
| GSSD | Gestandaardiseerd gehalte |
| RG | Vereiste Rapportagegrens |
| AW | Achtergrondwaarde |
| T | Tussenwaarde |
| I | Interventiewaarde |

Deze toetsing is uitgevoerd met behulp van BoToVa.

Zie voor info: http://www.rwsleefomgeving.nl/onderwerpen/bodem-ondergrond/bbk/instrumenten/botova/

N.B.: de vermelde tussenwaarde is door PAIS berekend en is niet afkomstig uit BoToVa

**BoToVa T12 Toetsing Wbb grond**

| | |
|---|---|
| Projectnummer | 3192.01 |
| Projectnaam | Vredenseweg 4-6 Winterswijk |
| Ordernummer | |
| Datum monstername | 09-04-2020 |
| Monsternemer | Max Scholten |
| Certificaatnummer | 2020055822 |
| Startdatum | 10-04-2020 |
| Rapportagedatum | 20-04-2020 |

| Analyse | Eenheid | 5 | GSSD | Oordeel | RG | AW | T | I |
|---|---|---|---|---|---|---|---|---|
| **Bodemtype correctie** | | | | | | | | |
| Organische stof | | 0,7 | | | | | | |
| Korrelgrootte < 2 µm (Lutum) | | 2,3 | | | | | | |
| **Voorbehandeling** | | | | | | | | |
| Cryogeen malen AS3000 | | Uitgevoerd | | | | | | |
| **Bodemkundige analyses** | | | | | | | | |
| Droge stof | % (m/m) | 86,1 | 86,1 | | | | | |
| Organische stof | % (m/m) ds | 0,7 | 0,7 | | | | | |
| Gloeirest | % (m/m) ds | 99 | | | | | | |
| Korrelgrootte < 2 µm (Lutum) | % (m/m) ds | 2,3 | 2,3 | | | | | |
| **Minerale olie** | | | | | | | | |
| Minerale olie (C10-C12) | mg/kg ds | <3,0 | 10,5 | | | | | |
| Minerale olie (C12-C16) | mg/kg ds | <5,0 | 17,5 | | | | | |
| Minerale olie (C16-C21) | mg/kg ds | <5,0 | 17,5 | | | | | |
| Minerale olie (C21-C30) | mg/kg ds | 12 | 60 | | | | | |
| Minerale olie (C30-C35) | mg/kg ds | 5 | 25 | | | | | |
| Minerale olie (C35-C40) | mg/kg ds | <6,0 | 21 | | | | | |
| Minerale olie totaal (C10-C40) | mg/kg ds | <35 | 122,5 | - | 35 | 190 | 2600 | 5000 |
| **Metalen** | | | | | | | | |
| Barium (Ba) | mg/kg ds | 25 | 93,37 | | 20 | 190 | 555 | 920 |
| Cadmium (Cd) | mg/kg ds | <0,20 | 0,2399 | - | 0,2 | 0,6 | 6,8 | 13 |
| Kobalt (Co) | mg/kg ds | <3,0 | 7,148 | - | 3 | 15 | 103 | 190 |
| Koper (Cu) | mg/kg ds | 6,3 | 12,9 | - | 5 | 40 | 115 | 190 |
| Kwik (Hg) | mg/kg ds | <0,050 | 0,05 | - | 0,05 | 0,15 | 18,1 | 36 |
| Molybdeen (Mo) | mg/kg ds | <1,5 | 1,05 | - | 1,5 | 1,5 | 95,8 | 190 |
| Nikkel (Ni) | mg/kg ds | 4,8 | 13,66 | - | 4 | 35 | 67,5 | 100 |
| Lood (Pb) | mg/kg ds | 48 | 75,14 | * | 10 | 50 | 290 | 530 |
| Zink (Zn) | mg/kg ds | 41 | 95,83 | - | 20 | 140 | 430 | 720 |
| **Polychloorbifenylen, PCB** | | | | | | | | |
| PCB 28 | mg/kg ds | <0,0010 | 0,0035 | | | | | |
| PCB 52 | mg/kg ds | <0,0010 | 0,0035 | | | | | |
| PCB 101 | mg/kg ds | <0,0010 | 0,0035 | | | | | |
| PCB 118 | mg/kg ds | <0,0010 | 0,0035 | | | | | |
| PCB 138 | mg/kg ds | <0,0010 | 0,0035 | | | | | |
| PCB 153 | mg/kg ds | <0,0010 | 0,0035 | | | | | |
| PCB 180 | mg/kg ds | <0,0010 | 0,0035 | | | | | |
| PCB (som 7) (factor 0,7) | mg/kg ds | 0,0049 | 0,0245 | - | 0,007 | 0,02 | 0,51 | 1 |
| **Polycyclische Aromatische Koolwaterstoffen, PA** | | | | | | | | |
| Naftaleen | mg/kg ds | <0,050 | 0,035 | | | | | |
| Fenanthreen | mg/kg ds | 0,16 | 0,16 | | | | | |
| Anthraceen | mg/kg ds | 0,06 | 0,06 | | | | | |
| Fluorantheen | mg/kg ds | 0,51 | 0,51 | | | | | |
| Benzo(a)anthraceen | mg/kg ds | 0,37 | 0,37 | | | | | |
| Chryseen | mg/kg ds | 0,41 | 0,41 | | | | | |
| Benzo(k)fluorantheen | mg/kg ds | 0,17 | 0,17 | | | | | |
| Benzo(a)pyreen | mg/kg ds | 0,3 | 0,3 | | | | | |
| Benzo(ghi)peryleen | mg/kg ds | 0,18 | 0,18 | | | | | |
| Indeno(123-cd)pyreen | mg/kg ds | 0,21 | 0,21 | | | | | |
| PAK VROM (10) (factor 0,7) | mg/kg ds | 2,4 | 2,405 | * | 0,35 | 1,5 | 20,8 | 40 |

Legenda

| Nr. | Analytico-nr | Monster |
|---|---|---|
| 5 | 11305384 | GRN MM04 01 (50-80) 04 (50-70) |

Eindoordeel: Voldoet aan Achtergrondwaarde

Gebruikte afkortingen

| | |
|---|---|
| - | kleiner dan of gelijk aan Achtergrondwaarde |
| * | groter dan Achtergrondwaarde |
| ** | groter dan Tussenwaarde |
| *** | groter dan Interventiewaarde |

| | |
|---|---|
| GSSD | Gestandaardiseerd gehalte |
| RG | Vereiste Rapportagegrens |
| AW | Achtergrondwaarde |
| T | Tussenwaarde |
| I | Interventiewaarde |

Deze toetsing is uitgevoerd met behulp van BoToVa.

Zie voor info: http://www.rwsleefomgeving.nl/onderwerpen/bodem-ondergrond/bbk/instrumenten/botova/

N.B.: de vermelde tussenwaarde is door PAIS berekend en is niet afkomstig uit BoToVa

**BoToVa T12 Toetsing Wbb grond**

| | |
|---|---|
| Projectnummer | 3192.01 |
| Projectnaam | Vredenseweg 4-6 Winterswijk |
| Ordernummer | |
| Datum monstername | 09-04-2020 |
| Monsternemer | Max Scholten |
| Certificaatnummer | 2020055822 |
| Startdatum | 10-04-2020 |
| Rapportagedatum | 20-04-2020 |

| Analyse | Eenheid | 6 | GSSD | Oordeel | RG | AW | T | I |
|---|---|---|---|---|---|---|---|---|
| **Bodemtype correctie** | | | | | | | | |
| Organische stof | | 0,7 | | | | | | |
| Korrelgrootte < 2 µm (Lutum) | | 2 | | | | | | |
| **Voorbehandeling** | | | | | | | | |
| Cryogeen malen AS3000 | | Uitgevoerd | | | | | | |
| **Bodemkundige analyses** | | | | | | | | |
| Droge stof | % (m/m) | 84,5 | 84,5 | | | | | |
| Organische stof | % (m/m) ds | <0,7 | 0,49 | | | | | |
| Gloeirest | % (m/m) ds | 99 | | | | | | |
| Korrelgrootte < 2 µm (Lutum) | % (m/m) ds | <2,0 | 1,4 | | | | | |
| **Minerale olie** | | | | | | | | |
| Minerale olie (C10-C12) | mg/kg ds | <3,0 | 10,5 | | | | | |
| Minerale olie (C12-C16) | mg/kg ds | <5,0 | 17,5 | | | | | |
| Minerale olie (C16-C21) | mg/kg ds | <5,0 | 17,5 | | | | | |
| Minerale olie (C21-C30) | mg/kg ds | <11 | 38,5 | | | | | |
| Minerale olie (C30-C35) | mg/kg ds | <5,0 | 17,5 | | | | | |
| Minerale olie (C35-C40) | mg/kg ds | <6,0 | 21 | | | | | |
| Minerale olie totaal (C10-C40) | mg/kg ds | <35 | 122,5 | - | 35 | 190 | 2600 | 5000 |
| **Metalen** | | | | | | | | |
| Barium (Ba) | mg/kg ds | <20 | 54,25 | | 20 | 190 | 555 | 920 |
| Cadmium (Cd) | mg/kg ds | <0,20 | 0,241 | - | 0,2 | 0,6 | 6,8 | 13 |
| Kobalt (Co) | mg/kg ds | <3,0 | 7,383 | - | 3 | 15 | 103 | 190 |
| Koper (Cu) | mg/kg ds | <5,0 | 7,241 | - | 5 | 40 | 115 | 190 |
| Kwik (Hg) | mg/kg ds | <0,050 | 0,0502 | - | 0,05 | 0,15 | 18,1 | 36 |
| Molybdeen (Mo) | mg/kg ds | <1,5 | 1,05 | - | 1,5 | 1,5 | 95,8 | 190 |
| Nikkel (Ni) | mg/kg ds | <4,0 | 8,167 | - | 4 | 35 | 67,5 | 100 |
| Lood (Pb) | mg/kg ds | <10 | 11,02 | - | 10 | 50 | 290 | 530 |
| Zink (Zn) | mg/kg ds | <20 | 33,22 | - | 20 | 140 | 430 | 720 |
| **Polychloorbifenylen, PCB** | | | | | | | | |
| PCB 28 | mg/kg ds | <0,0010 | 0,0035 | | | | | |
| PCB 52 | mg/kg ds | <0,0010 | 0,0035 | | | | | |
| PCB 101 | mg/kg ds | <0,0010 | 0,0035 | | | | | |
| PCB 118 | mg/kg ds | <0,0010 | 0,0035 | | | | | |
| PCB 138 | mg/kg ds | <0,0010 | 0,0035 | | | | | |
| PCB 153 | mg/kg ds | <0,0010 | 0,0035 | | | | | |
| PCB 180 | mg/kg ds | <0,0010 | 0,0035 | | | | | |
| PCB (som 7) (factor 0,7) | mg/kg ds | 0,0049 | 0,0245 | - | 0,007 | 0,02 | 0,51 | 1 |
| **Polycyclische Aromatische Koolwaterstoffen, PA** | | | | | | | | |
| Naftaleen | mg/kg ds | <0,050 | 0,035 | | | | | |
| Fenanthreen | mg/kg ds | <0,050 | 0,035 | | | | | |
| Anthraceen | mg/kg ds | <0,050 | 0,035 | | | | | |
| Fluorantheen | mg/kg ds | <0,050 | 0,035 | | | | | |
| Benzo(a)anthraceen | mg/kg ds | <0,050 | 0,035 | | | | | |
| Chryseen | mg/kg ds | <0,050 | 0,035 | | | | | |
| Benzo(k)fluorantheen | mg/kg ds | <0,050 | 0,035 | | | | | |
| Benzo(a)pyreen | mg/kg ds | <0,050 | 0,035 | | | | | |
| Benzo(ghi)peryleen | mg/kg ds | <0,050 | 0,035 | | | | | |
| Indeno(123-cd)pyreen | mg/kg ds | <0,050 | 0,035 | | | | | |
| PAK VROM (10) (factor 0,7) | mg/kg ds | 0,35 | 0,35 | - | 0,35 | 1,5 | 20,8 | 40 |

Legenda

| Nr. | Analytico-nr | Monster |
|---|---|---|
| 6 | 11305385 | GRN MM05 07 (70-120) 07 (120-150) 07 (150-200) 13(50-100) 13 (100-150) 13 (150-200) 14 (80-110) 14 |

Eindoordeel: Voldoet aan Achtergrondwaarde

Gebruikte afkortingen

| | |
|---|---|
| - | kleiner dan of gelijk aan Achtergrondwaarde |
| * | groter dan Achtergrondwaarde |
| ** | groter dan Tussenwaarde |
| *** | groter dan Interventiewaarde |

| | |
|---|---|
| GSSD | Gestandaardiseerd gehalte |
| RG | Vereiste Rapportagegrens |
| AW | Achtergrondwaarde |
| T | Tussenwaarde |
| I | Interventiewaarde |

Deze toetsing is uitgevoerd met behulp van BoToVa.

Zie voor info: http://www.rwsleefomgeving.nl/onderwerpen/bodem-ondergrond/bbk/instrumenten/botova/

N.B.: de vermelde tussenwaarde is door PAIS berekend en is niet afkomstig uit BoToVa

**BoToVa T13 Toetsing Wbb grondwater (ondiep)**

| | |
|---|---|
| Projectnummer | 3192.01 |
| Projectnaam | Vredenseweg 4-6 Winterswijk |
| Ordernummer | |
| Datum monstername | 22-04-2020 |
| Monsternemer | Max Scholten |
| Certificaatnummer | 2020062045 |
| Startdatum | 23-04-2020 |
| Rapportagedatum | 29-04-2020 |

| Analyse | Eenheid | 1 | GSSD | Oordeel | RG | S | T | I |
|---|---|---|---|---|---|---|---|---|
| **Metalen** | | | | | | | | |
| Barium (Ba) | µg/L | 88 | 88 | * | 20 | 50 | 338 | 625 |
| Cadmium (Cd) | µg/L | <0,20 | 0,14 | - | 0,2 | 0,4 | 3,2 | 6 |
| Kobalt (Co) | µg/L | <2,0 | 1,4 | - | 2 | 20 | 60 | 100 |
| Koper (Cu) | µg/L | 3,2 | 3,2 | - | 2 | 15 | 45 | 75 |
| Kwik (Hg) | µg/L | <0,050 | 0,035 | - | 0,05 | 0,05 | 0,175 | 0,3 |
| Molybdeen (Mo) | µg/L | 3,6 | 3,6 | - | 2 | 5 | 153 | 300 |
| Nikkel (Ni) | µg/L | <3,0 | 2,1 | - | 3 | 15 | 45 | 75 |
| Lood (Pb) | µg/L | <2,0 | 1,4 | - | 2 | 15 | 45 | 75 |
| Zink (Zn) | µg/L | 12 | 12 | - | 10 | 65 | 433 | 800 |
| **Vluchtige Aromatische Koolwaterstoffen** | | | | | | | | |
| Benzeen | µg/L | <0,20 | 0,14 | - | 0,2 | 0,2 | 15,1 | 30 |
| Tolueen | µg/L | <0,20 | 0,14 | - | 0,2 | 7 | 504 | 1000 |
| Ethylbenzeen | µg/L | <0,20 | 0,14 | - | 0,2 | 4 | 77 | 150 |
| o-Xyleen | µg/L | <0,10 | 0,07 | | | | | |
| m,p-Xyleen | µg/L | <0,20 | 0,14 | | | | | |
| Xylenen (som) factor 0,7 | µg/L | 0,21 | 0,21 | - | 0,2 | 0,2 | 35,1 | 70 |
| BTEX (som) | µg/L | <0,90 | | | | | | |
| Naftaleen | µg/L | <0,020 | 0,014 | - | 0,02 | 0,01 | 35 | 70 |
| Styreen | µg/L | <0,20 | 0,14 | - | 0,2 | 6 | 153 | 300 |
| **Vluchtige organische halogeenkoolwaterstoffen** | | | | | | | | |
| Dichloormethaan | µg/L | <0,20 | 0,14 | - | 0,2 | 0,01 | 500 | 1000 |
| Trichloormethaan | µg/L | <0,20 | 0,14 | - | 0,2 | 6 | 203 | 400 |
| Tetrachloormethaan | µg/L | <0,10 | 0,07 | - | 0,1 | 0,01 | 5 | 10 |
| Trichlooretheen | µg/L | <0,20 | 0,14 | - | 0,2 | 24 | 262 | 500 |
| Tetrachlooretheen | µg/L | <0,10 | 0,07 | - | 0,1 | 0,01 | 20 | 40 |
| 1,1-Dichloorethaan | µg/L | <0,20 | 0,14 | - | 0,2 | 7 | 454 | 900 |
| 1,2-Dichloorethaan | µg/L | <0,20 | 0,14 | - | 0,2 | 7 | 204 | 400 |
| 1,1,1-Trichloorethaan | µg/L | <0,10 | 0,07 | - | 0,1 | 0,01 | 150 | 300 |
| 1,1,2-Trichloorethaan | µg/L | <0,10 | 0,07 | - | 0,1 | 0,01 | 65 | 130 |
| cis 1,2-Dichlooretheen | µg/L | <0,10 | 0,07 | | | | | |
| trans 1,2-Dichlooretheen | µg/L | <0,10 | 0,07 | | | | | |
| CKW (som) | µg/L | <1,6 | | | | | | |
| Tribroommethaan | µg/L | <0,20 | 0,14 | | | | | 630 |
| Vinylchloride | µg/L | <0,10 | 0,07 | - | 0,2 | 0,01 | 2,5 | 5 |
| 1,1-Dichlooretheen | µg/L | <0,10 | 0,07 | - | 0,1 | 0,01 | 5 | 10 |
| 1,2-Dichloorethenen (Som) factor 0,7 | µg/L | 0,14 | 0,14 | - | 0,2 | 0,01 | 10 | 20 |
| 1,1-Dichloorpropaan | µg/L | <0,20 | 0,14 | | | | | |
| 1,2-Dichloorpropaan | µg/L | <0,20 | 0,14 | | | | | |
| 1,3-Dichloorpropaan | µg/L | <0,20 | 0,14 | | | | | |
| Dichloorpropanen som factor 0.7 | µg/L | 0,42 | 0,42 | - | 0,6 | 0,8 | 40,4 | 80 |
| **Minerale olie** | | | | | | | | |
| Minerale olie (C10-C12) | µg/L | <10 | 7 | | | | | |
| Minerale olie (C12-C16) | µg/L | <10 | 7 | | | | | |
| Minerale olie (C16-C21) | µg/L | <10 | 7 | | | | | |
| Minerale olie (C21-C30) | µg/L | <15 | 10,5 | | | | | |
| Minerale olie (C30-C35) | µg/L | <10 | 7 | | | | | |
| Minerale olie (C35-C40) | µg/L | <10 | 7 | | | | | |
| Minerale olie totaal (C10-C40) | µg/L | <50 | 35 | - | 50 | 50 | 325 | 600 |
| **Extra parameters** | | | | | | | | |
| som 16 aromatische oplosmiddelen | µg/L | | 0,77 | Geen oordeel mogelijk | | | | |

Legenda

| Nr. | Analytico-nr | Monster |
|---|---|---|
| 1 | 11324822 | 13-1-1 13 (190-290) |

Eindoordeel: Overschrijding Streefwaarde

Gebruikte afkortingen

| | |
|---|---|
| - | kleiner dan of gelijk aan Streefwaarde |
| * | groter dan Streefwaarde |
| ** | groter dan Tussenwaarde |
| *** | groter dan Interventiewaarde |

| | |
|---|---|
| GSSD | Gestandaardiseerd gehalte |
| RG | Vereiste Rapportagegrens |
| S | Streefwaarde |
| T | Tussenwaarde |
| I | Interventiewaarde |

Deze toetsing is uitgevoerd met behulp van BoToVa.

Zie voor info: http://www.rwsleefomgeving.nl/onderwerpen/bodem-ondergrond/bbk/instrumenten/botova/

N.B.: de vermelde tussenwaarde is door PAIS berekend en is niet afkomstig uit BoToVa

**BoToVa T13 Toetsing Wbb grondwater (ondiep)**

| | |
|---|---|
| Projectnummer | 3192.01 |
| Projectnaam | Vredenseweg 4-6 Winterswijk |
| Ordernummer | |
| Datum monstername | 22-04-2020 |
| Monsternemer | Max Scholten |
| Certificaatnummer | 2020062045 |
| Startdatum | 23-04-2020 |
| Rapportagedatum | 29-04-2020 |

| Analyse | Eenheid | 2 | GSSD | Oordeel | RG | S | T | I |
|---|---|---|---|---|---|---|---|---|
| **Metalen** | | | | | | | | |
| Barium (Ba) | µg/L | 20 | 20 | - | 20 | 50 | 338 | 625 |
| Cadmium (Cd) | µg/L | <0,20 | 0,14 | - | 0,2 | 0,4 | 3,2 | 6 |
| Kobalt (Co) | µg/L | <2,0 | 1,4 | - | 2 | 20 | 60 | 100 |
| Koper (Cu) | µg/L | 2,8 | 2,8 | - | 2 | 15 | 45 | 75 |
| Kwik (Hg) | µg/L | <0,050 | 0,035 | - | 0,05 | 0,05 | 0,175 | 0,3 |
| Molybdeen (Mo) | µg/L | <2,0 | 1,4 | - | 2 | 5 | 153 | 300 |
| Nikkel (Ni) | µg/L | <3,0 | 2,1 | - | 3 | 15 | 45 | 75 |
| Lood (Pb) | µg/L | <2,0 | 1,4 | - | 2 | 15 | 45 | 75 |
| Zink (Zn) | µg/L | <10 | 7 | - | 10 | 65 | 433 | 800 |
| **Vluchtige Aromatische Koolwaterstoffen** | | | | | | | | |
| Benzeen | µg/L | <0,20 | 0,14 | - | 0,2 | 0,2 | 15,1 | 30 |
| Tolueen | µg/L | <0,20 | 0,14 | - | 0,2 | 7 | 504 | 1000 |
| Ethylbenzeen | µg/L | <0,20 | 0,14 | - | 0,2 | 4 | 77 | 150 |
| o-Xyleen | µg/L | <0,10 | 0,07 | | | | | |
| m,p-Xyleen | µg/L | <0,20 | 0,14 | | | | | |
| Xylenen (som) factor 0,7 | µg/L | 0,21 | 0,21 | - | 0,2 | 0,2 | 35,1 | 70 |
| BTEX (som) | µg/L | <0,90 | | | | | | |
| Naftaleen | µg/L | <0,020 | 0,014 | - | 0,02 | 0,01 | 35 | 70 |
| Styreen | µg/L | <0,20 | 0,14 | - | 0,2 | 6 | 153 | 300 |
| **Vluchtige organische halogeenkoolwaterstoffen** | | | | | | | | |
| Dichloormethaan | µg/L | <0,20 | 0,14 | - | 0,2 | 0,01 | 500 | 1000 |
| Trichloormethaan | µg/L | <0,20 | 0,14 | - | 0,2 | 6 | 203 | 400 |
| Tetrachloormethaan | µg/L | <0,10 | 0,07 | - | 0,1 | 0,01 | 5 | 10 |
| Trichlooretheen | µg/L | <0,20 | 0,14 | - | 0,2 | 24 | 262 | 500 |
| Tetrachlooretheen | µg/L | <0,10 | 0,07 | - | 0,1 | 0,01 | 20 | 40 |
| 1,1-Dichloorethaan | µg/L | <0,20 | 0,14 | - | 0,2 | 7 | 454 | 900 |
| 1,2-Dichloorethaan | µg/L | <0,20 | 0,14 | - | 0,2 | 7 | 204 | 400 |
| 1,1,1-Trichloorethaan | µg/L | <0,10 | 0,07 | - | 0,1 | 0,01 | 150 | 300 |
| 1,1,2-Trichloorethaan | µg/L | <0,10 | 0,07 | - | 0,1 | 0,01 | 65 | 130 |
| cis 1,2-Dichlooretheen | µg/L | <0,10 | 0,07 | | | | | |
| trans 1,2-Dichlooretheen | µg/L | <0,10 | 0,07 | | | | | |
| CKW (som) | µg/L | <1,6 | | | | | | |
| Tribroommethaan | µg/L | <0,20 | 0,14 | | | | | 630 |
| Vinylchloride | µg/L | <0,10 | 0,07 | - | 0,2 | 0,01 | 2,5 | 5 |
| 1,1-Dichlooretheen | µg/L | <0,10 | 0,07 | - | 0,1 | 0,01 | 5 | 10 |
| 1,2-Dichloorethenen (Som) factor 0,7 | µg/L | 0,14 | 0,14 | - | 0,2 | 0,01 | 10 | 20 |
| 1,1-Dichloorpropaan | µg/L | <0,20 | 0,14 | | | | | |
| 1,2-Dichloorpropaan | µg/L | <0,20 | 0,14 | | | | | |
| 1,3-Dichloorpropaan | µg/L | <0,20 | 0,14 | | | | | |
| Dichloorpropanen som factor 0.7 | µg/L | 0,42 | 0,42 | - | 0,6 | 0,8 | 40,4 | 80 |
| **Minerale olie** | | | | | | | | |
| Minerale olie (C10-C12) | µg/L | <10 | 7 | | | | | |
| Minerale olie (C12-C16) | µg/L | <10 | 7 | | | | | |
| Minerale olie (C16-C21) | µg/L | <10 | 7 | | | | | |
| Minerale olie (C21-C30) | µg/L | <15 | 10,5 | | | | | |
| Minerale olie (C30-C35) | µg/L | <10 | 7 | | | | | |
| Minerale olie (C35-C40) | µg/L | <10 | 7 | | | | | |
| Minerale olie totaal (C10-C40) | µg/L | <50 | 35 | - | 50 | 50 | 325 | 600 |
| **Extra parameters** | | | | | | | | |
| som 16 aromatische oplosmiddelen | µg/L | | 0,77 | Geen oordeel mogelijk | | | | |

Legenda

| Nr. | Analytico-nr | Monster |
|---|---|---|
| 2 | 11324823 | 15-1-1 15 (130-230) |

Eindoordeel: Voldoet aan Streefwaarde

Gebruikte afkortingen

| | |
|---|---|
| - | kleiner dan of gelijk aan Streefwaarde |
| * | groter dan Streefwaarde |
| ** | groter dan Tussenwaarde |
| *** | groter dan Interventiewaarde |

| | |
|---|---|
| GSSD | Gestandaardiseerd gehalte |
| RG | Vereiste Rapportagegrens |
| S | Streefwaarde |
| T | Tussenwaarde |
| I | Interventiewaarde |

Deze toetsing is uitgevoerd met behulp van BoToVa.

Zie voor info: http://www.rwsleefomgeving.nl/onderwerpen/bodem-ondergrond/bbk/instrumenten/botova/

N.B.: de vermelde tussenwaarde is door PAIS berekend en is niet afkomstig uit BoToVa

# Bijlage 4.2

Toetsing analyseresultaten aan Bbk

**BoToVa T1 Beoordeling kwaliteit van grond en bagger bij toepassing op of in de la**

| | |
|---|---|
| Projectnummer | 3192.01 |
| Projectnaam | Vredenseweg 4-6 Winterswijk |
| Ordernummer | |
| Datum monstername | 09-04-2020 |
| Monsternemer | Max Scholten |
| Certificaatnummer | 2020055822 |
| Startdatum | 10-04-2020 |
| Rapportagedatum | 20-04-2020 |

| Analyse | Eenheid | 1 | GSSD | Oordeel | RG Eis | AW | Wonen | Industrie | IW |
|---|---|---|---|---|---|---|---|---|---|
| **Bodemtype correctie** | | | | | | | | | |
| Organische stof | | 0,7 | | | | | | | |
| Korrelgrootte < 2 µm (Lutum) | | 25 | | # | | | | | |
| **Voorbehandeling** | | | | | | | | | |
| Cryogeen malen AS3000 | | Uitgevoerd | | | | | | | |
| **Bodemkundige analyses** | | | | | | | | | |
| Droge stof | % (m/m) | 93,1 | 93,1 | | | | | | |
| Organische stof | % (m/m) ds | <0,7 | 0,49 | | | | | | |
| Gloeirest | % (m/m) ds | 99 | | | | | | | |
| **Minerale olie** | | | | | | | | | |
| Minerale olie (C10-C12) | mg/kg ds | <3,0 | 10,5 | | | | | | |
| Minerale olie (C12-C16) | mg/kg ds | <5,0 | 17,5 | | | | | | |
| Minerale olie (C16-C21) | mg/kg ds | <5,0 | 17,5 | | | | | | |
| Minerale olie (C21-C30) | mg/kg ds | 12 | 60 | | | | | | |
| Minerale olie (C30-C35) | mg/kg ds | <5,0 | 17,5 | | | | | | |
| Minerale olie (C35-C40) | mg/kg ds | <6,0 | 21 | | | | | | |
| Minerale olie totaal (C10-C40) | mg/kg ds | <35 | 122,5 | <=AW | 35 | 190 | 190 | 500 | 5000 |

Legenda

| Nr. | Analytico-nr | Monster |
|---|---|---|
| 1 | 11305380 | GRN M15.1 15 (6-50) |

Eindoordeel: Altijd toepasbaar

Gebruikte afkortingen

| | |
|---|---|
| GSSD | Gestandaardiseerd gehalte |
| AW | Achtergrondwaarde |
| <= AW | kleiner dan of gelijk aan Achtergrondwaarde |
| RG Eis | Vereiste rapportagegrens |
| IW | Interventiewaarde |

Deze toetsing is uitgevoerd met behulp van BoToVa.

Zie voor info: http://www.rwsleefomgeving.nl/onderwerpen/bodem-ondergrond/bbk/instrumenten/botova/

**BoToVa T1 Beoordeling kwaliteit van grond en bagger bij toepassing op of in de la**

| | |
|---|---|
| Projectnummer | 3192.01 |
| Projectnaam | Vredenseweg 4-6 Winterswijk |
| Ordernummer | |
| Datum monstername | 09-04-2020 |
| Monsternemer | Max Scholten |
| Certificaatnummer | 2020055822 |
| Startdatum | 10-04-2020 |
| Rapportagedatum | 20-04-2020 |

| Analyse | Eenheid | 2 | GSSD | Oordeel | RG Eis | AW | Wonen | Industrie | IW |
|---|---|---|---|---|---|---|---|---|---|
| **Bodemtype correctie** | | | | | | | | | |
| Organische stof | | 0,7 | | | | | | | |
| Korrelgrootte < 2 µm (Lutum) | | 2 | | | | | | | |
| **Voorbehandeling** | | | | | | | | | |
| Cryogeen malen AS3000 | | Uitgevoerd | | | | | | | |
| **Bodemkundige analyses** | | | | | | | | | |
| Droge stof | % (m/m) | 89,7 | 89,7 | | | | | | |
| Organische stof | % (m/m) ds | <0,7 | 0,49 | | | | | | |
| Gloeirest | % (m/m) ds | 99 | | | | | | | |
| Korrelgrootte < 2 µm (Lutum) | % (m/m) ds | <2,0 | 1,4 | | | | | | |
| **Minerale olie** | | | | | | | | | |
| Minerale olie (C10-C12) | mg/kg ds | <3,0 | 10,5 | | | | | | |
| Minerale olie (C12-C16) | mg/kg ds | <5,0 | 17,5 | | | | | | |
| Minerale olie (C16-C21) | mg/kg ds | <5,0 | 17,5 | | | | | | |
| Minerale olie (C21-C30) | mg/kg ds | <11 | 38,5 | | | | | | |
| Minerale olie (C30-C35) | mg/kg ds | <5,0 | 17,5 | | | | | | |
| Minerale olie (C35-C40) | mg/kg ds | <6,0 | 21 | | | | | | |
| Minerale olie totaal (C10-C40) | mg/kg ds | <35 | 122,5 | <=AW | 35 | 190 | 190 | 500 | 5000 |
| **Metalen** | | | | | | | | | |
| Barium (Ba) | mg/kg ds | <20 | 54,25 | | 20 | | | | 920 |
| Cadmium (Cd) | mg/kg ds | <0,20 | 0,241 | <=AW | 0,2 | 0,6 | 1,2 | 4,3 | 13 |
| Kobalt (Co) | mg/kg ds | 3 | 10,55 | <=AW | 3 | 15 | 35 | 190 | 190 |
| Koper (Cu) | mg/kg ds | <5,0 | 7,241 | <=AW | 5 | 40 | 54 | 190 | 190 |
| Kwik (Hg) | mg/kg ds | <0,050 | 0,0502 | <=AW | 0,05 | 0,15 | 0,83 | 4,8 | 36 |
| Molybdeen (Mo) | mg/kg ds | <1,5 | 1,05 | <=AW | 1,5 | 1,5 | 88 | 190 | 190 |
| Nikkel (Ni) | mg/kg ds | 7 | 20,42 | <=AW | 4 | 35 | | 100 | 100 |
| Lood (Pb) | mg/kg ds | <10 | 11,02 | <=AW | 10 | 50 | 210 | 530 | 530 |
| Zink (Zn) | mg/kg ds | <20 | 33,22 | <=AW | 20 | 140 | 200 | 720 | 720 |
| **Polychloorbifenylen, PCB** | | | | | | | | | |
| PCB 28 | mg/kg ds | <0,0010 | 0,0035 | | | | | | |
| PCB 52 | mg/kg ds | <0,0010 | 0,0035 | | | | | | |
| PCB 101 | mg/kg ds | <0,0010 | 0,0035 | | | | | | |
| PCB 118 | mg/kg ds | <0,0010 | 0,0035 | | | | | | |
| PCB 138 | mg/kg ds | <0,0010 | 0,0035 | | | | | | |
| PCB 153 | mg/kg ds | <0,0010 | 0,0035 | | | | | | |
| PCB 180 | mg/kg ds | <0,0010 | 0,0035 | | | | | | |
| PCB (som 7) (factor 0,7) | mg/kg ds | 0,0049 | 0,0245 | <=AW | 0,0049 | 0,02 | 0,04 | 0,5 | 1 |
| **Polycyclische Aromatische Koolwaterstoffen, PA** | | | | | | | | | |
| Naftaleen | mg/kg ds | <0,050 | 0,035 | | | | | | |
| Fenanthreen | mg/kg ds | <0,050 | 0,035 | | | | | | |
| Anthraceen | mg/kg ds | <0,050 | 0,035 | | | | | | |
| Fluorantheen | mg/kg ds | 0,067 | 0,067 | | | | | | |
| Benzo(a)anthraceen | mg/kg ds | <0,050 | 0,035 | | | | | | |
| Chryseen | mg/kg ds | <0,050 | 0,035 | | | | | | |
| Benzo(k)fluorantheen | mg/kg ds | <0,050 | 0,035 | | | | | | |
| Benzo(a)pyreen | mg/kg ds | <0,050 | 0,035 | | | | | | |
| Benzo(ghi)peryleen | mg/kg ds | <0,050 | 0,035 | | | | | | |
| Indeno(123-cd)pyreen | mg/kg ds | <0,050 | 0,035 | | | | | | |
| PAK VROM (10) (factor 0,7) | mg/kg ds | 0,38 | 0,382 | <=AW | 0,5 | 1,5 | 6,8 | 40 | 40 |

Legenda

| Nr. | Analytico-nr | Monster |
|---|---|---|
| 2 | 11305381 | GRN MM01 01 (8-50) 02 (8-50) 04 (8-50) |

Eindoordeel: Altijd toepasbaar

Gebruikte afkortingen

| | |
|---|---|
| GSSD | Gestandaardiseerd gehalte |
| AW | Achtergrondwaarde |
| <= AW | kleiner dan of gelijk aan Achtergrondwaarde |
| RG Eis | Vereiste rapportagegrens |
| IW | Interventiewaarde |

Deze toetsing is uitgevoerd met behulp van BoToVa.

Zie voor info: http://www.rwsleefomgeving.nl/onderwerpen/bodem-ondergrond/bbk/instrumenten/botova/

**BoToVa T1 Beoordeling kwaliteit van grond en bagger bij toepassing op of in de la**

| | |
|---|---|
| Projectnummer | 3192.01 |
| Projectnaam | Vredenseweg 4-6 Winterswijk |
| Ordernummer | |
| Datum monstername | 09-04-2020 |
| Monsternemer | Max Scholten |
| Certificaatnummer | 2020055822 |
| Startdatum | 10-04-2020 |
| Rapportagedatum | 20-04-2020 |

| Analyse | Eenheid | 3 | GSSD | Oordeel | RG Eis | AW | Wonen | Industrie | IW |
|---|---|---|---|---|---|---|---|---|---|
| **Bodemtype correctie** | | | | | | | | | |
| Organische stof | | 0,7 | | | | | | | |
| Korrelgrootte < 2 µm (Lutum) | | 5,7 | | | | | | | |
| **Voorbehandeling** | | | | | | | | | |
| Cryogeen malen AS3000 | | Uitgevoerd | | | | | | | |
| **Bodemkundige analyses** | | | | | | | | | |
| Droge stof | % (m/m) | 92,2 | 92,2 | | | | | | |
| Organische stof | % (m/m) ds | <0,7 | 0,49 | | | | | | |
| Gloeirest | % (m/m) ds | 99 | | | | | | | |
| Korrelgrootte < 2 µm (Lutum) | % (m/m) ds | 5,7 | 5,7 | | | | | | |
| **Minerale olie** | | | | | | | | | |
| Minerale olie (C10-C12) | mg/kg ds | <3,0 | 10,5 | | | | | | |
| Minerale olie (C12-C16) | mg/kg ds | <5,0 | 17,5 | | | | | | |
| Minerale olie (C16-C21) | mg/kg ds | <5,0 | 17,5 | | | | | | |
| Minerale olie (C21-C30) | mg/kg ds | 12 | 60 | | | | | | |
| Minerale olie (C30-C35) | mg/kg ds | 7,3 | 36,5 | | | | | | |
| Minerale olie (C35-C40) | mg/kg ds | <6,0 | 21 | | | | | | |
| Minerale olie totaal (C10-C40) | mg/kg ds | <35 | 122,5 | <=AW | 35 | 190 | 190 | 500 | 5000 |
| **Metalen** | | | | | | | | | |
| Barium (Ba) | mg/kg ds | 24 | 63,59 | | 20 | | | | 920 |
| Cadmium (Cd) | mg/kg ds | <0,20 | 0,2281 | <=AW | 0,2 | 0,6 | 1,2 | 4,3 | 13 |
| Kobalt (Co) | mg/kg ds | <3,0 | 5,256 | <=AW | 3 | 15 | 35 | 190 | 190 |
| Koper (Cu) | mg/kg ds | <5,0 | 6,422 | <=AW | 5 | 40 | 54 | 190 | 190 |
| Kwik (Hg) | mg/kg ds | <0,050 | 0,0474 | <=AW | 0,05 | 0,15 | 0,83 | 4,8 | 36 |
| Molybdeen (Mo) | mg/kg ds | <1,5 | 1,05 | <=AW | 1,5 | 1,5 | 88 | 190 | 190 |
| Nikkel (Ni) | mg/kg ds | 4,3 | 9,586 | <=AW | 4 | 35 | | 100 | 100 |
| Lood (Pb) | mg/kg ds | 13 | 19,15 | <=AW | 10 | 50 | 210 | 530 | 530 |
| Zink (Zn) | mg/kg ds | 36 | 71,9 | <=AW | 20 | 140 | 200 | 720 | 720 |
| **Polychloorbifenylen, PCB** | | | | | | | | | |
| PCB 28 | mg/kg ds | <0,0010 | 0,0035 | | | | | | |
| PCB 52 | mg/kg ds | <0,0010 | 0,0035 | | | | | | |
| PCB 101 | mg/kg ds | <0,0010 | 0,0035 | | | | | | |
| PCB 118 | mg/kg ds | <0,0010 | 0,0035 | | | | | | |
| PCB 138 | mg/kg ds | <0,0010 | 0,0035 | | | | | | |
| PCB 153 | mg/kg ds | <0,0010 | 0,0035 | | | | | | |
| PCB 180 | mg/kg ds | <0,0010 | 0,0035 | | | | | | |
| PCB (som 7) (factor 0,7) | mg/kg ds | 0,0049 | 0,0245 | <=AW | 0,0049 | 0,02 | 0,04 | 0,5 | 1 |
| **Polycyclische Aromatische Koolwaterstoffen, PA** | | | | | | | | | |
| Naftaleen | mg/kg ds | <0,050 | 0,035 | | | | | | |
| Fenanthreen | mg/kg ds | <0,050 | 0,035 | | | | | | |
| Anthraceen | mg/kg ds | <0,050 | 0,035 | | | | | | |
| Fluorantheen | mg/kg ds | <0,050 | 0,035 | | | | | | |
| Benzo(a)anthraceen | mg/kg ds | <0,050 | 0,035 | | | | | | |
| Chryseen | mg/kg ds | <0,050 | 0,035 | | | | | | |
| Benzo(k)fluorantheen | mg/kg ds | <0,050 | 0,035 | | | | | | |
| Benzo(a)pyreen | mg/kg ds | <0,050 | 0,035 | | | | | | |
| Benzo(ghi)peryleen | mg/kg ds | <0,050 | 0,035 | | | | | | |
| Indeno(123-cd)pyreen | mg/kg ds | <0,050 | 0,035 | | | | | | |
| PAK VROM (10) (factor 0,7) | mg/kg ds | 0,35 | 0,35 | <=AW | 0,5 | 1,5 | 6,8 | 40 | 40 |

Legenda

| Nr. | Analytico-nr | Monster |
|---|---|---|
| 3 | 11305382 | GRN MM02 03 (8-50) 05 (20-50) 06 (12-50) 07 (15-50) 08 (20-50) 09 (20-50) |

Eindoordeel: Altijd toepasbaar

Gebruikte afkortingen

| | |
|---|---|
| GSSD | Gestandaardiseerd gehalte |
| AW | Achtergrondwaarde |
| <= AW | kleiner dan of gelijk aan Achtergrondwaarde |
| RG Eis | Vereiste rapportagegrens |
| IW | Interventiewaarde |

Deze toetsing is uitgevoerd met behulp van BoToVa.

Zie voor info: http://www.rwsleefomgeving.nl/onderwerpen/bodem-ondergrond/bbk/instrumenten/botova/

**BoToVa T1 Beoordeling kwaliteit van grond en bagger bij toepassing op of in de la**

| | |
|---|---|
| Projectnummer | 3192.01 |
| Projectnaam | Vredenseweg 4-6 Winterswijk |
| Ordernummer | |
| Datum monstername | 09-04-2020 |
| Monsternemer | Max Scholten |
| Certificaatnummer | 2020055822 |
| Startdatum | 10-04-2020 |
| Rapportagedatum | 20-04-2020 |

| Analyse | Eenheid | 4 | GSSD | Oordeel | RG Eis | AW | Wonen | Industrie | IW |
|---|---|---|---|---|---|---|---|---|---|
| **Bodemtype correctie** | | | | | | | | | |
| Organische stof | | 2,2 | | | | | | | |
| Korrelgrootte < 2 µm (Lutum) | | 2 | | | | | | | |
| **Voorbehandeling** | | | | | | | | | |
| Cryogeen malen AS3000 | | Uitgevoerd | | | | | | | |
| **Bodemkundige analyses** | | | | | | | | | |
| Droge stof | % (m/m) | 89,2 | 89,2 | | | | | | |
| Organische stof | % (m/m) ds | 2,2 | 2,2 | | | | | | |
| Gloeirest | % (m/m) ds | 98 | | | | | | | |
| Korrelgrootte < 2 µm (Lutum) | % (m/m) ds | <2,0 | 1,4 | | | | | | |
| **Minerale olie** | | | | | | | | | |
| Minerale olie (C10-C12) | mg/kg ds | <3,0 | 9,545 | | | | | | |
| Minerale olie (C12-C16) | mg/kg ds | <5,0 | 15,91 | | | | | | |
| Minerale olie (C16-C21) | mg/kg ds | <5,0 | 15,91 | | | | | | |
| Minerale olie (C21-C30) | mg/kg ds | 23 | 104,5 | | | | | | |
| Minerale olie (C30-C35) | mg/kg ds | 10 | 45,45 | | | | | | |
| Minerale olie (C35-C40) | mg/kg ds | <6,0 | 19,09 | | | | | | |
| Minerale olie totaal (C10-C40) | mg/kg ds | 39 | 177,3 | <=AW | 35 | 190 | 190 | 500 | 5000 |
| Chromatogram olie (GC) | | Zie bijl. | | | | | | | |
| **Metalen** | | | | | | | | | |
| Barium (Ba) | mg/kg ds | 39 | 151,1 | | 20 | | | | 920 |
| Cadmium (Cd) | mg/kg ds | 0,21 | 0,3582 | <=AW | 0,2 | 0,6 | 1,2 | 4,3 | 13 |
| Kobalt (Co) | mg/kg ds | <3,0 | 7,383 | <=AW | 3 | 15 | 35 | 190 | 190 |
| Koper (Cu) | mg/kg ds | 11 | 22,6 | <=AW | 5 | 40 | 54 | 190 | 190 |
| Kwik (Hg) | mg/kg ds | 0,11 | 0,1578 | Wonen | 0,05 | 0,15 | 0,83 | 4,8 | 36 |
| Molybdeen (Mo) | mg/kg ds | <1,5 | 1,05 | <=AW | 1,5 | 1,5 | 88 | 190 | 190 |
| Nikkel (Ni) | mg/kg ds | <4,0 | 8,167 | <=AW | 4 | 35 | | 100 | 100 |
| Lood (Pb) | mg/kg ds | 24 | 37,64 | <=AW | 10 | 50 | 210 | 530 | 530 |
| Zink (Zn) | mg/kg ds | 46 | 108,6 | <=AW | 20 | 140 | 200 | 720 | 720 |
| **Polychloorbifenylen, PCB** | | | | | | | | | |
| PCB 28 | mg/kg ds | <0,0010 | 0,0031 | | | | | | |
| PCB 52 | mg/kg ds | <0,0010 | 0,0031 | | | | | | |
| PCB 101 | mg/kg ds | <0,0010 | 0,0031 | | | | | | |
| PCB 118 | mg/kg ds | <0,0010 | 0,0031 | | | | | | |
| PCB 138 | mg/kg ds | <0,0010 | 0,0031 | | | | | | |
| PCB 153 | mg/kg ds | <0,0010 | 0,0031 | | | | | | |
| PCB 180 | mg/kg ds | <0,0010 | 0,0031 | | | | | | |
| PCB (som 7) (factor 0,7) | mg/kg ds | 0,0049 | 0,0222 | <=AW | 0,0049 | 0,02 | 0,04 | 0,5 | 1 |
| **Polycyclische Aromatische Koolwaterstoffen, PA** | | | | | | | | | |
| Naftaleen | mg/kg ds | <0,050 | 0,035 | | | | | | |
| Fenanthreen | mg/kg ds | 0,061 | 0,061 | | | | | | |
| Anthraceen | mg/kg ds | 0,1 | 0,1 | | | | | | |
| Fluorantheen | mg/kg ds | 0,53 | 0,53 | | | | | | |
| Benzo(a)anthraceen | mg/kg ds | 1,3 | 1,3 | | | | | | |
| Chryseen | mg/kg ds | 1,8 | 1,8 | | | | | | |
| Benzo(k)fluorantheen | mg/kg ds | 0,92 | 0,92 | | | | | | |
| Benzo(a)pyreen | mg/kg ds | 0,88 | 0,88 | | | | | | |
| Benzo(ghi)peryleen | mg/kg ds | 1 | 1 | | | | | | |
| Indeno(123-cd)pyreen | mg/kg ds | 1,4 | 1,4 | | | | | | |
| PAK VROM (10) (factor 0,7) | mg/kg ds | 8,1 | 8,026 | Industrie | 0,5 | 1,5 | 6,8 | 40 | 40 |

Legenda

| Nr. | Analytico-nr | Monster |
|---|---|---|
| 4 | 11305383 | GRN MM03 10 (20-60) 11 (15-60) 12 (20-50) 13 (20-50) 14 (20-50) |

Eindoordeel: Klasse industrie

Gebruikte afkortingen

| | |
|---|---|
| GSSD | Gestandaardiseerd gehalte |
| AW | Achtergrondwaarde |
| <= AW | kleiner dan of gelijk aan Achtergrondwaarde |
| RG Eis | Vereiste rapportagegrens |
| IW | Interventiewaarde |

Deze toetsing is uitgevoerd met behulp van BoToVa.
Zie voor info: http://www.rwsleefomgeving.nl/onderwerpen/bodem-ondergrond/bbk/instrumenten/botova/

**BoToVa T1 Beoordeling kwaliteit van grond en bagger bij toepassing op of in de la**

| | |
|---|---|
| Projectnummer | 3192.01 |
| Projectnaam | Vredenseweg 4-6 Winterswijk |
| Ordernummer | |
| Datum monstername | 09-04-2020 |
| Monsternemer | Max Scholten |
| Certificaatnummer | 2020055822 |
| Startdatum | 10-04-2020 |
| Rapportagedatum | 20-04-2020 |

| Analyse | Eenheid | 5 | GSSD | Oordeel | RG Eis | AW | Wonen | Industrie | IW |
|---|---|---|---|---|---|---|---|---|---|
| **Bodemtype correctie** | | | | | | | | | |
| Organische stof | | 0,7 | | | | | | | |
| Korrelgrootte < 2 µm (Lutum) | | 2,3 | | | | | | | |
| **Voorbehandeling** | | | | | | | | | |
| Cryogeen malen AS3000 | | Uitgevoerd | | | | | | | |
| **Bodemkundige analyses** | | | | | | | | | |
| Droge stof | % (m/m) | 86,1 | 86,1 | | | | | | |
| Organische stof | % (m/m) ds | 0,7 | 0,7 | | | | | | |
| Gloeirest | % (m/m) ds | 99 | | | | | | | |
| Korrelgrootte < 2 µm (Lutum) | % (m/m) ds | 2,3 | 2,3 | | | | | | |
| **Minerale olie** | | | | | | | | | |
| Minerale olie (C10-C12) | mg/kg ds | <3,0 | 10,5 | | | | | | |
| Minerale olie (C12-C16) | mg/kg ds | <5,0 | 17,5 | | | | | | |
| Minerale olie (C16-C21) | mg/kg ds | <5,0 | 17,5 | | | | | | |
| Minerale olie (C21-C30) | mg/kg ds | 12 | 60 | | | | | | |
| Minerale olie (C30-C35) | mg/kg ds | 5 | 25 | | | | | | |
| Minerale olie (C35-C40) | mg/kg ds | <6,0 | 21 | | | | | | |
| Minerale olie totaal (C10-C40) | mg/kg ds | <35 | 122,5 | <=AW | 35 | 190 | 190 | 500 | 5000 |
| **Metalen** | | | | | | | | | |
| Barium (Ba) | mg/kg ds | 25 | 93,37 | | 20 | | | | 920 |
| Cadmium (Cd) | mg/kg ds | <0,20 | 0,2399 | <=AW | 0,2 | 0,6 | 1,2 | 4,3 | 13 |
| Kobalt (Co) | mg/kg ds | <3,0 | 7,148 | <=AW | 3 | 15 | 35 | 190 | 190 |
| Koper (Cu) | mg/kg ds | 6,3 | 12,9 | <=AW | 5 | 40 | 54 | 190 | 190 |
| Kwik (Hg) | mg/kg ds | <0,050 | 0,05 | <=AW | 0,05 | 0,15 | 0,83 | 4,8 | 36 |
| Molybdeen (Mo) | mg/kg ds | <1,5 | 1,05 | <=AW | 1,5 | 1,5 | 88 | 190 | 190 |
| Nikkel (Ni) | mg/kg ds | 4,8 | 13,66 | <=AW | 4 | 35 | | 100 | 100 |
| Lood (Pb) | mg/kg ds | 48 | 75,14 | Wonen | 10 | 50 | 210 | 530 | 530 |
| Zink (Zn) | mg/kg ds | 41 | 95,83 | <=AW | 20 | 140 | 200 | 720 | 720 |
| **Polychloorbifenylen, PCB** | | | | | | | | | |
| PCB 28 | mg/kg ds | <0,0010 | 0,0035 | | | | | | |
| PCB 52 | mg/kg ds | <0,0010 | 0,0035 | | | | | | |
| PCB 101 | mg/kg ds | <0,0010 | 0,0035 | | | | | | |
| PCB 118 | mg/kg ds | <0,0010 | 0,0035 | | | | | | |
| PCB 138 | mg/kg ds | <0,0010 | 0,0035 | | | | | | |
| PCB 153 | mg/kg ds | <0,0010 | 0,0035 | | | | | | |
| PCB 180 | mg/kg ds | <0,0010 | 0,0035 | | | | | | |
| PCB (som 7) (factor 0,7) | mg/kg ds | 0,0049 | 0,0245 | <=AW | 0,0049 | 0,02 | 0,04 | 0,5 | 1 |
| **Polycyclische Aromatische Koolwaterstoffen, PA** | | | | | | | | | |
| Naftaleen | mg/kg ds | <0,050 | 0,035 | | | | | | |
| Fenanthreen | mg/kg ds | 0,16 | 0,16 | | | | | | |
| Anthraceen | mg/kg ds | 0,06 | 0,06 | | | | | | |
| Fluorantheen | mg/kg ds | 0,51 | 0,51 | | | | | | |
| Benzo(a)anthraceen | mg/kg ds | 0,37 | 0,37 | | | | | | |
| Chryseen | mg/kg ds | 0,41 | 0,41 | | | | | | |
| Benzo(k)fluorantheen | mg/kg ds | 0,17 | 0,17 | | | | | | |
| Benzo(a)pyreen | mg/kg ds | 0,3 | 0,3 | | | | | | |
| Benzo(ghi)peryleen | mg/kg ds | 0,18 | 0,18 | | | | | | |
| Indeno(123-cd)pyreen | mg/kg ds | 0,21 | 0,21 | | | | | | |
| PAK VROM (10) (factor 0,7) | mg/kg ds | 2,4 | 2,405 | Wonen | 0,5 | 1,5 | 6,8 | 40 | 40 |

Legenda

| Nr. | Analytico-nr | Monster |
|---|---|---|
| 5 | 11305384 | GRN MM04 01 (50-80) 04 (50-70) |

Eindoordeel: Altijd toepasbaar

Gebruikte afkortingen

| | |
|---|---|
| GSSD | Gestandaardiseerd gehalte |
| AW | Achtergrondwaarde |
| <= AW | kleiner dan of gelijk aan Achtergrondwaarde |
| RG Eis | Vereiste rapportagegrens |
| IW | Interventiewaarde |

Deze toetsing is uitgevoerd met behulp van BoToVa.

Zie voor info: http://www.rwsleefomgeving.nl/onderwerpen/bodem-ondergrond/bbk/instrumenten/botova/

**BoToVa T1 Beoordeling kwaliteit van grond en bagger bij toepassing op of in de la**

| | |
|---|---|
| Projectnummer | 3192.01 |
| Projectnaam | Vredenseweg 4-6 Winterswijk |
| Ordernummer | |
| Datum monstername | 09-04-2020 |
| Monsternemer | Max Scholten |
| Certificaatnummer | 2020055822 |
| Startdatum | 10-04-2020 |
| Rapportagedatum | 20-04-2020 |

| Analyse | Eenheid | 6 | GSSD | Oordeel | RG Eis | AW | Wonen | Industrie | IW |
|---|---|---|---|---|---|---|---|---|---|
| **Bodemtype correctie** | | | | | | | | | |
| Organische stof | | 0,7 | | | | | | | |
| Korrelgrootte < 2 µm (Lutum) | | 2 | | | | | | | |
| **Voorbehandeling** | | | | | | | | | |
| Cryogeen malen AS3000 | | Uitgevoerd | | | | | | | |
| **Bodemkundige analyses** | | | | | | | | | |
| Droge stof | % (m/m) | 84,5 | 84,5 | | | | | | |
| Organische stof | % (m/m) ds | <0,7 | 0,49 | | | | | | |
| Gloeirest | % (m/m) ds | 99 | | | | | | | |
| Korrelgrootte < 2 µm (Lutum) | % (m/m) ds | <2,0 | 1,4 | | | | | | |
| **Minerale olie** | | | | | | | | | |
| Minerale olie (C10-C12) | mg/kg ds | <3,0 | 10,5 | | | | | | |
| Minerale olie (C12-C16) | mg/kg ds | <5,0 | 17,5 | | | | | | |
| Minerale olie (C16-C21) | mg/kg ds | <5,0 | 17,5 | | | | | | |
| Minerale olie (C21-C30) | mg/kg ds | <11 | 38,5 | | | | | | |
| Minerale olie (C30-C35) | mg/kg ds | <5,0 | 17,5 | | | | | | |
| Minerale olie (C35-C40) | mg/kg ds | <6,0 | 21 | | | | | | |
| Minerale olie totaal (C10-C40) | mg/kg ds | <35 | 122,5 | <=AW | 35 | 190 | 190 | 500 | 5000 |
| **Metalen** | | | | | | | | | |
| Barium (Ba) | mg/kg ds | <20 | 54,25 | | 20 | | | | 920 |
| Cadmium (Cd) | mg/kg ds | <0,20 | 0,241 | <=AW | 0,2 | 0,6 | 1,2 | 4,3 | 13 |
| Kobalt (Co) | mg/kg ds | <3,0 | 7,383 | <=AW | 3 | 15 | 35 | 190 | 190 |
| Koper (Cu) | mg/kg ds | <5,0 | 7,241 | <=AW | 5 | 40 | 54 | 190 | 190 |
| Kwik (Hg) | mg/kg ds | <0,050 | 0,0502 | <=AW | 0,05 | 0,15 | 0,83 | 4,8 | 36 |
| Molybdeen (Mo) | mg/kg ds | <1,5 | 1,05 | <=AW | 1,5 | 1,5 | 88 | 190 | 190 |
| Nikkel (Ni) | mg/kg ds | <4,0 | 8,167 | <=AW | 4 | 35 | | 100 | 100 |
| Lood (Pb) | mg/kg ds | <10 | 11,02 | <=AW | 10 | 50 | 210 | 530 | 530 |
| Zink (Zn) | mg/kg ds | <20 | 33,22 | <=AW | 20 | 140 | 200 | 720 | 720 |
| **Polychloorbifenylen, PCB** | | | | | | | | | |
| PCB 28 | mg/kg ds | <0,0010 | 0,0035 | | | | | | |
| PCB 52 | mg/kg ds | <0,0010 | 0,0035 | | | | | | |
| PCB 101 | mg/kg ds | <0,0010 | 0,0035 | | | | | | |
| PCB 118 | mg/kg ds | <0,0010 | 0,0035 | | | | | | |
| PCB 138 | mg/kg ds | <0,0010 | 0,0035 | | | | | | |
| PCB 153 | mg/kg ds | <0,0010 | 0,0035 | | | | | | |
| PCB 180 | mg/kg ds | <0,0010 | 0,0035 | | | | | | |
| PCB (som 7) (factor 0,7) | mg/kg ds | 0,0049 | 0,0245 | <=AW | 0,0049 | 0,02 | 0,04 | 0,5 | 1 |
| **Polycyclische Aromatische Koolwaterstoffen, PA** | | | | | | | | | |
| Naftaleen | mg/kg ds | <0,050 | 0,035 | | | | | | |
| Fenanthreen | mg/kg ds | <0,050 | 0,035 | | | | | | |
| Anthraceen | mg/kg ds | <0,050 | 0,035 | | | | | | |
| Fluorantheen | mg/kg ds | <0,050 | 0,035 | | | | | | |
| Benzo(a)anthraceen | mg/kg ds | <0,050 | 0,035 | | | | | | |
| Chryseen | mg/kg ds | <0,050 | 0,035 | | | | | | |
| Benzo(k)fluorantheen | mg/kg ds | <0,050 | 0,035 | | | | | | |
| Benzo(a)pyreen | mg/kg ds | <0,050 | 0,035 | | | | | | |
| Benzo(ghi)peryleen | mg/kg ds | <0,050 | 0,035 | | | | | | |
| Indeno(123-cd)pyreen | mg/kg ds | <0,050 | 0,035 | | | | | | |
| PAK VROM (10) (factor 0,7) | mg/kg ds | 0,35 | 0,35 | <=AW | 0,5 | 1,5 | 6,8 | 40 | 40 |

Legenda

| Nr. | Analytico-nr | Monster |
|---|---|---|
| 6 | 11305385 | GRN MM05 07 (70-120) 07 (120-150) 07 (150-200) 13(50-100) 13 (100-150) 13 (150-200) 14 (80-110) 14 |

Eindoordeel: Altijd toepasbaar

Gebruikte afkortingen

| | |
|---|---|
| GSSD | Gestandaardiseerd gehalte |
| AW | Achtergrondwaarde |
| <= AW | kleiner dan of gelijk aan Achtergrondwaarde |
| RG Eis | Vereiste rapportagegrens |
| IW | Interventiewaarde |

Deze toetsing is uitgevoerd met behulp van BoToVa.

Zie voor info: http://www.rwsleefomgeving.nl/onderwerpen/bodem-ondergrond/bbk/instrumenten/botova/

# Bijlage 4.3

Tijdelijk handelingskader voor hergebruik van PFAS-houdende grond en baggerspecie

Toetsing: PFAS tijdelijk handelingskader grond bagger

| | |
|---|---|
| Uw projectnummer | 3192.01 |
| Uw projectnaam | Vredenseweg 4-6 Winterswijk |
| Uw ordernummer | |
| Datum monstername | 09-04-2020 |
| Monsternemer | Max Scholten |
| Certificaatnummer | 2020060014 |
| Startdatum | 20-04-2020 |
| Rapportagedatum | 24-04-2020 |

| Analyse | Eenheid | 1 | GSSD | | RG Eis | AW | Wonen | Industrie |
|---|---|---|---|---|---|---|---|---|
| **Bodemtype correctie** | | | | | | | | |
| Organische stof | | 0.700 | | | | | | |
| Korrelgrootte < 2 µm (Lutum) | | 25 | | # | | | | |
| **Bodemkundige analyses** | | | | | | | | |
| Droge stof | % (m/m) | 90.1 | | | | | | |
| Organische stof | % (m/m) ds | <0.7 | | | | | | |
| Gloeirest | % (m/m) ds | 99 | | | | | | |
| **PerFluorKoolwaterstoffen(PFC)** | | | | | | | | |
| perfluorbutaanzuur (PFBA) | µg/kg ds | <0.1 | 0.07 | - | 0,1 | 0,8 | 3 | 3 |
| perfluorpentaanzuur (PFPeA) | µg/kg ds | <0.1 | 0.07 | - | 0,1 | 0,8 | 3 | 3 |
| perfluorhexaanzuur (PFHxA) | µg/kg ds | <0.1 | 0.07 | - | 0,1 | 0,8 | 3 | 3 |
| perfluorheptaanzuur (PFHpA) | µg/kg ds | <0.1 | 0.07 | - | 0,1 | 0,8 | 3 | 3 |
| perfluoroctaanzuur (PFOA) lineair | µg/kg ds | <0.1 | 0.07 | - | 0,1 | 0,8 | 7 | 7 |
| perfluoroctaanzuur (PFOA) vertakt | µg/kg ds | <0.1 | 0.07 | - | 0,1 | 0,8 | 7 | 7 |
| perfluornonaanzuur (PFNA) | µg/kg ds | <0.1 | 0.07 | - | 0,1 | 0,8 | 3 | 3 |
| perfluordecaanzuur (PFDA) | µg/kg ds | 0.1 | 0.1 | - | 0,1 | 0,8 | 3 | 3 |
| perfluorundecaanzuur (PFUnDA) | µg/kg ds | <0.1 | 0.07 | - | 0,1 | 0,8 | 3 | 3 |
| perfluordodecaanzuur (PFDoA) | µg/kg ds | <0.1 | 0.07 | - | 0,1 | 0,8 | 3 | 3 |
| perfluortridecaanzuur (PFTrDA) | µg/kg ds | <0.1 | 0.07 | - | 0,1 | 0,8 | 3 | 3 |
| perfluortetradecaanzuur (PFTeDA) | µg/kg ds | <0.1 | 0.07 | - | 0,1 | 0,8 | 3 | 3 |
| perfluorhexadecaanzuur (PFHxDA) | µg/kg ds | <0.1 | 0.07 | - | 0,1 | 0,8 | 3 | 3 |
| perfluoroctadecaanzuur (PFODA) | µg/kg ds | <0.1 | 0.07 | - | 0,1 | 0,8 | 3 | 3 |
| perfluorbutaansulfonzuur (PFBS) | µg/kg ds | <0.1 | 0.07 | - | 0,1 | 0,8 | 3 | 3 |
| perfluorpentaansulfonzuur (PFPeS) | µg/kg ds | <0.1 | 0.07 | - | 0,1 | 0,8 | 3 | 3 |
| perfluorhexaansulfonzuur (PFHxS) | µg/kg ds | <0.1 | 0.07 | - | 0,1 | 0,8 | 3 | 3 |
| perfluorheptaansulfonzuur (PFHpS) | µg/kg ds | <0.1 | 0.07 | - | 0,1 | 0,8 | 3 | 3 |
| perfluoroctaansulfonzuur (PFOS) lineair | µg/kg ds | 0.5 | 0.5 | - | 0,1 | 0,9 | 3 | 3 |
| perfluoroctaansulfonzuur (PFOS) vertakt | µg/kg ds | <0.1 | 0.07 | - | 0,1 | 0,9 | 3 | 3 |
| perfluordecaansulfonzuur (PFDS) | µg/kg ds | <0.1 | 0.07 | - | 0,1 | 0,8 | 3 | 3 |
| 4:2 fluortelomeer sulfonzuur (4:2 FTS) | µg/kg ds | <0.1 | 0.07 | - | 0,1 | 0,8 | 3 | 3 |
| 6:2 fluortelomeer sulfonzuur (6:2 FTS) | µg/kg ds | <0.1 | 0.07 | - | 0,1 | 0,8 | 3 | 3 |
| 8:2 fluortelomeer sulfonzuur (8:2 FTS) | µg/kg ds | <0.1 | 0.07 | - | 0,1 | 0,8 | 3 | 3 |
| 10:2 fluortelomeer sulfonzuur (10:2 FTS) | µg/kg ds | <0.1 | 0.07 | - | 0,1 | 0,8 | 3 | 3 |
| N-methylperfluoroctaansulfonamideacetaat(M | µg/kg ds | <0.1 | 0.07 | - | 0,1 | 0,8 | 3 | 3 |
| N-ethylperfluoroctaansulfonamideacetaat (Et | µg/kg ds | <0.1 | 0.07 | - | 0,1 | 0,9 | 3 | 3 |
| perfluoroctaansulfonamide (PFOSA) | µg/kg ds | <0.1 | 0.07 | - | 0,1 | 0,9 | 3 | 3 |
| N-methylperfluoroctaansulfonamide (MeFOS/ | µg/kg ds | <0.1 | 0.07 | - | 0,1 | 0,8 | 3 | 3 |
| 8:2 fluortelomeerfosfaatdiester (8:2 diPAP) | µg/kg ds | <0.1 | 0.07 | - | 0,1 | 0,8 | 3 | 3 |
| som PFOA (*0,7) | µg/kg ds | 0.1 | 0.1 | - | 0,1 | 0,8 | 7 | 7 |
| som PFOS (*0,7) | µg/kg ds | 0.5 | 0.5 | - | 0,1 | 0,9 | 3 | 3 |

Legenda

| Nr. | Monsternaam | Eurofins nr. |
|---|---|---|
| 1 | 8-50) 04 (8-50) | 11318565 |

| | |
|---|---|
| <= rapportagegrens danwel achtergrondwaar | - |
| > achtergrondwaarde | * |
| > wonen | ** |
| > Industrie | *** |

Voor toepassingen in grondwaterbeschermingsgebieden is de toepassingseis gelijk aan de bepalingsgrens (0,1 µg/kg)

Deze toetsing is NIET met BoToVa uitgevoerd en is indicatief

Eurofins Analytico B.V. is niet verantwoordelijk voor de uitkomst van deze toetsing.

Mocht u een probleem in deze toetsing signaleren, dan verzoeken
wij u vriendelijk dit door te geven aan pais.helpdesk@eurofins.com

Toetsing: PFAS tijdelijk handelingskader grond bagger

| | |
|---|---|
| Uw projectnummer | 3192.01 |
| Uw projectnaam | Vredenseweg 4-6 Winterswijk |
| Uw ordernummer | |
| Datum monstername | 09-04-2020 |
| Monsternemer | Max Scholten |
| Certificaatnummer | 2020060014 |
| Startdatum | 20-04-2020 |
| Rapportagedatum | 24-04-2020 |

| Analyse | Eenheid | 2 | GSSD | | RG Eis | AW | Wonen | Industrie |
|---|---|---|---|---|---|---|---|---|
| **Bodemtype correctie** | | | | | | | | |
| Organische stof | | 1.20 | | | | | | |
| Korrelgrootte < 2 µm (Lutum) | | 25 | | # | | | | |
| **Bodemkundige analyses** | | | | | | | | |
| Droge stof | % (m/m) | 90.4 | | | | | | |
| Organische stof | % (m/m) ds | 1.2 | | | | | | |
| Gloeirest | % (m/m) ds | 98 | | | | | | |
| **PerFluorKoolwaterstoffen(PFC)** | | | | | | | | |
| perfluorbutaanzuur (PFBA) | µg/kg ds | <0.1 | 0.07 | - | 0,1 | 0,8 | 3 | 3 |
| perfluorpentaanzuur (PFPeA) | µg/kg ds | <0.1 | 0.07 | - | 0,1 | 0,8 | 3 | 3 |
| perfluorhexaanzuur (PFHxA) | µg/kg ds | <0.1 | 0.07 | - | 0,1 | 0,8 | 3 | 3 |
| perfluorheptaanzuur (PFHpA) | µg/kg ds | <0.1 | 0.07 | - | 0,1 | 0,8 | 3 | 3 |
| perfluoroctaanzuur (PFOA) lineair | µg/kg ds | <0.1 | 0.07 | - | 0,1 | 0,8 | 7 | 7 |
| perfluoroctaanzuur (PFOA) vertakt | µg/kg ds | <0.1 | 0.07 | - | 0,1 | 0,8 | 7 | 7 |
| perfluornonaanzuur (PFNA) | µg/kg ds | <0.1 | 0.07 | - | 0,1 | 0,8 | 3 | 3 |
| perfluordecaanzuur (PFDA) | µg/kg ds | <0.1 | 0.07 | - | 0,1 | 0,8 | 3 | 3 |
| perfluorundecaanzuur (PFUnDA) | µg/kg ds | <0.1 | 0.07 | - | 0,1 | 0,8 | 3 | 3 |
| perfluordodecaanzuur (PFDoA) | µg/kg ds | <0.1 | 0.07 | - | 0,1 | 0,8 | 3 | 3 |
| perfluortridecaanzuur (PFTrDA) | µg/kg ds | <0.1 | 0.07 | - | 0,1 | 0,8 | 3 | 3 |
| perfluortetradecaanzuur (PFTeDA) | µg/kg ds | <0.1 | 0.07 | - | 0,1 | 0,8 | 3 | 3 |
| perfluorhexadecaanzuur (PFHxDA) | µg/kg ds | <0.1 | 0.07 | - | 0,1 | 0,8 | 3 | 3 |
| perfluoroctadecaanzuur (PFODA) | µg/kg ds | <0.1 | 0.07 | - | 0,1 | 0,8 | 3 | 3 |
| perfluorbutaansulfonzuur (PFBS) | µg/kg ds | <0.1 | 0.07 | - | 0,1 | 0,8 | 3 | 3 |
| perfluorpentaansulfonzuur (PFPeS) | µg/kg ds | <0.1 | 0.07 | - | 0,1 | 0,8 | 3 | 3 |
| perfluorhexaansulfonzuur (PFHxS) | µg/kg ds | <0.1 | 0.07 | - | 0,1 | 0,8 | 3 | 3 |
| perfluorheptaansulfonzuur (PFHpS) | µg/kg ds | <0.1 | 0.07 | - | 0,1 | 0,8 | 3 | 3 |
| perfluoroctaansulfonzuur (PFOS) lineair | µg/kg ds | <0.1 | 0.07 | - | 0,1 | 0,9 | 3 | 3 |
| perfluoroctaansulfonzuur (PFOS) vertakt | µg/kg ds | <0.1 | 0.07 | - | 0,1 | 0,9 | 3 | 3 |
| perfluordecaansulfonzuur (PFDS) | µg/kg ds | <0.1 | 0.07 | - | 0,1 | 0,8 | 3 | 3 |
| 4:2 fluortelomeer sulfonzuur (4:2 FTS) | µg/kg ds | <0.1 | 0.07 | - | 0,1 | 0,8 | 3 | 3 |
| 6:2 fluortelomeer sulfonzuur (6:2 FTS) | µg/kg ds | <0.1 | 0.07 | - | 0,1 | 0,8 | 3 | 3 |
| 8:2 fluortelomeer sulfonzuur (8:2 FTS) | µg/kg ds | <0.1 | 0.07 | - | 0,1 | 0,8 | 3 | 3 |
| 10:2 fluortelomeer sulfonzuur (10:2 FTS) | µg/kg ds | <0.1 | 0.07 | - | 0,1 | 0,8 | 3 | 3 |
| N-methylperfluoroctaansulfonamideacetaat(M | µg/kg ds | <0.1 | 0.07 | - | 0,1 | 0,8 | 3 | 3 |
| N-ethylperfluoroctaansulfonamideacetaat (Et | µg/kg ds | <0.1 | 0.07 | - | 0,1 | 0,9 | 3 | 3 |
| perfluoroctaansulfonamide (PFOSA) | µg/kg ds | <0.1 | 0.07 | - | 0,1 | 0,9 | 3 | 3 |
| N-methylperfluoroctaansulfonamide (MeFOS/ | µg/kg ds | <0.1 | 0.07 | - | 0,1 | 0,8 | 3 | 3 |
| 8:2 fluortelomeerfosfaatdiester (8:2 diPAP) | µg/kg ds | <0.1 | 0.07 | - | 0,1 | 0,8 | 3 | 3 |
| som PFOA (*0,7) | µg/kg ds | 0.1 | 0.1 | - | 0,1 | 0,8 | 7 | 7 |
| som PFOS (*0,7) | µg/kg ds | 0.1 | 0.1 | - | 0,1 | 0,9 | 3 | 3 |

Legenda

| Nr. | Monsternaam | Eurofins nr. |
|---|---|---|
| 2 | ) 12 (20-50) 13 | 11318566 |

| | |
|---|---|
| <= rapportagegrens danwel achtergrondwaar | - |
| > achtergrondwaarde | * |
| > wonen | ** |
| > Industrie | *** |

Voor toepassingen in grondwaterbeschermingsgebieden is de toepassingseis gelijk aan de bepalingsgrens (0,1 µg/kg)

Deze toetsing is NIET met BoToVa uitgevoerd en is indicatief

Eurofins Analytico B.V. is niet verantwoordelijk voor de uitkomst van deze toetsing.

Mocht u een probleem in deze toetsing signaleren, dan verzoeken
wij u vriendelijk dit door te geven aan pais.helpdesk@eurofins.com

Toetsing: PFAS tijdelijk handelingskader grond bagger

| | |
|---|---|
| Uw projectnummer | 3192.01 |
| Uw projectnaam | Vredenseweg 4-6 Winterswijk |
| Uw ordernummer | |
| Datum monstername | 09-04-2020 |
| Monsternemer | Max Scholten |
| Certificaatnummer | 2020060014 |
| Startdatum | 20-04-2020 |
| Rapportagedatum | 24-04-2020 |

| Analyse | Eenheid | 3 | GSSD | | RG Eis | AW | Wonen | Industrie |
|---|---|---|---|---|---|---|---|---|
| **Bodemtype correctie** | | | | | | | | |
| Organische stof | | 0.700 | | | | | | |
| Korrelgrootte < 2 µm (Lutum) | | 25 | | # | | | | |
| **Bodemkundige analyses** | | | | | | | | |
| Droge stof | % (m/m) | 85.8 | | | | | | |
| Organische stof | % (m/m) ds | 0.7 | | | | | | |
| Gloeirest | % (m/m) ds | 99 | | | | | | |
| **PerFluorKoolwaterstoffen(PFC)** | | | | | | | | |
| perfluorbutaanzuur (PFBA) | µg/kg ds | <0.1 | 0.07 | - | 0,1 | 0,8 | 3 | 3 |
| perfluorpentaanzuur (PFPeA) | µg/kg ds | <0.1 | 0.07 | - | 0,1 | 0,8 | 3 | 3 |
| perfluorhexaanzuur (PFHxA) | µg/kg ds | <0.1 | 0.07 | - | 0,1 | 0,8 | 3 | 3 |
| perfluorheptaanzuur (PFHpA) | µg/kg ds | <0.1 | 0.07 | - | 0,1 | 0,8 | 3 | 3 |
| perfluoroctaanzuur (PFOA) lineair | µg/kg ds | <0.1 | 0.07 | - | 0,1 | 0,8 | 7 | 7 |
| perfluoroctaanzuur (PFOA) vertakt | µg/kg ds | <0.1 | 0.07 | - | 0,1 | 0,8 | 7 | 7 |
| perfluornonaanzuur (PFNA) | µg/kg ds | <0.1 | 0.07 | - | 0,1 | 0,8 | 3 | 3 |
| perfluordecaanzuur (PFDA) | µg/kg ds | <0.1 | 0.07 | - | 0,1 | 0,8 | 3 | 3 |
| perfluorundecaanzuur (PFUnDA) | µg/kg ds | <0.1 | 0.07 | - | 0,1 | 0,8 | 3 | 3 |
| perfluordodecaanzuur (PFDoA) | µg/kg ds | <0.1 | 0.07 | - | 0,1 | 0,8 | 3 | 3 |
| perfluortridecaanzuur (PFTrDA) | µg/kg ds | <0.1 | 0.07 | - | 0,1 | 0,8 | 3 | 3 |
| perfluortetradecaanzuur (PFTeDA) | µg/kg ds | <0.1 | 0.07 | - | 0,1 | 0,8 | 3 | 3 |
| perfluorhexadecaanzuur (PFHxDA) | µg/kg ds | <0.1 | 0.07 | - | 0,1 | 0,8 | 3 | 3 |
| perfluoroctadecaanzuur (PFODA) | µg/kg ds | <0.1 | 0.07 | - | 0,1 | 0,8 | 3 | 3 |
| perfluorbutaansulfonzuur (PFBS) | µg/kg ds | <0.1 | 0.07 | - | 0,1 | 0,8 | 3 | 3 |
| perfluorpentaansulfonzuur (PFPeS) | µg/kg ds | <0.1 | 0.07 | - | 0,1 | 0,8 | 3 | 3 |
| perfluorhexaansulfonzuur (PFHxS) | µg/kg ds | <0.1 | 0.07 | - | 0,1 | 0,8 | 3 | 3 |
| perfluorheptaansulfonzuur (PFHpS) | µg/kg ds | <0.1 | 0.07 | - | 0,1 | 0,8 | 3 | 3 |
| perfluoroctaansulfonzuur (PFOS) lineair | µg/kg ds | <0.1 | 0.07 | - | 0,1 | 0,9 | 3 | 3 |
| perfluoroctaansulfonzuur (PFOS) vertakt | µg/kg ds | <0.1 | 0.07 | - | 0,1 | 0,9 | 3 | 3 |
| perfluordecaansulfonzuur (PFDS) | µg/kg ds | <0.1 | 0.07 | - | 0,1 | 0,8 | 3 | 3 |
| 4:2 fluortelomeer sulfonzuur (4:2 FTS) | µg/kg ds | <0.1 | 0.07 | - | 0,1 | 0,8 | 3 | 3 |
| 6:2 fluortelomeer sulfonzuur (6:2 FTS) | µg/kg ds | <0.1 | 0.07 | - | 0,1 | 0,8 | 3 | 3 |
| 8:2 fluortelomeer sulfonzuur (8:2 FTS) | µg/kg ds | <0.1 | 0.07 | - | 0,1 | 0,8 | 3 | 3 |
| 10:2 fluortelomeer sulfonzuur (10:2 FTS) | µg/kg ds | <0.1 | 0.07 | - | 0,1 | 0,8 | 3 | 3 |
| N-methylperfluoroctaansulfonamideacetaat(M | µg/kg ds | <0.1 | 0.07 | - | 0,1 | 0,8 | 3 | 3 |
| N-ethylperfluoroctaansulfonamideacetaat (Et | µg/kg ds | <0.1 | 0.07 | - | 0,1 | 0,9 | 3 | 3 |
| perfluoroctaansulfonamide (PFOSA) | µg/kg ds | <0.1 | 0.07 | - | 0,1 | 0,9 | 3 | 3 |
| N-methylperfluoroctaansulfonamide (MeFOS/ | µg/kg ds | <0.1 | 0.07 | - | 0,1 | 0,8 | 3 | 3 |
| 8:2 fluortelomeerfosfaatdiester (8:2 diPAP) | µg/kg ds | <0.1 | 0.07 | - | 0,1 | 0,8 | 3 | 3 |
| som PFOA (*0,7) | µg/kg ds | 0.1 | 0.1 | - | 0,1 | 0,8 | 7 | 7 |
| som PFOS (*0,7) | µg/kg ds | 0.1 | 0.1 | - | 0,1 | 0,9 | 3 | 3 |

Legenda

| Nr. | Monsternaam | Eurofins nr. |
|---|---|---|
| 3 | 120) 11 (60-11 | 11318567 |

| | |
|---|---|
| <= rapportagegrens danwel achtergrondwaar | - |
| > achtergrondwaarde | * |
| > wonen | ** |
| > Industrie | *** |

Voor toepassingen in grondwaterbeschermingsgebieden is de toepassingseis gelijk aan de bepalingsgrens (0,1 µg/kg)

Deze toetsing is NIET met BoToVa uitgevoerd en is indicatief

Eurofins Analytico B.V. is niet verantwoordelijk voor de uitkomst van deze toetsing.

Mocht u een probleem in deze toetsing signaleren, dan verzoeken

wij u vriendelijk dit door te geven aan pais.helpdesk@eurofins.com

# Bijlage 5

Toetsingskader

# Bijlage 5.1

Wet bodembescherming (Wbb)

## Toetsingskader Wet bodembescherming

| | Stof/niveau | Grond/sediment (mg/kg droge stof) | | Grondwater (µg/l opgelost, tenzij anders vermeld) | |
|---|---|---|---|---|---|
| | | Achtergrondwaarde | Interventiewaarde | Streefwaarde | Interventiewaaarde |
| I. | **Metalen** | | | | |
| | antimoon (Sb) | 4,0 | 22 | - | 20 |
| | arseen (As) | 20 | 76 | 10 | 60 |
| | barium (Ba) | - | 920* | 50 | 625 |
| | cadmium (Cd) | 0,60 | 13 | 0,4 | 6 |
| | chroom (Cr) | 55 | - | 1 | 30 |
| | chroom III | - | 180 | - | - |
| | chroom VI | - | 78 | - | - |
| | cobalt (Co) | 15 | 190 | 20 | 100 |
| | koper (Cu | 40 | 190 | 15 | 75 |
| | kwik (Hg) | 0,15 | - | 0,05 | 0,3 |
| | kwik (anorganisch) | - | 36 | - | - |
| | kwik (organisch) | - | 4 | - | - |
| | lood (Pb) | 50 | 530 | 15 | 75 |
| | molybdeen (Mo) | 1,5 | 190 | 5 | 300 |
| | nikkel (Ni) | 35 | 100 | 15 | 75 |
| | tin (Sn) | 6,5 | - | - | - |
| | vanadium (V) | 80 | - | - | - |
| | zink (Zn) | 140 | 720 | 65 | 800 |
| II. | **Anorganische verbindingen** | | | | |
| | chloride | - | - | 100 (Cl/l) | - |
| | cyaniden-vrij | 3 | 20 | 5 | 1500 |
| | cyaniden-complex | 5,5 | 50 | 10 | 1500 |
| | thiocyanaat | 6,0 | 20 | - | 1500 |
| III. | **Aromatische verbindingen** | | | | |
| | benzeen | 0,20 | 1,1 | 0,2 | 30 |
| | ethylbenzeen | 0,20 | 110 | 4 | 150 |
| | tolueen | 0,20 | 32 | 7 | 1000 |
| | xylenen | 0,45 | 17 | 0,2 | 70 |
| | styreen (vinylbenzeen) | 0,25 | 86 | 6 | 300 |
| | fenol | 0,25 | 14 | 0,2 | 2000 |
| | cresolen (som) | 0,30 | 13 | 0,2 | 200 |
| | dodecylbenzeen | 0,35 | - | - | - |
| | aromatische oplosmiddelen (som) | 2,5 | - | - | - |
| IV. | **Polycyclische aromatische koolwaterstoffen (PAK's)** | | | | |
| | naftaleen | | | 0,01 | 70 |
| | antraceen | | | 0,0007 | 5 |
| | fenantreen | | | 0,003 | 5 |
| | fluoranteen | | | 0,003 | 1 |
| | benzo(a)antraceen | | | 0,0001 | 0,5 |
| | chryseen | | | 0,003 | 0,2 |
| | benzo(a)pyreen | | | 0,0005 | 0,05 |
| | benzo(ghi)peryleen | | | 0,0003 | 0,05 |
| | benzo(k)fluoranteen | | | 0,0004 | 0,05 |
| | indeno(1,2,3cd)pyreen | | | 0,0004 | 0,05 |
| | PAK (som 10) | 1,5 | 40 | - | - |
| V. | **Gechloreerde koolwaterstoffen** | | | | |
| | vinylchloride | 0,10 | 0,1 | 0,01 | 5 |
| | dichloormethaan | 0,10 | 3,9 | 0,01 | 1000 |
| | 1,1-dichloorethaan | 0,20 | 15 | 7 | 900 |
| | 1,2-dichloorethaan | 0,20 | 6,4 | 7 | 400 |
| | 1,1-dichlooretheen | 0,30 | 0,3 | 0,01 | 10 |
| | 1,2-dichlooretheen (cis- en trans-) | 0,30 | 1 | 0,01 | 20 |
| | dichloorpropanen | 0,80 | 2 | 0,8 | 80 |
| | trichloormethaan (chloroform) | 0,25 | 5,6 | 6 | 400 |
| | 1,1,1-trichloorethaan | 0,25 | 15 | 0,01 | 300 |
| | 1,1,2-trichloorethaan | 0,3 | 10 | 0,01 | 130 |
| | trichlooretheen (Tri) | 0,25 | 2,5 | 24 | 500 |
| | tetrachloormethaan (Tetra) | 0,30 | 0,7 | 0,01 | 10 |
| | tetrachlooretheen (Per) | 0,15 | 8,8 | 0,01 | 40 |
| | monochloorbenzeen | 0,20 | 15 | 7 | 180 |
| | dichloorbenzenen | 2,0 | 19 | 3 | 50 |
| | trichloorbenzenen | 0,015 | 11 | 0,01 | 10 |
| | tetrachloorbenzenen | 0,0090 | 2,2 | 0,01 | 2,5 |
| | pentachloorbenzeen | 0,0025 | 6,7 | 0,003 | 1 |
| | hexachloorbenzeen | 0,0085 | 2,0 | 0,0009 | 0,5 |
| | monochloorfenolen(som) | 0,045 | 54 | 0,3 | 100 |
| | dichloorfenolen (som) | 0,20 | 22 | 0,2 | 30 |
| | trichloorfenolen (som) | 0,0030 | 22 | 0,03 | 10 |
| | tetrachloorfenolen (som) | 0,015 | 21 | 0,01 | 10 |
| | pentachloorfenol | 0,0030 | 12 | 0,04 | 3 |
| | PCB's (som 7) | 0,020 | 1 | 0,01 | 0,01 |
| | chloornaftaleen (som) | 0,070 | 23 | - | 6 |
| | monochlooranilinen (som) | 0,20 | 50 | - | 30 |
| | dioxine (som I-TEQ) | 0,000055 | 0,00018 | - | - |
| | pentachlooraniline | 0,15 | - | - | - |

* De norm voor barium geldt alleen voor die situaties waarbij duidelijk sprake is van antropogene bodemverontreiniging. Voor overige situaties is de norm voor barium tijdelijk buiten werking gesteld.

| Stof/niveau | | Grond/sediment (mg/kg droge stof) | | Grondwater (µg/l opgelost, tenzij anders vermeld) | |
|---|---|---|---|---|---|
| | | Achtergrondwaarde | Interventiewaarde | Streefwaarde | Interventiewaarde |
| VI. | **Bestrijdingsmiddelen** | | | | |
| | chloordaan | 0,0200 | 4 | 0,02 ng/l | 0,2 |
| | DDT (som) | 0,20 | 1,7 | - | |
| | DDE (som) | 0,10 | 2,3 | - | |
| | DDD (som) | 0,020 | 34 | - | |
| | DDT/DDE/DDD (som) | - | - | 0,004 ng/l | 0,01 |
| | aldrin | - | 0,32 | 0,009 ng/l | - |
| | dieldrin | - | - | 0,1 ng/l | - |
| | endrin | - | - | 0,04 ng/l | - |
| | drins (som) | 0,015 | 4 | - | 0,1 |
| | α-endosulfan | 0,00090 | 4 | 0,2 ng/l | 5 |
| | α-HCH | 0,0010 | 17 | 33 ng/l | - |
| | β-HCH | 0,0020 | 1,6 | 8 ng/l | - |
| | χ-HCH (lindaan) | 0,0030 | 1,2 | 9 ng/l | - |
| | HCH-verbindingen (som) | - | - | 0,05 | 1 |
| | heptachloor hepta-chloorepoxide (som) | 0,00070<br>0,0020 | 4<br>4 | 0,005 ng/l<br>0,005 ng/l | 0,3<br>3 |
| | hexachloorbutadieen or-ganochloorhoudende bestrijdingsmiddelen(som landbodem) | 0,003<br>0,40 | -<br>- | -<br>- | -<br>- |
| | azinfos-methyl | 0,0075 | - | - | - |
| | organotin verbindingen (som) | 0,15 | 2,5 | 0,05-16 ng/l | 0,7 |
| | tributyltin (TBT) | 0,065 | - | - | - |
| | MCPA | 0,55 | 4 | 0,02 | 50 |
| | atracine | 0,035 | 0,71 | 29 ng/l | 150 |
| | carburyl | 0,15 | 0,45 | 2 ng/l | 50 |
| | carbofuran | 0,017 | 0,017 | 9 ng/l | 100 |
| | 4-chloormethylfenolen (som) | 0,60 | - | - | - |
| | niet-chloorhoudende bestr.mid. (som) | 0,090 | - | - | - |
| VII. | **Overige verontreinigingen** | | | | |
| | asbest | - | 100 | - | - |
| | cyclohexanon | 2,0 | 150 | 0,5 | 15000 |
| | dimethyl ftalaat | 0,045 | 82 | - | - |
| | diethyl ftalaat | 0,045 | 53 | - | - |
| | di-isobutylftalaat | 0,045 | 17 | - | - |
| | dibutyl ftalaat | 0,070 | 36 | - | - |
| | butyl benzylftalaat | 0,070 | 48 | - | - |
| | dihexyl ftalaat | 0,070 | 220 | - | - |
| | di(2-ethylhexyl)ftalaat | 0,045 | 60 | - | - |
| | ftalaten (som) | - | - | 0,5 | 5 |
| | minerale olie | 190 | 5000 | 50 | 600 |
| | pyridine | 0,15 | 11 | 0,5 | 30 |
| | tetrahydrofuran | 0,45 | 7 | 0,5 | 300 |
| | tetrahydrothiofeen | 1,5 | 8,8 | 0,5 | 5000 |
| | tribroommethaan | 0,20 | 75 | - | 630 |
| | ethyleenglycol | 5,0 | - | - | - |
| | diethyleenglycol | 8,0 | - | - | - |
| | acrylonitril | 2,0 | - | - | - |
| | formaldehyde | 2,5 | - | - | - |
| | isopropanol (2-propanol) | 0,75 | - | - | - |
| | methanol | 3,0 | - | - | - |
| | butanol (1-butanol) | 2,0 | - | - | - |
| | butylacetaat | 2,0 | - | - | - |
| | ethylacetaat | 2,0 | - | - | - |
| | methyl-tert-butyl ether (MTBE) | 0,20 | - | - | - |
| | methylethylketon | 2,0 | - | - | - |

# Bijlage 5.2

Besluit bodemkwaliteit (Bbk)

## Toetsingskader Besluit bodemkwaliteit (grond/sediment)

| | Stof/niveau | Achtergrond-waarden | Maximale waarden voor verspreiden van bagger-specie | Maximale waarden bodemfunctieklasse wonen | Maximale waarden bodemfunctieklasse industrie | Maximale waarden grootschalige toepassingen op of in de bodem | |
|---|---|---|---|---|---|---|---|
| | | | Over aan-grenzend perceel (2) (mg/kg ds) | Maximale waarden kwaliteitsklasse wonen (mg/kg ds) | Maximale waarden kwaliteitsklasse in-dustrie (mg/kg ds) | Maximale emis-siewaarden (mg/kg L/S 10) | Emissietoetswaarden (mg/kg ds) |
| | | (mg/kg ds) | | | | | |
| I. | **Metalen** | | | | | | |
| | antimoon (Sb) | 4,0 *) | | 15 | 22 | 0,070 | 9 |
| | arseen (As) | 20 | x | 27 | 76 | 0,61 | 42 |
| | barium (Ba) | - | (*B) | - | - | - | - |
| | cadmium (Cd) | 0,60 | x en 7,5 | 1,2 | 4,3 | 0,051 | 4,3 |
| | chroom (Cr) | 55 | x | 62 | 180 | 0,17 | 180 |
| | kobalt (Co) | 15 | (*B) | 35 | 190 | 0,24 | 130 |
| | koper (Cu) | 40 | x | 54 | 190 | 1,0 | 113 |
| | kwik (Hg) | 0,15 | x | 0,83 | 4,8 | 0,49 | 4,8 |
| | lood (Pb) | 50 | x | 210 | 530 | 15 | 308 |
| | molybdeen (Mo) | 1,5 *) | (*B) | 88 | 190 | 0,48 | 105 |
| | nikkel (Ni) | 35 | x | - | 100 | 0,21 | 100 |
| | tin (Sn) | 6,5 | | 180 | 900 | 0,093 | 450 |
| | vanadium (V) | 80 | | 97 | 250 | 1,9 | 146 |
| | zink (Zn) | 140 | x | 200 | 720 | 2,1 | 430 |
| II. | **Overige anorganische stoffen** | | | | | | |
| | chloride 3) | | | | | - | |
| | cyanide (vrij) 4) | 3,0 | | 3,0 | 20 | nvt | nvt |
| | cyanide (complex) | 5,5 | | 5,5 | 50 | nvt | nvt |
| | thiocyanaten (som) | 6,0 | | 6,0 | 20 | nvt | nvt |
| III. | **Aromatische stoffen** | | | | | | |
| | benzeen | 0,20 *) | | 0,20 | 1 | nvt | nvt |
| | ethylbenzeen | 0,20 *) | | 0,20 | 1,25 | nvt | nvt |
| | tolueen | 0,20 *) | | 0,20 | 1,25 | nvt | nvt |
| | xylenen (som) | 0,45 *) | | 0,45 | 1,25 | nvt | nvt |
| | styreen (vinylbenzeen | 0,25 *) | | 0,25 | 86 | nvt | nvt |
| | fenol | 0,25 | | 0,25 | 1,25 | nvt | nvt |
| | cresolen (som) | 0,30 *) | | 0,30 | 5 | nvt | nvt |
| | dodecylbenzeen | 0,35 *) | | 0,35 | 0,35 | nvt | nvt |
| | aromatische oplosmiddelen (som) 6) | 2,5 *) | | 2,5 | 2,5 | nvt | nvt |
| IV. | **Polycyclische aromatische koolwaterstoffen (PAK's)** | | | | | | |
| | naftaleen | | x | | | nvt | nvt |
| | fenantreen | | x | | | nvt | nvt |
| | antraceen | | x | | | nvt | nvt |
| | fluorantheen | | x | | | nvt | nvt |
| | chryseen | | x | | | nvt | nvt |
| | benzo(a)antraceen | | x | | | nvt | nvt |
| | benzo(a)pyreen | | x | | | nvt | nvt |
| | benzo(k)fluorantheen | | x | | | nvt | nvt |
| | indeno(1,2,3cd)pyreen | | x | | | nvt | nvt |
| | benzo(ghi)peryleen | | x | | | nvt | nvt |
| | PAK's totaal (som 10) | 1,5 | | 6,8 | 40 | nvt | nvt |
| V. | **Gechloreerde koolwaterstoffen a. (vluchtige) chloorkoolwaterstoffen** | | | | | | |
| | monochlooretheen | 0,10 *) | | 0,10 | 0,1 | nvt | nvt |
| | (vinylchloride) 7) | 0,10 | | 0,10 | 3,9 | nvt | nvt |
| | dichloormethaan | 0,20 *) | | 0,20 | 0,20 | nvt | nvt |
| | 1,1-dichloorethaan | 0,20 *) | | 0,20 | 4 | nvt | nvt |
| | 1,2-dichloorethaan | 0,30 *) | | 0,30 | 0,30 | nvt | nvt |
| | 1,1-dichlooretheen 7) | 0,30 *) | | 0,30 | 0,30 | nvt | nvt |
| | 1,2-dichlooretheen (som) | 0,80 *) | | 0,80 | 0,80 | nvt | nvt |
| | dichloorpropanen (som) | 0,25 *) | | 0,25 | 3 | nvt | nvt |
| | trichloormethaan (chloroform) | 0,25 *) | | 0,25 | 0,25 | nvt | nvt |
| | 1,1,1-trichloorethaan | 0,30 *) | | 0,30 | 0,30 | nvt | nvt |
| | 1,1,2-trichloorethaan | 0,25 *) | | 0,25 | 2,5 | nvt | nvt |
| | trichlooretheen (Tri) | 0,30 *) | | 0,30 | 0,7 | nvt | nvt |
| | tetrachloormethaan (Tetra | 0,15 | | 0,15 | 4 | nvt | nvt |
| | tetrachlooretheen (Per) | | | | | | |
| | **b. chloorbenzenen** | | | | | | |
| | monochloorbenzeen | 0,20 *) | | 0,20 | 5 | nvt | nvt |
| | dichloorbenzenen (som) | 2,0 *) | | 2,0 | 5 | nvt | nvt |
| | trichloorbenzenen (som) | 0,015 *) | | 0,015 | 5 | nvt | nvt |
| | tetrachloorbenzenen (som) | 0,0090 *) | | 0,0090 | 2,2 | nvt | nvt |
| | pentachloorbenzeen | 0,0025 | | 0,0025 | 5 | nvt | nvt |
| | hexachloorbenzeen | 0,0085 | | 0,027 | 1,4 | nvt | nvt |
| | chloorbenzenen (som) | | x | | | | |
| | **c. chloorfenolen** | | | | | | |
| | monochloorfenolen (som) | 0,045 | | 0,045 | 5,4 | nvt | nvt |
| | dichloorfenolen (som) | 0,20 *) | | 0,20 | 6 | nvt | nvt |
| | trichloorfenolen (som) | 0,0030 *) | | 0,0030 | 6 | nvt | nvt |
| | tetrachloorfenolen (som) | 0,015 *) | x | 1 | 6 | nvt | nvt |
| | pentachloorfenol | 0,0030 *) | | 1,4 | 5 | nvt | nvt |
| | chloorfenolen (som) | - | | | | | |

| | stofniveau | Achtergrondwaarden | Maximale waarden voor verspreiden van bagger-specie | Maximale waarden bodemfunctieklasse wonen | Maximale waarden bodemfunctieklasse industrie | Maximale waarden grootschalige toepassingen op of in de bodem | |
|---|---|---|---|---|---|---|---|
| | | (mg/kg ds) | over aan-grenzend perceel (2) (mg/kg ds) | Maximale waarden kwaliteitsklasse wonen (mg/kg ds) | Maximale waarden kwaliteitsklasse in-dustrie (mg/kg ds) | Maximale emis-siewaarden (mg/kg L/S 10) | Emissietoetswaarden (mg/kg ds) |
| | **d. polychloorbifenylen (PCB's)** | | | | | | |
| | PCB 28 | | x | | | nvt | nvt |
| | PCB 52 | | x | | | nvt | nvt |
| | PCB 101 | | x | | | nvt | nvt |
| | PCB 118 | | x | | | nvt | nvt |
| | PCB 138 | | x | | | nvt | nvt |
| | PCB 153 | | x | | | nvt | nvt |
| | PCB 180 | | x | | | nvt | nvt |
| | PCB's (som 7) | 0,020 | | 0,020 | 0,5 | nvt | nvt |
| | **e. overige gechloreerde koolwaterstoffen** | | | | | | |
| | monochlooranilinen (som) | 0,20 *) | | 0,20 | 0,20 | nvt | nvt |
| | pentachlooraniline | 0,15 *) | | 0,15 | 0,15 | nvt | nvt |
| | dioxine (som I-TEQ) | 0,000055 *) | | 0,000055 | 0,000055 | nvt | nvt |
| | chloornaftaleen (som) | 0,070 *) | | 0,070 | 10 | nvt | nvt |
| VI. | **Bestrijdingsmiddelen** | | | | | | |
| | **a. organochloor bestrijdings-middelen chloordaan (som)** | | | | | | |
| | DDT (som) | 0,0020 | x | 0,0020 | 0,0020 | nvt | nvt |
| | DDE (som) | 0,20 | x | 0,20 | 1 | nvt | nvt |
| | DDD (som) | 0,10 | x | 0,13 | 1,3 | nvt | nvt |
| | DDT/DDE/DDD (som) | 0,020 | x | 0,84 | 34 | nvt | nvt |
| | aldrin | | | | | nvt | nvt |
| | dieldrin | | x | | | nvt | nvt |
| | endrin | | x | | | nvt | nvt |
| | isodrin | | x | | | nvt | nvt |
| | telodrin | | x | | | nvt | nvt |
| | drins (som) | | x | | | nvt | nvt |
| | endosulfansulfaat | 0,015 | | 0,04 | 4,0 | nvt | nvt |
| | α-endosulfan | | x | | 0,1 | nvt | nvt |
| | α-HCH | 0,00090 | x | 0,00090 | 0,00090 | nvt | nvt |
| | β-HCH | 0,0010 | x | 0,0010 | 0,5 | nvt | nvt |
| | χ-HCH (lindaan) | 0,0020 | x | 0,0020 | 0,5 | nvt | nvt |
| | δ-HCH | 0,0030 | x | 0,04 | 0,5 | nvt | nvt |
| | HCH-verbindingen (som) | | x | | | nvt | nvt |
| | heptachloor | | | | 0,1 | nvt | nvt |
| | heptachloorepoxide (som) | 0,00070 | x | 0,00070 | 0,1 | nvt | nvt |
| | hexachloorbutadieen | 0,0020 | x | 0,0020 | 0,0020 | nvt | nvt |
| | organochloorhoudende bestrijdingsmiddelen(som landbodem) | 0,003 *) 0,40 | x | 0,40 | 0,5 | nvt nvt | nvt nvt |
| | **b. organofosforpesticiden** | | | | | | |
| | azinfos-methyl | 0,0075 *) | | 0,0075 | 0,0075 | nvt | nvt |
| | **c. organotin bestrijdingsmiddelen** | 0,15 | | 0,5 | 2,5 (9) | nvt | nvt |
| | organotin verbindingen (som) 8) | 0,065 | | 0,065 | 0,065 | nvt | nvt |
| | tributyltin (TBT) 8) | | | | | | |
| | **d. chloorfenoxy-azijnzuur herbiciden** | | | | | | |
| | MCPA | 0,55 *) | | 0,55 | 0,55 | nvt | nvt |
| | **e. overige bestrijdingsmiddelen** | | | | | | |
| | atrazine | 0,035 *) | | 0,035 | 0,5 | nvt | nvt |
| | carbaryl | 0,15 *) | | 0,15 | 0,45 | nvt | nvt |
| | carbofuran (7) | 0,017 *) | | 0,017 | 0,017 | nvt | nvt |
| | 4-chloormethylfenolen (som) | 0,60 *) | | 0,60 | 0,60 | nvt | nvt |
| | niet-chloorhoudende bestrijdingsmiddelen (som) | 0,090 *) | | 0,090 | 0,5 | nvt | nvt |
| VII. | **Overige stoffen** | | | | | | |
| | asbest 10) | | | 100 | 100 | nvt | nvt |
| | cyclohexanon | 2,0 *) | | 2,0 | 150 | nvt | nvt |
| | dimethyl ftalaat 11) | 0,045 *) | | 9.2 | 60 | nvt | nvt |
| | diethyl ftalaat 11) | 0,045 *) | | 5,3 | 5,3 | nvt | nvt |
| | di-isobutylftalaat 11) | 0,045 *) | | 1,3 | 1,7 | nvt | nvt |
| | dibutyl ftalaat 11) | 0,070 *) | | 5,0 | 36 | nvt | nvt |
| | butyl benzylftalaat 11) | 0,070 *) | | 2,6 | 48 | nvt | nvt |
| | dihexyl ftalaat 11) | 0,070 *) | | 18 | 60 | nvt | nvt |
| | di(2-ethylhexyl)ftalaat 11) | 0,045 *) | | 8,3 | 60 | nvt | nvt |
| | minerale olie 12) 13) | 190 | 3000 | 190 | 500 | nvt | nvt |
| | pyridine | 0,15 *) | | 0,15 | 1 | nvt | nvt |
| | tetrahydrofuran | 0,45 | | 0,45 | 2 | nvt | nvt |
| | tetrahydrothiofeen | 1,5 *) | | 1,5 | 8,8 | nvt | nvt |
| | tribroommethaan (bromoform) | 0,20 *) 5,0 | | 0,20 5,0 | 0,20 5,0 | nvt nvt | nvt nvt |
| | ethyleenglycol | 8,0 | | 8,0 | 8,0 | nvt | nvt |
| | diethyleenglycol | 0,1 *) | | 0,1 | 0,1 | nvt | nvt |
| | acrylonitril | 0,1 *) | | 0,1 | 0,1 | nvt | nvt |

| stofniveau | Achtergrondwaarden | Maximale waarden voor verspreiden van baggerspecie | Maximale waarden bodemfunctieklasse wonen | Maximale waarden bodemfunctieklasse industrie | Maximale waarden grootschalige toepassingen op of in de bodem | |
|---|---|---|---|---|---|---|
| | (mg/kg ds) | over aangrenzend perceel (2) (mg/kg ds) | Maximale waarden kwaliteitsklasse wonen (mg/kg ds) | Maximale waarden kwaliteitsklasse industrie (mg/kg ds) | Maximale emissiewaarden (mg/kg L/S 10) | Emissietoetswaarden (mg/kg ds) |
| formaldehyde | 0,75 | | 0,75 | 0,75 | nvt | nvt |
| isopropanol (2-propanol) | 3,0 | | 3,0 | 3,0 | nvt | nvt |
| methanol | 2,0 *) | | 2,0 | 2,0 | nvt | nvt |
| butanol (1-butanol) | 2,0 *) | | 2,0 | 2,0 | nvt | nvt |
| butylacetaat | 2,0 *) | | 2,0 | 2,0 | nvt | nvt |
| ethylacetaat | 0,20 *) | | 0,20 | 0,20 | nvt | nvt |
| methyl-tert-butyl ether (MTBE) | 2,0 *) | | 2,0 | 2,0 | nvt | nvt |
| methylethylketon | | | | | | |

## Verklaring en de afkortingen en tekens

| | |
|---|---|
| 1) | Voor de definitie van somparameters wordt verwezen naar bijlage N van deze regeling. De definitie van sommige somparameters is verschillend voor de landbodem en de waterbodem. Achter de somparameter wordt vermeld welke van de twee definities gehanteerd moet worden. |
| 2) | De msPAF wordt berekend voor de met x aangegeven stoffen. Indien geen waarde wordt ingevuld (bijvoorbeeld omdat de stof niet gemeten wordt) wordt gerekend met 0,7 * bepalingsgrens (intralaboratorium reproduceerbaarheid). De baggerspecie voldoet aan de maximale waarden voor verspreiden van baggerspecie op het aangrenzende perceel<br>* de gehalten van de gemeten stoffen lager zijn dan de Interventiewaarde bodem, niet zijnde de bodem onder oppervlaktewater, en<br>* voor organische stoffen: msPAF < 20%, en<br>* voor metalen: msPAF < 50%, waarbij voor cadmium een maximum gehalte geldt. Voor gemeten stoffen die geen deel uitmaken van de msPAF- berekening geldt de achtergrondwaarde (m.u.v. somparamaters waarbij de individuele parameters onderdeel uitmaken van de msPAF-berekening). Barium, kobalt, molybdeen en minerale olie maken geen deel uit van de msPAF-berekening. In plaats van de Achtergrondwaarde geldt voor deze vier stoffen de waarde, die vermeld is in de kolom 'Maximale waarden verspreiden van baggerspecie over aangrenzend perceel'. Voor de gemeten stoffen, die geen onderdeel uitmaken van de msPAF-berekening, worden de toetsingsregels van de Achtergrondwaarden toegepast. |
| 3) | Voor het toepassen van zeezand geldt de norm 200 mg/kg ds. Bij het toepassen van zeezand op plaatsen waar een direct contact is of mogelijk is met brak oppervlaktewater of zeewater met van nature een chloride-gehalte van meer dan 5000 mg/l, geldt voor chloride geen maximale waarde. |
| 4) | Bij gehalten die de Achtergrondwaarde overschrijden moet rekening worden gehouden met de mogelijkheid van uitdamping. Wanneer uitdamping naar binnenlucht zou kunnen optreden, moet bij overschrijding van de Achtergrondwaarde worden gemeten in de bodemlucht en moet worden getoetst aan de TCL (Toxicologisch Toelaatbare Concentratie in Lucht). |
| 5) | Het gehalte cyanide-complex is gelijk aan het gehalte cyanide-totaal minus het gehalte cyanide-vrij, bepaald conform NEN 6655. Indien geen cyanide-vrij wordt verwacht, mag het gehalte cyanide-complex gelijk worden gesteld aan het gehalte cyanide-totaal (en hoeft dus alleen het gehalte cyanide-totaal te worden gemeten). |
| 6) | De Achtergrondwaarde van deze somparameter gaat uit van de aanwezigheid van meerdere van de 15 componenten, die tot deze somparameter worden gerekend (zie bijlage N). De hoogte van de Achtergrondwaarde is gebaseerd op de som van de bepalingsgrenzen vermenigvuldigd met 0,7. Sommige componenten zijn tevens individueel genormeerd. Binnen de somparameter mag de Achtergrondwaarde van de individueel genormeerde componenten niet worden overschreden. Hetzelfde geldt voor de Maximale waarde wonen en de Maximale waarde industrie. Voor de componenten, die niet individueel zijn genormeerd, geldt per component een maximum gehalte van 0,45 mg/kg ds, zowel voor de Achtergrondwaarde als de Maximale waarden wonen en industrie. |
| 7) | De Interventiewaarde van deze stoffen zijn gelijk of kleiner dan de bepalingsgrens (intralaboratorium reproduceerbaarheid). Indien de stof wordt aangetoond moeten de risico's nader worden onderzocht. Bij het aantreffen van vinylchloride of 1,1-dichlooretheen moet tevens het grondwater worden onderzocht. |
| 8) | De eenheid voor organotinverbindingen is mg Sn/kg ds, met uitzondering van de normwaarden met voetnoot 9. |
| 9) | De eenheid van de Maximale Waarde Industrie voor organotinverbindingen (som) is mg organotin/kg ds. |
| 10) | Zijnde het gehalte serpentijnasbest plus tienmaal het gehalte amfiboolasbest. Deze eis bedraagt 100 mg/kg d.s. indien niet is voldaan aan artikel 2, onder b, van het Productenbesluit Asbest. |
| 11) | Het is onzeker of de Achtergrondwaarden en Maximale waarden wonen voor de ftalaten meetbaar zijn. Toekomstige ervaringen moeten uitwijzen of sprake is van een knelpunt. |
| 12) | Minerale olie heeft betrekking op de som van de (al dan niet) vertakte alkanen. Indien er enigerlei vorm van verontreiniging met minerale olie wordt aangetoond in grond/baggerspecie, dan dient naast het gehalte aan minerale olie ook het gehalte aan aromatische en/of polycyclische aromatische koolwaterstoffen bepaald te worden. |
| 13) | Voor het toepassen van baggerspecie in grootschalige toepassingen geldt voor minerale olie een maximale waarde van 2.000 mg/kg ds. |
| *) | Achtergrondwaarde is gebaseerd op de bepalingsgrens (intralaboratorium reproduceerbaarheid), omdat onvoldoende data beschikbaar zijn om een betrouwbare P95 af te leiden. |
| (*A) | De norm voor barium geldt alleen voor die situaties waarbij duidelijk sprake is van antropogene bodemverontreiniging. Voor overige situaties is de norm voor barium tijdelijk buiten werking gesteld. Als verhoogde bariumgehalten het gevolg zijn van een antropogene bron, dan kan het bevoegd gezag dit gehalte beoordelen op basis van de voormalige Interventiewaarde (920 mg/kg d.s. voor droge toepassingen en 625 mg/kg d.s. voor toepassingen in oppervlaktewater). |
| (*B) | De individuele normen voor metalen voor het verspreiden van baggerspecie over aangrenzende percelen worden tijdelijk buitenwerking gesteld, totdat deze metalen zijn geïntegreerd in de ms-PAF. |

# Bijlage 5.3

Toetsing uit het “Tijdelijk handelingskader voor hergebruik van PFAS-houdende grond en baggerspecie”

## Toetsing uit het "Tijdelijk handelingskader voor hergebruik van PFAS-houdende grond en baggerspecie"

Voor de volledige tekst wordt verwezen naar het "Tijdelijk handelingskader voor hergebruik van PFAS-houdende grond en baggerspecie" d.d. 8 juli 2019 en de aanpassing daarvan door het Ministerie van Infrastructuur en Waterstaat, d.d. 29 november 2019.

In onderstaande tabel wordt een overzicht gegeven van de voorlopige toepassingsnormen voor de onderscheiden situaties waarin grond en baggerspecie worden toegepast. Dit zijn voorlopige toepassingsnormen voor het toepassen van grond en baggerspecie op land- en waterbodem.

*Tabel 1 - Toepassingsnormen voor het toepassen van grond en baggerspecie op landbodem (in µg/kg d.s.)*

| **Toepassingssituatie** | | **Toepassingsnorm** |
|---|---|---|
| **Op de landbodem** | | |
| Grond en baggerspecie toepassen boven grondwaterniveau | | |
| Bodemkwaliteitsklasse | Bodemfunctieklasse | |
| Wonen of industrie | Wonen of industrie | PFOS = 3<br>PFOA = 7<br>GenX= 3<br>Andere PFAS = 3 |
| Landbouw/natuur | Landbouw/natuur | PFOS = 0,9<br>Andere PFAS 0,8 |
| Baggerspecie toepassen boven grondwaterniveau, als bedoelt in artikel 35, onder f, BBK (verspreiden van baggerspecie op aangrenzend perceel of weilanddepot) | | PFOS = 3<br>PFOA = 7<br>GenX = 3<br>Andere PFAS = 3 |
| Grond en baggerspecie grootschalig toepassen boven grondwaterniveau | | PFOS = 3<br>PFOA = 7,<br>GenX = 3<br>Andere PFAS = 3 |
| Grond en baggerspecie toepassen in grondwaterbeschermingsgebieden | | Bepalingsgrens = 0,1 |
| Grond en baggerspecie toepassen onder grondwaterniveau, met inbegrip van grootschalig toepassen | | PFOS = 0,9<br>Andere PFAS 0,8 |

*Tabel 2 - Toepassingsnormen voor het toepassen van grond en baggerspecie op waterbodem (in µg/kg d.s.)*

| **Toepassingssituatie** | **Toepassingsnorm** |
|---|---|
| **Op de waterbodem** | |
| Grond toepassen | Bepalingsgrens = 0,1 |
| Baggerspecie toepassen in hetzelfde oppervlaktelichaam of aansluitende (sediment delende) stroomafwaarts gelegen oppervlaktelichamen als bedoelt in artikel 35, onder g, BBK (verspreiden van baggerspecie in zoet of zout oppervlaktewater) | Toepasbaar, wel meten en toetsen op uitschieters |
| Baggerspecie toepassen in hetzelfde oppervlaktelichaam in ophogingen in waterbouwkundige constructies, uitgezonderd de diepe plas als bedoelt in artikel 35,onder d, BBK | Toepasbaar, wel meten en toetsen op uitschieters |
| Baggerspecie toepassen in een ander oppervlaktelichaam in ophogingen inwaterbouwkundige constructies, uitgezonderd de diepe plas als bedoelt in artikel 35, onder d, BBK | Bepalingsgrens = 0,1 |
| Baggerspecie toepassen in niet-vrij liggende diepe plassen die in open verbinding staan met een rijkswater, voor zover is voldaan aan de volgende voorwaarde: in de nabijheid van de diepe plas is geen kwetsbaar object gelegen, als bedoelt op pagina 26 van de 'Handreiking voor herinrichting van diepe plassen' | PFAS = 0,8<br>PFOS = 3,7 |
| Baggerspecie toepassen in andere diepe plassen | Bepalingsgrens = 0,1 |

# Bijlage 6

Inspectierapport verkennend onderzoek asbest in bodem

Projectcode: 3192.01 RE..... Locatienaam: Winterswijk

BODEM EXPERT

**>> INVULLEN PER RE >>> PROTOCOL 2018-FORMULIER 'Monsternemingsformulier asbest in bodem'**

*(invullen milieutechnicus)*

**OMSTANDIGHEDEN VISUELE INSPECTIE MAAIVELD EN BODEM:** ☐RE . . *(max. 1.000 m²)*

| | | | | |
|---|---|---|---|---|
| Tijdstip aanvang werk | 8:00 uur | | Bedekking maaiveld: | ☑<25% ☐ >25%, |
| Zon op / zon onder (KNMI): | 6:26 uur | 20:52 uur | bestaande uit: | ☐vegetatie ☐ Waterplassen ☐anders: |
| Zicht: | ☒>50 m | ☐ <50 m | | |
| Neerslag: | ☑geen | ☐ regen | Vegetatie verwijderd: | ☐nee ☐ ja, |
| *per dag* | ☐<10 mm | ☐ hagel | bedekking na verwijdering: | ☐<25% ☐ >25%, |
| | ☐>10 mm | ☐ sneeuw | *kritische afwijking indien >25%* | |

**RESULTATEN VISUELE INSPECTIE MAAIVELD**

***Maaiveld***

| | | | |
|---|---|---|---|
| Oppervlakte RE (m²) | | Type asbest: | |
| Inspectie-efficiëntie (%): | 100 %, | Vermoedelijke herkomst | |
| Asbestverdacht materiaal >20 mm aangetroffen: | ☐ja | Barcode(s) zakjes verzamelmonster: | |
| *vindplaats(en) op tekening noteren* | ☐nee | Aan lab overgedragen op d.d.: | |

MM01

**RESULTATEN VISUELE INSPECTIE BODEM**

***Voor elke sleuf /gat per laag invullen***

| Codering sleuf of gat: | 01 | 02 | 03 | 04 |
|---|---|---|---|---|
| Bodemvocht (%): | 13,1 | 12,8 | 12,9 | 13,1 |
| Inspectie efficiëntie (%): | 100 | 100 | 100 | 100 |
| Sleufbreedte (cm) | 30 | 30 | 30 | 30 |
| Sleuflengte (cm) | 30 | 30 | 30 | 30 |
| Bodemlaag (traject in cm-mv): | 0-50 | 0-50 | 0-50 | 0-50 |
| Massa gezeefd (kg): | 64,2 | 64,2 | 64,2 | 64,2 |
| Massa fractie >20 mm (kg): | 0,1 | 0,1 | 0,2 | 0,0 |
| Massa fractie <20 mm (kg): | 64,1 | 64,1 | 64,0 | 64,2 |
| Visueel asbest >20 mm (j/n): | N | N | N | N |
| *zo ja, aantal stukjes* | | | | |
| - Gewicht totaal (gram): | / | / | / | / |
| - Gewicht bemonsterd (gram): | / | / | / | / |
| - Barcode(s) monsterzakje(s): | / | / | / | / |
| *ook registreren in PSION* | | | | |
| Gewicht grondmonster (kg): | → 14,0Kg ← | | | |
| - NEN 5707 of NEN 5897: | → 5707 ← | | | |
| - Barcode(s) emmer(s): | → 11 ← | | | |
| *ook registreren in PSION* | | | | |
| *Bij boring in ondergrond* Diameter grondboor (cm): | → 12 ϕ ← | | | |

3 x 3 x 4,2 = 37,8 x 1,7 = 64,2

Projectcode: 3192.01 RE..... Locatienaam: W. Wijk

BODEMEXPERT

MM02

## RESULTATEN VISUELE INSPECTIE BODEM

*Voor elke sleuf /gat per laag invullen*

| Codering sleuf of gat: | 05 | 06 | 07 | 08 | 09 |
|---|---|---|---|---|---|
| Bodemvocht (%): | 10,9 | 11,1 | 10,6 | 10,8 | 11,0 |
| Inspectie efficiëntie (%): | 100 | 100 | 100 | 100 | 100 |
| Sleufbreedte (cm) | 30 | 30 | 30 | 30 | 30 |
| Sleuflengte (cm) | 30 | 30 | 30 | 30 | 30 |
| Bodemlaag (traject in cm-mv): | 20-50 | 12-50 | 15-50 | 20-50 | 20-50 |
| Massa gezeefd (kg): | 45,9 | 58,14 | 53,55 | 45,9 | 45,9 |
| Massa fractie >20 mm (kg): | 1,8 | 2,9 | 1,7 | 2,1 | 2,8 |
| Massa fractie <20 mm (kg): | 44,1 | 55,24 | 51,85 | 43,8 | 43,1 |
| Visueel asbest >20 mm (j/n): | N | N | N | N | N |
| *zo ja, aantal stukjes* | | | | | |
| - Gewicht totaal (gram): | | | | | |
| - Gewicht bemonsterd (gram): | | | | | |
| - Barcode(s) monsterzakje(s): | | | | | |
| *ook registreren in PSION* | | | | | |
| Gewicht grondmonster (kg): | | | 14,1 KG | | |
| - NEN 5707 of NEN 5897: | | | 5707 | | |
| - Barcode(s) emmer(s): | | | Ti | | |
| *ook registreren in PSION* | | | | | |
| *Bij boring in ondergrond* Diameter grondboor (cm): | | | 12 ϕ | | |

3 x 3 x 3 = 27 x 1,7 = 45,9

3 x 3 x 3,8 = 34,2 x 1,7 58,14

3 x 3 x 3,5 = 31,5 x 1,7 = 53,55

Projectcode: 3192.01 RE..... Locatienaam: W. Wijk

BODEM EXPERT

MM03

**RESULTATEN VISUELE INSPECTIE BODEM**

*Voor elke sleuf /gat per laag invullen*

| Codering sleuf of gat: | 10 | 11 | 12 | 14 |
|---|---|---|---|---|
| Bodemvocht (%): | 10,7 | 10,9 | 11,0 | 10,8 |
| Inspectie efficiëntie (%): | 100 | 100 | 100 | 100 |
| Sleufbreedte (cm) | 30 | 30 | 30 | 30 |
| Sleeflengte (cm) | 30 | 30 | 30 | 30 |
| Bodemlaag (traject in cm-mv): | 20-50 | 15-50 | 20-50 | 20-50 |
| Massa gezeefd (kg): | 45,9 | 53,5 | 45,9 | 45,9 |
| Massa fractie >20 mm (kg): | 3,1 | 2,8 | 2,4 | 3,0 |
| Massa fractie <20 mm (kg): | 42,8 | 52,7 | 43,5 | 42,9 |
| Visueel asbest >20 mm (j/n): | N | N | N | N |
| *zo ja, aantal stukjes* | | | | |
| - Gewicht totaal (gram): | | | | |
| - Gewicht bemonsterd (gram): | | | | |
| - Barcode(s) monsterzakje(s): | | | | |
| *ook registreren in PSION* | | | | |
| Gewicht grondmonster (kg): | → 14,2 kg ← | | | |
| - NEN 5707 of NEN 5897: | → 5707 ← | | | |
| - Barcode(s) emmer(s): | → T1 ← | | | |
| *ook registreren in PSION* | | | | |
| *Bij boring in ondergrond* Diameter grondboor (cm): | → 12 ϕ ← | | | |

3 x 3 x 3 = 27 x 1,7 = 45,9

3 x 3 x 3,5 = 31,5 x 1,7 = 53,55

# Resultaten veldwerk BRL SIKB 2000

| | |
|---|---|
| **Project nr. Bodem Expert** | B2020219 |
| **Opdrachtgever** | Boro |
| **Project nr. Opdr.** | 3192.01 |
| **Locatie** | Winterswijk |
| **Datum uitvoering** | 09-04-20 |

| | | |
|---|---|---|
| **Tijdstip aanwezig** | 8.00 | uur |
| **Tijdstip vertrokken** | 14.00 | uur |
| **Aantal wachturen** | / | uur |
| **Gereden aantal km** | 69 | km |
| **Aantal overnachtingen** | / | stuk |

☒ verkennend onderzoek
☐ Nader onderzoek

☒ Asbest
☐ .....

1. Projectbespreking ☐ nee ☒ ja 0,05 uur met dhr./mw. M. Teusink
2. Tekening maken ☒ nee ☐ ja .....uur
3. Controle EC/pH meter ☐ n.v.t. ☒ ja 1 ...nummer meter
4. Dagtarief ☐ n.v.t. .....uren

| Aantal | Diepte boring | Aantal | Diepte peilbuizen | ramgutsen (m | puintoeslag) | Pulsboren (m) | Boringen gecomb. met asbesgat | | Asbest gaten | |
|---|---|---|---|---|---|---|---|---|---|---|
| | 0,5 | | 2,0 | | | | | 0.5 | 13 | st |
| | 1,0 | 1 | 2,5 | | | | 11 | 1.0 | L. Puin | st |
| | 1,5 | 1 | 3,0 | | | | | 1.5 | Z. Puin | st |
| ~~1~~ | 2,0 | | 3,5 | | | | 2 | 2.0 | **Sleuven** | |
| | | | 4,0 | | | | | | 1 m | st |
| | | | | | | | | | 2 m | st |
| | | | | | | | | | 10 cm | st |

| **Bijzonderheden / overig** | | | | | | | | | | |
|---|---|---|---|---|---|---|---|---|---|---|
| **Betonboringen** | ☐ ja | ☒ nee | Aantal | st. | ☐ 120 mm | ☐ | mm | Dikte | | cm |
| **Herstellen verharding** | ☐ ja | ☒ nee | Aantal | st. | | | | | | |
| **Afwerken peilbuizen** | ☒ **Straatpot** | | Aantal 1 | st. | ☐ **Niet** | ☐ **Betonpunaise** | | Aantal | | st |
| | ☐ **Stalen kap** | | Aantal | st. | 1 t/m 5 | ☒ | | Aantal | | st |
| **Steekbussen** | ☐ ja | ☒ nee | Aantal | st. | ☒ **Emmers** | Aantal 3 | st | | | |
| **Inmeten** Maaiveld | ☒ ja | ☐ nee | Aantal 15 | st | ☒ **Foto's** | Aantal 8 | st | | | |
| **Waterpassen** | ☐ ja | ☒ nee | **T.O.V.** | | ☐ Vast punt | ☐ N.A.P | | Aantal | | st |
| **Extra PBM** X | ☐ Gasmasker | | Filterbus: | | ☐ ABEKP3 | ☐ anders | | ☐ Tyvek suit | | |
| | ☐ Deco unit | | ☐ minigraver | | ☐ overdruk | | | | | |
| **Laboratorium** | ☐ Synlab | | ☒ Analytico | | ☐ Al west | ☐ Omegam | | ☐ Acmaa | | |

☐ NIET CONFORM SIKB BRL 2000 ( alleen invullen indien is afgeweken van de norm)
Ik verklaar de werkzaamheden uitgevoerd op deze locatie als veldwerker onafhankelijk van de opdrachtgever te hebben uitgevoerd. Sleutel opgehaald / terug gebracht.

| | | | | |
|---|---|---|---|---|
| Naam gecertificeerd veldwerker: | Max Scholten | Datum 09-04-20 | Handtekening | |
| Naam assistent veldwerker | J. Louis | Datum: 09-04-20 | Handtekening | |

☐ Bijzonderheden apart bijvoegen, vermeld wel het projectnummer. BIJLAGE AANTAL _____st.

# Bijlage 8 Bodemonderzoek II

Omgevingsdienst
Achterhoek

# Beoordeling bodemrapport

| | | |
|---|---|---|
| Aan | : | Gemeente Winterswijk (t.a.v. mw. J. van Dijk) |
| Zaaknummer | : | 2020EA1300 |
| Onderwerp | : | Nieuwbouwplan Vredenseweg 4-6 Winterswijk |
| Behandeld door | : | Annemarie van Aalten |
| Datum | : | 5 juni 2020 |
| Opsteller rapport | : | Buro Ontwerp en Omgeving |
| Rapportnummer | : | 3192.01 |
| Rapportdatum | : | 12 mei 2020 |
| Titel | : | Verkennend bodemonderzoek en verkennend onderzoek asbest in bodem Vredenseweg 4-6 te Winterswijk |

**Advies**
Het bodemonderzoek voldoet aan de gestelde kwaliteitseisen. Vanwege een (licht) verhoogd PAK-gehalte wordt geadviseerd om de aanwezige baksteen-/betonresten uit de bodem te verwijderen.

## Inleiding

Voor het perceel aan de Vredenseweg 4-6 in Winterswijk is een verzoek ingediend voor de bouw van 10 woningen voor starters/senioren. In dat kader is een bodemonderzoek uitgevoerd. De gemeente Winterswijk vraagt de Omgevingsdienst Achterhoek (ODA) het bodemrapport te beoordelen en advies uit te brengen.




## Beoordeling

Het uitgevoerde bodemonderzoek is inhoudelijk beoordeeld door de ODA. Er is getoetst aan de uitvoeringsnormen voor bodemonderzoek, namelijk de NEN5725, de NEN5740 en de NEN5707 voor asbestonderzoek. De uitkomsten zijn getoetst aan de normkaders van de Wet bodembescherming (Wbb) en het Besluit bodemkwaliteit (Bbk). In bijlage 1 is een uitgebreide beoordeling van alle onderdelen van de bodemrapportage opgenomen.

**Conclusie en Advies**
Het bodemonderzoek voldoet aan de kwaliteitseisen en is uitgevoerd door een erkend bureau. Uit de toetsing aan de normkaders volgt dat géén sprake is van een afwijkende bodemkwaliteit. Vanwege een verhoogd PAK-gehalte (> functienorm Wonen) wordt geadviseerd om de baksteen- en betonresten uit de grond te verwijderen.

**Aandachtspunten**
In algemene zin gelden de volgende aanbevelingen:
- Wanneer tijdens graafwerkzaamheden waarnemingen worden gedaan die op een verontreiniging wijzen, dan moet het werk direct gestopt worden en moet met de ODA worden overlegd.
- Voor de toepassing van vrijkomende grond en bouwstoffen gelden de voorschriften uit het Besluit bodemkwaliteit.
- Wanneer tijdens de uitvoering van het werk grondwater wordt opgepompt en geloosd, moet eerst contact worden gelegd met het waterschap.

## BIJLAGE 1: Beoordeling/toetsing van alle rapportonderdelen

### Algemeen

| | | |
|---|---|---|
| Is de rapportage compleet? | : | ja |
| Aanleiding bodemonderzoek | : | planontwikkeling |
| Is de onderzoekslocatie juist? | : | ja |
| Oppervlakte locatie | : | 2500 $m^2$ |
| | | |
| BRL2000 (boormeester) | : | akkoord |
| AS3000 (lab) | : | akkoord |
| Veldwerkdatum | : | 9 en 22 april 2020 |
| Rapportdatum | : | 12 mei 2020 |

Motivering:
Het rapport voldoet aan de gestelde kwaliteitseisen en is volledig. Het onderzoek is in april en mei 2020 uitgevoerd. Voor zover bekend hebben daarna geen activiteiten plaatsgevonden die tot een verandering in bodemkwaliteit hebben geleid. Het onderzoek is voldoende actueel.

### Vooronderzoek en hypothesestelling/onderzoeksstrategie (NEN5740/NEN5725)

| | | |
|---|---|---|
| Verwijzing naar NEN5725 (versie 2017) | : | ja |
| Afbakening vooronderzoeksgebied | : | akkoord |
| Beschikbare informatie opgevraagd / ingezien | : | ja |
| Bronvermelding | : | akkoord |
| Terreininspectie uitgevoerd | : | ja |
| Interpretatie / uitwerking | : | voldoende |
| | | |
| Gekozen onderzoeksopzet | : | NEN5740-VEDHE / maatwerk |
| Gaat de ODA akkoord met de gekozen opzet? | : | ja |

Motivering:
Het vooronderzoek is van voldoende kwaliteit. Het adviesbureau heeft een juiste onderzoekshypothese gesteld en een juiste onderzoeksstrategie gekozen. Er is rekening gehouden met de (verwachte) voormalige ligging van een ondergrondse tank, het aangetroffen vulpunt en het vml. ketelhuis. De onderzoeksopzet is met de ODA afgestemd.

### Asbestverdenking (NEN5707/NEN5897, incl bijlage E en/of NEN 5725, incl bijlage A)

| | | |
|---|---|---|
| Is sprake van een hoge asbestverdenking? | : | nee |
| Zijn asbestinventarisaties geraadpleegd? | : | n.v.t. |
| Is sprake van asbestverdacht materiaal?<br>(verweerd/gebroken bouwmateriaal of objecten, maar ook bv. kassencomplex/beschoeiing/volkstuinen) | : | nee |
| Is sprake van puinverharding of puinbijmenging? | : | ja (m.n. baksteen/beton) |
| Is het puin asbestverdacht?<br>(hoeveelheid/type/ouderdom/certificering) | : | onbekend (onderzocht) |
| Voldoet het vooronderzoek?<br>(bijlage A NEN5725 of bijlage E NEN5707/NEN5897)) | : | ja |
| | | |
| Interpretatie / uitwerking | : | voldoende |
| | | |
| Gekozen onderzoeksopzet | : | NEN5707-VEDHE |
| Gaat de ODA akkoord met de gekozen opzet? | : | ja |

Motivering:
Het vooronderzoek asbest is van voldoende kwaliteit. Het adviesbureau heeft asbestonderzoek verricht naar de puin (baksteen) en betonresthoudende laag.

### Uitvoering veldonderzoek

| | | |
|---|---|---|
| Aantal boringen en peilbuizen | : | akkoord |
| Diepte boringen en peilbuizen | : | akkoord |
| Plaatsing boringen en peilbuizen | : | akkoord (ook inpandig) |
| Filterdiepte | : | freatisch |
| Wachttijd peilbuis (1 week) | : | akkoord |
| Herbemonstering grondwater | : | n.v.t. |

| | | |
|---|---|---|
| Bemonstering met steekbus | : | n.v.t. |
| Olie-op-water methode toegepast | : | ja (vulpunt) |
| Positie en diepte proefsleuven/-gaten | : | akkoord |

Motivering:
Het veldwerk is uitgevoerd volgens het onderzoeksprotocol en hiervoor geldende richtlijnen. Er zijn zowel in- als uitpandige boringen verricht.

**Uitvoering chemisch onderzoek**

| | | |
|---|---|---|
| Aantal (meng)monsters | : | akkoord |
| Geanalyseerde bodemlagen | : | akkoord |
| Samenstelling mengmonsters | : | akkoord |
| Uitgevoerde uitsplitsing | : | n.v.t. |
| Gekozen stoffenpakket | : | akkoord (incl. PFAS) |
| Per monster analyse van L en/of H | : | akkoord |

Motivering:
Het chemisch onderzoek is uitgevoerd volgens het onderzoeksprotocol en hiervoor geldende richtlijnen. Er is aanvullend geanalyseerd op PFAS.

**Toetsing en interpretatie onderzoeksresultaten**

| | | |
|---|---|---|
| Toetsing Wet bodembescherming | : | akkoord |
| Toetsing Besluit bodemkwaliteit | : | akkoord |
| Bodemtypecorrectie | : | akkoord |
| | | |
| Samenvatting Grond | : | Hg en Pb > AW (< Wo) en PAK > AW (< Ind) |
| Samenvatting Grondwater | : | Ba > S |
| Samenvatting Asbest | : | visueel geen asbestverdacht materiaal en asbest < det. |
| | | |
| Interpretatie / Advies | : | voldoende |

Motivering:
De toetsing van de analyseresultaten is op een juiste manier uitgevoerd. Het bureau heeft zowel aan de normen van het Besluit bodemkwaliteit als de normen van de Wet bodembescherming getoetst.

Vanwege het licht verhoogde gehalte aan lood (Pb) is door de Omgevingsdienst Achterhoek een toetsing uitgevoerd met de module "diffuus lood" van de Risicotoolbox. Het loodgehalte blijkt te voldoen aan de gezondheidskundige advieswaarde van de GGD voor een woonfunctie[1].

Verder is in de grond een licht verhoogd gehalte aan kwik (Hg) en PAK gemeten. Het PAK-gehalte overschrijdt de functienorm voor Wonen. Om deze reden wordt geadviseerd om de brokken baksteen en beton uit de grond te verwijderen.

[1] Lood in bodem en gezondheid (18 april 2016) opgesteld door de landelijke GGD-projectgroep Bodem en Lood-module in RisicoToolBox.

# Bijlage 9 Milieuzonering

buro ontwerp & omgeving
adviseurs voor leefomgeving

# Quickscan bedrijven en milieuzonering

Vredenseweg 6 te Winterswijk

**Winterswijk**



Projectnummer: 3192.01
Datum: 6 februari 2020

## Inhoudsopgave

**1 Algemeen ..... 3**

**2 Typering omgeving plangebied en uitgangspunten ..... 4**

**3 Toetsing ..... 5**

**4 Conclusie ..... 7**

# 1 Algemeen

In de driehoek Vredenseweg, Eikenstraat, Lijsterbesstraat, in het centrum van Winterswijk, waren in het verleden de winkels De Jager wonen en Senzo living gevestigd. Inmiddels staat de bedrijfsbebouwing leeg en zijn er plannen voor de sloop van de bebouwing en de realisatie van tien woningen ter plaatse. Het initiatief voorziet in de wijziging van een detailhandelsfunctie naar een milieuhindergevoelige functie in de vorm van wonen. In dat kader wordt het vigerende bestemmingsplan ('Kom Winterswijk 2011') herzien.

Indien door middel van een plan nieuwe, milieuhindergevoelige functies mogelijk worden gemaakt, dient te worden aangetoond dat deze niet worden gerealiseerd binnen de hinderzone van omliggende bedrijven. Anderzijds mogen milieuhindergevoelige functies in de directe omgeving van het projectgebied niet negatief worden beïnvloed door de ontwikkelingen die met een plan mogelijk worden gemaakt.

Wat betreft de aanbevolen afstanden tussen bedrijvigheid en gevoelige functies, zoals wonen, is de brochure 'Bedrijven en milieuzonering' (2009) van de Vereniging van Nederlandse Gemeenten geraadpleegd. Hierin worden richtafstanden voor het omgevingstype 'gemengd gebied' als 'rustige woonwijk' en 'rustig buitengebied' aanbevolen.

Gemengde gebieden betreffen gebieden die langs hoofdinfrastructuur liggen en/of gebieden met matige tot sterke functiemenging. In een rustige woonwijk en het buitengebied komen vrijwel geen andere functies voor. De richtafstanden gelden voor een gemiddeld nieuw bedrijf en gaan uit van het gebiedstype 'rustig woongebied'. Voor gemengde gebieden kunnen de richtafstanden worden verminderd. De afstand wordt gemeten vanaf het op de verbeelding aangeduide deel voor de bedrijfsmatige activiteit tot aan de gevel van de woningen gelegen buiten het betreffende perceel.

# 2 Typering omgeving plangebied en uitgangspunten

Het plangebied is gelegen in het centrum van Winterswijk. Rondom het plangebied zijn de doorgaande Vredenseweg en diverse, aan centrum gelieerde, functies aanwezig zoals horeca, detailhandel, aan huis gebonden beroepen, maatschappelijke functies en woningen. Hierdoor is sprake van een menging van bedrijven en wonen in de omgeving van het plangebied. Vanwege de ligging aan een hoofdweg en de diversiteit aan functies in de omgeving, is er sprake van een 'gemengd gebied'.



*Uitsnede bestemmingsplan 'Kom Winterswijk 2011' (plangebied binnen blauwe kader)*

Bij het bepalen van de aanbevolen richtafstanden zijn in de VNG brochure de volgende uitgangpunten gehanteerd:

- de richtafstanden hebben betrekking op de omgevingstype 'rustig buitengebied'.
- de richtafstanden bieden in beginsel ruimte voor normale groei van de bedrijfsactiviteiten;
- bij activiteiten met ruimtelijk duidelijk te onderscheiden deelactiviteiten (zoals productie, opslag, kantoren, parkeerterreinen) kunnen deze deelactiviteiten desgewenst als afzonderlijk te zoneren activiteiten worden beschouwd, bijvoorbeeld bij ligging van de activiteit binnen zones met een verschillende milieucategorie.

De richtafstanden lopen op naar mate sprake is van een bedrijf in een hogere milieucategorie. Zoals bij de uitgangspunten voor de richtafstanden is gesteld, kan bij het type 'gemengd gebied' de richtafstand, zonder dat dit ten koste gaat van het woon- en leefklimaat, met één afstandsstap worden verlaagd (van bijvoorbeeld 50 meter naar 30 meter voor milieucategorie 3.1). De richtafstand wordt gemeten vanaf de grens van het bedrijfsperceel tot de gevel van het gevoelige object.

# 3 Toetsing

Voorliggende ontwikkeling voorziet in de toevoeging van een milieuhindergevoelige functie. In de directe nabijheid van het projectgebied bevinden zich de volgende milieuhinderveroorzakende functies:

- Detailhandel, Vredensestraat 78 (leegstaand);
- Detailhandel, Vredenseweg 12(a/b) ('Top-Verf');
- Horeca, Vredenseweg 12-1 ('Café en cafetaria Merlijn').

Op navolgende afbeelding zijn de betreffende milieuhinder veroorzakende functies en het plangebied weergegeven.




*Figuur 1: plangebied (binnen gele kader, gevels woningen binnen rode kaders) en milieuhinder veroorzakende functies (binnen groene kaders)*

Navolgend zijn de aanbevolen hindercontouren voor de aspecten geur, stof, geluid en gevaar weergegeven voor wat betreft hun afstand tot een 'rustige woonwijk' en 'rustig buitengebied'. Voor het leegstaande pand aan de Vredensestraat 78 is hierin uitgegaan van detailhandel in het algemeen.

| Functie | Type inrichting | Geur | Stof | Geluid | Gevaar | Grootste afstand | Werkelijke afstand |
|---|---|---|---|---|---|---|---|
| Detailhandel, Vredensestraat 78 | SBI-2008: 471, Detailhandel voor zover n.e.g. | 0 | 0 | 10 | 0 | 10 | **11** |
| Detailhandel 'Top-Verf' | SBI-2008: 471, Detailhandel voor zover n.e.g. | 0 | 0 | 10 | 0 | 10 | **12** |
| Horeca 'Café en cafetaria Merlijn' | SBI-2008: 561, Restaurants, cafetaria's, snackbars, ijssalons met eigen ijsbereiding, viskramen e.d. | 10 | 0 | 10 | 10 | 10 | **34** |

Uit een toetsing aan de richtafstanden die gelden voor een 'rustige woonwijk' en een 'rustig buitengebied' blijkt dat de richtafstanden worden gehaald voor alle omliggende milieuhinder veroorzakende functies. Er wordt daarmee voldaan aan de aanbevolen afstanden.

In de omgeving van het plangebied komen centrumfuncties, zoals detailhandel, horeca en woningen voor. Er is sprake van een menging van centrumfuncties met woningen. De realisatie van de woningen is goed verenigbaar met de reeds aanwezige functies.

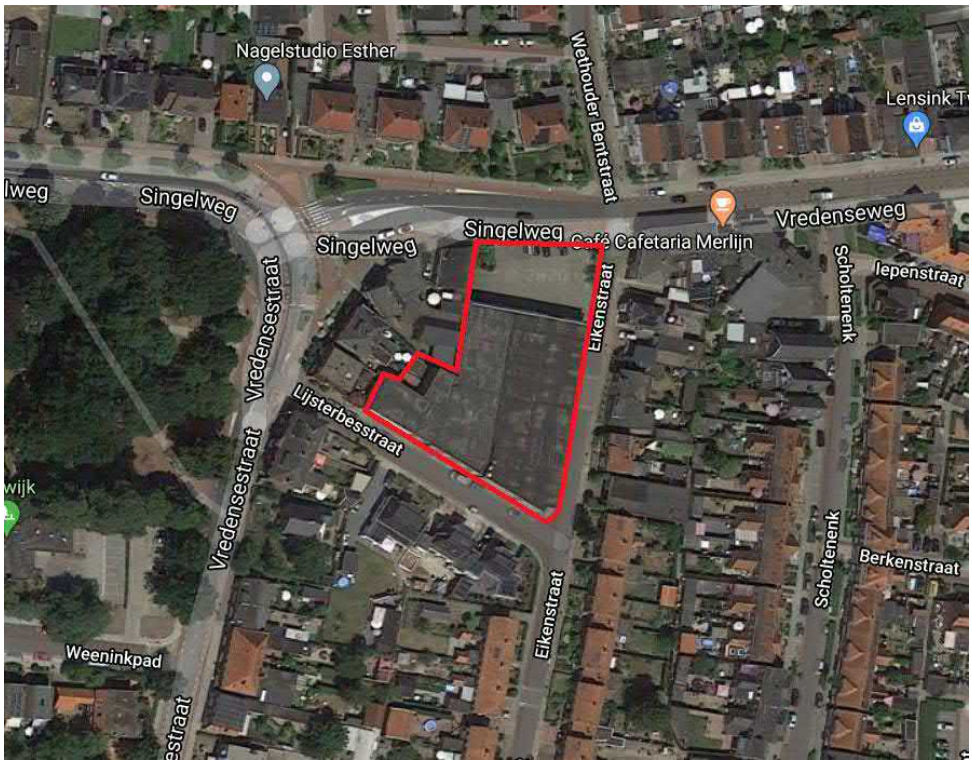
# 4 Conclusie

Geconcludeerd wordt dat vanuit het aspect bedrijven en milieuzonering geen belemmeringen aanwezig zijn voor wat betreft de beoogde ontwikkeling.

# Bijlage 10 Archeologie

# Bureauonderzoek en Verkennend Booronderzoek Archeologie

## Plangebied ‘De Jager’ te Winterswijk, Gemeente Winterswijk




**Opdrachtgever**
Buro Ontwerp & Omgeving
Velperweg 157
6824 MB Arnhem
088-9805055

**Projectnummer**
202642

**Kenmerk**
EBM/ALG/HAMA/202642

| Eindredactie/kwaliteitscontrole | Paraaf | Datum |
|---|---|---|
| Drs. E.E.A. van der Kuijl | | 17-04-2020 |

*© Hamaland Advies, Ambachtsweg 9b, 7021 BT Zelhem tel: 06-51873933*

## Colofon


| | |
|---|---|
| Opdrachtgever | Buro Ontwerp & Omgeving |
| Project | Bureauonderzoek en Verkennend Booronderzoek Archeologie Plangebied De Jager te Winterswijk |
| Projectnummer | 202642 |
| Titel | Bureauonderzoek en Verkennend Booronderzoek Archeologie Plangebied De Jager te Winterswijk, Gemeente Winterswijk |
| Datum en versie | 17-04-2020, versie 1.1 (concept) |
| Auteurs | Mw. E. Bosman MA, drs. E.E.A. van der Kuijl |
| Kwaliteitscontrole | Drs. E.E.A. van der Kuijl (senior KNA archeoloog / senior KNA prospector) |
| *Afbeelding voorzijde:* | *Satellietfoto van het plangebied. Bron: Google Maps.* |

# Inhoud

Samenvatting ..... 4
1. Inleiding ..... 6
1.1 Inleiding en onderzoekskader ..... 6
1.2 Doel en vraagstelling van het bureauonderzoek ..... 7
1.3 Werkwijze Bureauonderzoek ..... 7
1.4 Beleidskaders ..... 8
1.5 Administratieve gegevens ..... 10
2 Bureauonderzoek en verwachtingsmodel ..... 11
2.1 Landschapsgenese ..... 11
2.2 Historische ontwikkeling van het plangebied ..... 16
2.3 Archeologische waarden ..... 19
2.4 Archeologisch verwachtingsmodel ..... 22
2.5 Toetsing verwachtingsmodel ..... 24
3 Booronderzoek ..... 25
3.1 Werkwijze Booronderzoek ..... 25
3.2 Resultaten ..... 25
4 Conclusie en aanbeveling ..... 28
4.1 Conclusie ..... 28
4.2 Selectieadvies ..... 28
4.3 Voorbehoud ..... 28
Gebruikte literatuur ..... 29
BIJLAGEN ..... 30

## Samenvatting

Hamaland Advies heeft in opdracht van Buro Ontwerp & Omgeving, ten behoeve van de sloop van een winkelpand van de Jager Wonen / Senzo Living en het bouwen van woningen een bureauonderzoek uitgevoerd voor het plangebied De Jager te Winterswijk. Het plangebied heeft een oppervlakte van ca. 2.576 m² (Afbeelding 1). Het te slopen pand heeft een oppervlakte van ca. 1.800 $m^2$ en uit de informatie van de opdrachtgever blijkt dat het pand waarschijnlijk tot een diepte van ca. 90 cm-mv is gefundeerd. De nieuw te bouwen woningen zullen het bouwvlak van de winkel deels overschrijden en zullen mede worden gerealiseerd op het deel van het plangebied dat op dit moment dienst doet als parkeerplaats. Deze funderingen zullen tevens een diepte hebben van 90 cm-mv.

Op de archeologische verwachtingskaart van de gemeente Winterswijk ligt het plangebied in een gebied met een hoge verwachting en met waarschijnlijk een goede conservering (profieltype 1) i.v.m. een conserverende laag (esdek) van meer dan 50 cm dik (Afbeelding 14). In het bestemmingsplan Kom Winterswijk[1] heeft het gebied 'Waarde - Archeologische verwachting 2'. Het beleid van de Gemeente Winterswijk is om conform de bestemmingsplanrichtlijn[2] en de erfgoedverordening[3] archeologisch onderzoek te verplichten bij een verstoringsoppervlakte groter dan 100 m². Het plangebied dient vanwege de oppervlakteoverschrijding te worden onderzocht. Het uitgevoerde onderzoek bestaat uit een KNA conform bureauonderzoek (SIKB protocol 4002) dat aangevuld is met verkennende boringen (SIKB protocol 4003).

*Conclusie bureauonderzoek*

Op grond van de bestudeerde bronnen blijkt dat het onderzoeksgebied op terrasafzettingen ligt met daarop dekzand dat wordt afgedekt met een esdek <50 cm-mv. Het bureauonderzoek toont aan dat er in het plangebied een hoge verwachting geldt voor alle archeologische vindplaatsen vanaf het Paleolithicum tot en met de Nieuwe Tijd. Deze resten kunnen direct onder het esdek of in de eerste 25 cm van het dekzand worden verwacht. In het hele planbied hebben echter verschillende bouw- en sloopwerkzaamheden plaatsgevonden sinds 1936. Deze werkzaamheden kunnen de archeologische resten verstoord hebben. Het plangebied wordt echter afgedekt met een conserverende laag <50 cm. Deze laag kan de resten hebben beschermd. Of dit het geval is moet onderzocht worden met een verkennend booronderzoek.

*Conclusie booronderzoek*

In het plangebied is sprake van een volledig verstoord bodemprofiel. Onder een betonverharding (inpandig) of een klinkerverharding (buiten het pand) is sprake van meerdere subrecente ophogingslagen die puinhoudend zijn. Alle overgangen zijn scherp en nergens is een intacte bodem aangetroffen.

De natuurlijke ondergrond is geïnterpreteerd als dekzand van de Formatie van Boxtel, Laagpakket van Wierden. De top van het dekzand is aangetroffen op dieptes variërend van 55 cm in boring 1 tot 95 cm-mv in boring 6.

*Selectieadvies*

Vanwege de bodemverstoring tot in de top van de C-horizont en het ontbreken van archeologische indicatoren wordt in het plangebied geen vervolgonderzoek noodzakelijk geacht. Indien in het plangebied archeologische resten aanwezig waren, dan zijn deze verstoord door subrecente bodemingrepen.

*1 https://www.ruimtelijkeplannen.nl/viewer/viewer.*
*2 https://www.ruimtelijkeplannen.nl/documents/NL.IMRO.0294.BP1106KO01-VA02/r_NL.IMRO.0294.BP1106KO01-VA02_2.24.html.*
*3 Vastgesteld 15 december 2010.*

*Voorbehoud*

Het uitgevoerde onderzoek is op zorgvuldige wijze verricht volgens de algemeen gebruikelijke inzichten en methoden. Het archeologisch onderzoek is erop gericht om de kans op het aantreffen dan wel vernietigen van archeologische waarden bij bouwwerkzaamheden in het plangebied te verkleinen

Verder dient te allen tijde bij het afgeven van een omgevingsvergunning de wettelijke meldingsplicht (Artikel 5.10 en 5.11 van de Erfgoedwet) kenbaar te worden gemaakt, om het documenteren van toevalsvondsten te garanderen: “Degene die anders dan bij het doen van opgravingen een zaak vindt waarvan hij weet dan wel redelijkerwijs moet vermoeden dat het een monument is (in roerende of onroerende zin), meldt die zaak zo spoedig mogelijk bij onze minister”. Het verdient aanbeveling ook de verantwoordelijk ambtenaar van de gemeente Winterswijk (dhr. K. Meinderts) hiervan per direct in kennis te stellen.

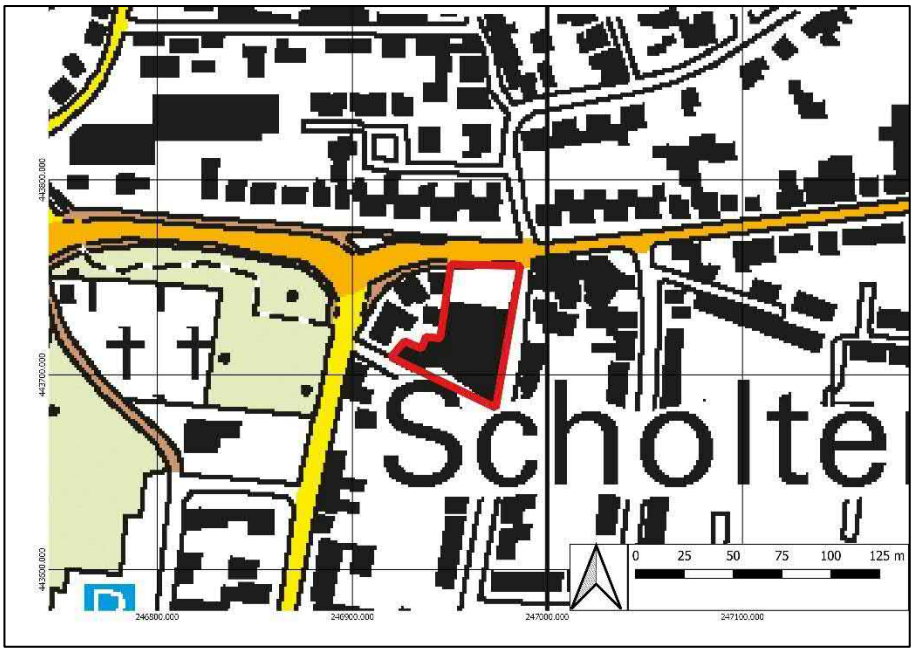
# 1. Inleiding

## 1.1 Inleiding en onderzoekskader

Hamaland Advies heeft in opdracht van Buro Ontwerp & Omgeving, ten behoeve van de sloop van een winkelpand van de Jager Wonen / Senzo Living en het bouwen van woningen een bureauonderzoek uitgevoerd voor het plangebied De Jager te Winterswijk. Het plangebied heeft een oppervlakte van ca. 2.576 m² (Afbeelding 1). Het te slopen pand heeft een oppervlakte van ca. 1.800 m$^2$ en uit de informatie van de opdrachtgever blijkt dat het pand waarschijnlijk tot een diepte van ca. 90 cm-mv is gefundeerd. De nieuw te bouwen woningen zullen het bouwvlak van de winkel deels overschrijden en zullen mede worden gerealiseerd op het deel van het plangebied dat op dit moment dienst doet als parkeerplaats. Deze funderingen zullen tevens een diepte hebben van 90 cm-mv.

Op de archeologische verwachtingskaart van de gemeente Winterswijk ligt het plangebied in een gebied met een hoge verwachting en met waarschijnlijk een goede conservering (profieltype 1) i.v.m. een conserverende laag van meer dan 50 cm dik (Afbeelding 14). In het bestemmingsplan Kom Winterswijk[4] heeft het gebied 'Waarde - Archeologische verwachting 2'. Het beleid van de Gemeente Winterswijk is om conform de bestemmingsplanrichtlijn[5] en de erfgoedverordening[6] archeologisch onderzoek te verplichten bij een verstoringsoppervlakte groter dan 100 m². Het plangebied dient vanwege de oppervlakteoverschrijding te worden onderzocht. Het uitgevoerde onderzoek bestaat uit een KNA conform bureauonderzoek (SIKB protocol 4002) dat aangevuld is met verkennende boringen (SIKB protocol 4003).

Het bevoegd gezag, Gemeente Winterswijk (dhr. K. Meinderts) en haar adviseur, de Regionaal Archeoloog van de Omgevingsdienst Achterhoek (drs. D. Kastelein), zullen de resultaten van het rapport toetsen en eventuele opmerkingen zullen worden verwerkt.




***Afbeelding 1: Topografische kaart met plangebied in het rode kader (bron: PDOK).***

*4 https://www.ruimtelijkeplannen.nl/viewer/viewer.*
*5 https://www.ruimtelijkeplannen.nl/documents/NL.IMRO.0294.BP1106KO01-VA02/r_NL.IMRO.0294.BP1106KO01-VA02_2.24.html.*
*6 Vastgesteld 15 december 2010.*

## 1.2 Doel en vraagstelling van het bureauonderzoek

Het doel van het bureauonderzoek is het verkrijgen van inzicht in bekende en te verwachten archeologische waarden in en om het plangebied. Op basis van de verworven informatie wordt een archeologisch verwachtingsmodel voor de onderzoekslocatie opgesteld.

Om deze doelstelling te realiseren, zijn de volgende onderzoeksrichtlijnen opgesteld:[7]

Het bureauonderzoek zal uiteraard moeten voldoen aan de vigerende KNA-versie. Daarbij moeten onderstaande punten uitgebreid beschreven worden:

1. Beschrijving van de administratieve gegevens conform de KNA, inclusief minimaal één kaart van het onderzoeksgebied met RD-coördinaten.
2. Beschrijving van de geologie en de geomorfologie van het onderzoeksgebied.
3. Beschrijving van de te verwachten natuurlijke en de antropogene bodemhorizonten en de mogelijke verstoring van de bodem.
4. Beschrijving van het historisch grondgebruik en eventuele bebouwing van de onderzoekslocatie op basis van historische kaarten en archief en/of literatuuronderzoek.
5. Beschrijving van de bekende archeologische gegevens van de onderzoekslocatie en de omgeving (archeologische monumenten, vindplaatsen, archeologische onderzoeken met onderzoeksresultaten).
6. Beschrijving van de aard, de datering, de omvang en de verwachte fysieke kwaliteit van de mogelijk aanwezige archeologische resten.
7. Beschrijving van de verwachte vondstverspreiding en de vondst- en spoorniveaus.
8. Uitgebreide onderbouwing van de gespecificeerde archeologische verwachting.
9. Gemotiveerde beschrijving van de meest geschikte KNA-onderzoeksmethode voor het opsporen van de verwachtte sporen en vondsten (indien verder onderzoek nodig is).
10. Opstellen van locatie-specifieke onderzoeksvragen voor het vervolgonderzoek (indien van toepassing).

## 1.3 Werkwijze Bureauonderzoek

Het bureauonderzoek is uitgevoerd conform de eisen van de Kwaliteitsnorm Nederlandse Archeologie (protocol 4002 Bureauonderzoek KNA, versie 4.1) en bestaat uit de volgende onderdelen:

- Afbakenen Plan- en onderzoeksgebied, vermelden overheidsbeleid, vaststellen consequenties toekomstig gebruik (KNA-LS01)
- beschrijving van het huidig gebruik (KNA LSO2);
- beschrijving van de historische situatie en de mogelijke verstoringen KNA LSO3);
- beschrijving van de bekende archeologische, ondergrondse bouwhistorische en aardwetenschappelijk kenmerken (KNA LSO4);
- het opstellen van een specifieke verwachting en formulering onderzoeksstrategie (KNA LSO5).

Om tot een gefundeerd archeologisch verwachtingsmodel te komen is voor het onderzoek relevant bronnenmateriaal geraadpleegd. Door informatie uit verschillende invalshoeken samen te voegen ontstaat de mogelijkheid dwarsverbanden te leggen tussen de diverse brontypen en aan de hand hiervan een geïntegreerd archeologisch verwachtingsmodel op te stellen. De gegevens voor het bureauonderzoek zijn ontleend aan:

- Archis3, het geautomatiseerde archeologische informatiesysteem voor Nederland
- geomorfologisch, geologische, bodemkundig, topografisch en historisch kaartmateriaal;
- Archeologische verwachtings- en advieskaartgemeente Winterswijk (2009);
- Cultuurhistorische Atlas Winterswijk[8] ;
- Archeologische rapporten en publicaties.

[7] *Format archeologisch bureau- en booronderzoek Omgevingsdienst Regio Achterhoek (2019).*
[8] *Neefjes & Willemse, 2009.*

## 1.4 Beleidskaders

*Rijksbeleid*

In 1992 werd in Valetta door de Ministers van Cultuur van de bij de Raad van Europa aangesloten landen het 'Europees Verdrag inzake de bescherming van het Archeologisch Erfgoed', beter bekend onder de naam 'Verdrag van Malta', ondertekend. De Wet op de Archeologische Monumentenzorg is op 1 september 2007 in werking getreden. De nieuwe wet heeft zijn beslag gekregen via een wijziging van de Monumentenwet 1988, aanpassingen in de Wet op de Ruimtelijke Ordening (WRO) en enkele andere wetten en met de invoering van de Wabo (2010). Met de nieuwe Wet op de Archeologische Monumentenzorg is het accent komen te liggen op het streven naar het behoud en beheer van archeologische waarden in de bodem (in situ) en het beperken van (de noodzaak van) archeologische opgravingen. Uitgangspunt van het nieuwe beleid is tevens het principe 'de verstoorder betaalt'. Bij het voorbereiden van werkzaamheden die het bodemarchief kunnen verstoren (zoals de aanleg van een weg, een nieuwe woonwijk, een bedrijventerrein), dient onderzocht te worden of daardoor archeologische resten verstoord kunnen worden. Als uit het onderzoek blijkt dat er archeologische waarden aanwezig zijn en deze niet ter plaatse behouden kunnen blijven, dan dient de initiatiefnemer van het werk de kosten te dragen die gepaard gaan met het opgraven en conserveren van de plaats. Met de introductie van de nieuwe wet zijn de kerntaken en bestuurlijke verantwoordelijkheden van gemeenten veranderd. Eén van de belangrijkste consequenties is, dat gemeenten een centrale rol is toegekend in de bescherming van archeologisch erfgoed. In de wet is bepaald, dat gemeenten door inzet van een planologisch instrumentarium het archeologisch belang dienen te waarborgen.

Bescherming van het archeologisch erfgoed kan onder meer vorm krijgen door in bestemmingsplannen regels ter bescherming van bekende en te verwachten archeologische waarden op te nemen. In de regelgeving is vastgelegd dat in het kader van een omgevingsvergunning van de aanvrager geëist kan worden dat hij een rapport overlegt waarin de archeologische waarde van het te verstoren terrein voldoende is vastgesteld. Voor de toetsing van archeologische waarden is een archeologisch bestel ontwikkeld, waarmee de archeologische waarde van een terrein bepaald kan worden door middel van een getrapt systeem van onderzoek. In het kader van het vrijstellingsbesluit volstaat in eerste instantie een bureauonderzoek en een inventariserend veldonderzoek (IVO-K).

Per 1 juli 2016 is de Erfgoedwet van toepassing. De Erfgoedwet harmoniseert bestaande wet- en regelgeving, schrapt overbodige regels en legt de verantwoordelijkheid voor de bescherming van het cultureel erfgoed zoveel mogelijk bij het erfgoedveld zelf: musea, collectiebeheerders, archeologen, eigenaren en overheden. Bepaalde onderdelen van de wettelijke bescherming van het cultureel erfgoed verhuizen naar de nieuwe Omgevingswet. De vuistregel hierbij is: duiding van erfgoed in de Erfgoedwet, omgang met erfgoed in de fysieke leefomgeving in de Omgevingswet.

*Provinciaal Beleid*

Het provinciaal beleid van Gelderland t.a.v. cultuurhistorie en archeologische monumentenzorg is vastgelegd in het Cultuur- en erfgoedprogramma[9]. Zij wil bewerkstelligen:

- Versterken van de functionaliteit van erfgoed
- Verbeteren van de uitvoeringskwaliteit door samenwerking in het erfgoednetwerk
- Stimuleren van innovatie en nieuwe ontwikkelingen
- Verankeren van de geschiedenis van Gelderland in de identiteit van de Gelderse regio's
- Versterken van de maatschappelijke rol van musea
- Versterken van de presentatie van collecties beeldende kunst die verbonden zijn met onze provincie, de 'Gelderse school'
- Stimuleren van kwalitatief hoogwaardig cultuuronderwijs op basisscholen. Cultuureducatie heeft een vaste plek in het lesaanbod binnen het basisonderwijs
- Stimuleren van cultuur- en erfgoedparticipatie

In de programmaperiode 2017-2020 gaat de provincie aan de slag met:

- Klimaat en duurzaamheid met betrekking tot onderhoud van erfgoed in de provincie;

*9 www.gelderland.nl.*

- Samenwerking met kennis- en onderwijsinstellingen zoals Universiteiten en Hogescholen over instandhoudingstechnologie (innovaties van materialen, methoden en technieken)
- Archeologische en cultuurhistorische Waardenkaarten van gemeenten toegankelijk maken voor een breder publiek;
- Actualisatie Kennisagenda Archeologie van Gelderland en samen met gemeenten implementatie van de Erfgoedwet;
- Het actief omgaan met nieuwe opgaven zoals het (laten) verrichten van onderzoek leegstand van monumentaal vastgoed;
- Inventarisaties groen, haalbaarheidsonderzoeken of strategische beheervisies, gemeentelijke visies;
- Bescherming erfgoedwaarden door inzet deskundigheid en maatwerk in de regelgeving. Voor de Limes voorbereiding van de aanwijzing als Werelderfgoed;
- Instandhouding en beleefbaar maken door afsprakenkaders met gemeenten, restauratie fysieke projecten, functieverandering en duurzaamheidsbevordering;
- Programmatische samenwerking door een netwerk van alle relevante partijen;
- De uitvoering van projecten als de Vliegende startprojecten, Kennisagenda archeologie, Landgoederen en buitenplaatsen, Landgoed Sevenaer.

De archeoregio laat zich op het regionale niveau van Oost-Gelderland onderverdelen in vijf subgebieden op basis van de geomorfologische gesteldheid[10]:
- het plateau van Winterswijk (subregio 1)
- het stuwwallandschap van Montferland (subregio 2)
- het vlakke midden, het centrale dekzandlandschap (subregio 3)
- het stuwwal- en dekzandlandschap van het stroomgebied van de Berkel (subregio 4)
- het rivierenlandschap van de Oer-Rijn, de Oude IJssel en IJssel (subregio 5)

Het plangebied ligt binnen subregio 1, zodat de provincie eventueel sturing geeft in het beleid.

Het archeologisch beleidskader deelt Gelderland op in drie soorten archeologische gebieden:
- A-gebieden: de Gelderse parels;
- B-gebieden: de ruwe diamanten
- C-gebieden: de rest van Gelderland.

In de A-gebieden stuurt de provincie via onderhandeling en indien mogelijk via samenwerking, actief op bescherming, behoud door ontwikkeling en verantwoord onderzoek. In de B-gebieden laat de provincie de verantwoordelijkheid voor bescherming, behoud door ontwikkeling en verantwoord onderzoek in principe over aan de gemeente. De provincie neemt daarbij een stimulerende, faciliterende en adviserende rol in. In de C-gebieden ligt de verantwoordelijkheid voor de archeologie volledig bij de gemeente.

De gemeente Winterswijk kent de volgende gebieden[11]:

- A18 het gebied van de steilrand van het Winterwijk plateau

Het plangebied ligt buiten gebied A18 in een C-gebied, zodat de verantwoordelijkheid voor het behoud van archeologisch waardevolle resten volledig bij de gemeente Winterswijk ligt.

*Gemeentelijk beleid*

Gemeente Winterswijk beschikt over eigen archeologiebeleid. Er is een vastgestelde archeologische beleidsadvieskaart uit 2009 (RAAP, 2009).

In 2012 is er in opdracht van de gemeente in de Regio Achterhoek een nieuw afwegingskader voor archeologiebeleid in de Regio Achterhoek[12] opgesteld. De bestaande onderzoeksgrenzen van gemeente Winterswijk zijn echter bij dit onderzoek gehanteerd, omdat de gemeente Winterswijk de vigerende ondergrenzen hanteert van de vastgestelde beleidskaart.

*10 http://www.gelderland.nl/4/Home/Kennisagenda-archeologieOostGelderland.html.*
*11 http://kaarten.gelderland.nl/viewer/app/thema_historischarcheologie.*
*12 Willemse & Kocken, 2012.*

## 1.5 Administratieve gegevens

**Tabel 1: Gegevens projectgebied**

| | | |
|---|---|---|
| Opdrachtgever | Buro Ontwerp & Omgeving | |
| Projectnaam | De Jager | |
| Uitvoerder Beheer en plaats documentatie | Hamaland Advies Ambachtsweg 9b, 7021 BT Zelhem | |
| Bevoegd gezag | Gemeente Winterswijk | |
| Provincie Gemeente Plaats | Gelderland, Winterswijk, Winterswijk | |
| Adres Toponiem | Lijsterbesstraat, Eikenstraat, Singelweg en Vredensestraat | |
| Kaartbladnummer[13] | 41E | |
| x, y coördinaten[14] | Centrum | 246.960, 443.718 |
| | NO | 246.985, 443.755 |
| | NW | 246.950, 443.757 |
| | ZO | 246.973, 443.683 |
| | ZW | 246.919, 437.709 |
| Hoogte plangebied[15] | 34,5 m+NAP op het onbebouwde gedeelte | |
| CMA/AMK Status en nr.[16] | Geen | |
| Kadastrale gegevens[17] | Gemeente Winterswijk, perceel 1937 | |
| Archis3 Onderzoekmeldingsnummer[18] | 4775715100 | |
| Oppervlakte plangebied[19] | 2576 m² | |
| Oppervlakte onderzoeksgebied[20] | 2576 m² | |
| Huidig grondgebruik[21] | Winkel | |
| Toekomstig grondgebruik[22] | Woningen | |
| Geomorfologie | Bebouwd | |
| Bodemtype | Bebouwd | |
| Grondwatertrap[23] | Bebouwd | |
| Geologie[24] | Bx5 Formatie van Boxtel, Laagpakket van Wierden; dekzand<br>Bx6 Laagpakket van Wierden met fluvioperiglaciale afzettingen van leem en zand met een zanddek wat behoord tot de Formatie van Boxtel | |
| Periode | Paleolithicum t/m Nieuwe Tijd | |

*13 Pdok.*
*14 Archis3, via http://zoeken.cultureelerfgoed.nl.*
*15 http://ahn.maps.arcgis.com/ AHN2 Maaiveld.*
*16 Archis3, via http://zoeken.cultureelerfgoed.nl.*
*17 Archis3, Adressen gebouwen en percelen.*
*18 Archis3, via https://archis.cultureelerfgoed.nl.*
*19 Ruimtelijkeplannen.nl.*
*20 Ruimtelijkeplannen.nl.*
*21 Luchtfoto, Google Maps.*
*22 Opgave opdrachtgever.*
*23 http://maps.bodemdata.nl/bodemdatanl/index.jsp.*
*24 Geologische kaart 1:50000.*

# 2 Bureauonderzoek en verwachtingsmodel

## 2.1 Landschapsgenese

*Geologie en Geomorfologie*

Het plangebied is gelegen op het Oost-Nederlandse Plateau. Het Oost-Nederlandse Plateau helt naar het noordwesten en wordt begrensd door het Pleistocene bekken. De geologische opbouw van het gebied is zeer gecompliceerd. Gedurende de voorlaatste ijstijd, het Saaliën (ca. 250.000 - 130.000 jaar geleden) heeft het gebied geruime tijd onder een dikke, schuivende ijskap gelegen, waardoor het landoppervlak werd 'overreden', geërodeerd en afgevlakt. Onder het landijs werd op veel plaatsen grondmorene (meestal keileem) afgezet, plaatselijk bekend als de Formatie van Broekheurne, Laagpakket van Woold[25]. De grondmorene is gevormd op het contactvlak tussen het voortschuivende ijs en de ondergrond en bestaat in zijn meest kenmerkende vorm uit een structuurloze leem vermengd met grof zand, grind en stenen. Onder het honderden meters dikke gletsjerijs verzamelde zich gedurende het smeltseizoen veel water. Dit concentreerde zich in subglaciale smelwaterstromen, die door de enorme hydrostatische druk een diep ingesneden systeem van tunneldalen vormden. De aanwezigheid van deze slecht waterdoorlatende afzetting aan of nabij de oppervlakte is, samen met de onderliggende tertiaire kleien, de oorzaak van het voorkomen van ondiepe grondwaterstanden tijdens regenachtige perioden. Naast de grondmorenes werden tijdens het Saaliën plaatselijk glaciofluviale sedimenten afgezet door ijssmeltwater. Deze glaciofluviale afzettingen worden gerekend tot de Formatie van Drenthe, Laagpakket van Schaarsbergen, en bestaan voornamelijk uit grindhoudende zanden. Gedurende de laatste ijstijd, het Weichselien (ca. 115.000 - 10.000 jaar geleden), bereikte het landijs Nederland niet. Toentertijd heerste er in Nederland een continentaal periglaciaal klimaat. Dit houdt in dat de omstandigheden erg koud en droog waren. Het landschap in Nederland bestond uit een poolwoestijn, waarin vrijwel geen vegetatie aanwezig was. Over een groot deel van Nederland werden eolische zanden afgezet.

Grootschalige afzetting van niveo-eolische en fluvio-eolische zanden (voorheen aangeduid als de Oude Dekzanden) vond met name plaats tijdens het Laat-Pleniglaciaal. Deze zanden worden gerekend tot de Formatie van Boxtel en betreffen vaak matig gesorteerde zanden, welke onder zeer koude omstandigheden door water en wind als een vlakke deken over het landschap zijn afgezet. Kenmerkend is dan ook dat deze zanden veelal horizontaal gelaagd zijn en dat er lemige banden in voorkomen. Deze afzettingen worden vaak aangezien voor verspoelde dekzanden. De term verspoeld dekzand is enigszins misleidend. Het gaat namelijk niet om eolische zanden die later zijn verspoeld, maar eerder om fluviatiele zanden die later deels zijn opgestoven. De droog-eolische zanden, de dekzanden (voorheen Jonge Dekzanden), zijn afgezet tijdens het Laat-Glaciaal en behoren tot de Formatie van Boxtel, Laagpakket van Wierden. De zanden zijn veelal afgezet in de vorm van langgerekte, vaak ZW-NO georiënteerde ruggen. Gelaagdheid is hierin meestal niet aanwezig, er komen geen leemlagen in voor en het betreft vaak goed gesorteerde zanden. Het plangebied heeft de formatie van Boxtel als geologische ondergrond.

De keileem is later grotendeels bedekt met dekzand. In de koudste en droogste perioden van het Weichselien, met name in het Laat-Pleniglaciaal (circa 26.000 – 15.700 jaar geleden) en sommige perioden van het Laat-Glaciaal (circa 15.700 – 11.755 jaar geleden), was de vegetatie vrijwel verdwenen, waardoor op grote schaal verstuiving kon optreden, waarbij dekzand werd afgezet.[26] Dit (vaak lemige) zand is kalkloos, fijnkorrelig (150– 210 µm), goed afgerond, goed gesorteerd en arm aan grind en wordt tot het Laagpakket van Wierden van de Formatie van Boxtel gerekend. Op de plateaus is slechts een dunne laag dekzand afgezet of ontbreekt het helemaal. In de lagergelegen vlaktes is de dekzandbedekking dikker en komen dekzandruggen voor.

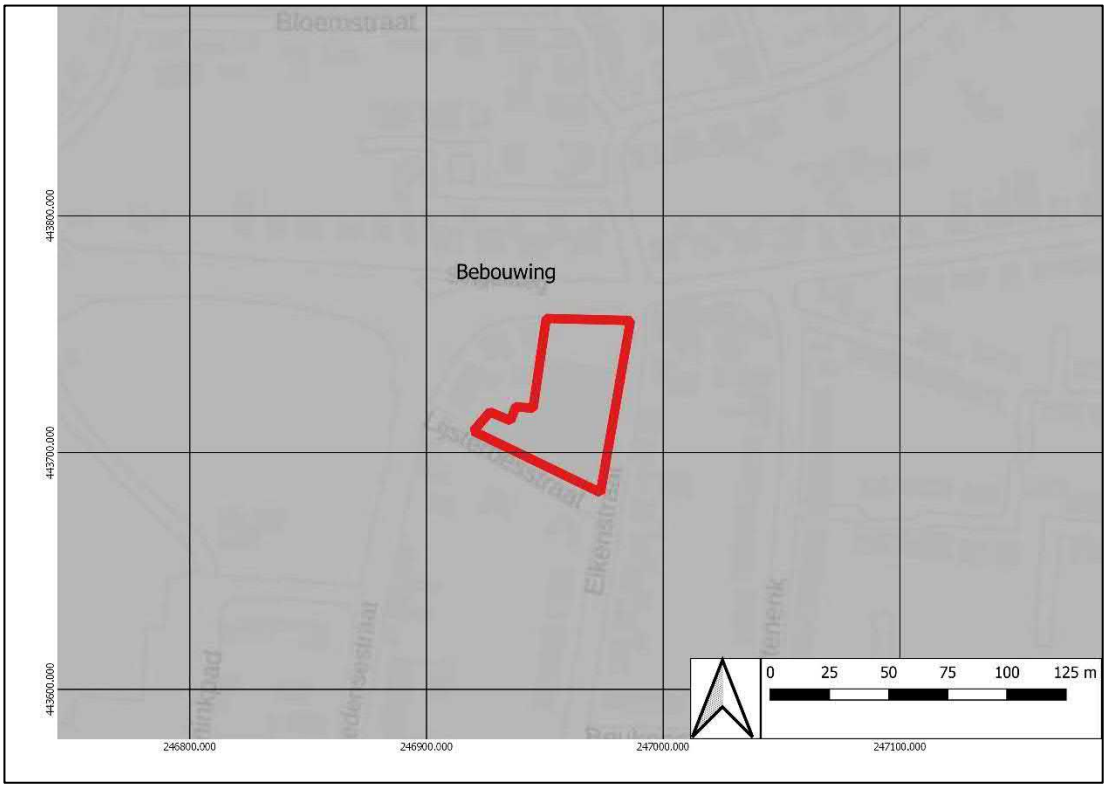
In het Holoceen (vanaf ca. 10.000 jaar geleden) zijn door verwaaiing van de (nat-)eolische zanden lokaal stuifzandgebieden ontstaan. Bij het ontstaan hiervan speelde de mens een belangrijke rol, door beweiding, afbranden en het steken van plaggen op de heidevelden dat voornamelijk plaatsvond in de Nieuwe tijd. De stuifzanden worden gerekend tot het Laagpakket van Kootwijk, welke behoort tot de Formatie van Boxtel. Daarnaast zijn er in (lokale) beekdalen afzettingen

*25 Bosch, 2015.*
*26 Berendsen, 2004.*

gevormd bestaande uit leem, veen en zand. Deze afzettingen worden gerekend tot het Laagpakket van Singraven, welke tevens behoren tot de Formatie van Boxtel. Veel beken bevinden zich binnen de lagergelegen smeltwaterdalen (tunneldalen). Daar waar tertiaire kleien en keileem (vrijwel) dagzomen bevinden zich, vanwege hun slechte waterdoorlatendheid, relatief veel natte bodems.

Geologisch gezien is er in het plangebied sprake van het Laagpakket van Wierden met fluvioperiglaciale afzettingen van leem en zand met een zanddek wat behoord tot de Formatie van Boxtel (Bx6) en/of van de Formatie van Boxtel, Laagpakket van Wierden; dekzand (Bx5).27

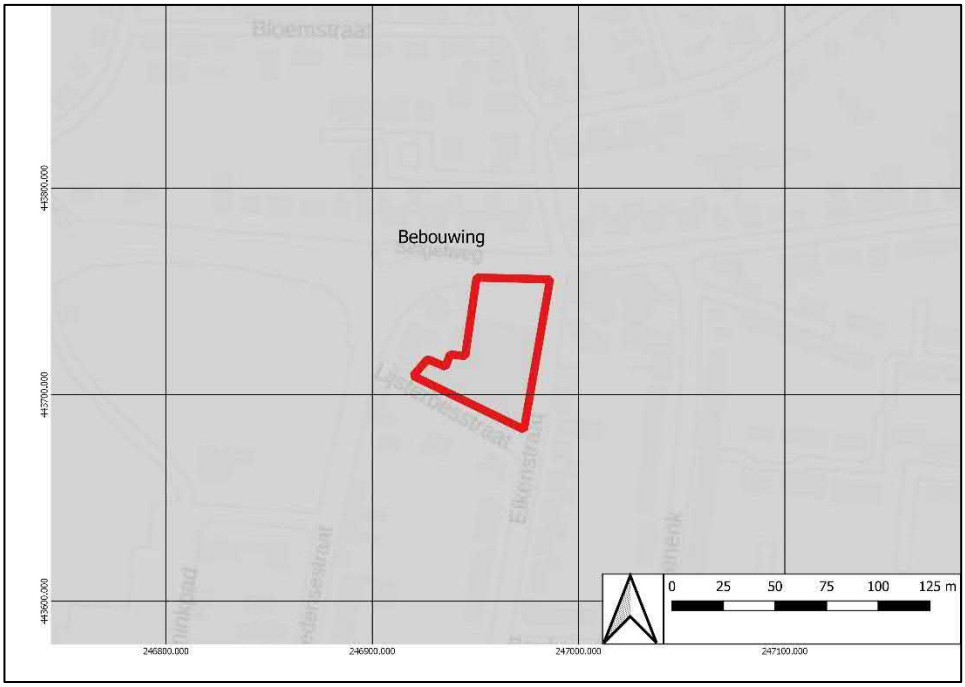
Op de Geomorfologische kaart[28] is het plangebied niet gekarteerd in verband met bebouwing (Afbeelding 2). Volgens de Cultuurhistorische atlas van Winterswijk bevind het plangebied zich op terrasafzettingen met daarop een dik plaggendek.[29] Uit archeologische onderzoeken in de directe omgeving van het plangebied en de geologische kaart kan worden opgemaakt dat deze terrasafzettingen bedekt zijn met dekzand.[30]




***Afbeelding 2: Geomorfologische kaart met het plangebied in het rode kader (Bron: Archis3)***

Het plangebied is op de bodemkaart[31] niet gekarteerd in verband met aanwezige bebouwing (Afbeelding 3). Uit archeologische onderzoeken in de directe omgeving van het plangebied kan worden opgemaakt dat de ondergrond bestaat uit hoge zwarte enkeerdgronden (zEZ). Uit deze onderzoeken blijkt ook dat er in de omgeving van het plangebied een esdek aanwezig is met een dikte van >50 cm-mv.[32] Dit wordt bevestigd door de Cultuurhistorische Atlas van Winterswijk waarin wordt vermeld dat het plangebied ligt op een locatie met een conserverende laag van < 50 cm.

*27 Berendsen en Stouthamer 2012.*
*28 Archis3, geomorfologische kaart 2008.*
*29 Neefjes & Willemse, 2009.*
*30 Zielman en Van Snippenburg 2019, 11; Ten Broeke, Stiekema 2008, 5; Van der Zijpp 2005, 9; Van Breda en Van der Zee 2009, 8.*
*31 Archis3, bodemkaart 2006.*
*32 Zielman en Van Snippenburg 2019, 11; Ten Broeke, Stiekema 2008, 5; Van der Zijpp 2005, 9; Van Breda en Van der Zee 2009, 8.*




***Afbeelding 3: Bodemkaart met de situering van het plangebied binnen het rode kader (bron: Archis3 Bodemkaart 2006)***

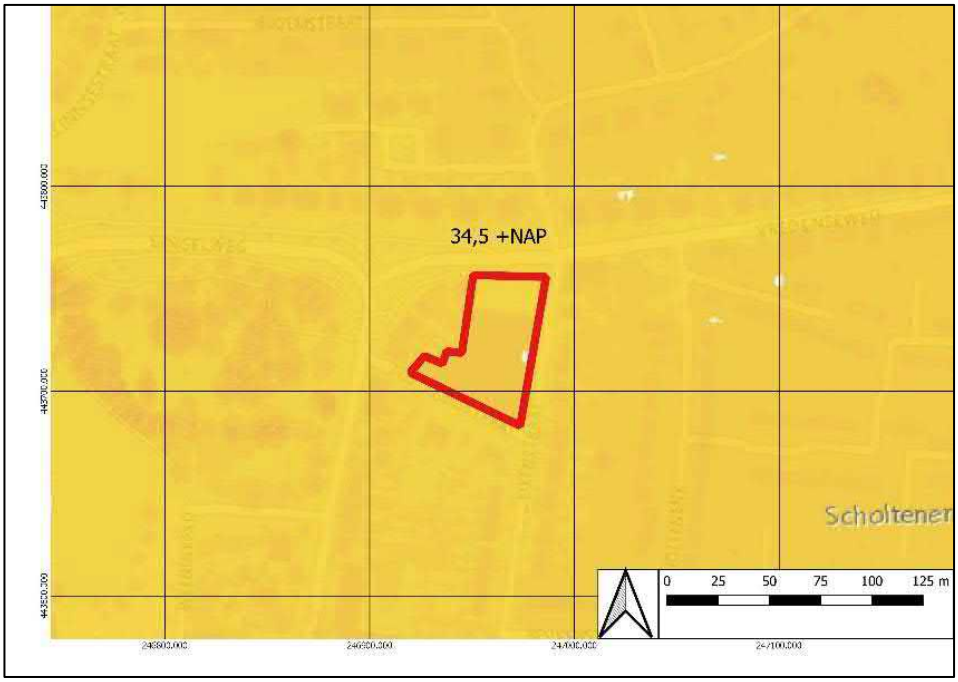
*Grondwater*

De grondwatertrap is niet bepaald voor het plangebied in verband met bebouwing.[33]

*Hoogte*

Op het Actuele Hoogtebestand Nederland[34] heeft het plangebied een hoogte van 34,5 m+ NAP op het onbebouwde gedeelte (Afbeelding 4).

*33 http://maps.bodemdata.nl/bodemdatanl/index.jsp.*
*34 http://ahn.maps.arcgis.com/ AHN2 Maaiveld.*




***Afbeelding 4: Hoogteligging met het plangebied in het rode kader (bron: AHN3).***

*Milieu- en geotechnische gegevens*

In het plangebied zijn bij het bodemloket en bij de provincie geen milieukundige meldingen bekend.[35] Wel zijn er bij het dinoloket 4 geologische boringen bekend in en straal van 500 meter om het plangebied (Afbeelding 5). Hieronder worden deze boringen beschreven.[36]

B41E0213

Deze boring is gezet tot een diepte van 18,00 m-mv. Vanaf het maaiveld tot 0,50 m-mv bestaat de bodem uit zand en van 0,50 m-mv tot 1,00 m-mv uit klei. Vervolgens bestaat de bodem van 1,00 m-mv tot 2,30 m-mv uit leem en van 2,30 m-mv tot 3,30 m-mv uit veen. Daarna bestaat de bodem van 3,30 m-mv tot 4,50 m-mv uit fijn zand en van 4,50 m-mv tot 5,50 m-mv uit matig grof, grindig zand. Van 5,50 m-mv tot 6,40 m-mv bestaat de bodem uit matig grof zand en van 5,50 m-mv tot 6,40 m-mv uit matig grof zand. Tot slot bestaat de bodem van 6,40 m-mv tot 11,10 m-mv uit klei en van 11,10 m-mv tot einde boring uit leem.

B41E0820

Deze boring is gezet tot een diepte van 15,00 m-mv. Vanaf het maaiveld tot 0,75 m-mv bestaat de bodem uit fijn zand en van 0,75 m-mv tot 1,35 m-mv uit fijn humeus zand. Vervolgens bestaat de bodem van 1,35 m-mv tot 1,45 m-mv uit fijn sterk kleiig zand en van 1,45 m-mv tot 2,20 m-mv uit matig zandige klei. Daarna bestaat de bodem van 2,20 m-mv tot 2,75 m-mv uit klei en van 2,75 m-mv tot 4,05 m-mv uit matig grof zand. Vanaf 4,05 m-mv tot 4,40 m-mv bestaat de bodem uit fijn zand en van 4,40 m-mv tot 7,10 m-mv uit fijn, zwak grindig zand. Vervolgens bestaat de bodem van 7,10 m-mv tot 8,05 m-mv uit matig grof, zwak grindig zand en van 8,05 m-mv tot 8,35 m-mv uit ster zandige klei. Daarna volgt er matig zandige klei van 8,35 m-mv tot 10,50 m-mv en grof, sterk grindig zand van 10,50 m-mv tot 12,10 m-mv. Vanaf 12,10 m-mv tot 12,40 m-mv bestaat de bodem uit fijn zand en vanaf 12,40 m-mv tot 12,70 m-mv uit grof, sterk grindig zand. Van 12,70 m-mv tot 13,20 m-mv bestaat de bodem uit grind en van 12,70 m-mv tot einde boring uit klei.

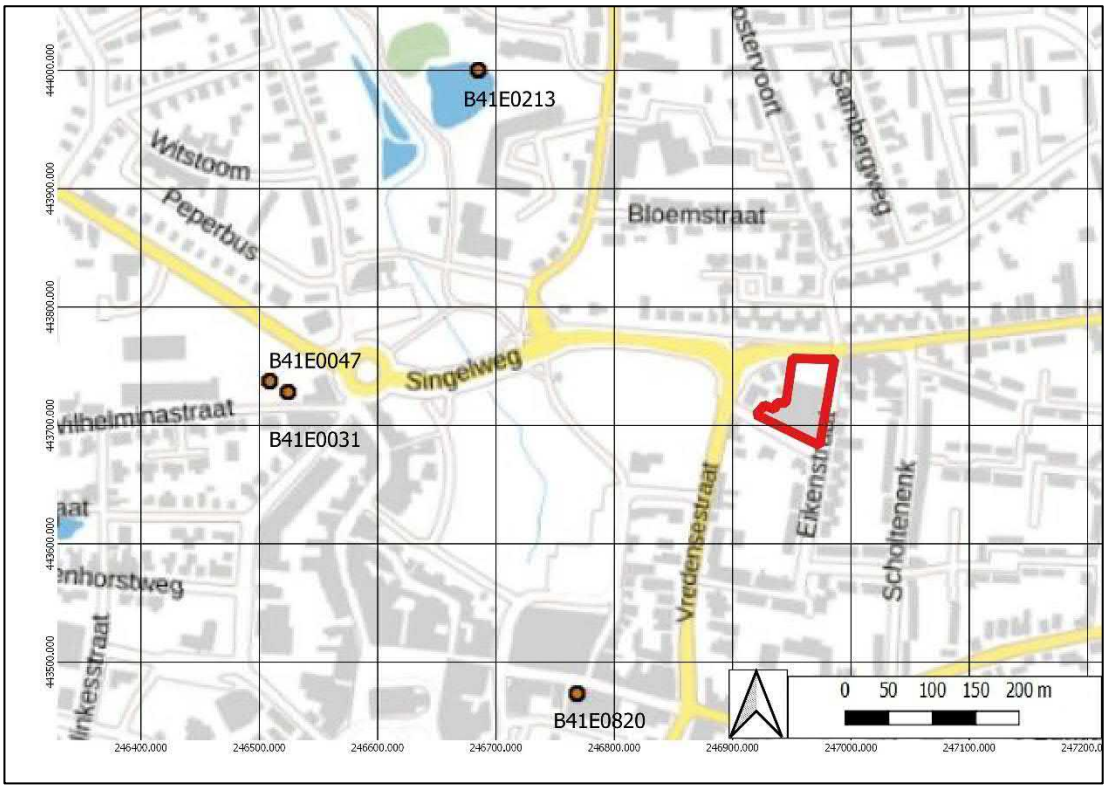
*35 https://www.bodemloket.nl/.*
*36 https://www.dinoloket.nl/.*

B41E0031

Deze boring is gezet tot een diepte van 14,70 m-mv. Vanaf het maaiveld tot 6,00 m-mv bestaat de bodem uit zand en van 6,00 m-mv tot 7,00 m-mv uit grindig zand. Vervolgens bestaat de bodem van 7,00 m-mv tot 7,50 m-mv uit leem en van 7,50 m-mv tot 9,50 m-mv uit grindig, zwak siltig zand. Daarna bestaat de bodem van 9,50 m-mv tot 10,00 m-mv uit grind en van 10,00 m-mv tot 11,30 m-mv uit zwak siltig grind. Van 11,30 m-mv tot 13,00 m-mv bestaat de bodem uit grof zand en van 13,00 m-mv tot 13,80 m-mv uit grindig zand. De bodem bestaat tot slot van 13,80 m-mv tot einde boring uit zwak siltig zand.

B41E0047

Deze boring is gezet tot een diepte van 14,00 m-mv. Vanaf het maaiveld tot 2,80 m-mv bestaat de bodem uit zand en van 2,80 m-mv tot 3,60 m-mv uit fijn zand. Vervolgens bestaat de bodem van 3,60 m-mv tot 4,25 m-mv uit zand en van 4,25 m-mv tot 5,60 m-mv uit zwak siltig zand. Van 5,60 m-mv tot 6,80 m-mv bestaat de bodem uit fijn zand en van 6,80 m-mv tot 8,40 m-mv uit zand. Daarna bestaat de bodem van 8,40 m-mv tot 8,70 m-mv uit zandig grind en van 8,70 m-mv tot 10,40 m-v uit klei. De volgende laag van 10,40 m-mv tot 11,20 m-mv bestaat uit fijn zand en van 11,20 m-mv tot 11,50 m-mv uit grof zand. Vervolgens bestaat de bodem van 1,50 m-mv tot 12,90 m-mv uit zandig grind en van 12.90 m-mv tot 13,40 m-mv uit kleiig, grindig zand. Van 13,40 m-mv tot 13,60 m-mv bestaat de bodem uit zandige klei en van 13,60 m-mv tot einde boring bestaat de bodem uit klei.

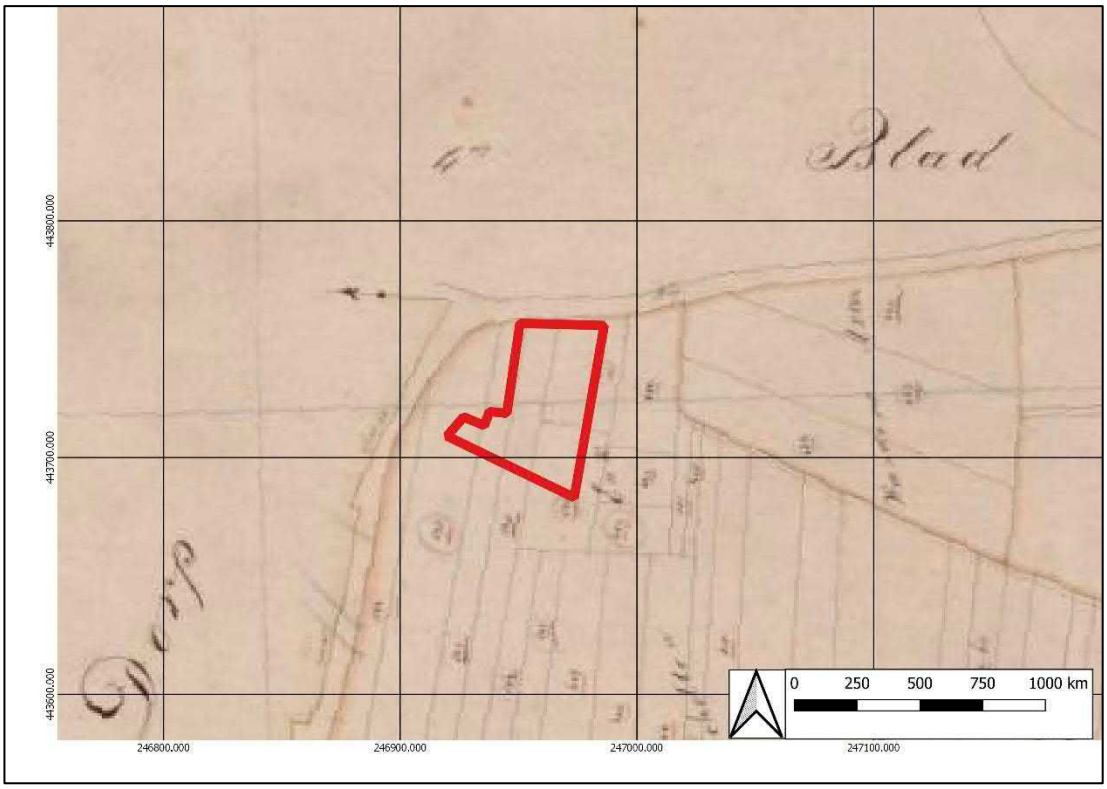



***Afbeelding 5 Ondergrondse gegevens met het plangebied binnen het rode kader (bron: https://www.dinoloket.nl/ondergrondgegevens).***

## 2.2 Historische ontwikkeling van het plangebied

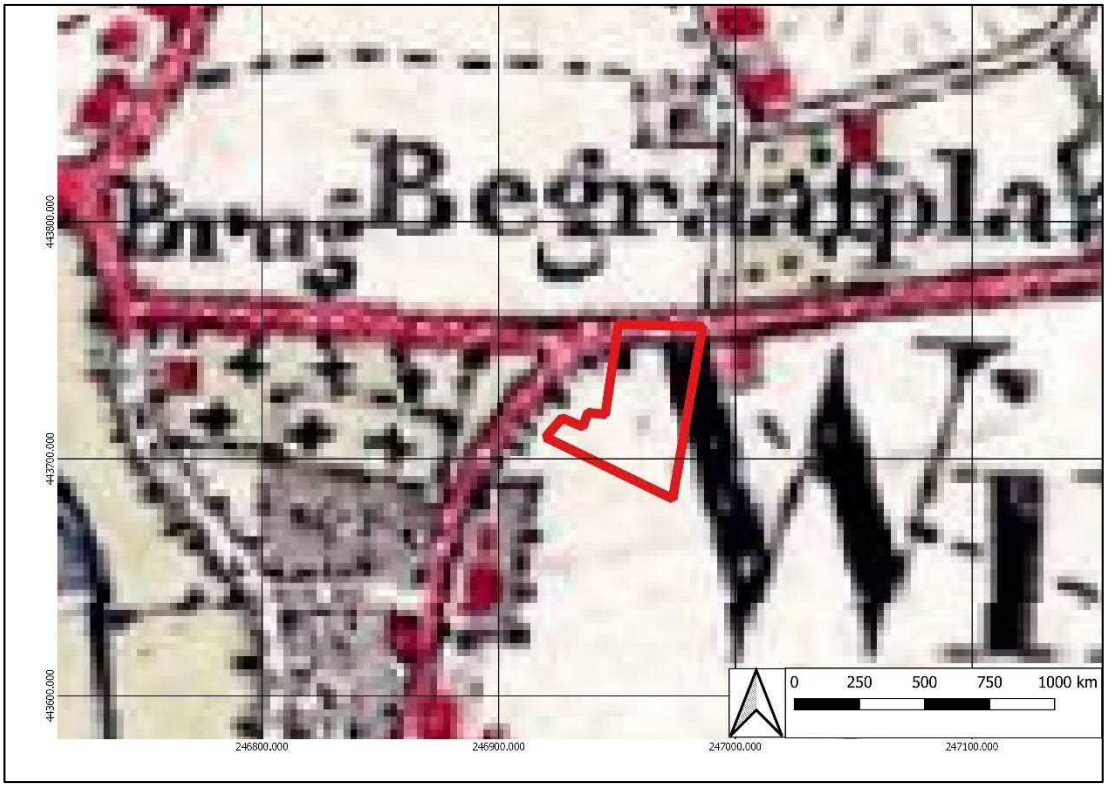
Op het kadastrale minuutplan van 1811-1832 ligt het plangebied op de percelen: 593, 594, 595, 598 en 599 (Afbeelding 6). Volgens de bijbehorende documenten waren deze percelen in gebruik als tuin. De eerste bebouwing rondom het plangebied is zichtbaar op de Bonnebladen van 1898. In de bocht waar nu de Vredensestraat en de Singelweg samenkomen is de eerste bebouwing verschenen (Afbeelding 7). De eerste bebouwing binnen het plangebied is zichtbaar op de topografische kaart van 1936 (Afbeelding 8). In het noorden van het plangebied en in de westelijke punt is bebouwing te zien. Op de topografische kaart van 1955 is te herleiden dat bijna het gehele plangebied bebouwd is met uitzondering van de oost westelijke punt. Op de topografische kaarten van 1968 en 1987 is de huidige bebouwing zichtbaar. Ook is er (inmiddels gesloopte) bebouwing zichtbaar in het noorden van het plangebied.

Uit de Indicatieve Kaart Militair Erfgoed[37] blijkt dat het plangebied in een gebied zonder specifieke kenmerken ligt. Algemeen wordt gesteld dat in dit gebied resten kunnen worden verwacht van kleinere objecten en structuren zoals crashlocaties, veldgraven en onderduikholen.




***Afbeelding 6: Situatie in 1811-1832 met de ligging van het plangebied in het rode kader (kadastrale minuutplan, sectie I, blad 03 (MIN05175I03) (Bron: Archis3).***

37 www.ikme.nl.




***Afbeelding 7 Situatie in 1898 met de ligging van het plangebied in het rode kader (Bonnebladen (Bron: Archis3).***



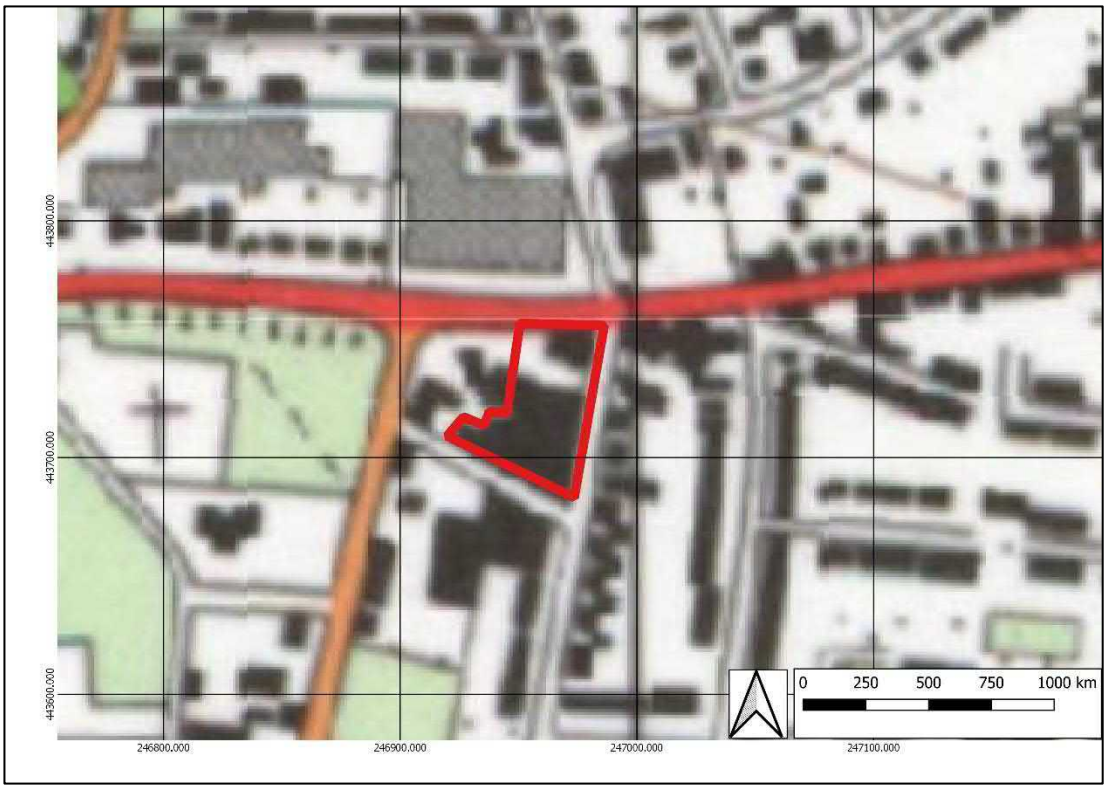

***Afbeelding 8: Situatie in 1936 met het plangebied in het rode kader (topotijdreis.nl)***




***Afbeelding 9: Situatie in 1955 met het plangebied in het rode kader (topotijdreis.nl)***




***Afbeelding 10: Situatie in 1968 met het plangebied in het rode kader (topotijdreis.nl)***




***Afbeelding 11: Situatie in 1987 met het plangebied in het rode kader (topotijdreis.nl)***

## 2.3 Archeologische waarden

Ten westen van het plangebied liggen volgens Archis3 in een straal van 200 meter een aantal onderzoeksgebieden. Vijf van deze onderzoeksgebieden worden hieronder beschreven.

2204425100

Dit onderzoek betreft een bureauonderzoek en een booronderzoek. Uit het bureauonderzoek blijkt dat het onderzoeksgebied ligt op een dekzandrug met daarboven waarschijnlijk een esdek. Aangezien het onderzoeksgebied bebouwd is wordt veracht dat de bodem is verstoord tot 80/100 cm-mv. Mocht het esdek intact zijn kunnen er nog archeologische resten aanwezig zijn, dan bevinden deze zich in de dekzandafzettingen.[38] Uit het booronderzoek bleek dat het esdek inderdaad intact is en er is aanbevolen om een proefsleuvenonderzoek uit te voeren.[39]

4676344100

Dit onderzoek betreft een bureauonderzoek en een booronderzoek. Uit het bureauonderzoek blijkt dat het onderzoeksgebied zich op een dekzandrug bevindt met daarboven een plaggendek. In het westelijkdeel van het onderzoeksgebied worden beekafzettingen verwacht i.v.m. de nabijheid van de Whemerbeek. Verwacht wordt dat er nederzettingen en kampementen kunnen voorkomen uit alle periodes en dat deze goed geconserveerd zullen zijn. Uit het booronderzoek blijkt dat een deel

*38 Ten Broeke, Stiekema 2008, 8.*
*39 Van Breda en Van der Zee 2009, 8.*

van het onderzoeksgebied is verstoord en in combinatie met de lage ligging van het plangebied is besloten geen verder onderzoek aan te bevelen.

2069820100

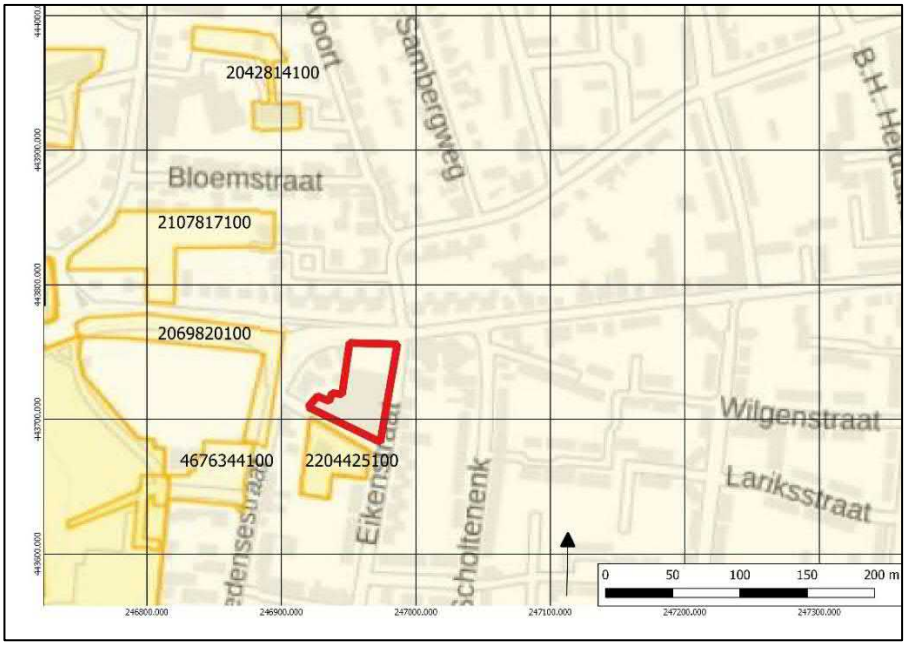
Dit onderzoek betreft een archeologische begeleiding. Uit het onderzoek blijkt dat de bodem bestaat uit een dekzandrug met daarop een esdek met een dikte van meer van 50 cm-mv.[40] Het onderzoeksgebied blijkt verstoord te zijn door het 19deeeuwse grafveld wat op de locatie aanwezig is en door werkzaamheden aan de Singelweg. Alle graven zijn oost-west georiënteerd met het hoofd naar het westen. De eerste laag graven begint op 0,80 m-mv en de graven gaan door tot ongeveer 1,10 m-mv. Tussen de lagen is 50 cm ruimte gelaten. Tijdens het onderzoek is vooral 18deeeuws/begin 19deeeuws aardewerk aangetroffen met enkele stukken 15deeeuws aardewerk. Daarnaast is er metaal aangetroffen afkomstig van grafkisten. Dit betreft voornamelijk kistbeslag. De overige archeologische resten zijn door het grafveld en de eerdere werkzaamheden verstoord. Er zijn geen verdere grondsporen aangetroffen en de vondsten betreffen losse vondsten.[41]

2107817100

Dit onderzoek betreft en booronderzoek. Het onderzoek is in twee fases uitgevoerd, aangezien het plangebied na het onderzoek groter bleek te zijn. Uit de onderzoeken blijkt dat het onderzoeksgebied grotendeels is verstoord en er zijn geen archeologische indicatoren of vondsten aangetroffen. Daarom is geconcludeerd dat vervolg onderzoek niet noodzakelijk is.[42]

2042814100

Dit onderzoek betreft een booronderzoek. Het onderzoeksrapport meldt dat er geen archeologische vondsten zijn aangetroffen tijdens het onderzoek. Op basis van dat gegeven en de boringen wordt gesteld dat het niet aannemelijk is dat het gebied in (pre)historische tijden bewoond is geweest.[43]




***Afbeelding 12: Kaart onderzoeksmeldingen met zaakidentificatienummers. Plangebied in het rode kader (bron: Archis3).***

*40 Van der Zijpp 2005, 9.*
*41 Van der Zijpp 2005, 10.*
*42 Vissinga 2005, 4.*
*43 Bergman, Eaus en Kremer 2003, 12-13.*

*Vondstmeldingen*

Rondom het plangebied in een straal van 200 meter zijn een aantal vondstmeldingen gedaan (Afbeelding 13). De vijf die het dichtst bij het plangebied liggen worden hieronder omschreven.

2725726100

Deze vondstmelding stamt uit 1980 en werd ontdekt na niet-archeologisch graafwerk. Aan de melding is het objectnummer 1042176 gekoppeld. Er is 1 vondst gekoppeld aan dit nummer, het betreft hout en houtskool afkomstig van een waterput/-reservoir (860422). De vondst is gedateerd als Midden-/Late IJzertijd. Aan de vondst is een complex gekoppeld (438935) wat wordt aangeduid als bewoning en gedateerd als IJzertijd.

2725718100

Deze vondstmelding stamt uit 1980 en werd ontdekt na niet-archeologisch graafwerk. Aan de melding is het objectnummer 1042163 gekoppeld. Aan het objectnummer zijn de volgende vondsten gekoppeld.

- 1 gereedschapsonderdeel van hout of houtskool gedateerd Midden/Late IJzertijd (638101)

- 1 brok steen gedateerd Midden/Late IJzertijd (638121)

- Onbekend aantal Maalsteen liggers van tefriet gedateerd Midden/Late IJzertijd (638122)

- Onbekend aantal fragmenten van een steiger van hout of houtskool gedateerd Midden/Late IJzertijd (638123)

- Twee fragmenten van een houten stijger van hout/houtskool gedateerd Midden/Late IJzertijd (638141)

- Onbekend aantal fragmenten handgevormd aardewerk met kamstreekversiering gedateerd Midden/Late IJzertijd (638281)

- Onbekend aantal fragmenten handgevormd aardewerk gedateerd Midden/Late IJzertijd (638158)

Aan de vondstmelding zijn ook een aantal complexen gekoppeld. Dat zijn allen niet nader gedefinieerde complexen gedateerd Midden/Late IJzertijd. De objectnummers die bij de complexen horen zijn 394861, 395001 t/m 395004, 395121, 409212 en 413149.

2704763100

Deze vondstmelding stamt uit 1972. Aan de melding is het objectnummer 1034929 gekoppeld en hieraan zijn de volgende vondsten gekoppeld:

- Onbekend aantal fragmenten handgevormd aardewerk met steengruismagering gedateerd Late Bronstijd/Vroege IJzertijd (740249)

- Onbekend aantal randfragmenten handgevormd aardewerk met steengruismagering gedateerd Late Bronstijd/Vroege IJzertijd (740250)

- Onbekend aantal brokken natuursteen gedateerd Late Bronstijd/Vroege IJzertijd (740282)

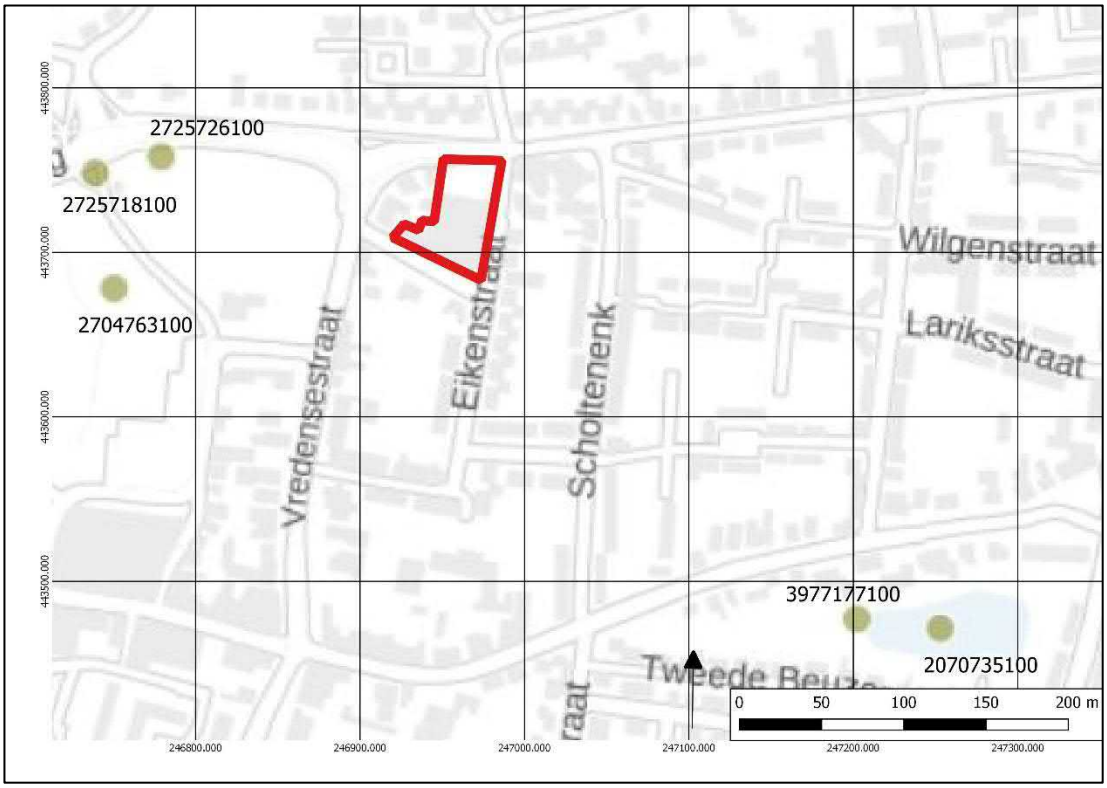
Aan de vondstmelding zijn drie complexen gekoppeld. Dat zijn allen niet nader gedefinieerde complexen gedateerd Late Bronstijd/Vroege IJzertijd. De objectnummers die bij de complexen horen zijn 486814, 486815 en 486944.

3977177100

Deze vondstmelding stamt uit 2005 en zijn aangetroffen tijdens een booronderzoek. Het zaakidentificatienummer 2070735100 betreft dezelfde vondst. Aan de melding is het objectnummer 1112849 gekoppeld en hieraan zijn de volgende vondsten gekoppeld:

- 1 stuk steengoed gedateerd als Midden Nieuwe Tijd (1010928).

- 1 stuk geglazuurd roodbakkend aardewerk gedateerd als Vroege Nieuwe Tijd (1010929).



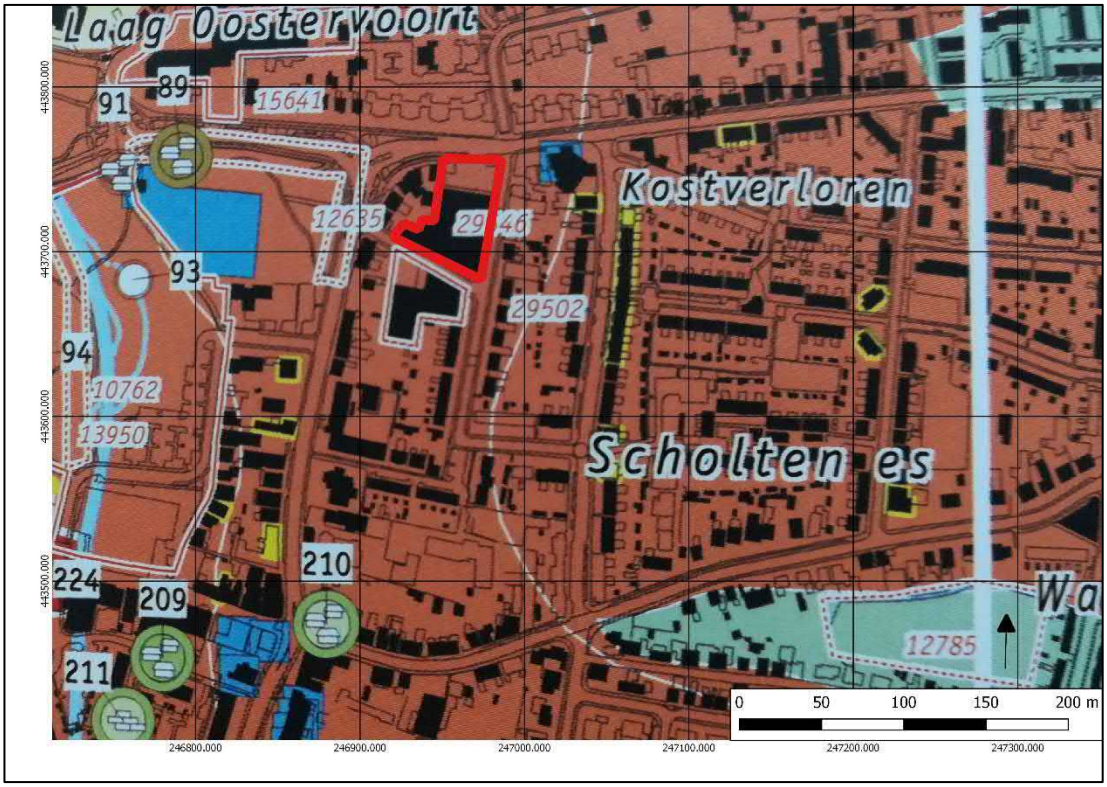

***Afbeelding 13 Kaart met vondstmeldingen en zaakidentificatienummers. Plangebied in het rode kader (bron: Archis3).***

## 2.4 Archeologisch verwachtingsmodel

Op grond van de bekende geologische-, landschappelijke-, aardkundige-, archeologische- en historische gegevens in en rond het plangebied kan de archeologische verwachting voor het plangebied worden bepaald.

Volgens de Cultuurhistorische Atlas Winterswijk[44] heeft het plangebied een hoge verwachting en waarschijnlijk een goede conservering door een dikke conserverende laag van 50 cm of dikker (Afbeelding 14). Dit wordt bevestigd door archeologische onderzoeken in de directe omgeving van het plangebied waar een dik esdek is aangetroffen op het dekzand. Door de hoge ligging van het plangebied kunnen archeologische resten uit alle periodes verwacht worden direct onder het esdek en tot ongeveer 25 cm in het dekzand. Resten uit de Tweede Wereldoorlog zijn een uitzondering. Hiervoor geldt een lage verwachting en deze kunnen in de bouwvoor aangetroffen worden (Tabel 2).

*44 Neefjes & Willemse, 2009, kaart AWK13.*




***Afbeelding 14: Uitsnede van de archeologische verwachtingskaart. Het plangebied ligt in het rode kader (Bron: Cultuurhistorische Atlas van Winterswijk).***

***Tabel 2* Archeologische verwachting plangebied**

| Periode | Verwachting | Verwachte vindplaatstypen | Verwachte grondlaag (diepte) |
|---|---|---|---|
| Tweede wereldoorlog | Laag | Kleinere objecten en structuren zoals crashlocaties, veldgraven en onderduikholen | In de bouwvoor |
| Paleolithicum - Nieuwe Tijd | Hoog | Nederzettingsterreinen, grafvelden, resten van ijzerbewerking, dumps, meilers, losse vondsten | Direct onder het esdek of in de top van het dekzand, vanaf circa 50 cm-mv |

*Gaafheid bodem*

Het plangebied is, voor zover het te herleiden is op historische kaarten, in ieder geval bebouwd geweest vanaf 1936. Deze bebouwing is rond 1955 gesloopt en vervangen voor bebouwing in een ander deel van het plangebied. De huidige bebouwing (het winkelpand van de Jager Wonen) is voor het eerst zichtbaar op de kaart van 1968. Op deze kaart is in het noorden van het plangebied nog een gebouw te zien dat later is gesloopt. Aan de hand van deze informatie kan verwacht worden dat de bodem in het plangebied is verstoord door sloop- en bouwwerkzaamheden. De opdrachtgever heeft aangegeven dat de huidige bebouwing tot 90 cm-mv is gefundeerd. Of dat ook geldt voor de vorige, inmiddels gesloopte bebouwing, is niet duidelijk. Hierdoor bestaat er een kans dat archeologisch waardevolle lagen reeds zijn verstoord.

## 2.5 Toetsing verwachtingsmodel

Door de hoge ligging van het plangebied is het vermoedelijk geschikt geweest voor permanente bewoning in de prehistorie en in de periodes daarna. Ook kan het gebied als foerageergebied worden aangemerkt voor jagers/verzamelaars. De kans op verstoring van potentiële archeologische niveaus is ter plaatse van de bebouwing (en eerdere bebouwing) is echter zeer groot.

Verwacht wordt dat de vondstverspreiding van alle materiaalsoorten laag zal zijn. Voor de gehele periode geldt een lage vondstdichtheid. Vondstmateriaal kan bestaan uit aardewerkfragmenten, verbrande leem, bewerkt en onbewerkt vuursteen, houtskoolfragmenten, bouwmateriaal, slakmateriaal en fosfaten.

Het vondstmateriaal zal waarschijnlijk worden aangetroffen in en onder het esdek in de top van de C-horizont. Deze natuurlijke ondergrond, bestaande uit dekzand, wordt vanaf circa 50 cm-mv verwacht. Resten uit de Tweede Wereldoorlog worden in de bouwvoor verwacht. Er is naar verwachting geen aantoonbaar geografisch onderscheid in dichtheid van sporen en vondsten binnen het plangebied. Verwacht wordt dat vooral complexen met een lage dichtheid aan vondsten en sporen met de vondstlaag gedeeltelijk opgenomen in bouwvoor (Type 4d), kunnen worden aangetoond. Sporen die met behulp van booronderzoek kunnen worden aangetoond zijn vooral de grotere fenomenen zoals haardplaatsen, greppels, waterputten, infrastructuur, muurwerk, leemvloeren. Standsporen zoals paalkuilen, paalsporen en wandgreppels zijn niet of nauwelijks aan te tonen met behulp van booronderzoek.

In relatie tot de oppervlakte van de geplande ontwikkeling (2.576 m² en 6 boringen per ha) dienen er in totaal minimaal 5 grondboringen in het plangebied te worden gezet om de intactheid van de bodem te onderzoeken. Aangezien er binnenin de bebouwing geboord moet worden, moet eerst beton verwijderd worden. Dit zal worden gedaan door de opdrachtgever. De diameter van de boringen is 7 cm en ze zullen worden doorgezet tot 0,75 m-mv of tot 25 cm in de C-horizont. Voorafgaand aan het veldonderzoek is een Plan van Aanpak opgesteld.[45]

*45 Bosman en Van der Kuijl, 2020.*

# 3 Booronderzoek

## 3.1 Werkwijze Booronderzoek

In totaal zijn op 8 april 2020 zes (6) verkennende grondboringen gezet. De boringen zijn uitgevoerd door E.E.A. van der Kuijl (senior KNA archeoloog / senior KNA prospector) met ondersteuning van N.E.F. van der Kuijl (veldmedewerker). Het booronderzoek is uitgevoerd conform de eisen van de KNA versie 4.1, specificatie VS03 protocol 4003 en het vooraf opgestelde Plan van Aanpak. Boring 1 en 2 zijn buiten het bestaande te slopen winkelpand gezet en boring 3 tot en met 6 zijn inpandig gezet. De inpandige boringen zijn door fa. Enzerinck met een diamantboor voorgeboord door de in de winkel aanwezige betonvloer.

Alle boringen zijn tot 25 centimeter in de top van de C-horizont gezet met een edelmanboor met een boordiameter van 7 centimeter. De boringen zijn zo gelijkmatig mogelijk over het plangebied verdeeld. De inpandige boringen zijn met behulp van meetlinten uitgezet ten opzichte van de aanwezige buitenmuren. De boorlocaties van de boringen buiten het pand zijn uitgezet met een meetwiel en ingemeten met GPS (x- en y-waarden). Van de boringen buiten is de maaiveldhoogte afgeleid van het Actueel Hoogtebestand Nederland (AHN2).

Het opgeboorde sediment is in het veld bodemkundig beschreven conform de NEN 5104 en de bodemclassificatie volgens De Bakker en Schelling (1989). Alle afzonderlijke bodemlagen zijn vervolgens droog gezeefd over een metalen zeef met een maaswijdte van 4 millimeter en geïnspecteerd op de aanwezigheid van archeologische indicatoren zoals fragmenten vuursteen, aardewerk, houtskool, verbrande leem, bot etc.

## 3.2 Resultaten

***Geologie en Bodem***

Voor de ligging van de boorpunten wordt verwezen naar Bijlage 3. De resultaten van de boringen (de boorbeschrijvingen) zijn opgenomen in Bijlage 4. De hoofdlijn van de bodem is uniform en kan als volgt worden weergegeven:

***Tabel 3: Bodemopbouw plangebied de Jager (boring 4)***

| Diepte (cm – mv) | Samenstelling | Interpretatie |
|---|---|---|
| 0-15 | Betonvloer | |
| 15-25 | Geel fijn iets siltig zand met puin | Ap1; ophoogzand |
| 25-75 | Grijsbruin iets humeus gevlekt sitig zand met puin | Ap2; subrecent geroerde laag |
| 75-120 | Lichtgeel fijn iets siltig zand met iets roestvlekken | C; dekzand (Formatie van Boxtel, Laagpakket van Wierden) |

*Interpretatie*

In het plangebied is sprake van een volledig verstoord bodemprofiel. Onder een betonverharding (inpandig) of een klinkerverharding (buiten het pand) is sprake van meerdere subrecente ophogingslagen die puinhoudend zijn. Alle overgangen zijn scherp en nergens is een intacte bodem aangetroffen.

De natuurlijke ondergrond is geïnterpreteerd als dekzand van de Formatie van Boxtel, Laagpakket van Wierden. De top van het dekzand is aangetroffen op dieptes variërend van 55 cm in boring 1 tot 95 cm-mv in boring 6.

**Archeologie**

Tijdens het uitzeven van alle bodemlagen zijn geen archeologische indicatoren aangetroffen anders dan modern baksteenpuin en betonpuin.

**Beantwoording onderzoeksvragen**

- *Wat is de bodemopbouw binnen het plangebied?*

In het plangebied is in alle boringen sprake van een ophoogpakket met subrecent geroerde lagen. De natuurlijke ondergrond, aangetroffen vanaf minimaal 55 cm-mv (boring 1) en maximaal 95 cm-mv (boring 6), bestaat uit dekzand van de Formatie van Boxtel, Laagpakket van Wierden. Vanwege de grootschalige bodemverstoring is het niet meer mogelijk het oorspronkelijke bodemtype te achterhalen.

- *Wat is de intactheid van het bodemprofiel binnen het plangebied?*

Zie het antwoord op bovenstaande vraag. Het bodemprofiel is volledig verstoord tot een diepte van minimaal 55 cm-mv en maximaal 95 cm-mv.

- *Zijn, daar waar de bodem intact is, archeologische indicatoren aangetroffen die kunnen wijzen op de aanwezigheid van een archeologische vindplaats in het onderzoeksgebied? Zo ja, wat is de aard en diepteligging ervan?*

Vanwege het ontbreken van intacte bodems komt deze vraag te vervallen.

- *Zijn er archeologische lagen aangetroffen (cultuur- en afvallagen c.q. ophogingslagen)? Zo ja, wat is de aard, diepteligging en minimale en maximale dikte ervan?*

Nee, tijdens het booronderzoek zijn geen archeologische lagen aangetroffen.

- *In welke mate stemmen de resultaten overeen met de verwachtingen?*

In het plangebied is in overeenstemming met de geomorfologische gegevens sprake dekzand. Het oorspronkelijke bodemtype kon niet getoetst worden omdat er geen (deels) intacte bodemprofielen aangetroffen zijn. De archeologische verwachting voor alle perioden vanaf het Laat Paleolithicum kan derhalve bijgesteld naar laag. Vanwege de grootschalige bodemverstoring worden geen archeologische vindplaatsen meer verwacht. De bodemverstoring is gerelateerd aan de erfinrichting zoals in paragraaf 2.4 beschreven onder ‘gaafheid bodem’ en hangt samen met de bouw en verbouwingen van het bestaande winkelpand en eerdere bebouwing en bijbehorende parkeervoorzieningen.

- *Is vervolgonderzoek noodzakelijk? Zo ja, welke methode is hiervoor het meest geschikt?*

Vanwege de bodemverstoring tot in de top van de C-horizont en het ontbreken van archeologische indicatoren wordt in het plangebied geen vervolgonderzoek noodzakelijk geacht. Indien in het plangebied archeologische resten aanwezig waren, dan zijn deze verstoord door subrecente bodemingrepen.




***Afbeelding 15: Impressie van het plangebied. Foto in oostelijke richting.***

# 4 Conclusie en aanbeveling

## 4.1 Conclusie

*bureauonderzoek*

Op grond van de bestudeerde bronnen blijkt dat het onderzoeksgebied op terrasafzettingen ligt met daarop dekzand wat wordt afgedekt met een esdek <50 cm-mv. Het bureauonderzoek toont aan dat er in het plangebied een hoge verwachting geldt voor alle archeologische vindplaatsen vanaf het Paleolithicum tot en met de Nieuwe Tijd. Deze resten kunnen direct onder het esdek of in de eerste 25 cm van het dekzand worden verwacht. In het hele planbied hebben echter verschillende bouw- en sloopwerkzaamheden plaatsgevonden sinds 1936. Deze werkzaamheden kunnen de archeologische resten verstoord hebben. Het plangebied wordt echter afgedekt met een conserverende laag <50 cm. Deze laag kan de resten hebben beschermd. Of dit het geval is moet onderzocht worden met een verkennend booronderzoek.

*booronderzoek*

In het plangebied is sprake van een volledig verstoord bodemprofiel. Onder een betonverharding (inpandig) of een klinkerverharding (buiten het pand) is sprake van meerdere subrecente ophogingslagen die puinhoudend zijn. Alle overgangen zijn scherp en nergens is een intacte bodem aangetroffen.

De natuurlijke ondergrond is geïnterpreteerd als dekzand van de Formatie van Boxtel, Laagpakket van Wierden. De top van het dekzand is aangetroffen op dieptes variërend van 55 cm in boring 1 tot 95 cm-mv in boring 6.

## 4.2 Selectieadvies

Vanwege de bodemverstoring tot in de top van de C-horizont en het ontbreken van archeologische indicatoren wordt in het plangebied geen vervolgonderzoek noodzakelijk geacht. Indien in het plangebied archeologische resten aanwezig waren, dan zijn deze verstoord door subrecente bodemingrepen.

## 4.3 Voorbehoud

Het uitgevoerde onderzoek is op zorgvuldige wijze verricht volgens de algemeen gebruikelijke inzichten en methoden. Het archeologisch onderzoek is erop gericht om de kans op het aantreffen dan wel vernietigen van archeologische waarden bij bouwwerkzaamheden in het plangebied te verkleinen

Verder dient te allen tijde bij het afgeven van een omgevingsvergunning de wettelijke meldingsplicht (Artikel 5.10 en 5.11 van de Erfgoedwet) kenbaar te worden gemaakt, om het documenteren van toevalsvondsten te garanderen: “Degene die anders dan bij het doen van opgravingen een zaak vindt waarvan hij weet dan wel redelijkerwijs moet vermoeden dat het een monument is (in roerende of onroerende zin), meldt die zaak zo spoedig mogelijk bij onze minister”. Het verdient aanbeveling ook de verantwoordelijk ambtenaar van de gemeente Winterswijk (dhr. K. Meinderts) hiervan per direct in kennis te stellen.

# Gebruikte literatuur

Bakker, H. de & Schelling J., 1989; *Systeem van bodemclassificatie voor Nederland: de hogere niveaus.* Wageningen.

Berendsen, H.J.A., 2005; *Landschappelijk Nederland: De fysisch-geografische regio's.* Assen

Berendsen, H.J.A., 2008; *De vorming van het land: inleiding in de geologie en de geomorfologie*. Assen.

Bergman, W., A.A.G. Emaus en H. Kremer, 2003. *Rapportage Aanvullende Archeologische Inventarisatie. Waliënsestraat Winterswijk.* Syntegra-rapport 2003-73. Zelhem.

Breda, W., van en R.M. van der Zee, 2009. *Winterswijk, Lijsterbesstraat 6. Een Inventariserend Veldonderzoek in de vorm van een verkennend booronderzoek*. ADC-rapport 1574. Amersfoort.

Bosman, E. en E.E.A, Kuijl, 2020. *PvA Verkennend Booronderzoek Archeologie Plangebied De Jager te Winterswijk, Gemeente Winterswijk,* Hamaland Advies projectnummer 202641. Zelhem.

Broeke, EM. ter en M. Stiekema, 2008. *Lijsterbesstraat 6, gemeente Winterswijk Een archeologisch bureauonderzoek*. Econsultancy-rapport 08045876. Doetinchem.

Cohen, K.M., E. Stouthamer, H.J. Pierik & A.H. Geurts, 2012. *Rhine-Meuse Delta Studies' Digital Basemap for Delta Evolution and Palaeogeography*. Dept. Physical Geography. Universiteit Utrecht.

Gemeente Winterswijk, 2010. *Erfgoedverordening*, vastgesteld 15 december 2010, Winterswijk

Gemeente Winterswijk, 2011, *Bestemmingplan Buitengebied,* vastgesteld 28-02-2011, Winterswijk

Neefjes, J. & Willemse, N., 2009; *Cultuurhistorische Atlas Winterswijk. Raap Archeologisch Adviesbureau en Bureau Overland,* rapportnummer RAAP-rapport 1878.Weesp

Stiboka / Rijks Geologische Dienst, 1977; *Toelichting op de legenda van de geomorfologische kaart van Nederland 1:50.000*. Wageningen en Haarlem.

Vissinga, A., 2005. *Aanvulling op het inventariserend archeologisch veldonderzoek aan de waliensestraat te Winterswijk (gld).* Steekproef-rapport 2005-09/11A. Zuidhoorn.

Willemse, N.W. & M.H.J.M. Kocken 2012. *Archeologie met beleid. Afwegingskader voor archeologiebeleid in de Regio Achterhoek,* RAAP-rapport 2501.Weesp.

Zielman, G. en B.J.G. van Snippenburg, 2019. *Plangebied Weeninkpad te Winterswijk, gemeente Winterswijk; archeologisch vooronderzoek: een bureauonderzoek en inventariserend veldonderzoek (verkennend en karterend booronderzoek).* RAAP-rapport 3818. Weesp.

Zijpp, W.M.E., van der, 2005. *Verbreding van de Singelweg, gemeente Winterswijk; een archeologische begeleiding.* RAAP-rapport 1197. Amsterdam.

## Geraadpleegde websites:

http://zoeken.cultureelerfgoed.nl; Archis3 voor informatie over waarnemingen, vondsten, onderzoeken, Bonneblad, geomorfologie, bodem, grondwater, coördinaten,
https://archis.cultureelerfgoed.nl/#/ voor doen van melding
http://ahn.maps.arcgis.com/ voor hoogte- informatie
www.dans.easy.nl voor rapporten
https://www.dinoloket.nl/ondergrondgegevens voor informatie over ondergrondse boringen
http://www.ruimtelijkeplannen.nl/ voor informatie over bestemmingsplannen
www.Winterswijk.nl voor informatie over het Archeologisch beleid
www.gelderland.nl voor Cultuur en Erfgoed programma, kaarten en kennisagenda
https://www.google.nl/maps/preview voor satellietbeelden
http://maps.bodemdata.nl/bodemdatanl/index.jsp. Grondwater
https://www.bodemloket.nl/ Milieukundige informatie
www.ikme.nl WOII informatie

# BIJLAGEN

Bijlage 1: Plangebied binnen het rode kader

© Hamaland Advies, Ambachtsweg 9b, 7021 BT Zelhem tel: 06-51873933




***Afbeelding 16: Satellietfoto met het plangebied in het rode kader (Google Maps).***

Bijlage 2: Schetsplan toekomstige ontwikkeling met het plangebied binnen het rode kader

© Hamaland Advies, Ambachtsweg 9b, 7021 BT Zelhem tel: 06-51873933




***Afbeelding 17: Schetsplan van de toekomstige ontwikkelingen met het plangebied binnen het blauwe kader (Bron: Opdrachtgever).***

# Bijlage 3: Boorpuntenkaart en tabel met x-, y- en z-coördinaten

© Hamaland Advies, Ambachtsweg 9b, 7021 BT Zelhem tel: 06-51873933

Project : BO en IVO Archeologie Plangebied De Jager te Winterswijk
Kenmerk : EKU/ALG/HAMA/202642



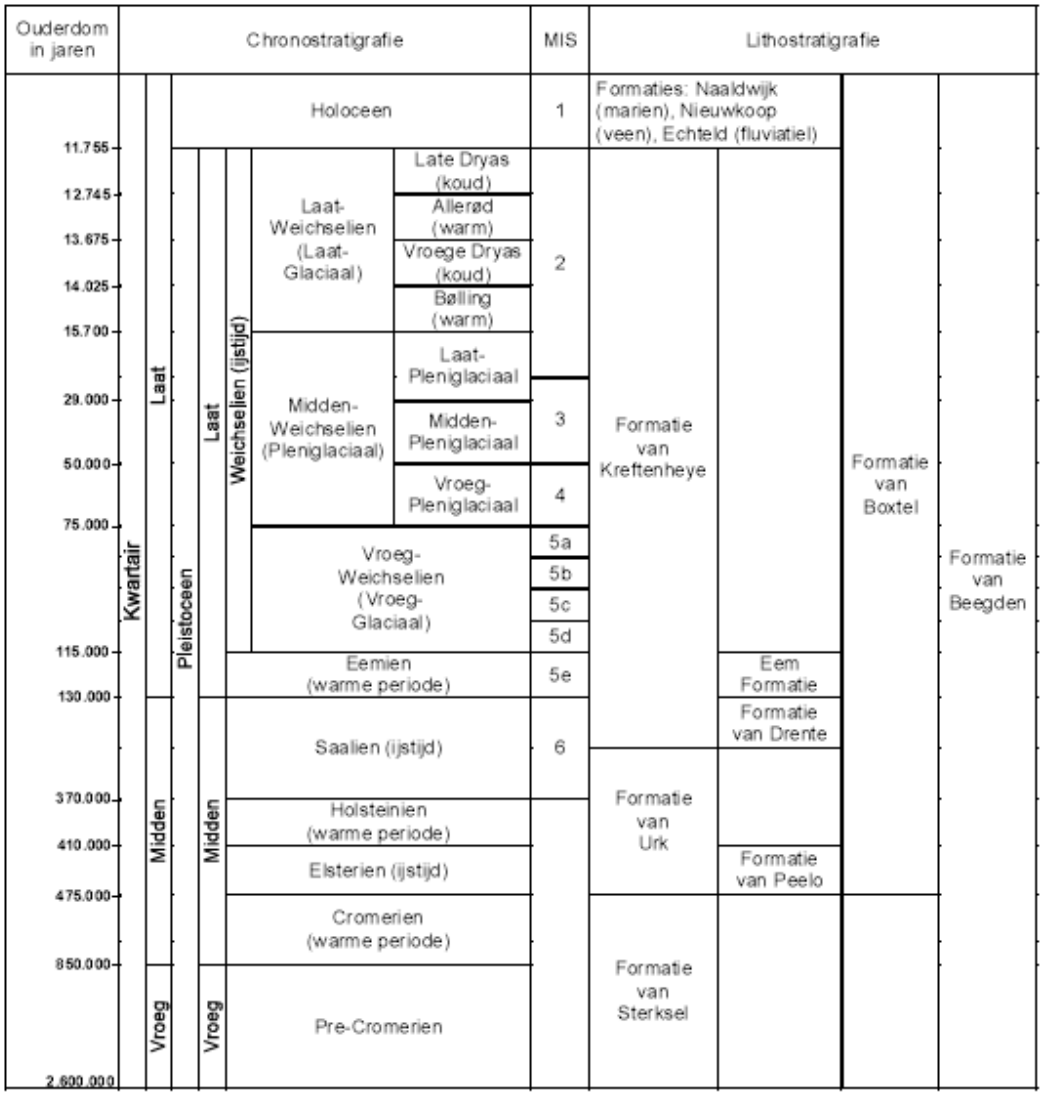

| Boring | x | y | Hoogte in meters tov NAP |
|---|---|---|---|
| 1 | 246.957 | 443.746 | 34,5 |
| 2 | 246.577 | 443.745 | 34,4 |
| 3 | 246.963 | 443.724 | |
| 4 | 246.941 | 443.710 | |
| 5 | 246.969 | 443.700 | |
| 6 | 246.953 | 443.733 | |

© Hamaland Advies, Ambachtsweg 9b, 7021 BT Zelhem tel: 06-51873933

# Bijlage 4: Overzicht van geologische en archeologische perioden

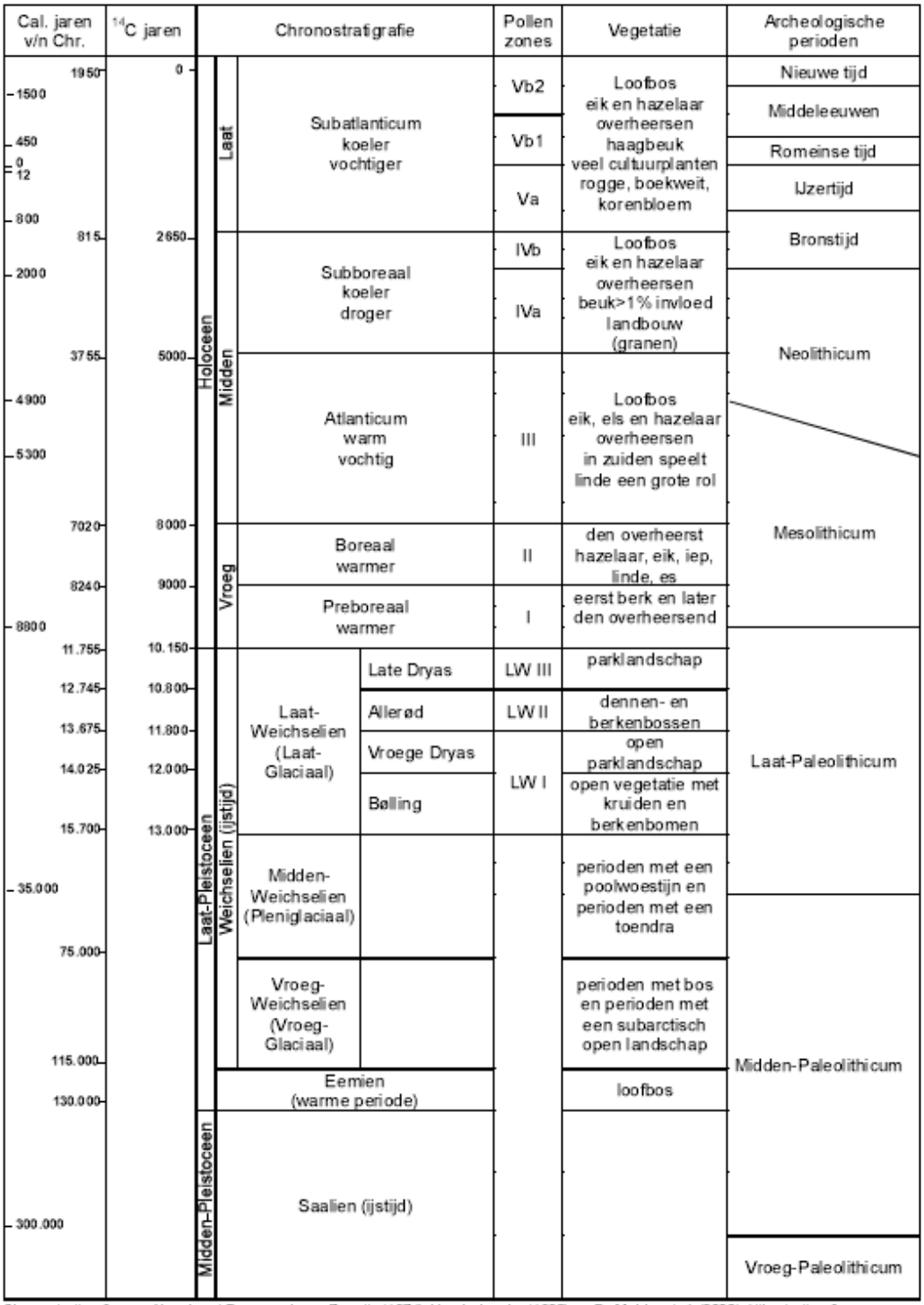
© Hamaland Advies, Ambachtsweg 9b, 7021 BT Zelhem tel: 06-51873933

Project : BO en IVO Archeologie Plangebied De Jager te Winterswijk
Kenmerk : EKU/ALG/HAMA/202642




© Hamaland Advies, Ambachtsweg 9b, 7021 BT Zelhem tel: 06-51873933

Project : BO en IVO Archeologie Plangebied De Jager te Winterswijk
Kenmerk : EKU/ALG/HAMA/202642




Chronostratigrafie voor Noordwest-Europa volgens Zagwijn (1974), Vandenberghe (1985) en De Mulder *et al.* (2003). Lithostratigrafie volgens De Mulder *et al.* (2003). Mariene isotoop stadium (MIS) volgens Bassinot *et al.* (1994). Atmosferische data volgens Stuiver *et al.* (1998). Zuurstofisotoop calibratie (OxCal) versie 3.9 Bronk Ramsey (2003), toegepast op het Laat-Weichselien en het Holoceen. Archeologische periode-indeling en ouderdom volgens de Rijksdienst voor het Oudheidkundig Bodemonderzoek (ROB). Vegetatie bewerkt volgens Berendsen (2000). Pollenzones volgens P. Vos & P. Kiden (2005).

*© Hamaland Advies, Ambachtsweg 9b, 7021 BT Zelhem tel: 06-51873933*

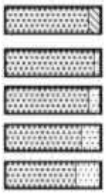
# Bijlage 4: Boorlegenda en boorstaten (separaat bijgevoegd)

**SMART**

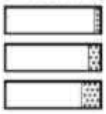
Boorstatenlegenda

Classificaties volgens de (Lutum+Silt)-Zand-Grind-driehoek

Grind

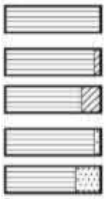



Grind als toevoeging

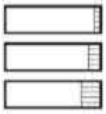



Classificaties volgens de OS-Lutum-(Silt+Zand)-driehoek

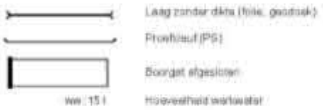
Veen



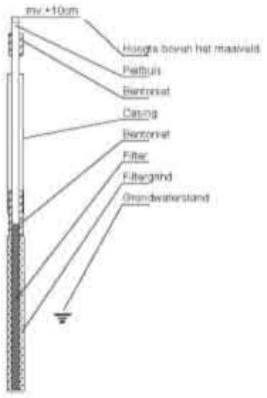

Veen als toevoeging




Laagaanduidingen

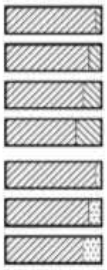



Peilbuizen

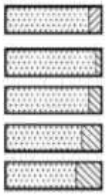



Classificaties volgens de Lutum-Silt-Zand-driehoek

Klei



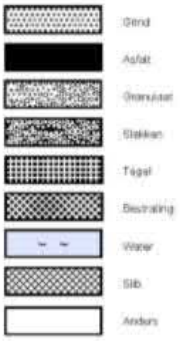

Zand



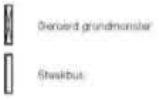

Leem




Bijzondere lagen




Monsters




Detectie

Olie/water-reactie

1 = zwak
2 = matig
3 = sterk
4 = uitterst

PID waarden

< 0,2 ppm
0,2 - 1,0 ppm
1,0 - 2,0 ppm
2,0 - 10 ppm
> 10 ppm

getekend volgens NEN 5104

© Hamaland Advies, Ambachtsweg 9b, 7021 BT Zelhem tel: 06-51873933

# Bijlage 11 besluit hogere grenswaarde

# **ONTWERP** Collegebesluit hogere grenswaarde Wet

## Gemeente Winterswijk

Burgemeester en wethouders van de gemeente Winterswijk;

## overwegende:

dat de gemeenteraad het bestemmingsplan ‘Vredensweg 4-6’ heeft vastgesteld welke de bouw van tien woningen mogelijk maakt op het kadastrale perceel  gemeente Winterswijk, sectie I nummer 11937;

dat in het kader van het besluit tot vaststelling van het bestemmingsplan ‘Vredensweg 4-6’ een akoestisch onderzoek is uitgevoerd in verband met de te verwachten geluidsbelasting wegverkeerslawaai op de gevels van de te bouwen woningen;

dat de voorkeursgrenswaarde voor de geluidsbelasting vanwege het wegverkeerslawaai op de gevels van deze woningen maximaal 48 dB bedraagt;

dat uit het akoestisch onderzoek is gebleken dat de voorkeursgrenswaarde geluidsbelasting wegverkeerslawaai op de gevels van vijf van de geplande woningen kan worden overschreden, waarbij de hoogst toelaatbare geluidsbelasting van 63 dB bij geen van deze woningen wordt overschreden;

wij voornemens zijn omgevingsvergunningen te gaan verlenen voor het bouwen van de tien woningen die het bestemmingsplan mogelijk maakt;

dat wij op basis van het bepaalde in artikel 110a, eerste lid van de Wet geluidhinder bevoegd zijn een hogere waarde vast te stellen voor de ten hoogste toelaatbare geluidsbelasting;

dat dit slechts is toegestaan als het toepassen van maatregelen die zijn gericht op het terugbrengen van de geluidsbelasting vanwege de weg en van de gevel van de betrokken woningen tot de voorkeursgrenswaarde onvoldoende doeltreffend zullen zijn of op overwegende bezwaren stuiten van stedenbouwkundige, verkeerskundige, vervoerskundige, landschappelijke of financiële aard;

dat maatregelen zoals het plaatsen van schermen of wallen of het vergroten van de afstand tussen de woningen gezien de beperkte schaal van dit plan niet mogelijk (financieel) en wenselijk (stedenbouwkundig) zijn;

dat met het oog hierop een hogere grenswaarde vastgesteld kan worden overeenkomstig het bepaalde in artikel 4.11 van het Besluit geluidhinder juncto artikel 110a, eerste lid van de Wet geluidhinder;

gelet op het bepaalde in de Wet geluidhinder en de Algemene wet bestuursrecht;

## besluiten:

een hogere waarde vast te stellen voor de ten hoogste toelaatbare geluidsbelasting van 61 dB als gevolg van wegverkeerslawaai op de gevels van de vijf in de bijlage bij dit besluit aangeduide woningen, verwijzend naar het rapport van Buro Ontwerp & Omgeving d.d. 25 maart 2020, rapportnummer 3193.01.

Aldus besloten door het college van burgemeester en wethouders van de gemeente Winterswijk op XXXX,

namens dezen ondertekend,

V. Brus
Beleidsmedewerker ruimtelijke ontwikkeling

**Bijlage** de vijf woningen waar dit besluit betrekking op heeft




De hogere grenswaarde van 61 dB is vastgesteld voor de woningen binnen de paarse kaders op de bovenstaande afbeelding

# Regels

# Hoofdstuk 1 Inleidende regels

## Artikel 1 Begrippen

In deze regels wordt verstaan onder:

**1.1 plan**
het bestemmingsplan Vredenseweg 4-6 van de gemeente Winterswijk;

**1.2 bestemmingsplan**
de geometrische bepaalde planobjecten als vervat in het GML-bestand NL.IMRO.0294.BP2007SGVREDENSEWG-VA01 met bijbehorende regels*;*

**1.3 de verbeelding**
de analoge en digitale voorstelling van de in het bestemmingsplan opgenomen digitale ruimtelijke informatie;

**1.4 aanduiding**
een geometrisch bepaald vlak of figuur waarmee gronden zijn aangeduid, waar ingevolge de regels regels worden gesteld ten aanzien van het gebruik en/of het bebouwen van deze gronden;

**1.5 aanduidingsgrens**
de grens van een aanduiding indien het een vlak betreft;

**1.6 aan huis verbonden beroep**
een dienstverlenend beroep dat in een woning en/of bijgebouwen wordt uitgeoefend, waarbij de woning in overwegende mate haar woonfunctie behoudt en dat een ruimtelijke uitwerking of uitstraling heeft die met de woonfunctie in overeenstemming is;

**1.7 aan huis verbonden bedrijf**
een bedrijf dat in een woning en/of bijgebouwen wordt uitgeoefend, waarbij de woning in overwegende mate haar woonfunctie behoudt en dat een ruimtelijke uitwerking of uitstraling heeft die met de woonfunctie in overeenstemming is;

**1.8 afwijken van de bouwregels en/of van de gebruiksregels**
een afwijking als bedoeld in artikel 3.6, eerste lid, onder c van de Wet ruimtelijke ordening;

**1.9 andere geluidsgevoelige gebouwen**
gebouwen als bedoeld in artikel 1 van de Wet geluidhinder;

**1.10 archeologisch deskundige**
de regionaal (beleids)archeoloog of een andere door het college van burgemeester en wethouders aan te wijzen deskundige op het gebied van de archeologische monumentenzorg;

**1.11 archeologische verwachting**
een toegekende hoge, middelmatige of lage archeologische verwachting in verband met de kennis en wetenschap van de in dat gebied te verwachten overblijfselen van menselijke aanwezigheid of activiteiten uit het verleden;

**1.12 archeologische waarde**
een toegekende archeologische waarde in verband met de kennis en studie van de in dat gebied voorkomende overblijfselen van menselijke aanwezigheid of activiteiten uit het verleden;

**1.13 archeologisch onderzoek**
onderzoek (bureauonderzoek en/of booronderzoek en/of geofysisch onderzoek en/of archeologische opgraving en/of archeologische begeleiding) verricht door een dienst, bedrijf of instelling met een certificaat verleend door een certificerende instelling met een accreditatie van de Raad voor accreditatie ex artikel 5.1 Erfgoedwet en werkend volgens de vigerende Kwaliteitsnormen voor de Nederlandse Archeologie en conform gemeentelijk beleid;

**1.14 bebouwing**
één of meer gebouwen en/of bouwwerken geen gebouwen zijnde;

**1.15 bebouwingspercentage**
een in dit plan aangegeven percentage, dat de grootte van het bouwperceel aangeeft, dat maximaal mag worden bebouwd, tenzij in dit plan anders is bepaald;

**1.16 bestaand**
a. bij bouwwerken: een bouwwerk dat op het moment van inwerkingtreding van het plan bestaat of wordt

gebouwd, dan wel nadien kan worden gebouwd krachtens een omgevingsvergunning voor het bouwen, waarvoor de aanvraag voor het tijdstip van inwerkingtreding is ingediend, tenzij in de regels anders is bepaald;
b. bij gebruik: het gebruik dat op het moment van de inwerkingtreding van het bestemmingsplan bestaat en in overeenstemming is met het voorheen geldend planologische regime;

**1.17 bestemmingsgrens**
de grens van een bestemmingsvlak;

**1.18 bestemmingsvlak**
een geometrisch bepaald vlak met eenzelfde bestemming;

**1.19 bijgebouw**
een op zichzelf staand, al dan niet vrijstaand gebouw, dat door de vorm onderscheiden kan worden van het hoofdgebouw op hetzelfde bouwperceel, niet zijnde een verblijfsruimte;

**1.20 bouwen**
het plaatsen, het geheel of gedeeltelijk oprichten, vernieuwen of veranderen en het vergroten van een bouwwerk, alsmede het geheel of gedeeltelijk oprichten, vernieuwen of veranderen van een standplaats;

**1.21 bouwgrens**
de grens van een bouwvlak;

**1.22 bouwlaag**
een doorlopend gedeelte van een gebouw dat door op gelijke of bij benadering gelijke hoogte liggende vloeren of balklagen is begrensd, zulks met inbegrip van de begane grond en met uitsluiting van onderbouw en zolder;

**1.23 bouwperceel**
een aaneengesloten stuk grond, waarop ingevolge de regels een zelfstandige, bij elkaar behorende bebouwing is toegelaten;

**1.24 bouwperceelgrens**
de grens van een bouwperceel;

**1.25 bouwvlak**
een geometrisch bepaald vlak, waarmee gronden zijn aangeduid, waar ingevolge de regels bepaalde gebouwen en bouwwerken geen gebouwen zijnde zijn toegelaten;

**1.26 bouwwerk**
elke constructie van enige omvang van hout, steen, metaal of ander materiaal, die hetzij direct, hetzij indirect met de grond is verbonden, hetzij direct of indirect steun vindt in of op de grond;

**1.27 eerste bouwlaag**
de bouwlaag op de begane grond;

**1.28 escortbedrijf**
de natuurlijke persoon, groep van personen of rechtspersoon die bedrijfsmatig of in een omvang alsof zij bedrijfsmatig is, prostitutie aanbiedt die op een andere plaats dan in de bedrijfsruimte wordt uitgeoefend;

**1.29 gebouw**
elk bouwwerk, dat een voor mensen toegankelijke, overdekte, geheel of gedeeltelijk met wanden omsloten ruimte vormt;

**1.30 gebruiken**
gebruiken, het doen gebruiken, laten gebruiken en in gebruik geven;

**1.31 kwetsbaar object**
a. woningen, woonschepen en woonwagens, niet zijnde woningen, woonschepen of woonwagens als bedoeld in het begrip beperkt kwetsbaar object, onder a;
b. gebouwen bestemd voor het verblijf, al dan niet gedurende een gedeelte van de dag, van minderjarigen, ouderen, zieken of gehandicapten, zoals:
    1. ziekenhuizen, bejaardenhuizen en verpleeghuizen;
    2. scholen, of
    3. gebouwen of gedeelten daarvan, bestemd voor dagopvang van minderjarigen;
c. gebouwen waarin doorgaans grote aantallen personen gedurende een groot gedeelte van de dag aanwezig zijn, waartoe in ieder geval behoren:
    1. kantoorgebouwen en hotels met een bruto vloeroppervlak van meer dan 1.500 $m^2$ per object, of

2. complexen waarin meer dan 5 winkels zijn gevestigd en waarvan het gezamenlijk bruto vloeroppervlak meer dan 1.000 $m^2$ bedraagt en winkels met een totaal bruto vloeroppervlak van meer dan 2.000 $m^2$ per winkel, voor zover in die complexen of in die winkels een supermarkt, hypermarkt of warenhuis is gevestigd, en

d. kampeer- en andere recreatieterreinen bestemd voor het verblijf van meer dan 50 personen gedurende meerdere aaneengesloten dagen;

**1.32 levensloopbestendig**

woningen die bijdragen aan het langer zelfstandig wonen van ouderen. De belangrijkste voorwaarde aan deze woningen is dat alle basisvoorzieningen op de begane grond aanwezig zijn.

**1.33 maatvoeringsgrens**
de grens van een maatvoeringsvlak;

**1.34 maatvoeringsvlak**
een geometrisch bepaald vlak waarmee de gronden zijn aangeduid, waar ingevolge de regels voor bepaalde bouwwerken eenzelfde maatvoering geldt;

**1.35 normaal onderhoud, gebruik en beheer**
een gebruik gericht op het in zodanige conditie houden of brengen van objecten dat het voortbestaan van deze objecten op ten minste het bestaande kwaliteitsniveau wordt bereikt;

**1.36 omgevingsvergunning**
een vergunning als bedoeld in artikel 1.1, eerste lid, van de Wet algemene bepalingen omgevingsrecht;

**1.37 omgevingsvergunning voor het uitvoeren van een werk, geen bouwwerk zijnde, of van werkzaamheden**
een vergunning als bedoeld in artikel 3.3 onder a van de Wet ruimtelijke ordening;

**1.38 omgevingsvergunning voor het slopen van een bouwwerk**
een vergunning als bedoeld in artikel 3.3. onder b van de Wet ruimtelijke ordening;

**1.39 onderbouw**
een gedeelte van een gebouw, dat wordt afgedekt door een vloer waarvan de bovenkant minder dan 1,20 m boven het peil is gelegen;

**1.40 overkapping**
Een bouwwerk bestaande uit maximaal twee al dan niet tot de constructie behorende wanden;

**1.41 peil**
De gemiddelde hoogte van het aansluitende, afgewerkte terrein ter plaatse;

**1.42 prostitutie**
het zich beschikbaar stellen tot het verrichten van seksuele diensten ten behoeve van een ander tegen vergoeding;

**1.43 raamprostitutie**
een seksinrichting bestemd voor of in gebruik voor het zich vanaf de openbare weg of een andere voor het publiek toegankelijke plaats, zichtbaar ter beschikking stellen tot het tegen betaling verlenen van seksuele diensten aan anderen (prostitutie);

**1.44 seksinrichting**
een voor het publiek toegankelijke ruimte waarin bedrijfsmatig of in een omvang alsof zij bedrijfsmatig is, seksuele handelingen worden verricht, of vertoningen van erotisch-pornografische aard plaatsvinden. Onder een seksinrichting wordt in elk geval verstaan: een seksbioscoop, seksautomatenhal, sekstheater, een parenclub of een prostitutiebedrijf waaronder tevens begrepen een erotische massagesalon, al dan niet gecombineerd met elkaar;

**1.45 slopen**
het al dan niet geheel afbreken van gebouwen en andere bouwwerken;

**1.46 straatprostitutie**
het door handelen, houding, woord, gebaar of op andere wijze passanten bewegen, uitnodigen dan wel aanlokken tot prostitutie;

**1.47 thuisprostitutie**
prostitutie die door zijn beperkte omvang in een woning en daarbij behorende gebouwen, met behoud van de woonfunctie, kan worden uitgeoefend;

**1.48 voorste bouwgrens**
de naar de weg of verblijfsgebied gekeerde bouwgrens (in voorkomend geval ter plaatse van de aanduiding 'gevellijn');

**1.49 woning**
Een (gedeelte van een) gebouw, dat dient voor de huisvesting van één huishouden;

# Artikel 2 Wijze van meten

## 2.1 algemeen

Bij toepassing van deze regels wordt als volgt gemeten:

*2.1.1 de afstand tot de zijdelingse bouwperceelgrens*
tussen de zijdelingse grens van het bouwperceel en een bepaald punt van het bouwwerk, waar die afstand het kortst is;

*2.1.2 de bouwhoogte van een bouwwerk*
vanaf het peil tot aan het hoogste punt van een gebouw of van een bouwwerk geen gebouw zijnde, met uitzondering van ondergeschikte bouwonderdelen, zoals schoorstenen, antennes, en naar de aard daarmee gelijk te stellen bouwonderdelen;

*2.1.3 de goothoogte van een bouwwerk*
vanaf het peil tot aan de bovenkant van de goot c.q. de druiplijn, het boeibord of een daarmee gelijk te stellen constructiedeel;

*2.1.4 de horizontale diepte van een gebouw*
de diepte van een gebouw, gemeten loodrecht vanaf de gevel waaraan wordt gebouwd;

*2.1.5 de inhoud van een bouwwerk*
tussen de onderzijde van de begane grondvloer, de buitenzijde van de gevels (en/of het hart van de scheidsmuren) en de buitenzijde van daken en dakkapellen;

*2.1.6 de oppervlakte van een bouwwerk*
tussen de buitenwerkse gevelvlakken en/of het hart van de scheidingsmuren, neerwaarts geprojecteerd op het gemiddelde niveau van het afgewerkte bouwterrein ter plaatse van het bouwwerk;

*2.1.7 de oppervlakte van een overkapping*
tussen de buitenzijde van de afdekking van de overkapping, neerwaarts geprojecteerd op het gemiddelde niveau van het afgewerkte bouwterrein ter plaatse van de overkapping.

## 2.2 ondergeschikte bouwonderdelen

Bij toepassing van het bepaalde ten aanzien van het bouwen worden ondergeschikte bouwonderdelen, als plinten, pilasters, kozijnen, gevelversieringen, ventilatiekanalen, schoorstenen, liftschachten, gevel- en kroonlijsten, luifels, balkons en overstekende daken buiten beschouwing gelaten, mits de overschrijding niet meer dan 1,5 m bedraagt.

## 2.3 meten

Bij toepassing van deze regels wordt gemeten tot of vanuit het hart van een lijn op de verbeelding en op de schaal waarin het plan is vastgesteld.

# Hoofdstuk 2 Bestemmingsregels

## Artikel 3 Tuin

### 3.1 bestemmingsomschrijving

De voor 'Tuin' aangewezen gronden zijn bestemd voor:

a. tuinen en erven;
b. bij een woning bijbehorende bouwwerken.

### 3.2 Bouwregels

*3.2.1 bijgebouw*

a. goothoogte van bijgebouwen is maximaal 3 m;
b. gezamenlijke oppervlakte van bijgebouwen per hoofdgebouw bedraagt maximaal 50 $m^2$.

*3.2.2 overkappingen*

Overkappingen voldoen aan de volgende kenmerken:

a. minimaal 1 m achter de voorgevel van het hoofdgebouw en/of het verlengde daarvan;
b. bouwhoogte maximaal 3 m;
c. gezamenlijke oppervlakte per hoofdgebouw maximaal 25 $m^2$.

*3.2.3 bouwwerken geen gebouwen zijnde*

Bouwwerken geen gebouwen zijnde voldoen aan de volgende kenmerken:

a. bouwhoogte maximaal 1 m vóór (het verlengde van) de voorgevel van het hoofdgebouw;
b. bouwhoogte maximaal 2 m achter (het verlengde van) de voorgevel van het hoofdgebouw.

# Artikel 4 Verkeer - Verblijfsgebied

## 4.1 bestemmingsomschrijving

De voor 'Verkeer - Verblijfsgebied' aangewezen gronden zijn bestemd voor:

a. wegen en straten, wandel- en fietspaden met een functie voornamelijk gericht op verblijf en bestemmingsverkeer;
b. parkeer-, groen- en speelvoorzieningen;
c. waterhuishoudkundige doeleinden, waterberging en waterlopen;
d. autoboxen, uitsluitend ter plaatse van de aanduiding 'specifieke vorm van verkeer - autobox';

met bijbehorende gebouwen en bouwwerken geen gebouwen zijnde.

## 4.2 bouwregels

### *4.2.1 gebouwen*

Gebouwen mogen niet worden gebouwd, met uitzondering van garageboxen met een bouwhoogte van maximaal 3 m.

### *4.2.2 bouwwerken geen gebouwen zijnde*

Bouwhoogte van bouwwerken geen gebouwen zijnde, anders dan voor de wegaanduiding, geleiding, beveiliging en regeling van het verkeer maximaal 2 m.

# Artikel 5 Wonen

## 5.1 bestemmingsomschrijving

De voor 'Wonen' aangewezen gronden zijn bestemd voor:

a. woningen, met dien verstande dat:
   1. maximaal het aantal woingen mag worden gerealiseerd dat is aangegeven met de aanduiding' maximum aantal wooneenheden';
   2. ter plaatse van de aanduiding 'aaneengebouwd' uitsluitend aaneengebouwde woningen mogen worden gerealiseerd.
b. praktijk- en kantoorruimten voor de uitoefening van een aan huis verbonden beroep, met dien verstande, dat maximaal 50 $m^2$ van de vloeroppervlakte van de woning en de bijgebouwen ten behoeve van deze activiteiten in gebruik mag zijn en dat de woonfunctie in overwegende mate behouden blijft;

met bijbehorende gebouwen, bouwwerken geen gebouwen zijnde, tuinen en erven.

## 5.2 bouwregels

*5.2.1 gebouwen*
Gebouwen voldoen aan de volgende kenmerken:

a. gebouwd binnen het bouwvlak,
b. goot- en bouwhoogte van hoofdgebouwen maximaal de ter plaatse van de aanduiding 'maximale bouwhoogte' aangegeven goothoogte respectievelijk bouwhoogte;
c. goothoogte van bijgebouwen maximaal 3 m;
d. gezamenlijke oppervlakte van bijgebouwen per hoofdgebouw maximaal 50 $m^2$.

*5.2.2 overkappingen*
Overkappingen voldoen aan de volgende kenmerken:

a. gebouwd binnen het bouwvlak;
b. minimaal 1 m achter de voorgevel van het hoofdgebouw en/of het verlengde daarvan;
c. bouwhoogte maximaal 3 m;
d. gezamenlijke oppervlakte per hoofdgebouw maximaal 25 $m^2$.

*5.2.3 bouwwerken geen gebouwen zijnde*
Bouwwerken geen gebouwen zijnde voldoen aan de volgende kenmerken:

a. bouwhoogte maximaal 1 m vóór (het verlengde van) de voorgevel van het hoofdgebouw;
b. bouwhoogte maximaal 2 m achter (het verlengde van) de voorgevel van het hoofdgebouw.

## 5.3 afwijken van de gebruiksregels

Bij omgevingsvergunning kan worden afgeweken van het bepaalde in artikel 5.1 voor het toestaan van: een aan huis verbonden bedrijf, mits:

a. de woonfunctie in overwegende mate behouden blijft;
b. de oppervlakte maximaal 50 $m^2$ bedraagt;
c. er geen sprake is van een duurzame ontwrichting van de bestaande distributieve voorzieningen of een ernstige verstoring van de verzorgingsstructuur;
d. het geen bedrijfsactiviteiten betreft die normaliter in een winkelcentrum of een winkelstraat worden uitgeoefend;
e. er geen sprake is van een onevenredige verkeersaantrekkende werking;
f. er geen detailhandel plaatsvindt behalve als ondergeschikte nevenactiviteit bij de uitoefening van een aan huis gebonden bedrijf.

### 5.4 specifieke gebruikregel

Het is verboden de gronden die vallen binnen de bestemming 'Wonen' voor woondoeleinden in gebruik te nemen of te laten nemen voordat de aanwezige baksteenresten en betonresten uit de bodem zijn verwijderd conform het advies in bijlage 1 bij deze planregels.

# Artikel 6 Waarde - Archeologische verwachting 2

## 6.1 bestemmingsomschrijving

De voor 'Waarde - Archeologische verwachting 2' aangewezen gronden zijn, behalve voor de andere daar voorkomende bestemmingen, mede bestemd voor het behoud en de bescherming van te verwachten archeologische waarden in de bodem.

## 6.2 bouwregels

*6.2.1 Algemeen*

Ten aanzien van het oprichten van bebouwing gelden de volgende regels:

a. bij een aanvraag voor een omgevingsvergunning voor het bouwen ten behoeve van het oprichten van een bouwwerk groter dan 100 $m^2$ dient de aanvrager een rapport te overleggen, waarin de archeologische waarden van de gronden waarop de aanvraag betrekking heeft in voldoende mate is vastgesteld;
b. indien uit het in onder a genoemde rapport blijkt dat de archeologische waarden van de gronden door het oprichten van het vergunde bouwwerk zullen worden verstoord, kan het bevoegd gezag één of meerdere van de volgende voorwaarden verbinden aan de omgevingsvergunning voor het bouwen:
    1. de verplichting tot het treffen van technische maatregelen, waardoor (ondanks de uitvoering van een bouw- of aanlegplan) archeologische resten in de bodem kunnen worden behouden, zoals alternatieven voor heiwerk, het aanbrengen van een beschermende bodemlaag of andere voorzieningen die op dit doel zijn gericht of;
    2. de verplichting tot het doen van opgravingen of;
    3. de verplichting de werken of werkzaamheden die leiden tot de bodemverstoring te laten begeleiden door een archeologisch deskundige en/of;
    4. de verplichting om na beëindiging van de werken en werkzaamheden schriftelijk verslag uit te brengen waaruit blijkt op welke wijze met de archeologische waarden is omgegaan;
c. het overleggen van een rapport is niet nodig indien de archeologische waarde van de gronden in andere beschikbare informatie, hetgeen is getoetst door een archeologisch deskundige, afdoende is vastgesteld, waarbij het bepaalde onder b van overeenkomstige toepassing is.

*6.2.2 Advies archeoloog*

Alvorens het bevoegd gezag beslist over een vergunning als bedoeld in artikel 6.2.1 onder a wint zij advies in bij een archeologisch deskundige omtrent de vraag of door het verlenen van de vergunning geen onevenredige afbreuk wordt of kan worden gedaan aan de archeologische waarden, en zo ja of de voorwaarden zoals opgenomen in artikel 6.2.1 onder b sub 1 tot en met 4 dienen te worden gesteld.

*6.2.3 Uitzondering bouwregels*

Het bepaalde in artikel 6.2.1 onder a is niet van toepassing indien:

a. op basis van archeologisch onderzoek is aangetoond dat op de betrokken locatie geen archeologische waarden (meer) aanwezig zijn of;
b. het bouwplan betrekking heeft op vervanging van bestaande bouwwerken, waarbij de oppervlakte met maximaal 100 $m^2$ wordt uitgebreid en de bestaande fundering wordt benut, tenzij er sprake is van nieuwe kelders of;
c. gebouwen maximaal 2,5 m uit de bestaande fundering worden vergroot, tenzij er sprake is van nieuwe kelders.

## 6.3 nadere eisen

Burgemeester en wethouders kunnen nadere eisen stellen ten aanzien van de situering en de afmetingen van bouwwerken en de inrichting van gronden, indien uit archeologisch onderzoek blijkt dat ter plaatse behoudens- en beschermenswaardige archeologische monumenten of resten aanwezig zijn. De nadere eisen zijn erop gericht de archeologische waarden in de grond (in situ) te behouden.

## 6.4 omgevingsvergunning voor het uitvoeren van een werk, geen bouwwerk zijnde, of van werkzaamheden

*6.4.1 Vergunningplicht*

Onverminderd het in de Erfgoedwet bepaalde is het verboden zonder of in afwijking van een omgevingsvergunning op de in artikel 6.1 bedoelde gronden de volgende werken, geen bouwwerken zijnde, of werkzaamheden uit te voeren:

a. het ophogen van de bodem met meer dan 1 m;
b. grondwerkzaamheden over een oppervlakte van meer dan 100 $m^2$, waartoe worden gerekend woelen, mengen, diepploegen, egaliseren en ontginnen van gronden, alsmede het graven of vergraven, verruimen of dempen van sloten, vijvers en andere wateren en het aanleggen van drainage en/of oppervlakteverhardingen;
c. het verlagen of afgraven van de bodem (ook ten behoeve van het verwijderen van bestaande funderingen) van gronden waarvoor geen ontgrondingenvergunning is vereist;
d. het verlagen van het waterpeil;
e. het aanbrengen of in exploitatie brengen van boor- en pompputten;
f. het uitvoeren van heiwerken en/of indrijven van scherpe voorwerpen in de bodem;
g. het aanleggen of rooien van bos of boomgaard waarbij stobben worden verwijderd;
h. het aanleggen van ondergrondse transport-, energie-, of telecommunicatieleidingen en daarmee verband houdende constructies, installaties of apparatuur.

*6.4.2 Uitzonderingen vergunningplicht*

Het in artikel 6.4.1 bedoelde verbod geldt niet:

a. voor werken, geen bouwwerken zijnde, en werkzaamheden die niet dieper reiken dan 0,4 m onder het bestaande maaiveld of een kleinere oppervlakte beslaan dan 100 $m^2$;
b. voor werken, geen bouwwerken zijnde, en werkzaamheden in het kader van het normale beheer en onderhoud, met inbegrip van onderhouds- en vervangingswerkzaamheden van bestaande bestratingen, beplantingen en bestaande tracés van kabels en leidingen;
c. voor werken, geen bouwwerken zijnde, en werkzaamheden in het kader van het normale gebruik;
d. voor werken, geen bouwwerken zijnde, en werkzaamheden binnen een afstand van maximaal 2,5 m uit een bestaande fundering van een bestaand bouwwerk;
e. voor werken, geen bouwwerken zijnde, en werkzaamheden waarvoor ten tijde van het van kracht worden van het plan een onmgevingsvergunning in dit kader is verleend;
f. in geval op grond van de Erfgoedwet een vergunning is vereist, dan wel overige bepalingen van de Erfgoedwet van toepassing zijn;
g. indien op basis van archeologisch onderzoek is aangetoond dat op de betrokken locatie geen archeologische waarden (meer) aanwezig zijn.

*6.4.3 Beoordelingscriteria*

Ten aanzien van de in artikel 6.4.1 genoemde vergunning gelden de volgende beoordelingscriteria:

a. de vergunning kan slechts worden verleend voor zover de archeologische waarden niet onevenredig worden aangetast, hetgeen moet blijken uit een rapport dat de aanvrager bij de aanvraag voor een vergunning dient te overleggen. In het rapport moeten de archeologische waarden van de gronden waarop de aanvraag betrekking heeft naar het oordeel van het bevoegd gezag in voldoende mate zijn vastgesteld. Indien het rapport daartoe aanleiding geeft, dient op advies van een erkend archeoloog zo nodig een opgraving plaats te vinden;
b. het overleggen van een rapport is niet nodig indien naar het oordeel van het bevoegd gezag de archeologische waarde van het terrein in andere beschikbare informatie afdoende is vastgesteld.

*6.4.4 Voorwaarden aan vergunning*

a. Overeenkomstig het bepaalde in artikel 2.22 tweede lid van de Wet algemene bepalingen omgevingsrecht kan het bevoegd gezag de omgevingsvergunning onder beperkingen verlenen en kunnen voorschriften worden verbonden aan de omgevingsvergunning, waaronder:
    1. de verplichting tot het treffen van technische maatregelen, waardoor (ondanks de uitvoering van een bouw- of aanlegplan) archeologische resten in de bodem kunnen worden behouden, zoals het aanbrengen van een beschermende bodemlaag of andere voorzieningen die op dit doel zijn gericht of;
    2. de verplichting tot het doen van opgravingen op basis van een door het bevoegd gezag goedgekeurd programma van eisen of;

3. de verplichting de activiteit die tot een bodemverstoring leidt, te laten begeleiden door een archeologisch deskundige op basis van een door het bevoegd gezag goedgekeurd programma van eisen.

b. Voordat het bevoegd gezag beslist over het verlenen van een omgevingsvergunning als bedoeld in artikel 6.4.1 wint zij advies in bij een archeologisch deskundige omtrent de vraag of door het verlenen van een omgevingsvergunning geen onevenredige afbreuk wordt of kan worden gedaan aan de archeologische waarden, en zo ja welke voorwaarden dienen te worden gesteld.

## 6.5 wijzigingsbevoegdheid

*6.5.1*
Burgemeester en wethouders kunnen het plan wijzigen door het geheel of gedeeltelijk verwijderen van de bestemming 'Waarde - Archeologische verwachting 2', indien op basis van nader archeologisch onderzoek is aangetoond dat op de betrokken locatie geen archeologische waarden (meer) aanwezig zijn, dan wel er niet langer archeologische begeleiding of zorg nodig is.

*6.5.2*
Burgemeester en wethouders kunnen het plan wijzigen door het geheel of gedeeltelijk omzetten van de bestemming 'Waarde - Archeologische verwachting 2' in de bestemming 'Waarde - Archeologie', indien uit nader archeologisch onderzoek blijkt dat ter plaatse behoudenswaardige archeologische waarden aanwezig zijn.

# Hoofdstuk 3 Algemene regels

## Artikel 7 Anti-dubbeltelbepaling

Grond die eenmaal in aanmerking is genomen bij het toestaan van een bouwplan waaraan uitvoering is gegeven of alsnog kan worden gegeven, blijft bij de beoordeling van latere bouwplannen buiten beschouwing.

## Artikel 8 Algemene bouwregels

**8.1**

In die gevallen dat de bestaande goothoogte, bouwhoogte, oppervlakte en/of inhoud van bouwwerken, die in overeenstemming met het bepaalde in de Woningwet of de Wet algemene bepalingen omgevingsrecht tot stand zijn gekomen meer bedraagt dan in de bouwregels in hoofdstuk 2 van deze regels is toegestaan, geldt die goothoogte, bouwhoogte, oppervlakte en/of inhoud in afwijking daarvan als maximaal toegestaan.

**8.2**

In die gevallen dat de bestaande afstand tot enige op de verbeelding aangegeven lijn van bouwwerken, die in overeenstemming met het bepaalde in de Woningwet of de Wet algemene bepalingen omgevingsrecht tot stand zijn gekomen minder bedraagt dan in de bouwregels in hoofdstuk 2 van deze regels is voorgeschreven, geldt die afstand in afwijking daarvan als minimaal toegestaan.

**8.3**

In die gevallen dat een bestaand bebouwingspercentage, dat in overeenstemming met het bepaalde in de Woningwet of de Wet algemene bepalingen omgevingsrecht tot stand is gekomen, meer bedraagt dan in de bouwregels in hoofdstuk 2 van deze regels is voorgeschreven, geldt dat bebouwingspercentage in afwijking daarvan als maximaal toegestaan.

**8.4**

In afwijking van het bepaalde in hoofdstuk 2 van deze regels mogen bouwgrenzen worden overschreden ten behoeve van de uitbreiding van hoofdgebouwen, uitsluitend in de vorm van tot het betreffende hoofdgebouw behorende stoepen, stoeptreden, trappen(huizen), galerijen, hellingbanen, funderingen, balkons, erkers, serres, entreeportalen, aan- en uitbouwen, veranda's, afdaken en andere ondergeschikte onderdelen van gebouwen, mits:

a. de overschrijding niet meer bedraagt dan 1,5 m;
b. voor wat betreft veranda's, erkers, serres en aan- en uitbouwen de breedte niet meer bedraagt dan 75% van de breedte van de gevel van het hoofdgebouw waaraan wordt gebouwd;
c. voor wat betreft aan- en uitbouwen de bouwhoogte niet meer bedraagt dan 3 m, met uitzondering van trappenhuizen, balkons en galerijen;
d. de afstand tot de openbare ruimte minimaal 2 m bedraagt.

# Artikel 9 Algemene gebruiksregels

## 9.1 algemeen

Tot een gebruik in strijd met alle bestemmingen wordt in ieder geval begrepen:

a. een gebruik van gronden als stort- en/of opslagplaats van grond en/of afval, met uitzondering van een zodanig gebruik voor het normale op de bestemming gerichte gebruik en onderhoud;
b. een gebruik van gronden als stallings- en/of opslagplaats van één of meer aan het gebruik onttrokken machines, voer-, vaar- of vliegtuigen, met uitzondering van een zodanig gebruik voor het normale op de bestemming gerichte gebruik en onderhoud;
c. een gebruik van gronden en bouwwerken voor een seksinrichting en/of escortbedrijf en raam- en straatprostitutie;
d. een gebruik van gronden en bouwwerken voor verkoop en opslag van vuurwerk.

## 9.2 parkeernormen

Bij nieuw- of verbouw dient de inrichting van de gronden zodanig plaats te vinden, dat wordt voldaan aan de gemeentelijke parkeernormen zoals weergegeven in de bijlage 'Parkeernormen' die als bijlage 2 bij deze regels is gevoegd.

## Artikel 10 Algemene afwijkingsregels

**10.1**

Bij omgevingsvergunning kan worden afgeweken van:

a. de regels en worden toegestaan dat bouwgrenzen worden overschreden, waarbij een overschrijding is toegestaan tot maximaal 2,5 m, en deze noodzakelijk is in verband met de uitmeting van het terrein of uit een oogpunt van doelmatig gebruik van de gronden en/of de bebouwing;
b. de regels en worden toegestaan dat de bouwhoogte van bouwwerken geen gebouwen zijnde ten behoeve van kunstwerken, geen gebouwen zijnde, en ten behoeve van zend-, ontvang- en/of sirenemasten wordt vergroot tot maximaal 40 m;
c. de regels en worden toegestaan dat de bouwhoogte van bouwwerken geen gebouwen zijnde wordt vergroot tot maximaal 10 m.

**10.2**

Afwijking als bedoeld in artikel 10.1 is slechts toegestaan, mits:

a. de belangen van de eigenaren en/of gebruikers van betrokken en nabijgelegen gronden niet onevenredig worden geschaad;
b. het straat- en bebouwingsbeeld en de verkeersveiligheidsbelangen niet onevenredig worden geschaad.

**10.3**

Bij omgevingsvergunning kan worden afgeweken van het bepaalde in artikel 9.1 onder c voor een gebruik voor escortbedrijven en thuisprostitutie, mits:

a. het niet raam- of straatprostitutie betreft;
b. de activiteit, gelet op de aard en invloed ervan, niet leidt tot een onevenredige aantasting van het karakter van de omgeving. Bij de beoordeling van de aard en invloed op de omgeving worden de volgende aspecten mede in de beoordeling betrokken:
   - het voorkomen of beperken van overlast voor de omgeving;
   - de aard van de activiteit, te weten een overwegende avond- of nachtactiviteit;
   - de openbare orde;
   - de verkeers-, sociale- en brandveiligheid;
   - het voorkomen of beperken van een verkeersaantrekkende werking;
   - het voorkomen of beperken van een onevenredige parkeerdruk op de openbare ruimte;
c. bij thuisprostitutie het gebruik de woonfunctie dient te ondersteunen, dat wil zeggen dat degene die de activiteiten in de woning en/of bijgebouw uitvoert, tevens de gebruiker van de woning is;
d. burgemeester en wethouders nadere regels kunnen stellen aan de omvang van de activiteit.

# Hoofdstuk 4 Overgangs- en slotregels

## Artikel 11 Overgangsrecht

### 11.1 overgangsrecht bouwwerken

*11.1.1 algemeen*
Een bouwwerk dat op het tijdstip van inwerkingtreding van het bestemmingsplan aanwezig of in uitvoering is, dan wel gebouwd kan worden krachtens een omgevingsvergunning voor het bouwen, en afwijkt van het plan, mag, mits deze afwijking naar aard en omvang niet wordt vergroot,

a. gedeeltelijk worden vernieuwd of veranderd;
b. na het teniet gaan ten gevolge van een calamiteit geheel worden vernieuwd of veranderd, mits de aanvraag van de omgevingsvergunning voor het bouwen wordt gedaan binnen twee jaar na de dag waarop het bouwwerk is teniet gegaan.

*11.1.2 afwijking*
Het bevoegd gezag kan eenmalig in afwijking van het bepaalde in artikel 11.1.1 een omgevingsvergunning verlenen voor het vergroten van de inhoud van een bouwwerk als bedoeld in artikel 11.1.1 met maximaal 10%.

*11.1.3 uitzondering*
Artikel 11.1.1 is niet van toepassing op bouwwerken die weliswaar bestaan op het tijdstip van inwerkingtreding van het plan, maar zijn gebouwd zonder vergunning en in strijd met het daarvoor geldende plan, daaronder begrepen de overgangsbepaling van dat plan.

### 11.2 overgangsrecht gebruik

*11.2.1 algemeen*
Het gebruik van grond en bouwwerken dat bestond op het tijdstip van inwerkingtreding van het bestemmingsplan en hiermee in strijd is, mag worden voortgezet.

*11.2.2 strijdig gebruik*
Het is verboden het met het bestemmingsplan strijdige gebruik, bedoeld in artikel 11.2.1, te veranderen of te laten veranderen in een ander met dat plan strijdig gebruik, tenzij door deze verandering de afwijking naar aard en omvang wordt verkleind.

*11.2.3 onderbroken gebruik*
Indien het gebruik, bedoeld in artikel 11.2.1, na het tijdstip van inwerkingtreding van het plan voor een periode langer dan een jaar wordt onderbroken, is het verboden dit gebruik daarna te hervatten of te laten hervatten.

*11.2.4 uitzondering*
Artikel 11.2.1 is niet van toepassing op het gebruik dat reeds in strijd was met het voorheen geldende bestemmingsplan, daaronder begrepen de overgangsbepalingen van dat plan.

## Artikel 12 Slotregel

Deze regels worden aangehaald als: Regels van het bestemmingsplan Vredenseweg 4-6.

# Bijlagen bij regels

# Bijlage 1 Beoordeling bodemkwaliteitsonderzoek

Omgevingsdienst
Achterhoek

# Beoordeling bodemrapport

| | | |
|---|---|---|
| Aan | : | Gemeente Winterswijk (t.a.v. mw. J. van Dijk) |
| Zaaknummer | : | 2020EA1300 |
| Onderwerp | : | Nieuwbouwplan Vredenseweg 4-6 Winterswijk |
| Behandeld door | : | Annemarie van Aalten |
| Datum | : | 5 juni 2020 |
| Opsteller rapport | : | Buro Ontwerp en Omgeving |
| Rapportnummer | : | 3192.01 |
| Rapportdatum | : | 12 mei 2020 |
| Titel | : | Verkennend bodemonderzoek en verkennend onderzoek asbest in bodem Vredenseweg 4-6 te Winterswijk |

**Advies**
Het bodemonderzoek voldoet aan de gestelde kwaliteitseisen. Vanwege een (licht) verhoogd PAK-gehalte wordt geadviseerd om de aanwezige baksteen-/betonresten uit de bodem te verwijderen.

## Inleiding

Voor het perceel aan de Vredenseweg 4-6 in Winterswijk is een verzoek ingediend voor de bouw van 10 woningen voor starters/senioren. In dat kader is een bodemonderzoek uitgevoerd. De gemeente Winterswijk vraagt de Omgevingsdienst Achterhoek (ODA) het bodemrapport te beoordelen en advies uit te brengen.




## Beoordeling

Het uitgevoerde bodemonderzoek is inhoudelijk beoordeeld door de ODA. Er is getoetst aan de uitvoeringsnormen voor bodemonderzoek, namelijk de NEN5725, de NEN5740 en de NEN5707 voor asbestonderzoek. De uitkomsten zijn getoetst aan de normkaders van de Wet bodembescherming (Wbb) en het Besluit bodemkwaliteit (Bbk). In bijlage 1 is een uitgebreide beoordeling van alle onderdelen van de bodemrapportage opgenomen.

**Conclusie en Advies**
Het bodemonderzoek voldoet aan de kwaliteitseisen en is uitgevoerd door een erkend bureau. Uit de toetsing aan de normkaders volgt dat géén sprake is van een afwijkende bodemkwaliteit. Vanwege een verhoogd PAK-gehalte (> functienorm Wonen) wordt geadviseerd om de baksteen- en betonresten uit de grond te verwijderen.

**Aandachtspunten**
In algemene zin gelden de volgende aanbevelingen:
- Wanneer tijdens graafwerkzaamheden waarnemingen worden gedaan die op een verontreiniging wijzen, dan moet het werk direct gestopt worden en moet met de ODA worden overlegd.
- Voor de toepassing van vrijkomende grond en bouwstoffen gelden de voorschriften uit het Besluit bodemkwaliteit.
- Wanneer tijdens de uitvoering van het werk grondwater wordt opgepompt en geloosd, moet eerst contact worden gelegd met het waterschap.

## BIJLAGE 1: Beoordeling/toetsing van alle rapportonderdelen

### Algemeen

| | | |
|---|---|---|
| Is de rapportage compleet? | : | ja |
| Aanleiding bodemonderzoek | : | planontwikkeling |
| Is de onderzoekslocatie juist? | : | ja |
| Oppervlakte locatie | : | 2500 $m^2$ |
| | | |
| BRL2000 (boormeester) | : | akkoord |
| AS3000 (lab) | : | akkoord |
| Veldwerkdatum | : | 9 en 22 april 2020 |
| Rapportdatum | : | 12 mei 2020 |

Motivering:
Het rapport voldoet aan de gestelde kwaliteitseisen en is volledig. Het onderzoek is in april en mei 2020 uitgevoerd. Voor zover bekend hebben daarna geen activiteiten plaatsgevonden die tot een verandering in bodemkwaliteit hebben geleid. Het onderzoek is voldoende actueel.

### Vooronderzoek en hypothesestelling/onderzoeksstrategie (NEN5740/NEN5725)

| | | |
|---|---|---|
| Verwijzing naar NEN5725 (versie 2017) | : | ja |
| Afbakening vooronderzoeksgebied | : | akkoord |
| Beschikbare informatie opgevraagd / ingezien | : | ja |
| Bronvermelding | : | akkoord |
| Terreininspectie uitgevoerd | : | ja |
| Interpretatie / uitwerking | : | voldoende |
| | | |
| Gekozen onderzoeksopzet | : | NEN5740-VEDHE / maatwerk |
| Gaat de ODA akkoord met de gekozen opzet? | : | ja |

Motivering:
Het vooronderzoek is van voldoende kwaliteit. Het adviesbureau heeft een juiste onderzoekshypothese gesteld en een juiste onderzoeksstrategie gekozen. Er is rekening gehouden met de (verwachte) voormalige ligging van een ondergrondse tank, het aangetroffen vulpunt en het vml. ketelhuis. De onderzoeksopzet is met de ODA afgestemd.

### Asbestverdenking (NEN5707/NEN5897, incl bijlage E en/of NEN 5725, incl bijlage A)

| | | |
|---|---|---|
| Is sprake van een hoge asbestverdenking? | : | nee |
| Zijn asbestinventarisaties geraadpleegd? | : | n.v.t. |
| Is sprake van asbestverdacht materiaal?<br>(verweerd/gebroken bouwmateriaal of objecten, maar ook bv. kassencomplex/beschoeiing/volkstuinen) | : | nee |
| Is sprake van puinverharding of puinbijmenging? | : | ja (m.n. baksteen/beton) |
| Is het puin asbestverdacht?<br>(hoeveelheid/type/ouderdom/certificering) | : | onbekend (onderzocht) |
| Voldoet het vooronderzoek?<br>(bijlage A NEN5725 of bijlage E NEN5707/NEN5897)) | : | ja |
| | | |
| Interpretatie / uitwerking | : | voldoende |
| | | |
| Gekozen onderzoeksopzet | : | NEN5707-VEDHE |
| Gaat de ODA akkoord met de gekozen opzet? | : | ja |

Motivering:
Het vooronderzoek asbest is van voldoende kwaliteit. Het adviesbureau heeft asbestonderzoek verricht naar de puin (baksteen) en betonresthoudende laag.

### Uitvoering veldonderzoek

| | | |
|---|---|---|
| Aantal boringen en peilbuizen | : | akkoord |
| Diepte boringen en peilbuizen | : | akkoord |
| Plaatsing boringen en peilbuizen | : | akkoord (ook inpandig) |
| Filterdiepte | : | freatisch |
| Wachttijd peilbuis (1 week) | : | akkoord |
| Herbemonstering grondwater | : | n.v.t. |

| | | |
|---|---|---|
| Bemonstering met steekbus | : | n.v.t. |
| Olie-op-water methode toegepast | : | ja (vulpunt) |
| Positie en diepte proefsleuven/-gaten | : | akkoord |

Motivering:
Het veldwerk is uitgevoerd volgens het onderzoeksprotocol en hiervoor geldende richtlijnen. Er zijn zowel in- als uitpandige boringen verricht.

**Uitvoering chemisch onderzoek**

| | | |
|---|---|---|
| Aantal (meng)monsters | : | akkoord |
| Geanalyseerde bodemlagen | : | akkoord |
| Samenstelling mengmonsters | : | akkoord |
| Uitgevoerde uitsplitsing | : | n.v.t. |
| Gekozen stoffenpakket | : | akkoord (incl. PFAS) |
| Per monster analyse van L en/of H | : | akkoord |

Motivering:
Het chemisch onderzoek is uitgevoerd volgens het onderzoeksprotocol en hiervoor geldende richtlijnen. Er is aanvullend geanalyseerd op PFAS.

**Toetsing en interpretatie onderzoeksresultaten**

| | | |
|---|---|---|
| Toetsing Wet bodembescherming | : | akkoord |
| Toetsing Besluit bodemkwaliteit | : | akkoord |
| Bodemtypecorrectie | : | akkoord |
| | | |
| Samenvatting Grond | : | Hg en Pb > AW (< Wo) en PAK > AW (< Ind) |
| Samenvatting Grondwater | : | Ba > S |
| Samenvatting Asbest | : | visueel geen asbestverdacht materiaal en asbest < det. |
| | | |
| Interpretatie / Advies | : | voldoende |

Motivering:
De toetsing van de analyseresultaten is op een juiste manier uitgevoerd. Het bureau heeft zowel aan de normen van het Besluit bodemkwaliteit als de normen van de Wet bodembescherming getoetst.

Vanwege het licht verhoogde gehalte aan lood (Pb) is door de Omgevingsdienst Achterhoek een toetsing uitgevoerd met de module "diffuus lood" van de Risicotoolbox. Het loodgehalte blijkt te voldoen aan de gezondheidskundige advieswaarde van de GGD voor een woonfunctie[1].

Verder is in de grond een licht verhoogd gehalte aan kwik (Hg) en PAK gemeten. Het PAK-gehalte overschrijdt de functienorm voor Wonen. Om deze reden wordt geadviseerd om de brokken baksteen en beton uit de grond te verwijderen.

[1] Lood in bodem en gezondheid (18 april 2016) opgesteld door de landelijke GGD-projectgroep Bodem en Lood-module in RisicoToolBox.

# Bijlage 2 Beleidsregel parkeren

# Beleidsregel parkeren Winterswijk



Afdeling OPR team Civiel en Verkeer
2018

## Inhoudsopgave

1. Inleiding. ..... 3
2. Ontwikkelingen: sterke stijging van parkeerdruk ..... 4
3. Uitgangspunten ..... 5
4. Bepalen van de parkeerbehoefte ..... 5
5. Afwijken van de parkeernorm ..... 7

## Bijlagen

Bijlage 1: parkeernormen Winterswijk ..... 8
Bijlage 2: Verschillende parkeergebieden Winterswijk ..... 14

# 1. Inleiding.

Het parkeerbeleid in Winterswijk is onderdeel van het verkeer- en vervoersbeleid, zoals vastgelegd in het Verkeersstructuurplan (VSP 2010) en de Parkeervisie.
In het VSP 2010, dat een sterke relatie heeft met de Structuurvisie (ruimtelijke ordeningsbeleid) is aangegeven dat voor nieuwe ontwikkelingen de parkeerkencijfers gehanteerd worden zoals het CROW die aanbeveelt.
Omdat op grond van nieuwe wetgeving beleidsnota's geen normen meer mogen bevatten, is besloten een aparte beleidsregel parkeren op te stellen. Deze beleidsregel parkeren betreft een herziening van de nota parkeernormen uit 2013.

In de afgelopen jaren is er regelmatig discussie gevoerd over de parkeernormen. Het parkeren moet nadrukkelijk worden getoetst bij een bouwproject. Deze beleidsregel heeft als doel om de toepassing van parkeernormen inzichtelijker te maken, zodat het voor burgers, bedrijven en ontwikkelaars duidelijker is welke normen gehanteerd worden bij een bouwaanvraag of bestemmingsplanwijziging.
De parkeernorm is een middel om bij (ver-)bouw te zorgen dat er voldoende parkeerplaatsen zijn. Hiermee wordt gegarandeerd dat mensen er graag komen voor wonen en werken of bezoek, maar vooral ook dat de openbare ruimte wordt beschermd tegen overlast en hinder als gevolg van foutparkeren.

Er kunnen zich specifieke omstandigheden voordoen die aanleiding geven om van de vastgestelde normen af te wijken. In dat geval is een goede motivering essentieel.
In artikel 4:84 van de Algemene wet bestuursrecht is geregeld dat gehandeld wordt conform een vastgestelde beleidsregel tenzij, wegens bijzondere belangen, de gevolgen van toepassing onevenredig zouden zijn met de door de beleidsregel te dienen doelen. In dat geval is er dus de mogelijkheid om van een beleidsregel af te wijken. Die regel is ook van toepassing op deze beleidsregel en geeft voldoende ruimte om in evidente gevallen maatwerk te kunnen leveren.

# 2. Ontwikkelingen: sterke stijging van parkeerdruk

Er komen nog steeds elk jaar meer auto's bij die vragen om een parkeerplaats. Steeds meer huishoudens hebben twee of meer auto's. Ook het aantal bedrijfsauto's dat in woonwijken geparkeerd wordt, neemt toe. Voor het centrumbezoek en dan met name op de zaterdagen en Duitse feestdagen zijn steeds meer parkeerplaatsen nodig. Gevolg hiervan is dat de parkeerdruk in bepaalde gebieden stijgt. Dit kan leiden tot klachten van bewoners en ondernemers. Het gevolg hiervan is dat het parkeren een steeds prominentere rol speelt bij de beoordeling van bouwprojecten en de bereikbaarheid van het centrum.

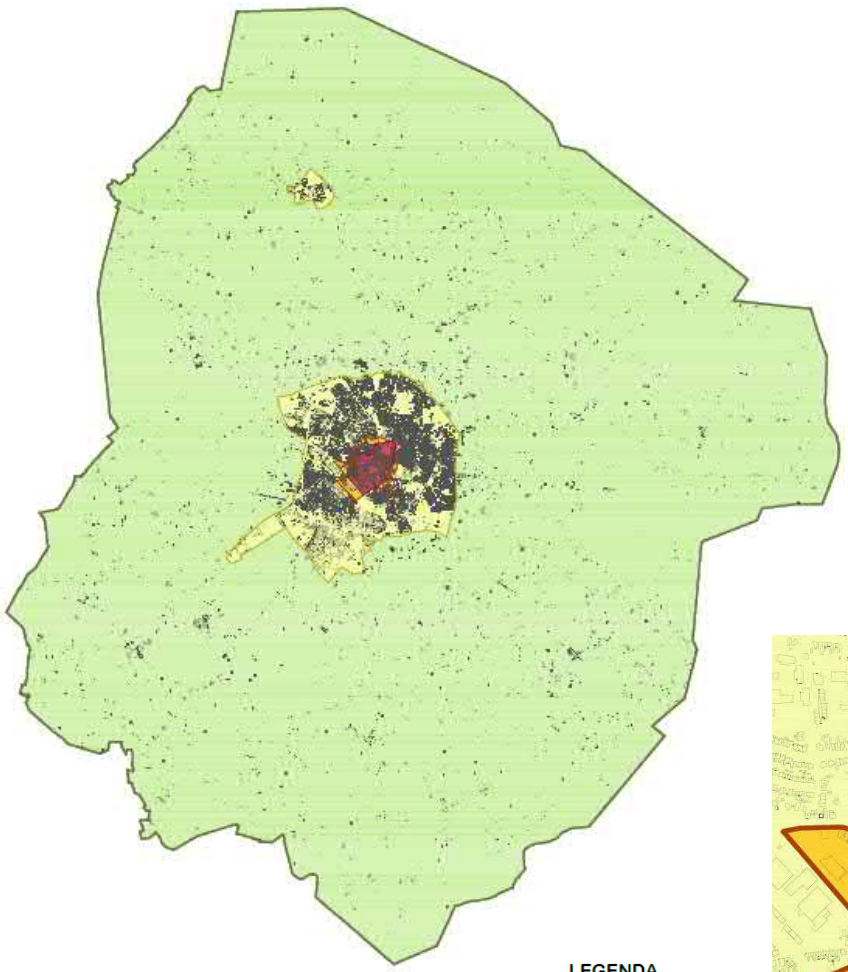
Er zijn geen wettelijk door het Rijk vastgestelde parkeernormen. Maar het toonaangevende CROW brengt met enige regelmaat richtlijnen uit die voor Nederland vrij algemeen toepasbaar zijn. Zo is in oktober 2012 de uitgave van Kencijfers parkeren en verkeersgeneratie (publicatie 317) uitgebracht.
Rekening houdend met plaatselijke omstandigheden en plaatselijk beleid kan een gemeente besluiten zelf te bepalen welke normen worden toegepast bij bepaalde voorzieningen. Voor inwoners of bedrijven die een bouwvergunning aanvragen is het van belang om te weten hoeveel parkeerplaatsen er bij het plan moeten worden gerealiseerd.
Soms vindt een indiener van een bouwaanvraag dat er andere normen moeten worden gehanteerd. In dergelijke gevallen moet de afwijking van de toepassing van de normen helder en duidelijk gemotiveerd worden aangegeven.

Bij de uiteindelijke belangenafweging met betrekking tot parkeren worden de verkeerskundige overwegingen met de andere beleidsvelden (economie, wonen, ruimte en milieu) in verband gebracht. Deze afweging valt buiten het kader van deze beleidsregel.

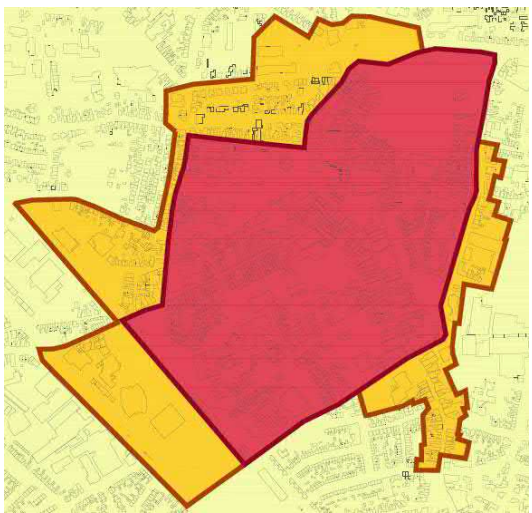
## 3. Uitgangspunten

Bij het toepassen van de parkeernormen worden de volgende uitgangspunten gehanteerd:

1. Iedere initiatiefnemer van een omgevingsvergunning is verantwoordelijk voor het realiseren van voldoende parkeerplaatsen voor de omgevingsvergunning op eigen terrein.
2. Een nieuwe omgevingsvergunning mag geen parkeerproblemen veroorzaken in zijn omgeving.
3. Het toepassen van de parkeernormen moet een positieve invloed hebben op de bereikbaarheid en een duurzame economische ontwikkeling van Winterswijk.
4. Er wordt uitgegaan van een vraagvolgend parkeerbeleid, derhalve worden de hoogste kengetallen voor parkeren van het CROW toegepast. Voor woningbouw zijn de kengetallen aangepast aan de Winterswijkse omstandigheden, zie bijlage 1.
5. Wanneer iemand die een bouwaanvraag indient met voldoende argumenten kan aantonen dat de voorgeschreven parkeernorm niet realiseerbaar is in deze specifieke situatie, wordt er gekeken naar alternatieve mogelijkheden om het parkeren op te lossen. Bijvoorbeeld door gebruik te maken van (nog te realiseren) parkeerruimte elders.
6. Wanneer dit alles niet mogelijk is kan de gemeente gemotiveerd afwijken van de parkeernorm.
7. De parkeernormen kunnen worden gedifferentieerd naar verschillende gebieden: het centrum, de schil daaromheen, de rest bebouwde kom en het buitengebied (zie figuur 1 en bijlage 2.). Dit onderscheid is in het Uitvoeringsprogramma Parkeren vastgelegd.




**4.**



# 4. Bepalen van de parkeerbehoefte

Voor het berekenen van de parkeerbehoefte gaan we uit van de maximale kencijfers die het CROW aanbeveelt (publicatie 317) voor matig stedelijk gebied.
Voor woningbouw in Winterswijk zijn deze cijfers aan de hoge kant, vandaar dat deze cijfers met 0,3 parkeerplaats worden verlaagd (zie bijlage 1).

Ten opzichte van de oude normen (2008) zijn de kencijfers voor woningbouw in 2012 met 0,5 tot 0,6 parkeerplaats per woning opgehoogd. Deze normen zijn voor een toekomstige situatie bedoeld, maar gezien de ontwikkelingen in de Achterhoek (vergrijzing, bevolkingskrimp, afnemende gemiddelde woningbezetting) verwachten we niet dat het autobezit per woning zodanig zal toenemen dat deze verhoging van de parkeernorm nodig is.

De volgende stappen moeten doorlopen worden om de parkeerbehoefte te bepalen:

1. Bepaal de nieuwe parkeerbehoefte o.b.v. (bouw-)plan en parkeerkencijfers
2. Bepaal het aantal fysieke parkeerplaatsen in huidige situatie, die behouden blijven.
3. Als het aantal bij stap 2 groter is dan bij stap 1, is er voldoende parkeerruimte, anders door naar stap 4
4. Bepaal de huidige parkeerbehoefte o.b.v. huidig gebouw/functie/bestemming en parkeerkencijfers
5. Als alle bestaande parkeerplaatsen behouden blijven en het aantal bij stap 4 groter is dan bij stap 1, is er voldoende parkeerruimte, anders naar stap 6
6. De extra parkeerbehoefte is het aantal bij stap 1 verminderd met het aantal bij stap 4 (voor zover deze plaatsen behouden blijven). De initiatiefnemer dient een plan in voor realisatie van extra benodigde parkeerplaatsen.

Bij het vergelijken van de parkeerruimte en de parkeerbehoefte mag – indien van toepassing – rekening worden gehouden met gecombineerd gebruik van de parkeerplaatsen, wanneer verschillende functies op verschillende tijden gebruik maken van de parkeerplaatsen. Door middel van een parkeerbalans kan dit gecombineerd gebruik van parkeerplaatsen onderzocht worden. Voor de berekeningswijze en aanwezigheidspercentages wordt verwezen naar CROW-publicatie 317.

Bij het bepalen van het aantal parkeerplaatsen, dat in een (bouw-)plan is opgenomen, gelden de volgende kanttekeningen:

- de parkeerplaatsen voor bezoekers van woningen worden in de openbare ruimte gerealiseerd;
- parkeerplaatsen achter elkaar op eigen terrein van een woning (lange oprit) worden geteld als maximaal 1 parkeerplaats (niet voor bezoekers);
- parkeerplaatsen naast elkaar op eigen terrein van een woning (brede oprit) worden als aparte parkeerplaatsen geteld;
- een garage/-berging wordt niet geteld als parkeerplaats.

# 5. Afwijken van de parkeernorm

In de praktijk blijkt dat voor kleine bouwprojecten in het centrum (bijvoorbeeld 3-6 wooneenheden boven winkels) het parkeren niet altijd op eigen terrein valt op te lossen. Realisering van een ondergrondse parkeervoorziening is voor kleine aantallen parkeerplaatsen vaak economisch niet rendabel.
Indien een omgevingsvergunning niet op eigen terrein in de parkeerbehoefte kan voorzien is het mogelijk hiervan af te wijken. Voor het centrumgebied, zoals aangegeven in figuur 1 op pagina 4, wordt hiervoor een afkoopsom gevraagd. De daarbij gehanteerde afkoopsom is representatief voor de kostprijs van een nieuw aan te leggen parkeerplaats (aanlegkosten en grondkosten). Deze bedragen worden door B&W vastgesteld en kunnen indien nodig worden herzien.

Daarbij neemt de gemeente dan de verplichting over om binnen 10 jaar het gelijke aantal parkeerplaatsen te realiseren. Voor woningen moet dat binnen circa 200m en voor winkels/kantoren en andere functies binnen circa 500m vanaf de locatie van de omgevingsvergunning dat niet in de eigen parkeerbehoefte kan voorzien.
Dit impliceert dat de gemeente verplicht is om:

1. de afkoopsommen binnen 10 jaar te investeren in parkeervoorzieningen
2. op tijd voldoende parkeerplaatsen aan te leggen om te voldoen aan de contractuele verplichtingen
3. per nieuw aangelegde parkeerplaats te benoemen voor welke “afkoper” de parkeerplaats is aangelegd.

Om aan deze verplichting te voldoen houdt de gemeente een gedetailleerde administratie bij van alle aangegane contractuele verplichtingen en van alle aangelegde parkeerplaatsen waarmee aan de verplichtingen wordt voldaan.
Met deze middelen zijn recent bijvoorbeeld de P&R voorziening bij het station (Spoorzone) mede gefinancierd. Ook kunnen de voorzieningen ten behoeve van een beter gebruik van de parkeervoorzieningen in het centrum (bijvoorbeeld dynamische verwijzing) hieruit bekostigd worden.

**Mobiliteitsmanagement**
In het kader van mobiliteitsmanagement is het mogelijk af te wijken van de parkeernorm, door 1 parkeerplaats per 11 benodigde parkeerplaatsen in mindering te brengen. Hiervoor dient de aanvrager een plan aan te leveren waarin is opgenomen hoe een reductie mogelijk is van het aantal bezoekers per auto. Voorbeelden hiervan zijn OV-kaarten voor werknemers, het aanbieden van faciliteiten voor bezoekers per fiets, et cetera. Het college van B&W beoordeelt of de aanvrager op basis van het mobiliteitsplan in aanmerking komt voor de reductie.

# Bijlage 1: parkeernormen Winterswijk

## Te hanteren normen voor woningen in Winterswijk

| | **Parkeernorm Winterswijk - basis** | | | |
|---|---|---|---|---|
| | centrum | schil | kom/kern | buiteng. |
| Vrijstaand | 1,9 | 2,0 | 2,3 | 2,5 |
| Half vrijstaand | 1,8 | 1,9 | 2,2 | 2,3 |
| Aaneengesloten, hoek | 1,6 | 1,8 | 2,0 | 2,1 |
| Appartement duur | 1,7 | 1,8 | 2,1 | 2,2 |
| Appartement midden | 1,5 | 1,7 | 1,9 | 2,0 |
| Appartement goedkoop | 1,4 | 1,5 | 1,7 | 1,7 |
| Huurhuis vrije sector | 1,6 | 1,8 | 2,0 | 2,1 |
| Huurhuis sociaal | 1,4 | 1,5 | 1,7 | 1,7 |
| Huur etage duur | 1,5 | 1,7 | 1,9 | 2,0 |
| Huur etage midden/goedkoop | 1,2 | 1,3 | 1,5 | 1,5 |
| Kamerverhuur (zelfstandig) | 0,6 | 0,7 | 0,8 | 0,8 |
| Serviceflat/aanleunwoning | 1,0 | 1,0 | 1,0 | 1,1 |
| Verpleeg en verzorgingshuis | 0,7 | 0,7 | 0,7 | 0,7 |

overige functies volgens kencijfers CROW
matig stedelijk - maximum van de bandbreedte

# Te hanteren normen in Winterswijk

| | **Parkeernorm Winterswijk - basis** | | | |
|---|---|---|---|---|
| | centrum | schil | kom/kern | buiteng. |
| **Werken** | | | | |
| Kantoor (zonder baliefunctie)* | 1,8 | 2,2 | 2,3 | 2,8 |
| Commerciële dienstverlening* | 2,3 | 2,6 | 3,1 | 3,8 |
| Bedrijf arbeidsintensief/bezoekersextensief (industrie, laboratorium, werkplaats)* | 1,8 | 2,2 | 2,6 | 2,6 |
| Bedrijf arbeidsextensief/bezoekersextensief (loods, opslag, transportbedrijf)* | 0,9 | 1,1 | 1,3 | 1,3 |
| Bedrijfsverzamelgebouw* | 1,5 | 1,8 | 2,1 | 2,2 |
| **Winkelen en boodschappen** | | | | |
| Buurtsupermarkt* | 2,9 | 3,7 | 4,5 | - |
| Full-service supermarkt (laag en middellaag prijsniveau)* | 4,1 | 5,7 | 6,4 | - |
| Full-service supermarkt (middelhoog en hoog prijsniveau)* | 4,6 | 5,0 | 5,9 | - |
| Grote supermarkt* | 7,0 | 7,9 | 8,7 | - |
| Groothandel in levensmiddelen* | - | 7,4 | 7,4 | - |
| Binnenstad of hoofdwinkel(stads)centrum 20.000-30.000 inwoners* | 3,8 | - | - | - |
| Buurt- en dorpscentrum* | - | 4,1 | 4,7 | - |
| Wijkcentrum (klein) * | - | 4,7 | 5,5 | - |
| Wijkcentrum (gemiddeld) * | - | 5,4 | 6,1 | - |
| Wijkcentrum (groot) * | - | 5,8 | 6,7 | - |
| Stadsdeelcentrum* | - | 6,2 | 7,3 | - |

* norm per 100 $m^2$
overige functies volgens kencijfers CROW
matig stedelijk - maximum van de bandbreedte

# Te hanteren normen in Winterswijk

| | Parkeernorm Winterswijk - basis | | | |
|---|---|---|---|---|
| | centrum | schil | kom/kern | buiteng. |
| Weekmarkt (per m¹ kraam) | 0,24 | 0,24 | 0,24 | - |
| Kringloopwinkel* | - | 1,5 | 2,1 | 2,5 |
| Bruin- en witgoedzaken* | 4,7 | 6,6 | 8,6 | 10,0 |
| Woonwarenhuis/woonwinkel* | 4,5 | 1,9 | 2,1 | 2,2 |
| Woonwarenhuis (zeer groot)* | - | - | 5,8 | 5,9 |
| Meubelboulevard/woonboulevard* | - | 2,3 | 2,6 | - |
| Winkelboulevard* | - | 4,0 | 4,4 | - |
| Outletcentrum* | - | 10,2 | 11,1 | 11,4 |
| Bouwmarkt* | - | 2,1 | 2,6 | 2,7 |
| Tuincentrum* | - | 2,5 | 2,8 | 3,1 |
| Groencentrum* | - | 2,5 | 2,8 | 3,1 |
| | | | | |
| **Sport, cultuur en ontspanning** | | | | |
| Bibliotheek* | 0,7 | 1,0 | 1,4 | 1,6 |
| Museum* | 0,7 | 0,9 | 1,2 | - |
| Bioscoop* | 4,2 | 9,0 | 12,2 | 14,7 |
| Filmtheater/filmhuis* | 3,6 | 6,3 | 8,9 | 10,9 |
| Theater/schouwburg* | 8,9 | 9,5 | 11,3 | 13,5 |
| Musicaltheater* | 3,4 | 3,9 | 4,5 | 5,6 |
| Casino* | 6,2 | 6,6 | 7,0 | 8,5 |
| Bowlingcentrum (per bowlingbaan) | 2,1 | 2,8 | 3,3 | 3,3 |
| Biljart-/snookercentrum (per tafel) | 1,1 | 1,4 | 1,6 | 2,0 |
| Dansstudio* | 2,1 | 4,4 | 6,0 | 7,9 |
| Fitnessstudio/sportschool* | 1,9 | 3,9 | 5,3 | 7,0 |
| Fitnesscentrum* | 2,2 | 5,0 | 6,8 | 7,9 |
| Wellnesscentrum* | - | - | 9,8 | 10,8 |
| Sauna* | 3,0 | 5,1 | 7,2 | 7,8 |

* norm per 100 $m^2$
overige functies volgens kencijfers CROW
matig stedelijk - maximum van de bandbreedte

# Te hanteren normen in Winterswijk

| | **Parkeernorm Winterswijk - basis** | | | |
|---|---|---|---|---|
| | centrum | schil | kom/kern | buiteng. |
| Sporthal* | 1,8 | 2,4 | 3,1 | 3,7 |
| Sportzaal* | 1,4 | 2,2 | 3,0 | 3,8 |
| Tennishal* | 0,4 | 0,5 | 0,6 | 0,6 |
| Zwembad (overdekt, per 100 m² bassin) | - | 11,7 | 12,5 | 14,3 |
| Zwembad (openlucht, per 100 m² bassin) | - | 11,1 | 13,9 | 16,8 |
| Kunstijsbaan (kleiner dan 400 meter)* | 1,5 | 1,8 | 2,1 | 2,3 |
| Kunstijsbaan (400 meter)* | - | 2,5 | 2,8 | 3,0 |
| Skihal (per 100 m² sneeuw, ex. oefenpistes) | - | - | 5,7 | - |
| Golfbaan (18 holes, per 18 holes, 60 ha) | - | - | 106 | 128,3 |
| | | | | |
| Indoorspeeltuin, gemiddeld en kleiner* | 5,6 | 6,4 | 7,2 | 7,6 |
| Indoorspeeltuin, groot* | 6,2 | 7,1 | 8,1 | 8,6 |
| Indoorspeeltuin, zeer groot* | 5,4 | 6,4 | 7,3 | 7,9 |
| | | | | |
| Manege (per box) | - | - | - | 0,5 |
| Dierenpark (per ha, netto terrein) | 12,0 | 12,0 | 12,0 | 12,0 |
| Attractie- en pretpark (per ha, netto terrein) | 12,0 | 12,0 | 12,0 | 12,0 |
| Volkstuin (per 10 tuinen) | - | 1,4 | 1,5 | 1,6 |
| | | | | |
| **Horeca en verblijfsrecreatie** | | | | |
| Camping (per standplaats) | - | - | - | 1,3 |
| Bungalowpark (per bungalow) | - | - | 1,8 | 2,2 |
| Hotel 1 ster (per 10 kamers) | 0,5 | 0,9 | 2,5 | 4,6 |
| Hotel 2 ster (per 10 kamers) | 1,6 | 2,5 | 4,3 | 6,5 |
| Hotel 3 ster (per 10 kamers) | 2,6 | 3,8 | 5,5 | 7,3 |
| Hotel 4 ster (per 10 kamers) | 3,9 | 5,6 | 7,7 | 9,5 |
| Hotel 5 ster (per 10 kamers) | 6,1 | 8,7 | 11,4 | 13,4 |

* norm per 100 $m^2$
overige functies volgens kencijfers CROW
matig stedelijk - maximum van de bandbreedte

# Te hanteren normen in Winterswijk

| | **Parkeernorm Winterswijk - basis** | | | |
|---|---|---|---|---|
| | centrum | schil | kom/kern | buiteng. |
| Café/bar/cafetaria* | 6,0 | 6,0 | 7,0 | - |
| Restaurant* | 10,0 | 10,0 | 14,0 | - |
| Discotheek* | 8,9 | 15,9 | 22,8 | 22,8 |
| Evenementenhal/congresgebouw* | 7,0 | 8,0 | 11,0 | - |
| **Gezondheidszorg of sociale voorziening** | | | | |
| Huisartsenpraktijk (per behandelkamer) | 2,3 | 2,7 | 3,2 | 3,5 |
| Apotheek (per apotheek) | 2,5 | 3,0 | 3,4 | - |
| Fysiotherapiepraktijk (per behandelkamer) | 1,5 | 1,7 | 2,0 | 2,2 |
| Consultatiebureau (per behandelkamer) | 1,6 | 1,8 | 2,1 | 2,4 |
| Consultatiebureau voor ouderen (per behandelkamer) | 1,4 | 1,7 | 2,0 | 2,3 |
| Tandartsenpraktijk (per behandelkamer) | 1,8 | 2,2 | 2,6 | 2,9 |
| Gezondheidscentrum (per behandelkamer) | 1,8 | 2,1 | 2,4 | 2,7 |
| Ziekenhuis* | 1,5 | 1,7 | 1,8 | 2,1 |
| Crematorium (per (deels) gelijktijdige plechtigheid) | - | - | 35,1 | 35,1 |
| Begraafplaats (per (deels) gelijktijdige plechtigheid) | - | - | 36,6 | 36,6 |
| Penitentiaire inrichting (per 10 cellen) | 1,9 | 2,4 | 3,5 | 3,9 |
| Verpleeg- en verzorgingstehuis (per wooneenheid) | 0,7 | 0,7 | 0,7 | - |
| Religiegebouw (per zitplaats) | 0,2 | 0,2 | 0,2 | - |

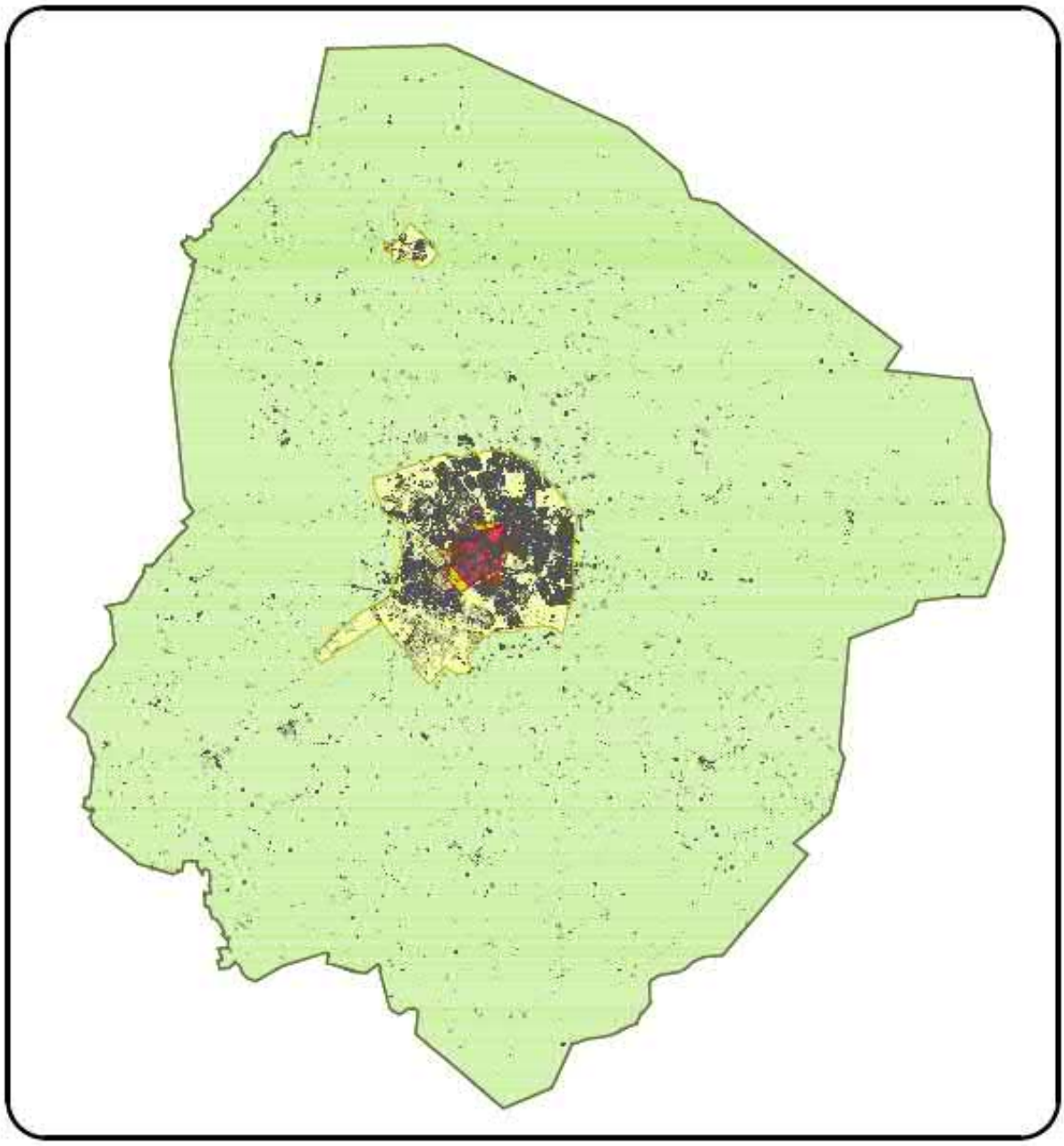
* norm per 100 $m^2$
overige functies volgens kencijfers CROW
matig stedelijk - maximum van de bandbreedte

# Te hanteren normen in Winterswijk

| | **Parkeernorm Winterswijk - basis** | | | |
|---|---|---|---|---|
| | centrum | schil | kom/kern | buiteng. |
| **Onderwijs** | | | | |
| Kinderdagverblijf (crèche)* | 1,1 | 1,3 | 1,5 | 1,6 |
| Basisonderwijs (per leslokaal) | 1,0 | 1,0 | 1,0 | 1,0 |
| Middelbare school (per 100 leerlingen) | 4,7 | 5,5 | 5,9 | 5,9 |
| ROC (per 100 leerlingen) | 5,7 | 6,4 | 6,8 | 6,9 |
| Hogeschool (per 100 studenten) | 11,3 | 12,0 | 12,7 | 12,9 |
| Universiteit (per 100 studenten) | 15,2 | 17,2 | 18,5 | 18,8 |
| Avondonderwijs (per 10 studenten) | 5,5 | 6,6 | 7,8 | 11,5 |

* norm per 100 $m^2$
overige functies volgens kencijfers CROW
matig stedelijk - maximum van de bandbreedte

# Bijlage 2: Verschillende parkeergebieden Winterswijk



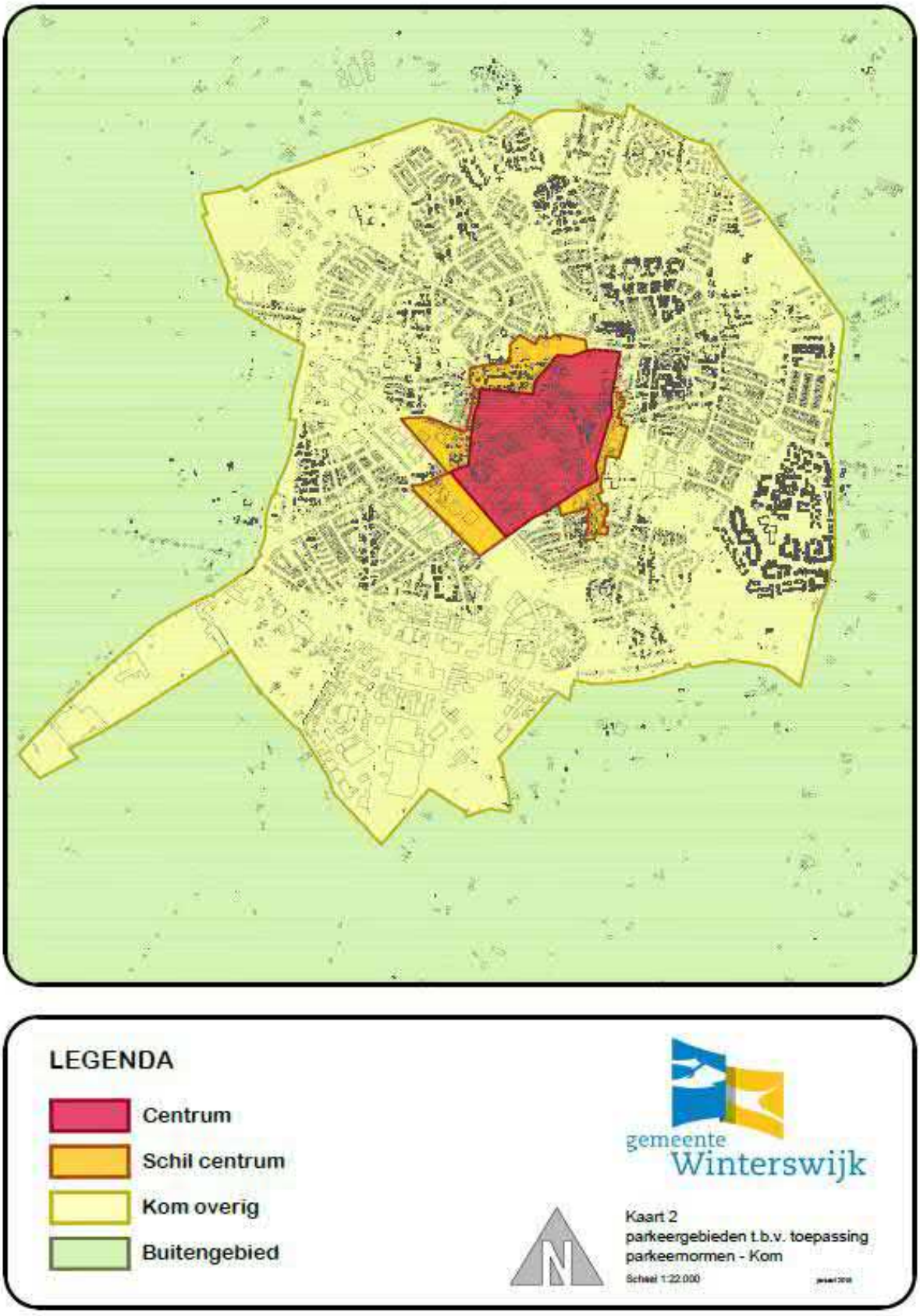
LEGENDA

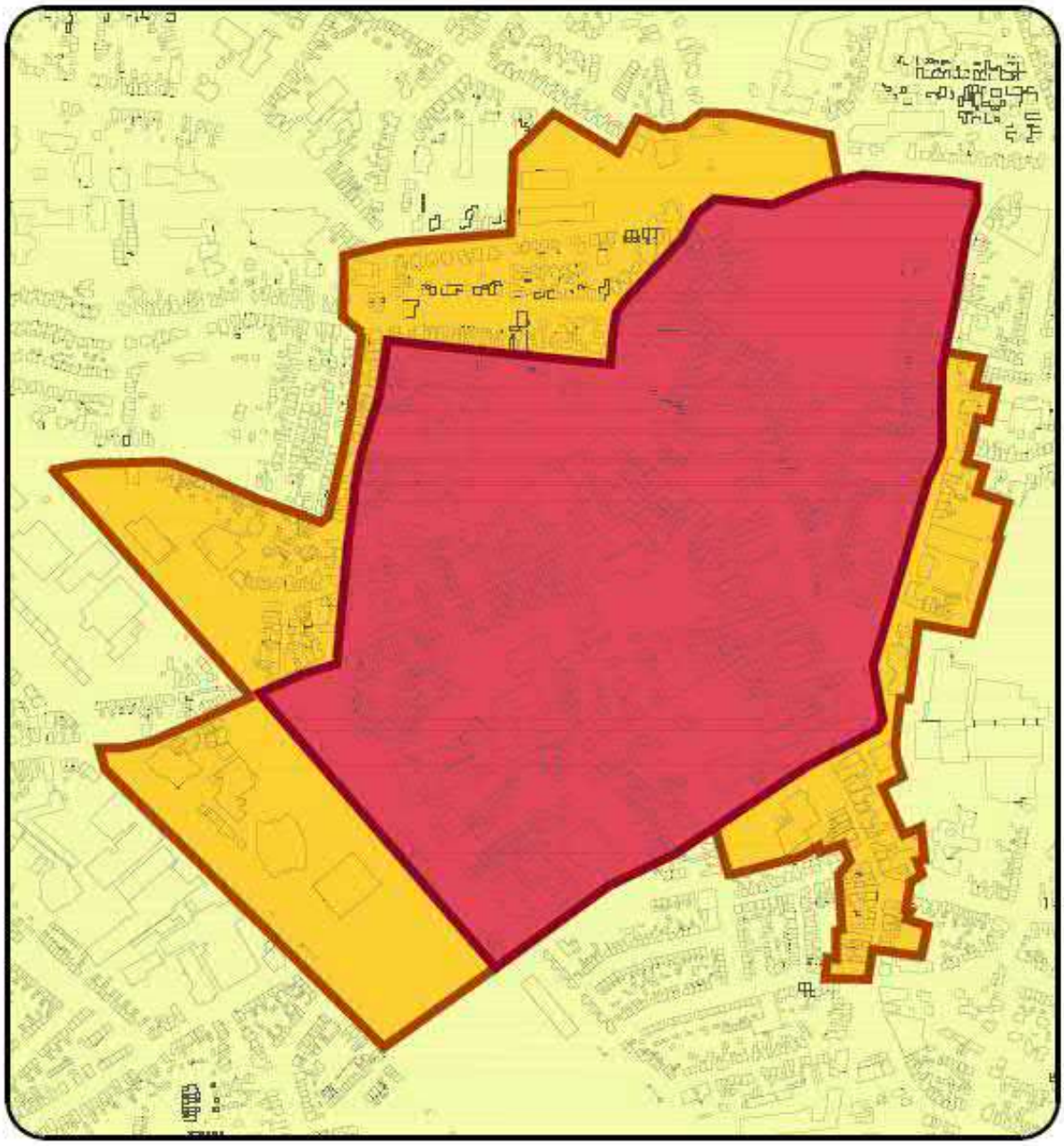
- Centrum
- Schil centrum
- Kom overig
- Buitengebied

gemeente Winterswijk

Kaart 3
parkeergebieden t.b.v. toepassing parkeernormen - Winterswijk

Schaal 1:60.000


LEGENDA
Centrum
Schil centrum
Kom overig
Buitengebied
gemeente
Winterswijk
Kaart 2
parkeergebieden t.b.v. toepassing
parkeernormen - Kom
Schaal 1:22.000



LEGENDA

- Centrum
- Schil centrum
- Kom overig

gemeente Winterswijk

Kaart 1
parkeergebieden t.b.v. toepassing
parkeernormen - centrum e.o.

Schaal 1:6.000